

**IDENTIFIZIERUNG VON MECHANISMEN
ZUR ADAPTION AN PATHOGENSTRESS UNTER SALINEN
BEDINGUNGEN IN *ARABIDOPSIS THALIANA***

Dissertation

der Mathematisch-Naturwissenschaftlichen Fakultät

der Eberhard Karls Universität Tübingen

zur Erlangung des Grades eines

Doktors der Naturwissenschaften

(Dr. rer. nat.)

vorgelegt von

Eva Haller

aus Göppingen

Tübingen

2013

Tag der mündlichen Qualifikation:

26.02.2014

Dekan:

Prof. Dr. Wolfgang Rosenstiel

1. Berichterstatter:

Prof. Dr. Thorsten Nürnberger

2. Berichterstatter:

Prof. Dr. Klaus Harter

INHALT

1	Einleitung	1
1.1	Abiotischer Stress durch erhöhte Salzkonzentrationen im Boden	1
1.2	Auswirkungen von Salzstress auf Kulturpflanzen	3
1.3	Resistenzmechanismen bei Salzstress und Ihre Anwendung in der Pflanzenzüchtung	3
1.4	Biotischer Stress - Grundlagen der Immunität	5
1.5	Die Pflanzliche Immunantwort	7
1.5.1	Phytohormone in der Stressadaption	11
1.5.2	Transkriptionsfaktoren in der Stressadaption	13
1.6	Stresskombination	16
1.7	Ziele der Arbeit	18
2	Material	19
2.1	Chemikalien	19
2.2	Medien und Antibiotika	19
2.3	Oligonukleotide	20
2.4	Pflanzen	21
2.5	Bakterien- und Pilzstämmen	22
2.6	Vektoren	22
3	Methoden	23
3.1	Anzucht von Pflanzen	23
3.2	Anzucht der Mikroorganismen	23
3.2.1	Bakterienanzucht	23
3.2.2	Ascomycetenanzucht und Sporenernte	23
3.3	Molekularbiologische Methoden	24
3.3.1	Präparation und Analyse von Nukleinsäuren	24
3.3.1.1	Isolation genomischer DNA aus Pflanzenmaterial	24
3.3.1.2	Plasmidisolation aus <i>Escherichia coli</i>	24
3.3.1.3	Isolation von RNA aus Pflanzenmaterial	24
3.3.1.4	Bestimmung der Nukleinsäurekonzentration	25
3.3.1.5	Agarose-Gelelektrophorese	25
3.3.1.6	Aufreinigung von DNA-Fragmenten	25
3.3.1.7	Sequenzierung von DNA	25
3.3.2	Enzymatische Manipulation von Nukleinsäuren	25
3.3.2.1	Polymerase-Kettenreaktion (PCR)	25
3.3.2.2	DNase-Verdau	26
3.3.2.3	Semiquantitative RT-PCR (RT-PCR)	26
3.3.2.4	Quantitative <i>real time</i> PCR (qPCR)	27
3.3.2.5	Genotypisierung von Transfer-DNA (T-DNA) Insertionslinien	27
3.3.2.6	Transkriptomanalyse mittels <i>Microarray</i>	28
3.3.2.7	Restriktionsverdau von Plasmid-DNA	28
3.3.3	Herstellung von Expressionskonstrukten	28
3.3.4	Transformation von Mikroorganismen	29
3.3.4.1	Transformation von <i>Escherichia coli</i>	29
3.3.4.2	Transformation von <i>Agrobacterium tumefaciens</i>	29

3.3.5	Transformation von <i>Arabidopsis thaliana</i>	29
3.3.6	Proteinanalytik.....	29
3.3.6.1	Isolierung von Proteinen aus Pflanzenmaterial.....	29
3.3.6.2	Konzentrationsbestimmung von Proteinen.....	30
3.3.6.3	SDS-Polyacrylamid-Gelelektrophorese (SDS-PAGE)	30
3.3.6.4	Immunoblot	30
3.3.6.5	Analyse der MAP-Kinase-Aktivität	31
3.4	Biologische Untersuchungen	31
3.4.1	Behandlung von <i>Arabidopsis thaliana</i> mit Natriumchlorid.....	31
3.4.2	Behandlung von <i>Arabidopsis thaliana</i> mit Abscisinsäure & Fluridon	31
3.4.3	Behandlung von <i>Arabidopsis thaliana</i> mit Toxinen	31
3.4.4	Ermittlung der Blattgröße und des Blattgewichts.....	31
3.4.5	Darstellung der Stomata.....	32
3.4.6	Bestimmung des Chlorophyllgehaltes von Blättern	32
3.4.7	<i>Pseudomonas syringae</i> : Infektion & Analyse	32
3.4.8	<i>Alternaria brassicicola</i> : Infektion & Analyse	32
3.4.9	<i>Botrytis cinerea</i> : Infektion & Analyse	33
3.4.10	Elicitierungen von Blättern oder Keimlingen	33
3.4.11	Mikroskopie.....	33
3.4.12	Trypanblau-Färbung	33
3.4.13	Diaminobenzidin-Färbung.....	34
3.4.14	Anilinblau-Färbung.....	34
3.4.15	Messung von Phytohormonen.....	34
3.4.16	Statistik	35
4	Ergebnisse	36
4.1	Abiotischer Stress durch Natriumchlorid in <i>A. thaliana</i>	36
4.1.1	Phänotypische Analyse von Salzstress	36
4.1.2	Transkriptanalyse nach Salzbehandlung in adulten Blättern.....	38
4.1.3	Transkriptanalyse nach Salzbehandlung in Keimlingen	40
4.1.4	Toxin-Behandlung.....	41
4.2	Kombination abiotischen & biotischen Stresses	42
4.2.1	Salzstress & <i>P. syringae</i> -Infektion	42
4.2.1.1	Phänotypische Analyse	42
4.2.1.2	Chlorophyllgehalt.....	43
4.2.1.3	<i>Pseudomonas</i> -Wachstum	43
4.2.1.4	Transkriptanalyse nach NaCl- & <i>Pto</i> -Behandlung.....	44
4.2.2	Salzstress & <i>A. brassicicola</i> -Infektion	46
4.2.2.1	Phänotypische Analyse	46
4.2.2.2	Chlorophyllgehalt.....	47
4.2.2.3	Histochemische Färbungen	48
4.2.2.4	<i>Alternaria</i> -Wachstum.....	49
4.2.2.5	Transkriptanalyse nach NaCl- & <i>Alternaria</i> -Behandlung.....	50
4.2.3	Salzstress & <i>B. cinerea</i> -Infektion	51
4.2.3.1	Phänotypische Analyse	52

4.2.3.2	Chlorophyllgehalt und histochemische Färbungen	52
4.2.3.3	<i>Botrytis</i> -Wachstum	54
4.2.3.4	Transkriptanalyse nach NaCl- & <i>Botrytis</i> -Behandlung.....	55
4.2.4	Untersuchung verschiedener Stress involvierter TFs.....	56
4.2.4.1	Charakterisierung der T-DNA-Insertionslinien	56
4.2.4.2	<i>Botrytis</i> -Wachstum auf ausgewählten T-DNA-Insertionslinien.....	58
4.2.5	Elizitierungsanalysen mit MAMPs	59
4.2.5.1	Bestimmung der Aktivität Mitogen-aktivierter Proteinkinasen	59
4.2.5.2	Calloseansammlungen nach NaCl- & MAMP-Behandlung	60
4.2.5.3	Transkriptanalyse nach NaCl- & MAMP-Behandlung.....	62
4.2.6	Bestimmung der Phytohormon- und Phytoalexinlevel	63
4.3	Die Rolle der Abscisinsäure in der Stresskombination	67
4.4	Auswertung der <i>Microarray</i> Daten	69
4.4.1	Analyse des <i>A. thaliana</i> -Transkriptoms unter Salzstress	69
4.4.2	Analyse des <i>A. thaliana</i> -Transkriptoms in der Stresskombination	71
4.4.3	Analyse von Transkriptionsfaktoren unter Stresskombination	75
4.4.3.1	Expression der für Infektionsstudien verwendeten Transkriptionsfaktoren	76
4.4.4	Analyse von Phytohormon-Markergenen	76
5	Diskussion	78
5.1	Optimierung der Salz-Anwendung.....	79
5.2	Verminderte Pathogenresistenz von <i>A. thaliana</i> unter NaCl-Stress	80
5.3	Ursachen für die durch Salzbehandlung reduzierte pflanzliche Immunität.....	82
5.4	Regulierung der Stressantwort durch Phytohormone	83
5.4.1	Hemibiotrophe Interaktion	83
5.4.2	Nekrotrophe Interaktion	85
5.5	ABA als Mediator der Salzstress-induzierte Immunschwächung	87
5.6	Die Zelluläre Antwort auf die Stresskombination ist mehr als die Summe der Einzelstimuli	90
5.6.1	Regulation der Stresskombination durch Transkriptionsfaktoren.....	92
6	Zusammenfassung.....	95
	ABKÜRZUNGEN.....	97
	LITERATUR.....	TTTT

ABBILDUNGEN

Abbildung 1-1 Schematische Darstellung des SOS-Signalwegs unter Salzstress (Mahajan *et al.*, 2008)..... 4

Abbildung 1-2 Schematische Darstellung pflanzlicher Abwehrmechanismen und deren Suppression
(nach Métraux *et al.*, 2009)..... 8

Abbildung 1-3 Schematische Darstellung ROS-gesteuerter Mechanismen (Torres, 2010). 10

Abbildung 1-4 Mögliche Interaktionen zwischen Hormon-Signalwegen während Pflanze-Pathogen-
Interaktionen. (nach Robert-Seilaniantz *et al.*, 2007) 11

Abbildung 1-5 Komplexe Rolle der Abscisinsäure in der pflanzlichen Immunität. (nach Ton *et al.*,
2009)..... 13

Abbildung 1-6 Stellung der Transkriptionsfaktoren in der Stressadaption. (Fujita *et al.*, 2006) 14

Abbildung 1-7 Stress-Matrix. (Mittler & Blumwald, 2010)..... 17

Abbildung 3-1 Analyse der T-DNA-Insertion über gen- und insertspezifische Primer. 27

Abbildung 4-1 Visuelle Symptome von Salzstress in *A. thaliana*. 37

Abbildung 4-2 Transkriptanalyse von durch Salz, Seneszenz und ABA induzierbaren Genen in
salzgestressten Blättern. 39

Abbildung 4-3 Transkriptanalyse von durch Salz und ABA induzierbaren Genen in salzbehandelten
Arabidopsis-Keimlingen..... 40

Abbildung 4-4 Zelltod in Fumonisin behandelte Blättern. 41

Abbildung 4-5 Makroskopische Symptomatik einer *Pto*-Infektion NaCl behandelter *A. thaliana*-
Pflanzen. 43

Abbildung 4-6 Chlorophyllgehalt NaCl-behandelter Blätter nach *Pseudomonas*-Infektion. 43

Abbildung 4-7 Bakteriellles Wachstum nach Infektion mit verschiedenen *Pto*-Stämmen. 44

Abbildung 4-8 Transkriptanalyse NaCl-behandelter *A. thaliana* nach *Pto*-Infektion..... 45

Abbildung 4-9 *Alternaria*-Infektion NaCl behandelter *A. thaliana*-Blätter. 47

Abbildung 4-10 Chlorophyllgehalt NaCl-behandelter Blätter nach *Alternaria*-Infektion. 47

Abbildung 4-11 DAB- und Trypanblau-Färbung nach *Alternaria*-Infektion..... 49

Abbildung 4-12 *Alternaria*-Wachstum nach NaCl-Behandlung. 50

Abbildung 4-13 Transkriptanalyse NaCl-behandelter *A. thaliana*-Pflanzen nach *Alternaria*-Infektion..... 51

Abbildung 4-14 *Botrytis*-Infektion NaCl behandelter *A. thaliana*. 52

Abbildung 4-15 Chlorophyllgehalt, DAB- und Trypanblau-Färbung nach *Botrytis*-Infektion..... 53

Abbildung 4-16 *Botrytis*-Wachstum nach NaCl-Behandlung..... 54

Abbildung 4-17 Transkriptanalyse NaCl-behandelter *A. thaliana* nach *Botrytis*-Infektion..... 55

Abbildung 4-18 Genstruktur und Lokalisation von T-DNA-Insertionen ausgewählter TF..... 57

Abbildung 4-19 Charakterisierung von T-DNA-Insertionslinien ausgewählter TF..... 57

Abbildung 4-20 Infektionsstudien mit verschiedenen T-DNA-Insertionslinien..... 58

Abbildung 4-21 MPK-Immunoblot nach MAMP-Behandlung. 60

Abbildung 4-22 Mikroskopische Darstellung MAMP-Induzierter Calloseablagerungen..... 61

Abbildung 4-23 Quantifizierung der Calloseablagerungen nach MAMP-Behandlung 61

Abbildung 4-24 Transkriptanalyse nach MAMP-Behandlung..... 62

Abbildung 4-25 Phytohormonlevel nach NaCl- & *Botrytis*-Behandlung. 64

Abbildung 4-26 Camalexinlevel nach NaCl- & *Botrytis*-Behandlung. 66

Abbildung 4-27 *Botrytis*-Infektion in Kombination mit ABA- oder Fluridon-Behandlung..... 68

Abbildung 4-28 Transkriptomanalyse: Expressionsänderungen aufgrund NaCl-Behandlung 70

Abbildung 4-29 Transkriptomanalyse: Aktivierung funktioneller Klassen. 73

Abbildung 4-30 Transkriptomanalyse: Überschneidungen der Genpopulationen. 74
 Abbildung 4-31 Transkriptomanalyse: Überschneidungen der Genpopulationen in Bezug auf TFs. 75

TABELLEN

Tabelle 1-1 Einstufung von Bodenversalzung. 2
 Tabelle 2-1 Verwendete Chemikalien. 19
 Tabelle 2-2 Verwendete Medien. 19
 Tabelle 2-3 Verwendete Antibiotika. 20
 Tabelle 2-4 Verwendete Oligonukleotide. 20
 Tabelle 2-5 Verwendete *A. thaliana* Linien. 21
 Tabelle 2-6 Verwendete Bakterienstämme. 22
 Tabelle 2-7 Verwendete Ascomyceten. 22
 Tabelle 2-8 Verwendete Vektoren. 22
 Tabelle 3-1 Standardansatz einer PCR-Reaktion. 26
 Tabelle 3-2 Standard-PCR Programm. 26
 Tabelle 3-3 Expressionskonstrukte. 28
 Tabelle 4-1 Transkriptomanalyse: Versuchsaufbau und Probenbezeichnungen. 69
 Tabelle 4-2 Transkriptomanalyse: Anzahl der in ihrer Expression veränderten Gene. 71
 Tabelle 4-3 Expression ausgewählter Transkriptionsfaktoren. 76
 Tabelle 4-4 Anzahl signifikant beeinflusster Phytohormon-Markergene. 77

1 EINLEITUNG

Eines der höchsten Ziele jedes Organismus besteht in dem Fortbestand der eigenen Art. Dabei spielt nicht nur die Nährstoffaufnahme, Nährstoffverwertung und Fortpflanzung eine wichtige Rolle, sondern auch die Behauptung gegenüber zahlreichen widrigen Umwelteinflüssen. Pflanzliche Organismen sind aufgrund ihrer sessilen Lebensweise nicht in der Lage sich diesen äußeren Einflüssen durch Ortswechsel zu entziehen, sondern mussten im Laufe der Evolution Strategien zum Selbsterhalt entwickeln.

Neben alltäglichen abiotischen Faktoren wie schwankende Lichtintensität, Tageslänge oder Temperatur spielen vor allem extreme Umwelteinflüsse wie stark erhöhte Salzkonzentrationen oder Schwermetalle im Boden, Trockenperioden, Nährstoffmangel, stark erhöhte Ozonwerte oder plötzlicher Kälteeinbruch eine wichtige Rolle und verursachen Stress. Des Weiteren sind Pflanzen biotischem Stress, verursacht durch den Befall mit Pathogenen oder Herbivoren und der damit einhergehenden mechanische Verwundung, ausgesetzt. Pflanzen werden als gestresst bezeichnet, wenn sie aufgrund von abiotischen oder biotischen Einflüssen in ihrem Wachstum oder ihrer Reproduktion eingeschränkt sind. Natürlicherweise sind Pflanzen in ihrem Lebensumfeld nicht nur einer Art von Stress ausgesetzt, sondern haben es meist mit einer Kombination verschiedener Stressfaktoren zu tun. Zu den Abläufen, die durch Einzelstress im pflanzlichen Organismus in Gang gesetzt werden, ist bereits vieles bekannt (Elstner & Osswald, 1994; Bohnert *et al.*, 1995; Torres *et al.*, 2006; Bari & Jones, 2009). Die Mechanismen die ablaufen, wenn mehrere Stressfaktoren aufeinander treffen, sind dagegen weitgehend ungeklärt.

1.1 ABIOTISCHER STRESS DURCH ERHÖHTE SALZKONZENTRATIONEN IM BODEN

In Bezug auf die Salzverträglichkeit von Pflanzen wird zwischen salztoleranteren Halophyten und salzsensitiven Glykophyten unterschieden. Für die Kategorisierung von Salzresistenz gibt es verschiedene Herangehensweisen. Nach Flowers & Colmer (2008) zählen all jene pflanzlichen Organismen zu den Glykophyten, die bei einer Salzkonzentration im Boden von über 200 mM nicht in der Lage sind ihren Lebenszyklus zu vollenden. Im Gegensatz zu Glykophyten sind obligate Halophyten, wie z.B. *Aster tripolium* (Strandaster) oder *Potentilla anserina* (Gänsefingerkraut), in der Lage auf Böden mit erhöhtem Salzgehalt sich fortzupflanzen (Adam, 1977). Obligate Halophyten, zu denen verschiedene Binsenarten zählen, benötigen sogar eine gewisse Salzkonzentration um ihren Lebenszyklus abschließen zu können (Adam, 1977). Eine verbesserte Salztoleranz erreichen diese sogenannten Salzpflanzen häufig durch das Ausscheiden von Salzen über Drüsen oder Haare an den Blattoberflächen, Speicherung der Salzionen in den Vakuolen oder durch Salzsukkulenz (Zhu, 2001b). Eine weitere Beurteilung des Grades der Salzverträglichkeit erfolgt über die Bestimmung der

elektrischen Leitfähigkeit des Bodens und das Vermögen der Pflanzen darauf zu gedeihen. Die FAO (Ernährungs- und Landwirtschaftsorganisation der Vereinten Nationen) stufte die Qualität von Böden von leicht bis extrem salzhaltig ein (Tabelle 1-1).

Tabelle 1-1 Einstufung von Bodenversalzung.

Klassifizierung	EC [dS/m]	Effekt auf das Pflanzenwachstum
Neutral	0-2	Einfluss vernachlässigbar
Leicht salzhaltig	2-4	Ertrag sensibler Arten kann beeinträchtigt sein
Mäßig salzhaltig	4-8	Ertrag vieler Arten ist beeinträchtigt
Stark salzhaltig	8-16	Ertrag salztoleranter Pflanzen noch zufriedenstellend
Extrem salzhaltig	<16	Ertrag nur weniger salztoleranter Pflanzen noch zufriedenstellend

(Abrol *et al.*, 1988)

Der Großteil aller Kulturpflanzen sowie auch die Modellpflanze *A. thaliana* zählt zu den Glykophyten und weist ab einem EC von über 2 dS/m Stresssymptome auf (Katori *et al.*, 2010). Erhöhte Salzkonzentrationen im Wurzelraum bewirken ein vermindertes Wachstum, was sich sowohl in den vegetativen als auch in den generativen Organen negativ niederschlägt und immense Ertragseinbußen verursacht. Von Salinität sind weltweit 7 % der landwirtschaftlich genutzten Fläche betroffen, was über 900 Mio. ha entspricht (Shabala & Cuin, 2008). Dabei liegt der Anteil der durch Versalzung beeinträchtigten Böden bei intensiv bewässerten Flächen deutlich höher im Vergleich zu wenig oder nicht bewässerten Flächen. Über 20 % (45 Mio. ha) des bewässerten Landes weisen einen stark erhöhten Salzgehalt auf und jährlich gehen weitere 5 Mio. ha landwirtschaftlich nutzbarer Fläche so verloren (Munns, 2005; FAO, 2011). Auch wenn der Anteil der bewässerten Nutzfläche zunächst gering erscheint, so werden auf dieser Fläche ein Drittel der gesamten Nahrungsmittel weltweit produziert (Tester & Davenport, 2003).

Erhöhte Salzkonzentrationen in Nutzböden haben meist anthropogene Ursachen. Intensive Bewässerung, Nutzung salzbelasteten Wassers sowie hohe Evaporation führen zu einer Anreicherung von vorwiegend Ca^{2+} , Mg^{2+} , Na^+ , K^+ und Cl^- Ionen im Wurzelraum. Da insbesondere Na^+ negative Auswirkungen auf die Bodenstruktur besitzt und die toxische Wirkung von Na^+ und Cl^- bekannt ist, werden diese Ionen für den Salzstress als maßgeblich betrachtet (Shannon, 1997; Tavakkoli *et al.*, 2010). Gerade in Gebieten mit hoher Evaporation ist eine flächendeckende Irrigation von Kulturpflanzen unumgänglich, wodurch das Problem der Versalzung verstärkt wird. Die Maßnahmen, um den zunehmenden Salzkonzentrationen im Boden entgegenzuwirken, sind vielseitig. Hierzu zählen z.B. die Verbesserung der Bewässerungsmethoden (Hanson & May, 2004; Materechera, 2011), landbauliche Maßnahmen und die Ausbringung von Gips (Bresler & Hoffman, 1986; Abrol *et al.*, 1988). Sogar die Verwendung von magnetisiertem Wasser wird diskutiert (Noran *et al.*, 1996; Khoshravesh *et*

al., 2011). Doch um den Nahrungsmittelbedarf der bis 2050 erwarteten 9,6 Mrd. Menschen (Deutsche Stiftung Weltbevölkerung, 2012), was einem Zuwachs der momentanen Weltbevölkerung um 36 % entspräche und dem hierzu unproportionalen Anstieg des Fleischverzehrs (FAO, 2012) decken zu können, müssten wohl weitreichendere Maßnahmen ergriffen werden, wozu auch die Anpassung von Kulturpflanzen an widrige Umweltbedingungen zählt.

1.2 AUSWIRKUNGEN VON SALZSTRESS AUF KULTURPFLANZEN

Nach Yeo (1998); Carvajal *et al.* (2000) und Läuchli & Grattan (2007) lässt sich der durch erhöhte Salzkonzentrationen im Wurzelraum bedingte Stress in drei Kategorien einteilen. 1) Die Herabsetzung des osmotischen Bodenpotentials reduziert die Wasserverfügbarkeit für Pflanzen und führt dadurch zur sogenannten physiologischen Trockenheit. 2) Die veränderte physikalische Beschaffenheit der Bodenkrume setzt die Wasser- und Luftdurchlässigkeit im Wurzelraum stark herab und verschlechtert so die Bodenqualität. 3) Außerdem bewirkt das erhöhte Auftreten bestimmter Ionen, vor allem Na^+ , eine Hemmung des pflanzlichen Metabolismus.

Der durch Salz induzierte schnelle osmotische und der etwas später einsetzende ionische Stress führen zur Hemmung verschiedener physiologischer Prozesse. Betroffen sind vor allem die Wasseraufnahme, die Photosyntheserate, die Respiration, der Kohlenhydratstoffwechsel, die Stomataöffnung sowie die Stickstofffixierung (Munns & Tester, 2008). Die Beeinträchtigung der Photosynthese erfolgt zum einen direkt, durch Limitierung der CO_2 -Verfügbarkeit aufgrund der reduzierten Diffusion durch Stomata und Mesophyll (Hetherington & Woodward, 2003; Flexas *et al.*, 2008), durch die Änderung des photosynthetischen Metabolismus (Lawlor & Cornic, 2002) oder aber als Sekundäreffekt in Form oxidativen Stresses (Mittler, 2002). Die Hemmung des pflanzlichen Stoffwechsels führt zu einer Reduktion der Blattgrößen und der Biomasse. Zusätzlich wurden unspezifische Abwehrreaktionen, wie die Produktion Reaktiver Sauerstoffspezies (ROS) und Callosebildung beobachtet (Abo-Hamed *et al.*, 1990; Shannon, 1997; Verma & Hong, 2001).

1.3 RESISTENZMECHANISMEN BEI SALZSTRESS UND IHRE ANWENDUNG IN DER PFLANZENZÜCHTUNG

Für Glykophyten ist unter schwach salinen Bedingungen die Verringerung der Aufnahme von Natrium durch Reduktion des Stoffwechsels ein ausreichender Schutz vor Salzstress. Bei höheren Salzgehalten jedoch ist dies nicht ausreichend und es werden Mechanismen in Gang gesetzt, um den Organismus aktiv vor den Folgen erhöhter Ionenkonzentrationen zu schützen. Dazu zählt unter anderem die Umverteilung überschüssiger Ionen mittels salzinduzierbarer

Na^+/H^+ -Ionenporter und die Einlagerung von Ionen in Vakuolen, anderen Kompartimenten oder älteren Blättern, wodurch der Gehalt im Zytoplasma konstant und der pflanzliche Metabolismus aufrechterhalten wird (Zhu, 2003; Mahajan *et al.*, 2008). Der maßgeblich an der Steuerung dieses Gleichgewichts beteiligte SOS (*Salt Overly Sensitive*)-Signalweg ist weitgehend aufgeklärt (Mahajan *et al.*, 2008) und wird in Abbildung 1-1 dargestellt.

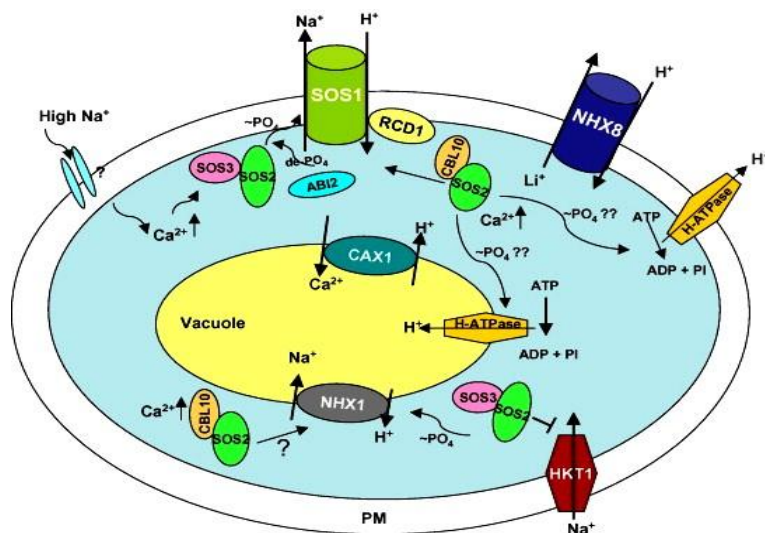


Abbildung 1-1 Schematische Darstellung des SOS-Signalwegs unter Salzstress (Mahajan *et al.*, 2008).

Unter salinen Bedingungen steigt der Na^+ -Gehalt im Zytosol stark an und führt zu gravierenden zellulären Schäden. Einer der Hauptentgiftungsmechanismen ist der Calcium-aktivierte SOS3/SOS2-Signalweg, der den SOS1 Na^+/H^+ -Plasmamembrantransporter aktiviert, welcher für den Efflux von Na^+ verantwortlich ist. Zusätzlich steuert SOS2 alleine oder im Komplex mit CBL10 eine H^+ -ATPase und einen NHX-Transporter, wodurch die Verteilung von H^+ und Na^+ reguliert und die Ionenhomöostase aufrechterhalten wird. SOS1 interagiert zudem mit RCD1 und vermittelt so Resistenz gegenüber ROS und oxidativem Stress.

Durch Überexpression der einzelnen am SOS-Signalweg beteiligten Elemente kann die Toleranz gegenüber erhöhten Salzkonzentrationen in *Arabidopsis* verbessert werden. Wohingegen der *Knockout* einzelner Gene zu einer Erhöhung der Anfälligkeit führen kann (Qiu *et al.*, 2002; Katiyar-Agarwal *et al.*, 2006; Yang *et al.*, 2009b).

Die Signaltransduktion zur Initiierung stressrelevanter Mechanismen erfolgt dabei häufig über die Phosphorylierung mitogenaktivierter Proteinkinasen (MAPK), calciumabhängiger Proteinkinasen (CDPK) oder mittels verschiedener Signalmoleküle, wie den ROS oder Phytohormonen, insbesondere der Abscisinsäure (Ichimura *et al.*, 2000; Knight & Knight, 2001; Zhu, 2002; Ludwig *et al.*, 2004). Eine Verbesserung der Toleranz gegenüber Salz und weiteren abiotischen Stressfaktoren wurde zum Beispiel mittels transgener Überexpression von NPK1 (*Nicotiana protein kinase 1*) einer MAPK in Tabak (Kovtun *et al.*, 2000), welche die Anregung der oxidativen Stressantwort vermittelt erreicht. In Baumwolle (*Gossypium herbaceum*), Tomate (*Lycopersicon pennellii*) und dem Halophyten Salzschwaden (*Puccinellia tenuiflora*) konnten durch Mutationen verschiedener MAPK ähnliche Ergebnisse erzielt werden (Garratt *et al.*, 2002; Mittova *et al.*, 2003; Yu *et al.*, 2011).

In salztoleranteren Pflanzen lässt sich eine Akkumulation von Aminosäuren, Polyaminen, Proteinen und weiterer stickstoffhaltiger Verbindungen sowie Kohlenhydraten beobachten. Diese Verbindungen tragen zur Minderung salzinduzierter Symptome bei, indem sie die osmotische Regulierung begünstigen, zur Stabilisierung des pH-Wertes beitragen, Zellen entgiften und stressinduzierte Sauerstoffradikale binden (Bohnert *et al.*, 1995; Kerepesi & Galiba, 2000; Mansour, 2000). Ein positiver Zusammenhang zwischen dem Vorkommen photorespiratorischer Enzyme, wie verschiedenen Katalasen (KAT), Gluthadionreduktasen (GR) und Superoxiddismutasen (SOD), die in der Lage sind Reaktive Sauerstoffspezies (ROS) zu detoxifizieren, und der Toleranz gegenüber erhöhten Salzkonzentrationen sowie anderen abiotischen Stressen konnte bereits gezeigt werden (Yadav *et al.*, 2011). So setzen biotechnologische Strategien zur Verbesserung der Salztoleranz häufig an der Fähigkeit der Pflanzen zur Detoxifizierung von ROS an. Roxas *et al.* (1997) erlangten durch die Überexpression einer Gluthadion-S-Transferase (GST) und einer Gluthadiontransferase (GPX) in Tabak (*Lycopersicon pennellii*) ein unter Salzstress verbessertes Wachstum. Auch Wang *et al.* (2004) postulierten eine höhere Salzresistenz durch Überexpression einer Mn-SOD in *A. thaliana*.

Für die Verbesserung der Salztoleranz in Kulturpflanzen ist auch die Reduktion der Salzionenaufnahme durch die Wurzel, die Stabilisierung der homöostatischen Bedingungen im Zytoplasma und die Verfrachtung störender Ionen in dafür vorgesehene Kompartimente von Bedeutung (Zhu, 2001b). Die weitere Aufklärung der hierfür verantwortlichen regulatorischen Strukturen und deren biotechnologische Manipulation könnte einen Beitrag zur Verbesserung der Anpassungsfähigkeit von Kulturpflanzen an ihre Umwelt leisten. Auch der Weg über konventionelle Züchtung könnte dazu beitragen die Toleranz von Kulturpflanzen an saline Umweltbedingungen zu verbessern. Durch Einkreuzung einzelner Gene, die in Halophyten Salztoleranz vermitteln, könnte bei Glykophyten auf salzhaltigen Böden eine Ertragsteigerung oder zumindest Ertragsstabilität erreicht werden (Mittler & Blumwald, 2010).

1.4 BIOTISCHER STRESS - GRUNDLAGEN DER IMMUNITÄT

Neben den abiotischen Umweltbedingungen werden alle Lebewesen auch mit einer Vielzahl biotischer Einflüsse konfrontiert. Das Spektrum der Schaderreger, welches Vertreter aus allen Reichen beinhaltet, reicht von einzelligen Prokaryoten bis hin zu komplexen, mehrzelligen Eukaryoten. Ebenso vielseitig wie das Vorgehen der verschiedenen Pathogene sich an einem Wirt zu bereichern, sind die Mechanismen dies zu unterbinden.

Das Immunsystem der *Gnathostomata* (kiefertragenden Wirbeltieren) beruht auf den zwei Säulen der angeborenen und der adaptiven Immunität. Das adaptive, evolutionär jüngere Immunsystem der *Gnathostomata* wird unterteilt in ein humorales und ein zelluläres System

welche auf der Unterscheidung zwischen "Selbst" und "Nicht-Selbst" basieren. Werden fremdartige Strukturen, sogenannte Antigene, als nicht körpereigen erkannt, bilden sich durch Rekombination und somatische Hypermutationen spezifische Immunzellen. Die Fähigkeit zur Erkennung körperfremder Zellen ermöglicht prinzipiell die Detektion und Bekämpfung unzähliger verschiedenartiger Pathogene (Cooper *et al.*, 2002; Janeway & Medzhitov, 2002; Akira, 2009). Die angeborene, unspezifische Immunität, die evolutionär ältere Form eines Immunsystems, entwickelte sich analog in Tieren und Pflanzen. Diese unspezifische Immunabwehr beinhaltet zum einen den Schutz vor mikrobiellen Eindringlingen durch strukturelle Barrieren und zum anderen das Erkennen spezifischer Strukturen, wodurch Abwehrmechanismen in Gang gesetzt werden. Diese sogenannten Pathogen- oder Mikroben-assoziierte molekulare Muster (PAMP oder MAMP), bestehen aus meist stark konservierten Strukturen einzelner Pathogenklassen. Zu den MAMPs zählen zum Beispiel in der pilzlichen Zellwand vorkommende Polysaccharide wie Chitine, Mannane oder Glucane, bakterielle Zellwandkomponenten wie Lipopolysaccharide und Peptidoglykanen, eubakterielles Flagellin sowie unmethylierte, bakterielle DNA-Fragmente (Cooper *et al.*, 2002; Ferrandon *et al.*, 2007; O'Neill, 2011). Einige dieser PAMPs werden auch vom Immunsystem pflanzlicher Organismen erkannt und leiten PAMP-vermittelte Immunität (PTI; *PAMP-triggered immunity*) ein (Boller & He, 2009; Nishimura & Dangl, 2010; Dubery *et al.*, 2012; Gust *et al.*, 2012). Die Perzeption der MAMPs ähnelt sich im Tier- und Pflanzenreich. Eine zentrale Rolle bei der Erkennung und Weiterleitung spielen in der Zellmembran verankerte Rezeptoren. Die Toll-Rezeptoren von *Drosophila* und die Toll-ähnlichen Rezeptoren (TLR; *toll-like receptor*) der Vertebraten bestehen aus einer extrazellulären, leuzinreichen Wiederholungsdomäne (LRR; *leucine-rich repeat*), durch die das MAMP erkannt wird, und einer intrazellulären TIR (*Drosophila Toll and human interleukin-1 receptor*)-Domäne, welche das Signal über Adapterproteine und daran bindende Kinasen weiterleitet. Die pflanzlichen Mustererkennungsrezeptoren (PRR; *pattern recognition receptor*) besitzen ebenfalls eine extrazelluläre liganden-bindende Domäne (LRR-Domäne oder Lysin-Motif-Domäne), welche aber häufig direkt mit einer intrazellulären Kinsedomäne verknüpft ist (Nürnberg *et al.*, 2004; Akira, 2009; Gust *et al.*, 2012). Auch wenn durch das angeborene Immunsystem eine Vielzahl von Pathogenen erkannt wird, so ist es doch limitiert auf eine begrenzte Anzahl bekannter Strukturen.

1.5 DIE PFLANZLICHE IMMUNANTWORT

Die pflanzliche Immunität stützt sich einzig auf angeborene, unspezifische Immunreaktionen. Hierbei lassen sich präinfektionelle Schutzmechanismen und postinfektionelle Abwehrreaktionen unterscheiden. Strukturelle Schutzmechanismen können aus äußeren, mechanischen Barrieren, wie einer wachsüberzogenen oder verstärkten Kutikula bestehen, die einem potentiellen Erreger das Anheften und Eindringen erschweren (Hess, 1999). Auch eingelagerte Sekundärmetabolite mit antimikrobiellen Eigenschaften wie Tannide, Alkaloide oder Flavine dienen dem präinfektionellen Schutz vor Pathogenen (Cowan, 1999; Hess, 1999). Postinfektionelle Abwehrreaktionen hingegen beruhen auf der Erkennung fremder Strukturen, den MAMPs, sowie eigenen, jedoch beschädigten oder abgeänderten Strukturen, den Verwundungsassoziierten-molekularen Mustern (DAMP; Lotze *et al.*, 2007). Die ubiquitäre Verbreitung der MAMPs in allen Klassen ermöglicht die Detektion eines breiten, wenn auch limitierten Spektrums an Phytopathogenen. Neben den genannten molekularen Mustern zählten Dubery *et al.* (2012) 15 weitere Mikroben-assoziierte Strukturen auf, die von einer Vielzahl potentieller Wirte mittels PRR erkannt werden können und zur Induktion von Abwehrreaktionen über Signalkaskaden führen. Die aufgrund der Perzeption eingeleitete PTI provoziert bei einigen Pathogenen die Bildung von Effektor- oder Avirulenzproteinen (Avr) zur Suppression der PTI. Durch Koevolution mit verschiedenen Erregern gelang es Pflanzen dem entgegenzuwirken und sie entwickelten spezifische Resistenzproteine (R-Proteine), die in der Lage sind diese Effektoren zu detektieren und die Immunabwehr durch Einleitung der ETI (*effector-triggered immunity*) zu verstärken (Gomez-Gomez, 2004; Jones & Dangl, 2006; Nürnberger & Kemmerling, 2006; Zipfel, 2008; Boller & He, 2009; Hou *et al.*, 2009). Verschiedene Abwehrmechanismen, ausgelöst durch Echte Pilze, Oomyceten oder Bakterien und deren Suppression durch den Schaderreger werden schematisch in Abbildung 1-2 wiedergegeben.

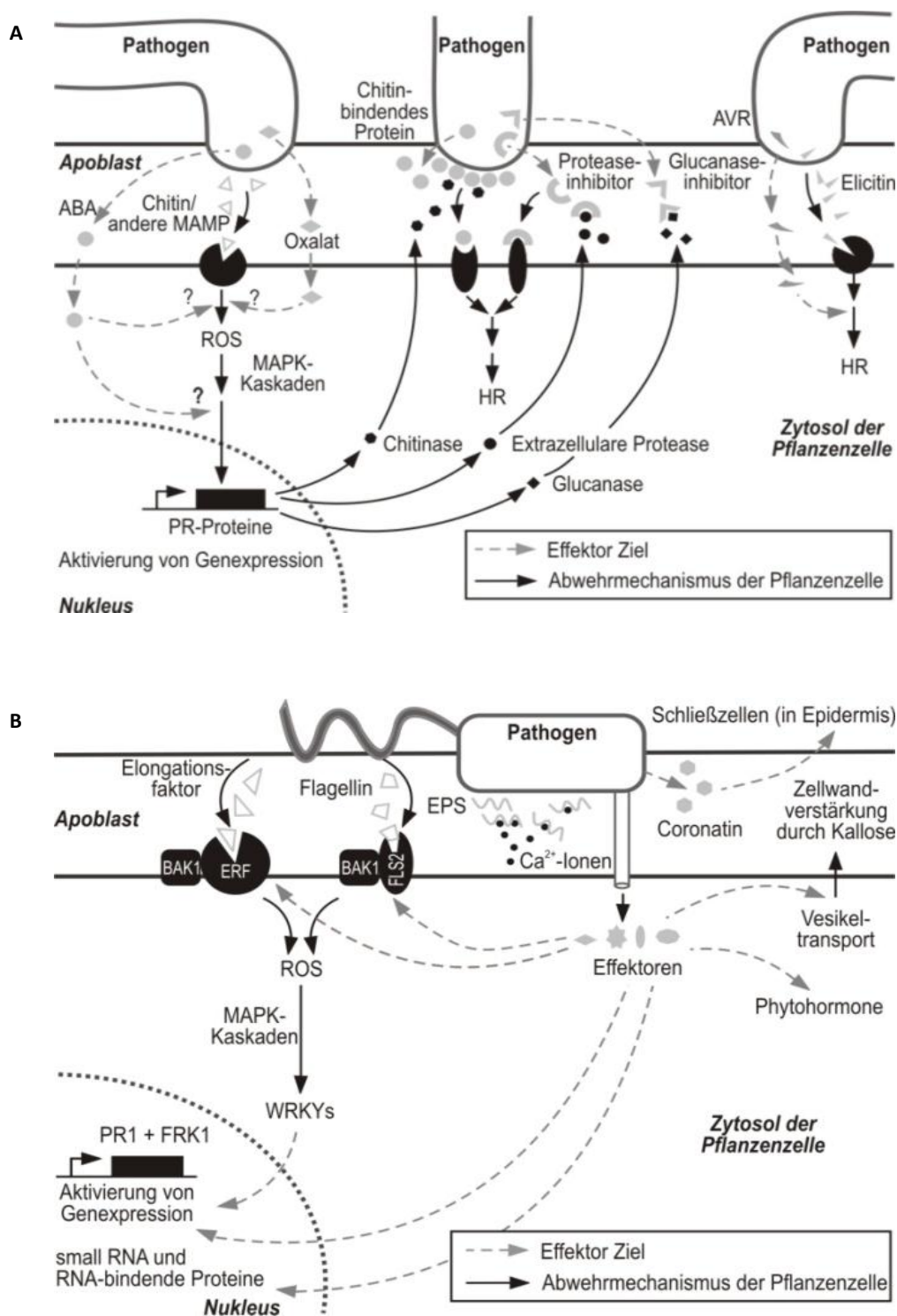


Abbildung 1-2 Schematische Darstellung pflanzlicher Abwehrmechanismen und deren Suppression (nach Métraux *et al.*, 2009).

Überblick über pflanzliche Verteidigungsmechanismen nach der Infektion durch Echte Pilze oder Oomyceten (A) bzw. bakteriellen Erregern (B) und deren Suppression. Effektoren und deren Ziele werden durch graue Symbole dargestellt und mit unterbrochenen Linien verbunden. Pflanzliche Abwehrmechanismen werden in schwarz dargestellt (Symbole und Linien). Effektoren interferieren mit verschiedenen Aspekten der PTI und ETI (ROS, Expression von Abwehrgenen, Abwehrproteine, Chelatbildung von Calcium durch extrazelluläre Polysaccharide (EPS), Öffnung der Stomata durch bakterielles Coronatin, hormonelle Signaltransduktion und Blockierung des Vesikeltransports). Details siehe Text.

Die Einleitung einer Immunreaktion nach Perzeption führt zu verschiedenen zellulären Antworten. Eine der ersten beobachtbaren Reaktionen ist die veränderte Permeabilität der Zytoplasmamembran und ein damit einhergehender verstärkter Influx von Ca^{2+} und H^+ sowie ein erhöhter Efflux von K^+ , Cl^- und NO_3^- (Wendehenne *et al.*, 2002; Jeworutzki *et al.*, 2010). Die Veränderung des Ionenverhältnisses führt zu einer Alkalisierung des Apoplasten und zum anderen fungiert Ca^{2+} als wichtiger sekundärer Botenstoff und aktiviert z.B. calciumabhängige Proteinkinasen (Romeis *et al.*, 2001; Kobayashi *et al.*, 2007). Die explosionsartige Freisetzung von ROS und NO, welche als Oxidativer Burst und NO Burst bezeichnet werden, ist eine weitere frühzeitige Abwehrreaktion. Diese hochreaktiven, toxischen Moleküle führen zu Schäden an Proteinen, Lipiden, Kohlenhydraten oder DNA und verursachen oxidativen Stress (Gill & Tuteja, 2010). Sowohl ROS als auch NO besitzen nicht nur eine direkte toxische Wirkung (Wendehenne *et al.*, 2002; Torres, 2010), sondern fungieren auch als Signalmoleküle und aktivieren unter anderem verschiedene MAPK (Hancock *et al.*, 2002; Neill *et al.*, 2002). ROS vermitteln zudem die verstärkte Vernetzung der Zellwand an der Eintrittsstelle (Bradley *et al.*, 1992).

MAPK-Signalwege werden außerdem durch zahlreiche weitere Stimuli angeregt. Artunspezifische Elicitoren, artspezifische Avirulenzfaktoren sowie zahlreiche abiotische Umwelteinflüsse werden direkt oder indirekt über sekundäre Botenstoffe von Rezeptoren erkannt und über Phosphorylierungskaskaden diverse Immunreaktionen eingeleitet (Zhang & Klessig, 2001).

Im ungestressten Zustand werden ROS, wie z.B. H_2O_2 (Wasserstoffperoxid) oder $\text{O}_2^{\cdot-}$ (Superoxid-Radikal), als Nebenprodukt in Mitochondrien, Chloroplasten und Peroxisomen gebildet (Foyer & Noctor, 2003; del Rio *et al.*, 2006). Da diese freien Radikale dem eigenen Organismus schaden würden verfügen pflanzliche und tierische Zellen über verschiedene enzymatische und nicht enzymatischen Antioxidantien zur Detoxifizierung (Mittler, 2002; Apel & Hirt, 2004). Die übermäßige Produktion und Ausschüttung von ROS, initiiert durch die Detektion von MAMPs, ist Teil der pflanzlichen Immunantwort und dient dem Schutz der Pflanze vor Eindringlingen. Die Bildung von ROS wird nach Perzeption bakterieller oder pilzstämmiger Effektoren mittels R-Proteine zusätzlich verstärkt (Felix *et al.*, 1999; Bolwell *et al.*, 2002; Torres *et al.*, 2002) und ist damit fester Bestandteil sowohl der PTI, als auch der ETI. Hauptquellen dieser apoplastischen ROS-Produktion ist die NADPH (*nicotinamide adenine dinucleotide phosphate*)-Oxidase sowie weitere Oxalatoxidasen, Peroxidasen und Aminooxidasen (Bolwell & Wojtaszek, 1997; Apel & Hirt, 2004; Hüchelhoven, 2007).

Als Signalmoleküle aktivieren ROS die Aktivierung von Transkriptionsfaktoren (TF) über Phosphorylierungskaskaden, vermitteln die Transkription verschiedener Abwehrgene im Nukleus (Mou *et al.*, 2003) und regen die Produktion von Phytoalexinen sowie weiteren

sekundären Metaboliten zur Pathogenabwehr an (Thoma *et al.*, 2003). Auch eine Interaktion mit Stickstoffmonoxid (NO), den Phytohormonen Salicylsäure und Auxin sowie die damit einhergehende Aktivierung weiterer Transkriptionsfaktoren und Abwehrmechanismen werden den ROS zugesprochen (Torres *et al.*, 2006). Der Oxidative Burst geht meist mit der Ausbildung der Hypersensitiven Reaktion (HR) einher. Hauptmerkmale der HR sind der lokale, programmierte Zelltod am Infektionsherd der zur Eindämmung der Pathogenausbreitung dient (Hückelhoven, 2007; Hofius *et al.*, 2011) sowie die Einleitung von systemisch aktivierter Resistenz (SAR; *systemic acquired resistance*), wodurch dem Organismus eine erhöhte Toleranz gegenüber Folgeinfektionen verliehen wird (Durrant & Dong, 2004; Vlot *et al.*, 2008). Einen Überblick über die zahlreichen Funktionen und Interaktionen von ROS gibt Abbildung 1-3.

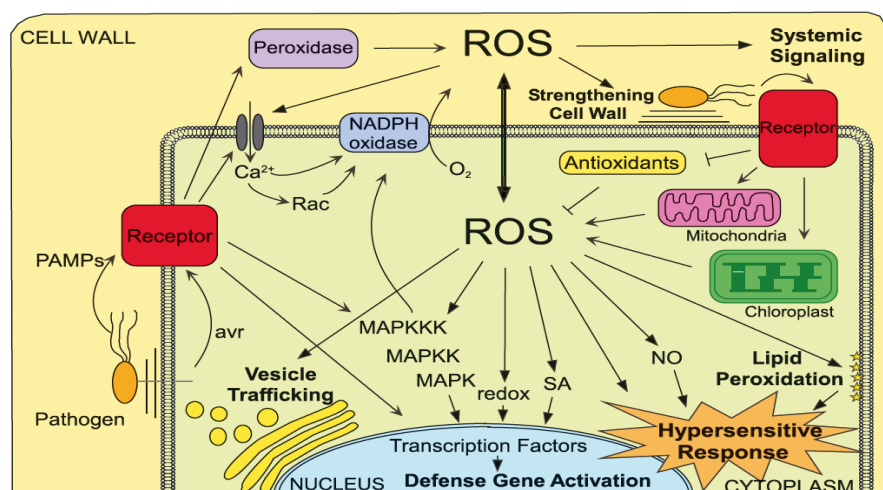


Abbildung 1-3 Schematische Darstellung ROS-gesteuerter Mechanismen (Torres, 2010).

Pathogenerkennung führt zu ROS-Produktion. ROS sind aufgrund ihrer toxischen Eigenschaften an der direkten Abwehr von Pathogenen beteiligt sowie an der Signalweiterleitung zur Aktivierung von Abwehrgenen und weiteren Mechanismen. Schwarze Pfeile zeigen Interaktionen zwischen ROS und verschiedenen Kompartimenten oder Signalmolekülen an.

ROS sind sowohl bei der Interaktion pflanzlicher Organismen mit biotischen als auch mit abiotischen Stressfaktoren beteiligt. Während die Produktion von ROS bei biotischem Stress durch verstärkte NADPH-Aktivität und Suppression antioxidativer Enzyme gefördert wird, werden ROS-Level bei abiotischem Stress durch erhöhte Aktivität von Antioxidantien unterdrückt (Mittler, 2002). Diese Diskrepanz beruht möglicherweise auf den unterschiedlichen Entstehungsorten der Sauerstoffspezies unter verschiedenen Stresseinflüssen (Mittler *et al.*, 2004). Die Rolle von ROS in der Kombination von biotischen und abiotischen Stressen bleibt somit offen.

1.5.1 PHYTOHORMONE IN DER STRESSADAPTION

Phytohormone sind chemische Botenstoffe, welche in verschiedenen Teilen der Pflanze gebildet und in andere Pflanzenkompartimente transloziert werden, wo sie bereits in geringsten Konzentrationen, analog zu tierischen Hormonen, eine essentielle Rolle in der Feinabstimmung des Wachstums, der Entwicklung und der Fortpflanzung spielen. Sie tragen eine Schlüsselrolle in der Regulation der pflanzlichen Immunabwehr gegenüber Schadinsekten, mikrobiellen Pathogenen und Symbionten. Die Signalwege der verschiedenen Phytohormone sind eng verknüpft und bilden ein komplexes Netzwerk, welches eine schnelle Reaktion auf diverse abiotische und biotische Reize ermöglicht (Fujita *et al.*, 2006; Pieterse *et al.*, 2009; Santner & Estelle, 2009). Salicylsäure (SA), Jasmonsäure (JA), weitere Jasmonate und Ethylen (ET) gelten als die wichtigsten Phytohormone in Bezug auf die Pathogenabwehr. Doch auch weitere Hormone wie die Abscisinsäure (ABA), Gibberelline (GA), Auxine, Cytokinine (CK) und Brassinosteroide (BR) sind wichtige Steuerelemente der pflanzlichen Immunantwort (Mauch-Mani & Mauch, 2005; Pieterse *et al.*, 2012). Dabei findet die Feinregulierung der verschiedenen Prozesse zum Erhalt der Balance zwischen Abwehr und Ressourcenschonung durch das synergistische und antagonistische Wirken der verschiedenen Hormone statt (Koorneef & Pieterse, 2008; Jaillais & Chory, 2010). Abbildung 1-4 stellt ein Modell positiver und negativer Interaktionen der wichtigsten Phytohormone dar.

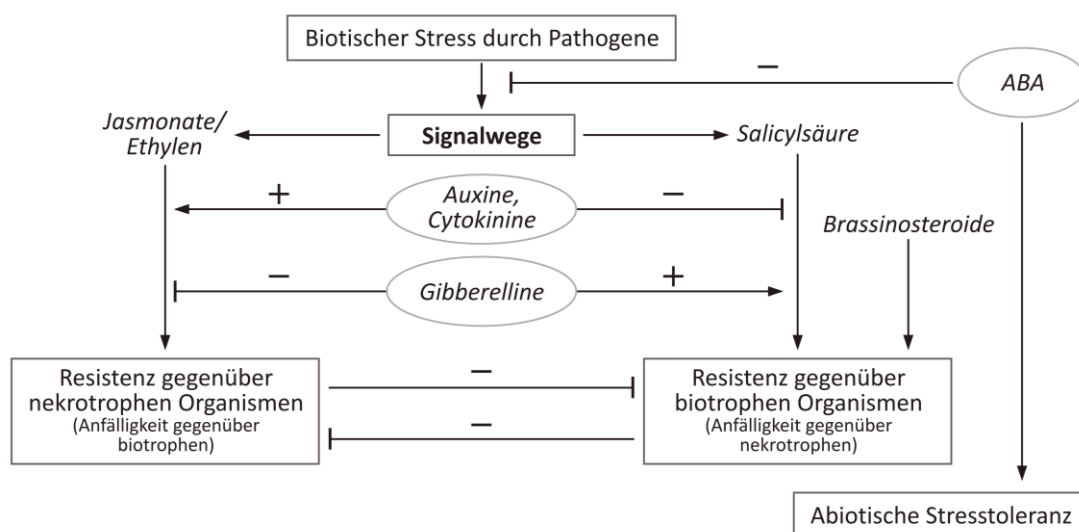


Abbildung 1-4 Mögliche Interaktionen zwischen Hormon-Signalwegen während Pflanze-Pathogen-Interaktionen. (nach Robert-Seilaniantz *et al.*, 2007)

Darstellung synergistischer (+) und antagonistischer (-) Interaktionen zwischen Phytohormonen in der Stressantwort.

Während die Toleranz gegenüber biotrophen und hemibiotrophen Organismen maßgeblich durch SA-induzierte Signalkaskaden reguliert wird, so ist die Abwehr nekrotropher Pathogene eng mit JA- und ET-induzierten Mechanismen verknüpft (Halim *et al.*, 2006). Wie bei jeder Regel, gibt es auch für diese Ausnahmen und die Toleranz gegenüber einzelnen nekrotrophen Pathogene wird über SA-vermittelte Signalwege gesteuert, ebenso wie die Abwehr bestimmter biotropher Schaderreger über JA-/ET-vermittelte Wege reguliert wird (Berrocal-Lobo *et al.*, 2002; Robert-Seilaniantz *et al.*, 2011). Die beiden JA-/ET- und SA-Signalwege stehen in einem antagonistischem Verhältnis zueinander und bilden zusammen das Grundgerüst pflanzlicher Abwehr (Spoel & Dong, 2008; Pieterse *et al.*, 2012).

In Bezug auf abiotische Stresstoleranz dominiert das Phytohormon Abscisinsäure, welches die Transpiration durch Stomataschluss reguliert und eine Vielzahl stressrelevanter Gene induziert (Glazebrook, 2005; Ton *et al.*, 2009). Erhöhte NaCl-Konzentrationen im Wurzelraum und die vermehrte Aufnahme von Ca^{2+} stehen im direkten Zusammenhang mit der Anreicherung von ABA in der Zelle (Chen *et al.*, 2001) und die ABA-Synthesemutanten *aba1*, *aba2* und *aba3* reagieren hypersensitiv auf erhöhte NaCl-Konzentrationen, Trockenheit und extreme Kälte (Llorente *et al.*, 2000; Xiong *et al.*, 2001). Die regulatorische Wirkung von ABA bezieht sich nicht nur auf abiotische Stressreaktionen, sondern beeinflusst durch die Interaktion mit SA, JA und ET auch die Toleranz gegenüber Pathogenen (Asselbergh *et al.*, 2008; Yasuda *et al.*, 2008; Cao *et al.*, 2011). Unter anderem vermindert ABA in Zitrusgewächsen die Produktion von Ethylen, wodurch die Abszission verhindert, die Einlagerung überschüssiger Ionen gewährleistet und somit die Salztoleranz verbessert wird (Gomez-Cadenas *et al.*, 2002). Der negative Einfluss von ABA auf JA und ET wurde auch von Anderson *et al.* (2004) postuliert. Mit Abscisinsäure behandelte *A. thaliana* zeigen eine Hemmung der Transkription JA- und ET-induzierter Abwehrgene, welche durch exogene Zugabe von Methyl-JA oder Ethylen nicht wiederhergestellt werden kann. Umgekehrt ist die Akkumulation von JA- und ET-induzierten Abwehrgenen in Abscisinsäure-Mutanten signifikant erhöht. Diese Beobachtungen deuten auf eine dominante Rolle der Abscisinsäure im hormonellen Netzwerk hin.

Durch die Hemmung der für Immunreaktionen relevanten Phytohormone erscheint ABA zunächst als negativer Regulator biotischer Stresstoleranz (Mauch-Mani & Mauch, 2005). Diese Sichtweise stellt sich jedoch bei näherer Betrachtung als unzureichend dar und neuere Studien weisen vermehrt auf synergistische und antagonistische Interaktionen zwischen abiotischen und biotischen Stressantworten hin, in denen ABA eine essentielle Rolle in der Feinregulierung zugesprochen wird (Asselbergh *et al.*, 2008; Ton *et al.*, 2009). Dabei kann ABA in Abhängigkeit des Wirtsorganismus, des Pathogens und des Infektionszeitpunktes als negativer oder positiver

Regulator der pflanzlichen Immunantwort fungieren. Die universelle Rolle der Abscisinsäure wird in einem Modell nach Ton *et al.* (2009) wiedergegeben (Abbildung 1-5).

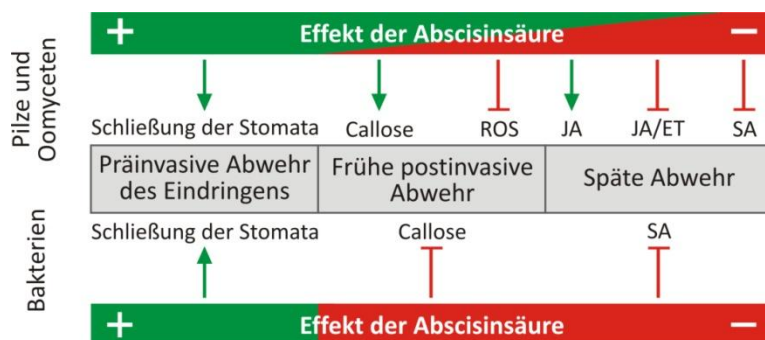


Abbildung 1-5 Komplexe Rolle der Abscisinsäure in der pflanzlichen Immunität. (nach Ton *et al.*, 2009)

In Abhängigkeit von der Art des Pathogens und dem Fortschritt der Invasion besitzt ABA entweder eine positive oder negative Rolle auf die Toleranz der Pflanze gegenüber Pathogenen. (ROS: Reaktive Sauerstoffspezies; JA: Jasmonsäure; ET: Ethylen; SA: Salicylsäure)

Während einer Infektion durch zum Beispiel *Pseudomonas syringae* (*Pto*) vermitteln ABA und SA die Schließung der Stomata und erschwert dadurch dem Bakterium das Eindringen in das Blatt. Dem wirkt *Pto* durch Sekretion eines Avirulenzfaktors, dem JA-Analoga Coronatin, entgegen (Melotto *et al.*, 2006; Schulze-Lefert & Robatzek, 2006). Coronatin begünstigt die bakterielle Infektion indem es die Suppression von SA vermittelt, was die Öffnung der Stomata bewirkt und unterbindet zusätzlich die Anreicherung von Callose (Geng *et al.*, 2012; Zheng *et al.*, 2012). Gleichzeitig trägt ABA durch die Suppression SA-vermittelter Resistenzmechanismen zur Verbesserung der postinvasiven Virulenz des Bakteriums bei (Yasuda *et al.*, 2008; Ton *et al.*, 2009).

1.5.2 TRANSKRIPTIONSFAKTOREN IN DER STRESSADAPTION

Transkriptionsfaktoren fungieren neben ROS oder Phosphorylierungskaskaden als wichtige Steuerelemente der Genexpression. Durch Bindung und Aktivierung von regulatorischen Elementen der DNA sind sie in der Lage die Transkription von Genen zu induzieren oder zu reprimieren (Agarwal & Jha, 2010). In der Datenbank PlantTFDB V2.0 (*plant transcription factor database*) werden bis dato alleine für *A. thaliana* 2023 Transkriptionsfaktoren aufgelistet, welche sich in 58 Familien unterteilen lassen. Für *Nicotiana tabacum* sind es 52 Familien bestehend aus 798 TFs (Zhang *et al.*, 2011). Eine Vielzahl von TFs ist an der Regulierung von Stressreaktionen in *A. thaliana* beteiligt. Die TFs lassen sich den 9 Familien *AP2/ERF*, *bZIP*, *bHLH*, *HB*, *HSF*, *MYB*, *MYC*, *NAC* und *WRKY* zuordnen, die sich in zahlreiche weitere Untergruppen unterteilen lassen (Shameer *et al.*, 2009; Singh *et al.*, 2011; Lindemose *et al.*, 2013). Laut STIFDB V2.0 (*stress responsive transcription factor database*) regulieren diese

stressresponsiven TFs 3150 verschiedene Gene (Naika *et al.*, 2013). In der Datenbank werden all jene Gene als in Stressadaptionen involviert aufgeführt, deren Promotoren bekannte *cis*-regulatorische Elemente aufweisen. Dabei interagieren TFs nicht nur direkt mit einzelnen Genen, sondern fungieren häufig als wichtige Knotenpunkte in regulatorischen Netzwerken und auch als Schnittstelle zwischen verschiedenen Signalwegen (Fujita *et al.*, 2006; Lindemose *et al.*, 2013) (Abbildung 1-6).

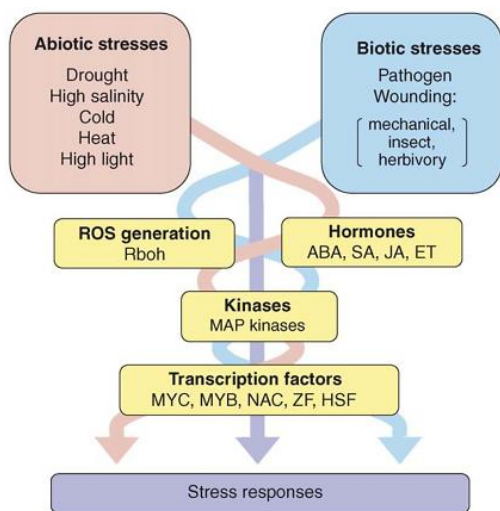


Abbildung 1-6 Stellung der Transkriptionsfaktoren in der Stressadaption. (Fujita *et al.*, 2006)

Transkriptionsfaktoren fungieren als wichtiges Bindeglied der Signalweiterleitung sowohl abiotischen als auch biotischen Stresses.

Die prominente Rolle einzelner TFs in Bezug auf die Stressadaption macht sie zu attraktiven Zielen genetischer Manipulationen zur Entwicklung toleranterer Kulturpflanzen. Ein Beispiel hierfür ist die durch genetische Überexpression (OE) der bZIP-TF *AREB1/ABF2*, *AREB2/ABF4* oder *ABF3* in *Arabidopsis* vermittelte ABA Hypersensitivität, wodurch die Transpirationsrate herabgesetzt und die Trockentoleranz verbessert wird (Kang *et al.*, 2002; Fujita *et al.*, 2005). Auch in Reis lässt sich die Sensitivität gegenüber ABA und damit einhergehend die Salz- und Trockentoleranz durch Überexpression eines TFs, dem *OsZIP23*, erhöhen (Xiang *et al.*, 2008). Durch den *Knockout* einzelner Faktoren kann die Stressadaption ebenfalls verbessert werden. So vermittelt die Hemmung von *AtbZIP24* in *A. thaliana* durch RNA-Interferenz eine verbesserte Toleranz gegenüber einem erhöhten NaCl-Level (Yang *et al.*, 2009a). Hu *et al.* (2013) postulierten das antagonistische Verhältnis von *WRKY8* und *VQ9* zur Feinregulierung physiologischer Vorgänge. *WRKY8* wird überwiegend in den Wurzeln exprimiert und fungiert als positiver Regulator von Salzstress. *Knockout*-Mutanten sind nicht nur hypersensitiv gegenüber Salz, sondern weisen auch eine verspätete Keimung und Entwicklung sowie verstärkte Chlorosenbildung auf. *VQ9* wird im Nucleus exprimiert und ist in der Lage mit *WRKY8* zu interagieren und mindert dadurch dessen DNA-Bindevermögen. Wird *VQ9* mutiert, ist das Protein nicht mehr in der Lage die Aktivität von *WRKY8* zu hemmen, was zu der Verbesserung der Salztoleranz führt.

Gentechnologische Manipulationen zur Verbesserung der Stresstoleranz im Feld gehen häufig auf Kosten der Entwicklung und des Ertrags (Xiao *et al.*, 2009; Yang *et al.*, 2010). Doch auch Mutationen, die sowohl das Wachstum, als auch die Adaption an Stresssituationen verbessern wurden bereits postuliert. Durch Überexpression des TF *HRD* in *Arabidopsis* und Reis gelang es Karaba *et al.* (2007) Pflanzen mit verbesserter Salz- und Trockentoleranz zu schaffen, die gleichzeitig dickere Blätter, mit mehr Chloroplasten, kräftigere Wurzeln und insgesamt mehr Biomasse besitzen.

Eine gleichzeitige Beteiligung an der Bewältigung verschiedener Stressfaktoren konnte für mehrere Transkriptionsfaktoren gezeigt werden. So sind die beiden TFs *WRKY25* und *WRKY33* sowohl in der Adaption an Umweltfaktoren als auch in der pflanzlichen Immunität von *A. thaliana* involviert. Werden die beiden im Nukleus exprimierten TTGACC W-Box bindenden Proteine überexprimiert, führt dies zu einer erhöhten Salztoleranz und ABA-Sensitivität (Jiang & Deyholos, 2009). Gleichzeitig begünstigt eine erhöhte *WRKY25*- oder *WRKY33*-Akkumulation die Pathogenität des biotrophen Bakteriums *Pto* pv. *maculicola*, welche sich auf ein stark reduziertes PR1-Level zurückführen lässt (Zheng *et al.*, 2006). *WRKY33* ist an der Regulation der Abwehrmechanismen, gegenüber den nekrotrophen Ascomyceten *Botrytis cinerea* und *Alternaria brassicicola* beteiligt (Birkenbihl *et al.*, 2012). Während die Überexpression von *WRKY33* zu Toleranz führt, weist die *Knockout*-Mutante *wrky33* eine höhere Anfälligkeit gegenüber diesen beiden Pathogenen auf (Zheng *et al.*, 2006; Lippok *et al.*, 2007). Die Resistenz der Überexpressions- oder T-DNA-Insertionslinien von *WRKY25* hingegen ist gegenüber den beiden untersuchten Ascomyceten unverändert (Zheng *et al.*, 2007).

Auch für die TFs *WRKY18*, *WRKY40* und *WRKY60* wurden Interaktionen untereinander sowie eine Beteiligung an verschiedenen ABA-regulierten Stressadaptionen und in der Pathogenabwehr postuliert. Analysen verschiedener *Knockout*-Allele und Überexpressions-Linien deuten auf einen positiven Einfluss der untersuchten *WRKYs* auf JA-vermittelte Resistenz und einen negativen Einfluss auf SA-vermittelte Resistenz hin (Xu *et al.*, 2006; Chen *et al.*, 2010).

Ein weiteres gut untersuchtes Beispiel eines TFs, der in verschiedene Stressreaktionen involviert ist, ist der NAC-artige TF *ATAF1* in *A. thaliana*. Trockenheit, hohe Salzgehalte, ABA, Me-JA, mechanische Verwundung oder *B. cinerea*-Infektion führen zur einer Erhöhung des *ATAF1*-Levels. Wobei die erhöhte Expression von *ATAF1* in der ABA-Mutante *aba2* durch Trockenheit oder Salz auf einen ABA-unabhängigen Expressionsmechanismus schließen lässt (Wu *et al.*, 2009). Während die *ataf1*-Mutanten in allen Belangen weitgehend dem WT entsprechen, weisen *ATAF1-OE* Linien einen stark veränderten Phänotypen auf. Dieser zeichnet sich durch zwergenhaftes Wachstum, rundere, hellere Blätter sowie kürzere Wurzel aus. Zudem reagieren *ATAF1-OE* sensitiver auf ABA, Salz oder oxidativen Stress, weisen jedoch eine

stark erhöhte Trockenstresstoleranz auf (Lu *et al.*, 2007; Wu *et al.*, 2009). Gleichzeitig ist die Resistenz von *ATAF1-OE* gegenüber dem nekrotrophen Ascomyceten *B. cinerea* und dem hemibiotrophen Bakterium *Pto* signifikant vermindert, was konform geht mit einem verminderten *ATAF1*-Level im WT nach Pathogeninfektion, SA- oder JA-Behandlung (Wang *et al.*, 2009a).

In Tomate (*Solanum lycopersicum*) wurde der MYB-TF *AIM1* als ein wichtiger Regulator ABA-vermittelter Stressadaptation sowohl als Antwort auf abiotische als auch auf biotische Reize identifiziert (AbuQamar *et al.*, 2009). Die ektopische Expression des Transkriptionsfaktors vermittelt Tomatenpflanzen Toleranz gegenüber erhöhten NaCl-Konzentrationen und oxidativem Stress. Wohingegen Pflanzen deren *AIM1*-Akkumulation durch RNA-Interferenz gestört ist, sensibler gegenüber Salz oder oxidativem Stress sind und eine höhere Anfälligkeit gegenüber *B. cinerea* aufweisen (AbuQamar *et al.*, 2009).

Die omnipotente Rolle von Transkriptionsfaktoren in verschiedenen Organismen sowohl in der abiotischen Stressadaptation, als auch in der Abwehr von Pathogenen, macht sie zu einem vielversprechenden Forschungsgebiet in Hinblick auf die Verbesserung von Kulturpflanzen.

1.6 STRESSKOMBINATION

Pflanzen werden in ihrer natürlichen Umgebung und auch im Feldbau mit verschiedensten stressinduzierenden Bedingungen gleichzeitig konfrontiert. Dabei sind sie häufig simultan suboptimalen Umweltbedingungen und der Bedrohung durch Pathogene ausgesetzt, wodurch sie nicht ihre volle Produktivität erlangen können (Rockstrom & Falkenmark, 2000). Antagonistische Effekte zwischen biotischen und abiotische Signalwegen wurden bereits mehrfach dokumentiert (Anderson *et al.*, 2004; Asselbergh *et al.*, 2008). Eine steigende Anzahl molekularer Studien, Versuche im Feld oder unter kontrollierten Laborbedingungen weisen darauf hin, dass die Kombination verschiedener Stressfaktoren in den Pflanzen spezifische, einzigartige Stressantworten auslöst, welche sich nicht durch einfache Addition der Einzelstresse erklären lassen (Rizhsky *et al.*, 2004; Mittler, 2006). In Hinblick auf das komplexe Zusammenspiel stressinduzierter Mechanismen mag das Verständnis einzelner Stressreaktionen, unter ansonsten optimalen Umweltbedingungen, nur die Spitze des Eisbergs zur Klärung der pflanzlichen Stressadaptation sein.

Auch wenn sich vermehrt mit der Kombination von Stressen befasst wird, so ist dieses Forschungsfeld noch sehr lückenhaft und bisher unzureichend untersucht. Mittler & Blumwald (2010) fassten die Studien zu diversen Stresskombinationen in Matrizenform zusammen, welche in Abbildung 1-7 wiedergegeben wird.

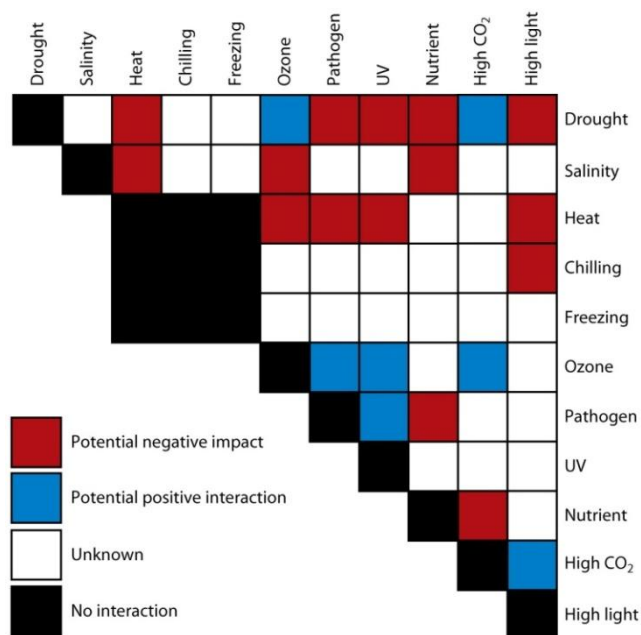


Abbildung 1-7 Stress-Matrix. (Mittler & Blumwald, 2010)

Verschiedene Kombinationen potentieller Stressfaktoren mit denen Kulturpflanzen im Feld konfrontiert sind werden in einer Matrix dargestellt. Die Färbung der Quadrate gibt wieder, ob Untersuchungen zu den einzelnen Kombinationen existieren und welchen Einfluss sie auf das pflanzliche Wachstum und den Ertrag haben.

15 der möglichen 52 Interaktionen wirken sich negativ und nur 7 positiv auf die Leistung der Pflanzen aus. Zu den übrigen möglichen Interaktionen existieren bislang keine Ergebnisse. Die Adaption an einzelne Stresssituationen verläuft häufig kontraproduktiv und geht meist auf Kosten der Toleranz gegenüber anderer Stressfaktoren. Beispiel hierfür sind die vergleichsweise gut untersuchten Auswirkungen von Trockenheit in Verbindung mit Hitze auf den pflanzlichen Organismus. Unter hoher Hitzeeinwirkung werden zur Kühlung des Blattes die Stomata geöffnet, dies führt jedoch zu großen Wasserverlusten, was insbesondere bei Trockenheit für die Pflanze nachteilig ist (Rizhsky *et al.*, 2004). Laut Mittler (2006) beliefen sich die finanziellen Einbußen durch Trockenheit in den Jahren 1980 bis 2004 in den USA auf 20 Mrd. US-Dollar. Die Verluste, die aufgrund der Kombination von Hitze und Trockenheit verursacht wurden, beliefen sich in diesem Zeitraum sogar auf 120 Mrd. US-Dollar. Dies weist auf eine starke gegenseitige Beeinflussung der beiden Stressfaktoren hin. Eine Analyse des Transkriptoms von *A. thaliana* unter Hitzeeinwirkung, Trockenstress oder der Kombination beider Faktoren zeigte, dass etwa die Hälfte der Transkriptionsänderungen unter kombiniertem Stress einzig bei gleichzeitiger Hitze und Trockenheit auftreten (Rizhsky *et al.*, 2004). Auch Prasch & Sonnewald (2013) identifizierten mehrere Gene welche spezifisch durch die Kombination von Hitze, Trockenheit und Virusinfektion in ihrer Expression beeinflusst werden und konnten so zeigen, dass durch Kombination verschiedener Stresse einzigartige Transkriptomänderungen stattfinden. Temperaturschwankungen bewirken zudem eine veränderte Pathogenität von Bakterien, Pilzen, Viren und Insekten (Wang *et al.*, 2009b).

Sowohl stark erhöhte Temperaturen (Dropkin *et al.*, 1969; Luck *et al.*, 2011; Madgwick *et al.*, 2011) als auch sehr niedrige Temperaturen (Szittyá *et al.*, 2003) können die Resistenz gegenüber Pathogenen negativ beeinflussen.

Den positiven Einfluss einer mechanischen Verwundung auf die Salztoleranz von Tomaten postulierten Capiati *et al.* (2006) und brachten dies in Zusammenhang mit der durch die Verwundung hervorgerufene JA-Biosynthese und einem Calmodulin-abhängigen Signalweg.

Die Steuerung pflanzlicher Stressanpassungen durch die Aktivierung stressresponsiver Gene mittels TFs, sowohl unter einzeln auftretendem Stress als auch in der Bewältigung multipler Stressfaktoren in Kombination, bestärkt die zentrale Stellung der TFs im komplexen, regulatorischen Netzwerk der Stressadaptation.

1.7 ZIELE DER ARBEIT

Die Adaption pflanzlicher Organismen auf multiple Stressfaktoren ist spezifisch für die jeweilige Kombination und keine einfache Addition der einzelnen Stressreaktionen (Rizhsky *et al.*, 2004; Mittler, 2006; Rasmussen *et al.*, 2013). Die Untersuchung des Einflusses milden Salzstresses auf die Wirts-Pathogen-Beziehung von *A. thaliana* und biotrophen oder nekrotrophen Phytopathogenen war Hauptziel dieser Arbeit. Das Projekt war Teil des DFG-geförderten trilateralen Kooperationsprojektes zwischen Deutschland, Israel und Palästina unter der Schirmherrschaft von Prof. Dr. Dorothea Bartels (Universität Bonn), mit dem Titel „Entwicklung neuer Strategien zur Modulierung multifaktorielle pflanzliche Stresstoleranz durch Manipulierung von Schlüsselfaktoren biotischer und abiotischer Signalwege“.

Die Reaktionen der *A. thaliana*-Pflanzen bedingt durch den abiotischen und biotischen Stress wurden auf physiologischer, histologischer und auf molekularbiologischer Ebene betrachtet.

2 MATERIAL

2.1 CHEMIKALIEN

Die verwendeten Chemikalien und Bezugsquellen sind in Tabelle 2-1 aufgeführt.

Tabelle 2-1 Verwendete Chemikalien.

Chemikalien	Hersteller bzw. Lieferant
Antibiotika	Carl Roth (Karlsruhe), Duchefa (Haarlem, NL), Sigma-Aldrich (Taufkirchen)
Antikörper	Sigma-Aldrich (Taufkirchen)
Nitrocellulose Membranen	GE-Healthcare (München)
Nukleinsäure modifizierende Enzyme und Desoxyribonukleosidtriphosphate	Fermentas (St. Leon-Roth), Invitrogen (Carlsbad, USA), Life Technologies (Darmstadt), New England Biolabs (Beverly, USA)
Oligonukleotide	Eurofins MWG Operon (Ebersberg)
Organische Lösungsmittel	Carl Roth (Karlsruhe), Thermo Fisher Scientific (Waltham, USA), Merck (Darmstadt), Sigma-Aldrich (Taufkirchen)
Protease-/Phosphataseinhibitoren	Roche (Grenzbach)
Standardlaborchemikalien	AppliChem (Darmstadt), Carl Roth (Karlsruhe), Fluka (Buchs, CH), Roche (Grenzbach), Serva (Heidelberg), Sigma-Aldrich (Taufkirchen), Thermo Fisher Scientific (Waltham, USA)

2.2 MEDIEN UND ANTIBIOTIKA

Die verwendeten Medien (siehe Tabelle 2-2) wurden für 20 min bei 121 °C durch autoklavieren sterilisiert und nach dem Abkühlen auf etwa 50 °C gegebenenfalls mit entsprechenden Antibiotika (siehe Tabelle 2-3) versetzt.

Tabelle 2-2 Verwendete Medien.

Medium	Zusammensetzung
Biomalz Pepton Medium (BMP)	20 g/L Biomalz, 2 g/L Pepton, 20 g/L Select-Agar
Kings Medium B (Kings B)	20 g/L Glycerin, 40 g/L Proteose-Pepton 3 Nach dem autoklavieren 10 ml/L 10 % (w/v) K ₂ HPO ₄ und 10 ml/L 10 % (w/v) MgSO ₄ (beides sterilert) zugeben
Lysogeny broth, Typ Lennox (LB)	10 g/L Bacto-Trypan, 5 g/L Bacto-Hefeextrakt, 5 g/L NaCl ggf. 15 g/L Bacto-Agar
½ Murashige-Skoog Medium (MS)	2,2 g/L MS-Salze, pH 5,7 (KOH) ggf. 8 g/L Select-Agar
Potato dextrose broth (PDB)	24 g/L PDB pH 5,8 (NaOH) ggf. 15 g/L Select-Agar

Tabelle 2-3 Verwendete Antibiotika.

Antibiotikum	Endkonzentration	Lösungsmittel
Ampicillin	50,0 µg/ml	Wasser
Cyclohexamid	50,0 µg/ml	Wasser
Kanamycin	50,0 µg/ml	Wasser
Rifampicin	50,0 µg/ml	Methanol
Spectinomycin	50,0 µg/ml	Wasser
Sulfadiazin	5,25 µg/ml	Methanol
Tetracyclin	25,0 µg/ml	Ethanol

2.3 OLIGONUKLEOTIDE

In Tabelle 2-4 sind die im Rahmen dieser Arbeit verwendeten Oligonukleotide aufgeführt.

Tabelle 2-4 Verwendete Oligonukleotide.

Primer	AGI	Sequenz (5'-3')	Zweck
Ab_5.8S_qF	5.8S rDNA	ACAATATGAAAGCGGGCTGG	qPCR
Ab_5.8S_qR	5.8S rDNA	AAGACGCCAACACCAAGCA	qPCR
At_ABA1_qF	At5g67030	GCCACCTAGTTGCAGACTCACT	qPCR
At_ABA1_qR	At5g67030	TCGTCGCCGTGTGGAATTAGATA	qPCR
At_ABI5_qF	At2g36270	GCGGAGTTGAGAGGAAGAG	qPCR
At_ABI5_qR	At2g36270	AATGTCCGCAATCTCCCGTT	qPCR
At_DREB1a_qF	At4g25480	CACGGCGAACAGAGCGAAAA	qPCR
At_DREB1a_qR	At4g25480	CTGTACGGACGGAAGCGGCAAA	qPCR
At_eF1a_qF	At1g07920/30/40	GAGGCAGACTGTTGCAGTCG	qPCR
At_eF1a_qR	At1g07920/30/40	TCACTTCGCACCCTTCTTGA	qPCR
At_EF1a-as	At1g07920/30/40	TTGATCTGGTCAAGAGCCTCAAG	qPCR
At_EF1a-s	At1g07920/30/40	TCACATCAACATTGTGGTCATTGG	qPCR
At_ERF1_qF	At3g23240	CGAGAAGCTCGGGTGGTAGT	qPCR
At_ERF1_qR	At3g23240	GCCGTGCATCCTTTTCC	qPCR
At_FRK1_qF	At2g19190	AGCGGTCAGATTTCAACAGT	qPCR
At_FRK1_qR	At2g19190	AAGACTATAAACATCACTCT	qPCR
At_HAI2_qF	At1g07430	GGCGTTTTAGCCATGTCACG	qPCR
At_HAI2_qR	At1g07430	TCTTCTCAGTCCGATCCGT	qPCR
At_JR3_qF	At1g51760	TATCACAAGGCAAGCGAGCG	qPCR
At_JR3_qR	At1g51760	GCTTTGTCATTTACAGTTGGTGGG	qPCR
At_OPR3_qF	At2g06050	GGCACCATGGTCTCTCCCGGAT	qPCR
At_OPR3_qR	At2g06050	ACCTCCCTTAGCGTGAAGTCTTC	qPCR
At_PR1_qF	At2g14610	GTGGGTTAGCGAGAAGGCTA	qPCR
At_PR1_qR	At2g14610	ACTTTGGCACATCCGAGTCT	qPCR
At_SOS1_qF	At2g01980	TGCTGAAGGCATTCTCGACAGTG	qPCR
At_SOS1_qR	At2g01980	ACTGCGCCCTCAAACCAGA	qPCR
At_WRKY17_qF	At2g24570	GCAAGATCTCTGGCTCCGGCAA	qPCR
At_WRKY17_qR	At2g24570	GGCGATCTTTCACCTTACCGCCG	qPCR
At_YLS4_qF	At5g11520	CCGGTGGTTCTGTTTTCTCTC	qPCR
At_YLS4_qR	At5g11520	TCAGCTTAACTGGGCTAGGATC	qPCR
Bc_actin_qF	BC1G_08198	CCTCACGCCATTGCTCGTGT	qPCR

Primer	AGI	Sequenz (5'-3')	Zweck
Bc_actin_qR	BC1G_08198	TTTCACGCTCGGCAGTGGTGG	qPCR
Oligo-dT		TTTTTTTTTTTTTTTTTTTT(AGC)	
MYB112_2F	At1g48000	TGGAATCCCTCTCTCGTTCTGCT	Genotypisierung
MYB112_2R	At1g48000	TGGACACTTTGAGTGGCGGCG	Genotypisierung
MYB112_3post_R	At1g48000	AGGGATATGTCTCCACGGCGGA	Genotypisierung
MYB112_3pre_F	At1g48000	TGTGACGTGAACAGCAAGCAATTCA	Genotypisierung
MYB112_F	At1g48000	GGACTGTGGAAGAAGACATGAAGCTCG	Genotypisierung
MYB112_F	At1g48000	GGACTGTGGAAGAAGACATGAAGCTCG	Genotypisierung
MYB112_R	At1g48000	TTGATGACGTGGCGGTGGCG	Genotypisierung
MYB112_R	At1g48000	TTGATGACGTGGCGGTGGCG	Genotypisierung
MYB51_2F	At1g18570	ACCGCCACGGTGAAGGTGGA	Genotypisierung
MYB51_2R	At1g18570	ACCGGCGTCACATCAACGACG	Genotypisierung
MYB51_3post_F	At1g18570	TCTGCCATGGGACCGTTGCA	Genotypisierung
MYB51_3pre_R	At1g18570	AGCAGACCATTTGTTGCCGTGAA	Genotypisierung
WRKY25_2F	At2g30250	TGTTGAGACGGCTTCTGATGGACAG	Genotypisierung
WRKY25_2R	At2g30250	CGACGTAGCGGTTGGGAT	Genotypisierung
Sail_Lba	T-DNA Sail-Linie	GCTTCTATTATATCTTCCCAAATTACC	Genotypisierung
Salk_Lba	T-DNA Salk-Linie	TGGTTCACGTAGTGGGCCATCG	Genotypisierung
Wisc-Lba (p745)	T-DNA Wisc-Linie	TCCGCAATGTGTTATTAAGTTGTC	Genotypisierung
pEattR2-GW_R		CGTATGGATAACCCCATCAACCAC	Indent. AtTORF
Xhol-HA-GW_F		ACTCGAGAACAATGGCATACCCATACGAC GTTCC	Indent. AtTORF
pCR8 M13_F	pCR8-Vektor	GGTTTTCCAGTCACGACGTTGT	Klonierung
pCR8 M13_R	pCR8-Vektor	CAGGAAACAGCTATGACC	Klonierung

2.4 PFLANZEN

Alle Experimente wurden mit dem Ökotypen *Arabidopsis thaliana* Columbia-0 (Col-0) oder mit transgenen Linien dieses Ökotypen durchgeführt. Die verwendeten T-DNA-Insertionslinien stammten vom Nottingham *Arabidopsis* Stock Center (NASC; Scholl *et al.*, 2000). Die AtTORF-Ex-Kollektion bestehend aus Überexpressionslinien verschiedener Transkriptionsfaktoren wurde von Prof. Dr. W. Dröge-Lasers Labor bereitgestellt (Weiste *et al.*, 2007). Verwendete Genotypen werden in Tabelle 2-5 zusammengefasst.

Tabelle 2-5 **Verwendete *A. thaliana* Linien.**

Bezeichnung	Linie	AGI
Col-0	Columbia 0	
<i>myb51_1</i>	T-DNA	At1g18570
<i>myb51_2</i>	T-DNA	At1g18570
<i>myb112</i>	T-DNA	At1g48000
<i>wrky25</i>	T-DNA	At2g30250
<i>WRKY75-OE</i>	Überexpression	At5g13080

2.5 BAKTERIEN- UND PILZSTÄMME

Verwendete Bakterien- bzw. Ascomycetenstämme werden in Tabelle 2-6 & Tabelle 2-7 aufgelistet.

Tabelle 2-6 Verwendete Bakterienstämme.

Spezies	Stamm	Genotyp
<i>Agrobacterium tumefaciens</i>	GV3103::pMP90	T-DNA ⁻ , vir ⁺ Rif ^r , pMP90 gen ^r
<i>Escherichia coli</i>	DH5α	F ⁻ Φ80 <i>lacZ</i> ΔM15 Δ(<i>lacZYA-argF</i>) U169 <i>recA1 endA1 hsdR17</i> (rK ⁻ , mK ⁺) <i>phoA supE44 λ- thi-1 gyrA96 relA1</i>
	DH5α <i>ccdB</i>	F ⁻ <i>mcrA</i> Δ(<i>mrr-hsdRMS-mcrBC</i>) Φ80 <i>lacZ</i> ΔM15 Δ <i>lacX74 recA1 ara</i> Δ139 Δ(<i>ara-leu</i>)7697 <i>galU galK rpsL</i> (Str ^R) <i>endA1 nupG fhuA::IS2</i>
	One Shot TOP10-T1R ¹	F ⁻ <i>mcrA</i> Δ(<i>mrr-hsdRMS-mcrBC</i>) Φ80 <i>lacZ</i> ΔM15 Δ <i>lacX74 recA1 ara</i> Δ139 Δ(<i>ara-leu</i>)7697 <i>galU galK rpsL</i> (Str ^R) <i>endA1 nupG</i>
	One Shot Mach1™-T1R ¹	F ⁻ Φ80 <i>lacZ</i> ΔM15 Δ <i>lacX74 hsdR</i> (rK ⁻ , mK ⁺) Δ <i>recA1398 endA1 tonA</i>
<i>Pseudomonas syringae</i>	pv. <i>tomato</i> DC3000	Rif ^r
	pv. <i>tomato</i> DC3000 <i>avrRPM1</i>	Rif ^r , Tet ^r

¹Invitrogen.

Tabelle 2-7 Verwendete Ascomyceten.

Spezies	Stamm
<i>Alternaria brassicicola</i> ¹	MUCL 2029
<i>Botrytis cinerea</i> ¹	B05-10

¹Kemmerling *et al.* (2007)

2.6 VEKTOREN

Die verwendeten Vektoren werden in Tabelle 2-8 zusammengefasst.

Tabelle 2-8 Verwendete Vektoren.

Vektor	Verwendung	Eigenschaft
pCR8/GW/TOPO ¹	T/A-Klonierung	<i>attL1, attL2, rrnB_T1, rrnB_T2</i> , TOPO recognition site 1, TOPO recognition site 2, T7_promoter, Spn ^r , pUC origin
pK7WGF2.0 ²	binärer Expressionsvektor für N-terminale GFP-Fusion in Pflanzen	p35S, t35S, eGFP, attR1, attR2, <i>ccdB</i> , Cm ^r , Kan ^r , Sm/Sp

¹Invitrogen ²Karimi *et al.* (2002), VIB Ghent

3 METHODEN

3.1 ANZUCHT VON PFLANZEN

Arabidopsis thaliana Anzucht erfolge unter Kurztagbedingungen (8 h Licht/16 h Dunkelheit) in dampfsterilisierter GS90 Erde (Gebr. Patzer), versetzt mit Vermikulit. Für Keimlingsversuche wurden Samen über 4 h mit Chlorgas (50 ml NaClO; 1,5 ml 37 % HCl) dampfsterilisiert und in Petrischalen mit sterilem ½ MS-Agar unter Langtagbedingungen (16 h Lin einem Exsikkator cht/8 h Dunkelheit) angezogen. In beiden Fällen erfolgte die Kultivierung bei 22 °C, 150 µmol/m²s Lichtintensität und 40-60 % Luftfeuchtigkeit. Zur Stratifikation wurden die Samen 2 Tage lang Dunkelheit und einer Temperatur von 4 °C ausgesetzt.

3.2 ANZUCHT DER MIKROORGANISMEN

3.2.1 BAKTERIENANZUCHT

Agrobacterium tumefaciens wurde auf LB-Agar bei 28 °C oder in LB-Medium bei 28 °C und 180 rpm für 1-2 Tage inkubiert. Die Selektion des Bakteriums erfolgte durch Zugaben von Rifampicin und vektorspezifischem Antibiotikum (2.2).

Escherichia coli wurde auf LB-Agar bei 37 °C oder in LB-Medien bei 37 °C und 180 rpm über Nacht kultiviert. Entsprechend den auf den Plasmiden (2.6) codierenden Resistenzen wurden Antibiotika zur Selektion zugeben.

Pseudomonas syringae pv. *tomato* Stämme wurden auf King's B-Agar, LB-Agar oder flüssigem LB-Medium bei 28 °C für 24-48 h inkubiert. Den Medien wurde entsprechend den verwendeten Stämmen (2.5) Antibiotika zugesetzt.

3.2.2 ASCOMYCETENANZUCHT UND SPORENERNTE

Die Anzucht und Gewinnung von Sporen der verwendeten Ascomyceten *Alternaria brassicicola* und *Botrytis cinerea* erfolgte nach einer beschriebenen Methode von Kemmerling *et al.* (2007). Dabei wurden die Pilze auf entsprechenden Medien bis zur Sporulation kultiviert. Die Pilzplatten wurden mit 10 ml ddH₂O und 0,1 % (v/v) Tween 20 überschichtet. Anschließend wurden die Sporen mit einem sterilen Spatel abgekratzt und durch einen Filter mit der Porengröße 40 µm gefiltert. Die gewonnenen Sporen wurden für 15 min und 4000 rpm zentrifugiert und das so erhaltene Pellet 2-mal mit ddH₂O gewaschen, bevor es in 10 ml ddH₂O resuspendiert wurde. Die Dichte der Sporensuspension wurde unter Verwendung einer Fuchs-Rosenthal-Zählkammer ermittelt und mit einer 25 %igen (v/v) Glycerinlösung auf die gewünschte Konzentration eingestellt. Die Lagerung erfolgte bei -80 °C.

3.3 MOLEKULARBIOLOGISCHE METHODEN

3.3.1 PRÄPARATION UND ANALYSE VON NUKLEINSÄUREN

3.3.1.1 ISOLATION GENOMISCHER DNA AUS PFLANZENMATERIAL

Die Isolierung genomischer DNA aus *A. thaliana* zu Genotypisierungszwecken erfolge nach einer von Edwards *et al.* (1991) zuvor beschriebenen Methode. Die Resuspendierung des hierbei gewonnenen DNA-Pellets erfolgte mit 50-100 µl ddH₂O über Nacht bei 4 °C.

Die Isolierung genomischer DNA aus mit Mikroorganismen infiziertem Pflanzenmaterial erfolgte nach einer modifizierten Methode von Edwards *et al.* (1991). Nach der Homogenisierung des infizierten Pflanzenmaterials (etwa 200 mg) in Edwards-Puffer (200 mM Tris/HCl, pH 7,5; 250 mM NaCl; 25 mM EDTA, pH 8,0; 0,5 % SDS (w/v)) erfolgte eine Phenol/Chloroform/Isoamylalkohol (PCI)-Extraktion. Hierzu wurde das Homogenisat mit 1 Vol PCI (25:24:1 (v/v)) versetzt, sorgfältig gemischt und zur Phasentrennung 10 min bei 13 000 *rpm* und 4 °C zentrifugiert. Die DNA-haltige, wässrige Phase wurde abgenommen und die DNA durch Zugabe von 1 Vol Isopropanol präzipitiert. Durch 10 min Zentrifugation bei 13 000 *rpm* und 4 °C wurde die DNA pelletiert. Das Pellet wurde in 400 µl 70 % (v/v) Ethanol gewaschen und nach Abnahme des Ethanols luftgetrocknet. Das DNA-Pellet wurde in 50-100 µl ddH₂O über Nacht bei 4 °C oder alternativ 10 min bei 65 °C gelöst und bei 4 °C gelagert.

3.3.1.2 PLASMIDISOLATION AUS *ESCHERICHIA COLI*

Plasmid DNA wurde unter Verwendung des *GeneJET Plasmid Miniprep Kit* (Thermo Fisher Scientific) nach Herstellerangaben isoliert.

3.3.1.3 ISOLATION VON RNA AUS PFLANZENMATERIAL

Die Isolation von RNA aus *A. thaliana* erfolgte nach einem Standardprotokoll von Chomczynski & Sacchi (1987). Jeweils 2 in flüssigem Stickstoff tiefgefrorene Blätter wurden homogenisiert und mit 1 ml Trizol (0,4 M Ammoniumthiocyanat; 0,8 M Guanidiniumthiocyanat; 0,1 M Natriumacetat; 5 % (w/v) Glycerin; 38 % (v/v) Aqua-Phenol) versetzt. Nach 10 min Inkubation wurden 200 µl Chloroform zugesetzt, gründlich vermischt und für weitere 10 min bei RT inkubiert. Das Gemisch wurde zentrifugiert und die wässrige obere Phase in einem neuen Reaktionsgefäß mit 1 Vol Isopropanol zur Fällung der RNA versetzt. Nach halbstündiger Inkubation wurde das Gemisch erneut zentrifugiert, der Überstand verworfen und das gewonnene Pellet mit 70 %igem (v/v) Ethanol gewaschen und anschließend luftgetrocknet. Das trockene Pellet wurde in 50 µl ddH₂O gelöst und bei -80 °C gelagert. Alle Zentrifugationsschritte wurden für 10 min bei 14 000 *rpm* und 4 °C durchgeführt. Für die Isolation von RNA

aus Keimlingen wurden mindestens 3 Keimlinge pro Probe verwendet und nur $\frac{1}{5}$ der oben genannten Volumina. Um eine verbesserte Phasentrennung nach Trizolzugabe zu erlangen, wurden für Proben, welche für Transkriptomanalysen vorgesehen waren, zusätzlich Phase Lock Gel™ Heavy Reaktionsgefäße (5Prime, Hamburg) verwendet.

3.3.1.4 BESTIMMUNG DER NUKLEINSÄUREKONZENTRATION

Die Bestimmung der Nukleinsäurekonzentrationen erfolgte unter Verwendung eines *NanoDrop* 2000 Spektralphotometers und der *NanoDrop* Software (beides Thermo Fisher Scientific).

3.3.1.5 AGAROSE-GELELEKTROPHORESE

Die zu analysierende DNA wurde mit Ladepuffer (5 % (w/v) Glycerin; 5 mM EDTA; 1 mM Tris/HCl pH 7,5; 0,025 % (w/v) Orange G) versetzt. Die Auftrennung erfolgte in 1-1,8 %igen TAE-Agarosegelen (4 mM Tris/Acetat; 1 mM EDTA pH 8,0; 1-1,8 % (w/v) Agarose), gepuffert in TAE-Puffer (4 mM Tris/Acetat; 1 mM EDTA pH 8,0). Zur Detektion der Nukleinsäuren wurden die Agarosegele mit 0,5 µg/ml Ethidiumbromid versetzt. Als Größenstandard wurde der *1 kb Gene Ruler* (Thermo Fisher Scientific) verwendet. Zur Visualisierung wurde ein UV-Transilluminator mit *Invinity-Capt 14.2 Software* (beides Peqlab) eingesetzt.

3.3.1.6 AUFREINIGUNG VON DNA-FRAGMENTEN

Die Aufreinigung von DNA-Fragmenten aus Agarosegelen erfolgte durch die Verwendung des *GeneJet™ Gel Extraction Kits* (Thermo Fisher Scientific) nach Herstellerangaben. Aus PCR-Reaktionen (3.3.2.1) wurden DNA-Fragmente mittels des *High Pure PCR Product Purification Kit* (Roche) nach Herstellerangaben isoliert.

3.3.1.7 SEQUENZIERUNG VON DNA

Die Sequenzen von DNA-Fragmenten aus PCR-Reaktionen (3.3.2.1) oder Restriktionsverdauen (3.3.2.6) wurden unter Verwendung des *GATC light run Services* ermittelt. Hierzu wurde eine DNA-haltige Probe, versetzt mit einem entsprechenden genspezifischem Oligonukleotid, zur Analyse an GATC (Konstanz) eingeschickt. Die erhaltenen Daten wurden mit den Programmen *CLC Main Workbench 6.6.2* (CLC bio), *EditSeq 5.0* (StarDNA) sowie der Datenbank des *National Center for Biotechnology Information* (NCBI) analysiert.

3.3.2 ENZYMATISCHE MANIPULATION VON NUKLEINSÄUREN

3.3.2.1 POLYMERASE-KETTENREAKTION (PCR)

Für die Amplifikation spezifischer DNA-Sequenzen wurden der *DNA Engine PTC-200-Thermocycler* (MJ Research, Biozym Diagnostic GmbH, Oldenburg) sowie der *Primus 96*

advanced[®]-*Thermocycler* (Peqlab) verwendet. Soweit nicht anders angegeben, wurden Standard-PCR-Reaktionen in einem Volumen von 20 µl durchgeführt (Tabelle 3-1). Als Template für die Reaktionen diente genomische DNA (3.3.1.1), Plasmid-DNA (3.3.1.2), cDNA (3.3.2.3) oder Bakterienzellen (3.3.3+3.3.4). Den Reaktionsansätzen wurden genspezifische Primerpaare (2.3) entsprechend dem zu amplifizierenden Fragment zugegeben.

Tabelle 3-1 Standardansatz einer PCR-Reaktion.

Substanz	Volumen
10x <i>Taq</i> -Puffer ¹	2,0 µl
2,5 mM (insgesamt) dNTPs	2,0 µl
10 µM 5'-Primer	1,0 µl
10 µM 3'-Primer	1,0 µl
2 U/µl <i>Taq</i> DNA-Polymerase ¹	0,5 µl
Wasser	12,5 µl
Template	1,0 µl

¹Desai & Pfaffle (1995)

Eine Standard-PCR wurde nach dem in Tabelle 3-2 aufgelistetem Programm durchgeführt.

Tabelle 3-2 Standard-PCR Programm

Schritt	Temperatur	Zeit
1. Denaturierung	94 °C	120 s
2. Denaturierung	94 °C	30 s
3. Anlagerung der Primer	primerspezifisch	30 s
4. Elongation des Amplifikates	72 °C	60 s/1 kb
5. 28-40 mal zurück zu 2.		
6. Endelongation	72 °C	600 s

3.3.2.2 DNASE-VERDAU

Für die Entfernung von DNA-Resten, in aus *A. thaliana* isolierter RNA (3.3.1.3), wurde die *Deoxyribonuclease I* (Thermo Fisher Scientific) gemäß den Angaben des Herstellers eingesetzt.

3.3.2.3 SEMIQUANTITATIVE RT-PCR (RT-PCR)

Bei der RT-PCR wurde als Template cDNA aus Gesamt-RNA oder DNase-freie RNA (3.3.2.2) eingesetzt. cDNA wurde aus 1 µg Gesamt-RNA oder 1 µg DNase-freie RNA durch Erststrangsynthese mit *RevertAid™ M-MuLV Reverse Transkriptase* (Thermo Fisher Scientific) gemäß den Angaben des Herstellers hergestellt. Die PCR wurde wie oben beschrieben (3.3.2.1) durchgeführt und zusätzlich wurde als Ladungskontrolle in einer PCR-Reaktion die cDNA für das konstitutiv exprimierte Gen *Ef1α* mit hierfür spezifischen Primern (2.3) amplifiziert. Beide

Reaktionen wurden im Anschluss mittels Agarose-Gelelektrophorese (3.3.1.5) aufgetrennt und analysiert.

3.3.2.4 QUANTITATIVE REAL TIME PCR (qPCR)

Quantitative PCR-Analysen wurden mit dem *iQ5 Multicolor Real Time PCR* Detektionssystem (Bio-Rad) durchgeführt. Zur Detektion des Reaktionsproduktes wurde der Farbstoff *Maxima® SYBR Green/Fluorescein qPCR Master Mix* (Thermo Fisher Scientific) gewählt. Die Zusammensetzung des Reaktionsansatzes und das qPCR-Programm erfolgten gemäß den Herstellerangaben.

Für Transkriptanalysen wurde als Template 1:5 verdünnte cDNA (3.3.2.3) in die Reaktionen eingesetzt und die relative Quantifizierung der Genexpression erfolgte gemäß der $2^{-\Delta\Delta Ct}$ -Methode (Livak & Schmittgen, 2001; Pfaffl, 2004). Zur Normalisierung wurden die C_t -Werte des *housekeeping gene Ef1 α* herangezogen. Die Verifizierung des Amplifikates erfolgte mit Hilfe der Schmelzpunktanalyse und Agarose-Gelelektrophorese (3.3.1.5). Die absolute Quantifizierung mikrobieller DNA in infiziertem Pflanzenmaterial erfolgte nach einer Methode von Brouwer *et al.* (2003). Es wurden Primerpaare verwendet, die spezifisch an die mikrobielle DNA binden. In die qPCR wurden als Template 400 ng/ μ l gesamt DNA (3.3.1.1) eingesetzt.

3.3.2.5 GENOTYPISIERUNG VON TRANSFER-DNA (T-DNA) INSERTIONSLINIEN

Die Verifizierung homozygoter T-DNA-Insertionslinien erfolgte durch Genotypisierung. Hierzu wurde pro Generation von mindestens 16 Pflanzen genomische DNA isoliert (3.3.1.1) und durch PCR mit spezifischen Primern auf Reinerbigkeit hin überprüft.

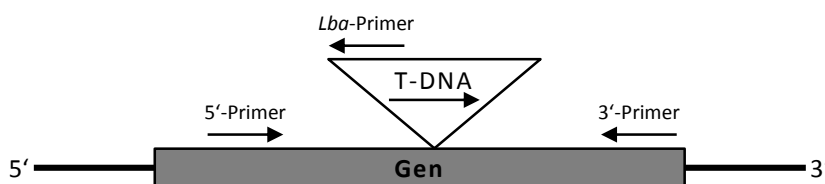


Abbildung 3-1 Analyse der T-DNA-Insertion über gen- und insertspezifische Primer.

In einer PCR-Reaktion wurden genspezifische Primerpaare verwendet, welche sich im 5'- bzw. 3'-Bereich außerhalb der möglichen Insertion anlagern. Parallel dazu wurde eine PCR-Reaktion mit dem T-DNA-spezifischen Primer *Lba* (*Left Boarder*) und einem auf dem jeweiligen Gen bindenden Primer (Abbildung 3-1) durchgeführt. Die anschließende Auftrennung und Visualisierung der PCR-Produkte über Agarose-Gelelektrophorese (3.3.1.5) erlaubte eine Unterscheidung zwischen homozygot Wildtyp (WT), homozygote T-DNA-Insertion oder heterozygot. Homozygote Linien wurden weiter propagiert und auf Resttranskript untersucht.

3.3.2.6 TRANSKRIPTOMANALYSE MITTELS *MICROARRAY*

Eine Transkriptomanalyse wurde unter Verwendung von *NimbleGen DNA Microarray* (*A. thaliana* Genexpression 12x135K Array TAIR 9.0, Roche) der Firma *NimbleGen*, Roche durchgeführt. Hierzu wurde RNA aus Pflanzenmaterial isoliert (3.3.1.3), mit dem *SuperScript® Double-Stranded cDNA Synthesis Kit* (Invitrogen) nach Herstellerangaben doppelsträngige cDNA synthetisiert und diese für die Analyse bereitgestellt. Die Auswertung der Transkriptomanalyse erfolgte mit der Software *ArrayStar®* Version 5.1.0 (DNASTAR). Die Sondensignale wurden über alle Arrays normalisiert. Für die statistische Analyse wurden die Daten dem Student t-Test unterzogen, das Konfidenzniveau wurde mittels *FDR* Benjamini-Hochberg (*FRD* B.-H.) erstellt.

3.3.2.7 RESTRIKTIONSVERDAU VON PLASMID-DNA

Für den Restriktionsverdau von Plasmid-DNA wurden Enzyme und Puffer der Firma Thermo Fisher Scientific nach den Angaben des Herstellers verwendet. Die Auftrennung der DNA-Fragmente erfolgte im Anschluss mittels Agarose-Gelelektrophorese (3.3.1.5).

3.3.3 HERSTELLUNG VON EXPRESSIONSKONSTRUKTEN

Für die stabile Transformation von *Arabidopsis thaliana* Wildtyp-Pflanzen (3.3.5) wurden verschiedene Expressionskonstrukte hergestellt.

Das jeweilige Zielgen wurde mit entsprechenden Primerpaaren (Tabelle 2-4) amplifiziert und in einer *TOPO-TA-Clonase* Reaktion (Invitrogen) gemäß den Angaben des Herstellers in den *Gateway®*-kompatiblen pCR8-Vektor (Invitrogen) subkloniert. Danach wurde das Zielgen mittels der *LR Clonase* Reaktion in den binären Vektor pK7WGF2.0 (Karimi *et al.*, 2002) kloniert. Die klonierten Konstrukte werden in Tabelle 3-3 aufgeführt.

Tabelle 3-3 Expressionskonstrukte.

Gen	Trivialname	Primerpaar	Konstrukt	Generation
At2g22200.1	ERF056	At2g22200.1_F At2g22200.1_R	p35S::GFP-ERF056	T1
At3g06740.1	GATA15	At3g06740.1_F At3g06740.1_R	p35S::GFP-GATA15	T1
At3g57600.1	DREB2F	At3g57600.1_F At3g57600.1_R	p35S::GFP-DREB2F	T1
At4g17460.1	HAT1	At4g17460.1_F At4g17460.1_R	p35S::GFP-HAT1	T1
At2g40740.1	WRKY55	At2g40740.1_F At2g40740.1_R	p35S::GFP-WRKY55	T1
At5g10970.1		At5g10970.1_F At5g10970.1_R	p35S::GFP-At5g10970	T1
At5g47640.1	NF-YB2	At5g47640.1_F At5g47640.1_R	p35S::GFP-NF-YB2	T1

3.3.4 TRANSFORMATION VON MIKROORGANISMEN

3.3.4.1 TRANSFORMATION VON *ESCHERICHIA COLI*

Für die Transformation von *E. coli*-Zellen wurden *One Shot® TOP10-T1R* oder *One Shot® Mach1™-T1R E. colis* (beides Invitrogen) verwendet. Die Transformation der chemisch kompetenten Zellen erfolgte gemäß den Angaben des Herstellers.

3.3.4.2 TRANSFORMATION VON *AGROBACTERIUM TUMEFACIENS*

Für die Herstellung elektrokompetenter Agrobakterien wurden 500 ml LB-Medium mit einer 5 ml Agrobakterien-Übernachtkultur beimpft und bei 28 °C und 250 *rpm* bis zu einer optischen Dichte von 1,2-1,5 bei 600 nm inkubiert. Durch Zentrifugation für 10 min bei 5000 *rpm* wurden die Zellen pelletiert. Nach dem Waschen des Pellets mit ddH₂O, wurden die Zellen in 10 % (v/v) Glycerin resuspendiert, aliquotiert, in flüssigem Stickstoff tiefgefroren und bei -80 °C gelagert.

50 µl der elektrokompetenten Zellen wurden mit 2 µl Plasmid-DNA (3.3.1.2) gemischt und mit einem Elektroporator 2510 (Eppendorf) bei 1500 V elektroporiert. Nach Zugabe von 600 µl LB-Medium wurden die Zellen für 1 h bei 28 °C inkubiert. Verschiedene Volumina wurden auf LB-Agar mit entsprechenden Antibiotika ausgestrichen und für 1-3 d bei 28 °C inkubiert.

3.3.5 TRANSFORMATION VON *ARABIDOPSIS THALIANA*

Die stabile *A. tumefaciens*-vermittelte Transformation von *Arabidopsis* Pflanzen erfolgte nach einer Methode von Clough & Bent (1998). Hierzu wurden 500 ml LB-Medium, versehen mit entsprechendem Antibiotikum, mit einer Vorkultur (3.2.1) transformierter Agrobakterien (3.3.4.2) beimpft und bei 28 °C und 125 *rpm* für 24 h inkubiert. Die Zellsuspension wurde für 15 min bei 5000 *rpm* zentrifugiert. Das Pellet wurde in 5 % (w/v) Saccharose und 0,02 % (v/v) Silwett L-77 resuspendiert und auf eine optische Dichte von 0,8 bei 600 nm verdünnt. Junge Blütenstände von *Arabidopsis* Pflanzen ohne Schoten wurden 1 min lang in die Suspension getaucht, 1-2 d unter einer feuchten Atmosphäre gehalten und zum Abreifen der Samen unter Langtagbedingungen kultiviert. Die Selektion der T1-Generation auf transformierte Individuen erfolgte durch Selektionsmedien und Genotypisierung (3.3.2.5).

3.3.6 PROTEINANALYTIK

3.3.6.1 ISOLIERUNG VON PROTEINEN AUS PFLANZENMATERIAL

Für die Proteinisolierung wurden 50-100 mg Pflanzenmaterial in 2 ml Eppendorf-Reaktionsgefäßen eingewogen und in flüssigem Stickstoff tiefgefroren. Das Material wurde mit

einem Metallstößel homogenisiert und mit 100 µl Extraktionspuffer (50 mM Tris/HCl, pH 7,5; *Complete Mini* und *Phos Stop* (beides Roche) jeweils 1 Tablette/10 ml) versetzt. Nach dem Auftauen der Proben auf Eis wurden diese 20 min bei 14 000 rpm und 4 °C zentrifugiert und der proteinhaltige Überstand in ein neues Reaktionsgefäß überführt.

3.3.6.2 KONZENTRATIONSBESTIMMUNG VON PROTEINEN

Die Bestimmung der Konzentration von Proteinlösungen erfolgte nach einer Methode von Bradford (1976) unter Verwendung einer Nanoquant-Lösung (Carl Roth).

3.3.6.3 SDS-POLYACRYLAMID-GELELEKTROPHORESE (SDS-PAGE)

Die Auftrennung von Proteinlösungen erfolgte mittels einer diskontinuierlichen SDS-PAGE nach einer Methode von Laemmli (1970) sowie den Anweisungen von Sambrook (1998). Dabei wurden in Gelapparaturen (Mini-PROTEAN® Tetra Cell) der Firma Bio-Rad (München) 12 %ige Trenngele mit 5 %igen Sammelgelen verwendet. Als Größenstandard diente der *Page Ruler Prestained™* (Thermo Fisher Scientific). Die Auftrennung erfolgte zunächst für 10 min bei 120 V und dann für 45-60 min bei 200 V.

3.3.6.4 IMMUNOBLOT

Nach der Auftrennung von Proteinen mittels SDS-PAGE (3.3.6.3) wurden die sich im Trenngel befindlichen Proteine mittels Elektro-Blot (Mini Trans Blot® Cell Apparatur, Bio-Rad) bei 150 mA für 1 h auf eine Hybond Nitrocellulosemembran (GE Healthcare, München) übertragen. Zur Detektion der übertragenen Proteine auf die Nitrocellulosemembran wurde diese mit einer Ponceau S Rot-Lösung (0,1 % (w/v) Ponceau S Rot, 5 % (v/v) Essigsäure) angefärbt und das Ergebnis dokumentiert. Das Blocken der unspezifischen Bindungsstellen auf der Membran erfolgte mit 5 % (w/v) Magermilchpulver in TBS (20 mM Tris/HCl pH 7,5; 150 mM NaCl) für 1 h bei RT. Im Anschluss wurde der primäre Antikörper auf die Membran übertragen. Hierzu wurde die Membran in TBST (20 mM Tris/HCl pH 7,5; 150 mM NaCl; 0,1 % (v/v) Tween 20) mit der entsprechenden Verdünnung des primären Antikörpers für 1 h bei RT inkubiert. Nach mehrmaligem Waschen der Membran erfolgte die Bindung des mit alkalischer Phosphatase gekoppelten zweiten Antikörpers in entsprechender Verdünnung in TBST durch Inkubation der Membran für 2 h bei RT. Die Färbereaktion erfolgte mit 5-Bromo-4-chloro-3-indolylphosphat (BCIP) und Nitrobluetetrazolium-chlorid (NBT; jeweils 250 µg/ml, vorgelöst in Dimethylformamid) in Tris pH 9,5-Puffer (150 mM Tris/HCl pH 9,5; 5 mM MgCl₂; 100 mM NaCl).

3.3.6.5 ANALYSE DER MAP-KINASE-AKTIVITÄT

Jeweils ein *Arabidopsis* Blatt wurde nach Elicitierungsexperimenten (3.4.10) zu verschiedenen Zeitpunkten in flüssigem Stickstoff tiefgefroren, die Proteine in Lösung gebracht (3.3.6.1) und nach Bestimmung des Proteingehaltes (3.3.6.2) 10-15 µg Protein mittels SDS-PAGE (3.3.6.3) aufgetrennt. Die Detektion der MAP-Kinasen 3,4, 6 und 11 erfolgte in einem Immunoblot (3.3.6.4) unter Verwendung des anti-Phospho-p44/42 MAP-Kinasen Antikörper (*Cell Signaling Technology*) als primären Antikörper gemäß den Angaben des Herstellers.

3.4 BIOLOGISCHE UNTERSUCHUNGEN

3.4.1 BEHANDLUNG VON *ARABIDOPSIS THALIANA* MIT NATRIUMCHLORID

Für die Induktion abiotischen Stresses durch Salz bei adulten *Arabidopsis* Pflanzen wurden 5 Wochen alte, in Erde angezogene Pflanzen (3.1), jeweils mit 25 ml einer 150 mM NaCl-Lösung gegossen. Die Induktion von Salzstress bei 8 Tage alten Keimlingen wurde durch Zugabe von 150 mM NaCl zu ½ MS (ohne Vitamine) und 1 % (w/v) Saccharose erzielt.

3.4.2 BEHANDLUNG VON *ARABIDOPSIS THALIANA* MIT ABSCISINSÄURE & FLURIDON

Die Behandlung 5 Wochen alter Pflanzen mit Abscisinsäure erfolgte nach einer bereits zuvor beschriebenen Methode von Jensen *et al.* (2008). Die Pflanzen wurden 6 h vor Pathogeninfektion (3.4.9) mit einer Abscisinsäurelösung (100-150 µM (±)-ABA; 0,02 % (v/v) Silwett L-77) besprüht.

Zur Hemmung der ABA-Synthese wurden 5 Wochen alte *Arabidopsis* Pflanzen mit 100 µM Fluridon (Sigma-Aldrich, Taufkirchen), versetzt mit 0,02 % (v/v) Silwett L-77, eingesprüht (Bartels & Watson, 1978; Seiler *et al.*, 2011; Nahar *et al.*, 2012). Die Behandlung erfolgte 24 h vor Stressinduktion durch NaCl.

3.4.3 BEHANDLUNG VON *ARABIDOPSIS THALIANA* MIT TOXINEN

Das Zelltod induzierende Toxin Fumonisin B1 (Sigma-Aldrich, Taufkirchen) wurde in einer Konzentration von 10 µM in Blätter adulter *A. thaliana*-Pflanzen mit einer nadellosen 1 ml-Spritze halbseitig infiltriert. Die Auswirkungen der Behandlungen wurden 7 Tage nach Infiltration visuell festgehalten.

3.4.4 ERMITTLUNG DER BLATTGRÖSSE UND DES BLATTGEWICHTS

Zur Ermittlung der Blattgröße wurde entlang der Längsachse ein Messschieber angelegt und die Blattlänge der gezackten, 5 Wochen alten Blätter gemessen. Es wurden mindestens 30 Blätter von 10 verschiedenen Pflanzen pro Linie oder Behandlung vermessen.

Das durchschnittliche Blattgewicht wurde durch das Abwiegen von mindesten 30 Blättern 10 verschiedener Pflanzen einer Linie ermittelt.

3.4.5 DARSTELLUNG DER STOMATA

Für die Darstellung der Stomata wurden 5 Wochen alte *A. thaliana*-Pflanzen verwendet. Pro Behandlung mit NaCl oder Wasser wurden von mindestens 4 verschiedenen Pflanzen je 2 Blätter geerntet und unmittelbar danach auf die Blattunterseite eine dünne Schicht Klebstoff („Uhu hart“) oder durchsichtiger Nagellack aufgetragen. Nach 1 min wurde der ausgehärtete Klebefilm bzw. die Lackschicht abgezogen und das entstandene Relief mit dem 40er Objektiv am Lichtmikroskop mikroskopiert.

3.4.6 BESTIMMUNG DES CHLOROPHYLLGEHALTES VON BLÄTTERN

Das Chlorophyll von mindestens 8 Blättern pro Linie oder Behandlung wurde mittels Methanol herausgelöst und der Gehalt des Chlorophylls photometrisch bestimmt (Porra *et al.*, 1989). Dazu wurden die gemessenen Extinktionen in folgende Formel eingesetzt:

$$\text{Chlorophyll}_{\text{total}} [\mu\text{g/ml}] = (7,04 * A_{664} + 20,27 * A_{647}) * V_{\text{Methanol}} / \text{FW}_{\text{Probe}}$$

3.4.7 PSEUDOMONAS SYRINGAE: INFEKTION & ANALYSE

Für Wachstumsbestimmungen von Pseudomonaden (3.2.1) in *A. thaliana* wurden 5 Wochen alte, unter Kurztagbedingungen angezogene Pflanzen verwendet. Die über Nacht angezogene Bakteriensuspension wurde mit 10 mM MgCl₂ auf eine Zelldichte von 1*10⁴ cfu/ml (OD₆₀₀ 2*10⁵) eingestellt und mit einer nadellosen 1 ml-Spritze von der Blattunterseite beidseitig der Hauptachse in den Apoplasten infiltriert. Pro Linie und Behandlung wurden jeweils zwei Blätter von 8 Pflanzen behandelt. Die so behandelten Pflanzen wurden unter Kurztagbedingungen und feuchter Atmosphäre kultiviert und das Bakterienwachstum an den Tagen 0, 2 und 4 nach Infektion bestimmt. Hierzu wurden mit einem Korkbohrer jeweils zwei Blattscheiben (Ø 5 mm) aus den infizierten Blättern gestochen, mit 70 % (v/v) Ethanol gewaschen und mit 200 µl 10 mM MgCl₂ homogenisiert. Je 10 µl der Homogenate wurden unverdünnt und in verschiedenen Verdünnungen auf LB Agar-Platten aufgetragen und für 1-2 Tage bei 28 °C inkubiert. Die Auswertung erfolgte durch das Auszählen der gewachsenen Kolonien auf den LB Agar-Platten, Mittelwertbildung und Berechnung der Standardabweichung.

3.4.8 ALTERNARIA BRASSICICOLA: INFEKTION & ANALYSE

Für die Infektion mit dem nekrotrophen Pilz *A. brassicicola* wurden 5 Wochen alte *Arabidopsis* Pflanzen verwendet. Pro Pflanze wurden 2-4 Blätter mit je 5 µl einer Sporensuspension (1*10⁶ Sporen/ml) an 6 verschiedenen Stellen des Blattes behandelt. Die so behandelten Pflanzen

wurden, um Positionseffekte zu vermeiden, willkürlich im Gewächshaus verteilt und unter Kurztagbedingungen und feuchter Atmosphäre gehalten. Der Fortschritt des *Alternaria*-Wachstums wurde an mehreren Tagen nach Infektion durch Bonitur bewertet (Kemmerling *et al.*, 2007). Der Boniturmaßstab umfasste 6 Kategorien, wobei 1 für „keine Symptome“, 2 für „leichte braune Stellen an betroffenen Stellen“, 3 für „dunkle, braune Stellen an betroffenen Stellen“, 4 für „ausbreitende Nekrose“, 5 für „Mazerierung des Blattes“ und 6 für „schwere Chlorosen und Sporenbildung“ steht. Zusätzlich erfolgte die Quantifizierung von *Alternaria*-DNA in infiziertem Blattgewebe mittels qPCR-Analyse (3.3.2.4).

3.4.9 BOTRYTIS CINEREA: INFEKTION & ANALYSE

Die Infektion mit dem nekrotrophen Pilz *B. cinerea* wurde mit 5 Wochen alten *Arabidopsis* Pflanzen durchgeführt. 5 µl einer Sporensuspension ($5 \cdot 10^5$ Sporen/ml in $\frac{3}{4}$ PDB) wurden auf 4 Blättern von mindestens 8 Pflanzen einer Linie aufgetragen. Die infizierten Pflanzen wurden, um Positionseffekte zu vermeiden, willkürlich im Gewächshaus verteilt und unter feuchter Atmosphäre und Kurztagbedingungen für mehrere Tage kultiviert. Der Fortschritt der Infektion wurde an mehreren Tagen nach dem Auftropfen der Sporensuspension bestimmt. Hierzu wurden die infizierten Blätter fotografiert und die Größe der Läsionen mit der Software Adobe Photoshop CS5 unter Verwendung des *magnetic lasso tools* ermittelt. Zudem wurde die pilzliche DNA im infizierten Blattgewebe mittels qPCR-Analyse (3.3.2.4) quantitativ analysiert.

3.4.10 ELICITIERUNGEN VON BLÄTTERN ODER KEIMLINGEN

Blätter von 5 Wochen alten *A. thaliana*-Pflanzen wurden mit einer nadellosen 1 ml-Spritze von der Blattunterseite mit verschiedenen MAMPs infiltriert. Die Behandlung 8 Tage alter Keimlinge mit Elicitoren erfolgte durch Zugabe der MAMPs in das Keimlingsmedium ($\frac{1}{2}$ MS; 1 % Saccharose). Als Elicitoren wurden 1 µM flg22 sowie 100 µg/ml Chitin verwendet. Von den Blättern oder Keimlingen wurden nach den angegebenen Zeitpunkten Proben genommen und in flüssigem Stickstoff tiefgefroren.

3.4.11 MIKROSKOPIE

Es wurden ein Fluoreszenzmikroskop der Firma Nikon (Düsseldorf) Typ *Eclipse 80i* und die Software *LCS Lite Version 2.61* verwendet.

3.4.12 TRYPANBLAU-FÄRBUNG

Die Sichtbarmachung pilzlicher Strukturen und toter Zellen in mit Ascomyceten infizierten Blättern erfolgte durch Trypanblau-Färbung. Für die Anfärbung wurden infizierte Blätter für 1 min in Trypanblau-Färbelösung (10 ml Milchsäure; 10 ml Glycerin; 10 ml Phenol; 10 ml

ddH₂O; 80 ml Ethanol; 2,5 mg/ml Trypanblau) gekocht. Die anschließende Entfärbung erfolgte über 1-2 d mit einer Chloralhydratlösung (1 g/ml). Die mikroskopische Auswertung erfolgte mit Durchlicht.

3.4.13 DIAMINOBENZIDIN-FÄRBUNG

Der Nachweis Reaktiver Sauerstoffspezies (ROS) erfolgte durch die histochemische Färbung des Blattmaterials mit 1 mg/ml 3,3'-Diaminobenzidintetrahydrochlorid-Lösung (DAB; Sigma-Aldrich). Zu untersuchendes Pflanzenmaterial wurde für 1 min in eine DAB-Lösung gegeben und über Nacht auf wassergetränktem Zellulosepapier in einer feuchten Atmosphäre und 4 °C inkubiert. Im Anschluss wurden die Blätter mit 96 %igem Ethanol entfärbt. Die mikroskopische Auswertung erfolgte im Durchlicht.

3.4.14 ANILINBLAU-FÄRBUNG

Der Nachweis von Callosebildung in Blättern oder Keimlingen nach MAMP-Behandlung wurde gemäß einer modifizierten Methode nach Gomez-Gomez *et al.* (1999) durchgeführt. Mit MAMPs behandelte Blätter wurden 24 h nach Infiltration über Nacht in eine Fixierungslösung (1 % (v/v) Glutaraldehyd; 5 mM Zitronensäure; 90 mM Na₂HPO₄ pH 7,4) gelegt, anschließend mit 100 % Ethanol 1-2 d entfärbt und gleichzeitig dehydriert. Nach dem Entfärben wurden die Blätter zunächst 30 min in 50 % (v/v) Ethanol gelegt und anschließend zur Äquilibration für 30 min in 67 mM K₂HPO₄ (pH 12). Durch Inkubation der Blätter für 1 h in 67 mM K₂HPO₄ (pH 12), versetzt mit 0,1 % (w/v) Anilinblau, wurden die Calloseablagerungen angefärbt. Die Anregung der Fluoreszenz nach Anilinblau-Färbung erfolgte mit dem UV-Licht-Filter DAPI EX 340-380/DM 400/BA 435-485 und wurde fotografisch festgehalten. Für eine quantitative Analyse wurden pro Behandlung mindestens 10 Aufnahmen von 5 oder mehr verschiedenen Blättern oder Kotyledonen mit der Software Adobe Photoshop CS5 ausgewertet.

3.4.15 MESSUNG VON PHYTOHORMONEN

Die Konzentrationsbestimmung verschiedener Phytohormone, deren Derivate sowie dem Phytoalexin Camalexin erfolgte in den analytischen Laboren von Mark Stahl (Tübingen) und Ivo Feussner (Göttingen) mittels HPLC-MS² nach bereits beschriebenen Methoden (Matyash *et al.*, 2008; Iven *et al.*, 2012). Es wurde Pflanzenmaterial untersucht, welches einer erhöhten NaCl-Konzentration (3.4.1) und einer *B. cinerea*-Infektion (3.4.9) ausgesetzt war.

3.4.16 STATISTIK

Die statistische Auswertung der RT-qPCR-Daten erfolgte soweit nicht anders angegeben mit der Software MS Office Excel 2010 (Microsoft). Die Signifikanz der ermittelten Werte wurde durch Anwendung des Zweistichproben-t-TEST geprüft.

Die Auswertung der mittels *Microarray*-Analyse gewonnenen Daten wurde mit der Software *ArrayStar*® Version 5.1.0 (DNASTAR) durchgeführt. Die Sondensignale wurden über alle Arrays normalisiert. Für die statistische Auswertung wurden die Daten der Varianzanalyse ANOVA und dem Student t-TEST unterzogen, das Konfidenzniveau wurde mittels *FDR* Benjamini-Hochberg (*FRD* B.-H.) erstellt.

4 ERGEBNISSE

Ziel dieser Arbeit war es die Kombination von abiotischem und biotischem Stress in dem pflanzlichen Modelorganismus *Arabidopsis thaliana* näher zu untersuchen und pflanzliche Faktoren zu identifizieren, welche insbesondere unter Stresskombination eine Rolle spielen.

Die Wirkung abiotischen Stresses als Einzelstress, induziert durch erhöhten Natriumchlorid (NaCl)-Gehalt, wurde zunächst grundlegend charakterisiert. Des Weiteren wurde eine Beeinflussung der Toleranz gegenüber einer Pilz- oder Bakterieninfektion von durch NaCl vorgestressten Pflanzen eruiert. Neben makro- und mikroskopischen Analysen erfolgten Untersuchungen des Transkriptoms und des Phytohormongehaltes während der Stresskombination.

4.1 ABIOTISCHER STRESS DURCH NATRIUMCHLORID IN *A. THALIANA*

Die durch Salz verursachten Symptome sowohl auf zellulärer als auch auf ganzheitlicher Ebene sind mannigfaltig. Auf eine schnelle osmotische Phase, in welcher vor allem das Blattwachstum gehemmt wird, folgt eine langsame ionische Phase, gekennzeichnet durch verfrühte Seneszenz (Munns & Tester, 2008).

In dieser Arbeit sollte für *A. thaliana* ein Milieu geschaffen werden, in dem die Pflanzen durch Salz verursachte Stresssymptome aufweisen, jedoch noch keine Seneszenz entwickeln, welche eine spätere Infektion durch nekrotrophe Organismen beeinflussen würde (Williamson *et al.*, 2007; Zhang & Chen, 2009).

4.1.1 PHÄNOTYPISCHE ANALYSE VON SALZSTRESS

Für die Imitation eines möglichst naturgetreuen Umfelds wurden die *Arabidopsis*-Pflanzen in Erde kultiviert und durch Verabreichung von NaCl über das Gießwasser abiotischer Stress hervorgerufen. Ein erhöhter Salzgehalt im Boden bewirkt eine Verringerung des Wasserpotentials, wodurch die Wasseraufnahme durch die Wurzel eingeschränkt wird (Zhu, 2001a) und der Zellturgor sinkt (Marschner, 1995). Das Schließen der Stomata verhindert den zusätzlichen Wasserverlust durch Transpiration. Die eingeschränkte Nährstoffversorgung der Photosyntheseorgane aufgrund des reduzierten Transpirationsstroms und des CO₂-Mangels, verursacht durch die Schließung der Stomata, führen zur Hemmung der Photosynthese und somit zur Reduktion der Proteinsynthese (James *et al.*, 2002; Chaves *et al.*, 2009; Yadav *et al.*, 2011). Die daraus resultierende verminderte Wachstumsrate wurde als ein phänotypisches Merkmal für Salzstress herangezogen.

Zu Beginn der Arbeit wurden verschiedene Applikationsbedingungen geprüft, um einen reproduzierbaren und gleichmäßigen Salzstress im verwendete Modellorganismus *A. thaliana*

zu erzeugen, ohne dass frühzeitige Seneszenz eingeleitet oder die pflanzliche Vitalität zu stark zu beeinträchtigt wurde. Bei der Etablierung optimaler Bedingungen spielten Faktoren wie das Alter der Pflanzen, die verabreichte NaCl-Konzentration, das Volumen der NaCl-Lösung, die Applikationsdauer und der Sandanteil in der Erde eine Rolle. Letztendlich wurden *A. thaliana* Wildtyp (WT) Pflanzen in dampfsterilisierter GS90 Standarderde bis zu einem Alter von 5 Wochen kultiviert und mit jeweils 25 ml einer 150 mM NaCl-Lösung gegossen.

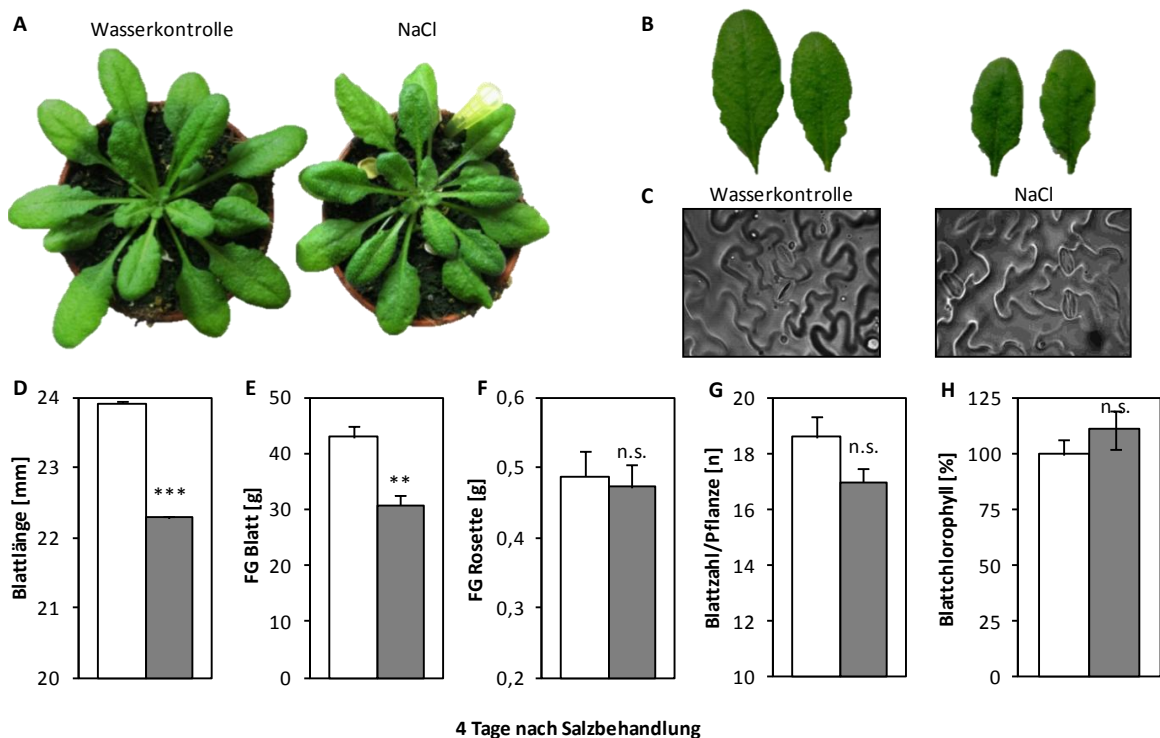


Abbildung 4-1 Visuelle Symptome von Salzstress in *A. thaliana*.

Für die Behandlung mit NaCl wurden 5 Wochen alte *A. thaliana* WT-Pflanzen (Col-0) verwendet. Es wurden je Pflanze 25 ml einer 150 mM NaCl-Lösung verabreicht. Als Kontrolle dienten normal gewässerte Pflanzen. Die *Arabidopsis*-Pflanzen wurden unter Kurztagbedingungen kultiviert und 4 Tage nach Behandlung fotografiert (A+B), die Öffnung der Stomata mikroskopisch dokumentiert (C), die Blattlängen gemessen (D) und das Frischgewicht der einzelnen Blätter (E) sowie der gesamten Rosette (F) bestimmt. Des Weiteren wurden die Blattanzahl pro Pflanze (G) und der Chlorophyllgehalt (H) ermittelt. Fehlerbalken stellen die jeweilige Standardabweichung der Mittelwerte dar und wurden aus mindestens 120 (D+E) bzw. mindestens 10 (F, G, H) Replikaten ermittelt. Zur Prüfung der Signifikanz wurde der Student t-TEST angewandt. [**= $p \leq 0,01$; ***= $p \leq 0,001$; n.s.=nicht signifikant]

4 Tage nach Salzbehandlung zeigten die Pflanzen ein stark vermindertes Wachstum im Vergleich zu normal gewässerten Kontrollpflanzen (Abbildung 4-1). Dabei verursachte der mäßige Salzstress eine reversible Beeinträchtigung des Wachstums ohne dabei Symptome einer verfrühten Seneszenz hervorzurufen (Abbildung 4-2). Die mit NaCl behandelten *A. thaliana*-Pflanzen zeigten bekannte beschriebene abiotische Stresssymptome (Zhu, 2001b; Munns, 2002; Yadav *et al.*, 2011). Die phänotypischen Symptome werden in Abbildung 4-1 dargestellt. Die Blätter NaCl-behandelter Pflanzen waren in ihrem Wuchs deutlich reduziert und erschienen dunkler und kompakter (Abbildung 4-1 A+B). Der typische salzassoziierte

Stomataschluss ließ sich in Abbildung 4-1 C gut erkennen. Zur Ermittlung der Blattlängen wurden von mindestens 120 Blättern pro Behandlung die Länge der Blattspreite ausgemessen und die Mittelwerte verglichen. Jeweils 4 Blätter einer Pflanze wurden vermessen. NaCl-behandelte Blätter wiesen im Vergleich zu Kontrollpflanzen ein deutlich vermindertes Längenwachstum der Blattspreite auf (Abbildung 4-1 D). Die Biomasse einzelner Blätter wurde durch das Abwiegen von mindestens 120 Blättern pro Behandlung ermittelt. Es wurden jeweils die 4 größten Blätter einzelner Pflanzen gewogen. Das so ermittelte Frischegewicht der einzelnen Blätter wies eine deutliche Reduktion der salzbehandelten Blätter im Vergleich zur Wasserkontrolle auf (Abbildung 4-1 E). Die Mittelwerte der Gewichte der gesamten Rosetten (Abbildung 4-1 F), welche durch das Wiegen von mindestens 12 Pflanzen ermittelt wurde, wiesen keinen signifikanten Unterschied zwischen den Behandlungen auf. Ebenso die Bestimmung der Blattzahl pro Pflanze (Abbildung 4-1 G), welche von jeweils 12 Pflanzen bestimmt wurde, zeigte keinen signifikanten Unterschied. Die Chlorophyllgehalte wurden nach Extraktion aus jeweils 10 Blättern ermittelt und wiesen keine Unterschiede zwischen den einzelnen Behandlungen auf (Abbildung 4-1 H). Der angewandte Salzstress führte zu einem sichtbar reduzierten Wachstum, ohne die Vitalität der Pflanzen vollständig zu brechen.

4.1.2 TRANSKRIPTANALYSE NACH SALZBEHANDLUNG IN ADULTEN BLÄTTERN

Auf molekularer Ebene diente die quantitative Transkriptanalyse der durch Salz induzierbaren Markergenen *DREB1a* (*dehydration-responsive element-binding protein 1A*) und *SOS1* (*sodium/hydrogen exchanger 7*) als weiteres Kriterium für abiotische Stressinduktion (Robatzek & Somssich, 2002; Agarwal *et al.*, 2006; Hua *et al.*, 2006; Kant *et al.*, 2007). Um induzierte Seneszenz durch Salzstress (Zhu, 2001b) auf molekularer Ebene zu überprüfen wurde das Transkriptlevel von *YLS4* (*yellow-leaf-specific gene 4*), eines Markergenes für Seneszenz (Lenz *et al.*, 2011), ebenfalls quantitativ analysiert. Zudem wurde das Transkriptlevel von *ABA1* (*ABA deficient 1*), einem im Abscisinsäure-Signalweg involvierten Gen (Baysal *et al.*, 2007), quantitativ analysiert.

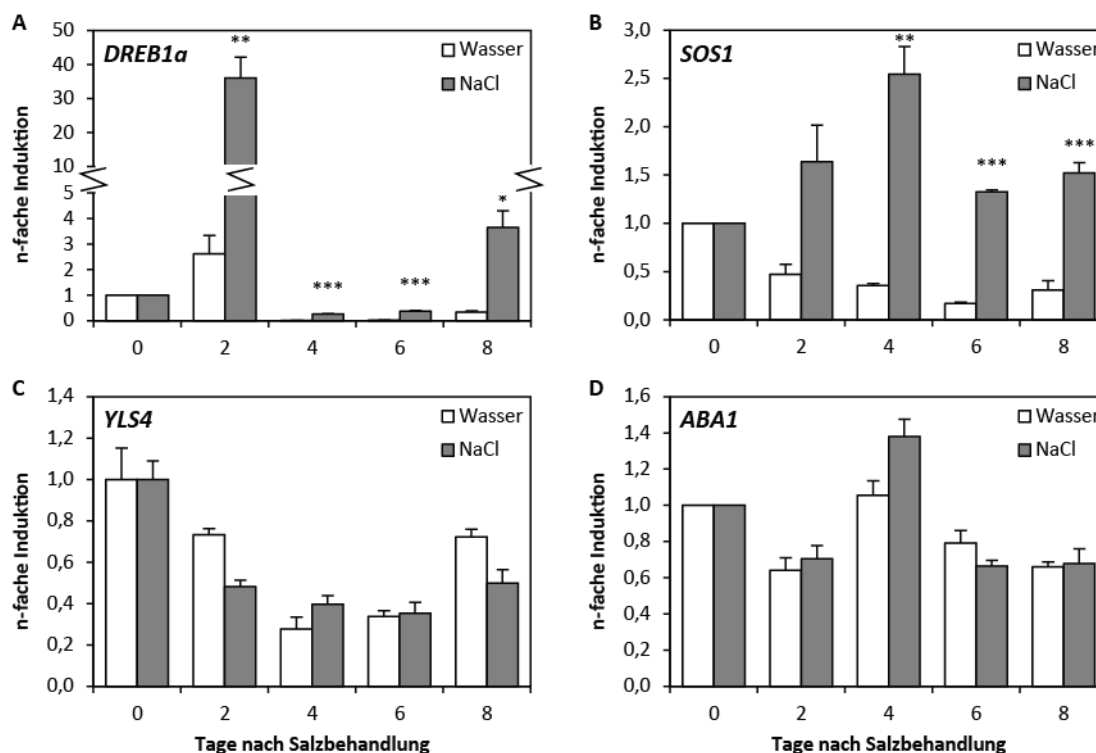


Abbildung 4-2 Transkriptanalyse von durch Salz, Seneszenz und ABA induzierbaren Genen in salzgestressten Blättern.

Die Genexpressionen von *DREB1a* (A), *SOS1* (B), *YLS4* (C) und *ABA1* (D) wurde in 5 Wochen alten *A. thaliana*-Pflanzen zu verschiedenen Zeitpunkten nach Salzbehandlung (150 mM NaCl; 25 ml/Pflanze) mittels RT-qPCR mit spezifischen Primern untersucht. Dabei diente die Transkript-Amplifikation des konstitutiv exprimierten Gens *Ef1a* zur Normalisierung. Die entsprechenden Wasserkontrollen zum Zeitpunkt 0 wurden auf 1 gesetzt. Die Fehlerbalken geben die jeweiligen Standardabweichungen der Mittelwerte von drei unabhängigen Replikaten wieder. Zur Prüfung der Signifikanz wurde der Student t-TEST angewandt. [*= $p \leq 0,05$; **= $p \leq 0,01$; ***= $p \leq 0,001$]

Die Expression der Salz-Markergene *DREB1a* und *SOS1* war bei den NaCl-behandelten Pflanzen im Vergleich zur Wasserkontrolle stark erhöht (Abbildung 4-2). Insbesondere die Akkumulation von *DREB1a* (Abbildung 4-2 A) war am 2. Tag nach der Behandlung deutlich erhöht. Zu späteren Zeitpunkten war die Expression zwar verringert, blieb aber dennoch signifikant höher als in der Wasserkontrolle. *SOS1* (Abbildung 4-2 B) zeigte ebenfalls an den Tagen 2-8 nach NaCl-Behandlung ein erhöhtes Expressionslevel im Vergleich zur Kontrolle. Das *YLS4*-Expressionslevel der mit Salz gestressten Pflanzen zeigte im Vergleich zur Wasserbehandlung keine Erhöhung, was darauf hindeutet, dass keine Seneszenz induziert wurde. Das in den ABA Signalweg involvierte Gen *ABA1* wies nur eine geringe, nicht signifikante Erhöhung des Transkriptionslevels 4 Tage nach Salzgabe auf. Insgesamt konnte durch die hier durchgeführte Salz-Applikation das Expressionslevel typischer Salzstress-assoziiierter Gene erhöht werden, ohne jedoch von einer verfrühten Seneszenz begleitet zu sein.

4.1.3 TRANSKRIPTANALYSE NACH SALZBEHANDLUNG IN KEIMLINGEN

Um die Reaktion von *A. thaliana*-Keimlingen unter Salzstress auf molekularer Ebene zu überprüfen, wurden 8 Tage alte *Arabidopsis*-Pflanzen einer erhöhten Salzkonzentration ausgesetzt (3.4.1). Es wurden zu verschiedenen Zeitpunkten Proben genommen, welche für eine spätere RNA-Isolierung (3.3.1.3) in flüssigem Stickstoff tiefgefroren wurden. Im Weiteren wurden die Expressionslevel der Salz-Markergene *DREB1a* und *SOS1* sowie die Akkumulation der ABA-Markergene *ABI5* (*ABA insensitive 5*) und *ABA1* mittels RT-qPCR bestimmt.

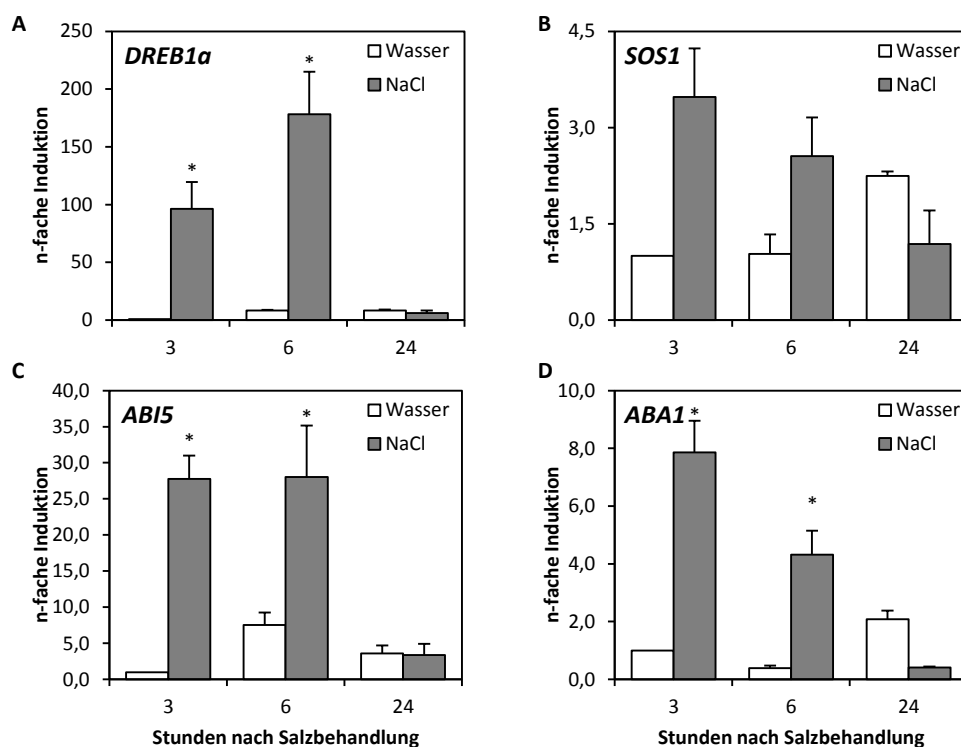


Abbildung 4-3 Transkriptanalyse von durch Salz und ABA induzierbaren Genen in salzbehandelten *Arabidopsis*-Keimlingen.

Die Genexpressionen von *DREB1a* (A), *SOS1* (B), *ABI5* (C) und *ABA1* (D) wurde in 8 Tage alten *A. thaliana*-Keimlingen zu verschiedenen Zeitpunkten nach Salzbehandlung (150 mM NaCl) mittels RT-qPCR mit spezifischen Primern untersucht. Dabei diente die Transkript-Amplifikation des konstitutiv exprimierten Gens *Ef1a* zur Normalisierung. Die Wasserkontrollen zum Zeitpunkt 3 h wurden auf 1 gesetzt. Die Daten zeigen Mittelwerte mit Standardabweichungen von mindestens drei unabhängigen Parallelen. Die Signifikanzprüfung erfolgte durch Anwendung des Student t-TESTs. [*= $p \leq 0,05$]

Sowohl Salz-Markergene (Abbildung 4-3 A+B) als auch die ABA-Markergene (Abbildung 4-3 C+D) wiesen bereits 3 und 6 h nach Behandlung der Keimlinge mit NaCl ein deutlich erhöhtes Transkriptlevel auf, welches 24 h nach Behandlung wieder auf dem Level der Wasserkontrolle war (Abbildung 4-3). Dementsprechend kann auch in Keimlingen sehr effizient Salzstress ausgelöst werden.

4.1.4 TOXIN-BEHANDLUNG

Verschiedene nekrotrophe Pathogene, wie zum Beispiel *Alternaria brassicicola* oder *Fusarium* spp., sekretieren Phytotoxine und lösen dadurch eine apoptotische Form des programmierten Zelltodes aus. Die so verfügbar gemachten Nährstoffe aus den zerstörten Pflanzenzellen begünstigen die Besiedelung des Wirts durch den nekroptrophen Organismus (Govrin & Levine, 2000; Veronese *et al.*, 2004).

Fumonisin B1 (FB1), welches zu den Sphinganinanaloga zählt, wird von *Fusarium moniliforme* synthetisiert und löst Zelltod aus (Xiong & Zhu, 2002). Die externe Applikation des Toxins ermöglicht eine pathogenunabhängige Untersuchung pflanzlicher Zelltodmechanismen. Für die Bewertung einer möglichen Rolle von NaCl auf den pflanzlichen Zelltod, ausgelöst durch Toxine, wurden *A. thaliana* WT-Blättern halbseitig FB1 infiltriert und die Ausbreitung des Zelltodes dokumentiert (Abbildung 4-4).

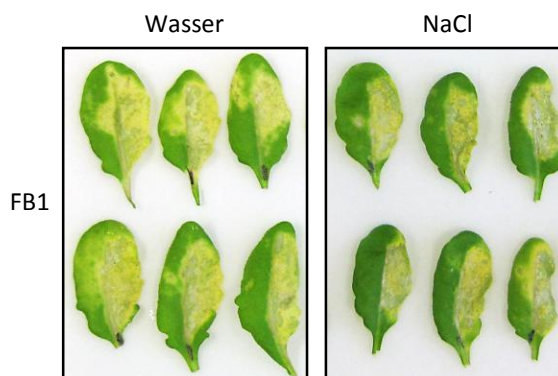


Abbildung 4-4 Zelltod in Fumonisin behandelte Blättern.

Adulte, 5 Wochen alte *A. thaliana* wurden mit 150 mM NaCl (25 ml/Pflanze) gegossen und unter Kurztagbedingungen kultiviert. 4 Tage nach der Salzbehandlung wurde einzelnen Blättern halbseitig FB1 infiltriert. Die Pflanzen wurden zur weiteren Kultivierung unter Kurztagbedingungen gehalten. Die Ausbreitung des Zelltodes wurde beobachtet und 7 Tage nach Infiltration fotografisch festgehalten. Als Kontrollgruppe dienten mit normalem Wasser gegossene Pflanzen.

Die mit FB1 infiltrierten Blätter zeigten 7 Tage nach Behandlung starke Anzeichen von Zelltod, der teilweise bis über die infiltrierte Blattseite hinaus reichte. Zwischen den Blättern der wasserbehandelten und den mit Salz vorgestressten Pflanzen war kein Unterschied zu erkennen. Eine erhöhte Salzkonzentration hatte somit keinen sichtbaren Einfluss auf den durch das Phytotoxin FB1 hervorgerufenen Zelltod.

4.2 KOMBINATION ABIOTISCHEN & BIOTISCHEN STRESSES

Als sessile Organismen sind Pflanzen in ihrer natürlichen Umgebung meist simultan verschiedenen Stresssituationen ausgesetzt. Es konnte gezeigt werden, dass die Reaktion auf bestimmte Stresskombinationen einzigartig ist und nicht durch Extrapolation der Reaktionen auf die Einzelstimuli erklärbar ist (Mittler, 2006). Künstlich herbeigeführter Verwundungsstress in *Arabidopsis* vermittelt eine erhöhte Resistenz gegenüber einer Infektion durch *Botrytis cinerea* (Chassot *et al.*, 2008). In *Solanum lycopersicum* konnte ebenfalls durch Verwundung eine verbesserte Salztoleranz beobachtet werden (Capiati *et al.*, 2006). Für die Aufklärung der Mechanismen, die bei der Kombination von abiotischen und biotischen Stressen ablaufen, gibt es bisher nur wenige molekularbiologische Ansätze und die Abläufe sind weitgehend ungeklärt.

In dieser Arbeit sollte nun der Einfluss von abiotischem Stress, hervorgerufen durch Salzbehandlung, in Kombination mit biotischem Stress durch nekrotrophe sowie hemibiotrophe Pathogene näher beleuchtet werden.

4.2.1 SALZSTRESS & *P. SYRINGAE*-INFEKTION

Im folgenden Teil wurde die Pathogenität des virulenten, hemibiotrophen Bakteriums *Pseudomonas syringae* pv. *tomato* DC3000 (*Pto* DC3000) und des avirulenten, hemibiotrophen Bakteriums *Pseudomonas syringae* pv. *tomato* DC3000 avrRPM1 (*Pto* DC3000 avrRPM1) auf durch Salz vorgestressten *A. thaliana*-Pflanzen näher untersucht. Baysal *et al.* (2007) zeigten bereits eine signifikant erhöhte Pathogenität des virulenten Bakteriums auf mit NaCl vorgestressten *Arabidopsis*-Pflanzen. Dabei wurden die Pflanzen vor der Infektion für 10 min einer 100 mM NaCl-Lösung ausgesetzt und das bakterielle Wachstum über 48 h beobachtet. In Verbindung mit Priming durch BABA (β -Aminobuttersäure) konnte ein synergetischer Effekt beobachtet werden, welcher zu einer erhöhten pflanzlichen Toleranz gegenüber Pseudomonaden führte. In der vorliegenden Arbeit wurde untersucht inwiefern eine längerfristige, mäßig erhöhte Salzkonzentration die Pathogenität von *Pto* beeinflusst.

4.2.1.1 PHÄNOTYPISCHE ANALYSE

Adulte, 5 Wochen alte *A. thaliana*-Pflanzen wurden zunächst einem gleichmäßigen abiotischen Stress durch NaCl ausgesetzt (3.4.1) und 4 Tage nach erfolgter Stressinduktion einem zusätzlichen biotischen Stress durch Infektion mit Pseudomonaden (3.4.7).

Mit *Pto* DC3000 infizierte Blätter zeigten sowohl in NaCl-behandelten Pflanzen, als auch in der Wasserkontrolle deutliche Symptome einer Infektion und bilden bereits nekrotische Stellen aus (Abbildung 4-5). Das Schadbild in den NaCl-behandelten *Arabidopsis*-Pflanzen scheint dabei geringfügig schwächer ausgeprägt zu sein.



Abbildung 4-5 Makroskopische Symptomatik einer *Pto*-Infektion NaCl behandelter *A. thaliana*-Pflanzen.

5 Wochen alten *A. thaliana* wurden 25 ml einer 150 mM NaCl-Lösung verabreicht. 4 Tage nach der Salzbehandlung wurden einzelne Blätter mit einer Bakteriensuspension von *Pseudomonas syringae* pv. *tomato* DC3000 ($1 \cdot 10^6$ cfu/ml) infiltriert. Dargestellt sind jeweils drei Blätter von mit normalem Wasser oder mit einer NaCl-Lösung (4 d) gegossenen Pflanzen, sowohl im uninfizierten Zustand, als auch 24 und 48 h nach erfolgter Infektion.

4.2.1.2 CHLOROPHYLLGEHALT

Eine mögliche Beeinträchtigung des Blattchlorophyllgehaltes durch NaCl als Stressfaktor konnte bereits ausgeschlossen werden (4.1.1). Auch eine alleinige Infektion mit *Pto* DC3000 führt zu keiner Veränderung des Blattchlorophyllgehaltes (Pham *et al.*, 2012). Um eine mögliche Beeinträchtigung des Chlorophyllgehaltes in der Stresskombination zu untersuchen, wurden mit NaCl behandelte *A. thaliana*-Pflanzen zusätzlich mit *Pto* inokuliert und der Chlorophyllgehalt zu verschiedenen Zeitpunkten untersucht. Es wurden keine signifikanten Änderungen des Chlorophyllgehaltes in NaCl gestressten Pflanzen durch zusätzliche bakterielle Infektion beobachtet (Abbildung 4-6).

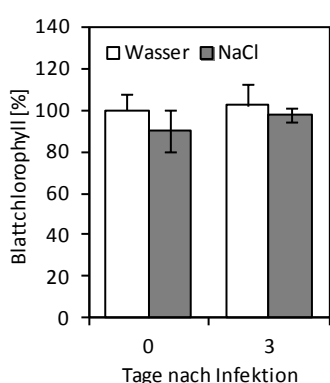


Abbildung 4-6 Chlorophyllgehalt NaCl-behandelter Blätter nach *Pseudomonas*-Infektion.

5 Wochen alte *A. thaliana* WT-Pflanzen wurden zur Induktion abiotischen Stresses mit 150 mM NaCl (25 ml/Pflanze) gegossen und 4 Tage nach Behandlung mit einer *Pto* DC3000-Suspension der Dichte $1 \cdot 10^4$ cfu/ml infiltriert. Der Chlorophyllgehalt infizierter Blätter wurde zu verschiedenen Zeitpunkten bestimmt (3.4.6). Als Kontrolle dienten uninfizierte, normal gegossene Pflanzen, welche auf 100 % gesetzt wurden. Dargestellt sind die Mittelwerte mit Standardabweichung von drei Replikaten. Nach Prüfung der Signifikanz durch den Student t-TEST ergaben sich keine signifikanten Unterschiede.

4.2.1.3 PSEUDOMONAS-WACHSTUM

Die Bestimmung des bakteriellen Wachstums nach Infektion erfolgte durch Erstellen von Bakterienwachstumskurven (3.4.7) mit unterschiedlich virulenten Pathogenen. Es wurden der virulente Stamm *Pto* DC3000 und der avirulente Stamm *Pto* DC3000 avrRPM1 verwendet. Um

mögliche Unterschiede im Erkrankungsgrad zwischen NaCl-behandelten und normal gegossenen WT-Pflanzen feststellen zu können wurde das bakterielle Wachstum der verschiedenen Pathogene 0, 2 und 4 Tage nach Infektion quantifiziert.

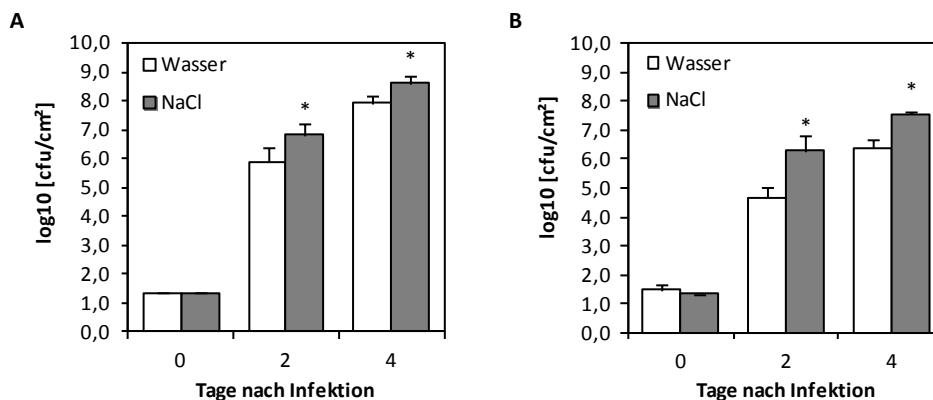


Abbildung 4-7 Bakteriellies Wachstum nach Infektion mit verschiedenen *Pto*-Stämmen.

Die Diagramme zeigen Wachstumskurven von Infektionen mit *Pto* DC3000 (A) und *Pto* DC3000 avrRPM1 (B) in NaCl-behandelter Pflanzen im Vergleich zu normal gewässerten *A. thaliana*. 5 Wochen alte Pflanzen wurden 4 Tage nach Verabreichung einer NaCl-Lösung (150 mM; 25 ml) mit einer Bakteriensuspension der Dichte $1 \cdot 10^4$ cfu/ml inokuliert und das bakterielle Wachstum über 4 Tage quantifiziert. Fehlerbalken geben die jeweiligen Standardabweichungen der Mittelwerte wieder und wurden aus je 6 Replikaten ermittelt. Die Signifikanzprüfung erfolgte durch Anwendung des Student t-TEST. [*= $p \leq 0,05$]

Vergleicht man das bakterielle Wachstum in den wasserbehandelten mit dem der salzbehandelten Pflanzen, so ließ sich sowohl nach *Pto* DC3000- (Abbildung 4-7 A), als auch nach *Pto* DC3000 avrRPM1-Infektion (Abbildung 4-7 B) eine signifikant erhöhte Anfälligkeit der mit NaCl behandelten Pflanzen erkennen. Der virulente *Pto* DC3000-Stamm wies ein 10-fach und der avirulente Stamm *Pto* DC3000 avrRPM1 ein 100-fach erhöhtes Bakterienwachstum in den vorgestressten Pflanzen auf. Die beobachtete verstärkte Anfälligkeit von durch NaCl abiotisch gestresster Pflanzen bestätigte die Untersuchungen von Baysal *et al.* (2007).

4.2.1.4 TRANSKRIPTANALYSE NACH NaCl- & PTO-BEHANDLUNG

Aufgrund der veränderten Anfälligkeit salzgestresster *A. thaliana* gegenüber *Pto* wurde die Expression einzelner Markergene der pflanzlichen Abwehr quantitativ analysiert. Betrachtet wurden die durch Pathogenese und Salicylsäure (SA)-induzierten Gene *PR1* (*pathogenesis-related protein1*) und *FRK1*, das in der Jasmonsäure (JA)-Biosynthese involvierte Gen *OPR3* (*12-oxophytodienoate reductase 3*) und *JR3* (*jasmonic acid responsive 3*), ein Markergen des Jasmonsäure-Signalwegs. Zudem wurden die Expressionslevel des Abscisinsäure (ABA) responsiven Genes *HAI2* (*highly ABA-induced 2*) und einem Markergen für Ethylen-Signalwege, *ERF1* (*ethylene responsive gene 1*) untersucht.

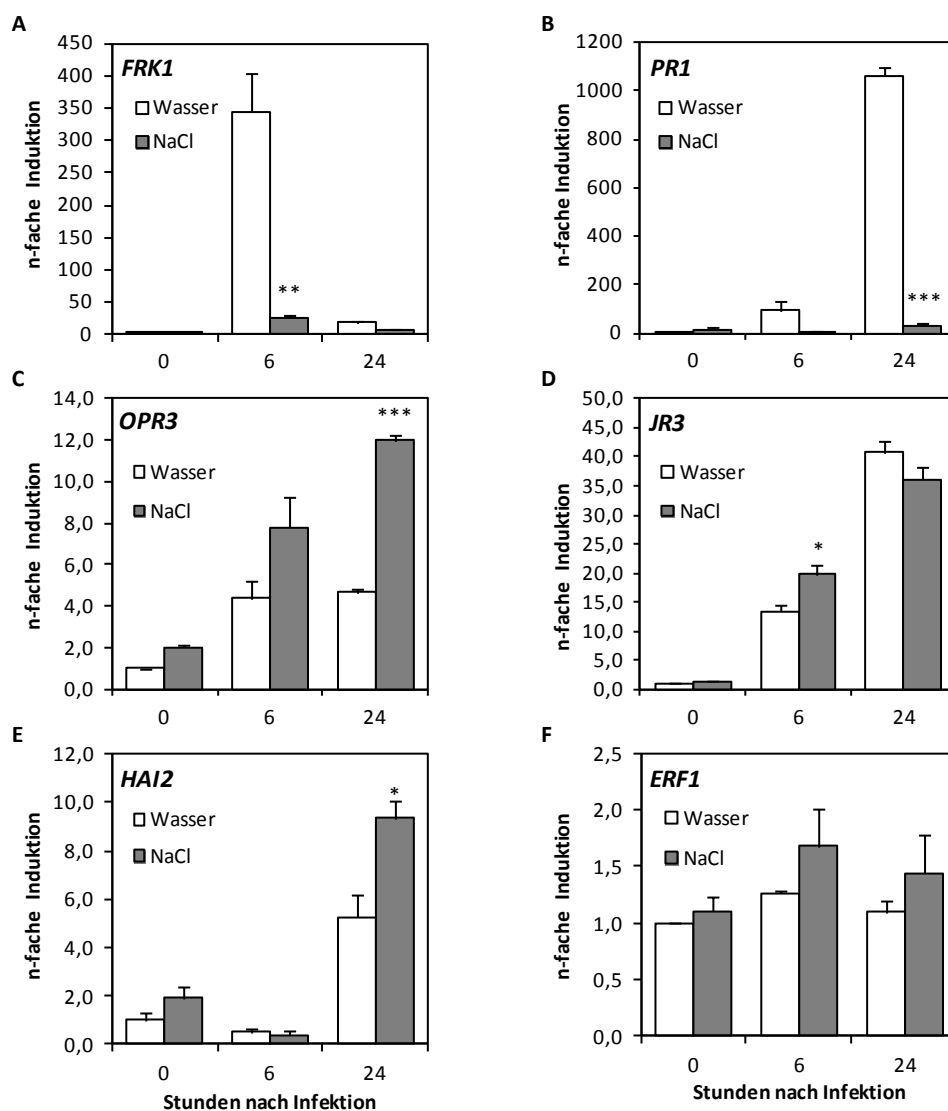


Abbildung 4-8 Transkriptanalyse NaCl-behandelter *A. thaliana* nach *Pto*-Infektion.

5 Wochen alte *A. thaliana* wurden 4 Tage nach Salzbehandlung (150 mM; 25 ml) durch Infiltration von Bakterien ($1 \cdot 10^8$ cfu/ml) mit *Pto* DC3000 infiziert. 0, 6 und 24 h nach Infiltration wurden die relativen Expressionen der Markergene *FRK1*, *PR1*, *OPR3*, *JR3*, *HAI2* und *ERF1* (A-F) mittels RT-qPCR mit genspezifischen Primern bestimmt. Zur Normalisierung diente das konstitutiv exprimierte Gen *Ef1a*. Dargestellt sind die Mittelwerte von 3 biologischen Replikaten samt Standardabweichungen. Die Signifikanz wurde durch Anwendung des Student t-TESTs ermittelt. [*= $p \leq 0,05$; **= $p \leq 0,01$; ***= $p \leq 0,001$]

In Abbildung 4-8 (A+B) ist eine deutliche Induktion der Pathogenese-induzierten Gene *FRK1* und *PR1* 6 bzw. 24 h nach Infektion zu sehen, wobei *FRK1* seinen Höhepunkt bereits 6 h nach Infektion erreichte und *PR1* erst 24 h nach Infektion ein sehr hohes Expressionslevel aufwies. Die Induktion dieser beiden Salicylsäure-induzierten Gene war in den NaCl-behandelten Pflanzen nach Infektion ebenfalls leicht erhöht, jedoch im Vergleich zu den mit Wasser behandelten *A. thaliana* signifikant reduziert. Die *FRK1*-Induktion der abiotisch gestressten Pflanzen war 6 h nach Infektion um das 10-fache, die *PR1*-Induktion 24 h nach Infektion um das 33-fache reduziert. Die Hemmung der SA-vermittelten Signalweiterleitung durch NaCl

stromaufwärts und stromabwärts der SA-Biosynthese wurde bereits zuvor beschrieben (Yasuda *et al.*, 2008; Cao *et al.*, 2011).

Das RNA-Level des in der Jasmonsäure-Biosynthese involvierten Gens *OPR3* (Abbildung 4-8 C) stieg sowohl in den mit Wasser, als auch in den mit NaCl behandelten Pflanzen im Verlauf der Infektion an. Dabei war der Gehalt in den NaCl gestressten Pflanzen im Vergleich zu den nicht gestressten Pflanzen stark erhöht. Das Jasmonsäure-responsive Gen *JR3* (Abbildung 4-8 D) hingegen wurde zwar im Laufe der Infektion vermehrt exprimiert, das erhöhte Expressionslevel 6 h nach Infektion der NaCl-behandelten Pflanzen war jedoch 24 h nach Infektion wieder ausgeglichen.

Bakterielle Infektionen verursachten den Anstieg von ABA (de Torres-Zabala *et al.*, 2007), dies spiegelte sich auch in der quantitativen Analyse des ABA-induzierten Markergenes *HAI2* (Abbildung 4-8 E) wieder. Insbesondere 24 h nach erfolgter Besiedelung war das Expressionslevel sowohl in den mit Wasser, als auch in den mit Salz behandelten Pflanzen deutlich erhöht. Die *HAI2*-Induktion der NaCl behandelten Pflanzen war signifikant höher als in den Kontrollpflanzen. Das Ethylen-induzierte Gen *ERF1* (Abbildung 4-8 F) wurde durch die bakterielle Infektion in seinem Expressionslevel nicht signifikant beeinflusst.

Die quantitative Analyse der Markergene nach *Pseudomonas*-Infektion deutet auf eine durch NaCl vermittelte Beeinträchtigung der Jasmonsäure-, Salicylsäure- und Abscisinsäurelevel hin.

4.2.2 SALZSTRESS & *A. BRASSICICOLA*-INFEKTION

Zur näheren Untersuchung salzinduzierten abiotischen Stresses in Verbindung mit abiotischem Stress durch nekrotrophe Organismen wurden die Ascomyceten *Alternaria brassicicola* und *Botrytis cinerea* verwendet. Zunächst wurde die Pathogenität des Schimmelpilzes *A. brassicicola* auf vorgestressten *A. thaliana* betrachtet.

4.2.2.1 PHÄNOTYPISCHE ANALYSE

Eine Infektion von *A. thaliana* mit *A. brassicicola* verläuft wenig aggressiv, da das Wachstum des Erregers durch die pflanzlichen Abwehrmechanismen stark eingeschränkt wird. Je nach eingesetztem Inokulum traten erste Krankheitssymptome ab dem 2. Tag nach erfolgter Inokulation auf. Bis es zu einer vollständigen Besiedelung des Blattes durch den Pilz kommt konnte es jedoch 10-15 Tage dauern.



Abbildung 4-9 *Alternaria*-Infektion NaCl behandelter *A. thaliana*-Blätter.

Adulte, 5 Wochen alte *A. thaliana* WT-Pflanzen wurden mit 150 mM NaCl (25 ml/Pflanze) zur Induktion abiotischen Stresses gegossen. 4 Tage nach der Behandlung wurden einzelne Blätter mit einer *A. brassicicola*-Sporensuspension ($1 \cdot 10^6$ Sporen/ml) inokuliert. Der Verlauf der Infektion wurde über mehrere Tage beobachtet und dokumentiert. Zu sehen sind je vier infizierte Blätter von mit Wasser oder NaCl-Lösung gegossenen Pflanzen 4 Tage nach Infektion.

Der Infektionsgrad von Blättern NaCl-behandelter Pflanzen wies im Vergleich zu mit normalem Wasser gegossenen Pflanzen 4 Tage nach Infektion nur eine leichte, makroskopisch sichtbare Erhöhung auf (Abbildung 4-9).

4.2.2.2 CHLOROPHYLLGEHALT

Mit fortschreitender Infektion (7 und 11 Tage nach Infektion) und Alter nahm der Chlorophyllgehalt der Blätter stetig ab. Der Vergleich NaCl gegessener zu normal gewässerten *Arabidopsis*-Pflanzen ergab jedoch keine signifikanten Unterschiede im Chlorophyllgehalt. Dass der eingesetzte abiotische Stress durch NaCl und die Infektion durch den hemibiotrophen Erreger *P. syringae* keinen Effekt auf den Chlorophyllgehalt hatte, konnte bereits gezeigt werden (4.2.1.1). Auch die Beeinflussung des Chlorophyllgehaltes durch eine *Alternaria*-Infektion konnte nun ausgeschlossen werden (Abbildung 4-10).

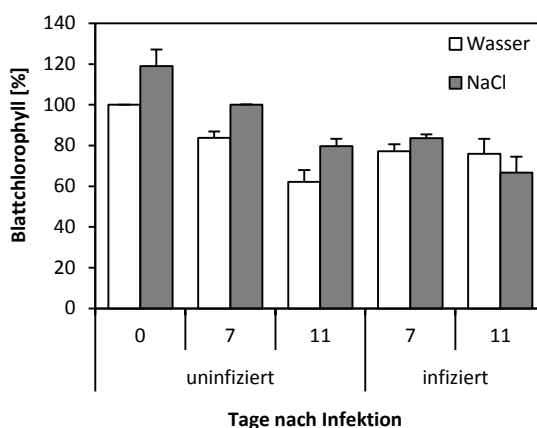


Abbildung 4-10 Chlorophyllgehalt NaCl-behandelter Blätter nach *Alternaria*-Infektion.

5 Wochen alte *A. thaliana* WT-Pflanzen wurden zur Induktion abiotischen Stresses mit 150 mM NaCl (25 ml/Pflanze) gegossen und 4 Tage nach Behandlung mit einer *Alternaria*-Sporensuspension der Dichte $1 \cdot 10^6$ Sporen/ml, durch Auftragen von je 4 Tropfen à 5 µl, inokuliert. Der Chlorophyllgehalt infizierter Blätter wurde zu verschiedenen Zeitpunkten durch Extraktion mit Methanol und photometrischer Bestimmung der optischen Dichte (3.4.6) ermittelt. Als Kontrolle dienten uninfizierte, normal gegossene Pflanzen, welche auf 100 % gesetzt wurden. Dargestellt sind die Mittelwerte von 3 Wiederholungen. Die Standardabweichung wird durch die Fehlerbalken wiedergegeben. Eine mögliche Signifikanz wurde durch Anwenden des t-TESTs geprüft.

4.2.2.3 HISTOCHEMISCHE FÄRBUNGEN

Auf Pathogenbefall reagieren Pflanzen wie auch neutrophile und tierische Makrophagen (Quinn *et al.*, 1992) frühzeitig mit dem Oxidativen Burst, welcher durch Freisetzung Reaktiver Sauerstoffspezies (ROS) gekennzeichnet ist. Durch die schnelle Akkumulation von ROS werden verschiedene Verteidigungsmechanismen, wie die Verstärkung von Zellwänden oder die Hypersensitive Reaktion (HR), in Gang gesetzt. Des Weiteren dienen ROS als Signalmoleküle, induzieren Resistenz, fördern den Zelltod und beeinflussen antimikrobielle Aktivität (1.4).

Die organische Verbindung 3,3-Diaminobenzidintetrahydrochlorid (DAB) bildet mit H_2O_2 durch Oxidation ein braunes, in wässrigen oder organischen Lösungsmitteln unlösliches Präzipitat. Bei lebendem Pflanzengewebe wird DAB in die Zellen aufgenommen und reagiert dort bei vorliegender Peroxidaseaktivität mit dem relativ kurzlebigen H_2O_2 (Thordal-Christensen *et al.*, 1997). Induzierte ROS-Bildung, etwa durch eine Pathogen-Infektion, lässt sich bereits zu einem sehr frühen Zeitpunkt einer Besiedelung, noch bevor sich die Infektion makroskopisch manifestiert, durch DAB-Färbung (3.4.13) nachweisen. Die Bildung von ROS nach *Alternaria*-Infektion wurde durch Anfärben von H_2O_2 mittels DAB untersucht und ließ sich an den dunkelbraun angefärbten Blattstellen an den Inokulationsorten erkennen (Abbildung 4-11 A). NaCl-behandelte *A. thaliana* wiesen 2 bzw. 3 Tage nach *Alternaria*-Infektion kein im Vergleich zur Wasserkontrolle verändertes H_2O_2 -Bildungsmuster auf. Die Bildung von ROS aufgrund abiotischen Stresses durch erhöhte NaCl-Konzentrationen wurde bereits zuvor bei *Pisum sativum* und *Arabidopsis thaliana* beschrieben (Hernandez *et al.*, 2001; Xie *et al.*, 2012), konnte jedoch bei der hier eingesetzten Salzkonzentration zu den untersuchten Zeitpunkten nicht beobachtet werden.

Zur Visualisierung von Zelltod wurde Trypanblau, ein anionischer Diazofarbstoff, verwendet. Der Farbstoff, welcher von pflanzlichen, lebenden Zellen nicht aufgenommen wird, verleiht abgestorbenen oder perforierten Zellen nach Aufnahme eine dunkelblaue Färbung. Auch pilzliche Strukturen, wie Hyphen oder Sporen nehmen den Farbstoff auf und lassen sich so darstellen. Der durch Pilzinfektion induzierte Zelltod wurde in Abbildung 4-11 B mittels Trypanblau-Färbung (3.4.12) sichtbar gemacht. Die makroskopische Untersuchung Trypanblau gefärbter Blätter NaCl-behandelter Pflanzen, die mit *Alternaria* infiziert waren, zeigten eine deutliche Induktion von Zelltod um den Infektionsherd, erkennbar an der dunkelblauen Färbung, 3, 6 und 9 Tage nach Infektion. Blätter, die am Tag 0 nach Infektion angefärbt wurden wiesen keine Induktion von Zelltod auf.

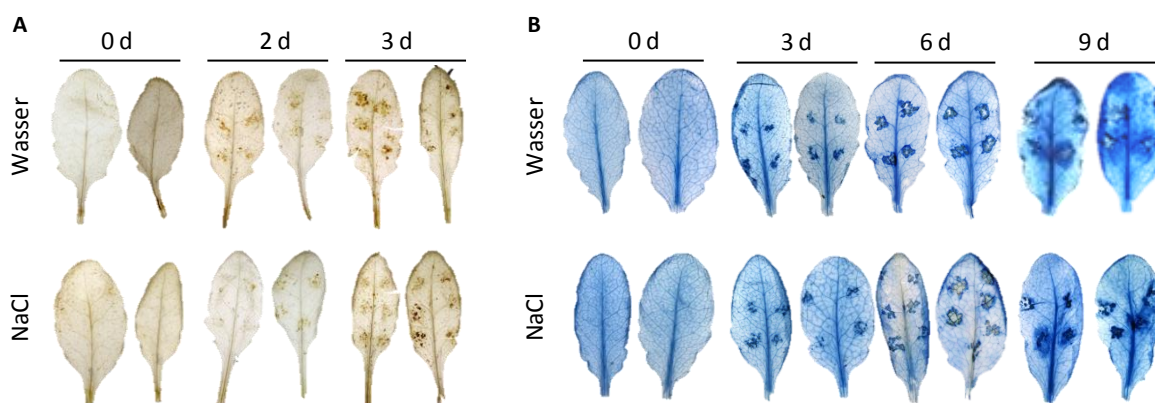


Abbildung 4-11 DAB- und Trypanblau-Färbung nach *Alternaria*-Infektion.

NaCl-behandelte *A. thaliana*-Pflanzen wurden 4 Tage nach Salzstressinduktion (150 mM NaCl; 25 ml/Pflanze) mit einer *A. brassicicola*-Sporensuspension ($1 \cdot 10^6$ Sporen/ml), durch Auftragen von 4 oder 6 Tropfen à 5 μ l, inokuliert. DAB-Färbung (A) erfolgte 0, 2 und 3 Tage nach Infektion. Einzelne Blätter wurden geerntet, in einer DAB-Färbelösung inkubiert und mit Ethanol entfärbt. Das Ergebnis wurde fotografisch festgehalten. Dargestellt sind je zwei Blätter von Wasser- und NaCl-behandelten Pflanzen. Zur Färbung der Blätter mit Trypanblau (B) wurden zu verschiedenen Zeitpunkten nach Infektion einzelne Blätter in einer Trypanblau-Lösung aufgekocht, durch Ethanol entfärbt und das Ergebnis fotografisch festgehalten. Dargestellt sind je zwei Blätter von Wasser- und NaCl-behandelte Pflanzen 0, 3, 6 und 9 Tage nach Infektion.

Zwischen den Blättern von Pflanzen die einer erhöhten NaCl-Konzentration ausgesetzt waren und den Blättern nicht gestresster Pflanzen ließ sich makroskopisch kein Unterschied in der Zelltodinduktion feststellen.

4.2.2.4 ALTERNARIA-WACHSTUM

Das *Alternaria*-Wachstum wurde durch Bonitur von mindestens 20 infizierten Pflanzen pro Behandlung bestimmt. Zudem wurde der Gehalt pilzlicher DNA in mindestens 6 infizierten Pflanzen pro Behandlung quantitativ erfasst. Wie in Abbildung 4-12 (A) zu erkennen ist, weisen NaCl-behandelte *A. thaliana* einen im Vergleich zur Wasserbehandlung signifikant erhöhten Erkrankungsgrad auf. Außerdem konnte durch quantitative Analyse ein deutlich erhöhter Gehalt an *Alternaria*-DNA (Abbildung 4-12 B) in infizierten, NaCl-behandelten Blättern im Vergleich zur Kontrolle festgestellt werden.

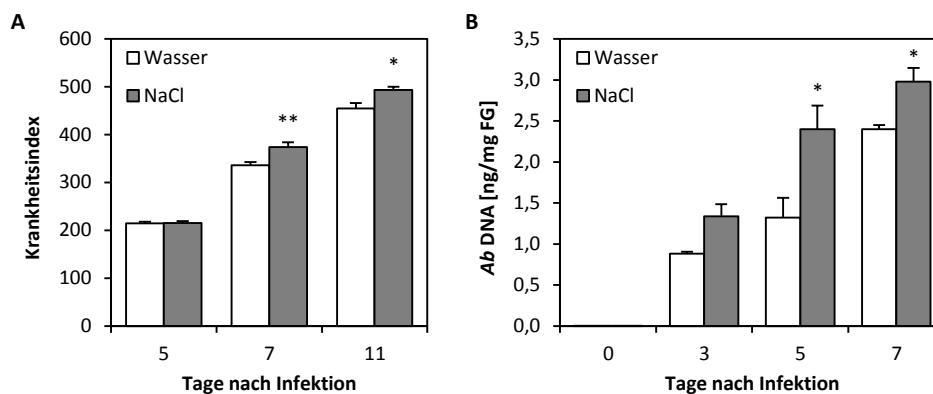


Abbildung 4-12 *Alternaria*-Wachstum nach NaCl-Behandlung.

5 Wochen alte *A. thaliana*-Pflanzen wurden mit je 25 ml einer 150 mM NaCl-Lösung gegossen und 4 Tage nach der Behandlung mit einer *Alternaria*-Sporensuspension ($1 \cdot 10^6$ Sporen/ml) inokuliert. Zur Kontrolle wurden mit normalem Wasser gegossene Pflanzen gleichermaßen infiziert. Auf jeweils 4 Blätter von mindestens 6-20 Pflanzen pro Behandlung wurden $6 \times 5 \mu\text{l}$ der Sporensuspension aufgetragen und zur Kultivierung in feuchter Atmosphäre unter Kurztagbedingungen gehalten. (A) Die Ermittlung des Krankheitsindex erfolgte durch Bonitur des Infektionsgrades. Der Versuch wurde 4-fach durchgeführt. Dargestellt sind die Mittelwerte mit Standardabweichungen der Krankheitsindizes von jeweils 20 Pflanzen pro Behandlung. (B) Die Bestimmung der pilzlichen DNA in infiziertem Pflanzengewebe (in mg Frischgewicht, FG) erfolgte an den Tagen 0, 3, 5 und 7 nach Infektion. Hierzu wurden pro Behandlung und Zeitpunkt von mindestens 6 Pflanzen jeweils 3 Blätter geerntet, die Gesamt-DNA isoliert und mittels qPCR und spezifischen Primern die *Alternaria*-DNA quantifiziert. Dargestellt sind die Mittelwerte mit Standardabweichung. Der Versuch wurde 4-mal durchgeführt. Zur Prüfung der Signifikanz wurde in beiden Fällen der Student t-TEST angewandt. [$*=p \leq 0,05$; $**=p \leq 0,01$]

4.2.2.5 TRANSKRIPTANALYSE NACH NaCl- & ALTERNARIA-BEHANDLUNG

Zur näheren Untersuchung molekularbiologischer Vorgänge in NaCl-gestresstem Pflanzengewebe nach erfolgter *Alternaria*-Infektion wurden Stress- und Phytohormon-abhängige Markergene einer quantitativen Analyse mittels RT-qPCR unterzogen. Hierzu wurden die Expression der durch Salicylsäure-induzierten Gene *FRK1* und *PR1*, der Jasmonsäure abhängigen Gene *WRKY17* (Journot-Catalino *et al.*, 2006) und *JR3* sowie das Ethylen-responsive Gen *ERF1* untersucht.

Die Ergebnisse der RT-qPCR-Analysen werden in Abbildung 4-13 zusammengefasst. Die Expression von *FRK1* (Abbildung 4-13 A), *PR1* (Abbildung 4-13 B), *WRKY17* (Abbildung 4-13 C) sowie *JR3* (Abbildung 4-13 D) 7 Tage nach erfolgter Infektion war in den durch NaCl abiotisch gestressten Col-0 im Vergleich zur Wasserkontrolle stark erhöht. *ERF1* hingegen wies in dem zuvor mit NaCl-behandelten Pflanzenmaterial keine signifikante Änderung des Expressionslevels auf (Abbildung 4-13 E). Die Akkumulation des ABA-Markergens *ABI5* war an Tag 0 in den NaCl-behandelten *A. thaliana* im Vergleich zu den normal gewässerten Pflanzen deutlich erhöht (Abbildung 4-13 F). 3 Tage nach erfolgter Infektion ist das *ABI5*-Level der salzgestressten Pflanzen auf demselben niedrigen Niveau wie das der wasserbehandelten Pflanzen.

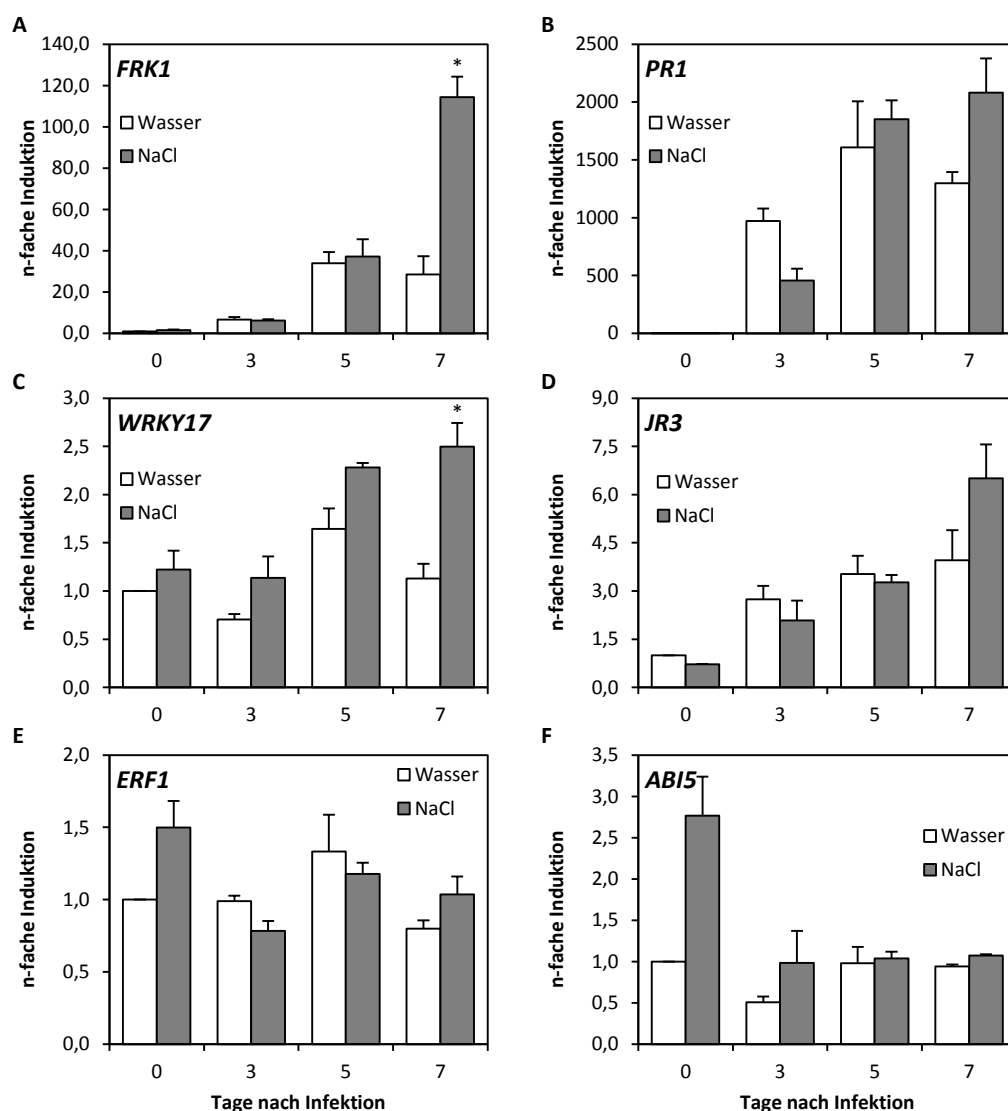


Abbildung 4-13 Transkriptanalyse NaCl-behandelter *A. thaliana*-Pflanzen nach *Alternaria*-Infektion.

Die Genexpression von *FRK1* (A), *PR1* (B), *WRKY17* (C), *JR3* (D), *ERF1* (E) und *ABI5* (F) wurde in 5 Wochen alten *A. thaliana* nach Salzbehandlung (150 mM NaCl; 25 ml/Pflanze) und *Alternaria*-Infektion ($1 \cdot 10^6$ Sporen/ml) an verschiedenen Tagen nach der Infektion mittels RT-qPCR mit spezifischen Primern untersucht. Dabei diente das Transkript des konstitutiv exprimierten Gens *Ef1 α* zur Normalisierung. Die Wasserkontrollen zum Zeitpunkt 0 d wurden auf 1 gesetzt. Die Daten zeigen Mittelwerte mit Standardabweichungen von mindestens drei unabhängigen Parallelen. Die Signifikanzprüfung erfolgte durch Anwendung des Student t-TESTs. [*= $p \leq 0,05$]

Die Induktion von Stress durch NaCl in *A. thaliana* hat einen positiven Einfluss auf die Pathogenität von *A. brassicicola*. Die Besiedelung durch den Ascomyceten verläuft schneller. Ursache hierfür könnte ein, bedingt durch die Salzbehandlung, verändertes Verhältnis der sein.

4.2.3 SALZSTRESS & *B. CINEREA*-INFEKTION

Neben dem mäßig aggressiven nekrotrophen Vertreter *A. brassicicola* wurde auch die Pathogenität des aggressiveren Ascomyceten *Botrytis cinerea* auf durch NaCl abiotisch gestressten *A. thaliana* näher untersucht.

4.2.3.1 PHÄNOTYPISCHE ANALYSE

Durch erhöhte NaCl-Konzentrationen abiotisch gestresste *A. thaliana*-Pflanzen wurden zusätzlich biotischem Stress mittels *Botrytis*-Infektion ausgesetzt. Der Verlauf der Infektion wurde über mehrere Tage beobachtet und ist in Abbildung 4-14 dargestellt.

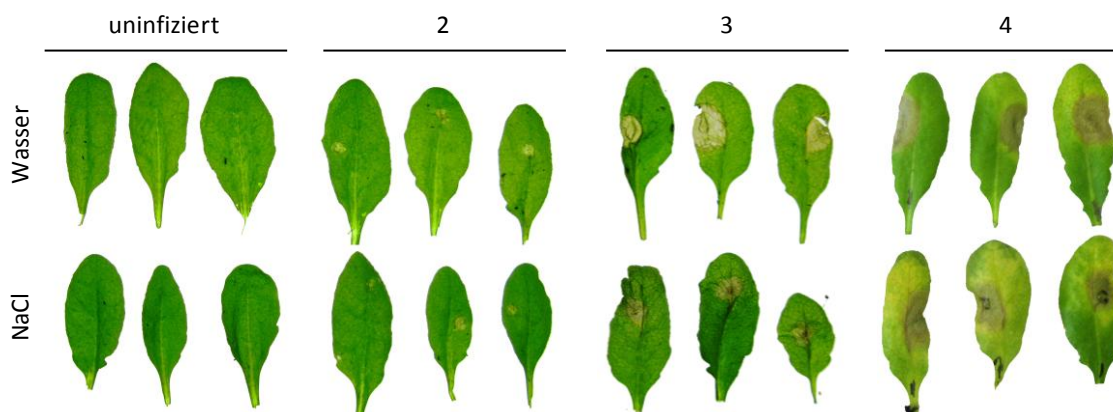


Abbildung 4-14 *Botrytis*-Infektion NaCl behandelter *A. thaliana*.

5 Wochen alten *A. thaliana* wurden 25 ml einer 150 mM NaCl-Lösung verabreicht. 4 Tage nach der Salzbehandlung wurden einzelne Blätter mit einer *Botrytis*-Sporensuspension ($5 \cdot 10^5$ Sporen/ml) infiltriert. Dargestellt ist der Verlauf einer Infektion bis zu 4 Tage nach Inokulation mit Pilzsporen. Als Kontrolle dienten Blätter normal gewässerten Pflanzen.

Der Krankheitsverlauf ließ sich deutlich an der Ausbildung wässriger Läsionen im Blattgewebe ab dem 2. Infektionstag erkennen (Abbildung 4-14). Am 4. Tag nach Infektion war das namensgebende, gräuliche Myzelium samt Konidien des Grauschimmel-Erregers bereits teilweise sichtbar. Die Pathogenese schien in den Blättern der vorgestressten Pflanzen schneller vonstatten zu gehen, als in denen der Kontrollpflanzen, was an Tag 4 nach Inokulation deutlich sichtbar wurde. Die Quantifizierung des Wachstums erfolgt in Kapitel 4.2.3.3.

4.2.3.2 CHLOROPHYLLGEHALT UND HISTOCHEMISCHE FÄRBUNGEN

Der Blattchlorophyllgehalt von uninfizierten und mit *Botrytis* infizierten Blättern wurde nach Extraktion des Chlorophylls über mehrere Tage bestimmt (Abbildung 4-15 A). Die uninfizierten Blätter zeigten eine leichte Abnahme des Chlorophyllgehaltes über die untersuchte Zeitspanne. Der Gehalt der infizierten Blätter war geringer, als der nicht infizierter Kontrollblätter. Zwischen den verschiedenen Behandlungen, ohne und mit NaCl, ließen sich jedoch keine signifikanten Unterschiede erkennen.

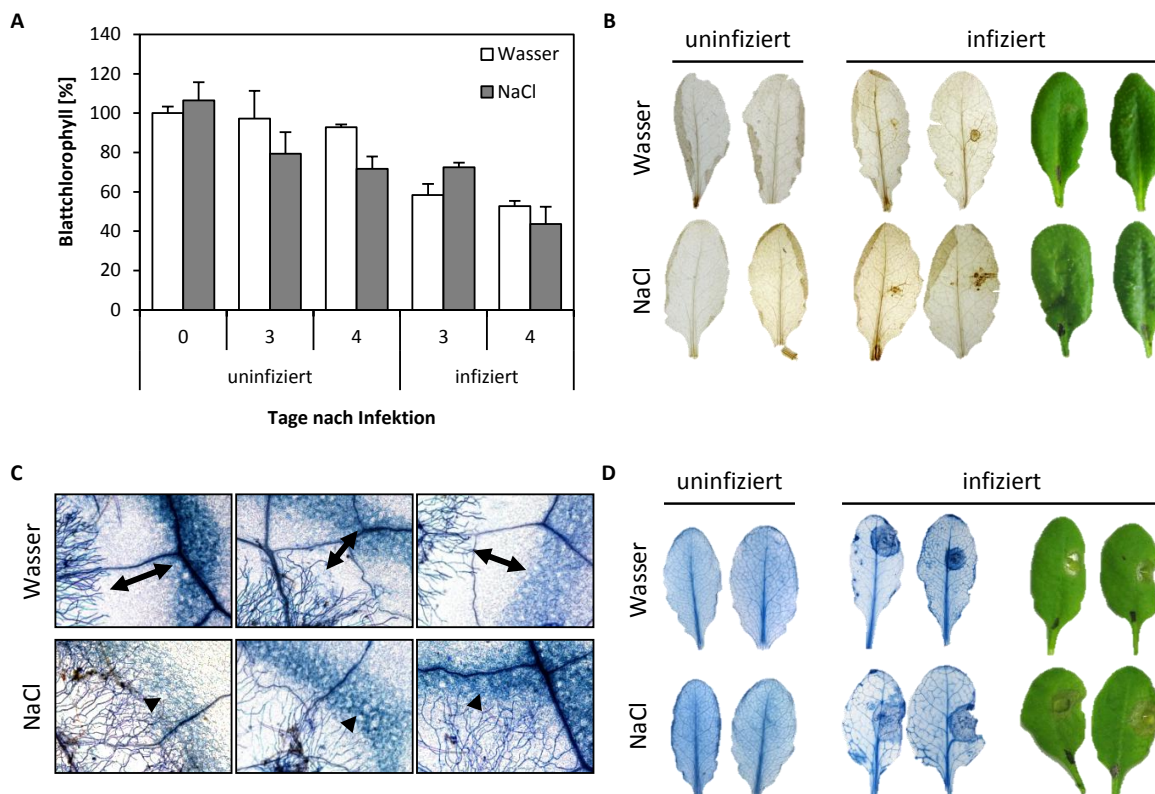


Abbildung 4-15 Chlorophyllgehalt, DAB- und Trypanblau-Färbung nach *Botrytis*-Infektion.

5 Wochen alte *A. thaliana* wurden durch NaCl abiotischem Stress ausgesetzt (150 mM NaCl; 25 ml/Pflanze) und 4 Tage nach Behandlung durch das Auftragen von 5 µl einer *Botrytis*-Sporensuspension ($5 \cdot 10^5$ Sporen/ml) infiziert. Als Kontrolle dienten normal gewässerte *A. thaliana*-Pflanzen. (A) Die Bestimmung des Chlorophyllgehaltes erfolgte zu verschiedenen Zeitpunkten nach Infektion durch Extraktion des Chlorophylls mit Methanol und photometrischer Bestimmung der optischen Dichte. Dargestellt sind die Mittelwerte von 3 Wiederholungen. Die Standardabweichung wird durch die Fehlerbalken wiedergegeben. Eine mögliche Signifikanz wurde durch Anwenden des t-TESTs geprüft und zeigte keine Unterschiede zwischen Salz- und normal gewässerten Pflanzen. (B) Die Anfärbung der ROS erfolgte 2 Tage nach Infektion. Pro Behandlung wurden mindestens 6 Blätter verschiedener Pflanzen geerntet, in DAB-Färbelösung inkubiert und mit Ethanol entfärbt. Das Ergebnis wurde fotografisch festgehalten. (C+D) 3 Tage nach Infektion wurden pro Behandlung mindestens 6 Blätter verschiedener Pflanzen geerntet, in einer Trypanblau-Lösung aufgekocht und durch Ethanol das Chlorophyll entfärbt. Der durch Trypanblau visualisierte Zelltod und die Ausbreitung der Pilzhyphen wurden mikroskopisch und makroskopisch festgehalten und wird exemplarisch dargestellt. Der Abstand von Myzelium und Zelltodlinie in (C) wird durch schwarze Pfeile bzw. Pfeilköpfe verdeutlicht.

Die Freisetzung von Sauerstoffspezies während des Oxidativen Bursts ist ein wirkungsvolles Mittel gegen biotrophe Organismen (Rivas & Thomas, 2005). Das nekrotrophe Pathogen *Botrytis cinerea* hingegen profitiert von der Freisetzung und produziert auch selbst ROS. Die Pathogenität von *Botrytis* korreliert mit der Intensität des Oxidativen Bursts (von Tiedemann, 1997; Temme & Tudzynski, 2009). Im Folgenden wurde untersucht, ob erhöhter Salzstress die Akkumulation von ROS, bedingt durch *Botrytis*-Infektion zu einem frühen Zeitpunkt der Infektion, beeinflusst.

In Abbildung 4-15 B werden Blätter von mit Salz oder Wasser behandelten Pflanzen 2 Tage nach *Botrytis*-Infektion dargestellt. Uninfizierte Blätter zeigten unabhängig von der Behandlung keine ROS-Akkumulation. Infizierte, DAB-gefärbte Blätter wiesen keinen Unterschied in der Stärke des Oxidativen Bursts zwischen den Behandlungen auf. Zur Darstellung des Zelltodes und

der Pilzhyphen wurden mindestens 10 Blätter pro Behandlung 3 Tage nach *Botrytis*-Infektion mit Trypanblau angefärbt. Durch mikroskopische Untersuchung des gefärbten Blattmaterials (Abbildung 4-15 C) ließ sich ein Unterschied des Zelltods und des Myzelwachstums in den durch erhöhte Salzkonzentration gestressten Pflanzen erkennen. Das Myzelium in den NaCl-behandelten Blättern erschien weniger kompakt als das in den Wasserkontrollen und breitete sich bis zur Zelltodlinie und teilweise darüber hinaus aus. Auch makroskopisch (Abbildung 4-15 D) erschien das Myzelium in den NaCl-behandelten Blättern weniger kompakt und breitet sich weiter aus.

4.2.3.3 BOTRYTIS-WACHSTUM

Neben der visuellen Beurteilung des *Botrytis*-Wachstums wurde die Pathogenität durch das Ausmessen der Läsionen und durch Ermittlung der pilzlichen DNA in infiziertem Pflanzengewebe quantifiziert. Infizierte Blätter wurden 3 d nach Inokulation fotografiert und die Läsionsgrößen mittels Adobe Photoshop und dem *magnetic lasso tool* ermittelt. Pro Behandlung wurden mindestens 40 Blätter ausgewertet. Die Größe der Läsionen der NaCl-Behandlung war im Vergleich zur Wasserkontrolle signifikant erhöht (Abbildung 4-16 A). Auch durch Quantifizierung der *Botrytis*-DNA (Abbildung 4-16 B) konnte 3 Tage nach Infektion ein im Vergleich zur Wasserbehandlung erhöhter Anteil pilzlicher DNA in infiziertem Pflanzengewebe nachgewiesen werden.

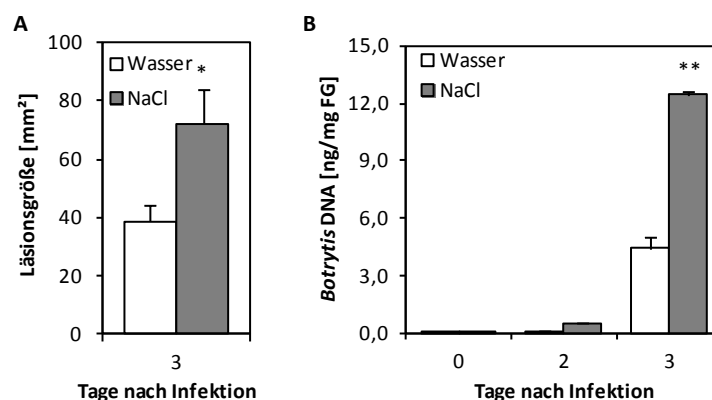


Abbildung 4-16 *Botrytis*-Wachstum nach NaCl-Behandlung.

Salzgestressten, adulten *A. thaliana* wurden 4 Tage nach Salzstressinduktion (150 mM NaCl; 25 ml/Pflanze) 5 µl einer *Botrytis*-Sporensuspension ($5 \cdot 10^5$ Sporen/ml) aufgetropft. Als Kontrolle dienten normal gegossene, infizierte Pflanzen. (A) Die Läsionsgrößen von mindestens 40 Blättern pro Behandlung wurden 3 d nach der Infektion ermittelt. (B) Die Bestimmung der pilzlichen DNA in infiziertem Pflanzengewebe (in mg Frischgewicht, FG) erfolgte an den Tagen 0, 2 und 3 nach Infektion von jeweils 3 Blättern 6 verschiedener Pflanzen pro Behandlung. Die isolierte pilzliche DNA wurde in einer qPCR mit spezifischen Primern quantifiziert. Beide Versuche wurden mindestens 3-mal durchgeführt. Dargestellt sind die Mittelwerte jeweils eines Versuchs mit Standardabweichung. Zur Prüfung der Signifikanz wurde in beiden Fällen der Student t-TEST angewandt. [*= $p \leq 0,05$; **= $p \leq 0,01$]

4.2.3.4 TRANSKRIPTANALYSE NACH NaCl- & *BOTRYTIS*-BEHANDLUNG

Für eine nähere Untersuchung der molekularbiologischen Vorgänge aufgrund der Kombination von abiotischem Stress, verursacht durch NaCl, und biotischem Stress, verursacht durch *B. cinerea*-Infektion, wurden Stress- und Phytohormon-abhängige Markergene mittels RT-qPCR und spezifischen Primern quantitativ analysiert. Es wurden pro Behandlung jeweils 3 Replikate analysiert und die Versuche mindestens 4-mal wiederholt. In Abbildung 4-17 sind die Ergebnisse der Analysen exemplarisch zusammengefasst.

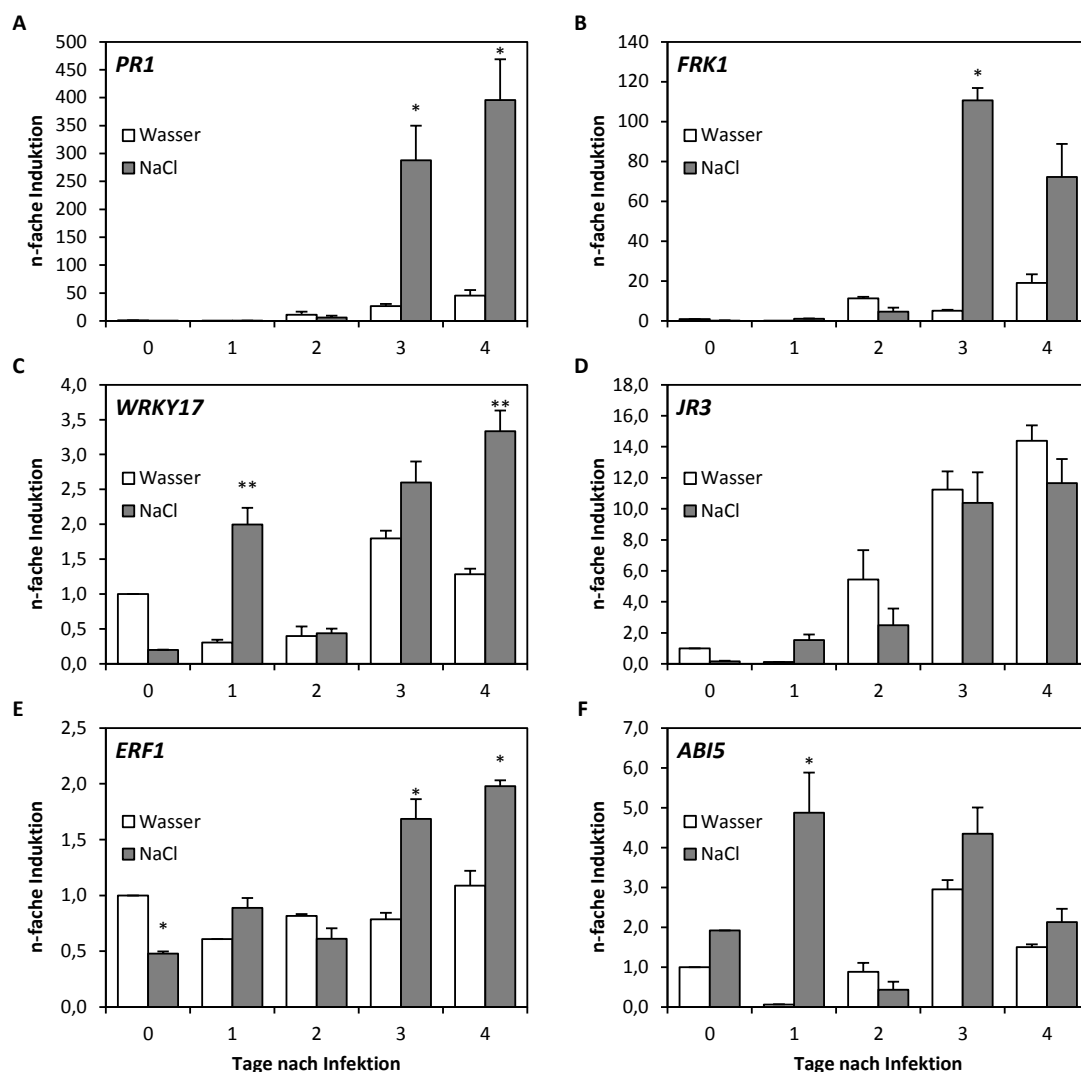


Abbildung 4-17 Transkriptanalyse NaCl-behandelter *A. thaliana* nach *Botrytis*-Infektion.

Die Genexpression von *FRK1* (A), *PR1* (B), *WRKY17* (C), *JR3* (D), *ERF1* (E) und *AB15* (F) wurde in 5 Wochen alten *A. thaliana*-Pflanzen nach Salzbehandlung (150 mM NaCl; 25 ml/Pflanze) und *Botrytis*-Infektion ($5 \cdot 10^5$ Sporen/ml) an verschiedenen Tagen nach der Infektion mittels RT-qPCR mit spezifischen Primern untersucht. Dabei diente das Transkript des konstitutiv exprimierten Gens *Ef1 α* zur Normalisierung. Die Wasserkontrollen zum Zeitpunkt 0 d wurden auf 1 gesetzt. Die Daten zeigen Mittelwerte mit Standardabweichungen von mindestens drei unabhängigen Parallelen. Die Signifikanzprüfung erfolgte durch Anwendung des Student t-TESTs. [*= $p \leq 0,05$; **= $p \leq 0,01$]

Durch die Quantifizierung der von Salicylsäure abhängigen Gene *PR1* (Abbildung 4-17 A) und *FRK1* (Abbildung 4-17 B) wurde ein erheblich erhöhtes Expressionslevel an den Tagen 2 und 3 nach Infektion in den NaCl-behandelten Pflanzen festgestellt. Das in der Jasmonsäure-Biosynthese involvierte Gen *WRKY17* (Abbildung 4-17 C) wies ebenfalls ein signifikant erhöhtes Expressionslevel auf. Die Induktion des Jasmonsäure-induzierten Gens *JR3* (Abbildung 4-17 D) hingegen war im Vergleich zur Wasserkontrolle unverändert. Das Expressionsniveau des Ethylen-Markergens *ERF1* (Abbildung 4-17 E) war leicht, jedoch signifikant erhöhte in den NaCl-Proben an den Tagen 3 und 4 nach Infektion. Die Akkumulation des ABA-Markergens *ABI5* (Abbildung 4-17 F) war zu Beginn der Infektion an den Tagen 0 und 1 sowie an den Tagen 3 und 4 nach Infektion in den salzbehandelten Pflanzen im Vergleich zu der Akkumulation in den mit Wasser behandelten Pflanzen höher.

Die Analyse der verschiedenen Markergene deutet auf Veränderungen von Salicylsäure-, Jasmonsäure-, Ethylen- und Abscisinsäure-vermittelter Signalwege unter NaCl-induziertem Stress hin.

4.2.4 UNTERSUCHUNG VERSCHIEDENER STRESS INVOLVIERTER TFs

Transkriptionsfaktoren spielen eine wichtige Rolle in der Steuerung verschiedener stressinvolvierter Signalwege. Auf Grund dessen wurden TFs ausgewählt, welche sowohl durch Salzstress, als auch durch *Botrytis*-Infektion in ihrer Expression erhöht waren. Hierzu wurden publizierte *Microarray*-Daten (AbuQamar *et al.*, 2006; Thilmony *et al.*, 2006; Matsui *et al.*, 2008) auf Übereinstimmungen herangezogen. Zu drei der gefundenen TFs wurden T-DNA-Insertionslinien über das *European Arabidopsis Stock Centre* (Nottingham) bezogen und untersucht.

Des Weiteren wurde die von Weiste *et al.* (2007) zur Verfügung gestellte *AtTORF*-Ex-Sammlung, einem Screening auf erhöhte *Botrytis*-Toleranz von durch NaCl vorgestresster Pflanzen unterzogen. Die *AtTORF*-Ex-Sammlung setzt sich aus Überexpressionslinien verschiedener stressinvolvierte Transkriptionsfaktoren (*WRKY*, *NAC*, *bHLH*, *ERF*, *DOF*, *HSF*, *bZIP*) zusammen. Mittels des Screenings konnte eine Linie identifiziert werden, welche ein vermindertes Wachstum von *B. cinerea* nach Salzbehandlung aufzuweisen schien. Daraufhin wurde die Überexpressionslinie des TF *WRKY75* (*WRKY75-OE*) weiteren Infektionsstudien unterzogen (Abbildung 4-20).

4.2.4.1 CHARAKTERISIERUNG DER T-DNA-INSERTIONSLINIEN

Für die auf der Grundlage der vorhandener *Microarray*-Daten (Kilian *et al.*, 2007; Zeller *et al.*, 2009), wurden Transkriptionsfaktoren gewählt, die unter den dort untersuchten Stresssituationen in ihrer Expression beeinflusst wurden. Für Infektionsstudien wurden der TF

MYB51, der durch zahlreiche Stimuli, wie zum Beispiel ABA, ET, IAA, JA, SA, NaCl (Chen *et al.*, 2006) induziert wird und der durch ABA (Xin *et al.*, 2005), SA und NaCl (Chen *et al.*, 2006) induzierte TF *MYB112* gewählt. Außerdem wurde eine T-DNA-Insertionslinie des TF *WRKY25*, induzierbar durch Hitze (Li *et al.*, 2008) und negativer Repressor SA-vermittelter Resistenzmechanismen (Zheng *et al.*, 2007) charakterisiert.

Für die Analyse der ausgewählten TFs *in vivo* standen vier verschiedene T-DNA-Insertionslinien, mit dem genetischen Hintergrund des Ökotypen Col-0, zur Verfügung. Neben den Linien N306626 (*myb51_1*), N458196 (*myb51_2*) und N311979 (*myb112*) (Rosso *et al.*, 2003) wurde die Linie N851274 (*wrky25*) von Sussman *et al.* (2000) verwendet. In Abbildung 4-18 werden die Genstrukturen mit der Position der T-DNA-Insertionen dargestellt.

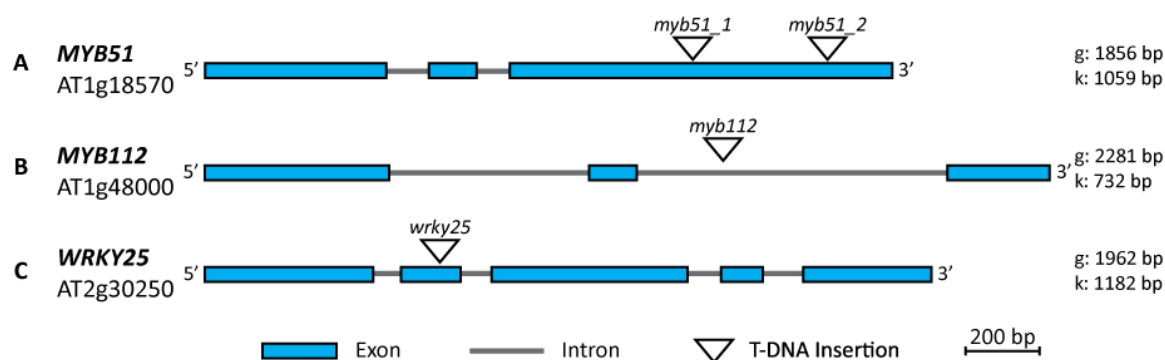


Abbildung 4-18 Genstruktur und Lokalisation von T-DNA-Insertionen ausgewählter TF.

Die Genstrukturen der Gene *MYB51* (A), *MYB112* (B) und *WRKY25* (C) sind als Exon-Intron Abfolge dargestellt. Die T-DNA-Insertionsstellen im Genom werden durch weiße Dreiecke angezeigt. g: genomische DNA; k: kodierende DNA.

Die Überprüfung der T-DNA-Insertionslinien auf Reinerbigkeit und Transkriptfreiheit erfolgte durch Genotypisierung und der anschließender Prüfung auf Expression des Zielgens. Die Ergebnisse der Genotypisierungen und der Resttranskriptanalysen werden in Abbildung 4-19 wiedergegeben.

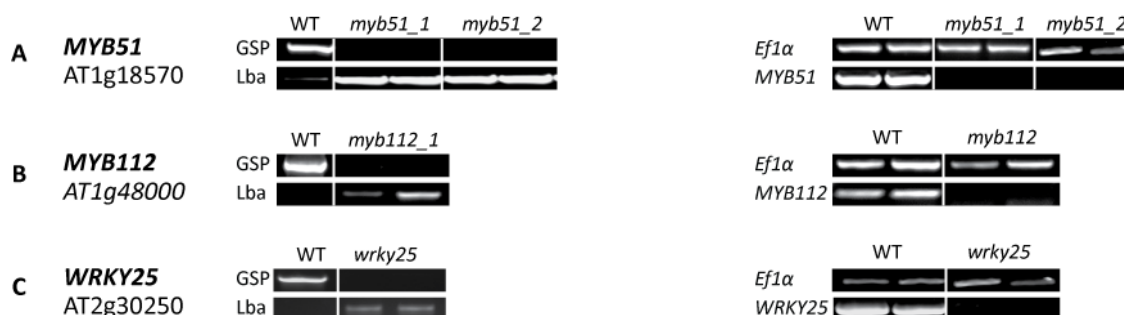


Abbildung 4-19 Charakterisierung von T-DNA-Insertionslinien ausgewählter TF.

Zur Charakterisierung der T-DNA-Insertionslinien von *MYB51* (A), *MYB112* (B) sowie *WRKY25* (C) wurde genomische DNA extrahiert und PCRs zur Genotypisierung durchgeführt. Für die genspezifische PCR (GSP) wurden zwei Primer, welche spezifisch an das zu untersuchende Gen banden, verwendet und für die Lba-PCR jeweils ein genspezifischer Primer sowie entsprechend dem Insert der Primer *Gabi_Kat_Lba*, *SALK_LBA* oder *WiscDslox_Lba*. Zur Analyse der

Pflanzen auf Resttranskript wurde gesamt RNA aus Blättern isoliert, in cDNA transkribiert und mittels RT-qPCR auf Transkript untersucht. Für die Amplifizierung des Transkripts wurden Primer spezifisch der zu untersuchenden Genen verwendet. Als Ladungsstandard wurde das *housekeeping* Gen *EF1α* untersucht.

Die Homozygotie der getesteten T-DNA-Insertionslinien *myb51_1*, *myb51_2*, *myb112* und *wrky25* konnte durch Genotypisierung belegt werden. Außerdem konnte gezeigt werden, dass die verschiedenen Linien keine Expression des jeweiligen Gens mehr aufwiesen (Abbildung 4-19 A-C).

4.2.4.2 BOTRYTIS-WACHSTUM AUF AUSGEWÄHLTEN T-DNA-INSERTIONSLINIEN

Mit den T-DNA-Insertionslinien *myb51_1*, *myb51_2*, *myb112* und *wrky25*, sowie mit der Überexpressionslinie *WRKY75-OE* wurden Infektionsstudien unter salinen Bedingungen und dem Erreger *B. cinerea* durchgeführt. 3 Tage nach Übertragung der *Botrytis*-Sporen wurde das Voranschreiten der Infektionen durch Ermittlung der Läsionsgrößen bestimmt. Die durchschnittlichen Läsionsgrößen der durch Salz vorgestressten Pflanzen wurden in Relation zu denen der Kontrollpflanzen gesetzt und werden in Abbildung 4-20 dargestellt.

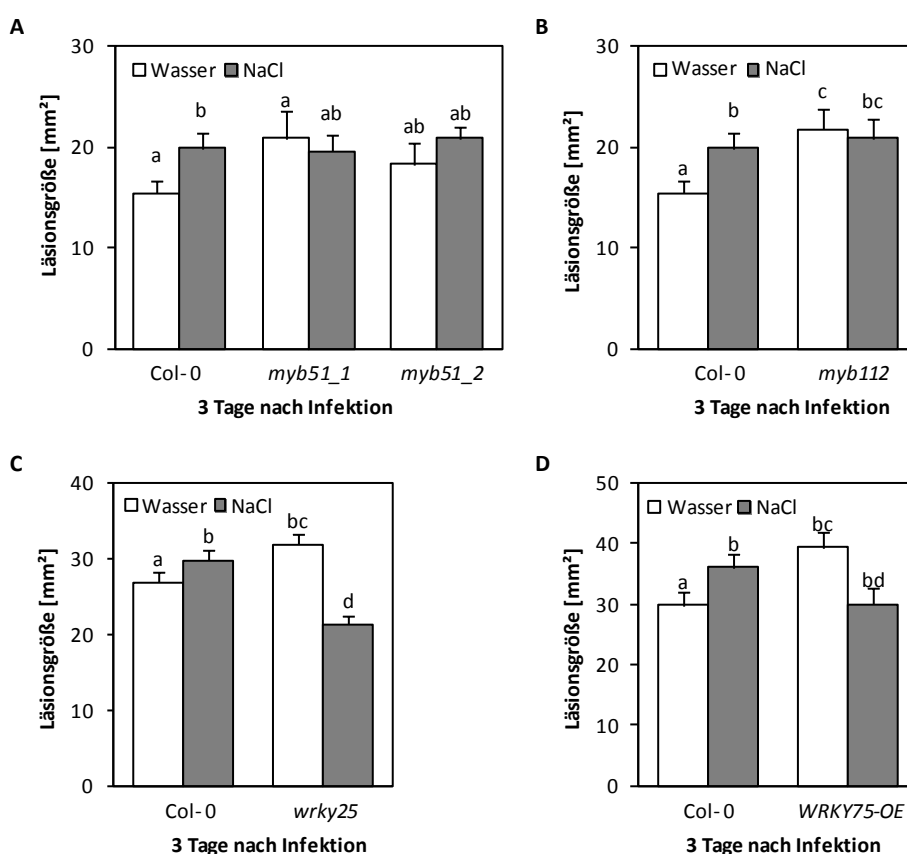


Abbildung 4-20 Infektionsstudien mit verschiedenen T-DNA-Insertionslinien.

Salzgestressten, adulten *A. thaliana* wurden 4 Tage nach Salzstressinduktion (150 mM NaCl; 25 ml/Pflanze) 5 µl einer *Botrytis*-Sporensuspension ($5 \cdot 10^5$ Sporen/ml) aufgetropft. Als Kontrolle dienen normal gegossene, infizierte Pflanzen. Die Läsionsgrößen von mindestens 24 Blättern pro Behandlung wurden 3 d nach der Infektion ermittelt. Die Versuche wurden mindestens 3-mal durchgeführt. Dargestellt werden die Mittelwerte jeweils eines Versuchs mit Standardabweichung. Zur Prüfung der Signifikanz wurde Student t-TEST angewandt; Mittelwerte mit unterschiedlichen Buchstaben unterscheiden sich signifikant voneinander.

Der Wildtyp Col-0 wies in allen Infektionsstudien signifikant vergrößerte Läsionen in den mit NaCl-behandelten Pflanzen auf (Abbildung 4-20 A-D). Während das Verhältnis der Läsionsgrößen zwischen Col-0 und den einzelnen T-DNA-Linien variieren konnte, war die Relation der Läsionsgröße der NaCl-behandelten Pflanzen zu den normal gewässerten Pflanzen reproduzierbar. Die Linien *myb51_1*, *myb5_2* (Abbildung 4-20 A), sowie *myb112* (Abbildung 4-20 B) zeigten keine signifikanten Änderungen der Läsionsgrößen zwischen den Behandlungen auf. Die T-DNA-Linie *wrky25* (Abbildung 4-20 C) und die *Überexpressionslinie WRKY75-OE* (Abbildung 4-20 D) wiesen signifikant kleinere Läsionsgrößen in den mit NaCl vorgestressten *Arabidopsis*-Pflanzen auf.

4.2.5 ELIZITIERUNGSANALYSEN MIT MAMPS

4.2.5.1 BESTIMMUNG DER AKTIVITÄT MITOGEN-AKTIVIERTER PROTEINKINASEN

Eine der zahlreichen Selbstschutzstrategien von Pflanzen besteht aus der Umwandlung externer Stimuli in zelluläre Prozesse mittels Mitogen-aktivierter Proteinkinase (MPK)-Kaskaden. In dem Modelgras *Lolium temulentum* wurde der Anstieg der Kinaseaktivität bei 44 kDa und 46 kDa nach 10 min Inkubation der Wurzeln in 200 mM NaCl beobachtet (Flors *et al.*, 2005). In *Arabidopsis* werden die MAP-Kinasen MPK3, MPK4/MPK11 und MPK6 durch diverse Stresssituationen wie etwa osmotischer Stress, oxidativer Stress oder Kältestress aktiviert (Ichimura *et al.*, 2000; Lorenzo *et al.*, 2004; Teige *et al.*, 2004).

Im Folgenden wurde die Wirkung der eingesetzten Salzkonzentration in Verbindung mit der Behandlung der Pflanzen mit MAMPs (Mikroben-assoziierte molekulare Muster) durch Betrachtung der posttranslationalen Aktivierung der MAP-Kinasen (Gust *et al.*, 2007) untersucht. Die Analyse der MAPKs in Verbindung mit der Stimulierung durch verschiedene MAMPs dient als Indikator für Stressadaptation. Die beiden MAMPs, die 22 Aminosäuren lange Sequenz des N-terminalen Bereiches des konservierten bakteriellen Flagellins (Flg22) sowie das pilzstämmige Chitin, wurden dabei verwendet. Eine Aktivierung von MAP-Kinase vermittelten Phosphorylierungskaskaden resultiert in der Induktion stressassoziierte Transkriptionsfaktoren (Lorenzo *et al.*, 2004; Pre *et al.*, 2008).

Die MAP-Kinasen MPK3, MPK40/MPK11 und MPK6 wurden 30 min nach Infiltration von 1 μ M Flg22 und 100 μ g/ml Chitin in WT-Pflanzen mittels Immunoblot untersucht. Die Infiltration der Blätter mit Flg22 sowie Chitin führte zu einer Aktivierung der MPKs nach 30 min. Die zuvor mit NaCl behandelten Pflanzen zeigten im Vergleich zur Wasserkontrolle kein verändertes Muster (Abbildung 4-21).

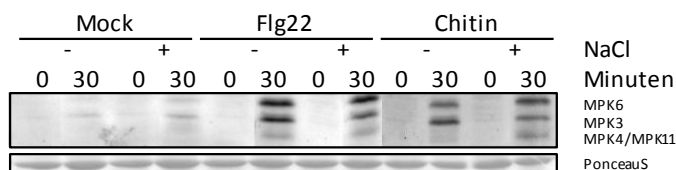


Abbildung 4-21 MPK-Immunoblot nach MAMP-Behandlung.

5 Wochen alte *A. thaliana* WT-Pflanzen (Col-0) wurden mit je 25 ml einer 150 mM NaCl-Lösung gegossen und nach 4 Tagen mit Wasser (Mock), 1 μ M Flg22 oder 100 μ g/ml Chitin infiltriert. Nach 30 min wurde aus den Blättern Proteinextrakt gewonnen, welcher mittels SDS-Page aufgetrennt und die Aktivierung der MPK3, MPK4/MPK11 und MPK6 per spezifischer Detektion mit dem anti-Phospho-p44/42 MAP-Kinasen Antikörper visualisiert wurde. Die Ponceau S-Färbung der Membran diente als Ladekontrolle.

Die schnelle durch MAMPs vermittelte Immunantwort wurde durch den hier eingesetzten mäßigen, längerfristigen Salzstress also nicht beeinflusst.

4.2.5.2 CALLOSEANSAMMLUNGEN NACH NaCl- & MAMP-BEHANDLUNG

Die Ablagerung von Callose wird häufig als Mittel der Quantifizierung der pflanzlichen Immunität eingesetzt. Callose ist ein amorphes, hochmolekulares β -(1,3)-Glukan Polymer, welches als Matrix zur Einlagerung antimikrobieller Verbindungen dient. Somit wird der schnelle und gezielte Transport chemischer Abwehrmoleküle an den Ort der Angriffsstelle gewährleistet. Die Bildung von Callose wird durch konservierte MAMPs, wie zum Beispiel durch das bakterielle Flagellin oder das pilzstämmige Chitin, induziert (Gomez-Gomez *et al.*, 1999; Hernandez *et al.*, 2001; Gomez-Gomez, 2004; Hewezi *et al.*, 2008).

Mit NaCl vorbehandelte adulte *A. thaliana* wurden mit 1 μ M Flg22 oder 100 μ g/ml Chitin halbseitig infiltriert und die Ablagerung von Callose nach Anilin-Färbung (3.4.12) unter UV-Licht dokumentiert. Die nichtinfiltrierte Blattseite diente als Nachweis, dass die Pflanze nicht bereits durch andere Umgebungsfaktoren bzw. reinen Salzstress verursachte Callosebildung aufwies.

Mit NaCl vorbehandelte Pflanzen wiesen bereits ohne MAMP-Behandlung schwache Calloseablagerungen auf. Flg22 induziert erwartungsgemäß Callosebildung, welche in den NaCl behandelten Pflanzen verstärkt auftritt. Chitin löst in den Wasser-Kontrollpflanzen im Vergleich zu den NaCl behandelten Pflanzen nur eine geringe Callosebildung aus (Abbildung 4-22).

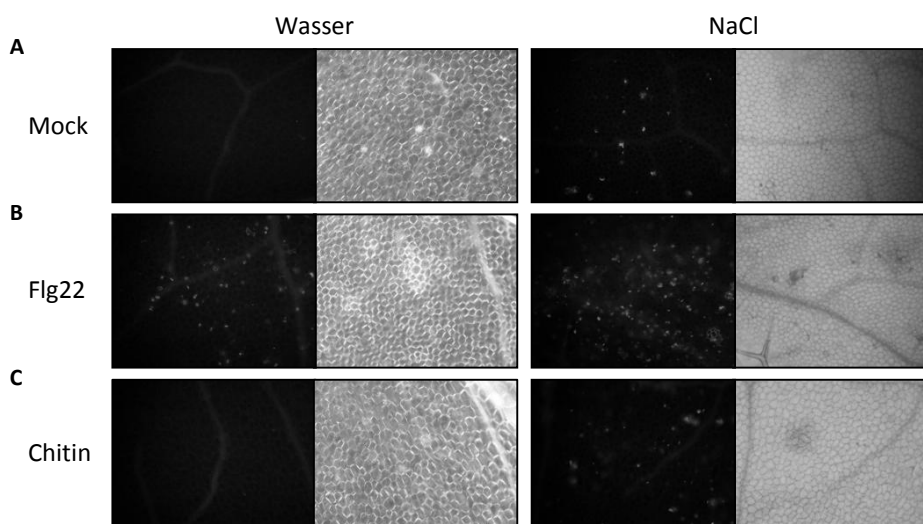


Abbildung 4-22 Mikroskopische Darstellung MAMP-Induzierter Calloseablagerungen.

In Blättern von mit NaCl vorbehandelten 5 Wochen alten Pflanzen (150 mM/25 ml pro Pflanze) wurde Wasser (Mock; A), 1 μ M Flg22 (B) oder 100 μ g/ml Chitin (C) halbseitig infiltriert. 24 h nach Infiltration wurden die behandelten Blätter fixiert, entfärbt und mittels Anilin-Färbung die Callose sichtbar gemacht. Dargestellt sind Ausschnitte des 10-fach vergrößerten Blattgewebes unter UV-Licht mit entsprechendem Durchlichtbild. Die hellen Punkte zeigen Calloseablagerungen an.

Neben der visuellen Auswertung wurde das Ausmaß der Calloseablagerungen durch Analyse der mikroskopischen Bilder mittels Adobe Photoshop CS5 quantifiziert (Abbildung 4-23).

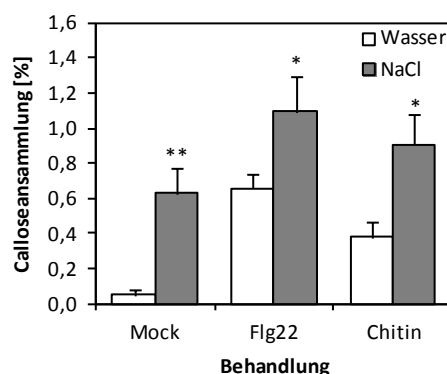


Abbildung 4-23 Quantifizierung der Calloseablagerungen nach MAMP-Behandlung.

Mit NaCl vorbehandelten Pflanzen (150 mM/25 ml pro Pflanze) wurde in die Blätter halbseitig Wasser (Mock), 1 μ M Flg22 oder 100 μ g/ml Chitin infiltriert. 24 h nach Infiltration wurden die behandelten Blätter fixiert, entfärbt und durch Anilin die Calloseansammlungen angefärbt. Calloseablagerungen wurde mikroskopisch unter UV-Licht sichtbar gemacht und fotografisch festgehalten. Die Bilder wurden mit Adobe Photoshop CS5 und dem Hilfsmittel "select range" quantitativ ausgewertet. Prozentangaben entsprechen dem Anteil der hell fluoreszierenden Pixel (entspricht Callose) im Vergleich zur Gesamtpixelzahl des digitalen Fotos. Die Fehlerbalken geben die Standardabweichungen der Mittelwerte von mindestens 20 Parallelen wieder. Die Signifikanzprüfung erfolgte durch Anwendung des Student t-TESTs; dabei wurde die Calloseanreicherungen der NaCl-Behandlungen mit der jeweiligen Wasserkontrolle verglichen. [*= $p < 0,05$; **= $p < 0,01$]

Die Quantifizierung der Calloseablagerungen nach MAMP-Behandlung erfolgte durch Ermittlung der Pixelzahl der durch Anilinblau angefärbten Bereiche. Diese wurden in Relation zur Gesamtpixelzahl des Bildausschnittes, welches das 10-fach vergrößerte Blattgewebe darstellte, gesetzt. Die mengenmäßige Bestimmung des Calloseanteils am Blattgewebe zeigte

eine Induktion der Calloseansammlung nach Flg22- und Chitin-Behandlung in den Blättern der normal gegossenen Pflanzen auf, welche in den Blättern Salz behandelte Pflanzen signifikant erhöht war. Die mit NaCl vorbehandelten Pflanzen wiesen auch ohne MAMP-Behandlung deutliche Calloseablagerungen auf. Daraus lässt sich schließen, dass die vermehrte Anreicherung von Callose nach MAMP-Behandlung in den vorgestressten Pflanzen keine verstärkte Reaktion auf das MAMP ist, sondern vielmehr ein additiver Effekt.

4.2.5.3 TRANSKRIPTANALYSE NACH NaCl- & MAMP-BEHANDLUNG

Nachdem die Analyse der Calloseablagerungen nach MAMP-Behandlung eine verstärkte Callosebildung in durch NaCl vorgestresster *A. thaliana* ergab, wurde als weiteres Merkmal induzierter Immunantwort die Expression des für *A. thaliana* typischen Abwehrgens *FRK1* (*flg22-induced receptor-like kinase 1*; Asai *et al.* (2002)) nach der Behandlung mit Flg22, Chitin und Abscisinsäure in adulten Pflanzen und Keimlingen quantitativ bestimmt. Die Ergebnisse der *FRK1*-Analyse werden in Abbildung 4-24 dargestellt.

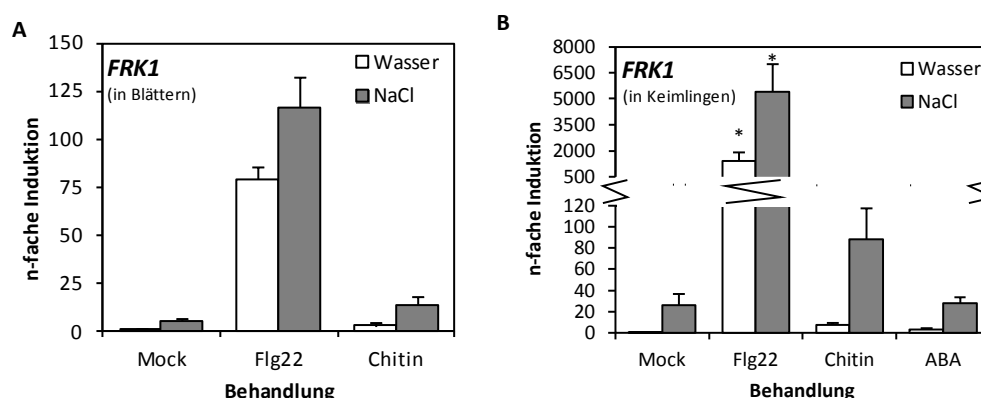


Abbildung 4-24 Transkriptanalyse nach MAMP-Behandlung.

Mit NaCl vorbehandelten Pflanzen (150 mM/25 ml pro Pflanze, A) wurde in die Blätter Wasser (Mock), 1 μ M Flg22 oder 100 μ g/ml Chitin infiltriert. 8 Tage alte Keimlinge (B) wurden mit 150 mM NaCl versetzt und nach 3 h mit Wasser (Mock), 1 μ M Flg22, 100 μ g/ml Chitin oder 150 μ M ABA zugesetzt. Von den Blättern oder Keimlingen wurden 6 h nach der Behandlung die *FRK1*-Expressionen mittels RT-qPCR mit spezifischen Primern ermittelt. Dabei diente *Ef1 α* -Transkript zur Normalisierung. Dargestellt wurden die Mittelwerte mit Standardabweichung von mindestens 3 biologischen Replikaten der infiltrierten Blätter (A) und der Keimlinge (B). Die Signifikanzprüfung erfolgte durch Anwendung des Student t-TESTS auf die MAMP-Behandlungen im Vergleich zu Mock. [*= $p \leq 0,05$]

Zunächst wurden 5 Wochen alte *A. thaliana*-Pflanzen über einen Zeitraum von 4 Tagen einer NaCl-Konzentration von 150 mM ausgesetzt. 8 Tage alte Keimlinge wurden mit 150 mM NaCl versetzt und nach 3 h erfolgte die Behandlung mit MAMPs. Die adulten Pflanzen und Keimlinge wurden mit 1 μ M Flg22 oder 100 μ g/ml Chitin behandelt. Einem Teil der Keimlinge wurden 150 μ M ABA verabreicht. Nach 6 h wurde die Transkriptionsakkumulation von *FRK1* mittels RT-qPCR und spezifischen Primerpaaren bestimmt. Die getesteten MAMPs und auch die Mock-Behandlungen führen sowohl in den Blättern (Abbildung 4-24 A), als auch in den Keimlingen

(Abbildung 4-24 B), zu einer erhöhten *FRK1*-Induktion in den durch NaCl vorgestressten Individuen im Vergleich zu den Wasserkontrollen.

Die vermehrte Anreicherung von Callose und die erhöhte *FRK1*-Expression in NaCl-behandelten Pflanzen im Vergleich zu normal gegossenen Pflanzen, mit und ohne MAMP-Behandlung, deutet auf eine basale Aktivierung der Immunantwort aufgrund des angewandten Salzstresses hin. Dies spiegelt sich jedoch nicht in der Phosphorylierung der MAP-Kinasen wieder.

4.2.6 BESTIMMUNG DER PHYTOHORMON- UND PHYTOALEXINLEVEL

Da die Analyse verschiedener Markergene (Abbildung 4-17) auf ein verändertes Muster der Phytohormonlevel nach abiotischem Stress, vermittelt durch NaCl hindeutet, wurde der absolute Gehalt einiger in sowohl abiotischen als auch biotischen Stress involvierter Phytohormone (Pieterse *et al.*, 2012) bestimmt. Die Signalwege der stressrelevanten Hormone Salicylsäure (SA), Jasmonsäure (JA), Ethylen (ET) und Abscisinsäure (ABA) sind stark verzweigt und interagieren an mehreren Punkten miteinander. Dabei fungieren sie sowohl antagonistisch als auch synergistisch. ABA wird dabei eine Schlüsselrolle zugesprochen (De Vos *et al.*, 2005; Fujita *et al.*, 2006; Cao *et al.*, 2011).

Die Messung der Phytohormone erfolgte bei mit NaCl und ohne NaCl gegossenen *Arabidopsis*-Pflanzen an verschiedenen Tagen vor und nach *Botrytis*-Inokulation. Das Experiment wurde 4-mal wiederholt. Die Probenaufarbeitung und Ermittlung der Phytohormonlevel wurde in den Laboren von Ivo Feussner (Göttingen) und Mark Stahl (Tübingen) durchgeführt. In Abbildung 4-25 werden die Ergebnisse von repräsentativen Experimenten wiedergegeben. Dargestellt werden die Phytohormone ABA, Indol-3-Essigsäure (IAA), SA, JA sowie verschiedene Vorläuferstufen und Derivate der Jasmonsäure.

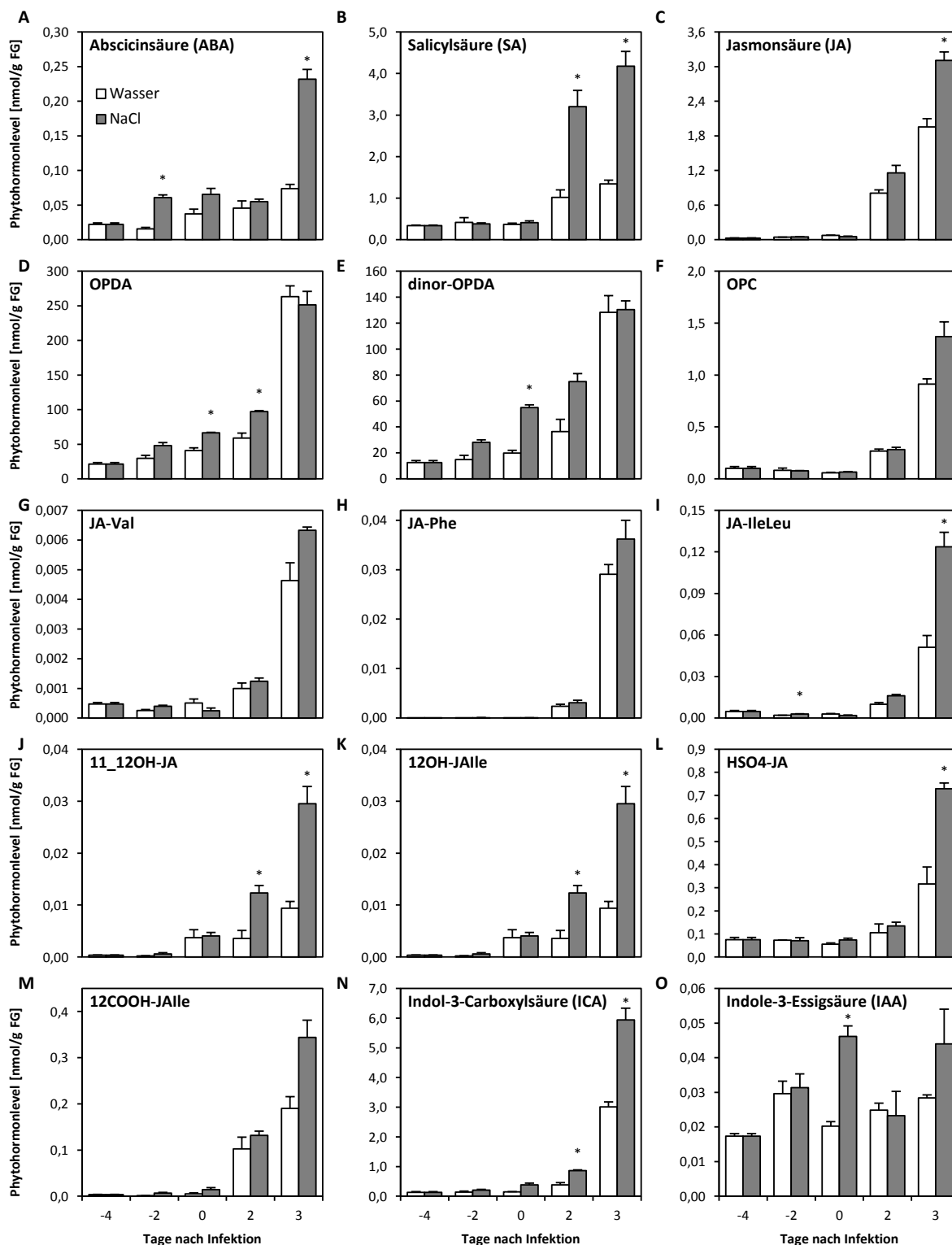


Abbildung 4-25 Phytohormonlevel nach NaCl- & Botrytis-Behandlung.

5 Wochen alte *A. thaliana*-Pflanzen wurden 4 Tage nach NaCl-Behandlung (150 mM; 25 ml/Pflanze) jeweils 5 µl einer *Botrytis*-Sporensuspension ($5 \cdot 10^5$ Sporen/ml) aufgetropft. An den Tagen 2 und 4 vor Infektion (-4 und -2) sowie an den Tagen 0, 2 und 3 nach Infektion wurden jeweils 6-8 Blätter (≥ 250 mg Frischgewicht, FG) von 2 verschiedenen Pflanzen genommen und gepoolt. Pro Probenzeitpunkt wurden 6 Replikate gemacht und das Experiment wurde 4-mal wiederholt. Die Aufarbeitung der Proben erfolgte durch die Labore von Ivo Feusser und Mark Stahl. Dargestellt sind die Mittelwerte mit Standardabweichung eines exemplarischen Experimentes. Die Prüfung der Signifikanz wurde durch Anwendung des Student t-TESTs ermittelt. [*= $p \leq 0,05$]

Das ABA-Level (Abbildung 4-25 A) abiotisch gestresster Pflanzen am 2. Tag nach Salzgabe wies, im Vergleich zur Wasserkontrolle, eine signifikante Erhöhung auf. Am 3. Tage nach *Botrytis*-Infektion ließ sich ein zusätzlicher Anstieg um das 5-fache beobachten. Normal gewässerte Pflanzen wiesen nur einen leichten Anstieg des Levels über den beobachteten Zeitraum auf. Der Gehalt an SA und JA (Abbildung 4-25 B+C) zeigte keine Veränderung des Hormonniveaus aufgrund des NaCl-Stresses alleine. Erst an den Tagen 2 und 3 nach erfolgter *Botrytis*-Infektion ließ sich sowohl in den Kontrollpflanzen als auch in den NaCl-behandelten Pflanzen ein Anstieg von SA und JA beobachten. SA und JA waren in den abiotisch gestressten Pflanzen nach Pathogeninfektion signifikant höher als in den Kontrollpflanzen. Die JA-Vorläuferstufen OPDA (*cis*-(+)-12-Oxophytodiensäure) (Abbildung 4-25 D) und dinor-OPDA (Abbildung 4-25 E) wiesen 2 Tage nach NaCl-Behandlung (-2 Tage nach Infektion; Abbildung 4-25) ein erhöhtes Niveau auf, welches am Tage der Infektion (0 Tage nach Infektion; Abbildung 4-25) sowie 2 Tage danach signifikant höher war, als das der Wasserkontrolle. An Tag 3 der Infektion war der Gehalt der physiologisch aktiven Oktadekanoide in beiden Behandlungen auf dem gleichen erhöhten Niveau. Der Gehalt des durch eine OPDA-Reduktase entstandenen OPCs (8[3-Oxo-2-(*cis*-2'-pentenyl)-cyclopentyl] Oktansäure; Abbildung 4-25 F) war sowohl in den NaCl-behandelten, als auch in den normal gewässerten Pflanzen vor Infektion auf dem gleichen niedrigen Niveau. An Tag 2 nach *Botrytis*-Infektion wiesen sowohl NaCl-behandelte, als auch die Wasserkontrolle einen leicht erhöhten Anstieg des OPC-Levels auf. Am 3. Tag nach erfolgter Infektion hatte sich der Gehalt an OPC in der Wasserkontrolle im Vergleich zum Vortag etwa verdreifacht, im Pflanzengewebe behandelter *A. thaliana* verfünffacht. Die Level aller getesteten JA-Aminosäure-Derivate JA-Val (Abbildung 4-25 G), JA-Phe (Abbildung 4-25 H), JA-IleLeu (Abbildung 4-25 I), 11_12OH-JA (Abbildung 4-25 J), 12OH-JAlle (Abbildung 4-25 K), HSO₄-JA (Abbildung 4-25 L) sowie 12COOH-Ja (Abbildung 4-25 M) stiegen mit fortlaufender Pathogenese an. Dabei lagen die Anreicherung der JA-Derivate in den NaCl-Behandlungen im Vergleich zur Wasserkontrolle an Tag 2 und insbesondere an Tag 3 nach Infektion deutlich höher.

Der IAA-Vorläufer, Indol-3-Carboxylsäure (ICA), wies ab dem 2. Tag nach Infektion ein erhöhtes Level auf, welches in den NaCl-behandelten Proben deutlich erhöht war. Dieses Muster spiegelte sich nicht in dem Gehalt an IAA, die in Pflanzen dominierende Form von Auxin (Fu & Wang, 2011), wieder. IAA wies an Tag 0 und 3 der Infektion in den NaCl-behandelten Blättern ein erhöhtes Level auf, an den übrigen Tagen besaß es jedoch das selbe niedrige Niveau wie die Wasserkontrolle.

Der Gehalt des antimikrobiellen Phytoalexins Camalexin, welches bei *A. thaliana* zusammen mit JA eine Rolle in der Abwehr von *A. brassicicola* und *B. cinerea* spielt (Thomma *et al.*, 1999; Kliebenstein *et al.*, 2005), wurde in durch abiotisch gestressten *A. thaliana* nach erfolgter

Botrytis-Infektion ermittelt. Die gemessenen Camalexin-Werte werden in Abbildung 4-26 dargestellt.

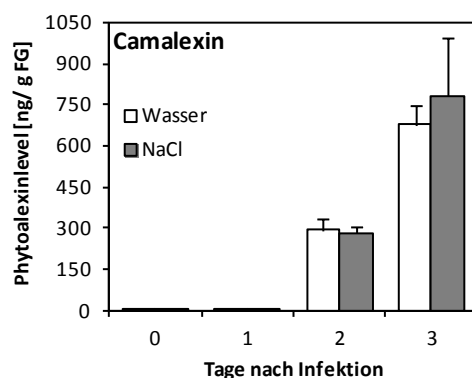


Abbildung 4-26 Camalexinlevel nach NaCl- & *Botrytis*-Behandlung.

Adulte, 5 Wochen alte *A. thaliana* wurden Salzstress ausgesetzt (150 mM NaCl; 25 ml/Pflanze) und 4 Tage nach Initiierung mit einer *Botrytis*-Sporensuspension ($5 \cdot 10^5$ Sporen/ml) inokuliert. An den Tagen 0, 1, 2 und 3 nach Infektion wurden von jeweils 2 Pflanzen 6-8 Blätter geerntet und gepoolt. Pro Probenzeitpunkt wurden 6 Replikate genommen und das Experiment wurde 2-mal wiederholt. Die Aufarbeitung der Proben erfolgte im analytischen Labor von Marc Stahl. Dargestellt sind die Mittelwerte mit Standardabweichung eines exemplarischen Experimentes (FG= Frischgewicht). Die Prüfung der Signifikanz wurde durch Anwendung des Student t-TESTs ermittelt.

An den Tagen 0 und 1 der Pathogenese war kein Camalexin messbar. Erst ab dem 2. Tag nach Infektion ließ sich ein deutlicher Anstieg an Camalexin sowohl in den NaCl-behandelten Col-0 als auch in der Wasserkontrolle erkennen. Am Tag 3 nach Infektion hatte sich der Gehalt zum Vortag hin mehr als verdoppelt. Zwischen den Behandlungen waren keine signifikanten Unterschiede der Camalexin-Level erkennbar.

Die ermittelten Gehalte der verschiedenen stressrelevanten Phytohormone in infiziertem Pflanzengewebe deuten auf eine signifikante Beeinflussung der Hormonlevel aufgrund des Salzstress hin.

4.3 DIE ROLLE DER ABCISINSÄURE IN DER STRESSKOMBINATION

Abscisinsäure gilt als wichtigstes Phytohormons in der abiotischen Stressadaption (1.5.1). In dieser Arbeit (4.2.5) und in veröffentlichten Arbeiten (Chen *et al.*, 2001; Xiong & Zhu, 2002) konnte ein erhöhtes ABA-Level nach NaCl-Behandlung gezeigt werden. Daher wurde eine Beteiligung der Abscisinsäure, auf die Pathogenität von *B. cinerea* nach Infektion unterschiedlich behandelter *A. thaliana* untersucht. Dazu wurde zunächst der Effekt von Fluridon auf die ABA-Akkumulation getestet und dann das Wuchsverhalten des Pilzes auf ABA-behandelten Pflanzen oder auf Pflanzen, die gleichzeitig mit NaCl und dem ABA-Inhibitor Fluridon (Flu) behandelt wurden analysiert.

Die durch Trockenstress induzierte Akkumulation von *DREB1a* (Abbildung 4-27 A) war in den mit Fluridon behandelten Pflanzen deutlich, wenn auch nicht vollständig reduziert. ABA-behandelte *A. thaliana* wiesen eine signifikant erhöhte Anfälligkeit gegenüber *B. cinerea* im Vergleich zur Wasserkontrolle auf (Abbildung 4-27 B). Mit steigender ABA-Konzentration stieg auch die Pathogenität, wobei bei einer ABA-Konzentration von 100 μM das Maximum erreicht zu sein schien. Während das *Botrytis*-Wachstum auf NaCl-vorbehandelten Pflanzen höher war, als das auf normal gewässerten Pflanzen, wiesen *Arabidopsis*-Pflanzen, die gleichzeitig mit Fluridon und NaCl behandelt wurden ein stark reduziertes *Botrytis*-Wachstum auf (Abbildung 4-27 C). Die Läsionsgrößen auf den Fluridon- und NaCl-behandelten Pflanzen waren signifikant kleiner, als die auf den nur mit Fluridon behandelten oder nur mit Wasser oder NaCl gegossenen Pflanzen.

Zudem wurde das *Botrytis*-Wachstum auf NaCl-, ABA- oder fluridonhaltigen Kulturmedien untersucht, um den direkten Einfluss von ABA auf das Pilzwachstum zu testen. Die Ausbreitung des Pilzmyzels 2 und 3 Tage nach Übertragung eines Myzelstückes war auf den PDB-Medien mit NaCl, ABA, Fluridon oder ABA und Fluridon in Kombination signifikant geringer als auf PDB-Agar ohne Zusatzstoffe (Abbildung 4-27 D+E).

Sowohl NaCl, als auch ABA verminderten die Toleranz von *Arabidopsis* gegenüber *B. cinerea*. NaCl oder ABA als Zusatzstoff in Kulturmedien wirkten jedoch hemmend auf das Wachstum von *Botrytis*. Dies deutet darauf hin, dass die zuvor beobachtete stärkere Ausbreitung von *B. cinerea* auf NaCl-Behandelten Pflanzen (Abbildung 4-14) nicht durch das Vorhandensein von NaCl an sich verursacht, sondern durch NaCl-induzierte Vorgänge begünstigt wurde.

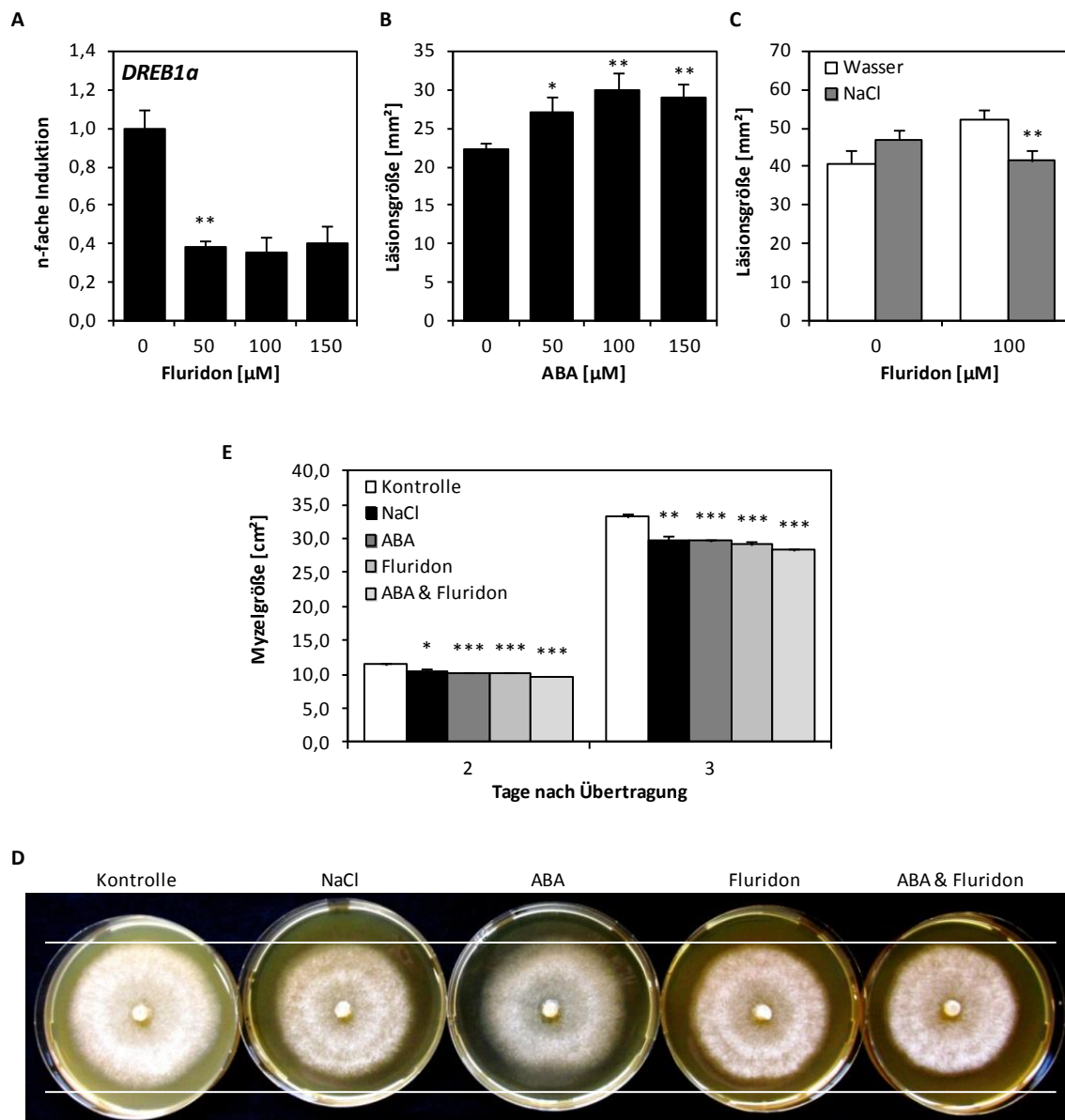


Abbildung 4-27 Botrytis-Infektion in Kombination mit ABA- oder Fluridon-Behandlung.

(A) 5 Wochen alte *A. thaliana* wurden mit 0, 50, 100, 150 μM Fluridon besprüht. Nach 24 h wurde 3 h Trockenstress angewandt und im Anschluss RNA für die Transkriptionsanalysen isoliert. Die *DREB1 α* -Expressionen wurden mittels RT-qPCR mit spezifischen Primern ermittelt. Dabei diente *Ef1 α* -Transkript zur Normalisierung. Dargestellt werden die Mittelwerte mit Standardabweichung von mindestens 3 biologischen Replikaten. Die 0 μM Fluridon-Behandlung wurde auf 1 gesetzt. Die Signifikanzprüfung erfolgte durch Anwendung des Student-T-TESTs, bezogen auf die 0 μM Fluridon-Behandlung. [$*=p\leq 0,05$] (B) 5 Wochen alte *A. thaliana* wurden mit 0, 50, 100, 150 μM ABA besprüht und nach 6 h je 4 Blätter mit 5 μl einer *B. cinerea*-Sporensuspension ($5 \cdot 10^5$ Sporen/ml) inokuliert. Die Ausbreitung des Pilzes wurde durch Bestimmung der Läsionsgrößen von mindestens 25 Blättern pro Behandlung 3 d nach Infektion bestimmt. (C) 5 Wochen alte *A. thaliana* wurden mit 100 μM Fluridon benetzt und nach 24 h mit 150 mM NaCl mit oder ohne 100 μM Fluridon gegossen. 4 Tage nach erfolgter Salzbehandlung wurden je 4 Blätter mit 5 μl einer *B. cinerea*-Sporensuspension ($5 \cdot 10^5$ Sporen/ml) inokuliert und die Ausbreitung des Pilzes 3 d nach der Infektion durch Bestimmung der Läsionsgröße von mindestens 25 Blättern pro Behandlung bestimmt. (D) Auf PDB-Agar, versetzt mit NaCl, ABA, Fluridon (Flu) oder ABA+Flu, wurden 5 mm (\emptyset) große Stücke *B. cinerea*-Myzel übertragen und bei RT und Dunkelheit gelagert. Pro Behandlung wurden 10 Replikate angefertigt. Die Ausbreitung des Pilzes wurde 2 und 3 Tage nach Inokulierung bestimmt. Die Diagramme stellen Mittelwerte mit Standardabweichungen von mindestens drei unabhängigen Parallelen dar. Die Signifikanzprüfung erfolgte durch Anwendung des Student t-TESTs. [$*=p\leq 0,05$; $**=p\leq 0,01$; $***=p\leq 0,001$] (E) *B. cinerea*-Wachstum auf verschiedenen PDB-Medien 3 Tage nach Inokulation. Die weißen Linien geben die Ausbreitung der Kontrollkultur wieder.

4.4 AUSWERTUNG DER *MICROARRAY* DATEN

Dass abiotische und biotische Stressfaktoren spezifische Immunantworten in *A. thaliana* hervorrufen, spiegelt sich auch in einem stark veränderten Transkriptom nach NaCl-Behandlung (Kreps *et al.*, 2002) oder *Botrytis*-Infektion (AbuQamar *et al.*, 2006) wieder.

Nach der Betrachtung einzelner Aspekte wie das Wachstum und die Analyse verschiedener Markergene nach Stressinduktion (Abbildung 4-17) wurde das jeweilige gesamte Transkriptom unter abiotischem und biotischem Stress sowohl als jeweiliger Einzelstresse, als auch in Kombination mittels *Microarray*-Analyse untersucht.

Für die Transkriptomanalysen wurden 5 Wochen alte *A. thaliana* (Col-0) Pflanzen mit 150 mM NaCl (25 ml/Pflanzen) behandelt und 4 Tage nach Salzgabe mit dem Pathogen *B. cinerea* infiziert (3.4.9). Es wurden Proben zu verschiedenen Zeitpunkten in flüssigem Stickstoff tiefgefroren um später RNA zu isolieren (3.3.1.3) und aus dieser doppelsträngige cDNA (3.3.2.6) für die Transkriptomuntersuchungen zu synthetisieren. Pro Zeitpunkt wurden 3 Proben à 2 Blätter genommen, das Experiment 3-mal wiederholt und die Proben der jeweiligen Zeitpunkte gepoolt. Die Transkriptomanalyse erfolgte mittels *NimbleGen* DNA *Microarray* durch Roche *NimbleGen*.

In der folgenden Tabelle 4-1 werden der Versuchsaufbau und die Bezeichnungen der Probezeitpunkte zusammengefasst.

Tabelle 4-1 Transkriptomanalyse: Versuchsaufbau und Probenbezeichnungen.

Zeitpunkt	Wasser	150 mM NaCl
Beginn der Salzbehandlung/ 4 d vor Infektion	Unbehandelt	-
4 d nach Salzbehandlung/ 0 d nach <i>Botrytis</i> -Infektion	H ₂ O-Kontrolle	NaCl-Kontrolle
7 d nach Salzbehandlung/ 3 d nach <i>Botrytis</i> -Infektion	H ₂ O + <i>B.c.</i>	NaCl + <i>B.c.</i>

4.4.1 ANALYSE DES *A. THALIANA*-TRANSKRIPTOMS UNTER SALZSTRESS

Untersuchungen des Transkriptoms nach NaCl-Stress via *Microarray*-Analyse wurden bereits zuvor durchgeführt (Kilian *et al.*, 2007; Zeller *et al.*, 2009). Dabei wurden 13-18 Tage alte *A. thaliana* unter Langtagbedingungen in Hydrokultur kultiviert und zu verschiedenen Zeitpunkten nach Stressinduktion unter Verwendung des *Affimetrix ATH1 GeneChip*® 22400 Gene analysiert. Durch Salz induzierbare Markergene wie *DREB1a* (*dehydration-responsive element-binding protein 1A*), *DREB2a* (*dehydration-responsive element-binding protein 2A*), *RD29a* (*desiccation-responsive protein 29A*), *RD19* (*responsive to dehydration 19*), *RD22* (*responsive to dehydration 22*) sowie *SOS1* (*sodium/hydrogen exchanger 7*) erreichten sowohl

in den oben erwähnten *Microarray*-Daten, als auch in den RT-qPCR-Analysen von Kant *et al.* (2007) ihr maximales Expressionsniveau 6 h nach Stressinduktion. 24 h nach Induktion entsprachen die Expressionslevel meist wieder ihrem Grundniveau.

Da in der vorliegenden Arbeit die Pflanzenanzucht in einem realistischeren Umfeld erfolgen sollte wurde auf Hydrokulturen verzichtet und die Versuche mit adulten, unter Kurztagbedingungen und in Erde angezogenen *A. thaliana* durchgeführt. Die Induktion des abiotischen Stresses wurde durch eine erhöhte NaCl-Konzentration des verabreichten Gießwassers hervorgerufen und das Transkriptom 4 Tage nach Salzbehandlung analysiert.

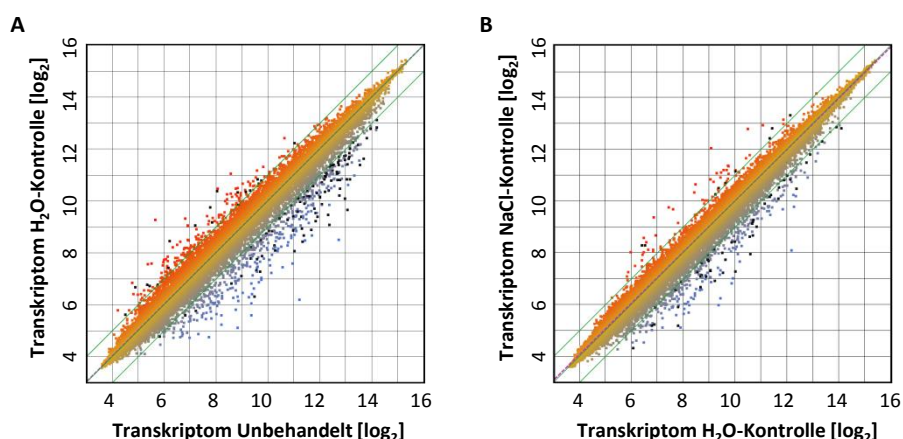


Abbildung 4-28 Transkriptomanalyse: Expressionsänderungen aufgrund NaCl-Behandlung.

Die Genpopulationen der H₂O-Kontrolle im Vergleich zum Transkriptom der unbehandelten *A. thaliana* (A) sowie das Transkriptom der NaCl-Kontrolle im Vergleich zur H₂O-Kontrolle (B) werden als Streudiagramme dargestellt. Mindestens 2-fach signifikant induzierte oder reprimierte Gene werden schwarz dargestellt. Der Durchschnitt des gesamten Genomvergleichs wird als gestrichelte, violette Linie wiedergegeben. Die Signifikanzprüfung erfolgte durch Anwendung des Student t-TESTs (*FDR* B.-H. $p \leq 0,1$).

Durch Vergleich der Transkriptome der H₂O-Kontrolle mit dem der 4 Tage jüngeren, unbehandelten *Arabidopsis*-Pflanzen (Abbildung 4-28 A), fanden sich 114 Gene (siehe auch Anhang Datenträger), deren Akkumulation unerwartet aber signifikant mindestens um das 2-fache verändert war. Davon wurden 83,3 % weniger stark exprimiert. Die Änderungen der Transkriptoms lassen sich durch wachstumsbedingte Änderungen der Genaktivität erklären. Die Genpopulation der NaCl-Kontrolle unterschieden sich in nur 57 Genen von der Population der gleichaltrigen H₂O-Kontrolle (Abbildung 4-28 B; siehe auch Anhang Datenträger), wobei der Anteil der reprimierten Gene mit 84,3 % ebenfalls stark überwog.

Die Analyse von 84 Seneszenz-involvierte Genen (siehe auch Anhang Datenträger), die durch die Software *ArrayStar*® Version 5.1.0 (DNASTAR) auf der Grundlage der TAIR-Datenbank als diese kategorisiert wurden, erbrachte lediglich 7 Gene, welche unter den angewandten Salzbedingungen eine leicht verminderte Akkumulation im Vergleich zur H₂O-Kontrolle aufwiesen und bestätigt somit die Daten aus Abbildung 4-2 C, dass Salzstress keine verfrühte Seneszenz unter den hier angewandten Versuchsbedingungen auslöst.

4.4.2 ANALYSE DES A. THALIANA-TRANSKRIPТОMS IN DER STRESSKOMBINATION

Im Ganzen wurden in der Transkriptomanalyse 39640 Gene betrachtet. Tabelle 4-2 gibt einen Überblick über die Zahl der Gene, welche durch die Kombination verschiedener Stresssituationen signifikant in ihrer Expression verändert wurden. Aufgeführt ist die Anzahl der Gene, welche mindestens eine 2-fache Induktion oder Repression aufwiesen. Das Konfidenzniveau wurde auf 90 % gesetzt. Eine komplette Auflistung der Gene befindet sich auf der beigefügten Datenträger.

Tabelle 4-2 Transkriptomanalyse: Anzahl der in ihrer Expression veränderten Gene.

	H ₂ O-Kontrolle		H ₂ O +B.c.		NaCl-Kontrolle		NaCl +B.c.	
Unbehandelt	114	95 ↓	6635	3931 ↓	1252	1016 ↓	10016	5882 ↓
		19 ↑		2704 ↑		236 ↑		4134 ↑
H₂O-Kontrolle			7231	4428 ↓	57	48 ↓	10684	6228 ↓
				2803 ↑		9 ↑		4456 ↑
H₂O +B.c.					6967	2962 ↓	3793	2080 ↓
						4005 ↑		1713 ↑
NaCl-Kontrolle	↓ = mind. 2-fach reduziertes Transkriptlevel (FDR B.-H. p≤0,1) ↑ = mind. 2-fach erhöhtes Transkriptlevel (FDR B.-H. p≤0,1)						10404	5999 ↓
								4505 ↑

Untersuchte Gene insgesamt: 39640

Die Transkriptomänderungen, die durch die verschiedenen Stresssituationen hervorgerufen wurden, waren beträchtlich. Der angewandte kombinierte Stress beeinflusste die Akkumulation von etwa 10000 Genen im Vergleich zur H₂O-Kontrolle, was fast einem Viertel des Genoms entspricht. Diese Änderung des Transkriptoms lässt sich nicht mittels einfacher Addition der Geninduktionen durch *Botrytis* (7231) und NaCl (57) als Einzelstresse erklären. Unabhängig davon welche Genpopulationen verglichen werden überwiegt in fast allen Fällen die Anzahl der herunter regulierten Genaktivitäten.

Die veränderten Genaktivitäten durch abiotischen und biotischen Stress aktivierten mannigfaltige Vorgänge. Zahlreiche allgemeine molekulare Funktionen, biologische Prozesse und zelluläre Komponenten wurden dabei aktiviert. Für ein besseres Verständnis der durch die Transkriptomänderungen vermittelten Vorgänge wurden die Ontologien der Gene mit veränderter Expression in den unterschiedlich behandelten Pflanzen untersucht. Einen Überblick darüber, welche Kompartimente in die verschiedenen getesteten Stresssituationen involviert waren, gibt Abbildung 4-29 (siehe auch Anhang Datenträger). Es wurden alle Gene berücksichtigt, welche mindestens 2-fach höher oder niedriger exprimiert wurden (FDR B.-H. p≤0,1). Einzelne Gene können dabei an mehreren Prozessen gleichzeitig beteiligt sein.

Die funktionellen Klassen werden in die Kompartimente molekulare Funktionen, biologische Prozesse und zelluläre Kompartimente unterteilt. Diese Einteilung der Ontologien fand im Rahmen des *Gene Ontology Consortiums 1998* (Ashburner *et al.*, 2000) statt und ermöglicht die standardisierte und strukturierte Beschreibung von Funktionen und Eigenschaften betrachteter Gene. Die Analyse ergab, dass die drei Kompartimente innerhalb der verschiedenen Stresssituationen gleichermaßen aktiviert wurden. Nach Wasser und *Botrytis*-Behandlung (Abbildung 4-29 blau) wurden die funktionellen Klassen um 23 % stärker aktiviert als in der H₂O-Kontrolle. Erfolgte eine zusätzliche NaCl-Behandlung (grün), so ließ sich eine um 34 % erhöhte Aktivität messen. NaCl-Stress (rot) alleine hingegen verursachte kaum eine signifikante Aktivierung der verschiedenen Klassen im Vergleich zur H₂O-Kontrolle, was auch in Tabelle 4-2 deutlich wurde. Hier ließ sich lediglich eine Aktivierung von 0,25 % beobachten. Die Kategorie der Nukleinsäure-bindende TF-Aktivität wies nach alleiniger NaCl-Behandlung lediglich eine Aktivierung auf. Eine Infektion mit *B. cinerea* verursachte eine Beeinflussung von 19 % und in mit NaCl vorgestressten Pflanzen sogar 29 % aller potentieller Genänderungen. Aus der Untersuchung der Genontologie wurde nochmals die Aussage bekräftigt, dass sich die Änderungen des Transkriptoms nach NaCl- und *Botrytis*-Behandlung nicht alleine durch die Addition des Einflusses von NaCl und *Botrytis* als Einzelstress erklären lässt.

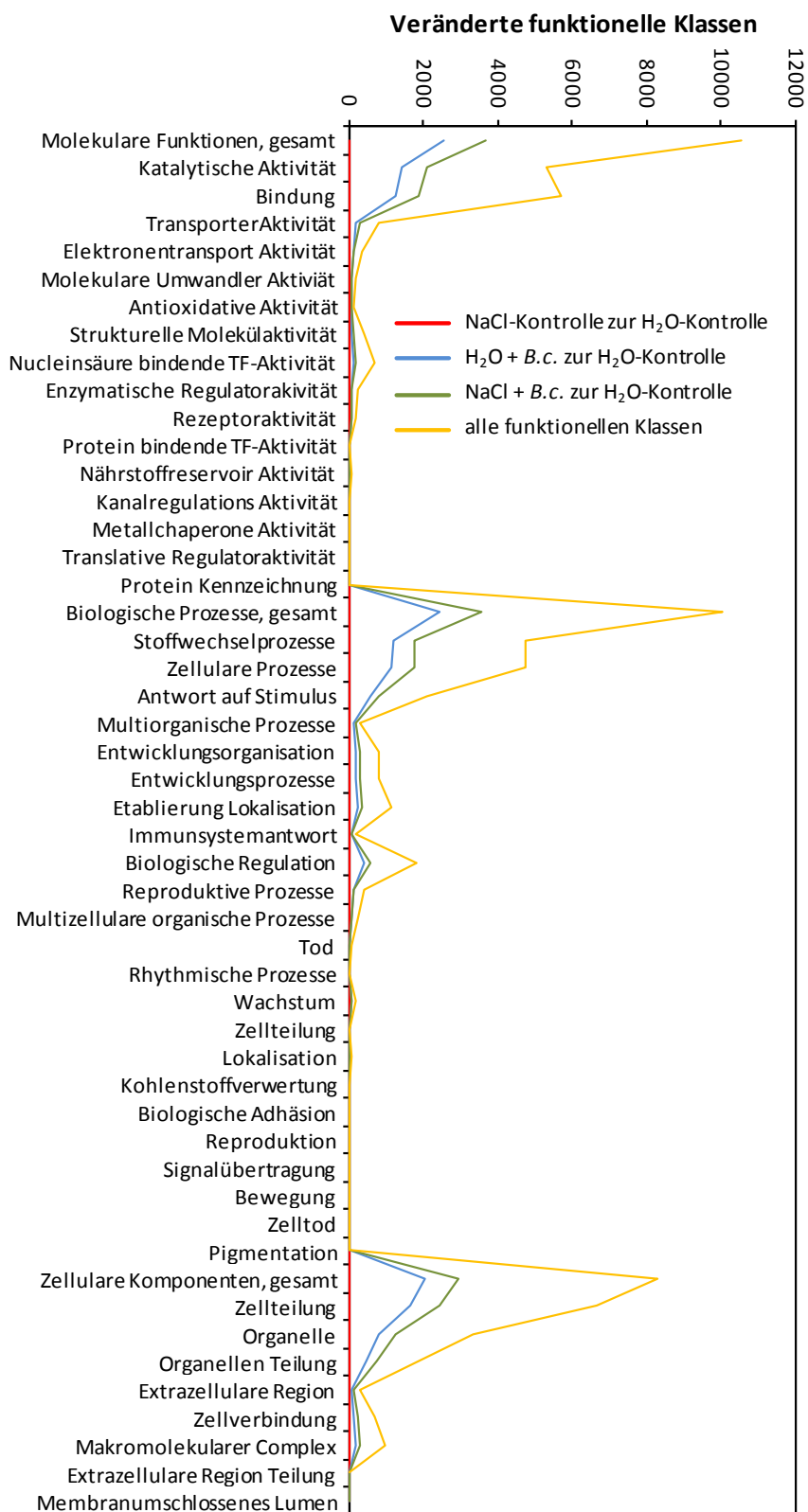


Abbildung 4-29 Transkriptomanalyse: Aktivierung funktioneller Klassen.

Untersuchung der Genontologie von *A. thaliana* unter verschiedenen Stressbedingungen. Dargestellt werden die Genontologie der NaCl-Kontrolle (rot), der H₂O + B.c.-Behandlung (blau) und der NaCl + B.c.-Behandlung (grün) im Vergleich zur H₂O-Kontrolle sowie die Gesamtheit aller funktioneller Klassen (gelb).

Um die Genpopulationen auf Gemeinsamkeiten hin zu überprüfen wurden die Transkriptome der einzelnen Behandlungen auf Überschneidungen untersucht. Es wurden alle signifikanten Genänderungen der NaCl-Kontrolle, der H₂O +B.c.-Behandlung und der NaCl +B.c.-Behandlung jeweils im Vergleich zur H₂O-Kontrolle in Relation gesetzt (Abbildung 4-30; siehe auch Anhang Datenträger). Als signifikant wurden Gene gewertet, welche mindestens eine 2-fach erhöhte oder verminderte Akkumulation aufwiesen und innerhalb des Konfidenzniveau *FDR* B.-H. $p \leq 0,1$ lagen.

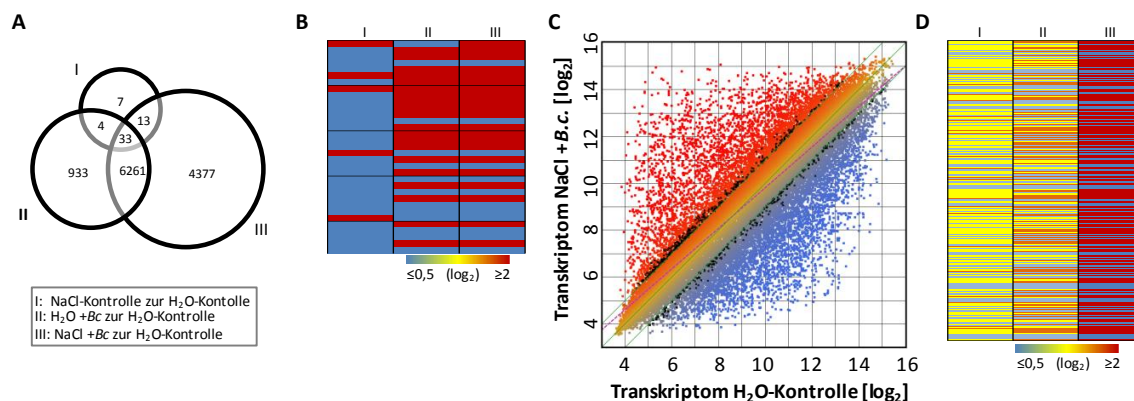


Abbildung 4-30 Transkriptomanalyse: Überschneidungen der Genpopulationen.

Analyse des gesamten *A. thaliana* Transkriptoms nach NaCl- und *Botrytis*-Behandlung. (A) Die Genpopulationen wurden in Relation gesetzt und mittels Venn-Diagramm dargestellt, dabei wurden nur signifikant veränderte Gene berücksichtigt. (B) Die Induktionen der durch alle Stresse beeinträchtigten Gene wurden in einer Heatmap dargestellt. (C+D) Gene, die einzig in der Kombination von NaCl und *Botrytis* signifikant induziert oder reprimiert werden, sind in einem Streudiagramm (C), in dem sich die Populationen der NaCl +B.c.-Behandlung und der H₂O-Kontrolle gegenüberstehen, schwarz dargestellt und ihre Induktionen in einer Heatmap (D) visualisiert. Die Signifikanzprüfung erfolgte durch Anwendung des Student t-TESTs (*FDR* B.-H. $p \leq 0,1$).

Die Anzahl der Gene, welche sowohl durch die Einzelstresse, als auch in der Kombination induziert oder reprimiert wurden, belief sich auf 33 (Abbildung 4-30 A). Die Induktionen der einzelnen Gene wurden in einer Heatmap in Abbildung 4-30 B dargestellt. Deutlich wurde hier, dass die Beeinflussung der Genaktivitäten maßgeblich von dem Vorhandensein der *Botrytis*-Infektion bestimmt wurde, da die Aktivierungsmuster der Transkriptome *Botrytis*-infizierter Pflanzen eine größere Übereinstimmung aufweisen (II und III; Abbildung 4-30 B), als die Transkriptomänderungen der NaCl-behandelten Pflanzen untereinander (I und III; Abbildung 4-30 B). Dabei führte die Behandlung von NaCl überwiegend zu Repression von Genen, während die Infektion durch *Botrytis* überwiegend die Aktivität von Genen förderte.

Zudem wurden die Transkriptome auf Gene hin untersucht, die einzig während der Applikation von gemeinsamem NaCl- und *Botrytis*-Stress in ihrer Akkumulation signifikant beeinflusst wurden, nach Anwendung der Einzelstresse jedoch keine Veränderung im Vergleich zur H₂O-Kontrolle aufwiesen. Die Analyse der Genpopulationen erbrachte 650 Gene (Abbildung 4-30 C+D), die einzig durch die Kombination von NaCl und *Botrytis* signifikant in ihrer Akkumulation verändert waren.

Durch Analyse der *Microarray*-Daten wurden nur wenige Gene identifiziert, die durch beide applizierten Stresse induziert wurden. Im Gegensatz dazu fand sich eine Vielzahl von Genen, die nur bei Kombination der beiden Stressfaktoren in ihrer Expression verändert waren. Dies deutet auf Mechanismen hin, die einzigartig für die Stresskombination sind.

4.4.3 ANALYSE VON TRANSKRIPTIONSFAKTOREN UNTER STRESSKOMBINATION

Transkriptionsfaktoren sind an der Steuerung zahlreicher Vorgänge beteiligt und in verschiedene Signalübertragungswege gleichzeitig involviert. So auch in stressbedingte Signalwege. Die Beteiligungen von TFs unter den angewendeten Stresssituationen wurden durch Analyse der Transkriptome ermittelt und in Abbildung 4-31 dargestellt (siehe auch Anhang Datenträger). Die Signifikanzprüfung erfolgte durch Anwendung des Student t-TESTs. Das Konfidenzniveau wurde auf $p \leq 0,1$ (*FDR* B.-H.) gesetzt. In der Auswertung wurden nur TFs berücksichtigt, die signifikant mindestens um das 2-fache stärker oder geringer exprimiert wurden.

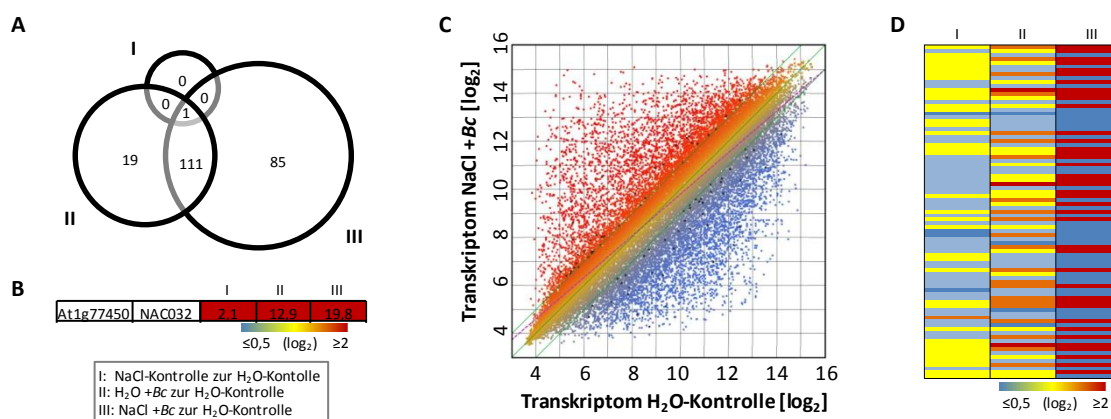


Abbildung 4-31 Transkriptomanalyse: Überschneidungen der Genpopulationen in Bezug auf TFs.

Analyse des *A. thaliana* Transkriptoms in Bezug auf Transkriptionsfaktoren nach NaCl- und *Botrytis*-Behandlung. Die induzierten TF der Genpopulationen wurden auf Überschneidungen hin untersucht und das Ergebnis in einem Venn-Diagramm (A) und einer Heatmap (B) wiedergegeben. TF, die einzig in der Stresskombination beeinträchtigt sind, werden in einem Streudiagramm (C) schwarz dargestellt und die Induktionen in einer Heatmap (D) aufgeführt. Zur Normalisierung diente das Transkriptom der H₂O-Kontrolle. Berücksichtigt wurden Gene, die in ihrer Akkumulation um mindestens das 2-fache signifikant erhöht oder reduziert sind und innerhalb des Konfidenzniveaus von $p \leq 0,1$ (*FDR* B.-H.) liegen. Die Signifikanzprüfung erfolgte durch Anwendung des Student t-TESTs.

Die Analyse der Transkriptomänderungen, bedingt durch die Behandlungen mit NaCl, H₂O +B.c. oder NaCl +B.c. jeweils in Bezug auf die H₂O-Kontrolle, erbrachte einen TF, NAC032 (At1g77450), der sowohl durch die Einzelstresse, als auch in der Stresskombination induziert wurde (Abbildung 4-31 A+B; siehe auch Anhang Datenträger). NAC032 zählt zu der Gruppe der NAM (*no apical meristem*) Proteine, bindet DNA und ist in der Lage die Transkription anderer Gene zu regulieren. Die genaue Funktion ist nicht bekannt. Die Genpopulationen der H₂O +B.c.-Behandlung und der NaCl+ B.c.-Behandlung wiesen 111 Gene auf, die unter beiden Bedingungen signifikant verändert waren. Die Analyse der *Microarray*-Daten in Bezug auf TF,

die einzig nach der Behandlung mit NaCl und *Botrytis* in Kombination in ihrer Akkumulation verändert waren, erbrachte 85 TF (Abbildung 4-31 C+D; siehe auch Anhang Datenträger).

4.4.3.1 EXPRESSION DER FÜR INFEKTIONSSTUDIEN VERWENDETEN TRANSKRIPTIONSFAKTOREN

Die Induktionen, die auf der Grundlage veröffentlichter *Microarray*-Daten (AbuQamar *et al.*, 2006; Thilmony *et al.*, 2006; Matsui *et al.*, 2008) identifizierten TFs (4.2.4) wurden anhand der eigens erhobenen Daten überprüft. Die Geninduktionen werden in Tabelle 4-3 zusammengefasst.

Unter den angewandten salinen Bedingungen war keines der betrachteten Gene signifikant verändert. Mit einer Ausnahme wurde alle Gene sowohl nach *Botrytis*-Infektion, als auch unter kombinierten Stressbedingungen stärker exprimiert. Das sich die beobachteten Induktionen von den veröffentlichten unterscheiden lässt sich mit den voneinander abweichenden Versuchsbedingungen erklären. Während die oben genannten Autoren das Transkriptom bis zu 24 h nach erfolgter NaCl-Behandlung analysierten, wurde die eigenen Transkriptomstudien 4 d nach NaCl-Behandlung durchgeführt.

Tabelle 4-3 Expression ausgewählter Transkriptionsfaktoren.

Bezeichnung	AGI	NaCl-Kontrolle zur H ₂ O-Kontrolle	Wasser + <i>B.c.</i> zur H ₂ O-Kontrolle	NaCl + <i>B.c.</i> zur H ₂ O-Kontrolle
<i>MYB51</i>	At1g18570	1,268 ↓	3,350 ↑	2,958 ↑
<i>MYB112</i>	At1g48000	1,125 ↑	6,764 ↑	23,404 ↑
<i>WRKY25</i>	At2g30250	1,352 ↓	1,654 ↑	2,415 ↑
<i>WRKY75</i>	At5g13080	1,040 ↑	253,939 ↑	387,266 ↑

↓ = mind. 2-fach reduziertes Transkriptlevel (*FDR* B.-H. $p \leq 0,1$)

↑ = mind. 2-fach erhöhtes Transkriptlevel (*FDR* B.-H. $p \leq 0,1$)

4.4.4 ANALYSE VON PHYTOHORMON-MARKERGENEN

Da die Analyse einzelner Phytohormon relevanter Markergene (4.2.3.4) und die Bestimmung der Gehalte verschiedener Phytohormone (4.2.5) nach *Botrytis*-Infektion ein verändertes Muster durch vorheriger NaCl-Stimulation aufwies, wurden die durch Transkriptomanalyse gewonnenen Daten auf veränderte Expression bekannter Gene, welche in der Biosynthese von Phytohormonen beteiligt sind oder durch diese beeinflusst werden hin untersucht. Hierbei wurden Gene betrachtet, durch die Software *ArrayStar*® Version 5.1.0 (DNASTAR) auf der Grundlage der TAIR-Datenbank als in die in der Biosynthese der Phytohormone ABA, Auxin, ET, JA oder SA involviert oder durch sie induziert kategorisiert wurden. In Tabelle 4-4 werden jene Gene aufgeführt, deren Expression mindestens um das 2-fache erhöht oder verringert war (siehe auch Anhang Datenträger).

Tabelle 4-4 Anzahl signifikant beeinflusster Phytohormon-Markergene.

	NaCl-Kontrolle zur H ₂ O-Kontrolle		Wasser + <i>B.c.</i> zur H ₂ O-Kontrolle		NaCl + <i>B.c.</i> zur H ₂ O-Kontrolle		Betrachtete Markergene
ABA	2	1 ↓	9	4 ↓	21	7 ↓	38
		1 ↑		5 ↑		14 ↑	
Auxin	1 ↓		38	25 ↓	56	38 ↓	120
				13 ↑		18 ↑	
ET	0		17	4 ↓	15	2 ↓	43
				13 ↑		13 ↑	
JA	1 ↑		32	7 ↓	39	10 ↓	77
				25 ↑		29 ↑	
SA	1 ↓		4	0 ↓	6	2 ↓	12
				4 ↑		4 ↑	

↓ = mind. 2-fach reduziertes Transkriptlevel (*FDR* B.-H. $p \leq 0,1$)

↑ = mind. 2-fach erhöhtes Transkriptlevel (*FDR* B.-H. $p \leq 0,1$)

Die Zahl der durch 4-tägige NaCl-Behandlung in ihrer Expression veränderten Phytohormon-Markergene war gering. Von den 38 betrachteten ABA-relevanten Markergenen waren lediglich 2 Gene in ihrer Expression verändert. Das ABA induzierbare Gen *HAI2* (*highly ABA inducible 2*) wurde in vorgestressten Pflanzen signifikant höher und das als ABA-Repressor fungierende Gen *ABR1* (*ABA repressor 1*) wurde signifikant niedriger exprimiert. Die Gruppe der untersuchten Auxin- (120), JA- (77) und SA- (12) Markergene wiesen jeweils ein Gen mit veränderter Expression auf. Das Auxin responsive Protein At4g34770, das JA induzierbare *PDF1.2c* und das SA-Markergen *PR5*. Die betrachteten ET-Markergene zeigten keine Beeinflussung durch die Salinität. Eine Infektion mit *B. cinerea* führte zu einer veränderten Genexpression von 39 % und bei zusätzlichem NaCl-Stress waren 34 % der Gene zumeist höher exprimiert. Die untersuchten ABA-Markergene wiesen durch *Botrytis*-Infektion als Einzelstress Expressionsänderungen von etwa 23 % auf. 40 % aller JA-Markergenen, 33 % der SA-Markergene und 32 % der Auxin-Markergene wurden durch *B. cinerea* verändert. Bei zusätzlichem Stress durch NaCl, stieg der Anteil der induzierten oder reprimierten Markergene der betrachteten Phytohormone auf etwa 50 % an.

Die Bestimmung der Phytohormonlevel von mit *Botrytis* infizierten *A. thaliana* (4.2.5) ergab in den zuvor mit NaCl behandelten Pflanzen signifikant erhöhte Level an ABA, JA und SA. Dieses Muster spiegelte sich nun auch in der Auswertung der *Microarray*-Daten wieder.

5 DISKUSSION

Im Zuge der Evolution entwickelten Pflanzen zur Adaption an suboptimale Umweltbedingungen und Schadorganismen zahlreiche Mechanismen. Dabei führen einzelne äußere Stimuli zur Aktivierung mehrerer Signalwege gleichzeitig. Diese wiederum beeinflussen sich meist gegenseitig und können agonistisch, aber auch antagonistisch wirken. Die Feinjustierung der Adaption an multiple Stressfaktoren entwickelte sich vermutlich zu dem Zweck, die Energiereserven des Organismus möglichst effizient einzusetzen. Die Perzeption abiotischer und biotischer Reize aktiviert Signalkaskaden, über welche die Produktion Reaktiver Sauerstoffspezies, Ionenkanälen, Kinase-Kaskaden, die Akkumulation von Phytohormonen und letztlich die Aktivierung von Transkriptionsfaktoren induziert werden. Dies führt schließlich zur Expression spezifischer Abwehrgene und zur Ausbildung diverser Abwehrreaktionen. Für verschiedene signalgebende Elemente wie zum Beispiel den Transkriptionsfaktoren oder Phytohormonen konnte eine gleichzeitige Beteiligung an abiotischen und biotischen Stressadaptionen gezeigt werden (Mittler, 2006; Robert-Seilaniantz *et al.*, 2007).

Ziel dieser Arbeit war es, Mechanismen oder Faktoren zu identifizieren, welche unter ariden und semiariden Bedingungen eine Schlüsselposition im regulatorischen Netzwerk der Stressadaption einnehmen. Insbesondere wurden die ablaufenden Reaktionen im Modellorganismus *A. thaliana* unter Salzstress und einer gleichzeitigen Pathogeninfektion sowie die Auswirkungen auf die Pathogenität und das pflanzliche Transkriptom betrachtet. Zusammenfassend wurde eine erhöhte Anfälligkeit salzgestresster *A. thaliana* gegenüber dem hemibiotrophen Bakterium *P. syringae* und den nekrotrophen Ascomyceten *B. cinerea* und *A. brassicicola* festgestellt. Zudem wurden nach *B. cinerea*-Infektion unter salinen Bedingungen, im Vergleich zu nicht salinen Bedingungen, deutlich erhöhte Phytohormon-Level gemessen und es wurden bei *Microarray*-Analysen für die Stresskombination einzigartige Änderungen des Transkriptoms festgestellt.

5.1 OPTIMIERUNG DER SALZ-ANWENDUNG

Für die Imitation der Salinität, wie sie unter anderem in ariden- oder semiariden Gebieten zu finden ist, wurde eine NaCl-Konzentration von 150 mM gewählt. Eine Lösung mit dieser Konzentration besitzt einen Salzgehalt von 8,766 g NaCl/L, dies wiederum entspricht dem Gehalt von stark salzhaltigem Wasser nach der Definition der FAO (2011). Na⁺ und Cl⁻ machen den Hauptbestandteil der Salzfraktion von Salzwasser aus (30 und 55 %). Beide Ionen werden über die Wurzel aufgenommen und besitzen in erhöhten Konzentrationen einen toxischen Effekt, welcher maßgeblich für die osmotische Phase des Salzstresses verantwortlich ist und insbesondere bei längerem Auftreten zu massiven Schäden des pflanzlichen Organismus führt (Tavakkoli *et al.*, 2010). Zudem wirkt sich Na⁺ negativ auf die Beschaffenheit der Bodenkrume aus, wodurch der Wasser- und Nährstofftransport im Wurzelraum eingeschränkt wird (Shannon, 1997). Um weitgehend realistische Wachstumsbedingungen zu schaffen, wurde auf eine leichter zu kontrollierende Hydrokultur verzichtet und stattdessen die verwendeten Pflanzen in Erde angezogen.

A. thaliana-Pflanzen, welche mit 150 mM NaCl gegossen wurden, zeigten 4 Tage nach Behandlung bekannte (Zhu, 2001b; Munns, 2002), reversible Merkmale osmotischen Stresses (Abbildung 4-1). Sie wiesen geschlossene Stomata, ein generell reduziertes Wachstum, verminderte Blattgrößen und geringere Biomasse auf. Der Chlorophyllgehalt salzbehandelter Pflanzen unterschied sich nicht signifikant von dem wasserbehandelter Pflanzen (Abbildung 4-1 H), was auf nur mäßigen Salzstress hindeutete. Auch blieb der Chlorophyllgehalt in Verbindung mit einer Infektion durch verschiedene Pathogene unverändert (Abbildung 4-6, Abbildung 4-10, Abbildung 4-15 A). Zur Vermeidung negativer Effekte durch salzinduzierte Seneszenz wurde eine NaCl-Konzentration gewählt, welche zum Zeitpunkt der Applikation des zweiten Stressfaktors, der Pathogeninfektion, keine Seneszenzmerkmale hervorrief (Abbildung 4-2 C). Neben der phänotypischen Bewertung der Stresssymptome wurde die transkriptionelle Veränderung von salzinduzierbaren Genen untersucht (Abbildung 4-2, Abbildung 4-3). Die Auswertung der *Microarray*-Analyse, in der insgesamt 39640 Gene betrachtet wurden, erbrachte lediglich 57 signifikante Änderungen der Genexpression NaCl-behandelter *A. thaliana* im Vergleich zur Wasserkontrolle (Abbildung 4-28 B). Dabei wurden 48 der 57 beeinträchtigten Gene reprimiert. Der geringe Anteil transkriptioneller Variation, vermittelt durch NaCl, lässt sich durch die transiente Expression vieler salzstressrelevanter Gene erklären, welche bereits zuvor postuliert wurde (Kant *et al.*, 2007) und sich auch in den durchgeführten RT-qPCR-Analysen (Abbildung 4-2 A+B) widerspiegelt. Deshalb konnte an Tag 4 nach Salzbehandlung nur noch ein durch NaCl induzierbares Gen, die Lipase *LTL1*, als zu diesem Zeitpunkt stärker exprimiert identifiziert werden. Zuvor veröffentlichte Studien, in denen Transkriptome mittels *Microarray* oder einzelne salzrelevante Gene per RT-qPCR bis zu 24 h

nach Behandlung analysiert wurden, belegen ebenfalls die transiente Expression verschiedener Salz induzierter Gene (Kant *et al.*, 2007; Kilian *et al.*, 2007; Zeller *et al.*, 2009). Insgesamt wurde durch die hier durchgeführte Behandlung also ein milder Salzstress ohne Einleitung von Seneszenz appliziert.

5.2 VERMINDERTE PATHOGENRESISTENZ VON *A. THALIANA* UNTER NaCl-STRESS

Der über mehrere Tage angewandte Salzstress verursachte in *A. thaliana* deutliche phänotypische, physiologische und molekularbiologische Veränderungen. Die behandelten Pflanzen wiesen dabei eine starke Beeinträchtigung des Wachstums und der Vitalität auf, waren jedoch noch lebens- und fortpflanzungsfähig. Inwiefern diese salzbedingten Stressreaktionen einen Einfluss auf die Pathogenität verschiedener Schaderreger haben, wurde im Folgenden betrachtet.

Als pathogene Modellorganismen wurden zum einen zwei Stämme des hemibiotrophen Bakteriums *P. syringae* pv. *tomato* mit unterschiedlicher Pathogenizität verwendet und zum anderen die nekrotrophen Ascomyceten *A. brassicicola* und *B. cinerea*. Diese Schaderreger sind weit verbreitet und von großer wirtschaftlicher Bedeutung (Dean *et al.*, 2012; Mansfield *et al.*, 2012).

Pto zählt zu einer großen Gruppe verschiedener Pathovaren, welche zahlreiche Wirtsorganismen infizieren und verursacht in Tomate die Blattfleckenkrankheit, ist aber auch für den Modellorganismus *A. thaliana* pathogen. *Pto* ist nicht nur aufgrund seiner wirtschaftlichen Tragweite häufiger Gegenstand der Forschung, sondern auch wegen seiner wissenschaftlichen Bedeutung und wurde kürzlich in der Rangliste der pathogenen Bakterien und deren Bedeutung für die molekulare Biologie auf den ersten Platz gesetzt (Mansfield *et al.*, 2012). Die Steuerung der Abwehrreaktionen gegen hemibiotrophe Pathogene verlaufen dabei zumeist über SA gesteuerte Signalkaskaden, welche zu lokalem Zelltod und einer Hypersensitiven Reaktion führen (Durrant & Dong, 2004; Vlot *et al.*, 2008). Der nekrotrophe Vertreter der Ascomyceten, *B. cinerea*, wurde seinerseits nach dem Erreger des Reisbrandes, *Magnaporthe grisea*, zu den für die Forschung bedeutsamsten pilzlichen Pathogen gewählt (Dean *et al.*, 2012). Der Erreger der Grauschimmelfäule besitzt ein weitgefächertes Wirtsspektrum, wozu auch *A. thaliana* gehört, und verursacht sowohl auf dem Feld, als auch bei der Einlagerung immense ökonomische Schäden (Williamson *et al.*, 2007). Im Gegensatz dazu ist *A. thaliana* weitgehend resistent gegen den Erreger der Rapsschwärze *A. brassicicola*. Die Interaktion der beiden Organismen wird daher häufig als Modell für Inkompatibilität betrachtet, bei dem das pilzliche Wachstum durch die pflanzlichen Abwehrreaktionen stark verlangsamt wird (Mukherjee *et al.*, 2010). Im Gegensatz zu den Abwehrreaktionen gegenüber biotrophen Pathogenen, werden Infektionen durch nekrotrophe Schaderreger überwiegend durch

Jasmonsäure und Ethylen vermittelte Signalkaskaden und Abwehrreaktionen bekämpft (Glazebrook, 2005).

Interessanterweise konnte in dieser Arbeit auf durch NaCl vorgestressten Pflanzen eine erhöhte Pathogenität sowohl des untersuchten biotrophen, als auch der beiden nekrotrophen Organismen beobachtet werden.

Auch wenn es eine Vielzahl von Studien gibt, die sich mit der Kombination abiotischer und biotischer Stresse befassen, wurde der Einfluss von NaCl auf die Pathogenität nur marginal erforscht (Mittler & Blumwald, 2010; Atkinson *et al.*, 2013; Chakraborty, 2013). Eine der wenigen Untersuchungen zu diesem Thema wurde von Achuo *et al.* (2006) durchgeführt. Die Autoren untersuchten den Einfluss von Salz- und Trockenstress auf die Toleranz von Tomate gegenüber *B. cinerea* und dem biotrophen Pilz *Oidium neolycopersici*. Die Sorte Moneymaker wies unter Trockenstress ein erhöhtes ABA-Level sowie ein signifikant reduziertes Wachstum der Pilze *B. cinerea* und *O. neolycopersici* auf. Salzstress hingegen verursachte weder eine Beeinflussung des ABA-Levels noch der Pathogenität von *B. cinerea*. Im Gegensatz dazu war das Wachstum von *O. neolycopersici* in salzgestressten Tomatenpflanzen reduziert. Eine Verbesserung der Toleranz von Weizen unter Trockenstress gegenüber *Fusarium pseudograminearum* wurde auch von Wildermuth & Morgan (2004) postuliert. Ebenso wurde ein positiver Effekt von Ozon und H₂O₂ auf die Toleranz gegenüber verschiedenen Pathogenen von Sandermann (2000) gezeigt. Sie postulierten eine durch Ozon und H₂O₂ ausgelöste Anreicherung von ROS in *A. thaliana* und Tabak, welche zu einer Verbesserung der Toleranz gegenüber *Pseudomonas syringae*, dem Tabak Mosaik Virus und *Peronospora parasitica* führte.

Neben der Förderung der Pathogenresistenz durch verschiedene abiotische Faktoren, sind auch negative Interaktionen bekannt. Ein nachteiliger Einfluss von Salinität auf die Pathogentoleranz wurde bei der Interaktion von *Cucumis sativus* und *P. syringae* pv. *lachrymans* beobachtet (Chojak *et al.*, 2013). Die verminderte Resistenz aufgrund des Salzstresses begründen die Autoren durch das reduzierte Pflanzenwachstum, den niedrigeren Chlorophyllgehalt und den erhöhten Elektronenausfluss, den sie auf eine Schädigung der Zellmembranen zurückführten sowie eine dauerhaft erhöhte Akkumulation von H₂O₂ in den Blättern, welche auf ein gestörtes Redoxgleichgewicht hindeutete. Auch der durch Düngung verursachte erhöhte Gehalt an Kalium ist zwar häufig förderlich für die Resistenz gegenüber Pilzen und Bakterien, führt jedoch gleichzeitig zu einer erhöhten Pathogenität von Viren (Amtmann *et al.*, 2008; Romheld & Kirkby, 2010). In Bezug auf die Populationsgröße der Borkenkäferart *Ips trypographus* in Fichtenwäldern, konnte ein positiver Zusammenhang zwischen der Anzahl der Insekten und hoher Ozonwerte festgestellt werden (Grodzki *et al.*, 2004). Dabei führen die Autoren die Vergrößerung der Population nicht auf den direkten

Einfluss von Ozon auf die Käfer zurück, sondern auf die Beeinträchtigung der Bäume durch die erhöhten Ozonwerte.

5.3 URSACHEN FÜR DIE DURCH SALZBEHANDLUNG REDUZIERTE PFLANZLICHE IMMUNITÄT

A. thaliana-Pflanzen, die einem milden Salzstress ausgesetzt waren, zeigten eine erhöhte Pathogenität gegenüber biotrophen und nekrotrophen Schaderregern. Mögliche Ursache hierfür könnte eine verminderte Antwort auf MAMPs sein. Die Beteiligung verschiedener MAPK an der Weiterleitung Salz oder Pathogen induzierter Signale ist unumstritten (Kiegerl *et al.*, 2000; Kovtun *et al.*, 2000). Bereits 10 min nach Behandlung mit einer NaCl-Lösung (150-250 mM) weisen Blätter behandelter *Arabidopsis*-Pflanzen eine maximale Aktivierung der Kinasen MPK3 und MPK6 auf, die bereits 120 min nach initialer Stressinduktion wieder um etwa die Hälfte reduziert ist (Ichimura *et al.*, 2000).

Ob der in dieser Arbeit angewandte längerfristige Salz induzierte Stress zum Zeitpunkt der Applikation des zweiten Stresses durch Pathogeninfektion einen Einfluss auf die MAPK-Aktivität hatte wurde durch Elicitierung mit den MAMPs Flagellin und Chitin geprüft. 30 min nach erfolgter Infiltration mit Flagellin oder Chitin wurde eine deutliche posttranslationale Aktivierung der MPK3, MPK4/MPK11 und MPK6 detektiert. Dabei wiesen die durch Salz vorbehandelten Pflanzen im Vergleich zur Wasserkontrolle keine veränderte Aktivierung auf. Die angewandten salinen Bedingungen verursachten weder eine Beeinträchtigung der betrachteten MAP-Kinasen, noch beeinflusste er die durch MAMP-Infiltration induzierte MAP-Kinasen-Aktivität (Abbildung 4-21).

Kürzlich postulierten Ramegowda *et al.* (2013) eine deutliche Verbesserung der Toleranz von an Trockenheit akklimatisierte *Nicotiana benthamiana*-Pflanzen gegenüber *Sclerotinia sclerotiorum* und *Pseudomonas syringae* pv. *tabaci*. Diese Toleranz korrelierte mit den ermittelten ROS-Gehalten, woraus die Autoren einen Primingeffekt von durch Trockenheit induzierte ROS ableiten. Unter den in dieser Arbeit angewandten Salzbedingungen wurde jedoch keine veränderte Anreicherung von ROS beobachtet (4.1.1). Dies schließt jedoch nicht aus, dass eine initiale Bildung von ROS unmittelbar nach der Verabreichung von NaCl stattfand und diese aufgrund der Detoxifizierung durch antioxidative Enzyme zum untersuchten Zeitpunkt bereits nicht mehr sichtbar war. Allerdings hätte ein solches Priming in einer erhöhten Pathogenresistenz und nicht, wie in dieser Arbeit beobachteten verminderten Resistenz resultieren müssen.

Eine weitere Adaption an abiotische und biotische Stressfaktoren ist die Papillenbildung im Blattgewebe durch Calloseanreicherung, welche das Eindringen von Schaderregern in die Zelle erschwert (Rezzonico *et al.*, 1998). Die Bildung MAMP- oder DAMP-induzierter Callose dient

dabei häufig als Charakterisierungsmerkmal diverser PTI-kontrollierter Signalwege (Luna *et al.*, 2011).

Es zeigte sich, dass salzgestresste Pflanzen im Vergleich zu den mit Wasser behandelten ohne zusätzlichen Stimulus schon eine deutlich höhere Calloseanreicherung aufwiesen (Abbildung 4-22). Auch nach MAMP-Behandlung war die Calloseanreicherung in den mit NaCl behandelten Pflanzen signifikant stärker ausgeprägt (Abbildung 4-23). Eine mögliche Erklärung für die verstärkte Bildung von Callose in den Blättern salzbehandelter *A. thaliana* lässt sich durch den erhöhten Gehalt an ABA der vorgestressten Pflanzen erklären. Sowohl in RT-qPCR-Analysen (Abbildung 4-2 D), als auch nach Bestimmung der absoluten Phytohormongehalte (Abbildung 4-25 A) wurde eine Anreicherung von ABA 2-4 Tage nach erstmaliger Salzgabe beobachtet. Da ABA die Hemmung der Transkription einer β -1-3-Glucanase vermittelt, welche β -1-3-Glucan-Callose degradiert und somit die Calloseanreicherung fördert (Rezzonico *et al.*, 1998), begründet sich die erhöhte Akkumulation von Callose in NaCl-behandelten Pflanzen möglicherweise durch das vermehrte Auftreten von ABA unter NaCl-Stress. Die erhöhte Akkumulation von Callose ist kontrovers zu der unter Salzstress verminderten Pathogentoleranz.

5.4 REGULIERUNG DER STRESSANTWORT DURCH PHYTOHORMONE

Nachdem die MAMP-Antworten vorgestresster Pflanzen normal waren, bzw. in Bezug auf die Calloseanreicherung eher verstärkt waren und somit keine Erklärung für die erhöhte Anfälligkeit salzgestresster Pflanzen lieferten, wurde nach weiteren potentiellen Ursachen für die veränderte Toleranz gesucht. Da Phytohormone wichtige regulatorische Elemente der Entwicklung, des Metabolismus und von Stressreaktionen sind, wurde ihre Beteiligung untersucht.

5.4.1 HEMIBIOTROPHE INTERAKTION

Um eine mögliche Erklärung für die veränderte Pathogenität von *Pto* DC3000 auf molekularer Ebene zu finden, wurden die Expressionen diverser hormonabhängiger Markergene, welche maßgeblich an der Stressadaptation beteiligt sind (Bari & Jones, 2009; Grant & Jones, 2009), quantitativ analysiert. Die SA-Markergene wiesen nach Infektion eine sehr starke Repression in den NaCl-behandelten Pflanzen auf (Abbildung 4-8 A+B), was auf ein reduziertes SA-Level hindeutet. Gleichzeitig deutete die Akkumulation der JA-Markergene auf ein, im Vergleich zur Wasserkontrolle, erhöhtes JA-Level in den NaCl-gestressten Pflanzen hin (Abbildung 4-8 C+D). Auch die Anreicherung des untersuchten ABA-Markergens (Abbildung 4-8 E) wies in den vorgestressten Pflanzen ein höheres Niveau auf, als das der Kontrolle. Ein ET-responsives Markergen (Abbildung 4-8 F) hingegen wies keine signifikante Änderung der Akkumulation auf.

Die Analyse der Markergene lässt auf ein stark reduziertes SA-Level aufgrund des angewandten Salzstresses schließen. Da Resistenz gegenüber biotrophen Pathogenen maßgeblich über SA-gesteuerte Signalwege vermittelt wird (Halim *et al.*, 2006), wäre ein reduzierter Gehalt an SA eine Erklärung für die beobachtete erhöhte Pathogenität von *Pto*. Pflanzen, die in SA-Signalwegen gestört oder insensitiv gegenüber SA sind, weisen eine stark erhöhte Anfälligkeit gegenüber biotrophen und hemibiotrophen Schaderregern auf. SA-Mutationslinien, wie zum Beispiel *nahG* (*SA hydroxylase*), *eds5* (*enhanced disease susceptibility 5*) oder *sid2* (*SA induction-deficient 2*) sind nicht in der Lage SA zu akkumulieren und weisen eine geringe Toleranz gegenüber *Pto*, *Hyaloperonospora arabidopsidis* oder *Erysiphe orontii* auf (Delaney *et al.*, 1994; Wildermuth *et al.*, 2001; Vlot *et al.*, 2009). Auch SA-insensitive Linien, wie zum Beispiel *npr1* (*nonexpressor of PR genes 1*), zeigen eine erhöhte Anfälligkeit gegenüber diesen Pathogenen (Cao *et al.*, 1994; Brooks *et al.*, 2005; Glazebrook, 2005; Yasuda *et al.*, 2008). Keimlinge der SA-Mutante *nahG* zeigen zudem, wenn sie auf NaCl- oder Mannitol-haltigem Medium kultiviert wurden, im Gegensatz zu Wildtyp-Keimlingen keine Ausbildung von Nekrosen (Borsani *et al.*, 2001). Dies führten die Autoren auf die verstärkende Eigenschaft der Salicylsäure in Bezug auf die Bildung von ROS in photosynthetischem Pflanzengewebe unter Salz- und osmotischen Stress zurück. Gleichzeitig konnte bereits gezeigt werden, dass NaCl einen hemmenden Effekt auf SA-vermittelte PR-Geninduktion besitzt. Exogen verabreichtes SA, BIT (1,2-Benzisothiazol-3(2H)-one1,1-Dioxid) oder BTH (Benzo(1,2,3)Thiadiazole-7-Carbothionsäure S-Methylester) induziert SAR und die Akkumulation von PR (*pathogenesis-related*)-Proteinen. Durch gleichzeitige Applikation von ABA oder NaCl lassen sich diese Abwehrmechanismen jedoch hemmen (Yasuda *et al.*, 2008). Neben dem direkten Einfluss der erhöhten NaCl-Konzentration auf die SA-Anreicherung, trägt die durch die bakterielle Infektion verursachte Anreicherung des SA-Antagonisten JA, die unter salinen Bedingungen verstärkt ist, zur Hemmung SA-vermittelter Signalwege bei (Brooks *et al.*, 2005).

Die unter Salzstress erhöhte Expression des durch ABA induzierten Gens *HAI2* weist auf eine Induktion von ABA alleine durch NaCl und auf die verstärkte Bildung von ABA im Laufe der Infektion in den vorgestressten Pflanzen hin. Eine durch ABA vermittelte Hemmung der postinvasiven Abwehr (Ton *et al.*, 2009) und die gleichzeitige Suppression SA-vermittelter Resistenzmechanismen durch ABA, NaCl und JA (de Torres-Zabala *et al.*, 2007) kann das verstärkte Wachstum von *Pto* in den vorgestressten Pflanzen erklären.

Einzig auf der Grundlage von RT-qPCR-Analysen kann jedoch keine definitive Aussage über die Level der Phytohormone gemacht werden. Daher müssten diese zukünftig noch zur Bestätigung mittels HPLC-MS2 bestimmt werden.

5.4.2 NEKROTROPHE INTERAKTION

Durch NaCl vorgestresste *A. thaliana*-Pflanzen zeigten deutlich ausgeprägtere Infektionsmerkmale nach Inokulation mit *A. brassicicola* oder *B. cinerea* (Abbildung 4-9, Abbildung 4-14). Dies spiegelte sich nicht nur in der visuell erfassbaren Ausbreitung der Ascomyceten wieder, sondern auch in der Quantifizierung des pilzlichen Wachstums (Abbildung 4-12 B, Abbildung 4-16 B). Das angefärbte Myzel in *B. cinerea* infizierten Blättern war bei vorangegangener NaCl-Behandlung der Pflanze weiter ausgebreitet als in der Wasserkontrolle (Abbildung 4-15 C+D). Außerdem ließ sich in der Vergrößerung erkennen, dass die Pilzhyphen bis zu dem Ring toter Zellen, welcher sich um die Infektionsstelle gebildet hatte, vorgedrungen und teilweise darüber hinaus gewachsen waren. Das Myzelium wirkte zudem insgesamt weniger dicht als in der Wasserkontrolle, was vermutlich auf die großflächigere Ausbreitung zurückzuführen ist. Die histochemische Detektion von H_2O_2 als Bestandteil des Oxidativen Bursts, in mit den verschiedenen Ascomyceten infizierten Gewebe, ließ keine unterschiedliche Anreicherung zwischen den mit NaCl und den normal gewässerten Pflanzen erkennen (Abbildung 4-11 A, Abbildung 4-15 B). Auch war zu den untersuchten Zeitpunkten keine durch NaCl induzierte Anreicherung reaktiver Sauerstoffspezies erkennbar. Bekanntermaßen ist NaCl in der Lage die Akkumulation von H_2O_2 in Pflanzen zu fördern (Zhu, 2001b; Chojak *et al.*, 2013). Daher ist denkbar, dass zu einem frühen Zeitpunkt der Behandlung H_2O_2 entstanden war, dieses jedoch zu dem betrachteten späten Zeitpunkt bereits wieder abgebaut war.

Da die Besiedelung von *A. thaliana* mit *A. brassicicola* aufgrund der Inkompatibilität nur langsam voran schritt und der Effekt des einmalig angewandten Salzstresses möglicherweise nicht bis zur vollständigen Besiedelung des inokulierten Blattes anhielt, wurde das aggressivere Pathogen *B. cinerea* für die absolute Bestimmung der Hormonwerte, sowie für die Analyse des gesamten Transkriptom bevorzugt. In Bezug auf *A. brassicicola* wurden lediglich einzelne Stress responsive Markergene quantitativ analysiert.

Während das SA-Level in vorgestressten Pflanzen nach Infektion mit dem biotrophen Erreger *P. syringae* DC3000 stark reduziert zu sein schien, war es nach Infektion mit den nekrotrophen Ascomyceten *B. cinerea* und *A. brassicicola* signifikant erhöht. Dies wurde auch durch die Quantifizierung relevanter Markergene (Abbildung 4-13 A+B, Abbildung 4-17 A+B) und der absoluten Bestimmung des SA-Levels nach NaCl-Behandlung und *B. cinerea*-Infektion (Abbildung 4-25 B) gezeigt. Während die Markergenexpressionen und das SA-Level in Pflanzen, die einer Kombination der beiden Stresse ausgesetzt wurden stark erhöht war, zeigten Pflanzen, die lediglich mit *B. cinerea* infiziert waren nur eine sehr geringe Anreicherung. Schon Govrin & Levine (2002) zeigten, dass eine alleinige Infektion mit *B. cinerea* weder zur

Anreicherung von SA, noch zur Induktion von SAR führt. Die Beeinflussung der SA-Akkumulation lässt sich somit nicht auf die *B. cinerea*-Infektion zurück führen, sondern vielmehr auf den direkten oder indirekten Einfluss des NaCl. Die Quantifizierung einzelner Markergene des für die Immunantwort gegen nekrotrophe Erreger maßgeblichen Phytohormons Jasmonsäure (Glazebrook, 2005) deutete auf eine vermehrte Anreicherung des Hormons nach *A. brassicicola* (Abbildung 4-13 C+D) und *B. cinerea*-Infektion (Abbildung 4-17 C+D) bei vorangegangener NaCl-Behandlung hin. Dies wurde auch durch die Bestimmung der Level verschiedener Jasmonate, inklusive des physiologisch aktiven JA-Derivats JA-Ile (Koo *et al.*, 2009) und des ebenfalls aktiven JA-Vorläufer OPDA (Dave & Graham, 2012) bestätigt (Abbildung 4-25). Viele Signalwege werden nicht durch JA alleine reguliert, sondern in Kombination mit ET (Penninckx *et al.*, 1998; Anderson *et al.*, 2004). Die Expression des ET-Markergens *ERF1* wies nach *A. brassicicola*-Infektion (Abbildung 4-13 E) keine Anreicherung auf. Im Gegensatz dazu stieg die Expression von *ERF1* (Abbildung 4-17 E) nach *B. cinerea*-Infektion in den vorgestressten Pflanzen signifikant an. Kürzlich konnte gezeigt werden, dass die Expression von *ERF1* durch Salinität und Trockenstress induzierbar ist und zur Induktion sowohl ET, als auch JA benötigt. Außerdem lässt sich die *ERF1*-Expression durch ABA hemmen. *A. thaliana*-Pflanzen mit überexprimiertem *ERF1* wiesen nicht nur eine erhöhte Toleranz gegenüber Salz- und Trockenstress auf, sondern zeigten auch unter Hitzeeinwirkung eine verbesserte Leistung (Cheng *et al.*, 2013). Die *Microarray*-Analyse (Tabelle 4-4) erbrachte eine durch Kombination von NaCl und *B. cinerea* positive Beeinflussung der Expressionen ABA-induzierter Gene. Gleichzeitig schien NaCl jedoch zu den betrachteten Zeitpunkten keinen Einfluss auf ET-vermittelte Vorgänge zu besitzen. Die Untersuchung der absoluten Phytohormongehalte zeigte zudem eine erhöhte Anreicherung des IAA-Vorläufers ICA (Indol-3-Carbonsäure; Abbildung 4-25 N) unter salinem Stress auf. Dies spiegelte sich jedoch nur bedingt in dem Gehalt der IAA (Abbildung 4-25 O), dem in Pflanzen prominentesten Auxin (Fu & Wang, 2011), wieder.

Auxine können sowohl einen direkten, als auch einen indirekten Einfluss auf die pflanzliche Immunität besitzen. Indirekte Effekte können durch die Auxin-vermittelte Steuerung der Entwicklung, der Zellwandarchitektur oder des Wurzelwachstum bedingt werden (Ding *et al.*, 2008). Gleichzeitig können sie die pflanzliche Abwehr durch Beeinträchtigung anderer Phytohormon-Signalwege oder der PTI negativ beeinflussen (Ding *et al.*, 2008; Robert-Seilantantz *et al.*, 2011). Jedoch zeigten *Arabidopsis*-Mutanten, die in ihrem Auxin-Signalweg gestört waren eine erhöhte Anfälligkeit gegenüber den nekrotrophen Pilzen *B. cinerea* und *Plectosphaerella cucumerina* (Llorente *et al.*, 2008), was von einem positiven Effekt von Auxin auf die Pathogenantwort zeugt.

Die Analyse der *Microarray*-Daten (Tabelle 4-4) zeigte eine deutlich stärkere Beeinflussung von Genen, welche in die SA-, JA- oder Auxin-Biosynthese involviert sind, bzw. durch diese Hormone in ihrer Expression beeinflusst werden, nach zusätzlichem Salzstress auf. Markergene für ET wiesen zwar eine deutliche Aktivierung nach *B. cinerea*-Infektion auf, diese wurde jedoch durch zusätzlichen Salzstress nicht beeinflusst.

Zusammenfassend lässt sich sagen, dass die Gehalte der Phytohormone SA, IAA und der Jasmonate sowie die Anzahl der durch sie beeinflussten Genaktivitäten, unter salinen Bedingungen höher waren. Dies lässt auf verstärkt induzierte Abwehrmechanismen und somit auf eine erhöhte Resistenz in den vorgestressten *A. thaliana*-Pflanzen schließen. Da die erhöhte Anfälligkeit salzgestresster Pflanzen jedoch eindeutig belegt werden konnte (Abbildung 4-15, Abbildung 4-16), ist es wahrscheinlicher, dass die Phytohormonlevel als Reaktion auf das verstärkte und frühzeitigere Wachstum des Pilzes sowie der allgemeinen Schwächung des pflanzlichen Organismus aufgrund des Salzstresses zu verstehen sind. Das deutlich erhöhte SA-Level in der Stresskombination könnte auch durch das vermehrte Wachstum von *B. cinerea* direkt verursacht werden. Da gezeigt wurde, dass *B. cinerea* nach Infektion ein Exopolysaccharid produziert, welches als Elicitor für den pflanzlichen SA-Signalweg fungiert, der seinerseits antagonistisch zu JA-induzierten Wegen ist (El Oirdi *et al.*, 2011). Die Produktion oder Degradation von Hormonen, sowie die Beeinflussung des Phytohormonhaushaltes durch Elicitoren in der Interaktion mit pflanzlichen Wirten ist auch von anderen Pathogenen bekannt (Dénance *et al.*, 2013). Zum Beispiel beeinflussen verschiedene bakterielle und pilzliche Erreger die pflanzliche Stressadaption durch Synthese und Sekretion von Auxin. Hierzu zählen unter anderem *A. tumefaciens* (Liu & Nester, 2006), *Erwinia chrysanthemi* (Yang *et al.*, 2007) und verschiedene *Ustilago*-Arten (Reineke *et al.*, 2008). Ebenso stehen bestimmte RXLR-Effektoren von *Hyaloperonospora arabidopsidis* und *Phytophthora sojae* im Verdacht die basale pflanzliche Immunität, sowie die ETI durch Hemmung der Expression SA-induzierter Gene zu beeinträchtigen (Anderson *et al.*, 2012).

Dies verdeutlicht, dass die Adaption an Stresskombinationen nicht nur durch das komplexe regulatorische Netzwerk der Pflanzen justiert wird, sondern dass auch das beteiligte Pathogen selbst in die Regulation eingreift und sie manipuliert.

5.5 ABA ALS MEDIATOR DER SALZSTRESS-INDUZIERTER IMMUNTSCHWÄCHUNG

Die Abscisinsäure gilt als wichtigstes Hormon in Bezug auf die abiotische Stressadaption (Zhu, 2001b), ist aber auch ein prominenter Regulator von Anpassungsmechanismen an biotischen Stress (Asselbergh *et al.*, 2008; Ton *et al.*, 2009). Die vor allem zu Beginn der Infektionen vermehrte Expression von *ABI5* (Abbildung 4-13 F, Abbildung 4-17 F) deutet auf ein erhöhtes ABA-Level aufgrund der Salinität hin. Dies konnte auch durch die Bestimmung des ABA-Levels

belegt werden (Abbildung 4-25 A). Bereits vor der Pathogeninfektion zeichnete sich ein signifikanter Anstieg des ABA-Gehaltes in den salzgestressten Pflanzen ab. Nach erfolgter Infektion stieg das ABA-Level auch in den Kontrollpflanzen an, jedoch nicht so stark, wie in den vorgestressten Pflanzen. Die frühzeitige Anreicherung der Abscisinsäure wurde folglich durch das verabreichte NaCl verursacht und wurde nicht von *B. cinerea* induziert oder produziert (Inomata *et al.*, 2004). Neben dem direkten Einfluss, den die erhöhte NaCl-Konzentration auf die Produktion von ABA hat, scheinen weitere Mechanismen oder Biosyntheseschritte, die in die ABA-Produktion involviert sind durch NaCl stimuliert zu werden. Während durch eine alleinige NaCl-Behandlung lediglich 2 der 38 betrachteten Genen, die in die ABA-Biosynthese involviert sind oder durch ABA induziert werden (Tabelle 4-4), in ihrer Expression verändert waren, lag die Zahl nach zusätzlicher *Botrytis*-Infektion deutlich höher. Mehr als doppelt so viele Gene waren in den vorgestressten Pflanzen, im Vergleich zu den normal gewässerten Pflanzen nach *Botrytis*-Infektion, in ihrer Expression verändert.

Da NaCl bekanntermaßen ABA induziert (Chen *et al.*, 2001; DiLeo *et al.*, 2010; Yadav *et al.*, 2011) und wegen dessen prominenter Stellung in der Moderation abiotischer und biotischer Stressreaktionen (Ton *et al.*, 2009; Cao *et al.*, 2011), wurde die Anfälligkeit von *A. thaliana* gegenüber dem Pathogen *B. cinerea* nach Applikation von ABA oder dessen Inhibitor Fluridon näher betrachtet. Zahlreiche, teilweise widersprüchliche Studien, die sich mit der Resistenz verschiedener Wirtspflanzen gegenüber sowohl biotrophen, als auch nekrotrophen Pathogenen nach ABA-Behandlung befassen, wurden von Asselbergh *et al.* (2008) zusammengefasst. Dabei wurden unabhängig vom Wirt oder dem verwendeten Pathogen sowohl Belege für eine positive, als auch für eine negative Wirkung der Abscisinsäure auf die pflanzliche Resistenz aufgeführt.

Während Melotto *et al.* (2006) eine Verschlechterung der Toleranz der *Arabidopsis*-ABA-Biosynthese-Mutante (*aba3-1*) gegenüber *P. syringae* postulierten, beobachteten de Torres-Zabala *et al.* (2007) in der ABA-Biosynthese Mutante *aaa3* und in verschiedenen ABA-insensitiven Mutanten (*abi1-1*, *abi2-1*, *35S::HAB1*) eine Verbesserung der Toleranz gegenüber dem gleichen Pathogen. Dementsprechend beobachteten erstere eine Verbesserung der Resistenz nach ABA-Applikation, während de Torres-Zabala *et al.* (2007) mehr *P. syringae*-Wachstum feststellten. Die Rolle von ABA in Bezug auf die Toleranz gegenüber dem hemibiotrophen Bakterium wurde auch an anderer Stelle beschrieben. Fan *et al.* (2009) postulierten nicht nur ein geringeres Wachstum von *P. syringae* in der ABA-Mutante *aba3-1*, sondern auch eine Verschlechterung der Toleranz nach ABA-Applikation gegenüber *P. syringae* und dem biotrophen Oomyceten *H. arabidopsis*. Gleichzeitig beobachteten Fan *et al.* (2009) ein vermindertes *A. brassicicola*-Wachstum nach ABA-Behandlung. Letztere Autoren begründeten

die Beeinflussung der Resistenz gegenüber den verschiedenen Schaderregern durch die ABA-bedingte Begünstigung der JA-Biosynthese und einem komplexen, antagonistischen Verhältnis von ABA und SA.

Jedoch wurden zu der Rolle der Abscisinsäure in Bezug auf nekrotrophe Pilze auch kontroverse Beobachtungen gemacht. Während ABA-Biosynthese- und insensitive *Arabidopsis*-Mutanten eine Verschlechterung der Resistenz gegenüber den Erregern *S. sclerotiorum*, *A. brassicicola* und *Leptosphaeria maculans* aufwiesen (Guimarães & Stotz, 2004; Adie *et al.*, 2007; Kaliff *et al.*, 2007), wurde eine erhöhte Toleranz gegenüber *B. cinerea* und *Plectosphaerella cucumerina* beobachtet (Adie *et al.*, 2007; Hernández-Blanco *et al.*, 2007). Die verminderte Pathogenität von *B. cinerea* auf ABA-Mutanten konnte mehrfach bestätigt werden (Audenaert *et al.*, 2002; AbuQamar *et al.*, 2006; Curvers *et al.*, 2010). In Tomate führte die Applikation von ABA zu einer Verbesserung der Toleranz gegenüber *Alternaria solani* (Song *et al.*, 2011), während sie in Reis zu einer drastischen Verschlechterung der Resistenz gegenüber kompatiblen und inkompatiblen *M. grisea*-Stämmen führten (Jiang *et al.*, 2010). Die Begünstigung der Pathogenität des biotrophen Pilzes *M. grisea* konnten die Autoren dabei auf die Suppression SA-induzierter Gene und somit des SA-Signalweges durch ABA zurückführen. Gleichzeitig wurde die basale Resistenz von Reis gegenüber *Cochliobolus miyabeanus* durch die Applikation von ABA gestärkt (De Vleeschauwer *et al.*, 2010). Die verbesserte Performance der Pflanzen nach ABA-Behandlung gegenüber dem nekrotrophen Pilz begründeten die Autoren mit einer MAP-Kinase vermittelten Hemmung des ET-Signalweges in Reis.

So zahlreich wie die Studien, die sich mit ABA in Verbindung mit Pathogenstress befassen, so vielseitig und teilweise widersprüchlich sind die gewonnenen Resultate. ABA wird meist eine Schlüsselrolle in der Stressregulation zugesprochen und fungiert als Inhibitor biotischer Stresssignalwege. Hierdurch wird die Feinregulierung pflanzlicher Stressadaptation gesteuert um der jeweils größten Bedrohung entgegenzuwirken. Dies kann sowohl positive, als auch negative Effekte auf die Pathogenabwehr zur Folge haben (Anderson *et al.*, 2004; Yasuda, 2008; Ton *et al.*, 2009) und lässt sich weder für die Wirtspflanzenart, noch für die nekrotrophe oder biotrophe Lebensweise des Schaderregers verallgemeinern.

Unter den zugrunde liegenden Versuchsbedingungen bewirkte eine vorherige Behandlung mit ABA eine eindeutige Verschlechterung der Resistenz gegenüber *B. cinerea* (Abbildung 4-27 A). Wurde jedoch die NaCl-induzierte ABA-Anreicherung durch Applikation von Fluridon gehemmt, so verbesserte sich auch die Resistenz gegenüber dem nekrotrophen Erreger (Abbildung 4-27 B). DiLeo *et al.* (2010) zeigten, dass mit Fluridon behandelte Tomatenpflanzen lediglich eine 50 %ige Hemmung des salzinduzierten ABA-Levels aufwiesen, also keine vollständige Hemmung aufwiesen. Auch in der vorliegenden Arbeit wurde durch Fluridon nur eine deutliche

Reduktion und keine vollständige Hemmung der Markergen-Akkumulation nachgewiesen (Abbildung 4-27 A). Außerdem konnte ausgeschlossen werden, dass weder NaCl, ABA, Fluridon oder die verwendeten Lösungsmittel bereits einen fördernden Einfluss auf die Ausbreitung von *B. cinerea* an sich hatten (Abbildung 4-27 C+D).

Die beobachtete negative Wirkung der erhöhten ABA-Konzentration auf die Toleranz von *A. thaliana* gegenüber *B. cinerea* ist eine Erklärung für die verstärkte Pathogenität des Erregers auf *Arabidopsis*-Pflanzen unter salinen Bedingungen und bekräftigt die andernorts beschriebene dominante Rolle der Abscisinsäure im regulatorischen Netzwerk der Stressadaptation.

Da die Gehalte weiterer stressrelevanter Phytohormone nach NaCl-Behandlung und gleichzeitiger Pathogeninfektion stark verändert sind (Abbildung 4-25), wäre eine Betrachtung verschiedener Mutanten, die in der Biosynthese oder Perzeption dieser Hormone beeinträchtigt sind, oder die exogene Applikation unter multiplem Stress gleichermaßen interessant.

5.6 DIE ZELLULÄRE ANTWORT AUF DIE STRESSKOMBINATION IST MEHR ALS DIE SUMME DER EINZELSTIMULI

Da ein Großteil der produzierten Nahrungsmittel im Freiland kultiviert wird, lassen sich insbesondere die abiotischen Einflüsse kaum regulieren und können gravierende Ernteeinbußen von bis zu 50 % verursachen (Boyer, 1982; Rockstrom & Falkenmark, 2000; Wang *et al.*, 2003). Die zumeist extensive Bewirtschaftung der Böden und der klimatische Wandel verschlechtern zusätzlich die Bodenqualität und erhöhen die Anforderungen an die Kulturpflanzen (Oldeman, 1994; Ciais *et al.*, 2005; Foley *et al.*, 2005). Gleichzeitig sind Kulturpflanzen einem hohen Pathogendruck ausgesetzt, wodurch wiederum Abwehrmechanismen in Gang gesetzt werden, welche auch die Adaption an abiotische Stressfaktoren beeinflusst (Yasuda *et al.*, 2008). Die Entschlüsselung der Mechanismen, die durch die Kombination verschiedener Stresse ausgelöst wird, gewinnt somit immer mehr an Bedeutung. In früheren Studien, die darauf abzielten Gene zu identifizieren, die während multipler Stresse von Bedeutung sind, wurden Listen von Genen, die durch Einzelstresse verändert werden zur Identifizierung von Kandidatengenen verglichen (Seki *et al.*, 2002b; Kilian *et al.*, 2007; Kant *et al.*, 2008). Doch Rizhsky *et al.* (2004), Prasch & Sonnewald (2013) und Rasmussen *et al.* (2013) zeigten, dass Pflanzen unter kombiniertem Stress für die Stresskombination einzigartige, nicht vorhersagbare Änderungen des Transkriptoms und des Metaboloms aufweisen. So verstärken sich zum Beispiel die Auswirkungen durch Trockenheit unter zusätzlicher Hitzeeinwirkung in *Arabidopsis* und Tabak drastisch (Rizhsky *et al.*, 2004). Gleichzeitig steigt die Anfälligkeit gegenüber dem Steckrübe-Mosaik-Virus (TuMV; Prasch & Sonnewald, 2013), wenn Pflanzen

zuvor einer Kombination dieser beiden Stressfaktoren ausgesetzt wurden. Auch das Transkriptom von *Medicago truncatula*-Pflanzen, die nur einem Stressfaktor ausgesetzt waren, wies im Vergleich zu Pflanzen die einer Kombination aus Trockenheit und erhöhten Ozonwerten ausgesetzt waren, einzigartige Änderungen auf (Iyer *et al.*, 2013). Es konnte gezeigt werden, dass sich die beiden Stressfaktoren positiv beeinflussen und die Vitalität von *M. truncatula* in der Stresskombination verbessert war. Dies führten Iyer *et al.* (2013) auf die verringerte Stomata-Konduktanz und die reduzierte ROS-Freisetzung zurück. Die absolute Anzahl, der durch die Kombination von Trockenheit und Ozon beeinflussten Gene (3096) in *M. truncatula* war geringer als die Anzahl der Genänderungen, die alleine durch Ozon (3543) und höher als die alleine durch Trockenheit (2792) verursacht worden waren (Iyer *et al.*, 2013). Insgesamt wurden in dem verwendeten *GeneChip*® *Medicago Genome Array* (Affimetrix) 18733 Gene untersucht. Die Transkriptomänderungen, die durch die Kombination von Hitze und Trockenheit (1833) in *A. thaliana* detektiert wurden (Rizhsky *et al.*, 2004), ließen sich durch die Kombination der Änderungen, die unter den einzeln aufgewandten Stressen auftreten (Trockenheit 1571; Hitze 541) erklären. Rizhsky *et al.* (2004) verwendeten für die Analyse des *A. thaliana*-Transkriptoms den *GeneChip*® *Arabidopsis ATH1 Genome Array* (Affimetrix), der 24000 Gene berücksichtigt. Auch die Kombination von Trockenstress und Nematodenbefall (*Heterodera schachtii*) bewirkte einzigartige Änderungen des *Arabidopsis*-Transkriptoms. Dabei entsprach das Profil des Transkriptoms unter kombiniertem Stress eher dem des Wasserstressses, was die Vermutung nahe legt, dass sich die pflanzliche Stressadaption eher gegen den massiveren Stressfaktor richtet (Atkinson *et al.*, 2013). Die Autoren beobachteten zudem eine Herunterregulierung von Genen, die verschiedenen Abwehrsignalwegen zugeordnet werden können, wodurch die Hypothese gestärkt wird, dass die Pathogenabwehr unter gleichzeitigen abiotischen und biotischen Stressbedingungen aktiv Unterdrückt wird. Auch wird wieder einmal deutlich, dass die Adaption an multiple Stressfaktoren kein einfacher additiver Effekt ist, sondern als individuelle Stresssituation betrachtet werden sollte.

Für die Durchführung der *Microarray*-Analyse wurde in dieser Arbeit der *NimbleGen DNA Microarray A. thaliana Genexpression 12x135K Array TAIR 9.0* (Roche), der mit 27000 Genen wesentlich besser das *Arabidopsis*-Genom abdeckt, als der Affimetrix-Chip. Die Untersuchung des *A. thaliana*-Transkriptoms nach der Behandlung mit NaCl-Stress, *B. cinerea*-Infektion oder einer Kombination dieser beiden Faktoren, wies auf einzigartige Transkriptomänderungen hin, welche sich nicht nur durch eine einfache Addition der Anzahl der Expressionsänderungen, bedingt durch die Einzelstresse, erklären lässt.

Ein Vergleich der Transkriptome unter den verschiedenen Stresssituationen erbrachte lediglich 33 Gene (Abbildung 4-30 A+B), welche gleichzeitig unter den verschiedenen getesteten

Bedingungen verändert waren. Die Transkriptome der Pflanzen, die multiplem Stress ausgesetzt waren, wiesen hingegen 650 Gene auf (Abbildung 4-30 C+D), deren Expressionsänderungen einzigartig für den kombinierten Stress waren. Durch den Vergleich der kompletten Transkriptome zeigte sich ebenfalls, dass die Veränderungen, die einzig aufgrund des NaCl-Stresses verursacht wurden, zum untersuchten Zeitpunkt nur gering waren und lediglich aus 57 in ihrer Expression veränderten Genen bestanden (Tabelle 4-2). Die geringe Beeinflussung des Transkriptoms zum untersuchten Zeitpunkt mag durch die transiente Expression vieler NaCl-induzierbarer Gene verursacht werden (Kant *et al.*, 2007; Kilian *et al.*, 2007; Zeller *et al.*, 2009). Die Zahl der Gene, welche aufgrund einer Infektion durch *Botrytis* in ihrer Expression mindestens um das 2-fache verändert waren, lag mit 7231 Genen deutlich höher. Ging der Infektion eine Behandlung mit NaCl voraus, so erhöhte sich diese Zahl um etwa 10 % auf 10684 Gene. Auch die unterschiedliche Aktivierung der funktionellen Klassen durch die verschiedenen Stresssituationen (Abbildung 4-29) lässt sich nicht durch eine Addition der Aktivierungen der Klassen durch Einzelstress erklären, sondern deutet auf für die Stresskombination einzigartige Stressadaptation hin.

Die Analyse des Transkriptoms unter den verschiedenen Stressen weist darauf hin, dass ein Großteil der Transkriptomänderungen und somit der Mechanismen, die aufgrund des kombinierten Stresses im pflanzlichen Organismus ablaufen, sich nicht durch die Extrapolation der Einzelstresse begründen lässt. Hierfür spricht auch die einzigartige Beteiligung einiger spezifischer Gene in der Stresskombination.

5.6.1 REGULATION DER STRESSKOMBINATION DURCH TRANSKRIPTIONSFAKTOREN

Transkriptomsstudien dienen als wichtiges Hilfsmittel zur Kategorisierung Stressresponsiver Gene. Umfangreiche Transkriptionsanalysen ergaben, dass Genprodukte die aufgrund abiotischen Stresses produziert werden sich in zwei Gruppen einteilen lassen (Bohnert *et al.*, 2001; Seki *et al.*, 2002b; Ellouzi *et al.*, 2011; Yadav *et al.*, 2011). Die erste Gruppe umfasst Gene, die für Proteine kodieren, welche die pflanzliche Zelle vor den Einwirkungen des Stresses direkt schützt. Hierzu zählen unter anderem Proteine, die den Flüssigkeitshaushalt und die Verteilung gelöster Substanzen regulieren oder den Zellen Stabilität verleihen und sie vor toxischen Molekülen schützen (Seki *et al.*, 2002a; Ellouzi *et al.*, 2011). Die zweite Gruppe umfasst regulatorische Elemente, die in der Signalweiterleitung fungieren und weitere Stressreaktionen auslösen. Hierzu zählen neben den TFs auch Proteinkinasen und Proteinphosphatasen (Shinozaki & Yamaguchi-Shinozaki, 2007; Naika *et al.*, 2013). 7 % des pflanzlichen Genoms kodiert für Transkriptionsfaktoren (Udvardi *et al.*, 2007). Durch die Bindung an *cis*-regulatorische Elemente steuern TFs verschiedene Mechanismen, darunter auch zahlreiche Stressadaptation (Agarwal & Jha, 2010; Singh *et al.*, 2011). Ein Beispiel für die

omnipotente Rolle einzelner TFs ist der durch Screening einer nach Trockenstress gewonnenen *Triticum aestivum*-cDNA-Bank identifizierte Ethylen-responsive TF *TaERF1*, der sowohl GCC-Box-, als auch CRT/DRE-Elemente erkennt und bindet (Xu *et al.*, 2007). Mit *CaMV35S::TaERF1* transformierte *Arabidopsis*- und Tabak-Pflanzen wiesen erhöhte Level an PR1, PR2, PR5 und ERD10/LTI45, einem durch Salzstress induzierbarem Gen auf. Außerdem zeigten sie eine Verbesserung der Toleranz gegenüber zahlreichen Stressfaktoren wie zum Beispiel Trockenheit, Salinität, niedrige Temperaturen, ABA, ET, SA und Infektion mit *Blumeria graminis* (Xu *et al.*, 2007). Aufgrund ihrer dominanten Stellung im komplexen Netzwerk der Stressregulation und der Tatsache, dass einzelne Transkriptionsfaktoren die Adaption an verschiedene Stresse beeinflussen (Karaba *et al.*, 2007; Jiang & Deyholos, 2009; Wu *et al.*, 2009), wurde ihre Rolle bei gleichzeitigem Salz- und Pathogenstress näher betrachtet.

Die Aktivität der Transkriptionsfaktoren in *A. thaliana*-Pflanzen, die einer Kombination der beiden untersuchten Stresse ausgesetzt waren, war im Vergleich zu Pflanzen unter Einzelstress deutlich erhöht (Abbildung 4-31). Die transkriptionelle Antwort der Pflanze auf die Kombination von Salinität und einer pilzlichen Infektion gibt einen Einblick in die Flexibilität des pflanzlichen Genoms und seine Fähigkeit sich durch stressspezifische Expressionen an komplexe Umwelteinwirkungen anzupassen. Dabei beruht diese Flexibilität maßgeblich auf einem komplexen, regulatorischen Netzwerk, durch welches Pflanzen in der Lage sind zahlreiche Mechanismen schnell und individuell anzupassen (Arabidopsis Genome Initiative, 2000; Chen *et al.*, 2002). Transkriptionsfaktoren, die in allen untersuchten Stresssituationen involviert sind oder jene, die einzig in der Kombination eine Rolle spielen, besitzen möglicherweise das Potential durch biotechnologische Manipulationen die Stressadaption von Pflanzen unter multiplen Stressbedingungen zu verbessern. Erste Analysen der T-DNA-Insertionslinien *wrky25* (Abbildung 4-20 C), sowie der Überexpressionslinie *WRKY75-OE* (Abbildung 4-20 D) wiesen auf eine Beeinflussung der Pathogenität von *B. cinerea* unter salinen Bedingungen hin. Bereits beschrieben wurde die Bedeutung von *WRKY25* als Suppressor SA-abhängiger Abwehrmechanismen, die Reduktion der PR1-Expression in der Überexpressionslinie sowie eine erhöhte Anfälligkeit gegenüber *P. syringae* pv. *maculicola* (Zheng *et al.*, 2007). Dementsprechend weisen *Knockout*-Mutanten verminderte Infektionsmerkmale nach *P. syringae*-Infektion auf (Zheng *et al.*, 2007). Die Autoren verweisen des Weiteren auf eigene, unveröffentlichte Daten, die keine Beeinflussung der Mutante in Bezug auf die Toleranz gegenüber *B. cinerea* und *A. brassicicola* erkennen lassen. Die Analyse der T-DNA-Insertionslinie *wrky25*, insbesondere in Bezug auf die Phytohormonlevel oder die Performance der Mutante nach Infektion durch nekrotrophe oder biotrophe Pathogene unter salinen Bedingungen, könnte interessante Einblicke in die Bewältigung multipler Stressfaktoren geben.

Der TF *WRKY75* wird in Reis und *Arabidopsis* durch NaCl, NAA, ABA und Hitze induziert (Yu *et al.*, 2010). Außerdem fungiert *WRKY75* als Regulator in Bezug auf die Adaption an Phosphatmangel, daher werden RNAi-vermittelte Suppressionslinien von Phosphatstress stärker beeinträchtigt als der Wildtyp (Devaiah *et al.*, 2007). Die untersuchte Überexpressionslinie *WRKY75-OE* zeigte eine Verbesserung der Pathogenresistenz unter salinen Bedingungen (Abbildung 4-20 D), eine nähere Untersuchung der physiologischen Vorgänge in der Mutante könnte auch hier aufschlussreich in Bezug auf die spezifische Stresskombination sein.

Neben der vertiefenden Analyse der bereits erwähnten TF *WRKY25* und *WRKY75*, wären zukünftige Untersuchungen weiterer TF denkbar. Besonders interessant hierbei wäre die nähere Betrachtung jener TF, die einzig in der Kombination der beiden Stressfaktoren Salinität und Pathogeninfektion involviert sind oder aber durch beide Stresse gleichermaßen induziert werden (Abbildung 4-31). Auch die nähere Betrachtung von Genen, die nicht zu den TF zählen, aber deren Expression speziell unter multiplen Stress verändert ist (Abbildung 4-30), würde eventuell zum besseren Verständnis der regulatorischen Vorgänge unter kombinierten abiotischen und biotischen Stressbedingungen beitragen. Neben dem Effekt von *Knockout*-Mutanten oder Überexpressionslinien der einzelnen Gene unter Stresskombination, könnte auch die Beeinflussung des hormonellen Netzwerkes oder anderer in die Stressadaption involvierter Faktoren interessante Aspekte aufzeigen.

6 ZUSAMMENFASSUNG

Pflanzen sind in ihrer natürlichen Umgebung häufig multiplen Stressfaktoren ausgesetzt. Dank eines fein abgestimmten Netzwerkes regulatorischer Elemente sind sie in der Lage sich individuell an verschiedenste Stresskombinationen anzupassen. Gegenstand dieser Arbeit war die Betrachtung der Signalwege und Mechanismen, die in durch erhöhte Bodensalinität vorgestressten Pflanzen, welche einem zusätzlichen Befall durch Pathogene ausgesetzt sind, ablaufen.

Durch NaCl vorgestresste *A. thaliana*-Pflanzen zeigten eine deutlich erhöhte Anfälligkeit gegenüber den Pathogenen *P. syringae*, *A. brassicicola* und *B. cinerea*. Neben den signifikant stärker ausgeprägteren Infektionsmerkmalen ließ sich eine Beeinflussung bekannter Stressmarkergene aufgrund des angewandten Salzstresses beobachten. Eine mögliche Ursache hierfür wäre eine verminderte MAMP-Antwort. Mit NaCl-behandelte Pflanzen wiesen jedoch, nach Behandlung mit Flagellin oder Chitin weder reduzierte MAP-Kinasen-Aktivitäten auf, noch war die Anreicherung von Callose verringert. Die erhöhte Anfälligkeit vorgestresster *A. thaliana*-Pflanzen ließe sich auch durch die Beeinträchtigung des Phytohormonhaushaltes begründen. Die nähere Analyse der Interaktion salzgestresster Pflanzen mit *B. cinerea* zeigte die signifikant erhöhte Anreicherung der Phytohormone JA, SA und ABA auf. Die Anreicherung von ABA konnte bereits nach alleiniger Applikation des Salzstresses beobachtet werden. Durch den ABA-Inhibitor Fluridon ließ sich die ABA-Akkumulation teilweise hemmen und gleichzeitig die Toleranz von *A. thaliana*-Pflanzen gegenüber dem Pilz *B. cinerea* unter salinen Bedingungen verbessern. Dementsprechend begünstigte die exogene Behandlung der Pflanzen mit ABA die Pathogenität des Pilzes signifikant. Diese Beobachtung geht konform mit der bereits zuvor dokumentierten dominanten Stellung von ABA im regulatorischen Netzwerk der Stressadaptation, bekräftigt dessen Prominenz und könnte zur erhöhten Anfälligkeit von NaCl-behandelten Pflanzen führen. Mittels *Microarray*-Analyse gewonnene Daten belegten zudem die deutlich erhöhte Veränderung des gesamten Transkriptoms, einschließlich der betrachteten Transkriptionsfaktoren, nach NaCl-Behandlung und gleichzeitiger *B. cinerea*-Infektion. Die transkriptionellen Veränderungen ließen sich dabei nicht auf die Addition der Geninduktionen unter Einzelstress zurückführen. Dies weist auf eine, für die spezifische Kombination der untersuchten Stressfaktoren, einzigartige Regulation hin und ist somit eine mögliche Ursache für die verminderte Toleranz. Infektionsstudien mit den in Stressreaktionen involvierten TFs *WRKY25* und *WRKY75* zeigten eine veränderte Induktion der beiden TFs in der Stresskombination auf. Die *Knockout*-Mutante *wrky25* wies, ebenso wie die Überexpressionslinie *WRKY75-OE*, im Vergleich zur Wasserkontrolle, ein vermindertes *B. cinerea* Wachstum in den durch NaCl vorgestressten Pflanzen auf. Die Identifikation und

Manipulation weiterer Gene, die in der Stresskombination eine prominente Signalstellung einnehmen, könnten zur Aufklärung der multiplen Stressadaption beitragen. Hierbei wäre die Betrachtung der in der *Microarray*-Studie identifizierten Gene, deren Expressionsänderungen spezifisch für die Stresskombination waren, möglicherweise aufschlussreich.

ABKÜRZUNGEN

Physikalische Größen werden in SI-Einheiten angegeben

ABA	Abscisinsäure		<i>repeat</i>
AS	Aminosäure	NPK	<i>Nicotiana protein kinase</i>
avr	Avirulenzfaktor	PAMP	<i>Pathogen-associated molecular pattern</i>
Bc	<i>Botrytis cinerea</i>	PCR	<i>Polymerase chain reaction</i>
bHLH	<i>basic helix-loop-helix</i>	Phe	Phenylalanin
bZIP	<i>basic-domain leucine-zipper</i>	PR	<i>pathogenesis-related</i>
cDNA	<i>complementary DNA</i>	PTI	<i>PAMP-triggered immunity</i>
cfu	<i>colony forming unit</i>	Pto	<i>Pseudomonas syringae</i> pv. <i>tomato</i> DC3000
Col-0	Columbia-0, <i>A. thaliana</i> Ökotyp	pv.	Pathovar
DAMP	<i>Damage-associated molecular pattern</i>	qRT-PCR	quantitative Real-Time PCR
DNA	Desoxyribonukleinsäure	RNA	Ribonukleinsäure
dNTP	Desoxyribonukleosidtriphosphat	ROS	Reaktive Sauerstoffspezies
E. coli	<i>Escherichia coli</i>	rpm	<i>rounds per minute</i>
EC	<i>electric conductivity</i>	RPM1	Resistent zu <i>Pseudomonas syringae</i> pv. <i>maculicola1</i>
EDTA	Ethylendiamintetraessigsäure	RT-PCR	reverse Transkription mit anschließender PCR
ERF	<i>ethylene-responsive-element-binding factor</i>	SA	Salicylsäure
ET	Ethylen	SAR	<i>systemic acquired resistance</i>
ETI	<i>effector-triggered immunity</i>	SDS	<i>Sodium Dodecyl Sulfate</i>
FDR	<i>false discovery rate</i>	TAE	Tris-Acetat-EDTA
FG	Frischgewicht	Taq	<i>Thermus aquaticus</i>
flg22	Peptid aus Flagellin mit der Sequenz QRLSTGSRINSAKDDAAGLQIA	T-DNA	Transfer-DNA
GSP	Gen-spezifische Primer	TF	Transkriptionsfaktor
HB	<i>homeobox</i>	Tris	Tris(hydroxymethyl)-aminomethan
HR	<i>Hypersensitive response</i>	U	<i>Unit</i>
HSF	<i>heat shock factor</i>	UV	Ultraviolett
IAA	Indol-3-Essigsäure	v/v	Volumen/Volumen
ICA	Indol-3-Carbonsäure	Val	Valin
Ile	Isoleucin	w/v	Gewicht/Volumen
JA	Jasmonsäure	WT	Wildtyp
Leu	Leucin		
LRR	Leucin-reiche Wiederholungsdomäne		
MAMP	<i>Microbe-associated molecular pattern</i> (=Mikroben-assoziierte molekulare Muster)		
MAPK	mitogenaktivierte Proteinkinase		
MPK	Mitogen-aktivierte Proteinkinase		
NAC	NAM (<i>no apical meristem</i>), ATAF und CUC (<i>cup-shaped cotyledon</i>)		
NB-LRR	<i>Nucleodite-binding leucine-rich</i>		

LITERATUR

- ABO-HAMED, S. A., YOUNIS, M. E., ELSHAHABY, O. A. & HAROUN, S. A. 1990. Plant-growth, metabolism and adaptation in relation to stress conditions IX endogenous levels of hormones, minerals and organic solutes in *Pisum sativum* plants as affected by salinity. *Phyton-Annales Rei Botanicae*, 30, 187-199.
- ABROL, I. D., YADAV, J. S. P. & MASSOUD, F. I. 1988. Salt-affected soils and their management. *FAO SOILS BULLETIN* 39.
- ABUQAMAR, S., CHEN, X., DHAWAN, R., BLUHM, B., SALMERON, J., LAM, S., DIETRICH, R. A. & MENGISTE, T. 2006. Expression profiling and mutant analysis reveals complex regulatory networks involved in *Arabidopsis* response to *Botrytis* infection. *Plant Journal*, 48, 28-44.
- ABUQAMAR, S., LUO, H., LALUK, K., MICKELBART, M. V. & MENGISTE, T. 2009. Crosstalk between biotic and abiotic stress responses in tomato is mediated by the AIM1 transcription factor. *Plant Journal*, 58, 347-60.
- ACHUO, E. A., PRINSEN, E. & HOFTE, M. 2006. Influence of drought, salt stress and abscisic acid on the resistance of tomato to *Botrytis cinerea* and *Oidium neolycopersici*. *Plant Pathology*, 55, 178-186.
- ADAM, P. 1977. The ecological significance of halophytes in the devensian flora. *New Phytologist*, 78, 237-244.
- ADIE, B. A. T., PEREZ-PEREZ, J., PEREZ-PEREZ, M. M., GODOY, M., SANCHEZ-SERRANO, J. J., SCHMELZ, E. A. & SOLANO, R. 2007. ABA is an essential signal for plant resistance to pathogens affecting JA biosynthesis and the activation of defenses in *Arabidopsis*. *Plant Cell*, 19, 1665-1681.
- AGARWAL, P. K., AGARWAL, P., REDDY, M. K. & SOPORY, S. K. 2006. Role of DREB transcription factors in abiotic and biotic stress tolerance in plants. *Plant Cell Reports*, 25, 1263-74.
- AGARWAL, P. K. & JHA, B. 2010. Transcription factors in plants and ABA dependent and independent abiotic stress signalling. *Biologia Plantarum*, 54, 201-212.
- AKIRA, S. 2009. Pathogen recognition by innate immunity and its signaling. *Proc Jpn Acad Ser B Phys Biol Sci*, 85, 143-56.
- AMTMANN, A., TROUFFLARD, S. & ARMENGAUD, P. 2008. The effect of potassium nutrition on pest and disease resistance in plants. *Physiologia Plantarum*, 133, 682-691.
- ANDERSON, J. P., BADRUZSAUFARI, E., SCHENK, P. M., MANNERS, J. M., DESMOND, O. J., EHLERT, C., MACLEAN, D. J., EBERT, P. R. & KAZAN, K. 2004. Antagonistic interaction between abscisic acid and jasmonate-ethylene signaling pathways modulates defense gene expression and disease resistance in *Arabidopsis*. *Plant Cell*, 16, 3460-3479.
- ANDERSON, R. G., CASADY, M. S., FEE, R. A., VAUGHAN, M. M., DEB, D., FEDKENHEUER, K., HUFFAKER, A., SCHMELZ, E. A., TYLER, B. M. & MCDOWELL, J. M. 2012. Homologous RXLR effectors from *Hyaloperonospora arabidopsidis* and *Phytophthora sojae* suppress immunity in distantly related plants. *Plant Journal*, 72, 882-893.
- APEL, K. & HIRT, H. 2004. Reactive oxygen species: metabolism, oxidative stress, and signal transduction. *Annual Review of Plant Biology*, 55, 373-99.
- ARABIDOPSIS GENOME INITIATIVE 2000. Analysis of the genome sequence of the flowering plant *Arabidopsis thaliana*. *Nature*, 408, 796-815.
- ASAI, T., TENA, G., PLOTNIKOVA, J., WILLMANN, M. R., CHIU, W. L., GOMEZ-GOMEZ, L., BOLLER, T., AUSUBEL, F. M. & SHEEN, J. 2002. MAP kinase signalling cascade in *Arabidopsis* innate immunity. *Nature*, 415, 977-83.
- ASHBURNER, M., BALL, C. A., BLAKE, J. A., BOTSTEIN, D., BUTLER, H., CHERRY, J. M., DAVIS, A. P., DOLINSKI, K., DWIGHT, S. S., EPPIG, J. T., HARRIS, M. A., HILL, D. P., ISSEL-TARVER, L., KASARSKIS, A., LEWIS, S., MATESE, J. C., RICHARDSON, J. E., RINGWALD, M., RUBIN, G. M. & SHERLOCK, G. 2000. Gene ontology: tool for the unification of biology. The Gene Ontology Consortium. *Nature Genetics*, 25, 25-9.

- ASSELBERGH, B., DE VLEESSCHAUWER, D. & HOFTE, M. 2008. Global switches and fine-tuning-ABA modulates plant pathogen defense. *MOLECULAR PLANT-MICROBE INTERACTIONS*, 21, 709-19.
- ATKINSON, N. J., LILLEY, C. J. & URWIN, P. E. 2013. Identification of genes involved in the response of *Arabidopsis thaliana* to simultaneous biotic and abiotic stresses. *PLANT PHYSIOLOGY*.
- AUDENAERT, K., DE MEYER, G. B. & HOFTE, M. M. 2002. Abscisic acid determines basal susceptibility of tomato to *Botrytis cinerea* and suppresses salicylic acid-dependent signaling mechanisms. *PLANT PHYSIOLOGY*, 128, 491-501.
- BARI, R. & JONES, J. D. 2009. Role of plant hormones in plant defence responses. *Plant Molecular Biology*, 69, 473-88.
- BARTELS, P. G. & WATSON, C. W. 1978. Inhibition of carotenoid synthesis by fluridone and norflurazon. *Weed Science*, 26.
- BAYSAL, O., GURSOY, Y. Z., ORNEK, H., CETINEL, B. & DA SILVA, J. A. T. 2007. Enhanced systemic resistance to bacterial speck disease caused by *Pseudomonas syringae* pv. *tomato* by DL-beta-aminobutyric acid under salt stress. *Physiologia Plantarum*, 129, 493-506.
- BERROCAL-LOBO, M., MOLINA, A. & SOLANO, R. 2002. Constitutive expression of ETHYLENE-RESPONSE-FACTOR1 in *Arabidopsis* confers resistance to several necrotrophic fungi. *Plant Journal*, 29, 23-32.
- BIRKENBIHL, R. P., DIEZEL, C. & SOMSSICH, I. E. 2012. *Arabidopsis WRKY33* is a key transcriptional regulator of hormonal and metabolic responses toward *Botrytis cinerea* infection. *PLANT PHYSIOLOGY*, 159, 266-285.
- BOHNERT, H. J., AYOUBI, P., BORCHERT, C., BRESSAN, R. A., BURNAP, R. L., CUSHMAN, J. C., CUSHMAN, M. A., DEYHOLOS, M., FISCHER, R., GALBRAITH, D. W., HASEGAWA, P. M., JENKS, M., KAWASAKI, S., KOIWA, H., KORE-EDA, S., LEE, B. H., MICHALOWSKI, C. B., MISAWA, E., NOMURA, M., OZTURK, N., POSTIER, B., PRADE, R., SONG, C. P., TANAKA, Y., WANG, H. & ZHU, J. K. 2001. A genomics approach towards salt stress tolerance. *Plant Physiology and Biochemistry*, 39, 295-311.
- BOHNERT, H. J., NELSON, D. E. & JENSEN, R. G. 1995. Adaptations to environmental stresses. *Plant Cell*, 7, 1099-1111.
- BOLLER, T. & HE, S. Y. 2009. Innate immunity in plants: An arms race between pattern recognition receptors in plants and effectors in microbial pathogens. *Science*, 324, 742-744.
- BOLWELL, G. P., BINDSCHEDLER, L. V., BLEE, K. A., BUTT, V. S., DAVIES, D. R., GARDNER, S. L., GERRISH, C. & MINIBAYEVA, F. 2002. The apoplastic oxidative burst in response to biotic stress in plants: a three-component system. *Journal of Experimental Botany*, 53, 1367-1376.
- BOLWELL, G. P. & WOJTASZEK, P. 1997. Mechanisms for the generation of reactive oxygen species in plant defence - a broad perspective. *Physiological and Molecular Plant Pathology*, 51, 347-366.
- BORSANI, O., VALPUESTA, V. & BOTELLA, M. A. 2001. Evidence for a role of salicylic acid in the oxidative damage generated by NaCl and osmotic stress in *Arabidopsis* seedlings. *PLANT PHYSIOLOGY*, 126, 1024-30.
- BOYER, J. S. 1982. Plant productivity and environment. *Science*, 218, 443-8.
- BRADFORD, M. M. 1976. A rapid and sensitive method for the quantitation of microgram quantities of protein utilizing the principle of protein-dye binding. *Analytical Biochemistry*, 72, 248-54.
- BRADLEY, D. J., KJELLBOM, P. & LAMB, C. J. 1992. Elicitor-induced and wound-induced oxidative cross-linking of a proline-rich plant-cell wall protein - a novel, rapid defense response. *Cell*, 70, 21-30.
- BRESLER, E. & HOFFMAN, G. J. 1986. Irrigation management for soil salinity control: Theories and tests. *Soil Science Society of America Journal*, 50, 1552-1560.
- BROOKS, D. M., BENDER, C. L. & KUNKEL, B. N. 2005. The *Pseudomonas syringae* phytotoxin coronatine promotes virulence by overcoming salicylic acid-dependent defences in *Arabidopsis thaliana*. *Molecular Plant Pathology*, 6, 629-39.

- BROUWER, M., LIEVENS, B., VAN HEMELRIJCK, W., VAN DEN ACKERVEKEN, G., CAMMUE, B. P. A. & THOMMA, B. P. H. J. 2003. Quantification of disease progression of several microbial pathogens on *Arabidopsis thaliana* using real-time fluorescence PCR. *FEMS Microbiology Letters*, 228, 241-248.
- CAO, F. Y., YOSHIOKA, K. & DESVEAUX, D. 2011. The roles of ABA in plant-pathogen interactions. *Journal of Plant Research*, 124, 489-99.
- CAO, H., BOWLING, S. A., GORDON, A. S. & DONG, X. N. 1994. Characterization of an *Arabidopsis* mutant that is nonresponsive to inducers of systemic acquired-resistance. *Plant Cell*, 6, 1583-1592.
- CAPIATI, D. A., PAIS, S. M. & TELLEZ-INON, M. T. 2006. Wounding increases salt tolerance in tomato plants: evidence on the participation of calmodulin-like activities in cross-tolerance signalling. *Journal of Experimental Botany*, 57, 2391-400.
- CARVAJAL, M., CERDA, A. & MARTINEZ, V. 2000. Does calcium ameliorate the negative effect of NaCl on melon root water transport by regulating aquaporin activity? *New Phytologist*, 145, 439-447.
- CHAKRABORTY, S. 2013. Migrate or evolve: options for plant pathogens under climate change. *Glob Chang Biol*.
- CHASSOT, C., BUCHALA, A., SCHOONBEEK, H. J., MÉTRAUX, J. P. & LAMOTTE, O. 2008. Wounding of *Arabidopsis* leaves causes a powerful but transient protection against *Botrytis* infection. *Plant Journal*, 55, 555-67.
- CHAVES, M. M., FLEXAS, J. & PINHEIRO, C. 2009. Photosynthesis under drought and salt stress: regulation mechanisms from whole plant to cell. *Annals of Botany*, 103, 551-60.
- CHEN, H., LAI, Z., SHI, J., XIAO, Y., CHEN, Z. & XU, X. 2010. Roles of *Arabidopsis* WRKY18, WRKY40 and WRKY60 transcription factors in plant responses to abscisic acid and abiotic stress. *BMC Plant Biology*, 10, 281.
- CHEN, S. L., LI, J. K., WANG, S. S., HUTTERMANN, A. & ALTMAN, A. 2001. Salt, nutrient uptake and transport, and ABA of *Populus euphratica*; a hybrid in response to increasing soil NaCl. *Trees-Structure and Function*, 15, 186-194.
- CHEN, W. Q., PROVART, N. J., GLAZEBROOK, J., KATAGIRI, F., CHANG, H. S., EULGEM, T., MAUCH, F., LUAN, S., ZOU, G. Z., WHITHAM, S. A., BUDWORTH, P. R., TAO, Y., XIE, Z. Y., CHEN, X., LAM, S., KREPS, J. A., HARPER, J. F., SI-AMMOUR, A., MAUCH-MANI, B., HEINLEIN, M., KOBAYASHI, K., HOHN, T., DANGL, J. L., WANG, X. & ZHU, T. 2002. Expression profile matrix of *Arabidopsis* transcription factor genes suggests their putative functions in response to environmental stresses. *Plant Cell*, 14, 559-574.
- CHEN, Y. H., YANG, X. Y., HE, K., LIU, M. H., LI, J. G., GAO, Z. F., LIN, Z. Q., ZHANG, Y. F., WANG, X. X., QIU, X. M., SHEN, Y. P., ZHANG, L., DENG, X. H., LUO, J. C., DENG, X. W., CHEN, Z. L., GU, H. Y. & QU, L. J. 2006. The MYB transcription factor superfamily of *Arabidopsis*: Expression analysis and phylogenetic comparison with the rice MYB family. *Plant Molecular Biology*, 60, 107-124.
- CHENG, M. C., LIAO, P. M., KUO, W. W. & LIN, T. P. 2013. The *Arabidopsis* ETHYLENE-RESPONSE-FACTOR1 regulates abiotic-stress-responsive gene expression by binding to different cis-acting elements in response to different stress signals. *PLANT PHYSIOLOGY*.
- CHOJAK, J., KUŹNIAK, E., ŚWIERCZ1, U., SEKULSKA-NALEWAJKO, J. & GOŁAWSKI, J. 2013. Interaction between salt stress and angular leaf spot (*Pseudomonas syringae* pv. *lachrymans*) in cucumber. *Vegetable Crops Research Bulletin*, 77, 5-16.
- CHOMCZYNSKI, P. & SACCHI, N. 1987. Single-step method of RNA isolation by acid guanidinium thiocyanate-phenol-chloroform extraction. *Analytical Biochemistry*, 162, 156-9.
- CIAIS, P., REICHSTEIN, M., VIOVY, N., GRANIER, A., OGEE, J., ALLARD, V., AUBINET, M., BUCHMANN, N., BERNHOFER, C., CARRARA, A., CHEVALLIER, F., DE NOBLET, N., FRIEND, A. D., FRIEDLINGSTEIN, P., GRUNWALD, T., HEINESCH, B., KERONEN, P., KNOHL, A., KRINNER, G., LOUSTAU, D., MANCA, G., MATTEUCCI, G., MIGLIETTA, F., OURCIVAL, J. M., PAPALE, D., PILEGAARD, K., RAMBAL, S., SEUFERT, G., SOUSSANA, J. F., SANZ, M. J., SCHULZE, E. D., VESALA, T. & VALENTINI, R. 2005. Europe-wide reduction in primary productivity caused by the heat and drought in 2003. *Nature*, 437, 529-533.
- CLOUGH, S. J. & BENT, A. F. 1998. Floral dip: a simplified method for *Agrobacterium*-mediated transformation of *Arabidopsis thaliana*. *Plant Journal*, 16, 735-743.

- COOPER, E. L., KAUSCHKE, E. & COSSARIZZA, A. 2002. Digging for innate immunity since Darwin and Metchnikoff. *Bioessays*, 24, 319-333.
- COWAN, M. M. 1999. Plant products as antimicrobial agents. *Clinical Microbiology Reviews*, 12, 564+.
- CURVERS, K., SEIFI, H., MOUILLE, G., DE RYCKE, R., ASSELBERGH, B., VAN HECKE, A., VANDERSCHAEGHE, D., HOFTE, H., CALLEWAERT, N., VAN BREUSEGEM, F. & HOFTE, M. 2010. Abscisic acid deficiency causes changes in cuticle permeability and pectin composition that influence tomato resistance to *Botrytis cinerea*. *PLANT PHYSIOLOGY*, 154, 847-60.
- DAVE, A. & GRAHAM, I. A. 2012. Oxylipin signaling: A distinct role for the jasmonic acid precursor cis-(+)-12-oxo-phytodienoic acid (cis-OPDA). *Frontiers in Plant Science*, 3, 42.
- DE TORRES-ZABALA, M., TRUMAN, W., BENNETT, M. H., LAFFORGUE, G., MANSFIELD, J. W., RODRIGUEZ EGEA, P., BOGRE, L. & GRANT, M. 2007. *Pseudomonas syringae* pv. *tomato* hijacks the *Arabidopsis* abscisic acid signalling pathway to cause disease. *EMBO Journal*, 26, 1434-43.
- DE VLEESSCHAUWER, D., YANG, Y., CRUZ, C. V. & HOFTE, M. 2010. Abscisic acid-induced resistance against the brown spot pathogen *Cochliobolus miyabeanus* in rice involves MAP kinase-mediated repression of ethylene signaling. *PLANT PHYSIOLOGY*, 152, 2036-52.
- DE VOS, M., VAN OOSTEN, V. R., VAN POECKE, R. M., VAN PELT, J. A., POZO, M. J., MUELLER, M. J., BUCHALA, A. J., MÉTRAUX, J. P., VAN LOON, L. C., DICKE, M. & PIETERSE, C. M. 2005. Signal signature and transcriptome changes of *Arabidopsis* during pathogen and insect attack. *MOLECULAR PLANT-MICROBE INTERACTIONS*, 18, 923-37.
- DEAN, R., JA, V. A. N. K., PRETORIUS, Z. A., HAMMOND-KOSACK, K. E., A, D. I. P., SPANU, P. D., RUDD, J. J., DICKMAN, M., KAHMANN, R., ELLIS, J. & FOSTER, G. D. 2012. The Top 10 fungal pathogens in molecular plant pathology. *Molecular Plant Pathology*, 13, 414-430.
- DEL RIO, L. A., SANDALIO, L. M., CORPAS, F. J., PALMA, J. M. & BARROSO, J. B. 2006. Reactive oxygen species and reactive nitrogen species in peroxisomes. Production, scavenging, and role in cell signaling. *PLANT PHYSIOLOGY*, 141, 330-335.
- DELANEY, T. P., UKNES, S., VERNOOIJ, B., FRIEDRICH, L., WEYMANN, K., NEGROTTO, D., GAFFNEY, T., GUTRELLA, M., KESSMANN, H., WARD, E. & RYALS, J. 1994. A central role of salicylic-acid in plant-disease resistance. *Science*, 266, 1247-1250.
- DÉNANCE, N., SÁNCHEZ-VALLET, A., GOFFNER, D. & MOLINA, A. 2013. Disease resistance or growth: the role of plant hormones in balancing immune responses and fitness costs. *Frontiers in Plant Science*, 4, 155.
- DESAI, U. J. & PFAFFLE, P. K. 1995. Single-step purification of a thermostable DNA polymerase expressed in *Escherichia coli*. *BioTechniques*, 19, 780-2, 784.
- DEUTSCHE STIFTUNG WELTBEVÖLKERUNG 2012. Datenreport 2012: Soziale und demographische Daten weltweit.
- DEVAIAH, B. N., KARTHIKEYAN, A. S. & RAGHOTHAMA, K. G. 2007. *WRKY75* transcription factor is a modulator of phosphate acquisition and root development in *Arabidopsis*. *PLANT PHYSIOLOGY*, 143, 1789-801.
- DILEO, M. V., PYE, M. F., ROUBTSOVA, T. V., DUNIWAY, J. M., MACDONALD, J. D., RIZZO, D. M. & BOSTOCK, R. M. 2010. Abscisic acid in salt stress predisposition to *Phytophthora* root and crown rot in *Tomato* and *Chrysanthemum*. *Phytopathology*, 100, 871-879.
- DING, X. H., CAO, Y. L., HUANG, L. L., ZHAO, J., XU, C. G., LI, X. H. & WANG, S. P. 2008. Activation of the indole-3-acetic acid-amido synthetase GH3-8 suppresses expansin expression and promotes salicylate- and jasmonate-independent basal immunity in rice. *Plant Cell*, 20, 228-240.
- DROPKIN, V. H., HELGESON, J. P. & UPPER, C. D. 1969. The hypersensitivity reaction of tomatoes resistant to *Meloidogyne incognita*: Reversal by cytokinins. *Journal of Nematology*, 1, 55-61.
- DUBERY, I., SANABRIA, N. & HUANG, J.-C. 2012. Nonself perception in plant innate immunity. In: LÓPEZ-LARREA, C. (ed.) *Self and Nonself*. Springer US.
- DURRANT, W. E. & DONG, X. 2004. Systemic acquired resistance. *Annual Review of Phytopathology*, 42, 185-209.

- EDWARDS, K., JOHNSTONE, C. & THOMPSON, C. 1991. A simple and rapid method for the preparation of plant genomic DNA for PCR analysis. *Nucleic Acids Research*, 19, 1349.
- EL OIRDI, M., ABD EL RAHMAN, T., RIGANO, L., EL HADRAMI, A., RODRIGUEZ, M. C., DAAFY, F., VOJNOV, A. & BOUARAB, K. 2011. *Botrytis cinerea* manipulates the antagonistic effects between immune pathways to promote disease development in tomato. *Plant Cell*, 23, 2405-2421.
- ELLOUZI, H., BEN HAMED, K., CELA, J., MUNNE-BOSCH, S. & ABDELLY, C. 2011. Early effects of salt stress on the physiological and oxidative status of *Cakile maritima* (halophyte) and *Arabidopsis thaliana* (glycophyte). *Physiologia Plantarum*, 142, 128-143.
- ELSTNER, E. F. & OSSWALD, W. 1994. Mechanisms of oxygen activation during plant stress. *Proceedings of the Royal Society of Edinburgh Section B-Biological Sciences*, 102, 131-154.
- FAN, J., HILL, L., CROOKS, C., DOERNER, P. & LAMB, C. 2009. Abscisic acid has a key role in modulating diverse plant-pathogen interactions. *PLANT PHYSIOLOGY*, 150, 1750-1761.
- FAO 2011. The state of the world's land and water resources for food and agriculture (SOLAW) – Managing systems at risk. *Food and Agriculture Organization of the United Nations, Rome and Earthscan, London*.
- FAO. 2012. *Meat Consumption* [Online]. www.FAO.org. [Accessed 09/2012 2013].
- FELIX, G., DURAN, J. D., VOLKO, S. & BOLLER, T. 1999. Plants have a sensitive perception system for the most conserved domain of bacterial flagellin. *Plant Journal*, 18, 265-76.
- FERRANDON, D., GOTTAR, M. & GOBERT, V. 2007. The innate immune system of animals detects microbial infections by a newly identified sensing mechanism. *M S-Medecine Sciences*, 23, 707-709.
- FLEXAS, J., RIBAS-CARBO, M., DIAZ-ESPEJO, A., GALMES, J. & MEDRANO, H. 2008. Mesophyll conductance to CO₂: current knowledge and future prospects. *Plant Cell and Environment*, 31, 602-21.
- FLORS, V., TON, J., JAKAB, G. & MAUCH-MANI, B. 2005. Abscisic acid and callose: Team players in defence against pathogens? *Journal of Phytopathology*, 153, 377-383.
- FLOWERS, T. J. & COLMER, T. D. 2008. Salinity tolerance in halophytes. *New Phytologist*, 179, 945-963.
- FOLEY, J. A., DEFRIES, R., ASNER, G. P., BARFORD, C., BONAN, G., CARPENTER, S. R., CHAPIN, F. S., COE, M. T., DAILY, G. C., GIBBS, H. K., HELKOWSKI, J. H., HOLLOWAY, T., HOWARD, E. A., KUCHARIK, C. J., MONFREDA, C., PATZ, J. A., PRENTICE, I. C., RAMANKUTTY, N. & SNYDER, P. K. 2005. Global consequences of land use. *Science*, 309, 570-574.
- FOYER, C. H. & NOCTOR, G. 2003. Redox sensing and signalling associated with reactive oxygen in chloroplasts, peroxisomes and mitochondria. *Physiologia Plantarum*, 119, 355-364.
- FU, J. & WANG, S. 2011. Insights into auxin signaling in plant-pathogen interactions. *Frontiers in Plant Science*, 2, 74.
- FUJITA, M., FUJITA, Y., NOUTOSHI, Y., TAKAHASHI, F., NARUSAKA, Y., YAMAGUCHI-SHINOZAKI, K. & SHINOZAKI, K. 2006. Crosstalk between abiotic and biotic stress responses: a current view from the points of convergence in the stress signaling networks. *Current Opinion in Plant Biology*, 9, 436-42.
- FUJITA, Y., FUJITA, M., SATOH, R., MARUYAMA, K., PARVEZ, M., SEKI, M., HIRATSU, K., OHME-TAKAGI, M., SHINOZAKI, K. & YAMAGUCHI-SHINOZAKI, K. 2005. *AREB1*, an ABA-induced transcription factor, plays a key role in drought stress response in *Arabidopsis thaliana*. *Plant and Cell Physiology*, 46, S174-S174.
- GARRATT, L. C., JANAGODAR, B. S., LOWE, K. C., ANTHONY, P., POWER, J. B. & DAVEY, M. R. 2002. Salinity tolerance and antioxidant status in cotton cultures. *Free Radical Biology and Medicine*, 33, 502-11.
- GENG, X. Q., CHENG, J. Y., GANGADHARAN, A. & MACKAY, D. 2012. The coronatine toxin of *Pseudomonas syringae* ss a multifunctional suppressor of *Arabidopsis* defense. *Plant Cell*, 24, 4763-4774.
- GILL, S. S. & TUTEJA, N. 2010. Reactive oxygen species and antioxidant machinery in abiotic stress tolerance in crop plants. *Plant Physiology and Biochemistry*, 48, 909-930.
- GLAZEBROOK, J. 2005. Contrasting mechanisms of defense against biotrophic and necrotrophic pathogens. *Annual Review of Phytopathology*, 43, 205-27.

- GOMEZ-CADENAS, A., ARBONA, V., JACAS, J., PRIMO-MILLO, E. & TALON, M. 2002. Abscisic acid reduces leaf abscission and increases salt tolerance in citrus plants. *Journal of Plant Growth Regulation*, 21, 234-240.
- GOMEZ-GOMEZ, L. 2004. Plant perception systems for pathogen recognition and defence. *Molecular Immunology*, 41, 1055-62.
- GOMEZ-GOMEZ, L., FELIX, G. & BOLLER, T. 1999. A single locus determines sensitivity to bacterial flagellin in *Arabidopsis thaliana*. *Plant Journal*, 18, 277-284.
- GOVRIN, E. M. & LEVINE, A. 2000. The hypersensitive response facilitates plant infection by the necrotrophic pathogen *Botrytis cinerea*. *Current Biology*, 10, 751-757.
- GOVRIN, E. M. & LEVINE, A. 2002. Infection of *Arabidopsis* with a necrotrophic pathogen, *Botrytis cinerea*, elicits various defense responses but does not induce systemic acquired resistance (SAR). *Plant Molecular Biology*, 48, 267-276.
- GRANT, M. R. & JONES, J. D. 2009. Hormone (dis)harmony moulds plant health and disease. *Science*, 324, 750-2.
- GRODZKI, W., MCMANUS, M., KNIZEK, M., MESHKOVA, V., MIHALCIUC, V., NOVOTNY, J., TURCANI, M. & SLOBODYAN, Y. 2004. Occurrence of spruce bark beetles in forest stands at different levels of air pollution stress. *Environmental Pollution*, 130, 73-83.
- GUIMARÃES, R. L. & STOTZ, H. U. 2004. Oxalate production by *Sclerotinia sclerotiorum* deregulates guard cells during infection. *PLANT PHYSIOLOGY*, 136, 3703-11.
- GUST, A. A., BISWAS, R., LENZ, H. D., RAUHUT, T., RANF, S., KEMMERLING, B., GÖTZ, F., GLAWISCHNIG, E., LEE, J., FELIX, G. & NÜRNBERGER, T. 2007. Bacteria-derived peptidoglycans constitute pathogen-associated molecular patterns triggering innate immunity in *Arabidopsis*. *Journal of Biological Chemistry*, 282, 32338-32348.
- GUST, A. A., WILLMANN, R., DESAKI, Y., GRABHERR, H. M. & NÜRNBERGER, T. 2012. Plant LysM proteins: modules mediating symbiosis and immunity. *Trends in Plant Science*, 17, 495-502.
- HALIM, V. A., VESS, A., SCHEEL, D. & ROSAHL, S. 2006. The role of salicylic acid and jasmonic acid in pathogen defence. *Plant Biology*, 8, 307-13.
- HANCOCK, J. T., DESIKAN, R., CLARKE, A., HURST, R. D. & NEILL, S. J. 2002. Cell signalling following plant/pathogen interactions involves the generation of reactive oxygen and reactive nitrogen species. *Plant Physiology and Biochemistry*, 40, 611-617.
- HANSON, B. & MAY, D. 2004. Effect of subsurface drip irrigation on processing tomato yield, water table depth, soil salinity, and profitability. *Agricultural Water Management*, 68, 1-17.
- HERNÁNDEZ-BLANCO, C., FENG, D. X., HU, J., SANCHEZ-VALLET, A., DESLANDES, L., LLORENTE, F., BERROCAL-LOBO, M., KELLER, H., BARLET, X., SANCHEZ-RODRIGUEZ, C., ANDERSON, L. K., SOMERVILLE, S., MARCO, Y. & MOLINA, A. 2007. Impairment of cellulose synthases required for *Arabidopsis* secondary cell wall formation enhances disease resistance. *Plant Cell*, 19, 890-903.
- HERNANDEZ, J. A., FERRER, M. A., JIMENEZ, A., BARCELO, A. R. & SEVILLA, F. 2001. Antioxidant systems and O_2^-/H_2O_2 production in the apoplast of pea leaves. Its relation with salt-induced necrotic lesions in minor veins. *PLANT PHYSIOLOGY*, 127, 817-31.
- HESS, D. 1999. *Pflanzenphysiologie*, UTB, Stuttgart.
- HETHERINGTON, A. M. & WOODWARD, F. I. 2003. The role of stomata in sensing and driving environmental change. *Nature*, 424, 901-8.
- HEWEZI, T., LEGER, M. & GENTZBITTEL, L. 2008. A comprehensive analysis of the combined effects of high light and high temperature stresses on gene expression in sunflower. *Annals of Botany*, 102, 127-140.
- HOFIUS, D., MUNCH, D., BRESSENDORFF, S., MUNDY, J. & PETERSEN, M. 2011. Role of autophagy in disease resistance and hypersensitive response-associated cell death. *Cell Death Differentiation*, 18, 1257-62.

- HOU, S., YANG, Y. & ZHOU, J. 2009. The multilevel and dynamic interplay between plant and pathogen. *Plant Signaling & Behavior*, 4, 283-93.
- HU, Y., CHEN, L., WANG, H., ZHANG, L., WANG, F. & YU, D. 2013. Arabidopsis transcription factor *WRKY8* functions antagonistically with its interacting partner *VQ9* to modulate salinity stress tolerance. *Plant Journal*.
- HUA, Z.-M., YANG, X. & FROMM, M. E. 2006. Activation of the NaCl- and drought-induced *RD29A* and *RD29B* promoters by constitutively active *Arabidopsis* MAPKK or MAPK proteins. *Plant, Cell and Environment*, 29, 1761-1770.
- HÜCKELHOVEN, R. 2007. Cell wall - Associated mechanisms of disease resistance and susceptibility. *Annual Review of Phytopathology*, 45, 101-127.
- ICHIMURA, K., MIZOGUCHI, T., YOSHIDA, R., YUASA, T. & SHINOZAKI, K. 2000. Various abiotic stresses rapidly activate *Arabidopsis* MAP kinases *ATMPK4* and *ATMPK6*. *Plant Journal*, 24, 655-665.
- INOMATA, M., HIRAI, N., YOSHIDA, R. & OHIGASHI, H. 2004. The biosynthetic pathway to abscisic acid via ionylideneethane in the fungus *Botrytis cinerea*. *Phytochemistry*, 65, 2667-2678.
- IVEN, T., KONIG, S., SINGH, S., BRAUS-STROMEYER, S. A., BISCHOFF, M., TIETZE, L. F., BRAUS, G. H., LIPKA, V., FEUSSNER, I. & DROGE-LASER, W. 2012. Transcriptional activation and production of tryptophan-derived secondary metabolites in *Arabidopsis* roots contributes to the defense against the fungal vascular pathogen *Verticillium longisporum*. *Molecular Plant*.
- IYER, N. J., TANG, Y. & MAHALINGAM, R. 2013. Physiological, biochemical and molecular responses to a combination of drought and ozone in *Medicago truncatula*. *Plant Cell and Environment*, 36, 706-20.
- JAILLAIS, Y. & CHORY, J. 2010. Unraveling the paradoxes of plant hormone signaling integration. *Nature Structural & Molecular Biology*, 17, 642-645.
- JAMES, R. A., RIVELLI, A. R., MUNNS, R. & VON CAEMMERER, S. 2002. Factors affecting CO₂ assimilation, leaf injury and growth in salt-stressed durum wheat. *Functional Plant Biology*, 29, 1393-1403.
- JANEWAY, C. A. & MEDZHITOV, R. 2002. Innate immune recognition. *Annual Review of Immunology*, 20, 197-216.
- JENSEN, M. K., HAGEDORN, P. H., DE TORRES-ZABALA, M., GRANT, M. R., RUNG, J. H., COLLINGE, D. B. & LYNGKJAER, M. F. 2008. Transcriptional regulation by an NAC (NAM-ATAF1,2-CUC2) transcription factor attenuates ABA signalling for efficient basal defence towards *Blumeria graminis* f. sp. *hordei* in *Arabidopsis*. *Plant Journal*, 56, 867-80.
- JEWORUTZKI, E., ROELFSEMA, M. R. G., ANSCHUTZ, U., KROL, E., ELZENGA, J. T. M., FELIX, G., BOLLER, T., HEDRICH, R. & BECKER, D. 2010. Early signaling through the Arabidopsis pattern recognition receptors FLS2 and EFR involves Ca²⁺-associated opening of plasma membrane anion channels. *Plant Journal*, 62, 367-378.
- JIANG, C. J., SHIMONO, M., SUGANO, S., KOJIMA, M., YAZAWA, K., YOSHIDA, R., INOUE, H., HAYASHI, N., SAKAKIBARA, H. & TAKATSUJI, H. 2010. Abscisic acid interacts antagonistically with salicylic acid signaling pathway in rice-*Magnaporthe grisea* interaction. *Mol Plant Microbe Interact*, 23, 791-8.
- JIANG, Y. & DEYHOLOS, M. K. 2009. Functional characterization of *Arabidopsis* NaCl-inducible *WRKY25* and *WRKY33* transcription factors in abiotic stresses. *Plant Molecular Biology*, 69, 91-105.
- JONES, J. D. & DANGL, J. L. 2006. The plant immune system. *Nature*, 444, 323-9.
- JOURNOT-CATALINO, N., SOMSSICH, I. E., ROBY, D. & KROJ, T. 2006. The transcription factors *WRKY11* and *WRKY17* act as negative regulators of basal resistance in *Arabidopsis thaliana*. *Plant Cell*, 18, 3289-302.
- KALIFF, M., STAAL, J., MYRENAS, M. & DIXELIUS, C. 2007. ABA is required for *Leptosphaeria maculans* resistance via ABI1- and ABI4-dependent signaling. *MOLECULAR PLANT-MICROBE INTERACTIONS*, 20, 335-345.
- KANG, J. Y., CHOI, H. I., IM, M. Y. & KIM, S. Y. 2002. *Arabidopsis* basic leucine zipper proteins that mediate stress-responsive abscisic acid signaling. *Plant Cell*, 14, 343-357.

- KANT, P., GORDON, M., KANT, S., ZOLLA, G., DAVYDOV, O., HEIMER, Y. M., CHALIFA-CASPI, V., SHAKED, R. & BARAK, S. 2008. Functional-genomics-based identification of genes that regulate *Arabidopsis* responses to multiple abiotic stresses. *Plant Cell and Environment*, 31, 697-714.
- KANT, P., KANT, S., GORDON, M., SHAKED, R. & BARAK, S. 2007. STRESS RESPONSE SUPPRESSOR1 and STRESS RESPONSE SUPPRESSOR2, two DEAD-box RNA helicases that attenuate *Arabidopsis* responses to multiple abiotic stresses. *PLANT PHYSIOLOGY*, 145, 814-30.
- KARABA, A., DIXIT, S., GRECO, R., AHARONI, A., TRIJATMIKO, K. R., MARSCH-MARTINEZ, N., KRISHNAN, A., NATARAJA, K. N., UDAYAKUMAR, M. & PEREIRA, A. 2007. Improvement of water use efficiency in rice by expression of HARDY, an *Arabidopsis* drought and salt tolerance gene. *Proceedings of the National Academy of Sciences of the United States of America*, 104, 15270-15275.
- KARIMI, M., INZE, D. & DEPICKER, A. 2002. GATEWAY vectors for *Agrobacterium*-mediated plant transformation. *Trends in Plant Science*, 7, 193-5.
- KATIYAR-AGARWAL, S., ZHU, J., KIM, K., AGARWAL, M., FU, X., HUANG, A. & ZHU, J. K. 2006. The plasma membrane Na⁺/H⁺ antiporter *SOS1* interacts with RCD1 and functions in oxidative stress tolerance in *Arabidopsis*. *Proceedings of the National Academy of Sciences of the United States of America*, 103, 18816-18821.
- KATORI, T., IKEDA, A., IUCHI, S., KOBAYASHI, M., SHINOZAKI, K., MAEHASHI, K., SAKATA, Y., TANAKA, S. & TAJI, T. 2010. Dissecting the genetic control of natural variation in salt tolerance of *Arabidopsis thaliana* accessions. *Journal of Experimental Botany*, 61, 1125-38.
- KEMMERLING, B., SCHWEDT, A., RODRIGUEZ, P., MAZZOTTA, S., FRANK, M., QAMAR, S. A., MENGISTE, T., BETSUYAKU, S., PARKER, J. E., MUSSIG, C., THOMMA, B. P., ALBRECHT, C., DE VRIES, S. C., HIRT, H. & NÜRNBERGER, T. 2007. The BRI1-associated kinase 1, *BAK1*, has a brassinolide-independent role in plant cell-death control. *Current Biology*, 17, 1116-22.
- KEREPESI, I. & GALIBA, G. 2000. Osmotic and salt stress-induced alteration in soluble carbohydrate content in wheat seedlings. *Crop Science*, 40, 482-487.
- KHOSHRAVESH, M., MOSTAFAZADEH-FARD, B., MOUSAVI, S. F. & KIANI, A. R. 2011. Effects of magnetized water on the distribution pattern of soil water with respect to time in trickle irrigation. *Soil Use and Management*, 27, 515-522.
- KIEGERL, S., CARDINALE, F., SILIGAN, C., GROSS, A., BAUDOUIN, E., LIWOSZ, A., EKLOF, S., TILL, S., BOGRE, L., HIRT, H. & MESKIENE, I. 2000. SIMKK, a mitogen-activated protein kinase (MAPK) kinase, is a specific activator of the salt stress-induced MAPK, SIMK. *Plant Cell*, 12, 2247-2258.
- KILIAN, J., WHITEHEAD, D., HORAK, J., WANKE, D., WEINL, S., BATISTIC, O., D'ANGELO, C., BORNBERG-BAUER, E., KUDLA, J. & HARTER, K. 2007. The AtGenExpress global stress expression data set: protocols, evaluation and model data analysis of UV-B light, drought and cold stress responses. *Plant Journal*, 50, 347-63.
- KLIEBENSTEIN, D. J., ROWE, H. C. & DENBY, K. J. 2005. Secondary metabolites influence *Arabidopsis/Botrytis* interactions: variation in host production and pathogen sensitivity. *Plant Journal*, 44, 25-36.
- KNIGHT, H. & KNIGHT, M. R. 2001. Abiotic stress signalling pathways: specificity and cross-talk. *Trends in Plant Science*, 6, 262-7.
- KOBAYASHI, M., OHURA, I., KAWAKITA, K., YOKOTA, N., FUJIWARA, M., SHIMAMOTO, K., DOKE, N. & YOSHIOKA, H. 2007. Calcium-dependent protein kinases regulate the production of reactive oxygen species by potato NADPH oxidase. *Plant Cell*, 19, 1065-1080.
- KOO, A. J., GAO, X., JONES, A. D. & HOWE, G. A. 2009. A rapid wound signal activates the systemic synthesis of bioactive jasmonates in *Arabidopsis*. *Plant Journal*, 59, 974-86.
- KOORNNEEF, A. & PIETERSE, C. M. J. 2008. Cross talk in defense signaling. *PLANT PHYSIOLOGY*, 146, 839-844.
- KOVTUN, Y., CHIU, W. L., TENA, G. & SHEEN, J. 2000. Functional analysis of oxidative stress-activated mitogen-activated protein kinase cascade in plants. *Proceedings of the National Academy of Sciences of the United States of America*, 97, 2940-2945.

- KREPS, J. A., WU, Y., CHANG, H. S., ZHU, T., WANG, X. & HARPER, J. F. 2002. Transcriptome changes for *Arabidopsis* in response to salt, osmotic, and cold stress. *PLANT PHYSIOLOGY*, 130, 2129-41.
- LAEMMLI, U. K. 1970. Cleavage of structural proteins during the assembly of the head of bacteriophage T4. *Nature*, 227, 680-5.
- LÄUCHLI, A. & GRATAN, S. R. 2007. Plant growth and development under salinity stress. In: JENKS, M. A., HASEGAWA, P. M. & JAIN, S. M. (eds.) *Advances in Molecular Breeding Toward Drought and Salt Tolerant Crops*. Springer.
- LAWLOR, D. W. & CORNIC, G. 2002. Photosynthetic carbon assimilation and associated metabolism in relation to water deficits in higher plants. *Plant Cell and Environment*, 25, 275-294.
- LENZ, H. D., HALLER, E., MELZER, E., KOBER, K., WURSTER, K., STAHL, M., BASSHAM, D. C., VIERSTRA, R. D., PARKER, J. E., BAUTOR, J., MOLINA, A., ESCUDERO, V., SHINDO, T., VAN DER HOORN, R. A., GUST, A. A. & NÜRNBERGER, T. 2011. Autophagy differentially controls plant basal immunity to biotrophic and necrotrophic pathogens. *Plant Journal*, 66, 818-30.
- LI, W. X., OONO, Y., ZHU, J. H., HE, X. J., WU, J. M., IIDA, K., LU, X. Y., CUI, X. P., JIN, H. L. & ZHU, J. K. 2008. The *Arabidopsis* *NFYA5* transcription factor is regulated transcriptionally and posttranscriptionally to promote drought resistance. *Plant Cell*, 20, 2238-2251.
- LINDEMOSE, S., O'SHEA, C., JENSEN, M. K. & SKRIVER, K. 2013. Structure, function and networks of transcription factors involved in abiotic stress responses. *Int J Mol Sci*, 14, 5842-5878.
- LIPPOK, B., BIRKENBIHL, R. P., RIVORY, G., BRUMMER, J., SCHMELZER, E., LOGEMANN, E. & SOMISSICH, I. E. 2007. Expression of *AtWRKY33* encoding a pathogen- or PAMP-responsive WRKY transcription factor is regulated by a composite DNA motif containing W box elements. *MOLECULAR PLANT-MICROBE INTERACTIONS*, 20, 420-429.
- LIU, P. & NESTER, E. W. 2006. Indoleacetic acid, a product of transferred DNA, inhibits *vir* gene expression and growth of *Agrobacterium tumefaciens* C58. *Proceedings of the National Academy of Sciences of the United States of America*, 103, 4658-4662.
- LIVAK, K. J. & SCHMITTGEN, T. D. 2001. Analysis of relative gene expression data using real-time quantitative PCR and the 2^(-Delta Delta C) method. *Methods*, 25, 402-408.
- LLORENTE, F., MUSKETT, P., SANCHEZ-VALLET, A., LOPEZ, G., RAMOS, B., SANCHEZ-RODRIGUEZ, C., JORDA, L., PARKER, J. & MOLINA, A. 2008. Repression of the auxin response pathway increases *Arabidopsis* susceptibility to necrotrophic fungi. *Molecular Plant*, 1, 496-509.
- LLORENTE, F., OLIVEROS, J. C., MARTINEZ-ZAPATER, J. M. & SALINAS, J. 2000. A freezing-sensitive mutant of *Arabidopsis*, *frs1*, is a new *aba3* allele. *Planta*, 211, 648-55.
- LORENZO, O., CHICO, J. M., SANCHEZ-SERRANO, J. J. & SOLANO, R. 2004. Jasmonate-insensitive1 encodes a MYC transcription factor essential to discriminate between different jasmonate-regulated defense responses in *Arabidopsis*. *Plant Cell*, 16, 1938-1950.
- LOTZE, M. T., ZEH, H. J., RUBARTELLI, A., SPARVERO, L. J., AMOSCATO, A. A., WASHBURN, N. R., DEVERA, M. E., LIANG, X., TOR, M. & BILLIAR, T. 2007. The grateful dead: damage-associated molecular pattern molecules and reduction/oxidation regulate immunity. *Immunological Reviews*, 220, 60-81.
- LU, P. L., CHEN, N. Z., AN, R., SU, Z., QI, B. S., REN, F., CHEN, J. & WANG, X. C. 2007. A novel drought-inducible gene, *ATAF1*, encodes a NAC family protein that negatively regulates the expression of stress-responsive genes in *Arabidopsis*. *Plant Molecular Biology*, 63, 289-305.
- LUCK, J., SPACKMAN, M., FREEMAN, A., TREBICKI, P., GRIFFITHS, W., FINLAY, K. & CHAKRABORTY, S. 2011. Climate change and diseases of food crops. *Plant Pathology*, 60, 113-121.
- LUDWIG, A. A., ROMEIS, T. & JONES, J. D. G. 2004. CDPK-mediated signalling pathways: specificity and cross-talk. *Journal of Experimental Botany*, 55, 181-188.
- LUNA, E., PASTOR, V., ROBERT, J., FLORS, V., MAUCH-MANI, B. & TON, J. 2011. Callose deposition: a multifaceted plant defense response. *Molecular Plant-Microbe Interactions* 24, 183-93.

- MADGWICK, J. W., WEST, J. S., WHITE, R. P., SEMENOV, M. A., TOWNSEND, J. A., TURNER, J. A. & FITT, B. D. L. 2011. Impacts of climate change on wheat anthesis and fusarium ear blight in the UK. *European Journal of Plant Pathology*, 130, 117-131.
- MAHAJAN, S., PANDEY, G. K. & TUTEJA, N. 2008. Calcium- and salt-stress signaling in plants: shedding light on SOS pathway. *Archives of Biochemistry and Biophysics*, 471, 146-58.
- MANSFIELD, J., GENIN, S., MAGORI, S., CITOVSKY, V., SRIARIYANUM, M., RONALD, P., DOW, M., VERDIER, V., BEER, S. V., MACHADO, M. A., TOTH, I., SALMOND, G. & FOSTER, G. D. 2012. Top 10 plant pathogenic bacteria in molecular plant pathology. *Molecular Plant Pathology*, 13, 614-629.
- MANSOUR, M. M. F. 2000. Nitrogen containing compounds and adaptation of plants to salinity stress. *Biologia Plantarum*, 43, 491-500.
- MARSCHNER, H. 1995. Mineral nutrition of higher plants. *Annals of Botany*, 78, 889.
- MATERECHERA, S. A. 2011. Soil salinity in irrigated fields used for urban agriculture under a semi-arid environment of South Africa. *African Journal of Agricultural Research*, 6, 3747-3754.
- MATSUI, A., ISHIDA, J., MOROSAWA, T., MOCHIZUKI, Y., KAMINUMA, E., ENDO, T. A., OKAMOTO, M., NAMBARA, E., NAKAJIMA, M., KAWASHIMA, M., SATOU, M., KIM, J. M., KOBAYASHI, N., TOYODA, T., SHINOZAKI, K. & SEKI, M. 2008. *Arabidopsis* transcriptome analysis under drought, cold, high-salinity and ABA treatment conditions using a tiling array. *Plant and Cell Physiology*, 49, 1135-49.
- MATYASH, V., LIEBISCH, G., KURZCHALIA, T. V., SHEVCHENKO, A. & SCHWUDKE, D. 2008. Lipid extraction by methyl-tert-butyl ether for high-throughput lipidomics. *Journal of Lipid Research*, 49, 1137-46.
- MAUCH-MANI, B. & MAUCH, F. 2005. The role of abscisic acid in plant-pathogen interactions. *Current Opinion in Plant Biology*, 8, 409-414.
- MELOTTO, M., UNDERWOOD, W., KOCZAN, J., NOMURA, K. & HE, S. Y. 2006. Plant stomata function in innate immunity against bacterial invasion. *Cell*, 126, 969-980.
- MÉTRAUX, J.-P., JACKSON, R. W., SCHNETTLER, E. & GOLDBACH, R. W. 2009. Plant pathogens as suppressors of host defense. In: LOON, L. C. V. (ed.) *Advances in Botanical Research*. Academic Press.
- MITTLER, R. 2002. Oxidative stress, antioxidants and stress tolerance. *Trends in Plant Science*, 7, 405-10.
- MITTLER, R. 2006. Abiotic stress, the field environment and stress combination. *Trends in Plant Science*, 11, 15-9.
- MITTLER, R. & BLUMWALD, E. 2010. Genetic engineering for modern agriculture: challenges and perspectives. *Annual Review of Plant Biology*, 61, 443-62.
- MITTLER, R., VANDERAUWERA, S., GOLLERY, M. & VAN BREUSEGEM, F. 2004. Reactive oxygen gene network of plants. *Trends in Plant Science*, 9, 490-8.
- MITTOVA, V., TAL, M., VOLOKITA, M. & GUY, M. 2003. Up-regulation of the leaf mitochondrial and peroxisomal antioxidative systems in response to salt-induced oxidative stress in the wild salt-tolerant tomato species *Lycopersicon pennellii*. *Plant Cell and Environment*, 26, 845-856.
- MOU, Z., FAN, W. & DONG, X. 2003. Inducers of plant systemic acquired resistance regulate *NPR1* function through redox changes. *Cell*, 113, 935-44.
- MUKHERJEE, A. K., CARP, M. J., ZUCHMAN, R., ZIV, T., HORWITZ, B. A. & GEPSTEIN, S. 2010. Proteomics of the response of *Arabidopsis thaliana* to infection with *Alternaria brassicicola*. *Journal of proteomics*, 73, 709-20.
- MUNNS, R. 2002. Comparative physiology of salt and water stress. *Plant Cell and Environment*, 25, 239-250.
- MUNNS, R. 2005. Genes and salt tolerance: bringing them together. *New Phytologist*, 167, 645-63.
- MUNNS, R. & TESTER, M. 2008. Mechanisms of salinity tolerance. *Annual Review of Plant Biology*, 59, 651-81.
- NAHAR, K., KYNDT, T., NZOGELA, Y. B. & GHEYSEN, G. 2012. Abscisic acid interacts antagonistically with classical defense pathways in rice-migratory nematode interaction. *New Phytologist*.

- NAIKA, M., SHAMEER, K., MATHEW, O. K., GOWDA, R. & SOWDHAMINI, R. 2013. STIFDB2: an updated version of plant stress-responsive transcription factor database with additional stress signals, stress-responsive transcription factor binding sites and stress-responsive genes in *Arabidopsis* and rice. *Plant and Cell Physiology*, 54, e8.
- NEILL, S. J., DESIKAN, R., CLARKE, A., HURST, R. D. & HANCOCK, J. T. 2002. Hydrogen peroxide and nitric oxide as signalling molecules in plants. *Journal of Experimental Botany*, 53, 1237-1247.
- NISHIMURA, M. T. & DANGL, J. L. 2010. *Arabidopsis* and the plant immune system. *Plant Journal*, 61, 1053-1066.
- NORAN, R., SHANI, U. & LIN, I. 1996. The effect of irrigation with magnetically treated water on the translocation of minerals in the soil. *Magnetic and Electrical Separation*, 7, 109-122.
- NÜRNBERGER, T., BRUNNER, F., KEMMERLING, B. & PIATER, L. 2004. Innate immunity in plants and animals: striking similarities and obvious differences. *Immunological Reviews*, 198, 249-66.
- NÜRNBERGER, T. & KEMMERLING, B. 2006. Receptor protein kinases - pattern recognition receptors in plant immunity. *Trends in Plant Science*, 11, 519-22.
- O'NEILL, L. A. J. 2011. Innate immunity in plants goes to the PUB. *Science*, 332, 1386-1387.
- OLDEMAN, L. R. 1994. The global extent of soil degradation. *Soil Resilience and Sustainable Land Use*, 99-118.
- PENNINCKX, I. A. M. A., THOMMA, B. P. H. J., BUCHALA, A., MÉTRAUX, J. P. & BROEKAERT, W. F. 1998. Concomitant activation of jasmonate and ethylene response pathways is required for induction of a plant defensin gene in *Arabidopsis*. *Plant Cell*, 10, 2103-2113.
- PFAFFL, M. W. 2004. Quantification strategies in real-time PCR *Science*, 87-112.
- PHAM, J., LIU, J., BENNETT, M. H., MANSFIELD, J. W. & DESIKAN, R. 2012. *Arabidopsis histidine kinase 5* regulates salt sensitivity and resistance against bacterial and fungal infection. *New Phytologist*.
- PIETERSE, C. M., LEON-REYES, A., VAN DER ENT, S. & VAN WEES, S. C. 2009. Networking by small-molecule hormones in plant immunity. *Nature Chemical Biology*, 5, 308-16.
- PIETERSE, C. M., VAN DER DOES, D., ZAMIOUDIS, C., LEON-REYES, A. & VAN WEES, S. C. 2012. Hormonal modulation of plant immunity. *Annual Review of Cell and Developmental Biology*, 28, 489-521.
- PORRA, R. J., THOMPSON, W. A. & KRIEDEMANN, P. E. 1989. Determination of accurate extinction coefficients and simultaneous-equations for assaying chlorophyll-a and chlorophyll-B extracted with 4 different solvents - Verification of the concentration of chlorophyll standards by atomic-absorption spectroscopy. *Biochimica et Biophysica Acta - Gene Structure and Expression*, 975, 384-394.
- PRASCH, C. M. & SONNEWALD, U. 2013. Simultaneous application of heat, drought and virus to *Arabidopsis thaliana* plants reveals significant shifts in signaling networks. *PLANT PHYSIOLOGY*.
- PRE, M., ATALLAH, M., CHAMPION, A., DE VOS, M., PIETERSE, C. M. J. & MEMELINK, J. 2008. The AP2/ERF domain transcription factor ORA59 integrates jasmonic acid and ethylene signals in plant defense. *PLANT PHYSIOLOGY*, 147, 1347-1357.
- QIU, Q. S., GUO, Y., DIETRICH, M. A., SCHUMAKER, K. S. & ZHU, J. K. 2002. Regulation of *SOS1*, a plasma membrane Na^+/H^+ exchanger in *Arabidopsis thaliana*, by *SOS2* and *SOS3*. *Proceedings of the National Academy of Sciences of the United States of America*, 99, 8436-8441.
- QUINN, M. T., MULLEN, M. L. & JESAITIS, A. J. 1992. Human neutrophil cytochrome-B contains multiple hemes - Evidence for heme associated with both subunits. *Journal of Biological Chemistry*, 267, 7303-7309.
- RAMEGOWDA, V., SENTHIL-KUMAR, M., ISHIGA, Y., KAUNDAL, A., UDAYAKUMAR, M. & MYSORE, K. S. 2013. Drought stress acclimation imparts tolerance to *Sclerotinia sclerotiorum* and *Pseudomonas syringae* in *Nicotiana benthamiana*. *International Journal of Molecular Science*, 14, 9497-513.
- RASMUSSEN, S., BARAH, P., SUAREZ-RODRIGUEZ, M. C., BRESSENDORFF, S., FRIIS, P., COSTANTINO, P., BONES, A. M., NIELSEN, H. B. & MUNDY, J. 2013. Transcriptome responses to combinations of stresses in *Arabidopsis*. *PLANT PHYSIOLOGY*, 161, 1783-1794.

- REINEKE, G., HEINZE, B., SCHIRAWSKI, J., BUETTNER, H., KAHMANN, R. & BASSE, C. W. 2008. Indole-3-acetic acid (IAA) biosynthesis in the smut fungus *Ustilago maydis* and its relevance for increased IAA levels in infected tissue and host tumour formation. *Molecular Plant Pathology*, 9, 339-355.
- REZZONICO, E., FLURY, N., MEINS, F. & BEFFA, R. 1998. Transcriptional down-regulation by abscisic acid of pathogenesis-related beta-1,3-glucanase genes in tobacco cell cultures. *PLANT PHYSIOLOGY*, 117, 585-592.
- RIVAS, S. & THOMAS, C. M. 2005. Molecular interactions between tomato and the leaf mold pathogen *Cladosporium fulvum*. *Annual Review of Phytopathology*, 43, 395-436.
- RIZHSKY, L., LIANG, H. J., SHUMAN, J., SHULAEV, V., DAVLETOVA, S. & MITTLER, R. 2004. When defense pathways collide. The response of *Arabidopsis* to a combination of drought and heat stress. *PLANT PHYSIOLOGY*, 134, 1683-1696.
- ROBATZEK, S. & SOMSSICH, I. E. 2002. Targets of *AtWRKY6* regulation during plant senescence and pathogen defense. *Genes & Development*, 16, 1139-1149.
- ROBERT-SEILANIANZ, A., GRANT, M. & JONES, J. D. G. 2011. Hormone crosstalk in plant disease and defense: More than just jasmonate-salicylate antagonism. *Annual Review of Phytopathology*, 49, 317-343.
- ROBERT-SEILANIANZ, A., NAVARRO, L., BARI, R. & JONES, J. D. 2007. Pathological hormone imbalances. *Current Opinion in Plant Biology*, 10, 372-9.
- ROCKSTROM, J. & FALKENMARK, M. 2000. Semiarid crop production from a hydrological perspective: Gap between potential and actual yields. *Critical Reviews in Plant Sciences*, 19, 319-346.
- ROMEIS, T., LUDWIG, A. A., MARTIN, R. & JONES, J. D. G. 2001. Calcium-dependent protein kinases play an essential role in a plant defence response. *EMBO Journal*, 20, 5556-5567.
- ROMHELD, V. & KIRKBY, E. A. 2010. Research on potassium in agriculture: needs and prospects. *Plant and Soil*, 335, 155-180.
- ROSSO, M. G., LI, Y., STRIZHOV, N., REISS, B., DEKKER, K. & WEISSHAAR, B. 2003. An *Arabidopsis thaliana* T-DNA mutagenized population (GABI-Kat) for flanking sequence tag-based reverse genetics. *Plant Molecular Biology*, 53, 247-259.
- SAMBROOK, T. D. 1998. Does visual perspective matter in imitation? *Perception*, 27, 1461-1473.
- SANDERMANN, H. 2000. Active oxygen species as mediators of plant immunity: Three case studies. *Biological Chemistry*, 381, 649-653.
- SANTNER, A. & ESTELLE, M. 2009. Recent advances and emerging trends in plant hormone signalling. *Nature*, 459, 1071-8.
- SCHOLL, R. L., MAY, S. T. & WARE, D. H. 2000. Seed and molecular resources for *Arabidopsis*. *PLANT PHYSIOLOGY*, 124, 1477-80.
- SCHULZE-LEFERT, P. & ROBATZEK, S. 2006. Plant pathogens trick guard cells into opening the gates. *Cell*, 126, 831-834.
- SEILER, C., HARSHAVARDHAN, V. T., RAJESH, K., REDDY, P. S., STRICKERT, M., ROLLETSCHEK, H., SCHOLZ, U., WOBUS, U. & SREENIVASULU, N. 2011. ABA biosynthesis and degradation contributing to ABA homeostasis during barley seed development under control and terminal drought-stress conditions. *Journal of Experimental Botany*, 62, 2615-2632.
- SEKI, M., ISHIDA, J., NARUSAKA, M., FUJITA, M., NANJO, T., UMEZAWA, T., KAMIYA, A., NAKAJIMA, M., ENJU, A., SAKURAI, T., SATOU, M., AKIYAMA, K., YAMAGUCHI-SHINOZAKI, K., CARNINCI, P., KAWAI, J., HAYASHIZAKI, Y. & SHINOZAKI, K. 2002a. Monitoring the expression pattern of around 7,000 *Arabidopsis* genes under ABA treatments using a full-length cDNA microarray. *Functional & Integrative Genomics*, 2, 282-291.
- SEKI, M., NARUSAKA, M., ISHIDA, J., NANJO, T., FUJITA, M., OONO, Y., KAMIYA, A., NAKAJIMA, M., ENJU, A., SAKURAI, T., SATOU, M., AKIYAMA, K., TAJI, T., YAMAGUCHI-SHINOZAKI, K., CARNINCI, P., KAWAI, J., HAYASHIZAKI, Y. & SHINOZAKI, K. 2002b. Monitoring the expression profiles of 7000 *Arabidopsis* genes

- under drought, cold and high-salinity stresses using a full-length cDNA microarray. *Plant Journal*, 31, 279-292.
- SHABALA, S. & CUI, T. A. 2008. Potassium transport and plant salt tolerance. *Physiologia Plantarum*, 133, 651-69.
- SHAMEER, K., AMBIKA, S., VARGHESE, S. M., KARABA, N., UDAYAKUMAR, M. & SOWDHAMINI, R. 2009. STIFDB. *International Journal of Plant Genomics*, 2009, 583429.
- SHANNON, M. C. 1997. Adaptation of plants to salinity. *Advances in Agronomy*, 60, 75-120.
- SHINOZAKI, K. & YAMAGUCHI-SHINOZAKI, K. 2007. Gene networks involved in drought stress response and tolerance. *Journal of Experimental Botany*, 58, 221-7.
- SINGH, P. K., CHATURVEDI, V. K. & SINGH, H. B. 2011. Cross talk signalling: an emerging defense strategy in plants. *Current Science*, 100, 288-289.
- SONG, W., MA, X., TAN, H. & ZHOU, J. 2011. Abscisic acid enhances resistance to *Alternaria solani* in tomato seedlings. *Plant Physiology and Biochemistry*, 49, 693-700.
- SPOEL, S. H. & DONG, X. 2008. Making sense of hormone crosstalk during plant immune responses. *Cell Host Microbe*, 3, 348-51.
- SUSSMAN, M. R., AMASINO, R. M., YOUNG, J. C., KRYSAN, P. J. & AUSTIN-PHILLIPS, S. 2000. The *Arabidopsis* knockout facility at the University of Wisconsin-Madison. *PLANT PHYSIOLOGY*, 124, 1465-1467.
- SZITTYA, G., SILHAVY, D., MOLNAR, A., HAVELDA, Z., LOVAS, A., LAKATOS, L., BANFALVI, Z. & BURGYAN, J. 2003. Low temperature inhibits RNA silencing-mediated defence by the control of siRNA generation. *EMBO Journal*, 22, 633-40.
- TAVAKKOLI, E., RENGASAMY, P. & MCDONALD, G. K. 2010. High concentrations of Na⁺ and Cl⁻ ions in soil solution have simultaneous detrimental effects on growth of faba bean under salinity stress. *Journal of Experimental Botany*, 61, 4449-59.
- TEIGE, M., SCHEIKL, E., EULGEM, T., DOCZI, F., ICHIMURA, K., SHINOZAKI, K., DANGL, J. L. & HIRT, H. 2004. The MKK2 pathway mediates cold and salt stress signaling in *Arabidopsis*. *Molecular Cell*, 15, 141-152.
- TEMME, N. & TUDZYNSKI, P. 2009. Does *Botrytis cinerea* ignore H₂O₂-induced oxidative stress during infection? Characterization of Botrytis Activator Protein 1. *MOLECULAR PLANT-MICROBE INTERACTIONS*, 22, 987-998.
- TESTER, M. & DAVENPORT, R. 2003. Na⁺ tolerance and Na⁺ transport in higher plants. *Annals of Botany*, 91, 503-27.
- THILMONY, R., UNDERWOOD, W. & HE, S. Y. 2006. Genome-wide transcriptional analysis of the *Arabidopsis thaliana* interaction with the plant pathogen *Pseudomonas syringae* pv. *tomato* DC3000 and the human pathogen *Escherichia coli* O157 : H7. *Plant Journal*, 46, 34-53.
- THOMA, I., LOEFFLER, C., SINHA, A. K., GUPTA, M., KRISCHKE, M., STEFFAN, B., ROITSCH, T. & MUELLER, M. J. 2003. Cyclopentenone isoprostanes induced by reactive oxygen species trigger defense gene activation and phytoalexin accumulation in plants. *Plant Journal*, 34, 363-75.
- THOMMA, B. P. H. J., NELISSEN, I., EGGERMONT, K. & BROEKAERT, W. F. 1999. Deficiency in phytoalexin production causes enhanced susceptibility of *Arabidopsis thaliana* to the fungus *Alternaria brassicicola*. *Plant Journal*, 19, 163-171.
- THORDAL-CHRISTENSEN, H., ZHANG, Z., WEI, Y. & COLLINGE, D. B. 1997. Subcellular localization of H₂O₂ in plants. H₂O₂ accumulation in papillae and hypersensitive response during the barley-powdery mildew interaction. *Plant Journal*, 11, 1187-1194.
- TON, J., FLORS, V. & MAUCH-MANI, B. 2009. The multifaceted role of ABA in disease resistance. *Trends in Plant Science*, 14, 310-7.
- TORRES, M. A. 2010. ROS in biotic interactions. *Physiologia Plantarum*, 138, 414-29.

- TORRES, M. A., DANGL, J. L. & JONES, J. D. 2002. *Arabidopsis* gp91phox homologues *AtrbohD* and *AtrbohF* are required for accumulation of reactive oxygen intermediates in the plant defense response. *Proceedings of the National Academy of Sciences of the United States of America*, 99, 517-22.
- TORRES, M. A., JONES, J. D. G. & DANGL, J. L. 2006. Reactive oxygen species signaling in response to pathogens. *PLANT PHYSIOLOGY*, 141, 373-378.
- UDVARDI, M. K., KAKAR, K., WANDREY, M., MONTANARI, O., MURRAY, J., ANDRIANKAJA, A., ZHANG, J. Y., BENEDITO, V., HOFER, J. M. I., CHUENG, F. & TOWN, C. D. 2007. Legume transcription factors: Global regulators of plant development and response to the environment. *PLANT PHYSIOLOGY*, 144, 538-549.
- VERMA, D. P. & HONG, Z. 2001. Plant callose synthase complexes. *Plant Molecular Biology*, 47, 693-701.
- VERONESE, P., CHEN, X., BLUHM, B., SALMERON, J., DIETRICH, R. & MENGISTE, T. 2004. The BOS loci of *Arabidopsis* are required for resistance to *Botrytis cinerea* infection. *Plant Journal*, 40, 558-74.
- VLOT, A. C., DEMPSEY, D. A. & KLESSIG, D. F. 2009. Salicylic acid, a multifaceted hormone to combat disease. *Annual Review of Phytopathology*, 47, 177-206.
- VLOT, A. C., KLESSIG, D. F. & PARK, S. W. 2008. Systemic acquired resistance: the elusive signal(s). *Current Opinion in Plant Biology*, 11, 436-442.
- VON TIEDEMANN, A. 1997. Evidence for a primary role of active oxygen species in induction of host cell death during infection of bean leaves with *Botrytis cinerea*. *Physiological and Molecular Plant Pathology*, 50, 151-166.
- WANG, W., VINOCUR, B. & ALTMAN, A. 2003. Plant responses to drought, salinity and extreme temperatures: towards genetic engineering for stress tolerance. *Planta*, 218, 1-14.
- WANG, X. E., BASNAYAKE, B. M. V. S., ZHANG, H. J., LI, G. J., LI, W., VIRK, N., MENGISTE, T. & SONG, F. M. 2009a. The *Arabidopsis* *ATAF1*, a NAC transcription factor, is a negative regulator of defense responses against necrotrophic fungal and bacterial pathogens. *MOLECULAR PLANT-MICROBE INTERACTIONS*, 22, 1227-1238.
- WANG, Y., BAO, Z., ZHU, Y. & HUA, J. 2009b. Analysis of temperature modulation of plant defense against biotrophic microbes. *MOLECULAR PLANT-MICROBE INTERACTIONS*, 22, 498-506.
- WANG, Y. H., YING, Y., CHEN, J. & WANG, X. C. 2004. Transgenic *Arabidopsis* overexpressing Mn-SOD enhanced salt-tolerance. *Plant Science*, 167, 671-677.
- WEISTE, C., IVEN, T., FISCHER, U., ONATE-SANCHEZ, L. & DRÖGE-LASER, W. 2007. In planta ORFeome analysis by large-scale over-expression of GATEWAY-compatible cDNA clones: screening of ERF transcription factors involved in abiotic stress defense. *Plant Journal*, 52, 382-90.
- WENDEHENNE, D., LAMOTTE, O., FRACHISSE, J. M., BARBIER-BRYGOO, H. & PUGIN, A. 2002. Nitrate efflux is an essential component of the cryptogin signaling pathway leading to defense responses and hypersensitive cell death in tobacco. *Plant Cell*, 14, 1937-1951.
- WILDERMUTH, G. B. & MORGAN, J. M. 2004. Genotypic differences in partial resistance to crown rot caused by *Fusarium pseudograminearum* in relation to an osmoregulation gene in wheat. *Australasian Plant Pathology*, 33, 121-123.
- WILDERMUTH, M. C., DEWDNEY, J., WU, G. & AUSUBEL, F. M. 2001. Isochorismate synthase is required to synthesize salicylic acid for plant defence. *Nature*, 414, 562-565.
- WILLIAMSON, B., TUDZYNSKI, B., TUDZYNSKI, P. & VAN KAN, J. A. L. 2007. *Botrytis cinerea*: The cause of grey mould disease. *Molecular Plant Pathology*, 8, 561-580.
- WU, Y. R., DENG, Z. Y., LAI, J. B., ZHANG, Y. Y., YANG, C. P., YIN, B. J., ZHAO, Q. Z., ZHANG, L., LI, Y., YANG, C. W. & XIE, Q. 2009. Dual function of *Arabidopsis* *ATAF1* in abiotic and biotic stress responses. *Cell Research*, 19, 1279-1290.
- XIANG, Y., TANG, N., DU, H., YE, H. Y. & XIONG, L. Z. 2008. Characterization of *OsbZIP23* as a key player of the basic leucine zipper transcription factor family for conferring abscisic acid sensitivity and salinity and drought tolerance in rice. *PLANT PHYSIOLOGY*, 148, 1938-1952.

- XIAO, B. Z., CHEN, X., XIANG, C. B., TANG, N., ZHANG, Q. F. & XIONG, L. Z. 2009. Evaluation of seven function-known candidate genes for their effects on improving drought resistance of transgenic rice under field conditions. *Molecular Plant*, 2, 73-83.
- XIE, Y., MAO, Y., LAI, D., ZHANG, W. & SHEN, W. 2012. H₂ enhances arabidopsis salt tolerance by manipulating ZAT10/12-mediated antioxidant defence and controlling sodium exclusion. *PLoS one*, 7, e49800.
- XIN, Z. Y., ZHAO, Y. H. & ZHENG, Z. L. 2005. Transcriptome analysis reveals specific modulation of abscisic acid signaling by ROP10 small GTPase in Arabidopsis. *PLANT PHYSIOLOGY*, 139, 1350-1365.
- XIONG, L., ISHITANI, M., LEE, H. & ZHU, J. K. 2001. The *Arabidopsis* LOS5/ABA3 locus encodes a molybdenum cofactor sulfuryase and modulates cold stress- and osmotic stress-responsive gene expression. *Plant Cell*, 13, 2063-83.
- XIONG, L. & ZHU, J. K. 2002. Salt tolerance. *Arabidopsis Book*, 1, e0048.
- XU, X., CHEN, C., FAN, B. & CHEN, Z. 2006. Physical and functional interactions between pathogen-induced *Arabidopsis* WRKY18, WRKY40, and WRKY60 transcription factors. *Plant Cell*, 18, 1310-26.
- XU, Z. S., XIA, L. Q., CHEN, M., CHENG, X. G., ZHANG, R. Y., LI, L. C., ZHAO, Y. X., LU, Y., NI, Z. Y., LIU, L., QIU, Z. G. & MA, Y. Z. 2007. Isolation and molecular characterization of the *Triticum aestivum* L. ethylene-responsive factor 1 (*TaERF1*) that increases multiple stress tolerance. *Plant Molecular Biology*, 65, 719-732.
- YADAV, S., IRFAN, M., AHMAD, A. & HAYAT, S. 2011. Causes of salinity and plant manifestations to salt stress: A review. *Journal of Environmental Biology*, 32, 667-685.
- YANG, O., POPOVA, O. V., SUTHOFF, U., LUKING, I., DIETZ, K. J. & GOLLDACK, D. 2009a. The *Arabidopsis* basic leucine zipper transcription factor *AtbZIP24* regulates complex transcriptional networks involved in abiotic stress resistance. *Gene*, 436, 45-55.
- YANG, Q., CHEN, Z. Z., ZHOU, X. F., YIN, H. B., LI, X., XIN, X. F., HONG, X. H., ZHU, J. K. & GONG, Z. 2009b. Overexpression of SOS (Salt Overly Sensitive) genes increases salt tolerance in transgenic *Arabidopsis*. *Molecular Plant*, 2, 22-31.
- YANG, S. H., ZHANG, Q., GUO, J. H., CHARKOWSKI, A. O., GLICK, B. R., IBEKWE, A. M., COOKSEY, D. A. & YANG, C. H. 2007. Global effect of indole-3-acetic acid biosynthesis on multiple virulence factors of *Erwinia chrysanthemi* 3937. *Applied and Environmental Microbiology*, 73, 1079-1088.
- YANG, S. J., VANDERBELD, B., WAN, J. X. & HUANG, Y. F. 2010. Narrowing down the targets: Towards successful genetic engineering of drought-tolerant crops. *Molecular Plant*, 3, 469-490.
- YASUDA, M. 2008. Crosstalk in plant resistance. *RIKEN Research*, 3.
- YASUDA, M., ISHIKAWA, A., JIKUMARU, Y., SEKI, M., UMEZAWA, T., ASAMI, T., MARUYAMA-NAKASHITA, A., KUDO, T., SHINOZAKI, K., YOSHIDA, S. & NAKASHITA, H. 2008. Antagonistic interaction between systemic acquired resistance and the abscisic acid-mediated abiotic stress response in *Arabidopsis*. *Plant Cell*, 20, 1678-92.
- YEO, A. 1998. Molecular biology of salt tolerance in the context of whole-plant physiology. *Journal of Experimental Botany*, 49, 915-929.
- YU, J. J., CHEN, S. X., ZHAO, Q., WANG, T., YANG, C. P., DIAZ, C., SUN, G. R. & DAI, S. J. 2011. Physiological and proteomic analysis of salinity tolerance in *Puccinellia tenuiflora*. *Journal of Proteome Research*, 10, 3852-3870.
- YU, S., LIGANG, C., LIPING, Z. & DIQIU, Y. 2010. Overexpression of *OsWRKY72* gene interferes in the abscisic acid signal and auxin transport pathway of *Arabidopsis*. *Journal of biosciences*, 35, 459-71.
- ZELLER, G., HENZ, S. R., WIDMER, C. K., SACHSENBERG, T., RÄTSCH, G., WEIGEL, D. & LAUBINGER, S. 2009. Stress-induced changes in the *Arabidopsis thaliana* transcriptome analyzed using whole-genome tiling arrays. *Plant Journal*, 58, 1068-1082.
- ZHANG, H., JIN, J., TANG, L., ZHAO, Y., GU, X., GAO, G. & LUO, J. 2011. PlantTFDB 2.0: update and improvement of the comprehensive plant transcription factor database. *Nucleic Acids Research*, 39, D1114-7.

- ZHANG, P. Y. & CHEN, K. S. 2009. Age-Dependent Variations of Volatile Emissions and Inhibitory Activity Toward *Botrytis cinerea* and *Fusarium oxysporum* in Tomato Leaves Treated with Chitosan Oligosaccharide. *Journal of Plant Biology*, 52, 332-339.
- ZHANG, S. Q. & KLESSIG, D. F. 2001. MAPK cascades in plant defense signaling. *Trends in Plant Science*, 6, 520-527.
- ZHENG, X. Y., SPIVEY, N. W., ZENG, W. Q., LIU, P. P., FU, Z. Q., KLESSIG, D. F., HE, S. Y. & DONG, X. N. 2012. Coronatine promotes *Pseudomonas syringae* virulence in plants by activating a signaling cascade that inhibits salicylic acid accumulation. *Cell Host & Microbe*, 11, 587-596.
- ZHENG, Z., MOSHER, S. L., FAN, B., KLESSIG, D. F. & CHEN, Z. 2007. Functional analysis of *Arabidopsis* WRKY25 transcription factor in plant defense against *Pseudomonas syringae*. *BMC Plant Biology*, 7, 2.
- ZHENG, Z. Y., ABU QAMAR, S., CHEN, Z. X. & MENGISTE, T. 2006. *Arabidopsis* WRKY33 transcription factor is required for resistance to necrotrophic fungal pathogens. *Plant Journal*, 48, 592-605.
- ZHU, J. K. 2001a. Cell signaling under salt, water and cold stresses. *Current Opinion in Plant Biology*, 4, 401-6.
- ZHU, J. K. 2001b. Plant salt tolerance. *Trends in Plant Science*, 6, 66-71.
- ZHU, J. K. 2002. Salt and drought stress signal transduction in plants. *Annual Review of Plant Biology*, 53, 247-73.
- ZHU, J. K. 2003. Regulation of ion homeostasis under salt stress. *Current Opinion in Plant Biology*, 6, 441-5.
- ZIPFEL, C. 2008. Pattern-recognition receptors in plant innate immunity. *Current Opinion in Immunology*, 20, 10-6.

ANHANG

I. EXPRESSIONSÄNDERUNGEN AUFGRUND NaCl-BEHANDLUNG

Genliste zu Abbildung 4-28 A

AGI	H2O-Kontrolle zu unbehandelt (log ₂)
AT1G01720_1	0,414
AT1G07135_1	0,385
AT1G07150_1	0,443
AT1G07870_1	0,464
AT1G10560_1	0,205
AT1G10585_1	2,430
AT1G21320_1	0,439
AT1G21326_1	0,259
AT1G22190_1	0,328
AT1G23710_1	0,259
AT1G25550_1	0,489
AT1G28370_1	0,218
AT1G29690_1	0,388
AT1G29920_1	0,455
AT1G30730_1	0,272
AT1G32240_1	2,162
AT1G44575_2	3,501
AT1G53170_1	0,410
AT1G56650_1	5,203
AT1G59865_2	0,482
AT1G61260_1	0,486
AT1G61340_1	0,102
AT1G63750_1	0,351
AT1G66090_1	0,177
AT1G71697_1	0,405
AT1G72940_1	0,448
AT1G73080_1	0,395
AT1G78170_1	2,330
AT1G80840_1	0,172
AT2G01505_1	2,382
AT2G03540_1	0,410
AT2G06045_1	0,113
AT2G17230_1	0,450
AT2G20880_1	0,260
AT2G28400_1	0,204
AT2G30230_1	2,469
AT2G31560_1	2,084

AGI	H2O-Kontrolle zu unbehandelt (log ₂)
AT3G49530_1	0,439
AT3G50060_1	0,201
AT3G52520_1	0,338
AT3G54000_1	0,430
AT3G54810_2	0,497
AT3G55110_1	2,539
AT3G55310_1	0,341
AT3G55980_1	0,391
AT3G57530_1	0,370
AT3G58070_1	4,007
AT3G59080_1	0,430
AT3G59080_2	0,430
AT3G59310_2	0,456
AT3G62720_1	0,400
AT3G62720_2	0,375
AT3G63060_1	0,214
AT4G01430_1	2,074
AT4G01950_1	0,278
AT4G02380_2	0,359
AT4G08950_1	0,154
AT4G11280_1	0,334
AT4G13580_1	0,369
AT4G14450_1	0,289
AT4G15680_1	0,269
AT4G16563_1	0,359
AT4G17490_1	0,325
AT4G22590_1	0,454
AT4G22870_1	4,767
AT4G24570_1	0,452
AT4G27657_1	0,165
AT4G28140_1	0,245
AT4G29780_1	0,224
AT4G33920_1	0,479
AT4G36648_1	0,446
AT5G02020_1	0,217
AT5G11140_1	0,275
AT5G11650_1	0,480

AGI	H2O-Kontrolle zu unbehandelt (\log_2)
AT2G32200_1	0,188
AT2G35710_1	0,231
AT2G35710_3	0,193
AT2G41010_1	0,334
AT2G44500_1	0,283
AT2G44940_1	2,350
AT2G47060_2	0,499
AT3G11580_1	2,036
AT3G15210_1	0,482
AT3G15500_1	0,239
AT3G19680_1	0,406
AT3G26910_1	0,430
AT3G26910_2	0,438
AT3G28070_3	2,183
AT3G29000_1	0,128
AT3G44450_1	2,049
AT3G45960_2	0,296

AGI	H2O-Kontrolle zu unbehandelt (\log_2)
AT5G22690_1	0,339
AT5G28610_1	0,437
AT5G36001_1	0,428
AT5G36002_2	0,454
AT5G37770_1	0,349
AT5G41100_1	0,320
AT5G41100_2	0,392
AT5G42800_1	3,715
AT5G46500_1	0,415
AT5G46910_1	0,398
AT5G52050_1	0,139
AT5G56840_1	2,708
AT5G57100_1	0,480
AT5G57220_1	0,280
AT5G57560_1	0,095
AT5G58620_1	0,426
AT5G59220_1	0,135

Genliste zu Abbildung 4-28 B

AGI	NaCl-Kontrolle zur H2O-Kontrolle (\log_2)
AT1G02360_1	0,263
AT1G05020_1	0,337
AT1G08830_2	0,491
AT1G11670_1	0,350
AT1G12520_1	0,487
AT1G16390_1	0,480
AT1G23870_1	0,478
AT1G25530_1	2,073
AT1G26380_1	0,203
AT1G26420_1	0,254
AT1G28010_1	0,358
AT1G56240_1	0,299
AT1G64660_1	2,656
AT1G66350_1	0,347
AT1G66725_1	0,411
AT1G77450_1	2,106
AT1G79680_1	0,290
AT2G15220_1	0,304
AT2G18660_1	0,249
AT2G18690_1	0,151
AT2G18690_2	0,270
AT2G21650_1	0,272
AT2G28190_1	0,410

AGI	NaCl-Kontrolle zur H2O-Kontrolle (\log_2)
AT3G12700_1	0,428
AT3G14360_1	2,232
AT3G23550_1	0,163
AT3G28290_1	2,284
AT3G28340_1	0,299
AT3G54830_1	0,450
AT4G00970_1	0,339
AT4G11470_1	0,337
AT4G20780_1	0,484
AT4G21200_1	0,491
AT4G21390_1	0,368
AT4G25830_1	0,374
AT4G28720_1	0,407
AT4G30230_1	0,463
AT4G30610_1	0,494
AT4G37240_1	0,270
AT5G06570_1	0,351
AT5G19470_1	2,142
AT5G24110_1	0,166
AT5G25390_1	3,456
AT5G25390_2	3,711
AT5G28770_1	0,451
AT5G28770_2	0,454

AGI	NaCl-Kontrolle zur H2O-Kontrolle (\log_2)
AT2G29680_1	0,443
AT2G40740_1	0,488
AT2G40740_2	0,451
AT2G44790_1	0,322
AT2G47880_1	2,234
AT3G04290_1	0,409

AGI	NaCl-Kontrolle zur H2O-Kontrolle (\log_2)
AT5G56840_1	0,333
AT5G57220_1	0,285
AT5G62360_1	0,471
AT5G62730_1	0,204
AT5G65730_1	0,422

II. LISTE ALLER BETRACHTETEN GENE

Genliste zu Tabelle 4-2

AGI	NaCl-Kontrolle zur H ₂ O-Kontrolle (log ₂)	H ₂ O +B.c. zur H ₂ O-Kontrolle (log ₂)	NaCl +B.c. zur H ₂ O-Kontrolle (log ₂)
AT1G78310_1	0,973	2,494	3,277
AT5G46350_1	0,823	5,418	11,983
AT1G01010_1	1,047	1,539	3,398
AT1G01020_1	1,115	1,485	1,632
AT1G01020_2	1,062	1,075	1,019
AT1G01030_1	0,928	1,124	1,441
AT1G01040_1	0,969	0,830	1,106
AT1G01046_1	0,753	0,381	0,334
AT1G01050_1	1,085	0,947	0,932
AT1G01060_1	1,125	29,162	19,264
AT1G01060_3	1,093	3,465	1,951
AT1G01070_1	0,670	0,717	3,908
AT1G01070_2	0,903	0,959	1,060
AT1G01073_1	1,002	0,984	1,011
AT1G01080_1	0,855	0,464	0,196
AT1G01080_2	0,831	0,469	0,194
AT1G01090_1	1,001	0,957	0,812
AT1G01100_1	0,859	0,855	0,723
AT1G01100_2	0,963	0,838	0,597
AT1G01100_3	0,994	0,826	0,609
AT1G01110_1	0,783	0,633	0,186
AT1G01110_2	0,869	1,020	0,629
AT1G01115_1	1,104	1,011	0,974
AT1G01120_1	0,694	1,300	0,382
AT1G01130_1	0,791	0,834	0,427
AT1G01140_1	0,805	1,165	1,506
AT1G01150_1	0,942	0,970	0,987
AT1G01160_1	1,033	1,134	1,158
AT1G01160_2	1,016	0,746	1,072
AT1G01170_1	1,037	0,539	0,255
AT1G01170_2	0,994	0,588	0,295
AT1G01180_1	0,680	1,311	1,318
AT1G01183_1	0,963	1,072	1,048
AT1G01190_1	0,556	0,263	0,095
AT1G01200_1	0,747	0,440	0,291
AT1G01210_1	1,129	1,787	1,407
AT1G01220_1	1,042	0,490	0,355
AT1G01225_1	0,721	0,207	0,164
AT1G01230_1	0,892	0,705	0,762
AT1G01240_1	1,221	0,288	1,052
AT1G01240_2	1,158	0,264	1,028
AT1G01240_3	0,892	0,173	0,624
AT1G01250_1	1,682	0,404	0,372
AT1G01260_1	0,890	2,476	1,951
AT1G01280_1	0,829	1,009	1,057
AT1G01290_1	0,834	0,663	0,896

AGI	NaCl-Kontrolle zur H₂O-Kontrolle (log₂)	H₂O +B.c. zur H₂O-Kontrolle (log₂)	NaCl +B.c. zur H₂O-Kontrolle (log₂)
AT1G01290_2	0,852	1,055	0,848
AT1G01300_1	0,905	0,711	0,191
AT1G01305_1	1,009	1,090	1,075
AT1G01310_1	0,870	1,339	1,019
AT1G01320_1	1,066	1,134	1,147
AT1G01340_1	0,721	4,819	4,910
AT1G01350_1	0,808	0,982	0,972
AT1G01355_1	1,310	1,979	2,406
AT1G01360_1	0,940	0,722	0,685
AT1G01370_1	0,532	0,284	0,319
AT1G01370_2	0,533	0,269	0,255
AT1G01380_1	0,963	0,660	0,609
AT1G01390_1	1,165	1,104	0,334
AT1G01400_1	1,143	1,460	1,667
AT1G01410_1	1,158	1,354	1,630
AT1G01420_1	1,113	1,012	0,589
AT1G01430_1	0,917	0,766	0,157
AT1G01440_1	1,062	0,952	1,167
AT1G01448_1	1,023	0,460	0,304
AT1G01448_2	0,945	0,890	0,842
AT1G01448_3	1,096	0,601	0,384
AT1G01450_1	0,960	0,865	0,785
AT1G01453_1	1,105	2,576	17,684
AT1G01453_2	0,840	1,106	1,510
AT1G01460_1	0,982	1,269	2,684
AT1G01470_1	1,092	0,468	0,843
AT1G01471_1	0,918	0,998	0,951
AT1G01480_1	0,780	75,409	140,597
AT1G01490_1	0,667	1,907	2,651
AT1G01490_2	0,870	1,817	2,385
AT1G01500_1	1,089	1,069	1,208
AT1G01510_1	1,131	0,658	0,477
AT1G01520_1	1,209	6,632	3,801
AT1G01530_1	1,017	1,053	1,134
AT1G01540_1	0,935	0,560	0,369
AT1G01540_2	0,895	0,942	0,699
AT1G01550_1	1,025	1,285	1,406
AT1G01550_2	1,022	1,290	1,400
AT1G01560_1	0,762	2,610	3,222
AT1G01560_2	0,635	2,784	3,405
AT1G01570_1	1,179	0,275	0,289
AT1G01580_1	1,008	0,714	0,219
AT1G01590_1	1,227	0,971	0,828
AT1G01600_1	1,284	0,924	0,377
AT1G01610_1	0,958	0,768	0,081
AT1G01620_1	0,817	0,587	0,435
AT1G01620_2	0,863	0,679	0,539
AT1G01630_1	0,894	0,865	0,869
AT1G01640_1	1,114	0,923	1,168
AT1G01640_2	1,126	0,480	0,851

AGI	NaCl-Kontrolle zur H₂O-Kontrolle (log₂)	H₂O +B.c. zur H₂O-Kontrolle (log₂)	NaCl +B.c. zur H₂O-Kontrolle (log₂)
AT1G01650_1	1,056	1,228	1,366
AT1G01660_1	0,956	0,823	0,881
AT1G01670_1	0,925	0,511	0,475
AT1G01680_1	0,829	0,973	2,698
AT1G01690_1	1,005	0,249	0,173
AT1G01695_1	1,285	1,196	1,162
AT1G01700_1	1,065	0,595	0,689
AT1G01710_1	0,942	1,116	1,498
AT1G01720_1	1,487	2,982	4,215
AT1G01725_1	1,011	1,027	2,580
AT1G01730_1	1,114	1,520	2,149
AT1G01740_1	1,207	1,497	0,757
AT1G01750_1	0,946	0,704	0,847
AT1G01760_1	0,949	0,405	0,530
AT1G01770_1	1,126	0,456	1,333
AT1G01780_1	1,029	0,526	1,613
AT1G01790_1	0,938	0,626	0,398
AT1G01800_1	1,032	0,976	0,938
AT1G01800_2	0,980	0,979	0,918
AT1G01810_1	0,908	1,472	1,883
AT1G01820_1	1,049	1,304	1,228
AT1G01830_1	0,908	0,762	1,013
AT1G01840_1	1,384	0,917	0,996
AT1G01860_1	1,138	0,425	0,221
AT1G01870_1	1,052	0,590	0,975
AT1G01880_1	1,099	0,957	0,878
AT1G01900_1	0,619	0,154	0,118
AT1G01910_1	0,905	0,963	0,962
AT1G01910_3	0,921	0,959	0,955
AT1G01910_4	0,947	0,924	0,986
AT1G01910_5	0,912	0,992	0,956
AT1G01920_1	1,020	0,740	0,426
AT1G01920_2	1,150	0,763	0,388
AT1G01930_1	1,017	1,113	1,072
AT1G01940_1	0,791	3,154	2,670
AT1G01950_1	0,922	1,257	1,052
AT1G01950_3	0,930	1,216	0,998
AT1G01960_1	1,061	0,756	0,650
AT1G01970_1	1,044	0,428	0,211
AT1G01980_1	1,255	1,506	1,925
AT1G01990_1	1,145	1,289	1,018
AT1G02000_1	0,967	1,497	1,925
AT1G02010_1	1,068	0,642	0,648
AT1G02020_1	1,108	0,787	0,841
AT1G02020_2	1,035	0,857	0,944
AT1G02030_1	1,069	1,282	1,820
AT1G02040_1	1,004	1,336	1,698
AT1G02050_1	1,201	1,002	0,764
AT1G02060_1	1,180	0,932	0,635
AT1G02065_1	1,056	1,152	1,092

AGI	NaCl-Kontrolle zur H₂O-Kontrolle (log₂)	H₂O +B.c. zur H₂O-Kontrolle (log₂)	NaCl +B.c. zur H₂O-Kontrolle (log₂)
AT1G02065_2	1,016	1,069	1,090
AT1G02070_1	0,898	0,922	1,079
AT1G02080_1	1,061	0,924	1,131
AT1G02090_1	0,930	1,453	1,448
AT1G02090_2	0,893	1,450	1,406
AT1G02090_3	0,747	2,284	3,436
AT1G02100_1	0,953	1,540	1,550
AT1G02100_2	1,023	1,357	1,391
AT1G02100_3	1,035	1,381	1,399
AT1G02110_1	1,139	0,629	0,169
AT1G02120_1	0,973	0,905	0,875
AT1G02130_1	0,867	0,946	1,114
AT1G02136_1	0,987	1,210	1,419
AT1G02140_1	0,923	0,963	0,876
AT1G02145_1	1,028	0,781	0,825
AT1G02145_2	1,007	0,792	0,881
AT1G02145_3	1,020	0,767	0,831
AT1G02150_1	1,019	0,501	0,335
AT1G02160_1	1,016	0,576	0,642
AT1G02160_2	1,036	0,557	0,643
AT1G02170_1	0,863	1,430	1,582
AT1G02180_1	0,625	0,245	0,315
AT1G02190_1	0,434	0,266	0,294
AT1G02190_2	0,426	0,278	0,312
AT1G02205_1	1,300	0,013	0,211
AT1G02210_1	0,976	1,010	1,145
AT1G02220_1	0,992	7,653	26,574
AT1G02228_1	1,027	1,082	0,973
AT1G02230_1	0,919	1,110	2,167
AT1G02250_1	1,023	1,090	1,056
AT1G02260_1	1,023	0,743	1,047
AT1G02270_1	1,088	0,633	0,688
AT1G02280_1	0,873	0,646	0,269
AT1G02290_1	0,927	0,585	0,287
AT1G02300_1	1,058	0,355	0,499
AT1G02305_1	1,112	1,074	1,541
AT1G02310_1	0,924	3,228	73,721
AT1G02320_1	1,066	1,072	1,103
AT1G02330_1	0,916	0,904	1,149
AT1G02335_1	0,668	0,255	0,216
AT1G02340_1	0,599	0,740	0,472
AT1G02350_1	0,981	0,427	0,338
AT1G02360_1	0,263	0,688	1,733
AT1G02370_1	1,315	1,259	0,631
AT1G02380_1	0,952	0,842	2,743
AT1G02390_1	1,586	2,283	5,203
AT1G02391_1	1,412	2,195	2,368
AT1G02400_1	0,235	6,529	9,324
AT1G02405_1	0,763	4,092	3,214
AT1G02410_1	0,868	1,020	1,479

AGI	NaCl-Kontrolle zur H₂O-Kontrolle (log₂)	H₂O +B.c. zur H₂O-Kontrolle (log₂)	NaCl +B.c. zur H₂O-Kontrolle (log₂)
AT1G02420_1	1,069	0,932	0,836
AT1G02430_1	0,883	1,186	1,690
AT1G02440_1	0,653	0,623	1,299
AT1G02450_1	0,770	0,270	1,784
AT1G02460_1	1,176	0,813	2,414
AT1G02470_1	0,941	39,813	226,383
AT1G02470_2	0,922	30,579	175,025
AT1G02475_1	0,969	0,899	1,431
AT1G02480_1	1,171	1,334	2,088
AT1G02490_1	1,048	1,172	1,215
AT1G02500_1	1,065	1,396	1,393
AT1G02510_1	0,973	1,047	1,111
AT1G02520_1	1,268	11,288	26,852
AT1G02530_1	1,217	6,501	15,888
AT1G02540_1	1,053	1,159	1,057
AT1G02550_1	1,092	1,468	1,463
AT1G02560_1	0,987	0,883	1,099
AT1G02570_1	1,368	2,551	5,086
AT1G02580_1	1,095	3,466	8,726
AT1G02590_1	1,086	2,066	22,240
AT1G02600_1	1,100	1,079	1,212
AT1G02610_1	0,661	0,183	0,921
AT1G02620_1	0,890	0,844	0,603
AT1G02630_1	0,662	0,960	0,876
AT1G02630_2	0,962	1,249	1,302
AT1G02640_1	0,505	0,226	0,095
AT1G02650_1	0,589	0,674	0,440
AT1G02660_1	0,716	1,685	2,750
AT1G02670_1	0,613	0,909	1,163
AT1G02680_1	1,045	0,817	1,078
AT1G02681_1	1,267	1,357	1,452
AT1G02690_1	0,973	1,258	0,933
AT1G02700_1	0,762	1,609	2,759
AT1G02710_1	0,572	1,928	2,981
AT1G02720_1	1,036	0,329	0,215
AT1G02720_2	1,017	0,317	0,199
AT1G02730_1	0,749	0,210	0,086
AT1G02740_1	1,061	0,865	0,859
AT1G02750_1	0,975	1,073	1,607
AT1G02770_1	1,391	3,789	7,112
AT1G02780_1	0,976	0,930	0,760
AT1G02790_1	1,088	1,148	1,265
AT1G02800_1	1,092	0,409	0,387
AT1G02810_1	1,100	1,116	1,352
AT1G02813_1	1,120	1,438	1,775
AT1G02816_1	0,800	1,194	3,584
AT1G02820_1	1,438	2,257	0,764
AT1G02830_1	1,040	1,082	1,051
AT1G02840_1	1,008	1,084	0,846
AT1G02840_2	0,925	0,604	0,747

AGI	NaCl-Kontrolle zur H₂O-Kontrolle (log₂)	H₂O +B.c. zur H₂O-Kontrolle (log₂)	NaCl +B.c. zur H₂O-Kontrolle (log₂)
AT1G02840_3	0,935	1,132	0,898
AT1G02850_1	3,168	5,111	8,617
AT1G02850_2	3,172	5,143	8,870
AT1G02850_3	3,053	5,075	8,605
AT1G02850_4	3,190	5,309	8,938
AT1G02850_5	2,878	4,872	8,275
AT1G02860_1	0,835	0,915	2,658
AT1G02860_2	0,848	0,886	2,639
AT1G02870_1	1,102	1,017	0,608
AT1G02880_1	1,116	1,154	1,549
AT1G02880_2	1,061	1,182	1,305
AT1G02880_3	0,880	1,862	2,731
AT1G02880_4	0,884	1,923	2,732
AT1G02890_1	1,004	1,213	1,225
AT1G02890_2	0,993	1,255	1,360
AT1G02900_1	0,787	1,431	1,845
AT1G02910_1	0,998	0,613	0,530
AT1G02920_1	0,381	4,087	4,527
AT1G02930_1	0,363	4,472	4,689
AT1G02940_1	0,867	1,129	1,102
AT1G02950_1	0,542	0,231	0,238
AT1G02950_2	0,555	0,275	0,304
AT1G02950_4	0,541	0,274	0,278
AT1G02952_1	0,819	0,723	0,704
AT1G02960_1	0,955	0,642	0,641
AT1G02960_2	0,917	0,586	0,590
AT1G02960_3	0,849	0,414	0,539
AT1G02965_1	1,091	1,077	1,109
AT1G02970_1	0,520	0,417	0,322
AT1G02980_1	1,083	1,128	1,267
AT1G02990_1	0,921	0,996	1,357
AT1G02990_2	0,980	1,007	1,153
AT1G03000_1	0,953	0,527	0,466
AT1G03010_1	0,460	0,140	0,140
AT1G03020_1	0,796	1,112	0,355
AT1G03022_1	1,443	1,640	1,822
AT1G03030_1	0,844	1,028	1,629
AT1G03040_1	1,070	1,172	1,256
AT1G03050_1	1,097	1,340	2,391
AT1G03055_1	1,102	0,449	0,152
AT1G03055_2	1,071	0,598	0,380
AT1G03060_1	1,013	0,964	1,082
AT1G03070_1	0,925	1,763	6,893
AT1G03080_1	0,950	2,096	2,673
AT1G03090_1	0,997	1,213	2,020
AT1G03100_1	1,255	0,521	0,296
AT1G03103_1	1,071	1,054	1,027
AT1G03106_1	1,142	1,147	1,793
AT1G03110_1	0,996	1,005	0,646
AT1G03120_1	1,144	1,205	1,298

AGI	NaCl-Kontrolle zur H₂O-Kontrolle (log₂)	H₂O +B.c. zur H₂O-Kontrolle (log₂)	NaCl +B.c. zur H₂O-Kontrolle (log₂)
AT1G03130_1	0,903	0,510	0,252
AT1G03140_1	1,083	0,933	0,984
AT1G03150_1	0,901	0,558	0,810
AT1G03160_1	1,039	0,460	0,262
AT1G03160_2	0,893	0,315	0,205
AT1G03170_1	1,133	1,363	1,707
AT1G03180_1	0,829	0,510	0,674
AT1G03180_2	0,896	0,820	0,822
AT1G03190_1	0,952	0,881	1,370
AT1G03200_1	1,102	0,914	1,756
AT1G03210_1	0,817	0,631	0,804
AT1G03220_1	0,874	2,443	3,908
AT1G03230_1	0,827	1,458	1,863
AT1G03240_1	1,027	0,975	1,047
AT1G03250_1	0,984	1,319	1,452
AT1G03260_1	0,887	0,955	0,956
AT1G03270_1	1,171	0,212	0,068
AT1G03280_1	0,987	1,087	1,254
AT1G03290_1	1,058	0,859	1,728
AT1G03300_1	1,096	0,948	0,297
AT1G03310_1	1,154	0,367	0,234
AT1G03320_1	1,141	1,077	1,333
AT1G03330_1	0,868	0,735	1,369
AT1G03340_1	1,179	0,764	1,439
AT1G03350_1	0,973	1,235	1,389
AT1G03360_1	1,083	1,983	1,105
AT1G03370_1	0,972	1,190	1,131
AT1G03380_1	1,085	0,786	1,188
AT1G03390_1	0,966	0,883	0,990
AT1G03400_1	0,864	0,554	0,935
AT1G03410_1	1,000	1,266	1,118
AT1G03420_1	0,906	0,516	0,276
AT1G03430_1	0,849	0,867	0,867
AT1G03440_1	0,950	1,060	0,748
AT1G03445_1	1,167	1,257	1,466
AT1G03457_1	0,699	0,440	0,172
AT1G03457_2	0,790	0,520	0,330
AT1G03470_1	0,749	0,969	1,862
AT1G03470_2	0,725	0,971	1,784
AT1G03475_1	0,913	0,507	0,470
AT1G03490_1	1,032	0,965	1,073
AT1G03495_1	1,488	2,412	1,862
AT1G03502_1	0,906	3,590	2,670
AT1G03506_1	0,848	3,362	2,301
AT1G03510_1	1,127	0,728	0,569
AT1G03520_1	0,842	0,431	0,556
AT1G03520_2	0,916	0,544	0,738
AT1G03530_1	1,197	1,605	0,804
AT1G03540_1	1,068	0,439	0,336
AT1G03550_1	0,968	0,632	1,480

AGI	NaCl-Kontrolle zur H₂O-Kontrolle (log₂)	H₂O +B.c. zur H₂O-Kontrolle (log₂)	NaCl +B.c. zur H₂O-Kontrolle (log₂)
AT1G03560_1	1,031	0,741	0,606
AT1G03570_1	1,216	1,139	1,796
AT1G03580_1	1,032	1,855	0,865
AT1G03590_1	0,812	0,940	1,184
AT1G03600_1	0,937	0,511	0,113
AT1G03610_1	1,017	0,962	0,825
AT1G03620_1	0,998	0,567	0,650
AT1G03630_1	1,099	0,340	0,072
AT1G03630_2	1,068	0,364	0,071
AT1G03650_1	1,119	0,715	0,658
AT1G03660_1	0,854	2,637	18,655
AT1G03670_1	1,028	1,140	1,417
AT1G03680_1	0,983	0,597	0,432
AT1G03687_1	1,001	0,628	0,408
AT1G03687_2	0,913	0,678	0,707
AT1G03700_1	0,992	1,328	1,685
AT1G03710_1	0,938	1,114	1,067
AT1G03710_2	0,908	1,491	1,371
AT1G03720_1	1,246	1,478	2,024
AT1G03730_1	0,853	1,535	1,407
AT1G03740_1	0,892	1,502	1,352
AT1G03740_2	0,662	1,918	1,902
AT1G03743_1	0,982	0,777	0,811
AT1G03746_1	0,957	0,925	1,168
AT1G03750_1	0,908	0,519	1,056
AT1G03760_1	1,053	1,089	0,830
AT1G03770_1	0,886	1,888	2,168
AT1G03780_1	0,982	0,953	1,010
AT1G03780_2	0,824	0,407	0,302
AT1G03790_1	1,106	1,645	8,150
AT1G03800_1	1,031	1,678	2,255
AT1G03810_1	1,136	1,367	1,613
AT1G03820_1	0,800	0,259	0,381
AT1G03830_1	1,028	0,297	0,110
AT1G03840_1	0,654	0,590	0,904
AT1G03850_1	0,777	2,452	8,688
AT1G03850_2	0,231	3,254	9,193
AT1G03860_1	1,117	1,364	1,093
AT1G03860_2	1,095	1,334	1,061
AT1G03860_3	1,073	1,467	1,361
AT1G03870_1	0,458	1,223	0,128
AT1G03880_1	1,044	1,238	1,223
AT1G03890_1	1,048	1,343	1,311
AT1G03900_1	0,956	1,286	1,389
AT1G03905_1	0,916	2,486	2,127
AT1G03910_1	1,074	0,848	0,818
AT1G03920_1	0,828	0,412	0,501
AT1G03930_1	0,968	0,554	0,562
AT1G03935_1	0,862	3,204	2,493
AT1G03940_1	1,578	2,340	1,973

AGI	NaCl-Kontrolle zur H₂O-Kontrolle (log₂)	H₂O +B.c. zur H₂O-Kontrolle (log₂)	NaCl +B.c. zur H₂O-Kontrolle (log₂)
AT1G03950_1	0,916	1,021	2,151
AT1G03960_1	1,064	0,549	0,479
AT1G03970_1	1,228	0,719	0,943
AT1G03980_1	0,836	1,298	0,996
AT1G03982_1	1,161	1,104	1,391
AT1G03990_1	0,987	1,335	1,418
AT1G04000_1	1,043	1,322	1,328
AT1G04010_1	1,171	1,316	1,200
AT1G04020_1	0,636	0,251	0,192
AT1G04030_1	0,929	0,614	0,898
AT1G04040_1	0,342	0,738	0,048
AT1G04050_1	0,889	0,612	0,532
AT1G04070_1	1,033	1,932	2,206
AT1G04080_1	1,163	1,071	0,835
AT1G04090_1	0,715	0,610	0,659
AT1G04100_1	1,001	3,789	3,021
AT1G04110_1	0,548	0,157	0,187
AT1G04120_1	1,202	1,434	2,217
AT1G04130_1	0,806	2,548	3,179
AT1G04140_1	1,104	1,085	1,046
AT1G04140_2	1,087	1,072	1,059
AT1G04150_1	1,135	1,127	1,223
AT1G04160_1	0,950	0,267	0,199
AT1G04170_1	0,983	1,022	0,869
AT1G04171_1	1,237	1,848	1,371
AT1G04180_1	0,711	0,937	0,759
AT1G04190_1	1,001	1,087	0,805
AT1G04200_1	0,908	0,609	0,547
AT1G04210_1	1,043	1,141	1,127
AT1G04220_1	1,397	1,276	2,609
AT1G04230_1	0,937	1,066	1,363
AT1G04240_1	1,082	0,418	0,040
AT1G04250_1	0,648	0,660	0,052
AT1G04260_1	0,852	1,022	1,247
AT1G04270_1	0,981	0,850	0,635
AT1G04270_2	0,943	0,849	0,605
AT1G04280_1	0,736	1,987	2,566
AT1G04290_1	1,072	1,152	1,330
AT1G04295_1	1,056	1,096	1,244
AT1G04300_1	1,039	1,105	1,109
AT1G04310_1	0,867	0,516	1,456
AT1G04330_1	1,158	1,543	1,626
AT1G04340_1	0,935	1,538	1,758
AT1G04350_1	1,235	0,924	1,321
AT1G04360_1	0,807	0,759	0,276
AT1G04370_1	0,970	6,873	3,608
AT1G04380_1	1,535	1,977	1,702
AT1G04390_1	1,014	0,850	0,960
AT1G04400_1	1,087	0,536	0,838
AT1G04400_2	1,083	0,540	0,817

AGI	NaCl-Kontrolle zur H₂O-Kontrolle (log₂)	H₂O +B.c. zur H₂O-Kontrolle (log₂)	NaCl +B.c. zur H₂O-Kontrolle (log₂)
AT1G04410_1	0,966	0,764	1,077
AT1G04420_1	0,925	0,349	0,167
AT1G04425_1	0,841	0,701	0,788
AT1G04430_1	0,899	0,555	0,210
AT1G04430_2	0,949	0,544	0,198
AT1G04440_1	0,952	0,784	1,378
AT1G04445_1	1,199	1,401	2,185
AT1G04450_1	1,000	1,130	1,050
AT1G04457_1	1,058	0,410	0,213
AT1G04470_1	1,039	1,072	1,068
AT1G04480_1	0,965	1,250	1,076
AT1G04490_1	0,934	0,953	4,788
AT1G04500_1	1,038	2,293	10,379
AT1G04501_1	0,996	0,993	1,029
AT1G04510_1	1,064	1,033	0,824
AT1G04520_1	0,605	0,190	0,034
AT1G04530_1	0,677	0,824	0,573
AT1G04540_1	0,548	0,404	0,300
AT1G04550_1	0,846	0,651	0,529
AT1G04550_2	0,910	1,100	0,474
AT1G04555_1	0,993	0,772	1,601
AT1G04560_1	1,091	1,186	1,447
AT1G04570_1	1,564	0,350	0,666
AT1G04580_1	0,885	3,862	80,942
AT1G04590_1	1,039	0,786	0,575
AT1G04600_1	1,092	0,701	0,603
AT1G04610_1	1,069	1,168	1,223
AT1G04620_1	1,250	0,700	0,543
AT1G04625_1	1,032	1,314	1,493
AT1G04630_1	0,924	0,774	0,801
AT1G04635_1	0,980	0,764	0,814
AT1G04640_1	0,690	0,532	0,324
AT1G04640_2	0,641	0,297	0,234
AT1G04645_1	0,898	0,891	1,002
AT1G04650_1	1,237	0,594	0,347
AT1G04660_1	1,157	1,189	1,219
AT1G04670_1	1,042	1,038	1,165
AT1G04680_1	0,806	0,105	0,053
AT1G04690_1	0,998	0,870	1,124
AT1G04700_1	0,655	0,461	0,559
AT1G04710_1	1,178	0,780	1,173
AT1G04730_1	0,650	0,273	0,201
AT1G04750_1	1,086	1,258	1,574
AT1G04750_2	0,957	0,966	1,138
AT1G04760_1	1,009	0,818	0,747
AT1G04770_1	1,433	2,778	2,186
AT1G04778_1	0,947	0,812	1,285
AT1G04780_1	1,015	1,427	1,994
AT1G04790_1	1,038	0,864	0,918
AT1G04800_1	0,472	0,075	0,062

AGI	NaCl-Kontrolle zur H₂O-Kontrolle (log₂)	H₂O +B.c. zur H₂O-Kontrolle (log₂)	NaCl +B.c. zur H₂O-Kontrolle (log₂)
AT1G04810_1	1,059	0,901	1,102
AT1G04820_1	0,981	0,716	0,576
AT1G04830_1	1,065	1,072	1,512
AT1G04840_1	1,193	0,458	0,349
AT1G04850_1	1,079	0,978	1,506
AT1G04860_1	1,003	1,441	1,421
AT1G04870_1	1,076	0,997	0,744
AT1G04870_2	1,046	0,968	0,720
AT1G04880_1	1,351	1,725	1,562
AT1G04890_1	0,947	0,976	1,129
AT1G04900_1	1,214	0,635	0,306
AT1G04910_1	1,067	0,965	1,014
AT1G04920_1	0,839	0,450	0,458
AT1G04930_1	1,009	2,305	2,055
AT1G04940_1	0,987	0,488	0,346
AT1G04945_1	1,299	2,802	2,008
AT1G04945_2	1,121	2,682	1,977
AT1G04950_1	0,969	0,659	0,563
AT1G04960_1	0,878	1,941	3,243
AT1G04960_2	0,896	0,913	1,118
AT1G04970_1	0,986	1,852	5,262
AT1G04970_2	0,989	1,593	3,185
AT1G04980_1	0,730	2,742	3,808
AT1G04985_1	0,911	1,212	1,334
AT1G04990_1	0,838	0,476	2,775
AT1G04990_2	1,177	0,687	1,627
AT1G05000_1	0,781	11,289	43,151
AT1G05000_2	0,924	6,037	41,687
AT1G05010_1	0,700	2,350	2,450
AT1G05020_1	0,337	2,236	1,338
AT1G05030_1	1,051	0,786	0,785
AT1G05040_1	0,983	0,956	1,070
AT1G05040_2	0,895	0,932	0,976
AT1G05055_1	0,864	0,893	0,799
AT1G05060_1	1,094	1,113	1,701
AT1G05061_1	1,278	0,728	0,745
AT1G05065_1	0,842	0,376	0,361
AT1G05070_1	0,904	0,656	0,364
AT1G05080_1	1,114	1,194	1,298
AT1G05085_1	1,023	0,796	0,938
AT1G05090_1	0,983	0,690	0,860
AT1G05100_1	0,926	4,203	16,357
AT1G05120_1	1,006	0,938	1,393
AT1G05135_1	0,401	0,196	0,025
AT1G05136_1	0,793	0,731	0,658
AT1G05140_1	1,057	0,585	0,499
AT1G05150_1	0,943	0,850	0,779
AT1G05160_1	1,083	0,626	0,467
AT1G05170_1	1,009	1,131	1,718
AT1G05170_2	0,947	1,101	1,586

AGI	NaCl-Kontrolle zur H₂O-Kontrolle (log₂)	H₂O +B.c. zur H₂O-Kontrolle (log₂)	NaCl +B.c. zur H₂O-Kontrolle (log₂)
AT1G05180_1	1,059	0,986	0,967
AT1G05180_3	0,878	0,863	0,904
AT1G05190_1	0,906	0,493	0,245
AT1G05200_1	1,039	1,032	0,685
AT1G05205_1	0,710	0,652	1,140
AT1G05210_1	0,658	0,292	0,181
AT1G05220_1	0,884	0,954	0,899
AT1G05220_2	0,955	0,882	0,898
AT1G05230_1	0,969	0,824	0,639
AT1G05230_3	0,940	0,823	0,651
AT1G05240_1	1,066	0,950	1,160
AT1G05260_1	1,149	0,720	0,744
AT1G05270_1	0,920	0,970	1,100
AT1G05280_1	0,997	1,047	1,170
AT1G05290_1	1,043	1,082	1,175
AT1G05291_1	1,023	0,996	1,042
AT1G05300_1	0,688	0,319	0,203
AT1G05300_2	0,960	0,907	0,933
AT1G05310_1	0,670	0,280	0,205
AT1G05320_1	0,852	0,244	0,163
AT1G05330_1	0,965	1,000	1,786
AT1G05340_1	0,985	6,433	24,945
AT1G05350_1	0,915	0,861	0,839
AT1G05360_1	1,007	0,936	1,393
AT1G05370_1	0,860	0,565	0,650
AT1G05380_1	1,062	1,254	1,333
AT1G05385_1	0,837	0,478	0,259
AT1G05390_1	1,128	1,258	1,370
AT1G05400_1	1,084	1,187	1,367
AT1G05400_2	1,022	1,192	1,525
AT1G05410_1	1,127	1,010	0,741
AT1G05410_2	1,068	1,022	0,744
AT1G05420_1	0,671	0,500	0,248
AT1G05430_1	0,858	0,805	0,952
AT1G05440_1	0,779	0,660	0,694
AT1G05450_1	1,049	1,034	1,097
AT1G05450_2	1,117	1,109	2,367
AT1G05460_1	1,221	0,442	0,110
AT1G05470_1	0,866	0,201	0,100
AT1G05490_1	0,934	0,664	0,830
AT1G05500_1	1,022	0,760	0,867
AT1G05510_1	1,167	1,013	1,281
AT1G05520_1	1,010	1,380	1,616
AT1G05530_1	1,384	1,526	2,184
AT1G05540_1	0,817	0,606	0,138
AT1G05550_1	1,197	0,964	0,970
AT1G05560_1	1,156	1,374	2,956
AT1G05570_1	1,062	0,691	1,089
AT1G05575_1	0,634	17,567	19,496
AT1G05577_1	1,052	1,288	1,293

AGI	NaCl-Kontrolle zur H₂O-Kontrolle (log₂)	H₂O +B.c. zur H₂O-Kontrolle (log₂)	NaCl +B.c. zur H₂O-Kontrolle (log₂)
AT1G05580_1	1,073	1,245	1,323
AT1G05580_2	1,099	1,146	1,302
AT1G05590_1	0,912	0,483	0,171
AT1G05600_1	1,048	0,774	0,586
AT1G05610_1	0,770	0,754	2,832
AT1G05615_1	0,952	1,145	1,401
AT1G05620_1	0,922	5,231	12,775
AT1G05620_2	0,883	3,761	5,819
AT1G05630_1	0,854	0,663	0,545
AT1G05630_2	0,861	0,704	0,607
AT1G05640_1	0,862	0,559	0,627
AT1G05650_1	1,113	1,255	1,527
AT1G05660_1	1,206	1,429	1,374
AT1G05670_1	0,975	1,319	1,324
AT1G05670_2	0,993	1,110	1,138
AT1G05680_1	0,737	63,021	100,124
AT1G05690_1	1,010	1,429	1,084
AT1G05700_1	0,866	1,029	1,120
AT1G05710_1	1,038	1,283	1,832
AT1G05710_2	0,860	3,008	11,426
AT1G05710_3	0,916	5,213	15,895
AT1G05710_4	0,992	0,981	1,456
AT1G05720_1	0,937	0,686	0,882
AT1G05730_1	1,135	1,255	1,630
AT1G05740_1	1,183	1,238	1,523
AT1G05750_1	0,922	0,551	0,495
AT1G05760_1	0,612	0,411	0,421
AT1G05770_1	0,545	0,337	0,359
AT1G05780_1	0,912	0,665	0,908
AT1G05785_1	0,861	1,373	1,710
AT1G05785_2	0,962	1,337	1,516
AT1G05790_1	1,079	0,823	1,693
AT1G05800_1	1,127	8,670	9,726
AT1G05805_1	0,814	0,474	0,732
AT1G05810_1	0,721	0,329	0,119
AT1G05820_1	0,680	0,838	1,019
AT1G05820_2	0,971	0,922	0,916
AT1G05830_1	0,905	0,743	0,676
AT1G05835_1	0,612	0,443	0,525
AT1G05840_1	0,904	1,057	1,303
AT1G05850_1	0,995	0,701	0,363
AT1G05860_1	0,940	0,832	0,793
AT1G05870_1	0,891	0,519	0,300
AT1G05870_2	0,891	0,557	0,356
AT1G05880_1	0,957	1,001	1,487
AT1G05890_1	1,129	1,290	1,620
AT1G05894_1	1,022	0,878	1,238
AT1G05900_1	0,999	0,853	1,422
AT1G05900_2	0,927	0,907	1,430
AT1G05910_1	1,082	1,177	1,091

AGI	NaCl-Kontrolle zur H₂O-Kontrolle (log₂)	H₂O +B.c. zur H₂O-Kontrolle (log₂)	NaCl +B.c. zur H₂O-Kontrolle (log₂)
AT1G05920_1	0,959	0,980	1,234
AT1G05925_1	1,091	0,996	1,176
AT1G05930_1	1,009	1,117	1,297
AT1G05940_1	1,119	0,925	1,120
AT1G05950_1	0,515	0,582	0,309
AT1G05960_1	0,913	1,042	0,768
AT1G05970_1	1,073	0,563	0,515
AT1G05970_2	1,060	0,594	0,557
AT1G05980_1	1,042	0,912	0,991
AT1G05990_1	1,011	1,318	1,201
AT1G06000_1	0,954	1,485	1,007
AT1G06010_1	0,887	0,795	0,596
AT1G06020_1	1,020	1,084	1,366
AT1G06030_1	1,195	1,263	1,857
AT1G06040_1	1,028	0,907	0,794
AT1G06040_2	0,827	0,432	0,336
AT1G06050_1	0,967	1,491	2,614
AT1G06060_1	0,935	0,832	0,864
AT1G06070_1	0,988	1,092	1,240
AT1G06080_1	0,269	0,409	0,076
AT1G06090_1	1,116	0,743	0,766
AT1G06100_1	1,146	0,799	0,713
AT1G06110_1	1,253	0,727	0,860
AT1G06120_1	1,110	0,957	1,139
AT1G06130_1	0,974	0,951	1,053
AT1G06130_2	1,008	0,987	1,035
AT1G06135_1	1,349	3,517	9,177
AT1G06137_1	1,235	1,827	3,124
AT1G06140_1	1,252	0,571	0,493
AT1G06145_1	1,044	0,657	0,511
AT1G06148_1	1,091	0,458	0,484
AT1G06148_2	1,051	1,427	2,261
AT1G06149_1	1,075	0,624	0,475
AT1G06150_1	1,016	0,578	0,450
AT1G06160_1	0,542	10,395	2,413
AT1G06170_1	0,922	0,864	1,009
AT1G06170_2	0,909	0,884	0,916
AT1G06180_1	1,323	6,015	13,682
AT1G06190_1	0,975	0,591	0,344
AT1G06190_2	0,991	0,470	0,243
AT1G06200_1	0,987	1,006	0,965
AT1G06210_1	1,163	1,290	1,692
AT1G06210_2	0,921	0,630	0,822
AT1G06220_1	1,081	1,029	0,758
AT1G06225_1	0,941	0,954	1,019
AT1G06230_1	1,032	1,079	1,119
AT1G06240_1	1,104	0,625	0,212
AT1G06250_1	1,035	0,700	0,690
AT1G06260_1	1,154	0,699	0,736
AT1G06265_1	0,963	0,272	0,260

AGI	NaCl-Kontrolle zur H₂O-Kontrolle (log₂)	H₂O +B.c. zur H₂O-Kontrolle (log₂)	NaCl +B.c. zur H₂O-Kontrolle (log₂)
AT1G06265_2	0,959	0,317	0,325
AT1G06270_1	1,256	1,240	1,306
AT1G06280_1	1,079	1,161	1,217
AT1G06290_1	0,995	1,204	1,741
AT1G06310_1	1,314	1,658	1,521
AT1G06320_1	1,290	1,622	2,277
AT1G06330_1	1,098	1,284	1,321
AT1G06340_1	1,087	1,003	1,011
AT1G06350_1	1,130	0,327	0,366
AT1G06360_1	0,688	0,122	0,125
AT1G06370_1	1,018	0,361	0,210
AT1G06380_1	1,049	1,674	0,995
AT1G06390_1	0,976	1,080	0,926
AT1G06390_2	1,062	0,972	0,852
AT1G06400_1	0,866	1,156	1,942
AT1G06410_1	0,920	0,831	0,831
AT1G06420_1	1,037	1,036	1,229
AT1G06430_1	1,203	1,281	1,611
AT1G06440_1	1,463	0,773	0,699
AT1G06450_1	0,975	1,135	1,113
AT1G06460_1	1,093	0,451	0,450
AT1G06470_1	1,105	0,525	0,778
AT1G06475_1	0,847	1,194	1,314
AT1G06480_1	1,185	1,545	1,959
AT1G06490_1	0,679	0,258	0,204
AT1G06500_1	0,906	0,402	0,379
AT1G06500_2	0,846	0,562	0,634
AT1G06500_3	0,916	0,763	0,816
AT1G06500_4	0,950	0,428	0,396
AT1G06510_1	0,979	0,570	0,732
AT1G06515_1	0,851	0,852	0,847
AT1G06520_1	0,628	6,626	24,170
AT1G06530_1	1,089	1,129	1,022
AT1G06540_1	1,298	1,594	2,121
AT1G06550_1	0,964	0,900	1,156
AT1G06560_1	0,987	0,741	0,286
AT1G06570_1	1,012	2,023	2,692
AT1G06570_2	0,965	1,994	2,729
AT1G06580_1	0,997	0,691	0,786
AT1G06590_1	1,006	0,794	0,601
AT1G06610_1	0,944	1,002	1,320
AT1G06620_1	0,799	11,696	13,140
AT1G06630_1	0,994	0,846	1,168
AT1G06630_2	0,673	0,562	0,794
AT1G06630_3	0,994	0,872	1,165
AT1G06640_1	0,866	0,703	0,619
AT1G06640_2	0,713	0,423	0,331
AT1G06640_3	0,890	0,695	0,621
AT1G06645_1	1,114	0,910	0,818
AT1G06650_1	0,919	0,914	1,110

AGI	NaCl-Kontrolle zur H₂O-Kontrolle (log₂)	H₂O +B.c. zur H₂O-Kontrolle (log₂)	NaCl +B.c. zur H₂O-Kontrolle (log₂)
AT1G06650_2	0,919	0,919	1,116
AT1G06660_1	0,959	0,572	0,940
AT1G06670_1	1,161	1,326	0,980
AT1G06680_1	1,015	0,667	0,309
AT1G06680_2	0,961	0,673	0,310
AT1G06690_1	0,943	0,514	0,363
AT1G06700_1	1,042	1,048	1,150
AT1G06710_1	1,123	0,611	0,414
AT1G06720_1	1,222	1,178	0,632
AT1G06730_1	1,042	1,019	0,937
AT1G06740_1	1,201	0,843	0,701
AT1G06750_1	1,202	1,102	1,180
AT1G06760_1	0,966	0,715	1,084
AT1G06770_1	1,065	1,302	1,308
AT1G06770_2	0,994	1,157	1,095
AT1G06780_1	1,023	1,475	2,003
AT1G06790_1	1,048	0,996	0,536
AT1G06790_2	1,015	1,016	1,190
AT1G06800_1	0,842	3,169	2,531
AT1G06800_2	0,872	3,476	3,018
AT1G06810_1	1,178	1,473	1,717
AT1G06820_1	0,969	0,650	0,556
AT1G06830_1	0,633	1,172	0,271
AT1G06840_1	0,725	1,856	1,720
AT1G06850_1	0,776	0,698	0,533
AT1G06850_2	0,872	0,709	0,593
AT1G06870_1	0,904	1,545	1,753
AT1G06890_1	1,038	0,891	1,175
AT1G06890_2	1,075	0,834	0,920
AT1G06900_1	1,047	0,780	0,732
AT1G06910_1	0,956	0,487	0,451
AT1G06920_1	1,025	1,247	1,498
AT1G06923_1	1,105	1,196	1,577
AT1G06925_1	1,034	1,036	1,230
AT1G06930_1	1,072	1,009	1,052
AT1G06950_1	1,002	0,695	0,429
AT1G06960_1	0,945	0,555	0,373
AT1G06960_2	0,939	0,549	0,388
AT1G06970_1	1,329	1,149	1,366
AT1G06980_1	1,170	0,408	0,193
AT1G06990_1	0,861	0,966	1,114
AT1G07000_1	0,687	1,998	2,275
AT1G07010_1	1,211	1,149	0,840
AT1G07010_2	1,232	1,214	0,860
AT1G07010_3	1,341	1,156	0,840
AT1G07020_1	0,866	0,772	0,946
AT1G07025_1	1,085	1,150	1,217
AT1G07030_1	1,055	1,900	2,171
AT1G07040_1	1,188	1,217	3,168
AT1G07050_1	1,588	0,023	0,021

AGI	NaCl-Kontrolle zur H₂O-Kontrolle (log₂)	H₂O +B.c. zur H₂O-Kontrolle (log₂)	NaCl +B.c. zur H₂O-Kontrolle (log₂)
AT1G07051_1	1,114	1,098	1,081
AT1G07060_1	0,910	0,955	1,024
AT1G07070_1	0,847	0,713	0,388
AT1G07080_1	1,100	0,953	1,040
AT1G07090_1	0,716	1,595	1,032
AT1G07110_1	1,015	0,763	0,589
AT1G07119_1	0,868	0,848	0,513
AT1G07120_1	0,906	0,891	0,794
AT1G07130_1	0,841	4,363	4,625
AT1G07135_1	0,865	2,707	2,537
AT1G07140_1	0,954	1,001	0,985
AT1G07150_1	1,298	1,650	2,107
AT1G07160_1	1,057	16,990	26,502
AT1G07170_1	0,967	1,193	1,399
AT1G07170_2	0,896	1,237	1,338
AT1G07175_1	1,126	1,323	1,553
AT1G07180_1	0,998	1,075	0,612
AT1G07190_1	1,097	1,123	1,212
AT1G07200_1	0,603	0,458	1,038
AT1G07200_2	0,603	0,459	1,032
AT1G07210_1	1,091	0,851	0,500
AT1G07220_1	0,931	1,193	1,636
AT1G07230_1	1,239	0,700	0,823
AT1G07240_1	0,851	1,146	0,824
AT1G07250_1	1,064	0,665	0,667
AT1G07260_1	0,974	16,317	1,412
AT1G07270_1	0,632	0,460	0,387
AT1G07280_1	1,026	0,634	0,606
AT1G07280_2	1,027	0,632	0,594
AT1G07290_1	0,803	0,504	0,407
AT1G07300_1	1,019	0,958	3,238
AT1G07310_1	0,964	0,876	0,961
AT1G07320_1	0,927	0,537	0,111
AT1G07320_3	0,890	0,521	0,101
AT1G07330_1	0,954	0,923	1,197
AT1G07340_1	1,100	1,168	1,382
AT1G07350_1	1,116	4,399	4,305
AT1G07350_2	0,952	4,454	5,955
AT1G07360_1	1,015	0,937	0,894
AT1G07370_1	0,615	0,297	0,171
AT1G07380_1	1,122	0,933	1,805
AT1G07390_1	1,432	1,736	2,176
AT1G07390_3	1,432	1,749	2,189
AT1G07400_1	1,200	43,606	61,834
AT1G07410_1	1,016	1,699	4,684
AT1G07420_1	1,032	0,564	0,617
AT1G07420_2	0,862	0,155	0,273
AT1G07430_1	2,214	0,841	2,838
AT1G07440_1	1,065	0,639	0,290
AT1G07440_2	1,311	0,570	0,326

AGI	NaCl-Kontrolle zur H₂O-Kontrolle (log₂)	H₂O +B.c. zur H₂O-Kontrolle (log₂)	NaCl +B.c. zur H₂O-Kontrolle (log₂)
AT1G07450_1	0,932	0,300	0,151
AT1G07460_1	1,149	1,082	1,243
AT1G07470_1	0,994	0,872	1,015
AT1G07473_1	1,231	1,384	1,789
AT1G07476_1	1,297	1,233	1,275
AT1G07480_1	1,045	0,908	0,963
AT1G07485_1	0,834	0,807	0,713
AT1G07490_1	0,611	0,411	0,346
AT1G07500_1	1,139	11,886	10,115
AT1G07510_1	1,027	1,645	1,511
AT1G07520_1	0,888	1,686	1,472
AT1G07530_1	1,087	1,496	1,652
AT1G07540_1	1,024	0,896	0,968
AT1G07550_1	1,162	1,027	1,038
AT1G07560_1	0,991	0,967	1,069
AT1G07570_1	0,641	0,761	0,586
AT1G07570_2	0,741	0,863	0,729
AT1G07590_1	1,107	1,290	4,670
AT1G07600_1	1,100	1,077	2,511
AT1G07610_1	0,768	0,463	2,757
AT1G07615_1	1,308	0,872	0,295
AT1G07620_1	0,684	10,146	11,171
AT1G07630_1	1,031	1,880	2,459
AT1G07640_1	0,797	1,072	1,708
AT1G07640_2	0,790	1,073	1,657
AT1G07640_3	0,777	1,582	4,080
AT1G07645_1	1,367	1,440	1,907
AT1G07650_1	0,782	0,658	0,474
AT1G07660_1	1,015	0,801	0,745
AT1G07660_2	0,973	0,819	0,796
AT1G07670_1	1,057	1,549	1,957
AT1G07680_1	1,223	1,413	1,596
AT1G07690_1	1,049	1,295	1,668
AT1G07700_1	0,888	0,969	1,246
AT1G07700_2	0,945	0,935	1,153
AT1G07700_3	0,765	0,510	0,537
AT1G07705_1	0,978	0,765	0,866
AT1G07705_2	1,057	0,726	0,842
AT1G07710_1	0,896	0,696	0,858
AT1G07720_1	0,963	0,894	0,969
AT1G07725_1	1,079	1,090	1,162
AT1G07728_1	1,028	0,934	1,230
AT1G07730_2	1,365	0,618	0,594
AT1G07740_1	1,314	0,560	0,488
AT1G07745_1	1,028	0,965	1,702
AT1G07745_2	1,046	0,949	1,693
AT1G07747_1	1,158	1,158	1,367
AT1G07750_1	1,109	1,410	1,572
AT1G07760_1	1,238	1,314	1,548
AT1G07770_1	0,929	0,781	0,530

AGI	NaCl-Kontrolle zur H₂O-Kontrolle (log₂)	H₂O +B.c. zur H₂O-Kontrolle (log₂)	NaCl +B.c. zur H₂O-Kontrolle (log₂)
AT1G07770_2	0,932	0,753	0,491
AT1G07780_1	1,027	1,243	1,016
AT1G07780_2	1,006	1,220	1,030
AT1G07780_3	0,986	1,267	1,055
AT1G07780_4	0,972	1,214	0,951
AT1G07790_1	0,883	0,963	0,874
AT1G07795_1	1,119	3,188	2,289
AT1G07800_1	1,231	1,200	1,375
AT1G07810_1	1,023	1,533	2,063
AT1G07820_1	0,697	0,299	0,228
AT1G07820_2	0,954	0,658	0,619
AT1G07830_1	1,221	1,035	0,564
AT1G07840_1	1,076	1,448	1,029
AT1G07840_2	0,940	0,940	0,912
AT1G07840_3	0,970	0,796	0,628
AT1G07850_1	1,186	1,027	1,148
AT1G07860_1	1,162	1,369	1,850
AT1G07870_1	1,126	2,233	3,893
AT1G07880_1	0,790	0,587	0,684
AT1G07880_2	0,872	0,511	0,535
AT1G07885_1	0,929	0,929	0,941
AT1G07890_1	0,912	1,443	1,592
AT1G07890_2	0,818	1,577	1,748
AT1G07890_3	0,913	1,506	1,627
AT1G07890_4	0,848	1,616	1,748
AT1G07890_6	0,899	3,217	3,597
AT1G07890_8	0,957	1,781	2,694
AT1G07900_1	1,168	3,337	7,573
AT1G07901_1	1,096	1,479	1,007
AT1G07910_1	1,054	0,699	0,565
AT1G07920_1	0,950	1,071	0,935
AT1G07930_1	1,032	1,115	1,062
AT1G07930_2	1,011	1,089	0,989
AT1G07940_1	0,994	1,040	0,948
AT1G07950_1	0,909	0,977	0,842
AT1G07960_1	0,929	1,430	2,135
AT1G07960_2	0,942	0,885	1,418
AT1G07960_3	0,914	1,461	2,297
AT1G07970_1	1,191	0,844	0,553
AT1G07980_1	1,052	1,300	1,480
AT1G07985_1	1,164	0,804	0,943
AT1G07990_1	1,049	1,182	1,287
AT1G08000_1	1,012	0,997	0,755
AT1G08000_2	1,352	1,136	1,169
AT1G08005_1	1,340	1,412	1,350
AT1G08010_1	0,832	0,915	0,630
AT1G08010_2	0,949	0,943	0,646
AT1G08030_1	1,052	0,960	1,261
AT1G08035_1	1,004	0,964	1,094
AT1G08040_1	1,217	0,404	0,614

AGI	NaCl-Kontrolle zur H₂O-Kontrolle (log₂)	H₂O +B.c. zur H₂O-Kontrolle (log₂)	NaCl +B.c. zur H₂O-Kontrolle (log₂)
AT1G08050_1	0,675	2,169	3,732
AT1G08060_1	1,157	0,874	0,908
AT1G08065_1	1,087	1,130	1,287
AT1G08070_1	1,240	0,513	0,395
AT1G08080_1	1,651	1,571	1,762
AT1G08090_1	0,944	1,296	0,983
AT1G08100_1	1,015	0,915	0,664
AT1G08105_1	1,074	2,194	2,228
AT1G08110_1	1,124	1,038	0,664
AT1G08110_2	1,008	0,684	0,519
AT1G08110_3	1,121	1,019	0,683
AT1G08110_4	1,115	1,060	0,645
AT1G08115_1	1,182	0,388	0,376
AT1G08120_1	1,113	1,439	1,105
AT1G08125_1	0,949	0,756	0,652
AT1G08130_1	1,057	0,598	0,499
AT1G08135_1	1,072	1,029	1,126
AT1G08140_1	0,914	0,943	1,049
AT1G08150_1	0,981	1,058	1,303
AT1G08160_1	0,614	0,269	0,279
AT1G08165_1	1,110	0,940	1,059
AT1G08170_1	1,262	1,146	1,361
AT1G08180_1	1,087	0,848	0,811
AT1G08190_1	1,042	0,958	0,939
AT1G08200_1	1,044	1,136	0,924
AT1G08210_1	1,021	0,928	0,938
AT1G08220_1	0,944	1,222	0,855
AT1G08220_2	0,998	1,386	0,994
AT1G08230_2	0,958	3,451	5,940
AT1G08250_1	1,132	3,666	3,822
AT1G08260_1	0,947	0,950	1,085
AT1G08260_2	0,775	0,292	0,251
AT1G08270_1	1,124	1,014	1,178
AT1G08270_2	0,818	0,490	0,534
AT1G08280_1	0,852	1,155	0,851
AT1G08290_1	0,862	3,393	9,393
AT1G08300_1	0,966	1,355	0,900
AT1G08310_1	0,998	1,417	18,660
AT1G08315_1	0,901	2,084	2,795
AT1G08320_1	1,046	3,225	5,485
AT1G08320_2	1,197	1,337	1,668
AT1G08340_1	0,876	0,527	0,519
AT1G08350_1	0,911	0,654	0,558
AT1G08360_1	1,001	0,912	0,692
AT1G08370_1	0,909	1,307	1,414
AT1G08380_1	0,955	0,619	0,312
AT1G08390_1	1,016	0,242	0,170
AT1G08400_1	1,099	1,064	1,122
AT1G08410_1	1,087	1,335	0,789
AT1G08420_1	0,930	1,160	1,071

AGI	NaCl-Kontrolle zur H₂O-Kontrolle (log₂)	H₂O +B.c. zur H₂O-Kontrolle (log₂)	NaCl +B.c. zur H₂O-Kontrolle (log₂)
AT1G08430_1	1,050	1,220	1,321
AT1G08440_1	1,086	0,985	1,125
AT1G08450_1	0,796	0,958	1,184
AT1G08450_2	0,815	0,981	1,182
AT1G08460_1	1,233	1,373	1,718
AT1G08465_1	1,166	0,334	0,694
AT1G08470_1	0,989	0,428	0,347
AT1G08480_1	1,017	0,857	1,660
AT1G08490_1	0,972	0,963	1,099
AT1G08500_1	1,043	0,224	0,246
AT1G08510_1	0,915	1,009	0,969
AT1G08520_1	0,903	0,486	0,419
AT1G08530_1	0,916	0,380	0,538
AT1G08540_1	0,955	0,471	0,352
AT1G08550_1	1,005	0,199	0,138
AT1G08560_1	0,744	0,303	0,146
AT1G08570_1	1,069	0,772	0,936
AT1G08570_2	1,059	0,780	0,936
AT1G08570_4	1,024	0,724	0,908
AT1G08580_1	0,922	1,230	1,062
AT1G08590_1	1,234	0,531	0,581
AT1G08600_1	1,051	0,955	1,134
AT1G08610_1	1,165	0,904	0,282
AT1G08620_1	1,030	1,484	2,085
AT1G08630_1	1,166	1,211	1,217
AT1G08630_2	1,674	37,312	19,302
AT1G08630_3	1,168	1,494	1,684
AT1G08640_1	0,969	0,727	0,625
AT1G08650_1	1,180	0,904	0,937
AT1G08660_1	0,938	0,495	0,247
AT1G08660_2	0,918	0,492	0,254
AT1G08670_1	1,135	1,162	1,360
AT1G08680_1	0,986	0,873	0,957
AT1G08695_1	1,051	1,099	1,193
AT1G08700_1	0,899	0,894	1,059
AT1G08710_1	0,816	0,972	1,656
AT1G08710_2	0,827	0,529	0,744
AT1G08720_1	1,017	0,693	0,970
AT1G08730_1	1,154	0,905	1,044
AT1G08735_1	1,169	1,242	1,452
AT1G08740_1	1,367	1,392	1,693
AT1G08750_1	0,966	0,918	0,930
AT1G08750_2	0,915	0,609	0,887
AT1G08760_1	0,991	1,090	1,398
AT1G08770_1	1,177	1,468	1,874
AT1G08780_1	0,886	0,707	0,801
AT1G08790_1	1,143	1,087	1,524
AT1G08800_1	0,815	2,509	3,589
AT1G08810_1	0,818	0,656	0,530
AT1G08810_2	0,543	0,282	0,266

AGI	NaCl-Kontrolle zur H₂O-Kontrolle (log₂)	H₂O +B.c. zur H₂O-Kontrolle (log₂)	NaCl +B.c. zur H₂O-Kontrolle (log₂)
AT1G08820_1	1,103	1,085	1,344
AT1G08830_1	0,491	1,166	1,594
AT1G08830_2	0,491	1,093	1,504
AT1G08840_1	1,136	0,327	0,208
AT1G08845_1	0,939	1,246	0,753
AT1G08860_1	1,133	15,186	25,205
AT1G08870_1	1,009	1,077	1,449
AT1G08880_1	0,986	0,680	0,714
AT1G08890_1	1,153	0,427	0,500
AT1G08900_1	0,976	0,586	0,782
AT1G08900_3	0,947	0,619	0,830
AT1G08910_1	1,062	0,623	0,412
AT1G08920_1	1,048	2,016	3,033
AT1G08920_2	1,007	2,281	3,283
AT1G08920_3	1,163	0,974	1,363
AT1G08930_1	0,764	1,379	1,146
AT1G08940_1	0,801	10,821	14,291
AT1G08960_1	1,035	0,748	0,595
AT1G08970_1	0,986	0,773	0,826
AT1G08970_2	0,993	0,792	0,872
AT1G08970_4	0,983	0,794	0,842
AT1G08980_1	0,999	0,450	0,285
AT1G08985_1	0,934	0,981	1,046
AT1G08990_1	1,196	1,163	1,253
AT1G09000_1	1,089	0,598	0,433
AT1G09010_1	1,035	0,473	0,692
AT1G09020_1	0,990	0,865	0,891
AT1G09026_1	1,036	1,077	1,174
AT1G09030_1	1,081	1,137	1,229
AT1G09040_1	1,092	0,708	0,922
AT1G09050_1	1,158	0,736	0,972
AT1G09060_1	0,952	0,882	0,889
AT1G09070_1	0,966	1,895	2,474
AT1G09080_1	1,154	8,895	14,653
AT1G09090_1	1,219	1,467	1,450
AT1G09090_2	1,345	2,834	3,008
AT1G09100_1	1,166	1,077	1,354
AT1G09130_1	0,963	0,898	1,149
AT1G09130_2	0,832	0,646	1,274
AT1G09140_1	1,240	2,309	3,068
AT1G09140_2	0,894	0,777	0,950
AT1G09150_1	1,057	0,756	0,718
AT1G09155_1	1,044	1,061	1,195
AT1G09157_1	1,066	1,036	1,070
AT1G09160_1	0,866	0,770	0,376
AT1G09160_2	0,877	0,772	0,379
AT1G09170_1	0,996	0,760	0,850
AT1G09176_1	1,016	2,470	7,982
AT1G09180_1	1,130	1,549	1,664
AT1G09190_1	1,117	0,866	0,643

AGI	NaCl-Kontrolle zur H₂O-Kontrolle (log₂)	H₂O +B.c. zur H₂O-Kontrolle (log₂)	NaCl +B.c. zur H₂O-Kontrolle (log₂)
AT1G09195_1	0,826	0,556	0,672
AT1G09200_1	0,788	0,461	0,460
AT1G09210_1	0,950	1,167	1,214
AT1G09220_1	1,210	0,723	0,498
AT1G09230_1	0,872	1,282	2,674
AT1G09240_1	0,546	3,180	15,743
AT1G09245_1	1,117	1,222	1,283
AT1G09250_1	0,563	0,769	1,373
AT1G09260_1	1,096	1,090	1,156
AT1G09270_1	0,962	1,321	1,377
AT1G09270_2	0,922	1,273	1,340
AT1G09280_1	1,076	0,829	0,847
AT1G09290_1	1,033	0,929	0,664
AT1G09300_1	1,209	1,196	1,243
AT1G09300_2	1,138	1,038	1,212
AT1G09310_1	1,039	0,486	0,092
AT1G09320_1	1,019	0,848	0,773
AT1G09330_1	0,947	1,209	1,315
AT1G09340_1	0,974	0,537	0,192
AT1G09350_1	0,772	0,029	0,026
AT1G09360_1	0,968	1,032	1,100
AT1G09370_1	1,065	1,193	1,234
AT1G09380_1	1,249	1,682	7,558
AT1G09390_1	0,833	0,163	0,094
AT1G09400_1	0,977	0,954	2,309
AT1G09410_1	1,107	0,702	0,673
AT1G09415_1	1,013	0,448	0,506
AT1G09420_1	0,918	3,916	9,267
AT1G09421_1	0,850	0,789	0,669
AT1G09430_1	0,929	1,287	1,621
AT1G09440_1	0,988	0,329	0,098
AT1G09450_1	1,024	0,761	0,729
AT1G09460_1	0,664	0,517	0,759
AT1G09470_1	0,886	0,500	0,480
AT1G09480_1	1,087	6,005	9,382
AT1G09483_1	1,048	0,886	0,986
AT1G09486_1	0,973	1,002	0,990
AT1G09490_1	0,842	0,766	1,636
AT1G09490_2	1,002	0,568	1,853
AT1G09500_1	1,866	18,878	55,812
AT1G09500_2	1,015	2,373	63,767
AT1G09500_3	1,676	17,252	62,837
AT1G09510_1	1,464	3,764	14,913
AT1G09520_1	1,095	1,124	1,167
AT1G09530_1	1,199	0,856	2,098
AT1G09540_1	0,818	0,879	0,894
AT1G09550_1	1,106	1,292	1,477
AT1G09560_1	0,748	1,824	2,582
AT1G09570_1	1,010	0,826	0,662
AT1G09575_1	0,772	1,921	1,854

AGI	NaCl-Kontrolle zur H₂O-Kontrolle (log₂)	H₂O +B.c. zur H₂O-Kontrolle (log₂)	NaCl +B.c. zur H₂O-Kontrolle (log₂)
AT1G09580_1	0,911	0,599	0,666
AT1G09590_1	1,023	1,011	0,807
AT1G09600_1	0,986	0,911	0,914
AT1G09610_1	0,806	0,493	0,499
AT1G09620_1	1,016	1,037	0,724
AT1G09625_1	1,026	1,260	1,680
AT1G09630_1	0,846	0,591	0,554
AT1G09640_1	1,015	1,175	0,992
AT1G09645_1	0,920	1,322	1,721
AT1G09650_1	1,106	0,801	1,031
AT1G09660_1	0,913	1,120	0,497
AT1G09660_2	0,870	1,049	0,492
AT1G09665_1	0,901	0,977	1,063
AT1G09680_1	1,202	0,413	0,352
AT1G09690_1	0,968	0,884	0,663
AT1G09700_1	1,132	0,974	0,614
AT1G09710_1	1,036	1,203	1,238
AT1G09720_1	1,150	1,207	1,511
AT1G09730_1	0,938	0,947	1,176
AT1G09740_1	0,919	2,601	4,526
AT1G09750_1	0,838	0,176	0,023
AT1G09760_1	1,127	0,760	0,636
AT1G09770_1	1,033	0,941	0,881
AT1G09780_1	0,956	0,849	0,850
AT1G09790_1	1,286	1,431	1,810
AT1G09795_1	1,107	0,514	0,476
AT1G09800_1	1,235	0,758	0,224
AT1G09810_1	0,919	1,468	1,061
AT1G09812_1	1,038	0,985	1,039
AT1G09815_1	0,937	1,537	1,702
AT1G09820_1	1,118	0,566	0,290
AT1G09830_1	0,995	0,882	0,550
AT1G09840_1	1,056	0,904	0,693
AT1G09850_1	1,072	0,951	1,152
AT1G09860_1	1,103	1,334	1,572
AT1G09870_1	0,987	0,953	1,555
AT1G09880_1	0,708	0,523	0,637
AT1G09890_1	0,711	0,237	0,217
AT1G09900_1	1,105	0,793	0,269
AT1G09910_1	1,172	0,843	1,442
AT1G09920_1	0,945	1,215	2,080
AT1G09930_1	1,043	1,538	2,171
AT1G09932_1	0,455	7,612	10,386
AT1G09932_2	0,931	1,841	3,708
AT1G09935_1	1,009	9,303	21,035
AT1G09940_1	0,926	2,926	3,002
AT1G09950_1	1,048	1,448	0,794
AT1G09960_1	1,085	0,833	1,179
AT1G09970_1	0,624	2,513	2,298
AT1G09970_2	0,618	2,421	2,217

AGI	NaCl-Kontrolle zur H₂O-Kontrolle (log₂)	H₂O +B.c. zur H₂O-Kontrolle (log₂)	NaCl +B.c. zur H₂O-Kontrolle (log₂)
AT1G09980_1	1,071	0,847	0,855
AT1G09995_1	0,824	1,179	1,298
AT1G10000_1	0,986	0,410	0,339
AT1G10010_1	1,360	1,561	1,535
AT1G10020_1	0,727	1,034	0,307
AT1G10030_1	0,739	0,350	0,227
AT1G10040_1	0,813	20,117	29,148
AT1G10050_1	0,841	1,968	1,883
AT1G10060_1	0,770	0,187	0,166
AT1G10060_2	0,764	0,183	0,165
AT1G10060_3	0,863	0,688	0,711
AT1G10070_1	0,841	53,392	47,790
AT1G10070_3	0,932	6,509	6,255
AT1G10090_1	0,913	0,604	0,675
AT1G10095_1	1,013	0,509	0,535
AT1G10100_1	1,177	1,060	0,809
AT1G10110_1	1,029	1,004	1,718
AT1G10120_1	0,834	0,850	0,547
AT1G10130_1	0,975	0,800	0,746
AT1G10140_1	0,790	14,161	15,115
AT1G10150_1	0,958	1,157	1,196
AT1G10155_1	1,143	2,914	2,376
AT1G10160_1	1,117	0,979	0,835
AT1G10170_1	1,060	1,994	2,401
AT1G10180_1	1,022	0,562	0,354
AT1G10190_1	1,109	1,035	1,096
AT1G10200_1	0,967	0,307	0,286
AT1G10210_1	1,047	0,416	0,526
AT1G10220_1	1,063	3,987	16,497
AT1G10220_2	0,953	1,044	1,100
AT1G10230_1	0,993	1,461	1,142
AT1G10240_1	1,031	1,150	1,318
AT1G10250_1	1,056	0,977	0,990
AT1G10260_1	1,284	1,086	1,565
AT1G10270_1	1,230	1,736	0,988
AT1G10280_1	1,116	1,062	1,276
AT1G10290_1	1,105	1,290	1,271
AT1G10300_1	0,944	1,181	1,135
AT1G10310_1	0,988	0,802	1,140
AT1G10320_1	1,093	0,503	0,779
AT1G10330_1	0,876	0,889	0,594
AT1G10340_1	0,495	1,009	1,361
AT1G10340_2	0,532	1,019	1,399
AT1G10350_1	1,014	0,374	0,465
AT1G10360_1	0,896	0,742	0,281
AT1G10370_1	1,062	1,349	0,889
AT1G10380_1	0,792	0,673	0,238
AT1G10385_1	1,052	1,093	1,105
AT1G10390_1	1,005	1,107	1,143
AT1G10400_1	1,228	1,393	2,035

AGI	NaCl-Kontrolle zur H₂O-Kontrolle (log₂)	H₂O +B.c. zur H₂O-Kontrolle (log₂)	NaCl +B.c. zur H₂O-Kontrolle (log₂)
AT1G10410_1	0,912	2,779	3,764
AT1G10417_1	0,787	0,677	0,625
AT1G10419_1	1,008	1,584	1,619
AT1G10430_1	0,930	1,229	1,237
AT1G10450_1	1,048	0,973	1,148
AT1G10455_1	1,026	0,963	0,979
AT1G10460_1	0,945	0,319	0,285
AT1G10470_1	1,003	0,383	0,188
AT1G10480_1	1,110	1,264	1,371
AT1G10490_1	1,059	1,046	0,648
AT1G10500_1	1,040	1,052	1,877
AT1G10510_1	0,931	0,722	0,619
AT1G10520_1	1,141	0,673	0,633
AT1G10522_1	1,203	1,498	1,897
AT1G10522_2	1,182	0,463	0,286
AT1G10530_1	1,171	1,341	1,901
AT1G10538_1	1,026	1,010	1,046
AT1G10540_1	1,181	1,129	9,868
AT1G10550_1	0,612	0,943	0,362
AT1G10560_1	1,048	0,599	0,715
AT1G10570_1	1,008	0,474	0,805
AT1G10580_1	1,075	1,378	1,398
AT1G10585_1	0,814	16,983	52,452
AT1G10586_1	0,924	14,675	45,274
AT1G10586_2	0,935	15,615	52,801
AT1G10588_1	0,994	0,973	0,969
AT1G10588_2	0,968	0,953	1,070
AT1G10590_1	0,905	1,099	1,012
AT1G10590_2	0,914	1,090	0,978
AT1G10590_3	0,953	0,915	0,863
AT1G10600_1	1,045	0,611	1,134
AT1G10600_2	1,065	0,665	0,926
AT1G10600_3	1,037	0,701	1,176
AT1G10610_1	1,160	0,481	0,549
AT1G10620_1	1,048	1,068	1,085
AT1G10630_1	0,919	1,032	1,019
AT1G10640_1	0,577	0,094	0,102
AT1G10650_1	0,926	2,000	2,514
AT1G10650_2	0,970	2,034	2,708
AT1G10657_1	0,684	0,080	0,056
AT1G10657_2	0,689	0,050	0,016
AT1G10657_3	0,567	0,076	0,067
AT1G10660_1	1,143	1,615	1,809
AT1G10660_4	1,091	1,205	1,130
AT1G10670_1	0,946	0,740	0,715
AT1G10670_2	0,949	0,775	0,718
AT1G10680_1	0,970	0,715	0,425
AT1G10682_1	0,520	0,121	0,103
AT1G10690_1	0,943	0,555	0,762
AT1G10700_1	0,901	2,399	2,550

AGI	NaCl-Kontrolle zur H₂O-Kontrolle (log₂)	H₂O +B.c. zur H₂O-Kontrolle (log₂)	NaCl +B.c. zur H₂O-Kontrolle (log₂)
AT1G10705_1	1,107	1,253	1,431
AT1G10710_1	1,090	1,203	1,509
AT1G10710_2	0,976	0,823	0,822
AT1G10717_1	1,131	1,285	1,616
AT1G10720_1	0,867	1,013	1,227
AT1G10730_1	1,133	1,416	1,651
AT1G10740_1	0,933	1,057	1,314
AT1G10740_2	0,942	0,696	1,388
AT1G10745_1	1,063	1,227	1,400
AT1G10747_1	1,053	1,302	1,716
AT1G10750_1	0,886	0,207	0,091
AT1G10760_1	1,087	0,467	0,298
AT1G10770_1	0,917	0,500	0,517
AT1G10780_1	0,857	0,368	0,297
AT1G10790_1	0,878	0,504	0,518
AT1G10800_1	0,890	0,819	0,888
AT1G10810_1	1,187	1,299	1,448
AT1G10820_1	0,978	0,512	0,436
AT1G10820_2	0,998	0,512	0,429
AT1G10830_1	0,918	0,418	0,622
AT1G10830_2	0,846	0,654	0,742
AT1G10840_1	1,104	1,182	1,122
AT1G10840_2	0,999	1,105	1,219
AT1G10850_1	0,809	0,452	0,152
AT1G10865_1	1,004	1,843	1,814
AT1G10870_1	0,989	0,703	0,600
AT1G10880_1	1,218	1,324	1,388
AT1G10890_1	0,869	1,295	1,441
AT1G10900_1	1,064	0,788	0,729
AT1G10910_1	0,957	0,459	0,189
AT1G10920_1	0,961	0,692	1,047
AT1G10930_1	1,085	0,182	0,134
AT1G10940_1	1,028	1,132	1,191
AT1G10950_1	0,983	0,890	0,800
AT1G10960_1	0,911	1,322	0,780
AT1G10970_1	1,062	0,609	0,452
AT1G10980_1	1,131	1,304	1,486
AT1G10990_1	0,537	4,100	2,356
AT1G10990_2	0,575	3,898	2,249
AT1G11000_1	0,611	0,629	0,239
AT1G11020_1	0,943	1,084	1,176
AT1G11030_1	0,985	0,990	1,117
AT1G11040_1	1,252	2,367	2,356
AT1G11050_1	0,998	3,611	3,055
AT1G11055_1	0,740	5,142	4,387
AT1G11060_1	1,052	1,275	1,317
AT1G11070_1	0,830	0,411	0,376
AT1G11080_1	1,056	1,175	2,445
AT1G11090_1	1,004	0,703	0,695
AT1G11100_1	0,997	12,079	11,254

AGI	NaCl-Kontrolle zur H₂O-Kontrolle (log₂)	H₂O +B.c. zur H₂O-Kontrolle (log₂)	NaCl +B.c. zur H₂O-Kontrolle (log₂)
AT1G11110_1	0,991	1,046	1,146
AT1G11112_1	1,036	1,061	1,117
AT1G11120_1	1,029	0,983	0,955
AT1G11120_2	0,967	0,427	0,412
AT1G11130_1	1,230	0,285	0,065
AT1G11145_1	1,075	1,047	1,311
AT1G11150_1	1,058	1,046	1,263
AT1G11160_1	1,088	0,620	0,633
AT1G11170_1	1,233	0,668	1,995
AT1G11170_2	1,415	0,634	2,946
AT1G11175_1	1,132	0,499	0,651
AT1G11180_1	0,933	0,785	0,625
AT1G11185_1	1,067	4,724	1,383
AT1G11190_1	0,896	0,878	5,894
AT1G11200_1	0,881	1,531	1,540
AT1G11210_1	1,528	0,075	0,334
AT1G11220_1	1,120	0,498	0,374
AT1G11230_1	0,959	1,083	1,032
AT1G11240_1	1,054	0,706	0,703
AT1G11250_1	1,276	1,555	2,245
AT1G11260_1	0,852	0,563	0,556
AT1G11265_1	1,212	1,513	2,234
AT1G11270_1	1,162	0,938	1,362
AT1G11270_2	1,168	0,914	1,272
AT1G11270_3	1,207	0,944	1,331
AT1G11280_1	0,942	0,700	0,249
AT1G11280_3	0,937	0,724	0,260
AT1G11290_1	1,182	0,450	0,150
AT1G11300_1	0,905	0,405	0,431
AT1G11310_1	0,936	1,018	1,609
AT1G11310_2	0,889	0,805	2,529
AT1G11320_1	0,897	0,785	1,045
AT1G11330_1	0,741	0,439	0,890
AT1G11340_1	0,896	0,723	0,284
AT1G11350_1	0,983	0,724	0,160
AT1G11360_1	0,907	0,609	0,666
AT1G11360_2	0,917	0,591	0,673
AT1G11360_3	0,818	0,226	0,433
AT1G11362_1	1,091	1,019	1,235
AT1G11370_1	1,391	1,433	1,715
AT1G11380_1	0,739	0,508	0,348
AT1G11390_1	0,987	1,349	1,546
AT1G11400_1	0,783	1,184	1,302
AT1G11400_2	0,838	1,310	1,415
AT1G11400_3	0,997	1,130	1,526
AT1G11410_1	1,264	0,933	0,450
AT1G11420_1	1,059	0,492	0,254
AT1G11430_1	1,018	0,631	0,513
AT1G11440_1	0,875	0,707	0,553
AT1G11450_1	0,724	0,889	1,009

AGI	NaCl-Kontrolle zur H₂O-Kontrolle (log₂)	H₂O +B.c. zur H₂O-Kontrolle (log₂)	NaCl +B.c. zur H₂O-Kontrolle (log₂)
AT1G11450_2	0,667	0,612	1,239
AT1G11460_1	0,760	0,750	0,892
AT1G11470_1	1,130	1,228	1,509
AT1G11475_1	0,994	1,082	1,020
AT1G11480_1	1,036	1,076	1,249
AT1G11482_1	1,086	1,215	1,447
AT1G11490_1	0,837	0,833	0,886
AT1G11500_1	0,813	0,789	0,848
AT1G11510_1	0,844	0,984	1,094
AT1G11520_1	1,269	1,287	1,138
AT1G11530_1	0,833	0,263	0,121
AT1G11540_1	0,948	1,826	1,789
AT1G11545_1	0,617	0,221	0,070
AT1G11560_1	1,342	1,358	1,426
AT1G11570_1	0,821	0,815	1,131
AT1G11570_2	0,798	0,782	1,288
AT1G11572_1	1,104	1,754	2,690
AT1G11580_1	0,901	1,595	1,805
AT1G11590_1	1,316	0,819	0,765
AT1G11592_1	1,230	1,050	0,947
AT1G11592_2	1,155	0,887	0,768
AT1G11593_1	1,017	1,077	1,025
AT1G11595_1	1,125	1,100	0,996
AT1G11600_1	1,238	1,467	1,463
AT1G11608_1	1,112	1,095	1,181
AT1G11610_1	0,930	43,565	37,825
AT1G11620_1	1,212	1,327	1,458
AT1G11630_1	1,066	1,213	0,834
AT1G11640_1	1,063	1,236	1,578
AT1G11650_1	1,026	1,062	1,013
AT1G11655_1	1,028	1,665	1,168
AT1G11660_1	0,914	0,906	0,920
AT1G11660_2	1,019	0,908	1,160
AT1G11670_1	0,350	1,956	1,007
AT1G11680_1	0,933	0,833	0,788
AT1G11684_1	1,128	1,215	1,325
AT1G11690_1	1,285	1,563	1,819
AT1G11700_1	0,902	1,438	3,012
AT1G11710_1	0,984	1,580	1,195
AT1G11720_1	1,071	0,580	0,257
AT1G11730_1	0,867	0,321	0,291
AT1G11735_1	0,972	0,935	0,950
AT1G11740_1	1,041	1,031	1,178
AT1G11750_1	0,939	0,652	0,549
AT1G11755_1	1,196	0,721	0,718
AT1G11760_1	0,957	1,164	1,153
AT1G11765_1	1,055	0,999	1,076
AT1G11770_1	1,116	1,626	1,575
AT1G11780_1	0,950	1,378	1,221
AT1G11785_1	1,064	1,104	1,960

AGI	NaCl-Kontrolle zur H₂O-Kontrolle (log₂)	H₂O +B.c. zur H₂O-Kontrolle (log₂)	NaCl +B.c. zur H₂O-Kontrolle (log₂)
AT1G11790_1	0,890	0,665	0,619
AT1G11790_2	0,889	0,662	0,614
AT1G11800_1	0,894	1,357	1,237
AT1G11803_1	0,974	0,919	0,561
AT1G11806_1	0,933	0,952	1,003
AT1G11810_1	1,005	1,027	1,240
AT1G11820_1	0,942	0,757	0,198
AT1G11840_1	1,106	0,633	0,575
AT1G11840_2	1,010	0,683	0,656
AT1G11840_3	1,136	0,635	0,591
AT1G11840_5	0,967	0,663	0,636
AT1G11850_1	0,294	0,084	0,067
AT1G11850_3	0,325	0,100	0,093
AT1G11860_1	0,963	0,539	0,181
AT1G11860_2	0,914	0,543	0,181
AT1G11870_1	0,901	0,565	0,322
AT1G11870_3	0,886	0,578	0,310
AT1G11880_1	1,006	0,491	0,542
AT1G11890_1	0,905	1,230	1,294
AT1G11900_1	0,919	0,636	0,999
AT1G11905_1	0,787	1,518	1,919
AT1G11905_2	1,050	1,367	1,302
AT1G11910_1	1,057	1,033	1,375
AT1G11915_1	0,907	0,731	0,913
AT1G11920_1	1,150	1,242	1,307
AT1G11925_1	1,139	23,961	43,333
AT1G11930_1	0,916	0,915	0,949
AT1G11930_2	0,934	0,914	0,952
AT1G11940_1	1,023	1,309	2,252
AT1G11950_1	0,814	0,682	0,372
AT1G11960_1	0,785	1,038	1,154
AT1G11970_1	1,041	1,154	1,208
AT1G11980_1	1,104	1,155	1,340
AT1G11990_1	1,168	0,724	0,810
AT1G12000_1	0,951	0,655	0,585
AT1G12010_1	0,729	1,732	1,010
AT1G12013_1	1,113	1,229	1,471
AT1G12015_1	0,866	0,797	0,911
AT1G12020_1	0,739	1,188	0,134
AT1G12030_1	1,065	1,297	1,121
AT1G12040_1	1,200	1,404	1,634
AT1G12050_1	1,131	0,927	1,218
AT1G12060_1	0,888	0,900	0,560
AT1G12064_1	1,022	1,221	1,406
AT1G12070_1	1,368	1,291	1,143
AT1G12080_1	0,753	0,504	0,353
AT1G12090_1	0,962	0,311	0,013
AT1G12100_1	0,762	0,273	0,271
AT1G12110_1	0,808	1,468	1,700
AT1G12120_1	1,029	0,510	0,461

AGI	NaCl-Kontrolle zur H₂O-Kontrolle (log₂)	H₂O +B.c. zur H₂O-Kontrolle (log₂)	NaCl +B.c. zur H₂O-Kontrolle (log₂)
AT1G12130_1	1,087	1,157	1,389
AT1G12140_1	0,996	0,966	1,150
AT1G12140_2	1,002	0,990	1,197
AT1G12150_1	0,974	0,821	0,880
AT1G12160_1	0,891	0,711	0,643
AT1G12170_1	0,969	1,066	1,162
AT1G12180_1	0,967	1,294	1,900
AT1G12190_1	0,934	1,004	1,109
AT1G12200_1	1,095	5,029	4,887
AT1G12210_1	1,298	1,599	4,125
AT1G12211_1	1,007	1,017	1,083
AT1G12220_1	1,040	0,578	0,409
AT1G12230_1	0,952	0,781	0,545
AT1G12240_1	0,862	1,967	1,821
AT1G12244_1	0,838	0,196	0,068
AT1G12250_1	1,022	0,597	0,302
AT1G12260_1	0,871	0,310	0,289
AT1G12270_1	0,913	0,886	0,675
AT1G12280_1	0,960	0,427	0,344
AT1G12290_1	0,766	1,357	3,228
AT1G12294_1	1,252	0,858	1,014
AT1G12300_1	1,031	0,560	0,306
AT1G12310_1	0,830	0,897	1,187
AT1G12320_1	0,882	0,879	1,826
AT1G12330_1	0,984	0,571	0,126
AT1G12340_1	1,115	0,942	1,336
AT1G12350_1	0,888	0,908	1,101
AT1G12360_1	0,866	1,231	1,364
AT1G12370_1	0,789	1,958	1,242
AT1G12370_2	0,677	1,885	1,018
AT1G12380_1	1,018	0,696	0,256
AT1G12390_1	1,004	1,077	1,851
AT1G12400_1	0,999	1,522	2,475
AT1G12410_1	0,989	0,845	0,834
AT1G12411_1	1,038	1,183	1,906
AT1G12420_1	1,069	1,870	2,338
AT1G12430_1	1,014	0,753	0,340
AT1G12440_1	0,859	0,688	0,800
AT1G12440_2	0,769	0,548	0,686
AT1G12450_1	0,909	0,326	0,500
AT1G12451_1	0,999	1,541	1,518
AT1G12460_1	0,865	0,578	0,128
AT1G12470_1	1,014	1,031	0,972
AT1G12480_1	0,933	0,236	0,411
AT1G12490_1	0,994	0,963	1,206
AT1G12500_1	0,882	0,821	0,100
AT1G12520_1	0,487	0,674	0,831
AT1G12520_2	0,635	0,479	0,707
AT1G12520_3	0,491	0,678	0,821
AT1G12530_1	0,965	0,542	1,158

AGI	NaCl-Kontrolle zur H₂O-Kontrolle (log₂)	H₂O +B.c. zur H₂O-Kontrolle (log₂)	NaCl +B.c. zur H₂O-Kontrolle (log₂)
AT1G12540_1	1,048	1,156	1,135
AT1G12550_1	1,047	0,785	0,361
AT1G12560_1	0,937	1,054	1,330
AT1G12570_1	0,924	0,208	0,237
AT1G12580_1	0,852	0,920	0,822
AT1G12600_1	0,714	0,976	1,015
AT1G12610_1	0,704	0,909	0,681
AT1G12620_1	1,020	0,721	0,584
AT1G12630_1	0,967	0,844	0,556
AT1G12640_1	0,962	1,927	3,895
AT1G12650_1	0,916	1,033	1,078
AT1G12650_2	0,850	1,421	1,670
AT1G12650_3	0,908	1,545	1,853
AT1G12650_4	0,885	1,487	1,709
AT1G12660_1	1,103	1,198	1,297
AT1G12663_1	1,124	1,304	1,408
AT1G12665_1	0,950	0,924	0,976
AT1G12667_1	0,964	1,141	1,165
AT1G12669_1	1,062	1,074	1,120
AT1G12670_1	1,088	1,164	1,232
AT1G12672_1	1,730	0,793	0,908
AT1G12680_1	1,010	0,762	0,817
AT1G12700_1	1,020	0,455	0,349
AT1G12710_1	0,901	0,277	0,382
AT1G12720_1	1,166	1,164	1,102
AT1G12725_1	0,971	1,037	1,175
AT1G12730_1	0,975	0,300	0,254
AT1G12730_2	0,984	0,311	0,280
AT1G12740_1	0,876	0,925	0,941
AT1G12750_1	0,945	0,720	0,289
AT1G12750_2	0,751	0,404	0,167
AT1G12760_1	0,970	1,470	1,452
AT1G12770_1	1,033	0,463	0,213
AT1G12775_1	1,106	0,412	0,227
AT1G12780_1	1,195	0,676	2,141
AT1G12790_1	1,014	0,610	0,766
AT1G12800_1	0,991	0,426	0,282
AT1G12805_1	1,076	1,077	1,223
AT1G12810_1	1,043	1,542	2,541
AT1G12810_2	1,002	0,830	1,179
AT1G12820_1	0,960	0,784	0,683
AT1G12830_1	0,919	1,656	1,348
AT1G12840_1	0,984	0,908	1,010
AT1G12845_1	1,361	0,037	0,062
AT1G12850_1	0,990	0,764	0,606
AT1G12860_1	1,040	0,460	0,173
AT1G12870_1	1,012	1,110	1,310
AT1G12880_1	0,890	0,610	0,832
AT1G12890_1	1,124	0,950	1,179
AT1G12900_1	0,912	0,501	0,129

AGI	NaCl-Kontrolle zur H₂O-Kontrolle (log₂)	H₂O +B.c. zur H₂O-Kontrolle (log₂)	NaCl +B.c. zur H₂O-Kontrolle (log₂)
AT1G12900_2	0,938	0,490	0,129
AT1G12900_3	0,956	0,431	0,077
AT1G12910_1	0,957	0,911	0,845
AT1G12920_1	1,037	1,281	1,073
AT1G12930_1	1,051	0,630	0,548
AT1G12935_1	1,049	1,322	1,449
AT1G12938_1	0,958	1,273	1,648
AT1G12940_1	0,736	1,546	1,086
AT1G12950_1	0,856	0,960	0,941
AT1G12960_1	1,210	1,113	1,016
AT1G12970_1	1,038	0,700	1,027
AT1G12980_1	0,950	1,053	1,057
AT1G12990_1	1,044	0,416	0,676
AT1G13000_1	0,869	1,026	0,996
AT1G13010_1	1,207	1,164	1,417
AT1G13020_1	0,915	1,246	1,319
AT1G13030_1	1,153	0,814	0,401
AT1G13040_1	1,230	0,542	0,460
AT1G13050_1	1,076	0,979	1,082
AT1G13050_2	1,110	0,749	0,645
AT1G13060_1	0,945	0,891	1,006
AT1G13070_1	1,013	1,193	1,260
AT1G13080_1	0,766	0,903	1,153
AT1G13080_2	0,827	1,111	1,186
AT1G13090_1	1,128	1,033	1,260
AT1G13100_1	0,882	0,755	0,580
AT1G13110_1	0,898	1,185	0,823
AT1G13120_1	1,017	0,803	0,831
AT1G13130_1	0,599	0,135	0,157
AT1G13140_1	1,045	0,810	0,881
AT1G13145_1	0,865	0,786	0,482
AT1G13150_1	0,960	0,751	0,720
AT1G13160_1	1,055	1,610	1,123
AT1G13170_1	1,044	0,189	0,058
AT1G13180_1	0,883	0,753	0,821
AT1G13190_1	1,084	0,878	0,720
AT1G13195_1	0,916	1,750	2,593
AT1G13195_2	1,038	0,987	1,198
AT1G13200_1	1,098	1,022	1,184
AT1G13210_1	0,828	1,353	1,249
AT1G13220_1	1,153	0,306	0,268
AT1G13220_2	1,187	0,502	0,472
AT1G13230_1	1,009	0,997	1,022
AT1G13240_1	1,075	1,392	1,732
AT1G13245_1	0,718	1,026	1,325
AT1G13250_1	0,834	0,236	0,036
AT1G13260_1	0,853	0,415	0,228
AT1G13270_1	1,123	0,390	0,273
AT1G13270_2	1,061	0,416	0,389
AT1G13280_1	0,958	0,548	0,261

AGI	NaCl-Kontrolle zur H₂O-Kontrolle (log₂)	H₂O +B.c. zur H₂O-Kontrolle (log₂)	NaCl +B.c. zur H₂O-Kontrolle (log₂)
AT1G13290_1	1,163	1,596	1,790
AT1G13300_1	1,156	1,457	1,471
AT1G13310_1	1,021	1,577	5,018
AT1G13320_1	1,021	0,927	0,868
AT1G13320_2	1,015	0,937	0,864
AT1G13330_1	0,766	0,277	0,271
AT1G13340_1	0,682	18,467	24,067
AT1G13350_1	1,113	0,686	0,722
AT1G13360_1	1,111	1,872	2,544
AT1G13370_1	1,006	1,004	0,953
AT1G13380_1	0,956	0,605	0,113
AT1G13390_1	0,851	1,658	1,750
AT1G13390_2	0,947	1,447	1,449
AT1G13400_1	1,017	1,230	1,455
AT1G13410_1	1,212	0,642	0,495
AT1G13420_1	0,778	0,814	0,870
AT1G13430_1	0,761	0,479	0,467
AT1G13440_1	1,056	0,862	0,715
AT1G13440_2	1,066	0,780	0,542
AT1G13448_1	0,898	0,416	0,437
AT1G13450_1	0,994	0,713	0,683
AT1G13450_2	1,024	0,744	0,674
AT1G13450_3	0,918	0,364	0,470
AT1G13460_1	0,995	1,529	1,579
AT1G13470_1	0,650	0,787	1,284
AT1G13480_1	1,061	1,862	4,997
AT1G13485_1	0,986	0,945	0,940
AT1G13490_1	1,513	2,052	2,321
AT1G13500_1	1,047	1,488	1,625
AT1G13510_1	0,969	1,129	1,292
AT1G13520_1	1,026	29,584	69,783
AT1G13530_1	1,096	1,314	1,410
AT1G13540_1	0,969	0,936	1,330
AT1G13550_1	0,704	0,878	1,356
AT1G13560_1	1,025	0,778	0,584
AT1G13570_1	0,935	0,550	0,729
AT1G13580_1	0,983	0,986	1,028
AT1G13580_2	0,822	0,817	1,580
AT1G13590_1	1,111	1,152	1,077
AT1G13600_1	1,086	0,910	0,947
AT1G13605_1	1,041	1,084	1,075
AT1G13607_1	1,019	1,111	1,187
AT1G13608_1	0,777	0,868	0,732
AT1G13609_1	0,307	0,974	0,103
AT1G13610_1	1,004	1,222	1,386
AT1G13620_1	1,109	1,237	1,452
AT1G13630_1	1,183	0,752	0,372
AT1G13635_1	0,962	0,906	1,059
AT1G13640_1	0,971	1,850	1,376
AT1G13650_1	1,046	0,841	0,735

AGI	NaCl-Kontrolle zur H₂O-Kontrolle (log₂)	H₂O +B.c. zur H₂O-Kontrolle (log₂)	NaCl +B.c. zur H₂O-Kontrolle (log₂)
AT1G13650_2	1,222	0,128	0,006
AT1G13660_1	0,941	0,954	1,099
AT1G13670_1	0,774	0,737	0,901
AT1G13680_1	1,070	1,069	1,130
AT1G13690_1	1,052	0,829	1,073
AT1G13700_1	0,943	0,284	0,226
AT1G13710_1	1,168	1,555	1,695
AT1G13730_1	0,998	0,945	0,427
AT1G13740_1	0,731	0,479	1,420
AT1G13750_1	0,906	0,549	0,858
AT1G13755_1	1,099	1,110	1,156
AT1G13760_1	1,000	1,056	1,175
AT1G13770_1	1,033	0,720	0,819
AT1G13770_2	1,018	0,670	0,755
AT1G13780_1	0,973	0,821	1,055
AT1G13790_1	0,818	0,220	0,100
AT1G13800_1	1,267	0,768	0,603
AT1G13810_1	1,265	1,704	0,910
AT1G13820_1	0,904	0,415	0,292
AT1G13830_1	1,035	10,299	25,331
AT1G13860_1	0,995	0,722	0,702
AT1G13860_2	1,280	0,436	0,241
AT1G13860_3	1,110	0,546	0,388
AT1G13860_4	1,256	0,351	0,149
AT1G13870_1	0,846	1,317	1,300
AT1G13880_1	0,923	1,072	1,420
AT1G13890_1	1,062	1,087	1,241
AT1G13900_1	1,057	1,214	1,256
AT1G13910_1	1,016	0,526	0,606
AT1G13920_1	0,873	0,195	0,205
AT1G13930_1	1,049	0,338	0,425
AT1G13940_1	0,959	0,748	0,802
AT1G13950_1	1,077	1,047	1,239
AT1G13960_1	1,029	1,037	1,675
AT1G13960_2	0,942	0,948	1,126
AT1G13970_1	0,798	0,600	3,176
AT1G13980_1	1,088	0,727	0,641
AT1G13990_1	1,234	2,450	4,217
AT1G13990_2	1,226	2,545	5,019
AT1G13990_3	0,796	2,527	8,974
AT1G14000_1	0,940	1,117	1,252
AT1G14010_1	0,808	1,089	1,321
AT1G14020_1	0,936	0,957	1,065
AT1G14030_1	1,018	0,240	0,072
AT1G14040_1	1,227	3,722	3,044
AT1G14048_1	0,951	1,228	1,402
AT1G14060_1	0,895	3,074	2,460
AT1G14070_1	0,861	4,592	4,822
AT1G14080_1	1,089	2,159	4,531
AT1G14090_1	1,160	0,718	0,486

AGI	NaCl-Kontrolle zur H₂O-Kontrolle (log₂)	H₂O +B.c. zur H₂O-Kontrolle (log₂)	NaCl +B.c. zur H₂O-Kontrolle (log₂)
AT1G14100_1	1,188	0,463	0,393
AT1G14110_1	1,063	1,183	1,433
AT1G14120_1	0,932	41,172	44,279
AT1G14130_1	0,788	5,080	10,574
AT1G14140_1	0,909	0,732	0,544
AT1G14150_1	0,955	0,249	0,035
AT1G14150_2	1,041	0,316	0,085
AT1G14160_1	1,128	1,126	1,277
AT1G14170_1	0,987	1,040	1,227
AT1G14180_1	0,803	0,207	0,097
AT1G14180_2	0,817	0,211	0,100
AT1G14182_1	1,099	1,011	1,116
AT1G14185_1	0,868	0,539	0,644
AT1G14190_1	0,783	0,384	0,363
AT1G14200_1	0,986	2,516	3,102
AT1G14205_1	1,097	0,273	0,084
AT1G14210_1	0,733	0,602	0,260
AT1G14220_1	1,107	0,998	1,194
AT1G14225_1	1,462	2,785	3,049
AT1G14230_1	1,100	0,659	0,914
AT1G14240_1	1,041	0,893	0,691
AT1G14250_1	0,983	0,514	0,301
AT1G14260_1	0,944	2,808	3,215
AT1G14260_2	0,973	2,321	2,808
AT1G14270_1	0,926	0,376	0,183
AT1G14270_2	0,874	0,204	0,169
AT1G14270_3	0,923	0,371	0,184
AT1G14270_4	0,997	0,518	0,479
AT1G14280_1	0,820	0,813	0,178
AT1G14290_1	0,650	0,483	0,338
AT1G14300_1	1,298	2,031	1,349
AT1G14310_1	0,846	0,654	0,949
AT1G14315_1	0,948	0,915	0,970
AT1G14315_2	1,113	1,002	1,332
AT1G14320_1	0,915	0,979	1,006
AT1G14320_2	0,956	0,952	0,953
AT1G14330_1	0,817	4,226	5,596
AT1G14340_1	1,051	0,601	1,515
AT1G14345_1	0,874	0,672	0,266
AT1G14350_1	0,669	0,488	0,241
AT1G14360_1	0,929	1,514	1,770
AT1G14370_1	0,657	2,479	3,456
AT1G14380_1	1,048	0,317	0,123
AT1G14380_2	1,070	0,319	0,110
AT1G14390_1	0,783	0,461	0,320
AT1G14400_1	0,805	0,806	1,100
AT1G14400_2	0,955	0,909	1,101
AT1G14410_1	0,968	0,467	0,332
AT1G14420_1	1,024	1,277	1,416
AT1G14430_1	0,890	0,922	1,058

AGI	NaCl-Kontrolle zur H₂O-Kontrolle (log₂)	H₂O +B.c. zur H₂O-Kontrolle (log₂)	NaCl +B.c. zur H₂O-Kontrolle (log₂)
AT1G14440_1	1,124	1,018	1,102
AT1G14440_2	1,052	0,229	0,145
AT1G14450_1	0,938	0,833	1,442
AT1G14455_1	1,017	1,173	1,250
AT1G14460_1	0,951	0,277	0,212
AT1G14470_1	1,151	0,649	0,517
AT1G14480_1	1,020	0,645	0,384
AT1G14490_1	1,439	2,346	2,340
AT1G14500_1	1,051	1,100	1,228
AT1G14510_1	0,963	1,215	1,135
AT1G14518_1	1,005	0,989	1,045
AT1G14520_1	0,819	0,998	1,073
AT1G14520_2	0,658	1,078	1,052
AT1G14530_1	1,032	0,959	1,073
AT1G14530_2	0,823	1,263	2,381
AT1G14540_1	0,627	51,802	81,550
AT1G14549_1	0,954	1,073	1,176
AT1G14550_1	1,033	3,608	11,832
AT1G14560_1	1,005	1,152	1,411
AT1G14570_1	1,103	0,865	1,191
AT1G14570_3	1,082	0,866	1,144
AT1G14580_1	1,085	0,548	0,721
AT1G14590_1	1,036	1,082	0,720
AT1G14600_1	0,873	0,755	0,337
AT1G14610_1	1,046	0,839	0,662
AT1G14620_1	1,101	0,782	0,374
AT1G14630_1	0,884	0,391	0,414
AT1G14640_1	1,151	1,204	1,043
AT1G14642_1	1,098	1,308	1,462
AT1G14650_1	1,010	0,986	1,066
AT1G14650_2	0,925	0,755	0,770
AT1G14660_1	1,006	0,575	0,844
AT1G14670_1	0,951	0,866	0,836
AT1G14680_1	0,866	0,495	0,564
AT1G14685_1	1,043	0,800	0,955
AT1G14685_2	0,954	0,549	0,664
AT1G14685_3	0,974	0,171	0,213
AT1G14686_1	1,197	1,299	1,371
AT1G14687_1	1,162	0,828	0,709
AT1G14688_1	1,039	1,059	1,136
AT1G14690_1	1,082	0,636	0,465
AT1G14700_1	0,823	0,279	0,039
AT1G14700_2	0,877	0,287	0,040
AT1G14710_1	0,972	0,811	0,743
AT1G14720_1	1,144	0,585	0,756
AT1G14730_1	0,687	0,588	0,880
AT1G14740_1	0,877	1,358	1,400
AT1G14750_1	1,211	0,963	1,024
AT1G14750_2	1,117	0,545	0,511
AT1G14755_1	1,095	1,044	1,149

AGI	NaCl-Kontrolle zur H₂O-Kontrolle (log₂)	H₂O +B.c. zur H₂O-Kontrolle (log₂)	NaCl +B.c. zur H₂O-Kontrolle (log₂)
AT1G14760_1	1,440	1,512	1,772
AT1G14760_2	1,061	1,034	1,064
AT1G14760_3	1,031	1,076	1,100
AT1G14770_1	1,068	0,719	0,280
AT1G14780_1	0,460	0,568	1,071
AT1G14790_1	0,875	0,437	0,605
AT1G14800_1	1,368	1,398	1,546
AT1G14810_1	0,973	1,307	0,942
AT1G14820_1	0,865	0,614	0,393
AT1G14820_2	1,155	0,931	0,946
AT1G14830_1	1,015	1,099	1,054
AT1G14840_1	1,056	0,591	0,085
AT1G14850_1	1,018	0,992	0,722
AT1G14860_1	0,835	0,844	1,173
AT1G14870_1	0,557	5,778	6,987
AT1G14880_1	0,506	0,815	2,434
AT1G14890_1	0,887	0,246	0,523
AT1G14900_1	0,791	0,864	0,700
AT1G14910_1	0,985	0,850	0,896
AT1G14920_1	0,915	0,759	0,318
AT1G14930_1	0,958	1,199	1,216
AT1G14940_1	1,012	1,430	1,591
AT1G14950_1	1,050	1,174	1,463
AT1G14960_1	1,084	1,278	1,235
AT1G14970_1	1,104	0,343	0,283
AT1G14980_1	1,046	1,385	1,068
AT1G14990_1	1,057	0,931	1,329
AT1G15000_1	1,039	0,586	0,207
AT1G15010_1	0,711	0,586	0,379
AT1G15015_1	1,033	1,014	0,977
AT1G15020_1	1,171	0,504	0,643
AT1G15020_2	0,953	0,323	0,342
AT1G15030_1	1,004	0,987	0,843
AT1G15040_1	1,077	2,053	3,544
AT1G15040_2	0,798	0,954	1,005
AT1G15045_1	1,181	1,583	1,647
AT1G15050_1	0,809	0,727	0,641
AT1G15060_1	0,937	1,046	1,078
AT1G15080_1	1,059	0,275	0,152
AT1G15090_1	1,138	1,220	1,485
AT1G15100_1	0,929	2,017	2,389
AT1G15110_1	0,959	3,373	4,530
AT1G15120_1	0,765	0,977	1,427
AT1G15120_2	0,994	0,984	0,964
AT1G15125_1	0,504	1,358	0,281
AT1G15130_1	1,022	1,030	1,222
AT1G15140_1	0,889	0,799	0,683
AT1G15140_2	1,004	0,840	0,773
AT1G15140_3	0,905	0,767	0,622
AT1G15150_1	1,241	1,012	0,528

AGI	NaCl-Kontrolle zur H₂O-Kontrolle (log₂)	H₂O +B.c. zur H₂O-Kontrolle (log₂)	NaCl +B.c. zur H₂O-Kontrolle (log₂)
AT1G15160_1	1,297	0,976	0,785
AT1G15165_1	1,007	0,689	0,409
AT1G15170_1	1,007	1,456	0,957
AT1G15175_1	1,025	0,377	0,342
AT1G15180_1	1,199	0,797	0,338
AT1G15180_2	1,016	0,786	0,667
AT1G15190_1	1,256	2,233	2,285
AT1G15200_1	1,208	0,959	0,752
AT1G15210_1	1,382	1,262	1,430
AT1G15215_1	1,009	0,347	0,218
AT1G15215_2	1,057	0,351	0,213
AT1G15220_1	1,428	1,004	0,993
AT1G15220_2	1,054	0,825	0,821
AT1G15230_1	1,118	0,727	0,818
AT1G15240_1	0,864	0,466	0,909
AT1G15240_2	1,080	0,907	1,141
AT1G15250_1	1,066	1,149	0,713
AT1G15260_1	0,986	0,609	0,045
AT1G15270_1	0,891	0,821	1,759
AT1G15280_1	1,068	1,003	0,795
AT1G15290_1	1,081	0,633	0,153
AT1G15300_1	1,157	2,787	5,213
AT1G15310_1	1,384	1,218	2,185
AT1G15320_1	1,176	1,155	1,291
AT1G15320_2	1,341	1,511	1,935
AT1G15330_1	1,216	1,171	1,271
AT1G15340_1	1,059	0,783	0,835
AT1G15350_1	0,832	1,859	2,213
AT1G15350_2	0,945	1,755	2,047
AT1G15350_3	0,910	1,730	2,028
AT1G15360_1	1,380	1,429	1,580
AT1G15370_1	0,794	1,160	1,529
AT1G15380_1	0,975	2,210	20,495
AT1G15380_2	1,177	13,202	106,221
AT1G15385_1	1,055	5,151	12,203
AT1G15390_1	0,980	0,752	0,518
AT1G15400_1	0,937	1,527	1,701
AT1G15400_2	0,949	1,494	1,509
AT1G15400_3	0,810	1,610	1,825
AT1G15405_1	1,403	1,077	1,335
AT1G15410_1	1,107	0,850	0,112
AT1G15415_1	1,093	1,607	2,272
AT1G15420_1	1,142	2,238	1,604
AT1G15430_1	1,087	3,139	4,708
AT1G15430_2	0,948	1,355	2,302
AT1G15440_1	1,272	1,812	1,277
AT1G15460_1	1,085	0,939	1,127
AT1G15470_1	1,025	0,761	1,013
AT1G15480_1	1,088	0,691	0,382
AT1G15490_1	0,992	0,530	0,559

AGI	NaCl-Kontrolle zur H₂O-Kontrolle (log₂)	H₂O +B.c. zur H₂O-Kontrolle (log₂)	NaCl +B.c. zur H₂O-Kontrolle (log₂)
AT1G15500_1	1,097	1,073	0,573
AT1G15510_1	1,586	1,018	0,148
AT1G15520_1	0,745	106,631	128,781
AT1G15530_1	0,853	1,358	0,772
AT1G15540_1	1,189	7,645	5,055
AT1G15550_1	1,373	0,141	0,029
AT1G15560_1	1,064	1,079	1,371
AT1G15570_1	0,754	0,214	0,193
AT1G15580_1	0,771	0,332	0,197
AT1G15590_1	0,935	0,912	0,938
AT1G15600_1	0,966	0,924	1,131
AT1G15610_1	0,974	1,077	1,110
AT1G15620_1	0,889	0,884	0,897
AT1G15630_1	0,900	0,993	1,198
AT1G15640_1	1,038	1,076	1,123
AT1G15650_1	1,181	1,411	1,974
AT1G15660_1	0,861	0,355	0,357
AT1G15670_1	0,412	4,580	10,537
AT1G15680_1	1,247	1,376	1,471
AT1G15690_1	1,036	0,917	0,737
AT1G15690_2	0,699	0,752	1,098
AT1G15700_1	0,944	1,172	0,955
AT1G15710_1	0,951	0,841	0,718
AT1G15720_1	1,071	1,021	0,682
AT1G15730_1	0,939	0,573	0,292
AT1G15740_1	1,007	0,472	0,949
AT1G15750_1	0,973	1,747	1,963
AT1G15757_1	1,086	1,079	1,164
AT1G15760_1	1,055	0,925	0,914
AT1G15770_1	1,200	1,246	1,223
AT1G15772_1	0,966	0,955	0,911
AT1G15780_1	1,057	1,272	1,484
AT1G15790_1	0,883	1,249	2,721
AT1G15800_1	0,850	2,980	2,411
AT1G15810_1	1,108	1,251	1,064
AT1G15820_1	1,012	0,738	0,313
AT1G15825_1	0,805	0,727	0,721
AT1G15830_1	1,173	0,887	0,780
AT1G15840_1	1,017	1,020	1,223
AT1G15850_1	1,307	1,537	1,489
AT1G15860_1	0,738	1,128	1,323
AT1G15860_2	0,693	1,301	3,260
AT1G15870_1	1,017	1,407	1,023
AT1G15880_1	0,970	0,952	1,240
AT1G15885_1	0,985	0,314	0,231
AT1G15890_1	0,887	0,915	0,906
AT1G15900_1	0,749	1,179	1,733
AT1G15910_1	0,904	0,505	0,313
AT1G15920_1	1,107	1,059	1,189
AT1G15920_2	0,932	1,299	1,786

AGI	NaCl-Kontrolle zur H₂O-Kontrolle (log₂)	H₂O +B.c. zur H₂O-Kontrolle (log₂)	NaCl +B.c. zur H₂O-Kontrolle (log₂)
AT1G15930_1	1,004	0,868	0,892
AT1G15930_2	0,980	1,104	1,061
AT1G15940_1	1,041	1,020	0,992
AT1G15950_1	1,012	1,513	1,458
AT1G15960_1	1,160	0,478	0,470
AT1G15970_1	0,901	0,504	0,463
AT1G15980_1	0,986	0,372	0,062
AT1G15990_1	1,168	1,108	1,243
AT1G16000_1	1,049	0,708	0,556
AT1G16010_1	0,999	1,097	1,267
AT1G16020_1	0,937	0,553	0,553
AT1G16020_2	1,094	0,697	0,636
AT1G16022_1	1,186	1,284	1,967
AT1G16025_1	1,071	1,071	1,121
AT1G16030_1	1,245	4,010	9,149
AT1G16040_1	1,203	1,424	2,583
AT1G16060_1	1,177	1,452	1,228
AT1G16060_2	1,270	1,351	1,685
AT1G16070_1	0,894	0,739	0,785
AT1G16070_2	0,985	0,709	0,839
AT1G16080_1	1,030	0,443	0,199
AT1G16090_1	1,118	6,485	6,327
AT1G16110_1	0,865	0,303	0,479
AT1G16120_1	1,053	1,000	1,352
AT1G16130_1	0,744	1,809	2,699
AT1G16140_1	1,254	1,128	1,182
AT1G16150_1	0,945	1,477	2,292
AT1G16160_1	1,177	1,234	1,750
AT1G16170_1	0,653	0,448	0,545
AT1G16180_1	1,011	1,205	1,408
AT1G16190_1	1,014	0,582	0,365
AT1G16210_1	1,063	1,161	1,404
AT1G16220_1	0,997	1,021	0,689
AT1G16225_1	1,276	1,274	1,481
AT1G16230_1	1,148	1,142	1,185
AT1G16240_1	0,906	0,948	1,291
AT1G16240_2	0,893	0,930	1,147
AT1G16240_3	0,890	0,957	1,321
AT1G16250_1	0,983	0,677	0,815
AT1G16260_1	0,852	0,579	0,668
AT1G16270_1	1,126	1,039	1,257
AT1G16280_1	1,061	1,365	1,169
AT1G16290_1	1,123	1,063	1,164
AT1G16300_1	1,402	2,331	3,217
AT1G16310_1	1,367	0,935	1,261
AT1G16320_1	1,039	1,092	1,019
AT1G16330_1	0,814	0,402	0,386
AT1G16340_1	0,977	0,306	0,251
AT1G16340_2	0,967	0,224	0,108
AT1G16340_3	1,162	0,220	0,059

AGI	NaCl-Kontrolle zur H ₂ O-Kontrolle (log ₂)	H ₂ O +B.c. zur H ₂ O-Kontrolle (log ₂)	NaCl +B.c. zur H ₂ O-Kontrolle (log ₂)
AT1G16350_1	1,201	0,686	0,303
AT1G16360_1	1,006	1,438	2,885
AT1G16370_1	0,359	5,758	3,206
AT1G16380_1	0,961	1,179	1,271
AT1G16390_1	0,480	0,703	0,318
AT1G16400_1	1,240	0,951	0,204
AT1G16410_1	1,002	0,373	0,057
AT1G16410_2	1,139	0,540	0,216
AT1G16420_1	0,592	54,649	41,729
AT1G16430_1	0,973	1,021	0,923
AT1G16440_1	1,166	1,138	1,270
AT1G16445_1	0,975	0,712	0,306
AT1G16460_1	1,035	0,760	0,624
AT1G16460_2	1,009	0,635	0,378
AT1G16460_3	1,024	0,686	0,430
AT1G16470_1	1,005	1,020	1,528
AT1G16470_2	1,061	1,041	1,364
AT1G16480_1	1,198	0,782	0,418
AT1G16489_1	0,953	0,843	1,043
AT1G16490_1	0,865	0,718	0,753
AT1G16500_1	0,661	1,741	2,153
AT1G16510_1	1,068	4,549	5,804
AT1G16515_1	1,071	0,324	0,417
AT1G16520_1	1,022	1,940	2,162
AT1G16530_1	0,831	0,657	1,421
AT1G16540_1	1,057	2,288	4,705
AT1G16550_1	1,158	1,082	0,801
AT1G16560_1	0,948	0,801	0,885
AT1G16560_2	0,902	0,790	0,888
AT1G16560_4	0,973	0,793	0,867
AT1G16570_1	0,924	0,890	0,945
AT1G16570_2	0,959	0,880	0,984
AT1G16590_1	0,977	0,811	1,049
AT1G16600_1	1,090	1,166	1,321
AT1G16610_1	1,102	1,122	0,861
AT1G16610_2	1,127	1,169	0,886
AT1G16620_1	1,013	0,998	1,041
AT1G16630_1	0,696	0,358	0,324
AT1G16640_1	0,669	0,732	0,720
AT1G16650_1	1,002	0,954	0,926
AT1G16660_1	0,939	1,081	1,113
AT1G16670_1	0,821	1,740	1,802
AT1G16680_1	1,109	0,578	0,312
AT1G16690_1	0,932	0,601	0,428
AT1G16700_1	0,893	1,010	1,929
AT1G16705_1	1,351	1,120	1,392
AT1G16705_2	1,201	0,891	0,956
AT1G16710_1	1,033	0,854	1,091
AT1G16720_1	0,872	0,670	0,426
AT1G16730_1	1,291	3,069	3,035

AGI	NaCl-Kontrolle zur H₂O-Kontrolle (log₂)	H₂O +B.c. zur H₂O-Kontrolle (log₂)	NaCl +B.c. zur H₂O-Kontrolle (log₂)
AT1G16740_1	1,034	1,016	1,553
AT1G16750_1	0,856	0,654	0,464
AT1G16760_1	1,305	2,217	2,705
AT1G16770_1	1,229	1,161	1,398
AT1G16770_2	1,117	1,000	1,009
AT1G16780_1	1,210	0,470	0,252
AT1G16790_1	0,849	0,632	0,507
AT1G16800_1	1,184	0,553	0,374
AT1G16810_1	0,958	0,727	0,978
AT1G16810_2	0,970	0,762	1,009
AT1G16820_1	1,065	0,461	0,577
AT1G16825_1	0,825	0,761	0,797
AT1G16830_1	1,101	1,692	0,980
AT1G16840_1	1,085	0,564	0,824
AT1G16840_2	1,106	0,230	0,487
AT1G16840_3	1,056	0,528	0,773
AT1G16840_4	0,988	0,258	0,384
AT1G16850_1	1,570	0,128	0,127
AT1G16858_1	0,985	0,511	0,321
AT1G16870_1	1,016	0,993	0,735
AT1G16880_1	0,953	0,677	0,749
AT1G16880_2	0,976	0,201	0,401
AT1G16890_1	0,771	0,627	1,141
AT1G16890_2	0,869	1,262	1,608
AT1G16900_1	1,057	0,744	0,963
AT1G16905_1	1,189	1,108	1,294
AT1G16910_1	1,068	1,114	1,136
AT1G16916_1	0,833	0,572	0,475
AT1G16920_1	1,073	0,348	0,098
AT1G16930_1	0,822	0,577	0,294
AT1G16940_1	1,317	1,311	1,453
AT1G16950_1	0,970	1,017	1,200
AT1G16960_1	0,802	0,259	0,385
AT1G16970_1	0,995	1,048	1,104
AT1G16980_1	1,041	1,094	1,167
AT1G17000_1	1,040	1,003	1,073
AT1G17010_1	1,176	1,411	1,656
AT1G17020_1	1,451	7,053	28,152
AT1G17030_1	0,748	0,484	5,563
AT1G17040_1	1,079	0,697	1,061
AT1G17050_1	0,904	1,468	0,935
AT1G17060_1	0,576	3,429	3,215
AT1G17070_1	1,026	1,274	1,311
AT1G17080_1	0,913	1,128	1,711
AT1G17090_1	0,784	2,172	1,516
AT1G17090_2	1,378	1,167	1,178
AT1G17100_1	1,133	1,229	0,700
AT1G17110_1	0,999	0,905	0,792
AT1G17120_1	0,842	1,024	0,838
AT1G17130_1	0,920	1,114	1,371

AGI	NaCl-Kontrolle zur H ₂ O-Kontrolle (log ₂)	H ₂ O +B.c. zur H ₂ O-Kontrolle (log ₂)	NaCl +B.c. zur H ₂ O-Kontrolle (log ₂)
AT1G17130_2	0,904	1,116	1,356
AT1G17140_1	0,786	0,295	0,377
AT1G17140_2	0,699	0,308	0,409
AT1G17145_1	1,086	0,892	1,524
AT1G17147_1	0,493	5,326	4,457
AT1G17150_1	1,103	1,308	1,209
AT1G17160_1	0,894	0,996	1,153
AT1G17160_2	0,950	1,039	1,060
AT1G17170_1	1,237	40,806	74,315
AT1G17180_1	1,176	24,314	69,693
AT1G17190_1	1,059	0,104	0,098
AT1G17200_1	0,791	0,409	0,032
AT1G17210_1	1,080	1,021	0,879
AT1G17220_1	1,013	0,638	0,340
AT1G17230_1	0,828	0,556	0,812
AT1G17235_1	1,149	0,893	1,164
AT1G17240_1	1,059	1,356	2,141
AT1G17250_1	1,008	2,185	1,107
AT1G17255_1	1,008	1,463	0,944
AT1G17260_1	1,234	0,626	0,866
AT1G17270_1	0,924	1,033	1,041
AT1G17275_1	1,188	1,240	1,459
AT1G17277_1	1,257	1,317	1,930
AT1G17280_1	0,970	1,003	1,513
AT1G17280_2	0,933	1,051	1,432
AT1G17285_1	1,274	1,183	1,201
AT1G17290_1	0,997	1,318	1,353
AT1G17300_1	1,119	1,231	1,330
AT1G17310_1	1,253	1,490	2,230
AT1G17330_1	0,759	1,567	1,788
AT1G17340_1	0,907	1,150	1,261
AT1G17345_1	0,986	1,702	1,168
AT1G17350_1	0,883	0,277	0,153
AT1G17350_2	1,544	0,703	0,536
AT1G17360_1	1,116	0,812	0,696
AT1G17370_1	1,089	1,084	0,839
AT1G17370_2	1,083	1,082	0,825
AT1G17380_1	0,760	8,495	7,234
AT1G17390_1	1,212	1,648	1,348
AT1G17400_1	1,001	0,880	0,784
AT1G17410_1	0,914	0,851	0,706
AT1G17420_1	0,931	2,287	2,436
AT1G17430_1	0,864	0,330	0,256
AT1G17440_1	0,680	1,116	1,730
AT1G17440_2	0,741	1,641	1,912
AT1G17450_1	1,023	1,040	1,124
AT1G17455_1	0,896	0,337	0,487
AT1G17455_2	0,886	0,296	0,423
AT1G17460_1	1,479	0,684	1,081
AT1G17470_1	1,089	1,019	0,947

AGI	NaCl-Kontrolle zur H₂O-Kontrolle (log₂)	H₂O +B.c. zur H₂O-Kontrolle (log₂)	NaCl +B.c. zur H₂O-Kontrolle (log₂)
AT1G17480_1	1,202	0,300	0,299
AT1G17490_1	0,990	0,821	1,567
AT1G17495_1	1,071	1,064	1,248
AT1G17500_1	0,973	0,938	0,975
AT1G17510_1	1,096	0,655	0,914
AT1G17520_1	1,052	1,096	1,235
AT1G17530_1	1,107	1,345	1,651
AT1G17540_1	1,198	1,187	1,387
AT1G17545_1	1,224	1,438	1,530
AT1G17550_1	1,052	1,234	1,628
AT1G17560_1	0,874	0,729	0,576
AT1G17570_1	1,117	1,347	1,807
AT1G17580_1	0,963	0,734	0,927
AT1G17590_1	0,904	0,889	1,008
AT1G17590_3	0,744	0,638	0,691
AT1G17600_1	0,940	0,591	0,690
AT1G17610_1	0,950	0,527	0,531
AT1G17615_1	1,097	1,244	1,756
AT1G17620_1	0,931	0,971	0,463
AT1G17630_1	1,279	0,670	0,490
AT1G17640_1	1,128	0,898	1,357
AT1G17650_1	0,870	0,210	0,045
AT1G17665_1	1,687	0,229	0,626
AT1G17680_1	1,091	0,929	1,387
AT1G17690_1	1,058	1,176	1,011
AT1G17700_1	0,698	0,234	0,151
AT1G17710_1	1,126	4,274	16,708
AT1G17710_2	1,131	1,063	1,320
AT1G17720_1	1,002	1,098	1,147
AT1G17730_1	0,946	0,872	0,965
AT1G17744_1	0,984	2,701	6,053
AT1G17745_1	1,162	2,831	3,441
AT1G17750_1	0,783	8,319	6,954
AT1G17760_1	1,075	0,925	0,751
AT1G17770_1	1,058	1,048	1,314
AT1G17780_1	1,063	0,933	0,983
AT1G17780_2	1,099	1,245	1,647
AT1G17790_1	0,908	0,797	0,989
AT1G17800_1	1,175	1,268	1,358
AT1G17810_1	1,287	1,222	1,496
AT1G17820_1	1,046	1,455	1,727
AT1G17830_1	1,127	2,231	8,068
AT1G17840_1	0,974	0,868	0,298
AT1G17850_1	1,010	0,259	0,065
AT1G17860_1	0,577	1,635	4,731
AT1G17870_1	1,413	2,297	3,566
AT1G17880_1	1,008	0,735	0,493
AT1G17890_1	0,881	0,765	0,862
AT1G17890_2	0,849	0,863	0,901
AT1G17890_3	0,906	0,803	0,898

AGI	NaCl-Kontrolle zur H ₂ O-Kontrolle (log ₂)	H ₂ O +B.c. zur H ₂ O-Kontrolle (log ₂)	NaCl +B.c. zur H ₂ O-Kontrolle (log ₂)
AT1G17900_1	1,173	1,323	1,388
AT1G17910_1	0,915	0,914	1,009
AT1G17920_1	0,879	0,211	0,156
AT1G17930_1	0,948	0,811	1,254
AT1G17940_1	1,346	0,759	1,075
AT1G17950_1	0,930	0,958	0,935
AT1G17960_1	1,280	1,203	1,068
AT1G17970_1	0,910	0,312	0,247
AT1G17980_1	0,952	0,855	0,800
AT1G17990_1	0,845	0,436	0,426
AT1G17990_2	1,006	0,543	0,539
AT1G18000_1	1,019	0,670	0,572
AT1G18020_1	0,985	0,529	0,505
AT1G18030_1	0,872	0,683	0,669
AT1G18030_2	0,863	0,689	0,688
AT1G18040_1	0,932	0,868	0,673
AT1G18050_1	0,999	1,020	1,111
AT1G18060_1	0,901	0,411	0,176
AT1G18070_1	0,993	1,146	1,102
AT1G18075_1	1,002	0,854	1,444
AT1G18080_1	0,943	0,914	0,695
AT1G18090_1	0,833	0,462	0,156
AT1G18100_1	1,277	1,525	2,028
AT1G18120_1	1,298	1,538	1,618
AT1G18130_1	1,076	1,116	1,149
AT1G18140_1	1,114	1,224	1,321
AT1G18150_1	1,001	0,923	0,876
AT1G18160_1	0,957	0,930	0,759
AT1G18170_1	0,955	0,600	0,415
AT1G18180_1	0,799	0,444	0,742
AT1G18190_1	0,965	0,550	0,876
AT1G18191_1	0,922	0,989	1,073
AT1G18200_1	0,671	1,135	2,219
AT1G18210_1	0,657	2,621	3,630
AT1G18210_2	0,780	2,081	2,517
AT1G18220_1	0,808	0,928	0,973
AT1G18230_1	1,135	0,930	1,067
AT1G18240_1	0,900	0,949	1,209
AT1G18250_1	0,643	0,373	0,405
AT1G18250_2	0,685	0,359	0,424
AT1G18260_1	0,974	0,951	1,175
AT1G18265_1	1,312	0,068	0,040
AT1G18270_1	1,035	1,747	2,486
AT1G18280_1	1,170	1,172	1,559
AT1G18290_1	1,052	1,265	1,467
AT1G18300_1	1,113	6,347	7,587
AT1G18310_1	1,008	1,174	1,165
AT1G18320_1	1,011	1,272	1,160
AT1G18330_1	0,820	0,459	0,134
AT1G18330_2	0,986	0,669	0,350

AGI	NaCl-Kontrolle zur H₂O-Kontrolle (log₂)	H₂O +B.c. zur H₂O-Kontrolle (log₂)	NaCl +B.c. zur H₂O-Kontrolle (log₂)
AT1G18335_1	0,921	0,474	0,792
AT1G18340_1	0,881	0,405	0,312
AT1G18350_1	0,549	1,424	0,527
AT1G18360_1	1,103	0,267	0,103
AT1G18370_1	0,699	0,373	0,312
AT1G18382_1	0,641	4,032	4,140
AT1G18390_1	0,781	2,554	2,548
AT1G18390_2	0,993	0,981	0,902
AT1G18400_1	0,514	0,129	0,036
AT1G18410_1	0,876	0,904	1,164
AT1G18415_1	1,117	0,240	0,130
AT1G18420_1	1,060	0,879	1,414
AT1G18440_1	0,667	0,362	0,429
AT1G18450_1	1,102	0,845	0,429
AT1G18460_1	1,019	0,629	0,420
AT1G18470_1	1,023	0,907	1,288
AT1G18470_2	0,794	0,989	4,305
AT1G18480_1	1,015	2,383	2,633
AT1G18485_1	1,225	0,279	0,112
AT1G18486_1	1,449	1,620	2,354
AT1G18490_1	1,045	0,477	0,263
AT1G18500_1	1,020	1,178	1,057
AT1G18510_1	1,077	0,988	1,119
AT1G18520_1	1,068	1,180	1,418
AT1G18530_1	1,085	1,234	1,237
AT1G18540_1	1,012	0,804	0,628
AT1G18550_1	0,859	0,513	0,367
AT1G18560_1	0,919	0,901	1,223
AT1G18570_1	0,788	3,351	2,959
AT1G18580_1	0,884	1,019	0,955
AT1G18590_1	1,062	1,806	2,023
AT1G18600_1	1,053	0,854	1,005
AT1G18610_1	1,163	0,680	0,663
AT1G18620_1	1,071	0,129	0,025
AT1G18630_1	0,906	0,804	0,974
AT1G18640_2	0,985	0,994	0,940
AT1G18650_1	0,895	0,468	0,072
AT1G18660_1	1,135	1,122	1,006
AT1G18660_4	1,054	0,476	0,538
AT1G18670_1	1,136	0,423	0,384
AT1G18680_1	0,907	0,918	0,998
AT1G18690_1	1,074	1,273	0,876
AT1G18700_1	1,044	0,712	0,765
AT1G18700_2	0,646	1,026	1,331
AT1G18700_3	1,004	0,704	0,756
AT1G18710_1	1,514	1,749	0,610
AT1G18720_1	1,031	0,924	1,313
AT1G18730_1	0,840	0,286	0,080
AT1G18730_2	0,853	0,224	0,076
AT1G18730_3	0,874	0,288	0,078

AGI	NaCl-Kontrolle zur H₂O-Kontrolle (log₂)	H₂O +B.c. zur H₂O-Kontrolle (log₂)	NaCl +B.c. zur H₂O-Kontrolle (log₂)
AT1G18730_4	0,887	0,128	0,093
AT1G18735_1	0,992	0,743	0,681
AT1G18740_1	0,858	1,464	1,297
AT1G18750_1	1,065	1,796	1,390
AT1G18750_2	1,098	2,029	1,608
AT1G18760_1	0,926	1,064	0,992
AT1G18770_1	1,200	1,628	2,053
AT1G18773_1	1,090	0,737	0,613
AT1G18780_1	1,051	1,094	1,215
AT1G18790_1	1,110	1,054	1,073
AT1G18800_1	1,133	1,085	0,723
AT1G18810_1	0,800	0,397	0,090
AT1G18830_1	1,139	2,075	4,448
AT1G18835_1	1,446	1,914	2,912
AT1G18840_1	1,148	0,141	0,042
AT1G18850_1	1,028	2,157	1,318
AT1G18860_1	0,940	4,362	23,488
AT1G18870_1	0,740	0,209	1,105
AT1G18871_1	0,849	0,900	1,087
AT1G18880_1	0,847	0,494	0,746
AT1G18890_1	0,671	2,098	2,332
AT1G18900_1	1,069	2,981	2,529
AT1G18910_1	0,761	0,540	0,605
AT1G18930_1	1,045	1,351	1,454
AT1G18940_1	0,987	0,793	0,811
AT1G18950_1	1,073	1,024	1,000
AT1G18960_1	1,123	1,104	1,359
AT1G18970_1	0,986	1,020	1,144
AT1G18980_1	0,962	1,392	3,714
AT1G18990_1	0,925	0,798	0,858
AT1G19000_1	1,118	0,755	0,602
AT1G19000_2	1,075	0,810	0,652
AT1G19010_1	0,835	1,370	2,265
AT1G19010_2	0,827	1,394	2,405
AT1G19020_1	0,208	13,788	18,037
AT1G19025_1	0,875	0,587	0,666
AT1G19030_1	1,157	1,337	1,804
AT1G19040_1	0,929	0,975	1,037
AT1G19050_1	0,904	0,207	0,065
AT1G19060_1	1,093	1,137	1,303
AT1G19070_1	0,982	0,523	0,480
AT1G19080_1	0,852	0,365	0,410
AT1G19086_1	1,284	1,499	1,903
AT1G19090_1	1,095	1,104	1,213
AT1G19100_1	1,004	0,918	0,714
AT1G19110_1	0,919	0,946	0,862
AT1G19115_1	0,987	0,983	1,024
AT1G19115_2	1,024	1,060	1,105
AT1G19115_3	0,983	1,015	1,026
AT1G19120_1	0,823	0,605	0,543

AGI	NaCl-Kontrolle zur H₂O-Kontrolle (log₂)	H₂O +B.c. zur H₂O-Kontrolle (log₂)	NaCl +B.c. zur H₂O-Kontrolle (log₂)
AT1G19130_1	0,887	1,902	1,993
AT1G19140_1	1,292	1,742	1,472
AT1G19140_2	1,326	1,811	1,491
AT1G19150_1	1,012	0,341	0,018
AT1G19160_1	0,966	1,332	1,623
AT1G19170_1	1,024	0,694	0,646
AT1G19180_1	0,858	2,872	3,145
AT1G19180_2	0,880	1,753	3,805
AT1G19190_1	1,079	1,676	2,650
AT1G19200_1	0,783	1,881	14,925
AT1G19210_1	1,282	4,278	5,854
AT1G19220_1	1,009	0,433	0,437
AT1G19230_1	0,897	1,539	3,602
AT1G19240_1	0,886	1,109	0,901
AT1G19250_1	0,976	54,630	137,653
AT1G19260_1	0,955	1,093	1,003
AT1G19270_1	0,981	1,061	1,893
AT1G19290_1	1,337	0,863	0,758
AT1G19300_1	0,882	3,453	3,183
AT1G19310_1	0,981	1,228	1,235
AT1G19320_1	0,480	0,542	0,401
AT1G19330_1	0,774	0,187	0,070
AT1G19330_2	0,729	0,184	0,083
AT1G19340_1	0,668	0,427	0,136
AT1G19350_1	0,900	0,881	0,720
AT1G19350_3	0,855	0,818	0,691
AT1G19350_6	0,909	0,827	0,672
AT1G19360_1	0,871	1,308	1,298
AT1G19370_1	1,017	0,416	0,434
AT1G19371_1	1,152	1,040	1,071
AT1G19373_1	0,972	0,929	0,906
AT1G19376_1	1,150	1,196	1,452
AT1G19380_1	0,349	2,348	1,416
AT1G19390_1	1,036	1,135	1,012
AT1G19392_1	1,042	1,369	1,452
AT1G19394_1	1,122	0,915	1,184
AT1G19397_1	0,940	0,893	1,666
AT1G19400_1	1,049	0,294	0,302
AT1G19400_2	0,982	0,614	0,535
AT1G19410_1	0,978	0,969	1,077
AT1G19415_1	0,882	0,880	0,939
AT1G19420_1	0,809	0,654	0,720
AT1G19430_1	1,025	0,503	0,499
AT1G19440_1	0,773	0,565	0,728
AT1G19450_1	0,839	0,922	0,720
AT1G19460_1	1,059	1,265	1,467
AT1G19470_1	1,132	1,285	1,504
AT1G19480_1	0,988	0,615	0,708
AT1G19480_2	0,878	0,769	0,741
AT1G19485_1	1,018	0,770	0,813

AGI	NaCl-Kontrolle zur H₂O-Kontrolle (log₂)	H₂O +B.c. zur H₂O-Kontrolle (log₂)	NaCl +B.c. zur H₂O-Kontrolle (log₂)
AT1G19490_1	1,499	4,048	3,736
AT1G19500_1	1,198	1,505	1,728
AT1G19510_1	0,957	1,825	1,356
AT1G19520_1	1,045	0,908	0,568
AT1G19530_1	1,003	1,413	1,156
AT1G19540_1	1,073	1,257	0,893
AT1G19550_1	1,273	2,133	2,199
AT1G19560_1	0,861	0,746	0,733
AT1G19570_1	1,023	1,011	1,042
AT1G19570_2	1,060	1,040	1,022
AT1G19580_1	0,915	1,164	1,114
AT1G19600_1	0,978	0,829	0,619
AT1G19610_1	0,970	4,108	7,410
AT1G19620_1	0,951	0,354	0,340
AT1G19630_1	1,384	0,453	0,486
AT1G19640_1	1,167	2,824	6,552
AT1G19650_1	1,073	1,136	1,188
AT1G19660_1	0,960	0,786	1,521
AT1G19660_2	1,046	0,651	1,208
AT1G19670_1	0,923	1,709	1,605
AT1G19680_1	1,066	2,269	1,811
AT1G19690_1	1,071	0,324	0,198
AT1G19700_1	1,091	1,545	1,649
AT1G19710_1	0,902	0,467	0,321
AT1G19715_1	1,217	0,422	0,231
AT1G19720_1	1,099	0,459	0,181
AT1G19730_1	0,949	0,872	1,494
AT1G19740_1	1,086	0,559	0,489
AT1G19750_1	1,147	0,885	0,984
AT1G19770_1	0,913	0,973	0,818
AT1G19780_1	0,991	0,871	0,916
AT1G19790_1	0,900	0,917	0,989
AT1G19800_1	1,033	0,559	0,424
AT1G19800_2	1,019	0,565	0,446
AT1G19800_3	1,042	0,562	0,453
AT1G19810_1	0,956	0,974	1,312
AT1G19830_1	1,099	1,103	1,073
AT1G19835_1	1,026	0,445	0,119
AT1G19840_1	0,835	0,472	0,481
AT1G19850_1	1,133	0,896	4,384
AT1G19860_1	1,004	1,248	1,298
AT1G19870_1	1,055	0,779	0,600
AT1G19880_1	1,015	0,885	0,889
AT1G19890_1	1,045	1,170	1,133
AT1G19900_1	1,073	1,195	1,513
AT1G19910_1	1,027	1,152	1,332
AT1G19920_1	1,037	0,849	0,607
AT1G19930_1	1,105	1,256	1,235
AT1G19940_1	0,929	0,070	0,029
AT1G19950_1	0,746	0,248	0,143

AGI	NaCl-Kontrolle zur H₂O-Kontrolle (log₂)	H₂O +B.c. zur H₂O-Kontrolle (log₂)	NaCl +B.c. zur H₂O-Kontrolle (log₂)
AT1G19960_1	1,148	0,126	0,181
AT1G19968_1	1,065	1,147	1,302
AT1G19970_1	0,973	0,602	1,933
AT1G19980_1	0,972	1,305	1,915
AT1G19990_1	0,855	0,578	0,405
AT1G20000_1	0,985	1,084	1,027
AT1G20010_1	0,956	0,240	0,051
AT1G20015_1	1,059	0,944	1,043
AT1G20020_1	0,961	0,484	0,263
AT1G20020_2	0,997	0,522	0,274
AT1G20020_3	1,017	0,508	0,281
AT1G20030_1	1,275	0,108	0,195
AT1G20030_2	0,879	0,654	0,777
AT1G20050_1	0,930	0,791	0,795
AT1G20060_1	0,725	0,293	0,250
AT1G20065_1	1,085	1,159	0,856
AT1G20065_2	1,016	1,049	1,130
AT1G20070_1	0,611	0,270	0,561
AT1G20080_1	0,955	0,775	0,912
AT1G20090_1	0,937	0,983	1,165
AT1G20100_1	0,986	1,309	2,620
AT1G20100_2	0,985	1,189	2,297
AT1G20110_1	0,979	1,131	1,336
AT1G20120_1	0,943	1,366	2,077
AT1G20130_1	1,022	0,997	0,969
AT1G20132_1	1,109	1,020	1,049
AT1G20135_1	1,103	0,937	1,026
AT1G20140_1	1,091	1,735	1,493
AT1G20150_1	1,050	1,154	1,361
AT1G20160_1	1,765	0,340	0,076
AT1G20180_1	1,093	0,993	2,348
AT1G20180_2	1,031	1,101	2,108
AT1G20190_1	1,076	0,055	0,008
AT1G20200_1	0,988	1,012	1,323
AT1G20220_1	1,125	1,080	0,818
AT1G20225_1	1,021	1,099	1,683
AT1G20230_1	1,101	0,540	0,353
AT1G20240_1	1,053	1,043	1,069
AT1G20260_1	1,014	0,892	0,884
AT1G20270_1	0,990	0,940	1,169
AT1G20280_1	1,087	1,784	2,407
AT1G20290_1	1,067	1,048	1,012
AT1G20300_1	1,019	1,564	0,876
AT1G20310_1	0,980	14,257	14,526
AT1G20320_1	0,955	1,097	1,080
AT1G20330_1	0,915	1,030	0,687
AT1G20340_1	0,980	0,700	0,378
AT1G20350_1	0,989	4,252	6,126
AT1G20360_1	0,984	1,113	1,066
AT1G20370_1	1,074	0,851	0,504

AGI	NaCl-Kontrolle zur H₂O-Kontrolle (log₂)	H₂O +B.c. zur H₂O-Kontrolle (log₂)	NaCl +B.c. zur H₂O-Kontrolle (log₂)
AT1G20375_1	1,019	0,955	0,967
AT1G20380_1	1,214	0,432	0,221
AT1G20390_1	1,453	0,354	0,416
AT1G20400_1	1,064	1,199	1,403
AT1G20405_1	1,073	1,166	1,245
AT1G20410_1	0,892	0,612	0,293
AT1G20430_1	0,989	0,805	0,622
AT1G20440_1	0,952	0,375	1,247
AT1G20450_1	1,022	0,479	1,121
AT1G20460_1	0,944	1,351	2,030
AT1G20470_1	1,146	0,646	0,445
AT1G20480_1	0,955	0,784	0,780
AT1G20490_1	1,132	1,282	0,645
AT1G20500_1	1,111	1,167	0,915
AT1G20510_1	0,878	1,944	1,546
AT1G20510_2	1,002	2,551	1,611
AT1G20515_1	0,818	0,952	0,559
AT1G20520_1	0,995	1,389	0,555
AT1G20530_1	1,007	0,885	0,890
AT1G20540_1	0,990	0,376	0,303
AT1G20550_1	0,996	0,532	0,405
AT1G20560_1	1,103	1,110	1,617
AT1G20570_1	1,136	0,521	0,281
AT1G20575_1	0,821	1,179	1,543
AT1G20580_1	0,877	0,816	0,705
AT1G20590_1	0,965	0,500	0,496
AT1G20600_1	1,060	1,207	1,323
AT1G20610_1	0,826	0,235	0,198
AT1G20620_1	1,026	1,043	1,020
AT1G20620_2	1,029	0,516	0,531
AT1G20620_5	1,054	1,060	1,007
AT1G20630_1	0,989	0,675	1,284
AT1G20640_1	1,087	1,042	0,774
AT1G20650_1	1,229	0,547	0,169
AT1G20657_1	1,022	1,000	1,183
AT1G20670_1	1,012	0,792	0,969
AT1G20680_1	0,968	1,010	1,324
AT1G20690_1	1,041	0,672	0,582
AT1G20693_1	0,953	0,599	0,766
AT1G20693_2	0,929	0,600	0,764
AT1G20693_3	0,921	0,596	0,735
AT1G20696_1	1,001	0,764	1,011
AT1G20696_2	0,976	0,766	1,013
AT1G20696_3	0,999	0,760	1,016
AT1G20700_1	1,214	1,294	1,468
AT1G20710_1	1,053	0,991	1,330
AT1G20720_1	0,642	0,311	0,320
AT1G20730_1	1,040	1,050	1,236
AT1G20740_1	1,003	1,002	1,607
AT1G20750_1	1,112	1,204	1,294

AGI	NaCl-Kontrolle zur H₂O-Kontrolle (log₂)	H₂O +B.c. zur H₂O-Kontrolle (log₂)	NaCl +B.c. zur H₂O-Kontrolle (log₂)
AT1G20760_1	1,002	0,872	0,944
AT1G20770_1	0,956	1,001	1,141
AT1G20780_1	0,822	0,869	0,918
AT1G20790_1	1,238	1,451	1,461
AT1G20795_1	1,106	1,114	1,178
AT1G20800_1	1,102	1,247	1,260
AT1G20810_1	0,899	0,364	0,257
AT1G20816_1	1,009	0,819	0,447
AT1G20820_1	1,080	1,251	1,653
AT1G20823_1	0,786	2,122	0,795
AT1G20830_1	1,010	0,753	0,635
AT1G20840_1	0,838	0,391	0,392
AT1G20850_1	0,812	0,319	0,209
AT1G20860_1	1,235	1,499	2,264
AT1G20870_1	0,906	0,270	0,235
AT1G20875_1	1,198	1,256	1,512
AT1G20880_1	1,033	1,109	1,883
AT1G20890_1	0,981	0,990	1,550
AT1G20900_1	1,107	1,294	1,461
AT1G20910_1	1,048	1,225	1,184
AT1G20920_1	0,938	0,909	1,113
AT1G20925_1	1,136	1,260	1,280
AT1G20930_1	0,770	0,606	0,983
AT1G20940_1	0,971	1,151	1,038
AT1G20950_1	1,114	0,555	0,272
AT1G20960_1	1,141	1,017	0,948
AT1G20967_1	1,037	1,043	1,107
AT1G20970_1	0,982	0,805	1,154
AT1G20980_1	0,978	1,338	1,541
AT1G20990_1	1,062	1,403	1,810
AT1G21000_1	1,005	2,913	4,559
AT1G21000_2	1,002	2,212	2,977
AT1G21010_1	0,912	1,333	2,066
AT1G21020_1	1,346	1,451	1,613
AT1G21050_1	0,503	1,593	0,586
AT1G21060_1	0,605	0,356	0,273
AT1G21065_1	0,932	0,635	0,701
AT1G21070_1	0,788	0,523	0,496
AT1G21080_1	0,814	1,294	1,699
AT1G21080_2	0,933	0,988	1,132
AT1G21090_1	0,911	0,336	0,662
AT1G21100_1	0,798	2,650	1,766
AT1G21110_1	0,885	2,094	1,253
AT1G21120_1	0,789	2,553	1,597
AT1G21130_1	0,835	1,274	0,897
AT1G21130_2	0,806	1,418	0,953
AT1G21140_1	0,745	0,883	2,240
AT1G21150_1	1,019	0,307	0,188
AT1G21160_1	1,029	0,763	1,051
AT1G21170_1	1,041	0,983	1,403

AGI	NaCl-Kontrolle zur H₂O-Kontrolle (log₂)	H₂O +B.c. zur H₂O-Kontrolle (log₂)	NaCl +B.c. zur H₂O-Kontrolle (log₂)
AT1G21190_1	1,154	0,995	0,996
AT1G21200_1	0,982	1,244	1,477
AT1G21210_1	1,053	1,156	1,328
AT1G21220_1	1,122	1,611	1,530
AT1G21230_1	1,264	1,116	1,036
AT1G21240_1	1,040	6,273	8,334
AT1G21245_1	1,137	1,650	1,728
AT1G21250_1	1,005	0,923	1,184
AT1G21260_1	1,051	0,850	0,655
AT1G21270_1	0,924	0,590	0,693
AT1G21280_1	0,948	1,382	1,062
AT1G21281_1	1,019	0,969	1,208
AT1G21286_1	1,096	0,892	0,869
AT1G21290_1	1,296	1,233	1,433
AT1G21300_1	1,230	1,236	1,102
AT1G21310_1	1,439	12,676	15,514
AT1G21320_1	1,187	2,695	1,823
AT1G21320_2	1,223	1,386	1,330
AT1G21323_1	1,063	1,028	1,095
AT1G21326_1	0,833	3,325	1,720
AT1G21327_1	1,299	1,511	1,675
AT1G21330_1	1,008	0,916	1,018
AT1G21340_1	1,112	1,090	1,209
AT1G21350_1	1,037	0,763	0,812
AT1G21350_2	0,963	0,471	0,497
AT1G21350_3	0,945	0,479	0,475
AT1G21360_1	0,956	1,073	1,034
AT1G21370_1	0,830	1,723	2,799
AT1G21370_2	0,875	1,757	2,566
AT1G21380_1	0,887	1,122	1,239
AT1G21390_1	0,932	0,986	4,279
AT1G21395_1	0,854	1,031	1,086
AT1G21400_1	1,249	1,349	3,197
AT1G21410_1	1,097	0,977	3,249
AT1G21430_1	1,318	1,271	1,452
AT1G21440_1	1,123	0,301	0,072
AT1G21450_1	1,007	1,492	1,863
AT1G21460_1	0,701	1,028	0,273
AT1G21470_1	1,056	1,136	1,316
AT1G21475_1	1,009	1,251	1,201
AT1G21480_1	0,903	0,469	0,444
AT1G21480_2	0,795	0,644	0,703
AT1G21490_1	1,042	1,068	1,219
AT1G21500_1	0,875	0,214	0,036
AT1G21510_1	0,936	0,699	0,771
AT1G21520_1	0,616	0,400	1,794
AT1G21525_1	1,050	1,080	2,235
AT1G21528_1	0,957	0,961	1,036
AT1G21530_1	1,248	1,319	1,684
AT1G21530_2	1,388	1,413	1,813

AGI	NaCl-Kontrolle zur H₂O-Kontrolle (log₂)	H₂O +B.c. zur H₂O-Kontrolle (log₂)	NaCl +B.c. zur H₂O-Kontrolle (log₂)
AT1G21540_1	0,693	0,177	0,124
AT1G21550_1	0,686	6,950	10,509
AT1G21560_1	1,034	0,388	0,080
AT1G21570_1	0,942	0,927	0,901
AT1G21580_1	1,081	0,934	0,965
AT1G21590_1	1,099	0,943	0,787
AT1G21600_1	1,049	0,319	0,159
AT1G21600_2	1,102	1,235	1,472
AT1G21610_1	1,002	0,548	0,750
AT1G21620_1	1,155	1,273	1,363
AT1G21630_1	0,966	0,910	0,915
AT1G21640_1	0,972	0,835	1,022
AT1G21650_1	1,646	0,706	0,392
AT1G21651_1	1,036	0,764	1,056
AT1G21660_1	1,023	1,146	1,040
AT1G21670_1	1,105	0,486	0,802
AT1G21680_1	1,125	0,566	0,728
AT1G21690_1	0,971	0,658	0,397
AT1G21690_2	1,032	0,636	0,360
AT1G21695_1	1,030	1,010	1,198
AT1G21700_1	1,017	0,980	0,968
AT1G21710_1	0,991	0,889	0,821
AT1G21720_1	0,922	0,908	1,122
AT1G21722_1	1,119	1,218	1,327
AT1G21730_1	0,986	0,265	0,185
AT1G21740_1	0,890	0,789	0,549
AT1G21750_1	1,080	1,001	1,071
AT1G21750_2	1,199	0,973	1,214
AT1G21760_1	1,149	1,338	1,587
AT1G21770_1	1,056	0,757	2,121
AT1G21780_1	0,973	0,747	1,341
AT1G21780_2	1,002	0,704	1,285
AT1G21790_1	0,873	0,322	0,569
AT1G21810_1	0,911	0,429	0,450
AT1G21830_1	0,765	0,806	0,655
AT1G21835_1	1,000	1,000	1,027
AT1G21840_1	1,043	0,652	0,875
AT1G21850_1	1,086	1,638	3,196
AT1G21860_1	1,082	1,179	1,312
AT1G21864_1	0,977	1,025	1,025
AT1G21866_1	0,987	1,004	0,983
AT1G21870_1	1,130	1,157	1,271
AT1G21880_1	0,889	0,344	0,062
AT1G21880_2	0,951	0,347	0,080
AT1G21890_1	1,181	1,374	1,631
AT1G21900_1	0,936	2,080	2,738
AT1G21910_1	0,683	0,858	0,227
AT1G21920_1	1,027	1,026	2,269
AT1G21925_1	1,039	0,996	1,070
AT1G21928_1	1,081	1,132	1,134

AGI	NaCl-Kontrolle zur H₂O-Kontrolle (log₂)	H₂O +B.c. zur H₂O-Kontrolle (log₂)	NaCl +B.c. zur H₂O-Kontrolle (log₂)
AT1G21930_1	0,819	0,599	0,792
AT1G21940_1	1,055	1,463	2,289
AT1G21945_1	1,180	1,457	2,184
AT1G21950_1	1,055	1,438	1,855
AT1G21960_1	0,924	1,131	1,191
AT1G21970_1	1,237	1,530	2,033
AT1G21973_1	1,006	1,012	1,035
AT1G21975_1	1,102	1,172	1,428
AT1G21980_1	1,075	0,789	1,715
AT1G21990_1	1,232	1,223	1,243
AT1G22000_1	1,176	0,929	0,911
AT1G22010_1	0,991	0,993	1,071
AT1G22015_1	1,305	1,747	1,319
AT1G22020_1	0,924	1,423	1,852
AT1G22030_1	0,914	0,336	0,149
AT1G22040_1	1,095	0,945	1,371
AT1G22050_1	1,062	0,886	0,943
AT1G22060_1	1,036	0,446	0,253
AT1G22065_1	1,038	0,951	0,816
AT1G22067_1	1,021	1,013	1,092
AT1G22070_1	0,993	1,092	1,020
AT1G22080_1	0,937	1,260	1,697
AT1G22090_1	1,026	1,195	1,098
AT1G22100_1	1,123	1,145	1,207
AT1G22110_1	1,039	1,322	1,629
AT1G22120_1	0,968	1,050	1,086
AT1G22130_1	1,057	1,150	1,353
AT1G22140_1	0,779	1,378	1,645
AT1G22140_2	0,709	1,742	2,326
AT1G22150_1	1,017	1,161	1,709
AT1G22160_1	1,465	1,639	0,960
AT1G22170_1	0,985	0,211	0,219
AT1G22180_1	0,970	3,321	3,756
AT1G22180_2	1,022	1,520	1,913
AT1G22180_3	1,020	1,135	1,265
AT1G22190_1	1,241	0,938	1,460
AT1G22200_1	0,946	1,493	1,518
AT1G22210_1	1,042	1,110	1,231
AT1G22220_1	1,290	1,069	1,181
AT1G22230_1	0,897	0,630	0,669
AT1G22240_1	1,045	1,132	1,132
AT1G22250_1	0,766	0,100	0,034
AT1G22260_1	0,997	0,309	0,321
AT1G22270_1	0,862	0,950	0,721
AT1G22275_1	1,037	0,666	0,690
AT1G22280_1	0,862	1,024	1,320
AT1G22280_2	1,427	1,796	2,460
AT1G22290_1	1,238	1,337	1,643
AT1G22300_1	0,922	0,960	1,404
AT1G22300_2	0,893	0,997	1,286

AGI	NaCl-Kontrolle zur H₂O-Kontrolle (log₂)	H₂O +B.c. zur H₂O-Kontrolle (log₂)	NaCl +B.c. zur H₂O-Kontrolle (log₂)
AT1G22300_3	0,681	0,367	0,516
AT1G22310_1	0,945	0,693	0,987
AT1G22310_2	0,867	0,612	0,823
AT1G22330_1	0,551	0,219	0,048
AT1G22340_1	1,131	1,867	10,973
AT1G22350_1	0,980	0,969	1,321
AT1G22360_1	0,910	1,356	1,524
AT1G22360_2	0,888	1,364	1,569
AT1G22370_1	1,042	0,309	0,497
AT1G22370_2	1,078	0,742	1,287
AT1G22380_1	1,151	2,399	13,650
AT1G22400_1	0,416	24,050	33,304
AT1G22403_1	0,989	1,381	2,982
AT1G22410_1	0,992	1,859	1,834
AT1G22420_1	0,976	2,482	4,278
AT1G22430_1	0,994	0,440	0,112
AT1G22430_2	1,083	0,479	0,122
AT1G22440_1	1,128	1,265	1,381
AT1G22450_1	1,030	1,067	1,077
AT1G22460_1	1,004	1,151	1,215
AT1G22470_1	0,913	0,975	1,011
AT1G22480_1	1,252	1,530	2,922
AT1G22490_1	1,004	0,322	1,138
AT1G22500_1	1,032	0,796	0,413
AT1G22510_1	0,811	1,647	1,672
AT1G22520_1	0,797	0,852	1,133
AT1G22520_2	1,041	1,011	0,932
AT1G22530_1	0,746	1,473	0,711
AT1G22540_1	1,103	0,432	0,430
AT1G22550_1	0,986	0,650	0,570
AT1G22560_1	0,941	1,155	1,180
AT1G22570_1	1,081	0,532	0,882
AT1G22580_1	0,958	1,112	0,981
AT1G22590_1	1,145	1,379	1,896
AT1G22590_2	1,081	0,511	0,693
AT1G22600_1	0,786	0,818	0,840
AT1G22610_1	0,927	0,971	0,726
AT1G22620_1	1,050	0,402	0,623
AT1G22630_1	0,881	0,224	0,093
AT1G22640_1	0,996	0,718	1,431
AT1G22650_1	0,716	1,204	0,785
AT1G22651_1	1,329	1,216	1,438
AT1G22660_1	0,984	0,691	0,622
AT1G22660_2	1,117	0,674	0,608
AT1G22670_1	1,030	1,240	1,408
AT1G22680_1	1,229	1,635	1,956
AT1G22690_1	0,519	0,585	0,110
AT1G22700_1	0,929	0,422	0,201
AT1G22710_1	1,079	0,597	0,682
AT1G22720_1	1,365	1,525	1,421

AGI	NaCl-Kontrolle zur H₂O-Kontrolle (log₂)	H₂O +B.c. zur H₂O-Kontrolle (log₂)	NaCl +B.c. zur H₂O-Kontrolle (log₂)
AT1G22730_1	1,101	1,180	1,243
AT1G22740_1	0,656	0,289	0,092
AT1G22750_1	0,959	0,865	1,130
AT1G22750_4	1,026	0,869	1,147
AT1G22760_1	1,186	1,295	1,379
AT1G22767_1	0,974	1,023	1,134
AT1G22770_1	1,131	0,556	0,589
AT1G22780_1	0,963	0,964	0,775
AT1G22790_1	0,824	0,386	0,291
AT1G22790_2	0,841	0,372	0,282
AT1G22800_1	1,083	0,571	0,529
AT1G22810_1	0,970	2,882	2,861
AT1G22830_1	1,220	0,755	0,472
AT1G22840_1	0,800	1,656	2,380
AT1G22850_1	1,001	0,775	0,492
AT1G22860_1	1,059	0,711	0,923
AT1G22870_1	0,899	1,211	1,251
AT1G22880_1	1,201	1,199	0,667
AT1G22880_2	1,169	1,287	0,735
AT1G22882_1	0,961	1,845	2,860
AT1G22885_1	0,529	0,742	1,839
AT1G22885_2	0,637	1,037	2,049
AT1G22890_1	0,346	2,788	3,368
AT1G22900_1	0,789	11,499	12,439
AT1G22910_1	1,008	0,819	0,720
AT1G22910_2	1,017	0,838	0,702
AT1G22920_1	0,834	1,248	0,910
AT1G22920_2	0,924	1,185	0,947
AT1G22930_1	0,982	1,645	2,550
AT1G22940_1	1,040	0,722	0,685
AT1G22950_1	0,908	1,448	1,042
AT1G22960_1	1,122	1,456	1,265
AT1G22970_1	0,970	1,068	1,089
AT1G22980_1	1,048	1,029	1,018
AT1G22985_1	1,021	0,983	1,994
AT1G22990_1	1,371	1,315	1,631
AT1G23000_1	0,990	0,752	0,852
AT1G23010_1	1,070	0,524	2,279
AT1G23020_1	0,962	1,916	1,562
AT1G23030_1	0,790	0,987	0,697
AT1G23037_1	1,024	1,277	1,635
AT1G23040_1	0,760	7,390	19,487
AT1G23050_1	0,857	0,807	1,012
AT1G23060_1	0,804	1,512	7,397
AT1G23060_2	0,908	1,783	8,291
AT1G23070_1	1,194	1,286	2,264
AT1G23074_1	1,277	1,826	2,556
AT1G23080_1	0,968	0,362	0,105
AT1G23080_2	0,741	0,303	0,246
AT1G23080_3	0,960	0,388	0,114

AGI	NaCl-Kontrolle zur H₂O-Kontrolle (log₂)	H₂O +B.c. zur H₂O-Kontrolle (log₂)	NaCl +B.c. zur H₂O-Kontrolle (log₂)
AT1G23090_1	0,335	6,072	7,073
AT1G23100_1	0,887	0,854	0,736
AT1G23110_1	1,013	1,008	1,081
AT1G23110_2	1,094	1,408	2,851
AT1G23110_3	1,048	1,256	2,764
AT1G23120_1	1,176	6,490	22,180
AT1G23130_1	0,814	0,903	0,762
AT1G23140_1	0,810	1,782	4,613
AT1G23145_1	1,091	1,202	1,468
AT1G23147_1	1,113	1,253	1,146
AT1G23149_1	0,877	1,854	2,120
AT1G23160_1	1,036	2,378	3,388
AT1G23170_1	0,902	0,392	0,253
AT1G23180_1	1,111	0,510	0,486
AT1G23190_1	1,171	0,788	1,491
AT1G23200_1	0,615	1,406	2,648
AT1G23201_1	1,140	1,443	4,705
AT1G23205_1	0,468	0,501	0,235
AT1G23210_1	1,087	1,192	1,270
AT1G23220_1	0,871	1,030	1,241
AT1G23230_1	1,237	0,910	0,994
AT1G23240_1	0,989	0,991	0,958
AT1G23240_2	0,991	1,035	1,080
AT1G23240_3	0,984	1,027	1,040
AT1G23250_1	1,227	1,505	1,858
AT1G23260_1	0,929	0,916	0,995
AT1G23270_1	1,025	1,048	1,054
AT1G23280_1	1,070	1,255	0,934
AT1G23290_1	0,948	0,958	0,710
AT1G23300_1	1,240	1,711	1,968
AT1G23310_1	1,035	0,972	0,793
AT1G23310_2	0,984	0,985	0,803
AT1G23320_1	1,074	1,043	0,941
AT1G23330_1	1,080	1,632	1,921
AT1G23340_1	0,555	0,271	0,259
AT1G23340_2	0,825	0,161	0,044
AT1G23350_1	0,942	0,903	0,887
AT1G23360_1	0,874	0,290	0,213
AT1G23360_2	1,145	0,966	0,912
AT1G23360_3	0,875	0,291	0,222
AT1G23380_1	1,056	0,948	0,904
AT1G23390_1	0,914	0,361	0,372
AT1G23400_1	1,040	0,438	0,331
AT1G23410_1	0,887	0,908	0,688
AT1G23420_1	0,986	1,100	1,120
AT1G23440_1	0,881	1,657	2,681
AT1G23440_2	1,008	2,539	7,707
AT1G23450_1	1,444	0,773	0,879
AT1G23460_1	0,823	0,339	0,406
AT1G23465_1	1,095	0,639	0,698

AGI	NaCl-Kontrolle zur H₂O-Kontrolle (log₂)	H₂O +B.c. zur H₂O-Kontrolle (log₂)	NaCl +B.c. zur H₂O-Kontrolle (log₂)
AT1G23470_1	1,012	0,395	0,426
AT1G23480_1	0,606	0,476	0,100
AT1G23490_1	0,980	1,062	1,060
AT1G23500_1	1,036	1,081	1,118
AT1G23510_1	0,893	0,907	0,989
AT1G23510_2	1,078	1,330	1,685
AT1G23520_1	1,035	1,174	1,493
AT1G23530_1	0,657	0,503	0,796
AT1G23540_1	0,960	1,294	1,676
AT1G23550_1	0,798	12,732	27,395
AT1G23560_1	0,919	2,996	23,558
AT1G23570_1	0,916	0,873	0,896
AT1G23570_2	0,983	1,006	1,057
AT1G23570_3	0,924	0,936	0,930
AT1G23580_1	1,007	0,980	1,050
AT1G23590_1	1,027	1,048	1,065
AT1G23590_2	0,964	0,962	0,943
AT1G23600_1	0,963	0,967	1,000
AT1G23600_2	0,941	0,975	1,085
AT1G23610_1	1,029	1,073	1,145
AT1G23620_1	0,971	0,920	0,911
AT1G23640_1	0,985	1,064	2,065
AT1G23650_1	1,161	1,240	1,159
AT1G23660_1	1,112	1,197	1,467
AT1G23670_1	1,076	1,148	1,273
AT1G23670_2	0,985	0,983	1,010
AT1G23680_1	1,103	1,471	2,004
AT1G23690_1	0,985	0,967	1,008
AT1G23690_2	1,077	1,261	1,191
AT1G23700_1	1,102	1,116	1,254
AT1G23710_1	0,897	6,049	6,807
AT1G23720_1	1,320	1,611	1,708
AT1G23724_1	1,119	1,039	1,096
AT1G23730_1	0,893	4,005	7,062
AT1G23740_1	1,017	0,664	0,539
AT1G23750_1	0,889	0,169	0,159
AT1G23760_1	1,012	1,020	0,962
AT1G23770_1	1,069	1,090	0,945
AT1G23780_1	1,096	1,144	1,359
AT1G23790_1	0,770	0,644	0,635
AT1G23800_1	1,039	1,488	7,350
AT1G23810_1	0,973	1,060	1,026
AT1G23820_1	1,043	0,951	0,786
AT1G23820_2	1,085	0,949	0,803
AT1G23830_1	0,807	1,655	1,093
AT1G23840_1	0,685	1,181	0,795
AT1G23850_1	0,631	12,804	6,107
AT1G23860_1	0,970	1,346	1,127
AT1G23860_2	0,970	1,267	1,106
AT1G23860_3	1,048	1,392	1,120

AGI	NaCl-Kontrolle zur H₂O-Kontrolle (log₂)	H₂O +B.c. zur H₂O-Kontrolle (log₂)	NaCl +B.c. zur H₂O-Kontrolle (log₂)
AT1G23870_1	0,478	0,615	1,495
AT1G23880_1	0,916	0,346	0,216
AT1G23890_1	0,995	0,505	0,403
AT1G23890_2	1,057	0,407	0,311
AT1G23900_1	1,018	1,313	1,529
AT1G23910_1	1,002	1,038	1,109
AT1G23920_1	1,248	1,459	1,650
AT1G23930_1	1,194	1,517	1,699
AT1G23935_1	0,969	0,238	0,316
AT1G23940_1	1,123	0,693	0,793
AT1G23950_1	0,983	1,015	0,917
AT1G23950_2	1,024	1,303	1,335
AT1G23950_3	1,069	1,347	1,432
AT1G23950_4	0,987	1,278	1,332
AT1G23950_5	1,065	1,376	1,354
AT1G23960_1	0,900	1,007	1,099
AT1G23960_2	0,928	0,961	1,107
AT1G23965_1	0,843	0,749	0,849
AT1G23970_1	1,023	1,396	1,396
AT1G23970_2	0,997	1,376	1,389
AT1G23980_1	0,862	0,846	0,592
AT1G23990_1	1,028	1,040	1,079
AT1G24000_1	1,016	1,298	1,584
AT1G24010_1	0,912	1,033	1,085
AT1G24020_1	1,014	0,064	0,025
AT1G24030_1	0,877	0,578	0,649
AT1G24030_2	0,666	0,329	0,365
AT1G24040_1	1,033	0,596	0,493
AT1G24040_2	0,943	0,481	0,415
AT1G24050_1	1,055	0,987	1,336
AT1G24060_1	1,074	1,219	1,190
AT1G24062_1	0,986	1,040	1,093
AT1G24068_1	0,951	1,068	1,043
AT1G24070_1	1,537	2,608	1,722
AT1G24090_1	1,057	1,209	1,691
AT1G24100_1	0,894	1,796	1,715
AT1G24110_1	1,272	1,417	1,283
AT1G24120_1	0,865	0,358	0,329
AT1G24130_1	1,112	0,803	0,793
AT1G24140_1	0,692	7,490	9,105
AT1G24145_1	0,372	3,809	6,729
AT1G24147_1	0,751	0,696	0,877
AT1G24148_1	0,929	1,024	0,765
AT1G24150_1	0,655	1,848	1,879
AT1G24159_1	0,986	1,025	1,102
AT1G24160_1	1,044	0,570	0,306
AT1G24170_1	0,659	0,813	0,380
AT1G24180_1	0,884	1,460	1,631
AT1G24190_1	0,985	1,116	1,363
AT1G24200_1	0,984	1,056	1,159

AGI	NaCl-Kontrolle zur H₂O-Kontrolle (log₂)	H₂O +B.c. zur H₂O-Kontrolle (log₂)	NaCl +B.c. zur H₂O-Kontrolle (log₂)
AT1G24210_1	1,067	0,839	0,774
AT1G24212_1	0,998	0,988	0,975
AT1G24220_1	1,013	1,066	1,320
AT1G24230_1	1,047	1,091	1,077
AT1G24240_1	1,006	0,574	0,607
AT1G24250_1	0,996	0,928	0,892
AT1G24256_1	1,025	0,980	1,043
AT1G24260_1	1,035	1,085	0,899
AT1G24260_2	0,993	0,968	0,963
AT1G24265_1	1,238	1,186	0,697
AT1G24265_2	1,031	1,190	1,330
AT1G24267_1	1,059	1,302	1,471
AT1G24267_2	1,009	1,315	1,391
AT1G24270_1	1,102	0,919	0,997
AT1G24280_1	0,983	0,615	0,604
AT1G24290_1	1,071	0,473	0,142
AT1G24300_1	1,002	0,929	0,919
AT1G24310_1	0,995	0,837	0,447
AT1G24320_1	1,080	0,980	0,945
AT1G24330_1	1,024	1,232	1,609
AT1G24340_1	1,049	0,933	0,716
AT1G24350_1	0,836	1,414	1,877
AT1G24350_2	0,966	0,892	1,779
AT1G24360_1	0,999	0,952	0,857
AT1G24370_1	0,959	1,035	0,961
AT1G24380_1	0,998	1,036	1,031
AT1G24388_1	1,010	1,070	1,067
AT1G24390_1	1,165	1,287	1,055
AT1G24400_1	1,116	0,489	0,427
AT1G24405_1	0,875	0,847	0,832
AT1G24420_1	0,809	0,845	0,957
AT1G24430_1	1,107	1,127	1,057
AT1G24440_1	0,929	0,799	1,468
AT1G24450_1	1,017	0,499	0,268
AT1G24460_1	0,957	0,983	1,443
AT1G24470_1	0,990	0,221	0,177
AT1G24480_1	1,014	0,950	0,919
AT1G24485_1	1,016	1,161	1,226
AT1G24485_3	0,948	1,211	1,369
AT1G24490_1	1,066	0,997	1,074
AT1G24490_2	1,291	1,028	1,285
AT1G24510_1	1,024	0,869	0,623
AT1G24520_1	1,200	1,728	2,150
AT1G24530_1	0,586	1,235	0,875
AT1G24540_1	1,007	1,134	1,387
AT1G24560_1	0,972	1,077	1,330
AT1G24570_1	0,953	1,085	1,150
AT1G24575_1	0,620	2,002	5,039
AT1G24577_1	0,830	0,565	0,642
AT1G24580_1	1,292	5,047	2,600

AGI	NaCl-Kontrolle zur H₂O-Kontrolle (log₂)	H₂O +B.c. zur H₂O-Kontrolle (log₂)	NaCl +B.c. zur H₂O-Kontrolle (log₂)
AT1G24590_1	0,949	1,022	1,083
AT1G24600_1	1,141	1,034	4,340
AT1G24610_1	0,984	0,483	0,399
AT1G24620_1	1,021	1,068	1,105
AT1G24625_1	1,027	1,408	0,991
AT1G24640_1	1,088	1,109	1,124
AT1G24650_1	1,037	1,042	1,171
AT1G24657_1	1,045	1,049	1,069
AT1G24686_1	0,965	0,959	1,044
AT1G24706_1	1,075	0,937	0,987
AT1G24733_1	1,079	0,804	0,727
AT1G24735_1	0,844	0,454	0,307
AT1G24764_1	1,186	0,311	0,182
AT1G24792_1	1,028	0,692	1,014
AT1G24793_1	1,055	0,470	0,395
AT1G24793_2	1,070	0,480	0,395
AT1G24800_1	1,048	1,309	1,509
AT1G24807_1	0,928	1,414	1,044
AT1G24822_1	1,259	1,105	1,009
AT1G24825_1	0,994	0,638	0,587
AT1G24825_2	1,066	0,344	0,500
AT1G24825_3	0,929	0,616	0,558
AT1G24825_4	0,991	0,658	0,588
AT1G24851_1	1,250	1,180	1,024
AT1G24879_1	1,059	0,689	1,031
AT1G24909_1	0,729	3,554	3,240
AT1G24938_1	1,157	1,453	1,571
AT1G24967_1	1,008	0,936	0,989
AT1G24996_1	1,028	0,635	0,612
AT1G25025_1	1,279	1,162	1,099
AT1G25053_1	1,029	0,697	0,986
AT1G25054_1	1,016	0,470	0,406
AT1G25054_2	1,036	0,487	0,385
AT1G25055_1	1,044	1,319	1,533
AT1G25083_1	0,741	2,746	2,550
AT1G25098_1	0,946	0,633	0,581
AT1G25098_2	0,895	0,517	0,574
AT1G25175_1	0,989	0,573	0,567
AT1G25209_1	1,020	0,692	0,969
AT1G25211_1	1,016	1,236	2,386
AT1G25220_1	0,672	5,175	4,595
AT1G25230_1	0,799	0,196	0,135
AT1G25240_1	1,152	1,203	1,353
AT1G25250_1	0,826	0,290	0,388
AT1G25260_1	1,062	1,485	0,923
AT1G25270_1	1,136	1,136	1,159
AT1G25275_1	0,733	0,969	1,327
AT1G25275_2	0,742	0,950	1,292
AT1G25275_3	0,723	0,985	1,314
AT1G25280_1	0,854	1,249	1,548

AGI	NaCl-Kontrolle zur H₂O-Kontrolle (log₂)	H₂O +B.c. zur H₂O-Kontrolle (log₂)	NaCl +B.c. zur H₂O-Kontrolle (log₂)
AT1G25280_2	0,887	1,372	1,665
AT1G25280_3	0,913	1,240	1,411
AT1G25290_1	0,901	0,543	0,387
AT1G25300_1	1,106	1,228	1,210
AT1G25310_1	1,099	1,126	1,124
AT1G25320_1	0,933	0,123	0,070
AT1G25330_1	1,004	1,016	1,250
AT1G25340_1	1,131	1,212	1,679
AT1G25340_2	1,065	1,072	1,221
AT1G25350_1	1,050	1,005	0,818
AT1G25360_1	1,244	0,756	0,537
AT1G25370_1	1,018	6,642	6,775
AT1G25375_1	1,120	0,318	0,295
AT1G25380_1	0,962	1,278	1,592
AT1G25390_1	0,855	1,687	1,409
AT1G25400_1	0,583	3,114	3,516
AT1G25410_1	1,242	1,545	1,718
AT1G25420_1	0,950	1,037	1,397
AT1G25420_2	0,999	0,588	0,617
AT1G25420_3	0,985	1,045	1,465
AT1G25422_1	1,151	1,249	1,639
AT1G25425_1	0,868	0,589	0,339
AT1G25430_1	1,016	1,129	1,167
AT1G25440_1	1,055	0,584	0,275
AT1G25450_1	0,508	0,512	0,140
AT1G25460_1	0,989	1,013	1,146
AT1G25470_1	1,034	0,742	0,731
AT1G25480_1	0,937	0,942	1,784
AT1G25490_1	1,015	0,965	0,903
AT1G25500_1	0,875	4,549	5,179
AT1G25500_2	0,842	4,000	3,896
AT1G25500_3	0,866	4,094	3,911
AT1G25510_1	0,864	0,557	0,479
AT1G25520_1	1,000	2,625	4,339
AT1G25530_1	2,073	0,273	4,443
AT1G25540_1	1,083	1,477	1,971
AT1G25550_1	0,852	1,931	2,377
AT1G25560_1	0,670	1,045	0,820
AT1G25570_1	1,018	0,681	0,446
AT1G25580_1	0,944	0,758	0,730
AT1G25682_1	0,767	1,400	2,053
AT1G25784_1	1,183	1,449	1,600
AT1G25886_1	1,356	1,524	1,688
AT1G25988_1	1,279	1,832	1,827
AT1G26090_1	1,057	0,757	1,240
AT1G26100_1	1,046	0,197	0,040
AT1G26110_1	1,014	1,030	1,030
AT1G26110_2	1,016	1,175	1,050
AT1G26120_1	0,953	0,839	1,011
AT1G26130_1	1,002	0,339	0,584

AGI	NaCl-Kontrolle zur H₂O-Kontrolle (log₂)	H₂O +B.c. zur H₂O-Kontrolle (log₂)	NaCl +B.c. zur H₂O-Kontrolle (log₂)
AT1G26140_1	1,182	1,045	1,186
AT1G26150_1	1,078	0,565	0,256
AT1G26160_1	0,947	0,863	0,997
AT1G26170_1	1,230	1,114	1,021
AT1G26180_1	1,043	0,500	0,365
AT1G26190_1	0,841	0,590	0,543
AT1G26200_1	0,422	0,621	1,610
AT1G26208_1	0,642	0,458	0,379
AT1G26208_2	0,782	0,522	0,547
AT1G26210_1	0,717	0,795	0,167
AT1G26218_1	0,930	0,725	0,597
AT1G26220_1	0,884	0,547	0,250
AT1G26230_1	1,082	0,249	0,048
AT1G26233_1	1,054	0,965	0,947
AT1G26240_1	1,300	1,406	2,060
AT1G26250_1	1,301	3,232	2,146
AT1G26260_1	1,009	0,350	0,213
AT1G26260_3	0,926	0,289	0,195
AT1G26270_1	0,879	1,149	0,914
AT1G26290_1	1,050	0,655	0,745
AT1G26300_1	1,018	0,941	1,406
AT1G26300_2	1,043	0,901	0,897
AT1G26310_1	1,027	1,019	1,050
AT1G26320_1	1,258	1,580	1,372
AT1G26330_1	0,589	0,288	0,235
AT1G26340_1	0,879	1,769	1,736
AT1G26350_1	1,280	1,475	1,797
AT1G26355_1	1,531	1,500	1,645
AT1G26360_1	1,230	1,457	2,073
AT1G26370_1	1,030	1,129	1,044
AT1G26380_1	0,203	31,687	32,922
AT1G26390_1	0,721	133,508	274,370
AT1G26400_1	1,040	5,840	10,744
AT1G26410_1	0,718	31,141	96,997
AT1G26420_1	0,254	15,479	20,680
AT1G26440_1	0,806	0,991	1,732
AT1G26440_2	0,696	0,477	1,182
AT1G26440_3	0,811	0,998	1,748
AT1G26440_4	0,779	0,998	1,735
AT1G26450_1	0,876	0,431	0,506
AT1G26460_1	1,048	0,715	0,502
AT1G26470_1	0,939	1,962	1,967
AT1G26480_1	1,085	1,260	1,496
AT1G26500_1	1,017	0,772	0,614
AT1G26510_1	1,003	0,974	1,016
AT1G26520_1	1,021	0,701	0,563
AT1G26530_1	1,014	1,215	1,181
AT1G26540_1	0,838	0,482	0,306
AT1G26550_1	1,073	0,843	1,263
AT1G26558_1	1,073	1,086	1,132

AGI	NaCl-Kontrolle zur H₂O-Kontrolle (log₂)	H₂O +B.c. zur H₂O-Kontrolle (log₂)	NaCl +B.c. zur H₂O-Kontrolle (log₂)
AT1G26558_2	0,912	1,021	1,023
AT1G26560_1	1,201	0,329	0,437
AT1G26570_1	0,768	0,335	0,143
AT1G26580_1	0,947	0,988	1,164
AT1G26590_1	0,957	0,772	0,753
AT1G26600_1	0,646	0,297	0,285
AT1G26610_1	0,828	0,729	0,702
AT1G26620_1	1,159	0,607	1,070
AT1G26630_1	1,006	0,974	0,964
AT1G26630_2	1,073	1,016	0,873
AT1G26640_1	0,921	0,577	0,655
AT1G26650_1	0,864	0,381	0,130
AT1G26660_1	1,072	1,197	1,461
AT1G26665_1	1,023	0,742	1,360
AT1G26665_2	1,055	0,752	1,362
AT1G26670_1	1,079	0,925	1,382
AT1G26680_1	1,045	1,157	1,171
AT1G26690_1	0,849	1,595	2,409
AT1G26700_1	1,126	1,613	1,558
AT1G26710_1	1,025	1,035	1,057
AT1G26720_1	1,089	1,235	1,207
AT1G26730_1	0,908	3,608	3,272
AT1G26740_1	1,020	0,905	0,761
AT1G26750_1	0,727	0,742	0,892
AT1G26760_1	0,870	0,643	0,584
AT1G26761_1	0,958	0,660	0,163
AT1G26762_1	0,975	0,714	0,744
AT1G26770_1	1,666	0,416	0,720
AT1G26770_2	1,892	0,395	0,828
AT1G26771_1	1,058	1,048	1,206
AT1G26773_1	1,037	1,087	1,167
AT1G26780_1	0,885	0,944	1,073
AT1G26780_2	0,871	1,083	0,955
AT1G26790_1	0,986	1,367	1,160
AT1G26795_1	1,045	1,101	1,145
AT1G26796_1	0,938	0,916	0,934
AT1G26797_1	0,965	1,106	1,154
AT1G26798_1	0,979	1,093	1,110
AT1G26799_1	1,051	1,184	1,297
AT1G26800_1	0,782	1,249	1,356
AT1G26810_1	0,948	0,171	0,058
AT1G26815_1	0,988	1,007	1,086
AT1G26820_1	0,636	0,197	0,240
AT1G26830_1	0,996	0,888	1,025
AT1G26840_1	0,515	0,470	0,405
AT1G26850_1	1,016	0,860	0,847
AT1G26850_3	0,991	0,823	0,820
AT1G26860_1	1,074	1,106	1,125
AT1G26870_1	0,924	1,133	1,210
AT1G26880_1	0,948	1,025	0,884

AGI	NaCl-Kontrolle zur H₂O-Kontrolle (log₂)	H₂O +B.c. zur H₂O-Kontrolle (log₂)	NaCl +B.c. zur H₂O-Kontrolle (log₂)
AT1G26880_2	0,969	1,096	0,993
AT1G26890_1	0,950	0,998	1,116
AT1G26900_1	1,069	0,849	1,562
AT1G26910_1	1,087	1,215	1,133
AT1G26911_1	1,284	0,775	0,676
AT1G26920_1	0,967	0,453	1,040
AT1G26930_1	0,724	2,503	10,191
AT1G26940_1	0,801	0,503	0,514
AT1G26945_1	1,225	0,168	0,211
AT1G26950_1	1,203	1,419	1,791
AT1G26960_1	0,794	1,736	1,031
AT1G26970_1	1,145	1,979	2,770
AT1G26973_1	0,959	0,969	1,013
AT1G26976_1	1,484	2,262	2,449
AT1G26990_1	1,022	0,997	1,035
AT1G27000_1	0,959	1,353	1,949
AT1G27008_1	1,049	1,268	1,750
AT1G27020_1	0,233	16,345	6,365
AT1G27030_1	1,124	0,255	0,101
AT1G27040_1	1,262	1,449	1,389
AT1G27050_1	0,997	1,004	0,621
AT1G27060_1	1,082	1,009	0,597
AT1G27070_1	1,037	0,636	0,807
AT1G27080_1	1,059	1,210	1,372
AT1G27090_1	1,044	0,822	0,668
AT1G27100_1	0,911	1,205	1,501
AT1G27110_1	0,873	0,604	0,600
AT1G27120_1	1,220	0,311	0,039
AT1G27130_1	0,806	1,927	1,052
AT1G27135_1	1,066	1,083	1,181
AT1G27140_1	0,978	1,705	1,264
AT1G27150_1	1,159	0,806	0,809
AT1G27160_1	1,430	1,373	0,971
AT1G27170_1	1,085	0,393	0,695
AT1G27180_1	0,838	0,420	0,626
AT1G27190_1	0,880	0,632	0,383
AT1G27200_1	1,155	1,144	1,043
AT1G27210_1	0,903	0,409	0,224
AT1G27213_1	1,228	1,386	1,484
AT1G27220_1	1,002	1,133	1,081
AT1G27240_1	1,016	1,031	1,124
AT1G27250_1	0,904	1,021	1,169
AT1G27260_1	1,083	1,388	1,387
AT1G27270_1	1,169	1,269	1,200
AT1G27280_1	1,175	1,186	1,269
AT1G27285_1	1,044	0,445	0,376
AT1G27290_1	0,773	0,734	1,168
AT1G27290_2	0,691	0,583	1,164
AT1G27300_1	0,965	1,675	4,340
AT1G27310_1	0,935	1,002	0,903

AGI	NaCl-Kontrolle zur H₂O-Kontrolle (log₂)	H₂O +B.c. zur H₂O-Kontrolle (log₂)	NaCl +B.c. zur H₂O-Kontrolle (log₂)
AT1G27320_1	1,081	1,049	1,373
AT1G27330_1	0,668	2,005	2,368
AT1G27340_1	1,097	1,175	0,954
AT1G27350_1	0,857	2,244	2,454
AT1G27360_1	0,846	0,701	0,621
AT1G27360_2	1,013	1,478	1,813
AT1G27360_3	1,022	0,978	0,679
AT1G27360_4	0,996	0,965	0,701
AT1G27370_1	1,165	0,906	0,521
AT1G27370_2	0,997	0,873	0,484
AT1G27370_3	0,969	0,854	0,557
AT1G27380_1	1,020	0,940	1,008
AT1G27380_2	1,035	0,931	1,085
AT1G27385_1	0,939	0,636	0,874
AT1G27385_2	0,984	0,669	0,949
AT1G27385_3	1,002	0,711	0,900
AT1G27385_4	0,939	0,721	0,900
AT1G27390_1	0,978	1,217	1,058
AT1G27400_1	0,886	0,708	0,467
AT1G27410_1	1,187	0,612	0,421
AT1G27420_1	1,105	0,597	0,522
AT1G27430_1	1,031	0,852	0,835
AT1G27435_1	0,953	0,934	0,762
AT1G27440_1	0,899	0,911	0,568
AT1G27450_1	0,761	1,768	2,614
AT1G27450_2	0,862	0,774	1,141
AT1G27460_1	0,966	0,163	0,035
AT1G27461_1	1,120	1,225	1,616
AT1G27470_1	1,253	1,670	1,022
AT1G27480_1	1,061	0,638	0,118
AT1G27490_1	1,113	1,354	1,535
AT1G27500_1	0,728	1,149	0,830
AT1G27510_1	1,102	0,865	0,687
AT1G27520_1	1,042	1,002	1,133
AT1G27530_1	0,993	1,032	1,496
AT1G27540_1	0,912	0,914	1,129
AT1G27540_2	1,057	1,062	0,980
AT1G27550_1	0,826	0,851	0,924
AT1G27560_1	1,054	1,067	1,005
AT1G27565_1	1,180	0,997	0,570
AT1G27570_1	1,168	1,059	1,113
AT1G27570_2	0,979	1,036	0,978
AT1G27580_1	1,157	1,118	1,111
AT1G27590_1	1,011	0,799	0,762
AT1G27595_1	0,972	0,877	0,908
AT1G27600_1	0,882	0,852	0,855
AT1G27600_2	0,984	0,852	0,861
AT1G27610_1	0,922	0,936	0,923
AT1G27620_1	1,086	0,774	0,824
AT1G27630_1	1,241	0,471	0,797

AGI	NaCl-Kontrolle zur H₂O-Kontrolle (log₂)	H₂O +B.c. zur H₂O-Kontrolle (log₂)	NaCl +B.c. zur H₂O-Kontrolle (log₂)
AT1G27640_1	1,039	1,100	1,373
AT1G27650_1	0,964	1,369	1,251
AT1G27650_2	1,071	1,189	1,022
AT1G27660_1	0,992	0,305	0,144
AT1G27670_1	1,220	1,454	1,643
AT1G27671_1	1,065	1,017	1,180
AT1G27680_1	1,177	0,244	0,119
AT1G27690_1	1,094	0,821	0,641
AT1G27695_1	0,963	0,714	0,984
AT1G27695_2	0,924	0,533	0,812
AT1G27700_1	0,838	0,848	0,778
AT1G27710_1	1,107	1,036	1,677
AT1G27710_2	1,386	1,264	1,932
AT1G27720_1	0,947	1,746	3,266
AT1G27730_1	0,857	4,818	4,782
AT1G27740_1	1,050	1,041	1,012
AT1G27750_1	1,071	1,035	0,965
AT1G27752_1	1,089	1,144	1,410
AT1G27752_2	1,069	1,149	1,409
AT1G27760_1	0,927	2,993	3,742
AT1G27770_1	0,848	1,547	1,466
AT1G27770_2	0,793	1,373	1,297
AT1G27780_1	1,300	1,483	1,447
AT1G27790_1	1,445	1,470	1,683
AT1G27800_1	1,294	1,443	1,687
AT1G27810_1	1,306	1,510	1,628
AT1G27815_1	1,346	1,348	1,481
AT1G27820_1	1,176	1,078	1,290
AT1G27840_1	1,016	0,742	0,889
AT1G27840_2	1,065	0,780	0,942
AT1G27840_3	1,022	0,746	0,893
AT1G27850_1	0,981	0,778	0,661
AT1G27860_1	1,179	1,112	1,182
AT1G27870_1	1,232	1,335	1,412
AT1G27880_1	0,646	0,448	0,343
AT1G27890_1	1,054	1,007	1,132
AT1G27900_1	1,185	1,172	1,098
AT1G27910_1	1,063	1,099	0,897
AT1G27920_1	0,884	0,305	0,333
AT1G27921_1	0,695	0,492	0,551
AT1G27930_1	0,987	0,946	1,032
AT1G27940_1	1,100	0,607	0,318
AT1G27950_1	0,769	0,539	0,192
AT1G27960_1	1,067	1,500	0,572
AT1G27970_1	0,655	1,372	2,501
AT1G27970_2	1,135	1,148	1,323
AT1G27980_1	1,023	4,284	7,851
AT1G27990_1	1,284	1,319	1,437
AT1G28000_1	0,952	1,138	1,234
AT1G28002_1	0,999	1,048	0,975

AGI	NaCl-Kontrolle zur H₂O-Kontrolle (log₂)	H₂O +B.c. zur H₂O-Kontrolle (log₂)	NaCl +B.c. zur H₂O-Kontrolle (log₂)
AT1G28007_1	0,993	0,969	0,986
AT1G28010_1	0,358	0,449	0,210
AT1G28020_1	1,012	1,006	1,000
AT1G28030_1	1,071	1,101	1,205
AT1G28040_1	1,090	1,091	1,412
AT1G28050_1	1,159	0,653	1,013
AT1G28060_1	0,943	0,789	0,823
AT1G28070_1	0,975	0,305	0,647
AT1G28080_1	0,882	0,803	0,863
AT1G28090_1	0,958	0,604	0,782
AT1G28100_1	1,072	0,181	0,055
AT1G28100_2	1,114	0,173	0,055
AT1G28100_3	1,130	0,877	0,947
AT1G28100_5	1,126	0,165	0,049
AT1G28110_1	0,973	0,167	0,066
AT1G28110_2	0,772	0,293	0,289
AT1G28120_1	1,029	1,053	1,119
AT1G28130_1	0,730	3,229	34,253
AT1G28135_1	1,452	1,751	1,795
AT1G28140_1	1,289	0,521	1,011
AT1G28150_1	1,088	0,354	0,358
AT1G28160_1	0,956	1,324	1,424
AT1G28170_1	1,042	1,176	1,283
AT1G28180_1	1,001	6,250	12,080
AT1G28190_1	1,048	10,864	11,522
AT1G28200_1	0,993	1,237	1,389
AT1G28210_1	1,333	1,898	2,691
AT1G28210_2	1,232	1,870	2,651
AT1G28220_1	0,892	0,795	0,749
AT1G28230_1	1,014	0,734	1,149
AT1G28240_1	0,922	1,209	1,313
AT1G28250_1	0,788	0,638	1,030
AT1G28260_1	0,908	0,603	1,446
AT1G28270_1	0,987	1,127	1,144
AT1G28280_1	0,658	2,260	3,682
AT1G28280_2	0,823	1,657	1,831
AT1G28281_1	0,922	0,999	1,090
AT1G28290_1	1,079	1,160	1,177
AT1G28290_2	0,711	0,111	0,024
AT1G28300_1	0,917	1,139	1,097
AT1G28304_1	1,083	1,150	1,105
AT1G28305_1	1,030	1,078	1,050
AT1G28306_1	0,966	1,004	1,005
AT1G28307_1	1,172	1,396	1,224
AT1G28310_1	1,256	0,566	0,601
AT1G28310_2	0,940	0,397	0,411
AT1G28320_1	1,041	1,084	1,271
AT1G28323_1	0,986	1,006	1,002
AT1G28327_1	1,062	0,931	0,934
AT1G28330_1	1,060	0,540	0,374

AGI	NaCl-Kontrolle zur H₂O-Kontrolle (log₂)	H₂O +B.c. zur H₂O-Kontrolle (log₂)	NaCl +B.c. zur H₂O-Kontrolle (log₂)
AT1G28330_2	1,037	0,506	0,370
AT1G28330_3	1,077	0,133	0,261
AT1G28330_4	1,041	0,549	0,379
AT1G28335_1	1,069	1,086	1,100
AT1G28340_1	1,068	0,708	0,865
AT1G28350_1	1,065	1,213	0,732
AT1G28360_1	1,175	4,051	2,504
AT1G28370_1	0,998	6,980	5,216
AT1G28375_1	1,013	1,096	1,157
AT1G28380_1	0,961	1,729	1,553
AT1G28390_1	0,730	5,649	4,593
AT1G28395_1	0,912	0,934	0,480
AT1G28395_2	0,964	1,018	0,524
AT1G28395_3	0,972	0,995	0,502
AT1G28395_4	0,910	0,963	0,470
AT1G28400_1	1,040	0,268	0,279
AT1G28410_1	0,924	0,695	0,579
AT1G28420_1	1,024	1,013	1,137
AT1G28430_1	1,031	1,116	1,324
AT1G28440_1	0,977	0,673	0,271
AT1G28447_1	1,141	1,131	1,298
AT1G28450_1	1,063	1,081	1,120
AT1G28455_1	1,202	1,404	2,059
AT1G28460_1	1,242	1,425	1,541
AT1G28465_1	1,079	1,058	1,100
AT1G28470_1	0,859	0,801	2,427
AT1G28480_1	0,736	5,377	7,474
AT1G28490_1	0,935	1,134	1,170
AT1G28490_2	0,895	1,139	1,201
AT1G28500_1	1,135	1,190	1,294
AT1G28510_1	0,771	1,103	1,449
AT1G28520_1	1,068	0,843	1,591
AT1G28520_2	1,145	0,892	1,395
AT1G28530_1	1,110	0,337	0,125
AT1G28530_2	1,105	0,348	0,142
AT1G28540_1	0,953	0,713	0,887
AT1G28550_1	1,220	1,808	1,710
AT1G28560_1	1,137	1,206	1,729
AT1G28560_2	1,132	0,430	0,420
AT1G28570_1	1,140	1,230	2,015
AT1G28570_2	1,152	1,146	1,693
AT1G28580_1	1,084	1,793	3,714
AT1G28580_2	0,994	1,330	2,402
AT1G28590_1	0,938	0,900	0,969
AT1G28591_1	1,274	0,971	1,179
AT1G28600_1	0,969	1,690	2,295
AT1G28600_2	1,058	0,749	2,048
AT1G28610_1	1,222	0,403	1,022
AT1G28610_2	1,250	0,427	1,029
AT1G28620_1	1,188	0,769	0,768

AGI	NaCl-Kontrolle zur H₂O-Kontrolle (log₂)	H₂O +B.c. zur H₂O-Kontrolle (log₂)	NaCl +B.c. zur H₂O-Kontrolle (log₂)
AT1G28630_1	1,041	1,067	1,050
AT1G28630_3	0,964	0,973	0,988
AT1G28630_4	0,977	1,026	1,071
AT1G28630_5	1,045	1,012	1,007
AT1G28640_1	0,917	1,889	2,801
AT1G28650_1	1,081	2,034	8,095
AT1G28660_1	0,815	1,944	2,906
AT1G28670_1	0,870	1,222	0,652
AT1G28680_1	1,074	2,304	1,680
AT1G28685_1	1,164	0,752	0,698
AT1G28690_1	1,118	0,540	0,382
AT1G28695_1	1,408	1,282	1,263
AT1G28700_1	1,612	0,818	0,760
AT1G28710_1	1,261	0,326	0,225
AT1G28710_2	1,220	0,389	0,258
AT1G28720_1	1,016	0,892	1,011
AT1G28730_1	1,029	0,961	1,095
AT1G28740_1	0,993	0,869	0,965
AT1G28750_1	1,010	0,890	1,057
AT1G28760_1	0,931	2,160	2,668
AT1G28770_1	1,053	0,902	1,018
AT1G28780_1	1,024	0,895	1,035
AT1G28790_1	1,015	0,875	0,986
AT1G28800_1	1,036	0,897	1,013
AT1G28810_1	1,040	0,900	1,007
AT1G28815_1	1,032	0,917	1,001
AT1G28820_1	0,976	0,882	0,956
AT1G28830_1	1,003	0,875	0,934
AT1G28840_1	1,013	0,873	0,994
AT1G28850_1	1,019	0,877	0,996
AT1G28860_1	1,034	0,897	1,004
AT1G28870_1	0,980	0,860	0,965
AT1G28880_1	1,015	0,881	1,009
AT1G28890_1	1,022	0,881	0,991
AT1G28900_1	1,006	0,919	1,015
AT1G28910_1	1,036	0,899	1,039
AT1G28920_1	1,024	0,886	0,985
AT1G28930_1	1,033	0,894	1,009
AT1G28940_1	1,075	0,901	1,034
AT1G28950_1	1,058	0,879	1,017
AT1G28960_1	0,993	1,512	2,121
AT1G28960_2	0,914	1,527	2,362
AT1G28960_3	1,141	1,679	1,899
AT1G28960_4	1,058	1,620	1,778
AT1G28960_5	1,198	1,764	1,941
AT1G28970_1	1,043	0,909	0,971
AT1G28980_1	1,032	0,906	1,037
AT1G28990_1	1,002	0,889	0,999
AT1G29000_1	0,956	1,003	1,051
AT1G29010_1	0,992	0,980	1,073

AGI	NaCl-Kontrolle zur H₂O-Kontrolle (log₂)	H₂O +B.c. zur H₂O-Kontrolle (log₂)	NaCl +B.c. zur H₂O-Kontrolle (log₂)
AT1G29020_1	0,996	0,991	1,009
AT1G29030_1	1,277	1,872	1,367
AT1G29040_1	0,986	0,771	1,058
AT1G29040_2	0,966	0,696	1,055
AT1G29040_3	0,800	0,470	0,644
AT1G29041_1	1,063	0,981	0,992
AT1G29050_1	1,115	1,710	2,265
AT1G29060_1	0,960	1,518	2,902
AT1G29070_1	0,836	0,298	0,074
AT1G29071_1	1,043	1,033	1,211
AT1G29075_1	1,255	1,479	1,662
AT1G29080_1	1,218	1,488	1,621
AT1G29090_1	1,154	1,719	9,581
AT1G29100_1	0,972	1,081	1,187
AT1G29110_1	0,881	0,857	0,741
AT1G29120_1	1,001	1,194	1,117
AT1G29120_2	1,019	1,174	1,087
AT1G29120_3	0,902	1,014	0,879
AT1G29120_4	1,030	1,166	1,110
AT1G29140_1	1,103	0,949	1,075
AT1G29150_1	0,970	1,263	1,425
AT1G29160_1	0,932	0,697	1,956
AT1G29170_1	1,144	0,845	0,083
AT1G29170_2	0,903	0,597	0,389
AT1G29170_3	0,989	0,761	0,084
AT1G29179_1	1,022	0,953	1,109
AT1G29180_1	1,061	0,815	0,611
AT1G29190_1	1,120	1,161	1,261
AT1G29195_1	0,882	2,416	13,878
AT1G29200_1	0,767	0,515	0,440
AT1G29220_1	0,993	1,031	1,366
AT1G29230_1	1,306	4,486	19,137
AT1G29240_1	0,887	0,588	2,752
AT1G29250_1	0,979	0,927	0,701
AT1G29260_1	1,100	1,190	1,673
AT1G29265_1	1,082	1,173	1,182
AT1G29270_1	1,035	1,087	1,227
AT1G29280_1	0,709	4,310	2,274
AT1G29290_1	0,752	25,189	26,502
AT1G29300_1	0,809	7,171	11,227
AT1G29310_1	1,026	1,341	1,354
AT1G29320_1	1,217	1,783	1,160
AT1G29330_1	0,789	4,286	4,805
AT1G29340_1	0,971	1,386	1,419
AT1G29350_1	1,052	0,978	0,978
AT1G29355_1	1,007	0,790	1,619
AT1G29357_1	1,036	0,799	1,708
AT1G29357_2	0,954	0,742	2,143
AT1G29360_1	1,041	1,047	1,103
AT1G29370_1	1,043	0,957	0,912

AGI	NaCl-Kontrolle zur H₂O-Kontrolle (log₂)	H₂O +B.c. zur H₂O-Kontrolle (log₂)	NaCl +B.c. zur H₂O-Kontrolle (log₂)
AT1G29380_1	0,581	0,366	0,496
AT1G29390_1	1,029	0,456	0,553
AT1G29390_2	1,018	0,634	0,854
AT1G29395_1	0,993	0,664	0,824
AT1G29400_1	1,055	0,749	1,532
AT1G29410_1	1,147	1,190	1,003
AT1G29410_2	0,995	0,471	0,586
AT1G29418_1	0,973	0,868	0,650
AT1G29420_1	1,010	0,587	0,188
AT1G29430_1	0,799	0,470	0,084
AT1G29440_1	0,818	0,321	0,034
AT1G29450_1	0,711	0,236	0,036
AT1G29460_1	0,832	0,282	0,082
AT1G29465_1	0,998	2,183	1,121
AT1G29470_1	0,961	0,728	0,382
AT1G29475_1	0,985	1,057	1,279
AT1G29480_1	1,076	1,042	1,251
AT1G29490_1	1,017	0,648	0,316
AT1G29500_1	0,664	0,202	0,036
AT1G29510_1	0,838	0,264	0,070
AT1G29520_1	0,573	0,265	0,304
AT1G29530_1	0,892	0,566	0,080
AT1G29540_1	1,140	1,409	1,507
AT1G29550_1	0,978	0,516	0,492
AT1G29560_1	0,977	0,370	0,468
AT1G29560_2	0,962	0,443	0,511
AT1G29570_1	1,105	0,906	1,070
AT1G29580_1	1,000	1,002	1,258
AT1G29590_1	1,007	0,747	0,781
AT1G29600_1	0,689	0,431	0,240
AT1G29610_1	0,765	0,401	0,229
AT1G29620_1	1,306	1,612	1,682
AT1G29630_1	0,682	1,014	1,395
AT1G29640_1	0,987	3,798	49,417
AT1G29650_1	1,088	1,169	1,318
AT1G29660_1	0,823	0,555	0,011
AT1G29670_1	0,950	0,219	0,011
AT1G29680_1	1,014	1,117	1,576
AT1G29690_1	0,786	2,827	2,854
AT1G29700_1	1,114	0,434	0,229
AT1G29710_1	1,090	0,978	1,026
AT1G29715_1	1,201	0,369	0,150
AT1G29720_1	0,985	0,203	0,062
AT1G29720_2	1,033	0,240	0,075
AT1G29724_1	1,093	0,176	0,045
AT1G29730_1	1,010	0,654	0,621
AT1G29740_1	0,991	0,710	0,605
AT1G29750_1	0,963	0,631	0,973
AT1G29760_1	0,926	1,328	2,246
AT1G29770_1	1,071	0,422	0,613

AGI	NaCl-Kontrolle zur H₂O-Kontrolle (log₂)	H₂O +B.c. zur H₂O-Kontrolle (log₂)	NaCl +B.c. zur H₂O-Kontrolle (log₂)
AT1G29780_1	1,108	0,515	0,555
AT1G29785_1	0,812	0,607	0,455
AT1G29785_2	0,966	0,659	0,659
AT1G29790_1	1,045	0,639	0,416
AT1G29790_2	0,880	0,652	0,591
AT1G29800_1	0,934	0,753	1,565
AT1G29800_2	1,001	0,803	1,734
AT1G29810_1	1,114	0,938	0,944
AT1G29820_1	1,108	0,397	0,493
AT1G29830_1	1,043	0,614	0,664
AT1G29840_1	0,974	0,331	0,158
AT1G29850_1	0,866	0,852	1,228
AT1G29850_2	0,852	0,870	1,228
AT1G29850_3	0,864	0,878	1,262
AT1G29860_1	0,923	1,376	2,121
AT1G29870_1	1,421	1,606	1,566
AT1G29880_1	1,006	0,863	0,602
AT1G29890_1	0,922	0,699	0,492
AT1G29890_2	0,968	0,954	0,900
AT1G29900_1	1,016	0,927	0,434
AT1G29910_1	1,036	0,915	0,591
AT1G29920_1	0,734	0,276	0,127
AT1G29930_1	1,018	0,834	0,346
AT1G29940_1	1,180	2,043	1,426
AT1G29950_1	1,002	0,869	0,750
AT1G29950_2	0,943	0,837	0,732
AT1G29960_1	1,058	0,729	0,842
AT1G29962_1	1,104	1,187	1,138
AT1G29965_1	0,863	1,368	1,468
AT1G29970_1	0,877	1,166	1,846
AT1G29970_2	0,928	1,431	1,532
AT1G29970_3	1,041	1,108	1,131
AT1G29980_1	0,875	0,390	0,376
AT1G29980_2	0,719	0,232	0,163
AT1G29990_1	0,876	0,893	0,933
AT1G30000_1	0,980	1,029	1,169
AT1G30010_1	1,097	0,458	0,346
AT1G30020_1	1,081	0,491	0,473
AT1G30030_1	1,088	1,229	1,233
AT1G30040_1	0,253	2,167	9,454
AT1G30040_2	0,937	0,975	1,654
AT1G30050_1	1,374	1,811	2,620
AT1G30060_1	1,034	1,143	1,163
AT1G30070_1	1,044	4,218	6,194
AT1G30080_1	0,947	1,058	1,112
AT1G30090_1	0,977	0,988	1,467
AT1G30100_1	0,588	0,546	0,903
AT1G30110_1	0,885	0,837	0,826
AT1G30120_1	1,014	0,898	0,838
AT1G30130_1	0,965	0,883	1,069

AGI	NaCl-Kontrolle zur H₂O-Kontrolle (log₂)	H₂O +B.c. zur H₂O-Kontrolle (log₂)	NaCl +B.c. zur H₂O-Kontrolle (log₂)
AT1G30130_2	0,873	0,856	1,122
AT1G30135_1	0,860	37,954	36,342
AT1G30140_1	0,971	1,044	1,044
AT1G30150_1	1,080	1,187	1,089
AT1G30160_1	0,882	1,483	1,836
AT1G30160_2	0,911	1,581	1,691
AT1G30170_1	1,064	1,262	1,454
AT1G30180_1	0,998	1,021	1,134
AT1G30190_1	1,025	0,211	0,207
AT1G30200_1	0,840	0,499	0,664
AT1G30210_1	0,955	0,454	0,290
AT1G30220_1	1,470	2,206	12,041
AT1G30230_1	1,099	1,316	0,906
AT1G30230_2	1,056	1,238	0,881
AT1G30240_1	1,223	1,385	0,917
AT1G30240_2	1,261	1,364	0,947
AT1G30250_1	0,863	0,063	0,189
AT1G30260_1	0,750	0,170	0,579
AT1G30270_1	0,976	2,462	3,085
AT1G30280_1	0,698	0,036	0,029
AT1G30282_1	0,830	0,147	0,139
AT1G30290_1	0,941	0,888	0,745
AT1G30300_1	0,911	1,635	1,983
AT1G30310_1	0,980	1,000	0,995
AT1G30320_1	0,759	3,771	2,883
AT1G30330_1	0,965	0,444	0,298
AT1G30340_1	1,169	1,152	1,425
AT1G30350_1	0,888	1,056	1,128
AT1G30360_1	1,002	0,472	0,161
AT1G30370_1	0,583	22,127	23,786
AT1G30380_1	0,939	0,556	0,226
AT1G30390_1	1,055	0,919	1,090
AT1G30400_1	1,081	1,553	2,176
AT1G30400_2	1,159	2,379	11,284
AT1G30410_1	1,092	0,928	1,234
AT1G30420_1	0,961	2,054	2,229
AT1G30440_1	0,901	0,885	1,580
AT1G30450_1	1,062	1,207	1,420
AT1G30450_3	0,992	1,138	1,403
AT1G30455_1	1,031	0,843	0,637
AT1G30460_1	1,195	1,016	0,745
AT1G30460_2	1,205	1,037	0,753
AT1G30470_1	1,035	1,134	1,189
AT1G30473_1	1,085	1,248	1,473
AT1G30475_1	1,108	1,032	2,377
AT1G30475_2	1,109	1,018	1,709
AT1G30475_3	1,083	0,906	2,304
AT1G30475_4	1,063	0,976	1,143
AT1G30480_1	1,021	1,151	1,008
AT1G30490_1	1,069	0,736	1,043

AGI	NaCl-Kontrolle zur H₂O-Kontrolle (log₂)	H₂O +B.c. zur H₂O-Kontrolle (log₂)	NaCl +B.c. zur H₂O-Kontrolle (log₂)
AT1G30500_1	1,533	1,770	1,653
AT1G30500_2	1,552	1,786	1,698
AT1G30510_1	1,164	0,487	0,575
AT1G30510_2	1,165	0,502	0,565
AT1G30510_3	1,102	0,463	0,571
AT1G30515_1	0,902	1,122	1,358
AT1G30520_1	0,947	0,158	0,030
AT1G30530_1	0,879	0,988	0,353
AT1G30540_1	0,947	0,762	0,918
AT1G30550_1	0,866	0,624	0,779
AT1G30550_2	1,142	1,403	1,372
AT1G30560_1	1,044	1,251	1,351
AT1G30570_1	0,910	0,526	0,321
AT1G30580_1	1,012	0,919	0,911
AT1G30590_1	1,134	0,910	0,716
AT1G30600_1	1,075	0,336	0,135
AT1G30610_1	0,988	0,259	0,194
AT1G30620_1	1,063	4,443	4,643
AT1G30630_1	0,926	0,956	1,296
AT1G30640_1	0,881	1,270	2,165
AT1G30650_1	1,250	1,555	1,645
AT1G30660_1	1,151	0,803	0,638
AT1G30670_1	0,997	1,067	1,203
AT1G30680_1	1,263	0,634	0,447
AT1G30690_1	0,913	1,032	0,635
AT1G30690_2	0,903	1,020	0,637
AT1G30700_1	0,868	48,147	144,342
AT1G30710_1	1,269	1,529	1,919
AT1G30720_1	0,278	2,807	3,544
AT1G30730_1	0,210	0,970	1,724
AT1G30740_1	1,045	1,319	1,382
AT1G30750_1	1,079	1,274	1,565
AT1G30755_1	0,738	4,912	4,642
AT1G30757_1	0,802	2,891	3,407
AT1G30760_1	0,587	1,866	5,610
AT1G30780_1	1,208	1,504	2,513
AT1G30784_1	1,089	1,171	1,084
AT1G30790_1	1,052	1,150	1,169
AT1G30795_1	1,269	1,543	1,734
AT1G30800_1	1,312	2,048	2,121
AT1G30810_1	0,949	1,090	1,722
AT1G30814_1	1,065	1,132	1,097
AT1G30814_2	1,020	1,121	1,202
AT1G30814_3	0,963	1,027	1,056
AT1G30820_1	0,921	0,302	0,131
AT1G30825_1	0,877	0,785	0,730
AT1G30835_1	1,031	1,250	1,047
AT1G30835_2	1,064	0,813	0,882
AT1G30840_1	1,190	0,272	0,135
AT1G30845_1	0,922	0,307	0,275

AGI	NaCl-Kontrolle zur H₂O-Kontrolle (log₂)	H₂O +B.c. zur H₂O-Kontrolle (log₂)	NaCl +B.c. zur H₂O-Kontrolle (log₂)
AT1G30850_1	1,175	3,887	14,882
AT1G30860_1	0,994	2,024	2,807
AT1G30870_1	1,319	1,479	1,763
AT1G30880_1	1,081	1,094	0,713
AT1G30890_1	0,624	1,120	1,737
AT1G30890_2	0,834	1,152	1,542
AT1G30900_1	0,706	0,686	1,683
AT1G30910_1	0,914	0,689	0,735
AT1G30920_1	0,976	0,886	1,007
AT1G30921_1	1,107	1,032	1,124
AT1G30925_1	0,982	1,132	1,135
AT1G30930_1	0,835	0,897	0,929
AT1G30935_1	1,167	1,436	1,726
AT1G30940_1	0,890	0,936	0,866
AT1G30945_1	0,978	1,093	1,322
AT1G30950_1	1,349	1,612	1,789
AT1G30960_1	1,249	1,640	1,091
AT1G30970_1	0,979	1,441	1,348
AT1G30972_1	1,058	1,055	1,070
AT1G30972_2	1,034	1,138	1,120
AT1G30974_1	1,016	1,164	1,052
AT1G30974_2	1,160	1,400	1,434
AT1G30975_1	1,004	1,090	1,049
AT1G30980_1	1,167	1,394	1,370
AT1G30990_1	1,202	1,592	1,301
AT1G31000_1	1,140	1,277	1,214
AT1G31010_1	1,093	0,836	0,613
AT1G31020_1	0,807	0,950	1,146
AT1G31030_1	1,075	1,170	1,062
AT1G31040_1	0,992	1,297	1,405
AT1G31050_1	0,889	0,853	0,907
AT1G31060_1	0,885	0,868	0,892
AT1G31070_1	0,961	0,939	1,055
AT1G31070_2	1,007	0,574	0,291
AT1G31072_1	0,981	1,048	1,034
AT1G31080_1	1,039	1,222	1,177
AT1G31090_1	1,158	1,208	1,242
AT1G31093_1	1,069	1,065	1,135
AT1G31100_1	1,054	1,374	1,448
AT1G31110_1	1,038	1,345	1,649
AT1G31120_1	1,064	1,076	1,572
AT1G31130_1	0,949	1,655	1,733
AT1G31140_1	1,379	1,356	1,559
AT1G31150_1	0,958	0,545	0,163
AT1G31160_1	0,981	0,406	0,257
AT1G31163_1	1,086	1,247	1,411
AT1G31166_1	1,011	1,072	1,189
AT1G31170_1	1,046	0,729	1,281
AT1G31170_2	1,149	0,749	1,245
AT1G31170_3	1,138	0,758	1,185

AGI	NaCl-Kontrolle zur H₂O-Kontrolle (log₂)	H₂O +B.c. zur H₂O-Kontrolle (log₂)	NaCl +B.c. zur H₂O-Kontrolle (log₂)
AT1G31173_1	1,193	0,058	0,015
AT1G31175_1	0,950	0,398	0,352
AT1G31180_1	1,126	0,663	0,390
AT1G31190_1	1,044	0,402	0,305
AT1G31200_1	0,858	0,424	0,195
AT1G31210_1	1,057	1,212	1,300
AT1G31220_1	0,973	1,114	1,248
AT1G31230_1	1,146	0,374	0,057
AT1G31240_1	1,004	1,226	0,828
AT1G31245_1	1,104	1,452	1,466
AT1G31250_1	0,977	0,976	0,889
AT1G31258_1	0,908	1,591	1,284
AT1G31260_1	0,952	1,184	1,159
AT1G31270_1	1,088	1,297	1,363
AT1G31274_1	0,861	1,223	1,223
AT1G31280_1	1,063	2,234	2,299
AT1G31290_1	1,251	1,845	1,749
AT1G31300_1	1,002	0,726	0,835
AT1G31300_2	0,901	0,510	0,746
AT1G31310_1	1,136	1,433	1,550
AT1G31320_1	1,025	0,241	0,157
AT1G31330_1	0,959	0,660	0,321
AT1G31335_1	0,797	0,640	0,491
AT1G31340_1	0,855	0,794	0,916
AT1G31350_1	0,692	0,821	1,190
AT1G31355_1	0,953	0,722	0,666
AT1G31358_1	1,311	1,908	1,757
AT1G31360_1	0,983	0,588	0,710
AT1G31370_1	0,990	0,929	1,043
AT1G31380_1	0,927	1,001	0,979
AT1G31390_1	1,038	1,008	1,034
AT1G31400_1	1,158	1,395	1,792
AT1G31410_1	0,976	0,469	0,332
AT1G31420_1	0,865	0,857	0,457
AT1G31430_1	1,250	0,568	0,398
AT1G31440_1	1,090	1,386	1,246
AT1G31450_1	1,047	1,115	1,376
AT1G31460_1	0,996	1,028	0,879
AT1G31470_1	0,958	0,944	1,750
AT1G31480_1	0,952	1,479	2,737
AT1G31485_1	0,965	0,570	0,883
AT1G31490_1	0,742	0,172	0,181
AT1G31500_1	0,943	0,713	0,819
AT1G31500_2	1,012	0,778	0,908
AT1G31500_3	1,057	0,817	0,950
AT1G31500_4	0,981	0,748	0,876
AT1G31510_1	1,001	1,050	1,092
AT1G31520_1	1,017	1,108	1,118
AT1G31530_1	1,004	1,043	1,057
AT1G31540_1	1,014	1,086	1,202

AGI	NaCl-Kontrolle zur H₂O-Kontrolle (log₂)	H₂O +B.c. zur H₂O-Kontrolle (log₂)	NaCl +B.c. zur H₂O-Kontrolle (log₂)
AT1G31540_2	0,685	1,663	1,980
AT1G31550_1	0,966	0,920	0,826
AT1G31550_2	0,755	0,886	0,905
AT1G31570_1	1,104	1,233	1,185
AT1G31580_1	0,942	0,809	0,784
AT1G31600_1	0,970	0,917	1,080
AT1G31600_2	0,988	0,902	1,079
AT1G31620_1	1,064	1,202	1,238
AT1G31630_1	1,120	1,169	1,034
AT1G31640_1	1,102	1,200	1,209
AT1G31650_1	1,005	0,592	0,426
AT1G31660_1	1,081	1,806	1,263
AT1G31670_1	1,155	0,321	0,058
AT1G31690_1	0,938	0,068	0,011
AT1G31710_1	0,841	0,927	0,123
AT1G31720_1	0,842	0,769	0,772
AT1G31730_1	1,077	1,121	1,134
AT1G31740_1	1,148	1,271	1,489
AT1G31750_1	1,080	1,689	2,432
AT1G31760_1	1,130	0,935	0,691
AT1G31770_1	0,946	0,729	0,897
AT1G31772_1	1,072	1,051	1,080
AT1G31780_1	0,981	0,817	0,804
AT1G31790_1	1,296	0,606	0,716
AT1G31800_1	0,991	0,414	0,265
AT1G31810_1	1,130	0,728	0,724
AT1G31812_1	1,008	0,807	0,610
AT1G31814_1	0,984	0,862	1,052
AT1G31817_1	0,883	1,060	0,666
AT1G31820_1	1,368	4,184	6,844
AT1G31830_1	0,955	1,228	1,749
AT1G31835_1	0,967	2,073	1,280
AT1G31840_1	1,219	0,684	0,586
AT1G31850_1	1,087	0,217	0,179
AT1G31860_1	0,990	0,453	0,238
AT1G31870_1	0,944	1,299	1,441
AT1G31880_1	0,872	0,888	2,503
AT1G31885_1	1,053	1,568	1,494
AT1G31900_1	0,907	0,931	0,959
AT1G31910_1	1,123	1,212	1,204
AT1G31920_1	0,919	0,372	0,067
AT1G31930_1	0,978	2,487	2,345
AT1G31935_1	0,903	0,606	0,621
AT1G31940_1	1,021	0,855	1,105
AT1G31950_1	1,150	0,634	0,652
AT1G31960_1	1,110	1,352	1,504
AT1G31970_1	1,044	1,238	0,779
AT1G31983_1	0,893	0,913	0,948
AT1G31990_1	0,995	0,900	0,897
AT1G31993_1	0,949	1,396	1,252

AGI	NaCl-Kontrolle zur H₂O-Kontrolle (log₂)	H₂O +B.c. zur H₂O-Kontrolle (log₂)	NaCl +B.c. zur H₂O-Kontrolle (log₂)
AT1G32000_1	0,975	1,242	1,222
AT1G32010_1	0,896	1,297	1,372
AT1G32020_1	0,974	1,028	0,996
AT1G32030_1	1,123	1,466	1,482
AT1G32040_1	1,078	1,188	1,146
AT1G32045_1	1,079	1,503	1,439
AT1G32049_1	1,137	1,595	2,175
AT1G32050_1	0,987	0,782	0,765
AT1G32060_1	0,994	0,755	0,283
AT1G32070_1	0,923	0,644	0,612
AT1G32070_2	0,891	0,654	0,633
AT1G32070_3	0,909	0,637	0,629
AT1G32080_1	0,985	0,358	0,110
AT1G32090_1	0,952	0,695	1,312
AT1G32100_1	0,786	0,438	1,350
AT1G32110_1	1,381	0,640	0,262
AT1G32120_1	0,813	0,891	0,739
AT1G32130_1	0,997	1,072	1,265
AT1G32140_1	1,006	0,991	0,997
AT1G32150_1	1,022	0,999	0,973
AT1G32160_1	0,967	0,710	0,777
AT1G32170_1	0,571	4,751	10,326
AT1G32172_1	1,067	1,147	1,150
AT1G32180_1	1,078	1,261	1,694
AT1G32190_1	0,944	0,628	0,213
AT1G32200_1	0,889	0,392	0,351
AT1G32200_2	0,824	0,270	0,198
AT1G32210_1	0,918	0,704	1,153
AT1G32220_1	1,026	0,443	0,216
AT1G32225_1	1,442	1,539	1,872
AT1G32230_1	1,042	1,333	1,532
AT1G32230_2	0,982	1,223	1,430
AT1G32240_1	0,975	0,794	0,644
AT1G32250_1	1,161	1,686	1,881
AT1G32260_1	0,951	0,791	1,187
AT1G32270_1	1,125	1,118	1,137
AT1G32280_1	1,311	1,431	1,556
AT1G32290_1	1,575	1,994	2,109
AT1G32300_1	0,811	0,901	0,854
AT1G32310_1	0,954	0,810	1,119
AT1G32320_1	1,047	1,374	1,461
AT1G32330_1	0,891	1,765	2,153
AT1G32337_1	1,423	1,975	2,794
AT1G32340_1	1,093	1,316	1,825
AT1G32350_1	1,102	510,426	719,234
AT1G32360_1	1,024	0,540	0,666
AT1G32361_1	0,945	1,032	1,030
AT1G32370_1	0,670	0,392	0,657
AT1G32370_2	0,859	1,125	1,592
AT1G32370_3	0,812	1,067	1,458

AGI	NaCl-Kontrolle zur H₂O-Kontrolle (log₂)	H₂O +B.c. zur H₂O-Kontrolle (log₂)	NaCl +B.c. zur H₂O-Kontrolle (log₂)
AT1G32370_4	0,760	1,253	1,809
AT1G32375_1	0,916	1,028	1,190
AT1G32380_1	1,012	1,626	2,292
AT1G32385_1	1,222	1,810	0,692
AT1G32390_1	1,020	1,204	1,269
AT1G32400_1	1,012	0,983	1,016
AT1G32400_2	0,995	0,992	1,033
AT1G32400_3	0,977	0,934	0,990
AT1G32410_1	0,847	0,806	1,012
AT1G32410_2	0,835	0,804	1,010
AT1G32415_1	1,330	0,517	0,203
AT1G32420_1	0,911	1,145	1,294
AT1G32430_1	0,967	1,228	1,355
AT1G32440_1	0,997	0,840	0,536
AT1G32450_1	1,219	1,529	5,262
AT1G32460_1	0,603	1,345	1,788
AT1G32470_1	0,880	0,340	0,089
AT1G32480_1	1,118	1,358	1,521
AT1G32490_1	1,004	0,982	1,264
AT1G32500_1	0,989	0,668	0,671
AT1G32505_1	1,038	1,375	1,357
AT1G32510_1	1,070	1,089	0,962
AT1G32520_1	0,966	1,063	1,100
AT1G32530_1	0,927	1,127	1,406
AT1G32540_1	0,759	0,154	0,118
AT1G32540_2	0,860	0,177	0,109
AT1G32550_1	0,870	0,216	0,107
AT1G32550_2	1,076	1,006	1,032
AT1G32560_1	1,377	2,130	6,412
AT1G32570_1	1,047	1,271	1,375
AT1G32570_2	1,165	1,097	1,208
AT1G32580_1	1,103	0,771	0,529
AT1G32582_1	0,971	0,987	0,962
AT1G32583_1	0,996	1,080	0,898
AT1G32585_1	0,957	1,222	1,400
AT1G32590_1	1,055	1,230	1,103
AT1G32600_1	1,020	1,134	1,179
AT1G32610_1	0,758	0,704	0,513
AT1G32610_2	0,825	0,720	0,490
AT1G32630_1	0,839	0,942	0,949
AT1G32640_1	0,925	1,477	1,224
AT1G32650_1	1,082	1,294	1,152
AT1G32660_1	1,065	1,218	1,141
AT1G32670_1	1,019	1,103	1,319
AT1G32690_1	0,811	3,183	4,265
AT1G32700_1	0,687	0,644	0,942
AT1G32700_2	0,750	0,683	0,922
AT1G32710_1	1,066	1,245	1,142
AT1G32713_1	0,949	0,990	0,979
AT1G32720_1	1,445	6,340	5,785

AGI	NaCl-Kontrolle zur H₂O-Kontrolle (log₂)	H₂O +B.c. zur H₂O-Kontrolle (log₂)	NaCl +B.c. zur H₂O-Kontrolle (log₂)
AT1G32730_1	0,949	0,713	0,754
AT1G32740_1	0,876	1,565	5,181
AT1G32750_1	1,148	0,897	1,131
AT1G32760_1	1,035	0,492	0,245
AT1G32763_1	1,321	1,254	1,502
AT1G32770_1	1,147	1,275	1,430
AT1G32780_1	0,611	0,757	0,455
AT1G32790_1	1,029	1,194	1,325
AT1G32790_2	1,058	1,224	1,412
AT1G32810_2	1,131	1,044	1,032
AT1G32820_1	1,073	1,115	1,274
AT1G32830_1	1,201	1,295	1,383
AT1G32840_1	1,221	1,456	1,711
AT1G32850_1	1,133	1,164	1,296
AT1G32860_1	1,301	0,162	0,302
AT1G32870_1	1,318	4,202	5,678
AT1G32870_2	1,322	4,460	6,048
AT1G32880_1	1,147	1,381	1,299
AT1G32890_1	0,961	1,068	1,115
AT1G32900_1	1,569	4,670	1,567
AT1G32910_1	1,089	3,319	1,737
AT1G32920_1	0,805	6,773	7,637
AT1G32928_1	0,813	3,521	6,323
AT1G32930_1	0,897	0,840	1,004
AT1G32940_1	1,004	9,361	17,536
AT1G32950_1	1,327	4,147	9,398
AT1G32960_1	1,024	9,009	11,917
AT1G32970_1	1,320	1,747	2,077
AT1G32975_1	1,094	1,207	1,225
AT1G32980_1	1,113	1,121	1,197
AT1G32990_1	0,898	0,384	0,165
AT1G32992_1	1,083	1,033	1,094
AT1G33000_1	0,978	0,960	0,906
AT1G33010_1	1,080	1,143	1,279
AT1G33020_1	1,170	1,297	1,230
AT1G33030_1	0,963	71,169	88,187
AT1G33040_1	0,871	0,312	0,148
AT1G33050_1	1,032	0,703	1,004
AT1G33050_2	1,003	0,733	0,989
AT1G33050_3	0,922	0,589	1,173
AT1G33055_1	1,469	1,912	2,210
AT1G33060_1	1,059	0,970	0,955
AT1G33060_2	1,055	0,957	0,952
AT1G33070_1	1,006	1,067	1,058
AT1G33080_1	0,927	0,629	0,456
AT1G33080_2	1,007	0,888	0,870
AT1G33090_1	1,094	2,539	2,192
AT1G33100_1	0,959	2,709	2,571
AT1G33102_1	1,710	1,750	3,594
AT1G33110_1	0,888	3,162	3,836

AGI	NaCl-Kontrolle zur H₂O-Kontrolle (log₂)	H₂O +B.c. zur H₂O-Kontrolle (log₂)	NaCl +B.c. zur H₂O-Kontrolle (log₂)
AT1G33110_2	0,862	4,394	8,644
AT1G33120_1	0,935	0,996	0,884
AT1G33130_1	1,198	1,432	1,464
AT1G33135_1	1,374	1,458	1,413
AT1G33140_1	0,940	1,015	0,778
AT1G33160_1	1,192	1,193	1,393
AT1G33170_1	1,177	0,333	0,031
AT1G33180_1	1,012	0,915	0,976
AT1G33190_1	0,992	0,997	1,000
AT1G33200_1	1,022	1,123	1,313
AT1G33220_1	1,126	1,179	1,361
AT1G33230_1	1,034	0,890	0,824
AT1G33240_1	0,825	0,498	0,143
AT1G33250_1	0,966	1,103	0,928
AT1G33260_1	1,095	0,982	0,990
AT1G33260_2	1,091	0,967	0,953
AT1G33265_1	1,290	0,755	0,760
AT1G33270_1	1,135	1,173	2,204
AT1G33270_2	1,098	0,466	1,159
AT1G33280_1	1,204	1,381	1,261
AT1G33290_1	1,005	0,730	0,498
AT1G33290_2	1,001	0,744	0,508
AT1G33300_1	1,531	1,671	1,977
AT1G33320_1	1,091	1,263	1,320
AT1G33330_1	0,950	0,876	0,976
AT1G33340_1	0,844	0,591	0,359
AT1G33350_1	1,121	0,775	0,648
AT1G33360_1	1,017	1,179	2,086
AT1G33380_1	1,035	1,034	1,038
AT1G33390_1	1,191	1,865	1,512
AT1G33400_1	1,080	0,485	0,379
AT1G33410_1	1,136	0,661	0,320
AT1G33415_1	0,880	1,054	1,684
AT1G33415_2	0,960	1,161	1,749
AT1G33420_1	0,852	0,695	0,818
AT1G33430_1	1,236	1,237	1,701
AT1G33440_1	0,650	0,465	0,343
AT1G33450_1	1,118	1,136	1,230
AT1G33460_1	1,370	1,223	1,487
AT1G33470_1	1,073	0,877	0,624
AT1G33470_2	1,046	0,886	0,616
AT1G33475_1	1,038	0,339	0,367
AT1G33480_1	1,140	0,205	0,232
AT1G33490_1	1,069	0,901	1,649
AT1G33500_1	1,134	1,175	1,437
AT1G33510_1	0,984	0,845	1,082
AT1G33520_1	1,073	1,050	1,064
AT1G33530_1	0,981	0,987	0,960
AT1G33540_1	1,220	1,215	1,449
AT1G33550_1	1,489	1,131	1,053

AGI	NaCl-Kontrolle zur H₂O-Kontrolle (log₂)	H₂O +B.c. zur H₂O-Kontrolle (log₂)	NaCl +B.c. zur H₂O-Kontrolle (log₂)
AT1G33560_1	0,970	1,499	3,219
AT1G33570_1	1,088	0,971	0,800
AT1G33580_1	1,050	1,307	1,117
AT1G33590_1	0,893	1,180	1,114
AT1G33600_1	0,831	1,739	1,596
AT1G33607_1	1,170	1,355	1,662
AT1G33610_1	0,954	0,904	0,890
AT1G33615_1	0,988	0,579	0,651
AT1G33640_1	1,239	1,013	0,941
AT1G33660_1	1,158	1,122	0,996
AT1G33670_1	1,108	1,267	1,379
AT1G33680_1	1,190	0,984	0,821
AT1G33700_1	0,729	0,480	0,300
AT1G33710_1	1,258	1,302	1,315
AT1G33720_1	0,813	0,270	0,197
AT1G33730_1	0,990	0,798	0,660
AT1G33740_1	1,072	1,070	1,025
AT1G33743_1	1,144	1,215	1,336
AT1G33750_1	1,244	1,285	1,321
AT1G33760_1	0,805	3,602	0,933
AT1G33770_1	0,703	0,393	0,120
AT1G33780_1	0,828	0,618	1,334
AT1G33785_1	1,174	1,192	1,219
AT1G33790_1	0,824	1,258	0,727
AT1G33790_2	0,906	1,176	0,328
AT1G33800_1	0,858	0,380	0,413
AT1G33810_1	0,867	0,360	0,281
AT1G33811_1	0,665	0,323	0,074
AT1G33813_1	1,027	1,191	1,145
AT1G33817_1	1,051	1,148	1,192
AT1G33820_1	1,075	1,157	1,271
AT1G33830_1	1,013	1,252	1,338
AT1G33835_1	1,102	1,147	1,247
AT1G33840_1	1,197	0,651	1,032
AT1G33850_1	0,980	0,921	0,754
AT1G33855_1	0,967	1,075	1,085
AT1G33860_1	1,253	1,047	0,988
AT1G33870_1	1,039	1,132	1,127
AT1G33880_1	1,009	1,165	1,215
AT1G33890_1	0,870	0,946	1,026
AT1G33900_1	1,109	1,180	1,002
AT1G33910_1	0,928	0,962	0,858
AT1G33920_1	0,973	1,038	1,072
AT1G33925_1	1,061	1,322	1,530
AT1G33930_1	0,325	0,189	0,093
AT1G33940_1	0,957	0,938	0,940
AT1G33940_2	1,375	0,319	0,168
AT1G33950_1	1,061	1,995	2,350
AT1G33960_1	0,999	3,392	7,085
AT1G33970_1	1,032	0,483	0,968

AGI	NaCl-Kontrolle zur H₂O-Kontrolle (log₂)	H₂O +B.c. zur H₂O-Kontrolle (log₂)	NaCl +B.c. zur H₂O-Kontrolle (log₂)
AT1G33970_2	0,995	0,461	0,728
AT1G33970_3	0,929	0,191	0,733
AT1G33970_4	1,021	0,530	0,932
AT1G33980_1	1,073	1,079	1,314
AT1G33990_1	1,029	0,958	0,861
AT1G34000_1	0,893	0,557	0,376
AT1G34010_1	0,866	0,335	0,114
AT1G34020_1	1,021	0,861	0,831
AT1G34030_1	1,011	1,072	0,892
AT1G34040_1	0,985	1,833	2,304
AT1G34041_1	0,903	1,041	1,101
AT1G34042_1	1,211	1,273	1,341
AT1G34044_1	1,270	1,180	1,362
AT1G34046_1	1,067	1,055	1,016
AT1G34047_1	1,161	2,063	2,262
AT1G34050_1	1,127	1,218	1,211
AT1G34060_1	1,632	11,644	17,608
AT1G34065_1	0,813	0,208	0,122
AT1G34070_1	1,138	1,220	1,296
AT1G34080_1	1,155	1,193	1,180
AT1G34090_1	1,137	1,266	1,541
AT1G34095_1	1,433	1,289	1,380
AT1G34097_1	0,968	0,983	1,101
AT1G34100_1	1,140	1,223	1,124
AT1G34110_1	1,067	0,688	0,760
AT1G34120_1	0,805	0,544	1,085
AT1G34120_3	0,925	0,545	1,119
AT1G34130_1	1,024	0,751	0,870
AT1G34140_1	1,156	1,198	1,615
AT1G34150_1	0,900	1,105	1,271
AT1G34160_1	1,297	0,760	0,517
AT1G34170_1	0,990	0,990	1,003
AT1G34170_2	0,969	1,072	1,083
AT1G34170_3	1,067	0,986	1,082
AT1G34180_1	0,933	6,395	7,663
AT1G34190_1	1,037	1,160	1,296
AT1G34200_1	0,941	1,371	0,989
AT1G34210_1	1,103	1,674	1,097
AT1G34220_1	0,986	0,830	1,145
AT1G34220_2	0,990	0,861	1,150
AT1G34230_1	1,193	1,321	1,336
AT1G34240_1	0,979	0,963	1,025
AT1G34245_1	0,662	0,710	0,608
AT1G34250_1	1,186	1,104	0,964
AT1G34260_1	0,956	0,955	1,214
AT1G34270_1	0,834	0,495	0,659
AT1G34280_1	0,956	0,992	1,024
AT1G34281_1	1,144	1,239	1,428
AT1G34290_1	0,976	1,114	1,100
AT1G34300_1	0,940	1,206	1,340

AGI	NaCl-Kontrolle zur H₂O-Kontrolle (log₂)	H₂O +B.c. zur H₂O-Kontrolle (log₂)	NaCl +B.c. zur H₂O-Kontrolle (log₂)
AT1G34310_1	1,049	1,075	1,131
AT1G34315_1	0,812	1,524	1,374
AT1G34320_1	0,990	0,998	0,907
AT1G34330_1	1,074	1,099	1,047
AT1G34340_1	0,994	0,436	0,947
AT1G34350_1	0,797	0,533	0,484
AT1G34355_1	0,782	0,483	0,448
AT1G34360_1	1,095	1,210	1,463
AT1G34370_1	0,979	1,615	1,876
AT1G34370_3	0,980	1,588	1,893
AT1G34380_1	1,032	0,648	0,573
AT1G34380_2	0,875	0,420	0,481
AT1G34390_1	1,022	1,038	1,050
AT1G34392_1	1,164	1,240	1,302
AT1G34400_1	0,993	1,227	1,009
AT1G34405_1	1,158	1,467	1,372
AT1G34410_1	0,933	0,956	0,920
AT1G34418_1	1,096	0,986	0,828
AT1G34419_1	1,153	1,310	1,374
AT1G34420_1	0,730	2,229	2,240
AT1G34430_1	0,979	0,781	0,380
AT1G34440_1	1,182	1,354	1,362
AT1G34460_1	1,196	0,935	1,042
AT1G34470_1	0,941	0,760	0,988
AT1G34480_1	0,820	0,761	0,793
AT1G34490_1	0,933	1,118	1,098
AT1G34500_1	1,159	1,293	1,078
AT1G34510_1	0,976	1,150	1,192
AT1G34520_1	1,053	1,162	1,167
AT1G34530_1	1,293	1,446	1,428
AT1G34540_1	1,076	1,011	1,121
AT1G34545_1	1,071	1,094	1,022
AT1G34550_1	0,983	0,866	0,711
AT1G34560_1	0,897	1,125	0,882
AT1G34570_1	0,957	0,550	0,583
AT1G34575_1	0,867	1,052	0,973
AT1G34580_1	0,837	0,696	0,731
AT1G34590_1	1,196	1,258	1,156
AT1G34600_1	1,060	1,346	1,220
AT1G34610_1	1,100	1,067	1,084
AT1G34620_1	1,071	1,314	1,303
AT1G34630_1	1,086	1,273	1,994
AT1G34630_2	0,975	0,752	1,416
AT1G34640_1	1,011	0,351	0,083
AT1G34650_1	1,046	1,217	1,077
AT1G34660_1	1,029	1,107	1,147
AT1G34670_1	1,062	1,112	1,190
AT1G34680_1	1,020	1,040	1,006
AT1G34690_1	1,271	0,619	0,250
AT1G34700_1	1,309	1,428	1,571

AGI	NaCl-Kontrolle zur H₂O-Kontrolle (log₂)	H₂O +B.c. zur H₂O-Kontrolle (log₂)	NaCl +B.c. zur H₂O-Kontrolle (log₂)
AT1G34710_1	1,249	1,424	1,586
AT1G34720_1	1,301	1,449	1,628
AT1G34730_1	1,436	1,562	1,810
AT1G34740_1	1,374	1,319	1,353
AT1G34750_1	0,779	0,913	1,296
AT1G34760_1	0,610	0,388	0,425
AT1G34760_2	0,734	0,629	0,655
AT1G34770_1	0,648	0,689	0,712
AT1G34780_1	0,914	0,851	0,867
AT1G34780_2	0,957	0,854	0,930
AT1G34790_1	1,098	1,267	1,191
AT1G34792_1	1,006	1,061	0,952
AT1G34795_1	0,892	0,898	0,917
AT1G34797_1	1,058	1,466	1,632
AT1G34800_1	0,929	0,783	0,825
AT1G34803_1	0,995	1,414	1,564
AT1G34808_1	0,988	1,369	1,542
AT1G34810_1	0,869	0,883	0,833
AT1G34825_1	1,001	0,975	0,933
AT1G34830_1	0,883	0,929	0,875
AT1G34840_1	0,974	0,960	0,888
AT1G34842_1	0,782	0,521	0,489
AT1G34844_1	0,851	0,439	0,532
AT1G34860_1	0,922	0,902	0,810
AT1G34904_1	0,993	1,137	1,186
AT1G34910_1	1,162	1,280	1,430
AT1G34930_1	1,022	0,952	0,928
AT1G34967_1	1,134	1,209	1,333
AT1G35030_1	1,134	1,168	1,223
AT1G35035_1	1,091	1,080	1,046
AT1G35040_1	1,162	1,256	1,074
AT1G35050_1	1,145	1,250	1,215
AT1G35060_1	0,954	1,181	1,263
AT1G35080_1	1,082	1,191	1,312
AT1G35090_1	1,052	1,164	1,252
AT1G35100_1	1,112	1,049	1,135
AT1G35110_1	1,102	1,215	1,316
AT1G35112_1	1,144	0,938	1,020
AT1G35115_1	1,111	1,046	1,177
AT1G35130_1	1,221	1,292	1,124
AT1G35140_1	0,604	11,084	11,170
AT1G35143_1	0,970	0,966	0,943
AT1G35146_1	1,121	1,325	1,197
AT1G35150_1	1,026	1,005	1,054
AT1G35160_1	0,891	0,795	0,926
AT1G35170_1	0,708	0,505	0,339
AT1G35180_1	0,634	0,224	0,077
AT1G35181_1	0,962	1,150	1,123
AT1G35183_1	1,055	0,928	0,959
AT1G35186_1	0,872	1,015	1,026

AGI	NaCl-Kontrolle zur H₂O-Kontrolle (log₂)	H₂O +B.c. zur H₂O-Kontrolle (log₂)	NaCl +B.c. zur H₂O-Kontrolle (log₂)
AT1G35190_1	1,079	1,895	2,325
AT1G35190_2	1,089	1,905	2,781
AT1G35200_1	1,146	1,131	0,927
AT1G35210_1	0,855	5,338	5,476
AT1G35220_1	1,080	0,617	0,844
AT1G35230_1	0,311	1,680	3,466
AT1G35240_1	1,048	1,053	1,052
AT1G35242_1	1,015	1,155	1,112
AT1G35250_1	1,214	1,404	1,774
AT1G35255_1	0,995	1,001	1,005
AT1G35260_1	0,987	0,766	0,992
AT1G35270_1	1,169	1,024	1,110
AT1G35280_1	1,144	1,460	1,414
AT1G35290_1	1,328	1,059	1,083
AT1G35300_1	1,287	1,247	1,096
AT1G35310_1	1,723	0,658	0,565
AT1G35320_1	1,059	1,124	1,118
AT1G35330_1	1,188	1,431	1,785
AT1G35333_1	1,108	1,027	1,373
AT1G35340_1	0,911	0,389	0,383
AT1G35340_2	0,937	0,391	0,365
AT1G35340_3	0,922	0,408	0,403
AT1G35350_1	0,714	3,118	2,971
AT1G35360_1	1,060	1,150	1,361
AT1G35365_1	1,034	1,019	0,993
AT1G35370_1	1,226	1,514	1,617
AT1G35375_1	1,146	1,165	1,215
AT1G35380_1	1,035	1,047	1,202
AT1G35390_1	1,093	1,201	1,303
AT1G35400_1	1,075	1,032	1,044
AT1G35405_1	1,066	1,235	1,462
AT1G35410_1	1,043	1,052	1,032
AT1G35420_1	1,019	0,500	0,203
AT1G35430_1	0,838	0,936	1,123
AT1G35435_1	1,355	1,613	1,695
AT1G35440_1	0,963	1,135	1,170
AT1G35450_1	0,904	1,010	0,963
AT1G35460_1	1,030	0,644	0,695
AT1G35461_1	1,059	1,049	1,024
AT1G35465_1	1,132	1,370	1,422
AT1G35467_1	0,942	1,021	1,002
AT1G35470_1	1,009	1,103	1,330
AT1G35470_2	1,011	1,098	1,326
AT1G35480_1	0,935	1,010	0,923
AT1G35490_1	1,014	1,072	1,022
AT1G35500_1	1,175	1,311	1,368
AT1G35501_1	1,096	1,053	1,120
AT1G35510_1	0,823	0,937	0,818
AT1G35513_1	1,266	0,929	1,128
AT1G35515_1	0,763	0,795	0,997

AGI	NaCl-Kontrolle zur H₂O-Kontrolle (log₂)	H₂O +B.c. zur H₂O-Kontrolle (log₂)	NaCl +B.c. zur H₂O-Kontrolle (log₂)
AT1G35516_1	0,913	1,393	0,622
AT1G35520_1	0,865	1,015	0,856
AT1G35530_1	0,642	0,488	0,395
AT1G35535_1	0,932	1,174	1,123
AT1G35537_1	1,114	1,125	1,212
AT1G35540_1	0,990	0,919	0,885
AT1G35545_1	1,082	1,239	1,231
AT1G35550_1	1,059	1,248	1,072
AT1G35560_1	1,061	2,250	1,104
AT1G35570_1	1,007	1,407	1,215
AT1G35580_1	0,847	0,936	0,709
AT1G35580_3	0,900	0,935	0,769
AT1G35590_1	0,951	0,926	1,057
AT1G35600_1	1,165	1,336	1,607
AT1G35610_1	0,940	0,902	0,921
AT1G35612_1	0,774	0,145	0,049
AT1G35614_1	1,181	1,451	1,927
AT1G35617_1	1,141	1,227	1,411
AT1G35620_1	0,939	0,544	0,491
AT1G35625_1	0,938	1,124	0,990
AT1G35630_1	1,046	1,032	0,941
AT1G35640_1	1,213	1,256	1,073
AT1G35645_1	1,273	1,279	1,269
AT1G35647_1	1,060	1,339	1,368
AT1G35650_1	1,348	1,264	1,297
AT1G35660_1	1,159	1,915	2,107
AT1G35663_1	0,964	1,212	1,123
AT1G35670_1	0,981	1,099	1,103
AT1G35680_1	0,927	0,306	0,093
AT1G35690_1	0,957	1,105	0,979
AT1G35700_1	0,984	1,009	1,074
AT1G35710_1	0,777	0,543	0,878
AT1G35720_1	1,277	0,405	0,446
AT1G35730_1	0,441	0,163	0,096
AT1G35735_1	1,267	1,172	1,239
AT1G35740_1	0,940	1,014	0,941
AT1G35745_1	0,963	0,968	0,962
AT1G35750_1	0,994	0,947	0,925
AT1G35760_1	1,065	1,156	1,046
AT1G35770_1	1,046	1,064	1,147
AT1G35780_1	0,985	0,687	0,557
AT1G35790_1	1,635	1,569	1,335
AT1G35820_1	1,174	1,314	1,147
AT1G35830_1	0,801	0,527	0,651
AT1G35840_1	0,995	1,287	1,425
AT1G35850_1	0,959	0,964	0,974
AT1G35860_1	1,184	1,264	1,215
AT1G35870_1	0,932	1,076	0,968
AT1G35880_1	1,130	1,508	1,702
AT1G35890_1	1,004	1,182	1,092

AGI	NaCl-Kontrolle zur H₂O-Kontrolle (log₂)	H₂O +B.c. zur H₂O-Kontrolle (log₂)	NaCl +B.c. zur H₂O-Kontrolle (log₂)
AT1G35900_1	1,366	1,394	1,334
AT1G35910_1	0,862	3,209	15,435
AT1G35920_1	1,113	1,188	1,305
AT1G35930_1	0,893	1,024	0,973
AT1G35940_1	0,953	1,259	1,044
AT1G35950_1	1,046	1,045	0,911
AT1G35960_1	1,063	1,191	1,321
AT1G35970_1	1,003	1,272	1,099
AT1G35980_1	0,948	1,160	1,126
AT1G35990_1	0,993	1,042	1,098
AT1G35995_1	1,046	1,138	1,083
AT1G36000_1	1,062	1,163	1,162
AT1G36010_1	1,032	1,381	1,508
AT1G36020_1	1,088	1,225	1,098
AT1G36030_1	0,932	0,934	0,964
AT1G36035_1	1,029	1,132	1,098
AT1G36040_1	1,211	1,274	1,193
AT1G36050_1	0,845	1,094	1,114
AT1G36050_2	0,685	1,260	1,353
AT1G36060_1	1,024	1,298	1,104
AT1G36070_1	1,158	0,775	1,077
AT1G36078_1	1,215	1,211	1,119
AT1G36080_1	1,082	1,116	0,892
AT1G36090_1	1,211	1,503	1,693
AT1G36095_1	0,973	0,952	0,916
AT1G36100_1	1,486	1,703	1,428
AT1G36105_1	0,893	1,043	1,096
AT1G36110_1	0,898	1,045	0,955
AT1G36120_1	1,237	1,491	1,359
AT1G36130_1	1,310	1,596	1,714
AT1G36140_1	1,065	1,083	1,074
AT1G36150_1	1,239	1,342	1,364
AT1G36160_1	1,095	0,871	0,679
AT1G36180_1	1,212	0,829	0,669
AT1G36180_2	1,004	1,127	1,131
AT1G36185_1	0,926	1,295	0,999
AT1G36190_1	1,213	1,454	1,262
AT1G36200_1	1,010	1,009	0,890
AT1G36210_1	1,319	1,483	1,407
AT1G36220_1	1,229	1,231	1,161
AT1G36225_1	0,955	1,104	1,062
AT1G36230_1	1,108	1,293	1,548
AT1G36240_1	1,216	1,322	0,986
AT1G36250_1	1,017	1,116	1,139
AT1G36260_1	1,085	1,507	1,250
AT1G36270_1	1,255	1,393	1,296
AT1G36272_1	1,371	0,788	0,162
AT1G36280_1	1,104	0,926	0,429
AT1G36290_1	0,950	0,956	0,926
AT1G36300_1	1,420	1,634	1,340

AGI	NaCl-Kontrolle zur H₂O-Kontrolle (log₂)	H₂O +B.c. zur H₂O-Kontrolle (log₂)	NaCl +B.c. zur H₂O-Kontrolle (log₂)
AT1G36305_1	1,192	1,452	1,353
AT1G36310_1	1,023	0,945	0,549
AT1G36310_2	0,882	0,914	0,614
AT1G36320_1	1,045	0,878	0,685
AT1G36330_1	0,998	1,067	0,934
AT1G36340_1	0,957	0,906	0,969
AT1G36360_1	1,067	1,058	0,930
AT1G36370_1	1,178	1,924	1,680
AT1G36380_1	1,119	0,610	2,187
AT1G36390_1	0,643	0,257	0,301
AT1G36390_2	0,873	0,355	0,423
AT1G36395_1	1,390	1,562	1,455
AT1G36400_1	1,365	1,513	1,285
AT1G36403_1	1,253	1,488	1,499
AT1G36406_1	1,105	1,248	0,942
AT1G36420_1	1,109	1,409	1,605
AT1G36430_1	1,039	1,189	1,231
AT1G36440_1	0,994	1,278	1,236
AT1G36441_1	1,112	1,149	1,217
AT1G36445_1	0,965	1,314	1,419
AT1G36450_1	0,943	0,969	1,003
AT1G36460_1	1,163	1,405	1,441
AT1G36470_1	1,195	1,211	1,425
AT1G36480_1	0,997	1,044	1,072
AT1G36485_1	1,011	1,051	0,996
AT1G36490_1	0,986	0,997	0,925
AT1G36495_1	0,967	0,922	0,876
AT1G36500_1	0,973	0,983	0,960
AT1G36510_1	1,225	1,319	1,418
AT1G36520_1	1,301	1,488	1,408
AT1G36530_1	1,336	1,328	1,216
AT1G36540_1	1,314	1,502	1,319
AT1G36550_1	1,130	1,343	1,184
AT1G36560_1	1,318	1,454	1,540
AT1G36570_1	0,980	1,058	0,980
AT1G36580_1	0,993	1,213	1,073
AT1G36590_1	1,204	1,357	1,600
AT1G36595_1	1,165	1,268	1,216
AT1G36600_1	1,149	1,712	2,283
AT1G36605_1	0,999	1,382	1,495
AT1G36610_1	1,233	1,543	1,520
AT1G36620_1	1,015	1,160	1,242
AT1G36622_1	0,783	66,580	108,957
AT1G36630_1	1,142	1,149	1,034
AT1G36640_1	1,009	1,397	1,749
AT1G36650_1	0,940	1,111	1,077
AT1G36660_1	1,028	1,031	0,938
AT1G36670_1	1,077	0,977	0,951
AT1G36675_1	0,912	0,832	0,581
AT1G36680_1	1,047	0,889	0,448

AGI	NaCl-Kontrolle zur H₂O-Kontrolle (log₂)	H₂O +B.c. zur H₂O-Kontrolle (log₂)	NaCl +B.c. zur H₂O-Kontrolle (log₂)
AT1G36690_1	1,108	1,109	0,920
AT1G36700_1	1,238	1,168	1,120
AT1G36710_1	1,193	1,142	1,080
AT1G36720_1	1,193	1,440	1,285
AT1G36730_1	0,990	1,166	1,173
AT1G36740_1	1,020	0,982	0,977
AT1G36745_1	0,973	1,271	1,261
AT1G36750_1	0,905	1,020	0,972
AT1G36756_1	1,411	1,508	1,461
AT1G36763_1	1,294	1,456	1,334
AT1G36770_1	1,103	1,160	1,036
AT1G36775_1	1,149	1,160	1,095
AT1G36790_1	1,129	1,124	1,174
AT1G36795_1	1,408	1,690	1,486
AT1G36800_1	0,923	1,014	1,021
AT1G36810_1	1,228	1,277	1,234
AT1G36830_1	1,219	1,381	1,394
AT1G36840_1	1,081	1,118	1,056
AT1G36850_1	1,278	1,355	1,328
AT1G36880_1	1,033	1,046	0,997
AT1G36890_1	0,898	1,054	1,033
AT1G36910_1	1,037	1,173	0,949
AT1G36915_1	0,964	0,995	0,969
AT1G36920_1	0,920	0,959	0,960
AT1G36925_1	1,054	1,213	1,076
AT1G36927_1	1,071	1,064	0,967
AT1G36933_1	0,918	0,987	0,923
AT1G36936_1	1,028	1,099	1,007
AT1G36940_1	0,628	0,755	0,354
AT1G36942_1	1,079	1,211	1,206
AT1G36950_1	1,183	1,262	1,351
AT1G36960_1	1,000	1,276	1,214
AT1G36970_1	1,125	1,284	1,223
AT1G36975_1	1,135	1,660	1,482
AT1G36980_1	0,909	0,767	0,804
AT1G36990_1	1,047	1,319	1,433
AT1G36992_1	1,147	1,283	1,479
AT1G37000_1	1,336	1,609	2,137
AT1G37007_1	1,024	1,121	1,098
AT1G37010_1	1,109	1,217	0,755
AT1G37012_1	1,051	1,085	1,097
AT1G37015_1	1,127	1,281	1,131
AT1G37020_1	1,163	1,187	1,144
AT1G37030_1	1,093	1,070	1,022
AT1G37035_1	0,968	1,037	1,099
AT1G37036_1	1,131	1,283	1,080
AT1G37037_1	1,168	1,110	1,177
AT1G37038_1	0,961	0,938	1,044
AT1G37040_1	1,011	0,942	0,966
AT1G37045_1	1,409	1,475	1,427

AGI	NaCl-Kontrolle zur H₂O-Kontrolle (log₂)	H₂O +B.c. zur H₂O-Kontrolle (log₂)	NaCl +B.c. zur H₂O-Kontrolle (log₂)
AT1G37050_1	1,106	0,949	0,995
AT1G37057_1	1,010	0,948	0,988
AT1G37060_1	1,312	1,361	1,331
AT1G37063_1	1,258	1,440	1,348
AT1G37070_1	1,293	1,464	1,478
AT1G37080_1	1,157	1,230	1,403
AT1G37090_1	1,215	1,250	1,224
AT1G37095_1	1,111	1,115	1,128
AT1G37100_1	1,456	1,692	1,679
AT1G37110_1	1,178	1,133	1,529
AT1G37113_1	0,941	1,126	1,306
AT1G37120_1	0,861	1,118	1,113
AT1G37130_1	1,032	1,321	1,262
AT1G37140_1	1,035	1,065	1,143
AT1G37140_2	1,085	1,085	1,217
AT1G37150_1	1,153	0,938	0,945
AT1G37150_2	1,093	0,855	0,892
AT1G37150_3	1,055	0,845	0,895
AT1G37150_4	1,012	1,075	1,132
AT1G37160_1	1,320	1,514	1,392
AT1G37162_1	0,946	0,941	0,912
AT1G37170_1	1,118	1,329	1,409
AT1G37180_1	1,142	1,565	1,508
AT1G37190_1	1,052	1,293	1,330
AT1G37200_1	1,267	1,443	1,378
AT1G37210_1	1,383	1,851	1,938
AT1G37275_1	1,247	1,440	1,595
AT1G37340_1	1,275	1,500	1,434
AT1G37405_1	1,300	1,459	1,273
AT1G37471_1	1,215	1,460	1,351
AT1G37537_1	1,388	1,467	1,497
AT1G37603_1	1,486	1,543	1,449
AT1G37669_1	1,476	1,556	1,272
AT1G37735_1	1,433	1,675	1,554
AT1G37801_1	1,302	1,346	1,252
AT1G37867_1	1,352	1,491	1,289
AT1G37933_1	1,173	1,327	1,275
AT1G37999_1	1,024	1,066	0,989
AT1G38065_1	0,958	0,516	0,163
AT1G38140_1	1,039	1,064	1,051
AT1G38149_1	1,171	1,313	1,350
AT1G38158_1	1,289	1,507	1,375
AT1G38167_1	1,387	1,545	1,466
AT1G38176_1	1,236	1,525	1,399
AT1G38185_1	1,405	1,492	1,564
AT1G38194_1	1,104	1,280	1,162
AT1G38203_1	1,294	1,455	1,446
AT1G38212_1	1,257	1,484	1,325
AT1G38221_1	1,228	1,378	1,373
AT1G38230_1	1,301	1,551	1,324

AGI	NaCl-Kontrolle zur H₂O-Kontrolle (log₂)	H₂O +B.c. zur H₂O-Kontrolle (log₂)	NaCl +B.c. zur H₂O-Kontrolle (log₂)
AT1G38240_1	1,122	1,448	1,218
AT1G38250_1	1,265	1,445	1,396
AT1G38260_1	1,311	1,570	1,387
AT1G38270_1	1,311	1,549	1,461
AT1G38280_1	1,320	1,475	1,322
AT1G38290_1	1,118	1,418	1,342
AT1G38300_1	1,359	1,558	1,688
AT1G38310_1	1,144	1,404	1,311
AT1G38320_1	1,384	1,524	1,455
AT1G38340_1	1,224	1,453	1,411
AT1G38350_1	1,396	1,546	1,380
AT1G38360_1	1,255	1,589	1,477
AT1G38380_1	1,283	1,507	1,331
AT1G38390_1	1,410	1,723	1,649
AT1G38400_1	1,353	1,588	1,466
AT1G38410_1	1,249	1,480	1,350
AT1G38416_1	1,214	1,479	1,406
AT1G38423_1	1,393	1,558	1,625
AT1G38430_1	1,273	1,486	1,579
AT1G38440_1	1,340	1,583	1,331
AT1G38450_1	1,415	1,445	1,512
AT1G38460_1	1,359	1,392	1,267
AT1G38550_1	1,106	1,279	1,121
AT1G38630_1	1,347	1,478	1,278
AT1G38710_1	0,991	1,381	1,206
AT1G38790_1	1,367	1,429	1,123
AT1G38870_1	1,347	1,550	1,312
AT1G38950_1	1,294	1,709	1,648
AT1G39030_1	1,324	1,423	1,308
AT1G39110_1	1,161	1,490	1,556
AT1G39190_1	0,881	0,936	0,725
AT1G39270_1	1,371	1,604	1,406
AT1G39350_1	0,938	1,055	1,019
AT1G39430_1	1,076	1,068	1,109
AT1G39510_1	1,363	1,332	1,206
AT1G39511_1	1,270	1,349	1,393
AT1G39590_1	1,368	1,511	1,559
AT1G39670_1	1,052	1,158	1,270
AT1G39750_1	1,346	1,412	1,485
AT1G39830_1	1,335	1,449	1,426
AT1G39910_1	1,397	1,580	1,446
AT1G39990_1	1,299	1,558	1,341
AT1G40069_1	1,156	1,213	1,145
AT1G40070_1	1,368	1,415	1,321
AT1G40071_1	1,335	1,310	1,030
AT1G40072_1	1,256	1,476	1,350
AT1G40074_1	1,342	1,508	1,466
AT1G40075_1	1,068	1,415	1,376
AT1G40076_1	1,423	1,635	1,590
AT1G40077_1	1,285	1,444	1,355

AGI	NaCl-Kontrolle zur H₂O-Kontrolle (log₂)	H₂O +B.c. zur H₂O-Kontrolle (log₂)	NaCl +B.c. zur H₂O-Kontrolle (log₂)
AT1G40078_1	1,105	1,273	1,143
AT1G40079_1	1,098	1,050	1,119
AT1G40080_1	1,004	1,035	0,895
AT1G40081_1	1,053	1,147	1,169
AT1G40083_1	1,111	1,195	1,095
AT1G40084_1	1,500	1,712	1,404
AT1G40085_1	1,383	1,415	1,409
AT1G40087_1	1,042	1,058	1,031
AT1G40089_1	0,980	0,927	0,900
AT1G40091_1	0,923	0,966	0,940
AT1G40093_1	1,279	1,495	1,358
AT1G40095_1	1,289	1,542	1,560
AT1G40097_1	1,007	1,180	0,957
AT1G40099_1	1,020	1,183	1,141
AT1G40100_1	1,236	1,423	1,405
AT1G40101_1	1,459	1,618	1,541
AT1G40103_1	1,200	1,342	1,080
AT1G40104_1	1,246	1,171	1,019
AT1G40105_1	1,114	1,134	1,165
AT1G40106_1	1,136	1,085	0,990
AT1G40107_1	1,099	1,260	1,212
AT1G40109_1	1,185	1,278	1,494
AT1G40112_1	1,149	1,444	1,404
AT1G40113_1	1,250	1,313	1,356
AT1G40115_1	1,237	1,453	1,350
AT1G40117_1	1,228	1,389	1,372
AT1G40118_1	1,264	1,347	1,390
AT1G40119_1	1,384	1,397	1,402
AT1G40121_1	1,197	1,319	1,219
AT1G40123_1	1,040	1,027	1,170
AT1G40124_1	1,122	1,203	1,393
AT1G40125_1	1,136	0,989	1,144
AT1G40127_1	1,121	1,211	1,041
AT1G40129_1	0,975	0,955	0,969
AT1G40130_1	1,142	1,040	1,109
AT1G40131_1	1,216	1,383	1,377
AT1G40133_1	1,322	1,224	1,153
AT1G40135_1	1,245	1,402	1,385
AT1G40136_1	1,210	1,352	1,352
AT1G40137_1	1,256	1,386	1,324
AT1G40139_1	1,185	1,165	1,199
AT1G40141_1	1,285	1,492	1,432
AT1G40143_1	1,374	1,439	1,530
AT1G40150_1	1,272	1,511	1,444
AT1G40230_1	1,279	1,550	1,689
AT1G40310_1	1,379	1,469	1,404
AT1G40390_1	1,114	1,057	1,174
AT1G40470_1	1,029	1,073	1,007
AT1G40630_1	1,254	1,422	1,438
AT1G41115_1	1,240	1,563	1,494

AGI	NaCl-Kontrolle zur H₂O-Kontrolle (log₂)	H₂O +B.c. zur H₂O-Kontrolle (log₂)	NaCl +B.c. zur H₂O-Kontrolle (log₂)
AT1G41600_1	1,237	1,530	1,410
AT1G41630_1	1,286	1,511	1,424
AT1G41650_1	1,245	1,315	1,160
AT1G41660_1	1,250	1,475	1,404
AT1G41680_1	1,300	1,435	1,352
AT1G41690_1	1,302	1,476	1,328
AT1G41700_1	1,284	1,425	1,367
AT1G41710_1	1,369	1,474	1,523
AT1G41720_1	1,390	1,484	1,436
AT1G41723_1	1,293	1,405	1,205
AT1G41726_1	1,247	1,481	1,386
AT1G41730_1	1,400	1,475	1,476
AT1G41740_1	1,167	1,336	1,252
AT1G41743_1	1,291	1,380	1,058
AT1G41746_1	1,167	1,526	1,591
AT1G41750_1	1,283	1,484	1,534
AT1G41755_1	0,970	1,110	0,960
AT1G41760_1	1,109	1,161	0,994
AT1G41770_1	1,440	1,521	1,247
AT1G41775_1	1,252	1,531	1,302
AT1G41790_1	0,871	0,930	0,739
AT1G41795_1	1,218	1,359	1,235
AT1G41797_1	1,272	1,481	1,192
AT1G41798_1	1,249	1,401	1,266
AT1G41803_1	1,055	1,162	0,958
AT1G41810_1	0,975	1,312	1,293
AT1G41820_1	1,057	1,159	1,015
AT1G41825_1	1,271	1,532	1,355
AT1G41827_1	1,338	1,162	1,165
AT1G41830_1	1,124	0,355	0,150
AT1G41835_1	1,093	1,150	1,204
AT1G41840_1	1,155	1,303	1,334
AT1G41850_1	0,876	1,029	0,917
AT1G41855_1	1,345	1,915	1,827
AT1G41860_1	1,397	1,259	1,212
AT1G41870_1	1,095	1,586	1,601
AT1G41875_1	1,039	1,119	1,123
AT1G41880_1	0,856	0,770	0,596
AT1G41890_1	0,881	1,303	2,002
AT1G41893_1	0,957	0,954	0,965
AT1G41896_1	1,281	1,542	1,431
AT1G41900_1	1,158	1,493	1,420
AT1G41910_1	1,151	1,218	1,068
AT1G41920_1	0,975	1,038	0,811
AT1G41930_1	1,226	1,617	1,451
AT1G42003_1	1,047	0,996	1,007
AT1G42040_1	1,324	1,453	1,361
AT1G42045_1	1,388	1,844	1,997
AT1G42050_1	1,351	1,440	1,365
AT1G42060_1	1,438	1,538	1,294

AGI	NaCl-Kontrolle zur H₂O-Kontrolle (log₂)	H₂O +B.c. zur H₂O-Kontrolle (log₂)	NaCl +B.c. zur H₂O-Kontrolle (log₂)
AT1G42070_1	1,296	1,728	1,683
AT1G42080_1	1,236	1,357	1,561
AT1G42090_1	0,875	1,388	1,725
AT1G42100_1	0,989	0,930	0,875
AT1G42110_1	0,971	0,968	0,929
AT1G42130_1	1,046	0,984	0,971
AT1G42140_1	1,177	1,358	1,214
AT1G42150_1	1,085	1,089	0,921
AT1G42160_1	1,221	1,351	1,153
AT1G42170_1	1,223	1,287	1,237
AT1G42180_1	1,180	1,073	1,065
AT1G42190_1	1,061	1,043	0,968
AT1G42200_1	1,106	1,138	1,216
AT1G42210_1	1,216	1,115	1,246
AT1G42220_1	1,110	1,140	1,081
AT1G42230_1	1,103	1,108	1,245
AT1G42240_1	1,086	1,195	1,298
AT1G42250_1	1,007	0,976	0,898
AT1G42260_1	1,103	1,022	0,913
AT1G42270_1	1,099	1,193	1,083
AT1G42280_1	0,892	1,177	1,064
AT1G42290_1	1,035	1,142	0,884
AT1G42300_1	1,215	1,699	1,705
AT1G42310_1	1,031	0,998	0,935
AT1G42320_1	1,300	1,541	1,268
AT1G42350_1	0,985	1,321	1,235
AT1G42360_1	1,416	1,435	1,431
AT1G42365_1	1,321	1,349	1,366
AT1G42367_1	1,285	1,419	1,267
AT1G42370_1	1,408	1,446	1,438
AT1G42375_1	1,338	1,350	1,412
AT1G42377_1	1,291	1,463	1,407
AT1G42380_1	1,053	1,172	1,214
AT1G42385_1	1,025	1,006	0,938
AT1G42390_1	1,040	1,204	0,906
AT1G42393_1	1,238	1,204	1,231
AT1G42396_1	1,059	1,142	1,064
AT1G42400_1	0,984	1,069	1,085
AT1G42410_1	1,165	1,492	1,366
AT1G42420_1	1,124	1,176	1,094
AT1G42430_1	1,020	0,594	0,183
AT1G42440_1	1,122	1,436	1,141
AT1G42450_1	1,178	1,215	1,057
AT1G42460_1	1,289	1,858	1,664
AT1G42470_1	1,002	0,744	0,939
AT1G42480_1	0,902	0,675	0,878
AT1G42480_2	0,936	0,746	0,901
AT1G42480_3	1,024	1,064	0,988
AT1G42490_1	0,892	1,998	2,207
AT1G42500_1	1,146	1,486	1,593

AGI	NaCl-Kontrolle zur H₂O-Kontrolle (log₂)	H₂O +B.c. zur H₂O-Kontrolle (log₂)	NaCl +B.c. zur H₂O-Kontrolle (log₂)
AT1G42510_1	1,073	1,029	1,008
AT1G42515_1	0,982	1,138	1,137
AT1G42520_1	1,063	1,156	0,908
AT1G42525_1	1,070	1,128	1,120
AT1G42525_2	1,008	1,065	1,086
AT1G42530_1	1,082	1,267	1,307
AT1G42540_1	0,930	1,483	1,530
AT1G42550_1	1,031	0,968	0,391
AT1G42560_1	1,051	2,479	2,031
AT1G42570_1	1,038	1,093	0,971
AT1G42580_1	1,165	0,787	0,894
AT1G42590_1	1,063	3,161	10,957
AT1G42595_1	1,031	1,260	1,262
AT1G42600_1	1,042	1,128	1,008
AT1G42602_1	1,059	0,982	0,959
AT1G42605_1	1,167	1,458	1,345
AT1G42610_1	1,018	1,166	1,048
AT1G42620_1	1,012	1,023	0,993
AT1G42630_1	0,903	1,021	0,938
AT1G42635_1	0,938	0,900	0,857
AT1G42650_1	0,970	1,089	1,046
AT1G42655_1	1,057	1,179	1,238
AT1G42680_1	1,226	1,460	1,368
AT1G42690_1	1,044	1,179	1,164
AT1G42695_1	1,312	1,442	1,323
AT1G42697_1	0,959	0,999	0,941
AT1G42698_1	0,953	0,925	0,914
AT1G42699_1	0,925	1,005	1,141
AT1G42700_1	1,044	1,147	1,187
AT1G42703_1	0,919	0,984	0,972
AT1G42705_1	0,971	0,989	0,958
AT1G42710_1	0,957	0,916	0,927
AT1G42718_1	1,129	1,191	1,128
AT1G42727_1	1,276	1,656	1,826
AT1G42736_1	1,402	1,368	1,120
AT1G42740_1	1,160	1,277	1,378
AT1G42745_1	1,386	1,535	1,388
AT1G42780_1	1,251	1,489	1,421
AT1G42816_1	1,253	1,199	1,095
AT1G42852_1	0,949	1,138	1,128
AT1G42888_1	1,221	1,437	1,485
AT1G42924_1	1,041	0,796	0,672
AT1G42960_1	0,943	0,739	0,749
AT1G42970_1	1,005	0,839	0,494
AT1G42980_1	1,110	1,473	1,815
AT1G42990_1	0,804	2,909	3,137
AT1G43000_1	1,015	3,592	3,794
AT1G43005_1	1,168	1,496	1,544
AT1G43010_1	1,018	1,110	1,153
AT1G43020_1	0,901	0,989	0,921

AGI	NaCl-Kontrolle zur H₂O-Kontrolle (log₂)	H₂O +B.c. zur H₂O-Kontrolle (log₂)	NaCl +B.c. zur H₂O-Kontrolle (log₂)
AT1G43020_2	1,033	1,100	1,065
AT1G43020_3	0,957	1,033	1,029
AT1G43020_4	0,927	0,900	0,934
AT1G43030_1	0,979	1,180	1,111
AT1G43040_1	1,074	1,145	1,277
AT1G43050_1	1,037	1,113	1,146
AT1G43060_1	1,364	1,516	1,323
AT1G43070_1	1,251	1,453	1,425
AT1G43080_1	0,949	1,364	1,369
AT1G43090_1	1,101	1,366	1,371
AT1G43100_1	1,018	1,152	1,091
AT1G43110_1	1,020	1,002	1,037
AT1G43120_1	0,888	1,074	0,980
AT1G43130_1	0,910	0,821	1,286
AT1G43140_1	1,158	1,256	1,281
AT1G43145_1	1,323	1,618	1,476
AT1G43150_1	1,121	1,272	1,318
AT1G43160_1	0,741	7,930	16,361
AT1G43170_1	1,035	0,978	0,731
AT1G43170_2	0,997	0,923	0,735
AT1G43170_4	0,999	0,942	0,725
AT1G43171_1	0,928	0,916	0,920
AT1G43180_1	0,836	0,918	1,085
AT1G43190_1	1,000	0,684	0,588
AT1G43190_2	0,959	0,681	0,565
AT1G43190_3	0,978	0,680	0,573
AT1G43195_1	1,158	1,232	1,400
AT1G43200_1	1,091	1,333	1,360
AT1G43205_1	1,134	1,183	1,143
AT1G43210_1	1,079	1,334	1,509
AT1G43220_2	1,131	1,477	1,664
AT1G43230_1	1,022	1,223	1,191
AT1G43240_1	1,072	1,237	1,160
AT1G43245_1	0,980	0,738	1,283
AT1G43250_1	1,382	1,289	1,277
AT1G43260_1	1,073	1,082	1,047
AT1G43270_1	1,168	1,181	1,188
AT1G43280_1	0,953	1,046	0,966
AT1G43290_1	1,102	1,078	0,996
AT1G43300_1	0,966	0,993	0,911
AT1G43310_1	1,261	1,395	1,136
AT1G43320_1	1,142	1,500	1,295
AT1G43330_1	1,023	1,058	1,060
AT1G43387_1	1,058	1,079	1,073
AT1G43415_1	0,987	1,133	1,238
AT1G43444_1	1,352	1,640	1,399
AT1G43502_1	1,079	1,380	1,371
AT1G43560_1	0,963	0,332	0,294
AT1G43570_1	0,861	0,964	1,029
AT1G43575_1	0,990	1,014	1,029

AGI	NaCl-Kontrolle zur H₂O-Kontrolle (log₂)	H₂O +B.c. zur H₂O-Kontrolle (log₂)	NaCl +B.c. zur H₂O-Kontrolle (log₂)
AT1G43580_1	0,990	0,717	0,429
AT1G43590_1	0,808	0,923	1,219
AT1G43600_1	0,923	0,984	0,911
AT1G43610_1	1,098	1,208	1,270
AT1G43620_1	1,081	0,621	0,699
AT1G43630_1	0,969	1,469	1,174
AT1G43640_1	0,931	1,550	1,938
AT1G43650_1	0,975	0,409	0,035
AT1G43660_1	1,040	1,172	1,043
AT1G43665_1	0,942	1,093	1,246
AT1G43666_1	1,017	0,964	0,901
AT1G43667_1	1,008	1,128	1,225
AT1G43670_1	0,919	0,458	0,302
AT1G43675_1	1,192	0,204	0,142
AT1G43680_1	0,952	1,133	0,968
AT1G43690_1	0,940	0,972	1,054
AT1G43700_1	1,035	1,215	1,163
AT1G43710_1	0,918	1,041	0,999
AT1G43715_1	1,077	1,211	1,305
AT1G43720_1	1,082	1,445	1,306
AT1G43722_1	1,100	1,196	0,946
AT1G43723_1	1,052	1,108	1,056
AT1G43724_1	1,181	1,322	1,279
AT1G43725_1	1,017	1,129	1,039
AT1G43730_1	0,980	1,488	1,732
AT1G43740_1	1,339	1,496	1,486
AT1G43745_1	1,338	1,374	1,592
AT1G43750_1	1,348	1,532	1,493
AT1G43755_1	1,351	1,391	1,547
AT1G43760_1	1,043	1,196	1,256
AT1G43763_1	0,979	1,412	1,356
AT1G43765_1	1,113	0,819	0,880
AT1G43766_1	0,920	0,930	0,875
AT1G43770_1	0,958	1,020	1,636
AT1G43770_2	1,148	1,312	1,205
AT1G43775_1	1,077	0,760	0,386
AT1G43777_1	1,198	1,353	1,369
AT1G43780_1	1,310	1,276	1,147
AT1G43781_1	0,963	1,047	1,000
AT1G43785_1	1,149	1,058	1,070
AT1G43790_1	0,754	0,342	0,260
AT1G43800_1	1,168	1,397	1,398
AT1G43810_1	1,214	1,345	1,668
AT1G43830_1	1,188	1,355	1,485
AT1G43835_1	1,051	1,035	1,068
AT1G43840_1	1,327	1,704	1,532
AT1G43845_1	0,942	1,007	0,973
AT1G43850_1	1,001	0,930	0,906
AT1G43860_1	1,001	1,388	1,522
AT1G43870_1	1,346	1,523	1,286

AGI	NaCl-Kontrolle zur H₂O-Kontrolle (log₂)	H₂O +B.c. zur H₂O-Kontrolle (log₂)	NaCl +B.c. zur H₂O-Kontrolle (log₂)
AT1G43880_1	1,227	1,473	1,317
AT1G43883_1	1,232	1,457	1,415
AT1G43886_1	0,889	0,367	0,507
AT1G43890_1	0,948	0,995	1,202
AT1G43895_1	0,940	1,031	1,072
AT1G43897_1	1,079	1,126	1,125
AT1G43900_1	0,976	0,899	1,176
AT1G43910_1	0,519	4,517	21,208
AT1G43920_1	1,010	1,066	0,913
AT1G43930_1	1,173	1,167	1,252
AT1G43940_1	0,988	1,072	1,002
AT1G43950_1	1,130	1,210	1,091
AT1G43960_1	0,969	1,201	1,168
AT1G43970_1	1,125	1,376	1,477
AT1G43980_1	1,164	0,613	0,336
AT1G43990_1	0,906	1,156	1,219
AT1G43995_1	1,027	1,377	1,444
AT1G43997_1	1,075	1,016	0,883
AT1G44000_1	0,923	0,622	0,344
AT1G44010_1	1,125	1,159	1,527
AT1G44020_1	1,095	0,797	0,653
AT1G44030_1	1,242	0,925	0,727
AT1G44040_1	0,961	1,091	0,942
AT1G44045_1	0,921	0,975	0,911
AT1G44050_1	1,053	1,082	1,015
AT1G44060_1	1,053	1,472	1,632
AT1G44070_1	1,138	1,227	1,244
AT1G44075_1	1,087	1,179	1,207
AT1G44080_1	1,066	1,213	1,258
AT1G44090_1	1,021	1,175	1,203
AT1G44100_1	0,768	2,615	3,464
AT1G44110_1	0,593	0,115	0,077
AT1G44120_1	1,139	0,801	0,779
AT1G44130_1	0,692	24,297	73,295
AT1G44140_1	1,161	1,233	1,271
AT1G44150_1	0,876	1,251	1,271
AT1G44160_1	1,048	1,624	1,648
AT1G44170_1	0,867	1,083	2,323
AT1G44170_3	0,877	1,121	1,965
AT1G44180_1	1,117	1,022	1,262
AT1G44191_1	1,094	1,320	1,237
AT1G44224_1	1,083	1,330	1,316
AT1G44286_1	1,003	1,030	1,014
AT1G44318_1	1,088	1,438	1,651
AT1G44350_1	0,811	2,555	2,557
AT1G44382_1	1,037	1,451	1,465
AT1G44414_1	1,153	1,498	2,518
AT1G44446_1	1,018	0,632	0,384
AT1G44446_2	1,008	0,438	0,195
AT1G44446_3	0,969	0,642	0,370

AGI	NaCl-Kontrolle zur H₂O-Kontrolle (log₂)	H₂O +B.c. zur H₂O-Kontrolle (log₂)	NaCl +B.c. zur H₂O-Kontrolle (log₂)
AT1G44478_1	1,018	1,127	1,161
AT1G44510_1	1,020	0,947	0,765
AT1G44542_1	1,033	2,038	2,621
AT1G44575_1	1,040	0,710	0,344
AT1G44575_2	1,045	0,359	0,184
AT1G44608_1	1,150	1,329	1,742
AT1G44641_1	1,000	0,954	0,947
AT1G44674_1	1,208	1,909	2,526
AT1G44707_1	1,098	1,321	1,283
AT1G44740_1	0,839	1,170	1,058
AT1G44750_1	0,914	0,795	1,126
AT1G44750_2	0,998	0,818	1,025
AT1G44750_3	0,981	0,856	1,217
AT1G44760_1	0,898	0,229	0,273
AT1G44770_1	0,988	0,579	1,125
AT1G44770_2	0,897	0,576	1,100
AT1G44780_1	1,016	0,257	0,120
AT1G44780_2	0,851	0,252	0,137
AT1G44790_1	0,952	1,630	2,155
AT1G44800_1	0,831	2,721	5,320
AT1G44810_1	1,060	1,175	1,187
AT1G44820_1	1,000	0,789	1,471
AT1G44830_1	0,398	0,391	0,360
AT1G44835_1	0,855	0,643	0,590
AT1G44835_2	0,907	0,698	0,622
AT1G44840_1	1,185	1,283	1,234
AT1G44850_1	1,079	1,227	1,524
AT1G44860_1	1,316	1,336	1,344
AT1G44870_1	1,122	1,190	1,077
AT1G44875_1	1,111	1,443	1,326
AT1G44880_1	1,193	1,229	1,329
AT1G44890_1	0,973	0,941	1,142
AT1G44900_1	0,641	0,314	0,251
AT1G44910_1	0,868	0,778	1,027
AT1G44910_2	0,954	0,746	0,844
AT1G44920_1	0,907	0,645	0,354
AT1G44935_1	1,243	1,529	1,782
AT1G44940_1	1,192	1,139	2,162
AT1G44940_2	0,920	0,955	1,801
AT1G44941_1	1,172	1,077	1,226
AT1G44960_1	0,994	1,635	2,122
AT1G44970_1	1,106	1,238	1,103
AT1G44980_1	1,211	1,167	1,063
AT1G44990_1	1,359	2,173	2,748
AT1G45000_1	1,021	0,918	1,044
AT1G45000_2	0,933	0,818	1,146
AT1G45010_1	0,985	0,577	0,051
AT1G45015_1	1,034	1,170	1,197
AT1G45020_1	1,130	1,098	1,117
AT1G45030_1	1,073	1,186	1,169

AGI	NaCl-Kontrolle zur H₂O-Kontrolle (log₂)	H₂O +B.c. zur H₂O-Kontrolle (log₂)	NaCl +B.c. zur H₂O-Kontrolle (log₂)
AT1G45035_1	0,973	1,117	1,328
AT1G45040_1	0,986	1,003	0,979
AT1G45050_1	1,095	1,529	2,135
AT1G45063_1	1,046	1,162	1,144
AT1G45063_2	1,066	1,058	1,068
AT1G45070_1	1,136	1,317	1,395
AT1G45080_1	1,224	1,240	1,241
AT1G45090_1	1,158	1,207	1,164
AT1G45100_1	1,063	1,103	1,230
AT1G45110_1	1,069	0,532	0,213
AT1G45120_1	0,962	0,745	0,686
AT1G45130_1	0,909	0,109	0,022
AT1G45140_1	0,934	1,137	1,292
AT1G45145_1	0,937	4,843	8,553
AT1G45150_1	1,004	1,190	1,941
AT1G45160_1	0,975	0,618	0,866
AT1G45160_2	1,117	0,940	1,112
AT1G45165_1	0,840	0,197	0,141
AT1G45170_1	0,938	0,786	0,590
AT1G45170_2	0,924	0,817	0,534
AT1G45180_1	0,764	1,304	1,873
AT1G45190_1	1,241	1,217	1,377
AT1G45191_2	1,254	0,169	0,082
AT1G45201_1	0,962	0,755	0,311
AT1G45201_2	1,087	0,783	0,334
AT1G45207_2	0,956	0,158	0,037
AT1G45211_1	1,084	1,267	1,562
AT1G45215_1	0,878	0,985	1,029
AT1G45223_1	0,893	0,957	0,887
AT1G45225_1	1,111	1,076	1,095
AT1G45227_1	1,034	1,151	1,190
AT1G45229_1	0,918	0,424	0,370
AT1G45230_1	1,073	0,570	0,322
AT1G45230_2	1,044	0,587	0,305
AT1G45231_2	1,114	0,655	0,605
AT1G45233_2	0,927	0,772	0,752
AT1G45234_1	1,020	0,872	0,995
AT1G45238_1	0,998	0,894	0,979
AT1G45240_1	1,093	0,908	0,990
AT1G45242_1	0,983	0,889	1,020
AT1G45243_1	1,020	0,790	0,633
AT1G45244_1	1,048	0,935	1,040
AT1G45246_1	1,013	0,869	1,002
AT1G45248_2	0,985	0,526	0,576
AT1G45248_4	0,977	0,527	0,497
AT1G45248_5	1,147	0,646	0,515
AT1G45249_1	1,159	0,912	1,176
AT1G45249_2	1,037	0,714	1,758
AT1G45256_2	1,006	0,991	0,892
AT1G45332_1	1,337	1,329	1,001

AGI	NaCl-Kontrolle zur H₂O-Kontrolle (log₂)	H₂O +B.c. zur H₂O-Kontrolle (log₂)	NaCl +B.c. zur H₂O-Kontrolle (log₂)
AT1G45403_1	0,994	1,008	0,985
AT1G45474_1	0,954	0,456	0,437
AT1G45474_2	0,981	0,440	0,421
AT1G45545_1	1,330	0,889	1,008
AT1G45616_1	1,186	1,515	1,251
AT1G45688_1	0,972	1,099	0,756
AT1G45688_2	0,828	0,905	0,688
AT1G45760_1	1,038	1,092	0,998
AT1G45832_1	0,985	1,056	1,073
AT1G45904_1	1,319	0,905	0,659
AT1G45976_1	0,922	1,276	1,762
AT1G46048_1	1,105	1,252	1,425
AT1G46120_1	1,027	1,014	1,115
AT1G46192_1	0,934	0,929	0,940
AT1G46264_1	0,794	0,290	0,150
AT1G46336_1	1,011	1,261	1,213
AT1G46408_1	1,211	1,503	1,682
AT1G46480_1	0,820	0,161	0,125
AT1G46552_1	0,971	1,029	0,904
AT1G46554_1	1,378	0,271	0,724
AT1G46624_1	1,079	1,402	1,609
AT1G46696_1	1,305	1,848	2,358
AT1G46768_1	1,086	1,712	1,879
AT1G46840_1	1,079	1,275	1,239
AT1G46912_1	0,989	1,157	1,216
AT1G46984_1	0,915	1,191	1,369
AT1G47056_1	0,922	1,091	1,292
AT1G47128_1	1,008	1,117	1,757
AT1G47200_1	0,974	1,088	0,995
AT1G47210_1	0,593	0,306	0,167
AT1G47210_2	0,556	0,330	0,227
AT1G47220_1	1,112	0,941	0,820
AT1G47230_1	0,960	0,464	0,213
AT1G47240_1	1,019	0,900	1,051
AT1G47250_1	1,018	0,932	1,233
AT1G47260_1	0,871	0,894	1,030
AT1G47265_1	1,195	1,340	1,202
AT1G47270_1	0,904	0,607	1,052
AT1G47271_1	0,835	0,808	0,807
AT1G47278_1	0,942	1,380	1,472
AT1G47278_2	0,671	0,695	0,633
AT1G47280_1	1,163	1,301	1,325
AT1G47290_1	0,886	0,455	0,320
AT1G47290_2	0,809	0,414	0,337
AT1G47300_1	1,038	1,012	0,950
AT1G47310_1	0,924	0,760	0,891
AT1G47317_1	1,135	1,177	1,219
AT1G47320_1	1,100	1,399	1,582
AT1G47330_1	1,117	0,583	0,807
AT1G47340_1	1,054	0,672	0,633

AGI	NaCl-Kontrolle zur H₂O-Kontrolle (log₂)	H₂O +B.c. zur H₂O-Kontrolle (log₂)	NaCl +B.c. zur H₂O-Kontrolle (log₂)
AT1G47350_1	1,148	1,141	1,206
AT1G47360_1	0,995	0,980	1,074
AT1G47370_1	1,046	1,018	1,000
AT1G47380_1	0,858	0,695	0,804
AT1G47389_1	1,019	1,068	1,090
AT1G47390_1	1,012	1,070	1,134
AT1G47395_1	0,310	2,510	0,284
AT1G47400_1	0,369	3,189	0,349
AT1G47405_1	0,969	1,076	1,084
AT1G47410_1	0,767	0,325	0,232
AT1G47420_1	0,961	1,040	1,212
AT1G47430_1	1,064	1,214	1,138
AT1G47435_1	0,959	1,088	1,047
AT1G47440_1	1,086	0,759	0,683
AT1G47450_1	1,080	1,125	1,122
AT1G47460_1	1,167	1,068	1,017
AT1G47465_1	1,309	1,460	1,704
AT1G47470_1	1,095	1,033	1,093
AT1G47480_1	0,393	1,811	1,063
AT1G47485_1	1,171	1,274	1,375
AT1G47490_1	1,082	1,249	0,999
AT1G47490_2	0,966	1,223	0,986
AT1G47495_1	1,080	1,070	1,100
AT1G47497_1	1,066	1,143	1,294
AT1G47500_1	1,069	1,362	1,006
AT1G47510_1	0,853	22,672	81,839
AT1G47520_1	0,828	0,782	0,719
AT1G47530_1	1,009	1,524	1,290
AT1G47540_1	1,074	1,284	1,263
AT1G47540_2	1,084	1,371	1,463
AT1G47550_1	1,068	0,826	0,989
AT1G47560_1	1,206	0,919	1,149
AT1G47565_1	1,214	1,198	4,162
AT1G47570_1	1,063	0,789	0,702
AT1G47580_1	0,838	0,619	0,269
AT1G47590_1	1,176	1,144	1,032
AT1G47595_1	1,253	1,829	2,098
AT1G47600_1	1,041	1,095	1,148
AT1G47603_1	0,913	0,822	0,741
AT1G47606_1	1,019	1,210	1,138
AT1G47610_1	1,345	1,596	1,944
AT1G47620_1	1,296	1,452	1,583
AT1G47625_1	1,241	1,495	1,506
AT1G47630_1	1,379	0,779	0,667
AT1G47640_1	0,893	0,842	0,918
AT1G47650_1	1,006	1,164	1,120
AT1G47655_1	0,762	0,450	0,378
AT1G47660_1	1,092	1,465	1,581
AT1G47670_1	0,927	0,179	0,018
AT1G47680_1	0,968	1,003	0,882

AGI	NaCl-Kontrolle zur H₂O-Kontrolle (log₂)	H₂O +B.c. zur H₂O-Kontrolle (log₂)	NaCl +B.c. zur H₂O-Kontrolle (log₂)
AT1G47690_1	0,984	1,121	0,827
AT1G47705_1	1,066	1,616	1,595
AT1G47710_1	1,212	0,605	0,587
AT1G47720_1	0,906	1,178	0,990
AT1G47730_1	0,895	1,110	1,047
AT1G47740_1	0,744	0,378	0,182
AT1G47740_2	0,941	0,879	0,924
AT1G47750_1	0,878	1,512	2,180
AT1G47760_1	0,991	0,958	0,966
AT1G47765_1	1,047	1,099	1,078
AT1G47770_1	1,262	1,491	1,295
AT1G47780_1	1,014	1,077	1,086
AT1G47783_1	1,178	1,724	2,104
AT1G47786_1	1,039	1,069	1,072
AT1G47790_1	0,902	1,026	1,232
AT1G47800_1	1,041	1,136	1,146
AT1G47810_1	1,046	1,308	1,582
AT1G47813_1	1,050	0,571	0,414
AT1G47816_1	1,080	1,148	1,187
AT1G47820_1	0,813	0,381	0,265
AT1G47830_1	0,878	1,465	1,753
AT1G47840_1	0,631	0,232	0,162
AT1G47860_1	1,137	1,254	1,311
AT1G47870_1	0,879	1,398	1,665
AT1G47880_1	0,938	0,968	1,026
AT1G47885_1	0,884	1,080	1,099
AT1G47890_1	0,861	8,317	33,522
AT1G47900_1	1,124	0,276	0,134
AT1G47910_1	1,005	1,230	1,147
AT1G47915_1	1,296	0,978	1,086
AT1G47920_1	1,019	0,830	0,826
AT1G47930_1	1,104	0,990	0,844
AT1G47940_1	1,051	1,105	1,068
AT1G47946_1	1,541	2,507	3,264
AT1G47950_1	1,066	1,074	1,049
AT1G47960_1	1,163	0,726	3,336
AT1G47970_1	0,932	0,860	0,847
AT1G47980_1	1,011	1,156	1,494
AT1G47990_1	1,241	1,898	4,603
AT1G48000_1	1,125	6,764	23,404
AT1G48010_1	1,029	1,027	1,036
AT1G48020_1	0,972	0,940	0,945
AT1G48030_1	1,048	0,731	0,606
AT1G48040_1	0,944	3,270	3,384
AT1G48050_1	1,019	0,679	1,250
AT1G48060_1	1,006	1,076	1,174
AT1G48070_1	0,881	1,011	1,237
AT1G48070_2	1,029	1,065	1,149
AT1G48090_1	1,041	0,780	0,850
AT1G48090_2	1,160	0,836	1,301

AGI	NaCl-Kontrolle zur H₂O-Kontrolle (log₂)	H₂O +B.c. zur H₂O-Kontrolle (log₂)	NaCl +B.c. zur H₂O-Kontrolle (log₂)
AT1G48095_1	1,071	1,054	1,114
AT1G48100_1	1,704	0,160	0,313
AT1G48110_1	0,946	1,039	1,001
AT1G48120_1	1,033	1,563	1,297
AT1G48130_1	1,029	0,944	1,130
AT1G48140_1	0,795	1,351	2,302
AT1G48145_1	1,077	1,069	1,055
AT1G48150_1	1,157	1,218	1,261
AT1G48160_1	0,818	0,886	0,900
AT1G48170_1	0,936	1,014	1,275
AT1G48175_1	0,855	0,517	0,611
AT1G48180_1	1,111	1,184	1,540
AT1G48190_1	0,890	1,037	1,101
AT1G48195_1	1,110	1,360	1,734
AT1G48200_1	0,896	1,899	2,552
AT1G48210_1	1,070	0,994	2,665
AT1G48210_2	1,087	1,093	1,994
AT1G48220_1	1,174	1,440	1,408
AT1G48230_1	0,980	0,642	0,565
AT1G48240_1	0,929	0,883	0,533
AT1G48250_1	1,273	1,256	1,329
AT1G48260_1	0,598	3,114	11,279
AT1G48268_1	1,041	1,246	1,038
AT1G48270_1	0,838	0,579	0,969
AT1G48280_1	0,811	0,362	0,145
AT1G48290_1	0,949	1,075	1,179
AT1G48300_1	1,059	0,908	0,809
AT1G48310_1	1,130	0,799	1,207
AT1G48315_1	1,007	0,972	1,105
AT1G48320_1	0,851	2,633	4,090
AT1G48325_1	1,148	1,111	1,238
AT1G48330_1	1,135	0,102	0,143
AT1G48340_1	1,013	1,047	1,135
AT1G48350_1	0,926	0,268	0,090
AT1G48360_1	1,062	0,338	0,497
AT1G48360_2	1,042	0,328	0,479
AT1G48360_3	0,989	0,324	0,470
AT1G48370_1	1,330	2,840	5,162
AT1G48380_1	1,028	0,627	0,731
AT1G48380_2	1,017	0,868	0,876
AT1G48390_1	1,209	0,617	0,567
AT1G48400_1	1,098	1,377	1,355
AT1G48405_1	1,123	0,956	1,201
AT1G48410_1	1,036	0,849	0,748
AT1G48420_1	1,039	0,590	0,524
AT1G48422_1	1,032	1,052	1,248
AT1G48430_1	1,049	1,545	1,419
AT1G48440_1	0,891	1,127	1,059
AT1G48450_1	0,973	0,777	0,697
AT1G48450_2	0,909	0,842	1,070

AGI	NaCl-Kontrolle zur H₂O-Kontrolle (log₂)	H₂O +B.c. zur H₂O-Kontrolle (log₂)	NaCl +B.c. zur H₂O-Kontrolle (log₂)
AT1G48460_1	1,235	0,866	0,480
AT1G48470_1	1,251	1,649	1,771
AT1G48480_1	0,731	0,756	0,236
AT1G48490_1	1,051	1,557	2,002
AT1G48490_2	0,987	1,140	1,613
AT1G48500_1	0,901	0,618	0,789
AT1G48500_2	0,920	0,598	0,657
AT1G48500_3	0,992	0,959	0,987
AT1G48510_1	1,039	1,166	1,354
AT1G48520_1	0,945	0,547	0,310
AT1G48520_2	0,779	0,285	0,269
AT1G48520_3	0,913	0,528	0,305
AT1G48530_1	1,262	1,378	1,593
AT1G48540_1	1,119	0,725	0,553
AT1G48540_2	1,121	0,748	0,592
AT1G48550_1	1,049	0,763	0,878
AT1G48560_1	1,155	0,907	0,828
AT1G48570_1	1,136	0,582	0,229
AT1G48580_1	0,928	0,474	0,394
AT1G48590_1	1,320	1,653	1,992
AT1G48598_1	1,010	0,532	0,224
AT1G48605_1	1,014	1,131	2,032
AT1G48610_1	0,810	0,560	0,280
AT1G48610_2	0,985	0,692	0,652
AT1G48620_1	1,014	0,676	0,697
AT1G48625_1	1,083	1,287	1,533
AT1G48630_1	0,876	1,291	0,824
AT1G48635_1	1,108	1,345	1,755
AT1G48635_2	1,070	0,999	1,386
AT1G48640_1	1,074	1,292	1,419
AT1G48650_1	1,213	0,980	0,507
AT1G48650_2	1,212	0,900	0,480
AT1G48660_1	0,974	1,010	1,173
AT1G48670_1	1,027	1,049	1,383
AT1G48680_1	1,164	1,253	1,248
AT1G48690_1	1,006	1,020	1,054
AT1G48698_1	0,976	1,127	1,113
AT1G48700_1	1,256	1,164	1,330
AT1G48710_1	1,169	1,541	2,303
AT1G48720_1	1,373	1,120	1,804
AT1G48730_1	1,182	1,300	1,373
AT1G48740_1	0,905	1,076	1,026
AT1G48742_1	1,019	1,041	1,006
AT1G48745_1	0,805	2,410	3,011
AT1G48750_1	1,790	1,653	0,770
AT1G48760_1	1,015	0,830	0,719
AT1G48760_2	1,145	0,869	0,822
AT1G48760_3	1,013	0,862	0,723
AT1G48770_1	0,882	1,377	1,847
AT1G48780_1	0,906	0,689	0,696

AGI	NaCl-Kontrolle zur H₂O-Kontrolle (log₂)	H₂O +B.c. zur H₂O-Kontrolle (log₂)	NaCl +B.c. zur H₂O-Kontrolle (log₂)
AT1G48790_1	1,145	1,035	1,309
AT1G48800_1	0,909	0,996	1,104
AT1G48810_1	0,970	0,997	1,061
AT1G48820_1	0,905	0,937	1,006
AT1G48830_1	0,808	0,623	0,588
AT1G48830_2	0,987	0,773	0,686
AT1G48840_1	1,137	0,496	0,539
AT1G48850_1	0,963	1,487	1,551
AT1G48850_2	0,965	1,546	1,541
AT1G48860_1	0,986	1,478	1,233
AT1G48860_2	0,988	1,165	0,897
AT1G48870_1	1,170	0,448	0,303
AT1G48880_1	0,860	0,932	0,819
AT1G48890_1	1,071	1,038	1,242
AT1G48900_1	1,011	1,005	1,083
AT1G48900_2	1,040	0,995	1,066
AT1G48910_1	1,103	1,121	1,366
AT1G48912_1	1,268	1,518	1,671
AT1G48920_1	1,103	1,073	0,685
AT1G48930_1	1,182	1,504	3,142
AT1G48940_1	1,227	1,169	1,256
AT1G48950_1	1,073	0,855	0,680
AT1G48953_1	1,164	1,358	1,566
AT1G48960_1	0,853	1,885	1,687
AT1G48970_1	0,973	1,516	1,737
AT1G48980_1	1,062	1,007	1,795
AT1G48980_2	1,112	1,013	1,720
AT1G48980_4	1,142	1,107	1,947
AT1G48990_1	1,118	1,271	1,944
AT1G49000_1	0,387	4,593	9,160
AT1G49005_1	1,566	1,625	2,310
AT1G49010_1	1,099	0,304	0,207
AT1G49015_1	1,327	1,425	1,204
AT1G49030_1	1,098	1,487	1,650
AT1G49032_1	0,881	0,594	0,773
AT1G49040_1	1,004	1,126	1,073
AT1G49040_2	0,985	0,783	0,774
AT1G49050_1	0,907	1,193	1,517
AT1G49060_1	1,043	1,016	1,002
AT1G49070_1	1,098	1,224	1,329
AT1G49080_1	1,324	1,579	1,612
AT1G49090_1	1,184	1,251	1,417
AT1G49100_1	1,047	1,154	1,182
AT1G49110_1	0,983	1,061	1,064
AT1G49120_1	0,956	0,990	1,136
AT1G49130_1	1,004	0,163	0,070
AT1G49130_2	0,800	0,099	0,048
AT1G49140_1	0,878	0,610	0,739
AT1G49150_1	0,823	1,015	1,914
AT1G49160_1	0,813	0,517	1,152

AGI	NaCl-Kontrolle zur H₂O-Kontrolle (log₂)	H₂O +B.c. zur H₂O-Kontrolle (log₂)	NaCl +B.c. zur H₂O-Kontrolle (log₂)
AT1G49170_1	0,960	0,858	1,092
AT1G49180_1	0,963	0,318	0,491
AT1G49190_1	1,144	1,262	1,428
AT1G49200_1	0,725	0,547	0,205
AT1G49210_1	0,766	0,520	0,389
AT1G49220_1	1,089	0,469	0,249
AT1G49230_1	1,089	0,095	0,043
AT1G49240_1	0,975	1,101	0,794
AT1G49245_1	0,967	0,865	0,903
AT1G49250_1	1,384	0,898	0,702
AT1G49260_1	1,214	1,297	1,396
AT1G49270_1	1,130	1,275	1,250
AT1G49290_1	1,066	1,200	1,418
AT1G49300_1	0,865	0,886	1,169
AT1G49300_2	0,859	0,787	1,011
AT1G49310_1	0,942	0,577	0,494
AT1G49320_1	1,021	0,714	0,574
AT1G49330_1	0,987	1,009	1,376
AT1G49340_1	1,026	1,030	0,985
AT1G49340_2	0,810	1,015	1,013
AT1G49350_1	1,136	0,505	0,727
AT1G49360_1	0,942	0,997	2,116
AT1G49370_1	1,331	0,702	0,733
AT1G49380_1	1,146	0,336	0,086
AT1G49390_1	1,047	1,279	1,163
AT1G49400_1	0,979	1,020	0,814
AT1G49405_1	0,947	1,993	2,922
AT1G49410_1	0,818	0,932	0,891
AT1G49420_1	1,153	1,215	1,175
AT1G49430_1	0,983	0,102	0,011
AT1G49435_1	1,232	1,432	1,784
AT1G49440_1	1,056	1,092	1,014
AT1G49450_1	1,597	1,096	1,337
AT1G49470_1	0,787	0,569	1,760
AT1G49475_1	1,152	0,823	0,715
AT1G49480_1	1,038	0,660	0,628
AT1G49490_1	1,088	1,214	0,366
AT1G49500_1	0,978	0,536	0,698
AT1G49510_1	1,002	0,567	0,286
AT1G49520_1	0,914	0,923	0,960
AT1G49530_1	0,978	1,510	1,450
AT1G49540_1	1,182	1,512	1,002
AT1G49550_1	1,020	1,146	1,118
AT1G49560_1	1,132	0,279	0,495
AT1G49570_1	0,959	1,003	1,173
AT1G49580_1	0,956	0,422	0,171
AT1G49590_1	0,996	1,217	1,389
AT1G49590_2	0,849	0,766	1,232
AT1G49600_1	1,217	1,306	0,432
AT1G49610_1	1,079	1,015	1,059

AGI	NaCl-Kontrolle zur H₂O-Kontrolle (log₂)	H₂O +B.c. zur H₂O-Kontrolle (log₂)	NaCl +B.c. zur H₂O-Kontrolle (log₂)
AT1G49620_1	1,350	1,318	0,830
AT1G49630_1	1,050	0,489	0,244
AT1G49630_2	1,010	0,425	0,121
AT1G49640_1	1,264	0,905	0,550
AT1G49650_1	1,122	0,372	0,161
AT1G49660_1	1,182	1,092	0,757
AT1G49670_1	1,051	1,145	1,998
AT1G49680_1	1,404	1,503	1,739
AT1G49690_1	1,176	1,167	1,335
AT1G49700_1	1,044	0,964	0,996
AT1G49700_2	1,084	0,975	1,045
AT1G49710_1	0,967	1,067	1,375
AT1G49715_1	1,035	1,159	1,360
AT1G49720_1	1,123	0,120	0,456
AT1G49730_1	0,866	0,192	0,033
AT1G49730_2	0,834	0,188	0,024
AT1G49730_4	0,887	0,198	0,033
AT1G49740_1	1,166	0,938	2,140
AT1G49750_1	0,930	0,462	0,340
AT1G49760_1	1,050	0,954	0,596
AT1G49770_1	1,292	2,010	3,001
AT1G49780_1	0,948	1,796	1,078
AT1G49790_1	0,923	0,546	0,546
AT1G49790_2	0,943	0,974	0,985
AT1G49800_1	0,993	1,118	1,086
AT1G49810_1	1,057	1,012	0,943
AT1G49820_1	1,085	0,894	1,053
AT1G49830_1	1,043	1,023	0,905
AT1G49840_1	0,823	0,358	0,331
AT1G49850_1	0,990	0,573	0,824
AT1G49860_1	1,080	1,201	1,349
AT1G49870_1	0,824	0,469	0,441
AT1G49880_1	0,922	0,643	0,915
AT1G49890_1	1,053	0,599	0,298
AT1G49900_1	0,983	1,042	1,126
AT1G49910_1	1,038	0,494	0,491
AT1G49920_1	0,928	0,937	0,941
AT1G49930_1	1,082	0,432	0,372
AT1G49938_1	1,188	1,207	1,471
AT1G49940_1	1,109	0,794	0,763
AT1G49940_2	1,251	1,021	0,997
AT1G49950_1	0,989	1,243	1,345
AT1G49950_2	0,990	1,284	1,343
AT1G49950_3	0,866	0,879	1,019
AT1G49952_1	1,222	1,077	1,159
AT1G49960_1	1,037	1,960	11,300
AT1G49960_2	1,045	2,419	13,581
AT1G49970_1	1,021	0,967	1,121
AT1G49975_1	0,954	0,217	0,047
AT1G49980_1	1,025	0,534	0,647

AGI	NaCl-Kontrolle zur H₂O-Kontrolle (log₂)	H₂O +B.c. zur H₂O-Kontrolle (log₂)	NaCl +B.c. zur H₂O-Kontrolle (log₂)
AT1G49990_1	0,891	0,413	0,227
AT1G50000_1	1,004	0,957	0,644
AT1G50000_2	1,073	0,964	0,676
AT1G50010_1	0,994	0,728	0,594
AT1G50020_1	1,031	1,019	1,297
AT1G50030_1	1,005	0,863	1,029
AT1G50040_1	0,495	0,836	0,296
AT1G50050_1	1,126	1,028	0,989
AT1G50055_1	0,905	0,613	0,246
AT1G50060_1	1,046	1,080	1,166
AT1G50080_1	1,130	1,136	1,356
AT1G50090_1	1,237	1,041	0,849
AT1G50110_1	0,769	0,273	0,207
AT1G50120_1	1,012	0,696	0,741
AT1G50130_1	1,105	1,178	0,917
AT1G50140_1	1,010	0,702	0,945
AT1G50160_1	0,983	0,948	1,082
AT1G50170_1	0,904	0,620	0,699
AT1G50180_1	0,880	0,754	0,978
AT1G50190_1	0,889	0,912	0,983
AT1G50200_1	1,035	0,962	0,821
AT1G50210_1	1,051	1,044	1,046
AT1G50220_1	1,109	1,070	1,099
AT1G50240_2	0,866	0,217	0,160
AT1G50250_1	1,008	1,021	0,945
AT1G50260_1	1,155	1,670	2,834
AT1G50270_1	1,175	0,518	0,303
AT1G50280_1	1,142	0,221	0,043
AT1G50290_1	0,940	0,590	0,643
AT1G50300_1	0,997	0,911	0,915
AT1G50310_1	0,973	0,941	1,028
AT1G50320_1	0,898	0,711	0,687
AT1G50325_1	1,134	1,121	1,265
AT1G50330_1	1,169	1,154	1,219
AT1G50340_1	1,052	1,030	1,079
AT1G50350_1	0,990	1,325	1,626
AT1G50360_1	1,080	1,914	1,962
AT1G50370_1	0,931	1,235	1,298
AT1G50380_1	1,090	0,930	0,754
AT1G50390_1	1,269	1,309	1,392
AT1G50400_1	1,114	6,659	14,079
AT1G50410_1	0,983	0,906	1,078
AT1G50420_1	1,223	2,829	3,624
AT1G50430_1	0,922	0,992	0,956
AT1G50440_1	0,885	1,024	0,923
AT1G50450_1	1,035	0,311	0,151
AT1G50460_1	0,721	0,796	0,670
AT1G50470_1	1,173	1,215	1,269
AT1G50480_1	1,082	1,051	0,951
AT1G50490_1	0,958	0,841	0,871

AGI	NaCl-Kontrolle zur H₂O-Kontrolle (log₂)	H₂O +B.c. zur H₂O-Kontrolle (log₂)	NaCl +B.c. zur H₂O-Kontrolle (log₂)
AT1G50500_1	1,082	0,786	0,815
AT1G50510_1	1,047	0,918	1,060
AT1G50520_1	0,808	1,181	1,277
AT1G50530_1	0,998	1,153	1,416
AT1G50550_1	1,085	1,141	1,487
AT1G50560_1	1,052	1,155	1,697
AT1G50570_1	0,979	1,286	1,786
AT1G50570_2	0,965	1,710	2,883
AT1G50575_1	0,898	0,332	0,137
AT1G50580_1	0,920	1,044	1,101
AT1G50590_1	0,755	0,739	0,451
AT1G50600_1	1,089	0,926	0,965
AT1G50603_1	0,951	1,084	1,240
AT1G50610_1	1,030	1,036	1,032
AT1G50620_1	1,072	0,847	0,865
AT1G50630_1	1,388	0,593	1,187
AT1G50630_2	1,280	0,555	1,140
AT1G50640_1	1,038	1,603	1,688
AT1G50650_1	0,926	1,009	1,060
AT1G50660_1	1,028	0,913	0,670
AT1G50670_1	0,879	0,798	1,456
AT1G50680_1	1,419	1,776	1,886
AT1G50690_1	1,145	1,305	1,551
AT1G50691_1	0,973	1,091	1,266
AT1G50700_1	1,046	1,318	1,323
AT1G50710_1	1,072	0,343	0,320
AT1G50720_1	1,014	1,134	1,097
AT1G50730_1	1,062	1,096	1,177
AT1G50735_1	1,117	1,253	1,477
AT1G50740_1	0,871	1,282	1,675
AT1G50750_1	1,127	1,049	1,976
AT1G50760_1	1,085	1,033	1,241
AT1G50770_1	0,980	0,915	0,977
AT1G50780_1	1,055	0,791	0,849
AT1G50790_1	1,009	0,624	0,649
AT1G50800_1	1,107	0,950	1,033
AT1G50810_1	1,084	1,161	1,177
AT1G50820_1	0,852	0,983	1,070
AT1G50830_1	1,040	0,840	1,004
AT1G50840_1	1,262	0,946	0,487
AT1G50850_1	1,131	1,390	1,491
AT1G50860_1	1,028	1,142	1,450
AT1G50870_1	0,959	1,058	1,059
AT1G50880_1	1,100	1,193	1,261
AT1G50890_1	1,024	0,525	0,650
AT1G50900_1	0,949	0,417	0,148
AT1G50910_1	1,085	0,616	0,345
AT1G50920_1	1,197	1,266	0,902
AT1G50930_1	0,911	0,931	0,957
AT1G50940_1	1,022	0,979	1,910

AGI	NaCl-Kontrolle zur H₂O-Kontrolle (log₂)	H₂O +B.c. zur H₂O-Kontrolle (log₂)	NaCl +B.c. zur H₂O-Kontrolle (log₂)
AT1G50950_1	1,288	1,353	1,965
AT1G50954_1	0,857	0,914	0,884
AT1G50960_1	0,965	0,963	1,062
AT1G50970_1	1,360	0,479	0,724
AT1G50980_1	1,049	1,070	1,053
AT1G50990_1	1,072	1,021	1,046
AT1G51000_1	1,075	1,072	0,951
AT1G51010_1	0,967	0,956	0,930
AT1G51030_1	0,998	0,863	0,950
AT1G51040_1	1,195	1,128	0,986
AT1G51050_1	1,013	1,062	1,119
AT1G51055_1	0,970	0,902	0,932
AT1G51060_1	0,816	0,726	0,878
AT1G51070_1	0,652	0,486	0,490
AT1G51080_1	1,009	0,321	0,069
AT1G51085_1	0,894	0,876	0,859
AT1G51090_1	1,215	0,162	0,214
AT1G51100_1	0,896	0,362	0,197
AT1G51110_1	0,934	0,268	0,161
AT1G51120_1	1,177	1,109	1,237
AT1G51130_1	0,876	0,796	0,860
AT1G51140_1	1,613	0,983	1,640
AT1G51150_1	1,003	0,968	0,986
AT1G51160_1	0,955	0,726	0,939
AT1G51160_2	0,953	0,737	0,921
AT1G51170_1	1,192	0,643	1,345
AT1G51172_1	1,286	1,486	1,974
AT1G51175_1	1,012	1,217	1,349
AT1G51190_1	1,114	1,062	0,970
AT1G51200_1	0,966	1,528	1,212
AT1G51200_2	1,052	1,452	1,135
AT1G51210_1	1,230	2,346	2,947
AT1G51220_1	1,185	1,144	1,248
AT1G51230_1	0,972	1,041	1,051
AT1G51240_1	0,989	1,038	1,065
AT1G51250_1	1,039	1,034	1,064
AT1G51260_1	0,979	1,086	1,077
AT1G51270_1	1,011	1,028	0,990
AT1G51270_2	0,460	1,241	1,343
AT1G51270_3	0,727	0,984	0,917
AT1G51290_1	1,061	1,205	1,241
AT1G51300_1	1,059	1,117	1,065
AT1G51310_1	1,136	0,692	0,335
AT1G51320_1	0,975	1,044	1,104
AT1G51330_1	1,083	1,231	1,244
AT1G51340_1	1,091	1,733	2,820
AT1G51350_1	0,948	1,476	1,536
AT1G51355_1	0,873	0,524	0,450
AT1G51360_1	0,995	1,036	1,118
AT1G51370_1	0,732	0,732	0,929

AGI	NaCl-Kontrolle zur H₂O-Kontrolle (log₂)	H₂O +B.c. zur H₂O-Kontrolle (log₂)	NaCl +B.c. zur H₂O-Kontrolle (log₂)
AT1G51370_2	0,909	0,826	0,828
AT1G51380_1	1,319	2,064	1,418
AT1G51390_1	1,062	0,847	1,555
AT1G51400_1	0,916	0,404	0,128
AT1G51402_1	0,925	0,332	0,437
AT1G51405_1	0,905	0,686	0,677
AT1G51410_1	1,243	1,632	1,853
AT1G51420_1	1,217	1,309	1,264
AT1G51430_1	0,953	0,295	0,196
AT1G51440_1	1,055	1,037	0,854
AT1G51450_1	1,084	1,149	1,119
AT1G51460_1	1,201	0,569	0,471
AT1G51470_1	1,262	1,196	1,215
AT1G51480_1	1,522	0,570	0,387
AT1G51490_1	1,339	1,353	1,637
AT1G51500_1	0,933	0,657	0,224
AT1G51510_1	1,082	0,825	0,921
AT1G51520_1	0,937	0,932	1,046
AT1G51520_2	0,973	1,044	1,076
AT1G51530_1	1,043	1,086	1,053
AT1G51538_1	0,985	0,958	1,021
AT1G51540_1	0,923	0,801	0,768
AT1G51550_1	1,000	0,936	1,205
AT1G51560_1	0,917	0,724	1,362
AT1G51570_1	1,030	0,763	0,436
AT1G51580_1	0,999	0,795	0,496
AT1G51590_1	0,940	0,952	1,166
AT1G51600_1	1,028	1,039	1,171
AT1G51610_1	1,090	0,276	0,300
AT1G51620_1	0,563	1,298	1,852
AT1G51630_1	0,953	0,500	0,241
AT1G51640_1	0,835	0,839	0,935
AT1G51645_1	0,805	0,912	0,998
AT1G51650_1	0,783	0,896	1,445
AT1G51660_1	0,839	3,681	3,430
AT1G51670_1	1,132	1,470	2,643
AT1G51680_1	1,093	2,320	1,956
AT1G51680_2	1,053	2,716	1,839
AT1G51690_1	1,064	1,163	1,172
AT1G51690_2	1,036	1,148	1,141
AT1G51700_1	1,007	1,095	1,028
AT1G51710_1	0,949	1,007	1,404
AT1G51710_2	1,015	1,146	1,258
AT1G51720_1	0,997	0,818	1,068
AT1G51730_1	1,023	0,944	0,830
AT1G51740_1	0,906	1,265	1,825
AT1G51745_1	0,962	1,158	0,599
AT1G51750_1	0,978	1,254	1,296
AT1G51760_1	0,669	3,748	3,962
AT1G51770_1	0,872	0,805	1,062

AGI	NaCl-Kontrolle zur H₂O-Kontrolle (log₂)	H₂O +B.c. zur H₂O-Kontrolle (log₂)	NaCl +B.c. zur H₂O-Kontrolle (log₂)
AT1G51770_2	0,854	0,744	0,944
AT1G51780_1	1,015	3,689	4,750
AT1G51790_1	0,588	1,025	1,179
AT1G51800_1	0,123	5,402	6,759
AT1G51802_1	1,041	1,138	1,100
AT1G51805_1	0,793	0,832	0,550
AT1G51810_1	0,960	0,965	0,996
AT1G51820_1	0,900	8,512	10,885
AT1G51823_1	1,033	1,082	1,210
AT1G51830_1	1,146	1,340	0,944
AT1G51840_1	0,984	1,399	1,411
AT1G51850_1	1,050	2,089	2,050
AT1G51860_1	0,665	11,444	35,421
AT1G51870_1	1,128	2,086	4,712
AT1G51880_1	0,935	5,645	20,025
AT1G51890_1	0,307	35,390	41,657
AT1G51900_1	1,079	1,224	1,189
AT1G51910_1	1,028	1,328	1,681
AT1G51913_1	1,174	1,582	2,354
AT1G51915_1	1,298	1,850	2,756
AT1G51920_1	1,135	12,479	40,745
AT1G51930_1	1,093	1,608	2,535
AT1G51940_1	1,130	0,061	0,008
AT1G51950_1	1,105	2,771	2,419
AT1G51960_1	1,027	1,207	1,367
AT1G51965_1	1,006	0,681	0,759
AT1G51970_1	0,939	1,234	1,207
AT1G51980_1	1,002	1,180	1,428
AT1G51980_2	0,966	1,162	1,433
AT1G51990_1	1,002	1,205	1,251
AT1G51990_2	1,025	1,185	1,316
AT1G52000_1	1,435	1,539	1,008
AT1G52010_1	1,239	1,465	1,567
AT1G52020_1	1,023	1,027	0,962
AT1G52030_1	1,368	2,704	1,636
AT1G52040_1	1,337	1,630	1,205
AT1G52050_1	1,198	1,335	1,452
AT1G52060_1	0,995	1,212	1,238
AT1G52070_1	1,257	1,446	1,596
AT1G52080_1	1,136	2,491	14,113
AT1G52085_1	0,962	1,155	1,120
AT1G52087_1	1,095	1,208	1,227
AT1G52090_1	0,959	1,090	0,995
AT1G52100_1	0,864	1,088	0,940
AT1G52110_1	1,026	1,137	1,115
AT1G52120_1	0,987	1,334	1,392
AT1G52130_1	0,837	1,071	1,049
AT1G52140_1	0,675	0,281	0,203
AT1G52150_1	0,898	0,390	0,221
AT1G52150_2	0,924	0,399	0,228

AGI	NaCl-Kontrolle zur H₂O-Kontrolle (log₂)	H₂O +B.c. zur H₂O-Kontrolle (log₂)	NaCl +B.c. zur H₂O-Kontrolle (log₂)
AT1G52150_3	0,868	0,477	0,344
AT1G52155_1	0,939	0,514	0,893
AT1G52160_1	1,183	1,471	0,946
AT1G52170_1	1,218	1,552	1,886
AT1G52180_1	1,296	1,579	1,224
AT1G52185_1	0,980	0,997	0,987
AT1G52190_1	0,808	0,310	0,010
AT1G52191_1	1,162	1,408	1,829
AT1G52200_1	0,237	3,799	6,150
AT1G52210_1	1,091	1,166	1,177
AT1G52211_1	1,681	2,475	1,258
AT1G52220_1	0,922	0,424	0,223
AT1G52220_2	0,911	0,442	0,221
AT1G52220_3	0,939	0,446	0,236
AT1G52230_1	0,939	0,519	0,185
AT1G52240_1	0,995	1,032	0,979
AT1G52240_2	1,119	0,387	0,406
AT1G52260_1	1,032	0,546	0,386
AT1G52270_1	0,477	0,956	0,112
AT1G52280_1	0,736	0,763	0,556
AT1G52290_1	0,660	0,490	0,482
AT1G52300_1	0,955	0,857	0,660
AT1G52310_1	1,233	0,854	0,554
AT1G52315_1	0,859	0,494	0,473
AT1G52320_1	0,910	1,270	1,883
AT1G52320_2	1,085	1,189	1,474
AT1G52320_3	0,918	1,000	1,035
AT1G52320_4	1,041	1,135	1,445
AT1G52325_1	1,046	1,288	1,256
AT1G52330_1	0,932	1,061	1,224
AT1G52330_2	0,958	0,942	0,998
AT1G52340_1	0,864	0,320	0,446
AT1G52342_1	0,956	1,491	2,248
AT1G52343_1	0,960	1,036	1,241
AT1G52343_2	0,973	1,137	1,277
AT1G52347_1	0,988	0,835	0,994
AT1G52360_1	1,110	1,136	1,091
AT1G52370_1	1,002	0,858	0,685
AT1G52370_2	1,036	0,834	0,766
AT1G52370_3	0,928	0,664	0,713
AT1G52380_1	1,102	1,350	0,980
AT1G52390_1	0,909	0,796	0,925
AT1G52400_1	1,326	1,396	0,892
AT1G52400_2	1,181	1,384	0,907
AT1G52410_1	1,515	2,130	1,341
AT1G52415_1	1,369	1,576	1,840
AT1G52420_1	1,042	0,710	0,849
AT1G52430_1	1,385	0,626	0,537
AT1G52440_1	0,970	0,997	1,030
AT1G52450_1	1,389	0,659	0,525

AGI	NaCl-Kontrolle zur H₂O-Kontrolle (log₂)	H₂O +B.c. zur H₂O-Kontrolle (log₂)	NaCl +B.c. zur H₂O-Kontrolle (log₂)
AT1G52460_1	0,911	0,892	0,953
AT1G52470_1	1,099	1,110	1,166
AT1G52470_2	0,906	1,016	1,069
AT1G52470_3	1,029	1,049	1,138
AT1G52490_1	1,039	1,077	1,151
AT1G52500_1	0,927	0,401	0,312
AT1G52500_2	0,904	0,882	0,734
AT1G52510_1	1,017	0,321	0,144
AT1G52510_2	0,945	0,512	0,322
AT1G52520_1	0,992	1,025	1,217
AT1G52530_1	0,898	0,558	0,605
AT1G52540_1	0,788	2,244	3,755
AT1G52550_1	0,904	1,399	1,780
AT1G52560_1	1,234	9,687	91,158
AT1G52560_2	1,133	8,064	64,593
AT1G52565_1	0,829	10,007	59,565
AT1G52570_1	1,535	1,331	1,249
AT1G52580_1	1,262	1,034	1,125
AT1G52590_1	1,350	0,549	0,525
AT1G52600_1	0,952	1,035	1,239
AT1G52610_1	1,293	1,530	1,777
AT1G52615_1	1,025	1,083	1,267
AT1G52618_1	1,006	0,669	0,451
AT1G52620_1	1,103	0,546	0,500
AT1G52630_1	0,881	0,645	0,532
AT1G52630_2	0,956	0,624	0,550
AT1G52640_1	1,095	0,559	0,345
AT1G52650_1	1,018	0,822	0,741
AT1G52660_1	1,123	1,204	1,186
AT1G52670_1	0,897	0,471	0,360
AT1G52680_1	1,193	1,762	2,136
AT1G52690_1	1,682	0,915	1,355
AT1G52695_1	0,884	0,880	0,847
AT1G52696_1	1,019	1,020	1,033
AT1G52700_1	0,871	0,299	0,302
AT1G52710_1	1,113	1,105	0,750
AT1G52720_1	0,946	1,283	2,457
AT1G52730_1	0,725	0,823	1,134
AT1G52730_2	0,910	0,882	0,846
AT1G52740_1	0,876	0,817	0,851
AT1G52750_1	0,757	0,551	0,410
AT1G52760_1	1,003	2,691	2,341
AT1G52770_1	1,099	0,105	0,076
AT1G52780_1	0,880	0,760	0,882
AT1G52790_1	1,066	1,024	1,218
AT1G52800_1	1,522	0,353	0,280
AT1G52810_1	1,178	1,194	1,322
AT1G52820_1	0,801	0,442	0,776
AT1G52825_1	0,807	0,679	0,746
AT1G52827_1	0,935	0,213	0,115

AGI	NaCl-Kontrolle zur H₂O-Kontrolle (log₂)	H₂O +B.c. zur H₂O-Kontrolle (log₂)	NaCl +B.c. zur H₂O-Kontrolle (log₂)
AT1G52830_1	0,564	0,686	0,255
AT1G52840_1	1,131	1,083	1,062
AT1G52850_1	1,541	2,119	2,451
AT1G52855_1	1,207	0,955	0,872
AT1G52870_1	1,010	0,851	0,562
AT1G52870_2	1,085	0,878	0,565
AT1G52880_1	0,954	1,334	1,995
AT1G52890_1	0,983	7,219	17,070
AT1G52900_1	1,014	3,718	10,688
AT1G52905_1	1,186	0,974	0,535
AT1G52910_1	1,076	0,115	0,059
AT1G52920_1	1,299	0,530	0,532
AT1G52930_1	0,959	1,198	0,678
AT1G52940_1	1,031	1,083	1,049
AT1G52942_1	0,906	0,622	0,284
AT1G52950_1	1,108	1,070	1,187
AT1G52960_1	0,883	0,942	0,857
AT1G52970_1	1,232	1,504	1,731
AT1G52980_1	1,106	1,171	0,881
AT1G52990_1	1,282	1,536	1,805
AT1G53000_1	1,078	0,347	0,108
AT1G53010_1	1,048	1,080	1,245
AT1G53020_1	1,105	0,949	0,977
AT1G53030_1	0,937	1,870	5,175
AT1G53035_1	1,026	0,204	0,348
AT1G53040_1	1,023	0,272	0,261
AT1G53050_1	1,007	0,560	0,561
AT1G53060_1	1,055	0,465	0,410
AT1G53070_1	0,794	0,494	0,411
AT1G53080_1	1,152	1,326	0,861
AT1G53090_1	1,044	1,401	1,250
AT1G53100_1	1,803	0,516	12,812
AT1G53110_1	1,103	0,875	1,311
AT1G53120_1	0,886	0,602	0,527
AT1G53130_1	0,980	1,055	1,017
AT1G53140_1	0,670	0,223	0,157
AT1G53160_1	1,444	0,191	0,151
AT1G53160_2	1,598	0,428	0,471
AT1G53163_1	1,007	0,791	0,806
AT1G53165_1	1,010	1,135	1,395
AT1G53170_1	1,107	1,130	1,229
AT1G53180_1	0,696	0,664	0,383
AT1G53190_1	1,015	0,748	0,867
AT1G53200_1	1,003	1,228	0,888
AT1G53210_1	1,067	0,805	0,714
AT1G53230_1	0,970	0,860	0,445
AT1G53233_1	1,159	1,070	1,161
AT1G53240_1	0,981	0,872	0,728
AT1G53250_1	0,906	0,344	0,249
AT1G53260_1	1,134	1,185	1,178

AGI	NaCl-Kontrolle zur H ₂ O-Kontrolle (log ₂)	H ₂ O +B.c. zur H ₂ O-Kontrolle (log ₂)	NaCl +B.c. zur H ₂ O-Kontrolle (log ₂)
AT1G53265_1	1,046	1,040	0,976
AT1G53270_1	1,067	0,652	0,794
AT1G53280_1	1,042	1,032	0,981
AT1G53282_1	1,060	1,131	1,158
AT1G53285_1	1,234	1,399	1,423
AT1G53290_1	0,854	0,576	0,429
AT1G53300_1	0,969	0,562	0,144
AT1G53310_1	1,014	1,010	1,296
AT1G53320_1	0,999	0,963	1,214
AT1G53325_1	1,023	0,924	0,988
AT1G53330_1	1,057	0,928	0,823
AT1G53340_1	0,902	1,193	1,024
AT1G53345_1	0,932	0,768	0,486
AT1G53350_1	1,004	0,353	0,383
AT1G53360_1	1,085	1,081	1,113
AT1G53366_1	1,026	1,161	1,162
AT1G53370_1	1,082	1,099	1,251
AT1G53380_1	0,949	0,700	0,409
AT1G53390_1	0,851	1,136	0,879
AT1G53400_1	0,866	0,566	0,829
AT1G53410_1	0,869	0,315	0,560
AT1G53420_1	1,046	0,955	0,960
AT1G53430_1	0,887	1,318	1,022
AT1G53440_1	0,858	1,132	0,806
AT1G53450_1	0,651	0,536	0,284
AT1G53450_2	1,202	0,617	0,396
AT1G53460_1	1,026	0,754	0,609
AT1G53470_1	1,546	0,776	3,415
AT1G53480_1	1,010	1,051	1,062
AT1G53490_1	1,038	1,119	1,905
AT1G53500_1	0,880	0,976	0,724
AT1G53510_1	0,897	0,878	0,761
AT1G53520_1	0,686	0,118	0,054
AT1G53530_1	0,920	0,986	0,687
AT1G53530_2	0,942	0,974	0,657
AT1G53540_1	1,207	10,139	44,613
AT1G53541_1	1,304	1,299	1,659
AT1G53542_1	1,194	0,412	0,232
AT1G53543_1	1,129	1,024	1,034
AT1G53550_1	1,012	0,944	1,175
AT1G53560_1	0,830	1,399	2,307
AT1G53570_1	1,018	1,536	1,954
AT1G53570_2	1,074	1,486	2,015
AT1G53570_3	1,057	1,441	1,824
AT1G53580_1	1,062	1,333	2,489
AT1G53590_1	1,007	0,624	0,749
AT1G53600_1	1,292	0,509	0,388
AT1G53610_1	1,165	1,220	1,259
AT1G53620_1	1,141	1,840	1,960
AT1G53625_1	1,055	4,398	11,257

AGI	NaCl-Kontrolle zur H₂O-Kontrolle (log₂)	H₂O +B.c. zur H₂O-Kontrolle (log₂)	NaCl +B.c. zur H₂O-Kontrolle (log₂)
AT1G53630_1	1,153	1,096	1,329
AT1G53633_1	0,900	0,985	1,068
AT1G53635_1	0,991	0,949	0,922
AT1G53640_1	1,011	1,075	0,937
AT1G53645_1	1,143	1,069	0,624
AT1G53650_1	1,049	1,653	2,370
AT1G53650_2	1,030	1,354	2,041
AT1G53660_1	1,191	0,573	0,538
AT1G53670_1	0,924	0,658	0,669
AT1G53670_2	0,882	0,559	0,616
AT1G53680_1	0,911	0,554	0,934
AT1G53683_1	1,241	1,055	1,203
AT1G53687_1	1,019	1,056	1,076
AT1G53690_1	0,699	0,244	0,229
AT1G53700_1	0,841	1,999	0,907
AT1G53705_1	1,141	1,242	1,371
AT1G53708_1	1,208	1,171	1,297
AT1G53710_1	0,908	0,732	0,927
AT1G53710_2	0,904	0,687	1,002
AT1G53720_1	1,065	0,917	0,901
AT1G53730_1	0,844	0,505	0,281
AT1G53730_2	0,817	0,494	0,270
AT1G53750_1	1,051	1,109	1,316
AT1G53760_1	0,946	3,324	4,264
AT1G53770_1	0,907	0,753	1,064
AT1G53780_1	1,289	0,922	1,115
AT1G53785_1	1,441	1,135	1,299
AT1G53790_1	1,111	0,984	2,174
AT1G53790_2	1,043	0,919	2,018
AT1G53800_1	1,060	0,585	0,090
AT1G53801_1	1,180	0,663	0,056
AT1G53810_1	1,210	1,427	1,416
AT1G53815_1	1,237	1,246	1,296
AT1G53820_1	1,167	1,176	1,162
AT1G53830_1	0,519	0,957	0,740
AT1G53840_1	0,926	0,602	0,217
AT1G53850_1	0,774	0,768	1,190
AT1G53850_2	0,925	0,870	1,285
AT1G53860_1	0,742	0,616	0,640
AT1G53870_1	1,042	0,872	1,049
AT1G53870_2	1,121	0,762	1,185
AT1G53880_1	0,988	1,090	1,103
AT1G53885_1	1,050	1,277	1,341
AT1G53887_1	0,796	0,533	0,922
AT1G53910_1	0,940	0,864	1,343
AT1G53910_2	0,961	0,849	1,400
AT1G53910_3	0,890	0,837	1,291
AT1G53920_1	0,559	0,159	0,323
AT1G53930_1	0,961	1,197	1,268
AT1G53935_1	1,008	1,057	1,028

AGI	NaCl-Kontrolle zur H₂O-Kontrolle (log₂)	H₂O +B.c. zur H₂O-Kontrolle (log₂)	NaCl +B.c. zur H₂O-Kontrolle (log₂)
AT1G53940_1	1,110	3,034	3,372
AT1G53950_1	1,074	1,834	1,960
AT1G53970_1	1,053	6,287	6,332
AT1G53980_1	1,036	5,295	11,664
AT1G53990_1	1,124	3,192	3,193
AT1G54000_1	0,617	12,119	9,714
AT1G54010_1	0,493	15,203	10,662
AT1G54020_1	1,217	31,070	72,635
AT1G54020_2	1,296	31,955	74,142
AT1G54030_1	0,992	2,976	3,178
AT1G54035_1	1,255	1,349	1,176
AT1G54040_1	1,014	0,529	0,263
AT1G54040_2	1,001	0,899	0,844
AT1G54050_1	0,682	3,829	4,950
AT1G54060_1	0,937	0,931	0,818
AT1G54070_1	1,091	1,196	1,326
AT1G54080_1	1,112	1,006	1,097
AT1G54080_2	1,078	0,990	1,055
AT1G54090_1	0,894	1,596	1,588
AT1G54095_1	1,056	17,705	8,739
AT1G54100_1	1,311	2,192	3,528
AT1G54110_1	1,022	0,710	0,784
AT1G54115_1	0,992	1,261	1,350
AT1G54120_1	0,891	1,826	8,085
AT1G54130_1	1,012	1,112	1,725
AT1G54140_1	0,945	0,930	0,676
AT1G54150_1	1,012	1,069	1,575
AT1G54160_1	1,428	0,644	0,674
AT1G54170_1	0,977	1,296	1,503
AT1G54180_1	1,168	0,412	0,379
AT1G54180_2	1,166	0,198	0,087
AT1G54200_1	0,833	0,415	0,086
AT1G54210_1	0,884	0,722	1,568
AT1G54215_1	1,054	0,718	0,678
AT1G54217_1	1,009	0,082	0,079
AT1G54217_2	0,995	0,101	0,114
AT1G54217_3	1,005	0,073	0,057
AT1G54220_1	0,982	0,423	0,504
AT1G54220_2	1,003	0,484	0,541
AT1G54230_1	0,977	1,186	1,181
AT1G54240_1	1,115	1,014	1,077
AT1G54250_1	1,030	1,058	1,292
AT1G54260_1	0,947	0,953	1,551
AT1G54270_1	0,993	1,430	1,990
AT1G54280_1	1,135	1,179	1,265
AT1G54290_1	1,173	1,399	2,353
AT1G54300_1	1,172	1,378	1,681
AT1G54310_1	1,266	0,703	0,431
AT1G54310_2	1,117	0,483	0,182
AT1G54320_1	0,944	1,210	1,330

AGI	NaCl-Kontrolle zur H₂O-Kontrolle (log₂)	H₂O +B.c. zur H₂O-Kontrolle (log₂)	NaCl +B.c. zur H₂O-Kontrolle (log₂)
AT1G54330_1	0,830	0,853	0,957
AT1G54340_1	0,936	1,424	2,920
AT1G54350_1	1,116	0,457	0,305
AT1G54355_1	1,072	0,815	0,580
AT1G54360_1	1,006	0,715	0,859
AT1G54360_3	0,996	0,676	0,819
AT1G54360_4	1,041	0,721	0,847
AT1G54370_1	0,901	0,909	0,874
AT1G54380_1	0,981	1,260	0,868
AT1G54385_1	1,093	0,164	0,119
AT1G54390_1	1,071	0,940	1,285
AT1G54390_2	1,105	0,926	1,208
AT1G54390_3	1,097	0,902	1,194
AT1G54390_4	1,064	0,866	1,083
AT1G54390_5	1,121	0,835	1,125
AT1G54390_6	1,085	0,867	1,097
AT1G54400_1	0,917	1,061	1,035
AT1G54410_1	1,011	0,387	0,293
AT1G54420_1	1,515	1,415	1,544
AT1G54430_1	1,014	1,126	1,159
AT1G54440_1	0,966	0,419	0,314
AT1G54445_1	1,183	1,143	1,234
AT1G54450_1	0,965	0,210	0,295
AT1G54460_1	0,799	0,551	0,991
AT1G54470_1	1,013	0,988	1,075
AT1G54490_1	0,971	0,900	1,173
AT1G54500_1	0,847	0,397	0,212
AT1G54510_1	1,151	0,594	1,214
AT1G54520_1	0,995	0,615	0,668
AT1G54530_1	0,863	0,853	1,282
AT1G54540_1	1,005	0,851	0,954
AT1G54550_1	1,093	1,041	1,024
AT1G54560_1	1,254	1,423	1,734
AT1G54570_1	1,238	2,748	9,510
AT1G54575_1	1,977	7,059	21,947
AT1G54580_1	1,034	0,574	0,482
AT1G54590_1	1,312	1,388	1,418
AT1G54600_1	0,999	1,104	1,217
AT1G54610_1	0,969	0,929	0,871
AT1G54610_2	0,968	0,917	0,909
AT1G54610_3	0,969	0,918	0,876
AT1G54620_1	1,045	1,048	1,024
AT1G54630_1	1,143	0,854	0,664
AT1G54630_2	0,867	0,437	0,378
AT1G54640_1	1,023	1,106	1,113
AT1G54650_1	0,843	0,760	0,889
AT1G54660_1	1,036	1,922	1,109
AT1G54680_1	0,959	1,151	1,429
AT1G54680_2	0,872	0,904	1,022
AT1G54690_1	0,859	0,877	0,509

AGI	NaCl-Kontrolle zur H₂O-Kontrolle (log₂)	H₂O +B.c. zur H₂O-Kontrolle (log₂)	NaCl +B.c. zur H₂O-Kontrolle (log₂)
AT1G54700_1	0,910	0,962	1,082
AT1G54710_1	1,022	1,228	1,821
AT1G54720_1	1,153	1,335	1,457
AT1G54730_1	0,909	0,785	0,769
AT1G54730_2	0,898	0,295	0,102
AT1G54730_3	0,864	0,401	0,362
AT1G54740_1	0,754	0,581	0,512
AT1G54750_1	0,951	1,060	1,152
AT1G54760_1	0,988	1,136	1,150
AT1G54770_1	0,837	0,599	0,515
AT1G54775_1	1,062	1,064	1,079
AT1G54780_1	0,998	0,566	0,320
AT1G54790_1	0,800	0,572	0,706
AT1G54790_2	0,789	0,527	0,587
AT1G54820_1	1,056	0,141	0,018
AT1G54830_1	1,160	0,730	0,891
AT1G54830_2	1,185	0,789	0,887
AT1G54830_3	1,175	0,760	0,856
AT1G54840_1	1,091	1,016	1,040
AT1G54850_1	0,938	0,825	0,810
AT1G54860_1	1,154	1,372	1,574
AT1G54870_1	1,346	1,581	1,721
AT1G54880_1	1,112	1,290	1,608
AT1G54890_1	1,044	6,022	16,615
AT1G54905_1	1,003	1,049	1,067
AT1G54920_1	1,224	0,822	0,843
AT1G54920_2	1,130	0,771	0,826
AT1G54923_1	1,349	1,086	1,120
AT1G54926_1	1,224	0,930	0,807
AT1G54930_1	1,114	1,034	1,171
AT1G54940_1	1,230	1,298	1,400
AT1G54950_1	1,185	1,093	1,175
AT1G54955_1	1,097	1,589	1,879
AT1G54960_1	1,014	2,771	2,052
AT1G54970_1	1,031	1,326	1,254
AT1G54980_1	1,233	1,295	1,490
AT1G54985_1	1,030	1,120	1,256
AT1G54990_1	1,031	1,154	1,355
AT1G55000_1	0,994	0,534	0,633
AT1G55000_2	1,053	0,502	0,601
AT1G55000_3	1,108	0,522	0,604
AT1G55010_1	1,265	1,777	1,539
AT1G55020_1	1,134	3,480	3,337
AT1G55030_1	0,980	0,938	0,970
AT1G55035_1	1,242	1,480	1,400
AT1G55040_1	1,369	1,004	0,535
AT1G55045_1	1,179	1,086	1,046
AT1G55050_1	1,264	0,586	0,817
AT1G55060_1	1,373	1,227	1,120
AT1G55070_1	1,094	0,998	1,211

AGI	NaCl-Kontrolle zur H₂O-Kontrolle (log₂)	H₂O +B.c. zur H₂O-Kontrolle (log₂)	NaCl +B.c. zur H₂O-Kontrolle (log₂)
AT1G55080_1	1,010	2,229	4,460
AT1G55090_1	1,141	1,055	1,266
AT1G55100_1	1,022	0,985	1,111
AT1G55110_1	1,077	1,924	2,263
AT1G55120_1	0,745	1,021	2,634
AT1G55130_1	1,026	0,500	0,436
AT1G55140_1	0,929	0,267	0,161
AT1G55140_2	0,988	0,294	0,167
AT1G55150_1	0,965	1,256	1,210
AT1G55152_1	1,029	0,833	0,583
AT1G55160_1	0,708	0,566	0,519
AT1G55160_2	0,701	0,562	0,499
AT1G55160_3	0,707	0,594	0,521
AT1G55170_1	0,910	1,186	1,483
AT1G55175_1	1,094	1,089	1,174
AT1G55180_1	1,084	0,462	0,752
AT1G55190_1	0,969	1,338	1,562
AT1G55200_1	0,771	0,497	0,345
AT1G55205_1	0,901	0,885	0,747
AT1G55205_2	0,983	1,197	1,482
AT1G55210_1	0,878	1,745	2,177
AT1G55220_1	1,025	1,076	1,364
AT1G55221_1	1,065	1,068	1,211
AT1G55230_1	1,018	21,632	42,966
AT1G55240_1	1,157	2,211	5,000
AT1G55250_1	1,132	0,770	0,831
AT1G55250_2	1,091	0,736	0,811
AT1G55260_1	0,758	0,464	0,034
AT1G55265_1	0,899	2,717	5,971
AT1G55270_1	0,890	0,863	0,702
AT1G55280_1	0,946	1,045	3,487
AT1G55290_1	1,028	1,217	1,364
AT1G55300_1	0,881	0,837	1,022
AT1G55300_2	0,983	0,912	0,967
AT1G55310_1	1,133	2,071	2,043
AT1G55310_2	1,228	2,408	2,371
AT1G55320_1	1,214	0,366	0,344
AT1G55325_1	1,036	0,925	1,059
AT1G55330_1	0,668	0,294	0,138
AT1G55340_1	0,957	0,349	0,410
AT1G55340_2	0,937	0,317	0,386
AT1G55350_1	1,100	0,714	0,465
AT1G55350_2	1,109	0,736	0,478
AT1G55350_3	0,944	0,746	0,729
AT1G55360_1	0,861	0,649	0,144
AT1G55365_1	1,085	2,026	3,854
AT1G55370_1	0,923	0,396	0,231
AT1G55370_2	0,942	0,221	0,021
AT1G55380_1	0,982	0,793	0,699
AT1G55390_1	1,158	1,458	1,437

AGI	NaCl-Kontrolle zur H₂O-Kontrolle (log₂)	H₂O +B.c. zur H₂O-Kontrolle (log₂)	NaCl +B.c. zur H₂O-Kontrolle (log₂)
AT1G55400_1	1,252	1,543	1,903
AT1G55410_1	1,212	1,226	1,299
AT1G55420_1	0,875	0,770	0,878
AT1G55430_1	0,974	0,891	1,014
AT1G55440_1	1,108	1,353	1,420
AT1G55450_1	0,728	1,429	1,172
AT1G55460_1	1,042	1,093	0,947
AT1G55470_1	1,366	1,268	1,459
AT1G55475_1	1,034	0,806	1,202
AT1G55480_1	0,954	0,395	0,223
AT1G55490_1	0,979	0,379	0,074
AT1G55500_1	1,077	1,359	1,341
AT1G55510_1	1,150	0,827	1,547
AT1G55520_1	0,864	1,155	1,276
AT1G55520_2	0,856	1,147	1,298
AT1G55525_1	1,009	1,362	1,578
AT1G55530_1	1,054	1,910	2,099
AT1G55535_1	0,869	1,134	1,254
AT1G55535_2	0,864	1,135	1,168
AT1G55540_1	1,236	0,757	0,439
AT1G55545_1	1,603	0,678	0,441
AT1G55546_1	1,086	0,897	1,138
AT1G55550_1	1,304	0,750	1,184
AT1G55560_1	1,113	1,146	1,272
AT1G55570_1	1,207	1,173	1,329
AT1G55580_1	1,210	1,719	1,954
AT1G55590_1	0,964	0,816	0,931
AT1G55591_1	1,134	1,112	1,175
AT1G55600_1	1,237	1,413	1,760
AT1G55604_1	1,107	1,043	1,192
AT1G55610_1	1,328	0,804	2,015
AT1G55615_1	1,050	0,981	0,982
AT1G55620_1	1,117	1,014	1,108
AT1G55625_1	1,198	2,061	1,732
AT1G55630_1	0,958	1,156	1,066
AT1G55640_1	1,107	1,104	1,348
AT1G55650_1	1,021	0,940	0,948
AT1G55660_1	0,972	1,058	1,070
AT1G55670_1	0,985	0,749	0,377
AT1G55675_1	1,249	0,833	0,484
AT1G55680_1	1,081	1,089	1,103
AT1G55690_1	1,113	0,629	1,243
AT1G55690_2	1,050	0,648	1,190
AT1G55690_3	0,985	0,885	1,081
AT1G55700_1	1,083	1,197	1,287
AT1G55710_1	1,190	1,260	0,884
AT1G55720_1	1,188	1,343	1,693
AT1G55730_1	0,921	1,276	2,448
AT1G55740_1	0,967	0,460	0,868
AT1G55750_1	1,171	0,969	0,945

AGI	NaCl-Kontrolle zur H₂O-Kontrolle (log₂)	H₂O +B.c. zur H₂O-Kontrolle (log₂)	NaCl +B.c. zur H₂O-Kontrolle (log₂)
AT1G55760_1	1,261	0,314	2,246
AT1G55770_1	1,148	1,214	1,290
AT1G55780_1	1,136	1,894	4,504
AT1G55790_1	1,114	1,159	1,309
AT1G55800_1	1,135	0,893	1,113
AT1G55805_1	0,852	0,556	0,576
AT1G55810_1	0,835	2,803	2,806
AT1G55820_1	1,187	1,589	1,504
AT1G55830_1	0,922	1,154	1,649
AT1G55840_1	1,056	0,758	0,934
AT1G55840_2	1,039	0,790	0,912
AT1G55850_1	1,546	3,146	3,116
AT1G55860_1	1,099	0,940	1,064
AT1G55870_1	1,182	1,423	1,333
AT1G55880_1	0,882	1,320	1,414
AT1G55880_2	1,086	1,168	1,172
AT1G55890_1	1,120	1,089	0,696
AT1G55900_1	1,072	1,234	0,956
AT1G55910_1	0,758	1,499	1,597
AT1G55915_1	0,991	1,656	2,004
AT1G55920_1	0,800	3,134	4,607
AT1G55928_1	1,137	1,185	1,431
AT1G55930_1	1,194	0,684	0,511
AT1G55940_1	1,100	0,954	0,935
AT1G55950_1	1,019	1,093	1,170
AT1G55960_1	0,958	1,553	1,449
AT1G55964_1	1,676	1,522	1,293
AT1G55970_1	1,151	0,638	0,603
AT1G55980_1	1,016	0,616	0,750
AT1G55990_1	1,250	0,942	1,066
AT1G56000_1	1,161	0,687	0,536
AT1G56010_1	0,985	0,883	2,667
AT1G56010_2	1,045	1,641	4,500
AT1G56020_1	0,959	0,564	0,274
AT1G56030_1	1,089	1,020	1,137
AT1G56040_1	1,027	1,027	1,098
AT1G56045_1	0,762	0,505	0,476
AT1G56050_1	0,956	0,332	0,146
AT1G56060_1	0,471	27,136	27,023
AT1G56070_1	1,035	1,106	1,041
AT1G56080_1	1,065	1,130	2,122
AT1G56085_1	1,358	1,283	1,490
AT1G56090_1	0,887	0,711	0,863
AT1G56100_1	1,189	1,275	1,240
AT1G56100_2	1,029	1,022	1,051
AT1G56110_1	1,083	1,312	0,914
AT1G56120_1	1,128	1,297	1,051
AT1G56130_1	1,196	2,581	1,904
AT1G56140_1	0,979	4,480	4,085
AT1G56145_1	1,236	3,040	3,807

AGI	NaCl-Kontrolle zur H₂O-Kontrolle (log₂)	H₂O +B.c. zur H₂O-Kontrolle (log₂)	NaCl +B.c. zur H₂O-Kontrolle (log₂)
AT1G56150_1	0,585	0,769	0,455
AT1G56160_1	1,155	1,397	1,549
AT1G56165_1	1,211	1,361	1,311
AT1G56170_1	1,116	2,664	2,191
AT1G56170_2	1,221	1,763	1,652
AT1G56180_1	0,999	0,890	0,585
AT1G56190_1	0,965	0,430	0,427
AT1G56190_2	0,945	0,408	0,435
AT1G56200_1	0,930	1,037	0,809
AT1G56200_2	0,911	1,017	0,797
AT1G56210_1	0,754	0,626	0,063
AT1G56220_1	1,179	0,388	0,310
AT1G56220_2	1,165	0,444	0,359
AT1G56220_3	1,156	0,442	0,355
AT1G56220_4	1,129	0,373	0,304
AT1G56230_1	1,249	0,256	0,204
AT1G56233_1	1,064	1,079	1,084
AT1G56240_1	0,299	40,808	21,155
AT1G56242_1	0,972	1,045	1,011
AT1G56250_1	0,698	33,882	17,630
AT1G56260_1	0,791	0,835	0,609
AT1G56270_1	0,899	1,009	0,977
AT1G56280_1	1,139	1,089	1,032
AT1G56290_1	0,952	1,435	1,485
AT1G56300_1	1,020	0,510	0,810
AT1G56310_1	1,036	0,531	0,482
AT1G56320_1	0,921	0,893	1,024
AT1G56330_1	0,872	0,987	0,956
AT1G56340_1	0,969	1,040	1,010
AT1G56340_2	1,022	1,098	1,079
AT1G56345_1	0,743	0,940	0,779
AT1G56350_1	1,165	1,038	1,178
AT1G56360_1	1,381	1,598	1,807
AT1G56380_1	1,011	1,053	1,061
AT1G56380_2	1,031	1,020	1,035
AT1G56385_1	0,999	1,023	0,947
AT1G56390_1	0,986	1,041	1,044
AT1G56400_1	1,067	1,477	1,352
AT1G56410_1	1,277	2,449	2,155
AT1G56415_1	1,150	1,291	1,365
AT1G56418_1	0,997	1,074	1,252
AT1G56420_1	0,938	0,424	0,644
AT1G56423_1	0,848	0,738	0,574
AT1G56430_1	0,845	0,649	0,074
AT1G56440_1	0,955	2,167	2,569
AT1G56450_1	0,961	0,837	1,118
AT1G56460_1	1,046	0,530	0,803
AT1G56470_1	1,005	0,972	1,107
AT1G56480_1	0,962	2,098	5,102
AT1G56490_1	0,962	1,004	0,949

AGI	NaCl-Kontrolle zur H₂O-Kontrolle (log₂)	H₂O +B.c. zur H₂O-Kontrolle (log₂)	NaCl +B.c. zur H₂O-Kontrolle (log₂)
AT1G56500_1	0,994	0,618	0,300
AT1G56510_1	1,056	1,349	0,715
AT1G56520_1	0,831	0,343	0,159
AT1G56540_1	0,570	0,835	0,821
AT1G56550_1	0,994	0,871	1,075
AT1G56553_1	1,105	1,219	1,126
AT1G56555_1	1,064	1,024	1,066
AT1G56560_1	1,163	1,029	1,455
AT1G56570_1	1,331	0,301	0,153
AT1G56580_1	1,031	0,572	0,232
AT1G56590_1	0,884	0,946	0,906
AT1G56600_1	2,350	0,821	0,428
AT1G56610_1	0,974	1,009	0,953
AT1G56612_1	1,060	0,521	0,890
AT1G56612_2	0,960	0,459	0,913
AT1G56612_3	0,954	0,477	0,793
AT1G56620_1	1,034	1,146	1,267
AT1G56630_1	1,247	1,357	1,253
AT1G56640_1	1,093	1,254	1,539
AT1G56650_1	1,571	1,835	2,991
AT1G56660_1	0,909	0,609	1,330
AT1G56670_1	0,992	0,351	0,051
AT1G56675_1	1,093	1,232	1,287
AT1G56680_1	1,160	1,180	1,365
AT1G56690_1	1,315	0,758	0,479
AT1G56700_1	0,887	1,242	2,300
AT1G56700_2	1,065	0,967	1,089
AT1G56700_3	0,899	1,213	2,492
AT1G56710_1	1,540	0,865	0,366
AT1G56720_1	0,963	0,092	0,023
AT1G56730_1	1,120	1,442	1,891
AT1G56850_1	1,095	1,329	1,763
AT1G56940_1	1,105	1,296	1,687
AT1G57420_1	1,069	1,314	1,782
AT1G57450_1	1,088	1,298	1,791
AT1G57540_1	1,075	0,757	0,766
AT1G57540_2	0,938	0,913	0,915
AT1G57540_3	1,319	0,840	0,873
AT1G57550_1	1,016	1,101	1,114
AT1G57560_1	0,498	2,443	2,153
AT1G57565_1	0,894	0,926	0,980
AT1G57570_1	0,918	1,083	1,004
AT1G57580_1	1,113	1,117	1,227
AT1G57590_1	1,604	0,614	2,346
AT1G57600_1	0,963	0,750	1,015
AT1G57610_1	0,923	1,616	0,969
AT1G57610_2	0,953	1,669	1,115
AT1G57610_3	0,952	1,629	1,115
AT1G57613_1	1,222	1,241	1,360
AT1G57620_1	0,971	0,865	0,870

AGI	NaCl-Kontrolle zur H₂O-Kontrolle (log₂)	H₂O +B.c. zur H₂O-Kontrolle (log₂)	NaCl +B.c. zur H₂O-Kontrolle (log₂)
AT1G57630_1	0,526	15,676	16,714
AT1G57640_1	1,279	1,372	1,584
AT1G57650_1	0,696	4,863	14,532
AT1G57660_1	0,662	0,860	0,477
AT1G57670_1	1,368	1,524	1,780
AT1G57680_1	0,833	1,085	0,854
AT1G57690_1	1,028	1,113	0,999
AT1G57700_1	0,929	0,605	0,600
AT1G57710_1	1,014	1,005	0,967
AT1G57720_1	1,038	1,136	0,892
AT1G57730_1	1,080	1,050	1,435
AT1G57740_1	1,198	1,073	0,978
AT1G57750_1	0,780	0,625	0,597
AT1G57750_2	0,854	0,794	0,711
AT1G57760_1	1,177	1,221	1,225
AT1G57765_1	0,794	1,169	1,860
AT1G57770_1	0,992	0,419	0,252
AT1G57775_1	0,977	1,105	1,028
AT1G57777_1	1,054	1,124	1,124
AT1G57780_1	1,055	1,068	1,039
AT1G57790_1	1,000	0,476	0,333
AT1G57800_1	1,346	1,134	0,940
AT1G57810_1	1,031	1,084	1,150
AT1G57820_1	0,759	0,528	0,340
AT1G57820_2	0,776	0,517	0,340
AT1G57830_1	1,225	1,365	1,469
AT1G57835_1	1,255	1,316	1,416
AT1G57840_1	1,085	1,256	1,270
AT1G57850_1	0,938	0,856	0,868
AT1G57850_2	1,038	0,662	0,659
AT1G57860_1	0,980	0,991	0,697
AT1G57870_1	1,080	0,719	0,604
AT1G57906_1	1,023	1,150	1,226
AT1G57943_1	0,749	1,741	1,451
AT1G57943_2	0,754	1,569	1,471
AT1G57980_1	0,709	0,872	0,805
AT1G57990_1	0,456	2,437	2,554
AT1G58007_1	0,999	1,068	1,057
AT1G58007_2	0,983	1,035	1,076
AT1G58010_1	1,007	1,061	1,162
AT1G58020_1	1,222	1,570	1,608
AT1G58025_1	1,064	0,775	0,952
AT1G58030_1	1,038	1,073	1,500
AT1G58037_1	1,127	0,849	0,727
AT1G58037_2	1,219	1,393	1,703
AT1G58040_1	1,053	1,017	1,067
AT1G58050_1	1,303	0,800	0,871
AT1G58055_1	0,971	1,001	1,239
AT1G58060_1	1,048	0,726	0,848
AT1G58070_1	0,701	0,355	0,247

AGI	NaCl-Kontrolle zur H₂O-Kontrolle (log₂)	H₂O +B.c. zur H₂O-Kontrolle (log₂)	NaCl +B.c. zur H₂O-Kontrolle (log₂)
AT1G58080_1	0,874	0,888	0,638
AT1G58090_1	0,950	1,120	1,262
AT1G58100_1	0,969	1,690	1,444
AT1G58100_2	0,928	1,669	1,414
AT1G58110_1	0,870	0,762	0,911
AT1G58120_1	1,055	1,190	1,374
AT1G58130_1	0,872	0,892	0,831
AT1G58140_1	1,256	1,641	2,373
AT1G58150_1	1,133	0,728	0,646
AT1G58160_1	0,993	0,370	0,266
AT1G58170_1	0,971	0,711	0,415
AT1G58180_1	0,750	0,846	2,690
AT1G58180_2	0,900	1,002	2,562
AT1G58180_3	0,815	0,943	2,475
AT1G58190_1	0,931	1,082	1,637
AT1G58200_1	0,996	0,857	1,073
AT1G58210_1	0,975	0,970	1,073
AT1G58220_1	1,085	0,895	0,811
AT1G58225_1	0,465	0,276	0,215
AT1G58227_1	1,438	0,618	1,209
AT1G58230_1	1,128	0,757	1,011
AT1G58235_1	1,113	1,022	1,055
AT1G58242_1	1,001	0,956	1,027
AT1G58245_1	0,942	0,894	0,896
AT1G58248_1	1,073	1,010	0,973
AT1G58250_1	1,101	0,799	0,840
AT1G58260_1	1,023	1,328	1,237
AT1G58265_1	1,148	1,082	1,072
AT1G58270_1	0,999	0,473	0,462
AT1G58280_1	0,919	0,779	0,923
AT1G58280_2	0,879	0,683	0,806
AT1G58280_3	1,036	1,026	1,078
AT1G58290_1	0,954	0,826	0,547
AT1G58300_1	1,163	1,023	1,134
AT1G58310_1	1,099	1,074	1,139
AT1G58320_1	0,987	1,031	1,137
AT1G58330_1	1,110	1,187	1,549
AT1G58340_1	0,809	82,774	139,579
AT1G58350_1	1,081	0,658	0,510
AT1G58360_1	1,180	0,854	1,751
AT1G58370_1	0,546	0,330	0,124
AT1G58380_1	0,958	1,190	0,985
AT1G58390_1	1,194	0,664	0,620
AT1G58400_1	1,101	1,026	1,149
AT1G58410_1	1,025	1,074	1,081
AT1G58420_1	0,638	2,418	2,573
AT1G58430_1	1,123	1,280	1,596
AT1G58440_1	0,862	1,066	0,730
AT1G58450_1	1,038	1,013	1,059
AT1G58460_1	0,942	1,074	1,095

AGI	NaCl-Kontrolle zur H ₂ O-Kontrolle (log ₂)	H ₂ O +B.c. zur H ₂ O-Kontrolle (log ₂)	NaCl +B.c. zur H ₂ O-Kontrolle (log ₂)
AT1G58470_1	1,107	1,217	1,473
AT1G58520_1	1,274	2,167	1,126
AT1G58520_3	0,535	0,583	0,485
AT1G58561_1	0,998	0,633	1,069
AT1G58590_1	0,858	1,298	2,030
AT1G58590_2	0,666	0,815	1,830
AT1G58602_1	0,726	0,440	0,915
AT1G58602_2	0,845	1,015	1,180
AT1G58643_1	0,917	0,992	1,050
AT1G58684_1	1,060	1,186	0,979
AT1G58725_1	0,535	0,562	0,512
AT1G58766_1	0,947	1,078	1,063
AT1G58807_1	1,066	0,942	0,967
AT1G58807_2	1,049	0,919	0,869
AT1G58808_1	0,867	0,935	0,935
AT1G58848_1	1,031	1,240	1,154
AT1G58848_2	1,007	1,087	1,025
AT1G58889_1	1,212	1,784	3,010
AT1G59030_1	0,566	0,615	0,554
AT1G59077_1	1,029	1,118	1,202
AT1G59171_1	0,905	1,051	1,159
AT1G59171_2	0,886	1,012	0,996
AT1G59406_1	0,830	0,913	0,916
AT1G59500_1	0,644	34,207	38,135
AT1G59510_1	0,963	0,860	1,174
AT1G59520_1	0,975	1,020	1,358
AT1G59520_2	0,998	1,039	1,354
AT1G59530_1	1,025	1,159	1,227
AT1G59535_1	0,994	1,049	1,146
AT1G59540_1	1,052	0,283	0,204
AT1G59550_1	1,033	1,102	1,055
AT1G59560_1	0,904	0,307	0,271
AT1G59580_1	0,897	0,701	0,782
AT1G59580_2	0,843	0,701	0,773
AT1G59590_1	0,462	3,945	7,198
AT1G59600_1	1,069	0,656	0,577
AT1G59610_1	1,093	1,135	1,144
AT1G59620_1	0,945	0,699	0,800
AT1G59630_1	1,043	1,080	1,129
AT1G59640_1	1,371	2,444	5,585
AT1G59640_2	1,078	1,104	1,548
AT1G59650_1	0,927	1,236	1,567
AT1G59660_1	0,856	1,828	3,097
AT1G59670_1	1,119	1,169	1,690
AT1G59675_1	1,021	1,030	1,105
AT1G59680_1	1,087	1,113	1,188
AT1G59690_1	1,045	1,021	1,072
AT1G59700_1	0,826	1,562	3,671
AT1G59710_1	0,802	1,246	1,806
AT1G59720_1	1,235	0,425	0,069

AGI	NaCl-Kontrolle zur H ₂ O-Kontrolle (log ₂)	H ₂ O +B.c. zur H ₂ O-Kontrolle (log ₂)	NaCl +B.c. zur H ₂ O-Kontrolle (log ₂)
AT1G59722_1	1,115	1,198	1,461
AT1G59725_1	1,450	1,087	0,867
AT1G59730_1	1,265	1,661	3,481
AT1G59740_1	0,874	1,230	2,727
AT1G59750_1	1,159	0,870	0,434
AT1G59750_2	1,171	0,872	0,429
AT1G59760_1	1,097	1,066	1,058
AT1G59770_1	1,109	1,124	1,218
AT1G59780_1	0,937	0,921	1,010
AT1G59790_1	1,112	1,400	1,217
AT1G59800_1	1,138	1,125	1,095
AT1G59810_1	0,756	1,604	1,884
AT1G59820_1	0,980	1,721	2,160
AT1G59830_1	0,959	0,864	0,799
AT1G59830_2	0,935	0,692	0,819
AT1G59833_1	1,051	1,026	1,070
AT1G59835_1	0,974	0,942	0,943
AT1G59840_1	0,916	0,201	0,037
AT1G59840_2	1,125	0,306	0,047
AT1G59850_1	1,065	0,997	2,169
AT1G59860_1	0,885	18,613	25,537
AT1G59865_1	1,021	3,916	2,709
AT1G59865_2	1,016	6,164	3,728
AT1G59870_1	0,971	1,259	1,199
AT1G59885_1	1,162	1,357	1,543
AT1G59890_1	1,017	1,091	1,597
AT1G59900_1	1,051	1,036	0,886
AT1G59910_1	0,906	2,059	2,369
AT1G59920_1	0,854	0,690	0,332
AT1G59930_1	0,811	0,599	0,190
AT1G59940_1	1,160	0,941	0,640
AT1G59950_1	1,065	71,031	39,030
AT1G59960_1	0,812	2,091	1,480
AT1G59970_1	0,766	2,018	1,037
AT1G59980_1	0,996	0,336	0,191
AT1G59990_1	1,198	0,499	0,159
AT1G60000_1	0,952	0,592	0,203
AT1G60000_2	0,985	0,626	0,189
AT1G60010_1	0,902	0,685	0,368
AT1G60020_1	1,118	1,467	1,535
AT1G60030_1	0,491	0,984	3,453
AT1G60040_1	0,859	1,436	1,350
AT1G60050_1	1,043	1,146	1,245
AT1G60060_1	0,771	0,454	0,188
AT1G60070_1	0,955	0,622	0,597
AT1G60072_1	0,973	0,931	0,920
AT1G60075_1	0,924	0,944	0,895
AT1G60080_1	1,004	1,755	1,279
AT1G60090_1	1,151	0,867	0,488
AT1G60095_1	0,927	0,990	0,975

AGI	NaCl-Kontrolle zur H₂O-Kontrolle (log₂)	H₂O +B.c. zur H₂O-Kontrolle (log₂)	NaCl +B.c. zur H₂O-Kontrolle (log₂)
AT1G60110_1	0,777	1,744	1,509
AT1G60120_1	1,023	0,978	1,027
AT1G60130_1	0,951	1,093	1,147
AT1G60140_1	0,893	0,272	0,895
AT1G60150_1	1,055	1,070	1,107
AT1G60160_1	1,000	0,432	1,242
AT1G60170_1	0,995	0,934	0,925
AT1G60180_1	1,094	1,205	1,242
AT1G60190_1	2,997	0,749	4,472
AT1G60200_1	1,020	0,922	0,922
AT1G60220_1	0,948	0,705	1,116
AT1G60230_1	0,861	0,643	0,368
AT1G60240_1	1,090	1,110	1,422
AT1G60250_1	0,926	0,990	1,056
AT1G60260_1	1,022	0,839	0,440
AT1G60270_1	0,941	0,796	0,395
AT1G60280_1	0,928	0,976	1,039
AT1G60290_1	1,070	1,103	1,073
AT1G60300_1	1,023	1,176	1,135
AT1G60310_1	1,147	1,281	1,498
AT1G60320_1	1,060	1,103	1,210
AT1G60330_1	0,933	0,947	0,907
AT1G60340_1	1,120	1,232	1,472
AT1G60350_1	1,083	1,191	1,081
AT1G60360_1	0,631	0,528	0,608
AT1G60370_1	1,109	1,055	1,088
AT1G60380_1	1,132	1,102	1,274
AT1G60390_1	0,832	0,384	0,230
AT1G60400_1	1,058	1,088	1,147
AT1G60410_1	0,974	1,081	1,203
AT1G60420_1	1,130	1,414	1,935
AT1G60430_1	0,917	0,943	1,329
AT1G60430_2	0,952	0,955	1,312
AT1G60440_1	0,811	2,765	3,183
AT1G60450_1	1,008	1,067	1,142
AT1G60460_1	1,086	0,908	0,875
AT1G60460_2	1,042	0,263	0,219
AT1G60470_1	1,412	1,325	1,563
AT1G60480_1	1,058	1,068	1,036
AT1G60490_1	0,923	0,826	1,455
AT1G60500_1	1,141	1,861	1,653
AT1G60505_1	1,180	0,687	0,588
AT1G60505_2	0,765	0,492	0,416
AT1G60510_1	1,085	0,825	0,811
AT1G60520_1	0,994	0,971	0,970
AT1G60525_1	0,881	0,268	0,218
AT1G60525_2	1,072	0,630	0,398
AT1G60530_1	0,925	0,821	0,761
AT1G60540_1	0,980	0,904	1,158
AT1G60545_1	0,868	0,719	0,969

AGI	NaCl-Kontrolle zur H₂O-Kontrolle (log₂)	H₂O +B.c. zur H₂O-Kontrolle (log₂)	NaCl +B.c. zur H₂O-Kontrolle (log₂)
AT1G60550_1	0,922	0,623	0,214
AT1G60560_1	1,074	0,681	0,527
AT1G60560_2	0,962	0,652	0,480
AT1G60570_1	1,157	1,127	1,320
AT1G60590_1	0,993	0,072	0,024
AT1G60600_1	0,938	0,211	0,114
AT1G60610_1	0,990	2,702	18,029
AT1G60610_2	0,969	4,667	15,373
AT1G60610_3	1,089	4,752	13,899
AT1G60620_1	1,104	1,472	1,674
AT1G60625_1	1,020	1,075	1,140
AT1G60630_1	0,757	0,393	0,219
AT1G60640_1	1,151	1,640	1,507
AT1G60650_1	1,213	1,603	1,608
AT1G60650_2	1,103	1,411	1,236
AT1G60660_1	0,768	0,864	0,636
AT1G60670_1	0,954	1,049	1,157
AT1G60670_2	0,963	1,058	1,096
AT1G60680_1	1,276	0,993	0,741
AT1G60690_1	1,143	0,862	0,557
AT1G60700_1	0,942	0,218	0,108
AT1G60710_1	1,076	0,989	0,761
AT1G60720_1	1,232	1,523	1,667
AT1G60730_1	0,916	4,308	5,971
AT1G60740_1	1,091	18,356	30,209
AT1G60750_1	1,328	3,333	3,604
AT1G60760_1	1,089	1,197	1,412
AT1G60770_1	0,997	0,838	0,401
AT1G60780_1	0,947	1,007	1,062
AT1G60783_1	1,018	1,109	1,132
AT1G60790_1	1,001	0,340	0,085
AT1G60800_1	1,000	0,532	0,134
AT1G60810_1	1,044	0,719	0,549
AT1G60815_1	1,028	1,001	0,990
AT1G60830_1	1,100	1,319	1,186
AT1G60835_1	1,012	1,068	1,058
AT1G60850_1	1,054	2,006	1,371
AT1G60850_2	1,057	2,041	1,294
AT1G60850_3	0,994	1,129	0,909
AT1G60860_1	1,099	0,350	0,248
AT1G60870_1	0,876	0,726	0,741
AT1G60880_1	1,367	1,457	2,032
AT1G60890_1	1,391	0,774	1,606
AT1G60900_1	1,126	1,245	1,296
AT1G60913_1	1,071	1,127	1,238
AT1G60920_1	1,100	1,138	1,176
AT1G60930_1	1,110	0,448	0,372
AT1G60940_1	0,985	1,123	1,170
AT1G60940_2	0,941	1,080	1,064
AT1G60950_1	0,890	0,684	0,496

AGI	NaCl-Kontrolle zur H ₂ O-Kontrolle (log ₂)	H ₂ O +B.c. zur H ₂ O-Kontrolle (log ₂)	NaCl +B.c. zur H ₂ O-Kontrolle (log ₂)
AT1G60960_1	0,938	0,360	1,317
AT1G60970_1	1,031	1,313	2,182
AT1G60980_1	1,182	1,403	1,669
AT1G60983_1	0,980	1,156	1,260
AT1G60985_1	0,975	0,987	1,079
AT1G60986_1	0,949	1,127	1,191
AT1G60987_1	1,048	1,050	1,104
AT1G60989_1	0,975	0,279	0,437
AT1G60990_1	1,070	0,588	0,391
AT1G60990_2	0,975	0,550	0,364
AT1G60990_3	0,982	0,546	0,358
AT1G60995_1	0,973	0,770	0,917
AT1G61000_1	0,842	0,374	0,688
AT1G61010_1	0,904	0,469	0,284
AT1G61010_2	0,986	0,902	0,462
AT1G61010_3	1,075	0,824	0,506
AT1G61030_1	1,052	1,102	1,301
AT1G61040_1	1,046	1,329	1,360
AT1G61050_1	1,045	1,116	1,152
AT1G61060_1	1,032	1,027	1,148
AT1G61065_1	1,038	1,936	1,834
AT1G61070_1	1,062	0,897	0,865
AT1G61080_1	1,152	2,012	2,525
AT1G61090_1	1,004	1,162	1,154
AT1G61093_1	0,885	1,006	0,972
AT1G61095_1	0,944	1,100	1,103
AT1G61097_1	1,018	0,993	0,921
AT1G61100_1	0,822	1,016	0,768
AT1G61105_1	1,050	1,183	1,432
AT1G61110_1	0,944	40,200	49,981
AT1G61120_1	0,378	25,172	26,235
AT1G61130_1	1,026	1,103	1,165
AT1G61140_1	1,018	1,783	2,367
AT1G61140_2	1,013	1,891	2,334
AT1G61150_1	0,769	0,802	1,452
AT1G61150_2	0,927	0,928	1,249
AT1G61150_3	0,872	0,693	1,127
AT1G61150_4	0,929	0,913	1,234
AT1G61150_5	0,959	0,938	1,283
AT1G61150_6	0,905	0,910	1,226
AT1G61150_7	0,807	0,701	1,021
AT1G61160_1	1,129	1,327	1,379
AT1G61165_1	1,519	2,228	3,113
AT1G61170_1	0,824	0,394	0,245
AT1G61180_1	1,013	0,841	0,638
AT1G61180_2	0,890	0,423	0,421
AT1G61190_1	0,962	0,858	0,524
AT1G61200_1	1,083	1,718	2,452
AT1G61210_1	1,224	1,154	1,085
AT1G61215_1	0,798	1,995	2,307

AGI	NaCl-Kontrolle zur H₂O-Kontrolle (log₂)	H₂O +B.c. zur H₂O-Kontrolle (log₂)	NaCl +B.c. zur H₂O-Kontrolle (log₂)
AT1G61224_1	0,954	1,146	1,153
AT1G61226_1	1,049	1,111	1,303
AT1G61230_1	1,059	1,037	1,139
AT1G61240_1	1,095	0,224	0,164
AT1G61240_3	1,058	0,212	0,148
AT1G61250_1	0,902	1,280	1,375
AT1G61255_1	0,932	1,867	1,346
AT1G61260_1	0,870	1,306	0,832
AT1G61270_1	1,091	1,117	1,149
AT1G61275_1	1,055	0,939	1,096
AT1G61280_1	0,836	0,773	0,766
AT1G61290_1	1,006	1,159	1,271
AT1G61300_1	1,036	0,806	0,532
AT1G61310_1	1,097	0,906	0,652
AT1G61320_1	1,051	1,087	1,219
AT1G61330_1	1,078	1,257	1,157
AT1G61340_1	1,277	3,781	4,735
AT1G61350_1	1,029	0,570	0,577
AT1G61353_1	0,974	0,985	0,979
AT1G61360_1	0,530	5,107	4,142
AT1G61370_1	1,035	8,903	13,275
AT1G61380_1	0,882	1,448	1,476
AT1G61390_1	1,178	1,305	1,203
AT1G61400_1	1,137	1,551	1,750
AT1G61410_1	1,002	0,963	1,210
AT1G61415_1	0,877	2,577	5,534
AT1G61415_2	1,005	1,044	1,432
AT1G61420_1	1,040	3,586	7,911
AT1G61430_1	0,955	1,274	1,180
AT1G61440_1	1,017	1,390	2,370
AT1G61450_1	1,153	1,526	2,020
AT1G61460_1	1,187	2,335	3,873
AT1G61470_1	0,852	1,156	1,086
AT1G61475_1	1,026	1,229	1,383
AT1G61480_1	0,948	1,052	1,015
AT1G61490_1	1,271	0,848	1,606
AT1G61500_1	0,982	0,836	0,852
AT1G61510_1	1,338	1,368	1,572
AT1G61520_1	1,005	0,866	0,540
AT1G61520_2	1,130	0,617	0,236
AT1G61540_1	1,199	1,182	1,464
AT1G61542_1	1,400	1,889	2,349
AT1G61550_1	1,254	1,841	4,312
AT1G61560_1	0,626	11,843	11,924
AT1G61563_1	1,148	1,354	1,613
AT1G61566_1	1,157	1,380	1,534
AT1G61570_1	0,905	1,165	1,004
AT1G61575_1	0,886	0,660	0,846
AT1G61580_1	0,888	1,919	2,037
AT1G61590_1	1,164	1,407	1,596

AGI	NaCl-Kontrolle zur H₂O-Kontrolle (log₂)	H₂O +B.c. zur H₂O-Kontrolle (log₂)	NaCl +B.c. zur H₂O-Kontrolle (log₂)
AT1G61600_1	0,974	0,511	0,363
AT1G61610_1	0,976	12,908	13,584
AT1G61620_1	1,029	1,512	1,679
AT1G61630_1	1,080	1,088	1,215
AT1G61640_1	0,865	4,392	3,480
AT1G61640_2	1,042	3,740	2,588
AT1G61650_1	0,984	0,998	1,143
AT1G61660_1	0,906	1,436	2,073
AT1G61660_2	1,114	0,757	1,367
AT1G61665_1	1,333	2,052	2,634
AT1G61667_1	0,558	2,477	3,233
AT1G61670_1	1,054	0,847	0,895
AT1G61680_1	0,938	0,917	0,940
AT1G61685_1	1,045	1,104	1,129
AT1G61688_1	1,076	1,431	1,356
AT1G61690_1	1,068	0,922	1,373
AT1G61700_1	1,073	1,613	2,442
AT1G61710_1	0,753	0,689	0,705
AT1G61720_1	1,326	1,437	1,753
AT1G61730_1	1,011	1,291	1,211
AT1G61732_1	0,981	0,985	0,949
AT1G61740_1	0,854	1,537	1,014
AT1G61750_1	0,975	1,926	1,825
AT1G61760_1	0,889	0,670	0,691
AT1G61770_1	0,904	1,262	1,299
AT1G61780_1	0,797	0,918	1,352
AT1G61790_1	0,918	0,922	0,906
AT1G61795_1	0,719	0,398	0,453
AT1G61800_1	1,587	23,468	22,626
AT1G61810_1	0,958	161,221	279,270
AT1G61810_2	0,979	44,909	82,496
AT1G61820_1	0,991	83,872	106,399
AT1G61820_3	1,042	98,609	115,896
AT1G61830_1	0,811	0,780	0,819
AT1G61840_1	0,939	1,052	1,065
AT1G61850_1	1,016	0,835	1,366
AT1G61860_1	1,153	1,101	1,133
AT1G61870_1	1,210	1,507	0,876
AT1G61890_1	0,873	2,858	2,375
AT1G61900_1	0,818	0,824	0,453
AT1G61920_1	1,409	1,730	1,742
AT1G61930_1	1,373	1,581	2,421
AT1G61940_1	1,067	0,982	0,975
AT1G61950_1	0,880	1,065	1,131
AT1G61960_1	0,969	1,063	1,232
AT1G61970_1	0,963	0,569	0,540
AT1G61980_1	1,043	1,082	0,843
AT1G61990_1	1,052	1,069	0,849
AT1G62000_1	1,221	1,889	2,036
AT1G62010_1	1,086	0,793	0,446

AGI	NaCl-Kontrolle zur H₂O-Kontrolle (log₂)	H₂O +B.c. zur H₂O-Kontrolle (log₂)	NaCl +B.c. zur H₂O-Kontrolle (log₂)
AT1G62020_1	1,060	0,928	0,820
AT1G62030_1	1,039	0,456	0,238
AT1G62035_1	0,962	1,022	1,004
AT1G62040_1	0,968	0,662	1,179
AT1G62045_1	0,808	0,787	2,395
AT1G62050_1	1,059	0,778	1,042
AT1G62055_1	1,348	1,028	0,692
AT1G62060_1	0,976	1,096	1,069
AT1G62070_1	1,111	1,050	1,219
AT1G62075_1	1,001	1,155	1,304
AT1G62080_1	1,113	1,132	1,304
AT1G62085_1	0,965	0,521	0,297
AT1G62090_1	1,109	1,061	1,071
AT1G62095_1	0,974	0,940	1,130
AT1G62110_1	1,149	0,967	0,459
AT1G62120_1	1,126	0,706	0,360
AT1G62130_1	1,233	0,452	0,586
AT1G62150_1	1,078	1,150	0,495
AT1G62160_1	1,345	1,547	1,676
AT1G62170_1	1,149	1,286	1,614
AT1G62180_1	1,161	1,617	1,425
AT1G62181_1	0,731	1,789	1,285
AT1G62190_1	1,090	1,501	1,223
AT1G62200_1	0,963	1,635	2,079
AT1G62210_1	1,193	1,143	1,239
AT1G62214_1	1,004	0,979	0,978
AT1G62220_1	1,016	0,966	0,984
AT1G62225_1	1,008	1,148	2,897
AT1G62230_1	0,945	1,133	1,285
AT1G62240_1	1,119	0,885	0,767
AT1G62250_1	1,086	0,864	0,631
AT1G62250_2	0,802	0,302	0,284
AT1G62260_1	1,261	0,513	0,452
AT1G62262_1	0,843	0,794	0,783
AT1G62270_1	0,903	0,993	1,089
AT1G62280_1	1,032	1,037	1,118
AT1G62290_1	0,964	0,382	0,178
AT1G62300_1	0,606	5,057	6,014
AT1G62305_1	0,813	2,386	4,854
AT1G62305_2	0,755	2,237	4,281
AT1G62310_1	1,282	0,580	0,905
AT1G62320_1	0,993	1,397	1,851
AT1G62330_1	1,105	0,310	0,076
AT1G62333_1	1,005	1,034	1,088
AT1G62340_1	1,123	1,312	1,529
AT1G62350_1	1,187	1,124	0,589
AT1G62355_1	1,170	1,253	1,496
AT1G62360_1	1,147	1,177	1,220
AT1G62370_1	1,026	9,602	55,505
AT1G62380_1	0,761	1,939	3,013

AGI	NaCl-Kontrolle zur H₂O-Kontrolle (log₂)	H₂O +B.c. zur H₂O-Kontrolle (log₂)	NaCl +B.c. zur H₂O-Kontrolle (log₂)
AT1G62390_1	1,087	1,142	0,850
AT1G62400_1	0,785	0,437	0,494
AT1G62410_1	1,196	1,381	1,479
AT1G62420_1	0,893	7,765	10,929
AT1G62421_1	1,333	1,634	2,008
AT1G62422_1	0,984	2,549	3,069
AT1G62430_1	1,058	0,426	0,572
AT1G62440_1	0,533	0,800	0,964
AT1G62450_1	1,120	1,146	1,177
AT1G62460_1	1,273	1,476	1,772
AT1G62480_1	0,501	0,806	0,689
AT1G62490_1	1,244	0,986	0,825
AT1G62500_1	1,325	1,223	1,302
AT1G62510_1	1,529	1,071	0,568
AT1G62520_1	0,842	0,168	0,125
AT1G62530_1	1,292	1,128	1,280
AT1G62530_2	0,994	1,007	0,984
AT1G62540_1	1,032	0,537	0,744
AT1G62550_1	1,108	1,348	1,381
AT1G62560_1	1,289	0,422	0,222
AT1G62570_1	1,401	1,124	5,371
AT1G62580_1	1,293	2,390	6,342
AT1G62590_1	0,815	0,313	0,272
AT1G62600_1	0,864	1,042	1,313
AT1G62610_1	1,133	0,678	1,092
AT1G62620_1	0,998	0,890	15,067
AT1G62630_1	1,022	0,539	0,354
AT1G62640_1	0,928	0,660	0,263
AT1G62640_2	0,946	0,671	0,257
AT1G62650_1	0,934	1,021	1,014
AT1G62660_1	0,916	1,613	2,353
AT1G62670_1	1,185	0,451	0,295
AT1G62680_1	0,982	0,433	0,246
AT1G62690_1	1,036	1,001	1,066
AT1G62695_1	1,272	1,524	1,555
AT1G62700_1	0,810	0,529	0,459
AT1G62710_1	1,705	0,610	2,528
AT1G62720_1	1,022	0,850	0,602
AT1G62730_1	1,046	0,642	0,797
AT1G62740_1	0,943	2,132	2,064
AT1G62750_1	0,995	0,813	0,500
AT1G62760_1	0,628	68,154	128,318
AT1G62766_1	1,055	1,203	1,323
AT1G62770_1	0,549	0,129	0,138
AT1G62780_1	0,939	0,284	0,216
AT1G62790_1	0,707	2,263	3,759
AT1G62800_1	0,799	0,408	0,211
AT1G62810_1	1,385	1,543	2,209
AT1G62820_1	0,773	1,068	1,344
AT1G62830_1	1,045	0,530	0,245

AGI	NaCl-Kontrolle zur H₂O-Kontrolle (log₂)	H₂O +B.c. zur H₂O-Kontrolle (log₂)	NaCl +B.c. zur H₂O-Kontrolle (log₂)
AT1G62835_1	0,874	0,446	0,270
AT1G62840_1	0,929	1,554	3,763
AT1G62850_2	0,872	1,161	2,061
AT1G62850_3	1,000	0,790	1,208
AT1G62860_1	0,945	0,738	0,547
AT1G62863_1	1,136	1,123	1,174
AT1G62870_1	0,842	0,521	0,213
AT1G62880_1	0,901	1,037	1,429
AT1G62880_2	0,964	0,878	0,909
AT1G62886_1	1,080	0,526	0,641
AT1G62890_1	1,274	1,403	1,750
AT1G62900_1	0,906	0,806	0,911
AT1G62910_1	1,182	0,481	0,476
AT1G62920_1	0,976	0,507	0,594
AT1G62930_1	0,830	0,543	0,650
AT1G62935_1	0,996	0,861	1,027
AT1G62940_1	0,988	1,167	1,170
AT1G62950_1	1,007	0,602	0,371
AT1G62960_1	0,944	1,332	1,201
AT1G62970_1	1,168	0,866	0,785
AT1G62975_1	0,586	0,860	0,357
AT1G62978_1	1,037	0,987	1,004
AT1G62980_1	1,052	1,119	1,192
AT1G62981_1	0,631	0,259	0,197
AT1G62990_1	0,715	0,567	1,155
AT1G63000_1	1,096	0,676	0,443
AT1G63005_1	0,991	0,993	0,979
AT1G63010_1	1,012	1,797	2,401
AT1G63010_3	0,981	1,774	2,317
AT1G63020_1	1,094	0,932	1,232
AT1G63030_1	0,928	0,958	0,977
AT1G63030_2	0,972	1,005	1,038
AT1G63040_1	0,887	0,949	0,973
AT1G63050_1	0,999	0,778	0,533
AT1G63055_1	0,992	0,955	0,969
AT1G63057_1	1,154	1,533	1,866
AT1G63060_1	1,089	1,247	1,365
AT1G63070_1	1,088	0,644	0,523
AT1G63080_1	0,871	0,800	0,856
AT1G63090_1	1,115	3,214	2,426
AT1G63100_1	0,789	0,468	0,419
AT1G63105_1	0,861	0,921	1,028
AT1G63110_1	1,003	0,785	0,639
AT1G63110_2	1,009	0,778	0,628
AT1G63120_1	0,740	0,453	0,505
AT1G63130_1	0,828	0,381	0,217
AT1G63140_1	0,910	0,824	0,837
AT1G63140_2	1,093	1,058	1,032
AT1G63150_1	1,013	0,433	0,177
AT1G63160_1	0,822	1,088	0,608

AGI	NaCl-Kontrolle zur H₂O-Kontrolle (log₂)	H₂O +B.c. zur H₂O-Kontrolle (log₂)	NaCl +B.c. zur H₂O-Kontrolle (log₂)
AT1G63170_1	0,944	1,045	0,908
AT1G63180_1	0,701	0,874	1,818
AT1G63190_1	1,072	1,082	1,135
AT1G63200_1	0,843	0,996	1,103
AT1G63205_1	1,065	1,188	1,379
AT1G63206_1	1,023	0,962	0,945
AT1G63210_1	1,447	1,200	1,136
AT1G63220_1	0,597	0,716	0,663
AT1G63220_2	0,681	0,841	0,749
AT1G63230_1	0,934	0,322	0,197
AT1G63240_1	1,051	0,248	0,165
AT1G63245_1	1,023	3,252	11,420
AT1G63250_1	1,286	1,420	0,929
AT1G63260_1	0,626	0,555	0,334
AT1G63260_2	0,621	0,536	0,314
AT1G63260_3	0,635	0,552	0,334
AT1G63270_1	0,994	1,146	1,242
AT1G63280_1	1,166	1,226	1,379
AT1G63290_1	1,115	1,288	1,416
AT1G63300_1	0,705	0,150	0,119
AT1G63310_1	0,501	0,274	0,251
AT1G63320_1	1,142	0,426	0,222
AT1G63330_1	1,057	0,442	0,277
AT1G63340_1	1,288	1,461	2,045
AT1G63350_1	0,794	1,911	2,193
AT1G63360_1	1,017	0,623	0,554
AT1G63370_1	1,288	1,015	10,462
AT1G63380_1	1,205	0,754	1,108
AT1G63390_1	0,972	1,049	1,390
AT1G63400_1	1,112	0,571	0,485
AT1G63410_1	0,885	0,928	0,964
AT1G63420_1	1,474	0,347	0,398
AT1G63430_1	1,039	0,594	0,515
AT1G63440_1	1,135	2,891	11,546
AT1G63450_1	0,913	1,129	1,660
AT1G63460_1	0,760	1,049	2,345
AT1G63470_1	1,033	0,246	0,069
AT1G63480_1	1,080	0,288	0,129
AT1G63490_1	1,001	0,977	1,173
AT1G63500_1	0,891	0,855	0,814
AT1G63510_1	0,984	0,571	0,823
AT1G63520_1	0,787	0,444	0,408
AT1G63522_1	0,906	0,887	0,936
AT1G63530_1	0,785	7,905	14,427
AT1G63535_1	1,342	1,159	1,382
AT1G63540_1	1,153	2,117	3,234
AT1G63550_1	1,202	1,471	1,412
AT1G63560_1	1,159	1,254	1,220
AT1G63570_1	0,974	2,508	1,132
AT1G63580_1	0,966	0,807	0,302

AGI	NaCl-Kontrolle zur H₂O-Kontrolle (log₂)	H₂O +B.c. zur H₂O-Kontrolle (log₂)	NaCl +B.c. zur H₂O-Kontrolle (log₂)
AT1G63590_1	1,217	1,084	1,388
AT1G63600_1	1,126	1,004	1,071
AT1G63610_1	0,930	0,435	0,387
AT1G63610_2	0,955	0,454	0,404
AT1G63630_1	1,214	0,820	0,804
AT1G63630_2	1,005	0,889	0,856
AT1G63640_1	1,011	0,581	0,461
AT1G63640_2	1,015	0,558	0,441
AT1G63650_1	1,203	0,747	0,666
AT1G63660_1	1,171	0,971	0,500
AT1G63670_1	0,994	0,407	0,319
AT1G63680_1	1,106	0,468	0,198
AT1G63690_1	0,958	0,474	0,591
AT1G63700_1	1,008	0,871	0,777
AT1G63710_1	1,210	0,606	0,684
AT1G63720_1	1,014	6,678	10,420
AT1G63730_1	1,022	0,236	0,300
AT1G63740_1	0,920	0,699	0,978
AT1G63750_1	0,794	1,767	1,648
AT1G63760_1	1,233	1,428	1,556
AT1G63770_1	1,063	0,848	1,130
AT1G63770_2	1,079	0,885	1,132
AT1G63770_3	1,088	0,874	1,146
AT1G63780_1	0,993	1,977	1,379
AT1G63790_1	1,052	0,922	1,016
AT1G63800_1	0,851	0,442	0,937
AT1G63810_1	1,179	1,268	0,818
AT1G63820_1	0,976	1,079	1,097
AT1G63830_1	0,740	0,807	0,699
AT1G63830_2	0,875	1,052	0,985
AT1G63835_1	1,079	1,077	1,216
AT1G63840_1	1,106	6,213	10,801
AT1G63850_1	1,133	0,533	0,337
AT1G63855_1	0,874	0,671	1,202
AT1G63855_2	0,684	0,422	0,492
AT1G63855_3	0,854	0,758	1,315
AT1G63860_1	0,816	0,569	0,578
AT1G63860_2	0,848	0,742	0,738
AT1G63870_1	0,917	0,992	0,989
AT1G63880_1	1,042	0,594	0,534
AT1G63900_1	0,939	0,953	0,952
AT1G63910_1	0,881	0,998	1,051
AT1G63920_1	1,190	1,266	1,447
AT1G63930_1	1,029	1,457	1,492
AT1G63940_1	0,879	0,564	0,501
AT1G63940_3	0,880	0,503	0,501
AT1G63940_4	0,874	0,548	0,483
AT1G63950_1	1,110	1,333	1,741
AT1G63960_1	1,123	1,091	1,197
AT1G63970_1	1,127	0,556	0,642

AGI	NaCl-Kontrolle zur H₂O-Kontrolle (log₂)	H₂O +B.c. zur H₂O-Kontrolle (log₂)	NaCl +B.c. zur H₂O-Kontrolle (log₂)
AT1G63970_2	1,105	0,560	0,653
AT1G63980_1	1,149	0,809	0,588
AT1G63980_2	1,091	0,758	0,567
AT1G63990_1	0,951	0,935	0,929
AT1G64000_1	1,036	0,991	1,087
AT1G64010_1	1,101	1,414	1,810
AT1G64020_1	1,020	1,082	1,192
AT1G64030_1	1,251	1,293	1,389
AT1G64035_1	1,426	1,665	1,998
AT1G64040_1	0,981	1,422	1,303
AT1G64050_1	1,085	0,823	0,784
AT1G64060_1	1,215	1,822	3,715
AT1G64065_1	0,692	6,049	7,499
AT1G64070_1	0,928	0,918	0,876
AT1G64080_1	1,016	0,610	0,272
AT1G64090_1	1,002	1,007	0,962
AT1G64100_1	0,886	0,745	0,784
AT1G64100_2	0,995	1,005	0,889
AT1G64105_1	1,001	1,158	1,079
AT1G64107_1	1,156	1,287	1,629
AT1G64110_1	2,619	0,236	0,617
AT1G64130_1	1,113	1,193	1,847
AT1G64140_1	0,996	1,416	1,448
AT1G64150_1	0,950	0,189	0,054
AT1G64160_1	1,048	7,483	2,939
AT1G64170_1	0,900	0,336	0,139
AT1G64180_1	1,174	0,610	0,407
AT1G64185_1	0,958	0,722	0,559
AT1G64190_1	1,066	0,963	0,957
AT1G64195_1	0,975	2,078	3,138
AT1G64200_1	0,853	2,745	2,845
AT1G64210_1	1,064	7,845	5,420
AT1G64220_1	0,794	2,244	1,648
AT1G64230_1	1,163	1,058	0,976
AT1G64230_3	1,162	1,075	0,972
AT1G64230_4	0,952	0,752	0,865
AT1G64235_1	1,130	1,150	1,427
AT1G64240_1	0,933	0,931	1,112
AT1G64250_1	1,017	0,880	0,713
AT1G64255_1	1,023	0,989	1,144
AT1G64260_1	1,163	0,905	0,889
AT1G64270_1	1,059	0,667	0,448
AT1G64280_1	0,904	0,786	0,933
AT1G64290_1	1,126	1,326	1,629
AT1G64295_1	1,047	1,158	1,403
AT1G64300_1	0,985	1,970	2,594
AT1G64310_1	0,983	0,634	0,691
AT1G64320_1	1,099	0,542	0,562
AT1G64330_1	0,890	0,695	0,731
AT1G64340_1	1,101	1,307	1,738

AGI	NaCl-Kontrolle zur H₂O-Kontrolle (log₂)	H₂O +B.c. zur H₂O-Kontrolle (log₂)	NaCl +B.c. zur H₂O-Kontrolle (log₂)
AT1G64350_1	1,070	1,273	1,400
AT1G64355_1	0,855	0,349	0,060
AT1G64355_2	0,746	0,230	0,085
AT1G64360_1	1,125	2,478	2,970
AT1G64370_1	1,060	0,785	0,746
AT1G64380_1	0,856	0,043	0,060
AT1G64385_1	0,988	1,321	1,308
AT1G64390_1	1,126	0,210	0,026
AT1G64400_1	1,002	0,680	0,526
AT1G64405_1	1,253	0,853	1,058
AT1G64410_1	0,986	0,967	0,955
AT1G64420_1	1,004	0,979	1,194
AT1G64430_1	1,048	0,866	0,517
AT1G64430_2	0,972	0,457	0,338
AT1G64440_1	1,047	0,912	1,512
AT1G64450_1	0,937	0,739	0,629
AT1G64460_1	1,006	0,765	1,256
AT1G64470_1	1,058	0,857	1,174
AT1G64480_1	1,085	1,149	1,198
AT1G64490_1	0,931	2,072	1,620
AT1G64500_1	1,064	2,152	1,236
AT1G64510_1	0,954	0,554	0,258
AT1G64520_1	0,932	0,907	1,150
AT1G64530_1	0,897	0,736	0,451
AT1G64540_1	1,283	1,367	1,632
AT1G64550_1	1,033	1,044	0,883
AT1G64560_1	1,165	1,530	1,105
AT1G64561_1	1,006	0,816	0,794
AT1G64563_1	0,966	0,456	0,573
AT1G64570_1	1,035	0,791	1,012
AT1G64572_1	0,911	0,803	1,085
AT1G64580_1	0,940	0,417	0,294
AT1G64585_1	1,182	1,182	1,412
AT1G64590_1	1,134	1,485	1,684
AT1G64600_1	1,337	1,231	0,676
AT1G64610_1	1,060	7,436	8,810
AT1G64610_2	1,070	7,651	9,532
AT1G64618_1	1,150	1,191	1,334
AT1G64620_1	0,915	0,932	1,397
AT1G64625_1	0,855	0,491	0,509
AT1G64625_2	0,824	0,314	0,327
AT1G64628_1	1,038	0,892	0,977
AT1G64640_1	0,773	0,454	0,051
AT1G64650_1	1,011	0,594	0,455
AT1G64660_1	2,656	4,585	5,389
AT1G64670_1	0,827	0,674	0,051
AT1G64680_1	1,090	0,662	0,150
AT1G64690_1	1,155	1,021	0,599
AT1G64700_1	1,006	2,255	2,567
AT1G64710_1	0,752	1,905	0,449

AGI	NaCl-Kontrolle zur H₂O-Kontrolle (log₂)	H₂O +B.c. zur H₂O-Kontrolle (log₂)	NaCl +B.c. zur H₂O-Kontrolle (log₂)
AT1G64710_2	0,954	1,873	1,013
AT1G64720_1	1,036	0,732	0,520
AT1G64730_1	0,960	0,974	0,942
AT1G64740_1	0,947	1,270	1,391
AT1G64750_1	1,129	1,267	2,153
AT1G64750_2	1,020	0,953	0,982
AT1G64760_1	0,929	0,285	0,234
AT1G64770_1	0,945	0,677	0,190
AT1G64770_2	1,012	0,677	0,381
AT1G64780_1	1,265	3,874	0,700
AT1G64790_1	0,981	0,751	0,428
AT1G64800_1	1,125	1,415	2,001
AT1G64810_1	1,229	1,175	1,412
AT1G64820_1	1,142	1,243	1,465
AT1G64830_1	1,344	1,406	1,802
AT1G64840_1	1,032	1,262	1,420
AT1G64850_1	0,858	0,855	1,211
AT1G64860_1	1,064	0,695	0,372
AT1G64870_1	0,840	0,997	1,255
AT1G64880_1	1,045	0,697	0,588
AT1G64890_1	1,107	0,156	0,381
AT1G64900_1	1,049	1,314	1,431
AT1G64910_1	1,293	1,386	1,560
AT1G64920_1	1,159	1,095	1,154
AT1G64930_1	1,366	2,106	3,178
AT1G64940_1	1,307	1,631	1,795
AT1G64950_1	1,182	1,972	2,576
AT1G64960_1	1,043	0,705	0,570
AT1G64970_1	1,200	1,044	1,335
AT1G64980_1	0,975	1,282	0,638
AT1G64990_1	1,057	1,260	1,703
AT1G64990_2	1,065	1,025	1,493
AT1G65000_1	0,871	1,072	1,919
AT1G65010_1	0,892	0,284	0,048
AT1G65020_1	0,953	1,034	1,451
AT1G65030_1	1,165	2,097	1,695
AT1G65032_1	1,188	0,812	0,480
AT1G65040_1	1,028	1,095	1,681
AT1G65040_2	0,798	1,448	2,892
AT1G65040_3	0,826	1,501	2,767
AT1G65050_1	1,168	0,785	1,179
AT1G65060_1	1,085	0,349	0,294
AT1G65060_2	1,019	0,668	0,558
AT1G65070_1	1,170	0,530	0,230
AT1G65080_1	1,300	1,130	0,402
AT1G65090_1	1,153	1,095	1,417
AT1G65090_2	0,941	1,123	1,429
AT1G65110_1	1,382	1,033	1,189
AT1G65113_1	0,983	1,114	1,131
AT1G65120_1	1,053	0,851	0,895

AGI	NaCl-Kontrolle zur H₂O-Kontrolle (log₂)	H₂O +B.c. zur H₂O-Kontrolle (log₂)	NaCl +B.c. zur H₂O-Kontrolle (log₂)
AT1G65120_2	1,157	0,956	0,920
AT1G65130_1	1,022	0,945	1,001
AT1G65140_1	1,016	0,940	1,003
AT1G65150_1	1,128	0,741	1,386
AT1G65150_2	1,171	0,774	1,379
AT1G65160_1	1,038	1,021	1,204
AT1G65170_1	0,890	0,891	0,928
AT1G65180_1	1,028	0,600	0,668
AT1G65190_1	1,022	1,204	0,604
AT1G65200_1	1,142	1,055	1,175
AT1G65210_1	0,979	1,074	1,469
AT1G65220_1	1,045	1,081	0,909
AT1G65230_1	0,985	0,325	0,057
AT1G65240_1	0,641	4,784	5,842
AT1G65250_1	0,995	1,467	1,161
AT1G65260_1	0,967	0,740	0,607
AT1G65270_1	0,974	0,793	0,948
AT1G65270_2	0,850	0,698	0,976
AT1G65270_3	0,915	0,751	0,907
AT1G65280_1	1,073	1,070	1,128
AT1G65290_1	0,943	0,864	0,892
AT1G65295_1	0,680	0,621	0,140
AT1G65300_1	1,054	0,870	1,049
AT1G65310_1	0,339	1,895	1,457
AT1G65320_1	1,076	0,855	0,823
AT1G65330_1	1,219	0,356	0,365
AT1G65340_1	1,349	1,531	0,924
AT1G65342_1	1,050	1,024	1,083
AT1G65346_1	1,376	2,080	2,008
AT1G65347_1	1,373	2,451	2,470
AT1G65350_1	1,270	1,272	1,137
AT1G65352_1	1,147	1,063	1,206
AT1G65360_1	1,082	1,090	1,059
AT1G65365_1	1,244	1,190	1,324
AT1G65370_1	0,812	0,460	0,318
AT1G65380_1	1,041	0,603	0,461
AT1G65385_1	1,150	1,272	1,245
AT1G65390_1	0,096	1,427	0,251
AT1G65390_2	0,109	1,411	0,249
AT1G65410_1	1,002	0,710	1,016
AT1G65420_1	0,695	0,255	0,314
AT1G65430_1	1,043	1,139	1,585
AT1G65440_1	1,179	0,876	1,000
AT1G65440_2	1,269	0,816	1,028
AT1G65445_1	0,656	0,109	0,106
AT1G65450_1	0,686	0,274	0,267
AT1G65470_1	0,613	0,283	0,212
AT1G65480_1	1,196	1,203	1,351
AT1G65481_1	1,014	1,062	1,180
AT1G65483_1	1,031	1,028	1,025

AGI	NaCl-Kontrolle zur H₂O-Kontrolle (log₂)	H₂O +B.c. zur H₂O-Kontrolle (log₂)	NaCl +B.c. zur H₂O-Kontrolle (log₂)
AT1G65483_2	1,027	1,026	1,035
AT1G65484_1	0,996	0,995	1,077
AT1G65485_1	1,149	1,281	1,509
AT1G65486_1	0,593	1,302	1,499
AT1G65486_2	0,838	1,052	0,800
AT1G65490_1	0,628	1,698	1,070
AT1G65500_1	0,493	2,761	13,751
AT1G65510_1	0,908	1,736	6,203
AT1G65520_1	0,779	1,971	2,239
AT1G65540_1	1,058	1,283	1,449
AT1G65541_1	1,181	1,342	1,779
AT1G65550_1	1,014	1,085	1,085
AT1G65560_1	1,245	0,695	0,375
AT1G65570_1	0,955	1,124	1,522
AT1G65580_1	1,031	0,849	1,044
AT1G65585_1	0,981	1,206	1,427
AT1G65590_1	0,925	0,814	1,537
AT1G65610_1	0,789	26,036	99,101
AT1G65620_1	1,028	1,234	1,132
AT1G65620_2	1,031	1,050	1,037
AT1G65620_3	0,993	1,587	1,626
AT1G65620_4	0,955	1,394	1,177
AT1G65630_1	1,036	1,064	1,207
AT1G65640_1	1,035	1,098	1,145
AT1G65642_1	0,989	1,056	1,186
AT1G65650_1	0,996	0,969	0,969
AT1G65660_1	1,118	1,314	1,704
AT1G65670_1	1,102	1,189	1,272
AT1G65680_1	1,053	1,263	1,509
AT1G65681_1	1,055	1,168	1,228
AT1G65690_1	0,566	24,167	48,129
AT1G65700_1	1,004	0,757	0,799
AT1G65710_1	0,789	0,560	0,532
AT1G65720_1	1,002	1,254	1,500
AT1G65730_1	1,016	5,925	31,653
AT1G65740_1	0,914	1,257	1,283
AT1G65750_1	1,191	1,306	1,497
AT1G65760_1	1,194	0,990	1,126
AT1G65770_1	1,222	1,187	1,262
AT1G65780_1	1,039	1,140	1,144
AT1G65790_1	0,767	0,403	0,571
AT1G65800_1	0,953	0,538	0,769
AT1G65810_1	0,988	1,018	1,041
AT1G65820_1	0,844	2,030	3,055
AT1G65820_2	0,828	1,924	2,976
AT1G65820_3	0,925	0,995	1,193
AT1G65840_1	0,811	1,821	2,067
AT1G65845_1	0,196	4,023	4,137
AT1G65850_1	1,089	1,416	2,068
AT1G65860_1	1,122	0,717	0,275

AGI	NaCl-Kontrolle zur H₂O-Kontrolle (log₂)	H₂O +B.c. zur H₂O-Kontrolle (log₂)	NaCl +B.c. zur H₂O-Kontrolle (log₂)
AT1G65870_1	0,690	1,377	0,263
AT1G65875_1	1,159	1,485	1,801
AT1G65880_1	1,142	5,737	2,441
AT1G65890_1	1,220	8,696	3,238
AT1G65900_1	1,129	0,046	0,018
AT1G65907_1	0,942	0,953	0,994
AT1G65910_1	0,718	0,413	0,387
AT1G65920_1	1,148	0,208	0,155
AT1G65930_1	0,960	1,318	1,177
AT1G65940_1	0,949	1,022	0,996
AT1G65950_1	0,853	0,495	1,063
AT1G65960_1	0,976	0,367	0,257
AT1G65960_2	0,938	0,754	0,479
AT1G65970_1	1,194	20,819	27,793
AT1G65980_1	1,158	1,536	1,717
AT1G65980_2	1,083	1,491	1,495
AT1G65985_1	0,532	0,303	0,062
AT1G65990_1	0,927	1,004	0,879
AT1G66000_1	1,001	0,597	1,160
AT1G66010_1	1,021	1,139	1,138
AT1G66020_1	0,966	0,971	0,938
AT1G66030_1	1,154	1,318	1,398
AT1G66040_1	0,751	0,276	0,686
AT1G66045_1	1,000	1,080	1,184
AT1G66050_1	0,764	0,370	0,595
AT1G66060_1	0,991	0,627	1,595
AT1G66070_1	0,927	1,698	1,812
AT1G66080_1	0,977	4,856	4,246
AT1G66090_1	0,581	9,613	12,103
AT1G66100_1	0,504	1,541	0,994
AT1G66110_1	1,150	1,299	1,404
AT1G66120_1	1,055	1,483	1,499
AT1G66130_1	1,035	0,851	0,578
AT1G66140_1	1,144	0,451	0,102
AT1G66145_1	0,922	1,128	1,322
AT1G66150_1	0,925	0,399	0,383
AT1G66160_1	0,463	7,905	13,387
AT1G66160_2	0,367	8,163	13,708
AT1G66170_1	0,975	1,468	1,670
AT1G66173_1	1,024	1,065	1,098
AT1G66180_1	0,979	0,795	0,148
AT1G66190_1	0,696	0,505	0,383
AT1G66200_1	0,993	1,031	1,184
AT1G66200_2	1,021	1,096	1,350
AT1G66210_1	1,351	1,364	1,420
AT1G66220_1	0,861	1,073	0,971
AT1G66230_1	0,613	0,516	0,506
AT1G66235_1	0,999	1,090	1,129
AT1G66240_1	1,189	1,185	1,662
AT1G66240_2	0,836	0,814	0,986

AGI	NaCl-Kontrolle zur H₂O-Kontrolle (log₂)	H₂O +B.c. zur H₂O-Kontrolle (log₂)	NaCl +B.c. zur H₂O-Kontrolle (log₂)
AT1G66245_1	0,874	1,090	1,094
AT1G66250_1	0,945	1,093	1,023
AT1G66260_1	0,956	1,340	1,317
AT1G66270_1	1,095	4,188	13,714
AT1G66280_1	1,238	14,557	24,637
AT1G66290_1	1,035	1,089	1,112
AT1G66300_1	0,948	0,869	0,828
AT1G66310_1	1,012	0,961	0,930
AT1G66320_1	1,005	1,073	1,095
AT1G66330_1	0,956	1,016	1,062
AT1G66340_1	0,973	1,353	1,716
AT1G66345_1	1,024	0,984	1,095
AT1G66350_1	0,347	1,208	2,457
AT1G66360_1	0,971	1,026	1,032
AT1G66370_1	1,265	14,715	9,710
AT1G66380_1	1,596	2,061	2,431
AT1G66390_1	1,586	20,367	86,164
AT1G66400_1	0,858	1,175	4,260
AT1G66410_1	1,038	0,842	0,997
AT1G66420_1	1,086	1,279	1,245
AT1G66430_1	0,958	0,085	0,017
AT1G66440_1	0,862	0,982	1,015
AT1G66450_1	1,084	0,942	1,083
AT1G66460_1	0,990	0,421	0,566
AT1G66470_1	0,966	1,058	1,038
AT1G66480_1	0,956	5,832	6,401
AT1G66490_1	0,935	0,927	0,889
AT1G66500_1	1,115	2,631	8,995
AT1G66510_1	0,817	1,360	1,201
AT1G66510_2	0,978	0,964	0,775
AT1G66510_3	0,938	1,028	1,002
AT1G66520_1	0,742	0,636	0,332
AT1G66530_1	1,015	0,938	0,704
AT1G66534_1	1,120	1,240	1,270
AT1G66540_1	0,974	1,112	0,915
AT1G66540_2	0,843	0,825	0,814
AT1G66550_1	1,122	25,874	54,710
AT1G66550_2	0,985	29,023	72,508
AT1G66553_1	1,103	1,134	1,423
AT1G66560_1	1,172	13,006	40,239
AT1G66570_1	1,309	27,464	83,671
AT1G66570_2	1,286	10,803	23,515
AT1G66570_3	1,320	25,214	52,899
AT1G66580_1	0,945	1,947	2,385
AT1G66590_1	0,829	1,999	3,256
AT1G66590_2	0,872	1,094	2,291
AT1G66600_1	0,945	106,173	134,252
AT1G66610_1	1,106	1,305	1,463
AT1G66620_1	0,690	0,701	0,657
AT1G66630_1	1,078	1,240	1,236

AGI	NaCl-Kontrolle zur H₂O-Kontrolle (log₂)	H₂O +B.c. zur H₂O-Kontrolle (log₂)	NaCl +B.c. zur H₂O-Kontrolle (log₂)
AT1G66640_1	1,048	1,185	1,187
AT1G66650_1	1,135	1,661	1,075
AT1G66660_1	0,938	1,456	1,658
AT1G66660_2	1,110	1,583	1,792
AT1G66670_1	0,885	0,882	1,176
AT1G66680_1	0,954	1,558	1,661
AT1G66690_1	0,881	48,483	48,774
AT1G66700_1	0,731	97,981	126,427
AT1G66700_3	0,925	28,843	65,227
AT1G66710_1	1,020	2,474	2,517
AT1G66720_1	1,076	1,205	1,209
AT1G66725_1	0,411	2,254	3,152
AT1G66730_1	1,122	0,456	0,431
AT1G66740_1	0,873	1,219	1,271
AT1G66750_1	1,024	0,896	0,651
AT1G66760_1	0,674	2,647	3,032
AT1G66760_2	0,788	1,609	2,324
AT1G66770_1	1,043	1,078	1,106
AT1G66780_1	0,535	1,363	2,149
AT1G66783_1	1,315	1,113	1,430
AT1G66795_1	1,283	1,082	1,052
AT1G66800_1	1,072	1,087	1,277
AT1G66810_1	0,880	0,465	0,363
AT1G66820_1	0,958	0,679	0,265
AT1G66830_1	1,136	0,536	2,337
AT1G66840_1	1,055	0,953	0,433
AT1G66850_1	1,130	1,179	1,277
AT1G66852_1	1,051	1,136	1,348
AT1G66855_1	0,988	1,050	1,080
AT1G66860_1	1,053	3,000	8,967
AT1G66870_1	1,045	1,454	3,500
AT1G66880_1	0,712	1,637	1,803
AT1G66890_1	0,982	0,218	0,295
AT1G66900_1	0,946	0,946	1,007
AT1G66910_1	0,899	0,811	0,670
AT1G66920_1	0,727	2,857	3,289
AT1G66930_1	0,812	1,076	0,757
AT1G66940_1	0,699	0,255	0,044
AT1G66940_2	0,761	0,310	0,050
AT1G66940_3	0,669	0,267	0,045
AT1G66950_1	1,212	3,640	2,965
AT1G66960_1	1,249	1,195	1,055
AT1G66970_1	0,915	0,658	0,580
AT1G66980_1	0,946	0,469	0,412
AT1G66990_1	0,951	0,532	0,465
AT1G67000_1	0,839	11,363	7,207
AT1G67010_1	1,051	1,773	2,123
AT1G67020_1	1,215	0,840	0,858
AT1G67025_1	1,055	1,093	1,379
AT1G67030_1	1,042	1,111	1,039

AGI	NaCl-Kontrolle zur H₂O-Kontrolle (log₂)	H₂O +B.c. zur H₂O-Kontrolle (log₂)	NaCl +B.c. zur H₂O-Kontrolle (log₂)
AT1G67035_1	1,098	1,023	1,116
AT1G67040_1	0,788	0,253	0,131
AT1G67050_1	0,896	0,295	0,248
AT1G67060_1	0,601	2,252	2,399
AT1G67070_1	0,763	4,496	7,799
AT1G67080_1	0,940	0,470	0,440
AT1G67090_1	0,998	0,812	0,537
AT1G67090_2	1,040	0,813	0,514
AT1G67100_1	1,290	2,797	5,620
AT1G67105_1	1,319	0,865	0,951
AT1G67110_1	1,171	1,216	1,318
AT1G67120_1	1,118	0,873	0,822
AT1G67130_1	1,178	1,240	1,458
AT1G67140_1	1,068	0,628	0,693
AT1G67148_1	0,917	1,100	2,230
AT1G67150_1	0,994	0,975	1,064
AT1G67150_2	0,829	0,847	0,874
AT1G67150_3	0,982	0,977	1,036
AT1G67160_1	0,928	0,957	1,125
AT1G67170_1	0,941	1,052	1,130
AT1G67180_1	1,011	0,655	0,729
AT1G67190_1	0,859	0,910	1,024
AT1G67195_1	0,835	1,258	4,652
AT1G67195_2	0,910	1,677	6,030
AT1G67200_1	0,921	1,030	1,122
AT1G67210_1	1,076	0,976	1,074
AT1G67210_2	1,146	1,013	1,227
AT1G67220_1	0,902	0,917	1,129
AT1G67230_1	1,075	1,654	1,407
AT1G67238_1	1,144	1,569	1,759
AT1G67240_1	1,157	1,179	1,332
AT1G67250_1	0,977	0,791	1,026
AT1G67260_1	0,836	0,702	0,841
AT1G67260_2	1,248	1,254	1,493
AT1G67265_1	1,040	1,068	0,867
AT1G67270_1	0,962	0,944	0,903
AT1G67280_1	1,103	0,667	0,664
AT1G67280_2	1,033	0,736	0,652
AT1G67290_1	1,245	1,372	2,957
AT1G67300_1	1,372	0,606	1,007
AT1G67310_1	0,926	0,805	0,807
AT1G67320_1	0,640	0,375	0,302
AT1G67325_1	1,076	0,796	0,834
AT1G67328_1	0,835	1,110	0,847
AT1G67330_1	0,767	1,111	0,864
AT1G67340_1	1,131	0,450	0,563
AT1G67350_1	0,921	0,909	1,255
AT1G67350_2	0,832	0,824	1,286
AT1G67360_1	1,210	1,961	2,955
AT1G67360_2	1,273	1,468	1,975

AGI	NaCl-Kontrolle zur H₂O-Kontrolle (log₂)	H₂O +B.c. zur H₂O-Kontrolle (log₂)	NaCl +B.c. zur H₂O-Kontrolle (log₂)
AT1G67365_1	1,239	1,280	2,752
AT1G67370_1	1,913	0,694	1,081
AT1G67390_1	1,304	1,416	1,783
AT1G67400_1	0,901	0,520	0,494
AT1G67410_1	0,911	1,140	1,667
AT1G67420_1	1,119	1,146	1,565
AT1G67430_1	0,973	0,951	0,739
AT1G67440_1	0,944	0,522	0,427
AT1G67450_1	1,117	0,998	1,136
AT1G67455_1	0,958	0,882	0,973
AT1G67460_1	1,077	1,006	1,045
AT1G67470_1	0,762	2,363	2,124
AT1G67480_1	0,894	0,862	0,651
AT1G67481_1	1,183	1,205	1,299
AT1G67490_1	1,041	0,850	0,934
AT1G67500_1	1,206	0,618	0,997
AT1G67510_1	0,927	0,259	0,165
AT1G67520_1	0,979	6,526	9,969
AT1G67530_1	0,999	1,067	1,006
AT1G67540_1	1,090	1,027	1,197
AT1G67540_2	1,091	1,129	1,255
AT1G67550_1	0,948	0,513	0,534
AT1G67560_1	0,887	0,802	0,639
AT1G67570_1	1,124	1,359	1,887
AT1G67580_1	0,937	1,041	1,269
AT1G67580_2	1,016	1,009	1,185
AT1G67590_1	1,074	0,694	0,185
AT1G67600_1	1,145	1,505	3,475
AT1G67610_1	1,221	1,415	1,748
AT1G67620_1	1,090	0,925	0,826
AT1G67623_1	1,088	1,056	1,016
AT1G67626_1	1,241	1,269	1,405
AT1G67630_1	0,687	0,338	0,231
AT1G67635_1	1,125	1,078	1,274
AT1G67640_1	0,925	1,009	1,374
AT1G67645_1	1,145	2,008	2,145
AT1G67650_1	1,224	2,629	3,727
AT1G67660_1	1,032	0,230	0,300
AT1G67660_2	1,027	0,258	0,323
AT1G67670_1	1,042	1,102	1,241
AT1G67680_1	1,066	1,291	1,435
AT1G67690_1	0,935	0,314	0,156
AT1G67700_1	0,972	0,550	0,202
AT1G67700_2	0,966	0,536	0,202
AT1G67710_1	1,078	0,541	0,561
AT1G67720_1	1,067	0,698	0,811
AT1G67730_1	0,900	0,933	1,066
AT1G67740_1	0,860	0,556	0,315
AT1G67750_1	1,423	0,061	0,014
AT1G67760_1	1,312	1,176	0,891

AGI	NaCl-Kontrolle zur H₂O-Kontrolle (log₂)	H₂O +B.c. zur H₂O-Kontrolle (log₂)	NaCl +B.c. zur H₂O-Kontrolle (log₂)
AT1G67770_1	1,195	1,180	1,341
AT1G67775_1	1,244	1,111	1,188
AT1G67780_1	0,811	0,579	0,487
AT1G67785_1	0,970	0,675	1,188
AT1G67790_1	0,860	0,525	0,673
AT1G67792_1	0,934	0,899	1,164
AT1G67800_1	0,831	1,216	1,381
AT1G67810_1	0,434	17,537	25,503
AT1G67820_1	0,886	0,608	1,059
AT1G67830_1	0,964	0,280	0,091
AT1G67840_1	1,198	0,440	0,424
AT1G67840_2	1,090	0,399	0,393
AT1G67850_1	0,785	2,345	3,626
AT1G67855_1	1,020	1,068	1,145
AT1G67856_1	1,138	2,449	6,509
AT1G67860_1	1,052	0,716	1,248
AT1G67865_1	1,078	0,889	1,016
AT1G67870_1	1,212	0,649	0,405
AT1G67875_1	1,046	1,152	1,359
AT1G67880_1	0,852	1,270	1,699
AT1G67890_1	0,869	0,869	0,978
AT1G67890_2	0,782	0,667	1,211
AT1G67900_1	0,965	0,572	0,251
AT1G67900_2	0,948	0,562	0,237
AT1G67910_1	0,781	0,659	0,387
AT1G67920_1	1,066	9,875	10,207
AT1G67930_1	0,980	0,777	0,614
AT1G67940_1	0,884	1,314	2,312
AT1G67950_1	0,849	0,304	0,164
AT1G67950_2	0,842	0,367	0,241
AT1G67950_3	0,842	0,308	0,185
AT1G67950_4	1,006	0,857	1,034
AT1G67960_1	1,017	1,096	1,800
AT1G67970_1	0,990	0,579	0,910
AT1G67980_1	0,915	32,184	43,593
AT1G67980_2	0,955	31,349	47,925
AT1G67990_1	0,997	1,198	1,224
AT1G68000_1	0,776	1,128	1,217
AT1G68010_1	1,084	0,876	0,464
AT1G68020_1	0,860	0,548	1,023
AT1G68020_2	0,977	0,699	1,099
AT1G68030_1	0,999	0,587	0,778
AT1G68040_1	1,010	1,157	1,374
AT1G68050_1	1,374	0,029	0,269
AT1G68060_1	1,048	0,305	0,183
AT1G68070_1	0,944	0,937	0,951
AT1G68080_1	0,821	0,535	0,321
AT1G68080_2	0,863	0,544	0,338
AT1G68080_4	0,888	0,651	0,470
AT1G68090_1	1,027	1,164	1,098

AGI	NaCl-Kontrolle zur H₂O-Kontrolle (log₂)	H₂O +B.c. zur H₂O-Kontrolle (log₂)	NaCl +B.c. zur H₂O-Kontrolle (log₂)
AT1G68100_1	0,995	0,640	0,707
AT1G68110_1	0,836	0,739	1,015
AT1G68120_1	1,042	0,842	1,204
AT1G68130_1	0,958	0,453	0,194
AT1G68140_1	0,981	1,177	1,883
AT1G68140_2	0,981	1,154	1,836
AT1G68150_1	1,109	1,333	1,456
AT1G68160_1	0,950	0,979	1,552
AT1G68170_1	0,999	1,003	1,181
AT1G68180_1	1,002	0,988	1,077
AT1G68185_1	0,992	0,858	1,025
AT1G68190_1	0,926	0,088	0,034
AT1G68200_1	0,917	0,977	1,540
AT1G68200_2	0,958	1,020	1,545
AT1G68210_1	0,928	0,965	0,957
AT1G68220_1	1,408	0,308	0,175
AT1G68230_1	0,437	0,211	0,371
AT1G68230_2	0,466	0,228	0,459
AT1G68238_1	0,631	0,451	0,259
AT1G68240_1	1,122	1,080	1,326
AT1G68240_2	0,976	0,924	0,925
AT1G68250_1	1,106	3,751	3,163
AT1G68250_2	0,931	4,125	3,359
AT1G68260_1	0,831	0,445	1,017
AT1G68270_1	1,375	3,150	1,895
AT1G68280_1	1,281	0,887	0,901
AT1G68285_1	1,037	1,058	1,047
AT1G68290_1	0,767	2,212	7,985
AT1G68300_1	0,875	1,859	2,583
AT1G68310_1	0,908	1,683	1,990
AT1G68310_2	0,910	1,703	1,997
AT1G68320_1	0,870	1,442	1,850
AT1G68330_1	0,478	0,713	0,750
AT1G68340_1	0,889	8,207	10,620
AT1G68350_1	0,888	0,825	0,886
AT1G68360_1	0,679	0,605	0,830
AT1G68370_1	0,853	1,296	1,503
AT1G68380_1	1,180	2,081	8,129
AT1G68390_1	0,584	9,813	10,083
AT1G68400_1	0,824	0,562	0,113
AT1G68410_1	0,856	1,746	2,311
AT1G68420_1	1,330	1,305	0,964
AT1G68430_1	0,872	0,803	0,986
AT1G68440_1	0,398	4,108	6,751
AT1G68450_1	1,115	79,282	132,122
AT1G68460_1	1,156	1,625	1,602
AT1G68470_1	1,471	0,315	0,199
AT1G68480_1	1,084	1,159	1,139
AT1G68490_1	1,183	0,567	1,086
AT1G68500_1	0,952	0,735	0,591

AGI	NaCl-Kontrolle zur H ₂ O-Kontrolle (log ₂)	H ₂ O +B.c. zur H ₂ O-Kontrolle (log ₂)	NaCl +B.c. zur H ₂ O-Kontrolle (log ₂)
AT1G68510_1	1,033	1,174	1,390
AT1G68520_1	1,116	0,511	0,166
AT1G68526_1	1,208	1,079	1,298
AT1G68530_1	0,894	0,963	0,473
AT1G68530_2	0,817	0,558	0,226
AT1G68540_1	1,110	0,402	0,172
AT1G68550_1	1,112	1,558	1,324
AT1G68560_1	0,962	0,552	0,250
AT1G68568_1	1,914	0,457	1,632
AT1G68570_1	1,829	0,426	1,665
AT1G68580_1	0,862	0,694	0,703
AT1G68580_2	0,969	1,164	1,015
AT1G68585_1	0,934	0,304	0,167
AT1G68590_1	0,892	0,333	0,096
AT1G68590_2	0,914	0,345	0,097
AT1G68600_1	1,433	0,662	0,749
AT1G68610_1	1,167	1,865	3,450
AT1G68620_1	0,652	123,540	167,214
AT1G68630_1	1,078	33,714	53,812
AT1G68640_1	0,625	0,440	0,313
AT1G68650_1	0,664	0,929	1,098
AT1G68660_1	1,071	0,734	0,780
AT1G68660_2	1,084	0,631	0,761
AT1G68670_1	0,951	1,232	1,623
AT1G68680_1	0,909	1,003	1,640
AT1G68690_1	0,748	3,478	5,721
AT1G68700_1	1,295	0,954	1,558
AT1G68710_1	1,208	0,479	1,523
AT1G68720_1	0,997	0,786	0,835
AT1G68725_1	0,577	0,453	0,376
AT1G68730_1	0,912	0,783	0,840
AT1G68735_1	1,010	1,178	1,281
AT1G68740_1	0,807	1,464	0,516
AT1G68750_1	1,106	1,084	1,081
AT1G68760_1	0,946	0,779	0,547
AT1G68765_1	1,123	6,723	19,977
AT1G68770_1	0,919	0,869	0,958
AT1G68780_1	0,943	0,383	0,025
AT1G68790_1	1,164	0,531	0,616
AT1G68795_1	0,878	0,689	5,724
AT1G68800_1	0,723	0,585	0,530
AT1G68810_1	0,820	0,225	0,068
AT1G68820_1	1,050	1,208	2,999
AT1G68825_1	0,975	0,916	1,080
AT1G68825_2	0,840	0,794	0,832
AT1G68830_1	1,061	0,768	0,893
AT1G68840_1	0,731	1,016	0,581
AT1G68845_1	1,199	1,458	1,931
AT1G68850_1	0,894	0,742	0,839
AT1G68860_1	1,126	1,487	1,932

AGI	NaCl-Kontrolle zur H₂O-Kontrolle (log₂)	H₂O +B.c. zur H₂O-Kontrolle (log₂)	NaCl +B.c. zur H₂O-Kontrolle (log₂)
AT1G68862_1	0,694	0,456	0,431
AT1G68870_1	0,639	0,752	0,316
AT1G68872_1	0,908	0,623	0,727
AT1G68875_1	0,984	1,036	1,230
AT1G68880_1	1,356	1,373	1,634
AT1G68890_1	0,968	0,211	0,072
AT1G68905_1	1,081	1,054	1,285
AT1G68907_1	0,951	1,014	1,342
AT1G68910_1	0,880	1,255	1,623
AT1G68910_2	0,823	1,230	1,687
AT1G68920_1	1,080	0,707	0,753
AT1G68920_3	1,091	0,726	0,731
AT1G68930_1	1,291	0,619	0,558
AT1G68935_1	0,844	0,263	0,205
AT1G68940_1	1,050	0,364	0,318
AT1G68940_2	1,004	0,387	0,374
AT1G68940_3	1,027	0,493	0,559
AT1G68945_1	0,774	0,381	0,380
AT1G68950_1	1,166	1,288	1,961
AT1G68960_1	1,186	1,168	1,852
AT1G68980_1	0,867	0,814	0,991
AT1G68990_1	1,253	1,981	1,037
AT1G69010_1	0,884	1,159	1,228
AT1G69020_1	1,110	0,463	0,500
AT1G69030_1	0,801	0,528	0,563
AT1G69040_1	1,053	0,117	0,069
AT1G69050_1	1,019	1,342	2,075
AT1G69060_1	0,978	0,884	1,079
AT1G69070_1	1,185	1,326	0,930
AT1G69080_1	0,807	0,515	0,316
AT1G69080_2	0,779	0,465	0,294
AT1G69090_1	0,966	0,960	0,968
AT1G69100_1	1,063	1,018	1,081
AT1G69110_1	1,003	0,941	0,901
AT1G69120_1	1,043	1,157	1,405
AT1G69130_1	1,170	1,436	1,796
AT1G69140_1	1,317	0,048	0,053
AT1G69150_1	1,025	1,357	2,446
AT1G69160_1	0,645	0,591	0,110
AT1G69170_1	0,925	0,491	0,683
AT1G69180_1	1,096	1,172	1,161
AT1G69190_1	0,972	0,906	0,915
AT1G69200_1	1,162	0,456	0,125
AT1G69210_1	1,382	0,599	0,340
AT1G69220_1	1,069	1,013	1,057
AT1G69230_1	0,897	0,750	1,179
AT1G69240_1	1,088	1,173	1,373
AT1G69250_1	0,934	1,639	1,557
AT1G69250_2	0,951	0,684	0,719
AT1G69252_1	1,121	1,672	0,913

AGI	NaCl-Kontrolle zur H ₂ O-Kontrolle (log ₂)	H ₂ O +B.c. zur H ₂ O-Kontrolle (log ₂)	NaCl +B.c. zur H ₂ O-Kontrolle (log ₂)
AT1G69260_1	1,746	1,715	5,504
AT1G69270_1	0,969	1,502	2,422
AT1G69280_1	0,928	1,169	1,174
AT1G69290_1	1,073	0,888	0,669
AT1G69295_1	1,112	1,107	1,465
AT1G69310_1	1,083	1,485	4,005
AT1G69310_2	0,940	1,280	4,541
AT1G69320_1	0,710	0,399	0,455
AT1G69325_1	0,911	0,908	1,058
AT1G69330_1	0,979	0,792	0,905
AT1G69340_1	0,976	1,119	1,156
AT1G69350_1	1,131	0,633	0,405
AT1G69360_1	1,147	1,065	1,126
AT1G69370_1	0,756	1,210	1,009
AT1G69380_1	0,843	0,512	0,430
AT1G69390_1	1,000	0,562	0,665
AT1G69400_1	1,115	0,429	0,473
AT1G69400_2	0,930	0,807	0,892
AT1G69410_1	1,154	1,335	1,939
AT1G69420_1	0,939	0,392	0,096
AT1G69420_2	1,036	0,439	0,123
AT1G69430_1	1,049	1,116	1,478
AT1G69440_1	0,689	0,797	1,210
AT1G69450_1	0,879	1,812	3,293
AT1G69460_1	0,894	0,793	0,968
AT1G69470_1	1,228	1,129	1,525
AT1G69480_1	1,458	17,418	70,486
AT1G69485_1	1,297	1,321	1,599
AT1G69490_1	1,293	3,236	6,801
AT1G69500_1	1,039	1,049	1,331
AT1G69510_1	1,058	0,801	0,839
AT1G69510_2	0,970	0,913	0,962
AT1G69510_3	1,083	0,784	0,850
AT1G69520_1	0,529	1,921	2,157
AT1G69523_1	0,974	0,256	0,056
AT1G69526_1	0,995	0,905	0,982
AT1G69526_2	1,089	0,737	0,683
AT1G69526_3	1,007	0,633	0,508
AT1G69530_1	1,096	0,169	0,095
AT1G69530_3	1,044	0,156	0,099
AT1G69530_4	1,091	0,159	0,098
AT1G69540_1	0,992	0,834	0,720
AT1G69543_1	0,621	0,610	1,287
AT1G69545_1	0,722	0,641	1,215
AT1G69550_1	0,932	0,733	0,981
AT1G69560_1	1,059	1,511	1,823
AT1G69570_1	0,855	1,211	2,111
AT1G69572_1	0,701	1,434	3,006
AT1G69580_1	0,898	0,266	0,197
AT1G69587_1	0,924	0,784	0,664

AGI	NaCl-Kontrolle zur H₂O-Kontrolle (log₂)	H₂O +B.c. zur H₂O-Kontrolle (log₂)	NaCl +B.c. zur H₂O-Kontrolle (log₂)
AT1G69588_1	0,978	0,837	0,931
AT1G69590_1	0,990	1,006	1,013
AT1G69600_1	1,165	1,206	1,934
AT1G69610_1	0,772	2,869	7,584
AT1G69620_1	0,982	0,819	0,660
AT1G69630_1	0,907	1,013	0,867
AT1G69640_1	0,975	1,303	1,433
AT1G69650_1	1,012	0,994	1,057
AT1G69660_1	0,939	0,989	1,125
AT1G69670_1	1,012	0,844	1,204
AT1G69680_1	0,965	1,634	3,307
AT1G69690_1	1,033	0,680	0,130
AT1G69700_1	0,867	0,096	0,035
AT1G69710_1	0,950	0,839	0,821
AT1G69720_1	1,077	0,586	1,178
AT1G69720_2	1,062	0,595	1,191
AT1G69730_1	0,849	1,049	1,437
AT1G69740_1	0,956	0,695	0,589
AT1G69740_2	0,975	0,696	0,581
AT1G69750_1	0,820	2,043	3,263
AT1G69760_1	0,996	1,382	1,659
AT1G69770_1	0,727	0,435	0,332
AT1G69780_1	0,586	0,441	0,508
AT1G69790_1	1,531	5,620	13,424
AT1G69797_1	0,928	0,951	0,975
AT1G69800_1	1,072	1,183	1,082
AT1G69810_1	0,784	5,153	7,460
AT1G69818_1	0,973	1,043	1,122
AT1G69820_1	0,925	1,429	1,344
AT1G69825_1	0,971	1,049	1,080
AT1G69828_1	0,918	0,978	1,079
AT1G69830_1	1,066	0,293	0,192
AT1G69840_1	0,703	1,567	1,640
AT1G69840_2	0,708	1,571	1,613
AT1G69840_3	0,706	1,556	1,606
AT1G69840_4	0,726	1,538	1,641
AT1G69840_5	0,681	1,590	1,692
AT1G69850_1	0,951	0,697	0,615
AT1G69860_1	0,987	1,115	1,197
AT1G69870_1	1,178	1,794	2,863
AT1G69880_1	1,109	5,743	52,064
AT1G69890_1	1,126	2,545	2,264
AT1G69900_1	0,605	1,884	2,136
AT1G69910_1	0,932	0,506	0,241
AT1G69920_1	1,330	158,177	163,623
AT1G69930_1	0,938	185,114	273,480
AT1G69935_1	1,064	0,919	0,563
AT1G69940_1	1,000	1,112	1,205
AT1G69950_1	1,112	0,654	0,359
AT1G69960_1	0,849	1,984	1,868

AGI	NaCl-Kontrolle zur H ₂ O-Kontrolle (log ₂)	H ₂ O +B.c. zur H ₂ O-Kontrolle (log ₂)	NaCl +B.c. zur H ₂ O-Kontrolle (log ₂)
AT1G69970_1	0,682	0,588	0,206
AT1G69970_2	0,719	0,563	0,190
AT1G69980_1	0,932	1,185	1,829
AT1G69981_1	1,103	1,136	1,224
AT1G69990_1	1,061	1,029	0,904
AT1G70000_1	1,069	3,356	2,145
AT1G70010_1	0,951	1,040	1,045
AT1G70020_1	0,949	0,668	0,576
AT1G70030_1	0,973	1,002	1,096
AT1G70040_1	1,050	1,119	1,154
AT1G70050_1	0,960	0,876	0,992
AT1G70060_1	0,967	0,706	0,930
AT1G70070_1	1,011	0,312	0,356
AT1G70080_1	0,899	1,093	1,646
AT1G70090_1	0,690	1,079	1,038
AT1G70090_2	0,843	0,814	0,753
AT1G70100_1	0,954	0,222	0,105
AT1G70100_2	0,873	0,295	0,195
AT1G70100_3	1,084	0,177	0,059
AT1G70100_4	1,127	0,183	0,061
AT1G70110_1	1,059	1,164	1,298
AT1G70120_1	0,991	0,991	1,087
AT1G70130_1	0,863	19,576	13,873
AT1G70140_1	1,014	7,493	11,214
AT1G70150_1	0,982	0,526	0,583
AT1G70160_1	1,099	0,927	1,189
AT1G70170_1	1,043	38,721	63,722
AT1G70180_1	0,764	0,524	0,470
AT1G70180_2	1,174	1,271	1,330
AT1G70185_1	1,104	0,741	1,011
AT1G70190_1	0,955	0,893	0,811
AT1G70200_1	0,948	0,468	0,363
AT1G70210_1	1,320	0,249	0,030
AT1G70220_1	0,870	0,556	0,603
AT1G70230_1	1,004	2,243	1,630
AT1G70250_1	1,027	1,378	1,152
AT1G70260_1	1,696	0,233	0,170
AT1G70270_1	0,942	0,892	1,096
AT1G70280_1	1,004	0,194	0,025
AT1G70290_1	0,952	0,859	0,873
AT1G70300_1	1,242	1,997	2,889
AT1G70310_1	1,042	0,704	0,326
AT1G70320_1	1,113	0,940	1,060
AT1G70330_1	0,917	0,819	0,930
AT1G70340_1	0,873	0,802	0,784
AT1G70350_1	0,853	0,743	0,608
AT1G70360_1	1,040	0,876	0,917
AT1G70370_1	0,852	0,358	0,197
AT1G70380_1	1,015	1,002	1,156
AT1G70390_1	0,934	0,931	1,027

AGI	NaCl-Kontrolle zur H₂O-Kontrolle (log₂)	H₂O +B.c. zur H₂O-Kontrolle (log₂)	NaCl +B.c. zur H₂O-Kontrolle (log₂)
AT1G70400_1	0,940	1,165	1,378
AT1G70400_2	0,966	0,957	1,075
AT1G70400_3	0,905	0,896	0,979
AT1G70410_1	0,984	0,804	0,810
AT1G70410_2	0,972	0,524	0,037
AT1G70410_3	0,935	0,466	0,408
AT1G70420_1	1,164	0,363	0,508
AT1G70430_1	0,864	0,199	0,206
AT1G70440_1	0,976	1,412	22,793
AT1G70450_1	1,154	1,651	2,248
AT1G70460_1	0,966	2,229	3,563
AT1G70470_1	0,849	0,242	0,224
AT1G70480_1	0,743	0,780	0,902
AT1G70480_2	0,836	0,939	2,277
AT1G70490_1	1,009	0,872	0,913
AT1G70490_2	1,025	0,879	0,927
AT1G70490_3	0,904	0,818	1,269
AT1G70500_1	0,859	1,760	4,151
AT1G70505_1	0,945	0,692	0,973
AT1G70510_1	0,978	1,038	1,113
AT1G70518_1	1,072	1,520	2,316
AT1G70520_1	0,907	0,647	0,934
AT1G70530_1	0,988	1,010	1,433
AT1G70540_1	1,422	1,562	2,189
AT1G70550_1	0,660	0,386	0,114
AT1G70560_1	1,003	0,835	0,438
AT1G70570_1	0,997	0,847	0,782
AT1G70580_1	1,243	0,819	0,653
AT1G70581_1	0,911	1,426	1,825
AT1G70590_1	0,879	1,342	1,902
AT1G70600_1	1,003	1,003	0,909
AT1G70610_1	1,060	0,847	1,137
AT1G70620_1	1,016	0,543	0,672
AT1G70620_2	0,843	0,261	0,462
AT1G70630_1	0,956	0,483	0,843
AT1G70640_1	2,326	0,081	3,170
AT1G70645_1	0,733	0,701	0,747
AT1G70650_1	1,357	0,492	0,517
AT1G70660_1	0,951	1,233	1,178
AT1G70670_1	0,781	0,522	0,826
AT1G70680_1	1,078	0,850	2,036
AT1G70690_1	0,391	4,314	10,276
AT1G70700_1	0,928	1,403	1,394
AT1G70700_2	0,887	1,543	1,477
AT1G70710_1	0,749	0,156	0,091
AT1G70720_1	0,996	1,106	1,118
AT1G70730_1	0,799	0,554	0,687
AT1G70730_2	1,016	0,834	0,836
AT1G70740_1	0,833	1,077	2,022
AT1G70750_1	0,954	2,417	2,368

AGI	NaCl-Kontrolle zur H₂O-Kontrolle (log₂)	H₂O +B.c. zur H₂O-Kontrolle (log₂)	NaCl +B.c. zur H₂O-Kontrolle (log₂)
AT1G70760_1	0,961	0,394	0,065
AT1G70770_1	0,998	1,436	1,488
AT1G70780_1	0,916	1,927	2,608
AT1G70790_1	0,871	0,870	1,197
AT1G70790_2	0,985	1,141	1,553
AT1G70800_1	0,955	1,132	2,233
AT1G70810_1	1,274	2,058	2,985
AT1G70820_1	0,965	0,308	0,187
AT1G70830_1	1,267	0,743	0,129
AT1G70830_3	1,173	0,724	0,110
AT1G70830_4	1,292	0,794	0,137
AT1G70830_5	1,249	0,743	0,111
AT1G70840_1	1,154	0,962	0,868
AT1G70850_1	1,174	1,004	0,447
AT1G70850_2	1,275	0,949	0,225
AT1G70850_3	1,368	1,011	0,236
AT1G70860_1	1,597	1,323	0,352
AT1G70870_1	1,072	1,058	1,022
AT1G70880_1	0,974	1,007	1,009
AT1G70885_1	1,433	0,773	0,177
AT1G70890_1	1,127	0,505	0,158
AT1G70895_1	0,568	0,443	0,113
AT1G70895_2	0,541	0,482	0,351
AT1G70900_1	1,010	1,015	1,269
AT1G70910_1	1,103	1,418	1,455
AT1G70920_1	1,185	1,310	1,563
AT1G70940_1	1,034	0,671	0,262
AT1G70944_1	1,060	1,181	1,370
AT1G70949_1	0,943	1,021	0,995
AT1G70950_1	0,753	0,879	0,852
AT1G70960_1	0,908	1,063	0,963
AT1G70970_1	1,094	1,198	1,151
AT1G70980_1	1,128	1,480	1,575
AT1G70985_1	0,857	1,023	0,230
AT1G70990_1	0,781	2,107	1,539
AT1G71000_1	1,844	1,131	6,010
AT1G71002_1	1,005	1,103	1,316
AT1G71010_1	0,967	1,060	1,101
AT1G71015_1	0,488	0,425	0,593
AT1G71020_1	0,887	0,400	0,287
AT1G71030_1	0,811	0,390	0,388
AT1G71040_1	0,906	1,314	1,598
AT1G71050_1	0,913	0,722	0,594
AT1G71060_1	1,264	0,465	0,301
AT1G71070_1	1,027	0,707	0,787
AT1G71080_1	1,039	1,188	1,121
AT1G71090_1	0,979	0,990	0,997
AT1G71100_1	0,999	4,490	4,842
AT1G71110_1	0,885	2,482	3,923
AT1G71120_1	0,873	1,173	1,211

AGI	NaCl-Kontrolle zur H₂O-Kontrolle (log₂)	H₂O +B.c. zur H₂O-Kontrolle (log₂)	NaCl +B.c. zur H₂O-Kontrolle (log₂)
AT1G71130_1	1,009	0,721	0,898
AT1G71140_1	0,957	1,947	2,354
AT1G71150_1	1,049	1,724	1,462
AT1G71160_1	1,176	1,473	1,550
AT1G71170_1	0,997	1,181	1,747
AT1G71180_1	0,903	0,507	0,307
AT1G71190_1	0,920	1,062	1,433
AT1G71200_1	0,983	1,059	1,094
AT1G71210_1	1,046	1,135	1,061
AT1G71220_1	1,077	0,725	0,877
AT1G71230_1	0,988	0,871	0,988
AT1G71235_1	0,992	1,233	1,326
AT1G71240_1	0,922	1,286	1,993
AT1G71250_1	1,008	1,350	1,403
AT1G71260_1	1,260	0,659	0,255
AT1G71270_1	0,970	0,664	0,815
AT1G71280_1	1,230	1,680	1,997
AT1G71290_1	1,016	1,059	1,117
AT1G71300_1	1,392	1,028	1,114
AT1G71310_1	0,934	0,883	0,935
AT1G71310_2	0,794	0,521	0,919
AT1G71310_3	1,089	0,479	0,559
AT1G71320_1	1,045	1,172	1,505
AT1G71330_1	0,982	2,487	3,068
AT1G71340_1	1,047	0,899	0,825
AT1G71350_1	1,075	1,234	1,312
AT1G71360_1	1,112	1,665	1,425
AT1G71370_1	1,049	1,480	1,622
AT1G71380_1	1,219	1,315	1,209
AT1G71390_1	0,878	1,094	1,208
AT1G71400_1	0,508	3,551	1,748
AT1G71410_1	0,907	0,987	0,899
AT1G71420_1	1,173	0,475	0,340
AT1G71430_1	0,866	0,976	0,654
AT1G71440_1	0,918	0,613	0,649
AT1G71450_1	1,162	1,445	1,574
AT1G71460_1	1,169	0,548	0,219
AT1G71470_1	1,232	1,286	1,399
AT1G71480_1	1,050	0,836	0,764
AT1G71490_1	1,333	0,760	0,962
AT1G71500_1	1,026	0,705	0,390
AT1G71520_1	1,008	43,109	62,640
AT1G71528_1	1,156	0,491	0,327
AT1G71530_1	1,314	6,642	18,238
AT1G71530_2	1,359	3,251	5,101
AT1G71680_1	1,154	1,388	1,901
AT1G71690_1	1,296	1,484	1,513
AT1G71691_1	1,194	1,592	1,263
AT1G71691_2	1,486	1,918	2,163
AT1G71692_1	1,028	1,094	1,485

AGI	NaCl-Kontrolle zur H₂O-Kontrolle (log₂)	H₂O +B.c. zur H₂O-Kontrolle (log₂)	NaCl +B.c. zur H₂O-Kontrolle (log₂)
AT1G71695_1	0,922	0,352	0,066
AT1G71696_1	0,957	0,685	1,123
AT1G71697_1	0,891	1,546	1,907
AT1G71710_1	1,156	0,538	0,295
AT1G71720_1	0,979	0,328	0,105
AT1G71730_1	1,090	1,192	0,813
AT1G71740_1	0,974	1,073	0,965
AT1G71750_1	0,754	0,752	0,755
AT1G71760_1	0,629	0,539	0,580
AT1G71760_2	0,886	1,002	1,107
AT1G71770_1	1,063	1,259	1,735
AT1G71780_1	0,895	1,309	1,524
AT1G71790_1	0,932	0,477	0,286
AT1G71800_1	1,014	0,721	0,994
AT1G71810_1	1,050	0,474	0,286
AT1G71820_1	0,923	1,151	1,122
AT1G71828_1	1,625	2,241	3,512
AT1G71830_1	0,867	0,372	1,176
AT1G71840_1	1,181	1,349	1,238
AT1G71850_1	1,094	1,877	0,818
AT1G71860_1	0,896	1,111	1,273
AT1G71860_2	0,909	1,120	1,284
AT1G71865_1	0,986	0,923	1,034
AT1G71870_1	0,966	0,568	0,204
AT1G71880_1	0,990	0,870	0,815
AT1G71890_1	0,809	0,583	0,450
AT1G71900_1	0,892	0,696	0,757
AT1G71910_1	0,678	0,721	3,270
AT1G71920_1	0,867	0,528	0,242
AT1G71920_2	0,841	0,524	0,226
AT1G71920_3	0,839	0,545	0,233
AT1G71930_1	0,778	0,398	0,424
AT1G71940_1	0,876	1,751	2,340
AT1G71950_1	1,054	1,045	1,673
AT1G71960_1	1,241	2,040	2,926
AT1G71970_1	0,793	0,613	0,359
AT1G71980_1	1,076	0,678	0,620
AT1G71990_1	0,996	0,475	0,195
AT1G72000_1	1,145	1,338	1,274
AT1G72010_1	1,023	0,661	0,452
AT1G72020_1	0,931	0,949	1,330
AT1G72030_1	0,886	0,740	0,358
AT1G72040_1	1,217	0,983	0,493
AT1G72050_1	1,167	0,838	0,716
AT1G72050_2	1,021	1,183	0,653
AT1G72060_1	0,571	0,999	0,984
AT1G72070_1	0,548	0,538	1,239
AT1G72080_1	1,107	1,326	4,807
AT1G72090_1	1,094	0,733	0,324
AT1G72100_1	1,133	1,435	1,879

AGI	NaCl-Kontrolle zur H₂O-Kontrolle (log₂)	H₂O +B.c. zur H₂O-Kontrolle (log₂)	NaCl +B.c. zur H₂O-Kontrolle (log₂)
AT1G72110_1	1,011	1,070	1,083
AT1G72120_1	0,928	4,395	7,401
AT1G72125_1	1,147	3,086	4,190
AT1G72130_1	0,917	1,205	0,407
AT1G72131_1	1,113	1,223	1,028
AT1G72140_1	1,166	1,206	1,043
AT1G72150_1	0,977	0,720	0,474
AT1G72160_1	1,014	0,423	0,320
AT1G72170_1	0,836	0,541	0,580
AT1G72175_1	0,906	0,892	0,766
AT1G72180_1	0,948	1,115	0,485
AT1G72190_1	1,076	0,545	0,644
AT1G72200_1	1,039	1,259	0,897
AT1G72210_1	0,941	0,513	0,665
AT1G72220_1	0,955	1,067	1,860
AT1G72230_1	0,672	0,130	0,138
AT1G72240_1	1,014	0,801	0,792
AT1G72250_1	0,845	0,417	0,502
AT1G72260_1	1,074	1,306	1,317
AT1G72270_1	1,284	1,187	0,922
AT1G72280_1	0,806	4,217	3,151
AT1G72290_1	0,890	0,935	1,012
AT1G72300_1	0,963	1,183	0,932
AT1G72310_1	1,038	0,538	0,310
AT1G72320_1	0,897	0,617	0,611
AT1G72320_2	1,007	1,299	1,001
AT1G72320_3	1,022	1,323	0,990
AT1G72330_1	1,332	1,954	2,833
AT1G72330_2	1,153	2,678	4,256
AT1G72340_1	0,954	0,837	0,808
AT1G72350_1	0,960	1,125	1,249
AT1G72360_1	0,982	1,501	1,817
AT1G72360_2	0,986	1,378	2,007
AT1G72360_3	0,944	1,323	1,949
AT1G72370_1	1,040	0,855	0,591
AT1G72370_2	1,062	0,879	0,607
AT1G72390_1	1,084	1,008	1,098
AT1G72410_1	0,987	0,369	0,205
AT1G72416_1	0,463	0,183	0,048
AT1G72416_2	0,469	0,170	0,046
AT1G72416_3	0,263	0,188	0,174
AT1G72416_4	0,457	0,192	0,053
AT1G72420_1	1,063	0,376	0,302
AT1G72430_1	0,512	3,737	0,564
AT1G72440_1	1,113	1,190	0,542
AT1G72450_1	0,937	2,148	2,001
AT1G72460_1	1,065	1,112	1,357
AT1G72470_1	0,694	2,841	2,927
AT1G72480_1	0,974	0,443	0,148
AT1G72490_1	1,076	1,624	9,872

AGI	NaCl-Kontrolle zur H ₂ O-Kontrolle (log ₂)	H ₂ O +B.c. zur H ₂ O-Kontrolle (log ₂)	NaCl +B.c. zur H ₂ O-Kontrolle (log ₂)
AT1G72500_1	1,074	0,655	0,193
AT1G72510_1	0,919	2,161	2,281
AT1G72520_1	0,820	6,534	5,714
AT1G72530_1	0,950	1,053	1,299
AT1G72530_2	0,890	1,053	1,233
AT1G72540_1	0,945	7,121	16,465
AT1G72550_1	0,945	0,748	0,665
AT1G72550_2	0,942	0,752	0,689
AT1G72560_1	0,862	0,985	0,956
AT1G72560_2	0,997	0,962	0,923
AT1G72570_1	1,093	1,252	1,572
AT1G72580_1	1,033	1,066	1,107
AT1G72590_1	1,041	0,414	1,244
AT1G72600_1	0,797	0,264	0,200
AT1G72610_1	0,871	0,548	0,055
AT1G72620_1	0,871	0,572	0,629
AT1G72630_1	0,860	0,475	0,382
AT1G72640_1	0,834	0,360	0,098
AT1G72640_2	0,721	0,232	0,034
AT1G72645_1	0,891	0,263	0,053
AT1G72650_1	1,139	1,096	1,171
AT1G72650_2	1,097	1,090	1,177
AT1G72660_1	1,100	1,431	3,406
AT1G72660_2	1,317	1,593	2,227
AT1G72660_3	1,036	1,339	2,724
AT1G72670_1	0,762	0,458	0,642
AT1G72680_1	0,956	1,963	4,039
AT1G72690_1	1,140	0,877	2,963
AT1G72700_1	1,142	0,801	1,601
AT1G72710_1	0,984	0,766	1,047
AT1G72720_1	1,031	0,711	0,827
AT1G72730_1	0,583	0,300	0,461
AT1G72740_1	0,991	1,271	1,284
AT1G72740_2	1,010	1,282	1,279
AT1G72750_1	0,986	2,294	2,176
AT1G72760_1	1,079	1,225	1,992
AT1G72770_1	1,176	2,460	3,843
AT1G72770_2	1,354	4,432	12,460
AT1G72790_1	1,109	0,693	0,975
AT1G72800_1	0,752	2,529	5,194
AT1G72810_1	1,203	0,795	0,187
AT1G72820_1	0,978	0,624	0,445
AT1G72830_1	0,937	1,097	1,469
AT1G72830_2	0,952	1,159	1,529
AT1G72830_3	0,959	1,174	1,603
AT1G72840_1	0,890	0,931	1,210
AT1G72850_1	1,145	1,047	1,008
AT1G72855_1	0,926	0,626	0,817
AT1G72860_1	0,945	0,715	0,887
AT1G72870_1	0,884	0,620	1,001

AGI	NaCl-Kontrolle zur H ₂ O-Kontrolle (log ₂)	H ₂ O +B.c. zur H ₂ O-Kontrolle (log ₂)	NaCl +B.c. zur H ₂ O-Kontrolle (log ₂)
AT1G72880_1	0,785	0,797	0,858
AT1G72890_1	0,918	1,172	1,177
AT1G72900_1	0,964	4,221	4,687
AT1G72910_1	0,978	0,907	0,989
AT1G72920_1	0,825	3,041	2,781
AT1G72930_1	0,986	0,702	0,662
AT1G72930_2	0,971	0,695	0,653
AT1G72940_1	0,961	3,117	2,508
AT1G72950_1	1,078	0,978	0,991
AT1G72960_1	1,166	1,083	1,443
AT1G72970_1	0,643	0,068	0,022
AT1G72970_2	0,657	0,062	0,021
AT1G72980_1	0,985	0,944	1,020
AT1G72990_1	1,123	1,271	1,021
AT1G73000_1	0,964	1,130	1,577
AT1G73010_1	0,826	27,742	54,668
AT1G73020_1	0,874	0,662	0,692
AT1G73030_1	0,995	0,970	1,136
AT1G73040_1	1,866	2,048	8,252
AT1G73050_1	1,043	1,020	1,398
AT1G73060_1	0,855	0,490	0,384
AT1G73066_1	1,079	2,151	2,423
AT1G73080_1	0,716	4,230	3,382
AT1G73090_1	0,993	0,649	0,227
AT1G73100_1	1,080	1,315	1,304
AT1G73110_1	0,853	0,550	0,246
AT1G73120_1	1,110	1,058	1,157
AT1G73130_1	1,084	1,593	2,435
AT1G73140_1	0,911	0,762	0,774
AT1G73150_1	0,894	1,578	1,672
AT1G73160_1	1,081	1,065	1,218
AT1G73165_1	0,964	1,020	1,049
AT1G73170_1	1,034	0,634	0,703
AT1G73175_1	1,152	1,219	1,183
AT1G73177_1	1,054	0,613	0,611
AT1G73180_1	1,008	1,255	0,929
AT1G73180_2	1,001	0,978	0,847
AT1G73190_1	1,078	1,134	1,413
AT1G73200_1	0,992	0,917	1,110
AT1G73210_1	0,968	0,771	0,389
AT1G73220_1	1,623	1,914	75,281
AT1G73230_1	0,942	0,715	0,466
AT1G73240_1	1,067	1,022	1,003
AT1G73250_1	0,854	1,095	1,062
AT1G73260_1	0,977	430,987	810,255
AT1G73270_1	1,095	0,985	1,002
AT1G73280_1	1,057	0,817	0,739
AT1G73290_1	1,114	1,086	1,742
AT1G73300_1	1,037	0,946	0,830
AT1G73310_1	0,977	0,433	0,179

AGI	NaCl-Kontrolle zur H₂O-Kontrolle (log₂)	H₂O +B.c. zur H₂O-Kontrolle (log₂)	NaCl +B.c. zur H₂O-Kontrolle (log₂)
AT1G73320_1	0,990	0,619	0,440
AT1G73320_2	1,005	0,760	0,625
AT1G73325_1	0,719	2,068	0,696
AT1G73330_1	3,605	3,174	2,833
AT1G73340_1	0,961	1,036	1,144
AT1G73350_1	0,911	0,549	0,740
AT1G73350_2	0,925	0,625	0,824
AT1G73350_3	0,902	0,515	0,794
AT1G73360_1	0,986	0,196	0,161
AT1G73370_1	0,599	0,250	0,287
AT1G73380_1	1,046	0,818	0,964
AT1G73380_2	1,062	0,793	1,017
AT1G73390_1	1,019	1,023	1,282
AT1G73390_4	1,019	0,566	1,067
AT1G73400_1	0,991	0,492	0,528
AT1G73410_1	0,967	1,383	1,393
AT1G73430_1	1,003	0,899	1,017
AT1G73440_1	0,914	0,901	1,174
AT1G73445_1	1,042	0,954	1,397
AT1G73450_1	0,931	1,125	1,307
AT1G73460_1	0,971	1,025	1,122
AT1G73470_1	0,944	0,544	0,304
AT1G73470_2	1,017	0,536	0,309
AT1G73480_1	0,994	0,913	1,174
AT1G73490_1	0,930	1,111	1,009
AT1G73500_1	1,009	1,306	1,677
AT1G73510_1	1,140	1,437	2,146
AT1G73530_1	1,006	0,447	0,305
AT1G73540_1	1,371	1,438	2,597
AT1G73550_1	0,927	0,915	0,946
AT1G73550_2	0,923	0,922	0,988
AT1G73560_1	1,165	1,225	1,244
AT1G73570_1	1,114	0,420	0,194
AT1G73580_1	1,018	1,153	1,297
AT1G73590_1	0,768	0,486	0,171
AT1G73600_1	1,024	0,367	0,074
AT1G73603_1	0,903	1,055	1,321
AT1G73607_1	1,093	1,170	1,198
AT1G73610_1	1,148	1,364	2,388
AT1G73620_1	0,606	0,313	0,284
AT1G73630_1	0,900	1,097	1,594
AT1G73640_1	0,797	0,188	0,148
AT1G73650_1	1,017	1,267	1,484
AT1G73650_2	0,958	2,047	2,934
AT1G73650_3	0,991	1,293	1,526
AT1G73655_1	0,932	0,137	0,193
AT1G73660_1	0,968	1,177	0,815
AT1G73670_1	0,925	1,163	1,517
AT1G73680_1	1,327	1,089	1,706
AT1G73687_1	1,132	1,092	1,217

AGI	NaCl-Kontrolle zur H₂O-Kontrolle (log₂)	H₂O +B.c. zur H₂O-Kontrolle (log₂)	NaCl +B.c. zur H₂O-Kontrolle (log₂)
AT1G73690_1	1,076	1,654	2,057
AT1G73700_1	1,497	1,354	0,412
AT1G73710_1	1,200	0,883	0,738
AT1G73720_1	1,020	0,746	0,815
AT1G73730_1	1,079	1,739	2,053
AT1G73740_1	1,043	0,968	1,558
AT1G73750_1	0,966	0,308	1,317
AT1G73760_1	0,940	0,709	0,959
AT1G73770_1	0,910	1,026	0,648
AT1G73770_2	0,943	1,066	0,522
AT1G73780_1	1,177	1,098	1,249
AT1G73790_1	0,899	0,903	1,304
AT1G73805_1	0,549	0,450	1,321
AT1G73810_1	0,769	4,339	6,942
AT1G73820_1	1,013	0,502	0,766
AT1G73830_1	0,440	0,400	0,047
AT1G73840_1	1,004	0,899	0,895
AT1G73850_1	0,925	0,279	0,642
AT1G73860_1	1,197	0,971	1,063
AT1G73870_1	0,962	1,281	0,514
AT1G73875_1	0,986	0,810	1,043
AT1G73880_1	1,262	2,140	8,243
AT1G73885_1	1,007	0,696	0,267
AT1G73890_1	1,091	0,496	0,471
AT1G73910_1	1,515	0,917	0,600
AT1G73920_1	1,042	0,565	0,962
AT1G73930_1	0,877	0,940	0,867
AT1G73940_1	0,980	0,729	0,427
AT1G73950_1	0,973	0,923	0,874
AT1G73960_1	1,099	0,831	0,837
AT1G73965_1	0,960	1,319	2,187
AT1G73970_1	1,050	0,897	1,048
AT1G73980_1	1,013	0,777	1,572
AT1G73990_1	0,971	0,636	0,724
AT1G74000_1	0,752	0,940	4,295
AT1G74010_1	0,927	7,941	18,393
AT1G74020_1	0,955	8,088	14,699
AT1G74030_1	0,834	1,538	1,939
AT1G74040_1	0,996	0,728	0,469
AT1G74045_1	1,105	1,377	1,586
AT1G74050_1	0,978	0,957	0,725
AT1G74055_1	0,917	0,922	0,973
AT1G74060_1	0,928	0,920	0,757
AT1G74070_1	0,933	0,503	0,150
AT1G74080_1	1,061	21,936	37,097
AT1G74088_1	0,774	0,257	0,165
AT1G74090_1	0,993	0,728	0,520
AT1G74100_1	0,900	2,425	1,985
AT1G74110_1	1,396	1,331	1,638
AT1G74120_1	0,988	0,671	0,786

AGI	NaCl-Kontrolle zur H₂O-Kontrolle (log₂)	H₂O +B.c. zur H₂O-Kontrolle (log₂)	NaCl +B.c. zur H₂O-Kontrolle (log₂)
AT1G74130_1	1,162	1,046	1,135
AT1G74130_2	1,154	0,961	1,135
AT1G74140_1	1,081	1,274	1,634
AT1G74140_2	1,173	1,205	1,728
AT1G74140_3	1,241	1,147	1,785
AT1G74140_4	1,213	1,305	1,737
AT1G74140_5	1,138	1,354	1,975
AT1G74150_1	1,075	0,912	1,139
AT1G74160_1	1,018	0,702	0,328
AT1G74170_1	0,888	0,428	0,423
AT1G74180_1	0,971	0,858	1,096
AT1G74190_1	1,189	1,072	1,934
AT1G74200_1	0,901	0,784	1,151
AT1G74210_1	0,744	1,009	2,461
AT1G74220_1	0,928	0,933	1,674
AT1G74230_1	1,044	1,037	1,101
AT1G74240_1	1,152	0,841	0,855
AT1G74250_1	1,096	1,042	1,057
AT1G74260_1	1,064	0,819	0,555
AT1G74270_1	0,878	1,164	0,903
AT1G74280_1	0,956	1,125	1,613
AT1G74290_1	1,262	1,176	1,551
AT1G74300_1	1,123	0,811	1,131
AT1G74310_1	0,780	11,236	12,268
AT1G74320_1	0,918	0,845	0,993
AT1G74330_1	0,948	3,215	3,146
AT1G74330_2	0,904	3,662	3,398
AT1G74340_1	0,866	1,711	2,678
AT1G74350_1	0,884	1,007	1,585
AT1G74360_1	0,637	8,528	9,066
AT1G74370_1	1,007	0,488	0,273
AT1G74380_1	0,949	0,913	0,618
AT1G74390_1	1,101	0,465	0,203
AT1G74400_1	1,107	0,536	0,467
AT1G74410_1	1,245	0,875	1,221
AT1G74420_1	0,964	0,778	0,800
AT1G74430_1	0,913	3,120	0,927
AT1G74440_1	0,705	0,453	0,471
AT1G74448_1	1,257	1,333	1,578
AT1G74450_1	0,879	2,778	2,390
AT1G74453_1	0,964	1,491	1,387
AT1G74456_1	1,021	1,465	1,395
AT1G74457_1	0,975	0,983	0,978
AT1G74458_1	0,836	0,187	0,129
AT1G74460_1	0,984	0,726	0,784
AT1G74470_1	1,013	0,826	0,384
AT1G74480_1	1,081	0,892	0,891
AT1G74490_1	1,102	1,198	1,323
AT1G74500_1	1,031	1,108	1,158
AT1G74510_1	0,992	1,074	1,315

AGI	NaCl-Kontrolle zur H₂O-Kontrolle (log₂)	H₂O +B.c. zur H₂O-Kontrolle (log₂)	NaCl +B.c. zur H₂O-Kontrolle (log₂)
AT1G74520_1	0,963	0,342	0,221
AT1G74530_1	0,869	0,681	0,591
AT1G74530_2	1,020	1,019	0,992
AT1G74530_3	0,916	0,702	0,603
AT1G74540_1	1,430	0,741	0,624
AT1G74545_1	1,261	0,536	0,530
AT1G74550_1	1,261	1,547	2,708
AT1G74560_1	1,001	0,858	0,489
AT1G74560_3	1,026	0,822	0,476
AT1G74580_1	1,002	0,441	0,211
AT1G74590_1	0,962	9,932	16,136
AT1G74600_1	1,038	0,648	0,944
AT1G74620_1	0,976	1,012	1,148
AT1G74630_1	1,197	0,473	0,370
AT1G74640_1	0,899	0,820	0,916
AT1G74650_1	1,098	1,169	0,915
AT1G74660_1	0,966	0,703	0,483
AT1G74670_1	1,027	0,281	0,010
AT1G74680_1	0,897	0,593	0,818
AT1G74690_1	0,983	0,253	0,103
AT1G74700_1	0,939	0,655	0,802
AT1G74710_1	0,947	1,023	1,946
AT1G74710_2	1,054	1,081	1,944
AT1G74720_1	1,076	1,103	0,713
AT1G74730_1	0,960	0,382	0,224
AT1G74740_1	0,808	1,608	2,045
AT1G74750_1	0,951	4,419	3,623
AT1G74770_1	0,745	1,057	0,605
AT1G74780_1	1,135	1,357	1,176
AT1G74790_1	0,698	0,965	1,360
AT1G74800_1	0,941	0,564	0,336
AT1G74810_1	1,066	0,400	0,530
AT1G74820_1	1,201	1,248	1,192
AT1G74830_1	1,145	1,239	1,436
AT1G74840_1	1,089	0,525	0,399
AT1G74850_1	1,162	0,654	0,264
AT1G74860_1	0,929	1,339	1,664
AT1G74870_1	0,955	7,031	13,756
AT1G74875_1	1,007	0,871	0,910
AT1G74880_1	1,071	0,927	0,241
AT1G74890_1	0,806	0,163	0,044
AT1G74900_1	0,892	1,104	0,983
AT1G74910_1	0,996	0,649	0,602
AT1G74910_3	0,942	0,653	0,601
AT1G74920_1	1,045	1,107	0,905
AT1G74929_1	0,871	0,574	0,682
AT1G74930_1	1,092	0,335	0,286
AT1G74940_1	0,966	0,380	0,277
AT1G74950_1	0,915	2,328	2,095
AT1G74960_1	0,901	0,512	0,441

AGI	NaCl-Kontrolle zur H₂O-Kontrolle (log₂)	H₂O +B.c. zur H₂O-Kontrolle (log₂)	NaCl +B.c. zur H₂O-Kontrolle (log₂)
AT1G74960_2	1,024	0,675	0,516
AT1G74970_1	0,854	0,407	0,169
AT1G74990_1	1,067	1,145	1,225
AT1G75000_1	0,950	4,362	9,535
AT1G75010_1	1,082	0,396	0,289
AT1G75020_1	0,770	1,802	2,171
AT1G75020_2	0,811	1,065	1,013
AT1G75030_1	0,270	0,198	0,196
AT1G75040_1	0,469	0,724	0,355
AT1G75050_1	0,698	1,035	0,735
AT1G75060_1	0,799	0,283	0,272
AT1G75060_2	0,764	0,233	0,221
AT1G75080_1	0,687	0,865	1,336
AT1G75080_2	0,787	0,886	0,843
AT1G75090_1	1,079	0,183	0,178
AT1G75100_1	1,023	1,046	0,881
AT1G75110_1	1,202	0,613	0,466
AT1G75120_1	1,196	0,573	0,445
AT1G75130_1	0,943	0,687	1,033
AT1G75140_1	0,991	0,397	0,292
AT1G75150_1	0,630	0,321	0,227
AT1G75160_1	0,964	1,017	1,279
AT1G75163_1	0,890	0,618	0,574
AT1G75166_1	1,043	0,966	1,149
AT1G75170_1	0,897	9,398	14,476
AT1G75170_3	0,943	9,429	14,667
AT1G75180_1	0,860	0,569	0,615
AT1G75180_2	0,699	0,174	0,170
AT1G75180_3	0,854	0,631	0,669
AT1G75190_1	0,939	0,231	0,145
AT1G75190_2	0,786	0,181	0,158
AT1G75200_1	1,116	1,129	0,977
AT1G75210_1	1,061	0,592	0,620
AT1G75220_1	0,898	1,286	1,329
AT1G75230_1	0,876	1,224	1,074
AT1G75230_2	0,599	2,490	1,263
AT1G75240_1	1,210	0,427	0,137
AT1G75250_1	0,994	0,926	0,882
AT1G75250_2	0,476	0,426	0,155
AT1G75260_1	0,993	0,887	1,285
AT1G75261_1	1,241	1,239	1,491
AT1G75270_1	1,166	2,778	3,767
AT1G75280_1	1,110	0,500	0,375
AT1G75290_1	1,255	1,078	1,982
AT1G75295_1	0,947	0,879	0,948
AT1G75295_2	1,005	0,896	0,883
AT1G75295_3	0,922	1,268	2,580
AT1G75300_1	0,843	0,758	1,316
AT1G75310_1	1,032	0,423	0,401
AT1G75330_1	1,094	1,093	0,903

AGI	NaCl-Kontrolle zur H₂O-Kontrolle (log₂)	H₂O +B.c. zur H₂O-Kontrolle (log₂)	NaCl +B.c. zur H₂O-Kontrolle (log₂)
AT1G75335_1	1,059	2,157	2,337
AT1G75340_1	1,019	1,059	1,828
AT1G75350_1	0,912	0,526	0,361
AT1G75360_1	1,037	0,397	0,198
AT1G75370_1	1,034	0,686	0,745
AT1G75370_2	1,093	0,727	0,756
AT1G75380_1	1,017	0,156	0,199
AT1G75380_2	1,032	0,539	0,656
AT1G75380_3	1,015	0,542	0,684
AT1G75388_1	1,137	2,548	10,566
AT1G75390_2	1,234	2,180	8,544
AT1G75394_1	1,114	1,440	2,242
AT1G75400_1	1,211	1,751	2,379
AT1G75410_1	1,028	0,810	1,061
AT1G75420_1	1,049	0,490	0,349
AT1G75430_1	1,008	0,945	0,991
AT1G75440_1	0,755	0,837	0,835
AT1G75450_1	0,808	6,365	5,627
AT1G75460_1	0,844	0,266	0,169
AT1G75470_1	0,947	1,076	1,088
AT1G75480_1	1,141	1,348	1,158
AT1G75490_1	0,697	0,759	0,435
AT1G75500_1	0,795	0,732	0,203
AT1G75510_1	0,920	1,006	1,413
AT1G75520_1	1,042	0,931	0,976
AT1G75530_1	1,035	1,080	1,052
AT1G75540_1	0,965	0,514	0,492
AT1G75550_1	0,954	0,969	1,047
AT1G75560_1	0,882	1,103	1,367
AT1G75560_2	1,026	1,035	1,248
AT1G75580_1	0,962	0,351	0,323
AT1G75590_1	0,650	0,481	0,625
AT1G75600_1	1,083	1,162	1,061
AT1G75610_1	1,297	1,269	1,227
AT1G75620_1	0,552	0,406	0,453
AT1G75630_1	0,937	0,852	0,831
AT1G75640_1	0,697	0,261	0,225
AT1G75660_1	1,078	0,942	0,958
AT1G75670_1	0,921	2,409	2,036
AT1G75670_2	1,011	1,957	1,679
AT1G75680_1	1,000	0,325	0,054
AT1G75690_1	0,849	0,354	0,099
AT1G75700_1	1,007	0,763	1,040
AT1G75710_1	1,110	0,491	0,040
AT1G75717_1	0,991	1,039	1,076
AT1G75720_1	0,755	0,699	0,615
AT1G75730_1	1,246	0,245	0,378
AT1G75750_1	0,398	2,047	1,088
AT1G75760_1	0,935	0,869	0,716
AT1G75770_1	0,997	0,565	0,446

AGI	NaCl-Kontrolle zur H₂O-Kontrolle (log₂)	H₂O +B.c. zur H₂O-Kontrolle (log₂)	NaCl +B.c. zur H₂O-Kontrolle (log₂)
AT1G75780_1	1,033	0,419	0,115
AT1G75790_1	1,013	1,094	1,235
AT1G75800_1	0,966	0,528	0,169
AT1G75810_1	0,978	2,491	3,758
AT1G75820_1	0,858	0,469	0,253
AT1G75830_1	1,345	10,692	2,601
AT1G75840_1	0,855	0,570	0,521
AT1G75850_1	0,996	1,259	1,683
AT1G75860_1	1,009	0,598	0,700
AT1G75870_1	1,006	1,068	1,302
AT1G75880_1	0,709	0,265	0,146
AT1G75890_1	0,756	0,551	0,585
AT1G75890_2	0,700	0,583	0,533
AT1G75891_1	0,963	0,932	0,894
AT1G75900_1	0,784	0,177	0,030
AT1G75910_1	0,995	1,016	1,101
AT1G75920_1	1,004	1,050	1,117
AT1G75920_2	0,941	0,899	0,847
AT1G75920_3	1,122	1,303	1,545
AT1G75920_4	1,120	1,359	1,982
AT1G75930_1	1,063	1,083	1,047
AT1G75940_1	1,290	1,496	1,913
AT1G75950_1	1,014	1,084	1,225
AT1G75960_1	0,906	0,531	0,200
AT1G75980_1	0,956	0,647	0,568
AT1G75990_1	0,853	0,821	0,800
AT1G76010_1	1,061	0,966	0,758
AT1G76020_1	0,933	0,387	0,550
AT1G76030_1	0,988	0,992	0,942
AT1G76040_1	0,990	0,961	0,960
AT1G76040_2	0,571	3,433	3,967
AT1G76050_1	0,991	0,517	0,395
AT1G76050_2	0,956	0,442	0,379
AT1G76060_1	0,979	2,341	3,288
AT1G76062_1	0,851	1,659	1,446
AT1G76065_1	0,761	1,870	1,685
AT1G76070_1	0,827	9,748	11,327
AT1G76080_1	0,962	1,078	1,190
AT1G76090_1	0,762	1,707	1,444
AT1G76100_1	0,973	0,475	0,117
AT1G76110_1	0,916	0,292	0,154
AT1G76120_1	0,934	1,164	0,830
AT1G76120_2	0,981	1,152	0,837
AT1G76130_1	0,781	2,668	3,954
AT1G76135_1	0,874	0,704	0,816
AT1G76140_1	0,970	0,948	1,004
AT1G76140_2	0,988	0,968	1,053
AT1G76150_1	0,837	2,080	3,820
AT1G76160_1	0,723	0,893	0,710
AT1G76170_1	1,068	0,846	0,610

AGI	NaCl-Kontrolle zur H ₂ O-Kontrolle (log ₂)	H ₂ O +B.c. zur H ₂ O-Kontrolle (log ₂)	NaCl +B.c. zur H ₂ O-Kontrolle (log ₂)
AT1G76180_1	1,016	0,745	1,033
AT1G76185_1	0,831	0,755	1,082
AT1G76190_1	0,982	0,805	0,839
AT1G76200_1	0,912	0,770	1,090
AT1G76210_1	0,986	1,251	1,050
AT1G76220_1	1,044	1,166	1,135
AT1G76230_1	1,083	1,022	1,171
AT1G76240_1	0,506	0,545	0,655
AT1G76250_1	0,957	2,336	4,876
AT1G76260_1	0,948	0,578	0,738
AT1G76270_1	1,051	0,647	0,733
AT1G76280_1	1,021	0,879	0,747
AT1G76280_2	1,124	0,801	0,641
AT1G76290_1	1,015	0,968	1,211
AT1G76300_1	0,943	0,987	0,662
AT1G76310_1	0,727	0,292	0,241
AT1G76320_1	0,861	0,904	1,587
AT1G76320_2	1,003	0,772	0,885
AT1G76330_1	1,108	1,359	1,491
AT1G76340_1	0,839	1,017	0,856
AT1G76350_1	1,190	1,416	1,651
AT1G76360_1	0,971	1,060	1,184
AT1G76370_1	1,201	1,170	1,028
AT1G76380_1	1,008	1,855	2,482
AT1G76390_1	0,888	3,676	4,761
AT1G76400_1	1,040	0,781	0,728
AT1G76405_1	0,696	0,322	0,128
AT1G76405_2	0,710	0,337	0,125
AT1G76410_1	0,834	0,258	0,105
AT1G76420_1	1,214	1,549	1,905
AT1G76430_1	1,172	1,536	1,918
AT1G76440_1	0,826	1,733	1,071
AT1G76440_2	0,820	1,770	1,097
AT1G76440_3	0,827	1,759	1,097
AT1G76450_1	0,921	0,475	0,267
AT1G76460_1	1,162	1,204	0,826
AT1G76470_1	1,064	104,734	152,653
AT1G76480_1	1,085	2,981	6,728
AT1G76490_1	1,014	1,286	1,382
AT1G76500_1	1,242	1,441	1,837
AT1G76510_1	1,025	0,817	1,135
AT1G76520_1	1,349	4,458	16,697
AT1G76520_2	1,236	2,111	2,775
AT1G76530_1	1,289	1,487	1,254
AT1G76540_1	0,787	0,248	0,160
AT1G76550_1	0,877	1,109	1,194
AT1G76560_1	0,965	1,023	1,488
AT1G76570_1	1,252	0,963	0,502
AT1G76580_1	1,146	0,673	0,825
AT1G76590_1	1,214	0,764	1,074

AGI	NaCl-Kontrolle zur H₂O-Kontrolle (log₂)	H₂O +B.c. zur H₂O-Kontrolle (log₂)	NaCl +B.c. zur H₂O-Kontrolle (log₂)
AT1G76600_1	0,785	5,693	5,807
AT1G76610_1	0,757	1,046	0,666
AT1G76620_1	0,460	0,101	0,086
AT1G76630_1	1,116	0,620	0,613
AT1G76640_1	0,837	23,005	35,628
AT1G76650_1	0,507	6,085	9,892
AT1G76650_2	0,485	6,324	9,798
AT1G76660_1	1,077	0,514	0,540
AT1G76670_1	1,030	0,996	0,761
AT1G76680_1	0,967	2,051	2,103
AT1G76680_2	1,018	2,761	2,815
AT1G76690_1	1,031	1,971	2,809
AT1G76700_1	0,806	1,680	1,836
AT1G76705_1	1,023	2,191	3,186
AT1G76710_1	0,907	0,739	0,706
AT1G76720_1	0,912	0,319	0,131
AT1G76728_1	1,515	1,891	2,006
AT1G76730_1	1,022	0,553	0,403
AT1G76740_1	0,766	0,364	0,354
AT1G76750_1	1,067	1,296	1,581
AT1G76760_1	0,880	1,370	2,569
AT1G76770_1	1,073	1,067	1,233
AT1G76780_1	0,869	0,707	0,750
AT1G76790_1	1,481	1,954	1,161
AT1G76800_1	0,651	0,245	0,216
AT1G76810_1	1,030	1,093	1,049
AT1G76820_1	0,923	0,500	0,957
AT1G76830_1	1,070	1,102	1,407
AT1G76840_1	1,169	1,294	1,445
AT1G76850_1	0,978	0,904	0,832
AT1G76860_1	0,960	0,807	0,872
AT1G76870_1	0,791	0,171	0,181
AT1G76878_1	0,965	0,474	0,479
AT1G76880_1	0,974	0,472	0,481
AT1G76890_2	0,834	0,416	0,489
AT1G76892_1	0,879	0,496	0,507
AT1G76900_1	0,910	0,613	0,684
AT1G76910_1	1,610	1,972	2,754
AT1G76911_1	1,201	1,409	1,137
AT1G76920_1	0,966	1,165	1,230
AT1G76930_1	0,352	7,776	11,494
AT1G76940_1	0,923	0,955	1,232
AT1G76950_1	0,846	1,093	0,922
AT1G76952_1	0,954	0,735	0,784
AT1G76954_1	1,032	1,165	1,164
AT1G76955_1	1,236	1,179	1,066
AT1G76960_1	1,747	1,673	2,007
AT1G76965_1	0,794	1,103	1,492
AT1G76970_1	0,791	2,502	2,950
AT1G76980_1	0,948	2,205	8,484

AGI	NaCl-Kontrolle zur H₂O-Kontrolle (log₂)	H₂O +B.c. zur H₂O-Kontrolle (log₂)	NaCl +B.c. zur H₂O-Kontrolle (log₂)
AT1G76980_2	0,775	4,872	11,881
AT1G76990_1	0,904	1,510	0,897
AT1G76990_4	0,885	1,495	0,913
AT1G76994_1	0,996	0,957	1,027
AT1G77000_1	1,324	0,608	2,537
AT1G77010_1	1,229	0,500	0,441
AT1G77020_1	0,691	0,411	0,486
AT1G77030_1	1,231	1,211	0,863
AT1G77060_1	1,110	0,478	0,286
AT1G77080_2	0,927	0,547	0,891
AT1G77080_3	1,043	0,508	0,733
AT1G77080_4	1,002	0,553	0,799
AT1G77080_5	0,905	0,486	0,812
AT1G77090_1	1,012	0,428	0,283
AT1G77093_1	1,096	1,268	1,623
AT1G77095_1	1,149	1,315	1,706
AT1G77100_1	1,291	1,466	1,821
AT1G77110_1	1,074	0,177	0,092
AT1G77120_1	1,278	0,448	2,272
AT1G77122_1	1,182	0,536	0,550
AT1G77130_1	0,957	0,727	0,935
AT1G77131_1	1,176	0,618	0,552
AT1G77138_1	1,063	0,617	0,824
AT1G77140_1	0,908	0,944	1,198
AT1G77145_1	1,078	1,182	1,840
AT1G77150_1	1,148	0,539	0,410
AT1G77160_1	1,098	1,219	1,624
AT1G77170_1	1,141	0,582	0,491
AT1G77180_1	1,051	1,007	0,946
AT1G77190_1	1,061	1,029	1,325
AT1G77200_1	1,586	0,602	0,548
AT1G77210_1	0,894	0,375	0,212
AT1G77215_1	1,024	0,994	1,041
AT1G77220_1	0,933	0,807	1,196
AT1G77230_1	1,203	1,366	1,376
AT1G77235_1	1,071	0,948	1,207
AT1G77240_1	1,184	1,520	2,335
AT1G77250_1	0,913	1,024	0,913
AT1G77260_1	0,866	1,294	1,650
AT1G77270_1	0,649	0,420	0,367
AT1G77280_1	1,217	2,184	3,097
AT1G77290_1	0,862	0,716	1,285
AT1G77290_2	0,772	0,894	1,543
AT1G77300_1	0,908	0,990	1,305
AT1G77300_2	1,076	0,958	1,379
AT1G77310_1	1,045	0,902	0,803
AT1G77320_1	0,832	0,714	0,539
AT1G77330_1	0,790	0,434	0,252
AT1G77340_1	1,117	1,017	1,117
AT1G77350_1	0,974	0,773	0,932

AGI	NaCl-Kontrolle zur H₂O-Kontrolle (log₂)	H₂O +B.c. zur H₂O-Kontrolle (log₂)	NaCl +B.c. zur H₂O-Kontrolle (log₂)
AT1G77350_2	0,952	0,770	0,919
AT1G77360_1	1,032	6,201	5,175
AT1G77370_1	0,892	4,196	6,392
AT1G77380_1	0,855	3,447	7,629
AT1G77390_1	0,762	0,798	0,795
AT1G77400_1	1,092	0,604	0,220
AT1G77405_1	1,203	0,748	0,629
AT1G77410_1	0,977	1,034	1,110
AT1G77420_1	1,058	1,967	2,432
AT1G77440_1	0,909	1,415	1,439
AT1G77440_2	0,952	1,011	1,071
AT1G77450_1	2,106	12,854	19,831
AT1G77460_1	1,037	0,694	0,403
AT1G77470_1	0,920	1,106	0,865
AT1G77480_1	1,312	0,688	0,704
AT1G77480_2	1,284	1,537	1,496
AT1G77490_1	0,877	0,554	0,232
AT1G77500_1	0,845	1,942	2,722
AT1G77510_1	1,055	1,473	1,878
AT1G77520_1	1,373	0,819	0,709
AT1G77525_1	0,955	1,021	1,051
AT1G77530_1	1,180	1,347	1,419
AT1G77540_1	1,042	1,164	1,810
AT1G77550_1	1,297	1,095	0,681
AT1G77570_1	0,896	1,843	1,846
AT1G77580_1	1,373	0,156	0,040
AT1G77580_2	1,469	0,155	0,037
AT1G77590_1	0,965	0,640	0,958
AT1G77600_1	1,063	0,629	0,637
AT1G77610_1	1,064	1,081	1,177
AT1G77620_1	0,839	0,641	0,756
AT1G77630_1	0,957	0,702	0,159
AT1G77640_1	0,873	1,414	0,857
AT1G77650_1	0,930	1,028	1,145
AT1G77655_1	1,053	1,126	1,199
AT1G77660_1	0,740	3,306	3,795
AT1G77670_1	1,026	1,049	0,845
AT1G77680_1	1,006	0,627	1,177
AT1G77682_1	1,136	1,209	1,452
AT1G77690_1	0,658	0,356	0,038
AT1G77700_1	0,759	0,416	0,461
AT1G77710_1	1,215	1,115	2,071
AT1G77720_1	1,075	0,432	0,247
AT1G77730_1	0,943	1,315	5,532
AT1G77740_1	0,986	0,803	1,148
AT1G77746_1	1,052	1,062	1,122
AT1G77750_1	0,860	0,432	0,242
AT1G77760_1	0,695	0,826	1,549
AT1G77765_1	0,472	0,067	0,429
AT1G77770_1	0,903	1,265	2,404

AGI	NaCl-Kontrolle zur H₂O-Kontrolle (log₂)	H₂O +B.c. zur H₂O-Kontrolle (log₂)	NaCl +B.c. zur H₂O-Kontrolle (log₂)
AT1G77770_2	0,814	1,873	5,519
AT1G77780_1	1,063	1,167	1,273
AT1G77790_1	1,157	1,237	1,429
AT1G77800_1	1,103	1,083	1,044
AT1G77810_1	1,109	3,009	2,951
AT1G77810_2	0,973	3,514	3,662
AT1G77815_1	1,064	1,033	1,052
AT1G77820_1	1,018	1,146	1,250
AT1G77830_1	1,044	1,186	1,287
AT1G77840_1	1,036	2,075	2,362
AT1G77850_1	1,053	0,559	0,646
AT1G77855_1	1,005	1,302	0,341
AT1G77860_1	0,674	0,702	0,610
AT1G77870_1	0,588	0,409	0,197
AT1G77880_1	0,907	1,275	1,010
AT1G77880_2	1,014	0,977	0,947
AT1G77885_1	0,902	1,257	0,841
AT1G77890_1	0,906	2,058	5,005
AT1G77910_1	1,026	1,034	1,058
AT1G77920_1	1,043	1,842	6,179
AT1G77930_1	0,900	0,786	2,456
AT1G77930_2	1,075	0,977	1,569
AT1G77932_1	1,024	1,062	1,094
AT1G77940_1	0,733	0,799	0,509
AT1G77950_1	1,020	0,975	1,012
AT1G77950_2	1,067	1,047	1,168
AT1G77960_1	1,070	0,256	0,227
AT1G77980_1	0,959	1,034	1,060
AT1G77990_1	0,982	0,266	0,201
AT1G77992_1	1,047	0,389	0,307
AT1G78000_1	1,027	1,076	3,827
AT1G78010_1	1,035	0,648	0,296
AT1G78020_1	1,047	1,715	0,789
AT1G78030_1	1,106	0,887	1,120
AT1G78040_1	0,847	0,611	0,299
AT1G78040_2	0,888	0,672	0,349
AT1G78050_1	0,684	1,658	3,209
AT1G78060_1	1,093	0,240	0,088
AT1G78070_1	1,140	0,703	0,697
AT1G78080_1	0,996	0,697	1,003
AT1G78090_1	0,352	0,196	0,184
AT1G78095_1	0,891	1,140	1,371
AT1G78100_1	0,938	0,729	0,460
AT1G78110_1	0,922	0,550	1,459
AT1G78120_1	0,822	0,574	0,428
AT1G78130_1	1,005	0,812	0,942
AT1G78140_1	0,944	0,637	0,535
AT1G78150_1	0,882	1,273	1,014
AT1G78150_2	0,943	0,955	0,928
AT1G78160_1	1,039	1,073	1,103

AGI	NaCl-Kontrolle zur H₂O-Kontrolle (log₂)	H₂O +B.c. zur H₂O-Kontrolle (log₂)	NaCl +B.c. zur H₂O-Kontrolle (log₂)
AT1G78170_1	0,923	0,159	0,022
AT1G78172_1	0,835	0,502	0,737
AT1G78180_1	0,995	0,445	0,150
AT1G78190_1	0,985	1,719	2,234
AT1G78200_1	0,935	1,311	1,730
AT1G78200_2	0,830	1,216	1,457
AT1G78210_1	0,951	1,910	2,193
AT1G78220_1	1,115	1,215	1,180
AT1G78230_1	0,672	0,855	2,230
AT1G78240_1	0,831	0,765	0,662
AT1G78260_1	0,501	0,535	5,507
AT1G78260_2	0,867	0,902	0,980
AT1G78265_1	0,994	0,755	0,483
AT1G78265_2	0,889	0,667	0,314
AT1G78270_1	0,991	0,699	0,418
AT1G78280_1	0,906	1,189	1,763
AT1G78290_2	1,035	1,366	1,216
AT1G78290_3	1,087	1,316	1,587
AT1G78300_1	0,801	0,856	0,875
AT1G78320_1	0,642	0,647	0,398
AT1G78330_1	1,192	0,905	0,999
AT1G78340_1	1,066	1,242	2,068
AT1G78350_1	1,222	1,427	1,748
AT1G78355_1	1,511	1,716	2,158
AT1G78360_1	1,482	1,648	1,663
AT1G78370_1	1,067	0,313	0,047
AT1G78380_1	0,980	1,061	1,583
AT1G78390_1	1,149	1,368	1,950
AT1G78400_1	1,259	1,380	1,677
AT1G78410_1	0,392	13,806	14,653
AT1G78420_1	0,979	1,620	2,167
AT1G78430_1	1,008	0,341	0,374
AT1G78440_1	1,197	0,291	0,383
AT1G78450_1	0,766	0,313	0,048
AT1G78460_1	0,718	1,449	0,437
AT1G78470_1	0,985	1,013	0,922
AT1G78478_1	1,003	0,876	0,851
AT1G78480_1	1,194	0,396	0,358
AT1G78490_1	0,976	0,831	0,470
AT1G78500_1	1,013	0,970	1,126
AT1G78510_1	0,975	2,127	1,499
AT1G78510_2	0,985	2,125	1,504
AT1G78520_1	1,160	1,082	1,180
AT1G78530_1	0,687	0,569	0,678
AT1G78540_1	1,005	0,919	1,124
AT1G78550_1	0,888	0,564	0,954
AT1G78560_1	1,014	0,792	0,588
AT1G78570_1	0,995	1,119	1,315
AT1G78580_1	1,077	0,669	0,312
AT1G78590_1	1,008	0,514	0,567

AGI	NaCl-Kontrolle zur H₂O-Kontrolle (log₂)	H₂O +B.c. zur H₂O-Kontrolle (log₂)	NaCl +B.c. zur H₂O-Kontrolle (log₂)
AT1G78600_1	1,058	0,520	0,633
AT1G78610_1	1,273	1,119	1,738
AT1G78620_1	0,992	0,822	1,042
AT1G78630_1	0,961	0,576	0,245
AT1G78640_1	1,064	1,074	1,231
AT1G78650_1	0,708	0,988	0,988
AT1G78660_1	0,974	1,431	1,561
AT1G78660_2	0,961	1,624	1,760
AT1G78660_3	1,088	1,325	1,402
AT1G78670_1	1,159	2,389	2,986
AT1G78680_1	1,091	0,891	1,080
AT1G78690_1	0,940	0,401	0,226
AT1G78700_1	0,937	0,856	0,810
AT1G78710_1	1,034	1,012	1,010
AT1G78710_2	0,974	0,990	1,170
AT1G78720_1	1,096	1,097	1,486
AT1G78730_1	0,857	0,438	0,245
AT1G78740_1	1,051	1,020	1,142
AT1G78750_1	1,013	0,648	0,237
AT1G78760_1	0,988	0,938	1,027
AT1G78770_1	0,749	0,484	0,425
AT1G78780_1	0,957	0,979	1,305
AT1G78780_2	0,945	0,982	2,367
AT1G78780_3	0,952	1,183	4,176
AT1G78780_4	0,978	1,114	2,606
AT1G78790_1	0,976	0,698	0,803
AT1G78790_2	0,955	0,696	0,828
AT1G78800_1	0,977	1,406	1,715
AT1G78810_1	1,039	1,042	1,528
AT1G78810_2	1,092	1,217	1,543
AT1G78815_1	1,327	1,355	1,626
AT1G78820_1	1,102	0,170	0,034
AT1G78830_1	0,918	0,995	0,956
AT1G78840_1	1,058	0,991	1,096
AT1G78850_1	0,886	1,024	0,938
AT1G78860_1	1,140	1,304	1,085
AT1G78870_1	0,935	1,101	1,152
AT1G78870_2	0,964	1,141	1,147
AT1G78870_3	0,865	0,884	1,370
AT1G78880_1	1,047	0,716	0,598
AT1G78890_1	1,078	0,463	0,824
AT1G78895_1	0,767	1,254	1,678
AT1G78900_1	1,060	0,924	1,010
AT1G78910_1	0,963	0,535	0,660
AT1G78915_1	0,888	0,448	0,343
AT1G78920_1	1,020	0,948	1,025
AT1G78920_2	1,057	1,152	1,611
AT1G78922_1	1,009	0,966	1,296
AT1G78930_1	1,356	1,667	0,675
AT1G78940_1	1,315	4,715	7,137

AGI	NaCl-Kontrolle zur H₂O-Kontrolle (log₂)	H₂O +B.c. zur H₂O-Kontrolle (log₂)	NaCl +B.c. zur H₂O-Kontrolle (log₂)
AT1G78950_1	1,064	0,564	0,519
AT1G78955_1	0,971	0,660	0,656
AT1G78960_1	1,084	0,600	0,546
AT1G78970_1	0,769	0,120	0,031
AT1G78980_1	1,083	1,060	1,179
AT1G78990_1	0,994	0,490	0,386
AT1G78995_1	0,920	0,217	0,044
AT1G79000_1	1,137	1,014	1,149
AT1G79010_1	1,013	0,915	1,094
AT1G79020_1	0,983	1,219	1,588
AT1G79030_1	1,174	0,663	0,463
AT1G79040_1	0,983	0,792	0,586
AT1G79050_1	1,052	0,992	0,815
AT1G79050_2	1,190	1,013	0,807
AT1G79060_1	1,055	1,662	0,612
AT1G79070_1	0,965	0,800	0,578
AT1G79075_1	1,117	0,953	0,991
AT1G79075_2	1,037	0,876	0,988
AT1G79080_1	1,041	0,644	0,512
AT1G79090_1	1,142	1,117	1,227
AT1G79090_2	1,043	1,110	1,284
AT1G79100_1	1,383	1,290	1,136
AT1G79110_1	0,928	1,049	0,874
AT1G79120_1	1,069	0,728	0,555
AT1G79130_1	1,384	1,396	1,425
AT1G79150_1	1,129	1,276	0,763
AT1G79160_1	0,870	1,655	3,051
AT1G79170_1	1,125	1,469	1,471
AT1G79180_1	1,131	1,056	1,480
AT1G79190_1	1,089	0,836	0,524
AT1G79200_1	0,963	0,923	1,015
AT1G79210_1	0,962	0,756	1,086
AT1G79210_2	0,945	0,918	0,974
AT1G79210_3	0,967	0,759	1,235
AT1G79220_1	0,931	0,672	0,507
AT1G79230_1	1,103	0,903	1,001
AT1G79230_3	0,930	0,630	0,678
AT1G79245_1	0,636	0,958	1,361
AT1G79250_1	1,333	1,238	1,371
AT1G79260_1	1,179	0,639	0,565
AT1G79270_1	1,198	2,400	3,332
AT1G79280_1	1,141	0,915	0,862
AT1G79310_1	0,962	5,024	2,433
AT1G79320_1	1,162	1,138	1,171
AT1G79330_1	0,956	0,985	1,260
AT1G79340_1	0,948	0,983	1,168
AT1G79350_1	0,982	0,807	0,892
AT1G79360_1	0,989	2,350	1,917
AT1G79370_1	0,958	1,007	1,067
AT1G79380_1	0,848	0,559	0,747

AGI	NaCl-Kontrolle zur H₂O-Kontrolle (log₂)	H₂O +B.c. zur H₂O-Kontrolle (log₂)	NaCl +B.c. zur H₂O-Kontrolle (log₂)
AT1G79390_1	1,072	0,988	0,689
AT1G79400_1	1,068	2,353	1,963
AT1G79410_1	1,028	3,695	5,512
AT1G79420_1	0,829	0,276	0,188
AT1G79430_1	1,069	1,112	1,988
AT1G79430_2	1,129	0,839	1,602
AT1G79440_1	1,107	0,348	0,531
AT1G79450_1	0,872	1,870	6,174
AT1G79450_2	0,897	1,224	3,816
AT1G79460_1	1,261	0,030	0,023
AT1G79470_1	1,266	1,498	0,762
AT1G79480_1	0,628	0,332	0,261
AT1G79490_1	1,195	1,176	0,538
AT1G79500_1	0,972	0,117	0,041
AT1G79500_2	0,953	0,125	0,047
AT1G79500_3	0,951	0,116	0,034
AT1G79500_4	0,968	0,172	0,092
AT1G79500_5	1,102	0,388	0,214
AT1G79510_1	1,058	0,945	0,842
AT1G79510_2	1,082	0,947	0,789
AT1G79520_1	2,016	1,843	7,635
AT1G79529_1	1,187	0,610	0,609
AT1G79530_1	0,834	0,918	2,228
AT1G79540_1	1,038	1,186	1,129
AT1G79550_1	0,999	1,341	1,492
AT1G79560_1	1,083	0,407	0,120
AT1G79570_1	1,129	1,180	1,407
AT1G79580_1	1,122	1,349	1,755
AT1G79580_2	1,151	1,374	1,716
AT1G79580_3	1,194	1,444	1,860
AT1G79590_1	0,757	1,200	1,512
AT1G79590_2	0,992	1,199	1,296
AT1G79600_1	0,976	0,930	1,109
AT1G79610_1	1,186	1,319	2,644
AT1G79620_1	0,922	0,358	0,201
AT1G79630_1	1,121	1,697	1,096
AT1G79640_1	0,900	0,367	0,285
AT1G79650_1	1,099	1,189	0,905
AT1G79650_3	0,974	1,086	0,840
AT1G79660_1	0,811	0,442	0,313
AT1G79670_1	0,792	1,070	1,358
AT1G79670_2	0,871	1,138	1,194
AT1G79680_1	0,290	33,840	32,584
AT1G79690_1	1,081	2,986	2,494
AT1G79700_1	0,555	0,333	0,243
AT1G79700_2	0,530	0,320	0,263
AT1G79710_1	1,241	2,153	3,747
AT1G79720_1	0,795	1,010	0,921
AT1G79730_1	1,065	1,363	1,542
AT1G79740_1	1,030	0,596	0,683

AGI	NaCl-Kontrolle zur H₂O-Kontrolle (log₂)	H₂O +B.c. zur H₂O-Kontrolle (log₂)	NaCl +B.c. zur H₂O-Kontrolle (log₂)
AT1G79750_1	0,976	1,046	1,042
AT1G79760_1	1,028	0,767	0,682
AT1G79770_1	0,939	1,638	0,850
AT1G79780_1	1,223	1,395	1,602
AT1G79790_1	1,193	0,828	0,615
AT1G79790_2	1,051	0,467	0,654
AT1G79800_1	1,040	1,400	1,486
AT1G79810_1	1,015	1,042	1,266
AT1G79810_2	1,042	1,054	1,319
AT1G79820_1	1,213	0,207	0,107
AT1G79820_3	1,213	0,202	0,090
AT1G79830_1	1,098	1,040	0,998
AT1G79840_1	1,029	0,259	0,225
AT1G79850_1	0,877	0,540	0,237
AT1G79860_1	1,154	1,387	1,581
AT1G79870_1	0,946	0,711	0,856
AT1G79880_1	0,975	0,728	0,524
AT1G79880_2	0,937	0,672	0,487
AT1G79880_3	0,952	0,732	0,460
AT1G79890_1	0,823	0,893	0,741
AT1G79900_1	1,837	5,824	52,433
AT1G79910_1	0,795	0,918	1,500
AT1G79915_1	1,096	1,209	1,462
AT1G79920_1	1,042	1,380	1,336
AT1G79930_1	1,079	1,353	1,339
AT1G79930_2	1,137	1,322	1,154
AT1G79940_1	1,072	1,074	1,185
AT1G79940_2	1,049	1,071	1,220
AT1G79950_1	0,992	0,653	0,597
AT1G79960_1	0,964	0,760	0,931
AT1G79970_1	1,008	1,012	1,369
AT1G79970_2	0,891	0,654	0,960
AT1G79990_1	1,108	0,555	0,464
AT1G79990_2	0,867	1,141	1,417
AT1G79990_4	0,891	1,173	1,433
AT1G79990_5	1,101	0,590	0,500
AT1G80000_1	1,051	0,961	0,866
AT1G80010_1	1,107	1,060	1,251
AT1G80020_1	1,092	1,217	1,134
AT1G80030_1	1,031	0,627	0,482
AT1G80030_2	0,959	0,327	0,271
AT1G80030_3	0,981	0,550	0,379
AT1G80040_1	1,056	1,156	1,310
AT1G80040_2	0,855	0,595	0,943
AT1G80050_1	0,950	0,129	0,025
AT1G80060_1	1,024	0,434	0,322
AT1G80070_1	1,175	0,977	0,765
AT1G80080_1	0,739	0,344	0,291
AT1G80090_1	0,859	0,876	1,058
AT1G80100_1	1,002	0,976	1,013

AGI	NaCl-Kontrolle zur H ₂ O-Kontrolle (log ₂)	H ₂ O +B.c. zur H ₂ O-Kontrolle (log ₂)	NaCl +B.c. zur H ₂ O-Kontrolle (log ₂)
AT1G80100_2	1,015	1,175	1,235
AT1G80110_1	1,408	1,038	1,223
AT1G80120_1	0,775	2,749	1,230
AT1G80130_1	1,500	1,655	0,524
AT1G80133_1	0,968	1,110	1,178
AT1G80140_1	0,865	1,017	0,963
AT1G80150_1	1,189	1,475	0,903
AT1G80160_1	1,180	37,543	129,443
AT1G80160_2	1,132	2,390	9,720
AT1G80170_1	0,908	0,245	0,091
AT1G80180_1	0,986	1,496	1,469
AT1G80190_1	0,776	1,294	1,025
AT1G80200_1	0,731	0,840	0,649
AT1G80210_1	0,962	0,717	0,766
AT1G80210_2	1,057	0,643	0,929
AT1G80220_1	1,085	1,291	1,411
AT1G80230_1	0,881	1,131	1,445
AT1G80240_1	1,010	1,368	7,812
AT1G80245_1	1,102	1,457	0,863
AT1G80245_2	1,020	1,438	0,925
AT1G80245_3	0,986	1,355	0,840
AT1G80260_1	1,015	0,480	0,219
AT1G80270_1	1,064	1,544	0,770
AT1G80270_3	1,066	1,554	0,775
AT1G80280_1	0,760	4,043	1,860
AT1G80290_1	0,821	1,460	1,421
AT1G80290_2	0,886	1,244	1,137
AT1G80300_1	1,000	1,875	2,222
AT1G80310_1	1,055	0,920	1,200
AT1G80320_1	1,194	1,215	2,248
AT1G80325_1	1,099	1,188	2,041
AT1G80325_2	1,013	1,087	1,761
AT1G80330_1	0,813	1,306	2,230
AT1G80340_1	0,865	0,944	0,972
AT1G80350_1	1,077	0,557	0,419
AT1G80360_1	0,949	1,308	1,943
AT1G80370_1	0,613	0,194	0,158
AT1G80380_1	0,907	0,650	0,458
AT1G80380_2	0,955	0,684	0,500
AT1G80390_1	0,981	1,230	1,072
AT1G80400_1	0,959	0,782	0,798
AT1G80410_1	1,022	0,819	0,764
AT1G80420_1	0,714	0,380	0,625
AT1G80420_2	0,825	0,540	0,835
AT1G80420_3	0,828	0,570	0,848
AT1G80440_1	1,015	0,769	0,764
AT1G80450_1	0,843	1,723	4,770
AT1G80460_1	0,935	0,704	0,910
AT1G80460_2	0,992	0,676	0,953
AT1G80470_1	0,990	1,324	1,417

AGI	NaCl-Kontrolle zur H ₂ O-Kontrolle (log ₂)	H ₂ O +B.c. zur H ₂ O-Kontrolle (log ₂)	NaCl +B.c. zur H ₂ O-Kontrolle (log ₂)
AT1G80480_1	1,114	0,335	0,236
AT1G80490_1	1,045	0,927	0,782
AT1G80500_1	0,928	0,842	0,992
AT1G80510_1	0,985	0,808	0,906
AT1G80520_1	1,155	1,577	1,423
AT1G80530_1	1,084	1,094	0,698
AT1G80540_1	0,770	0,783	0,747
AT1G80550_1	0,976	1,165	0,918
AT1G80555_1	0,978	1,310	1,286
AT1G80560_1	0,959	0,948	0,542
AT1G80570_1	1,418	0,633	0,979
AT1G80580_1	1,076	1,426	1,517
AT1G80590_1	0,964	2,115	2,979
AT1G80600_1	1,025	0,767	0,811
AT1G80610_1	1,152	2,198	2,845
AT1G80620_1	1,112	1,196	0,821
AT1G80630_1	0,984	0,453	0,386
AT1G80640_1	1,097	0,536	0,066
AT1G80640_2	1,049	0,531	0,064
AT1G80650_1	0,888	0,273	0,463
AT1G80660_1	1,076	1,144	1,260
AT1G80670_1	0,896	1,198	1,328
AT1G80680_1	1,113	0,954	0,739
AT1G80690_1	0,858	0,173	0,107
AT1G80700_1	1,229	0,424	0,409
AT1G80710_1	0,576	0,910	0,979
AT1G80720_1	1,029	0,978	0,636
AT1G80730_1	0,745	0,797	0,818
AT1G80740_1	0,892	0,956	1,181
AT1G80745_1	0,945	0,655	0,675
AT1G80750_1	1,089	1,878	1,472
AT1G80760_1	0,595	1,259	0,131
AT1G80770_1	0,901	0,450	0,296
AT1G80780_1	1,078	1,013	0,910
AT1G80780_2	1,025	0,964	0,961
AT1G80790_1	1,113	0,689	0,713
AT1G80800_1	1,015	0,442	0,494
AT1G80810_1	1,001	0,724	0,553
AT1G80810_2	1,024	0,697	0,572
AT1G80820_1	1,411	32,497	25,702
AT1G80830_1	0,995	2,472	2,438
AT1G80831_1	1,035	1,263	1,490
AT1G80840_1	0,675	13,765	11,681
AT1G80850_1	0,908	0,167	0,081
AT1G80860_1	0,848	0,913	0,984
AT1G80860_2	0,767	0,492	0,256
AT1G80865_1	1,087	1,204	1,176
AT1G80870_1	1,115	0,367	0,286
AT1G80880_1	1,299	0,247	0,112
AT1G80890_1	1,076	0,588	0,835

AGI	NaCl-Kontrolle zur H₂O-Kontrolle (log₂)	H₂O +B.c. zur H₂O-Kontrolle (log₂)	NaCl +B.c. zur H₂O-Kontrolle (log₂)
AT1G80900_1	0,991	0,752	1,135
AT1G80910_1	0,983	1,394	1,536
AT1G80920_1	0,817	0,265	1,003
AT1G80930_1	1,089	0,970	0,909
AT1G80940_1	0,855	0,669	1,382
AT1G80940_2	0,897	0,663	1,065
AT1G80950_1	0,913	1,025	1,807
AT1G80960_1	1,102	0,737	1,417
AT1G80960_3	1,104	0,702	1,355
AT1G80970_1	0,890	0,861	1,142
AT1G80980_1	1,243	0,357	0,347
AT1G80990_1	1,066	1,116	1,110
AT1G81001_1	0,969	0,986	0,964
AT1G81020_1	1,029	1,184	1,130
AT2G01010_1	1,034	0,979	1,028
AT2G01020_1	1,048	0,932	0,888
AT2G01022_1	1,101	1,367	1,226
AT2G01023_1	1,203	1,052	1,013
AT2G01024_1	1,210	1,446	1,540
AT2G01026_1	1,192	1,398	1,358
AT2G01028_1	1,271	1,392	1,365
AT2G01029_1	1,149	1,431	1,511
AT2G01031_1	1,113	1,241	1,271
AT2G01034_1	1,149	1,424	1,359
AT2G01037_1	1,249	1,418	1,493
AT2G01040_1	1,295	0,996	1,055
AT2G01050_1	1,076	1,238	1,169
AT2G01060_1	1,002	0,900	1,010
AT2G01060_2	1,005	0,809	0,860
AT2G01070_1	0,906	0,606	0,306
AT2G01070_2	0,813	0,634	0,374
AT2G01080_1	1,046	0,618	0,299
AT2G01090_1	0,908	0,882	0,998
AT2G01100_1	0,935	1,498	2,441
AT2G01100_2	0,974	1,382	1,865
AT2G01100_3	0,889	1,337	2,557
AT2G01110_1	1,042	0,558	0,494
AT2G01120_1	0,772	0,384	0,216
AT2G01130_1	1,254	0,572	0,459
AT2G01140_1	1,135	1,504	1,639
AT2G01150_1	0,654	1,528	0,723
AT2G01170_1	0,932	0,636	0,625
AT2G01170_2	0,968	0,654	0,639
AT2G01175_1	1,005	0,993	0,912
AT2G01180_1	0,785	1,915	2,728
AT2G01180_2	0,741	1,465	2,701
AT2G01190_1	1,067	1,609	1,711
AT2G01200_1	1,098	1,021	1,090
AT2G01200_2	1,226	0,940	0,944
AT2G01210_1	1,043	0,402	0,285

AGI	NaCl-Kontrolle zur H₂O-Kontrolle (log₂)	H₂O +B.c. zur H₂O-Kontrolle (log₂)	NaCl +B.c. zur H₂O-Kontrolle (log₂)
AT2G01220_1	0,960	0,842	1,124
AT2G01220_2	0,907	0,951	1,816
AT2G01240_1	0,835	0,908	0,961
AT2G01250_1	0,912	0,736	0,571
AT2G01250_2	0,927	0,762	0,592
AT2G01260_1	0,882	1,405	1,400
AT2G01260_2	0,839	0,704	0,748
AT2G01260_3	0,889	1,407	1,376
AT2G01270_1	1,205	0,911	0,861
AT2G01275_1	0,593	0,386	0,405
AT2G01275_2	0,605	0,423	0,479
AT2G01280_1	0,938	0,999	1,156
AT2G01290_1	1,141	1,462	1,192
AT2G01300_1	0,914	3,097	7,527
AT2G01310_1	0,887	1,091	1,453
AT2G01320_1	1,056	0,853	0,585
AT2G01320_2	1,059	0,845	0,553
AT2G01320_3	1,075	0,821	0,587
AT2G01320_4	1,087	0,867	0,587
AT2G01330_1	0,953	1,320	1,639
AT2G01340_1	0,702	5,424	5,716
AT2G01350_1	1,021	0,935	1,457
AT2G01350_2	1,005	0,938	1,305
AT2G01350_3	1,041	0,968	1,446
AT2G01350_4	1,074	1,001	1,179
AT2G01360_1	1,301	0,550	0,293
AT2G01370_1	0,876	1,182	1,159
AT2G01372_1	1,113	1,338	1,081
AT2G01390_1	1,298	0,476	0,251
AT2G01400_1	1,096	0,952	1,221
AT2G01410_1	0,916	0,970	1,136
AT2G01420_1	1,084	0,486	0,042
AT2G01420_2	1,106	0,468	0,041
AT2G01430_1	0,868	1,283	1,360
AT2G01440_1	1,214	0,817	0,686
AT2G01450_1	0,757	1,429	1,509
AT2G01460_1	0,949	1,072	3,219
AT2G01470_1	1,011	1,139	1,413
AT2G01480_1	0,989	1,445	1,769
AT2G01490_1	0,992	1,502	2,319
AT2G01500_1	1,032	1,198	1,451
AT2G01505_1	0,998	0,217	0,038
AT2G01510_1	1,308	0,498	0,357
AT2G01520_1	0,993	1,244	1,076
AT2G01530_1	1,031	1,405	1,293
AT2G01540_1	1,115	2,087	3,942
AT2G01550_1	1,013	1,290	1,285
AT2G01554_1	1,087	1,078	1,139
AT2G01560_1	0,978	1,148	1,366
AT2G01570_1	1,113	0,994	0,565

AGI	NaCl-Kontrolle zur H₂O-Kontrolle (log₂)	H₂O +B.c. zur H₂O-Kontrolle (log₂)	NaCl +B.c. zur H₂O-Kontrolle (log₂)
AT2G01580_1	0,883	1,097	1,168
AT2G01590_1	1,030	0,174	0,013
AT2G01600_1	1,024	1,470	1,530
AT2G01610_1	1,125	0,424	2,966
AT2G01620_1	1,139	0,471	0,418
AT2G01630_1	0,999	0,528	0,266
AT2G01630_2	0,983	0,550	0,287
AT2G01640_1	0,768	0,915	0,814
AT2G01650_1	0,844	1,421	2,050
AT2G01660_1	0,694	0,293	0,271
AT2G01660_2	0,870	0,544	0,537
AT2G01667_1	1,087	1,326	1,418
AT2G01670_1	0,816	1,627	2,462
AT2G01680_1	0,965	0,960	1,266
AT2G01690_1	0,964	1,212	1,265
AT2G01700_1	1,171	1,472	1,354
AT2G01710_1	0,958	1,741	2,006
AT2G01720_1	0,995	0,705	0,729
AT2G01730_1	1,434	0,940	0,690
AT2G01735_1	1,081	0,769	1,367
AT2G01740_1	1,069	0,964	0,345
AT2G01750_1	1,156	0,827	0,362
AT2G01755_1	0,853	0,360	0,244
AT2G01760_1	0,754	0,238	0,098
AT2G01770_1	1,026	1,148	1,237
AT2G01780_1	1,014	1,060	1,086
AT2G01790_1	1,074	1,172	1,178
AT2G01800_1	1,071	1,057	1,096
AT2G01800_2	1,285	1,533	1,634
AT2G01800_3	1,074	1,047	1,123
AT2G01810_1	0,946	1,383	1,481
AT2G01818_1	0,602	0,445	0,505
AT2G01820_1	0,983	0,899	0,853
AT2G01830_1	1,267	0,106	0,038
AT2G01830_2	1,308	0,113	0,042
AT2G01840_1	0,981	1,089	0,983
AT2G01850_1	0,832	1,471	1,621
AT2G01860_1	0,769	0,595	0,480
AT2G01870_1	1,006	0,234	0,403
AT2G01880_1	1,092	1,210	2,714
AT2G01890_1	0,775	0,432	5,321
AT2G01890_2	0,869	0,634	4,410
AT2G01900_1	1,135	1,329	1,492
AT2G01905_1	1,030	1,050	1,070
AT2G01910_1	0,842	0,340	0,098
AT2G01913_1	1,051	0,834	1,100
AT2G01918_1	0,936	0,218	0,150
AT2G01920_1	1,068	1,157	1,484
AT2G01930_1	0,885	0,623	0,731
AT2G01930_2	0,734	0,360	0,556

AGI	NaCl-Kontrolle zur H₂O-Kontrolle (log₂)	H₂O +B.c. zur H₂O-Kontrolle (log₂)	NaCl +B.c. zur H₂O-Kontrolle (log₂)
AT2G01940_1	0,926	0,786	0,324
AT2G01940_2	0,869	0,680	0,281
AT2G01950_1	0,866	0,232	0,043
AT2G01960_1	1,040	1,153	1,141
AT2G01970_1	1,049	1,147	1,143
AT2G01973_1	1,055	1,060	0,999
AT2G01980_1	1,133	1,139	1,799
AT2G01990_1	0,993	0,149	0,102
AT2G02000_1	1,061	8,180	8,814
AT2G02010_1	0,909	33,865	28,274
AT2G02020_1	0,905	0,666	0,316
AT2G02023_1	1,072	1,045	1,063
AT2G02026_1	1,281	1,191	1,270
AT2G02030_1	1,156	1,325	1,499
AT2G02040_1	0,978	1,177	1,640
AT2G02050_1	0,878	0,817	1,327
AT2G02060_1	1,332	1,750	3,606
AT2G02061_1	1,011	0,949	0,820
AT2G02070_1	1,068	0,582	0,380
AT2G02080_1	1,057	0,922	1,125
AT2G02090_1	1,041	1,393	1,609
AT2G02100_1	1,094	0,064	0,057
AT2G02103_1	1,108	1,112	1,059
AT2G02110_1	1,062	1,107	1,213
AT2G02120_1	1,200	0,184	0,117
AT2G02130_1	0,797	0,163	0,086
AT2G02135_1	1,519	2,087	2,148
AT2G02140_1	1,015	1,055	1,206
AT2G02147_1	1,081	1,141	1,379
AT2G02150_1	0,931	0,781	1,181
AT2G02160_1	1,082	0,950	0,917
AT2G02170_1	1,062	0,275	0,143
AT2G02180_1	0,880	1,442	1,410
AT2G02190_1	1,037	1,186	1,174
AT2G02200_1	1,173	1,280	1,303
AT2G02205_1	1,077	1,162	1,253
AT2G02210_1	1,157	1,107	1,328
AT2G02220_1	0,779	1,345	1,755
AT2G02230_1	0,883	0,764	1,031
AT2G02240_1	1,021	1,374	2,259
AT2G02250_1	1,013	1,120	1,564
AT2G02260_1	1,070	1,149	1,040
AT2G02270_1	1,129	1,172	1,145
AT2G02280_1	1,016	1,458	1,747
AT2G02290_1	1,144	1,182	1,168
AT2G02300_1	0,994	1,082	1,124
AT2G02310_1	1,004	4,846	14,484
AT2G02320_1	1,089	1,388	2,166
AT2G02330_1	0,995	1,237	2,013
AT2G02340_1	1,205	1,900	2,518

AGI	NaCl-Kontrolle zur H₂O-Kontrolle (log₂)	H₂O +B.c. zur H₂O-Kontrolle (log₂)	NaCl +B.c. zur H₂O-Kontrolle (log₂)
AT2G02350_1	0,822	0,598	1,038
AT2G02360_1	0,933	1,097	1,334
AT2G02370_1	0,735	3,192	6,554
AT2G02370_2	1,052	2,474	3,217
AT2G02380_1	1,164	2,373	2,920
AT2G02390_1	0,961	2,321	5,100
AT2G02390_2	0,822	2,071	5,592
AT2G02390_3	1,155	3,353	6,696
AT2G02400_1	0,999	0,375	0,494
AT2G02410_1	0,815	0,288	0,357
AT2G02430_1	1,157	1,082	1,137
AT2G02440_1	1,277	1,326	1,333
AT2G02450_1	0,610	0,210	0,156
AT2G02450_2	0,631	0,211	0,166
AT2G02470_1	0,952	0,717	0,714
AT2G02480_1	0,915	0,697	0,555
AT2G02490_1	1,056	1,666	1,630
AT2G02498_1	1,035	1,697	2,038
AT2G02500_1	0,826	0,145	0,117
AT2G02510_1	0,847	0,795	1,184
AT2G02515_1	0,948	1,097	1,136
AT2G02520_1	1,020	1,096	0,999
AT2G02540_1	1,049	0,356	0,304
AT2G02550_1	1,016	1,013	0,987
AT2G02550_2	1,121	1,134	1,249
AT2G02560_1	1,020	0,790	0,924
AT2G02570_1	1,020	0,702	1,030
AT2G02570_2	1,101	0,737	1,034
AT2G02570_3	1,036	0,713	1,031
AT2G02580_1	1,191	1,164	1,321
AT2G02590_1	0,823	0,256	0,192
AT2G02610_1	0,950	1,438	1,312
AT2G02620_1	0,985	1,124	1,091
AT2G02630_1	0,999	1,083	1,036
AT2G02640_1	1,031	1,031	1,132
AT2G02650_1	0,940	1,328	1,402
AT2G02660_1	0,968	1,291	1,343
AT2G02670_1	0,917	0,972	1,098
AT2G02680_1	1,155	1,282	1,386
AT2G02690_1	1,056	1,198	1,382
AT2G02700_1	1,037	1,095	1,417
AT2G02710_1	0,888	0,665	2,430
AT2G02710_2	0,872	0,653	2,477
AT2G02720_1	0,973	0,965	1,035
AT2G02730_1	0,698	1,654	2,923
AT2G02730_2	0,912	1,234	1,603
AT2G02740_1	1,154	0,364	0,118
AT2G02741_1	1,101	0,448	0,426
AT2G02750_1	1,146	0,355	0,304
AT2G02760_1	1,022	0,933	1,103

AGI	NaCl-Kontrolle zur H₂O-Kontrolle (log₂)	H₂O +B.c. zur H₂O-Kontrolle (log₂)	NaCl +B.c. zur H₂O-Kontrolle (log₂)
AT2G02770_1	0,972	0,798	0,857
AT2G02780_1	0,991	0,261	0,027
AT2G02790_1	1,083	0,427	0,135
AT2G02795_1	1,156	1,303	1,735
AT2G02800_1	0,804	1,047	1,110
AT2G02800_2	0,865	0,912	0,849
AT2G02810_1	0,794	1,712	2,077
AT2G02820_1	0,758	0,908	0,863
AT2G02820_2	0,728	0,720	0,605
AT2G02830_1	1,213	1,273	1,340
AT2G02835_1	1,152	1,519	1,607
AT2G02840_1	1,169	1,455	1,356
AT2G02850_1	1,169	0,442	1,792
AT2G02860_1	0,859	1,954	1,871
AT2G02870_1	0,909	2,528	3,246
AT2G02870_2	0,912	2,589	3,377
AT2G02880_1	1,013	0,968	0,938
AT2G02890_1	1,005	1,152	1,104
AT2G02910_1	0,970	0,923	1,065
AT2G02930_1	1,055	1,810	1,468
AT2G02950_1	0,939	0,182	0,014
AT2G02955_1	1,291	1,820	1,284
AT2G02960_1	0,852	1,102	1,122
AT2G02960_2	0,848	1,070	1,100
AT2G02960_3	0,852	1,065	1,086
AT2G02960_4	0,865	1,032	1,065
AT2G02960_5	0,828	1,070	1,098
AT2G02970_1	1,018	1,098	1,311
AT2G02980_1	0,896	0,263	0,093
AT2G02990_1	0,893	1,421	14,901
AT2G03000_1	0,978	1,151	1,097
AT2G03010_1	1,305	1,620	1,522
AT2G03020_1	0,917	1,651	2,090
AT2G03020_2	1,410	3,381	3,188
AT2G03030_1	1,144	1,130	1,119
AT2G03040_1	1,021	1,287	1,299
AT2G03050_1	0,902	0,544	0,353
AT2G03060_1	0,876	0,903	1,201
AT2G03060_2	0,942	1,150	1,630
AT2G03070_1	1,092	0,745	0,907
AT2G03080_1	0,817	0,859	0,738
AT2G03090_1	1,109	0,080	0,036
AT2G03100_1	1,084	1,069	1,094
AT2G03110_1	1,171	0,920	0,796
AT2G03120_1	0,963	1,232	1,459
AT2G03130_1	1,159	1,261	1,387
AT2G03140_1	1,276	0,957	1,130
AT2G03150_1	0,993	0,677	0,858
AT2G03160_1	1,123	1,541	1,759
AT2G03170_1	1,118	1,712	2,259

AGI	NaCl-Kontrolle zur H₂O-Kontrolle (log₂)	H₂O +B.c. zur H₂O-Kontrolle (log₂)	NaCl +B.c. zur H₂O-Kontrolle (log₂)
AT2G03180_1	1,060	1,117	1,280
AT2G03190_1	1,297	1,484	1,620
AT2G03200_1	0,887	0,530	0,502
AT2G03210_1	1,031	0,998	1,083
AT2G03220_1	0,991	0,360	0,411
AT2G03230_1	1,033	1,389	3,846
AT2G03240_1	0,996	2,361	1,314
AT2G03250_1	1,052	1,239	1,195
AT2G03260_1	1,042	0,786	0,661
AT2G03270_1	1,019	1,483	2,453
AT2G03280_1	0,884	0,343	0,280
AT2G03280_2	0,980	0,790	0,887
AT2G03290_1	1,023	1,120	1,141
AT2G03291_1	1,188	1,646	2,167
AT2G03300_1	1,157	1,224	1,346
AT2G03310_1	1,136	0,384	0,313
AT2G03320_1	1,087	1,174	1,091
AT2G03330_1	1,152	0,974	1,028
AT2G03340_1	1,006	0,422	0,448
AT2G03350_1	0,728	0,534	0,176
AT2G03360_1	0,902	3,362	25,380
AT2G03370_1	0,988	1,257	1,549
AT2G03380_1	1,303	0,592	0,410
AT2G03390_1	1,038	0,602	0,529
AT2G03410_1	0,961	1,942	2,908
AT2G03420_1	0,918	0,247	0,019
AT2G03430_1	1,035	0,754	1,389
AT2G03440_1	1,017	0,538	0,435
AT2G03445_1	0,982	1,013	1,001
AT2G03450_1	0,968	1,314	1,924
AT2G03460_1	1,186	1,243	1,370
AT2G03470_1	1,022	1,131	1,293
AT2G03480_1	1,159	0,408	0,484
AT2G03480_2	1,075	0,712	0,712
AT2G03500_1	1,079	0,850	0,743
AT2G03505_1	0,666	29,006	32,170
AT2G03510_1	0,910	0,867	1,236
AT2G03520_1	1,092	1,113	1,206
AT2G03530_1	0,670	0,968	0,917
AT2G03530_2	0,854	0,790	0,722
AT2G03540_1	1,210	0,937	0,656
AT2G03550_1	1,002	0,805	0,635
AT2G03560_1	1,115	1,115	1,183
AT2G03565_1	1,100	1,246	1,396
AT2G03570_1	1,557	1,675	1,326
AT2G03580_1	1,014	1,051	1,349
AT2G03590_1	0,804	0,626	0,354
AT2G03600_1	1,016	0,886	0,689
AT2G03600_2	1,091	1,186	1,204
AT2G03600_3	0,926	0,806	0,598

AGI	NaCl-Kontrolle zur H₂O-Kontrolle (log₂)	H₂O +B.c. zur H₂O-Kontrolle (log₂)	NaCl +B.c. zur H₂O-Kontrolle (log₂)
AT2G03610_1	1,133	1,080	1,119
AT2G03620_1	0,953	0,908	1,278
AT2G03630_1	1,074	1,141	1,241
AT2G03630_2	1,197	1,267	1,359
AT2G03640_1	0,946	1,010	1,002
AT2G03650_1	0,952	0,982	1,048
AT2G03660_1	1,019	1,002	1,099
AT2G03667_1	0,876	0,820	0,747
AT2G03670_1	1,055	1,278	0,625
AT2G03680_1	0,915	0,705	0,874
AT2G03680_2	0,951	0,993	1,073
AT2G03690_1	0,910	0,973	1,143
AT2G03700_1	1,049	1,034	1,097
AT2G03710_1	0,970	0,636	0,491
AT2G03710_2	0,959	0,638	0,487
AT2G03710_3	0,991	0,630	0,510
AT2G03720_1	1,118	1,258	1,420
AT2G03730_1	0,889	1,155	0,894
AT2G03730_2	0,916	1,144	0,890
AT2G03740_1	1,140	1,640	1,888
AT2G03750_1	0,980	0,477	0,045
AT2G03760_1	0,739	2,293	3,351
AT2G03770_1	0,969	1,574	3,652
AT2G03780_1	1,038	0,708	0,269
AT2G03790_1	1,150	0,664	1,262
AT2G03800_1	1,002	2,248	4,411
AT2G03810_1	1,131	0,504	0,639
AT2G03820_1	1,115	1,286	1,046
AT2G03821_1	1,322	1,787	1,894
AT2G03822_1	1,030	1,095	1,061
AT2G03830_1	1,117	1,381	1,261
AT2G03840_1	1,053	1,112	1,249
AT2G03850_1	1,266	5,220	45,574
AT2G03860_1	1,048	1,183	1,172
AT2G03870_1	0,878	0,736	0,861
AT2G03870_2	0,810	0,653	0,776
AT2G03880_1	1,020	0,783	0,514
AT2G03890_1	1,131	1,118	0,763
AT2G03900_1	0,890	0,600	0,570
AT2G03910_1	0,934	1,218	1,306
AT2G03913_1	1,033	1,125	1,133
AT2G03915_1	1,032	1,045	1,026
AT2G03920_1	0,955	1,029	1,005
AT2G03930_2	1,001	1,023	1,038
AT2G03931_1	1,059	1,115	1,148
AT2G03932_1	0,969	1,000	0,978
AT2G03933_1	1,013	1,142	1,253
AT2G03934_1	1,005	1,046	1,037
AT2G03935_1	1,092	1,208	1,230
AT2G03936_1	1,063	1,097	1,127

AGI	NaCl-Kontrolle zur H₂O-Kontrolle (log₂)	H₂O +B.c. zur H₂O-Kontrolle (log₂)	NaCl +B.c. zur H₂O-Kontrolle (log₂)
AT2G03937_1	1,241	1,624	1,927
AT2G03937_2	1,192	1,460	1,680
AT2G03938_1	0,990	1,146	1,095
AT2G03940_1	0,939	1,143	0,972
AT2G03950_1	0,981	1,190	1,046
AT2G03955_1	0,955	0,942	0,914
AT2G03958_1	1,060	1,071	1,073
AT2G03960_1	0,950	0,934	0,957
AT2G03970_1	0,886	1,225	1,323
AT2G03972_1	0,955	1,025	0,967
AT2G03972_2	0,962	1,003	0,984
AT2G03980_1	0,879	1,779	2,160
AT2G03990_1	0,965	1,438	1,254
AT2G04000_1	1,063	1,437	1,411
AT2G04010_1	0,969	1,460	1,298
AT2G04020_1	1,162	1,192	1,161
AT2G04025_1	0,995	1,106	1,515
AT2G04030_1	1,064	1,082	0,521
AT2G04031_1	1,032	1,112	1,089
AT2G04032_1	0,665	0,168	0,073
AT2G04033_1	0,811	0,673	0,715
AT2G04034_1	0,999	1,033	1,072
AT2G04035_1	1,095	1,148	1,114
AT2G04036_1	0,996	1,024	1,018
AT2G04037_1	0,982	1,018	1,043
AT2G04038_1	0,912	1,039	0,937
AT2G04039_1	1,064	0,540	0,327
AT2G04039_2	1,000	0,938	0,698
AT2G04040_1	1,071	30,781	37,861
AT2G04041_1	0,957	1,030	0,993
AT2G04042_1	1,070	1,057	0,912
AT2G04043_1	0,973	1,071	1,012
AT2G04045_1	1,039	1,218	1,124
AT2G04046_1	0,993	1,196	1,993
AT2G04047_1	0,964	1,069	1,200
AT2G04050_1	1,295	5,310	8,998
AT2G04060_1	0,996	1,129	1,169
AT2G04063_1	1,329	1,891	2,636
AT2G04066_1	1,050	1,262	1,096
AT2G04070_1	1,065	12,006	18,489
AT2G04080_1	1,017	0,898	0,767
AT2G04090_1	1,210	3,432	4,259
AT2G04100_1	1,180	9,021	20,147
AT2G04110_1	1,044	1,235	2,002
AT2G04120_1	1,044	1,140	1,320
AT2G04130_1	0,914	1,174	0,957
AT2G04135_1	0,967	1,448	4,221
AT2G04140_1	1,007	1,325	1,458
AT2G04150_1	0,985	1,082	1,034
AT2G04160_1	1,578	1,739	4,259

AGI	NaCl-Kontrolle zur H₂O-Kontrolle (log₂)	H₂O +B.c. zur H₂O-Kontrolle (log₂)	NaCl +B.c. zur H₂O-Kontrolle (log₂)
AT2G04170_1	1,002	0,533	1,924
AT2G04170_4	0,888	0,414	1,711
AT2G04170_5	0,975	0,591	1,841
AT2G04180_1	1,041	1,211	1,048
AT2G04190_1	1,232	2,135	19,151
AT2G04200_1	0,953	0,960	0,945
AT2G04210_1	1,145	0,994	0,971
AT2G04220_1	1,138	1,247	0,950
AT2G04230_1	1,040	0,566	0,741
AT2G04235_1	0,873	0,476	0,387
AT2G04240_1	1,319	0,697	0,610
AT2G04240_2	1,518	0,487	0,490
AT2G04250_1	0,948	1,145	1,100
AT2G04260_1	1,073	3,318	8,961
AT2G04270_1	1,064	0,526	0,183
AT2G04270_3	1,100	0,485	0,178
AT2G04270_4	1,063	0,549	0,194
AT2G04280_1	1,027	0,666	0,216
AT2G04290_1	1,089	1,241	1,330
AT2G04300_1	1,004	1,195	1,246
AT2G04305_1	0,872	1,368	1,646
AT2G04310_1	1,118	1,419	1,397
AT2G04320_1	1,013	1,446	1,393
AT2G04330_1	1,032	1,484	1,353
AT2G04340_1	0,945	0,812	0,917
AT2G04350_1	1,283	1,496	1,843
AT2G04360_1	0,913	0,575	0,393
AT2G04370_1	1,066	1,067	1,158
AT2G04378_1	0,957	0,730	0,377
AT2G04378_2	0,997	0,673	0,340
AT2G04380_1	0,957	0,698	0,351
AT2G04390_1	0,970	0,978	0,809
AT2G04395_1	0,993	0,496	0,429
AT2G04400_1	0,908	3,043	3,204
AT2G04410_1	0,985	0,766	0,790
AT2G04420_1	0,995	0,949	1,072
AT2G04425_1	0,985	1,123	1,167
AT2G04430_1	0,845	0,765	1,327
AT2G04440_1	1,179	1,233	1,462
AT2G04450_1	0,884	0,666	1,102
AT2G04460_1	1,121	5,795	28,912
AT2G04470_1	1,131	1,183	1,265
AT2G04480_1	1,076	1,103	1,324
AT2G04490_1	0,911	1,011	1,010
AT2G04495_1	0,579	1,176	2,612
AT2G04500_1	0,907	0,967	0,926
AT2G04510_1	1,022	1,136	1,143
AT2G04515_1	0,729	0,966	1,676
AT2G04520_1	0,882	1,150	1,170
AT2G04530_1	1,079	0,381	0,144

AGI	NaCl-Kontrolle zur H₂O-Kontrolle (log₂)	H₂O +B.c. zur H₂O-Kontrolle (log₂)	NaCl +B.c. zur H₂O-Kontrolle (log₂)
AT2G04540_1	0,891	0,608	0,475
AT2G04550_1	1,017	0,915	1,201
AT2G04550_3	0,986	0,924	1,175
AT2G04560_1	0,982	0,396	0,425
AT2G04570_1	1,087	0,088	0,066
AT2G04580_1	1,117	1,282	1,556
AT2G04590_1	1,000	0,992	0,998
AT2G04600_1	0,989	1,022	0,994
AT2G04610_1	1,074	1,570	1,389
AT2G04620_1	1,048	1,316	1,717
AT2G04622_1	1,051	1,060	1,075
AT2G04625_1	1,012	1,112	1,315
AT2G04630_1	0,964	0,887	0,989
AT2G04650_1	0,860	0,641	0,866
AT2G04660_1	1,144	0,657	0,487
AT2G04670_1	1,268	1,452	1,358
AT2G04675_1	1,037	1,086	1,129
AT2G04680_1	1,026	1,213	1,082
AT2G04690_1	0,889	0,267	0,644
AT2G04690_2	0,897	0,251	0,641
AT2G04700_1	1,013	0,436	0,389
AT2G04710_1	0,944	1,154	1,162
AT2G04720_1	0,960	0,943	0,920
AT2G04730_1	1,065	1,121	1,162
AT2G04740_1	1,104	1,144	1,073
AT2G04750_1	1,089	1,055	1,332
AT2G04760_1	1,074	1,250	1,119
AT2G04770_1	1,198	1,337	1,458
AT2G04780_1	0,721	0,150	0,088
AT2G04780_2	1,017	0,918	0,917
AT2G04790_1	0,809	0,580	0,087
AT2G04790_2	0,817	0,603	0,238
AT2G04790_3	0,842	0,519	0,256
AT2G04790_4	0,882	0,602	0,162
AT2G04795_1	0,683	2,056	1,394
AT2G04800_1	1,152	1,114	1,028
AT2G04800_2	0,967	1,026	1,066
AT2G04810_1	1,199	1,171	1,178
AT2G04820_1	1,011	1,352	1,408
AT2G04830_1	1,032	0,760	0,665
AT2G04840_1	1,195	1,183	1,431
AT2G04842_1	1,033	0,687	0,491
AT2G04845_1	0,830	0,682	0,600
AT2G04845_2	0,886	0,785	0,704
AT2G04850_1	0,899	0,500	0,377
AT2G04852_1	1,073	0,217	0,115
AT2G04860_1	1,348	0,375	0,271
AT2G04865_1	1,077	0,652	0,680
AT2G04870_1	1,207	1,348	1,680
AT2G04880_1	0,939	0,968	1,239

AGI	NaCl-Kontrolle zur H₂O-Kontrolle (log₂)	H₂O +B.c. zur H₂O-Kontrolle (log₂)	NaCl +B.c. zur H₂O-Kontrolle (log₂)
AT2G04880_2	1,056	1,025	1,295
AT2G04890_1	1,116	0,710	0,511
AT2G04900_1	0,916	1,026	1,354
AT2G04900_2	0,851	0,987	1,355
AT2G04910_1	1,037	1,091	1,211
AT2G04910_2	1,122	1,155	1,180
AT2G04920_1	0,987	0,972	0,979
AT2G04925_1	1,008	1,051	1,052
AT2G04930_1	1,182	1,119	1,148
AT2G04940_1	1,090	1,089	0,709
AT2G04950_1	1,148	1,150	1,287
AT2G04970_1	1,193	1,240	1,187
AT2G04980_1	1,214	1,289	1,404
AT2G04990_1	1,238	1,408	1,139
AT2G05000_1	1,136	1,374	1,009
AT2G05010_1	1,258	1,423	1,527
AT2G05020_1	1,097	1,066	1,075
AT2G05025_1	1,078	1,116	1,138
AT2G05030_1	1,371	1,892	2,536
AT2G05040_1	1,066	1,423	1,109
AT2G05050_1	1,065	1,043	0,658
AT2G05060_1	0,914	1,478	1,439
AT2G05070_1	0,926	0,462	0,055
AT2G05080_1	1,023	1,369	1,179
AT2G05082_1	1,053	1,167	1,117
AT2G05084_1	0,954	0,947	0,889
AT2G05087_1	1,012	1,052	1,006
AT2G05090_1	0,918	1,144	0,971
AT2G05100_1	1,103	0,707	0,287
AT2G05110_1	0,912	1,247	1,142
AT2G05115_1	0,973	1,054	1,021
AT2G05117_1	1,008	1,099	1,249
AT2G05120_1	1,201	0,737	0,308
AT2G05130_1	1,031	1,028	1,120
AT2G05133_1	1,074	0,921	1,047
AT2G05140_1	1,245	1,550	1,013
AT2G05150_1	1,199	0,772	0,577
AT2G05160_1	1,080	0,040	0,015
AT2G05170_1	1,093	0,809	0,745
AT2G05171_1	1,057	0,983	0,874
AT2G05180_1	1,100	1,304	1,404
AT2G05185_1	1,012	0,674	0,706
AT2G05190_1	1,081	1,024	0,988
AT2G05200_1	1,161	1,261	1,433
AT2G05210_1	1,004	0,141	0,072
AT2G05210_2	1,028	0,139	0,068
AT2G05220_1	0,943	0,927	0,738
AT2G05220_2	0,981	0,920	0,729
AT2G05230_1	1,126	0,960	0,915
AT2G05240_1	1,001	1,011	0,974

AGI	NaCl-Kontrolle zur H₂O-Kontrolle (log₂)	H₂O +B.c. zur H₂O-Kontrolle (log₂)	NaCl +B.c. zur H₂O-Kontrolle (log₂)
AT2G05250_1	1,091	0,951	0,931
AT2G05260_1	0,871	1,505	1,590
AT2G05260_2	0,879	1,593	1,811
AT2G05270_1	0,994	1,067	1,067
AT2G05280_1	1,106	1,134	1,213
AT2G05290_1	0,861	0,903	0,905
AT2G05294_1	1,089	1,096	1,156
AT2G05300_1	1,089	0,611	0,447
AT2G05300_2	0,892	0,783	0,639
AT2G05310_1	0,922	0,501	0,249
AT2G05320_1	0,963	1,029	1,415
AT2G05330_1	0,947	1,067	1,053
AT2G05335_1	0,942	1,133	1,015
AT2G05340_1	1,070	1,168	1,222
AT2G05350_1	1,013	1,090	1,110
AT2G05360_1	1,186	1,625	1,630
AT2G05370_1	1,148	1,036	0,965
AT2G05370_2	0,975	1,078	0,969
AT2G05380_1	1,952	4,756	4,345
AT2G05390_1	1,150	1,494	1,420
AT2G05400_1	0,989	1,004	1,031
AT2G05400_2	1,235	1,530	1,640
AT2G05410_1	1,168	1,070	1,158
AT2G05420_1	1,111	1,121	1,204
AT2G05430_1	1,130	1,104	1,159
AT2G05435_1	1,104	1,391	1,415
AT2G05440_1	1,200	0,691	0,440
AT2G05440_2	1,397	0,739	0,423
AT2G05440_5	1,227	0,673	0,496
AT2G05440_6	1,309	0,687	0,449
AT2G05441_1	1,409	1,031	0,766
AT2G05450_1	1,124	1,453	1,313
AT2G05460_1	1,225	1,562	1,645
AT2G05470_1	1,135	1,262	1,321
AT2G05475_1	1,224	1,439	1,550
AT2G05480_1	1,331	2,149	2,333
AT2G05490_1	1,209	1,315	1,407
AT2G05500_1	1,102	0,910	0,880
AT2G05510_1	1,050	1,014	0,929
AT2G05510_2	1,098	0,981	0,940
AT2G05510_4	1,120	1,048	0,966
AT2G05510_6	1,072	0,963	0,889
AT2G05518_1	0,881	1,342	2,597
AT2G05520_1	1,179	0,806	0,579
AT2G05520_2	1,194	0,819	0,559
AT2G05520_4	1,178	0,794	0,543
AT2G05530_1	1,013	1,168	1,058
AT2G05540_1	0,751	2,815	3,704
AT2G05550_1	1,061	1,229	1,092
AT2G05560_1	1,266	1,294	1,262

AGI	NaCl-Kontrolle zur H₂O-Kontrolle (log₂)	H₂O +B.c. zur H₂O-Kontrolle (log₂)	NaCl +B.c. zur H₂O-Kontrolle (log₂)
AT2G05562_1	1,320	1,510	1,661
AT2G05564_1	1,288	1,469	1,663
AT2G05567_1	1,272	1,398	1,550
AT2G05570_1	1,285	1,500	1,746
AT2G05580_1	1,036	1,225	1,175
AT2G05590_1	1,014	0,850	1,128
AT2G05590_2	0,984	0,886	1,134
AT2G05600_1	0,988	1,175	1,138
AT2G05610_1	1,128	1,354	1,266
AT2G05620_1	0,983	0,918	0,736
AT2G05630_1	1,094	0,800	1,607
AT2G05630_2	1,084	1,059	1,084
AT2G05632_1	0,991	0,817	0,554
AT2G05635_1	1,137	1,057	1,035
AT2G05640_1	1,172	1,213	1,115
AT2G05642_1	1,008	1,044	1,022
AT2G05645_1	1,279	1,730	1,783
AT2G05647_1	1,252	1,370	1,335
AT2G05660_1	0,978	1,080	1,113
AT2G05670_1	0,998	1,127	1,222
AT2G05680_1	1,153	1,267	1,061
AT2G05690_1	1,200	1,324	0,972
AT2G05700_1	0,983	1,149	0,996
AT2G05710_1	1,094	1,560	1,863
AT2G05715_1	1,405	0,862	0,186
AT2G05720_1	1,176	1,390	1,120
AT2G05730_1	1,179	0,796	0,632
AT2G05740_1	1,002	1,102	0,997
AT2G05750_1	0,965	1,173	1,019
AT2G05752_1	1,191	1,363	1,137
AT2G05753_1	1,006	0,895	0,928
AT2G05755_1	0,884	0,897	0,961
AT2G05760_1	0,951	0,488	0,705
AT2G05770_1	0,935	0,934	0,952
AT2G05780_1	1,271	1,530	1,610
AT2G05786_1	1,092	1,234	1,318
AT2G05790_1	1,060	0,268	0,019
AT2G05800_1	1,060	1,268	1,428
AT2G05801_1	1,053	1,194	1,215
AT2G05803_1	1,076	1,426	1,424
AT2G05810_1	0,680	0,183	0,149
AT2G05810_2	1,019	0,608	0,296
AT2G05820_1	1,490	1,722	2,023
AT2G05830_1	1,032	0,684	0,405
AT2G05840_1	1,016	1,245	1,765
AT2G05845_1	0,996	1,078	0,919
AT2G05850_1	1,277	1,252	1,294
AT2G05860_1	0,901	1,023	0,826
AT2G05870_1	0,920	1,156	1,175
AT2G05880_1	0,941	1,136	1,046

AGI	NaCl-Kontrolle zur H₂O-Kontrolle (log₂)	H₂O +B.c. zur H₂O-Kontrolle (log₂)	NaCl +B.c. zur H₂O-Kontrolle (log₂)
AT2G05890_1	0,992	1,044	1,032
AT2G05900_1	1,013	0,989	0,858
AT2G05910_1	1,133	1,068	2,493
AT2G05915_1	0,965	1,296	0,795
AT2G05920_1	1,007	1,025	0,320
AT2G05930_1	1,065	0,844	0,784
AT2G05935_1	1,006	1,079	1,089
AT2G05940_1	1,033	2,587	3,431
AT2G05950_1	1,047	1,311	1,084
AT2G05960_1	1,005	1,062	1,036
AT2G05970_1	1,017	1,164	1,058
AT2G05980_1	1,241	1,301	1,455
AT2G05985_1	1,063	1,115	1,094
AT2G05990_1	0,960	0,655	0,243
AT2G05995_1	1,039	0,696	0,359
AT2G06000_1	0,972	1,079	1,266
AT2G06000_2	0,875	0,934	0,929
AT2G06002_1	0,925	0,609	0,778
AT2G06005_1	0,929	1,148	1,497
AT2G06005_2	1,043	0,943	1,400
AT2G06010_1	1,117	0,766	0,512
AT2G06020_1	1,081	1,113	1,233
AT2G06025_1	0,849	0,430	0,821
AT2G06040_1	1,024	0,816	0,748
AT2G06045_1	0,847	1,820	1,716
AT2G06050_1	0,848	1,799	1,647
AT2G06050_2	0,854	1,816	1,588
AT2G06050_3	0,835	1,737	1,622
AT2G06060_1	1,038	1,120	1,139
AT2G06070_1	1,029	1,063	1,125
AT2G06080_1	1,088	1,086	1,061
AT2G06090_1	0,970	1,021	0,975
AT2G06095_1	1,096	1,056	1,090
AT2G06100_1	1,348	1,287	1,086
AT2G06110_1	1,098	1,272	1,163
AT2G06120_1	1,169	1,210	1,098
AT2G06125_1	1,012	0,977	0,980
AT2G06130_1	1,214	1,413	1,572
AT2G06140_1	1,072	1,258	1,124
AT2G06150_1	1,407	1,669	1,451
AT2G06160_1	1,360	1,710	1,425
AT2G06165_1	1,207	1,279	0,964
AT2G06166_1	0,976	1,023	0,993
AT2G06170_1	0,970	1,162	1,094
AT2G06180_1	1,086	1,277	1,470
AT2G06190_1	0,930	0,939	0,862
AT2G06200_1	1,105	1,106	1,299
AT2G06210_1	1,011	0,719	0,729
AT2G06220_1	1,195	1,422	1,392
AT2G06230_1	1,356	1,644	1,764

AGI	NaCl-Kontrolle zur H₂O-Kontrolle (log₂)	H₂O +B.c. zur H₂O-Kontrolle (log₂)	NaCl +B.c. zur H₂O-Kontrolle (log₂)
AT2G06235_1	1,130	1,267	1,088
AT2G06240_1	1,106	1,061	1,169
AT2G06245_1	1,290	1,490	1,261
AT2G06250_1	1,316	1,425	1,306
AT2G06255_1	1,021	8,361	14,269
AT2G06260_1	1,277	1,327	1,391
AT2G06270_1	0,964	1,062	1,022
AT2G06280_1	1,026	1,073	1,003
AT2G06285_1	1,125	1,126	1,122
AT2G06290_1	1,154	1,139	1,085
AT2G06296_1	1,060	1,008	1,006
AT2G06303_1	1,229	1,399	1,275
AT2G06310_1	1,187	1,315	1,276
AT2G06330_1	1,498	1,561	1,513
AT2G06335_1	1,299	1,578	1,343
AT2G06340_1	1,512	1,656	1,526
AT2G06350_1	1,288	1,270	1,052
AT2G06370_1	1,254	1,288	1,412
AT2G06380_1	0,973	1,198	1,007
AT2G06400_1	1,157	1,027	1,065
AT2G06410_1	1,227	1,256	1,175
AT2G06420_1	1,131	1,559	1,428
AT2G06430_1	1,108	1,222	1,298
AT2G06440_1	1,124	1,196	1,230
AT2G06450_1	1,066	1,185	1,289
AT2G06460_1	1,283	1,403	1,452
AT2G06470_1	1,169	1,393	1,331
AT2G06480_1	1,246	1,270	1,281
AT2G06490_1	1,030	1,004	1,000
AT2G06500_1	1,051	1,036	1,002
AT2G06510_1	1,129	1,224	1,607
AT2G06520_1	0,961	0,703	0,362
AT2G06530_1	0,881	1,128	1,430
AT2G06540_1	1,017	1,279	1,205
AT2G06541_1	0,907	0,894	0,821
AT2G06541_2	1,057	1,080	1,052
AT2G06550_1	0,948	0,879	0,771
AT2G06555_1	1,220	1,248	1,263
AT2G06560_1	0,988	0,909	0,782
AT2G06562_1	1,150	1,103	1,284
AT2G06570_1	0,977	1,025	0,911
AT2G06580_1	1,243	1,084	1,009
AT2G06590_1	1,193	1,473	1,407
AT2G06600_1	1,103	1,418	1,385
AT2G06610_1	1,149	1,102	0,998
AT2G06620_1	1,252	1,505	1,698
AT2G06630_1	1,193	1,410	1,391
AT2G06640_1	1,233	1,574	1,628
AT2G06645_1	1,244	1,353	1,437
AT2G06650_1	1,004	1,171	1,087

AGI	NaCl-Kontrolle zur H₂O-Kontrolle (log₂)	H₂O +B.c. zur H₂O-Kontrolle (log₂)	NaCl +B.c. zur H₂O-Kontrolle (log₂)
AT2G06660_1	1,081	1,098	1,013
AT2G06667_1	0,926	1,094	0,978
AT2G06670_1	1,219	1,415	1,446
AT2G06680_1	1,067	1,226	1,002
AT2G06690_1	1,096	1,113	1,093
AT2G06700_1	1,194	1,405	1,381
AT2G06710_1	1,028	1,045	0,940
AT2G06715_1	0,893	0,990	1,009
AT2G06720_1	1,046	1,520	1,648
AT2G06740_1	1,319	1,586	1,986
AT2G06750_1	1,314	1,483	1,412
AT2G06760_1	1,276	1,423	1,253
AT2G06770_1	1,096	1,203	1,151
AT2G06775_1	1,291	1,334	1,300
AT2G06780_1	1,001	0,966	0,930
AT2G06790_1	1,127	1,144	1,166
AT2G06800_1	1,024	1,308	1,209
AT2G06810_1	1,230	1,255	1,134
AT2G06820_1	0,975	0,990	0,941
AT2G06822_1	0,968	1,059	0,396
AT2G06830_1	1,019	1,369	1,580
AT2G06840_1	1,078	1,239	1,221
AT2G06845_1	1,172	1,261	1,218
AT2G06850_1	0,695	0,277	0,032
AT2G06860_1	1,104	1,245	1,423
AT2G06870_1	1,091	1,140	1,082
AT2G06875_1	1,346	1,444	1,274
AT2G06880_1	1,036	1,113	1,155
AT2G06885_1	1,309	1,549	1,394
AT2G06890_1	1,123	1,120	0,943
AT2G06900_1	1,023	1,033	0,916
AT2G06902_1	1,119	1,169	1,062
AT2G06904_1	1,095	1,436	1,347
AT2G06906_1	0,920	1,261	1,184
AT2G06908_1	1,279	1,591	1,700
AT2G06910_1	0,931	0,890	0,817
AT2G06912_1	1,124	1,487	1,356
AT2G06914_1	1,455	1,472	1,406
AT2G06917_1	1,395	1,499	1,329
AT2G06920_1	1,096	1,181	1,317
AT2G06922_1	0,960	1,004	0,978
AT2G06925_1	0,795	0,195	0,134
AT2G06930_1	0,872	0,893	0,882
AT2G06940_1	1,095	1,043	1,132
AT2G06950_1	1,100	1,021	1,212
AT2G06960_1	1,139	2,176	2,876
AT2G06965_1	1,344	1,496	1,546
AT2G06967_1	1,326	1,229	0,925
AT2G06973_1	1,013	0,927	0,905
AT2G06980_1	1,188	1,347	1,415

AGI	NaCl-Kontrolle zur H₂O-Kontrolle (log₂)	H₂O +B.c. zur H₂O-Kontrolle (log₂)	NaCl +B.c. zur H₂O-Kontrolle (log₂)
AT2G06983_1	1,070	1,040	1,143
AT2G06985_1	1,128	1,279	1,439
AT2G06990_1	1,097	0,974	0,872
AT2G07000_1	1,437	1,806	1,594
AT2G07010_1	1,111	1,060	1,080
AT2G07020_1	0,917	1,116	1,179
AT2G07030_1	1,072	1,106	1,135
AT2G07040_1	1,128	1,584	1,880
AT2G07042_1	1,107	0,399	0,354
AT2G07050_1	0,996	0,625	0,576
AT2G07070_1	1,120	1,096	1,055
AT2G07080_1	1,076	0,819	0,582
AT2G07090_1	1,418	1,965	2,231
AT2G07100_1	1,218	1,280	1,249
AT2G07110_1	1,063	1,067	0,983
AT2G07120_1	0,796	1,054	0,907
AT2G07130_1	1,009	1,185	1,067
AT2G07140_1	1,018	1,027	0,975
AT2G07140_2	1,160	0,593	0,339
AT2G07150_1	0,997	1,097	1,012
AT2G07155_1	1,182	1,255	1,666
AT2G07160_1	1,169	1,418	1,403
AT2G07170_1	0,738	0,216	0,188
AT2G07180_1	0,840	0,893	0,830
AT2G07185_1	0,961	1,026	1,005
AT2G07190_1	1,064	1,054	1,011
AT2G07200_1	1,136	1,263	1,312
AT2G07210_1	0,927	0,981	1,082
AT2G07212_1	1,256	1,255	1,377
AT2G07213_1	1,041	1,300	1,100
AT2G07215_1	1,134	1,309	1,291
AT2G07220_1	1,262	1,639	1,511
AT2G07230_1	1,139	1,249	1,194
AT2G07240_1	1,066	1,269	1,198
AT2G07250_1	1,045	1,264	1,358
AT2G07260_1	1,128	1,192	1,336
AT2G07270_1	1,141	1,875	1,204
AT2G07280_1	1,047	1,031	1,017
AT2G07290_1	1,168	1,253	1,231
AT2G07300_1	1,005	1,062	1,178
AT2G07310_1	1,052	1,083	1,097
AT2G07320_1	1,128	1,239	1,129
AT2G07330_1	1,055	1,135	1,102
AT2G07340_1	0,895	0,591	0,562
AT2G07340_2	0,831	0,544	0,532
AT2G07360_1	1,041	0,866	0,799
AT2G07362_1	1,098	1,404	1,475
AT2G07363_1	1,345	2,181	2,374
AT2G07365_1	0,873	0,917	0,909
AT2G07380_1	1,212	1,466	1,592

AGI	NaCl-Kontrolle zur H₂O-Kontrolle (log₂)	H₂O +B.c. zur H₂O-Kontrolle (log₂)	NaCl +B.c. zur H₂O-Kontrolle (log₂)
AT2G07390_1	1,107	1,079	0,970
AT2G07395_1	1,396	1,740	1,655
AT2G07400_1	1,212	1,144	1,127
AT2G07410_1	1,311	1,367	1,118
AT2G07420_1	1,065	1,100	1,121
AT2G07430_1	1,296	1,482	1,233
AT2G07440_1	1,055	0,464	0,246
AT2G07450_1	1,534	1,255	1,102
AT2G07455_1	1,607	1,676	1,390
AT2G07460_1	1,113	1,295	1,415
AT2G07470_1	1,225	1,187	0,996
AT2G07480_1	0,974	0,952	0,957
AT2G07483_1	1,082	1,136	0,903
AT2G07486_1	0,961	1,034	1,010
AT2G07490_1	1,049	1,096	1,286
AT2G07500_1	1,170	1,260	1,246
AT2G07505_1	1,064	1,324	1,291
AT2G07510_1	1,185	1,448	1,402
AT2G07520_1	1,038	1,105	1,132
AT2G07521_1	1,304	1,130	0,779
AT2G07530_1	0,990	1,006	0,989
AT2G07540_1	1,240	1,284	1,117
AT2G07550_1	1,033	1,058	1,048
AT2G07560_1	0,957	1,058	1,033
AT2G07570_1	1,070	1,429	1,630
AT2G07580_1	1,102	1,279	1,174
AT2G07590_1	1,198	1,432	1,244
AT2G07600_1	1,131	0,732	0,503
AT2G07620_1	0,879	0,951	0,867
AT2G07630_1	1,041	1,082	1,053
AT2G07635_1	1,019	1,059	1,024
AT2G07640_1	1,140	1,253	1,346
AT2G07650_1	1,192	1,458	1,671
AT2G07660_1	1,198	1,435	1,392
AT2G07663_1	1,575	2,820	3,385
AT2G07664_1	1,312	1,967	1,711
AT2G07666_1	1,267	2,051	2,063
AT2G07667_1	1,133	2,397	1,757
AT2G07669_1	1,231	2,332	2,048
AT2G07670_1	1,275	2,268	2,472
AT2G07671_1	1,252	2,088	1,848
AT2G07672_1	1,308	2,444	3,010
AT2G07673_1	1,148	2,089	1,892
AT2G07674_1	1,613	2,226	1,930
AT2G07675_1	1,254	2,314	1,950
AT2G07676_1	1,071	2,067	2,134
AT2G07677_1	1,231	2,697	2,685
AT2G07678_1	1,121	2,185	2,237
AT2G07679_1	1,211	1,479	1,491
AT2G07680_1	0,999	0,664	0,345

AGI	NaCl-Kontrolle zur H₂O-Kontrolle (log₂)	H₂O +B.c. zur H₂O-Kontrolle (log₂)	NaCl +B.c. zur H₂O-Kontrolle (log₂)
AT2G07681_1	1,100	1,832	1,686
AT2G07682_1	1,261	1,595	1,668
AT2G07683_1	1,194	2,711	2,394
AT2G07685_1	1,143	1,922	1,758
AT2G07686_1	1,237	2,185	2,135
AT2G07687_1	1,110	2,696	3,214
AT2G07688_1	1,014	1,711	1,549
AT2G07689_1	1,440	2,145	2,297
AT2G07690_1	0,695	0,465	0,378
AT2G07691_1	1,137	1,886	1,892
AT2G07692_1	1,071	2,114	1,836
AT2G07693_1	1,088	1,960	1,871
AT2G07694_1	1,076	1,608	1,530
AT2G07695_1	1,149	1,758	1,818
AT2G07696_1	1,328	1,913	1,701
AT2G07697_1	1,301	1,771	1,660
AT2G07698_1	1,135	1,401	1,452
AT2G07699_1	1,132	0,796	0,714
AT2G07700_1	1,269	1,451	1,500
AT2G07701_1	1,245	2,012	2,024
AT2G07702_1	1,322	2,348	2,523
AT2G07703_1	1,299	2,504	2,318
AT2G07704_1	1,161	2,661	2,915
AT2G07705_1	1,152	2,462	2,160
AT2G07706_1	1,188	2,674	2,072
AT2G07707_1	1,056	2,151	2,103
AT2G07708_1	1,264	1,503	1,264
AT2G07709_1	1,093	2,449	2,386
AT2G07710_1	1,350	1,690	1,683
AT2G07711_1	1,304	2,075	1,920
AT2G07712_1	1,237	2,218	2,536
AT2G07713_1	1,473	2,268	2,513
AT2G07714_1	1,298	1,844	2,343
AT2G07715_1	1,238	2,048	1,960
AT2G07716_1	1,269	1,630	1,750
AT2G07717_1	1,299	1,603	1,561
AT2G07718_1	1,060	1,984	2,159
AT2G07719_1	1,161	2,692	2,580
AT2G07720_1	1,135	1,271	1,135
AT2G07721_1	1,002	1,965	2,396
AT2G07722_1	1,447	3,661	3,946
AT2G07723_1	1,357	2,372	2,114
AT2G07724_1	1,351	1,512	1,999
AT2G07725_1	1,259	0,821	0,871
AT2G07726_1	1,319	0,748	0,796
AT2G07727_1	1,237	0,633	0,647
AT2G07728_1	0,976	2,509	2,622
AT2G07729_1	0,963	2,379	2,465
AT2G07730_1	1,059	1,173	1,123
AT2G07731_1	0,886	2,786	3,322

AGI	NaCl-Kontrolle zur H ₂ O-Kontrolle (log ₂)	H ₂ O +B.c. zur H ₂ O-Kontrolle (log ₂)	NaCl +B.c. zur H ₂ O-Kontrolle (log ₂)
AT2G07732_1	1,060	0,972	0,789
AT2G07733_1	1,286	2,185	2,328
AT2G07734_1	1,315	2,242	3,944
AT2G07735_1	1,177	2,602	2,424
AT2G07736_1	1,142	2,748	2,973
AT2G07737_1	1,221	2,341	2,174
AT2G07738_1	0,976	2,819	3,017
AT2G07739_1	0,923	0,814	0,627
AT2G07740_1	1,192	1,472	1,896
AT2G07741_1	1,117	0,783	0,693
AT2G07743_1	0,896	1,154	1,118
AT2G07744_1	1,062	1,250	1,179
AT2G07745_1	1,297	2,276	1,928
AT2G07747_1	1,252	1,976	2,137
AT2G07749_1	1,202	2,261	1,867
AT2G07750_1	1,232	1,220	0,861
AT2G07751_1	1,229	1,766	1,391
AT2G07753_1	1,329	2,304	1,998
AT2G07755_1	1,302	1,624	1,424
AT2G07758_1	1,265	2,569	2,436
AT2G07760_1	1,232	1,588	1,721
AT2G07762_1	0,943	1,968	1,612
AT2G07764_1	0,915	1,129	0,920
AT2G07767_1	1,296	2,300	2,381
AT2G07768_1	1,265	2,348	2,148
AT2G07769_1	1,230	2,769	2,660
AT2G07770_1	1,261	1,386	1,312
AT2G07771_2	1,089	1,802	1,636
AT2G07772_1	1,142	2,575	2,434
AT2G07773_1	1,281	2,002	2,198
AT2G07774_1	1,127	2,586	1,614
AT2G07775_1	1,379	2,787	2,395
AT2G07777_1	1,453	3,026	2,662
AT2G07779_1	1,229	3,478	3,128
AT2G07780_1	1,065	1,143	1,168
AT2G07781_1	1,291	1,685	1,676
AT2G07782_1	1,163	2,149	2,430
AT2G07783_1	1,194	2,254	2,591
AT2G07784_1	1,213	1,789	1,566
AT2G07785_1	1,160	1,545	1,365
AT2G07786_1	1,116	1,657	1,777
AT2G07787_1	1,305	2,701	2,599
AT2G07788_1	1,084	1,129	1,147
AT2G07789_1	1,294	1,568	1,422
AT2G07790_1	0,979	0,965	1,001
AT2G07791_1	1,079	1,131	0,961
AT2G07795_1	1,031	2,831	2,759
AT2G07798_1	1,231	2,254	2,546
AT2G07799_1	0,875	2,866	2,645
AT2G07806_1	1,297	2,020	1,925

AGI	NaCl-Kontrolle zur H₂O-Kontrolle (log₂)	H₂O +B.c. zur H₂O-Kontrolle (log₂)	NaCl +B.c. zur H₂O-Kontrolle (log₂)
AT2G07806_2	1,264	1,830	1,792
AT2G07808_1	1,368	2,378	2,165
AT2G07809_1	1,046	2,208	2,295
AT2G07811_1	1,479	2,369	2,180
AT2G07812_1	1,394	2,107	1,949
AT2G07813_1	1,265	1,796	1,880
AT2G07815_1	1,160	1,864	2,418
AT2G07820_1	1,085	2,490	2,467
AT2G07825_1	1,300	1,732	1,956
AT2G07826_1	1,141	3,612	3,067
AT2G07827_1	1,328	2,196	2,322
AT2G07827_2	1,358	1,866	2,020
AT2G07830_1	1,481	2,112	2,207
AT2G07835_1	1,301	1,202	1,284
AT2G07880_1	1,210	1,366	1,406
AT2G07981_1	1,271	1,284	1,026
AT2G08986_1	1,183	1,237	1,060
AT2G09187_1	1,387	1,495	1,355
AT2G09388_1	1,190	1,512	1,703
AT2G09589_1	1,079	1,387	1,136
AT2G09790_1	0,996	1,229	1,046
AT2G09795_1	1,008	1,055	1,040
AT2G09795_2	1,049	1,185	1,175
AT2G09795_3	1,040	1,228	1,150
AT2G09800_1	0,944	0,981	0,919
AT2G09810_1	1,059	1,283	0,991
AT2G09820_1	1,546	1,573	1,491
AT2G09830_1	0,905	0,981	0,776
AT2G09840_1	1,203	1,518	1,574
AT2G09850_1	1,063	1,093	0,829
AT2G09860_1	0,868	1,131	0,928
AT2G09862_1	0,993	1,029	0,942
AT2G09865_1	1,367	1,607	1,396
AT2G09870_1	1,501	1,560	1,497
AT2G09880_1	1,521	1,652	1,531
AT2G09890_1	0,998	0,974	0,897
AT2G09900_1	1,249	1,494	1,355
AT2G09910_1	1,166	1,306	1,249
AT2G09920_1	1,166	1,569	1,463
AT2G09930_1	1,424	1,502	1,453
AT2G09950_1	1,258	1,440	1,436
AT2G09953_1	1,227	1,347	1,184
AT2G09956_1	1,027	0,997	0,936
AT2G09960_1	1,131	1,172	1,369
AT2G09970_1	1,059	1,904	1,767
AT2G09990_1	0,764	1,231	0,810
AT2G09992_1	1,141	1,057	1,020
AT2G09994_1	0,960	3,360	4,028
AT2G10000_1	1,012	1,188	1,048
AT2G10010_1	1,015	1,064	0,986

AGI	NaCl-Kontrolle zur H₂O-Kontrolle (log₂)	H₂O +B.c. zur H₂O-Kontrolle (log₂)	NaCl +B.c. zur H₂O-Kontrolle (log₂)
AT2G10014_1	1,131	1,134	1,183
AT2G10020_1	1,451	1,499	1,148
AT2G10030_1	0,930	1,093	1,105
AT2G10040_1	1,116	1,130	0,953
AT2G10050_1	1,203	1,303	1,291
AT2G10070_1	1,196	1,545	1,581
AT2G10070_2	1,111	1,176	1,044
AT2G10080_1	1,340	1,437	1,402
AT2G10090_1	1,206	1,181	1,134
AT2G10100_1	1,345	1,579	1,486
AT2G10105_1	1,632	1,780	1,587
AT2G10110_1	1,370	1,540	1,502
AT2G10120_1	1,199	1,436	1,391
AT2G10130_1	1,150	1,234	1,250
AT2G10140_1	1,481	1,691	1,549
AT2G10150_1	1,150	1,056	1,175
AT2G10160_1	1,129	1,096	1,038
AT2G10165_1	1,107	1,236	0,963
AT2G10170_1	1,315	1,515	1,374
AT2G10175_1	1,190	1,285	1,161
AT2G10180_1	1,289	1,454	1,334
AT2G10190_1	1,415	1,557	1,464
AT2G10200_1	1,328	1,490	1,391
AT2G10205_1	1,272	1,312	1,151
AT2G10210_1	1,186	1,228	1,083
AT2G10220_1	1,369	1,501	1,347
AT2G10223_1	1,237	1,384	1,274
AT2G10226_1	1,145	1,165	1,000
AT2G10230_1	0,943	0,889	0,907
AT2G10232_1	0,951	0,894	0,830
AT2G10234_1	0,851	0,860	0,896
AT2G10237_1	0,917	0,897	0,873
AT2G10240_1	1,058	0,983	0,971
AT2G10250_1	1,111	0,976	1,059
AT2G10253_1	1,243	1,078	1,184
AT2G10256_1	1,021	1,010	1,038
AT2G10260_1	1,034	0,934	0,981
AT2G10260_2	1,039	1,017	1,127
AT2G10265_1	0,948	0,878	0,908
AT2G10270_1	1,250	1,185	1,260
AT2G10280_1	1,337	1,541	1,361
AT2G10285_1	1,199	1,313	1,190
AT2G10290_1	1,270	1,535	1,586
AT2G10300_1	1,180	1,352	1,499
AT2G10310_1	1,463	1,467	1,503
AT2G10320_1	1,381	1,456	1,373
AT2G10330_1	1,092	1,079	1,022
AT2G10340_1	1,371	1,692	2,230
AT2G10350_1	1,223	1,116	1,191
AT2G10360_1	1,221	1,316	1,451

AGI	NaCl-Kontrolle zur H₂O-Kontrolle (log₂)	H₂O +B.c. zur H₂O-Kontrolle (log₂)	NaCl +B.c. zur H₂O-Kontrolle (log₂)
AT2G10370_1	1,203	1,197	1,340
AT2G10380_1	1,535	1,773	2,064
AT2G10390_1	1,185	1,339	1,532
AT2G10400_1	1,078	1,257	1,206
AT2G10405_1	0,957	0,997	0,911
AT2G10410_1	1,000	0,878	0,586
AT2G10420_1	1,035	1,214	1,223
AT2G10430_1	1,142	1,191	1,303
AT2G10440_1	1,348	2,142	3,502
AT2G10440_2	1,022	2,257	3,440
AT2G10450_1	1,366	1,090	1,040
AT2G10460_1	1,135	1,125	0,969
AT2G10465_1	0,985	1,031	0,920
AT2G10470_1	0,975	1,015	0,876
AT2G10480_1	1,190	1,315	1,508
AT2G10490_1	1,173	1,343	1,349
AT2G10500_1	1,162	1,116	1,178
AT2G10510_1	1,232	1,508	1,391
AT2G10520_1	1,040	0,982	0,981
AT2G10530_1	1,049	1,079	0,998
AT2G10535_1	1,237	1,283	1,334
AT2G10537_1	1,124	1,324	1,236
AT2G10540_1	1,036	1,123	1,068
AT2G10550_1	1,048	0,949	1,157
AT2G10555_1	1,040	1,116	1,135
AT2G10557_1	1,294	1,676	1,795
AT2G10560_1	0,972	2,142	3,513
AT2G10570_1	1,044	1,159	1,250
AT2G10589_1	0,843	1,798	4,202
AT2G10590_1	1,110	1,184	0,981
AT2G10600_1	1,618	1,548	1,352
AT2G10602_1	1,276	1,528	1,351
AT2G10605_1	1,050	1,140	1,191
AT2G10606_1	1,034	0,345	0,319
AT2G10608_1	1,032	1,217	1,197
AT2G10610_1	1,152	1,182	1,126
AT2G10611_1	1,350	1,496	1,354
AT2G10614_1	1,048	1,405	1,619
AT2G10617_1	1,430	1,534	1,719
AT2G10620_1	1,166	1,222	1,074
AT2G10630_1	1,019	0,939	0,825
AT2G10640_1	1,218	1,500	1,591
AT2G10650_1	1,073	1,093	1,078
AT2G10660_1	1,332	1,535	1,385
AT2G10670_1	1,373	1,561	1,432
AT2G10680_1	1,302	1,423	1,463
AT2G10690_1	1,333	1,432	1,268
AT2G10710_1	1,192	1,410	1,494
AT2G10720_1	1,288	1,395	1,274
AT2G10730_1	1,234	1,331	1,217

AGI	NaCl-Kontrolle zur H₂O-Kontrolle (log₂)	H₂O +B.c. zur H₂O-Kontrolle (log₂)	NaCl +B.c. zur H₂O-Kontrolle (log₂)
AT2G10735_1	1,192	1,139	1,220
AT2G10740_1	1,323	1,433	1,377
AT2G10760_1	0,937	0,905	0,886
AT2G10770_1	1,176	1,205	1,232
AT2G10780_1	1,162	1,383	1,389
AT2G10790_1	1,214	1,202	1,214
AT2G10800_1	0,933	1,036	0,994
AT2G10802_1	1,011	1,087	1,227
AT2G10810_1	1,097	1,364	1,373
AT2G10820_1	1,131	1,305	1,248
AT2G10830_1	0,958	0,981	0,825
AT2G10833_1	0,932	1,026	0,926
AT2G10836_1	1,085	1,282	1,229
AT2G10840_1	1,130	1,385	1,406
AT2G10850_1	1,304	1,392	1,330
AT2G10850_2	1,182	1,159	1,113
AT2G10860_1	1,188	1,320	1,357
AT2G10870_1	1,386	1,722	2,299
AT2G10880_1	1,258	1,741	1,545
AT2G10890_1	1,255	1,436	1,365
AT2G10895_1	1,245	1,429	1,421
AT2G10900_1	1,003	1,066	0,994
AT2G10910_1	0,962	1,189	1,145
AT2G10920_1	1,383	1,431	1,268
AT2G10921_1	1,117	1,346	1,270
AT2G10930_1	1,190	0,926	0,737
AT2G10931_1	0,989	0,716	0,684
AT2G10940_1	0,825	0,367	0,031
AT2G10940_2	0,575	0,299	0,266
AT2G10950_1	1,060	1,037	1,517
AT2G10960_1	1,052	1,139	1,048
AT2G10965_1	1,181	1,696	1,815
AT2G10970_1	0,935	1,185	1,210
AT2G10975_1	0,999	0,984	0,891
AT2G10980_1	0,806	0,815	0,615
AT2G10990_1	1,191	1,368	1,539
AT2G11000_1	1,069	1,138	1,160
AT2G11005_1	1,194	1,466	1,448
AT2G11010_1	1,083	1,235	1,101
AT2G11015_1	1,350	1,615	1,494
AT2G11020_1	1,194	1,409	1,273
AT2G11030_1	1,327	1,249	0,927
AT2G11040_1	1,176	1,195	1,127
AT2G11050_1	1,267	1,405	1,405
AT2G11060_1	1,028	1,063	0,885
AT2G11070_1	1,103	1,412	1,325
AT2G11080_1	1,050	1,092	1,245
AT2G11090_1	1,493	1,724	1,415
AT2G11100_1	1,195	1,398	1,321
AT2G11110_1	1,226	1,270	1,277

AGI	NaCl-Kontrolle zur H₂O-Kontrolle (log₂)	H₂O +B.c. zur H₂O-Kontrolle (log₂)	NaCl +B.c. zur H₂O-Kontrolle (log₂)
AT2G11115_1	1,269	1,330	1,228
AT2G11120_1	1,390	1,608	1,537
AT2G11130_1	1,268	1,320	0,929
AT2G11135_1	1,342	1,453	1,437
AT2G11140_1	1,355	0,561	0,905
AT2G11150_1	0,953	0,980	0,938
AT2G11165_1	1,003	0,946	0,955
AT2G11166_1	0,932	1,155	0,973
AT2G11168_1	1,017	1,069	1,042
AT2G11170_1	1,105	1,118	0,973
AT2G11180_1	0,959	1,095	0,981
AT2G11190_1	1,165	1,202	1,255
AT2G11200_1	1,037	1,105	1,101
AT2G11210_1	1,025	1,181	0,942
AT2G11220_1	1,138	1,183	1,321
AT2G11230_1	1,310	1,522	1,364
AT2G11235_1	1,157	1,204	1,199
AT2G11240_1	1,109	0,618	0,822
AT2G11270_1	0,987	1,029	1,432
AT2G11271_1	1,188	1,863	1,635
AT2G11280_1	0,987	0,868	0,799
AT2G11290_1	0,994	1,031	1,074
AT2G11300_1	1,230	1,389	1,375
AT2G11310_1	1,281	1,374	1,288
AT2G11320_1	0,989	0,942	0,988
AT2G11330_1	1,207	1,203	1,134
AT2G11340_1	1,274	1,382	1,172
AT2G11345_1	1,292	1,300	1,227
AT2G11350_1	1,269	1,391	1,417
AT2G11360_1	1,140	1,107	0,994
AT2G11370_1	1,265	1,332	1,421
AT2G11380_1	1,254	1,422	1,559
AT2G11390_1	1,035	1,159	1,044
AT2G11400_1	1,270	1,554	1,444
AT2G11405_1	1,006	1,111	1,209
AT2G11410_1	0,935	1,024	0,820
AT2G11420_1	0,967	1,200	1,019
AT2G11430_1	1,121	1,320	1,231
AT2G11440_1	0,843	0,943	0,885
AT2G11450_1	1,276	1,491	1,355
AT2G11460_1	1,160	1,255	1,149
AT2G11462_1	1,077	1,104	1,256
AT2G11465_1	1,558	1,399	1,284
AT2G11480_1	1,064	1,255	1,130
AT2G11485_1	1,129	1,136	1,079
AT2G11490_1	1,244	1,250	1,317
AT2G11500_1	1,243	1,348	1,342
AT2G11502_1	0,963	1,031	0,949
AT2G11504_1	0,884	0,973	0,759
AT2G11507_1	1,026	1,147	0,993

AGI	NaCl-Kontrolle zur H₂O-Kontrolle (log₂)	H₂O +B.c. zur H₂O-Kontrolle (log₂)	NaCl +B.c. zur H₂O-Kontrolle (log₂)
AT2G11510_1	0,973	1,052	1,195
AT2G11520_1	0,938	1,838	1,901
AT2G11522_1	1,184	1,279	1,271
AT2G11530_1	0,930	0,926	0,872
AT2G11550_1	1,126	1,417	1,369
AT2G11570_1	1,090	1,365	1,327
AT2G11590_1	1,246	1,337	1,364
AT2G11600_1	1,055	1,294	1,300
AT2G11610_1	0,931	0,978	0,737
AT2G11620_1	1,098	0,932	0,868
AT2G11623_1	1,269	1,274	1,298
AT2G11626_1	1,163	1,282	1,482
AT2G11630_1	0,968	1,051	0,940
AT2G11640_1	0,952	0,968	0,965
AT2G11650_1	1,461	1,627	1,681
AT2G11651_1	1,532	1,625	1,434
AT2G11660_1	1,240	1,190	0,997
AT2G11670_1	1,202	1,030	1,005
AT2G11680_1	1,406	1,526	1,406
AT2G11690_1	1,089	1,098	0,982
AT2G11700_1	1,293	1,345	1,169
AT2G11720_1	1,051	0,938	0,884
AT2G11730_1	1,055	1,044	1,034
AT2G11740_1	1,077	1,150	1,193
AT2G11750_1	1,326	1,575	1,578
AT2G11770_1	1,290	1,662	1,493
AT2G11773_1	1,737	2,564	2,735
AT2G11775_1	1,092	1,442	1,930
AT2G11778_1	1,144	1,397	1,659
AT2G11780_1	1,085	1,077	0,934
AT2G11790_1	1,077	1,305	1,141
AT2G11800_1	0,836	1,077	0,936
AT2G11810_1	0,866	2,523	8,280
AT2G11810_2	0,975	1,328	2,780
AT2G11820_1	0,999	1,263	1,014
AT2G11830_1	1,108	1,021	1,005
AT2G11840_1	1,417	1,565	1,535
AT2G11850_1	0,969	0,983	0,919
AT2G11851_1	1,004	1,231	1,285
AT2G11852_1	1,094	1,469	1,711
AT2G11870_1	1,078	1,018	0,965
AT2G11880_1	0,964	0,487	0,753
AT2G11890_1	0,993	1,032	1,028
AT2G11890_2	0,959	1,022	1,066
AT2G11891_1	1,272	1,127	2,042
AT2G11910_1	0,934	0,645	0,423
AT2G11910_2	0,980	0,739	0,290
AT2G11930_1	1,162	1,345	1,547
AT2G11940_1	1,176	1,317	1,334
AT2G11950_1	0,936	0,977	0,913

AGI	NaCl-Kontrolle zur H₂O-Kontrolle (log₂)	H₂O +B.c. zur H₂O-Kontrolle (log₂)	NaCl +B.c. zur H₂O-Kontrolle (log₂)
AT2G11970_1	1,031	1,192	1,176
AT2G11980_1	0,893	1,043	1,001
AT2G11983_1	1,192	1,418	1,328
AT2G11990_1	1,329	1,206	1,210
AT2G12000_1	1,066	1,053	1,184
AT2G12010_1	1,230	1,411	1,327
AT2G12020_1	1,331	1,620	1,501
AT2G12025_1	1,321	1,448	1,220
AT2G12040_1	1,370	1,488	1,366
AT2G12050_1	0,994	1,034	0,975
AT2G12060_1	1,064	1,372	1,226
AT2G12066_1	1,015	1,015	0,938
AT2G12083_1	1,062	1,451	1,255
AT2G12100_1	1,098	1,287	1,213
AT2G12110_1	1,312	1,411	1,511
AT2G12120_1	1,238	1,428	1,515
AT2G12130_1	1,162	1,397	1,455
AT2G12140_1	1,162	1,258	1,369
AT2G12150_1	1,110	1,389	1,418
AT2G12160_1	1,041	0,895	0,935
AT2G12170_1	1,080	0,444	0,382
AT2G12190_1	1,117	1,448	1,458
AT2G12195_1	1,022	1,089	1,117
AT2G12200_1	1,058	1,056	0,951
AT2G12210_1	1,079	1,213	1,022
AT2G12230_1	0,969	1,040	0,958
AT2G12240_1	1,175	1,450	1,572
AT2G12250_1	1,093	1,285	1,906
AT2G12260_1	1,133	1,144	1,195
AT2G12270_1	1,050	1,245	1,415
AT2G12280_1	1,026	1,109	0,984
AT2G12290_1	1,085	0,823	0,766
AT2G12300_1	1,210	1,462	1,539
AT2G12305_1	1,092	0,968	0,988
AT2G12320_1	1,331	1,553	1,475
AT2G12325_1	0,982	0,944	0,961
AT2G12330_1	1,352	1,471	1,375
AT2G12340_1	0,869	1,081	0,997
AT2G12345_1	1,216	1,215	1,196
AT2G12360_1	1,279	1,569	1,538
AT2G12370_1	1,224	1,465	1,465
AT2G12380_1	1,261	1,382	1,328
AT2G12385_1	1,109	1,375	1,463
AT2G12390_1	1,208	1,401	1,348
AT2G12400_1	1,314	0,165	0,095
AT2G12405_1	1,099	1,422	1,780
AT2G12407_1	1,024	1,100	1,062
AT2G12408_1	0,949	1,208	1,049
AT2G12410_1	0,887	1,058	1,024
AT2G12420_1	1,023	1,267	1,030

AGI	NaCl-Kontrolle zur H₂O-Kontrolle (log₂)	H₂O +B.c. zur H₂O-Kontrolle (log₂)	NaCl +B.c. zur H₂O-Kontrolle (log₂)
AT2G12430_1	0,974	1,006	1,026
AT2G12440_1	0,916	0,676	0,636
AT2G12450_1	1,357	1,462	1,222
AT2G12460_1	1,140	0,616	0,504
AT2G12461_1	1,014	0,394	0,087
AT2G12462_1	0,828	0,309	0,154
AT2G12465_1	1,058	1,092	1,127
AT2G12470_1	1,027	1,008	0,990
AT2G12475_1	0,964	0,962	0,959
AT2G12480_1	1,054	0,969	0,980
AT2G12490_1	1,163	0,286	0,358
AT2G12500_1	1,472	1,518	1,391
AT2G12505_1	1,343	0,948	1,026
AT2G12510_1	1,185	1,426	1,408
AT2G12520_1	1,373	1,492	1,508
AT2G12530_1	1,284	0,945	0,995
AT2G12540_1	1,357	1,678	1,673
AT2G12550_1	1,116	0,975	1,675
AT2G12557_1	1,254	1,309	1,164
AT2G12560_1	1,225	1,196	1,152
AT2G12570_1	1,270	1,208	1,103
AT2G12580_1	1,142	1,205	1,264
AT2G12590_1	1,240	1,173	1,053
AT2G12600_1	1,019	1,312	1,049
AT2G12610_1	1,306	1,326	1,327
AT2G12620_1	1,434	1,559	1,475
AT2G12630_1	1,312	1,299	1,318
AT2G12640_1	1,223	1,363	1,230
AT2G12646_1	1,072	1,263	1,292
AT2G12650_1	1,187	1,415	1,206
AT2G12660_1	0,932	1,154	1,020
AT2G12670_1	1,159	1,495	1,116
AT2G12680_1	1,303	1,523	1,461
AT2G12685_1	1,157	1,681	1,616
AT2G12690_1	1,188	1,413	1,552
AT2G12695_1	1,211	1,398	1,482
AT2G12700_1	1,333	1,817	1,727
AT2G12710_1	1,136	1,376	1,535
AT2G12720_1	1,224	1,464	1,511
AT2G12730_1	0,993	1,181	1,009
AT2G12740_1	1,283	1,504	1,448
AT2G12750_1	1,196	1,460	1,357
AT2G12760_1	1,344	1,513	1,469
AT2G12770_1	1,001	1,120	1,078
AT2G12780_1	1,394	1,482	1,403
AT2G12800_1	1,366	1,530	1,329
AT2G12810_1	1,389	1,488	1,480
AT2G12815_1	1,323	1,573	1,501
AT2G12820_1	1,204	1,374	1,318
AT2G12830_1	1,449	1,516	1,546

AGI	NaCl-Kontrolle zur H₂O-Kontrolle (log₂)	H₂O +B.c. zur H₂O-Kontrolle (log₂)	NaCl +B.c. zur H₂O-Kontrolle (log₂)
AT2G12832_1	1,345	1,520	1,486
AT2G12835_1	1,301	1,382	1,295
AT2G12840_1	1,366	1,445	1,409
AT2G12845_1	1,347	1,614	1,586
AT2G12850_1	1,315	1,574	1,427
AT2G12855_1	1,251	1,244	0,889
AT2G12860_1	1,203	1,212	1,113
AT2G12870_1	1,208	1,315	1,313
AT2G12875_1	1,146	1,148	1,165
AT2G12880_1	1,242	1,396	1,332
AT2G12890_1	1,006	0,964	1,022
AT2G12900_1	1,059	0,928	0,993
AT2G12905_1	1,116	0,644	0,415
AT2G12910_1	0,975	1,093	1,056
AT2G12920_1	1,037	1,221	1,154
AT2G12930_1	1,413	1,439	1,300
AT2G12935_1	1,028	1,141	1,473
AT2G12940_1	1,273	1,315	1,351
AT2G12945_1	0,926	1,113	0,922
AT2G12950_1	1,048	0,966	0,841
AT2G12960_1	1,089	1,171	1,075
AT2G12970_1	1,218	1,483	1,293
AT2G12977_1	1,147	1,268	1,264
AT2G12980_1	1,213	1,531	1,524
AT2G12990_1	1,089	1,177	1,176
AT2G13000_1	1,216	1,455	1,487
AT2G13010_1	1,316	1,482	1,446
AT2G13020_1	1,204	1,425	1,407
AT2G13040_1	1,083	1,296	1,263
AT2G13050_1	1,325	1,498	1,431
AT2G13060_1	1,339	1,416	1,271
AT2G13070_1	1,241	1,395	1,337
AT2G13080_1	1,300	1,505	1,389
AT2G13090_1	0,901	0,969	0,910
AT2G13100_1	1,024	0,659	0,852
AT2G13100_2	1,068	0,661	0,916
AT2G13100_3	1,066	0,687	0,911
AT2G13110_1	0,995	1,293	1,239
AT2G13115_1	1,039	1,078	1,203
AT2G13116_1	0,952	0,960	0,952
AT2G13118_1	1,000	1,173	1,102
AT2G13120_1	0,995	1,121	1,126
AT2G13125_1	1,150	1,321	1,377
AT2G13126_1	1,041	0,934	0,945
AT2G13128_1	1,003	0,990	0,995
AT2G13130_1	0,946	0,562	0,857
AT2G13140_1	1,061	1,042	1,026
AT2G13142_1	1,013	1,035	1,000
AT2G13143_1	1,008	1,041	1,158
AT2G13145_1	0,946	0,997	1,073

AGI	NaCl-Kontrolle zur H₂O-Kontrolle (log₂)	H₂O +B.c. zur H₂O-Kontrolle (log₂)	NaCl +B.c. zur H₂O-Kontrolle (log₂)
AT2G13146_1	1,076	0,604	0,413
AT2G13150_1	1,240	1,180	1,399
AT2G13160_1	1,247	1,467	1,461
AT2G13170_1	0,983	1,286	1,116
AT2G13175_1	1,114	1,099	1,216
AT2G13180_1	0,823	1,117	1,113
AT2G13190_1	1,113	1,395	1,107
AT2G13200_1	1,000	1,171	1,104
AT2G13230_1	1,014	1,087	1,113
AT2G13240_1	1,144	1,138	0,992
AT2G13250_1	1,085	1,377	1,435
AT2G13260_1	1,074	1,044	1,004
AT2G13270_1	1,296	1,428	1,401
AT2G13272_1	1,399	1,289	1,344
AT2G13273_1	0,969	0,996	1,054
AT2G13274_1	1,233	1,176	1,216
AT2G13280_1	0,980	0,893	0,827
AT2G13290_1	1,052	1,207	1,239
AT2G13295_1	1,109	0,984	1,001
AT2G13300_1	1,270	1,118	1,177
AT2G13310_1	1,227	1,365	1,278
AT2G13320_1	1,382	1,624	1,752
AT2G13330_1	1,283	1,286	1,189
AT2G13335_1	1,504	1,469	1,365
AT2G13350_1	1,003	1,007	1,066
AT2G13360_1	1,026	0,914	0,726
AT2G13363_1	1,085	1,081	1,191
AT2G13370_1	1,022	1,012	1,200
AT2G13380_1	1,171	1,301	1,272
AT2G13390_1	1,395	1,424	1,432
AT2G13400_1	1,191	1,320	1,131
AT2G13410_1	1,305	1,144	1,178
AT2G13420_1	1,119	0,462	0,248
AT2G13422_1	1,273	1,468	1,506
AT2G13430_1	1,261	1,382	0,604
AT2G13431_1	1,353	0,915	0,311
AT2G13440_1	0,927	0,590	0,311
AT2G13450_1	1,333	0,966	0,962
AT2G13460_1	1,137	1,186	1,268
AT2G13463_1	1,584	2,173	2,613
AT2G13469_1	1,190	1,182	1,119
AT2G13470_1	1,046	1,023	1,002
AT2G13480_1	1,063	1,134	1,214
AT2G13490_1	1,017	0,986	0,988
AT2G13500_1	1,020	1,014	1,049
AT2G13510_1	0,943	0,956	0,930
AT2G13520_1	0,901	0,939	0,911
AT2G13530_1	0,873	0,889	0,885
AT2G13540_1	1,017	0,859	0,608
AT2G13542_1	0,948	1,025	1,073

AGI	NaCl-Kontrolle zur H₂O-Kontrolle (log₂)	H₂O +B.c. zur H₂O-Kontrolle (log₂)	NaCl +B.c. zur H₂O-Kontrolle (log₂)
AT2G13547_1	1,589	1,886	2,153
AT2G13550_1	0,847	0,675	0,280
AT2G13560_1	0,983	0,830	0,850
AT2G13570_1	0,849	0,574	0,518
AT2G13580_1	0,881	1,081	0,989
AT2G13590_1	1,072	1,327	1,641
AT2G13600_1	1,435	0,402	0,274
AT2G13610_1	0,451	0,293	0,172
AT2G13620_1	0,825	0,983	1,133
AT2G13623_1	0,962	0,994	0,921
AT2G13630_1	1,024	0,967	0,962
AT2G13640_1	0,901	1,005	1,008
AT2G13650_1	0,676	3,606	3,586
AT2G13650_2	0,866	4,054	5,716
AT2G13660_1	1,248	1,110	0,924
AT2G13665_1	1,243	1,120	0,875
AT2G13665_2	1,287	1,118	0,877
AT2G13680_1	1,111	0,968	0,943
AT2G13690_1	1,054	0,366	0,125
AT2G13700_1	0,964	0,967	0,898
AT2G13705_1	0,935	0,918	0,940
AT2G13706_1	0,775	5,758	1,176
AT2G13710_1	1,031	0,997	1,074
AT2G13720_1	0,983	1,113	0,969
AT2G13730_1	1,005	0,954	0,887
AT2G13740_1	1,045	1,208	1,080
AT2G13750_1	1,008	1,012	0,983
AT2G13760_1	0,891	1,005	0,858
AT2G13770_1	1,001	1,045	1,046
AT2G13790_1	0,776	1,454	1,576
AT2G13800_1	0,962	1,340	1,590
AT2G13810_1	0,722	62,638	143,606
AT2G13820_1	0,642	0,083	0,055
AT2G13820_2	0,999	0,935	0,916
AT2G13830_1	1,265	1,528	1,312
AT2G13840_1	1,114	0,523	0,642
AT2G13850_1	0,999	1,223	1,180
AT2G13851_1	1,451	1,913	2,081
AT2G13860_1	1,150	1,376	1,207
AT2G13865_1	0,973	1,040	1,083
AT2G13870_1	1,055	1,485	1,227
AT2G13890_1	1,015	0,996	0,724
AT2G13895_1	0,935	0,953	0,991
AT2G13900_1	0,897	0,972	0,966
AT2G13910_1	1,009	1,042	0,992
AT2G13920_1	1,175	1,171	1,222
AT2G13930_1	1,052	1,050	0,998
AT2G13940_1	0,996	1,133	0,999
AT2G13950_1	1,062	1,271	1,412
AT2G13960_1	1,017	1,022	1,266

AGI	NaCl-Kontrolle zur H₂O-Kontrolle (log₂)	H₂O +B.c. zur H₂O-Kontrolle (log₂)	NaCl +B.c. zur H₂O-Kontrolle (log₂)
AT2G13960_2	1,045	1,043	1,140
AT2G13970_1	1,070	0,784	0,906
AT2G13975_1	0,882	0,647	0,570
AT2G13980_1	0,933	1,263	1,215
AT2G13990_1	1,186	1,147	1,099
AT2G14000_1	1,084	1,203	1,284
AT2G14010_1	0,997	1,101	1,046
AT2G14020_1	1,155	1,139	1,308
AT2G14030_1	1,195	1,199	1,144
AT2G14040_1	1,103	1,161	1,109
AT2G14045_1	0,957	0,715	0,805
AT2G14045_2	0,895	0,713	0,843
AT2G14050_1	0,839	0,904	0,566
AT2G14060_1	1,087	1,120	1,065
AT2G14070_1	0,985	0,874	0,825
AT2G14080_1	0,990	0,695	0,833
AT2G14090_1	0,912	0,366	0,285
AT2G14095_1	1,099	1,089	1,262
AT2G14100_1	1,023	1,045	1,031
AT2G14110_1	0,887	1,000	2,761
AT2G14115_1	1,019	0,890	1,015
AT2G14120_1	1,025	1,126	1,146
AT2G14120_2	1,003	1,165	1,201
AT2G14130_1	1,202	1,226	1,320
AT2G14140_1	1,057	1,091	1,149
AT2G14150_1	1,105	1,080	1,166
AT2G14160_1	1,011	0,990	1,043
AT2G14170_1	1,069	0,787	1,069
AT2G14170_2	1,069	0,805	1,063
AT2G14170_3	0,890	0,371	0,597
AT2G14180_1	1,365	1,538	1,477
AT2G14190_1	1,333	1,502	1,550
AT2G14200_1	0,967	1,200	1,169
AT2G14206_1	0,947	0,506	0,395
AT2G14210_1	1,116	3,068	1,928
AT2G14220_1	0,863	0,722	0,619
AT2G14230_1	1,241	1,448	1,515
AT2G14240_1	1,346	1,502	1,500
AT2G14245_1	0,972	1,300	1,152
AT2G14247_1	0,428	1,257	0,277
AT2G14255_1	1,028	0,717	0,849
AT2G14260_1	0,991	0,802	0,901
AT2G14260_2	0,967	0,750	0,830
AT2G14270_1	1,254	1,303	1,270
AT2G14280_1	0,952	1,035	0,963
AT2G14282_1	0,955	0,896	0,939
AT2G14285_1	0,878	0,755	0,399
AT2G14288_1	1,080	1,840	1,953
AT2G14289_1	1,092	1,872	2,434
AT2G14290_1	0,682	116,177	97,000

AGI	NaCl-Kontrolle zur H₂O-Kontrolle (log₂)	H₂O +B.c. zur H₂O-Kontrolle (log₂)	NaCl +B.c. zur H₂O-Kontrolle (log₂)
AT2G14300_1	1,072	1,024	0,850
AT2G14310_1	1,104	1,089	1,065
AT2G14320_1	1,147	1,216	1,215
AT2G14330_1	1,120	1,105	1,128
AT2G14335_1	1,255	1,385	1,490
AT2G14340_1	1,167	1,295	1,249
AT2G14350_1	1,198	1,407	1,343
AT2G14365_1	0,963	1,007	0,996
AT2G14370_1	1,029	1,077	0,969
AT2G14378_1	0,996	1,670	2,395
AT2G14380_1	0,988	1,215	0,998
AT2G14390_1	0,907	1,056	1,001
AT2G14400_1	0,976	1,239	0,874
AT2G14405_1	1,061	1,030	0,840
AT2G14410_1	1,267	1,238	1,320
AT2G14415_1	1,023	0,961	0,916
AT2G14420_1	0,862	1,080	1,188
AT2G14430_1	1,058	1,271	1,508
AT2G14440_1	0,963	1,094	1,123
AT2G14450_1	1,001	1,060	1,024
AT2G14455_1	1,028	1,024	1,062
AT2G14460_1	1,147	1,304	0,926
AT2G14470_1	0,941	0,999	0,867
AT2G14475_1	1,136	1,174	1,335
AT2G14490_1	1,069	0,726	0,848
AT2G14500_1	1,183	1,293	1,327
AT2G14510_1	1,024	0,957	0,954
AT2G14520_1	1,292	0,397	0,692
AT2G14530_1	0,965	0,548	0,390
AT2G14535_1	1,123	1,121	0,959
AT2G14540_1	1,332	1,573	1,693
AT2G14550_1	1,285	1,482	1,195
AT2G14560_1	1,051	0,143	1,124
AT2G14560_2	0,947	0,322	1,038
AT2G14570_1	1,023	1,009	1,117
AT2G14580_1	0,940	2,315	2,141
AT2G14590_1	1,058	1,187	1,108
AT2G14595_1	1,213	1,383	1,078
AT2G14600_1	1,196	1,209	1,183
AT2G14605_1	0,987	1,037	1,000
AT2G14610_1	0,582	70,151	177,968
AT2G14620_1	0,729	5,839	63,442
AT2G14630_1	1,452	1,487	1,507
AT2G14635_1	1,118	1,222	0,982
AT2G14640_1	1,327	1,529	1,464
AT2G14650_1	1,146	1,439	1,358
AT2G14660_1	0,933	0,719	0,452
AT2G14661_1	1,297	5,363	6,300
AT2G14670_1	1,355	8,625	14,638
AT2G14680_1	1,020	0,745	1,194

AGI	NaCl-Kontrolle zur H₂O-Kontrolle (log₂)	H₂O +B.c. zur H₂O-Kontrolle (log₂)	NaCl +B.c. zur H₂O-Kontrolle (log₂)
AT2G14680_2	1,006	0,795	0,965
AT2G14690_1	0,942	1,117	1,136
AT2G14692_1	1,093	1,126	1,150
AT2G14700_1	1,000	1,334	1,577
AT2G14710_1	0,999	1,119	1,053
AT2G14720_1	1,068	1,054	1,183
AT2G14730_1	1,135	1,406	1,016
AT2G14740_1	1,023	1,062	1,013
AT2G14740_2	1,038	1,044	1,012
AT2G14750_1	0,965	1,574	1,294
AT2G14760_1	1,038	1,133	1,185
AT2G14760_2	1,012	1,053	1,068
AT2G14770_1	1,255	1,395	1,578
AT2G14770_2	1,325	1,474	1,534
AT2G14772_1	1,358	1,533	1,713
AT2G14774_1	1,320	1,460	1,651
AT2G14777_1	1,348	1,394	1,634
AT2G14780_1	1,257	1,429	1,613
AT2G14790_1	1,216	1,406	1,502
AT2G14793_1	0,987	1,058	1,208
AT2G14796_1	1,079	1,317	1,917
AT2G14800_1	1,326	0,473	0,503
AT2G14810_1	1,111	1,200	1,812
AT2G14820_1	0,955	1,024	1,039
AT2G14830_1	0,943	1,003	1,033
AT2G14830_2	1,171	1,195	1,695
AT2G14835_1	1,016	1,021	1,040
AT2G14840_1	1,017	1,053	1,125
AT2G14843_1	0,999	1,087	0,949
AT2G14846_1	1,295	1,415	1,475
AT2G14850_1	0,974	1,458	1,571
AT2G14860_1	0,881	0,476	0,293
AT2G14870_1	1,243	2,007	2,645
AT2G14880_1	0,970	0,831	0,269
AT2G14890_1	0,821	0,305	0,154
AT2G14890_2	1,071	0,871	0,864
AT2G14900_1	0,417	0,727	0,313
AT2G14910_1	1,074	1,134	0,864
AT2G14910_2	1,108	1,269	0,822
AT2G14920_1	1,003	1,073	1,148
AT2G14930_1	1,090	1,364	1,299
AT2G14935_1	1,515	1,533	1,641
AT2G14940_1	1,070	1,134	1,031
AT2G14950_1	1,143	1,448	1,182
AT2G14960_1	1,117	2,600	3,319
AT2G14970_1	1,096	1,007	1,006
AT2G14980_1	1,134	1,127	1,079
AT2G14990_1	1,057	1,260	1,401
AT2G15000_1	0,985	1,226	0,646
AT2G15000_2	1,049	1,208	0,733

AGI	NaCl-Kontrolle zur H₂O-Kontrolle (log₂)	H₂O +B.c. zur H₂O-Kontrolle (log₂)	NaCl +B.c. zur H₂O-Kontrolle (log₂)
AT2G15000_3	0,987	1,239	0,644
AT2G15000_4	0,941	1,228	0,700
AT2G15000_5	1,006	1,208	0,730
AT2G15010_1	1,012	1,082	1,245
AT2G15012_1	1,200	1,157	1,024
AT2G15013_1	1,181	1,277	1,194
AT2G15014_1	1,280	1,330	1,365
AT2G15015_1	1,119	1,183	0,996
AT2G15016_1	0,996	1,036	0,911
AT2G15017_1	0,979	1,046	0,944
AT2G15020_1	1,077	1,012	0,236
AT2G15025_1	1,100	1,206	1,465
AT2G15029_1	1,153	0,837	0,822
AT2G15030_1	1,306	0,788	0,570
AT2G15040_1	1,006	0,757	0,885
AT2G15042_1	0,993	0,393	0,461
AT2G15045_1	0,978	1,155	1,256
AT2G15050_1	1,055	0,306	0,013
AT2G15050_2	0,901	0,199	0,037
AT2G15050_3	1,042	0,620	0,048
AT2G15060_1	0,949	0,779	0,596
AT2G15070_1	0,974	1,008	0,851
AT2G15080_1	0,770	0,709	0,961
AT2G15080_2	0,774	0,478	0,468
AT2G15090_1	0,924	0,059	0,008
AT2G15100_1	1,086	1,379	1,386
AT2G15110_1	1,109	1,302	1,552
AT2G15120_1	1,082	1,178	1,094
AT2G15128_1	0,947	0,459	0,115
AT2G15130_1	1,052	1,098	1,154
AT2G15130_2	0,856	1,092	0,956
AT2G15140_1	1,142	1,217	1,356
AT2G15145_1	1,029	1,141	1,326
AT2G15150_1	1,148	1,208	1,390
AT2G15160_1	0,998	0,976	1,063
AT2G15170_1	0,929	0,888	0,830
AT2G15180_1	1,075	1,136	1,213
AT2G15185_1	1,084	1,297	1,602
AT2G15190_1	1,065	1,172	1,249
AT2G15200_1	1,097	1,210	1,407
AT2G15210_1	1,154	1,207	1,407
AT2G15220_1	0,304	3,260	6,428
AT2G15230_1	1,024	0,519	0,991
AT2G15240_1	0,882	1,073	1,251
AT2G15250_1	0,984	1,088	1,134
AT2G15260_1	0,937	0,935	0,939
AT2G15270_1	0,961	0,838	1,268
AT2G15271_1	1,107	1,622	2,492
AT2G15280_1	0,920	0,388	0,325
AT2G15280_2	0,875	0,363	0,266

AGI	NaCl-Kontrolle zur H ₂ O-Kontrolle (log ₂)	H ₂ O +B.c. zur H ₂ O-Kontrolle (log ₂)	NaCl +B.c. zur H ₂ O-Kontrolle (log ₂)
AT2G15290_1	0,988	0,453	0,386
AT2G15292_1	0,802	1,062	0,543
AT2G15300_1	1,114	0,870	0,670
AT2G15310_1	1,009	1,374	3,270
AT2G15318_1	1,141	0,992	0,992
AT2G15320_1	1,048	0,957	0,708
AT2G15325_1	1,021	1,048	1,100
AT2G15327_1	1,307	1,483	1,704
AT2G15330_1	1,105	1,190	1,151
AT2G15340_1	1,192	1,519	1,747
AT2G15345_1	1,073	1,151	1,293
AT2G15350_1	0,502	5,434	4,912
AT2G15360_1	0,611	3,293	2,576
AT2G15370_1	1,281	2,902	2,921
AT2G15380_1	1,118	1,198	1,155
AT2G15390_1	0,310	5,475	5,627
AT2G15400_1	1,043	0,930	0,630
AT2G15400_2	0,923	0,892	0,812
AT2G15410_1	1,154	1,386	1,320
AT2G15420_1	1,223	1,550	1,677
AT2G15430_1	1,052	1,088	0,916
AT2G15440_1	1,390	0,738	0,281
AT2G15450_1	0,989	1,115	0,839
AT2G15460_1	1,064	1,230	1,257
AT2G15470_1	0,993	1,121	1,084
AT2G15480_1	0,834	13,272	14,972
AT2G15490_1	0,888	34,652	37,297
AT2G15490_2	0,944	41,563	49,509
AT2G15500_1	1,202	1,130	1,238
AT2G15510_1	1,222	1,340	1,734
AT2G15520_1	1,150	1,243	1,266
AT2G15530_1	1,035	0,963	1,169
AT2G15535_1	1,016	1,006	1,055
AT2G15540_1	1,173	1,238	1,169
AT2G15550_1	1,211	1,228	1,206
AT2G15555_1	1,335	1,457	1,468
AT2G15560_1	0,969	0,766	0,691
AT2G15570_1	0,757	1,285	2,048
AT2G15570_2	0,808	1,283	2,023
AT2G15580_1	0,944	1,068	1,054
AT2G15590_1	1,259	1,618	1,782
AT2G15590_2	0,942	1,365	1,537
AT2G15600_1	1,343	1,656	2,009
AT2G15610_1	1,180	1,319	1,517
AT2G15620_1	1,000	0,682	0,609
AT2G15630_1	1,254	0,502	0,275
AT2G15640_1	1,027	1,051	1,202
AT2G15650_1	1,094	1,105	1,115
AT2G15660_1	0,856	0,956	0,937
AT2G15670_1	0,965	0,929	0,942

AGI	NaCl-Kontrolle zur H₂O-Kontrolle (log₂)	H₂O +B.c. zur H₂O-Kontrolle (log₂)	NaCl +B.c. zur H₂O-Kontrolle (log₂)
AT2G15680_1	1,149	0,810	0,799
AT2G15690_1	1,067	1,180	0,733
AT2G15695_1	0,960	0,830	0,770
AT2G15700_1	1,049	1,027	1,087
AT2G15710_1	1,072	1,065	1,114
AT2G15720_1	1,103	1,170	1,281
AT2G15730_1	0,941	1,609	2,598
AT2G15740_1	1,081	1,055	1,159
AT2G15750_1	0,849	0,977	0,874
AT2G15760_1	0,574	31,614	26,205
AT2G15765_1	1,080	1,560	2,496
AT2G15770_1	1,089	1,346	1,325
AT2G15780_1	1,000	48,139	146,652
AT2G15790_1	1,086	1,307	1,465
AT2G15800_1	1,247	1,523	1,801
AT2G15810_1	1,016	0,992	1,058
AT2G15815_1	1,254	1,289	1,187
AT2G15820_1	1,011	0,478	0,478
AT2G15830_1	1,006	0,285	0,574
AT2G15840_1	1,101	1,092	1,063
AT2G15850_1	1,118	1,171	1,083
AT2G15860_1	0,974	0,628	0,716
AT2G15870_1	1,122	1,141	1,216
AT2G15880_1	0,945	0,115	0,242
AT2G15890_1	0,999	0,093	0,186
AT2G15890_2	1,015	0,078	0,149
AT2G15900_1	1,069	0,751	1,184
AT2G15910_1	1,035	1,254	1,688
AT2G15920_1	0,953	1,171	1,161
AT2G15930_1	1,118	1,070	1,022
AT2G15940_1	0,956	0,881	0,825
AT2G15960_1	0,942	0,248	0,462
AT2G15970_1	1,026	0,366	0,256
AT2G15980_1	1,094	0,962	1,258
AT2G15990_1	1,175	1,535	2,191
AT2G16000_1	1,142	1,274	1,266
AT2G16005_1	0,794	0,864	0,932
AT2G16010_1	1,038	1,079	1,149
AT2G16015_1	1,006	0,980	0,981
AT2G16016_1	1,348	1,361	1,490
AT2G16018_1	1,261	1,460	1,705
AT2G16019_1	1,546	1,788	2,540
AT2G16020_1	0,921	0,904	0,905
AT2G16030_1	1,070	1,043	1,211
AT2G16040_1	0,934	0,927	0,893
AT2G16050_1	0,986	0,660	0,758
AT2G16060_1	0,525	0,709	0,878
AT2G16070_1	0,839	0,822	0,797
AT2G16070_2	1,081	1,236	1,223
AT2G16080_1	1,218	1,283	1,307

AGI	NaCl-Kontrolle zur H₂O-Kontrolle (log₂)	H₂O +B.c. zur H₂O-Kontrolle (log₂)	NaCl +B.c. zur H₂O-Kontrolle (log₂)
AT2G16090_1	1,145	0,679	0,695
AT2G16100_1	1,234	1,287	1,457
AT2G16110_1	1,222	1,216	1,323
AT2G16120_1	1,336	1,819	1,690
AT2G16130_1	1,263	1,718	1,779
AT2G16140_1	1,144	1,305	1,254
AT2G16150_1	1,092	1,306	1,276
AT2G16160_1	1,193	0,979	0,979
AT2G16170_1	1,335	1,598	1,742
AT2G16180_1	1,066	1,165	1,099
AT2G16190_1	1,023	1,088	0,976
AT2G16190_2	1,284	1,276	1,281
AT2G16200_1	1,041	1,267	1,291
AT2G16210_1	0,968	1,284	1,243
AT2G16210_2	1,017	1,095	1,062
AT2G16220_1	1,031	1,050	1,041
AT2G16225_1	1,117	1,276	1,294
AT2G16230_1	0,960	1,056	0,986
AT2G16245_1	0,921	0,846	0,843
AT2G16250_1	0,963	0,347	0,209
AT2G16260_1	1,081	1,056	1,050
AT2G16270_1	0,522	0,631	0,164
AT2G16280_1	0,854	0,897	0,719
AT2G16290_1	1,002	1,073	0,968
AT2G16300_1	1,030	1,073	1,047
AT2G16310_1	0,933	1,086	0,898
AT2G16320_1	1,188	1,195	1,105
AT2G16330_1	1,164	0,625	0,764
AT2G16340_1	1,818	2,399	2,314
AT2G16360_1	1,237	1,312	0,976
AT2G16365_1	0,942	1,046	1,139
AT2G16365_2	1,067	0,178	0,537
AT2G16365_4	1,051	0,796	0,860
AT2G16367_1	1,588	0,229	0,156
AT2G16370_1	1,034	0,536	0,554
AT2G16380_1	0,674	0,733	0,380
AT2G16385_1	1,118	1,088	1,147
AT2G16390_1	1,075	0,320	0,271
AT2G16400_1	1,036	0,599	0,374
AT2G16405_1	0,963	0,944	1,317
AT2G16410_1	1,158	1,235	1,310
AT2G16420_1	1,050	1,168	1,142
AT2G16430_1	0,816	0,651	0,988
AT2G16430_2	0,803	0,603	0,962
AT2G16440_1	0,727	0,231	0,201
AT2G16450_1	1,189	1,117	1,162
AT2G16460_1	0,788	1,142	1,575
AT2G16460_2	0,798	1,134	1,828
AT2G16485_1	1,059	1,058	1,002
AT2G16490_1	1,110	1,038	0,935

AGI	NaCl-Kontrolle zur H₂O-Kontrolle (log₂)	H₂O +B.c. zur H₂O-Kontrolle (log₂)	NaCl +B.c. zur H₂O-Kontrolle (log₂)
AT2G16500_1	0,908	1,894	1,541
AT2G16505_1	1,087	1,172	1,185
AT2G16510_1	1,005	0,975	1,127
AT2G16520_1	0,930	0,978	1,066
AT2G16530_1	1,052	0,477	1,152
AT2G16530_2	1,021	0,489	1,156
AT2G16535_1	1,054	1,002	1,014
AT2G16540_1	1,082	1,117	0,955
AT2G16550_1	1,056	1,197	1,138
AT2G16560_1	1,115	1,215	1,132
AT2G16570_1	1,095	1,130	1,104
AT2G16575_1	1,190	1,328	1,669
AT2G16580_1	1,081	0,739	0,784
AT2G16586_1	1,039	1,052	1,053
AT2G16592_1	1,053	1,134	1,096
AT2G16594_1	1,074	1,049	1,067
AT2G16595_1	1,204	0,674	1,767
AT2G16600_1	1,010	0,526	0,704
AT2G16600_2	1,005	0,516	0,676
AT2G16610_1	1,099	1,051	0,883
AT2G16620_1	0,981	1,036	0,999
AT2G16630_1	0,757	0,144	0,081
AT2G16640_1	0,965	0,640	0,605
AT2G16650_1	1,181	1,106	0,669
AT2G16660_1	1,025	0,425	0,263
AT2G16668_1	1,292	1,467	1,731
AT2G16670_1	1,214	1,073	0,810
AT2G16676_1	1,005	1,262	1,082
AT2G16680_1	1,002	1,124	1,227
AT2G16690_1	1,049	1,155	1,062
AT2G16700_1	1,016	0,509	2,155
AT2G16710_1	0,904	0,594	2,305
AT2G16710_2	0,926	0,615	2,413
AT2G16720_1	1,007	7,994	9,746
AT2G16730_1	0,885	0,931	0,953
AT2G16740_1	0,892	1,101	1,678
AT2G16750_1	0,787	0,088	0,033
AT2G16760_1	1,098	1,816	1,329
AT2G16770_1	1,173	0,748	0,641
AT2G16780_1	0,940	0,718	0,398
AT2G16790_1	0,752	1,724	10,022
AT2G16790_2	0,823	1,646	10,064
AT2G16800_1	1,014	0,683	0,508
AT2G16810_1	1,081	1,098	1,038
AT2G16820_1	1,205	1,429	1,886
AT2G16830_1	1,075	1,215	1,238
AT2G16832_1	1,221	1,308	1,116
AT2G16835_1	1,070	1,155	1,182
AT2G16840_1	1,047	1,176	1,108
AT2G16850_1	0,954	0,510	0,370

AGI	NaCl-Kontrolle zur H₂O-Kontrolle (log₂)	H₂O +B.c. zur H₂O-Kontrolle (log₂)	NaCl +B.c. zur H₂O-Kontrolle (log₂)
AT2G16860_1	0,857	1,060	1,406
AT2G16870_1	0,825	0,585	1,028
AT2G16880_1	0,982	0,813	0,820
AT2G16890_1	1,040	0,916	0,940
AT2G16890_2	1,178	0,382	0,684
AT2G16895_1	1,029	1,011	0,978
AT2G16900_1	0,963	5,368	6,776
AT2G16900_2	1,000	5,102	6,028
AT2G16900_3	0,748	4,930	11,968
AT2G16905_1	1,012	0,840	0,438
AT2G16910_1	1,153	1,381	1,460
AT2G16920_1	0,991	1,147	1,253
AT2G16930_1	0,885	0,888	0,842
AT2G16930_2	0,881	0,902	0,859
AT2G16930_3	0,909	0,775	0,807
AT2G16940_1	1,078	0,859	0,767
AT2G16950_1	0,973	1,204	1,310
AT2G16955_1	1,211	1,490	1,856
AT2G16960_1	0,937	1,028	1,050
AT2G16960_2	1,509	1,881	1,801
AT2G16970_1	1,327	1,290	1,231
AT2G16980_1	1,032	1,021	1,020
AT2G16980_2	0,950	0,939	0,944
AT2G16990_1	1,222	0,077	0,069
AT2G17000_1	1,117	1,270	1,528
AT2G17010_1	1,049	0,943	1,039
AT2G17020_1	1,142	0,684	0,716
AT2G17030_1	0,982	1,141	1,802
AT2G17033_1	0,981	0,472	0,466
AT2G17036_1	0,841	0,514	0,463
AT2G17040_1	0,575	0,773	0,837
AT2G17043_1	0,918	1,083	1,185
AT2G17050_1	0,919	1,063	1,153
AT2G17055_1	0,857	0,933	1,049
AT2G17060_1	0,692	0,907	0,700
AT2G17064_1	0,937	1,001	1,047
AT2G17070_1	1,121	1,207	1,337
AT2G17080_1	1,212	1,217	1,466
AT2G17090_1	0,998	1,008	0,989
AT2G17110_1	1,033	1,320	1,483
AT2G17115_1	1,105	1,244	1,380
AT2G17120_1	0,781	0,980	1,091
AT2G17130_1	0,914	1,394	1,877
AT2G17130_2	0,879	1,418	1,851
AT2G17140_1	1,145	0,368	0,285
AT2G17150_1	1,156	0,857	0,807
AT2G17150_2	1,200	0,846	0,765
AT2G17160_1	1,140	1,051	1,063
AT2G17170_1	1,069	1,193	1,439
AT2G17180_1	1,184	1,344	1,761

AGI	NaCl-Kontrolle zur H ₂ O-Kontrolle (log ₂)	H ₂ O +B.c. zur H ₂ O-Kontrolle (log ₂)	NaCl +B.c. zur H ₂ O-Kontrolle (log ₂)
AT2G17190_1	1,009	1,011	1,145
AT2G17200_1	1,012	1,107	1,314
AT2G17210_1	1,277	0,507	0,352
AT2G17220_1	0,907	1,669	1,783
AT2G17230_1	0,908	0,525	0,092
AT2G17240_1	0,936	0,867	0,434
AT2G17250_1	1,019	1,830	1,529
AT2G17260_1	1,016	1,085	1,124
AT2G17265_1	1,085	0,736	0,818
AT2G17270_1	1,045	1,376	0,992
AT2G17280_1	1,783	0,692	0,500
AT2G17280_2	1,307	1,034	1,102
AT2G17290_1	1,039	1,610	1,516
AT2G17300_1	1,124	2,726	0,871
AT2G17305_1	1,030	1,021	1,113
AT2G17310_1	1,095	1,010	1,128
AT2G17320_1	0,931	0,719	0,733
AT2G17330_1	1,050	1,026	0,965
AT2G17340_1	0,843	0,904	0,992
AT2G17350_1	0,809	0,796	1,534
AT2G17360_1	0,907	0,946	0,693
AT2G17370_1	1,001	1,044	1,034
AT2G17380_1	0,820	1,136	1,435
AT2G17390_1	1,013	0,962	0,957
AT2G17410_1	1,010	0,972	0,969
AT2G17420_1	1,006	1,865	2,144
AT2G17430_1	1,010	1,328	2,054
AT2G17440_1	1,034	1,480	1,671
AT2G17442_1	0,877	0,418	0,434
AT2G17442_2	0,839	0,403	0,411
AT2G17442_4	0,970	0,469	0,567
AT2G17442_5	0,947	0,557	0,604
AT2G17450_1	0,935	0,387	0,652
AT2G17460_1	1,290	1,374	1,548
AT2G17470_1	1,038	0,566	0,474
AT2G17477_1	1,116	1,058	1,095
AT2G17480_1	0,852	1,030	0,940
AT2G17490_1	0,842	1,006	1,024
AT2G17500_1	1,860	25,726	42,841
AT2G17500_3	1,852	24,145	37,861
AT2G17510_1	1,083	1,092	0,839
AT2G17520_1	0,939	1,388	1,651
AT2G17525_1	1,157	0,599	0,540
AT2G17530_1	1,302	1,353	1,466
AT2G17530_2	1,041	1,829	2,047
AT2G17540_1	1,016	0,521	0,530
AT2G17540_3	1,035	0,583	0,530
AT2G17550_1	0,755	0,369	0,491
AT2G17550_2	0,749	0,336	0,474
AT2G17556_1	0,924	1,060	1,128

AGI	NaCl-Kontrolle zur H₂O-Kontrolle (log₂)	H₂O +B.c. zur H₂O-Kontrolle (log₂)	NaCl +B.c. zur H₂O-Kontrolle (log₂)
AT2G17560_1	0,900	0,630	0,733
AT2G17560_2	0,890	0,621	0,685
AT2G17560_3	0,929	0,627	0,733
AT2G17570_1	0,953	1,667	2,104
AT2G17580_1	1,007	1,112	1,047
AT2G17590_1	0,952	1,063	0,946
AT2G17600_1	1,017	1,043	1,041
AT2G17610_1	0,918	0,968	0,915
AT2G17620_1	1,139	1,217	1,133
AT2G17630_1	0,915	0,947	0,673
AT2G17640_1	0,964	0,843	1,180
AT2G17650_1	1,263	0,896	0,628
AT2G17660_1	1,273	1,724	1,749
AT2G17670_1	1,123	1,699	0,907
AT2G17670_2	1,113	1,651	1,030
AT2G17680_1	1,029	1,053	1,051
AT2G17690_1	1,056	0,849	0,760
AT2G17695_1	0,919	0,404	0,274
AT2G17695_2	0,952	0,427	0,261
AT2G17700_1	1,028	1,259	1,542
AT2G17705_1	0,726	2,436	3,803
AT2G17710_1	1,112	0,950	1,505
AT2G17720_1	0,955	2,483	2,816
AT2G17723_1	0,997	0,975	1,057
AT2G17730_1	1,013	1,296	2,255
AT2G17740_1	0,624	5,693	10,816
AT2G17750_1	1,023	1,026	1,008
AT2G17760_1	0,923	1,746	2,734
AT2G17770_1	1,105	1,068	1,008
AT2G17780_1	0,931	0,106	0,097
AT2G17780_2	0,899	0,100	0,095
AT2G17780_3	0,735	0,261	0,238
AT2G17780_4	0,908	0,250	0,213
AT2G17785_1	1,050	1,130	1,257
AT2G17787_1	1,017	1,148	1,615
AT2G17790_1	0,948	0,906	1,041
AT2G17800_1	0,989	0,843	0,769
AT2G17810_1	1,148	1,492	1,786
AT2G17820_1	1,053	0,796	0,414
AT2G17830_1	1,014	0,825	0,616
AT2G17840_1	1,017	0,388	0,571
AT2G17845_1	1,151	1,381	1,233
AT2G17850_1	1,048	1,051	1,023
AT2G17860_1	1,282	1,803	2,116
AT2G17870_1	1,055	1,231	1,089
AT2G17880_1	0,858	0,186	0,153
AT2G17890_1	1,200	1,326	1,101
AT2G17900_1	1,111	2,565	2,208
AT2G17910_1	0,989	1,013	0,916
AT2G17920_1	1,028	1,322	1,310

AGI	NaCl-Kontrolle zur H₂O-Kontrolle (log₂)	H₂O +B.c. zur H₂O-Kontrolle (log₂)	NaCl +B.c. zur H₂O-Kontrolle (log₂)
AT2G17930_1	1,097	0,834	0,769
AT2G17940_1	1,063	1,071	1,052
AT2G17950_1	1,105	1,360	1,200
AT2G17960_1	0,871	1,113	1,145
AT2G17970_1	1,066	0,761	0,454
AT2G17972_1	0,871	0,354	0,227
AT2G17975_1	0,876	0,490	0,651
AT2G17980_1	0,967	1,149	1,146
AT2G17990_1	1,166	0,763	1,070
AT2G18000_1	0,917	2,129	2,627
AT2G18010_1	0,912	0,917	0,562
AT2G18020_1	0,967	0,870	0,646
AT2G18030_1	0,869	0,863	0,934
AT2G18030_2	1,132	1,144	1,223
AT2G18040_1	0,939	0,746	1,090
AT2G18042_1	1,054	1,116	1,095
AT2G18050_1	1,861	1,424	2,163
AT2G18050_2	1,948	0,381	1,176
AT2G18060_1	0,780	0,367	0,259
AT2G18070_1	1,039	1,112	1,058
AT2G18080_1	1,133	1,084	1,109
AT2G18090_1	1,024	2,084	2,240
AT2G18100_1	1,612	1,277	1,351
AT2G18110_1	1,166	1,185	1,016
AT2G18115_1	1,147	1,175	1,106
AT2G18120_1	0,984	0,718	0,297
AT2G18130_1	1,010	1,106	1,026
AT2G18140_1	0,930	1,058	1,549
AT2G18150_1	0,957	1,216	3,166
AT2G18160_1	0,817	1,044	0,827
AT2G18170_1	1,246	0,790	2,047
AT2G18180_1	0,588	0,476	0,543
AT2G18190_1	0,984	4,129	8,962
AT2G18193_1	0,929	16,095	50,259
AT2G18196_1	2,077	1,008	0,362
AT2G18200_1	0,957	2,609	2,420
AT2G18210_1	0,553	4,673	10,243
AT2G18220_1	1,158	1,515	1,075
AT2G18230_1	1,155	0,692	0,523
AT2G18240_1	0,939	0,739	1,941
AT2G18240_2	0,899	0,689	1,841
AT2G18245_1	0,952	0,353	0,407
AT2G18250_1	0,878	0,825	1,060
AT2G18260_1	0,910	0,725	0,644
AT2G18270_1	1,141	0,654	0,698
AT2G18280_1	1,108	0,687	0,680
AT2G18290_1	0,903	0,249	0,089
AT2G18300_1	0,967	0,161	0,007
AT2G18300_2	0,964	0,163	0,007
AT2G18310_1	1,372	1,649	1,842

AGI	NaCl-Kontrolle zur H₂O-Kontrolle (log₂)	H₂O +B.c. zur H₂O-Kontrolle (log₂)	NaCl +B.c. zur H₂O-Kontrolle (log₂)
AT2G18320_1	1,032	0,988	1,005
AT2G18323_1	1,194	2,276	2,116
AT2G18328_1	0,747	0,635	0,073
AT2G18330_1	1,120	1,181	0,891
AT2G18340_1	1,140	1,308	1,295
AT2G18350_1	1,012	0,793	0,771
AT2G18360_1	1,099	1,092	1,021
AT2G18370_1	1,088	0,985	1,001
AT2G18380_1	0,942	0,628	0,418
AT2G18390_1	0,992	0,500	0,454
AT2G18400_1	1,010	0,377	0,288
AT2G18410_1	1,065	1,099	1,090
AT2G18410_2	0,944	0,760	0,827
AT2G18420_1	0,963	1,277	1,078
AT2G18440_1	1,280	0,663	0,804
AT2G18450_1	1,287	1,579	1,717
AT2G18460_1	0,990	1,092	1,167
AT2G18460_2	1,226	1,218	1,500
AT2G18465_1	0,935	1,392	1,487
AT2G18470_1	0,850	0,748	0,720
AT2G18480_1	0,964	0,952	1,093
AT2G18490_1	1,089	1,099	1,202
AT2G18500_1	0,982	0,954	0,992
AT2G18510_1	1,129	1,510	1,423
AT2G18520_1	1,095	0,581	0,239
AT2G18530_1	1,198	1,625	1,937
AT2G18540_1	1,071	1,147	1,134
AT2G18550_1	1,344	1,383	1,520
AT2G18560_1	1,004	0,246	0,029
AT2G18570_1	1,001	0,352	0,070
AT2G18580_1	1,021	1,051	1,095
AT2G18590_1	1,003	1,160	1,104
AT2G18600_1	0,962	1,960	4,667
AT2G18610_1	1,205	1,543	1,492
AT2G18620_1	1,053	0,667	0,291
AT2G18630_1	1,014	0,645	0,388
AT2G18640_1	1,121	1,173	1,291
AT2G18650_1	0,857	0,321	0,096
AT2G18660_1	0,249	0,970	3,406
AT2G18670_1	0,969	1,003	1,184
AT2G18680_1	0,529	6,880	10,871
AT2G18690_1	0,151	9,302	9,954
AT2G18690_2	0,270	3,710	3,886
AT2G18700_1	0,909	0,557	0,815
AT2G18710_1	0,956	0,654	0,432
AT2G18720_1	0,991	2,396	2,672
AT2G18730_1	0,835	1,286	1,474
AT2G18735_1	0,777	0,709	1,009
AT2G18740_1	0,834	1,045	1,143
AT2G18740_2	0,834	1,147	1,218

AGI	NaCl-Kontrolle zur H₂O-Kontrolle (log₂)	H₂O +B.c. zur H₂O-Kontrolle (log₂)	NaCl +B.c. zur H₂O-Kontrolle (log₂)
AT2G18750_1	0,981	1,000	0,953
AT2G18760_1	1,170	0,990	1,086
AT2G18770_1	0,806	0,763	0,956
AT2G18780_1	1,029	0,931	1,842
AT2G18790_1	1,070	0,937	0,768
AT2G18800_1	1,078	1,328	1,325
AT2G18810_1	1,061	1,155	1,120
AT2G18820_1	1,009	1,211	1,134
AT2G18830_1	1,126	1,222	1,186
AT2G18840_1	1,026	0,871	0,901
AT2G18850_1	1,120	0,622	0,222
AT2G18860_1	0,847	1,903	1,868
AT2G18860_2	0,887	1,837	1,796
AT2G18870_1	0,963	1,095	1,115
AT2G18876_1	0,853	0,298	0,284
AT2G18876_2	0,986	0,532	0,502
AT2G18880_1	1,051	1,055	0,970
AT2G18890_1	0,692	0,071	0,024
AT2G18890_2	0,726	0,072	0,027
AT2G18900_1	1,228	1,916	1,298
AT2G18910_1	0,800	0,713	0,224
AT2G18915_1	1,040	0,841	0,900
AT2G18917_1	1,521	2,409	3,255
AT2G18920_1	1,133	1,295	1,666
AT2G18930_1	1,168	1,314	1,379
AT2G18938_1	0,817	0,725	0,721
AT2G18940_1	1,006	0,500	0,244
AT2G18950_1	1,130	1,987	4,494
AT2G18960_1	1,039	1,100	1,259
AT2G18969_1	0,849	0,538	0,583
AT2G18970_1	0,999	0,895	0,906
AT2G18980_1	0,948	0,975	1,079
AT2G18990_1	0,938	0,380	0,237
AT2G19000_1	0,935	1,039	1,076
AT2G19010_1	1,235	1,453	1,926
AT2G19020_1	1,175	1,299	1,527
AT2G19030_1	1,215	1,578	1,883
AT2G19040_1	1,406	1,877	2,265
AT2G19045_1	1,148	1,437	1,761
AT2G19050_1	1,133	1,333	1,560
AT2G19060_1	1,034	1,017	1,053
AT2G19070_1	1,072	1,407	1,329
AT2G19080_1	0,945	0,966	1,044
AT2G19090_1	0,877	0,485	0,385
AT2G19100_1	0,954	1,081	1,268
AT2G19110_1	0,994	0,403	0,809
AT2G19120_1	1,170	0,810	0,772
AT2G19130_1	0,954	1,609	2,032
AT2G19140_1	0,995	1,021	0,998
AT2G19146_1	1,170	1,146	1,348

AGI	NaCl-Kontrolle zur H₂O-Kontrolle (log₂)	H₂O +B.c. zur H₂O-Kontrolle (log₂)	NaCl +B.c. zur H₂O-Kontrolle (log₂)
AT2G19150_1	1,086	1,235	1,346
AT2G19160_1	0,961	1,558	1,804
AT2G19170_1	0,913	0,121	0,030
AT2G19180_1	1,064	0,852	1,060
AT2G19190_1	0,360	11,139	32,827
AT2G19200_1	1,057	1,223	1,275
AT2G19210_1	1,366	1,307	1,368
AT2G19220_1	1,294	1,609	2,045
AT2G19230_1	1,176	1,123	1,440
AT2G19240_1	1,107	0,854	1,502
AT2G19250_1	0,984	0,617	0,627
AT2G19260_1	1,099	0,994	1,062
AT2G19270_1	0,900	1,244	1,236
AT2G19280_1	1,050	0,596	0,486
AT2G19290_1	1,131	1,021	1,131
AT2G19300_1	1,162	1,198	1,285
AT2G19310_1	1,173	2,763	2,476
AT2G19320_1	1,010	1,116	1,179
AT2G19330_1	1,093	1,093	1,339
AT2G19340_1	0,861	0,799	0,880
AT2G19340_2	0,844	0,873	1,388
AT2G19350_1	1,021	0,777	1,590
AT2G19360_1	0,989	1,185	1,167
AT2G19380_1	1,012	0,680	0,554
AT2G19385_1	1,076	1,603	1,258
AT2G19390_1	1,060	0,920	1,082
AT2G19400_1	0,992	0,272	0,268
AT2G19410_1	1,017	1,014	1,089
AT2G19420_1	1,022	1,060	1,245
AT2G19425_1	1,182	1,173	1,224
AT2G19430_1	0,999	0,778	0,673
AT2G19440_1	0,974	0,404	0,290
AT2G19450_1	1,286	0,536	1,412
AT2G19460_1	0,789	0,936	0,708
AT2G19470_1	1,152	0,976	1,235
AT2G19480_1	1,015	1,142	0,907
AT2G19490_1	1,125	1,515	1,141
AT2G19500_1	0,984	4,504	98,457
AT2G19510_1	1,064	1,038	1,029
AT2G19520_1	1,186	0,766	0,513
AT2G19530_1	1,049	0,406	0,354
AT2G19540_1	1,116	1,218	0,967
AT2G19550_1	1,036	1,122	1,210
AT2G19560_1	0,908	0,975	1,710
AT2G19570_1	0,618	2,300	7,526
AT2G19580_1	0,729	0,358	0,294
AT2G19582_1	1,204	1,120	1,280
AT2G19590_1	0,957	0,491	0,433
AT2G19600_1	1,029	0,510	0,418
AT2G19610_1	1,235	1,272	1,503

AGI	NaCl-Kontrolle zur H₂O-Kontrolle (log₂)	H₂O +B.c. zur H₂O-Kontrolle (log₂)	NaCl +B.c. zur H₂O-Kontrolle (log₂)
AT2G19610_2	1,217	1,436	1,699
AT2G19620_1	0,911	0,611	0,444
AT2G19620_2	0,795	0,465	0,241
AT2G19630_1	1,012	1,039	1,169
AT2G19630_2	1,048	1,036	1,073
AT2G19640_1	1,003	2,389	1,866
AT2G19640_2	1,038	2,478	1,937
AT2G19650_1	0,808	1,095	0,902
AT2G19660_1	0,842	0,790	0,755
AT2G19670_1	1,044	0,742	0,305
AT2G19680_1	0,980	0,953	1,079
AT2G19680_2	0,888	0,873	0,874
AT2G19690_1	0,770	0,707	0,510
AT2G19700_1	1,011	1,244	1,856
AT2G19710_1	0,770	1,841	2,620
AT2G19720_1	0,884	0,637	0,359
AT2G19730_1	0,945	0,895	0,703
AT2G19730_2	0,923	0,889	0,687
AT2G19730_3	0,975	0,933	0,892
AT2G19740_1	0,940	1,042	0,663
AT2G19750_1	0,893	0,949	0,821
AT2G19755_1	1,147	1,106	1,393
AT2G19760_1	0,900	1,094	1,460
AT2G19770_1	1,122	1,516	1,749
AT2G19780_1	0,718	1,329	0,282
AT2G19790_1	1,005	0,547	0,996
AT2G19796_1	1,151	1,191	1,424
AT2G19800_1	0,320	1,209	1,226
AT2G19802_1	1,177	1,195	1,564
AT2G19803_1	0,903	1,330	1,426
AT2G19806_1	0,982	0,941	0,905
AT2G19810_1	1,585	0,214	0,113
AT2G19820_1	1,015	1,041	1,071
AT2G19830_1	1,021	0,718	1,032
AT2G19840_1	1,134	1,067	1,120
AT2G19850_1	1,261	1,195	1,284
AT2G19850_2	1,079	1,049	0,956
AT2G19860_1	1,282	0,753	0,939
AT2G19870_1	1,164	0,844	0,615
AT2G19880_1	0,757	1,860	2,587
AT2G19890_1	1,052	1,021	1,087
AT2G19893_1	1,137	1,313	1,574
AT2G19900_1	1,395	0,955	9,365
AT2G19910_1	1,014	0,876	0,619
AT2G19920_1	0,891	0,835	0,902
AT2G19930_1	0,969	0,664	0,428
AT2G19940_1	0,949	0,527	0,393
AT2G19950_1	1,057	0,655	0,801
AT2G19960_1	1,017	1,051	1,079
AT2G19970_1	0,852	0,986	0,867

AGI	NaCl-Kontrolle zur H₂O-Kontrolle (log₂)	H₂O +B.c. zur H₂O-Kontrolle (log₂)	NaCl +B.c. zur H₂O-Kontrolle (log₂)
AT2G19980_1	1,029	0,908	1,101
AT2G19990_1	0,700	0,557	1,263
AT2G20000_1	1,092	0,843	0,800
AT2G20010_1	0,859	1,831	2,103
AT2G20020_1	1,103	0,682	0,339
AT2G20030_1	1,092	1,569	15,924
AT2G20050_1	1,007	0,477	0,474
AT2G20060_1	1,163	0,925	0,594
AT2G20070_1	1,072	1,067	1,074
AT2G20080_1	1,151	1,760	1,993
AT2G20080_2	1,087	1,161	1,404
AT2G20100_1	1,344	0,457	0,654
AT2G20100_2	1,011	0,714	0,905
AT2G20110_1	1,064	1,725	2,156
AT2G20110_2	1,111	1,722	2,161
AT2G20120_1	0,876	0,720	0,608
AT2G20130_1	0,784	1,537	2,151
AT2G20140_1	0,956	0,821	0,784
AT2G20142_1	0,548	1,779	3,520
AT2G20150_1	0,946	1,296	1,556
AT2G20160_1	1,142	1,324	1,508
AT2G20170_1	0,984	0,943	0,930
AT2G20170_2	0,926	0,973	1,063
AT2G20180_1	1,297	0,665	0,142
AT2G20190_1	1,014	0,832	0,637
AT2G20208_1	0,929	1,012	1,153
AT2G20210_1	1,065	0,442	0,215
AT2G20230_1	0,971	0,886	0,885
AT2G20240_1	1,088	0,228	0,063
AT2G20250_1	0,898	0,259	0,160
AT2G20260_1	0,969	0,587	0,292
AT2G20270_1	0,996	0,481	0,545
AT2G20280_1	1,068	1,156	1,497
AT2G20290_1	1,033	0,148	0,066
AT2G20298_1	1,119	1,153	1,294
AT2G20300_1	1,009	0,559	0,255
AT2G20310_1	1,036	1,157	1,187
AT2G20320_1	0,995	2,845	3,609
AT2G20330_1	1,111	1,064	1,020
AT2G20340_1	0,988	2,262	1,530
AT2G20350_1	1,039	1,193	1,273
AT2G20360_1	0,998	0,901	1,039
AT2G20362_1	0,900	0,755	0,767
AT2G20370_1	1,164	0,871	0,741
AT2G20380_1	1,123	1,353	1,545
AT2G20390_1	1,168	1,011	0,880
AT2G20400_1	1,104	1,375	1,648
AT2G20410_1	0,907	1,911	3,321
AT2G20420_1	0,934	1,214	1,282
AT2G20430_1	0,972	1,164	1,173

AGI	NaCl-Kontrolle zur H ₂ O-Kontrolle (log ₂)	H ₂ O +B.c. zur H ₂ O-Kontrolle (log ₂)	NaCl +B.c. zur H ₂ O-Kontrolle (log ₂)
AT2G20440_1	0,917	1,012	1,152
AT2G20450_1	0,892	0,979	0,734
AT2G20453_1	1,036	1,117	1,225
AT2G20460_1	1,102	1,186	1,360
AT2G20463_1	1,065	1,193	1,311
AT2G20465_1	1,084	1,011	1,040
AT2G20470_1	1,146	1,018	1,288
AT2G20480_1	0,964	0,588	0,615
AT2G20490_1	1,025	1,321	0,805
AT2G20490_2	1,059	1,360	0,818
AT2G20495_1	1,054	0,741	0,746
AT2G20495_2	1,008	0,676	0,711
AT2G20500_1	0,678	0,492	0,869
AT2G20510_1	1,359	1,515	1,896
AT2G20515_1	1,267	1,185	1,326
AT2G20520_1	1,245	1,539	1,905
AT2G20530_1	1,121	0,837	0,590
AT2G20530_2	1,035	0,838	0,625
AT2G20540_1	1,072	0,501	0,415
AT2G20550_1	1,120	0,775	0,494
AT2G20550_2	1,295	1,013	1,550
AT2G20555_1	1,229	1,001	1,060
AT2G20560_1	0,931	21,070	23,245
AT2G20562_1	0,603	14,540	16,020
AT2G20570_1	1,088	1,190	0,722
AT2G20580_1	1,029	0,833	0,894
AT2G20585_1	1,136	0,648	0,417
AT2G20585_2	1,154	0,657	0,470
AT2G20585_3	1,048	1,202	0,760
AT2G20590_1	1,014	0,937	1,004
AT2G20590_2	0,917	0,985	1,014
AT2G20595_1	1,200	1,326	1,288
AT2G20597_1	1,195	1,291	1,376
AT2G20600_1	1,077	1,117	1,189
AT2G20605_1	1,014	1,283	1,233
AT2G20610_1	0,977	1,189	1,191
AT2G20610_2	0,998	1,084	1,099
AT2G20613_1	1,111	1,011	1,135
AT2G20616_1	1,092	0,792	0,781
AT2G20618_1	1,152	1,361	1,675
AT2G20619_1	1,396	1,605	1,992
AT2G20620_1	1,022	1,107	1,087
AT2G20625_1	1,050	1,106	1,368
AT2G20630_1	0,800	0,698	0,962
AT2G20630_2	1,028	1,091	1,186
AT2G20635_1	0,941	0,639	0,281
AT2G20650_1	0,874	0,443	0,603
AT2G20650_2	0,892	0,471	0,636
AT2G20660_1	1,099	1,134	1,344
AT2G20670_1	0,709	0,238	0,399

AGI	NaCl-Kontrolle zur H₂O-Kontrolle (log₂)	H₂O +B.c. zur H₂O-Kontrolle (log₂)	NaCl +B.c. zur H₂O-Kontrolle (log₂)
AT2G20680_1	0,947	0,308	0,211
AT2G20690_1	1,057	0,756	0,531
AT2G20700_1	0,961	0,473	0,409
AT2G20710_1	1,330	0,811	0,428
AT2G20710_2	1,513	1,082	0,789
AT2G20720_1	0,928	3,650	11,730
AT2G20721_1	0,968	0,622	0,593
AT2G20722_1	1,056	0,488	0,477
AT2G20723_1	0,939	0,654	0,503
AT2G20724_1	0,910	0,934	0,481
AT2G20725_1	0,907	0,701	0,568
AT2G20740_1	1,010	0,713	0,993
AT2G20740_2	1,007	0,634	1,053
AT2G20740_3	1,073	0,655	1,106
AT2G20750_1	1,050	0,049	0,021
AT2G20760_1	0,991	1,202	1,464
AT2G20770_1	1,021	0,420	0,530
AT2G20780_1	1,075	1,522	1,269
AT2G20784_1	1,078	0,685	0,816
AT2G20790_1	1,093	0,891	0,909
AT2G20790_3	1,124	0,913	0,922
AT2G20800_1	1,086	1,780	6,950
AT2G20805_1	0,999	0,952	1,068
AT2G20810_1	0,925	1,002	0,789
AT2G20815_1	1,023	0,631	0,747
AT2G20816_1	1,150	1,259	1,134
AT2G20818_1	1,361	1,365	1,480
AT2G20820_1	0,975	1,122	1,684
AT2G20820_2	0,952	1,235	2,373
AT2G20825_1	1,272	1,774	6,029
AT2G20830_1	1,022	0,911	1,639
AT2G20830_2	1,078	1,079	1,257
AT2G20835_1	0,798	0,718	0,681
AT2G20840_1	0,795	0,751	0,732
AT2G20850_1	1,156	0,468	0,411
AT2G20860_1	1,004	0,915	0,821
AT2G20870_1	1,130	1,022	1,129
AT2G20875_1	1,065	0,496	0,530
AT2G20880_1	0,582	0,405	1,026
AT2G20890_1	0,953	0,556	0,392
AT2G20900_1	0,836	2,537	2,667
AT2G20900_2	0,811	2,651	2,727
AT2G20910_1	1,113	1,044	0,951
AT2G20920_1	1,037	0,977	1,793
AT2G20921_1	1,291	1,282	1,779
AT2G20930_1	0,835	0,353	0,413
AT2G20940_1	0,994	3,037	1,816
AT2G20950_1	0,970	1,757	1,633
AT2G20950_4	0,941	1,844	1,653
AT2G20960_1	0,919	1,125	1,374

AGI	NaCl-Kontrolle zur H₂O-Kontrolle (log₂)	H₂O +B.c. zur H₂O-Kontrolle (log₂)	NaCl +B.c. zur H₂O-Kontrolle (log₂)
AT2G20970_1	1,171	1,267	1,255
AT2G20970_2	1,127	1,414	1,378
AT2G20980_1	0,553	0,259	0,164
AT2G20990_1	1,018	0,596	0,568
AT2G20993_1	1,054	1,030	1,078
AT2G21000_1	0,900	1,241	1,203
AT2G21010_1	1,153	0,801	0,697
AT2G21020_1	1,029	1,204	1,182
AT2G21030_1	1,007	1,140	2,196
AT2G21040_1	1,249	1,072	1,076
AT2G21045_1	1,089	1,175	1,538
AT2G21050_1	0,867	0,082	0,014
AT2G21060_1	0,965	0,902	1,290
AT2G21070_1	1,074	0,425	0,106
AT2G21070_2	1,073	0,458	0,175
AT2G21080_1	0,802	0,378	0,130
AT2G21090_1	0,941	1,047	0,618
AT2G21100_1	1,117	1,063	1,296
AT2G21110_1	1,133	1,590	1,930
AT2G21120_1	0,811	1,744	1,590
AT2G21130_1	1,307	0,740	0,774
AT2G21140_1	0,483	0,120	0,098
AT2G21150_1	0,887	1,035	1,283
AT2G21160_1	0,976	1,089	1,147
AT2G21160_2	0,948	1,072	1,074
AT2G21170_1	0,983	0,753	0,598
AT2G21172_1	1,141	1,111	1,200
AT2G21180_1	1,182	1,216	4,206
AT2G21185_1	0,931	0,965	2,754
AT2G21187_1	0,945	1,049	3,124
AT2G21187_2	0,841	1,956	67,315
AT2G21188_1	1,036	1,939	5,977
AT2G21190_1	0,983	1,406	1,955
AT2G21195_1	0,880	0,687	0,461
AT2G21195_2	0,876	0,622	0,395
AT2G21200_1	0,885	0,334	0,193
AT2G21210_1	1,148	0,625	0,094
AT2G21220_1	1,029	0,831	0,410
AT2G21230_1	0,948	1,019	0,973
AT2G21230_2	0,767	0,895	0,879
AT2G21235_1	1,345	1,779	2,386
AT2G21237_1	1,119	1,375	1,536
AT2G21240_1	1,014	0,701	0,966
AT2G21240_2	1,033	0,630	0,867
AT2G21250_1	1,111	0,322	0,339
AT2G21250_2	1,043	0,327	0,349
AT2G21260_1	1,075	0,518	0,499
AT2G21270_1	1,076	1,209	1,794
AT2G21280_1	0,921	0,374	0,258
AT2G21290_1	1,213	1,535	1,603

AGI	NaCl-Kontrolle zur H₂O-Kontrolle (log₂)	H₂O +B.c. zur H₂O-Kontrolle (log₂)	NaCl +B.c. zur H₂O-Kontrolle (log₂)
AT2G21300_1	1,136	0,760	0,515
AT2G21300_2	1,116	0,757	0,521
AT2G21310_1	1,172	1,155	1,209
AT2G21320_1	1,142	1,213	0,740
AT2G21330_1	1,063	0,939	0,309
AT2G21330_2	1,276	0,599	0,098
AT2G21330_3	1,099	0,947	0,301
AT2G21340_1	1,137	0,595	0,391
AT2G21340_2	1,126	0,592	0,397
AT2G21350_1	1,224	2,480	2,190
AT2G21370_1	0,966	0,399	0,243
AT2G21370_2	1,065	0,402	0,253
AT2G21380_1	1,073	0,468	0,442
AT2G21385_1	0,910	0,344	0,201
AT2G21385_2	0,862	0,381	0,213
AT2G21390_1	1,014	1,030	0,968
AT2G21400_1	1,300	1,177	1,512
AT2G21410_1	1,009	0,923	1,120
AT2G21420_1	1,065	0,950	0,958
AT2G21430_1	1,215	1,591	2,318
AT2G21440_1	1,166	0,894	0,621
AT2G21450_1	0,883	1,006	1,097
AT2G21460_1	1,066	1,154	1,051
AT2G21465_1	1,054	1,121	1,227
AT2G21470_1	1,077	1,591	2,163
AT2G21470_2	1,074	1,020	1,270
AT2G21480_1	1,365	1,287	1,481
AT2G21490_1	1,306	2,391	3,325
AT2G21500_1	0,750	2,659	2,419
AT2G21500_2	0,634	5,449	4,488
AT2G21510_1	0,967	4,101	8,595
AT2G21520_1	0,962	1,096	1,186
AT2G21530_1	0,996	0,422	0,202
AT2G21540_1	0,577	0,174	0,055
AT2G21550_1	0,749	1,047	0,667
AT2G21560_1	0,791	0,506	1,040
AT2G21580_1	1,116	1,003	0,699
AT2G21580_2	1,045	0,953	0,655
AT2G21590_1	1,932	0,121	0,191
AT2G21600_1	0,938	0,894	0,989
AT2G21610_1	1,156	1,244	1,591
AT2G21620_1	0,993	1,335	1,771
AT2G21620_2	1,038	1,428	1,739
AT2G21630_1	1,051	0,465	0,283
AT2G21640_1	0,919	8,536	22,683
AT2G21650_1	0,272	1,093	0,121
AT2G21655_1	1,016	1,033	0,998
AT2G21660_1	1,125	0,169	0,398
AT2G21680_1	0,995	1,151	1,128
AT2G21690_1	1,033	1,001	1,017

AGI	NaCl-Kontrolle zur H₂O-Kontrolle (log₂)	H₂O +B.c. zur H₂O-Kontrolle (log₂)	NaCl +B.c. zur H₂O-Kontrolle (log₂)
AT2G21710_1	1,249	0,319	0,145
AT2G21720_1	0,955	1,083	1,144
AT2G21725_1	1,058	1,122	1,239
AT2G21727_1	0,951	1,040	1,051
AT2G21730_1	1,079	0,386	0,244
AT2G21740_1	1,311	1,611	2,033
AT2G21750_1	1,197	1,409	1,576
AT2G21770_1	1,196	0,350	0,194
AT2G21780_1	1,192	1,270	1,480
AT2G21790_1	0,924	0,361	0,200
AT2G21800_1	1,050	0,857	0,834
AT2G21810_1	0,989	1,036	0,973
AT2G21820_1	1,191	1,127	1,306
AT2G21830_1	1,113	0,453	0,119
AT2G21840_1	0,766	0,911	1,033
AT2G21850_1	0,697	0,441	0,922
AT2G21860_1	1,084	0,769	0,540
AT2G21870_1	1,013	0,903	1,107
AT2G21880_1	0,799	0,450	0,414
AT2G21880_2	0,679	0,211	0,254
AT2G21890_1	1,073	0,356	0,263
AT2G21895_1	0,925	1,012	1,041
AT2G21900_1	1,009	1,155	1,182
AT2G21905_1	0,970	0,963	0,977
AT2G21910_1	0,882	1,258	2,028
AT2G21920_1	0,992	0,992	1,127
AT2G21930_1	0,929	0,979	1,048
AT2G21940_1	1,087	1,326	1,889
AT2G21940_2	1,077	1,317	1,916
AT2G21940_3	0,937	0,613	1,116
AT2G21940_4	1,034	1,358	1,829
AT2G21940_5	1,088	1,325	1,891
AT2G21950_1	0,988	1,047	0,997
AT2G21960_1	0,992	0,553	0,323
AT2G21970_1	0,946	1,098	0,910
AT2G21980_1	1,531	1,252	0,799
AT2G21990_1	1,177	1,123	1,073
AT2G22000_1	1,014	0,493	0,219
AT2G22010_1	0,955	1,639	1,603
AT2G22030_1	1,045	1,195	1,516
AT2G22040_1	1,118	1,069	1,178
AT2G22050_1	1,037	1,270	1,363
AT2G22050_2	1,077	1,224	1,599
AT2G22055_1	1,080	1,039	1,092
AT2G22060_1	1,265	1,582	1,317
AT2G22070_1	1,369	0,509	0,454
AT2G22080_1	0,878	0,648	0,376
AT2G22088_1	0,903	1,604	1,820
AT2G22090_1	0,823	1,605	2,141
AT2G22090_2	1,024	0,542	1,324

AGI	NaCl-Kontrolle zur H₂O-Kontrolle (log₂)	H₂O +B.c. zur H₂O-Kontrolle (log₂)	NaCl +B.c. zur H₂O-Kontrolle (log₂)
AT2G22100_1	0,923	2,015	2,484
AT2G22120_1	1,110	0,889	1,102
AT2G22121_1	1,071	1,127	1,168
AT2G22122_1	0,525	0,196	0,129
AT2G22125_1	1,002	0,649	0,328
AT2G22140_1	0,932	0,262	0,218
AT2G22145_1	0,960	0,942	0,959
AT2G22150_1	1,007	1,118	1,072
AT2G22155_1	0,993	1,017	1,043
AT2G22160_1	1,087	1,336	1,365
AT2G22170_1	0,704	0,187	0,013
AT2G22180_1	1,332	1,588	1,929
AT2G22190_1	0,874	0,283	0,146
AT2G22200_1	0,664	0,524	0,206
AT2G22201_1	1,006	1,038	1,031
AT2G22210_1	1,029	1,194	1,218
AT2G22220_1	1,062	1,453	1,797
AT2G22230_1	0,887	0,368	0,103
AT2G22240_1	1,257	1,612	0,774
AT2G22241_1	1,334	1,330	1,415
AT2G22250_1	0,882	2,626	1,678
AT2G22260_1	1,085	0,773	0,485
AT2G22270_1	0,898	0,629	0,449
AT2G22280_1	1,185	1,127	1,240
AT2G22290_1	0,995	0,970	0,957
AT2G22300_1	0,923	1,112	0,976
AT2G22300_2	0,898	1,100	0,970
AT2G22310_1	0,995	0,926	0,989
AT2G22320_1	1,052	2,842	5,534
AT2G22330_1	0,880	1,688	1,434
AT2G22335_1	1,032	1,676	1,289
AT2G22340_1	1,375	2,108	3,018
AT2G22345_1	0,984	0,991	1,016
AT2G22350_1	0,982	1,148	1,080
AT2G22360_1	1,108	0,990	0,947
AT2G22370_1	0,893	1,011	1,427
AT2G22380_1	1,037	1,405	1,804
AT2G22390_1	0,948	0,341	0,261
AT2G22400_1	1,134	0,599	0,398
AT2G22410_1	1,067	0,585	0,222
AT2G22420_1	0,980	0,700	0,491
AT2G22425_1	0,811	0,769	1,026
AT2G22425_2	0,825	0,758	1,016
AT2G22426_1	1,402	1,852	2,386
AT2G22430_1	1,055	0,870	1,090
AT2G22440_1	1,369	1,284	1,412
AT2G22450_1	1,091	0,230	0,370
AT2G22460_1	0,911	0,963	1,007
AT2G22470_1	0,876	8,721	26,999
AT2G22475_1	0,887	1,616	1,846

AGI	NaCl-Kontrolle zur H₂O-Kontrolle (log₂)	H₂O +B.c. zur H₂O-Kontrolle (log₂)	NaCl +B.c. zur H₂O-Kontrolle (log₂)
AT2G22475_2	1,034	1,066	1,243
AT2G22480_1	0,934	0,822	1,316
AT2G22490_1	1,067	1,260	1,264
AT2G22496_1	1,051	1,059	1,094
AT2G22500_1	0,613	2,805	2,853
AT2G22510_1	1,301	0,704	0,907
AT2G22520_1	0,982	1,032	1,143
AT2G22520_2	0,970	0,965	0,864
AT2G22530_1	0,940	0,563	0,559
AT2G22540_1	0,892	0,607	0,665
AT2G22540_2	0,872	0,597	0,652
AT2G22560_1	1,050	1,826	4,753
AT2G22570_1	0,829	0,624	1,014
AT2G22570_2	1,023	0,761	1,143
AT2G22580_1	0,907	0,985	1,141
AT2G22590_1	1,305	0,907	1,183
AT2G22600_1	1,003	0,974	0,986
AT2G22610_1	0,768	0,216	0,151
AT2G22620_1	0,685	0,928	3,785
AT2G22630_1	0,880	1,231	1,445
AT2G22640_1	0,702	0,521	0,810
AT2G22650_1	0,997	0,364	0,292
AT2G22660_1	1,028	0,795	1,187
AT2G22660_2	1,016	0,778	1,234
AT2G22670_1	1,069	0,319	0,185
AT2G22670_2	1,118	0,379	0,220
AT2G22680_1	0,899	0,419	1,498
AT2G22690_1	0,916	1,321	2,371
AT2G22690_2	0,921	1,138	1,930
AT2G22710_1	0,974	0,957	0,965
AT2G22720_1	0,977	1,108	1,119
AT2G22720_2	0,974	1,176	1,215
AT2G22730_1	0,820	0,424	0,414
AT2G22740_1	0,939	1,001	1,111
AT2G22750_1	0,972	1,085	1,117
AT2G22750_2	0,865	0,861	0,909
AT2G22760_1	0,869	25,054	47,021
AT2G22770_1	0,510	12,260	7,913
AT2G22780_1	1,085	1,365	1,888
AT2G22790_1	0,850	1,496	1,819
AT2G22795_1	1,046	0,434	0,280
AT2G22800_1	0,807	1,914	3,268
AT2G22805_1	1,117	1,439	1,260
AT2G22807_1	0,971	0,995	0,976
AT2G22810_1	0,492	0,421	0,072
AT2G22820_1	1,339	2,402	3,316
AT2G22821_1	1,166	0,745	0,880
AT2G22830_1	1,082	0,229	0,327
AT2G22840_1	0,977	0,237	0,188
AT2G22850_1	0,889	1,226	0,763

AGI	NaCl-Kontrolle zur H₂O-Kontrolle (log₂)	H₂O +B.c. zur H₂O-Kontrolle (log₂)	NaCl +B.c. zur H₂O-Kontrolle (log₂)
AT2G22860_1	0,647	5,999	9,917
AT2G22870_1	0,974	0,777	0,294
AT2G22880_1	0,523	13,998	12,686
AT2G22890_1	1,042	1,151	0,705
AT2G22900_1	1,113	0,616	0,218
AT2G22905_1	1,021	1,110	1,218
AT2G22910_1	1,011	1,244	1,248
AT2G22920_1	1,437	1,294	2,438
AT2G22920_2	1,205	1,094	2,211
AT2G22930_1	1,370	0,693	0,449
AT2G22940_1	1,465	1,551	1,923
AT2G22941_1	1,054	1,061	1,077
AT2G22942_1	1,307	1,395	1,669
AT2G22950_1	1,577	2,488	2,095
AT2G22955_1	0,986	1,005	0,958
AT2G22960_1	1,135	1,090	0,970
AT2G22970_1	0,993	0,951	1,921
AT2G22970_2	0,966	0,912	1,883
AT2G22980_1	0,882	0,707	0,167
AT2G22980_2	0,919	0,328	0,076
AT2G22980_3	0,932	0,806	0,220
AT2G22990_1	0,975	0,843	0,775
AT2G22990_2	0,995	0,836	0,767
AT2G22990_3	0,942	0,833	0,761
AT2G22990_4	0,928	0,822	0,733
AT2G22990_5	0,950	0,845	0,759
AT2G23000_1	1,320	0,297	0,292
AT2G23010_1	1,145	0,338	0,150
AT2G23030_1	1,113	0,849	0,904
AT2G23040_1	1,003	1,207	1,242
AT2G23050_1	1,006	1,053	1,153
AT2G23060_1	1,401	1,255	1,322
AT2G23060_2	1,011	1,090	1,110
AT2G23067_1	1,130	1,240	1,624
AT2G23070_1	0,930	1,043	1,044
AT2G23080_1	0,939	0,869	1,389
AT2G23080_2	1,080	0,742	0,816
AT2G23090_1	1,015	1,100	1,232
AT2G23093_1	0,919	0,648	0,730
AT2G23096_1	1,040	1,061	1,162
AT2G23100_1	0,713	1,028	0,515
AT2G23110_1	1,139	1,693	5,123
AT2G23118_1	0,977	1,003	1,322
AT2G23120_1	1,047	0,466	0,888
AT2G23130_1	0,707	0,687	0,076
AT2G23130_2	0,777	0,981	0,871
AT2G23140_1	0,952	1,147	1,647
AT2G23142_1	1,176	1,432	1,757
AT2G23148_1	1,136	1,074	1,288
AT2G23149_1	1,484	1,430	1,986

AGI	NaCl-Kontrolle zur H₂O-Kontrolle (log₂)	H₂O +B.c. zur H₂O-Kontrolle (log₂)	NaCl +B.c. zur H₂O-Kontrolle (log₂)
AT2G23150_1	0,864	2,642	7,441
AT2G23160_1	0,938	0,982	1,125
AT2G23170_1	0,176	8,080	17,577
AT2G23171_1	1,067	1,143	1,194
AT2G23180_1	1,000	1,571	1,742
AT2G23190_1	1,211	1,693	2,573
AT2G23200_1	0,914	0,663	0,840
AT2G23210_1	1,277	1,527	2,089
AT2G23220_1	1,365	1,641	1,999
AT2G23230_1	1,125	1,185	1,314
AT2G23240_1	0,975	1,122	1,153
AT2G23240_2	1,132	1,121	1,121
AT2G23250_1	1,124	1,243	1,238
AT2G23260_1	1,205	2,717	2,680
AT2G23270_1	1,024	75,588	91,522
AT2G23290_1	0,823	2,290	1,547
AT2G23300_1	0,880	1,097	0,787
AT2G23310_1	0,966	1,042	1,221
AT2G23310_2	0,967	1,009	1,152
AT2G23320_1	0,804	3,775	4,227
AT2G23320_2	0,795	3,772	4,106
AT2G23330_1	1,032	0,952	1,108
AT2G23340_1	1,089	0,595	0,262
AT2G23347_1	1,180	1,074	1,138
AT2G23348_1	0,976	0,706	0,572
AT2G23350_1	1,060	0,831	0,634
AT2G23360_1	1,024	0,154	0,058
AT2G23370_1	0,975	0,884	1,162
AT2G23380_1	0,786	0,509	0,580
AT2G23390_1	1,141	0,579	0,570
AT2G23400_1	1,089	1,166	1,254
AT2G23410_1	1,142	1,179	1,393
AT2G23420_1	1,068	2,205	2,047
AT2G23430_1	0,778	1,086	2,330
AT2G23440_1	1,197	1,381	1,466
AT2G23450_1	0,803	2,621	3,855
AT2G23460_1	1,045	1,011	0,969
AT2G23470_1	1,238	0,855	0,469
AT2G23480_1	1,069	1,499	1,259
AT2G23490_1	1,048	1,509	1,374
AT2G23500_1	1,101	1,432	1,324
AT2G23510_1	0,959	1,042	1,026
AT2G23520_1	1,025	0,717	0,430
AT2G23530_1	0,942	1,031	1,058
AT2G23540_1	0,912	0,615	0,670
AT2G23550_1	1,007	0,758	0,299
AT2G23550_2	1,269	0,932	0,812
AT2G23560_1	0,517	1,697	0,432
AT2G23570_1	1,062	1,208	0,754
AT2G23580_1	1,159	1,298	1,293

AGI	NaCl-Kontrolle zur H₂O-Kontrolle (log₂)	H₂O +B.c. zur H₂O-Kontrolle (log₂)	NaCl +B.c. zur H₂O-Kontrolle (log₂)
AT2G23590_1	1,054	0,705	0,115
AT2G23600_1	0,898	0,674	0,096
AT2G23610_1	1,049	0,488	0,120
AT2G23620_1	1,130	1,186	0,677
AT2G23630_1	1,049	1,061	1,129
AT2G23640_1	1,113	1,276	1,638
AT2G23660_1	1,026	1,166	1,143
AT2G23660_2	1,015	1,114	1,143
AT2G23670_1	0,875	0,530	0,112
AT2G23672_1	0,910	0,840	0,814
AT2G23673_1	0,988	1,807	1,587
AT2G23680_1	0,743	2,246	2,335
AT2G23680_2	0,735	1,723	1,920
AT2G23690_1	0,451	1,246	0,450
AT2G23700_1	0,880	0,233	0,079
AT2G23710_1	1,143	1,326	1,323
AT2G23720_1	1,236	1,265	1,239
AT2G23740_1	1,085	0,784	0,762
AT2G23755_1	0,791	0,395	0,395
AT2G23760_1	1,075	0,790	0,625
AT2G23770_1	0,686	1,698	0,805
AT2G23780_1	1,103	0,942	1,047
AT2G23790_1	0,925	2,451	5,672
AT2G23800_1	1,104	1,180	1,313
AT2G23808_1	1,086	1,120	1,239
AT2G23810_1	0,840	1,913	2,666
AT2G23820_1	0,929	0,902	0,925
AT2G23820_2	0,895	0,543	0,752
AT2G23830_1	1,216	1,790	2,191
AT2G23834_1	1,006	1,032	1,025
AT2G23840_1	0,854	0,612	1,245
AT2G23850_1	0,967	1,260	1,846
AT2G23860_1	1,142	1,444	1,425
AT2G23870_1	1,015	1,062	1,113
AT2G23880_1	1,009	1,083	1,486
AT2G23890_1	1,010	0,636	0,619
AT2G23900_1	1,014	0,948	0,938
AT2G23910_1	1,079	1,807	2,745
AT2G23920_1	1,500	1,684	1,832
AT2G23930_1	0,900	0,838	0,637
AT2G23930_2	0,868	0,803	0,677
AT2G23940_1	0,795	0,714	0,728
AT2G23945_1	0,929	0,804	0,981
AT2G23950_1	0,938	0,692	0,640
AT2G23960_1	0,977	1,096	1,116
AT2G23970_1	1,370	1,685	5,148
AT2G23980_1	0,919	1,048	0,892
AT2G23985_1	0,882	0,822	0,849
AT2G23985_2	0,901	0,834	0,859
AT2G23990_1	1,074	1,186	1,300

AGI	NaCl-Kontrolle zur H₂O-Kontrolle (log₂)	H₂O +B.c. zur H₂O-Kontrolle (log₂)	NaCl +B.c. zur H₂O-Kontrolle (log₂)
AT2G23990_2	1,151	1,167	1,186
AT2G24000_1	1,382	0,916	0,954
AT2G24000_2	1,084	0,934	0,886
AT2G24010_1	0,971	0,544	0,325
AT2G24020_1	0,851	0,423	0,270
AT2G24030_1	1,127	0,969	1,256
AT2G24030_2	1,010	0,993	1,024
AT2G24040_1	0,874	0,576	1,832
AT2G24050_1	1,003	1,175	0,895
AT2G24060_1	0,912	0,348	0,112
AT2G24070_1	1,148	0,661	0,771
AT2G24070_2	1,123	0,837	0,880
AT2G24080_1	0,863	0,957	1,047
AT2G24090_1	0,811	0,309	0,103
AT2G24100_1	0,770	3,674	5,725
AT2G24103_1	1,054	1,087	1,191
AT2G24110_1	1,116	1,160	1,094
AT2G24120_1	1,409	0,709	0,212
AT2G24120_2	1,137	0,743	0,693
AT2G24130_1	0,929	1,106	1,183
AT2G24140_1	0,851	0,631	0,676
AT2G24150_1	0,837	0,714	0,250
AT2G24160_1	0,657	0,165	0,284
AT2G24165_1	0,963	1,177	0,974
AT2G24170_1	0,977	0,317	0,279
AT2G24180_1	1,146	3,477	4,190
AT2G24190_1	1,110	1,119	0,914
AT2G24190_2	1,133	1,221	1,019
AT2G24200_1	1,090	1,436	1,435
AT2G24205_1	1,013	1,029	1,184
AT2G24210_1	0,779	5,522	11,196
AT2G24220_1	0,903	0,607	0,435
AT2G24230_1	0,981	0,153	0,114
AT2G24240_1	0,925	0,506	0,900
AT2G24250_1	0,989	0,618	0,936
AT2G24250_2	0,969	0,550	0,847
AT2G24255_1	1,110	1,109	1,195
AT2G24260_1	1,172	1,451	3,859
AT2G24270_1	1,189	0,936	0,269
AT2G24280_1	1,244	1,359	0,888
AT2G24285_1	0,932	1,082	1,318
AT2G24290_1	1,110	0,408	0,168
AT2G24300_1	0,830	0,406	0,323
AT2G24310_1	1,196	0,895	0,981
AT2G24320_1	0,914	0,912	1,196
AT2G24330_1	0,888	1,283	1,243
AT2G24340_1	1,024	1,013	1,076
AT2G24350_1	1,092	0,254	0,158
AT2G24360_1	1,015	1,156	1,232
AT2G24370_1	1,016	1,066	1,111

AGI	NaCl-Kontrolle zur H₂O-Kontrolle (log₂)	H₂O +B.c. zur H₂O-Kontrolle (log₂)	NaCl +B.c. zur H₂O-Kontrolle (log₂)
AT2G24380_1	1,120	1,126	1,431
AT2G24390_1	0,909	0,536	0,702
AT2G24390_2	0,860	0,504	0,708
AT2G24395_1	0,629	0,261	0,192
AT2G24400_1	1,035	1,004	1,118
AT2G24410_1	1,254	1,144	1,153
AT2G24420_1	1,129	0,912	0,785
AT2G24420_2	1,066	0,918	0,764
AT2G24430_1	1,187	1,096	1,349
AT2G24440_1	0,825	0,528	0,526
AT2G24450_1	1,081	1,233	1,499
AT2G24460_1	1,037	1,042	1,180
AT2G24470_1	1,213	1,112	1,214
AT2G24480_1	1,273	1,332	1,422
AT2G24490_1	0,557	0,382	0,362
AT2G24490_2	0,793	0,803	0,864
AT2G24500_1	1,106	1,670	1,590
AT2G24510_1	1,091	1,055	1,124
AT2G24513_1	1,016	1,045	1,081
AT2G24520_1	1,018	0,611	0,839
AT2G24530_1	1,053	1,021	1,265
AT2G24540_1	1,138	1,298	0,891
AT2G24545_1	1,052	0,949	0,966
AT2G24545_2	0,911	0,985	1,189
AT2G24550_1	0,872	0,828	0,865
AT2G24560_1	0,913	0,866	0,963
AT2G24570_1	0,961	1,710	1,974
AT2G24580_1	0,964	0,967	1,047
AT2G24590_1	1,156	1,043	0,948
AT2G24592_1	1,009	0,862	0,718
AT2G24600_1	0,340	3,368	1,728
AT2G24600_2	0,343	3,408	1,706
AT2G24600_3	0,380	2,329	1,190
AT2G24610_1	0,654	0,254	0,254
AT2G24615_1	1,056	1,080	1,205
AT2G24617_1	1,211	1,190	1,490
AT2G24620_1	0,930	1,015	1,006
AT2G24625_1	1,003	1,059	1,085
AT2G24630_1	1,100	0,321	0,068
AT2G24640_1	0,919	1,858	2,161
AT2G24650_1	0,968	0,091	0,038
AT2G24650_2	0,609	0,161	0,147
AT2G24660_1	0,998	0,814	0,816
AT2G24670_1	0,912	1,004	1,122
AT2G24680_1	0,958	0,894	0,873
AT2G24683_1	0,997	1,177	1,498
AT2G24690_1	1,080	0,534	0,755
AT2G24692_1	0,947	0,503	0,507
AT2G24693_1	0,980	1,102	1,080
AT2G24696_1	1,002	1,237	1,251

AGI	NaCl-Kontrolle zur H ₂ O-Kontrolle (log ₂)	H ₂ O +B.c. zur H ₂ O-Kontrolle (log ₂)	NaCl +B.c. zur H ₂ O-Kontrolle (log ₂)
AT2G24700_1	1,085	0,957	1,007
AT2G24710_1	0,937	1,000	0,930
AT2G24720_1	1,144	0,919	0,882
AT2G24730_1	1,065	1,060	1,056
AT2G24735_1	1,341	1,573	1,761
AT2G24740_1	0,919	1,032	1,059
AT2G24748_1	1,526	0,401	0,330
AT2G24750_1	1,257	0,469	0,544
AT2G24755_1	1,180	0,488	0,566
AT2G24755_2	1,151	0,528	0,586
AT2G24755_3	1,271	0,461	0,573
AT2G24760_1	1,094	0,707	0,646
AT2G24761_1	1,003	1,009	1,003
AT2G24762_1	1,159	0,336	0,348
AT2G24765_1	0,850	0,813	0,740
AT2G24765_2	0,849	0,824	0,760
AT2G24780_1	1,002	1,021	1,005
AT2G24790_1	0,964	0,990	0,631
AT2G24790_2	0,986	0,834	0,513
AT2G24791_1	1,160	1,376	1,475
AT2G24800_1	0,962	1,029	0,962
AT2G24810_1	0,962	1,174	1,095
AT2G24820_1	1,066	0,993	1,213
AT2G24830_1	0,942	0,939	1,359
AT2G24834_1	0,919	1,137	1,234
AT2G24840_1	1,048	1,079	1,163
AT2G24850_1	0,783	4,704	5,088
AT2G24860_1	0,825	1,176	1,392
AT2G24870_1	1,110	1,026	0,959
AT2G24880_1	1,114	1,129	1,221
AT2G24890_1	1,173	1,365	1,416
AT2G24900_1	1,308	1,339	1,021
AT2G24910_1	1,203	1,516	1,576
AT2G24915_1	1,240	1,397	1,547
AT2G24920_1	1,224	1,521	1,630
AT2G24930_1	1,243	1,445	1,404
AT2G24940_1	0,903	1,030	0,915
AT2G24950_1	0,999	0,998	1,048
AT2G24960_1	1,034	0,948	0,979
AT2G24960_2	1,063	0,860	0,964
AT2G24970_1	0,718	0,394	0,368
AT2G24980_1	1,299	1,386	1,306
AT2G24990_1	1,230	1,252	0,955
AT2G25000_1	0,893	1,068	3,792
AT2G25010_1	1,046	0,917	1,463
AT2G25011_1	0,964	1,173	1,204
AT2G25015_1	0,967	1,015	1,015
AT2G25020_1	0,941	1,084	1,070
AT2G25025_1	1,005	0,985	0,959
AT2G25030_1	0,995	1,078	1,002

AGI	NaCl-Kontrolle zur H₂O-Kontrolle (log₂)	H₂O +B.c. zur H₂O-Kontrolle (log₂)	NaCl +B.c. zur H₂O-Kontrolle (log₂)
AT2G25040_1	1,095	1,244	1,099
AT2G25050_1	1,099	0,331	0,272
AT2G25052_1	1,255	0,297	0,211
AT2G25060_1	0,716	0,205	0,122
AT2G25070_1	0,971	0,760	0,970
AT2G25080_1	0,982	0,716	0,410
AT2G25090_1	1,287	9,483	35,299
AT2G25095_1	1,030	1,200	1,102
AT2G25100_1	0,894	0,561	0,362
AT2G25100_2	0,972	0,531	0,346
AT2G25110_1	1,025	1,259	1,543
AT2G25120_1	1,319	1,120	1,160
AT2G25130_1	1,625	0,723	0,636
AT2G25140_1	1,137	4,299	5,089
AT2G25150_1	0,940	0,594	0,686
AT2G25160_1	1,032	1,211	1,382
AT2G25169_1	1,051	1,117	1,395
AT2G25170_1	1,030	0,662	0,617
AT2G25171_1	1,150	1,089	1,114
AT2G25180_1	0,957	0,621	0,636
AT2G25185_1	1,066	1,101	1,207
AT2G25190_1	0,871	0,758	1,062
AT2G25200_1	0,805	0,578	0,263
AT2G25210_1	0,799	0,850	0,700
AT2G25220_1	0,623	0,147	0,078
AT2G25230_1	0,953	0,984	0,954
AT2G25240_1	1,057	1,355	1,232
AT2G25250_1	0,959	1,083	1,029
AT2G25255_1	1,096	1,082	1,116
AT2G25260_1	1,115	1,819	2,213
AT2G25270_1	1,086	0,105	0,029
AT2G25280_1	0,928	1,001	1,418
AT2G25290_1	1,022	1,080	0,930
AT2G25295_1	1,018	1,185	1,262
AT2G25300_1	0,970	0,584	0,552
AT2G25305_1	1,026	0,989	1,054
AT2G25310_1	0,804	0,737	0,562
AT2G25312_1	1,057	1,061	1,002
AT2G25320_1	1,120	0,877	1,144
AT2G25330_1	1,279	1,114	1,246
AT2G25340_1	1,296	1,449	1,533
AT2G25344_1	1,042	1,115	1,069
AT2G25350_1	1,184	0,699	0,910
AT2G25355_1	0,997	0,941	0,613
AT2G25355_2	0,964	0,943	0,620
AT2G25360_1	1,072	1,121	1,256
AT2G25370_1	0,943	1,149	1,121
AT2G25380_1	1,087	1,198	1,217
AT2G25390_1	1,111	1,114	1,247
AT2G25400_1	0,829	0,883	0,924

AGI	NaCl-Kontrolle zur H₂O-Kontrolle (log₂)	H₂O +B.c. zur H₂O-Kontrolle (log₂)	NaCl +B.c. zur H₂O-Kontrolle (log₂)
AT2G25409_1	1,007	1,002	0,966
AT2G25410_1	0,958	1,057	1,175
AT2G25420_1	0,951	0,363	0,205
AT2G25430_1	1,002	1,479	1,202
AT2G25440_1	1,174	9,525	48,931
AT2G25450_1	1,043	1,065	1,678
AT2G25460_1	0,914	14,156	25,317
AT2G25470_1	0,578	9,442	12,709
AT2G25480_1	1,025	0,176	0,029
AT2G25482_1	1,254	1,338	1,566
AT2G25490_1	1,006	1,311	1,085
AT2G25500_1	1,042	0,784	0,568
AT2G25510_1	0,968	0,868	0,980
AT2G25520_1	0,925	1,157	1,271
AT2G25530_1	0,947	1,750	3,419
AT2G25540_1	0,961	0,956	0,769
AT2G25550_1	1,191	1,327	1,651
AT2G25560_1	1,073	1,004	1,102
AT2G25565_1	1,108	1,146	1,374
AT2G25570_1	1,093	0,678	0,649
AT2G25570_2	1,056	0,676	0,634
AT2G25570_3	1,086	0,704	0,645
AT2G25580_1	1,022	1,342	1,188
AT2G25590_1	0,967	0,507	1,139
AT2G25600_1	1,136	1,479	2,700
AT2G25605_1	1,005	0,562	0,445
AT2G25610_1	0,957	1,030	1,312
AT2G25620_1	1,053	2,191	3,982
AT2G25625_1	1,224	6,623	22,052
AT2G25630_1	1,089	1,187	1,744
AT2G25640_1	0,983	0,497	0,388
AT2G25650_1	1,058	1,159	1,372
AT2G25660_1	0,994	0,687	1,092
AT2G25670_1	0,994	1,182	1,097
AT2G25680_1	0,968	1,824	1,690
AT2G25685_1	1,102	1,298	1,686
AT2G25687_1	1,197	1,038	1,246
AT2G25690_1	1,153	0,801	1,926
AT2G25690_2	1,197	0,926	1,922
AT2G25697_1	1,206	1,343	1,348
AT2G25700_1	1,184	1,848	1,686
AT2G25710_1	0,886	0,550	0,508
AT2G25710_2	1,068	0,901	0,957
AT2G25720_1	1,025	0,960	1,421
AT2G25730_1	1,158	0,493	0,840
AT2G25735_1	0,333	8,599	6,885
AT2G25737_1	0,928	1,344	2,073
AT2G25740_1	1,102	1,492	1,600
AT2G25760_1	1,048	1,070	1,329
AT2G25760_2	1,067	1,087	1,299

AGI	NaCl-Kontrolle zur H₂O-Kontrolle (log₂)	H₂O +B.c. zur H₂O-Kontrolle (log₂)	NaCl +B.c. zur H₂O-Kontrolle (log₂)
AT2G25770_1	1,140	1,338	1,512
AT2G25770_2	0,978	1,029	1,052
AT2G25780_1	0,988	1,110	1,121
AT2G25790_1	0,975	0,245	0,253
AT2G25800_1	0,973	0,712	0,536
AT2G25810_1	0,750	1,887	0,567
AT2G25820_1	1,291	2,532	0,594
AT2G25830_1	0,824	0,276	0,191
AT2G25840_1	0,832	0,402	0,157
AT2G25840_2	0,860	0,381	0,154
AT2G25840_3	0,861	0,406	0,156
AT2G25850_1	0,921	0,970	0,923
AT2G25850_2	0,870	0,757	0,890
AT2G25850_3	0,764	0,923	0,947
AT2G25870_1	0,937	0,860	0,853
AT2G25880_1	0,798	0,435	0,344
AT2G25880_2	0,782	0,598	0,560
AT2G25890_1	1,320	1,903	2,063
AT2G25900_1	1,038	0,197	0,056
AT2G25910_1	1,078	0,987	1,249
AT2G25910_2	1,030	1,001	1,155
AT2G25920_1	1,003	0,591	0,630
AT2G25930_1	1,169	0,280	0,495
AT2G25940_1	0,870	0,931	5,805
AT2G25950_1	1,090	0,304	0,504
AT2G25964_1	1,112	0,516	0,364
AT2G25970_1	1,042	1,002	0,990
AT2G25975_1	1,069	1,003	0,995
AT2G25980_1	0,999	1,048	1,052
AT2G25990_1	1,112	0,984	1,117
AT2G26000_1	1,041	1,193	1,644
AT2G26000_2	0,950	1,072	1,588
AT2G26010_1	1,473	23,280	2,383
AT2G26020_1	1,658	19,205	2,417
AT2G26030_1	0,921	0,470	0,754
AT2G26030_2	0,913	0,401	0,718
AT2G26040_1	0,909	0,873	0,780
AT2G26050_1	1,144	1,512	1,494
AT2G26060_1	1,033	1,052	0,900
AT2G26070_1	0,922	0,457	0,540
AT2G26080_1	1,095	0,973	0,616
AT2G26100_1	0,898	0,622	0,642
AT2G26110_1	0,843	0,565	0,322
AT2G26130_1	1,091	1,095	1,167
AT2G26135_1	1,009	1,063	1,093
AT2G26140_1	1,075	1,061	1,042
AT2G26150_1	1,020	63,976	60,191
AT2G26150_2	0,727	147,435	137,363
AT2G26160_1	1,094	1,090	1,117
AT2G26170_1	0,527	2,307	2,869

AGI	NaCl-Kontrolle zur H₂O-Kontrolle (log₂)	H₂O +B.c. zur H₂O-Kontrolle (log₂)	NaCl +B.c. zur H₂O-Kontrolle (log₂)
AT2G26170_2	0,707	1,542	1,669
AT2G26180_1	0,646	0,349	0,298
AT2G26190_1	0,860	0,999	0,778
AT2G26200_1	0,965	0,422	0,616
AT2G26210_1	0,617	1,067	1,251
AT2G26210_2	0,812	1,018	1,077
AT2G26211_1	1,088	1,028	1,003
AT2G26215_1	0,813	0,192	0,076
AT2G26220_1	1,021	1,047	1,017
AT2G26230_1	0,973	1,323	2,381
AT2G26240_1	0,774	1,019	0,942
AT2G26250_1	0,938	0,824	0,321
AT2G26260_1	1,047	0,400	0,495
AT2G26267_1	1,117	0,209	0,088
AT2G26270_1	1,225	0,202	0,082
AT2G26280_1	0,983	1,187	0,965
AT2G26290_1	0,975	0,924	3,177
AT2G26300_1	0,915	1,155	1,400
AT2G26310_1	0,914	3,903	20,568
AT2G26320_1	1,023	1,030	1,057
AT2G26330_1	1,132	0,135	0,019
AT2G26340_1	0,870	0,531	0,514
AT2G26350_1	1,002	1,025	1,457
AT2G26355_1	1,727	1,085	1,811
AT2G26360_1	0,784	0,499	0,359
AT2G26370_1	1,036	1,046	1,337
AT2G26380_1	1,176	1,601	1,677
AT2G26390_1	0,574	2,274	2,174
AT2G26400_1	0,990	1,346	4,131
AT2G26410_1	1,053	1,103	1,212
AT2G26420_1	1,196	1,462	1,676
AT2G26430_1	1,068	1,078	1,158
AT2G26430_2	1,089	1,073	1,156
AT2G26430_3	1,077	1,059	1,076
AT2G26440_1	0,848	0,944	0,977
AT2G26450_1	1,035	1,215	1,460
AT2G26455_1	1,233	2,139	2,261
AT2G26460_1	1,072	1,171	1,294
AT2G26470_1	1,026	0,882	0,575
AT2G26480_1	1,087	2,462	5,056
AT2G26490_1	0,973	1,027	0,876
AT2G26500_1	0,714	0,161	0,082
AT2G26500_2	0,960	0,648	0,377
AT2G26500_3	0,938	0,602	0,335
AT2G26510_1	1,063	0,561	0,761
AT2G26511_1	1,032	1,133	1,269
AT2G26520_1	0,680	0,569	0,665
AT2G26530_1	0,789	2,548	2,430
AT2G26530_2	0,779	2,650	2,467
AT2G26540_1	0,916	0,475	0,457

AGI	NaCl-Kontrolle zur H₂O-Kontrolle (log₂)	H₂O +B.c. zur H₂O-Kontrolle (log₂)	NaCl +B.c. zur H₂O-Kontrolle (log₂)
AT2G26547_1	1,080	0,224	0,089
AT2G26550_1	0,894	0,305	0,134
AT2G26560_1	0,684	2,103	2,017
AT2G26570_1	1,022	0,581	0,870
AT2G26580_1	0,970	0,262	0,088
AT2G26580_2	0,962	0,277	0,063
AT2G26590_1	0,916	1,368	1,558
AT2G26590_2	0,935	1,267	1,535
AT2G26590_3	0,929	1,380	1,634
AT2G26600_1	0,991	0,968	1,344
AT2G26600_2	0,988	0,976	1,377
AT2G26610_1	1,161	1,465	1,772
AT2G26620_1	1,004	1,102	1,066
AT2G26630_1	1,001	1,026	0,978
AT2G26640_1	0,864	0,720	0,381
AT2G26650_1	0,895	10,622	5,199
AT2G26660_1	0,883	1,556	2,601
AT2G26670_1	0,904	0,888	1,741
AT2G26670_2	0,977	0,960	1,567
AT2G26680_1	0,882	0,848	0,857
AT2G26690_1	0,776	1,195	1,624
AT2G26692_1	1,026	1,570	22,674
AT2G26695_1	0,548	1,138	0,689
AT2G26700_1	0,894	0,545	0,458
AT2G26710_1	1,036	0,772	0,138
AT2G26720_1	1,270	1,454	1,596
AT2G26730_1	0,901	0,421	0,126
AT2G26740_1	0,971	1,394	1,688
AT2G26750_1	1,036	1,441	1,553
AT2G26760_1	0,654	0,215	0,115
AT2G26770_1	1,008	1,267	1,204
AT2G26780_1	1,084	0,873	1,721
AT2G26790_1	1,128	0,745	0,625
AT2G26800_1	0,974	1,341	1,559
AT2G26800_3	0,988	0,703	1,642
AT2G26810_1	1,044	0,607	0,414
AT2G26810_2	0,852	0,755	0,668
AT2G26810_3	0,814	0,449	0,421
AT2G26820_1	1,100	1,082	1,085
AT2G26830_1	0,863	1,077	2,359
AT2G26840_1	1,070	0,388	0,123
AT2G26850_1	1,106	1,070	1,074
AT2G26860_1	0,814	0,724	0,437
AT2G26860_2	1,069	1,033	0,926
AT2G26865_1	0,960	1,006	0,990
AT2G26870_1	1,117	0,267	0,102
AT2G26880_1	1,115	1,116	1,069
AT2G26882_1	0,920	1,015	1,080
AT2G26890_1	1,024	0,935	0,859
AT2G26900_1	1,111	0,518	0,225

AGI	NaCl-Kontrolle zur H₂O-Kontrolle (log₂)	H₂O +B.c. zur H₂O-Kontrolle (log₂)	NaCl +B.c. zur H₂O-Kontrolle (log₂)
AT2G26910_1	0,961	0,570	0,132
AT2G26920_1	1,116	1,170	1,426
AT2G26930_1	0,908	0,403	0,231
AT2G26940_1	0,961	0,927	1,045
AT2G26950_1	1,031	1,128	1,262
AT2G26960_1	1,052	1,122	1,202
AT2G26970_1	0,950	1,086	1,302
AT2G26975_1	0,981	0,885	0,669
AT2G26980_1	0,846	0,732	1,110
AT2G26980_2	0,888	0,811	1,080
AT2G26980_3	0,886	0,817	1,075
AT2G26980_4	0,907	0,855	1,055
AT2G26980_5	0,920	0,779	0,945
AT2G26990_1	0,938	1,001	1,340
AT2G27000_1	1,126	1,046	1,168
AT2G27010_1	1,213	1,425	1,531
AT2G27020_1	0,992	0,765	1,088
AT2G27030_1	0,933	0,916	0,806
AT2G27030_2	0,764	0,559	0,545
AT2G27030_3	0,940	0,932	0,833
AT2G27035_1	0,634	0,522	0,531
AT2G27040_1	1,108	0,483	0,065
AT2G27050_1	0,864	0,286	0,239
AT2G27060_1	0,845	0,242	0,027
AT2G27070_1	0,995	1,028	1,010
AT2G27080_1	0,894	2,560	5,844
AT2G27080_2	0,918	1,813	2,649
AT2G27090_1	1,050	1,379	1,844
AT2G27100_1	1,080	1,321	1,202
AT2G27110_1	0,925	0,747	0,645
AT2G27120_1	0,850	0,511	0,445
AT2G27130_1	1,016	0,143	0,079
AT2G27140_1	0,628	0,367	0,503
AT2G27145_1	1,109	1,155	1,299
AT2G27150_1	0,670	0,875	6,635
AT2G27150_2	1,103	1,102	1,584
AT2G27160_1	1,124	1,269	1,480
AT2G27160_2	1,043	1,292	1,857
AT2G27170_1	0,999	0,675	0,980
AT2G27180_1	1,031	1,738	3,076
AT2G27190_1	0,883	1,650	2,342
AT2G27200_1	1,059	1,004	1,712
AT2G27210_1	1,019	1,217	1,263
AT2G27220_1	1,076	0,836	0,879
AT2G27228_1	1,403	1,425	1,108
AT2G27229_1	1,093	1,052	0,950
AT2G27240_1	1,111	1,172	1,238
AT2G27250_1	1,023	0,966	0,958
AT2G27250_2	0,989	1,119	1,061
AT2G27250_3	1,139	1,251	1,343

AGI	NaCl-Kontrolle zur H ₂ O-Kontrolle (log ₂)	H ₂ O +B.c. zur H ₂ O-Kontrolle (log ₂)	NaCl +B.c. zur H ₂ O-Kontrolle (log ₂)
AT2G27260_1	0,806	1,105	1,493
AT2G27270_1	1,034	1,164	1,363
AT2G27280_1	1,288	1,228	1,493
AT2G27285_1	0,927	0,910	1,502
AT2G27290_1	1,072	0,526	0,456
AT2G27300_1	1,030	1,228	1,333
AT2G27310_1	0,792	2,499	2,800
AT2G27315_1	1,233	1,391	1,595
AT2G27320_1	0,985	0,980	0,964
AT2G27330_1	0,919	0,803	0,768
AT2G27340_1	0,808	0,479	0,557
AT2G27340_3	0,891	0,609	0,644
AT2G27340_4	0,907	0,579	0,682
AT2G27350_1	0,996	0,976	1,286
AT2G27350_3	1,003	0,984	1,295
AT2G27360_1	1,041	1,632	1,275
AT2G27370_1	1,220	1,315	1,408
AT2G27375_1	1,144	1,069	1,261
AT2G27380_1	1,349	1,547	1,576
AT2G27385_1	0,936	0,067	0,012
AT2G27390_1	1,330	11,181	20,922
AT2G27395_1	1,145	2,399	0,182
AT2G27400_1	1,057	0,600	0,370
AT2G27402_1	0,146	0,272	0,090
AT2G27410_1	1,151	1,149	1,344
AT2G27420_1	1,020	2,804	0,303
AT2G27430_1	0,808	1,682	6,656
AT2G27440_1	1,063	1,090	1,159
AT2G27450_1	1,037	1,030	1,061
AT2G27450_2	1,306	1,903	2,532
AT2G27460_1	1,000	0,886	0,912
AT2G27470_1	1,179	0,921	0,795
AT2G27480_1	0,824	0,836	1,450
AT2G27490_1	0,914	1,264	1,859
AT2G27490_2	0,855	1,192	1,908
AT2G27500_1	0,676	6,928	7,949
AT2G27500_2	0,879	2,332	4,934
AT2G27505_1	1,149	11,482	32,803
AT2G27510_1	0,923	5,251	7,339
AT2G27520_1	1,435	1,627	2,125
AT2G27530_1	0,907	0,925	0,623
AT2G27530_2	1,094	2,263	2,302
AT2G27535_1	1,134	1,098	1,119
AT2G27540_1	1,291	1,602	2,027
AT2G27550_1	1,147	1,675	2,244
AT2G27570_1	1,100	1,213	1,246
AT2G27580_1	0,783	3,133	4,159
AT2G27590_1	0,820	0,556	0,312
AT2G27600_1	0,912	0,876	1,071
AT2G27610_1	1,210	0,588	0,517

AGI	NaCl-Kontrolle zur H₂O-Kontrolle (log₂)	H₂O +B.c. zur H₂O-Kontrolle (log₂)	NaCl +B.c. zur H₂O-Kontrolle (log₂)
AT2G27630_1	1,111	0,915	0,872
AT2G27650_1	1,052	0,778	0,825
AT2G27660_1	0,661	2,480	3,656
AT2G27670_1	1,017	0,999	1,198
AT2G27680_1	0,985	0,464	0,267
AT2G27690_1	0,493	1,464	1,301
AT2G27700_1	1,146	1,259	1,082
AT2G27700_2	1,167	1,252	1,098
AT2G27710_1	0,926	0,888	0,643
AT2G27710_2	0,904	0,872	0,640
AT2G27710_3	0,863	0,766	0,609
AT2G27720_1	0,946	0,765	0,516
AT2G27720_2	0,962	0,830	0,611
AT2G27720_3	0,952	0,793	0,612
AT2G27730_1	0,956	1,043	1,242
AT2G27740_1	0,619	0,408	0,359
AT2G27750_1	0,961	1,092	1,092
AT2G27760_1	0,980	0,656	0,737
AT2G27770_1	0,771	0,388	0,120
AT2G27775_1	0,944	0,864	0,495
AT2G27775_2	0,955	0,874	0,913
AT2G27780_1	0,752	0,855	0,776
AT2G27790_1	0,851	0,558	0,810
AT2G27800_1	1,027	0,593	0,267
AT2G27810_1	1,053	0,448	0,078
AT2G27810_2	1,042	0,378	0,046
AT2G27820_1	0,953	0,693	0,661
AT2G27830_1	1,004	1,085	2,069
AT2G27840_1	0,892	1,920	1,893
AT2G27840_2	0,895	1,901	1,698
AT2G27860_1	0,977	0,973	0,760
AT2G27870_1	1,104	1,148	1,244
AT2G27880_1	1,057	1,055	1,088
AT2G27900_1	0,927	0,695	0,841
AT2G27900_2	1,009	0,733	0,891
AT2G27920_1	0,895	0,118	0,401
AT2G27920_2	0,796	0,099	0,417
AT2G27930_1	1,062	1,093	1,067
AT2G27935_1	1,047	1,062	1,050
AT2G27936_1	1,008	1,035	1,165
AT2G27940_1	1,202	1,367	1,568
AT2G27950_1	0,998	0,900	1,018
AT2G27960_1	0,913	0,576	0,540
AT2G27970_1	0,714	0,383	0,418
AT2G27980_1	1,008	0,848	0,902
AT2G27990_1	0,891	0,443	1,387
AT2G28000_1	0,971	0,719	0,295
AT2G28010_1	1,020	1,107	1,083
AT2G28020_1	1,323	0,936	1,214
AT2G28030_1	1,041	1,137	1,132

AGI	NaCl-Kontrolle zur H₂O-Kontrolle (log₂)	H₂O +B.c. zur H₂O-Kontrolle (log₂)	NaCl +B.c. zur H₂O-Kontrolle (log₂)
AT2G28040_1	0,967	0,674	0,603
AT2G28050_1	0,868	0,198	0,107
AT2G28053_1	0,970	1,099	1,058
AT2G28056_1	1,020	1,248	1,354
AT2G28060_1	0,845	1,098	1,528
AT2G28070_1	1,151	0,523	0,178
AT2G28080_1	0,820	0,643	0,838
AT2G28085_1	0,936	1,874	9,175
AT2G28090_1	1,036	1,050	1,074
AT2G28100_1	0,878	0,508	1,033
AT2G28105_1	0,877	0,500	0,319
AT2G28110_1	0,892	15,536	40,511
AT2G28120_1	0,897	1,515	2,486
AT2G28130_1	1,057	0,698	2,176
AT2G28140_1	0,838	0,813	0,866
AT2G28150_1	1,050	0,609	0,057
AT2G28160_1	0,584	0,416	0,884
AT2G28170_1	0,944	1,081	1,152
AT2G28180_1	1,081	1,322	1,333
AT2G28190_1	0,410	0,514	0,372
AT2G28200_1	0,881	3,010	14,407
AT2G28210_1	0,869	18,249	15,829
AT2G28220_1	1,131	1,155	1,183
AT2G28230_1	1,049	0,638	0,781
AT2G28240_1	1,092	1,067	1,055
AT2G28250_1	0,892	0,150	0,097
AT2G28260_1	0,752	0,335	0,252
AT2G28270_1	1,040	1,152	1,275
AT2G28280_1	1,225	1,015	1,121
AT2G28290_1	1,162	1,120	1,380
AT2G28290_2	1,095	0,958	0,961
AT2G28290_3	1,128	0,944	0,931
AT2G28305_1	0,842	1,013	1,621
AT2G28310_1	0,994	0,348	0,196
AT2G28310_2	0,999	0,370	0,191
AT2G28310_3	1,014	0,289	0,097
AT2G28315_1	0,566	0,253	0,198
AT2G28320_1	0,923	1,735	2,994
AT2G28330_1	0,911	0,815	0,430
AT2G28340_1	0,986	1,040	1,039
AT2G28350_1	0,828	2,027	2,667
AT2G28355_1	0,968	1,019	0,973
AT2G28360_1	1,032	0,529	0,668
AT2G28370_1	0,906	1,052	1,153
AT2G28380_1	1,100	0,801	0,439
AT2G28390_1	0,990	0,829	0,978
AT2G28400_1	1,314	4,768	11,417
AT2G28401_1	0,996	1,019	1,044
AT2G28405_1	1,259	1,474	1,866
AT2G28410_1	0,859	0,266	0,167

AGI	NaCl-Kontrolle zur H₂O-Kontrolle (log₂)	H₂O +B.c. zur H₂O-Kontrolle (log₂)	NaCl +B.c. zur H₂O-Kontrolle (log₂)
AT2G28420_1	0,787	0,939	1,486
AT2G28426_1	1,090	0,863	1,364
AT2G28430_1	0,785	0,500	0,732
AT2G28440_1	1,409	1,371	1,524
AT2G28450_1	1,295	0,861	0,352
AT2G28460_1	0,798	0,742	0,266
AT2G28470_1	1,009	0,355	0,113
AT2G28480_1	1,070	0,781	1,037
AT2G28490_1	0,924	0,961	1,151
AT2G28500_1	1,580	0,263	1,967
AT2G28507_1	1,051	1,019	0,970
AT2G28510_1	1,130	1,055	3,665
AT2G28520_1	1,162	1,114	1,021
AT2G28540_1	0,998	0,830	0,771
AT2G28540_2	0,985	0,833	0,751
AT2G28550_1	1,000	0,381	0,127
AT2G28550_2	1,029	0,498	0,220
AT2G28560_1	0,742	0,534	0,595
AT2G28560_2	0,631	0,427	0,394
AT2G28560_3	0,724	0,514	0,476
AT2G28560_4	0,807	0,606	0,675
AT2G28570_1	0,773	0,812	0,921
AT2G28580_1	0,705	0,314	0,366
AT2G28590_1	1,040	0,609	0,648
AT2G28600_1	1,076	1,704	1,154
AT2G28605_1	0,902	0,334	0,050
AT2G28610_1	1,091	1,112	1,214
AT2G28620_1	0,651	0,243	0,171
AT2G28625_1	1,018	1,083	1,410
AT2G28630_1	0,467	0,384	0,086
AT2G28640_1	1,024	1,097	1,158
AT2G28650_1	1,071	0,985	1,530
AT2G28660_1	0,964	0,228	0,287
AT2G28670_1	0,955	0,329	0,222
AT2G28670_2	0,986	0,237	0,128
AT2G28671_1	0,858	0,712	0,692
AT2G28680_1	1,573	1,721	1,808
AT2G28690_1	0,918	0,889	0,910
AT2G28700_1	1,039	1,180	1,392
AT2G28710_1	0,839	1,501	4,068
AT2G28720_1	1,067	0,471	0,550
AT2G28725_1	0,990	1,067	1,409
AT2G28740_1	0,703	0,277	0,255
AT2G28750_1	1,088	1,179	1,310
AT2G28755_1	1,008	1,176	1,946
AT2G28760_1	0,867	0,797	0,815
AT2G28760_2	0,787	0,862	1,855
AT2G28760_3	0,698	0,766	1,740
AT2G28780_1	1,008	1,128	1,153
AT2G28790_1	0,809	0,367	0,092

AGI	NaCl-Kontrolle zur H₂O-Kontrolle (log₂)	H₂O +B.c. zur H₂O-Kontrolle (log₂)	NaCl +B.c. zur H₂O-Kontrolle (log₂)
AT2G28800_1	0,974	0,712	0,578
AT2G28800_2	0,927	0,168	0,142
AT2G28800_3	1,002	0,731	0,567
AT2G28810_1	0,997	0,436	0,697
AT2G28830_1	0,980	1,106	1,213
AT2G28840_1	1,071	0,837	0,651
AT2G28840_2	1,010	0,732	0,561
AT2G28850_1	1,421	4,619	4,238
AT2G28860_1	1,164	1,458	1,605
AT2G28870_1	0,822	0,110	0,104
AT2G28880_1	1,036	1,058	0,740
AT2G28890_1	0,930	0,688	0,902
AT2G28900_1	1,022	0,141	0,036
AT2G28910_1	1,058	0,921	1,001
AT2G28920_1	1,188	1,564	1,662
AT2G28930_1	0,952	0,402	0,485
AT2G28930_2	0,908	0,381	0,454
AT2G28930_3	0,916	0,387	0,452
AT2G28940_1	0,824	0,627	0,353
AT2G28950_1	0,726	0,156	0,013
AT2G28960_1	0,986	1,088	1,081
AT2G28970_1	1,073	1,090	1,066
AT2G28980_1	1,171	1,280	1,579
AT2G28990_1	0,978	1,177	1,328
AT2G29000_1	1,008	1,012	1,177
AT2G29010_1	0,970	0,944	0,956
AT2G29020_1	0,869	0,884	0,869
AT2G29040_1	1,113	1,161	1,189
AT2G29045_1	1,184	1,309	1,601
AT2G29050_1	0,886	0,437	0,238
AT2G29050_2	0,992	0,960	1,020
AT2G29060_1	1,017	3,376	6,929
AT2G29070_1	1,077	1,086	1,308
AT2G29070_2	0,920	1,307	4,840
AT2G29080_1	0,960	0,803	0,790
AT2G29090_1	1,999	0,193	0,073
AT2G29100_1	0,763	1,275	2,750
AT2G29110_1	0,530	1,358	1,661
AT2G29120_1	0,869	1,551	1,550
AT2G29125_1	0,983	0,747	0,783
AT2G29130_1	1,093	0,282	0,085
AT2G29140_1	1,111	0,956	0,943
AT2G29150_1	0,970	2,992	3,696
AT2G29160_1	1,076	1,170	1,298
AT2G29165_1	1,208	1,783	1,746
AT2G29170_1	1,012	2,365	2,457
AT2G29180_1	0,832	0,425	0,099
AT2G29190_1	1,131	0,978	0,894
AT2G29200_1	1,212	1,115	0,914
AT2G29210_1	1,055	0,970	0,824

AGI	NaCl-Kontrolle zur H₂O-Kontrolle (log₂)	H₂O +B.c. zur H₂O-Kontrolle (log₂)	NaCl +B.c. zur H₂O-Kontrolle (log₂)
AT2G29220_1	1,046	1,040	1,168
AT2G29230_1	1,028	0,950	1,167
AT2G29250_1	1,198	1,243	1,417
AT2G29260_1	1,145	0,600	0,314
AT2G29263_1	1,299	1,114	1,304
AT2G29270_1	1,164	2,525	2,318
AT2G29280_1	1,008	0,676	0,654
AT2G29290_1	0,948	0,597	0,370
AT2G29290_2	0,995	0,251	0,157
AT2G29300_1	1,192	0,629	0,376
AT2G29310_1	1,104	0,255	0,105
AT2G29320_1	1,193	0,672	0,494
AT2G29330_1	0,958	1,127	1,374
AT2G29340_1	0,961	1,159	0,866
AT2G29340_2	0,846	2,137	1,559
AT2G29340_3	0,808	2,086	1,525
AT2G29350_1	0,947	8,090	10,678
AT2G29350_2	0,894	45,438	69,985
AT2G29350_3	1,016	36,866	64,425
AT2G29360_1	0,952	0,712	0,526
AT2G29370_1	1,083	0,913	0,762
AT2G29380_1	1,612	0,967	1,502
AT2G29390_1	1,043	0,926	0,797
AT2G29390_2	0,900	0,749	0,766
AT2G29390_3	1,011	0,430	0,693
AT2G29390_4	0,914	0,731	0,745
AT2G29390_5	1,030	0,726	0,772
AT2G29400_1	0,976	1,348	1,265
AT2G29410_1	0,934	23,336	15,388
AT2G29420_1	1,219	9,047	17,419
AT2G29430_1	1,095	2,053	5,728
AT2G29440_1	0,987	6,859	7,551
AT2G29450_1	0,946	2,702	2,689
AT2G29452_1	0,944	0,964	1,549
AT2G29460_1	0,851	136,787	167,460
AT2G29470_1	1,109	171,100	357,159
AT2G29480_1	0,962	8,142	29,193
AT2G29490_1	1,745	22,306	59,504
AT2G29500_1	0,941	24,883	35,762
AT2G29510_1	1,040	0,845	0,339
AT2G29520_1	1,055	0,555	0,980
AT2G29525_1	1,073	0,716	1,491
AT2G29525_2	0,884	0,254	0,495
AT2G29530_1	0,919	1,141	1,067
AT2G29530_2	0,923	1,154	1,112
AT2G29530_3	1,073	1,051	1,009
AT2G29540_1	0,858	0,954	0,569
AT2G29540_2	0,825	0,954	0,584
AT2G29540_3	1,043	0,929	0,867
AT2G29550_1	0,851	0,771	0,318

AGI	NaCl-Kontrolle zur H₂O-Kontrolle (log₂)	H₂O +B.c. zur H₂O-Kontrolle (log₂)	NaCl +B.c. zur H₂O-Kontrolle (log₂)
AT2G29560_1	0,906	0,858	0,867
AT2G29570_1	0,668	0,592	0,448
AT2G29580_1	1,085	0,978	0,870
AT2G29590_1	0,940	0,762	1,516
AT2G29600_1	1,146	1,151	1,574
AT2G29605_1	1,033	1,079	1,053
AT2G29610_1	1,011	1,229	1,457
AT2G29620_1	0,749	0,271	0,442
AT2G29628_1	1,047	0,826	0,958
AT2G29630_1	1,188	0,733	0,300
AT2G29630_2	1,103	0,178	0,074
AT2G29640_1	0,990	0,931	1,480
AT2G29650_1	1,017	0,636	0,627
AT2G29650_2	1,012	0,649	0,606
AT2G29650_3	1,048	0,680	0,654
AT2G29654_1	1,033	0,997	1,436
AT2G29660_1	0,943	1,110	0,767
AT2G29670_1	0,828	0,882	0,727
AT2G29680_1	0,443	0,129	0,074
AT2G29680_2	0,512	0,318	0,234
AT2G29690_1	1,069	0,506	0,320
AT2G29700_1	0,834	0,876	1,288
AT2G29710_1	0,973	1,744	1,078
AT2G29720_1	0,626	4,488	3,383
AT2G29730_1	0,815	0,489	0,257
AT2G29740_1	1,076	2,626	2,561
AT2G29750_1	1,001	1,460	3,433
AT2G29760_1	1,154	0,614	0,320
AT2G29770_1	1,028	1,184	1,284
AT2G29780_1	1,105	1,335	1,509
AT2G29780_2	1,086	1,362	1,485
AT2G29790_1	1,235	1,281	1,616
AT2G29800_1	0,995	1,012	1,179
AT2G29810_1	1,144	1,295	1,745
AT2G29820_1	1,067	1,123	1,287
AT2G29830_1	1,027	1,164	1,269
AT2G29840_1	1,134	1,037	1,212
AT2G29850_1	0,946	0,890	0,938
AT2G29860_1	1,006	1,087	1,122
AT2G29870_1	1,094	1,058	1,435
AT2G29880_1	0,976	0,995	0,989
AT2G29890_1	0,761	0,170	0,151
AT2G29890_2	0,738	0,165	0,150
AT2G29900_1	0,922	0,968	0,950
AT2G29910_1	0,652	0,648	1,061
AT2G29910_2	0,583	0,305	0,501
AT2G29920_1	1,324	1,567	1,961
AT2G29930_1	1,041	1,080	1,358
AT2G29930_2	1,115	1,179	1,459
AT2G29940_1	0,960	1,339	2,409

AGI	NaCl-Kontrolle zur H₂O-Kontrolle (log₂)	H₂O +B.c. zur H₂O-Kontrolle (log₂)	NaCl +B.c. zur H₂O-Kontrolle (log₂)
AT2G29950_1	0,995	2,325	6,068
AT2G29960_1	1,093	0,693	0,855
AT2G29960_2	1,043	0,737	0,905
AT2G29970_1	0,896	0,561	0,621
AT2G29980_1	0,984	0,295	0,086
AT2G29980_2	0,947	0,323	0,115
AT2G29990_1	0,924	2,327	2,864
AT2G29995_1	0,866	0,397	1,581
AT2G30000_1	1,076	0,977	1,000
AT2G30010_1	0,577	1,461	2,145
AT2G30020_1	1,038	7,611	7,362
AT2G30040_1	0,912	2,132	3,794
AT2G30050_1	0,939	1,095	0,955
AT2G30060_1	0,888	0,971	0,876
AT2G30070_1	0,938	1,109	0,497
AT2G30080_1	0,986	0,940	1,114
AT2G30090_1	1,093	1,320	1,346
AT2G30100_1	0,885	0,921	1,207
AT2G30110_1	1,052	1,085	1,151
AT2G30115_1	0,938	1,030	1,029
AT2G30120_1	0,715	0,598	0,678
AT2G30120_2	0,860	0,721	1,044
AT2G30130_1	1,115	1,110	1,105
AT2G30140_1	0,694	5,039	6,814
AT2G30150_1	1,009	0,613	0,172
AT2G30160_1	0,984	1,434	1,186
AT2G30170_1	0,849	0,586	0,523
AT2G30170_2	0,858	0,570	0,542
AT2G30200_1	0,908	0,576	0,271
AT2G30200_2	1,073	0,693	0,294
AT2G30210_1	1,087	1,100	1,140
AT2G30220_1	1,157	1,285	1,643
AT2G30230_1	0,950	0,459	0,460
AT2G30240_1	1,122	1,149	1,222
AT2G30250_1	0,739	1,654	2,416
AT2G30260_1	0,917	0,904	0,860
AT2G30270_1	0,826	0,942	1,526
AT2G30280_1	1,084	0,886	0,483
AT2G30290_1	1,098	1,280	1,239
AT2G30300_1	1,544	0,800	1,354
AT2G30310_1	0,980	0,838	0,918
AT2G30320_1	1,047	0,583	0,394
AT2G30330_1	0,948	1,192	1,834
AT2G30340_1	1,315	1,745	2,071
AT2G30350_1	0,930	0,657	0,633
AT2G30350_2	0,956	0,663	0,619
AT2G30360_1	0,885	7,053	8,831
AT2G30362_1	1,196	1,256	1,544
AT2G30368_1	1,117	1,041	1,093
AT2G30370_1	1,209	1,325	1,577

AGI	NaCl-Kontrolle zur H₂O-Kontrolle (log₂)	H₂O +B.c. zur H₂O-Kontrolle (log₂)	NaCl +B.c. zur H₂O-Kontrolle (log₂)
AT2G30380_1	1,115	1,379	1,806
AT2G30390_1	1,037	0,563	0,321
AT2G30395_1	1,118	4,346	10,224
AT2G30400_1	0,918	1,246	2,257
AT2G30410_1	0,943	0,560	0,572
AT2G30420_1	0,982	0,295	0,103
AT2G30424_1	0,794	0,132	0,051
AT2G30430_1	1,033	1,234	1,381
AT2G30432_1	0,526	0,137	0,100
AT2G30440_1	0,993	1,210	1,187
AT2G30460_1	1,119	0,915	0,882
AT2G30460_2	0,928	0,597	0,546
AT2G30470_1	1,010	1,518	1,606
AT2G30480_1	1,359	1,051	1,583
AT2G30480_2	1,339	0,861	1,476
AT2G30480_3	1,148	0,920	1,076
AT2G30490_1	1,097	2,340	2,205
AT2G30500_1	0,933	0,299	0,603
AT2G30505_1	0,931	0,550	0,554
AT2G30520_1	0,932	1,300	1,106
AT2G30530_1	1,095	1,051	1,389
AT2G30540_1	1,985	1,747	0,395
AT2G30550_1	0,916	2,925	4,904
AT2G30550_2	0,824	2,719	4,382
AT2G30560_1	0,959	0,998	1,031
AT2G30570_1	0,953	0,575	0,351
AT2G30575_1	0,982	0,616	0,620
AT2G30580_1	0,879	1,210	2,080
AT2G30590_1	0,847	0,912	0,813
AT2G30600_1	0,739	0,752	0,571
AT2G30615_1	1,173	1,248	1,741
AT2G30620_1	1,006	0,728	0,819
AT2G30630_1	1,057	1,017	1,090
AT2G30630_2	0,967	0,895	1,006
AT2G30640_1	1,070	2,319	2,154
AT2G30650_1	1,361	1,147	1,107
AT2G30660_1	1,209	1,112	1,062
AT2G30670_1	1,335	1,009	1,195
AT2G30680_1	1,116	1,210	1,294
AT2G30690_1	0,984	0,677	0,744
AT2G30695_1	0,889	0,231	0,129
AT2G30695_2	1,035	0,852	0,802
AT2G30700_1	1,063	0,932	0,829
AT2G30710_1	1,003	0,819	0,898
AT2G30720_1	0,886	4,326	4,075
AT2G30730_1	1,068	1,301	1,256
AT2G30740_1	0,935	1,451	1,477
AT2G30750_1	0,276	32,815	37,074
AT2G30760_1	0,991	1,261	1,221
AT2G30766_1	0,790	2,279	0,234

AGI	NaCl-Kontrolle zur H₂O-Kontrolle (log₂)	H₂O +B.c. zur H₂O-Kontrolle (log₂)	NaCl +B.c. zur H₂O-Kontrolle (log₂)
AT2G30770_1	0,435	55,245	56,535
AT2G30780_1	1,046	1,080	0,704
AT2G30790_1	1,485	0,296	0,255
AT2G30800_1	1,052	0,883	0,910
AT2G30810_1	1,131	1,028	1,096
AT2G30820_1	0,958	0,480	0,290
AT2G30820_2	0,922	0,840	0,904
AT2G30830_1	1,322	6,012	14,843
AT2G30840_1	1,124	2,491	8,880
AT2G30850_1	0,876	0,947	1,225
AT2G30860_1	1,012	0,943	0,971
AT2G30860_2	0,986	0,914	0,952
AT2G30870_1	0,861	1,596	1,247
AT2G30880_1	0,950	0,969	1,373
AT2G30880_2	0,868	0,491	0,717
AT2G30890_1	0,711	0,431	0,414
AT2G30900_1	1,072	1,045	1,135
AT2G30910_1	0,913	0,643	0,916
AT2G30910_2	0,992	0,770	1,023
AT2G30920_1	1,043	0,622	0,706
AT2G30930_1	0,698	0,868	0,504
AT2G30933_1	0,961	0,609	0,565
AT2G30933_2	0,941	0,809	0,667
AT2G30940_1	1,149	1,206	1,247
AT2G30940_2	1,078	1,110	1,146
AT2G30942_1	0,910	0,751	1,160
AT2G30950_1	1,041	0,807	0,816
AT2G30960_1	0,895	0,757	0,912
AT2G30970_1	0,861	1,104	1,460
AT2G30980_1	0,999	0,725	0,767
AT2G30984_1	0,967	0,956	0,951
AT2G30985_1	1,076	1,041	1,077
AT2G30990_1	0,760	1,444	1,227
AT2G30990_3	0,779	1,565	1,268
AT2G31005_1	0,981	0,984	0,995
AT2G31010_1	0,751	0,298	0,071
AT2G31018_1	0,907	1,731	1,833
AT2G31020_1	0,525	0,846	1,719
AT2G31030_1	0,978	1,277	1,620
AT2G31035_1	0,983	0,940	1,100
AT2G31040_1	0,975	0,329	0,350
AT2G31050_1	1,036	1,373	1,521
AT2G31060_1	1,205	1,232	1,127
AT2G31070_1	1,002	1,276	0,849
AT2G31080_1	1,056	1,195	1,187
AT2G31081_1	0,947	0,978	1,008
AT2G31082_1	0,976	1,072	1,106
AT2G31083_1	1,033	1,185	1,407
AT2G31085_1	1,093	1,125	1,323
AT2G31090_1	0,669	1,225	1,377

AGI	NaCl-Kontrolle zur H₂O-Kontrolle (log₂)	H₂O +B.c. zur H₂O-Kontrolle (log₂)	NaCl +B.c. zur H₂O-Kontrolle (log₂)
AT2G31100_1	1,113	1,288	1,302
AT2G31110_1	0,665	1,636	1,757
AT2G31110_2	0,645	1,754	2,073
AT2G31130_1	0,923	1,058	2,441
AT2G31140_1	0,922	0,893	1,027
AT2G31141_1	0,900	0,948	1,274
AT2G31150_1	1,079	0,136	0,083
AT2G31160_1	0,796	0,690	2,653
AT2G31170_1	1,004	0,257	0,105
AT2G31180_1	1,088	4,189	11,639
AT2G31190_1	1,077	0,549	0,709
AT2G31200_1	0,833	0,771	2,512
AT2G31210_1	1,000	1,083	1,222
AT2G31215_1	1,072	1,052	1,097
AT2G31218_1	0,974	1,554	1,658
AT2G31220_1	0,851	0,572	0,521
AT2G31230_1	0,756	5,247	4,843
AT2G31240_1	1,064	1,515	1,001
AT2G31250_1	1,014	1,603	1,513
AT2G31260_1	1,003	1,332	2,954
AT2G31270_1	0,602	0,371	0,331
AT2G31271_1	1,523	2,028	2,290
AT2G31280_1	1,102	0,946	1,210
AT2G31280_2	1,117	0,950	1,169
AT2G31280_3	1,135	0,954	1,160
AT2G31290_1	1,147	0,484	0,323
AT2G31290_2	1,129	0,989	1,078
AT2G31300_1	1,022	0,732	1,186
AT2G31305_1	0,773	1,350	3,321
AT2G31310_1	1,071	1,013	1,327
AT2G31320_1	1,004	0,292	0,117
AT2G31335_1	1,033	1,027	1,066
AT2G31340_1	1,138	0,480	0,277
AT2G31345_1	1,063	9,954	21,296
AT2G31350_1	1,095	1,845	2,432
AT2G31350_2	1,069	1,705	2,167
AT2G31360_1	0,986	0,353	0,258
AT2G31370_1	0,990	0,776	0,775
AT2G31370_3	0,978	0,774	0,770
AT2G31380_1	0,890	0,837	0,393
AT2G31390_1	0,931	2,377	4,202
AT2G31400_1	0,943	0,819	1,018
AT2G31410_1	0,940	1,713	1,621
AT2G31420_1	1,086	1,502	5,397
AT2G31425_1	1,399	1,659	2,348
AT2G31430_1	1,061	1,064	1,176
AT2G31432_1	1,209	1,339	1,686
AT2G31440_1	0,968	0,861	0,665
AT2G31450_1	0,980	0,982	0,803
AT2G31450_2	0,966	1,029	0,902

AGI	NaCl-Kontrolle zur H₂O-Kontrolle (log₂)	H₂O +B.c. zur H₂O-Kontrolle (log₂)	NaCl +B.c. zur H₂O-Kontrolle (log₂)
AT2G31460_1	1,323	1,644	1,855
AT2G31470_1	1,032	0,923	0,982
AT2G31480_1	1,122	1,330	1,479
AT2G31490_1	0,819	0,674	1,072
AT2G31500_1	1,019	1,104	1,121
AT2G31510_1	1,058	0,813	0,889
AT2G31520_1	1,085	1,270	1,397
AT2G31530_1	1,135	0,654	0,689
AT2G31540_1	1,093	1,060	1,160
AT2G31550_1	1,116	1,109	1,118
AT2G31560_1	0,754	0,924	2,859
AT2G31560_2	0,716	0,937	3,012
AT2G31570_1	0,638	1,498	2,790
AT2G31580_1	0,977	1,177	1,543
AT2G31585_1	1,023	1,251	1,406
AT2G31585_2	0,991	1,264	1,447
AT2G31590_1	1,009	1,141	1,107
AT2G31600_1	0,964	1,061	1,192
AT2G31600_2	0,900	1,456	1,508
AT2G31610_1	1,006	1,027	0,829
AT2G31620_1	0,885	1,047	1,103
AT2G31625_1	0,904	0,842	0,797
AT2G31650_1	0,650	0,513	0,624
AT2G31660_1	1,168	1,185	0,710
AT2G31670_1	0,959	0,986	0,788
AT2G31680_1	0,866	1,824	2,233
AT2G31690_1	1,018	1,176	2,366
AT2G31700_1	1,080	1,145	1,277
AT2G31710_1	0,784	0,883	1,106
AT2G31720_1	1,093	1,231	1,489
AT2G31725_1	0,922	0,451	0,303
AT2G31730_1	0,560	1,528	0,970
AT2G31740_1	1,035	1,046	0,838
AT2G31750_1	0,874	1,350	2,426
AT2G31751_1	1,085	0,786	1,323
AT2G31760_1	0,956	1,009	1,062
AT2G31770_1	1,192	1,066	1,148
AT2G31780_1	1,129	1,161	1,300
AT2G31790_1	1,064	0,547	0,118
AT2G31800_1	0,832	0,993	1,098
AT2G31810_1	0,792	1,210	0,995
AT2G31810_2	0,794	1,201	1,013
AT2G31810_3	0,798	1,174	1,001
AT2G31820_1	0,938	2,399	2,456
AT2G31830_1	1,119	0,666	0,510
AT2G31840_1	1,050	0,385	0,113
AT2G31850_1	1,278	1,382	1,652
AT2G31860_1	1,155	1,329	1,628
AT2G31862_1	0,951	0,963	1,126
AT2G31865_1	0,663	3,606	4,072

AGI	NaCl-Kontrolle zur H₂O-Kontrolle (log₂)	H₂O +B.c. zur H₂O-Kontrolle (log₂)	NaCl +B.c. zur H₂O-Kontrolle (log₂)
AT2G31865_2	0,722	3,794	4,487
AT2G31870_1	0,923	0,337	0,357
AT2G31870_2	0,804	0,378	0,405
AT2G31880_1	0,742	1,068	1,323
AT2G31890_1	1,193	0,409	0,074
AT2G31900_1	0,841	0,449	0,165
AT2G31910_1	1,002	1,037	1,191
AT2G31920_1	1,052	0,969	1,156
AT2G31930_1	0,941	0,993	1,073
AT2G31940_1	1,116	1,239	1,432
AT2G31945_1	0,963	13,578	70,768
AT2G31953_1	1,089	1,183	1,321
AT2G31955_1	0,891	1,462	1,698
AT2G31957_1	1,087	1,041	1,154
AT2G31960_1	1,109	0,958	0,949
AT2G31970_1	1,075	0,798	0,729
AT2G31980_1	0,863	0,804	1,286
AT2G31985_1	1,206	1,215	1,460
AT2G31990_1	0,921	2,896	5,068
AT2G32000_1	1,002	0,767	0,717
AT2G32000_2	0,992	0,746	0,682
AT2G32010_1	0,872	0,379	0,101
AT2G32020_1	0,818	12,100	17,923
AT2G32030_1	0,453	16,487	17,861
AT2G32040_1	1,031	0,685	0,758
AT2G32050_1	1,014	1,031	2,251
AT2G32060_1	0,972	1,009	0,902
AT2G32060_2	0,900	0,957	0,684
AT2G32060_3	0,862	0,945	0,629
AT2G32070_1	1,060	1,367	1,151
AT2G32080_1	0,923	0,910	0,880
AT2G32090_1	1,037	0,720	0,542
AT2G32090_2	0,854	0,424	0,303
AT2G32100_1	0,931	0,438	0,029
AT2G32120_1	1,223	4,281	5,678
AT2G32130_1	0,874	6,716	9,980
AT2G32140_1	0,516	20,049	24,668
AT2G32150_1	0,778	1,870	2,056
AT2G32160_1	0,897	0,648	0,975
AT2G32160_2	0,871	0,641	0,948
AT2G32160_3	0,936	0,717	0,962
AT2G32170_1	1,054	0,739	0,791
AT2G32170_2	0,946	0,788	0,794
AT2G32179_1	0,745	0,291	0,094
AT2G32180_1	1,001	0,308	0,045
AT2G32190_1	0,647	8,663	25,103
AT2G32190_2	0,717	9,725	27,616
AT2G32200_1	0,373	3,256	8,072
AT2G32210_1	0,858	4,769	19,708
AT2G32220_1	0,916	2,044	2,241

AGI	NaCl-Kontrolle zur H₂O-Kontrolle (log₂)	H₂O +B.c. zur H₂O-Kontrolle (log₂)	NaCl +B.c. zur H₂O-Kontrolle (log₂)
AT2G32230_1	1,149	0,241	0,138
AT2G32235_1	1,179	1,479	1,254
AT2G32240_1	0,727	2,079	1,829
AT2G32250_1	0,818	2,256	2,108
AT2G32250_2	0,836	2,386	2,212
AT2G32250_4	0,781	1,041	1,224
AT2G32260_1	1,014	1,426	1,691
AT2G32270_1	0,959	1,000	1,274
AT2G32273_1	0,974	0,999	1,133
AT2G32275_1	1,185	1,194	1,307
AT2G32280_1	0,762	0,226	0,250
AT2G32290_1	1,164	1,018	0,804
AT2G32291_1	1,153	1,150	1,238
AT2G32295_1	1,045	1,162	0,743
AT2G32300_1	1,418	1,586	1,767
AT2G32310_1	1,223	1,421	1,658
AT2G32310_2	1,278	1,454	1,413
AT2G32315_1	1,134	1,139	1,215
AT2G32320_1	1,105	0,892	1,571
AT2G32320_2	1,106	0,963	1,493
AT2G32320_3	1,087	0,894	1,537
AT2G32340_1	0,849	0,986	1,185
AT2G32350_1	0,991	0,937	0,940
AT2G32360_1	1,318	1,441	1,407
AT2G32370_1	1,023	1,125	1,195
AT2G32380_1	0,587	0,954	0,773
AT2G32390_1	0,980	0,242	0,257
AT2G32400_1	1,110	1,743	1,054
AT2G32410_1	1,018	1,442	1,320
AT2G32410_2	1,192	1,234	1,227
AT2G32415_1	1,178	0,501	0,322
AT2G32430_1	1,210	0,713	1,835
AT2G32440_1	1,010	0,492	0,147
AT2G32450_1	0,908	0,814	0,641
AT2G32460_1	0,998	1,185	1,659
AT2G32470_1	1,326	1,613	1,898
AT2G32480_1	1,041	0,699	0,499
AT2G32480_2	1,035	0,677	0,514
AT2G32487_1	0,657	1,435	0,695
AT2G32490_1	0,916	0,349	0,250
AT2G32500_1	0,941	0,169	0,039
AT2G32510_1	1,057	1,964	1,124
AT2G32520_1	0,954	0,683	0,562
AT2G32530_1	1,041	2,211	9,607
AT2G32540_1	0,877	0,947	1,350
AT2G32550_1	1,010	0,412	0,349
AT2G32560_1	0,943	0,427	0,147
AT2G32580_1	0,918	0,671	0,423
AT2G32590_1	0,678	0,283	0,289
AT2G32600_1	1,054	1,245	1,313

AGI	NaCl-Kontrolle zur H₂O-Kontrolle (log₂)	H₂O +B.c. zur H₂O-Kontrolle (log₂)	NaCl +B.c. zur H₂O-Kontrolle (log₂)
AT2G32610_1	1,093	1,154	1,605
AT2G32620_1	1,089	1,185	1,872
AT2G32630_1	1,205	0,401	0,276
AT2G32640_1	1,041	0,136	0,067
AT2G32640_2	1,042	0,138	0,048
AT2G32645_1	1,079	1,094	1,183
AT2G32650_1	0,982	0,307	0,046
AT2G32650_2	1,023	0,367	0,066
AT2G32660_1	1,053	41,535	90,514
AT2G32670_1	0,939	1,556	4,199
AT2G32680_1	0,668	1,170	0,941
AT2G32690_1	0,737	0,184	0,068
AT2G32690_2	0,744	0,183	0,062
AT2G32700_1	1,108	1,135	1,420
AT2G32710_1	0,981	0,890	0,947
AT2G32720_1	0,848	0,519	0,653
AT2G32730_1	1,024	0,862	0,878
AT2G32740_1	1,083	1,074	1,208
AT2G32750_1	0,898	0,846	0,931
AT2G32760_1	0,995	1,004	1,204
AT2G32760_2	1,002	1,045	1,235
AT2G32765_1	0,911	0,819	0,905
AT2G32770_1	0,983	0,515	0,428
AT2G32770_2	0,928	0,808	0,783
AT2G32770_3	1,013	0,591	0,447
AT2G32780_1	1,013	1,085	1,059
AT2G32785_1	1,033	1,067	1,120
AT2G32788_1	1,002	1,013	1,093
AT2G32790_1	1,063	1,182	1,474
AT2G32795_1	1,002	1,413	1,525
AT2G32800_1	0,907	0,803	1,087
AT2G32810_1	1,042	0,515	0,695
AT2G32820_1	1,104	1,111	1,140
AT2G32830_1	1,135	8,975	15,621
AT2G32835_1	1,141	1,286	1,517
AT2G32840_1	0,993	1,118	1,138
AT2G32840_2	0,927	0,970	0,932
AT2G32850_1	1,087	1,167	1,829
AT2G32850_2	0,952	1,344	1,953
AT2G32860_1	0,807	0,271	0,115
AT2G32860_2	0,783	0,256	0,108
AT2G32870_1	1,379	0,695	0,322
AT2G32880_1	0,964	0,616	0,424
AT2G32885_1	1,212	1,230	1,326
AT2G32890_1	0,994	0,986	1,020
AT2G32900_1	0,949	0,752	1,052
AT2G32905_1	1,021	1,052	1,167
AT2G32910_1	0,961	1,111	1,245
AT2G32920_1	1,059	1,291	1,529
AT2G32930_1	0,888	1,051	1,144

AGI	NaCl-Kontrolle zur H₂O-Kontrolle (log₂)	H₂O +B.c. zur H₂O-Kontrolle (log₂)	NaCl +B.c. zur H₂O-Kontrolle (log₂)
AT2G32940_1	0,823	0,386	0,294
AT2G32950_1	1,212	1,073	0,840
AT2G32960_1	0,595	4,355	18,672
AT2G32970_1	1,040	0,334	0,298
AT2G32980_1	1,044	0,631	0,788
AT2G32990_1	1,059	0,459	0,040
AT2G33000_1	1,451	1,401	1,731
AT2G33006_1	1,126	1,216	1,277
AT2G33010_1	1,007	1,127	1,227
AT2G33020_1	0,881	0,870	3,306
AT2G33030_1	1,036	1,188	0,971
AT2G33040_1	0,971	0,864	1,133
AT2G33050_1	0,886	0,886	0,214
AT2G33051_1	1,100	0,711	0,826
AT2G33060_1	0,911	0,284	0,225
AT2G33070_1	1,384	2,499	2,408
AT2G33080_1	1,059	1,614	21,393
AT2G33090_1	1,245	1,257	1,440
AT2G33100_1	1,107	1,296	1,887
AT2G33110_1	0,856	1,491	1,946
AT2G33120_1	0,825	1,219	1,447
AT2G33120_2	1,279	1,759	1,523
AT2G33130_1	1,192	1,345	1,700
AT2G33150_1	1,004	1,188	1,868
AT2G33160_1	0,983	1,124	1,283
AT2G33170_1	1,001	0,420	0,607
AT2G33175_1	0,943	1,067	1,038
AT2G33180_1	0,766	0,285	0,097
AT2G33190_1	1,043	1,117	1,110
AT2G33200_1	0,993	0,947	0,829
AT2G33205_1	1,025	0,714	0,832
AT2G33210_1	1,019	0,967	0,881
AT2G33220_1	0,936	0,775	0,958
AT2G33230_1	1,098	1,162	1,236
AT2G33233_1	1,045	1,039	1,209
AT2G33240_1	0,867	0,838	1,013
AT2G33250_1	1,102	0,808	0,589
AT2G33255_1	0,977	0,548	0,338
AT2G33260_1	0,945	0,989	1,224
AT2G33270_1	1,094	1,245	1,304
AT2G33280_1	1,949	0,420	0,462
AT2G33290_1	1,137	1,047	0,778
AT2G33300_1	0,989	0,961	0,944
AT2G33310_1	1,342	1,423	1,764
AT2G33310_2	1,005	0,689	0,438
AT2G33310_3	1,095	0,977	1,000
AT2G33320_1	1,024	1,018	0,849
AT2G33330_1	0,644	0,199	0,021
AT2G33340_1	1,079	1,096	0,768
AT2G33340_2	1,097	1,097	0,779

AGI	NaCl-Kontrolle zur H₂O-Kontrolle (log₂)	H₂O +B.c. zur H₂O-Kontrolle (log₂)	NaCl +B.c. zur H₂O-Kontrolle (log₂)
AT2G33340_3	1,098	1,109	0,775
AT2G33350_1	0,841	0,623	0,777
AT2G33350_2	0,855	0,608	0,740
AT2G33360_1	0,995	0,977	1,214
AT2G33360_2	1,013	0,917	1,207
AT2G33370_1	0,907	1,055	0,563
AT2G33380_1	1,016	1,372	4,624
AT2G33380_2	0,975	1,376	4,954
AT2G33385_1	0,701	0,331	0,530
AT2G33390_1	0,889	0,991	1,155
AT2G33400_1	0,647	0,465	0,350
AT2G33410_1	1,046	0,995	0,847
AT2G33420_1	1,042	1,149	1,191
AT2G33430_1	1,065	0,507	0,196
AT2G33435_1	1,078	0,813	0,998
AT2G33440_1	1,050	0,888	0,962
AT2G33450_1	0,838	0,272	0,150
AT2G33460_1	0,951	1,404	2,243
AT2G33470_1	0,916	1,080	1,517
AT2G33470_2	0,888	1,053	1,506
AT2G33480_1	0,464	1,393	4,554
AT2G33480_2	0,448	1,396	5,033
AT2G33490_1	1,000	1,554	1,831
AT2G33500_1	1,075	0,552	0,477
AT2G33500_2	1,171	0,560	0,493
AT2G33509_1	1,063	1,083	1,264
AT2G33510_1	0,843	0,894	1,610
AT2G33520_1	1,218	1,286	1,442
AT2G33530_1	0,939	0,737	0,440
AT2G33540_1	0,840	1,012	1,120
AT2G33550_1	1,025	0,648	0,368
AT2G33560_1	0,837	0,526	0,478
AT2G33570_1	1,079	0,703	0,039
AT2G33580_1	0,966	2,221	3,527
AT2G33585_1	0,918	2,046	2,851
AT2G33590_1	1,091	1,566	1,810
AT2G33600_1	0,987	1,054	0,917
AT2G33610_1	1,088	0,857	0,827
AT2G33620_1	1,296	0,737	1,000
AT2G33630_1	0,979	1,015	1,223
AT2G33640_1	0,974	0,664	0,557
AT2G33655_1	0,906	0,893	1,089
AT2G33670_1	1,089	1,211	1,268
AT2G33680_1	1,364	0,819	0,603
AT2G33690_1	1,137	1,348	1,722
AT2G33700_1	0,941	1,760	2,521
AT2G33705_1	1,128	1,104	1,350
AT2G33707_1	1,007	1,092	1,063
AT2G33710_1	1,022	18,674	21,655
AT2G33720_1	1,162	1,395	1,938

AGI	NaCl-Kontrolle zur H ₂ O-Kontrolle (log ₂)	H ₂ O +B.c. zur H ₂ O-Kontrolle (log ₂)	NaCl +B.c. zur H ₂ O-Kontrolle (log ₂)
AT2G33730_1	1,127	1,100	1,206
AT2G33735_1	1,101	0,756	0,321
AT2G33740_1	1,021	1,404	1,282
AT2G33740_2	0,994	1,019	1,284
AT2G33750_1	0,969	0,476	0,458
AT2G33750_2	0,977	0,677	0,581
AT2G33760_1	1,199	0,635	0,480
AT2G33770_1	1,146	1,055	1,218
AT2G33775_1	1,171	1,260	1,302
AT2G33780_1	1,133	3,528	5,033
AT2G33790_1	1,014	1,157	1,301
AT2G33793_1	0,881	0,736	0,726
AT2G33796_1	1,005	0,962	0,959
AT2G33800_1	0,948	0,489	0,198
AT2G33810_1	0,866	0,558	0,285
AT2G33815_1	0,920	0,594	0,386
AT2G33820_1	0,873	0,370	0,186
AT2G33830_1	1,087	0,145	0,091
AT2G33830_2	1,059	0,123	0,075
AT2G33835_1	1,030	0,844	1,263
AT2G33840_1	1,003	1,115	1,142
AT2G33845_1	0,908	1,308	1,225
AT2G33847_1	0,890	1,277	0,869
AT2G33847_2	1,023	1,078	1,111
AT2G33850_1	0,774	0,660	0,718
AT2G33855_1	0,924	0,751	0,297
AT2G33860_1	1,160	0,392	0,079
AT2G33870_1	1,061	1,295	1,686
AT2G33880_1	0,772	1,022	1,102
AT2G33890_1	0,990	0,838	0,968
AT2G33900_1	0,997	0,865	0,982
AT2G33910_1	1,053	0,924	1,039
AT2G33920_1	0,973	0,924	0,975
AT2G33930_1	1,020	0,877	0,959
AT2G33940_1	1,010	0,899	1,030
AT2G33960_1	0,990	0,883	0,959
AT2G33970_1	1,009	0,876	0,984
AT2G33980_1	0,910	0,658	0,455
AT2G33990_1	0,871	0,356	0,092
AT2G34000_1	1,174	1,278	1,543
AT2G34010_1	0,526	0,530	0,203
AT2G34020_1	0,966	0,886	0,940
AT2G34030_1	1,031	1,053	1,164
AT2G34040_1	1,014	0,913	0,899
AT2G34040_2	1,113	0,926	0,982
AT2G34050_1	0,889	1,103	1,020
AT2G34060_1	0,812	0,334	0,150
AT2G34070_1	0,628	5,963	6,963
AT2G34080_1	0,977	56,150	70,654
AT2G34090_1	0,890	0,220	0,340

AGI	NaCl-Kontrolle zur H ₂ O-Kontrolle (log ₂)	H ₂ O +B.c. zur H ₂ O-Kontrolle (log ₂)	NaCl +B.c. zur H ₂ O-Kontrolle (log ₂)
AT2G34090_2	0,911	0,253	0,418
AT2G34100_1	1,199	1,477	1,587
AT2G34100_2	1,060	1,133	1,232
AT2G34110_1	1,048	1,009	1,045
AT2G34120_1	1,003	0,933	0,859
AT2G34123_1	1,199	1,338	1,416
AT2G34130_1	1,132	1,182	1,233
AT2G34135_1	0,971	1,074	1,192
AT2G34140_1	0,855	1,018	2,899
AT2G34150_1	1,076	0,125	0,087
AT2G34160_1	0,924	1,135	1,741
AT2G34170_1	0,635	0,132	0,087
AT2G34170_2	0,899	0,103	0,049
AT2G34180_1	0,987	0,331	0,298
AT2G34185_1	1,018	1,006	1,063
AT2G34186_1	1,178	0,717	0,821
AT2G34190_1	0,810	0,332	0,264
AT2G34200_1	0,998	0,409	0,712
AT2G34202_1	0,985	1,058	1,012
AT2G34204_1	1,210	1,257	1,524
AT2G34208_1	1,106	1,073	1,074
AT2G34210_1	0,895	1,017	1,011
AT2G34220_1	1,006	0,875	0,880
AT2G34224_1	1,307	1,538	1,748
AT2G34230_1	1,025	0,953	1,060
AT2G34230_2	0,976	0,976	0,988
AT2G34238_1	1,168	0,898	0,909
AT2G34240_1	1,209	0,704	0,732
AT2G34250_1	0,988	1,234	1,200
AT2G34250_2	1,020	1,233	1,236
AT2G34260_1	1,253	1,767	1,519
AT2G34260_2	1,333	1,359	1,371
AT2G34270_1	0,967	0,951	1,137
AT2G34280_1	1,007	1,017	1,022
AT2G34290_1	1,125	1,050	1,143
AT2G34300_1	0,866	0,420	0,123
AT2G34310_1	0,963	0,467	0,435
AT2G34310_2	1,256	0,817	0,705
AT2G34310_3	1,245	0,853	0,712
AT2G34315_1	0,936	0,864	1,002
AT2G34320_1	0,901	1,060	1,330
AT2G34330_1	1,028	1,032	1,253
AT2G34340_1	0,996	1,072	1,273
AT2G34350_1	1,016	0,927	0,973
AT2G34355_1	0,727	1,695	1,556
AT2G34357_1	1,133	1,321	0,877
AT2G34360_1	1,087	3,858	6,402
AT2G34370_1	0,931	1,036	1,061
AT2G34380_1	0,933	1,395	1,324
AT2G34390_1	0,998	1,023	1,271

AGI	NaCl-Kontrolle zur H ₂ O-Kontrolle (log ₂)	H ₂ O +B.c. zur H ₂ O-Kontrolle (log ₂)	NaCl +B.c. zur H ₂ O-Kontrolle (log ₂)
AT2G34400_1	1,239	0,680	0,455
AT2G34410_1	1,154	1,199	1,549
AT2G34410_2	0,960	0,894	1,343
AT2G34420_1	1,060	0,688	0,356
AT2G34430_1	0,939	0,373	0,084
AT2G34440_1	1,003	0,830	0,731
AT2G34450_1	0,982	1,116	0,880
AT2G34450_2	0,977	1,075	0,923
AT2G34460_1	1,043	0,732	0,520
AT2G34470_1	1,166	0,629	0,488
AT2G34480_1	0,978	0,897	0,695
AT2G34490_1	1,254	3,107	1,146
AT2G34500_1	1,070	357,406	562,426
AT2G34510_1	0,863	0,277	0,178
AT2G34520_1	0,935	0,951	1,040
AT2G34530_1	0,969	0,984	0,931
AT2G34530_2	0,597	0,411	0,467
AT2G34540_1	0,917	0,905	0,910
AT2G34540_2	0,771	0,642	0,627
AT2G34555_1	0,935	1,116	1,052
AT2G34560_1	1,072	0,458	0,326
AT2G34570_1	0,939	1,188	0,760
AT2G34580_1	1,086	1,225	1,202
AT2G34580_2	0,954	0,927	0,943
AT2G34585_1	0,851	1,097	0,994
AT2G34590_1	1,043	1,165	0,643
AT2G34600_1	0,619	3,644	4,152
AT2G34610_1	0,992	1,054	1,996
AT2G34620_1	0,941	0,187	0,026
AT2G34630_1	0,948	1,643	1,826
AT2G34640_1	1,169	0,250	0,067
AT2G34650_1	0,926	0,529	0,471
AT2G34655_1	0,940	0,698	0,338
AT2G34660_1	1,292	2,043	2,520
AT2G34670_1	0,856	0,598	0,238
AT2G34680_1	1,005	0,379	0,078
AT2G34690_1	0,921	1,207	1,422
AT2G34700_1	1,208	1,284	1,532
AT2G34710_1	0,858	0,378	0,148
AT2G34720_1	1,385	2,050	1,877
AT2G34730_1	1,011	2,389	2,248
AT2G34740_1	1,153	1,098	1,259
AT2G34750_1	1,107	1,303	1,008
AT2G34760_1	1,016	1,110	1,220
AT2G34770_1	0,894	0,742	0,508
AT2G34780_1	1,062	0,781	0,434
AT2G34790_1	0,937	0,730	0,984
AT2G34800_1	0,943	1,007	1,051
AT2G34810_1	0,912	2,297	5,168
AT2G34820_1	1,122	1,140	1,216

AGI	NaCl-Kontrolle zur H₂O-Kontrolle (log₂)	H₂O +B.c. zur H₂O-Kontrolle (log₂)	NaCl +B.c. zur H₂O-Kontrolle (log₂)
AT2G34825_1	1,105	1,022	1,018
AT2G34830_1	1,141	1,067	1,500
AT2G34835_1	1,012	1,071	1,197
AT2G34840_1	0,976	0,948	1,330
AT2G34840_2	0,996	0,924	1,086
AT2G34850_1	1,450	1,919	1,812
AT2G34860_1	0,989	0,457	0,271
AT2G34860_2	1,008	0,426	0,257
AT2G34870_1	1,096	1,199	1,345
AT2G34880_1	1,107	1,177	1,399
AT2G34890_1	1,223	0,755	0,563
AT2G34900_1	1,037	1,143	0,752
AT2G34900_2	1,128	1,234	0,775
AT2G34910_1	1,044	1,145	1,379
AT2G34920_1	1,034	0,477	0,396
AT2G34925_1	1,039	0,482	0,427
AT2G34930_1	0,763	1,525	0,807
AT2G34940_1	0,938	0,611	1,311
AT2G34960_1	1,177	2,068	0,715
AT2G34970_1	1,161	1,260	1,106
AT2G34980_1	0,906	0,651	0,544
AT2G34990_1	1,296	1,436	1,762
AT2G35000_1	1,057	2,611	4,273
AT2G35010_1	0,889	0,739	1,554
AT2G35010_2	0,970	0,939	1,058
AT2G35020_1	1,065	0,879	1,406
AT2G35030_1	1,196	0,893	0,780
AT2G35035_1	0,951	0,828	0,803
AT2G35040_1	1,030	0,831	0,464
AT2G35050_1	1,038	0,924	0,870
AT2G35060_1	1,187	1,001	1,467
AT2G35070_1	2,042	2,769	11,436
AT2G35075_1	1,067	0,494	0,656
AT2G35080_1	1,197	1,345	1,620
AT2G35080_2	1,326	1,392	1,687
AT2G35090_1	1,973	2,595	10,291
AT2G35100_1	0,966	0,767	0,820
AT2G35110_1	0,997	0,633	0,596
AT2G35120_1	0,986	0,531	0,370
AT2G35130_1	1,220	0,400	0,032
AT2G35140_1	1,146	0,606	0,706
AT2G35150_1	0,823	0,378	0,187
AT2G35155_1	1,068	0,580	0,265
AT2G35160_1	1,033	0,738	0,764
AT2G35170_1	1,009	0,897	0,936
AT2G35180_1	1,086	1,062	1,060
AT2G35190_1	0,959	0,171	0,125
AT2G35200_1	1,179	1,806	2,372
AT2G35210_1	0,795	1,115	0,843
AT2G35215_1	1,120	1,201	1,450

AGI	NaCl-Kontrolle zur H₂O-Kontrolle (log₂)	H₂O +B.c. zur H₂O-Kontrolle (log₂)	NaCl +B.c. zur H₂O-Kontrolle (log₂)
AT2G35230_1	0,991	1,265	1,266
AT2G35240_1	1,098	0,780	0,491
AT2G35250_1	1,015	1,055	0,994
AT2G35260_1	1,065	0,745	0,241
AT2G35270_1	1,080	1,361	1,665
AT2G35280_1	1,127	1,252	1,497
AT2G35290_1	0,769	0,787	1,198
AT2G35300_1	1,105	1,286	2,585
AT2G35310_1	1,102	1,147	1,371
AT2G35320_1	0,960	0,539	0,769
AT2G35330_1	1,108	1,051	1,345
AT2G35340_1	1,164	0,942	1,138
AT2G35345_1	1,389	1,135	1,196
AT2G35350_1	1,246	0,519	0,545
AT2G35360_1	0,910	0,947	1,359
AT2G35370_1	1,029	0,606	0,235
AT2G35380_1	0,854	0,982	1,075
AT2G35380_2	0,786	1,052	0,920
AT2G35382_1	1,017	1,088	1,249
AT2G35384_1	0,916	0,896	0,891
AT2G35387_1	0,903	0,643	0,464
AT2G35390_1	0,718	0,825	1,817
AT2G35390_2	0,838	1,445	1,502
AT2G35390_3	0,839	1,430	1,475
AT2G35410_1	0,967	0,576	0,520
AT2G35420_1	0,840	0,638	0,825
AT2G35430_1	1,128	0,748	0,313
AT2G35450_1	0,997	0,470	0,320
AT2G35460_1	0,955	1,128	1,210
AT2G35470_1	0,979	0,545	0,220
AT2G35480_1	1,062	2,138	4,035
AT2G35490_1	1,047	0,765	0,896
AT2G35500_1	0,907	0,406	0,159
AT2G35510_1	1,105	1,596	1,326
AT2G35520_1	0,947	0,770	1,153
AT2G35520_2	0,896	0,779	1,142
AT2G35530_1	1,025	1,111	1,241
AT2G35540_1	1,012	0,994	1,170
AT2G35550_1	1,085	1,173	1,470
AT2G35550_2	1,127	2,865	4,525
AT2G35550_3	1,062	4,323	5,769
AT2G35550_4	1,069	2,165	2,899
AT2G35570_1	1,117	1,180	1,164
AT2G35580_1	1,266	1,434	1,758
AT2G35585_1	1,069	0,997	1,028
AT2G35590_1	1,038	1,058	1,191
AT2G35600_1	1,159	0,747	0,937
AT2G35605_1	0,929	0,815	0,508
AT2G35610_1	0,960	0,997	0,988
AT2G35612_1	1,237	1,426	1,691

AGI	NaCl-Kontrolle zur H₂O-Kontrolle (log₂)	H₂O +B.c. zur H₂O-Kontrolle (log₂)	NaCl +B.c. zur H₂O-Kontrolle (log₂)
AT2G35613_1	1,027	1,002	1,066
AT2G35615_1	1,092	1,105	1,318
AT2G35620_1	0,928	0,493	0,145
AT2G35630_1	1,074	0,953	0,933
AT2G35635_1	0,987	0,893	1,163
AT2G35637_1	0,732	0,799	0,829
AT2G35640_1	0,967	1,287	1,651
AT2G35650_1	0,768	0,424	0,296
AT2G35658_1	0,685	6,876	7,344
AT2G35658_2	0,967	4,159	4,870
AT2G35658_3	0,672	6,727	7,684
AT2G35660_1	1,057	1,075	0,717
AT2G35660_2	1,051	1,084	0,730
AT2G35660_3	1,135	1,073	1,113
AT2G35670_1	1,075	1,035	1,196
AT2G35680_1	1,021	0,831	1,104
AT2G35690_1	1,038	0,857	1,270
AT2G35700_1	0,772	0,841	0,536
AT2G35710_1	0,491	4,845	6,117
AT2G35710_2	0,915	1,080	1,341
AT2G35710_3	0,510	5,174	6,287
AT2G35720_1	0,959	1,235	1,173
AT2G35730_1	1,124	26,064	54,418
AT2G35733_1	0,959	2,955	3,993
AT2G35736_1	1,009	3,106	3,797
AT2G35738_1	1,309	0,671	1,089
AT2G35738_2	1,283	1,283	1,457
AT2G35738_3	1,256	0,573	1,015
AT2G35740_1	1,191	0,677	0,977
AT2G35742_1	1,237	1,588	2,008
AT2G35743_1	1,334	1,420	1,442
AT2G35744_1	1,191	1,369	1,437
AT2G35747_1	1,122	1,316	1,253
AT2G35750_1	1,191	1,112	1,081
AT2G35760_1	0,742	0,672	0,192
AT2G35765_1	1,230	1,223	1,274
AT2G35770_1	1,024	1,682	1,633
AT2G35780_1	0,951	0,388	0,239
AT2G35790_1	0,973	0,894	0,576
AT2G35795_1	1,086	1,155	1,352
AT2G35800_1	1,057	0,635	0,460
AT2G35810_1	1,047	0,784	0,901
AT2G35820_1	1,184	1,453	0,696
AT2G35830_1	1,104	0,811	0,461
AT2G35840_1	1,165	0,648	0,661
AT2G35850_1	0,706	0,599	0,402
AT2G35860_1	1,020	0,501	0,033
AT2G35880_1	0,804	0,712	0,439
AT2G35890_1	0,996	1,172	1,201
AT2G35900_1	0,997	1,102	1,117

AGI	NaCl-Kontrolle zur H ₂ O-Kontrolle (log ₂)	H ₂ O +B.c. zur H ₂ O-Kontrolle (log ₂)	NaCl +B.c. zur H ₂ O-Kontrolle (log ₂)
AT2G35910_1	0,832	1,114	2,067
AT2G35920_1	1,108	0,792	0,720
AT2G35930_1	0,658	14,128	12,156
AT2G35940_1	1,054	1,569	1,828
AT2G35945_1	1,119	1,847	2,260
AT2G35950_1	1,107	1,418	2,839
AT2G35960_1	0,799	0,464	0,100
AT2G35970_1	1,074	0,897	0,471
AT2G35980_1	0,696	112,989	138,054
AT2G35990_1	1,242	1,370	1,478
AT2G35990_2	1,025	1,090	1,136
AT2G35990_3	1,136	1,232	1,262
AT2G36000_1	0,921	0,387	0,163
AT2G36000_2	0,757	0,238	0,091
AT2G36010_1	0,797	0,676	0,464
AT2G36010_2	0,737	0,780	0,533
AT2G36010_3	0,790	0,703	0,476
AT2G36020_1	1,117	1,456	2,332
AT2G36026_1	0,779	0,118	0,067
AT2G36030_1	0,867	0,197	0,153
AT2G36040_1	0,859	0,854	0,820
AT2G36050_1	0,402	0,171	0,073
AT2G36053_1	1,241	1,288	1,335
AT2G36060_1	0,934	0,926	1,173
AT2G36060_2	0,974	0,919	1,188
AT2G36060_3	1,078	1,034	1,300
AT2G36070_1	1,031	1,144	1,148
AT2G36080_1	0,742	1,771	3,694
AT2G36080_2	0,963	0,961	1,803
AT2G36090_1	0,908	0,564	1,064
AT2G36100_1	1,057	1,050	1,502
AT2G36110_1	1,217	0,833	0,787
AT2G36120_1	0,886	0,452	0,203
AT2G36130_1	0,958	0,578	0,468
AT2G36145_1	1,042	0,232	0,033
AT2G36160_1	0,986	0,956	0,638
AT2G36170_1	0,893	0,952	0,701
AT2G36180_1	1,049	1,270	1,278
AT2G36190_1	0,973	0,988	1,136
AT2G36200_1	0,722	0,244	0,170
AT2G36210_1	1,262	1,626	1,897
AT2G36220_1	1,013	1,749	2,633
AT2G36230_1	0,949	0,291	0,077
AT2G36240_1	1,049	0,641	0,584
AT2G36250_1	1,081	0,650	0,355
AT2G36255_1	1,081	1,110	1,358
AT2G36260_1	1,319	1,411	1,454
AT2G36261_1	1,252	1,340	1,579
AT2G36270_1	1,483	1,146	2,179
AT2G36290_1	1,048	0,997	1,174

AGI	NaCl-Kontrolle zur H₂O-Kontrolle (log₂)	H₂O +B.c. zur H₂O-Kontrolle (log₂)	NaCl +B.c. zur H₂O-Kontrolle (log₂)
AT2G36295_1	1,176	1,244	1,336
AT2G36300_1	0,935	1,584	1,610
AT2G36305_1	0,883	0,857	0,840
AT2G36307_1	0,943	0,650	0,801
AT2G36310_1	0,799	0,538	0,848
AT2G36320_1	0,878	0,569	0,671
AT2G36325_1	0,840	0,999	1,074
AT2G36330_1	0,946	0,786	1,242
AT2G36340_1	1,027	0,944	0,873
AT2G36350_1	1,143	0,107	0,037
AT2G36355_1	1,110	0,838	1,093
AT2G36355_2	0,914	0,851	0,888
AT2G36355_3	0,703	0,383	0,402
AT2G36360_1	0,984	0,637	0,761
AT2G36360_2	0,938	0,630	0,754
AT2G36370_1	1,140	0,359	0,548
AT2G36380_1	1,057	4,482	3,760
AT2G36390_1	1,177	0,208	0,212
AT2G36400_1	0,979	0,152	0,048
AT2G36402_1	1,029	0,998	1,079
AT2G36410_1	0,849	0,579	0,553
AT2G36410_2	0,865	0,608	0,586
AT2G36420_1	0,875	0,330	0,344
AT2G36430_1	0,998	0,326	0,094
AT2G36440_1	1,096	1,802	4,174
AT2G36450_1	1,262	1,320	1,648
AT2G36460_1	1,161	1,306	1,511
AT2G36460_2	1,114	1,303	2,138
AT2G36470_1	0,990	0,818	0,584
AT2G36480_1	0,896	1,089	1,147
AT2G36480_2	1,063	1,105	1,106
AT2G36480_3	1,039	1,116	1,087
AT2G36485_1	1,069	1,396	1,422
AT2G36490_1	1,171	0,532	0,330
AT2G36500_1	0,883	0,670	0,836
AT2G36530_1	1,029	1,291	1,660
AT2G36540_1	0,957	1,222	1,441
AT2G36550_1	1,072	1,205	1,174
AT2G36560_1	0,994	1,030	1,203
AT2G36570_1	0,987	0,121	0,042
AT2G36571_1	1,071	1,281	1,623
AT2G36580_1	0,876	2,019	2,507
AT2G36590_1	0,671	0,972	0,640
AT2G36610_1	0,988	1,064	1,137
AT2G36620_1	0,862	0,738	0,541
AT2G36630_1	0,754	2,607	2,319
AT2G36632_1	1,087	1,087	1,243
AT2G36640_1	1,094	1,349	1,488
AT2G36650_1	1,014	1,465	1,516
AT2G36660_1	1,173	0,946	1,117

AGI	NaCl-Kontrolle zur H ₂ O-Kontrolle (log ₂)	H ₂ O +B.c. zur H ₂ O-Kontrolle (log ₂)	NaCl +B.c. zur H ₂ O-Kontrolle (log ₂)
AT2G36670_1	0,877	0,967	1,637
AT2G36670_2	0,900	0,963	1,673
AT2G36680_1	0,833	0,834	1,316
AT2G36680_2	0,783	0,810	1,302
AT2G36680_3	0,851	0,843	1,315
AT2G36680_4	0,935	0,841	0,965
AT2G36690_1	0,982	6,689	14,238
AT2G36695_1	1,264	1,298	1,601
AT2G36700_1	1,050	1,073	1,059
AT2G36710_1	1,094	1,239	1,530
AT2G36720_1	1,094	0,761	0,522
AT2G36724_1	0,974	0,977	1,039
AT2G36730_1	1,142	0,500	0,420
AT2G36740_1	0,941	0,526	0,777
AT2G36750_1	2,175	2,623	16,618
AT2G36760_1	1,371	1,579	2,680
AT2G36770_1	0,921	21,494	31,168
AT2G36780_1	1,113	18,391	67,768
AT2G36790_1	0,628	7,765	21,681
AT2G36792_1	0,958	5,782	10,555
AT2G36792_2	1,010	5,071	8,976
AT2G36800_1	1,474	8,103	14,376
AT2G36810_1	1,094	0,752	0,986
AT2G36815_1	1,568	1,905	2,688
AT2G36815_2	1,260	0,928	0,944
AT2G36830_1	0,686	0,789	0,976
AT2G36835_1	1,109	0,748	0,586
AT2G36840_1	1,085	0,864	1,312
AT2G36850_1	1,059	1,139	1,113
AT2G36854_1	1,213	1,152	1,628
AT2G36870_1	1,171	0,149	0,011
AT2G36880_1	1,006	1,290	1,209
AT2G36880_2	0,991	1,308	1,160
AT2G36881_1	1,061	1,092	1,099
AT2G36885_1	0,552	0,024	0,031
AT2G36890_1	1,149	2,084	2,136
AT2G36895_1	0,984	0,617	1,075
AT2G36900_1	0,988	1,015	1,196
AT2G36900_2	1,056	0,868	0,742
AT2G36910_1	1,127	0,685	0,622
AT2G36916_1	1,087	1,232	1,269
AT2G36920_1	1,067	1,159	1,182
AT2G36930_1	1,016	1,173	0,998
AT2G36940_1	1,281	2,314	2,646
AT2G36950_1	0,842	9,509	13,919
AT2G36960_1	1,102	0,894	1,310
AT2G36970_1	0,660	4,790	2,336
AT2G36980_1	1,225	0,373	0,238
AT2G36985_1	1,092	1,130	1,226
AT2G36990_1	1,073	0,553	0,140

AGI	NaCl-Kontrolle zur H₂O-Kontrolle (log₂)	H₂O +B.c. zur H₂O-Kontrolle (log₂)	NaCl +B.c. zur H₂O-Kontrolle (log₂)
AT2G37000_1	1,023	1,067	1,147
AT2G37010_1	1,089	1,144	1,159
AT2G37020_1	1,055	0,615	0,366
AT2G37025_1	0,787	0,870	0,546
AT2G37025_2	0,695	0,851	0,411
AT2G37030_1	0,941	1,007	0,975
AT2G37035_1	0,954	1,188	1,269
AT2G37040_1	0,995	4,392	3,980
AT2G37050_1	0,994	0,691	0,189
AT2G37050_2	0,958	0,699	0,190
AT2G37060_1	0,613	1,565	2,059
AT2G37060_2	0,642	1,675	2,072
AT2G37060_3	0,652	1,680	2,140
AT2G37070_1	0,902	0,729	0,724
AT2G37080_1	0,932	0,392	0,075
AT2G37090_1	0,860	0,764	0,882
AT2G37100_1	0,812	0,326	0,226
AT2G37110_1	0,981	1,268	1,703
AT2G37120_1	0,869	0,443	0,425
AT2G37130_1	1,248	3,862	3,239
AT2G37130_2	1,077	9,127	6,319
AT2G37140_1	1,128	1,074	1,131
AT2G37150_1	1,133	1,583	3,040
AT2G37160_1	0,971	0,605	0,812
AT2G37170_1	0,833	1,025	1,134
AT2G37180_1	0,590	4,529	3,935
AT2G37190_1	0,935	0,959	0,596
AT2G37195_1	0,738	0,830	0,792
AT2G37200_1	1,251	1,404	1,089
AT2G37210_1	1,191	1,285	1,436
AT2G37220_1	1,038	0,598	0,285
AT2G37230_1	1,156	0,887	0,427
AT2G37240_1	1,188	0,629	0,676
AT2G37250_1	0,932	2,291	2,728
AT2G37260_1	1,105	0,392	0,436
AT2G37260_2	1,114	0,301	0,382
AT2G37270_1	0,864	1,143	0,834
AT2G37270_2	0,824	1,148	0,806
AT2G37280_1	0,801	0,926	0,831
AT2G37290_1	1,033	1,031	1,020
AT2G37300_1	1,355	0,251	0,260
AT2G37310_1	1,181	0,743	0,546
AT2G37320_1	1,023	0,481	0,351
AT2G37330_1	1,012	0,444	0,475
AT2G37340_1	1,226	1,301	1,027
AT2G37340_2	1,044	0,880	0,993
AT2G37340_3	1,119	0,825	0,874
AT2G37360_1	1,198	0,811	0,521
AT2G37370_1	1,052	1,696	1,601
AT2G37380_1	0,899	0,359	0,282

AGI	NaCl-Kontrolle zur H ₂ O-Kontrolle (log ₂)	H ₂ O +B.c. zur H ₂ O-Kontrolle (log ₂)	NaCl +B.c. zur H ₂ O-Kontrolle (log ₂)
AT2G37390_1	0,997	0,841	1,021
AT2G37400_1	1,176	0,821	0,480
AT2G37410_1	0,964	1,629	1,459
AT2G37410_2	1,053	1,373	1,110
AT2G37420_1	0,977	0,330	0,370
AT2G37430_1	0,691	23,410	24,519
AT2G37435_1	0,950	1,094	1,006
AT2G37440_1	0,940	1,433	1,844
AT2G37440_2	0,927	1,187	1,242
AT2G37450_1	0,968	0,325	0,077
AT2G37450_2	0,986	0,335	0,111
AT2G37460_1	0,457	0,557	0,544
AT2G37470_1	0,908	0,572	1,067
AT2G37478_1	0,954	0,634	0,638
AT2G37500_1	0,991	0,538	0,240
AT2G37510_1	1,007	0,851	0,455
AT2G37520_1	1,045	1,060	1,341
AT2G37530_1	1,342	0,747	1,532
AT2G37540_1	1,019	0,999	1,313
AT2G37550_1	0,923	1,221	1,169
AT2G37550_2	0,903	1,245	1,162
AT2G37555_1	0,914	1,004	1,149
AT2G37560_1	0,611	0,401	0,306
AT2G37570_1	0,945	1,369	1,610
AT2G37570_2	0,909	1,395	1,742
AT2G37580_1	0,944	1,132	1,939
AT2G37585_1	0,876	0,350	0,311
AT2G37590_1	0,915	0,692	0,977
AT2G37600_1	0,861	0,849	0,631
AT2G37600_2	0,833	0,841	0,588
AT2G37610_1	1,050	1,063	1,115
AT2G37620_1	1,099	1,400	1,123
AT2G37630_1	1,134	0,908	0,574
AT2G37640_1	0,978	0,211	0,068
AT2G37650_1	1,115	1,102	1,539
AT2G37660_1	0,928	0,397	0,147
AT2G37670_1	0,961	0,979	1,591
AT2G37678_1	0,907	0,115	0,274
AT2G37680_1	1,020	0,862	1,081
AT2G37690_1	1,143	1,525	0,934
AT2G37700_1	1,176	1,580	1,621
AT2G37700_2	0,987	1,180	1,332
AT2G37710_1	0,885	0,999	0,978
AT2G37720_1	0,860	0,819	1,018
AT2G37730_1	1,097	1,288	1,550
AT2G37740_1	1,038	1,037	1,163
AT2G37750_1	1,073	31,032	232,763
AT2G37760_1	1,588	5,345	12,640
AT2G37760_3	1,553	5,999	12,535
AT2G37760_5	1,569	5,511	12,772

AGI	NaCl-Kontrolle zur H₂O-Kontrolle (log₂)	H₂O +B.c. zur H₂O-Kontrolle (log₂)	NaCl +B.c. zur H₂O-Kontrolle (log₂)
AT2G37770_1	1,001	1,031	2,440
AT2G37770_2	2,469	23,784	101,982
AT2G37780_1	1,053	1,202	1,193
AT2G37790_1	1,358	0,322	0,176
AT2G37800_1	1,170	1,563	1,939
AT2G37810_1	1,008	1,104	1,187
AT2G37820_1	0,899	1,014	1,063
AT2G37830_1	1,171	10,084	15,046
AT2G37840_1	1,021	0,590	0,873
AT2G37860_1	1,140	0,364	0,091
AT2G37860_3	1,071	0,368	0,106
AT2G37870_1	5,122	0,370	6,701
AT2G37880_1	1,132	1,199	1,428
AT2G37890_1	1,049	2,509	3,438
AT2G37900_1	1,718	3,486	0,513
AT2G37910_1	1,082	0,973	1,111
AT2G37920_1	0,911	0,461	0,554
AT2G37925_1	0,727	0,503	0,527
AT2G37930_1	1,204	0,519	0,245
AT2G37940_1	0,838	2,050	2,001
AT2G37950_1	0,996	0,326	0,146
AT2G37960_1	0,675	0,498	0,531
AT2G37960_2	0,893	0,853	0,842
AT2G37970_1	0,968	2,893	3,292
AT2G37975_1	0,799	0,719	1,362
AT2G37980_1	0,902	3,973	3,813
AT2G37990_1	1,126	1,229	0,862
AT2G38000_1	0,929	0,668	0,892
AT2G38010_1	1,106	0,523	0,211
AT2G38020_1	1,023	1,215	1,453
AT2G38020_2	1,057	0,919	1,371
AT2G38025_1	0,763	0,535	0,614
AT2G38040_1	1,047	0,795	0,496
AT2G38050_1	0,963	1,038	0,783
AT2G38060_1	0,891	3,817	2,770
AT2G38070_1	1,258	1,221	0,997
AT2G38080_1	0,830	0,249	0,226
AT2G38090_1	0,816	0,662	0,673
AT2G38100_1	1,082	1,282	1,418
AT2G38110_1	1,292	1,048	1,356
AT2G38120_1	0,764	0,342	0,073
AT2G38130_1	0,764	0,668	1,130
AT2G38130_2	0,890	0,783	1,175
AT2G38140_1	0,775	0,249	0,092
AT2G38150_1	0,996	0,854	0,994
AT2G38152_1	0,952	0,816	0,916
AT2G38160_1	0,867	3,969	1,646
AT2G38170_1	1,274	1,573	1,754
AT2G38170_2	1,550	0,551	1,059
AT2G38170_3	1,475	1,197	1,684

AGI	NaCl-Kontrolle zur H₂O-Kontrolle (log₂)	H₂O +B.c. zur H₂O-Kontrolle (log₂)	NaCl +B.c. zur H₂O-Kontrolle (log₂)
AT2G38180_1	1,446	1,275	1,775
AT2G38185_1	1,128	1,273	1,227
AT2G38185_2	0,946	2,098	1,521
AT2G38185_3	1,008	1,477	1,264
AT2G38195_1	1,215	1,368	1,400
AT2G38195_2	1,195	1,331	1,563
AT2G38210_1	0,906	2,251	0,321
AT2G38220_1	1,120	1,283	1,276
AT2G38230_1	1,017	1,251	0,676
AT2G38240_1	0,389	20,507	28,170
AT2G38250_1	0,731	24,450	38,700
AT2G38255_1	0,953	0,850	0,872
AT2G38260_1	0,858	0,541	0,660
AT2G38270_1	1,013	0,622	0,731
AT2G38280_1	1,127	1,439	1,112
AT2G38280_2	1,168	1,452	1,097
AT2G38290_1	0,892	1,636	1,402
AT2G38290_2	0,894	1,641	1,387
AT2G38300_1	0,719	0,676	0,728
AT2G38304_1	1,488	1,723	2,265
AT2G38310_1	0,336	1,608	0,451
AT2G38320_1	0,435	0,209	0,145
AT2G38325_1	1,067	1,026	1,015
AT2G38330_1	0,917	0,484	0,375
AT2G38340_1	0,904	6,438	30,024
AT2G38350_1	0,966	1,079	1,088
AT2G38360_1	0,891	1,424	1,707
AT2G38365_1	1,109	1,222	1,352
AT2G38370_1	1,057	0,301	0,330
AT2G38380_1	1,034	0,677	2,775
AT2G38390_1	1,145	0,785	1,283
AT2G38400_1	1,134	1,347	1,830
AT2G38410_1	1,058	1,217	1,456
AT2G38420_1	0,987	0,612	0,821
AT2G38430_1	1,043	0,616	0,343
AT2G38440_1	1,016	0,680	0,545
AT2G38450_1	1,147	0,766	0,887
AT2G38460_1	1,124	0,218	0,107
AT2G38465_1	1,281	0,785	1,323
AT2G38470_1	0,800	2,916	2,775
AT2G38480_1	0,601	0,718	0,934
AT2G38490_1	1,189	1,588	5,032
AT2G38500_1	0,683	2,275	1,102
AT2G38510_1	1,117	1,063	1,088
AT2G38520_1	1,127	1,475	1,643
AT2G38530_1	0,801	0,636	0,082
AT2G38540_1	1,026	0,430	0,092
AT2G38544_1	1,415	1,549	1,775
AT2G38550_1	1,106	0,537	0,491
AT2G38560_1	0,998	1,324	1,969

AGI	NaCl-Kontrolle zur H₂O-Kontrolle (log₂)	H₂O +B.c. zur H₂O-Kontrolle (log₂)	NaCl +B.c. zur H₂O-Kontrolle (log₂)
AT2G38570_1	0,804	0,286	0,138
AT2G38580_1	0,901	0,572	0,846
AT2G38590_1	1,023	1,121	1,266
AT2G38600_1	1,092	1,142	1,334
AT2G38610_1	1,134	1,546	1,375
AT2G38610_2	1,099	1,601	1,373
AT2G38620_1	0,975	0,985	1,036
AT2G38620_2	0,806	0,456	0,425
AT2G38630_1	0,982	0,498	0,235
AT2G38640_1	0,853	1,296	2,531
AT2G38646_1	0,957	1,022	1,037
AT2G38650_1	0,992	0,546	0,418
AT2G38660_1	0,928	0,719	0,984
AT2G38660_2	0,961	0,802	1,066
AT2G38660_3	0,937	0,794	1,102
AT2G38670_1	1,058	0,591	0,687
AT2G38680_1	0,913	0,413	0,569
AT2G38690_1	1,088	1,497	2,387
AT2G38695_1	0,782	0,337	0,180
AT2G38695_2	0,772	0,381	0,198
AT2G38695_3	0,989	0,855	1,177
AT2G38700_1	0,912	0,671	1,195
AT2G38710_1	1,030	1,032	2,470
AT2G38710_2	1,037	1,040	4,675
AT2G38720_1	0,665	0,413	0,354
AT2G38730_1	0,994	0,725	0,776
AT2G38740_1	1,065	1,573	2,452
AT2G38750_1	0,722	1,507	1,075
AT2G38760_1	0,660	3,114	3,124
AT2G38770_1	0,995	0,855	0,503
AT2G38780_1	0,926	0,452	0,385
AT2G38790_1	1,230	1,144	1,222
AT2G38800_1	1,088	1,655	2,574
AT2G38810_1	0,678	0,596	0,595
AT2G38810_2	0,643	0,518	0,510
AT2G38810_3	0,654	0,610	0,702
AT2G38820_1	1,049	0,201	0,570
AT2G38820_2	0,997	0,353	0,609
AT2G38823_1	0,968	1,251	14,613
AT2G38830_1	1,061	0,407	0,429
AT2G38840_1	0,901	0,744	0,937
AT2G38860_1	0,855	5,368	5,360
AT2G38860_3	0,678	10,375	9,838
AT2G38870_1	0,871	1,585	2,128
AT2G38880_1	0,925	1,118	1,283
AT2G38880_2	0,847	1,057	1,252
AT2G38880_3	0,933	1,044	1,350
AT2G38880_4	0,848	1,032	1,239
AT2G38880_5	0,834	1,062	1,399
AT2G38880_6	0,936	1,104	1,493

AGI	NaCl-Kontrolle zur H₂O-Kontrolle (log₂)	H₂O +B.c. zur H₂O-Kontrolle (log₂)	NaCl +B.c. zur H₂O-Kontrolle (log₂)
AT2G38890_1	0,884	0,757	0,835
AT2G38900_1	1,229	1,310	1,564
AT2G38905_1	1,075	1,059	1,146
AT2G38910_1	1,082	1,042	1,152
AT2G38920_1	1,056	1,213	6,099
AT2G38940_1	0,698	7,097	15,936
AT2G38950_1	1,112	0,919	1,023
AT2G38960_1	0,944	1,862	1,721
AT2G38960_2	0,989	1,868	1,750
AT2G38970_1	1,026	0,245	0,118
AT2G38980_1	0,917	0,643	0,403
AT2G38990_1	0,892	1,015	1,087
AT2G38995_1	1,073	0,074	0,068
AT2G39000_1	0,940	0,820	1,221
AT2G39000_2	0,954	0,821	1,210
AT2G39010_1	0,944	0,854	0,732
AT2G39020_1	1,064	1,256	0,998
AT2G39030_1	2,495	8,074	8,744
AT2G39040_1	1,172	1,660	1,725
AT2G39050_1	1,426	2,759	3,674
AT2G39060_1	0,988	1,096	1,146
AT2G39080_1	0,946	0,811	1,114
AT2G39090_1	1,162	0,379	0,326
AT2G39090_2	1,151	0,473	0,439
AT2G39100_1	0,992	0,924	1,633
AT2G39110_1	1,177	1,608	1,752
AT2G39120_1	0,936	1,727	1,319
AT2G39130_1	1,016	0,656	0,634
AT2G39140_1	1,057	0,324	0,102
AT2G39160_1	0,946	1,000	1,070
AT2G39170_1	0,984	1,231	1,563
AT2G39175_1	1,087	1,281	1,147
AT2G39180_1	0,610	1,120	0,223
AT2G39190_1	1,043	0,585	0,375
AT2G39190_2	0,971	0,577	0,377
AT2G39200_1	0,514	5,212	13,097
AT2G39210_1	0,614	1,868	2,208
AT2G39220_1	1,017	1,015	1,329
AT2G39230_1	1,317	1,136	0,895
AT2G39240_1	1,827	0,587	0,168
AT2G39250_1	0,873	0,847	0,320
AT2G39260_1	1,111	0,927	1,062
AT2G39270_1	0,877	1,584	2,886
AT2G39280_1	0,966	0,318	0,286
AT2G39290_1	1,077	0,595	0,490
AT2G39300_1	0,973	0,720	0,892
AT2G39310_1	1,404	4,041	2,668
AT2G39310_2	1,376	2,465	1,964
AT2G39320_1	1,070	1,342	1,326
AT2G39330_1	1,342	7,425	3,813

AGI	NaCl-Kontrolle zur H₂O-Kontrolle (log₂)	H₂O +B.c. zur H₂O-Kontrolle (log₂)	NaCl +B.c. zur H₂O-Kontrolle (log₂)
AT2G39340_1	0,962	0,983	1,246
AT2G39350_1	0,813	0,809	2,526
AT2G39360_1	0,682	0,835	1,302
AT2G39370_1	0,963	0,877	0,965
AT2G39380_1	0,853	1,304	3,226
AT2G39390_1	0,884	1,015	0,909
AT2G39400_1	0,599	0,893	0,876
AT2G39410_1	1,181	2,591	2,180
AT2G39410_2	1,194	1,182	1,710
AT2G39415_1	1,210	1,243	1,524
AT2G39420_1	0,918	2,771	2,494
AT2G39430_1	0,923	1,003	1,534
AT2G39435_1	0,783	4,138	7,616
AT2G39440_1	0,815	0,763	0,721
AT2G39445_1	0,879	0,683	0,807
AT2G39450_1	1,091	1,095	0,813
AT2G39460_1	0,762	0,773	0,656
AT2G39460_2	0,986	0,906	1,385
AT2G39470_1	0,927	0,260	0,022
AT2G39470_3	0,930	0,267	0,022
AT2G39480_1	0,893	1,608	1,608
AT2G39490_1	0,941	1,554	3,230
AT2G39500_1	0,777	0,904	0,962
AT2G39510_1	1,031	1,117	1,296
AT2G39518_1	0,514	27,934	82,772
AT2G39520_1	1,064	1,066	1,073
AT2G39530_1	0,814	2,856	10,446
AT2G39540_1	1,222	1,283	1,637
AT2G39550_1	0,805	1,200	1,799
AT2G39560_1	0,777	0,478	0,159
AT2G39570_1	0,871	1,051	0,871
AT2G39580_1	0,966	0,392	0,454
AT2G39590_1	1,489	1,548	1,422
AT2G39600_1	0,842	0,290	0,581
AT2G39620_1	1,130	0,677	0,685
AT2G39630_1	0,881	0,853	1,267
AT2G39630_2	0,875	0,849	1,221
AT2G39640_1	1,240	1,581	1,827
AT2G39650_1	0,806	5,697	6,225
AT2G39660_1	0,873	3,289	3,654
AT2G39670_1	1,102	0,378	0,102
AT2G39670_2	1,151	0,407	0,103
AT2G39675_1	0,912	0,561	0,360
AT2G39681_1	0,949	0,637	0,571
AT2G39690_1	0,944	0,282	0,342
AT2G39690_2	1,007	0,446	0,491
AT2G39700_1	0,862	0,183	0,120
AT2G39705_1	1,043	0,309	0,093
AT2G39710_1	0,975	1,010	1,648
AT2G39720_1	0,994	1,107	1,164

AGI	NaCl-Kontrolle zur H₂O-Kontrolle (log₂)	H₂O +B.c. zur H₂O-Kontrolle (log₂)	NaCl +B.c. zur H₂O-Kontrolle (log₂)
AT2G39725_1	0,873	1,595	7,372
AT2G39725_2	0,912	1,607	7,372
AT2G39730_1	1,011	0,996	0,883
AT2G39730_2	1,024	0,991	0,874
AT2G39730_3	0,988	0,988	0,863
AT2G39740_1	0,889	0,796	0,748
AT2G39750_1	0,930	0,822	0,742
AT2G39760_1	1,045	1,078	1,368
AT2G39760_2	0,885	0,963	1,222
AT2G39770_1	0,959	1,423	1,129
AT2G39780_1	0,911	1,103	1,757
AT2G39780_2	0,940	1,179	1,843
AT2G39782_1	1,112	1,095	1,299
AT2G39790_1	1,051	1,104	1,079
AT2G39795_1	0,784	1,211	0,834
AT2G39800_1	1,263	0,322	0,748
AT2G39805_1	1,025	1,072	1,229
AT2G39805_2	1,049	1,070	1,232
AT2G39810_1	0,992	0,875	0,652
AT2G39820_1	1,086	1,735	2,078
AT2G39830_1	0,990	1,023	2,152
AT2G39840_1	0,969	1,234	1,364
AT2G39850_1	1,126	0,546	0,128
AT2G39851_1	1,050	1,084	1,162
AT2G39855_1	1,019	1,015	1,034
AT2G39855_2	1,135	1,080	1,160
AT2G39865_1	1,299	1,550	1,805
AT2G39870_1	1,015	1,082	0,420
AT2G39880_1	0,858	0,537	0,406
AT2G39885_1	1,020	1,029	1,117
AT2G39890_1	0,944	0,711	1,167
AT2G39900_1	0,944	0,083	0,053
AT2G39910_1	1,035	0,569	1,033
AT2G39920_1	1,162	0,048	0,116
AT2G39930_1	1,092	0,337	0,154
AT2G39940_1	1,046	0,883	0,946
AT2G39950_1	0,992	0,964	1,126
AT2G39960_1	1,072	0,994	1,339
AT2G39970_1	0,983	1,674	2,827
AT2G39975_1	1,102	1,029	1,024
AT2G39980_1	0,829	0,683	0,771
AT2G39990_1	1,016	1,143	1,003
AT2G40000_1	0,931	2,165	2,397
AT2G40004_1	1,133	1,720	1,966
AT2G40008_1	1,072	0,988	1,026
AT2G40010_1	0,921	0,628	0,454
AT2G40020_1	0,774	0,591	0,927
AT2G40020_2	0,667	0,260	0,203
AT2G40020_3	0,813	0,625	0,920
AT2G40030_1	1,183	0,370	0,282

AGI	NaCl-Kontrolle zur H₂O-Kontrolle (log₂)	H₂O +B.c. zur H₂O-Kontrolle (log₂)	NaCl +B.c. zur H₂O-Kontrolle (log₂)
AT2G40050_1	0,881	0,802	1,169
AT2G40060_1	1,055	0,902	1,229
AT2G40070_1	0,997	0,551	0,326
AT2G40080_1	1,110	0,153	0,673
AT2G40081_1	1,008	1,023	1,009
AT2G40085_1	1,096	0,737	0,718
AT2G40090_1	0,826	1,734	1,659
AT2G40095_1	0,690	5,164	8,060
AT2G40100_1	0,776	0,054	0,063
AT2G40110_1	0,544	1,560	5,870
AT2G40110_2	0,575	0,796	4,142
AT2G40113_1	0,994	5,600	14,393
AT2G40116_1	1,041	1,059	1,110
AT2G40120_1	0,802	0,354	0,350
AT2G40130_1	0,941	0,059	0,019
AT2G40140_1	0,978	2,039	1,987
AT2G40150_1	0,790	0,326	0,066
AT2G40160_1	0,864	0,630	0,564
AT2G40170_1	1,067	1,267	2,496
AT2G40180_1	0,530	4,160	7,684
AT2G40190_1	0,974	0,655	0,887
AT2G40200_1	0,900	1,058	0,861
AT2G40205_1	1,110	0,794	0,623
AT2G40210_1	0,987	1,087	1,224
AT2G40220_1	1,095	1,346	1,217
AT2G40230_1	0,764	0,498	0,071
AT2G40233_1	1,015	1,045	1,029
AT2G40240_1	1,024	1,334	0,623
AT2G40250_1	1,145	1,642	1,919
AT2G40260_1	0,779	0,290	0,281
AT2G40270_1	0,872	1,231	1,265
AT2G40280_1	1,055	0,540	0,352
AT2G40290_1	0,959	0,982	0,862
AT2G40290_2	0,948	0,967	0,824
AT2G40290_3	0,987	1,020	0,870
AT2G40300_1	0,831	0,391	0,655
AT2G40310_1	1,212	1,220	1,177
AT2G40316_1	0,894	0,739	0,549
AT2G40316_2	0,931	0,779	0,568
AT2G40320_1	0,725	0,277	0,201
AT2G40330_1	0,321	1,418	0,451
AT2G40340_1	1,470	0,569	3,532
AT2G40350_1	1,483	0,854	2,353
AT2G40360_1	1,199	1,492	1,125
AT2G40370_1	1,077	1,035	17,999
AT2G40380_1	0,885	1,122	1,052
AT2G40390_1	1,103	0,400	1,333
AT2G40400_1	0,604	0,975	0,831
AT2G40400_2	0,594	0,853	1,246
AT2G40410_1	0,910	0,445	0,574

AGI	NaCl-Kontrolle zur H₂O-Kontrolle (log₂)	H₂O +B.c. zur H₂O-Kontrolle (log₂)	NaCl +B.c. zur H₂O-Kontrolle (log₂)
AT2G40410_2	0,889	0,449	0,572
AT2G40420_1	0,996	0,579	1,169
AT2G40430_1	1,057	1,412	1,381
AT2G40430_2	0,961	0,928	0,992
AT2G40435_1	0,809	3,922	8,293
AT2G40440_1	1,164	1,240	1,855
AT2G40450_1	1,049	1,186	1,449
AT2G40460_1	1,060	1,412	1,860
AT2G40470_1	0,986	3,279	10,058
AT2G40475_1	1,021	0,350	0,082
AT2G40480_1	1,069	0,214	0,053
AT2G40490_1	0,889	0,387	0,252
AT2G40500_1	1,079	1,043	1,180
AT2G40510_1	0,892	0,997	0,967
AT2G40520_1	1,236	0,527	0,221
AT2G40530_1	0,756	0,175	0,091
AT2G40540_1	1,079	0,454	0,221
AT2G40550_1	0,669	0,349	0,274
AT2G40560_1	1,008	1,190	1,263
AT2G40570_1	1,070	0,878	0,801
AT2G40580_1	1,040	1,062	1,155
AT2G40590_1	0,982	0,863	0,681
AT2G40600_1	0,863	0,648	0,873
AT2G40610_1	1,054	0,184	0,020
AT2G40620_1	0,748	0,696	0,484
AT2G40630_1	1,022	1,046	0,897
AT2G40640_1	1,035	0,301	0,239
AT2G40640_2	0,871	0,298	0,273
AT2G40650_1	0,976	1,009	1,071
AT2G40660_1	0,905	0,670	0,501
AT2G40670_1	0,670	0,063	2,023
AT2G40680_1	1,191	1,187	1,396
AT2G40690_1	0,887	0,360	0,152
AT2G40700_1	1,168	1,700	1,438
AT2G40710_1	1,098	0,963	1,388
AT2G40711_1	1,030	0,986	1,147
AT2G40720_1	1,226	0,546	0,402
AT2G40730_1	0,954	1,211	1,307
AT2G40740_1	0,488	4,492	11,151
AT2G40740_2	0,451	4,466	11,101
AT2G40745_1	1,043	1,146	1,127
AT2G40750_1	1,023	0,264	0,816
AT2G40760_1	0,913	0,610	0,297
AT2G40765_1	0,957	1,143	1,907
AT2G40770_1	1,118	0,619	0,638
AT2G40780_1	1,126	1,099	1,286
AT2G40780_2	0,951	1,117	1,290
AT2G40790_1	1,046	1,110	1,711
AT2G40800_1	0,954	0,875	1,156
AT2G40802_1	1,414	4,811	4,407

AGI	NaCl-Kontrolle zur H₂O-Kontrolle (log₂)	H₂O +B.c. zur H₂O-Kontrolle (log₂)	NaCl +B.c. zur H₂O-Kontrolle (log₂)
AT2G40805_1	0,988	1,006	1,040
AT2G40810_1	0,866	0,981	1,361
AT2G40815_1	1,092	0,299	0,186
AT2G40820_1	0,603	0,762	1,645
AT2G40830_1	1,026	1,326	1,588
AT2G40830_2	0,966	1,277	1,860
AT2G40830_3	1,010	1,272	1,438
AT2G40840_1	1,099	0,476	0,275
AT2G40850_1	0,948	0,521	0,628
AT2G40860_1	0,901	0,473	0,565
AT2G40880_1	0,943	0,707	0,814
AT2G40890_1	1,023	1,309	1,304
AT2G40900_1	0,922	0,665	0,515
AT2G40910_1	1,243	1,106	0,917
AT2G40920_1	1,015	0,673	0,410
AT2G40925_1	0,925	1,197	1,113
AT2G40930_1	1,026	0,868	0,776
AT2G40935_1	1,021	0,488	0,509
AT2G40935_2	1,023	0,359	0,350
AT2G40935_3	0,993	0,460	0,500
AT2G40940_1	0,839	0,598	0,825
AT2G40950_1	1,170	1,567	1,385
AT2G40955_1	0,973	0,946	0,958
AT2G40960_1	0,936	0,391	0,301
AT2G40970_1	1,119	0,633	0,678
AT2G40980_1	0,999	1,191	1,136
AT2G40990_1	1,184	1,470	1,914
AT2G40995_1	1,001	1,010	1,113
AT2G41000_1	0,833	1,450	2,565
AT2G41000_2	0,846	0,984	1,048
AT2G41010_1	0,746	2,734	2,108
AT2G41020_1	1,111	0,822	0,731
AT2G41020_2	0,918	0,632	0,668
AT2G41040_1	1,128	1,451	1,234
AT2G41050_1	1,014	2,585	1,362
AT2G41060_1	0,925	0,946	1,018
AT2G41060_2	0,945	0,999	1,058
AT2G41070_1	1,263	1,920	2,386
AT2G41070_2	1,102	1,547	1,805
AT2G41070_3	1,056	1,549	1,786
AT2G41080_1	1,133	0,395	0,300
AT2G41082_1	0,916	0,436	0,542
AT2G41090_1	0,934	0,655	0,658
AT2G41100_1	0,550	1,748	1,585
AT2G41100_2	0,593	1,584	1,490
AT2G41100_3	0,886	1,312	1,162
AT2G41110_1	0,916	1,604	1,394
AT2G41120_1	0,943	1,175	1,385
AT2G41130_1	0,952	0,461	0,424
AT2G41140_1	1,061	1,905	1,694

AGI	NaCl-Kontrolle zur H₂O-Kontrolle (log₂)	H₂O +B.c. zur H₂O-Kontrolle (log₂)	NaCl +B.c. zur H₂O-Kontrolle (log₂)
AT2G41150_1	1,139	1,627	2,435
AT2G41150_2	0,914	1,365	1,881
AT2G41160_1	0,844	2,300	2,933
AT2G41170_1	0,679	0,319	0,188
AT2G41178_1	0,945	1,060	1,292
AT2G41180_1	0,998	1,510	1,085
AT2G41190_1	1,701	0,557	4,274
AT2G41200_1	0,726	0,493	0,576
AT2G41210_1	1,113	1,075	1,385
AT2G41220_1	1,084	0,975	1,607
AT2G41225_1	1,318	1,471	1,586
AT2G41230_1	1,119	3,386	8,680
AT2G41233_1	0,994	1,004	1,077
AT2G41240_1	0,224	1,608	0,114
AT2G41240_2	0,216	1,624	0,094
AT2G41250_1	0,665	1,841	2,145
AT2G41260_1	1,197	1,615	2,538
AT2G41270_1	0,994	1,029	0,909
AT2G41280_1	1,104	1,596	1,351
AT2G41290_1	1,235	0,800	0,255
AT2G41300_1	0,680	0,495	0,672
AT2G41310_1	1,075	0,395	0,188
AT2G41312_1	1,014	1,135	1,165
AT2G41312_2	0,572	1,589	0,406
AT2G41330_1	0,964	0,919	0,328
AT2G41340_1	0,781	0,347	0,244
AT2G41342_1	0,825	3,222	5,725
AT2G41350_1	0,904	0,876	0,712
AT2G41350_2	1,023	0,900	0,801
AT2G41360_1	1,092	1,098	1,213
AT2G41370_1	1,055	0,799	0,727
AT2G41380_1	0,915	18,473	43,870
AT2G41390_1	1,246	1,491	1,625
AT2G41391_1	1,206	2,576	2,827
AT2G41400_1	1,344	1,415	1,634
AT2G41410_1	1,086	2,243	2,371
AT2G41415_1	1,047	1,085	1,159
AT2G41420_1	0,836	1,158	1,534
AT2G41430_1	0,950	0,943	0,807
AT2G41430_2	1,036	1,078	0,923
AT2G41430_3	1,179	0,608	0,553
AT2G41430_4	1,077	0,468	0,566
AT2G41440_1	0,969	1,354	1,422
AT2G41440_2	1,082	2,379	2,431
AT2G41445_1	1,076	1,252	1,468
AT2G41450_1	0,684	0,514	0,510
AT2G41451_1	1,248	1,026	1,005
AT2G41460_1	1,194	1,033	0,680
AT2G41460_2	1,097	1,005	0,670
AT2G41470_1	1,024	3,395	1,154

AGI	NaCl-Kontrolle zur H ₂ O-Kontrolle (log ₂)	H ₂ O +B.c. zur H ₂ O-Kontrolle (log ₂)	NaCl +B.c. zur H ₂ O-Kontrolle (log ₂)
AT2G41473_1	1,051	1,317	1,748
AT2G41475_1	1,004	0,931	1,154
AT2G41480_1	0,651	2,133	7,411
AT2G41490_1	0,861	1,048	1,333
AT2G41500_1	1,001	1,222	0,930
AT2G41510_1	0,405	0,338	0,291
AT2G41520_1	1,009	0,770	0,796
AT2G41520_2	1,038	0,766	0,782
AT2G41530_1	0,980	0,604	0,667
AT2G41540_1	0,928	0,341	1,001
AT2G41550_1	0,843	0,505	0,676
AT2G41560_1	1,012	0,486	0,237
AT2G41570_1	1,045	0,954	1,121
AT2G41580_1	0,987	0,980	1,074
AT2G41590_1	1,079	0,990	1,169
AT2G41600_1	0,770	0,242	0,316
AT2G41600_2	0,953	0,817	0,873
AT2G41600_3	0,950	0,839	0,884
AT2G41600_4	0,932	0,850	0,924
AT2G41600_5	0,943	0,876	0,894
AT2G41610_1	0,985	0,925	0,962
AT2G41616_1	1,019	0,900	1,216
AT2G41620_1	1,275	0,962	0,771
AT2G41630_1	0,921	1,245	1,071
AT2G41640_1	0,651	8,438	12,296
AT2G41650_1	0,938	0,969	0,849
AT2G41660_1	0,971	0,965	1,135
AT2G41670_1	1,065	1,165	0,910
AT2G41680_1	0,989	0,547	0,438
AT2G41690_1	1,126	2,463	3,143
AT2G41700_1	1,135	1,087	1,494
AT2G41700_2	1,121	1,631	1,500
AT2G41705_1	1,168	1,177	2,076
AT2G41710_1	1,078	0,696	0,310
AT2G41710_2	1,056	0,674	0,298
AT2G41720_1	1,032	0,662	0,407
AT2G41720_2	0,945	0,840	0,502
AT2G41730_1	0,891	13,614	19,070
AT2G41740_1	0,952	1,036	1,390
AT2G41745_1	1,062	1,093	1,285
AT2G41750_1	0,981	0,896	1,666
AT2G41760_1	0,898	0,496	0,801
AT2G41770_1	0,848	0,678	0,409
AT2G41780_1	1,077	1,568	3,633
AT2G41780_2	0,950	1,583	3,973
AT2G41790_1	1,077	1,029	1,293
AT2G41800_1	0,961	0,963	2,075
AT2G41810_1	1,029	0,889	0,942
AT2G41820_1	1,116	0,092	0,020
AT2G41830_1	0,924	0,740	0,962

AGI	NaCl-Kontrolle zur H₂O-Kontrolle (log₂)	H₂O +B.c. zur H₂O-Kontrolle (log₂)	NaCl +B.c. zur H₂O-Kontrolle (log₂)
AT2G41835_1	0,798	3,665	4,712
AT2G41840_1	0,963	0,961	0,703
AT2G41850_1	1,126	4,530	47,444
AT2G41860_1	0,967	0,991	1,038
AT2G41860_2	1,297	1,628	1,892
AT2G41870_1	1,356	0,667	0,685
AT2G41880_1	0,886	3,945	2,592
AT2G41890_1	0,904	1,199	0,813
AT2G41900_1	1,088	1,266	1,233
AT2G41905_1	1,412	1,441	1,402
AT2G41910_1	0,912	1,182	1,368
AT2G41920_1	1,074	1,114	1,210
AT2G41930_1	1,042	1,069	1,211
AT2G41940_1	0,819	0,587	0,062
AT2G41945_1	0,901	0,997	1,314
AT2G41945_2	1,041	1,150	1,553
AT2G41945_3	0,934	0,821	0,851
AT2G41950_1	0,923	0,395	0,201
AT2G41960_1	1,060	1,079	1,236
AT2G41970_1	1,092	1,116	1,282
AT2G41980_1	1,026	1,033	0,816
AT2G41990_1	0,431	0,432	0,346
AT2G41997_1	1,030	0,989	1,056
AT2G42000_1	1,098	1,132	1,212
AT2G42005_1	1,225	1,365	1,529
AT2G42010_1	0,935	2,028	2,460
AT2G42030_1	1,022	1,012	0,993
AT2G42040_1	0,927	0,841	0,805
AT2G42060_1	1,130	1,479	2,154
AT2G42070_1	0,939	0,452	0,260
AT2G42080_1	0,900	0,900	1,544
AT2G42090_1	1,282	1,143	1,098
AT2G42100_1	1,052	0,674	0,698
AT2G42110_1	0,819	0,609	0,628
AT2G42120_1	0,993	0,657	0,395
AT2G42120_2	1,023	0,660	0,387
AT2G42130_1	0,929	0,496	0,501
AT2G42130_2	0,879	0,455	0,491
AT2G42130_3	0,927	0,497	0,535
AT2G42130_4	0,862	0,451	0,500
AT2G42130_5	0,954	0,806	0,819
AT2G42140_1	1,115	1,654	2,410
AT2G42150_1	1,050	2,223	1,588
AT2G42160_1	0,960	0,982	1,405
AT2G42170_1	0,859	0,137	0,064
AT2G42180_1	1,021	1,061	1,164
AT2G42190_1	1,077	0,203	0,068
AT2G42200_1	1,041	0,127	0,069
AT2G42210_1	0,877	0,687	0,782
AT2G42210_2	1,052	0,924	1,019

AGI	NaCl-Kontrolle zur H₂O-Kontrolle (log₂)	H₂O +B.c. zur H₂O-Kontrolle (log₂)	NaCl +B.c. zur H₂O-Kontrolle (log₂)
AT2G42210_3	0,868	0,658	0,753
AT2G42210_4	0,870	0,680	0,780
AT2G42220_1	0,887	0,438	0,080
AT2G42230_1	0,837	0,563	0,720
AT2G42230_2	0,971	0,967	0,987
AT2G42240_1	0,999	0,680	0,805
AT2G42240_2	0,871	0,416	0,497
AT2G42240_3	0,975	0,721	0,748
AT2G42247_1	0,950	0,930	0,976
AT2G42250_1	0,995	0,429	0,650
AT2G42260_1	0,599	0,331	0,288
AT2G42270_1	1,002	1,815	1,776
AT2G42280_1	0,918	1,259	2,324
AT2G42280_2	0,896	0,736	1,077
AT2G42290_1	1,178	0,434	0,194
AT2G42300_1	1,033	0,626	0,328
AT2G42300_2	1,051	0,624	0,312
AT2G42310_1	0,892	0,831	1,288
AT2G42320_1	1,070	0,253	0,061
AT2G42330_1	0,751	0,853	1,004
AT2G42330_2	0,670	0,449	0,814
AT2G42340_1	0,980	1,150	1,303
AT2G42350_1	0,800	14,056	20,166
AT2G42360_1	0,910	28,682	27,627
AT2G42365_1	0,861	2,314	2,650
AT2G42365_2	0,843	0,410	0,395
AT2G42370_1	1,058	0,503	0,576
AT2G42380_1	0,641	0,253	0,082
AT2G42380_2	0,703	0,207	0,022
AT2G42388_1	1,294	1,163	0,935
AT2G42390_1	0,874	0,566	0,637
AT2G42395_1	1,240	1,303	1,164
AT2G42400_1	1,030	1,130	1,235
AT2G42410_1	1,108	1,224	1,462
AT2G42425_1	1,030	1,088	1,220
AT2G42430_1	1,102	1,000	1,393
AT2G42440_1	1,027	1,148	1,250
AT2G42450_1	1,034	0,990	0,730
AT2G42460_1	1,104	1,113	1,169
AT2G42470_1	1,050	1,073	1,041
AT2G42480_1	1,077	1,040	1,304
AT2G42485_1	0,920	0,294	0,180
AT2G42490_1	1,045	1,105	1,385
AT2G42500_1	1,048	1,094	0,936
AT2G42500_2	0,968	1,055	0,908
AT2G42510_1	1,074	0,777	0,890
AT2G42510_2	1,012	0,919	0,812
AT2G42510_3	0,897	0,643	0,598
AT2G42520_1	1,037	1,045	1,265
AT2G42530_1	1,098	0,027	0,028

AGI	NaCl-Kontrolle zur H₂O-Kontrolle (log₂)	H₂O +B.c. zur H₂O-Kontrolle (log₂)	NaCl +B.c. zur H₂O-Kontrolle (log₂)
AT2G42540_1	1,229	0,120	0,129
AT2G42540_2	1,226	0,088	0,072
AT2G42550_1	1,464	1,508	1,690
AT2G42560_1	1,328	1,326	1,649
AT2G42570_1	0,836	0,095	0,054
AT2G42580_1	0,760	0,438	0,209
AT2G42590_1	0,927	0,588	0,640
AT2G42590_3	1,069	0,476	0,406
AT2G42600_1	1,013	0,705	0,500
AT2G42600_2	1,015	0,713	0,508
AT2G42610_1	0,997	0,359	0,362
AT2G42610_2	0,968	0,391	0,390
AT2G42620_1	1,038	0,719	0,719
AT2G42640_1	1,223	0,478	0,365
AT2G42650_1	1,036	1,888	1,657
AT2G42660_1	1,011	1,046	1,162
AT2G42670_1	0,937	0,675	1,116
AT2G42680_1	0,975	1,212	1,549
AT2G42690_1	0,977	0,624	0,327
AT2G42700_1	1,021	0,866	1,366
AT2G42710_1	1,126	0,911	0,608
AT2G42720_1	0,853	0,811	0,878
AT2G42730_1	1,042	0,691	0,552
AT2G42740_1	0,896	0,620	0,158
AT2G42750_1	0,951	0,962	1,103
AT2G42760_1	0,962	4,227	3,175
AT2G42770_1	0,811	0,699	0,411
AT2G42780_1	0,939	1,593	2,045
AT2G42790_1	0,929	1,203	2,084
AT2G42800_1	0,788	1,104	0,607
AT2G42810_1	0,924	1,405	1,061
AT2G42810_2	1,054	1,454	1,225
AT2G42820_1	0,906	0,814	0,948
AT2G42830_1	1,048	1,068	1,133
AT2G42835_1	1,003	0,949	1,003
AT2G42840_1	0,544	0,291	0,333
AT2G42850_1	1,010	0,725	0,653
AT2G42860_1	1,024	1,035	1,156
AT2G42870_1	1,032	0,311	0,211
AT2G42880_1	1,160	0,481	0,315
AT2G42885_1	1,073	1,064	1,214
AT2G42890_1	1,009	1,122	3,338
AT2G42890_2	1,101	1,114	3,406
AT2G42900_1	0,541	0,312	0,391
AT2G42910_1	1,060	1,053	0,723
AT2G42920_1	1,011	0,216	0,201
AT2G42930_1	1,099	0,278	0,259
AT2G42940_1	0,871	0,440	0,566
AT2G42950_1	0,872	1,526	1,595
AT2G42955_1	1,064	0,834	0,817

AGI	NaCl-Kontrolle zur H₂O-Kontrolle (log₂)	H₂O +B.c. zur H₂O-Kontrolle (log₂)	NaCl +B.c. zur H₂O-Kontrolle (log₂)
AT2G42960_1	1,154	0,353	0,148
AT2G42970_1	1,231	1,115	1,549
AT2G42975_1	0,849	1,467	1,030
AT2G42980_1	1,056	13,801	10,607
AT2G42990_1	1,098	1,765	2,469
AT2G43000_1	0,903	22,299	25,097
AT2G43010_1	1,096	0,499	0,436
AT2G43010_2	1,032	0,488	0,423
AT2G43018_1	1,142	0,952	1,009
AT2G43020_1	1,175	0,967	1,044
AT2G43030_1	0,929	0,617	0,240
AT2G43040_1	0,827	0,529	0,554
AT2G43050_1	1,302	1,375	1,298
AT2G43060_1	0,971	1,133	2,166
AT2G43070_1	1,013	0,826	1,013
AT2G43080_1	0,988	1,452	2,580
AT2G43090_1	1,012	0,867	0,861
AT2G43100_1	1,089	0,439	0,043
AT2G43110_1	0,949	1,541	0,919
AT2G43120_1	0,764	0,974	1,859
AT2G43130_1	1,212	1,068	0,805
AT2G43137_1	1,020	0,983	0,924
AT2G43138_1	0,933	0,836	0,740
AT2G43139_1	0,901	0,783	0,723
AT2G43140_1	0,801	2,129	2,667
AT2G43141_1	0,918	0,896	0,835
AT2G43150_1	1,486	2,505	1,155
AT2G43160_1	1,010	1,316	1,311
AT2G43160_4	1,004	1,306	1,272
AT2G43180_1	1,079	0,705	1,125
AT2G43180_2	1,051	0,786	1,019
AT2G43180_4	1,084	0,766	0,983
AT2G43190_1	0,992	0,691	1,044
AT2G43190_2	1,011	0,743	0,970
AT2G43190_3	0,896	0,673	0,921
AT2G43200_1	0,903	0,482	0,109
AT2G43210_1	1,016	0,793	0,973
AT2G43220_1	1,097	1,180	1,257
AT2G43230_1	1,408	1,269	1,453
AT2G43235_1	1,016	1,095	1,415
AT2G43240_1	0,993	0,747	0,756
AT2G43240_2	0,962	0,744	0,744
AT2G43250_1	0,987	0,982	1,280
AT2G43255_1	1,123	1,249	1,512
AT2G43255_2	1,390	1,384	1,672
AT2G43260_1	1,038	0,911	0,882
AT2G43261_1	1,048	1,019	1,111
AT2G43261_2	1,148	1,113	1,180
AT2G43261_3	1,042	1,114	1,165
AT2G43261_4	1,026	1,023	1,151

AGI	NaCl-Kontrolle zur H ₂ O-Kontrolle (log ₂)	H ₂ O +B.c. zur H ₂ O-Kontrolle (log ₂)	NaCl +B.c. zur H ₂ O-Kontrolle (log ₂)
AT2G43270_1	1,062	0,937	1,122
AT2G43280_1	0,901	0,820	0,835
AT2G43290_1	0,683	1,646	3,704
AT2G43300_1	1,082	0,934	1,000
AT2G43310_1	0,884	0,807	1,045
AT2G43320_1	0,872	5,127	5,497
AT2G43320_2	0,879	3,209	2,835
AT2G43330_1	1,037	0,567	0,749
AT2G43340_1	0,771	0,887	0,781
AT2G43350_1	0,894	0,860	1,359
AT2G43360_1	0,925	0,464	0,097
AT2G43370_1	0,967	0,830	1,191
AT2G43371_1	1,060	1,034	1,144
AT2G43375_1	1,078	1,420	1,246
AT2G43386_1	1,235	1,425	2,040
AT2G43390_1	1,196	1,192	1,481
AT2G43400_1	1,059	1,489	1,995
AT2G43410_1	0,933	1,037	1,192
AT2G43410_3	0,916	1,050	1,242
AT2G43410_4	0,695	0,756	1,080
AT2G43420_1	1,092	1,106	1,545
AT2G43430_1	0,978	0,911	1,228
AT2G43430_2	1,161	0,723	0,836
AT2G43440_1	1,266	0,513	0,218
AT2G43445_1	1,156	0,557	0,243
AT2G43450_1	0,953	0,973	1,030
AT2G43460_1	0,870	0,755	0,642
AT2G43465_1	0,985	0,292	0,209
AT2G43470_1	1,011	1,104	1,174
AT2G43480_1	1,334	1,832	2,128
AT2G43490_1	1,004	1,415	1,903
AT2G43490_3	0,989	1,469	1,933
AT2G43490_5	0,951	1,288	1,572
AT2G43500_1	1,316	1,096	2,455
AT2G43510_1	0,800	8,930	23,494
AT2G43520_1	0,686	2,278	2,017
AT2G43530_1	1,049	1,128	0,774
AT2G43535_1	0,629	0,334	0,171
AT2G43540_1	0,958	1,001	0,942
AT2G43550_1	0,840	0,319	0,085
AT2G43560_1	0,843	0,334	0,234
AT2G43570_1	1,275	18,547	46,423
AT2G43580_1	3,801	14,242	11,019
AT2G43590_1	1,124	6,958	1,178
AT2G43600_1	1,036	1,013	1,202
AT2G43610_1	1,118	1,225	1,476
AT2G43620_1	0,237	5,547	10,367
AT2G43630_1	0,960	1,025	1,063
AT2G43640_1	0,878	1,105	1,331
AT2G43640_2	0,834	1,069	1,518

AGI	NaCl-Kontrolle zur H₂O-Kontrolle (log₂)	H₂O +B.c. zur H₂O-Kontrolle (log₂)	NaCl +B.c. zur H₂O-Kontrolle (log₂)
AT2G43650_1	1,083	1,136	0,662
AT2G43660_1	1,124	1,176	1,280
AT2G43660_2	1,047	1,103	1,156
AT2G43670_1	1,164	1,187	1,187
AT2G43680_1	1,090	1,091	1,105
AT2G43690_1	1,052	0,904	0,675
AT2G43700_1	0,996	0,876	1,128
AT2G43710_1	1,035	1,156	0,881
AT2G43720_1	1,015	1,061	1,938
AT2G43730_1	0,840	0,981	1,735
AT2G43740_1	0,859	0,846	1,111
AT2G43740_2	0,904	0,946	1,318
AT2G43745_1	0,882	0,952	1,225
AT2G43750_1	0,923	0,589	0,514
AT2G43760_1	0,636	0,257	0,365
AT2G43760_2	0,883	0,477	0,839
AT2G43760_3	0,901	0,502	0,815
AT2G43770_1	0,950	0,986	0,726
AT2G43780_1	0,808	0,722	0,379
AT2G43780_2	1,174	1,495	2,018
AT2G43790_1	0,966	1,219	1,227
AT2G43795_1	1,033	0,940	1,045
AT2G43795_2	1,025	0,848	0,908
AT2G43800_1	0,738	0,066	0,076
AT2G43810_1	0,817	1,346	1,490
AT2G43810_2	0,967	1,045	1,029
AT2G43820_1	1,111	1,857	4,757
AT2G43830_1	0,952	0,674	0,747
AT2G43840_1	1,090	1,973	1,431
AT2G43850_1	0,948	0,568	0,668
AT2G43860_1	1,195	1,136	1,026
AT2G43865_1	0,916	0,845	1,049
AT2G43870_1	1,281	3,288	13,503
AT2G43871_1	1,185	1,111	1,211
AT2G43880_1	0,968	0,976	0,920
AT2G43890_1	1,092	1,132	1,521
AT2G43900_1	1,166	0,448	0,428
AT2G43910_1	0,854	0,918	0,554
AT2G43910_2	0,855	0,926	0,541
AT2G43910_3	0,904	0,937	0,579
AT2G43920_1	0,800	0,756	0,290
AT2G43920_3	0,676	0,601	0,128
AT2G43930_1	1,077	0,887	0,834
AT2G43932_1	1,055	1,064	1,132
AT2G43940_1	1,018	0,923	1,359
AT2G43945_1	1,018	0,539	0,576
AT2G43950_1	0,960	1,051	1,076
AT2G43950_2	0,896	0,572	0,592
AT2G43950_3	0,971	1,080	1,117
AT2G43960_1	1,041	1,086	1,303

AGI	NaCl-Kontrolle zur H₂O-Kontrolle (log₂)	H₂O +B.c. zur H₂O-Kontrolle (log₂)	NaCl +B.c. zur H₂O-Kontrolle (log₂)
AT2G43970_1	1,072	0,964	0,990
AT2G43970_2	1,062	0,931	0,983
AT2G43980_1	1,133	1,224	2,503
AT2G43990_1	1,126	0,353	0,270
AT2G44000_1	0,924	0,691	0,760
AT2G44010_1	1,093	1,519	6,196
AT2G44020_1	0,957	1,537	1,648
AT2G44030_1	1,058	1,214	1,146
AT2G44040_1	0,939	0,284	0,055
AT2G44050_1	0,899	0,656	0,345
AT2G44060_1	1,039	0,517	0,484
AT2G44060_2	1,031	0,524	0,481
AT2G44065_1	0,969	0,966	1,005
AT2G44065_2	0,918	0,899	1,011
AT2G44070_1	1,274	9,048	10,728
AT2G44080_1	0,737	3,453	4,108
AT2G44090_1	1,038	0,773	0,774
AT2G44100_1	1,013	1,165	1,262
AT2G44110_1	0,942	1,124	1,267
AT2G44110_2	0,876	0,964	1,065
AT2G44120_1	0,983	1,149	1,301
AT2G44120_2	1,076	1,049	1,350
AT2G44130_1	0,855	0,330	1,225
AT2G44140_1	0,846	0,327	1,225
AT2G44150_1	0,973	0,474	0,267
AT2G44160_1	1,123	0,720	0,501
AT2G44170_1	1,005	1,009	0,993
AT2G44175_1	1,251	1,236	1,131
AT2G44180_1	0,826	0,725	0,767
AT2G44190_1	0,807	0,750	0,666
AT2G44195_1	0,900	1,084	1,120
AT2G44198_1	1,092	1,010	1,161
AT2G44200_1	0,947	2,990	2,770
AT2G44210_1	0,822	0,846	0,673
AT2G44210_2	0,816	0,867	0,739
AT2G44220_1	0,939	1,019	1,106
AT2G44230_1	1,062	0,843	0,443
AT2G44240_1	1,007	1,223	1,207
AT2G44250_1	0,890	0,907	1,022
AT2G44255_1	0,980	0,713	0,975
AT2G44260_1	0,912	0,442	1,628
AT2G44270_1	1,134	1,062	0,955
AT2G44280_1	0,974	1,638	4,833
AT2G44280_3	0,981	1,173	2,089
AT2G44290_1	0,858	1,017	2,793
AT2G44300_1	0,970	1,057	2,110
AT2G44304_1	1,021	1,280	1,905
AT2G44310_1	1,052	0,882	0,664
AT2G44330_1	1,054	1,161	1,240
AT2G44340_1	1,089	1,031	1,089

AGI	NaCl-Kontrolle zur H₂O-Kontrolle (log₂)	H₂O +B.c. zur H₂O-Kontrolle (log₂)	NaCl +B.c. zur H₂O-Kontrolle (log₂)
AT2G44350_1	0,968	1,203	1,570
AT2G44360_1	0,935	0,630	1,035
AT2G44370_1	0,657	2,078	4,071
AT2G44380_1	0,618	0,832	1,437
AT2G44383_1	0,743	0,334	0,579
AT2G44390_1	0,737	0,859	1,230
AT2G44400_1	1,011	0,439	0,566
AT2G44410_1	0,987	0,911	1,170
AT2G44420_1	0,766	0,698	1,323
AT2G44430_1	0,988	1,150	1,659
AT2G44440_1	0,956	0,605	0,458
AT2G44450_1	0,948	2,530	4,251
AT2G44460_1	0,987	1,086	1,236
AT2G44470_1	1,220	1,481	1,516
AT2G44470_2	1,196	1,691	2,365
AT2G44470_3	0,983	0,988	1,131
AT2G44480_1	0,962	7,155	4,977
AT2G44490_1	0,903	1,082	0,947
AT2G44500_1	0,545	7,292	9,317
AT2G44510_1	1,146	1,527	1,428
AT2G44520_1	0,903	1,492	1,890
AT2G44525_1	0,809	0,928	1,221
AT2G44530_1	1,036	0,963	0,997
AT2G44540_1	1,133	1,293	1,272
AT2G44550_1	1,270	1,367	1,489
AT2G44560_1	1,401	1,604	1,960
AT2G44570_1	1,187	0,833	0,970
AT2G44578_1	0,995	17,253	13,338
AT2G44580_1	0,487	0,460	0,265
AT2G44581_1	1,225	9,550	7,763
AT2G44590_1	1,074	1,320	1,358
AT2G44590_2	1,056	1,310	1,177
AT2G44600_1	0,782	5,545	4,844
AT2G44610_1	1,051	1,016	1,005
AT2G44620_1	0,911	0,806	1,202
AT2G44630_1	0,879	0,824	0,342
AT2G44640_1	0,926	0,454	0,064
AT2G44650_1	0,833	0,490	0,351
AT2G44660_1	0,885	1,275	1,248
AT2G44670_1	0,552	2,658	1,552
AT2G44680_1	0,966	0,920	1,046
AT2G44680_2	0,986	0,915	1,028
AT2G44690_1	0,835	0,406	0,297
AT2G44700_1	0,888	0,796	0,804
AT2G44710_1	1,143	1,112	1,136
AT2G44730_1	0,965	0,812	0,675
AT2G44735_1	0,936	0,899	1,060
AT2G44740_1	0,404	0,151	0,096
AT2G44745_1	0,945	0,837	0,882
AT2G44750_1	0,915	1,877	2,250

AGI	NaCl-Kontrolle zur H₂O-Kontrolle (log₂)	H₂O +B.c. zur H₂O-Kontrolle (log₂)	NaCl +B.c. zur H₂O-Kontrolle (log₂)
AT2G44760_1	1,015	0,648	0,891
AT2G44770_1	0,876	0,993	0,863
AT2G44780_1	1,106	1,772	1,852
AT2G44790_1	0,322	39,999	62,721
AT2G44798_1	0,952	0,810	0,855
AT2G44798_2	0,953	0,773	0,936
AT2G44800_1	0,792	0,395	0,489
AT2G44810_1	1,063	1,001	0,983
AT2G44820_1	0,999	1,254	1,124
AT2G44820_2	0,867	1,173	1,040
AT2G44830_1	1,178	0,366	0,430
AT2G44840_1	0,631	12,417	8,427
AT2G44850_1	1,088	0,937	0,968
AT2G44850_2	1,059	0,745	0,944
AT2G44860_1	1,068	1,189	0,870
AT2G44870_1	1,005	0,612	0,590
AT2G44880_1	1,116	0,594	0,485
AT2G44890_1	1,208	1,788	2,389
AT2G44900_1	1,010	1,186	0,868
AT2G44910_1	1,129	0,932	0,756
AT2G44920_1	0,798	0,098	0,047
AT2G44920_2	0,879	0,535	0,360
AT2G44925_1	1,030	1,078	1,064
AT2G44930_1	0,627	0,442	0,501
AT2G44940_1	0,851	1,299	0,540
AT2G44950_1	1,067	0,924	1,016
AT2G44970_1	1,089	1,775	1,827
AT2G44980_1	1,010	0,825	1,027
AT2G44980_2	0,896	0,713	1,029
AT2G44990_1	1,095	2,925	36,530
AT2G44995_1	0,942	0,660	0,888
AT2G45000_1	1,111	1,315	0,889
AT2G45010_1	0,783	0,849	1,334
AT2G45010_2	0,837	0,325	0,868
AT2G45023_1	0,951	1,051	1,122
AT2G45030_1	1,139	1,148	0,808
AT2G45040_1	0,824	0,914	10,942
AT2G45050_1	0,882	0,406	0,186
AT2G45060_1	0,943	1,076	1,387
AT2G45070_1	0,831	1,000	1,200
AT2G45070_2	0,833	0,779	1,326
AT2G45070_3	0,834	1,017	1,199
AT2G45070_4	0,995	0,978	0,980
AT2G45080_1	0,602	0,194	0,151
AT2G45090_1	1,051	1,079	1,259
AT2G45100_1	0,947	0,474	0,295
AT2G45110_1	1,111	1,247	1,515
AT2G45120_1	0,841	1,206	1,567
AT2G45126_1	1,508	1,827	1,958
AT2G45130_1	1,009	1,795	16,603

AGI	NaCl-Kontrolle zur H₂O-Kontrolle (log₂)	H₂O +B.c. zur H₂O-Kontrolle (log₂)	NaCl +B.c. zur H₂O-Kontrolle (log₂)
AT2G45135_1	0,906	1,716	2,262
AT2G45135_2	1,188	1,403	1,897
AT2G45140_1	0,911	1,522	1,687
AT2G45150_1	1,092	0,656	0,482
AT2G45150_2	1,083	0,765	0,626
AT2G45160_1	0,879	0,649	0,757
AT2G45161_1	1,248	1,561	2,080
AT2G45170_1	0,562	0,617	2,065
AT2G45170_2	1,024	0,992	2,573
AT2G45180_1	0,851	0,871	0,234
AT2G45190_1	0,864	0,445	0,106
AT2G45200_1	0,961	0,419	0,396
AT2G45210_1	1,076	11,828	74,302
AT2G45220_1	1,016	121,435	156,770
AT2G45230_1	1,237	1,292	1,327
AT2G45240_1	1,036	1,008	0,883
AT2G45245_1	1,084	0,839	0,920
AT2G45245_2	1,201	1,053	0,944
AT2G45245_3	1,196	0,770	0,733
AT2G45245_4	1,253	0,938	1,112
AT2G45250_1	1,019	0,703	0,567
AT2G45250_2	1,044	0,775	0,670
AT2G45260_1	0,950	0,886	0,840
AT2G45270_1	0,948	0,467	0,405
AT2G45280_1	0,958	1,763	1,476
AT2G45290_1	1,139	5,238	4,233
AT2G45300_1	0,982	2,551	2,018
AT2G45310_1	0,948	0,831	0,639
AT2G45315_1	1,065	0,872	0,653
AT2G45315_2	0,962	0,822	0,682
AT2G45320_1	0,855	0,797	1,136
AT2G45330_1	0,908	1,136	2,029
AT2G45330_2	0,913	1,197	2,080
AT2G45340_1	0,999	0,698	0,089
AT2G45350_1	1,123	0,291	0,115
AT2G45360_1	1,005	2,293	3,935
AT2G45380_1	1,187	1,538	1,566
AT2G45380_2	0,878	0,513	0,865
AT2G45400_1	0,624	0,671	0,178
AT2G45403_1	1,440	1,024	1,247
AT2G45406_1	1,183	1,134	1,312
AT2G45410_1	1,171	1,359	1,402
AT2G45412_1	1,111	1,031	1,181
AT2G45420_1	0,942	0,970	1,095
AT2G45430_1	1,080	1,096	1,288
AT2G45434_1	1,078	1,524	1,944
AT2G45440_1	1,137	1,303	1,199
AT2G45450_1	0,693	0,682	1,327
AT2G45460_1	1,229	0,999	0,580
AT2G45470_1	0,916	0,485	0,022

AGI	NaCl-Kontrolle zur H₂O-Kontrolle (log₂)	H₂O +B.c. zur H₂O-Kontrolle (log₂)	NaCl +B.c. zur H₂O-Kontrolle (log₂)
AT2G45480_1	0,929	0,916	1,059
AT2G45490_1	1,008	0,642	0,782
AT2G45500_1	0,928	1,135	2,304
AT2G45500_2	0,911	1,114	2,381
AT2G45510_1	1,074	1,384	2,366
AT2G45520_1	1,023	0,931	0,880
AT2G45530_1	0,902	0,938	0,974
AT2G45540_1	1,058	0,747	0,581
AT2G45550_1	1,232	1,492	1,843
AT2G45560_1	1,088	0,371	0,156
AT2G45560_2	1,132	0,234	0,225
AT2G45570_1	1,353	17,333	41,806
AT2G45580_1	0,995	1,756	14,280
AT2G45590_1	0,977	0,397	0,356
AT2G45600_1	1,171	0,184	0,299
AT2G45610_1	0,953	0,936	1,222
AT2G45620_1	0,990	0,922	0,921
AT2G45630_1	0,902	0,819	1,261
AT2G45640_1	0,967	1,201	1,324
AT2G45650_1	1,132	1,144	1,303
AT2G45660_1	0,980	0,389	0,543
AT2G45670_1	1,007	0,936	0,806
AT2G45670_2	1,018	0,940	0,831
AT2G45680_1	0,605	7,676	8,065
AT2G45685_1	0,977	12,427	8,647
AT2G45690_1	1,097	1,057	1,195
AT2G45695_1	0,867	1,223	1,495
AT2G45700_1	1,124	0,647	0,729
AT2G45710_1	0,990	1,190	1,034
AT2G45720_1	1,182	0,587	0,906
AT2G45730_1	0,985	0,710	0,383
AT2G45740_1	1,048	0,751	1,052
AT2G45740_2	1,025	0,757	1,064
AT2G45750_1	0,534	0,447	0,832
AT2G45760_1	1,106	14,070	32,659
AT2G45770_1	1,021	0,366	0,326
AT2G45780_1	1,042	1,350	1,591
AT2G45790_1	0,942	0,709	0,591
AT2G45800_1	1,047	0,502	0,346
AT2G45800_2	0,948	0,647	0,670
AT2G45810_1	1,004	0,611	0,579
AT2G45820_1	0,922	0,637	0,387
AT2G45830_1	0,666	1,148	0,476
AT2G45840_1	1,207	0,867	1,029
AT2G45850_1	0,931	0,250	0,097
AT2G45860_1	0,891	0,465	0,458
AT2G45870_1	1,187	0,753	0,461
AT2G45880_1	1,089	1,268	1,634
AT2G45890_1	0,787	0,512	0,392
AT2G45900_1	1,145	0,377	0,361

AGI	NaCl-Kontrolle zur H₂O-Kontrolle (log₂)	H₂O +B.c. zur H₂O-Kontrolle (log₂)	NaCl +B.c. zur H₂O-Kontrolle (log₂)
AT2G45910_1	1,068	1,024	1,199
AT2G45920_1	1,090	1,032	1,813
AT2G45930_1	0,980	4,026	3,472
AT2G45940_1	0,980	11,905	3,539
AT2G45950_1	1,036	1,053	1,488
AT2G45950_2	0,954	0,687	1,634
AT2G45960_1	1,034	1,121	1,179
AT2G45960_2	0,713	0,815	1,406
AT2G45960_3	1,003	1,064	1,158
AT2G45970_1	0,810	0,545	0,100
AT2G45980_1	1,006	0,969	1,171
AT2G45990_1	0,950	0,682	0,827
AT2G45990_2	0,920	0,760	0,834
AT2G45990_3	0,972	0,725	0,813
AT2G45990_4	1,018	0,261	0,379
AT2G46000_1	1,130	0,625	1,250
AT2G46020_1	1,145	1,129	1,278
AT2G46020_2	0,998	1,308	1,571
AT2G46030_1	0,737	0,642	2,692
AT2G46040_1	0,773	1,063	0,930
AT2G46050_1	1,100	0,752	0,622
AT2G46060_1	1,032	0,789	0,617
AT2G46060_2	1,089	0,865	0,752
AT2G46070_1	0,988	0,613	0,681
AT2G46080_1	0,952	1,964	2,312
AT2G46090_1	1,045	0,584	0,696
AT2G46100_1	0,974	0,994	1,126
AT2G46100_2	0,928	1,009	1,110
AT2G46110_1	1,121	0,375	0,110
AT2G46130_1	0,979	0,960	1,022
AT2G46130_2	1,034	1,116	1,118
AT2G46140_1	0,856	7,488	6,558
AT2G46150_1	0,579	4,641	7,225
AT2G46160_1	0,935	1,849	1,185
AT2G46170_1	0,958	1,347	1,331
AT2G46170_2	1,058	1,231	1,547
AT2G46180_1	0,936	0,643	0,789
AT2G46190_1	0,990	1,099	1,124
AT2G46192_1	0,956	1,350	1,150
AT2G46200_1	0,937	0,861	0,942
AT2G46200_2	0,973	0,871	0,935
AT2G46210_1	0,736	0,608	0,750
AT2G46220_1	1,032	0,857	0,715
AT2G46225_1	0,872	0,446	0,232
AT2G46225_2	0,793	0,583	0,453
AT2G46230_1	0,976	1,167	1,250
AT2G46230_2	0,979	0,954	0,947
AT2G46240_1	1,042	4,682	5,781
AT2G46250_1	1,135	0,771	0,173
AT2G46255_1	1,075	1,084	1,170

AGI	NaCl-Kontrolle zur H₂O-Kontrolle (log₂)	H₂O +B.c. zur H₂O-Kontrolle (log₂)	NaCl +B.c. zur H₂O-Kontrolle (log₂)
AT2G46260_1	0,948	1,121	1,168
AT2G46270_1	1,244	4,392	8,386
AT2G46270_2	1,252	3,643	7,720
AT2G46280_1	1,005	1,140	0,927
AT2G46280_2	1,090	1,276	1,000
AT2G46280_3	1,026	0,837	0,866
AT2G46290_1	1,040	0,980	0,820
AT2G46300_1	0,907	0,738	0,985
AT2G46310_1	1,012	4,809	4,086
AT2G46320_1	0,949	1,863	2,251
AT2G46320_2	0,937	1,858	2,218
AT2G46320_3	0,914	1,258	1,845
AT2G46330_1	0,707	1,821	1,917
AT2G46330_2	0,609	1,535	2,801
AT2G46340_1	0,983	1,157	1,021
AT2G46360_1	0,987	1,086	1,102
AT2G46370_1	0,964	0,802	0,764
AT2G46375_1	1,173	1,082	1,349
AT2G46380_1	0,884	0,471	0,152
AT2G46390_1	0,896	1,131	3,016
AT2G46400_1	0,631	5,006	9,171
AT2G46410_1	0,891	0,720	0,504
AT2G46420_1	0,965	1,742	1,416
AT2G46420_2	0,869	1,035	1,141
AT2G46430_1	0,859	1,316	1,345
AT2G46440_1	0,882	0,922	0,934
AT2G46450_1	0,853	1,396	1,159
AT2G46455_1	0,781	0,614	0,651
AT2G46460_1	1,031	1,064	1,121
AT2G46470_1	0,946	0,691	0,579
AT2G46480_1	1,088	1,017	1,160
AT2G46490_1	0,969	0,749	0,731
AT2G46495_1	1,120	1,257	1,331
AT2G46500_1	0,925	1,843	2,166
AT2G46505_1	0,903	1,054	1,370
AT2G46510_1	1,019	2,782	2,502
AT2G46520_1	1,129	2,398	1,655
AT2G46530_1	1,053	1,022	0,498
AT2G46535_1	1,137	0,233	0,133
AT2G46540_1	0,852	0,800	1,378
AT2G46550_1	1,085	0,221	0,541
AT2G46560_1	1,160	0,929	0,992
AT2G46570_1	0,781	0,144	0,224
AT2G46572_1	0,788	0,369	0,421
AT2G46580_1	0,837	0,690	1,293
AT2G46590_1	1,008	0,870	0,861
AT2G46590_2	1,100	0,773	0,837
AT2G46600_1	0,943	1,926	2,780
AT2G46610_1	1,243	1,530	1,293
AT2G46610_2	1,051	0,810	1,013

AGI	NaCl-Kontrolle zur H₂O-Kontrolle (log₂)	H₂O +B.c. zur H₂O-Kontrolle (log₂)	NaCl +B.c. zur H₂O-Kontrolle (log₂)
AT2G46620_1	0,940	4,190	3,936
AT2G46630_1	0,651	0,597	0,417
AT2G46640_1	1,071	0,884	6,515
AT2G46640_2	0,877	0,772	6,311
AT2G46650_1	0,896	3,207	2,676
AT2G46660_1	1,497	0,693	0,082
AT2G46662_1	0,998	1,088	1,248
AT2G46670_1	0,979	0,701	0,782
AT2G46680_1	2,152	1,433	6,964
AT2G46680_2	2,215	1,493	6,910
AT2G46685_1	1,228	17,016	19,003
AT2G46690_1	0,866	0,771	1,021
AT2G46700_1	0,984	1,032	1,999
AT2G46700_2	1,073	1,089	1,289
AT2G46710_1	0,923	0,323	0,058
AT2G46720_1	0,684	0,749	0,705
AT2G46730_1	1,111	0,569	0,356
AT2G46735_1	0,913	1,569	1,838
AT2G46740_1	0,882	1,491	1,148
AT2G46750_1	0,958	6,594	9,788
AT2G46760_1	0,884	0,674	0,612
AT2G46770_1	1,035	1,423	1,169
AT2G46780_1	0,806	0,921	0,710
AT2G46787_1	1,030	1,076	1,044
AT2G46790_1	0,954	0,626	0,788
AT2G46790_2	0,970	0,643	0,786
AT2G46800_1	0,920	1,331	1,336
AT2G46800_2	0,896	1,378	1,417
AT2G46810_1	0,943	0,350	0,123
AT2G46820_1	0,987	0,608	0,287
AT2G46820_2	1,007	0,646	0,337
AT2G46830_1	1,198	4,054	2,648
AT2G46840_1	1,070	1,185	1,166
AT2G46850_1	1,003	1,149	1,170
AT2G46860_1	1,586	1,058	0,841
AT2G46870_1	1,010	0,689	0,522
AT2G46880_1	0,997	1,119	1,253
AT2G46880_2	1,098	1,122	1,430
AT2G46890_1	0,844	0,301	0,125
AT2G46900_1	1,009	0,884	1,092
AT2G46910_1	0,981	0,435	0,264
AT2G46915_1	1,193	0,772	0,679
AT2G46920_1	0,993	0,915	0,894
AT2G46920_2	1,016	0,871	0,749
AT2G46930_1	1,043	0,457	0,294
AT2G46940_1	1,072	1,274	0,980
AT2G46950_1	1,091	1,735	27,583
AT2G46960_1	1,101	1,200	1,289
AT2G46970_1	0,674	0,904	0,292
AT2G46980_1	0,749	0,556	1,343

AGI	NaCl-Kontrolle zur H ₂ O-Kontrolle (log ₂)	H ₂ O +B.c. zur H ₂ O-Kontrolle (log ₂)	NaCl +B.c. zur H ₂ O-Kontrolle (log ₂)
AT2G46980_2	0,675	0,518	1,320
AT2G46990_1	0,933	1,027	1,035
AT2G46995_1	1,318	3,330	8,861
AT2G47000_1	0,671	15,548	23,139
AT2G47010_1	0,849	0,776	0,570
AT2G47015_1	1,137	1,131	1,058
AT2G47020_1	1,254	0,899	0,511
AT2G47020_2	1,273	0,918	0,534
AT2G47030_1	1,217	1,508	1,530
AT2G47040_1	1,093	1,106	1,306
AT2G47050_1	1,060	1,191	1,402
AT2G47060_1	0,641	1,080	0,729
AT2G47060_2	0,847	1,149	0,827
AT2G47060_3	0,676	1,142	0,800
AT2G47060_4	0,764	0,805	0,524
AT2G47070_1	1,006	1,082	0,802
AT2G47090_1	1,036	0,654	0,616
AT2G47110_1	0,979	0,938	0,698
AT2G47115_1	0,963	1,236	1,235
AT2G47120_1	1,073	2,591	3,530
AT2G47130_1	0,774	1,969	2,240
AT2G47140_1	0,725	6,579	6,044
AT2G47150_1	1,090	3,040	2,684
AT2G47160_1	0,959	0,476	0,245
AT2G47170_1	1,074	0,900	0,986
AT2G47180_1	1,088	3,086	2,159
AT2G47190_1	0,749	33,267	85,960
AT2G47200_1	1,123	1,333	2,227
AT2G47210_1	0,941	0,884	0,974
AT2G47220_1	1,155	0,363	0,203
AT2G47230_1	0,883	0,341	0,170
AT2G47240_1	0,711	0,156	0,063
AT2G47250_1	1,067	0,724	0,577
AT2G47260_1	0,710	0,559	0,394
AT2G47270_1	0,815	0,805	1,476
AT2G47275_1	0,970	1,000	1,053
AT2G47280_1	1,015	1,253	1,292
AT2G47300_2	1,245	0,713	0,482
AT2G47310_1	1,080	0,640	0,758
AT2G47320_1	0,968	0,517	0,801
AT2G47330_1	1,017	1,193	1,219
AT2G47340_1	1,154	1,396	1,666
AT2G47350_1	1,058	1,190	1,481
AT2G47350_2	1,024	1,100	1,419
AT2G47360_1	0,845	0,865	0,946
AT2G47370_1	0,937	2,134	1,019
AT2G47380_1	0,883	1,056	1,415
AT2G47390_1	1,053	0,545	0,950
AT2G47400_1	0,944	0,670	0,633
AT2G47410_1	0,954	1,045	1,232

AGI	NaCl-Kontrolle zur H₂O-Kontrolle (log₂)	H₂O +B.c. zur H₂O-Kontrolle (log₂)	NaCl +B.c. zur H₂O-Kontrolle (log₂)
AT2G47420_1	1,122	1,552	1,017
AT2G47430_1	0,815	0,952	1,020
AT2G47440_1	0,961	1,345	0,594
AT2G47450_1	1,044	0,731	0,392
AT2G47460_1	1,014	1,045	1,082
AT2G47470_1	0,958	1,127	1,206
AT2G47470_2	0,973	1,122	1,234
AT2G47480_1	0,875	0,749	0,600
AT2G47485_1	0,602	0,440	0,620
AT2G47490_1	0,888	1,743	1,623
AT2G47500_1	0,895	0,437	0,172
AT2G47510_1	0,984	1,507	1,485
AT2G47520_1	1,109	14,071	32,650
AT2G47530_1	1,326	1,903	1,770
AT2G47540_1	0,980	1,101	1,245
AT2G47550_1	0,628	31,029	75,572
AT2G47560_1	0,793	3,725	2,950
AT2G47570_1	1,096	1,396	1,115
AT2G47580_1	0,923	0,853	0,670
AT2G47585_1	1,188	1,514	2,153
AT2G47590_1	0,990	0,447	0,145
AT2G47600_1	1,086	1,330	2,186
AT2G47610_1	0,991	1,055	0,955
AT2G47620_1	0,941	0,990	0,957
AT2G47630_1	0,778	0,472	0,133
AT2G47640_1	0,826	0,807	0,736
AT2G47640_2	0,812	0,807	0,720
AT2G47640_3	0,831	0,814	0,730
AT2G47640_4	0,852	0,804	0,729
AT2G47650_1	0,996	2,002	1,575
AT2G47660_1	1,193	1,342	1,274
AT2G47670_1	1,671	0,403	0,495
AT2G47680_1	0,969	0,818	0,527
AT2G47690_1	0,926	0,753	1,086
AT2G47690_2	0,854	0,729	1,137
AT2G47700_1	0,921	0,595	0,683
AT2G47710_1	1,084	1,332	1,751
AT2G47720_1	1,013	0,671	0,728
AT2G47730_1	0,779	1,290	1,376
AT2G47750_1	0,986	0,073	0,072
AT2G47760_1	0,884	0,762	0,997
AT2G47760_2	0,908	0,749	0,998
AT2G47760_3	0,929	0,750	0,968
AT2G47770_1	1,844	1,588	9,488
AT2G47780_1	1,169	0,347	0,197
AT2G47790_1	1,033	1,025	0,497
AT2G47800_1	0,772	4,616	6,394
AT2G47810_1	0,956	1,029	0,948
AT2G47820_1	0,937	2,479	3,940
AT2G47830_1	0,896	1,166	1,381

AGI	NaCl-Kontrolle zur H₂O-Kontrolle (log₂)	H₂O +B.c. zur H₂O-Kontrolle (log₂)	NaCl +B.c. zur H₂O-Kontrolle (log₂)
AT2G47830_2	0,897	1,148	1,396
AT2G47840_1	1,137	0,658	0,334
AT2G47844_1	0,931	0,912	0,720
AT2G47850_1	1,223	0,502	0,428
AT2G47850_2	1,205	0,489	0,388
AT2G47860_1	1,008	0,410	0,488
AT2G47870_1	1,543	0,412	0,413
AT2G47880_1	2,234	0,689	0,163
AT2G47890_1	1,183	0,469	0,656
AT2G47890_2	1,302	0,528	0,484
AT2G47895_1	1,134	1,276	1,126
AT2G47900_1	0,998	0,868	0,723
AT2G47910_1	1,036	0,683	0,586
AT2G47910_2	1,088	0,604	0,506
AT2G47920_1	0,980	0,580	0,480
AT2G47930_1	0,877	0,210	0,030
AT2G47940_1	0,987	0,506	0,202
AT2G47950_1	0,878	12,715	43,686
AT2G47960_1	1,065	1,206	1,363
AT2G47970_1	1,008	1,240	1,430
AT2G47970_2	0,902	1,026	1,279
AT2G47980_1	1,127	0,815	1,007
AT2G47990_1	1,197	2,328	1,380
AT2G48000_1	1,011	0,834	0,864
AT2G48010_1	0,961	3,458	3,300
AT2G48020_1	0,776	1,125	1,000
AT2G48030_1	0,753	0,475	0,554
AT2G48060_1	1,011	0,825	1,005
AT2G48070_1	0,836	0,354	0,261
AT2G48070_2	0,826	0,442	0,345
AT2G48075_1	0,755	0,442	0,522
AT2G48080_1	1,359	0,969	0,872
AT2G48090_1	1,152	1,309	4,438
AT2G48100_1	1,038	0,852	0,887
AT2G48100_4	0,932	0,596	0,518
AT2G48110_1	1,037	0,856	1,062
AT2G48120_1	1,084	0,453	0,228
AT2G48120_2	1,059	0,453	0,207
AT2G48130_1	1,037	1,063	1,245
AT2G48140_1	0,971	1,002	1,147
AT2G48150_1	1,097	1,623	1,471
AT2G48160_1	0,990	0,978	0,829
AT3G01010_1	1,285	1,782	1,550
AT3G01015_1	1,060	1,045	1,169
AT3G01020_1	1,179	1,304	1,258
AT3G01030_1	1,198	1,038	1,031
AT3G01040_1	0,936	1,623	1,994
AT3G01050_1	0,983	1,375	1,358
AT3G01060_1	0,997	0,955	0,716
AT3G01060_3	0,968	0,897	0,692

AGI	NaCl-Kontrolle zur H₂O-Kontrolle (log₂)	H₂O +B.c. zur H₂O-Kontrolle (log₂)	NaCl +B.c. zur H₂O-Kontrolle (log₂)
AT3G01070_1	0,847	4,072	2,548
AT3G01080_1	0,858	0,734	1,790
AT3G01085_1	0,908	1,039	0,963
AT3G01090_1	1,009	0,828	0,919
AT3G01090_3	1,025	0,843	0,928
AT3G01100_1	1,164	1,213	2,138
AT3G01100_2	0,770	0,332	0,908
AT3G01120_1	1,097	0,837	0,764
AT3G01130_1	0,810	1,024	0,842
AT3G01130_2	0,813	1,002	0,821
AT3G01140_1	0,898	0,831	0,528
AT3G01142_1	1,023	0,502	0,109
AT3G01150_1	1,028	0,839	0,798
AT3G01150_2	1,039	0,857	0,852
AT3G01160_1	1,157	1,449	0,941
AT3G01170_1	1,055	0,962	1,445
AT3G01175_1	0,988	1,019	1,107
AT3G01180_1	0,941	1,075	0,803
AT3G01185_1	1,040	1,036	1,031
AT3G01190_1	0,940	0,970	0,929
AT3G01200_1	1,046	1,190	1,818
AT3G01202_1	1,164	1,475	1,963
AT3G01210_1	1,112	1,601	1,252
AT3G01220_1	0,971	1,124	3,110
AT3G01230_1	1,023	1,241	1,464
AT3G01240_1	0,917	0,999	1,108
AT3G01250_1	0,997	0,995	1,066
AT3G01260_1	1,019	1,077	1,089
AT3G01270_1	0,947	1,135	1,162
AT3G01280_1	1,000	1,270	1,301
AT3G01290_1	0,440	1,575	1,622
AT3G01300_1	0,883	0,692	0,989
AT3G01310_1	1,057	0,509	0,569
AT3G01311_1	0,956	1,210	1,365
AT3G01313_1	0,878	0,655	0,582
AT3G01319_1	1,201	0,990	1,662
AT3G01320_1	1,153	0,935	1,394
AT3G01322_1	1,130	1,616	2,098
AT3G01323_1	1,130	1,127	1,140
AT3G01324_1	1,014	1,361	1,496
AT3G01325_1	0,950	1,073	1,063
AT3G01326_1	0,979	1,055	1,097
AT3G01327_1	0,965	1,014	1,032
AT3G01328_1	1,044	1,172	1,215
AT3G01329_1	1,114	1,278	1,518
AT3G01330_1	0,816	0,461	0,352
AT3G01331_1	0,974	0,963	0,981
AT3G01340_1	1,052	0,969	0,951
AT3G01340_2	1,099	1,013	0,994
AT3G01345_1	1,114	1,339	1,333

AGI	NaCl-Kontrolle zur H₂O-Kontrolle (log₂)	H₂O +B.c. zur H₂O-Kontrolle (log₂)	NaCl +B.c. zur H₂O-Kontrolle (log₂)
AT3G01350_1	1,217	1,055	1,962
AT3G01360_1	0,641	0,617	1,035
AT3G01360_2	0,843	1,101	1,944
AT3G01370_1	0,995	0,418	0,481
AT3G01380_1	1,089	0,659	0,446
AT3G01390_1	1,097	0,557	0,676
AT3G01390_2	0,779	0,256	0,333
AT3G01400_1	1,034	1,220	1,154
AT3G01410_1	0,875	0,441	0,532
AT3G01410_2	0,890	0,436	0,561
AT3G01420_1	1,149	374,727	785,074
AT3G01430_1	1,146	1,567	2,727
AT3G01435_1	0,926	0,811	0,933
AT3G01440_1	1,067	0,269	0,017
AT3G01450_1	0,870	0,227	0,108
AT3G01460_1	1,015	0,894	1,011
AT3G01470_1	0,934	1,614	2,823
AT3G01480_1	0,893	0,422	0,206
AT3G01480_2	0,936	0,113	0,061
AT3G01490_1	0,675	0,412	0,373
AT3G01500_1	0,939	0,431	0,082
AT3G01500_2	0,931	0,454	0,088
AT3G01500_3	0,948	0,551	0,211
AT3G01510_1	0,911	0,514	0,329
AT3G01513_1	1,016	1,568	3,067
AT3G01516_1	0,988	1,157	1,156
AT3G01520_1	1,091	1,256	1,013
AT3G01530_1	1,106	1,066	1,222
AT3G01540_1	1,092	1,415	1,427
AT3G01550_1	0,810	0,369	0,210
AT3G01560_1	0,998	0,958	0,712
AT3G01570_1	1,391	0,655	0,557
AT3G01572_1	1,278	0,788	0,765
AT3G01580_1	1,565	0,531	0,417
AT3G01590_1	1,079	0,954	1,557
AT3G01590_2	1,013	1,202	1,138
AT3G01600_1	1,014	1,297	2,042
AT3G01610_1	1,077	1,234	1,036
AT3G01620_1	1,053	1,000	1,121
AT3G01630_1	0,963	1,182	0,854
AT3G01640_1	0,933	1,550	1,720
AT3G01650_1	1,059	2,295	3,389
AT3G01660_1	1,003	0,635	0,338
AT3G01670_1	0,687	0,288	0,180
AT3G01680_1	0,784	0,335	0,196
AT3G01690_1	0,927	0,658	0,280
AT3G01700_1	1,071	1,291	1,300
AT3G01705_1	0,964	0,878	0,969
AT3G01710_1	0,892	0,671	0,605
AT3G01710_2	0,719	0,477	0,453

AGI	NaCl-Kontrolle zur H₂O-Kontrolle (log₂)	H₂O +B.c. zur H₂O-Kontrolle (log₂)	NaCl +B.c. zur H₂O-Kontrolle (log₂)
AT3G01720_1	0,954	1,364	1,430
AT3G01730_1	1,018	1,415	1,692
AT3G01740_1	0,938	1,092	1,387
AT3G01750_1	0,805	0,335	0,549
AT3G01760_1	0,867	1,663	1,407
AT3G01770_1	1,069	0,794	0,829
AT3G01780_1	0,958	0,997	1,000
AT3G01790_1	1,032	0,810	0,422
AT3G01790_2	1,051	0,816	0,409
AT3G01800_1	0,981	1,661	1,582
AT3G01810_1	0,771	0,333	0,135
AT3G01810_2	1,057	0,309	0,101
AT3G01820_1	1,200	3,584	2,746
AT3G01830_1	0,487	18,491	30,884
AT3G01830_2	0,627	12,412	22,207
AT3G01840_1	0,754	1,097	1,482
AT3G01850_1	0,792	1,280	1,408
AT3G01850_2	0,981	1,520	1,654
AT3G01860_1	0,848	0,456	0,195
AT3G01860_2	0,856	0,349	0,100
AT3G01870_1	1,084	1,120	1,035
AT3G01880_1	0,938	1,102	1,187
AT3G01890_1	1,150	1,348	1,220
AT3G01900_1	1,088	1,275	1,597
AT3G01910_1	1,022	1,058	1,176
AT3G01910_2	1,017	1,081	1,180
AT3G01910_3	1,045	1,070	1,254
AT3G01920_1	0,978	0,699	0,861
AT3G01930_1	1,014	2,080	1,544
AT3G01940_1	1,026	1,011	0,892
AT3G01950_1	0,997	0,642	0,592
AT3G01960_1	1,185	0,206	0,143
AT3G01961_1	1,063	1,141	1,389
AT3G01970_1	0,858	16,421	30,118
AT3G01980_1	0,972	0,820	1,082
AT3G01980_2	0,972	6,026	9,079
AT3G01980_3	1,083	0,790	1,090
AT3G01990_1	1,402	2,213	4,363
AT3G02000_1	1,015	1,360	2,167
AT3G02010_1	1,286	0,642	0,442
AT3G02020_1	1,191	0,505	0,149
AT3G02030_1	0,833	0,258	0,206
AT3G02040_1	0,607	9,999	18,136
AT3G02050_1	1,106	0,995	0,709
AT3G02060_1	1,230	0,775	0,216
AT3G02060_2	1,194	0,776	0,219
AT3G02065_1	1,013	0,962	1,106
AT3G02070_1	0,754	1,433	1,480
AT3G02080_1	0,887	0,911	0,684
AT3G02090_1	1,011	1,065	1,203

AGI	NaCl-Kontrolle zur H₂O-Kontrolle (log₂)	H₂O +B.c. zur H₂O-Kontrolle (log₂)	NaCl +B.c. zur H₂O-Kontrolle (log₂)
AT3G02100_1	1,258	1,405	1,473
AT3G02110_1	0,654	0,202	0,023
AT3G02120_1	0,548	0,276	0,239
AT3G02125_1	1,001	1,021	1,266
AT3G02130_1	0,939	0,909	0,815
AT3G02140_1	0,679	12,395	23,919
AT3G02150_1	0,777	2,554	5,718
AT3G02160_1	1,134	0,629	1,546
AT3G02170_1	0,798	0,459	0,271
AT3G02180_1	0,867	0,466	0,333
AT3G02180_2	0,832	0,201	0,134
AT3G02180_3	0,849	0,488	0,347
AT3G02190_1	0,983	1,603	2,768
AT3G02200_1	1,099	1,197	0,988
AT3G02200_2	1,080	1,155	0,972
AT3G02210_1	0,992	0,655	1,441
AT3G02220_1	0,956	1,101	0,938
AT3G02230_1	0,998	2,139	2,202
AT3G02240_1	1,036	3,545	14,852
AT3G02242_1	0,993	1,191	1,433
AT3G02250_1	1,105	0,327	0,073
AT3G02260_1	1,085	0,965	1,024
AT3G02270_1	1,176	1,731	1,307
AT3G02280_1	1,081	1,349	1,358
AT3G02290_1	0,818	0,500	2,244
AT3G02290_2	0,953	0,608	1,696
AT3G02300_1	1,120	0,863	1,201
AT3G02310_1	1,119	0,895	0,923
AT3G02315_1	1,107	1,398	1,661
AT3G02320_1	1,119	1,387	1,294
AT3G02330_1	1,181	0,585	0,311
AT3G02340_1	0,910	0,955	1,300
AT3G02350_1	0,940	1,004	0,734
AT3G02360_1	1,039	1,752	1,807
AT3G02370_1	1,137	0,514	0,663
AT3G02380_1	0,840	1,808	0,366
AT3G02390_1	0,857	0,537	0,717
AT3G02400_1	1,254	0,793	0,767
AT3G02410_1	0,757	0,563	0,581
AT3G02420_1	0,980	0,888	0,893
AT3G02430_1	1,131	1,023	1,234
AT3G02440_1	1,007	1,008	1,020
AT3G02450_1	1,057	0,605	0,646
AT3G02460_1	0,864	1,210	1,568
AT3G02460_2	0,905	1,171	1,709
AT3G02468_1	1,074	1,063	1,263
AT3G02470_1	1,085	1,074	1,273
AT3G02470_3	1,055	1,065	1,304
AT3G02470_4	1,084	1,052	1,236
AT3G02480_1	1,511	1,291	2,802

AGI	NaCl-Kontrolle zur H₂O-Kontrolle (log₂)	H₂O +B.c. zur H₂O-Kontrolle (log₂)	NaCl +B.c. zur H₂O-Kontrolle (log₂)
AT3G02490_1	0,955	1,080	0,789
AT3G02493_1	1,010	0,980	1,021
AT3G02500_1	0,933	0,709	0,745
AT3G02510_1	0,899	1,591	1,313
AT3G02510_2	0,936	0,921	0,856
AT3G02515_1	0,987	1,499	2,736
AT3G02520_1	0,935	1,406	1,732
AT3G02530_1	1,099	1,036	0,738
AT3G02540_1	1,033	0,674	0,555
AT3G02540_2	0,872	0,436	0,419
AT3G02550_1	0,871	6,674	5,572
AT3G02555_1	0,902	1,348	0,871
AT3G02560_1	0,876	1,044	0,758
AT3G02560_2	0,859	1,034	0,745
AT3G02570_1	0,868	0,716	0,492
AT3G02580_1	0,805	1,194	1,139
AT3G02590_1	0,927	1,286	1,298
AT3G02600_1	0,891	0,921	0,630
AT3G02600_2	0,913	0,920	0,631
AT3G02600_3	0,901	0,928	0,643
AT3G02600_4	0,757	0,646	0,418
AT3G02600_5	0,993	1,073	0,703
AT3G02610_1	1,012	1,260	1,768
AT3G02620_1	1,249	1,388	2,023
AT3G02630_1	1,164	0,663	0,419
AT3G02640_1	0,790	0,500	0,268
AT3G02650_1	1,020	0,847	0,509
AT3G02660_1	0,872	0,414	0,227
AT3G02670_1	1,049	1,117	1,344
AT3G02680_1	1,127	0,362	0,331
AT3G02690_1	1,013	0,717	0,389
AT3G02700_1	0,771	0,537	0,927
AT3G02710_1	1,036	0,902	1,079
AT3G02715_1	1,095	1,316	1,775
AT3G02720_1	1,037	0,881	0,610
AT3G02730_1	1,014	0,564	0,302
AT3G02740_1	0,920	1,295	1,762
AT3G02750_1	1,008	1,508	1,255
AT3G02750_3	1,054	1,186	1,247
AT3G02760_1	1,052	1,078	0,760
AT3G02770_1	0,811	0,711	0,912
AT3G02780_1	0,977	0,889	1,241
AT3G02790_1	0,990	0,637	0,610
AT3G02800_1	0,704	10,788	8,474
AT3G02810_1	1,005	1,000	1,075
AT3G02820_1	0,566	0,291	0,200
AT3G02830_1	1,164	0,891	0,749
AT3G02840_1	0,723	27,448	34,628
AT3G02850_1	1,212	1,008	0,833
AT3G02860_1	1,003	0,835	1,092

AGI	NaCl-Kontrolle zur H₂O-Kontrolle (log₂)	H₂O +B.c. zur H₂O-Kontrolle (log₂)	NaCl +B.c. zur H₂O-Kontrolle (log₂)
AT3G02860_2	0,975	0,811	1,125
AT3G02870_1	0,989	0,231	0,264
AT3G02870_2	0,967	0,217	0,252
AT3G02870_3	0,984	0,214	0,266
AT3G02875_1	1,021	5,809	15,936
AT3G02880_1	0,713	1,312	1,420
AT3G02885_1	1,085	1,069	1,402
AT3G02890_1	1,090	0,625	0,746
AT3G02900_1	0,753	0,742	1,039
AT3G02910_1	1,095	1,511	1,843
AT3G02920_1	0,759	0,591	0,846
AT3G02930_1	1,091	0,404	2,506
AT3G02940_1	1,049	1,079	1,114
AT3G02950_1	0,907	0,831	0,905
AT3G02960_1	1,118	1,139	1,318
AT3G02970_1	1,204	1,326	1,633
AT3G02980_1	0,809	1,005	0,931
AT3G02990_1	1,068	0,684	0,824
AT3G03000_1	0,634	1,490	1,215
AT3G03010_1	0,868	0,867	0,636
AT3G03010_2	0,859	0,894	0,680
AT3G03020_1	0,617	1,355	0,971
AT3G03020_2	0,685	1,077	0,963
AT3G03030_1	0,944	0,505	0,300
AT3G03040_1	0,942	0,693	0,489
AT3G03050_1	0,966	1,446	1,311
AT3G03060_1	1,159	2,347	3,995
AT3G03070_1	0,910	0,936	1,235
AT3G03080_1	1,265	1,411	1,558
AT3G03090_1	1,143	0,918	0,785
AT3G03100_1	0,943	1,004	1,342
AT3G03100_2	0,912	0,998	1,328
AT3G03110_1	0,941	1,576	1,930
AT3G03120_1	0,984	1,324	1,936
AT3G03130_1	0,811	0,538	0,562
AT3G03140_1	0,994	0,937	1,197
AT3G03150_1	0,929	0,754	0,680
AT3G03160_1	0,897	1,588	1,541
AT3G03170_1	1,279	0,698	0,832
AT3G03180_1	0,776	0,523	0,802
AT3G03190_1	0,882	0,388	0,084
AT3G03200_1	0,686	0,467	0,624
AT3G03210_1	1,071	1,146	1,215
AT3G03220_1	0,987	0,410	0,204
AT3G03230_1	1,045	1,088	1,140
AT3G03240_1	0,972	0,933	1,084
AT3G03250_1	1,027	0,695	0,697
AT3G03260_1	0,984	0,793	0,853
AT3G03270_1	1,061	1,278	2,808
AT3G03270_2	0,883	2,036	10,486

AGI	NaCl-Kontrolle zur H₂O-Kontrolle (log₂)	H₂O +B.c. zur H₂O-Kontrolle (log₂)	NaCl +B.c. zur H₂O-Kontrolle (log₂)
AT3G03272_1	1,070	1,331	2,363
AT3G03280_1	1,072	2,494	3,511
AT3G03290_1	1,140	1,649	1,778
AT3G03300_1	0,883	0,694	0,753
AT3G03300_2	1,126	0,608	0,823
AT3G03305_1	1,083	1,063	1,226
AT3G03310_1	1,272	1,804	4,300
AT3G03320_1	1,079	0,783	1,573
AT3G03330_1	0,931	1,066	1,181
AT3G03340_1	1,047	0,989	1,425
AT3G03341_1	1,952	0,539	4,375
AT3G03350_1	1,076	0,973	1,130
AT3G03356_1	1,061	1,017	1,439
AT3G03360_1	1,127	0,959	1,553
AT3G03370_1	0,911	0,545	0,741
AT3G03380_1	0,966	0,983	0,858
AT3G03400_1	1,202	1,457	1,404
AT3G03405_1	0,926	1,001	1,038
AT3G03410_1	1,295	1,982	1,979
AT3G03420_1	0,846	1,164	1,205
AT3G03430_1	1,122	1,334	1,610
AT3G03440_1	1,013	1,730	3,748
AT3G03450_1	0,939	2,310	2,010
AT3G03456_1	1,058	1,100	1,203
AT3G03460_1	1,036	0,995	1,323
AT3G03470_1	0,988	2,060	4,125
AT3G03480_1	0,719	2,630	12,407
AT3G03490_1	0,893	0,897	1,691
AT3G03500_1	0,963	1,001	1,012
AT3G03510_1	0,999	1,061	1,173
AT3G03520_1	0,914	2,689	1,689
AT3G03530_1	1,079	2,388	31,618
AT3G03540_1	0,956	1,203	2,027
AT3G03550_1	0,907	1,700	1,370
AT3G03560_1	1,088	0,824	1,472
AT3G03570_1	0,966	0,970	1,069
AT3G03580_1	1,366	0,402	0,168
AT3G03590_1	0,943	0,795	0,760
AT3G03600_1	0,845	1,212	0,939
AT3G03610_1	0,863	1,467	2,564
AT3G03620_1	1,054	1,287	2,215
AT3G03626_1	0,904	0,915	1,124
AT3G03630_1	1,163	0,402	0,044
AT3G03640_1	1,131	0,678	0,510
AT3G03650_1	1,112	1,055	1,892
AT3G03660_1	0,993	1,251	1,523
AT3G03660_2	1,358	1,492	1,713
AT3G03670_1	1,227	2,310	1,657
AT3G03680_1	1,004	0,809	1,020
AT3G03690_1	0,979	0,655	0,495

AGI	NaCl-Kontrolle zur H₂O-Kontrolle (log₂)	H₂O +B.c. zur H₂O-Kontrolle (log₂)	NaCl +B.c. zur H₂O-Kontrolle (log₂)
AT3G03700_1	0,934	0,467	0,868
AT3G03702_1	1,048	0,631	0,680
AT3G03710_1	0,975	0,523	0,176
AT3G03720_1	1,020	1,048	1,576
AT3G03726_1	1,075	1,077	1,071
AT3G03726_2	0,997	1,103	1,044
AT3G03730_1	0,920	1,026	1,076
AT3G03740_1	0,985	1,217	1,503
AT3G03750_1	0,922	1,089	1,171
AT3G03750_2	1,100	1,250	1,417
AT3G03760_1	0,969	1,107	1,040
AT3G03770_1	1,404	1,088	0,463
AT3G03773_1	1,038	0,836	1,183
AT3G03773_2	1,000	0,950	0,966
AT3G03776_1	1,097	0,729	0,627
AT3G03780_1	1,099	0,879	0,567
AT3G03790_1	0,919	0,892	1,382
AT3G03800_1	1,031	1,105	1,168
AT3G03810_1	1,055	1,256	1,274
AT3G03820_1	1,111	0,197	0,060
AT3G03826_1	1,021	1,062	0,984
AT3G03828_1	1,015	1,002	1,210
AT3G03830_1	0,940	0,357	0,225
AT3G03840_1	0,895	0,444	0,176
AT3G03847_1	1,064	1,051	1,286
AT3G03850_1	0,992	0,398	0,212
AT3G03855_1	0,854	0,470	0,650
AT3G03860_1	0,922	1,009	1,161
AT3G03870_1	1,048	1,254	3,208
AT3G03870_2	0,920	1,064	2,276
AT3G03880_1	0,857	0,810	1,563
AT3G03890_1	1,071	1,052	1,522
AT3G03890_2	1,092	1,099	1,508
AT3G03900_1	1,182	0,523	0,408
AT3G03910_1	1,066	0,795	0,360
AT3G03920_1	0,987	1,045	0,598
AT3G03930_1	1,332	1,091	0,986
AT3G03940_1	1,041	0,905	0,884
AT3G03950_1	1,042	1,342	1,322
AT3G03950_2	1,050	1,353	1,437
AT3G03960_1	1,062	0,948	0,612
AT3G03970_1	0,934	1,256	1,192
AT3G03980_1	1,113	0,245	0,204
AT3G03990_1	0,952	0,837	1,004
AT3G04000_1	1,137	10,433	33,782
AT3G04010_1	0,609	2,186	6,753
AT3G04020_1	1,015	0,794	1,158
AT3G04030_1	0,842	0,775	3,036
AT3G04030_2	0,841	0,773	3,057
AT3G04040_1	1,033	1,253	4,361

AGI	NaCl-Kontrolle zur H ₂ O-Kontrolle (log ₂)	H ₂ O +B.c. zur H ₂ O-Kontrolle (log ₂)	NaCl +B.c. zur H ₂ O-Kontrolle (log ₂)
AT3G04050_1	1,270	2,467	2,551
AT3G04060_1	0,729	1,385	14,094
AT3G04070_1	0,769	3,980	73,971
AT3G04070_2	0,867	3,957	72,023
AT3G04080_1	0,981	1,546	1,977
AT3G04090_1	0,920	1,115	1,264
AT3G04100_1	1,086	1,196	1,336
AT3G04110_1	0,715	1,863	1,669
AT3G04120_1	1,023	1,343	1,799
AT3G04130_1	1,098	1,184	0,722
AT3G04130_2	0,955	0,631	0,387
AT3G04140_1	0,824	1,032	0,359
AT3G04150_1	1,233	1,348	1,344
AT3G04160_1	0,831	0,369	0,481
AT3G04170_1	1,090	1,291	1,285
AT3G04180_1	1,171	1,617	2,013
AT3G04181_1	1,141	1,968	4,561
AT3G04184_1	1,214	1,123	1,140
AT3G04190_1	1,098	1,166	1,222
AT3G04200_1	0,957	0,976	1,022
AT3G04210_1	0,754	1,220	1,186
AT3G04220_1	0,390	32,706	38,067
AT3G04230_1	1,027	1,967	1,302
AT3G04240_1	1,233	1,477	1,799
AT3G04250_1	1,118	1,022	1,136
AT3G04260_1	1,017	0,530	0,352
AT3G04270_1	1,005	1,046	1,231
AT3G04280_1	1,056	1,028	1,145
AT3G04280_2	1,063	1,220	1,320
AT3G04280_3	1,078	1,095	1,197
AT3G04290_1	0,409	0,169	0,011
AT3G04300_1	1,024	1,238	1,251
AT3G04310_1	1,064	1,184	1,074
AT3G04320_1	0,951	2,759	13,601
AT3G04330_1	1,042	1,418	2,377
AT3G04340_1	1,068	0,396	0,168
AT3G04350_1	1,029	1,834	2,499
AT3G04360_1	0,931	1,015	1,008
AT3G04370_1	1,252	1,406	1,624
AT3G04370_2	0,994	1,093	1,200
AT3G04380_1	0,913	0,479	0,511
AT3G04380_2	1,114	0,204	0,131
AT3G04390_1	1,408	0,900	0,833
AT3G04400_1	0,930	0,865	0,598
AT3G04410_1	1,161	1,245	1,929
AT3G04420_1	1,242	6,914	4,821
AT3G04420_2	1,069	6,222	4,607
AT3G04430_1	1,036	1,259	1,238
AT3G04440_1	0,953	0,487	0,888
AT3G04445_1	1,015	0,714	0,473

AGI	NaCl-Kontrolle zur H₂O-Kontrolle (log₂)	H₂O +B.c. zur H₂O-Kontrolle (log₂)	NaCl +B.c. zur H₂O-Kontrolle (log₂)
AT3G04450_1	0,965	0,413	0,200
AT3G04460_1	0,938	0,595	0,873
AT3G04470_1	0,956	0,942	0,776
AT3G04480_1	0,925	0,734	0,692
AT3G04485_1	1,022	0,332	0,291
AT3G04490_1	1,003	0,802	0,865
AT3G04500_1	0,995	1,040	1,444
AT3G04510_1	0,969	1,204	1,750
AT3G04520_1	1,068	0,947	2,669
AT3G04530_1	1,086	1,964	4,657
AT3G04540_1	1,088	1,154	1,453
AT3G04545_1	1,055	1,050	1,113
AT3G04550_1	1,121	0,268	0,100
AT3G04560_1	0,849	1,027	1,472
AT3G04570_1	1,083	1,144	1,157
AT3G04580_1	0,929	1,626	1,580
AT3G04590_1	1,064	1,002	0,769
AT3G04590_2	1,044	1,025	0,813
AT3G04600_1	1,018	0,944	0,888
AT3G04605_1	1,023	1,330	1,421
AT3G04610_1	1,064	0,873	0,840
AT3G04620_1	1,282	1,575	1,759
AT3G04630_1	0,894	0,574	1,075
AT3G04630_2	0,867	0,559	1,021
AT3G04630_3	0,864	0,560	1,049
AT3G04640_1	0,792	1,944	3,278
AT3G04640_2	0,780	2,045	3,662
AT3G04650_1	1,028	0,536	0,594
AT3G04660_1	0,942	0,955	1,196
AT3G04670_1	0,869	1,714	3,385
AT3G04670_2	0,841	0,913	1,484
AT3G04680_1	1,112	1,384	1,211
AT3G04690_1	0,886	0,582	1,189
AT3G04700_1	1,067	1,062	2,612
AT3G04710_1	1,143	4,811	3,370
AT3G04710_2	1,167	4,903	3,474
AT3G04715_1	1,054	1,993	2,145
AT3G04717_1	1,027	10,323	19,567
AT3G04720_1	0,823	8,143	8,259
AT3G04721_1	1,025	1,147	1,192
AT3G04730_1	0,990	0,698	0,621
AT3G04732_1	1,027	1,176	1,312
AT3G04735_1	1,000	1,295	1,628
AT3G04740_1	1,055	1,117	1,066
AT3G04750_1	1,068	0,668	0,758
AT3G04760_1	1,035	0,569	0,357
AT3G04765_1	0,943	0,868	0,899
AT3G04770_1	1,175	1,655	1,226
AT3G04770_2	1,115	2,866	1,893
AT3G04780_1	0,770	0,971	1,565

AGI	NaCl-Kontrolle zur H₂O-Kontrolle (log₂)	H₂O +B.c. zur H₂O-Kontrolle (log₂)	NaCl +B.c. zur H₂O-Kontrolle (log₂)
AT3G04790_1	0,891	0,728	0,416
AT3G04800_1	0,956	1,063	1,931
AT3G04810_1	1,005	0,306	0,205
AT3G04810_2	1,028	0,290	0,186
AT3G04820_1	1,031	0,869	0,634
AT3G04830_1	0,980	0,954	1,144
AT3G04830_2	1,023	1,002	1,243
AT3G04840_1	0,940	0,834	0,693
AT3G04850_1	0,795	0,255	0,216
AT3G04854_1	0,763	0,358	0,466
AT3G04855_1	1,104	1,461	1,769
AT3G04860_1	0,865	0,435	0,159
AT3G04870_1	1,018	0,855	1,028
AT3G04880_1	1,108	0,963	0,830
AT3G04890_1	1,102	0,764	0,718
AT3G04890_2	1,173	0,707	0,559
AT3G04900_1	1,182	1,228	1,427
AT3G04903_1	1,027	1,182	1,370
AT3G04910_1	1,008	0,260	0,484
AT3G04910_3	1,048	0,268	0,494
AT3G04920_1	0,990	0,968	0,636
AT3G04930_1	1,055	1,257	1,382
AT3G04940_1	1,057	0,484	0,194
AT3G04943_1	1,044	1,098	1,346
AT3G04945_1	1,314	1,511	2,080
AT3G04950_1	1,136	0,605	0,403
AT3G04960_1	0,845	0,462	0,211
AT3G04970_1	0,839	0,714	1,054
AT3G04970_2	0,885	0,727	1,040
AT3G04980_1	0,957	0,584	0,598
AT3G04990_1	1,232	1,304	1,366
AT3G04997_1	1,068	1,103	1,176
AT3G05000_1	1,050	0,493	0,300
AT3G05010_1	0,828	0,583	0,990
AT3G05020_1	1,062	1,081	0,647
AT3G05030_1	1,385	0,937	1,467
AT3G05030_2	1,180	0,895	1,073
AT3G05040_1	1,203	0,965	1,052
AT3G05050_1	0,933	2,025	2,137
AT3G05060_1	1,109	1,376	0,894
AT3G05070_1	1,025	0,921	1,162
AT3G05080_1	1,047	1,368	2,088
AT3G05090_1	0,840	1,308	2,125
AT3G05090_2	0,994	1,226	1,498
AT3G05100_1	0,937	0,672	0,325
AT3G05110_1	1,009	1,091	1,408
AT3G05120_1	1,182	0,512	0,435
AT3G05130_1	1,084	0,338	0,583
AT3G05140_1	0,681	0,621	0,826
AT3G05150_1	0,616	0,614	0,619

AGI	NaCl-Kontrolle zur H₂O-Kontrolle (log₂)	H₂O +B.c. zur H₂O-Kontrolle (log₂)	NaCl +B.c. zur H₂O-Kontrolle (log₂)
AT3G05152_1	0,953	1,303	1,265
AT3G05155_1	0,954	1,039	1,270
AT3G05160_1	1,078	0,673	0,468
AT3G05160_2	1,033	0,771	0,556
AT3G05165_1	1,190	1,863	2,624
AT3G05165_4	1,058	1,028	1,101
AT3G05170_1	1,019	1,163	1,948
AT3G05180_1	1,031	0,388	0,721
AT3G05190_1	1,540	0,877	0,630
AT3G05193_1	1,086	1,213	1,490
AT3G05200_1	0,943	3,371	3,441
AT3G05210_1	1,009	1,470	1,967
AT3G05220_1	1,128	1,158	1,182
AT3G05230_1	0,826	1,187	1,940
AT3G05230_2	0,849	1,170	1,886
AT3G05240_1	1,077	0,561	0,559
AT3G05250_1	1,010	1,177	2,006
AT3G05260_1	1,261	1,154	1,579
AT3G05270_1	0,933	0,710	0,919
AT3G05280_1	0,941	1,232	1,199
AT3G05290_1	1,097	1,321	1,908
AT3G05300_1	1,101	1,223	1,938
AT3G05310_1	0,888	0,915	0,999
AT3G05320_1	0,470	2,945	2,797
AT3G05327_1	0,874	1,001	1,571
AT3G05330_1	0,811	0,749	3,681
AT3G05340_1	1,054	0,485	0,405
AT3G05345_1	1,177	0,942	0,684
AT3G05350_1	0,967	0,749	0,869
AT3G05360_1	0,627	10,344	18,465
AT3G05370_1	0,790	0,692	1,020
AT3G05380_1	1,108	1,907	2,226
AT3G05380_2	1,200	2,557	2,492
AT3G05390_1	0,932	15,148	28,679
AT3G05400_1	1,214	3,635	65,353
AT3G05410_1	1,067	0,559	0,437
AT3G05410_2	0,885	0,260	0,174
AT3G05415_1	1,357	0,652	0,665
AT3G05420_1	1,031	0,933	0,954
AT3G05420_2	1,061	0,927	0,955
AT3G05425_1	1,146	1,211	1,493
AT3G05430_1	0,996	0,786	0,673
AT3G05440_1	1,061	1,031	1,043
AT3G05450_1	1,278	1,266	1,594
AT3G05460_1	1,136	1,126	1,146
AT3G05470_1	0,842	0,251	0,835
AT3G05480_1	0,635	0,272	0,217
AT3G05480_2	1,025	1,037	1,101
AT3G05490_1	0,651	1,172	0,833
AT3G05500_1	0,902	1,954	2,491

AGI	NaCl-Kontrolle zur H₂O-Kontrolle (log₂)	H₂O +B.c. zur H₂O-Kontrolle (log₂)	NaCl +B.c. zur H₂O-Kontrolle (log₂)
AT3G05510_1	1,167	0,868	0,892
AT3G05520_1	1,006	0,464	0,453
AT3G05520_2	1,062	0,543	0,462
AT3G05530_1	0,982	1,041	1,131
AT3G05540_1	1,024	1,042	1,046
AT3G05545_1	1,015	1,140	1,153
AT3G05550_1	1,019	5,201	5,908
AT3G05560_1	0,866	0,836	0,668
AT3G05560_2	0,926	0,856	0,681
AT3G05560_3	0,789	1,084	0,904
AT3G05570_1	0,928	1,353	2,481
AT3G05580_1	0,808	2,496	2,718
AT3G05590_1	0,945	0,867	0,650
AT3G05600_1	0,975	0,799	0,819
AT3G05602_1	1,085	1,176	1,441
AT3G05610_1	1,399	1,704	2,229
AT3G05620_1	0,738	0,456	0,526
AT3G05625_1	0,829	0,393	0,139
AT3G05630_1	1,157	3,714	11,833
AT3G05640_1	1,269	0,076	0,350
AT3G05640_2	1,215	0,126	0,445
AT3G05650_1	0,892	0,305	0,606
AT3G05660_1	0,905	0,166	0,298
AT3G05670_1	0,960	1,113	1,398
AT3G05675_1	0,876	0,724	0,696
AT3G05675_2	1,031	0,579	0,598
AT3G05680_1	0,984	0,775	0,768
AT3G05685_1	0,887	0,881	0,730
AT3G05690_1	1,186	1,703	0,915
AT3G05700_1	1,097	0,958	1,424
AT3G05710_1	1,009	1,050	1,292
AT3G05710_2	1,013	1,049	1,311
AT3G05720_1	1,046	1,181	1,466
AT3G05725_1	1,019	1,033	1,055
AT3G05727_1	1,276	1,247	1,449
AT3G05730_1	0,414	0,344	0,034
AT3G05740_1	0,630	0,222	0,153
AT3G05741_1	1,044	1,012	1,124
AT3G05746_1	1,261	1,738	2,120
AT3G05750_1	1,058	0,383	0,136
AT3G05760_1	0,975	0,715	0,924
AT3G05770_1	1,006	1,119	1,272
AT3G05780_1	1,558	1,228	0,976
AT3G05790_1	1,344	0,654	0,620
AT3G05800_1	1,209	0,076	0,030
AT3G05810_1	1,093	0,941	0,468
AT3G05820_1	1,012	1,620	1,453
AT3G05830_1	0,759	1,085	2,348
AT3G05840_1	0,952	1,557	1,465
AT3G05850_1	0,894	1,082	1,170

AGI	NaCl-Kontrolle zur H₂O-Kontrolle (log₂)	H₂O +B.c. zur H₂O-Kontrolle (log₂)	NaCl +B.c. zur H₂O-Kontrolle (log₂)
AT3G05858_1	1,137	1,282	1,415
AT3G05860_1	1,034	1,031	1,111
AT3G05860_2	1,075	1,003	1,014
AT3G05860_3	1,099	1,090	1,157
AT3G05870_1	1,053	0,798	2,219
AT3G05880_1	1,047	0,100	0,518
AT3G05890_1	0,851	0,433	0,557
AT3G05900_1	0,666	1,008	0,132
AT3G05905_1	1,095	1,119	1,292
AT3G05910_1	0,972	0,516	0,442
AT3G05920_1	1,130	1,106	1,316
AT3G05930_1	1,094	0,827	0,983
AT3G05932_1	1,010	0,512	0,642
AT3G05935_1	1,114	0,737	1,038
AT3G05936_1	1,127	0,713	0,773
AT3G05937_1	1,051	1,800	4,252
AT3G05940_1	1,044	0,854	1,161
AT3G05950_1	1,284	1,853	2,101
AT3G05960_1	1,082	1,249	1,501
AT3G05970_1	0,971	1,091	1,566
AT3G05975_1	1,110	1,049	1,100
AT3G05980_1	0,898	0,541	0,657
AT3G05990_1	1,027	1,544	1,755
AT3G06000_1	1,124	1,013	1,023
AT3G06010_1	1,069	0,885	0,903
AT3G06019_1	1,487	1,778	2,366
AT3G06020_1	0,659	0,692	0,201
AT3G06030_1	0,981	0,196	0,083
AT3G06035_1	1,022	0,152	0,026
AT3G06040_1	0,978	0,790	0,586
AT3G06040_2	0,990	1,074	1,077
AT3G06040_3	0,958	0,788	0,565
AT3G06050_1	0,904	0,954	1,252
AT3G06060_1	0,921	0,610	0,583
AT3G06070_1	0,514	0,173	0,065
AT3G06080_1	0,519	0,213	0,091
AT3G06080_2	0,749	0,719	0,496
AT3G06090_1	1,067	1,188	1,363
AT3G06100_1	0,565	0,955	1,704
AT3G06110_1	0,740	0,569	0,692
AT3G06110_2	0,740	0,569	0,787
AT3G06120_1	0,760	0,609	0,559
AT3G06125_1	1,091	1,496	1,363
AT3G06125_2	1,003	1,827	1,799
AT3G06125_3	1,065	1,689	1,674
AT3G06130_1	0,869	0,214	0,084
AT3G06140_1	0,852	0,257	0,062
AT3G06142_1	1,040	1,018	1,058
AT3G06145_1	0,977	0,890	0,087
AT3G06150_1	1,069	0,561	0,205

AGI	NaCl-Kontrolle zur H₂O-Kontrolle (log₂)	H₂O +B.c. zur H₂O-Kontrolle (log₂)	NaCl +B.c. zur H₂O-Kontrolle (log₂)
AT3G06160_1	1,199	0,152	0,153
AT3G06170_1	1,035	0,949	1,185
AT3G06180_1	0,854	1,106	0,926
AT3G06190_1	1,050	1,333	1,400
AT3G06190_2	0,927	1,288	1,285
AT3G06200_1	1,028	0,996	0,693
AT3G06210_1	1,044	0,689	0,676
AT3G06220_1	0,993	0,791	0,850
AT3G06230_1	1,247	1,057	1,193
AT3G06240_1	1,006	1,157	1,622
AT3G06250_1	1,079	1,236	1,323
AT3G06260_1	0,951	0,852	0,905
AT3G06270_1	0,951	1,143	1,034
AT3G06280_1	1,119	0,994	1,142
AT3G06290_1	1,029	1,032	0,921
AT3G06300_1	0,674	1,756	1,435
AT3G06310_1	0,862	0,832	0,972
AT3G06310_2	0,856	0,757	0,792
AT3G06320_1	1,048	0,577	0,481
AT3G06330_1	0,899	1,081	1,063
AT3G06330_3	0,962	0,942	0,928
AT3G06335_1	1,036	0,893	1,016
AT3G06340_1	1,027	1,221	1,240
AT3G06350_1	1,020	1,417	1,401
AT3G06360_1	1,028	0,916	1,028
AT3G06370_1	0,526	0,392	0,465
AT3G06380_1	0,898	0,740	0,926
AT3G06390_1	1,077	0,977	1,077
AT3G06400_1	1,122	1,103	1,073
AT3G06410_1	1,010	0,687	0,638
AT3G06420_1	0,774	1,626	7,799
AT3G06430_1	1,001	0,280	0,129
AT3G06433_1	1,044	0,949	0,978
AT3G06435_1	0,749	0,555	0,407
AT3G06437_1	1,414	1,217	1,345
AT3G06440_1	0,983	0,447	0,483
AT3G06440_2	0,897	0,787	0,762
AT3G06450_1	0,991	0,484	0,484
AT3G06455_1	1,047	0,912	1,094
AT3G06460_1	1,170	1,259	1,346
AT3G06470_1	0,844	0,496	0,505
AT3G06480_1	1,224	1,061	0,925
AT3G06483_1	1,039	0,452	0,600
AT3G06490_1	0,986	47,055	69,129
AT3G06500_1	1,131	1,025	1,884
AT3G06510_1	1,229	0,824	0,957
AT3G06510_2	1,320	0,469	0,408
AT3G06520_1	1,122	0,447	0,546
AT3G06530_1	1,072	1,419	0,988
AT3G06540_1	0,982	1,443	1,786

AGI	NaCl-Kontrolle zur H₂O-Kontrolle (log₂)	H₂O +B.c. zur H₂O-Kontrolle (log₂)	NaCl +B.c. zur H₂O-Kontrolle (log₂)
AT3G06545_1	1,085	1,132	1,072
AT3G06550_1	1,150	0,951	0,470
AT3G06550_2	1,011	0,632	0,329
AT3G06560_1	1,036	1,222	1,407
AT3G06570_1	0,912	0,893	0,927
AT3G06580_1	0,938	0,980	1,682
AT3G06590_1	0,937	0,467	0,976
AT3G06590_2	0,940	0,621	0,793
AT3G06600_1	0,903	0,864	0,910
AT3G06600_2	0,922	0,640	0,662
AT3G06610_1	0,929	0,981	0,867
AT3G06620_1	0,983	0,873	0,854
AT3G06630_1	1,273	1,068	1,084
AT3G06640_1	1,131	0,962	0,974
AT3G06650_1	1,035	0,691	0,526
AT3G06660_1	0,977	0,523	0,359
AT3G06665_1	1,144	1,059	1,272
AT3G06670_1	1,028	1,028	1,101
AT3G06680_1	0,689	0,804	0,478
AT3G06690_1	0,954	1,203	1,825
AT3G06700_1	0,756	0,778	0,618
AT3G06700_2	0,744	1,023	0,911
AT3G06700_3	0,755	0,798	0,631
AT3G06710_1	1,258	0,573	0,501
AT3G06720_1	1,128	1,492	1,494
AT3G06720_2	1,115	1,430	1,473
AT3G06730_1	0,966	0,510	0,243
AT3G06740_1	0,810	0,787	0,369
AT3G06750_1	0,735	0,474	0,093
AT3G06760_1	0,908	1,169	1,315
AT3G06760_2	0,868	0,557	0,999
AT3G06770_1	0,736	0,385	0,015
AT3G06778_1	0,743	0,537	0,496
AT3G06780_1	0,909	0,933	1,498
AT3G06790_1	1,155	0,884	0,661
AT3G06810_1	1,161	1,485	2,806
AT3G06820_1	1,075	0,745	0,910
AT3G06820_2	0,990	0,728	0,726
AT3G06830_1	0,969	0,894	1,106
AT3G06840_1	0,876	0,889	1,403
AT3G06850_1	0,902	0,786	1,929
AT3G06860_1	1,170	1,610	2,506
AT3G06868_1	0,834	0,425	0,183
AT3G06870_1	0,945	0,497	0,209
AT3G06880_1	0,884	0,062	0,024
AT3G06890_1	0,899	2,550	2,565
AT3G06900_1	1,066	0,785	0,909
AT3G06910_1	0,948	0,607	0,433
AT3G06920_1	1,277	0,996	0,580
AT3G06930_1	1,078	0,805	0,464

AGI	NaCl-Kontrolle zur H₂O-Kontrolle (log₂)	H₂O +B.c. zur H₂O-Kontrolle (log₂)	NaCl +B.c. zur H₂O-Kontrolle (log₂)
AT3G06930_2	1,064	0,809	0,419
AT3G06940_1	1,064	1,710	2,042
AT3G06950_1	0,980	0,456	0,506
AT3G06960_1	0,965	0,945	0,966
AT3G06960_2	1,066	0,971	0,819
AT3G06962_1	1,401	1,518	2,023
AT3G06970_1	1,240	1,024	0,876
AT3G06980_1	1,032	0,465	0,162
AT3G06985_1	0,903	0,441	0,453
AT3G06990_1	0,953	0,799	0,755
AT3G06995_1	1,145	0,882	0,904
AT3G07000_1	0,911	0,911	0,756
AT3G07005_1	0,966	0,994	1,215
AT3G07010_1	0,527	0,097	0,040
AT3G07020_1	1,019	0,998	1,222
AT3G07020_2	0,814	1,034	1,824
AT3G07025_1	1,036	0,610	0,964
AT3G07030_1	1,287	0,800	0,626
AT3G07040_1	0,946	0,494	0,552
AT3G07050_1	1,169	1,174	0,858
AT3G07060_1	0,899	0,370	0,201
AT3G07070_1	1,339	1,268	1,293
AT3G07080_1	0,961	0,647	0,848
AT3G07090_1	0,936	2,470	2,478
AT3G07100_1	1,026	1,116	1,304
AT3G07110_1	0,974	1,092	0,704
AT3G07110_2	0,981	1,059	0,694
AT3G07115_1	1,099	1,298	1,481
AT3G07120_1	1,137	0,934	1,078
AT3G07130_1	0,933	0,358	0,572
AT3G07140_1	1,076	0,789	0,749
AT3G07150_1	0,943	2,468	2,400
AT3G07160_1	1,075	0,941	1,099
AT3G07170_1	0,901	0,988	1,105
AT3G07180_1	0,987	0,751	0,777
AT3G07180_2	0,937	0,719	0,774
AT3G07190_1	0,925	0,503	0,332
AT3G07195_1	0,669	1,528	1,177
AT3G07200_1	1,006	0,299	0,150
AT3G07200_2	0,991	0,282	0,079
AT3G07210_1	1,009	0,402	0,128
AT3G07215_1	1,100	0,741	1,142
AT3G07215_2	1,041	0,717	0,935
AT3G07215_3	1,008	0,465	0,520
AT3G07220_1	0,951	1,130	1,311
AT3G07230_1	1,058	0,907	1,004
AT3G07250_1	1,248	1,329	1,304
AT3G07260_1	1,051	1,220	1,299
AT3G07270_1	0,969	1,111	0,713
AT3G07273_1	0,992	0,707	1,252

AGI	NaCl-Kontrolle zur H₂O-Kontrolle (log₂)	H₂O +B.c. zur H₂O-Kontrolle (log₂)	NaCl +B.c. zur H₂O-Kontrolle (log₂)
AT3G07274_1	0,926	0,603	1,163
AT3G07280_1	0,922	0,340	1,027
AT3G07290_1	1,203	0,678	0,476
AT3G07300_1	0,977	1,124	0,965
AT3G07310_1	1,021	0,595	0,388
AT3G07320_1	0,838	0,370	0,110
AT3G07330_1	0,939	0,943	1,026
AT3G07340_1	0,652	0,366	0,249
AT3G07350_1	1,248	0,652	1,345
AT3G07360_1	1,055	0,732	0,338
AT3G07360_2	1,113	0,755	0,362
AT3G07360_3	1,125	0,749	0,363
AT3G07370_1	0,840	1,310	1,781
AT3G07380_1	1,020	1,476	1,012
AT3G07390_1	0,949	0,904	1,180
AT3G07400_1	0,948	0,630	0,611
AT3G07410_1	1,293	0,513	0,444
AT3G07420_1	0,597	0,226	0,263
AT3G07425_1	1,093	1,124	1,185
AT3G07430_1	0,987	0,628	0,273
AT3G07440_1	0,996	0,658	0,475
AT3G07450_1	1,238	1,198	1,386
AT3G07460_1	0,911	0,700	0,276
AT3G07460_2	0,900	0,723	0,301
AT3G07470_1	0,869	0,831	0,518
AT3G07480_1	0,948	0,925	1,219
AT3G07490_1	1,041	1,238	1,404
AT3G07500_1	0,985	0,512	0,379
AT3G07510_1	0,789	0,524	0,168
AT3G07510_2	0,870	0,466	0,136
AT3G07520_1	0,780	1,016	1,544
AT3G07522_1	1,070	0,984	1,112
AT3G07525_1	0,942	0,600	1,145
AT3G07525_2	0,943	0,601	1,123
AT3G07530_1	1,060	0,757	0,586
AT3G07540_1	0,872	0,160	0,030
AT3G07550_1	0,935	0,750	0,787
AT3G07550_2	0,854	0,596	0,628
AT3G07560_1	1,066	1,603	1,594
AT3G07565_1	0,935	1,215	1,250
AT3G07565_2	0,898	0,977	1,020
AT3G07568_1	0,831	0,639	1,415
AT3G07570_1	0,859	1,218	1,310
AT3G07580_1	0,623	1,249	1,291
AT3G07590_1	1,030	1,437	0,821
AT3G07600_1	1,005	1,107	3,121
AT3G07610_1	1,019	1,341	1,604
AT3G07610_2	0,902	0,979	1,075
AT3G07620_1	1,005	0,918	0,971
AT3G07630_1	1,137	1,171	1,229

AGI	NaCl-Kontrolle zur H₂O-Kontrolle (log₂)	H₂O +B.c. zur H₂O-Kontrolle (log₂)	NaCl +B.c. zur H₂O-Kontrolle (log₂)
AT3G07630_2	1,155	1,186	1,302
AT3G07640_1	0,942	0,483	0,905
AT3G07650_1	1,290	0,200	0,899
AT3G07650_2	1,285	0,214	0,894
AT3G07650_4	1,393	0,147	0,868
AT3G07660_1	1,124	1,149	1,067
AT3G07670_1	1,035	0,344	0,157
AT3G07680_1	0,913	1,051	1,405
AT3G07690_1	0,994	0,476	0,902
AT3G07700_1	1,067	1,787	2,441
AT3G07710_1	1,325	1,342	1,472
AT3G07720_1	1,033	1,423	2,106
AT3G07730_1	1,144	1,257	3,149
AT3G07740_1	1,039	0,965	0,987
AT3G07750_1	1,201	1,485	0,725
AT3G07760_1	0,930	1,846	2,980
AT3G07760_2	0,951	1,673	2,081
AT3G07770_1	1,213	1,608	0,924
AT3G07780_1	0,912	1,528	1,667
AT3G07790_1	1,018	1,102	1,192
AT3G07800_1	0,898	0,889	0,972
AT3G07810_1	0,992	1,037	0,984
AT3G07810_2	1,003	1,031	1,002
AT3G07820_1	1,270	1,161	1,166
AT3G07830_1	1,078	1,070	1,140
AT3G07840_1	1,159	1,118	1,088
AT3G07850_1	1,139	0,998	1,012
AT3G07860_1	1,195	0,904	0,620
AT3G07870_1	0,985	1,228	1,956
AT3G07880_1	0,960	0,660	0,714
AT3G07890_1	0,942	1,380	1,111
AT3G07900_1	0,914	0,822	1,068
AT3G07910_1	0,833	0,925	0,932
AT3G07920_1	1,199	1,545	1,739
AT3G07930_1	0,998	0,697	0,979
AT3G07930_2	0,976	0,692	0,962
AT3G07940_1	1,158	0,824	0,522
AT3G07950_1	1,013	0,922	1,012
AT3G07960_1	0,841	0,319	0,305
AT3G07970_1	1,071	6,276	9,636
AT3G07980_1	0,991	0,853	1,091
AT3G07990_1	0,922	0,283	0,093
AT3G08000_1	1,236	0,443	0,403
AT3G08010_1	0,964	0,499	0,460
AT3G08020_1	1,146	0,833	1,105
AT3G08030_1	1,023	0,805	0,639
AT3G08030_2	1,138	1,258	1,263
AT3G08040_1	1,114	1,282	1,466
AT3G08040_2	1,403	1,705	7,454
AT3G08490_1	0,586	0,354	0,320

AGI	NaCl-Kontrolle zur H₂O-Kontrolle (log₂)	H₂O +B.c. zur H₂O-Kontrolle (log₂)	NaCl +B.c. zur H₂O-Kontrolle (log₂)
AT3G08500_1	0,746	0,530	0,527
AT3G08505_1	0,948	0,918	1,007
AT3G08505_2	0,941	0,919	0,963
AT3G08510_1	1,135	0,668	0,519
AT3G08510_2	1,146	0,665	0,522
AT3G08510_3	1,092	0,598	0,464
AT3G08520_1	1,051	0,829	0,693
AT3G08530_1	1,009	1,056	1,031
AT3G08550_1	0,975	0,522	0,601
AT3G08560_1	1,194	1,347	1,875
AT3G08570_1	1,258	0,378	0,228
AT3G08580_1	0,951	1,136	1,172
AT3G08580_2	0,845	1,257	1,281
AT3G08590_1	1,163	1,601	1,999
AT3G08600_1	0,756	0,600	0,120
AT3G08610_1	0,949	0,715	1,352
AT3G08620_1	0,985	1,585	0,823
AT3G08630_1	0,872	2,367	1,654
AT3G08636_1	1,313	2,969	2,626
AT3G08640_1	0,965	2,402	2,092
AT3G08650_1	1,077	0,955	1,044
AT3G08660_1	1,090	0,359	0,098
AT3G08670_1	0,993	0,836	0,593
AT3G08680_1	0,977	0,517	0,236
AT3G08690_1	1,272	2,515	4,498
AT3G08700_1	1,602	2,139	2,928
AT3G08710_1	0,630	1,693	3,131
AT3G08710_2	0,749	1,909	1,991
AT3G08720_1	0,910	3,849	4,160
AT3G08730_1	1,015	2,190	2,219
AT3G08740_1	0,918	0,400	0,191
AT3G08750_1	1,068	1,198	1,590
AT3G08760_1	1,009	2,802	2,876
AT3G08762_1	1,027	1,146	1,253
AT3G08770_1	0,957	0,617	0,986
AT3G08780_1	0,816	1,390	1,713
AT3G08780_2	0,735	1,213	1,697
AT3G08790_1	1,121	1,089	1,340
AT3G08800_1	1,137	0,348	0,425
AT3G08810_1	1,072	1,937	2,611
AT3G08820_1	1,228	0,721	0,530
AT3G08840_1	0,896	0,534	0,640
AT3G08840_2	0,941	0,764	0,847
AT3G08840_3	1,168	0,831	0,836
AT3G08850_1	1,058	1,091	1,031
AT3G08860_1	2,274	2,885	30,852
AT3G08870_1	0,933	0,823	2,098
AT3G08880_1	1,064	0,222	0,306
AT3G08885_1	0,818	0,550	0,580
AT3G08890_1	0,586	0,358	0,486

AGI	NaCl-Kontrolle zur H₂O-Kontrolle (log₂)	H₂O +B.c. zur H₂O-Kontrolle (log₂)	NaCl +B.c. zur H₂O-Kontrolle (log₂)
AT3G08890_2	1,036	0,666	0,704
AT3G08900_1	1,246	1,259	1,119
AT3G08910_1	0,889	0,817	0,975
AT3G08920_1	1,028	0,205	0,062
AT3G08930_1	0,937	0,956	0,862
AT3G08940_1	0,969	0,641	0,176
AT3G08940_2	0,976	0,596	0,166
AT3G08943_1	1,049	1,227	0,761
AT3G08947_1	1,153	1,208	0,882
AT3G08950_1	1,044	1,743	1,895
AT3G08960_1	0,978	1,009	1,011
AT3G08970_1	0,790	8,452	12,163
AT3G08980_1	1,009	0,537	0,438
AT3G08990_1	1,035	1,520	2,918
AT3G09000_1	1,009	1,656	1,916
AT3G09010_1	0,896	4,261	5,504
AT3G09020_1	0,654	4,926	5,349
AT3G09030_1	1,063	1,140	1,084
AT3G09032_1	0,595	0,791	0,786
AT3G09035_1	0,876	0,383	0,103
AT3G09040_1	1,102	0,952	1,215
AT3G09050_1	1,012	0,210	0,076
AT3G09060_1	1,321	0,512	0,496
AT3G09070_1	1,225	0,654	0,894
AT3G09080_1	1,021	0,890	0,959
AT3G09085_1	0,785	0,972	1,756
AT3G09090_1	1,085	1,143	1,035
AT3G09100_1	1,047	0,845	1,296
AT3G09100_2	1,003	1,238	1,210
AT3G09110_1	0,953	1,000	1,110
AT3G09120_1	1,096	1,080	1,220
AT3G09130_1	0,949	1,138	1,191
AT3G09140_1	0,979	1,012	1,052
AT3G09140_2	0,967	0,927	0,939
AT3G09150_1	1,023	0,318	0,700
AT3G09150_2	0,945	0,313	0,668
AT3G09150_3	0,966	0,771	0,975
AT3G09160_1	1,122	0,273	0,135
AT3G09162_1	1,056	0,420	0,242
AT3G09165_1	1,125	1,381	1,406
AT3G09170_1	1,021	1,112	1,109
AT3G09180_1	0,935	1,403	1,881
AT3G09190_1	0,876	0,333	0,203
AT3G09200_1	1,059	0,850	0,654
AT3G09200_2	1,001	0,867	0,673
AT3G09210_1	0,932	0,378	0,262
AT3G09220_1	1,072	1,308	2,711
AT3G09230_1	1,029	1,219	1,117
AT3G09240_1	0,988	0,572	0,547
AT3G09250_1	0,969	0,685	0,922

AGI	NaCl-Kontrolle zur H₂O-Kontrolle (log₂)	H₂O +B.c. zur H₂O-Kontrolle (log₂)	NaCl +B.c. zur H₂O-Kontrolle (log₂)
AT3G09260_1	1,610	48,388	34,722
AT3G09270_1	0,924	13,258	33,042
AT3G09280_1	1,181	1,297	1,523
AT3G09290_1	0,988	1,179	1,134
AT3G09300_1	0,924	1,069	0,991
AT3G09310_1	1,114	0,636	0,603
AT3G09320_1	1,025	0,858	0,975
AT3G09330_1	1,013	0,979	1,034
AT3G09340_1	1,048	1,053	1,461
AT3G09350_1	1,005	9,552	10,685
AT3G09350_2	1,002	9,042	10,681
AT3G09350_3	0,943	5,471	8,112
AT3G09360_1	0,971	0,778	1,192
AT3G09370_1	1,005	1,233	1,515
AT3G09375_1	1,471	1,712	1,486
AT3G09380_1	0,993	1,002	1,058
AT3G09385_1	1,156	1,144	1,196
AT3G09390_1	1,325	0,940	1,432
AT3G09400_1	1,143	1,162	1,504
AT3G09405_1	0,576	22,867	24,761
AT3G09410_1	1,003	0,399	0,363
AT3G09410_3	1,057	0,371	0,331
AT3G09430_1	1,187	0,587	0,462
AT3G09440_1	0,843	2,006	1,992
AT3G09450_1	0,701	3,124	1,818
AT3G09470_1	0,876	1,404	1,775
AT3G09470_2	0,800	0,959	0,863
AT3G09480_1	0,830	1,535	2,331
AT3G09490_1	0,712	1,342	1,890
AT3G09500_1	0,925	0,806	0,534
AT3G09510_1	1,151	1,372	1,603
AT3G09520_1	0,737	3,378	10,141
AT3G09530_1	1,036	1,183	1,294
AT3G09540_1	1,069	0,372	0,154
AT3G09550_1	1,140	0,288	0,184
AT3G09560_1	1,045	1,743	1,825
AT3G09570_1	0,889	1,845	1,677
AT3G09580_1	0,896	0,226	0,073
AT3G09585_1	1,125	1,218	1,395
AT3G09590_1	1,165	2,034	1,594
AT3G09595_1	1,150	1,296	1,334
AT3G09600_1	1,069	13,968	8,734
AT3G09600_2	1,186	12,818	6,777
AT3G09620_1	1,183	1,221	1,320
AT3G09630_1	0,971	1,082	0,853
AT3G09630_2	0,945	1,080	0,858
AT3G09640_1	1,054	1,186	1,785
AT3G09640_2	1,099	1,227	2,207
AT3G09650_1	1,173	0,910	0,412
AT3G09660_1	0,868	0,578	0,389

AGI	NaCl-Kontrolle zur H₂O-Kontrolle (log₂)	H₂O +B.c. zur H₂O-Kontrolle (log₂)	NaCl +B.c. zur H₂O-Kontrolle (log₂)
AT3G09670_1	1,016	1,175	0,956
AT3G09680_1	1,268	1,502	1,538
AT3G09690_1	0,936	0,714	1,139
AT3G09700_1	1,004	1,266	1,196
AT3G09710_1	0,929	0,609	0,418
AT3G09720_1	1,186	1,697	1,068
AT3G09730_1	0,997	0,266	0,260
AT3G09735_1	0,778	0,843	1,088
AT3G09740_1	0,937	0,981	0,969
AT3G09750_1	1,129	1,431	1,637
AT3G09760_1	1,124	1,114	1,523
AT3G09770_1	1,080	0,948	1,323
AT3G09770_2	1,308	0,766	1,288
AT3G09780_1	0,824	0,811	0,565
AT3G09790_1	1,132	1,000	1,044
AT3G09800_1	0,964	0,229	0,150
AT3G09800_2	1,007	0,470	0,506
AT3G09810_1	0,826	1,494	2,331
AT3G09820_1	0,830	0,461	0,338
AT3G09820_2	0,989	0,926	0,938
AT3G09830_1	0,766	2,736	2,302
AT3G09840_1	1,014	1,159	1,272
AT3G09850_1	0,957	0,983	1,280
AT3G09860_1	0,848	0,390	0,365
AT3G09863_1	0,842	0,716	1,014
AT3G09870_1	1,097	0,995	1,124
AT3G09880_1	1,028	1,059	1,143
AT3G09890_1	0,953	1,459	1,670
AT3G09890_2	1,043	1,052	1,303
AT3G09900_1	0,978	0,514	0,847
AT3G09910_1	1,565	0,940	4,057
AT3G09915_1	1,064	1,278	1,299
AT3G09920_1	0,849	1,422	1,248
AT3G09922_1	1,094	1,047	1,078
AT3G09925_1	1,071	1,106	1,147
AT3G09930_1	1,077	1,031	1,081
AT3G09940_1	0,633	26,663	21,967
AT3G09940_2	0,475	66,225	53,215
AT3G09950_1	1,003	31,848	26,455
AT3G09960_1	1,145	2,793	3,576
AT3G09970_1	0,972	1,572	1,685
AT3G09975_1	1,199	1,286	1,725
AT3G09980_1	0,977	0,786	0,693
AT3G09990_1	0,982	1,101	1,195
AT3G10000_1	1,210	1,218	1,392
AT3G10010_1	0,854	0,451	0,709
AT3G10020_1	0,917	0,241	0,359
AT3G10020_2	0,940	0,192	0,320
AT3G10030_1	0,956	1,033	1,149
AT3G10030_2	0,762	0,835	1,573

AGI	NaCl-Kontrolle zur H₂O-Kontrolle (log₂)	H₂O +B.c. zur H₂O-Kontrolle (log₂)	NaCl +B.c. zur H₂O-Kontrolle (log₂)
AT3G10040_1	0,961	0,549	0,307
AT3G10050_1	1,151	1,118	0,615
AT3G10060_1	0,940	0,273	0,100
AT3G10070_1	1,066	1,014	1,322
AT3G10080_1	0,724	0,292	0,077
AT3G10090_1	0,982	0,962	0,904
AT3G10100_1	1,188	2,160	1,466
AT3G10110_1	0,981	1,158	1,036
AT3G10113_1	0,848	0,518	0,172
AT3G10114_1	0,984	1,329	1,194
AT3G10116_1	1,099	1,284	1,496
AT3G10120_1	1,293	0,578	0,266
AT3G10130_1	1,121	0,728	0,883
AT3G10140_1	0,938	0,465	0,322
AT3G10150_1	1,400	1,122	0,907
AT3G10160_1	0,966	0,661	0,385
AT3G10180_1	0,715	0,297	0,334
AT3G10185_1	1,373	0,530	0,613
AT3G10190_1	0,956	1,256	1,746
AT3G10195_1	1,003	1,053	1,145
AT3G10200_1	1,128	0,377	0,127
AT3G10210_1	1,004	1,030	1,350
AT3G10220_1	0,979	0,949	0,827
AT3G10230_1	0,961	0,907	0,809
AT3G10240_1	0,806	0,937	0,965
AT3G10250_1	1,119	1,275	1,838
AT3G10250_2	1,058	1,261	1,829
AT3G10260_1	0,798	1,596	1,376
AT3G10260_2	0,782	1,580	1,391
AT3G10260_3	0,757	1,484	1,200
AT3G10270_1	1,176	0,488	0,253
AT3G10280_1	0,700	0,740	0,775
AT3G10282_1	1,116	1,224	1,526
AT3G10290_1	1,109	0,969	0,863
AT3G10300_1	1,260	1,335	1,750
AT3G10300_2	1,113	0,605	1,258
AT3G10300_3	1,143	1,210	1,565
AT3G10300_4	1,137	1,225	1,554
AT3G10310_1	0,637	0,678	0,736
AT3G10320_1	0,883	112,407	196,581
AT3G10330_1	0,976	0,707	0,761
AT3G10340_1	1,092	3,032	7,003
AT3G10350_1	1,087	0,750	0,617
AT3G10360_1	0,973	0,436	0,633
AT3G10370_1	1,046	2,019	3,339
AT3G10380_1	0,936	1,237	1,382
AT3G10390_1	1,012	0,803	1,167
AT3G10400_1	0,969	2,012	2,057
AT3G10405_1	0,971	0,267	0,118
AT3G10410_1	1,293	0,599	1,043

AGI	NaCl-Kontrolle zur H₂O-Kontrolle (log₂)	H₂O +B.c. zur H₂O-Kontrolle (log₂)	NaCl +B.c. zur H₂O-Kontrolle (log₂)
AT3G10420_1	0,881	1,368	4,934
AT3G10420_2	0,901	1,274	1,926
AT3G10430_1	0,984	1,146	1,003
AT3G10439_1	0,922	2,306	2,444
AT3G10440_1	1,076	0,233	0,251
AT3G10450_1	0,891	1,249	6,121
AT3G10450_2	0,952	0,923	1,087
AT3G10460_1	0,980	1,233	1,445
AT3G10470_1	1,061	1,203	1,455
AT3G10480_1	1,046	1,310	1,640
AT3G10480_2	1,055	1,326	1,702
AT3G10480_3	0,779	0,590	1,395
AT3G10490_1	0,990	1,585	1,884
AT3G10490_2	0,980	1,545	1,942
AT3G10500_1	0,892	4,320	5,384
AT3G10510_1	1,118	1,239	1,901
AT3G10520_1	0,994	0,304	0,013
AT3G10525_1	0,875	0,780	1,274
AT3G10530_1	1,336	1,620	1,253
AT3G10540_1	0,942	0,980	1,011
AT3G10550_1	0,975	0,667	1,290
AT3G10560_1	1,076	1,000	0,984
AT3G10570_1	1,187	0,442	0,417
AT3G10572_1	1,063	0,515	0,727
AT3G10575_1	0,982	0,983	0,986
AT3G10580_1	1,070	1,230	1,313
AT3G10580_2	1,196	1,176	1,419
AT3G10585_1	0,910	0,978	1,072
AT3G10590_1	0,887	0,956	1,357
AT3G10595_1	1,053	1,069	1,166
AT3G10600_1	0,959	0,646	0,563
AT3G10610_1	0,849	1,147	0,763
AT3G10620_1	0,882	0,734	0,737
AT3G10630_1	0,944	0,723	0,691
AT3G10640_1	0,738	1,829	2,366
AT3G10640_2	0,820	1,854	2,444
AT3G10650_1	1,052	1,445	1,271
AT3G10660_1	0,927	0,925	0,728
AT3G10670_1	0,987	0,672	0,739
AT3G10680_1	0,856	0,660	0,806
AT3G10690_1	1,160	0,539	0,377
AT3G10700_1	0,879	0,649	0,433
AT3G10710_1	1,082	1,077	1,158
AT3G10720_1	0,596	0,452	0,128
AT3G10720_2	0,622	0,453	0,108
AT3G10730_1	1,003	0,863	0,797
AT3G10740_1	0,909	0,664	1,836
AT3G10745_1	1,117	1,152	1,173
AT3G10750_1	1,133	1,250	1,665
AT3G10760_1	0,966	1,432	1,300

AGI	NaCl-Kontrolle zur H₂O-Kontrolle (log₂)	H₂O +B.c. zur H₂O-Kontrolle (log₂)	NaCl +B.c. zur H₂O-Kontrolle (log₂)
AT3G10770_1	1,032	0,969	1,017
AT3G10770_2	1,041	0,953	1,007
AT3G10780_1	1,002	1,127	1,821
AT3G10790_1	0,975	1,253	2,265
AT3G10800_1	1,026	2,039	2,133
AT3G10810_1	1,001	0,913	0,628
AT3G10815_1	1,001	17,633	17,958
AT3G10820_1	0,876	1,678	2,084
AT3G10830_1	0,971	0,981	1,042
AT3G10840_1	1,181	0,535	0,077
AT3G10845_1	1,212	1,335	1,500
AT3G10850_1	1,051	0,802	0,685
AT3G10860_1	0,940	0,949	1,443
AT3G10870_1	1,136	0,177	0,233
AT3G10880_1	0,874	0,626	0,744
AT3G10890_1	1,012	0,976	1,023
AT3G10900_1	0,994	1,111	1,030
AT3G10910_1	0,855	0,990	2,311
AT3G10915_1	0,825	1,133	1,780
AT3G10915_2	0,850	1,066	1,130
AT3G10915_3	0,801	0,661	0,903
AT3G10915_5	0,826	1,002	1,047
AT3G10920_1	0,958	0,894	0,992
AT3G10920_2	0,965	0,909	0,985
AT3G10930_1	0,854	3,128	6,100
AT3G10940_1	1,080	0,141	0,184
AT3G10950_1	1,244	1,298	1,243
AT3G10960_1	0,558	0,775	1,221
AT3G10970_1	1,008	0,696	1,014
AT3G10974_1	1,154	1,120	1,154
AT3G10980_1	0,915	1,327	1,180
AT3G10985_1	0,637	2,653	2,437
AT3G10986_1	1,028	1,353	1,780
AT3G10990_1	1,089	1,157	1,171
AT3G11000_1	0,781	0,810	1,100
AT3G11010_1	0,659	0,534	1,367
AT3G11020_1	1,346	0,179	0,693
AT3G11030_1	0,951	0,849	1,124
AT3G11040_1	0,875	0,937	0,706
AT3G11050_1	0,892	0,920	1,095
AT3G11060_1	0,964	1,252	1,312
AT3G11070_1	1,011	0,786	0,566
AT3G11080_1	0,933	2,919	7,720
AT3G11090_1	1,126	0,539	0,800
AT3G11100_1	0,946	0,950	1,437
AT3G11110_1	0,853	0,986	0,310
AT3G11120_1	0,819	0,311	0,164
AT3G11130_1	0,994	1,172	1,171
AT3G11150_1	0,887	39,923	78,539
AT3G11160_1	0,969	1,175	1,129

AGI	NaCl-Kontrolle zur H₂O-Kontrolle (log₂)	H₂O +B.c. zur H₂O-Kontrolle (log₂)	NaCl +B.c. zur H₂O-Kontrolle (log₂)
AT3G11165_1	1,070	1,177	1,256
AT3G11170_1	1,014	1,332	1,204
AT3G11180_1	1,059	2,034	2,148
AT3G11200_1	0,893	1,171	1,427
AT3G11200_2	0,892	1,174	1,460
AT3G11210_1	0,620	0,480	0,508
AT3G11220_1	1,091	1,947	2,328
AT3G11220_2	1,139	1,419	1,507
AT3G11230_1	0,861	0,840	2,048
AT3G11230_2	0,875	0,842	2,024
AT3G11240_1	0,965	0,614	1,151
AT3G11250_1	1,059	0,890	0,703
AT3G11260_1	0,727	0,465	0,492
AT3G11270_1	1,097	0,906	1,329
AT3G11280_1	0,966	0,685	0,530
AT3G11280_2	0,882	0,537	0,488
AT3G11285_1	0,980	1,062	1,092
AT3G11290_1	0,980	0,887	0,745
AT3G11300_1	0,952	1,099	1,021
AT3G11310_1	1,170	1,575	1,917
AT3G11320_1	0,897	1,454	1,548
AT3G11325_1	1,081	1,171	1,410
AT3G11330_1	0,933	2,298	3,380
AT3G11340_1	0,478	48,975	107,804
AT3G11350_1	0,928	0,888	0,974
AT3G11370_1	0,967	1,124	1,276
AT3G11380_1	1,003	1,067	1,214
AT3G11385_1	0,929	1,005	1,235
AT3G11390_1	0,910	0,866	0,959
AT3G11397_1	0,989	1,088	1,298
AT3G11400_1	0,933	1,035	0,881
AT3G11400_2	1,129	1,126	1,175
AT3G11402_1	0,528	0,707	2,394
AT3G11405_1	0,983	1,009	1,249
AT3G11410_1	1,363	0,798	1,761
AT3G11420_1	1,231	0,966	1,205
AT3G11430_1	1,062	1,264	1,920
AT3G11435_1	1,003	0,996	1,030
AT3G11440_1	0,838	0,720	1,001
AT3G11450_1	0,958	0,965	1,031
AT3G11460_1	1,379	0,523	0,289
AT3G11470_1	0,973	1,100	1,856
AT3G11470_2	0,979	1,128	1,866
AT3G11470_3	1,042	1,122	1,860
AT3G11480_1	1,134	103,439	208,350
AT3G11490_1	0,878	1,067	0,730
AT3G11500_1	0,925	0,541	0,386
AT3G11510_1	0,899	0,782	0,544
AT3G11520_1	0,692	0,412	0,283
AT3G11530_1	0,991	0,971	1,305

AGI	NaCl-Kontrolle zur H₂O-Kontrolle (log₂)	H₂O +B.c. zur H₂O-Kontrolle (log₂)	NaCl +B.c. zur H₂O-Kontrolle (log₂)
AT3G11530_2	0,859	1,043	1,294
AT3G11540_1	0,890	0,892	0,989
AT3G11540_2	1,149	1,007	0,947
AT3G11550_1	1,130	1,065	1,075
AT3G11560_1	1,007	0,370	0,347
AT3G11560_2	1,061	0,727	0,546
AT3G11560_3	1,037	0,753	0,548
AT3G11560_4	1,026	0,699	0,542
AT3G11570_1	0,958	3,575	10,423
AT3G11580_1	1,614	0,693	3,120
AT3G11580_2	1,139	0,679	1,692
AT3G11590_1	1,123	0,455	0,339
AT3G11591_1	1,086	1,168	1,403
AT3G11600_1	0,969	1,305	7,140
AT3G11620_1	1,045	0,933	1,050
AT3G11620_2	1,073	0,719	0,723
AT3G11620_3	0,992	0,745	0,719
AT3G11620_4	0,989	0,729	0,780
AT3G11630_1	0,968	0,361	0,135
AT3G11640_1	1,023	1,093	1,358
AT3G11650_1	0,852	0,823	0,885
AT3G11660_1	0,777	1,137	1,554
AT3G11670_1	1,016	1,372	1,039
AT3G11670_2	1,110	1,428	1,075
AT3G11673_1	0,993	1,138	1,277
AT3G11680_1	1,008	1,093	1,238
AT3G11690_1	1,127	1,734	2,181
AT3G11700_1	0,892	0,832	0,226
AT3G11710_1	1,050	0,996	0,850
AT3G11720_1	1,085	0,358	0,629
AT3G11720_2	1,071	0,351	0,660
AT3G11730_1	0,938	0,856	0,590
AT3G11740_1	1,049	1,160	1,058
AT3G11745_1	1,033	0,905	0,962
AT3G11750_1	0,842	0,442	0,283
AT3G11760_1	0,847	0,602	0,715
AT3G11770_1	0,968	1,341	1,316
AT3G11773_1	0,845	1,048	1,281
AT3G11780_1	0,755	0,981	2,216
AT3G11800_1	0,876	0,731	0,888
AT3G11810_1	0,957	0,936	1,034
AT3G11820_1	0,618	1,720	1,489
AT3G11820_2	0,775	1,516	1,353
AT3G11825_1	1,108	1,228	1,433
AT3G11830_1	1,092	0,999	0,557
AT3G11840_1	0,786	4,788	5,745
AT3G11850_1	0,888	0,778	0,583
AT3G11860_1	0,967	0,949	0,878
AT3G11870_1	0,909	0,975	1,003
AT3G11880_1	1,099	1,801	1,861

AGI	NaCl-Kontrolle zur H₂O-Kontrolle (log₂)	H₂O +B.c. zur H₂O-Kontrolle (log₂)	NaCl +B.c. zur H₂O-Kontrolle (log₂)
AT3G11890_1	1,011	0,737	0,775
AT3G11890_2	0,931	0,769	0,798
AT3G11900_1	0,825	1,748	1,849
AT3G11910_1	1,113	0,911	1,064
AT3G11920_1	1,064	1,131	1,399
AT3G11930_1	1,045	0,999	1,097
AT3G11930_2	1,069	1,038	1,181
AT3G11930_3	1,112	0,914	1,034
AT3G11930_4	1,140	0,896	1,154
AT3G11940_1	0,926	0,844	0,794
AT3G11940_2	1,003	0,976	0,710
AT3G11945_1	0,924	0,423	0,403
AT3G11945_2	0,983	0,960	0,946
AT3G11950_1	0,948	1,657	1,746
AT3G11960_1	0,799	0,725	0,832
AT3G11960_2	0,978	0,936	1,098
AT3G11964_1	1,150	1,120	0,742
AT3G11970_1	1,346	1,455	1,792
AT3G11980_1	1,078	0,944	1,112
AT3G11990_1	1,095	1,040	1,086
AT3G12000_1	1,176	0,982	1,116
AT3G12010_1	1,133	0,865	0,936
AT3G12020_1	1,112	0,589	0,972
AT3G12030_1	1,008	1,320	1,268
AT3G12040_1	0,863	1,457	1,749
AT3G12050_1	0,924	2,223	2,084
AT3G12050_2	0,854	1,958	1,983
AT3G12060_1	1,165	0,865	0,856
AT3G12070_1	1,060	1,050	1,895
AT3G12070_2	1,088	1,117	1,900
AT3G12080_1	1,042	0,549	0,230
AT3G12080_2	1,028	0,536	0,228
AT3G12090_1	1,220	0,813	1,072
AT3G12100_1	0,912	0,756	1,081
AT3G12100_2	1,008	0,750	0,828
AT3G12110_1	0,770	0,839	0,477
AT3G12120_1	1,162	0,872	0,753
AT3G12120_2	1,028	0,454	0,452
AT3G12130_1	1,007	1,186	1,250
AT3G12140_1	0,998	1,038	1,114
AT3G12140_3	0,879	0,606	1,997
AT3G12143_1	1,329	1,660	2,073
AT3G12145_1	0,766	2,698	1,654
AT3G12150_1	0,783	0,471	0,391
AT3G12160_1	1,225	1,073	1,116
AT3G12170_1	0,662	0,455	0,401
AT3G12180_1	0,795	1,431	1,862
AT3G12190_1	1,022	0,946	0,989
AT3G12200_1	1,029	0,988	0,854
AT3G12203_1	1,002	0,900	1,071

AGI	NaCl-Kontrolle zur H₂O-Kontrolle (log₂)	H₂O +B.c. zur H₂O-Kontrolle (log₂)	NaCl +B.c. zur H₂O-Kontrolle (log₂)
AT3G12210_1	1,042	0,591	0,379
AT3G12210_2	1,030	0,581	0,396
AT3G12220_1	0,615	0,335	2,329
AT3G12230_1	0,973	0,986	6,464
AT3G12240_1	0,937	1,002	1,172
AT3G12250_1	1,025	0,842	0,995
AT3G12250_3	1,029	0,789	0,842
AT3G12250_4	1,072	0,913	0,979
AT3G12250_5	1,006	0,799	1,034
AT3G12260_1	0,948	0,794	1,310
AT3G12270_1	1,121	1,517	1,032
AT3G12280_1	0,916	1,024	0,868
AT3G12290_1	0,979	0,795	0,873
AT3G12300_1	0,904	1,790	2,268
AT3G12320_1	0,932	1,715	1,558
AT3G12340_1	1,140	1,695	1,140
AT3G12345_1	0,872	0,348	0,168
AT3G12350_1	1,023	1,243	1,384
AT3G12360_1	0,902	1,044	1,151
AT3G12370_1	0,990	1,195	0,875
AT3G12380_1	1,071	0,911	1,052
AT3G12390_1	0,947	0,881	0,518
AT3G12400_1	1,009	1,319	1,634
AT3G12410_1	1,220	1,322	1,487
AT3G12420_1	1,230	1,251	1,456
AT3G12430_1	1,125	1,070	1,090
AT3G12440_1	1,234	1,549	1,674
AT3G12450_1	1,190	1,480	1,814
AT3G12460_1	1,168	0,982	1,045
AT3G12470_1	1,124	1,208	1,397
AT3G12480_1	0,950	1,246	1,291
AT3G12490_1	1,054	0,583	0,997
AT3G12490_2	1,059	0,612	1,103
AT3G12500_1	1,661	21,519	23,701
AT3G12502_1	0,978	3,270	8,805
AT3G12510_1	0,712	2,466	7,792
AT3G12520_1	1,669	0,768	1,468
AT3G12530_1	0,930	0,405	0,218
AT3G12530_2	0,951	0,446	0,278
AT3G12540_1	0,875	0,970	1,095
AT3G12545_1	1,061	1,034	1,121
AT3G12550_1	0,960	0,371	0,662
AT3G12560_1	0,810	0,691	1,274
AT3G12570_1	0,884	1,375	1,595
AT3G12570_4	0,909	1,400	1,583
AT3G12580_1	1,266	20,028	21,363
AT3G12587_1	1,021	0,881	0,941
AT3G12590_1	1,063	0,729	0,611
AT3G12600_1	0,726	1,554	1,435
AT3G12600_2	0,729	1,664	1,602

AGI	NaCl-Kontrolle zur H₂O-Kontrolle (log₂)	H₂O +B.c. zur H₂O-Kontrolle (log₂)	NaCl +B.c. zur H₂O-Kontrolle (log₂)
AT3G12610_1	0,714	0,148	0,013
AT3G12620_1	0,918	1,111	1,352
AT3G12630_1	1,112	1,459	1,985
AT3G12640_1	1,013	0,969	1,237
AT3G12650_1	0,900	1,444	1,410
AT3G12660_1	1,092	1,286	1,510
AT3G12670_1	1,141	1,044	0,624
AT3G12680_1	1,072	1,076	1,033
AT3G12685_1	0,864	0,527	0,183
AT3G12690_1	0,993	0,550	0,344
AT3G12700_1	0,428	0,164	0,565
AT3G12700_2	0,494	0,202	0,524
AT3G12710_1	0,646	0,089	0,041
AT3G12720_1	1,157	1,158	1,152
AT3G12730_1	0,982	0,820	1,287
AT3G12740_1	0,818	1,921	2,256
AT3G12750_1	0,670	0,750	1,601
AT3G12760_1	0,984	1,337	1,542
AT3G12770_1	1,387	0,847	0,633
AT3G12775_1	1,065	1,120	1,281
AT3G12780_1	1,053	0,626	0,344
AT3G12800_1	1,032	1,352	1,994
AT3G12810_1	1,103	0,684	0,836
AT3G12820_1	1,003	0,439	0,387
AT3G12830_1	0,702	1,977	8,446
AT3G12835_1	1,668	1,556	2,559
AT3G12840_1	1,000	0,917	1,009
AT3G12850_1	1,158	1,134	1,136
AT3G12860_1	1,346	1,453	1,148
AT3G12870_1	0,755	0,663	0,584
AT3G12880_1	1,197	1,299	1,376
AT3G12890_1	1,042	1,071	1,199
AT3G12900_1	1,173	1,204	1,423
AT3G12910_1	0,485	4,906	10,764
AT3G12915_1	0,975	0,746	0,618
AT3G12920_1	0,628	0,718	0,256
AT3G12930_1	1,040	0,258	0,058
AT3G12940_1	1,100	0,928	0,884
AT3G12950_1	1,180	0,417	0,465
AT3G12955_1	1,022	1,058	1,119
AT3G12960_1	0,993	1,333	1,767
AT3G12965_1	1,097	0,756	0,689
AT3G12970_1	1,101	0,867	0,987
AT3G12977_1	0,987	1,170	1,210
AT3G12980_1	0,976	0,739	0,942
AT3G12981_1	1,058	1,062	1,005
AT3G12990_1	0,966	0,929	0,767
AT3G12990_2	1,074	0,953	0,762
AT3G13000_1	1,069	0,274	0,123
AT3G13010_1	1,112	1,163	1,182

AGI	NaCl-Kontrolle zur H₂O-Kontrolle (log₂)	H₂O +B.c. zur H₂O-Kontrolle (log₂)	NaCl +B.c. zur H₂O-Kontrolle (log₂)
AT3G13020_1	1,029	0,792	0,650
AT3G13030_1	0,864	0,585	0,260
AT3G13030_2	0,870	0,620	0,256
AT3G13040_1	1,131	0,923	0,984
AT3G13050_1	0,930	2,224	2,025
AT3G13060_1	0,966	0,730	0,831
AT3G13060_2	0,955	0,707	0,862
AT3G13061_1	0,845	0,852	0,906
AT3G13062_1	0,785	0,621	0,890
AT3G13062_2	1,239	0,495	0,543
AT3G13062_3	0,769	0,652	0,953
AT3G13065_1	1,209	0,385	0,383
AT3G13070_1	0,919	0,841	1,079
AT3G13080_1	0,890	3,705	6,139
AT3G13080_2	0,886	3,712	5,989
AT3G13080_3	0,856	3,701	14,563
AT3G13080_4	0,912	5,662	16,546
AT3G13090_1	1,106	2,258	3,937
AT3G13100_1	0,869	3,005	5,821
AT3G13110_1	0,803	1,996	1,706
AT3G13120_1	0,861	0,563	0,285
AT3G13130_1	1,068	1,242	2,609
AT3G13140_1	1,255	1,351	1,508
AT3G13150_1	1,357	1,382	0,788
AT3G13160_1	1,274	0,799	0,505
AT3G13170_1	0,964	0,868	0,896
AT3G13175_1	1,039	0,772	0,966
AT3G13180_1	0,978	0,291	0,099
AT3G13190_1	1,039	0,453	0,390
AT3G13190_3	1,054	0,412	0,314
AT3G13200_1	1,001	1,043	1,459
AT3G13205_1	1,187	1,325	1,366
AT3G13210_1	1,117	1,139	1,025
AT3G13220_1	1,066	1,135	1,241
AT3G13222_1	1,005	0,785	0,499
AT3G13224_1	0,985	0,511	0,833
AT3G13224_2	0,947	1,120	1,266
AT3G13225_1	1,003	0,812	0,894
AT3G13226_1	1,041	0,798	0,705
AT3G13227_1	1,372	1,294	1,430
AT3G13228_1	0,972	1,124	1,174
AT3G13229_1	1,057	1,119	1,424
AT3G13230_1	0,979	2,300	1,555
AT3G13235_1	0,940	0,947	1,053
AT3G13240_1	0,905	0,220	0,387
AT3G13250_1	0,963	0,633	0,784
AT3G13260_1	1,366	0,409	0,466
AT3G13270_1	1,326	3,039	1,366
AT3G13275_1	0,946	1,424	2,251
AT3G13277_1	1,332	1,728	2,614

AGI	NaCl-Kontrolle zur H₂O-Kontrolle (log₂)	H₂O +B.c. zur H₂O-Kontrolle (log₂)	NaCl +B.c. zur H₂O-Kontrolle (log₂)
AT3G13280_1	1,061	1,095	1,254
AT3G13290_1	1,116	1,030	0,988
AT3G13300_1	1,093	1,092	1,080
AT3G13310_1	0,994	1,408	1,974
AT3G13320_1	0,927	1,399	1,587
AT3G13330_1	1,134	0,843	1,666
AT3G13340_1	1,079	0,844	0,977
AT3G13350_1	0,960	0,730	0,741
AT3G13360_1	0,956	0,550	0,455
AT3G13370_1	1,076	1,021	1,106
AT3G13380_1	1,345	2,987	4,984
AT3G13390_1	1,118	1,171	1,231
AT3G13400_1	1,055	1,161	1,028
AT3G13403_1	0,735	0,152	0,137
AT3G13404_1	0,647	0,127	0,105
AT3G13410_1	0,990	0,790	0,884
AT3G13420_1	0,828	0,597	0,580
AT3G13430_1	0,857	1,596	2,307
AT3G13430_2	0,798	1,409	2,246
AT3G13432_1	1,027	1,186	2,326
AT3G13433_1	0,924	4,614	15,096
AT3G13435_1	1,028	1,054	1,150
AT3G13437_1	0,356	0,393	0,277
AT3G13438_1	0,926	0,892	0,943
AT3G13440_1	1,001	1,027	1,064
AT3G13445_1	0,812	1,184	1,385
AT3G13445_2	0,758	0,819	1,672
AT3G13450_1	0,905	1,260	3,570
AT3G13460_1	1,034	1,102	0,848
AT3G13460_3	1,034	1,112	0,862
AT3G13470_1	0,921	0,785	0,517
AT3G13480_1	0,968	1,003	1,060
AT3G13490_1	0,971	0,615	0,794
AT3G13500_1	1,129	1,623	3,801
AT3G13510_1	0,929	0,846	0,159
AT3G13520_1	0,638	1,597	2,161
AT3G13525_1	1,495	1,399	1,493
AT3G13530_1	1,033	0,872	0,905
AT3G13540_1	1,028	0,886	1,095
AT3G13550_1	0,798	0,484	1,300
AT3G13550_2	1,204	0,987	1,076
AT3G13560_1	0,991	0,228	0,084
AT3G13570_1	1,120	1,219	0,677
AT3G13580_1	1,045	1,121	0,825
AT3G13580_2	0,904	0,961	0,781
AT3G13580_3	1,010	0,941	0,990
AT3G13590_1	0,580	0,289	0,375
AT3G13594_1	0,980	0,988	1,217
AT3G13600_1	1,028	2,785	4,871
AT3G13610_1	0,909	15,202	82,528

AGI	NaCl-Kontrolle zur H₂O-Kontrolle (log₂)	H₂O +B.c. zur H₂O-Kontrolle (log₂)	NaCl +B.c. zur H₂O-Kontrolle (log₂)
AT3G13620_1	1,148	2,358	1,810
AT3G13624_1	1,082	1,049	1,181
AT3G13630_1	1,118	1,198	1,401
AT3G13630_2	1,202	1,244	1,576
AT3G13640_1	0,725	0,384	0,426
AT3G13650_1	0,768	2,979	7,379
AT3G13660_1	1,144	1,222	1,338
AT3G13662_1	1,000	1,415	1,259
AT3G13670_1	1,050	1,201	1,177
AT3G13672_1	1,165	1,575	3,979
AT3G13672_2	1,157	1,558	4,023
AT3G13674_1	0,764	0,307	0,214
AT3G13677_1	0,986	1,085	1,121
AT3G13677_2	0,811	0,584	0,662
AT3G13680_1	0,972	1,138	1,030
AT3G13682_1	0,864	0,865	0,754
AT3G13686_1	1,141	1,394	1,666
AT3G13690_1	0,981	0,597	0,222
AT3G13700_1	0,884	0,337	0,144
AT3G13700_2	0,878	0,371	0,116
AT3G13720_1	0,753	0,848	0,925
AT3G13724_1	0,988	0,929	0,947
AT3G13730_1	1,124	5,757	3,950
AT3G13740_1	1,003	0,303	0,133
AT3G13750_1	0,835	0,488	0,575
AT3G13760_1	0,997	1,432	1,602
AT3G13770_1	1,241	0,623	0,489
AT3G13772_1	1,069	1,006	1,079
AT3G13780_1	0,937	1,016	1,248
AT3G13782_1	0,920	0,865	1,847
AT3G13784_1	1,404	1,451	2,001
AT3G13790_1	0,179	2,334	3,226
AT3G13800_1	0,760	0,810	0,597
AT3G13810_1	1,162	1,757	2,028
AT3G13820_1	0,933	0,971	1,036
AT3G13825_1	1,385	1,092	0,950
AT3G13830_1	1,036	0,958	1,088
AT3G13840_1	0,892	0,789	0,918
AT3G13845_1	1,086	0,829	1,144
AT3G13850_1	0,773	0,839	0,747
AT3G13855_1	0,986	0,997	1,055
AT3G13857_1	1,011	1,083	1,446
AT3G13860_1	1,040	1,051	0,752
AT3G13870_1	1,027	1,015	1,079
AT3G13880_1	1,202	0,613	0,384
AT3G13882_1	0,584	0,756	0,515
AT3G13882_2	0,963	0,967	1,015
AT3G13890_1	0,928	0,858	0,825
AT3G13890_2	0,927	1,002	1,103
AT3G13900_1	0,961	1,967	5,032

AGI	NaCl-Kontrolle zur H₂O-Kontrolle (log₂)	H₂O +B.c. zur H₂O-Kontrolle (log₂)	NaCl +B.c. zur H₂O-Kontrolle (log₂)
AT3G13910_1	0,891	5,096	10,309
AT3G13920_1	1,018	1,140	1,002
AT3G13920_2	1,009	1,142	0,991
AT3G13920_3	1,001	1,138	0,974
AT3G13930_1	0,932	0,933	1,168
AT3G13940_1	1,129	2,392	1,930
AT3G13950_1	0,651	45,893	76,391
AT3G13960_1	1,102	1,047	1,107
AT3G13965_1	0,978	1,374	1,417
AT3G13970_1	0,969	0,711	1,030
AT3G13980_1	0,751	0,412	0,110
AT3G13990_1	1,014	0,943	0,948
AT3G13990_2	1,011	0,939	0,942
AT3G14000_1	0,923	0,131	0,210
AT3G14010_1	1,061	1,121	1,228
AT3G14020_1	0,923	1,130	1,018
AT3G14025_1	1,024	1,024	1,169
AT3G14030_1	1,110	1,099	1,253
AT3G14040_1	1,149	1,241	1,537
AT3G14050_1	0,782	2,702	3,001
AT3G14060_1	1,340	3,708	16,242
AT3G14067_1	1,097	1,131	1,100
AT3G14070_1	1,157	3,570	4,132
AT3G14075_1	1,014	1,084	1,199
AT3G14080_1	0,843	0,667	0,727
AT3G14080_2	0,812	0,616	0,697
AT3G14090_1	0,862	1,920	2,043
AT3G14100_1	1,093	1,204	1,005
AT3G14110_1	1,014	0,543	0,144
AT3G14110_2	0,972	0,560	0,268
AT3G14120_1	0,970	0,720	0,578
AT3G14120_2	1,210	0,648	0,348
AT3G14130_1	1,198	0,446	0,764
AT3G14140_1	1,183	1,068	1,146
AT3G14150_1	1,099	0,324	0,122
AT3G14150_2	1,127	0,314	0,101
AT3G14160_1	0,978	0,986	1,041
AT3G14170_1	0,975	0,180	0,128
AT3G14172_1	1,098	0,242	0,364
AT3G14180_1	1,126	1,106	1,181
AT3G14185_1	1,104	1,097	1,194
AT3G14190_1	0,781	0,750	0,692
AT3G14200_1	0,870	2,971	2,415
AT3G14205_1	1,004	1,776	1,853
AT3G14210_1	1,064	0,814	0,694
AT3G14220_1	0,918	0,416	0,345
AT3G14225_1	1,320	7,012	7,633
AT3G14230_1	1,216	1,251	1,160
AT3G14230_2	1,183	1,261	1,152
AT3G14230_3	1,176	1,271	1,174

AGI	NaCl-Kontrolle zur H₂O-Kontrolle (log₂)	H₂O +B.c. zur H₂O-Kontrolle (log₂)	NaCl +B.c. zur H₂O-Kontrolle (log₂)
AT3G14240_1	1,129	0,384	0,014
AT3G14250_1	0,975	1,133	1,174
AT3G14260_1	0,949	0,958	0,957
AT3G14270_1	1,044	1,057	1,398
AT3G14280_1	0,865	3,244	22,457
AT3G14290_1	1,016	0,717	0,838
AT3G14300_1	1,069	1,185	1,358
AT3G14310_1	0,851	0,924	0,314
AT3G14320_1	1,102	1,144	1,291
AT3G14330_1	1,085	0,303	0,054
AT3G14340_1	0,957	0,463	0,237
AT3G14350_1	1,107	0,468	0,226
AT3G14350_3	1,062	0,518	0,246
AT3G14360_1	2,232	0,413	1,274
AT3G14362_1	1,226	1,426	1,630
AT3G14370_1	1,123	0,447	0,393
AT3G14380_1	0,983	1,037	0,862
AT3G14385_1	1,197	1,293	1,544
AT3G14390_1	0,932	0,788	0,450
AT3G14395_1	0,827	0,615	0,873
AT3G14400_1	1,135	1,285	1,252
AT3G14410_1	0,986	0,364	0,535
AT3G14415_1	1,039	0,760	0,436
AT3G14420_1	1,029	0,989	0,708
AT3G14420_2	0,974	0,735	0,364
AT3G14420_3	1,031	0,968	0,686
AT3G14420_4	1,050	1,182	0,491
AT3G14420_5	1,023	0,978	0,642
AT3G14420_6	1,227	0,665	0,171
AT3G14430_1	0,834	0,875	1,786
AT3G14431_1	1,010	1,235	1,745
AT3G14440_1	1,346	3,384	6,226
AT3G14450_1	0,924	0,631	0,729
AT3G14452_1	0,955	0,711	1,002
AT3G14460_1	1,020	0,999	1,837
AT3G14470_1	0,802	1,114	1,753
AT3G14475_1	0,829	1,170	1,768
AT3G14480_1	1,356	1,544	1,498
AT3G14490_1	1,021	1,151	1,181
AT3G14500_1	1,038	1,136	1,240
AT3G14510_1	1,301	1,294	1,394
AT3G14515_1	1,116	1,201	1,215
AT3G14517_1	0,992	1,202	1,217
AT3G14520_1	1,055	1,204	1,231
AT3G14530_1	1,163	1,250	1,380
AT3G14540_1	1,086	0,980	0,988
AT3G14550_1	1,037	0,986	0,943
AT3G14560_1	1,070	0,572	1,251
AT3G14570_1	0,790	0,610	0,415
AT3G14580_1	1,206	0,694	0,487

AGI	NaCl-Kontrolle zur H₂O-Kontrolle (log₂)	H₂O +B.c. zur H₂O-Kontrolle (log₂)	NaCl +B.c. zur H₂O-Kontrolle (log₂)
AT3G14590_1	1,079	0,660	3,098
AT3G14590_2	1,111	0,729	3,059
AT3G14595_1	0,969	0,831	1,067
AT3G14600_1	0,984	1,004	0,772
AT3G14610_1	0,914	1,311	2,848
AT3G14620_1	1,171	4,116	5,086
AT3G14630_1	1,053	1,340	4,364
AT3G14640_1	1,215	1,137	0,997
AT3G14650_1	1,039	0,889	0,539
AT3G14660_1	1,022	1,044	1,663
AT3G14670_1	1,166	1,436	1,802
AT3G14670_2	1,217	1,436	1,665
AT3G14680_1	1,284	1,431	1,345
AT3G14690_1	1,144	0,852	1,044
AT3G14700_1	1,122	3,789	11,571
AT3G14710_1	0,976	2,325	5,438
AT3G14720_1	1,054	1,185	1,298
AT3G14730_1	1,117	0,682	0,367
AT3G14735_1	0,962	0,989	0,992
AT3G14740_1	0,536	0,365	0,339
AT3G14740_2	0,893	0,847	0,983
AT3G14750_1	1,007	0,778	0,715
AT3G14760_1	0,601	0,374	0,368
AT3G14770_1	0,742	1,358	2,056
AT3G14780_1	0,781	1,290	0,875
AT3G14790_1	0,924	0,860	0,654
AT3G14800_2	1,036	0,785	0,795
AT3G14810_1	0,919	0,799	1,717
AT3G14820_1	0,965	0,918	0,981
AT3G14830_1	0,993	0,957	1,238
AT3G14840_1	0,902	0,608	0,632
AT3G14840_2	0,844	0,777	0,740
AT3G14850_1	0,789	3,674	9,251
AT3G14850_2	0,879	3,305	10,650
AT3G14855_1	0,898	0,400	0,700
AT3G14860_1	1,014	0,761	0,639
AT3G14860_2	1,007	0,771	0,634
AT3G14870_1	0,752	7,616	4,794
AT3G14880_1	1,239	1,036	1,136
AT3G14890_1	0,926	0,149	0,061
AT3G14900_1	1,263	0,564	0,281
AT3G14910_1	1,018	0,745	1,296
AT3G14920_1	0,826	1,362	2,072
AT3G14930_1	0,938	0,410	0,255
AT3G14930_2	0,827	0,200	0,091
AT3G14940_1	1,178	0,371	0,431
AT3G14950_1	1,075	1,038	1,148
AT3G14960_1	1,064	1,348	1,516
AT3G14970_1	1,208	1,511	1,663
AT3G14980_1	1,019	0,165	0,055

AGI	NaCl-Kontrolle zur H₂O-Kontrolle (log₂)	H₂O +B.c. zur H₂O-Kontrolle (log₂)	NaCl +B.c. zur H₂O-Kontrolle (log₂)
AT3G14981_1	1,142	0,265	0,200
AT3G14990_1	1,027	4,461	5,898
AT3G15000_1	1,211	0,904	0,605
AT3G15010_1	1,200	1,425	1,359
AT3G15010_2	0,988	0,708	1,175
AT3G15020_1	1,136	0,918	1,881
AT3G15030_1	1,077	0,815	0,324
AT3G15030_2	1,037	0,769	0,296
AT3G15040_1	0,916	0,772	1,085
AT3G15050_1	0,926	0,782	0,784
AT3G15060_1	0,813	1,815	1,760
AT3G15070_1	0,969	0,774	1,063
AT3G15080_1	0,911	1,464	1,229
AT3G15090_1	0,934	1,296	1,382
AT3G15095_1	0,995	0,611	0,107
AT3G15095_3	0,960	0,598	0,095
AT3G15110_1	1,047	0,330	0,273
AT3G15115_1	0,975	0,895	0,658
AT3G15120_1	1,027	0,860	0,843
AT3G15130_1	1,197	0,492	0,365
AT3G15140_1	1,361	0,563	0,316
AT3G15150_1	0,927	1,094	0,853
AT3G15160_1	0,957	0,600	0,695
AT3G15170_1	1,393	1,551	1,678
AT3G15180_1	1,089	1,469	1,932
AT3G15190_1	0,901	0,447	0,181
AT3G15200_1	1,160	1,205	0,818
AT3G15210_1	1,102	2,147	1,661
AT3G15220_1	1,082	0,775	0,565
AT3G15240_2	1,037	1,056	1,211
AT3G15250_1	0,940	1,088	1,208
AT3G15260_1	0,991	1,639	1,485
AT3G15260_2	0,870	2,407	2,426
AT3G15270_1	1,361	0,425	0,235
AT3G15280_1	1,344	1,414	1,329
AT3G15290_1	0,976	0,964	1,546
AT3G15300_1	1,215	0,603	0,803
AT3G15310_1	0,978	1,078	0,338
AT3G15320_1	1,034	0,985	1,044
AT3G15330_1	1,061	1,316	1,687
AT3G15340_1	1,079	1,814	2,457
AT3G15350_1	1,220	0,742	1,370
AT3G15351_1	0,871	0,993	1,336
AT3G15351_2	0,958	0,970	0,891
AT3G15351_3	1,121	0,885	0,954
AT3G15352_1	1,048	3,770	5,133
AT3G15353_1	1,015	0,894	0,681
AT3G15354_1	1,155	1,230	0,689
AT3G15355_1	1,037	0,855	1,141
AT3G15356_1	0,271	3,925	2,993

AGI	NaCl-Kontrolle zur H ₂ O-Kontrolle (log ₂)	H ₂ O +B.c. zur H ₂ O-Kontrolle (log ₂)	NaCl +B.c. zur H ₂ O-Kontrolle (log ₂)
AT3G15357_1	1,145	1,554	1,739
AT3G15358_1	0,788	0,369	0,481
AT3G15359_1	1,060	1,189	1,240
AT3G15360_1	0,930	0,624	0,444
AT3G15370_1	1,152	1,870	2,089
AT3G15380_1	1,097	0,620	0,250
AT3G15390_1	0,945	0,488	0,542
AT3G15395_1	0,893	0,864	0,873
AT3G15395_2	0,947	0,606	0,994
AT3G15395_3	0,926	0,866	0,848
AT3G15395_4	0,901	0,846	0,892
AT3G15400_1	1,295	0,701	0,446
AT3G15400_2	1,194	0,672	0,403
AT3G15410_1	0,866	0,704	0,594
AT3G15420_1	0,882	0,581	0,889
AT3G15430_1	1,056	1,138	1,240
AT3G15440_1	0,918	0,838	1,111
AT3G15450_1	0,861	0,151	0,134
AT3G15450_2	0,828	0,116	0,107
AT3G15450_3	0,860	0,156	0,140
AT3G15460_1	1,055	1,116	0,807
AT3G15470_1	1,107	0,866	0,821
AT3G15480_1	0,896	0,514	0,210
AT3G15490_1	1,006	1,058	1,074
AT3G15500_1	0,544	14,206	20,157
AT3G15510_1	1,001	7,415	6,068
AT3G15518_1	0,623	16,589	16,344
AT3G15520_1	0,794	0,229	0,057
AT3G15530_1	0,935	0,858	0,304
AT3G15530_2	0,935	0,862	0,306
AT3G15534_1	1,290	1,968	12,537
AT3G15536_1	1,152	1,101	1,687
AT3G15540_1	0,536	0,395	0,181
AT3G15548_1	0,999	1,190	1,235
AT3G15550_1	0,785	0,320	0,241
AT3G15570_1	1,017	0,281	0,022
AT3G15578_1	1,106	1,358	1,789
AT3G15580_1	0,918	0,900	2,411
AT3G15590_1	1,188	1,145	0,850
AT3G15600_1	1,147	1,347	1,359
AT3G15602_1	1,073	1,023	0,950
AT3G15605_1	1,048	1,117	1,299
AT3G15605_2	1,016	0,995	1,002
AT3G15610_1	0,953	0,807	0,936
AT3G15620_1	0,560	0,891	0,503
AT3G15620_2	0,555	0,874	0,525
AT3G15630_1	0,467	0,046	0,022
AT3G15640_1	0,913	1,018	1,166
AT3G15640_2	0,861	0,987	1,103
AT3G15650_1	0,703	3,926	8,889

AGI	NaCl-Kontrolle zur H₂O-Kontrolle (log₂)	H₂O +B.c. zur H₂O-Kontrolle (log₂)	NaCl +B.c. zur H₂O-Kontrolle (log₂)
AT3G15660_1	0,980	0,876	1,196
AT3G15660_2	0,920	1,014	1,232
AT3G15670_1	1,171	1,094	1,391
AT3G15680_1	0,853	0,188	0,044
AT3G15690_1	1,006	0,697	0,732
AT3G15700_1	1,111	1,356	1,586
AT3G15710_1	0,885	0,654	0,759
AT3G15720_1	1,051	0,101	0,100
AT3G15720_2	1,061	0,102	0,088
AT3G15730_1	1,006	0,894	0,866
AT3G15740_1	0,908	0,707	0,934
AT3G15750_1	0,971	0,425	0,536
AT3G15760_1	0,729	0,653	2,139
AT3G15770_1	0,574	1,931	3,677
AT3G15770_2	0,562	1,818	3,390
AT3G15780_1	1,297	1,043	0,673
AT3G15790_1	1,093	0,964	0,608
AT3G15800_1	0,550	0,294	0,334
AT3G15810_1	0,888	1,717	2,209
AT3G15820_1	0,804	1,528	1,235
AT3G15830_1	1,040	1,773	2,293
AT3G15840_1	1,028	0,569	0,625
AT3G15840_2	1,006	0,539	0,582
AT3G15840_3	1,059	0,495	0,579
AT3G15840_4	1,097	0,154	0,213
AT3G15850_1	1,037	0,544	0,079
AT3G15860_1	1,403	1,416	2,065
AT3G15870_1	1,099	1,048	1,420
AT3G15880_1	1,063	1,247	1,371
AT3G15880_2	1,010	1,222	1,324
AT3G15890_1	1,043	1,426	1,954
AT3G15900_1	0,919	0,675	1,255
AT3G15909_1	1,058	1,049	1,101
AT3G15910_1	1,025	1,224	1,151
AT3G15920_1	0,930	0,656	0,994
AT3G15930_1	1,140	0,488	0,382
AT3G15935_1	1,044	1,080	1,057
AT3G15940_1	1,031	0,619	0,613
AT3G15950_1	1,155	15,460	7,120
AT3G15960_1	1,187	1,586	1,789
AT3G15970_1	1,155	0,878	0,657
AT3G15980_1	1,026	1,316	1,367
AT3G15980_2	0,800	1,230	1,740
AT3G15980_3	1,031	1,323	1,364
AT3G15990_1	0,574	9,266	11,617
AT3G16000_1	0,967	0,305	0,105
AT3G16010_1	1,040	0,684	0,358
AT3G16020_1	0,939	0,652	0,679
AT3G16030_1	0,978	2,261	2,716
AT3G16040_1	1,263	1,205	1,436

AGI	NaCl-Kontrolle zur H₂O-Kontrolle (log₂)	H₂O +B.c. zur H₂O-Kontrolle (log₂)	NaCl +B.c. zur H₂O-Kontrolle (log₂)
AT3G16050_1	1,084	9,353	8,207
AT3G16060_1	1,081	0,732	0,440
AT3G16070_1	0,617	0,373	0,377
AT3G16080_1	1,009	0,950	0,661
AT3G16090_1	0,932	1,079	1,200
AT3G16100_1	0,991	1,071	1,081
AT3G16110_1	1,136	0,961	0,969
AT3G16117_1	1,117	1,211	1,229
AT3G16120_1	1,316	0,733	0,958
AT3G16130_1	1,254	1,346	1,714
AT3G16140_1	0,945	0,621	0,271
AT3G16150_1	2,589	9,465	14,630
AT3G16160_1	1,194	0,808	0,801
AT3G16170_1	0,966	1,457	2,887
AT3G16175_1	0,980	1,676	2,640
AT3G16180_1	1,021	0,252	0,051
AT3G16190_1	1,254	0,866	1,517
AT3G16200_1	0,969	0,585	0,429
AT3G16210_1	1,162	1,128	1,261
AT3G16220_1	0,866	1,483	1,660
AT3G16230_1	1,226	0,998	1,395
AT3G16240_1	0,717	0,749	0,159
AT3G16250_1	0,957	0,100	0,008
AT3G16260_1	0,959	0,453	0,270
AT3G16270_1	0,999	1,625	1,527
AT3G16280_1	0,996	2,235	1,660
AT3G16290_1	1,035	0,422	0,307
AT3G16300_1	1,033	1,643	2,328
AT3G16310_1	1,111	1,169	0,827
AT3G16320_1	0,994	0,671	0,715
AT3G16330_1	1,074	4,748	13,933
AT3G16340_1	0,972	0,511	1,202
AT3G16350_1	0,927	0,771	0,444
AT3G16360_1	0,937	0,887	0,778
AT3G16370_1	0,778	0,333	0,015
AT3G16380_1	1,094	0,717	0,658
AT3G16390_1	1,217	2,219	1,922
AT3G16400_1	1,185	3,068	2,978
AT3G16410_1	1,145	1,954	1,763
AT3G16415_1	1,090	1,139	1,073
AT3G16420_1	1,111	5,877	2,879
AT3G16420_2	1,079	5,928	2,887
AT3G16430_1	1,041	1,332	1,323
AT3G16430_2	1,547	3,927	2,537
AT3G16432_1	0,830	0,935	1,041
AT3G16440_1	1,124	3,499	1,645
AT3G16450_1	1,408	34,805	12,419
AT3G16450_2	0,913	1,003	0,974
AT3G16460_1	0,817	5,094	2,966
AT3G16460_2	0,784	6,758	3,590

AGI	NaCl-Kontrolle zur H₂O-Kontrolle (log₂)	H₂O +B.c. zur H₂O-Kontrolle (log₂)	NaCl +B.c. zur H₂O-Kontrolle (log₂)
AT3G16470_1	1,146	3,544	2,460
AT3G16470_2	1,142	3,519	2,564
AT3G16480_1	1,048	0,914	0,857
AT3G16490_1	0,798	0,834	0,715
AT3G16500_1	0,898	2,914	1,731
AT3G16510_1	0,864	1,179	1,334
AT3G16520_1	0,968	0,465	0,366
AT3G16520_2	1,071	0,500	0,251
AT3G16520_3	0,803	0,560	0,375
AT3G16530_1	0,249	5,344	4,277
AT3G16540_1	0,894	0,857	0,872
AT3G16550_1	1,052	1,068	1,139
AT3G16555_1	0,963	0,960	1,090
AT3G16560_1	1,099	0,594	0,526
AT3G16565_1	0,988	1,035	2,106
AT3G16565_2	0,798	0,810	2,101
AT3G16570_1	0,792	0,669	0,348
AT3G16580_1	1,122	1,149	1,131
AT3G16590_1	1,025	1,078	1,257
AT3G16600_1	0,977	0,974	1,302
AT3G16610_1	1,190	0,735	0,505
AT3G16620_1	0,875	0,737	1,069
AT3G16630_1	0,987	0,858	0,886
AT3G16640_1	1,015	1,195	1,060
AT3G16650_1	1,287	1,465	1,136
AT3G16660_1	0,678	2,555	0,328
AT3G16670_1	0,060	0,581	0,016
AT3G16680_1	1,018	1,130	1,193
AT3G16690_1	0,419	1,999	0,140
AT3G16700_1	0,839	0,486	0,481
AT3G16700_2	0,749	0,281	0,283
AT3G16710_1	0,974	0,664	0,674
AT3G16712_1	0,757	0,629	0,642
AT3G16720_1	0,796	2,601	2,629
AT3G16730_1	0,919	0,710	0,601
AT3G16740_1	1,017	0,624	1,027
AT3G16750_1	0,941	0,352	0,235
AT3G16760_1	0,963	1,261	1,211
AT3G16760_2	0,975	1,477	1,535
AT3G16770_1	1,224	1,465	0,815
AT3G16780_1	0,853	1,092	0,873
AT3G16785_1	1,019	1,191	1,671
AT3G16800_1	0,902	1,072	1,238
AT3G16800_2	0,974	1,247	1,249
AT3G16800_3	0,835	0,756	0,713
AT3G16810_1	1,109	2,024	1,209
AT3G16820_1	0,963	0,914	0,943
AT3G16830_1	1,052	1,241	1,035
AT3G16840_1	1,023	1,185	0,808
AT3G16850_1	0,872	0,718	0,442

AGI	NaCl-Kontrolle zur H ₂ O-Kontrolle (log ₂)	H ₂ O +B.c. zur H ₂ O-Kontrolle (log ₂)	NaCl +B.c. zur H ₂ O-Kontrolle (log ₂)
AT3G16851_1	1,486	1,719	1,906
AT3G16857_1	0,831	0,931	1,268
AT3G16857_2	0,970	1,458	3,051
AT3G16860_1	0,833	10,900	13,162
AT3G16870_1	0,631	2,841	2,262
AT3G16880_1	1,043	1,117	1,085
AT3G16890_1	1,081	0,916	0,851
AT3G16895_1	1,118	1,125	1,176
AT3G16900_1	0,880	0,913	1,769
AT3G16910_1	1,316	1,937	1,987
AT3G16920_1	0,844	0,395	0,332
AT3G16930_1	1,294	1,793	2,828
AT3G16940_1	1,087	0,968	1,037
AT3G16950_1	1,187	1,919	0,922
AT3G16950_2	1,192	1,761	0,849
AT3G16960_1	1,028	1,094	1,217
AT3G16970_1	1,214	1,367	1,347
AT3G16980_1	0,857	0,791	1,121
AT3G16990_1	0,860	0,917	1,953
AT3G17000_1	1,047	1,413	2,544
AT3G17010_1	1,065	1,080	1,189
AT3G17020_1	0,987	0,950	1,151
AT3G17030_1	1,006	0,585	0,455
AT3G17040_1	0,966	0,689	0,296
AT3G17050_1	0,753	0,920	0,781
AT3G17060_1	1,020	1,143	1,205
AT3G17070_1	1,051	0,338	0,699
AT3G17080_1	0,988	1,093	1,199
AT3G17090_1	1,054	0,899	0,804
AT3G17100_1	1,002	0,962	1,368
AT3G17100_2	1,021	0,690	0,892
AT3G17110_1	1,301	3,510	7,584
AT3G17120_1	1,122	0,749	0,254
AT3G17120_2	1,169	1,020	0,176
AT3G17130_1	0,946	0,592	0,182
AT3G17140_1	1,226	1,193	1,290
AT3G17150_1	1,189	1,199	1,137
AT3G17152_1	0,948	0,954	0,967
AT3G17155_1	1,020	0,948	0,949
AT3G17160_1	0,880	0,766	0,331
AT3G17170_1	1,091	0,253	0,025
AT3G17180_1	1,427	0,696	1,416
AT3G17185_1	0,396	0,276	0,326
AT3G17185_2	0,947	0,920	0,905
AT3G17190_1	0,982	0,884	0,949
AT3G17190_2	1,291	1,242	1,163
AT3G17200_1	1,077	1,197	1,236
AT3G17203_1	1,187	1,216	1,500
AT3G17205_1	0,954	1,140	1,344
AT3G17210_1	0,891	0,579	0,341

AGI	NaCl-Kontrolle zur H₂O-Kontrolle (log₂)	H₂O +B.c. zur H₂O-Kontrolle (log₂)	NaCl +B.c. zur H₂O-Kontrolle (log₂)
AT3G17220_1	0,914	0,422	0,406
AT3G17225_1	1,021	0,548	0,716
AT3G17230_1	1,109	0,852	1,037
AT3G17240_1	1,037	1,779	2,077
AT3G17240_2	0,754	2,725	6,267
AT3G17250_1	0,895	1,699	2,275
AT3G17260_1	0,968	1,114	1,258
AT3G17261_1	1,050	1,056	1,216
AT3G17265_1	0,871	0,885	0,937
AT3G17270_1	1,048	0,948	1,077
AT3G17280_1	1,025	0,629	0,806
AT3G17290_1	1,029	1,056	1,169
AT3G17300_1	0,828	0,841	1,095
AT3G17300_2	0,796	0,795	0,975
AT3G17310_1	0,952	0,767	0,477
AT3G17320_1	1,056	1,065	1,128
AT3G17330_1	0,966	0,968	0,366
AT3G17340_1	0,933	0,713	0,709
AT3G17350_1	0,863	0,179	0,047
AT3G17360_1	0,750	0,242	0,227
AT3G17365_1	1,035	1,075	2,100
AT3G17370_1	0,954	0,906	0,868
AT3G17380_1	0,464	0,206	0,223
AT3G17390_1	1,013	1,359	0,826
AT3G17400_1	1,064	1,054	1,081
AT3G17410_1	0,930	1,341	1,307
AT3G17420_1	0,849	1,049	1,883
AT3G17430_1	0,923	0,677	0,802
AT3G17440_1	1,014	0,872	0,951
AT3G17440_2	0,989	0,861	0,965
AT3G17450_1	1,133	1,417	1,395
AT3G17460_1	1,052	1,287	0,797
AT3G17465_1	1,213	1,407	0,859
AT3G17470_1	1,003	0,783	0,674
AT3G17480_1	1,027	1,013	1,003
AT3G17490_1	1,052	0,999	1,121
AT3G17500_1	1,008	1,025	1,132
AT3G17510_1	0,857	1,199	1,303
AT3G17510_2	0,827	1,322	2,279
AT3G17520_1	1,204	1,116	2,752
AT3G17530_1	1,067	0,936	1,057
AT3G17540_1	0,996	0,915	0,978
AT3G17550_1	1,100	1,153	1,171
AT3G17560_1	0,981	1,028	0,988
AT3G17570_1	1,033	1,063	1,174
AT3G17580_1	1,319	0,583	0,696
AT3G17590_1	1,029	0,420	0,217
AT3G17600_1	0,940	0,976	0,916
AT3G17609_1	0,649	8,763	8,785
AT3G17609_2	0,677	8,966	8,530

AGI	NaCl-Kontrolle zur H ₂ O-Kontrolle (log ₂)	H ₂ O +B.c. zur H ₂ O-Kontrolle (log ₂)	NaCl +B.c. zur H ₂ O-Kontrolle (log ₂)
AT3G17609_3	0,702	8,386	8,322
AT3G17609_4	0,644	9,101	8,690
AT3G17611_1	1,128	3,250	4,086
AT3G17611_2	1,061	1,455	1,973
AT3G17620_1	1,085	1,091	1,279
AT3G17626_1	0,871	0,724	0,571
AT3G17630_1	1,148	0,853	0,963
AT3G17640_1	0,979	0,344	0,026
AT3G17650_1	1,041	0,962	0,790
AT3G17660_1	1,047	0,735	0,868
AT3G17668_1	1,016	0,815	0,361
AT3G17670_1	1,179	0,381	0,160
AT3G17675_1	1,024	1,026	1,059
AT3G17680_1	0,785	0,362	0,393
AT3G17690_1	0,923	2,443	2,244
AT3G17700_1	0,818	1,238	1,474
AT3G17710_1	1,030	2,027	2,842
AT3G17712_1	1,150	1,173	1,247
AT3G17715_1	1,053	0,900	1,377
AT3G17720_1	1,165	1,132	1,237
AT3G17730_1	0,640	0,473	0,449
AT3G17740_1	1,041	1,087	1,167
AT3G17750_1	1,009	0,778	0,684
AT3G17760_1	1,179	1,011	0,943
AT3G17770_1	1,087	1,382	2,106
AT3G17780_1	0,912	1,146	1,099
AT3G17790_1	0,807	5,497	10,571
AT3G17800_1	0,980	1,694	2,188
AT3G17810_1	0,881	1,765	3,070
AT3G17820_1	1,149	1,748	3,608
AT3G17830_1	1,113	0,296	0,145
AT3G17840_1	1,177	0,391	0,029
AT3G17845_1	1,199	1,335	1,557
AT3G17850_1	1,008	0,691	0,710
AT3G17860_1	1,033	1,264	1,186
AT3G17860_2	1,007	1,302	1,153
AT3G17880_1	0,986	1,094	1,427
AT3G17880_2	1,038	1,109	1,430
AT3G17890_1	0,996	0,985	0,759
AT3G17900_1	0,926	1,006	0,874
AT3G17910_1	1,038	1,095	1,042
AT3G17920_1	0,992	0,881	1,058
AT3G17930_1	1,133	0,671	0,442
AT3G17940_1	1,038	0,783	1,121
AT3G17950_1	1,221	0,460	0,530
AT3G17950_2	0,944	0,694	0,670
AT3G17970_1	1,063	1,093	0,997
AT3G17980_1	1,101	1,385	2,128
AT3G17998_1	1,475	0,172	0,094
AT3G18010_1	0,875	1,335	1,155

AGI	NaCl-Kontrolle zur H₂O-Kontrolle (log₂)	H₂O +B.c. zur H₂O-Kontrolle (log₂)	NaCl +B.c. zur H₂O-Kontrolle (log₂)
AT3G18020_1	1,331	0,613	0,446
AT3G18030_1	1,049	0,627	0,626
AT3G18035_1	0,934	0,533	0,544
AT3G18040_1	0,954	0,483	0,558
AT3G18050_1	0,931	0,355	0,026
AT3G18060_1	0,973	0,788	0,743
AT3G18070_1	1,298	0,561	0,287
AT3G18070_2	0,816	0,204	0,127
AT3G18080_1	0,929	0,415	0,303
AT3G18090_1	1,114	0,625	0,294
AT3G18100_1	1,191	1,184	1,170
AT3G18110_1	1,267	0,346	0,046
AT3G18120_1	1,028	1,039	1,243
AT3G18130_1	0,874	1,013	0,567
AT3G18140_1	1,078	0,994	1,204
AT3G18140_2	1,082	0,794	1,149
AT3G18145_1	1,395	0,677	0,627
AT3G18150_1	1,032	1,193	1,447
AT3G18160_1	1,087	0,666	0,396
AT3G18160_2	1,094	0,652	0,372
AT3G18160_3	1,028	0,775	0,546
AT3G18165_1	0,989	1,016	1,030
AT3G18170_1	0,716	0,484	0,538
AT3G18180_1	0,970	1,055	0,988
AT3G18190_1	1,023	0,988	0,652
AT3G18200_1	0,930	1,132	1,241
AT3G18210_1	0,970	0,812	0,648
AT3G18215_1	1,020	0,960	0,671
AT3G18217_1	0,787	0,959	0,548
AT3G18220_1	0,964	1,115	1,318
AT3G18230_1	1,146	0,951	0,942
AT3G18235_1	1,014	0,992	1,032
AT3G18240_1	1,144	0,732	0,496
AT3G18250_1	0,888	13,384	53,100
AT3G18260_1	0,641	0,664	1,740
AT3G18270_1	1,231	1,020	1,053
AT3G18280_1	1,215	0,303	1,264
AT3G18282_1	1,220	1,535	2,051
AT3G18290_1	1,032	1,341	0,987
AT3G18295_1	0,836	2,221	2,548
AT3G18300_1	0,762	0,747	0,885
AT3G18310_1	1,165	0,963	0,787
AT3G18320_1	1,123	0,436	0,237
AT3G18330_1	0,882	0,923	0,800
AT3G18340_1	0,911	1,283	1,175
AT3G18350_1	1,016	0,811	1,369
AT3G18360_1	1,034	0,965	1,076
AT3G18362_1	1,021	1,006	0,938
AT3G18370_1	0,892	0,807	0,613
AT3G18380_1	0,919	0,853	0,792

AGI	NaCl-Kontrolle zur H₂O-Kontrolle (log₂)	H₂O +B.c. zur H₂O-Kontrolle (log₂)	NaCl +B.c. zur H₂O-Kontrolle (log₂)
AT3G18390_1	1,021	0,232	0,100
AT3G18400_1	1,070	1,079	1,404
AT3G18410_1	0,755	0,747	1,369
AT3G18410_2	1,009	0,987	1,428
AT3G18420_1	1,164	0,649	0,702
AT3G18430_1	0,926	0,890	1,715
AT3G18440_1	1,145	1,796	2,486
AT3G18450_1	1,283	1,164	1,243
AT3G18460_1	1,066	1,052	1,156
AT3G18470_1	1,269	1,350	1,601
AT3G18480_1	1,106	0,739	1,102
AT3G18485_1	1,204	1,068	0,906
AT3G18490_1	1,017	0,917	0,842
AT3G18500_1	0,984	0,501	0,450
AT3G18500_2	0,972	0,429	0,414
AT3G18510_1	0,936	0,869	0,920
AT3G18520_1	1,034	0,857	1,021
AT3G18524_1	0,824	0,378	0,225
AT3G18530_1	0,950	0,836	0,920
AT3G18535_1	0,855	0,648	0,746
AT3G18540_1	1,222	0,873	0,953
AT3G18550_1	1,034	1,350	1,543
AT3G18550_2	1,050	1,119	1,061
AT3G18560_1	0,693	2,967	5,712
AT3G18570_1	0,903	0,939	1,200
AT3G18580_1	0,986	0,794	0,471
AT3G18590_1	0,851	0,858	0,838
AT3G18600_1	1,142	1,900	1,314
AT3G18610_1	1,641	4,828	4,792
AT3G18620_1	0,900	1,754	2,457
AT3G18630_1	0,841	0,653	0,465
AT3G18640_1	1,065	1,295	1,382
AT3G18650_1	1,164	1,380	1,461
AT3G18660_1	0,650	0,331	0,301
AT3G18670_1	0,698	0,538	0,484
AT3G18680_1	0,953	0,429	0,078
AT3G18690_1	0,854	1,852	1,696
AT3G18700_1	1,299	1,786	1,586
AT3G18710_1	0,820	1,657	0,627
AT3G18715_1	0,846	0,667	0,673
AT3G18720_1	1,229	1,088	1,205
AT3G18730_1	0,654	0,456	0,418
AT3G18740_1	0,907	0,930	0,740
AT3G18750_1	1,227	1,213	0,737
AT3G18750_2	1,244	1,136	0,674
AT3G18760_1	0,848	0,637	0,703
AT3G18770_1	1,157	0,443	0,641
AT3G18773_1	0,926	0,337	0,062
AT3G18777_1	1,058	1,421	0,617
AT3G18780_1	0,955	1,092	0,740

AGI	NaCl-Kontrolle zur H₂O-Kontrolle (log₂)	H₂O +B.c. zur H₂O-Kontrolle (log₂)	NaCl +B.c. zur H₂O-Kontrolle (log₂)
AT3G18780_2	0,956	1,187	0,953
AT3G18790_1	1,052	0,671	0,572
AT3G18800_1	1,046	0,355	0,300
AT3G18810_1	1,067	1,224	1,140
AT3G18820_1	0,997	1,091	1,388
AT3G18827_1	0,998	0,958	0,949
AT3G18830_1	0,801	2,157	2,446
AT3G18840_2	0,994	0,796	0,831
AT3G18845_1	1,137	0,805	0,936
AT3G18850_1	0,967	0,200	0,139
AT3G18850_2	0,983	0,815	0,850
AT3G18850_3	1,300	0,090	0,045
AT3G18850_4	1,208	0,129	0,076
AT3G18850_5	1,272	0,103	0,063
AT3G18860_1	1,023	0,852	1,020
AT3G18870_1	1,050	0,664	0,538
AT3G18880_1	1,001	0,615	0,490
AT3G18890_1	0,989	0,462	0,112
AT3G18895_1	0,890	0,883	0,976
AT3G18900_1	0,891	0,631	0,781
AT3G18910_1	0,923	0,881	0,700
AT3G18930_1	0,599	0,532	0,504
AT3G18930_2	0,875	0,854	0,847
AT3G18940_1	0,952	0,618	0,862
AT3G18950_1	1,277	3,159	3,680
AT3G18955_1	1,159	1,200	1,587
AT3G18957_1	1,511	1,527	1,716
AT3G18960_1	1,072	0,468	0,463
AT3G18970_1	1,100	0,497	0,169
AT3G18980_1	0,877	0,720	0,702
AT3G18980_2	0,992	0,714	0,725
AT3G18990_1	1,030	1,166	0,977
AT3G19000_1	1,120	1,129	0,526
AT3G19000_2	1,041	0,386	0,126
AT3G19002_1	1,003	1,266	1,281
AT3G19010_1	0,852	1,802	1,804
AT3G19010_2	0,657	0,823	0,805
AT3G19020_1	1,129	1,997	1,697
AT3G19025_1	0,993	1,909	2,412
AT3G19030_1	0,901	2,347	2,425
AT3G19040_1	1,073	1,003	1,033
AT3G19045_1	1,134	1,200	1,414
AT3G19050_1	0,702	0,285	0,245
AT3G19055_1	0,966	1,031	0,973
AT3G19070_1	1,148	1,407	1,586
AT3G19080_1	0,962	0,768	0,446
AT3G19085_1	1,089	1,017	1,007
AT3G19090_1	1,111	1,827	2,578
AT3G19100_1	1,128	2,106	3,227
AT3G19120_1	0,987	0,674	0,362

AGI	NaCl-Kontrolle zur H₂O-Kontrolle (log₂)	H₂O +B.c. zur H₂O-Kontrolle (log₂)	NaCl +B.c. zur H₂O-Kontrolle (log₂)
AT3G19130_1	0,975	2,128	1,690
AT3G19140_1	1,046	1,067	1,071
AT3G19150_1	0,812	1,048	1,923
AT3G19150_2	0,886	0,949	1,188
AT3G19160_1	1,351	1,466	1,831
AT3G19170_1	1,113	0,725	0,677
AT3G19180_1	1,103	0,255	0,159
AT3G19180_2	1,013	0,381	0,329
AT3G19184_1	1,186	1,316	1,733
AT3G19190_1	0,936	0,742	1,015
AT3G19200_1	0,911	0,931	0,933
AT3G19210_1	0,778	1,006	0,728
AT3G19220_1	1,033	0,761	0,560
AT3G19230_1	0,687	0,566	0,720
AT3G19235_1	1,042	1,021	1,257
AT3G19240_1	1,011	1,215	1,515
AT3G19250_1	1,084	0,792	0,725
AT3G19260_1	0,750	2,560	3,466
AT3G19270_1	1,203	1,190	5,348
AT3G19280_1	1,007	0,644	0,819
AT3G19290_1	1,126	0,875	0,987
AT3G19290_2	1,008	0,977	1,054
AT3G19300_1	0,979	0,289	0,146
AT3G19310_1	0,885	0,715	0,732
AT3G19320_1	1,158	1,194	1,276
AT3G19323_1	1,295	1,317	1,506
AT3G19330_1	1,407	1,005	0,776
AT3G19330_2	1,118	0,733	0,585
AT3G19330_3	1,152	0,774	0,646
AT3G19340_1	0,907	0,721	0,778
AT3G19350_1	1,085	0,473	0,482
AT3G19360_1	0,999	1,579	1,415
AT3G19370_1	1,145	0,228	0,150
AT3G19380_1	0,651	2,678	3,962
AT3G19390_1	0,963	1,023	1,517
AT3G19400_1	0,718	0,399	0,280
AT3G19400_2	0,734	0,426	0,315
AT3G19410_1	1,210	1,043	0,876
AT3G19420_1	1,041	0,832	0,925
AT3G19430_1	0,853	1,063	0,783
AT3G19440_1	1,124	1,469	0,784
AT3G19450_1	0,862	1,103	0,527
AT3G19460_1	0,861	1,070	1,205
AT3G19460_2	1,014	0,824	0,866
AT3G19470_1	1,023	0,878	1,099
AT3G19480_1	0,956	0,423	0,106
AT3G19490_1	1,099	0,623	0,749
AT3G19500_1	1,241	0,658	0,570
AT3G19508_1	1,038	1,041	0,962
AT3G19510_1	0,920	0,996	1,483

AGI	NaCl-Kontrolle zur H₂O-Kontrolle (log₂)	H₂O +B.c. zur H₂O-Kontrolle (log₂)	NaCl +B.c. zur H₂O-Kontrolle (log₂)
AT3G19515_2	1,036	0,655	0,288
AT3G19520_1	0,812	1,351	2,067
AT3G19520_2	1,090	1,153	1,313
AT3G19530_1	1,025	1,072	1,147
AT3G19540_1	0,919	0,802	0,456
AT3G19550_1	0,866	1,124	2,061
AT3G19553_1	0,903	0,990	0,921
AT3G19560_1	1,138	1,015	1,133
AT3G19570_1	1,156	0,498	0,195
AT3G19570_2	1,092	0,508	0,208
AT3G19580_1	0,818	5,827	16,204
AT3G19580_2	1,004	5,096	13,971
AT3G19590_1	1,063	0,375	0,475
AT3G19595_1	1,028	1,020	1,100
AT3G19600_1	0,942	0,961	0,963
AT3G19610_1	1,035	1,207	1,436
AT3G19615_1	1,000	17,885	33,850
AT3G19620_1	1,379	0,227	0,179
AT3G19630_1	1,029	1,110	1,052
AT3G19640_1	1,051	1,141	1,477
AT3G19650_1	1,065	0,920	1,020
AT3G19660_1	0,983	1,973	5,255
AT3G19663_1	1,240	0,991	1,281
AT3G19670_1	1,028	0,726	0,951
AT3G19680_1	0,605	1,128	0,408
AT3G19690_1	1,170	1,226	1,392
AT3G19700_1	0,970	1,072	1,163
AT3G19710_1	1,184	0,562	0,066
AT3G19720_1	0,992	0,598	0,185
AT3G19720_2	1,056	0,571	0,177
AT3G19740_1	1,110	1,117	1,217
AT3G19760_1	1,023	1,112	1,061
AT3G19770_1	0,960	0,833	1,232
AT3G19780_1	1,065	0,851	0,757
AT3G19790_1	0,885	0,391	0,544
AT3G19790_2	0,902	0,833	0,865
AT3G19800_1	0,941	0,560	0,403
AT3G19800_2	0,981	0,560	0,394
AT3G19810_1	1,022	0,544	0,481
AT3G19820_1	0,994	0,688	0,148
AT3G19830_1	0,818	2,710	2,062
AT3G19830_2	0,832	1,190	1,184
AT3G19840_1	1,095	1,472	1,023
AT3G19850_1	0,743	0,268	0,065
AT3G19860_1	1,063	0,704	0,853
AT3G19860_2	0,998	0,647	0,790
AT3G19870_1	1,038	0,698	0,920
AT3G19880_1	1,010	1,073	1,068
AT3G19890_1	0,980	1,019	0,995
AT3G19895_1	0,993	0,894	1,602

AGI	NaCl-Kontrolle zur H₂O-Kontrolle (log₂)	H₂O +B.c. zur H₂O-Kontrolle (log₂)	NaCl +B.c. zur H₂O-Kontrolle (log₂)
AT3G19900_1	0,995	0,741	1,868
AT3G19910_1	0,989	1,124	1,830
AT3G19920_1	1,105	1,121	1,035
AT3G19930_1	0,793	0,615	0,428
AT3G19940_1	1,020	1,446	1,358
AT3G19950_1	0,945	1,405	1,633
AT3G19960_1	1,235	0,625	0,596
AT3G19960_2	1,127	0,840	0,875
AT3G19970_1	0,674	14,726	14,842
AT3G19980_1	0,985	1,410	1,549
AT3G19990_1	1,010	1,308	2,437
AT3G20000_1	1,011	1,118	0,893
AT3G20010_1	1,144	0,633	0,397
AT3G20015_1	0,794	0,129	0,032
AT3G20020_1	0,909	1,017	0,934
AT3G20020_2	0,925	1,024	0,979
AT3G20030_1	1,047	1,123	1,255
AT3G20040_1	0,738	1,337	1,263
AT3G20050_1	1,061	0,906	0,634
AT3G20060_1	0,845	0,711	1,273
AT3G20060_2	0,874	0,729	1,245
AT3G20070_1	0,897	0,599	0,327
AT3G20070_2	0,953	0,594	0,327
AT3G20075_1	1,383	1,418	0,885
AT3G20080_1	0,914	0,616	1,083
AT3G20080_2	1,470	1,151	0,688
AT3G20080_3	1,456	1,091	0,679
AT3G20083_1	1,439	1,172	0,631
AT3G20085_1	1,060	1,070	1,329
AT3G20087_1	1,493	1,725	1,492
AT3G20090_1	1,260	0,491	0,423
AT3G20100_1	1,758	1,484	0,677
AT3G20110_1	1,232	1,358	1,583
AT3G20120_1	1,135	0,722	0,805
AT3G20130_1	0,960	0,604	0,753
AT3G20130_2	0,921	0,588	0,698
AT3G20140_1	1,454	1,266	1,359
AT3G20150_1	0,799	0,375	0,450
AT3G20155_1	1,088	0,971	1,087
AT3G20160_1	1,238	1,331	1,920
AT3G20170_1	0,938	1,195	1,094
AT3G20180_1	1,152	1,137	1,073
AT3G20190_1	1,056	1,060	1,156
AT3G20200_1	0,984	0,609	0,391
AT3G20210_1	1,062	0,976	1,901
AT3G20220_1	1,056	1,211	1,425
AT3G20230_1	1,026	0,330	0,147
AT3G20240_1	1,142	0,925	0,358
AT3G20250_1	1,321	1,967	2,705
AT3G20260_1	1,031	0,274	0,208

AGI	NaCl-Kontrolle zur H₂O-Kontrolle (log₂)	H₂O +B.c. zur H₂O-Kontrolle (log₂)	NaCl +B.c. zur H₂O-Kontrolle (log₂)
AT3G20270_1	0,897	1,232	3,208
AT3G20280_1	1,027	0,787	0,863
AT3G20290_1	1,108	0,913	1,070
AT3G20300_1	1,245	0,722	0,871
AT3G20310_1	0,974	0,815	1,601
AT3G20320_1	0,913	0,717	0,700
AT3G20320_2	0,959	0,896	0,918
AT3G20330_1	1,081	1,332	1,056
AT3G20340_1	1,178	1,955	8,556
AT3G20350_1	0,956	0,294	0,098
AT3G20360_1	1,021	1,006	1,067
AT3G20362_1	0,837	1,418	0,789
AT3G20370_1	1,010	2,187	1,774
AT3G20380_1	1,038	1,059	1,114
AT3G20390_1	0,952	0,920	0,834
AT3G20395_1	1,014	1,071	1,034
AT3G20400_1	1,206	1,226	1,542
AT3G20410_1	0,903	2,320	2,030
AT3G20420_1	0,869	0,486	0,686
AT3G20430_1	1,035	0,772	0,661
AT3G20440_1	1,453	0,195	0,048
AT3G20450_1	0,795	0,768	0,881
AT3G20460_1	0,583	0,279	0,254
AT3G20470_1	1,100	0,369	0,122
AT3G20475_1	0,839	0,570	0,538
AT3G20480_1	1,184	1,074	0,649
AT3G20490_1	1,018	0,919	1,062
AT3G20500_1	1,208	1,048	1,543
AT3G20510_1	0,781	1,636	1,951
AT3G20520_1	0,997	1,015	1,223
AT3G20530_1	1,141	0,827	0,733
AT3G20540_1	1,239	0,894	0,355
AT3G20541_1	1,042	1,010	1,060
AT3G20550_1	1,022	0,927	1,146
AT3G20555_1	1,175	1,247	1,433
AT3G20557_1	0,975	0,973	1,005
AT3G20557_2	0,987	1,173	1,319
AT3G20560_1	1,066	0,872	1,100
AT3G20570_1	0,633	0,239	0,215
AT3G20580_1	1,090	1,190	1,316
AT3G20590_1	0,884	0,927	1,325
AT3G20600_1	0,638	0,660	1,192
AT3G20610_1	1,025	0,980	1,119
AT3G20620_1	1,029	1,388	2,312
AT3G20630_1	1,058	1,076	1,172
AT3G20640_1	0,783	0,318	0,165
AT3G20650_1	0,988	1,130	1,582
AT3G20650_2	0,972	1,117	1,597
AT3G20660_1	1,138	3,310	4,077
AT3G20670_1	0,953	0,877	0,936

AGI	NaCl-Kontrolle zur H₂O-Kontrolle (log₂)	H₂O +B.c. zur H₂O-Kontrolle (log₂)	NaCl +B.c. zur H₂O-Kontrolle (log₂)
AT3G20680_1	0,923	0,288	0,083
AT3G20690_1	1,079	1,105	1,216
AT3G20700_1	1,129	1,041	1,162
AT3G20705_1	1,050	1,061	1,189
AT3G20710_1	1,272	1,244	1,280
AT3G20720_1	1,055	0,871	1,342
AT3G20730_1	1,095	0,451	0,213
AT3G20740_1	0,853	1,064	1,116
AT3G20750_1	1,388	1,436	1,585
AT3G20760_1	1,097	1,095	1,068
AT3G20770_1	1,017	1,105	1,179
AT3G20780_1	1,015	0,458	0,504
AT3G20790_1	1,007	0,236	0,177
AT3G20800_1	1,006	1,134	1,533
AT3G20810_1	1,207	1,240	0,470
AT3G20810_2	1,190	1,211	1,229
AT3G20810_3	1,207	1,462	0,524
AT3G20820_1	0,942	0,418	0,226
AT3G20830_1	1,021	1,164	0,922
AT3G20840_1	1,054	0,909	0,899
AT3G20850_1	1,583	1,851	2,027
AT3G20860_1	0,795	5,076	7,291
AT3G20865_1	0,927	0,867	0,828
AT3G20870_1	0,934	0,896	0,924
AT3G20880_1	1,229	1,223	1,409
AT3G20885_1	1,017	1,023	1,400
AT3G20890_1	1,017	1,170	1,160
AT3G20898_1	0,841	0,477	0,453
AT3G20900_1	0,913	0,495	0,509
AT3G20910_1	1,128	1,732	1,926
AT3G20920_1	1,052	1,156	1,580
AT3G20930_1	0,969	0,349	0,245
AT3G20935_1	1,513	1,526	1,183
AT3G20940_1	1,309	1,214	1,439
AT3G20950_1	1,671	1,569	1,383
AT3G20960_1	0,887	1,741	2,657
AT3G20966_1	1,114	1,261	1,903
AT3G20970_1	0,985	1,012	1,015
AT3G20970_2	0,975	1,010	1,056
AT3G20975_1	0,930	0,951	1,189
AT3G20978_1	1,136	1,483	1,804
AT3G20980_1	1,040	0,936	1,154
AT3G20990_1	1,159	1,117	1,098
AT3G20993_1	1,140	1,160	1,313
AT3G20997_1	1,024	1,006	1,130
AT3G21000_1	1,089	0,967	1,133
AT3G21010_1	1,014	1,058	1,025
AT3G21020_1	0,840	0,901	0,748
AT3G21030_1	1,398	1,953	2,443
AT3G21040_1	1,029	1,100	1,351

AGI	NaCl-Kontrolle zur H₂O-Kontrolle (log₂)	H₂O +B.c. zur H₂O-Kontrolle (log₂)	NaCl +B.c. zur H₂O-Kontrolle (log₂)
AT3G21050_1	0,918	0,285	0,214
AT3G21055_1	0,952	0,421	0,117
AT3G21060_1	1,049	0,449	0,347
AT3G21070_1	0,897	2,783	2,166
AT3G21070_2	0,888	2,679	2,175
AT3G21080_1	0,653	1,547	3,686
AT3G21090_1	1,045	0,845	0,733
AT3G21100_1	1,007	0,912	0,984
AT3G21100_2	1,065	0,617	0,208
AT3G21110_1	0,952	0,864	0,479
AT3G21120_1	1,042	0,929	1,106
AT3G21130_1	1,066	1,030	1,123
AT3G21140_1	0,889	2,455	1,910
AT3G21150_1	0,778	5,864	7,342
AT3G21160_1	0,995	0,970	1,015
AT3G21170_1	1,014	0,986	1,202
AT3G21175_1	1,018	0,848	0,953
AT3G21175_2	1,032	0,874	0,929
AT3G21175_3	1,028	0,825	0,837
AT3G21180_1	1,063	1,134	1,190
AT3G21190_1	1,033	0,419	0,068
AT3G21200_1	0,779	0,605	0,543
AT3G21210_1	0,727	0,508	0,603
AT3G21215_1	0,934	0,992	1,178
AT3G21220_1	0,942	2,054	2,091
AT3G21230_1	1,005	24,183	20,408
AT3G21240_1	1,261	6,275	5,068
AT3G21250_1	1,070	1,283	2,615
AT3G21260_1	0,954	0,489	0,352
AT3G21260_2	1,074	0,937	1,037
AT3G21260_3	0,870	0,303	0,308
AT3G21270_1	0,972	1,520	0,679
AT3G21280_1	1,128	1,021	1,052
AT3G21290_1	0,946	1,370	1,730
AT3G21295_1	0,985	1,691	2,109
AT3G21300_1	1,161	0,740	0,309
AT3G21310_1	0,967	0,943	1,061
AT3G21320_1	0,987	1,084	1,315
AT3G21330_1	0,548	0,835	0,264
AT3G21338_1	0,979	1,073	1,133
AT3G21340_1	1,127	1,130	1,234
AT3G21350_1	0,935	0,684	0,717
AT3G21350_2	0,979	0,753	0,782
AT3G21352_1	1,110	1,361	1,756
AT3G21360_1	1,300	0,368	0,664
AT3G21370_1	1,120	1,272	1,332
AT3G21371_1	0,959	0,915	1,012
AT3G21380_1	1,255	1,477	1,866
AT3G21390_1	0,902	1,364	0,910
AT3G21400_1	1,056	0,421	0,622

AGI	NaCl-Kontrolle zur H₂O-Kontrolle (log₂)	H₂O +B.c. zur H₂O-Kontrolle (log₂)	NaCl +B.c. zur H₂O-Kontrolle (log₂)
AT3G21410_1	0,948	1,032	1,100
AT3G21420_1	1,293	1,118	10,077
AT3G21430_2	1,033	0,823	1,472
AT3G21450_1	1,138	1,193	1,253
AT3G21460_1	1,232	0,413	0,104
AT3G21465_1	1,046	0,652	0,678
AT3G21465_2	1,079	0,642	0,653
AT3G21470_1	1,132	0,833	0,656
AT3G21480_1	0,844	1,269	1,082
AT3G21481_1	1,289	1,396	1,684
AT3G21490_1	0,993	1,324	3,054
AT3G21500_1	1,207	235,781	490,391
AT3G21500_2	1,204	223,294	458,062
AT3G21510_1	1,001	0,501	1,127
AT3G21520_1	0,609	25,377	30,077
AT3G21530_1	0,929	1,573	1,260
AT3G21540_1	1,198	1,850	1,266
AT3G21550_1	0,706	0,294	0,175
AT3G21560_1	0,731	1,932	2,304
AT3G21570_1	1,136	1,106	1,206
AT3G21580_1	1,088	0,357	0,257
AT3G21590_1	1,028	1,140	1,358
AT3G21600_1	1,037	0,757	1,234
AT3G21600_2	1,171	0,608	1,703
AT3G21610_1	0,849	0,990	1,570
AT3G21610_2	0,807	0,933	1,532
AT3G21620_1	1,151	0,788	0,720
AT3G21630_1	0,897	1,357	1,359
AT3G21640_1	0,894	0,695	0,626
AT3G21650_1	0,938	1,171	1,012
AT3G21660_1	1,244	0,793	1,108
AT3G21670_1	1,089	1,709	1,757
AT3G21680_1	0,936	0,858	0,891
AT3G21690_1	0,979	2,902	3,183
AT3G21700_1	0,999	7,323	9,242
AT3G21700_2	1,000	5,712	6,823
AT3G21700_3	1,058	7,691	9,648
AT3G21710_1	0,962	0,925	0,971
AT3G21710_2	1,012	1,277	2,120
AT3G21720_1	1,234	1,336	1,485
AT3G21730_1	1,028	1,020	0,972
AT3G21730_2	1,084	1,039	1,136
AT3G21740_1	1,072	0,863	0,708
AT3G21750_1	0,851	1,015	1,252
AT3G21755_1	0,704	0,146	0,146
AT3G21755_2	1,025	0,816	0,779
AT3G21760_1	0,760	1,009	0,973
AT3G21770_1	0,742	0,825	0,588
AT3G21780_1	0,943	3,164	3,049
AT3G21781_1	0,925	4,173	4,727

AGI	NaCl-Kontrolle zur H₂O-Kontrolle (log₂)	H₂O +B.c. zur H₂O-Kontrolle (log₂)	NaCl +B.c. zur H₂O-Kontrolle (log₂)
AT3G21790_1	1,194	1,272	2,888
AT3G21791_1	1,249	1,438	1,506
AT3G21800_1	1,059	1,446	1,510
AT3G21805_1	1,015	1,115	1,061
AT3G21810_1	0,897	0,797	1,255
AT3G21820_1	1,099	1,428	1,229
AT3G21830_1	0,957	1,115	1,141
AT3G21840_1	1,030	1,006	0,998
AT3G21850_1	1,174	1,701	2,065
AT3G21860_1	1,096	1,226	1,468
AT3G21865_1	0,919	1,353	1,620
AT3G21870_1	0,754	0,803	0,201
AT3G21880_1	1,153	1,162	1,073
AT3G21890_1	1,314	1,510	1,136
AT3G21900_1	1,019	1,134	1,370
AT3G21910_1	0,995	1,089	1,126
AT3G21920_1	1,261	1,272	1,488
AT3G21933_1	1,146	1,196	1,174
AT3G21937_1	1,120	1,223	1,375
AT3G21940_1	1,029	1,114	1,129
AT3G21945_1	1,269	1,408	1,617
AT3G21950_1	0,836	0,131	0,017
AT3G21960_1	1,092	1,001	1,047
AT3G21960_2	1,086	1,038	1,079
AT3G21965_1	1,108	1,130	1,248
AT3G21970_1	1,081	1,145	1,299
AT3G21980_1	1,034	1,180	1,128
AT3G21985_1	0,973	0,936	0,970
AT3G21990_1	1,275	1,393	1,571
AT3G22000_1	1,132	1,204	1,389
AT3G22010_1	1,018	1,103	1,187
AT3G22020_1	1,070	1,146	1,152
AT3G22022_1	1,017	1,033	0,998
AT3G22030_1	0,956	0,939	1,046
AT3G22040_1	1,000	1,133	1,102
AT3G22050_1	1,073	1,064	1,238
AT3G22053_1	1,112	1,349	1,446
AT3G22057_1	1,042	1,136	1,170
AT3G22060_1	0,466	2,580	2,618
AT3G22070_1	0,945	0,417	0,319
AT3G22072_1	0,984	0,746	0,658
AT3G22080_1	0,938	1,019	0,998
AT3G22090_1	1,091	1,243	1,400
AT3G22100_1	1,088	1,826	1,724
AT3G22104_1	1,063	0,431	0,150
AT3G22110_1	0,948	0,816	0,913
AT3G22120_1	0,899	0,515	0,042
AT3G22121_1	0,999	0,609	0,084
AT3G22133_1	0,868	0,962	0,971
AT3G22136_1	1,099	1,213	1,355

AGI	NaCl-Kontrolle zur H₂O-Kontrolle (log₂)	H₂O +B.c. zur H₂O-Kontrolle (log₂)	NaCl +B.c. zur H₂O-Kontrolle (log₂)
AT3G22142_1	0,969	0,286	0,055
AT3G22150_1	1,100	0,334	0,069
AT3G22160_1	0,973	3,943	5,072
AT3G22170_1	0,983	0,930	1,065
AT3G22180_1	1,071	0,345	0,372
AT3G22183_1	1,003	0,393	0,338
AT3G22190_1	1,056	0,390	0,316
AT3G22200_1	1,092	1,140	1,701
AT3G22210_1	0,950	0,267	0,046
AT3G22220_1	1,053	1,094	1,276
AT3G22230_1	0,913	0,904	0,727
AT3G22231_1	0,899	0,236	0,517
AT3G22232_1	1,270	1,235	1,060
AT3G22234_1	1,243	0,998	0,840
AT3G22235_1	0,792	0,363	1,380
AT3G22235_2	0,890	0,445	0,840
AT3G22237_1	1,227	1,067	0,861
AT3G22240_1	1,174	1,663	2,740
AT3G22250_1	1,263	2,122	2,115
AT3G22260_1	0,849	2,320	2,982
AT3G22270_1	1,075	1,072	1,265
AT3G22275_1	0,881	9,457	7,032
AT3G22290_1	1,043	1,692	1,818
AT3G22300_1	1,097	1,244	0,960
AT3G22310_1	1,283	2,041	1,796
AT3G22320_1	1,033	1,186	1,135
AT3G22330_1	1,172	1,138	0,907
AT3G22340_1	1,031	1,386	1,505
AT3G22345_1	1,033	1,161	1,087
AT3G22350_1	1,020	1,240	1,402
AT3G22360_1	1,351	2,410	2,996
AT3G22370_1	1,171	3,939	5,561
AT3G22380_1	0,972	0,971	1,046
AT3G22380_2	0,963	0,973	1,015
AT3G22400_1	0,631	0,839	0,417
AT3G22410_1	1,158	1,360	0,966
AT3G22415_1	0,895	1,821	0,537
AT3G22420_1	1,143	0,851	0,445
AT3G22420_2	1,127	0,856	0,413
AT3G22421_1	0,992	1,077	0,943
AT3G22425_1	1,077	0,691	0,471
AT3G22425_2	1,079	0,697	0,464
AT3G22430_1	0,892	1,236	1,468
AT3G22435_1	0,949	1,385	1,734
AT3G22436_1	0,929	0,739	1,035
AT3G22440_1	1,076	0,810	0,811
AT3G22450_1	1,294	0,456	0,305
AT3G22460_1	0,826	1,223	5,816
AT3G22470_1	1,019	0,851	1,132
AT3G22480_1	0,740	1,161	1,380

AGI	NaCl-Kontrolle zur H₂O-Kontrolle (log₂)	H₂O +B.c. zur H₂O-Kontrolle (log₂)	NaCl +B.c. zur H₂O-Kontrolle (log₂)
AT3G22480_2	0,947	1,061	1,090
AT3G22490_1	1,235	1,421	1,449
AT3G22492_1	1,401	1,540	1,342
AT3G22500_1	1,364	1,412	1,540
AT3G22510_1	1,025	3,827	2,268
AT3G22520_1	1,047	0,827	0,549
AT3G22530_1	0,813	1,151	2,054
AT3G22540_1	1,099	0,897	1,142
AT3G22550_1	1,390	2,061	2,722
AT3G22555_1	0,977	0,940	1,004
AT3G22560_1	1,390	6,801	48,368
AT3G22570_1	1,016	1,712	3,794
AT3G22580_1	0,988	1,363	1,639
AT3G22590_1	0,798	0,705	0,707
AT3G22600_1	0,676	60,641	89,483
AT3G22620_1	1,138	6,739	31,200
AT3G22630_1	0,890	1,145	1,510
AT3G22640_1	1,320	3,075	3,286
AT3G22650_1	0,937	0,962	0,969
AT3G22660_1	1,088	1,509	1,084
AT3G22670_1	0,878	0,630	0,472
AT3G22680_1	0,899	0,962	0,908
AT3G22690_1	1,213	0,429	0,229
AT3G22700_1	0,881	1,064	1,021
AT3G22710_1	0,988	0,982	0,927
AT3G22720_1	1,020	1,343	1,196
AT3G22723_1	1,394	1,688	2,706
AT3G22730_1	1,068	1,174	1,402
AT3G22740_1	1,323	1,036	2,189
AT3G22750_1	0,859	3,321	3,957
AT3G22760_1	0,775	0,255	0,352
AT3G22770_1	1,125	0,742	0,630
AT3G22780_1	1,019	0,334	0,106
AT3G22790_1	0,974	0,075	0,030
AT3G22800_1	0,960	1,073	1,019
AT3G22810_1	1,222	0,572	0,291
AT3G22820_1	0,734	0,426	0,150
AT3G22830_1	1,086	1,171	1,254
AT3G22840_1	1,131	1,934	4,572
AT3G22845_1	0,968	1,433	2,334
AT3G22850_1	0,854	1,096	2,885
AT3G22860_1	1,186	1,321	1,232
AT3G22870_1	1,011	1,098	1,306
AT3G22880_1	0,723	0,839	0,744
AT3G22886_1	0,870	1,660	0,875
AT3G22890_1	1,058	1,400	1,221
AT3G22900_1	0,904	0,232	0,153
AT3G22910_1	0,772	1,040	6,842
AT3G22920_1	1,094	1,466	1,603
AT3G22930_1	0,522	0,705	1,240

AGI	NaCl-Kontrolle zur H ₂ O-Kontrolle (log ₂)	H ₂ O +B.c. zur H ₂ O-Kontrolle (log ₂)	NaCl +B.c. zur H ₂ O-Kontrolle (log ₂)
AT3G22937_1	1,036	1,090	1,184
AT3G22940_1	0,984	1,090	1,061
AT3G22942_1	0,951	2,011	1,710
AT3G22945_1	0,983	1,761	1,603
AT3G22950_1	0,897	1,461	1,741
AT3G22955_1	1,037	1,096	1,138
AT3G22960_1	1,010	1,128	0,663
AT3G22961_1	0,945	1,301	1,322
AT3G22968_1	1,056	0,418	0,356
AT3G22970_2	1,019	0,450	0,378
AT3G22980_1	1,099	2,166	2,526
AT3G22990_1	0,965	1,303	1,762
AT3G23000_1	0,905	2,402	1,760
AT3G23010_1	0,806	0,399	0,600
AT3G23020_1	1,396	0,527	0,339
AT3G23030_1	0,711	1,298	0,679
AT3G23040_1	1,004	1,260	1,263
AT3G23050_1	0,581	0,292	0,178
AT3G23050_2	0,566	0,234	0,185
AT3G23060_1	1,022	1,203	1,227
AT3G23070_1	1,123	0,338	0,221
AT3G23080_1	0,853	0,091	0,064
AT3G23080_2	1,029	0,196	0,163
AT3G23085_1	0,914	1,007	0,972
AT3G23090_1	1,038	0,211	0,091
AT3G23100_1	0,890	0,634	0,836
AT3G23100_2	1,001	0,447	0,436
AT3G23109_1	0,869	0,752	0,900
AT3G23110_1	0,670	0,532	0,986
AT3G23120_1	0,836	1,249	2,371
AT3G23130_1	1,072	1,236	1,180
AT3G23140_1	1,064	1,534	1,755
AT3G23145_1	1,248	1,043	0,875
AT3G23150_1	0,828	1,521	2,375
AT3G23160_1	1,062	1,821	3,462
AT3G23165_1	1,049	1,106	1,125
AT3G23167_1	1,091	1,123	1,240
AT3G23170_1	0,730	1,400	5,592
AT3G23171_1	1,065	1,124	1,088
AT3G23172_1	1,012	1,119	1,117
AT3G23175_1	0,932	0,891	0,802
AT3G23180_1	1,034	1,028	1,121
AT3G23190_1	0,812	0,535	0,530
AT3G23200_1	0,739	1,310	2,622
AT3G23210_1	0,848	2,623	1,771
AT3G23220_1	1,274	91,863	45,224
AT3G23230_1	0,543	36,184	22,610
AT3G23240_1	0,972	28,364	23,177
AT3G23245_1	1,074	2,178	2,724
AT3G23250_1	0,328	38,916	29,551

AGI	NaCl-Kontrolle zur H ₂ O-Kontrolle (log ₂)	H ₂ O +B.c. zur H ₂ O-Kontrolle (log ₂)	NaCl +B.c. zur H ₂ O-Kontrolle (log ₂)
AT3G23250_2	0,394	53,932	41,610
AT3G23255_1	0,954	0,832	1,102
AT3G23260_1	0,874	0,537	0,664
AT3G23270_1	1,029	1,280	1,311
AT3G23280_1	0,997	0,715	0,803
AT3G23280_2	1,013	0,697	0,768
AT3G23290_2	0,926	0,271	0,385
AT3G23300_1	1,063	0,958	0,879
AT3G23310_1	0,978	0,740	0,908
AT3G23320_1	0,920	1,059	0,999
AT3G23325_1	1,014	0,805	1,185
AT3G23326_1	0,999	1,057	1,195
AT3G23330_1	1,238	0,538	0,370
AT3G23340_1	1,180	0,301	0,421
AT3G23350_1	1,162	1,263	1,325
AT3G23360_1	1,017	1,039	1,068
AT3G23370_1	0,999	1,123	0,705
AT3G23370_2	1,119	1,079	0,764
AT3G23380_1	0,951	1,143	1,247
AT3G23390_1	0,864	0,833	0,713
AT3G23400_1	1,017	0,638	0,620
AT3G23410_1	0,999	1,270	1,347
AT3G23420_1	0,992	1,004	0,951
AT3G23430_1	0,878	0,512	0,685
AT3G23440_1	0,832	1,333	1,312
AT3G23450_1	0,934	0,137	0,024
AT3G23460_1	1,176	0,787	0,709
AT3G23470_1	0,982	0,881	0,944
AT3G23480_1	0,975	0,465	0,394
AT3G23490_1	1,185	1,160	1,665
AT3G23510_1	0,902	1,102	1,110
AT3G23530_1	0,815	1,143	1,447
AT3G23540_1	0,936	1,488	2,214
AT3G23540_2	0,852	0,982	1,107
AT3G23550_1	0,163	8,527	4,468
AT3G23560_1	0,597	2,631	2,206
AT3G23570_1	1,444	2,330	2,912
AT3G23580_1	1,282	1,287	1,143
AT3G23590_1	1,058	0,915	0,793
AT3G23600_1	1,112	1,076	1,493
AT3G23600_2	1,133	1,093	1,518
AT3G23605_1	0,852	0,425	2,235
AT3G23610_1	1,066	0,842	1,128
AT3G23610_2	0,870	0,358	0,684
AT3G23620_1	1,072	2,148	1,552
AT3G23630_1	1,540	2,383	2,738
AT3G23633_1	0,990	0,994	0,960
AT3G23633_2	1,026	1,007	0,964
AT3G23635_1	1,343	1,771	1,814
AT3G23637_1	0,928	1,008	0,902

AGI	NaCl-Kontrolle zur H₂O-Kontrolle (log₂)	H₂O +B.c. zur H₂O-Kontrolle (log₂)	NaCl +B.c. zur H₂O-Kontrolle (log₂)
AT3G23640_1	1,218	1,010	0,423
AT3G23645_1	1,097	1,040	1,044
AT3G23650_1	1,001	1,047	1,112
AT3G23660_1	1,012	0,932	0,786
AT3G23670_1	0,790	0,322	0,270
AT3G23670_2	0,841	0,479	0,462
AT3G23680_1	1,094	1,000	1,002
AT3G23685_1	1,153	1,400	1,685
AT3G23690_1	0,961	0,446	0,398
AT3G23700_1	0,977	0,444	0,224
AT3G23710_1	1,182	0,720	0,370
AT3G23715_1	1,058	1,089	1,086
AT3G23720_1	0,957	1,097	1,016
AT3G23725_1	0,928	1,180	0,954
AT3G23727_1	1,108	1,146	1,214
AT3G23730_1	0,437	0,588	0,324
AT3G23740_1	0,517	0,275	0,135
AT3G23750_1	0,901	0,782	0,570
AT3G23760_1	1,015	0,321	0,089
AT3G23770_1	1,372	1,490	1,921
AT3G23780_1	1,047	0,599	0,284
AT3G23790_1	1,514	3,249	8,794
AT3G23800_1	1,268	1,218	1,371
AT3G23805_1	0,860	0,403	0,122
AT3G23810_1	1,058	0,540	0,275
AT3G23820_1	1,047	0,722	0,227
AT3G23830_1	1,029	0,548	0,182
AT3G23830_2	1,042	0,654	0,222
AT3G23840_1	0,871	0,153	0,082
AT3G23850_1	1,109	1,262	1,285
AT3G23860_1	1,091	1,080	1,108
AT3G23870_1	1,316	0,264	0,710
AT3G23880_1	1,020	0,370	0,051
AT3G23890_1	0,848	0,149	0,074
AT3G23890_2	0,830	0,139	0,068
AT3G23900_1	0,864	0,773	1,001
AT3G23900_2	1,118	1,020	1,085
AT3G23910_1	1,344	0,578	0,771
AT3G23920_1	1,110	1,337	2,244
AT3G23930_1	1,105	1,084	1,197
AT3G23940_1	1,011	0,610	0,283
AT3G23950_1	0,999	0,999	1,295
AT3G23955_1	1,164	1,333	1,488
AT3G23960_1	1,036	1,080	1,291
AT3G23970_1	1,027	1,054	1,185
AT3G23980_1	0,997	1,168	1,047
AT3G23990_1	1,065	1,956	1,304
AT3G24000_1	1,491	0,597	0,331
AT3G24005_1	1,339	1,637	1,555
AT3G24010_1	0,866	0,800	1,215

AGI	NaCl-Kontrolle zur H₂O-Kontrolle (log₂)	H₂O +B.c. zur H₂O-Kontrolle (log₂)	NaCl +B.c. zur H₂O-Kontrolle (log₂)
AT3G24020_1	1,274	0,702	0,721
AT3G24030_1	0,882	0,756	0,600
AT3G24040_1	0,921	0,541	0,467
AT3G24050_1	0,920	1,447	1,369
AT3G24060_1	1,117	1,156	1,379
AT3G24065_1	0,901	0,805	0,832
AT3G24068_1	0,917	0,922	0,917
AT3G24070_1	0,978	0,762	0,663
AT3G24080_1	0,942	1,285	1,142
AT3G24090_1	0,897	2,102	2,264
AT3G24093_1	1,093	1,167	1,182
AT3G24100_1	0,934	2,017	3,428
AT3G24110_1	1,003	0,619	0,595
AT3G24120_1	1,058	0,710	0,691
AT3G24120_2	0,970	0,725	0,694
AT3G24130_1	1,224	1,157	1,258
AT3G24140_1	0,800	0,685	0,695
AT3G24150_1	1,130	0,824	0,448
AT3G24160_1	1,020	0,812	0,906
AT3G24170_1	0,993	1,794	2,107
AT3G24180_1	0,917	1,207	1,423
AT3G24190_1	1,070	1,119	0,712
AT3G24200_1	1,089	1,219	1,669
AT3G24210_1	1,292	1,576	1,636
AT3G24216_1	1,720	1,962	1,588
AT3G24220_1	1,314	1,452	1,583
AT3G24225_1	1,162	1,277	1,525
AT3G24230_1	0,891	0,718	0,708
AT3G24240_1	0,997	0,986	1,087
AT3G24250_1	1,115	1,283	1,213
AT3G24255_1	0,997	0,891	0,896
AT3G24255_2	1,352	0,611	0,744
AT3G24260_1	1,068	1,014	1,039
AT3G24270_1	1,074	1,179	1,394
AT3G24280_1	1,291	1,287	1,395
AT3G24290_1	1,131	1,267	1,335
AT3G24300_1	1,097	1,208	1,021
AT3G24310_1	1,113	1,539	1,664
AT3G24315_1	1,072	0,585	0,758
AT3G24320_1	1,113	0,848	0,534
AT3G24330_1	0,974	0,905	1,114
AT3G24332_1	1,049	1,161	1,231
AT3G24340_1	1,005	0,683	0,699
AT3G24350_1	0,927	0,902	1,025
AT3G24360_1	1,233	0,986	1,392
AT3G24360_2	1,230	1,082	1,079
AT3G24365_1	1,272	1,456	1,631
AT3G24370_1	1,265	1,436	1,756
AT3G24380_1	1,380	1,507	1,675
AT3G24385_1	1,387	1,484	1,645

AGI	NaCl-Kontrolle zur H₂O-Kontrolle (log₂)	H₂O +B.c. zur H₂O-Kontrolle (log₂)	NaCl +B.c. zur H₂O-Kontrolle (log₂)
AT3G24390_1	1,426	1,156	1,191
AT3G24400_1	0,990	0,754	0,814
AT3G24420_1	0,881	0,106	0,075
AT3G24430_1	0,997	0,460	0,116
AT3G24440_1	1,016	1,663	1,640
AT3G24450_1	0,450	0,213	0,081
AT3G24460_1	1,130	2,623	1,729
AT3G24465_1	0,988	1,016	1,035
AT3G24480_1	0,931	0,664	0,180
AT3G24490_1	1,161	0,843	0,831
AT3G24495_1	0,781	0,489	0,399
AT3G24500_1	0,877	6,335	7,680
AT3G24503_1	0,814	1,572	1,607
AT3G24506_1	0,881	1,003	0,804
AT3G24508_1	1,054	1,183	1,253
AT3G24510_1	1,014	1,144	1,220
AT3G24513_1	1,011	0,971	1,090
AT3G24515_1	1,012	0,122	0,091
AT3G24516_1	1,531	1,947	1,925
AT3G24517_1	1,018	1,110	1,069
AT3G24518_1	0,914	0,256	0,272
AT3G24518_2	0,825	0,804	0,773
AT3G24520_1	0,969	0,227	0,274
AT3G24530_1	0,838	1,259	1,528
AT3G24535_1	0,710	0,441	0,429
AT3G24540_1	1,120	1,460	1,465
AT3G24542_1	1,036	1,216	1,148
AT3G24550_1	0,883	2,216	2,036
AT3G24560_1	0,974	0,668	0,247
AT3G24560_3	1,035	0,766	0,591
AT3G24570_1	0,806	0,986	0,964
AT3G24580_1	1,021	0,992	1,032
AT3G24590_1	1,027	0,429	0,346
AT3G24600_1	1,309	1,124	1,440
AT3G24610_1	1,309	1,596	1,893
AT3G24612_1	1,101	0,400	0,460
AT3G24620_1	1,276	1,395	1,877
AT3G24630_1	0,841	0,253	0,262
AT3G24640_1	0,977	0,937	1,081
AT3G24650_1	1,041	1,063	1,312
AT3G24660_1	0,997	0,207	0,084
AT3G24670_1	0,812	0,397	0,377
AT3G24675_1	1,125	1,147	1,707
AT3G24680_1	1,088	1,109	1,094
AT3G24690_1	1,113	1,267	1,678
AT3G24700_1	1,020	0,971	0,989
AT3G24710_1	1,330	1,674	1,656
AT3G24715_1	0,866	0,688	0,597
AT3G24730_1	0,968	0,714	1,904
AT3G24740_1	1,000	0,970	1,794

AGI	NaCl-Kontrolle zur H₂O-Kontrolle (log₂)	H₂O +B.c. zur H₂O-Kontrolle (log₂)	NaCl +B.c. zur H₂O-Kontrolle (log₂)
AT3G24740_2	1,019	0,942	1,304
AT3G24750_1	1,136	1,100	1,021
AT3G24760_1	0,949	0,596	0,946
AT3G24770_1	0,979	0,556	0,554
AT3G24780_1	0,908	1,195	1,157
AT3G24790_1	1,122	1,046	1,044
AT3G24800_1	0,985	0,816	1,021
AT3G24810_1	0,918	1,013	0,821
AT3G24820_1	0,874	0,545	0,966
AT3G24830_1	0,834	0,846	0,549
AT3G24840_1	0,947	0,795	1,989
AT3G24850_1	1,148	1,237	1,313
AT3G24860_1	0,966	1,462	1,481
AT3G24870_1	0,935	0,927	1,109
AT3G24880_1	1,036	0,957	1,056
AT3G24890_1	0,890	0,909	0,550
AT3G24900_1	1,228	1,690	2,212
AT3G24927_1	1,281	1,780	1,893
AT3G24929_1	1,030	1,231	1,377
AT3G24982_1	1,098	15,187	25,268
AT3G25010_1	1,020	2,411	5,585
AT3G25011_1	1,211	0,793	0,999
AT3G25013_1	1,177	1,525	2,304
AT3G25014_1	1,232	1,009	1,821
AT3G25020_1	0,887	1,369	1,789
AT3G25030_1	0,827	0,601	0,562
AT3G25030_2	1,046	0,769	0,793
AT3G25040_1	0,894	0,561	0,648
AT3G25050_1	1,205	1,301	1,522
AT3G25060_1	1,143	0,810	0,653
AT3G25070_1	0,724	0,762	0,800
AT3G25080_1	0,974	1,074	1,043
AT3G25090_1	1,115	1,150	1,140
AT3G25099_1	1,170	1,067	1,274
AT3G25100_1	0,588	0,368	0,269
AT3G25110_1	1,234	0,349	0,297
AT3G25120_1	1,011	1,475	1,417
AT3G25130_1	0,961	0,306	0,281
AT3G25140_1	1,042	0,751	0,442
AT3G25150_1	0,999	0,825	0,754
AT3G25160_1	1,060	0,968	1,122
AT3G25165_1	1,038	1,390	1,746
AT3G25170_1	1,032	1,243	1,606
AT3G25180_1	0,408	10,964	11,081
AT3G25180_2	0,487	12,023	14,428
AT3G25182_1	1,027	1,270	1,489
AT3G25190_1	1,152	1,309	1,586
AT3G25200_1	1,029	0,958	1,044
AT3G25210_1	1,060	0,913	0,488
AT3G25220_1	0,868	1,001	1,676

AGI	NaCl-Kontrolle zur H ₂ O-Kontrolle (log ₂)	H ₂ O +B.c. zur H ₂ O-Kontrolle (log ₂)	NaCl +B.c. zur H ₂ O-Kontrolle (log ₂)
AT3G25225_1	1,085	1,085	1,226
AT3G25230_1	1,075	2,385	2,337
AT3G25233_1	1,088	1,087	1,113
AT3G25240_1	1,181	2,812	8,242
AT3G25250_1	0,995	96,228	121,890
AT3G25260_1	1,212	1,223	1,292
AT3G25265_1	1,091	1,289	1,225
AT3G25270_1	1,094	1,247	1,252
AT3G25280_1	1,044	1,116	1,353
AT3G25290_1	0,962	11,721	23,110
AT3G25400_1	0,940	0,658	0,866
AT3G25410_1	1,062	0,696	0,427
AT3G25420_1	1,140	1,235	1,415
AT3G25430_1	1,064	0,826	0,458
AT3G25440_1	1,007	0,691	0,526
AT3G25440_2	1,036	0,841	0,710
AT3G25450_1	1,115	1,036	1,258
AT3G25460_1	1,085	1,000	1,089
AT3G25470_1	0,928	0,700	0,706
AT3G25480_1	0,904	0,288	0,230
AT3G25485_1	0,962	0,986	1,133
AT3G25490_1	1,252	4,755	5,545
AT3G25495_1	1,034	0,483	1,180
AT3G25500_1	1,058	0,467	0,070
AT3G25510_1	0,971	1,102	1,259
AT3G25520_1	1,012	0,971	0,811
AT3G25530_1	0,893	0,406	0,281
AT3G25530_2	0,954	0,423	0,288
AT3G25540_1	0,848	0,696	0,800
AT3G25545_1	1,016	1,188	1,398
AT3G25550_1	0,966	0,983	1,159
AT3G25560_1	1,302	0,619	0,435
AT3G25570_1	0,994	0,777	0,910
AT3G25573_1	1,200	5,504	13,192
AT3G25577_1	1,122	1,170	1,297
AT3G25580_1	0,843	0,701	0,778
AT3G25585_1	0,972	2,763	3,092
AT3G25590_1	1,013	2,048	2,341
AT3G25597_1	0,816	1,152	3,196
AT3G25600_1	0,712	1,159	1,485
AT3G25610_1	0,893	6,140	6,821
AT3G25620_1	0,875	0,717	2,395
AT3G25630_1	0,999	1,010	1,084
AT3G25640_1	0,904	0,974	0,823
AT3G25650_1	1,180	1,539	1,416
AT3G25655_1	0,919	2,375	15,930
AT3G25660_1	0,896	0,437	0,267
AT3G25670_1	0,959	0,203	0,136
AT3G25680_1	0,969	0,539	0,412
AT3G25690_1	1,080	0,722	0,459

AGI	NaCl-Kontrolle zur H₂O-Kontrolle (log₂)	H₂O +B.c. zur H₂O-Kontrolle (log₂)	NaCl +B.c. zur H₂O-Kontrolle (log₂)
AT3G25700_1	1,016	1,190	0,327
AT3G25700_2	0,970	1,154	0,185
AT3G25710_1	0,854	0,306	0,178
AT3G25715_1	1,088	1,391	1,699
AT3G25716_1	1,232	1,170	1,342
AT3G25717_1	0,775	0,276	0,026
AT3G25719_1	1,180	1,513	1,468
AT3G25720_1	1,118	1,474	1,230
AT3G25725_1	1,035	1,048	1,061
AT3G25727_1	1,038	1,034	1,058
AT3G25730_1	0,859	1,467	1,510
AT3G25740_1	1,015	0,416	0,568
AT3G25750_1	1,193	1,312	1,383
AT3G25760_1	0,995	1,863	1,636
AT3G25770_1	0,992	0,970	0,735
AT3G25780_1	0,509	17,066	12,736
AT3G25790_1	1,062	1,071	1,078
AT3G25795_1	1,083	1,105	1,142
AT3G25800_1	1,045	1,282	1,478
AT3G25805_1	1,006	0,335	0,136
AT3G25810_1	1,040	1,221	1,222
AT3G25815_1	1,003	1,039	1,046
AT3G25820_1	1,016	1,102	1,360
AT3G25826_1	1,005	1,189	1,286
AT3G25830_1	0,945	1,006	1,149
AT3G25840_1	0,907	0,747	0,984
AT3G25840_2	1,046	0,900	1,383
AT3G25850_1	0,979	0,953	1,030
AT3G25855_1	0,834	0,864	0,990
AT3G25860_1	0,941	0,749	0,319
AT3G25870_1	1,144	0,869	1,628
AT3G25880_1	1,304	0,956	0,814
AT3G25890_1	1,186	2,554	1,119
AT3G25900_1	0,520	2,349	3,948
AT3G25900_2	0,539	2,473	4,076
AT3G25905_1	0,836	0,300	0,196
AT3G25910_1	1,023	1,117	1,173
AT3G25920_1	0,965	0,407	0,100
AT3G25930_1	1,104	1,067	1,096
AT3G25940_1	0,952	1,053	0,761
AT3G25950_1	1,167	1,308	5,686
AT3G25960_1	1,066	1,708	2,089
AT3G25970_1	1,210	0,696	0,651
AT3G25980_1	0,636	0,354	0,287
AT3G25990_1	1,244	0,840	2,047
AT3G26000_1	1,107	0,908	1,035
AT3G26010_1	1,124	1,154	1,252
AT3G26020_1	0,897	1,751	1,803
AT3G26020_2	0,904	1,833	1,745
AT3G26020_3	0,941	1,521	2,117

AGI	NaCl-Kontrolle zur H₂O-Kontrolle (log₂)	H₂O +B.c. zur H₂O-Kontrolle (log₂)	NaCl +B.c. zur H₂O-Kontrolle (log₂)
AT3G26020_4	0,789	1,090	1,803
AT3G26030_1	0,862	0,674	0,689
AT3G26040_1	0,997	0,721	0,910
AT3G26050_1	0,988	0,800	0,829
AT3G26060_1	0,966	0,248	0,040
AT3G26070_1	1,075	0,718	0,430
AT3G26080_1	1,018	0,979	0,905
AT3G26085_1	1,079	0,958	0,991
AT3G26085_2	1,147	0,887	1,205
AT3G26090_1	0,799	1,460	1,727
AT3G26100_1	0,979	0,978	2,124
AT3G26110_1	1,156	1,216	1,353
AT3G26115_1	0,804	0,738	0,731
AT3G26115_2	0,789	0,730	0,713
AT3G26120_1	1,192	1,164	1,181
AT3G26125_1	0,760	0,427	0,455
AT3G26130_1	0,999	0,898	1,017
AT3G26134_1	1,157	1,124	1,192
AT3G26140_1	1,088	1,427	1,733
AT3G26150_1	1,297	1,066	1,458
AT3G26160_1	1,482	0,694	0,691
AT3G26165_1	1,131	0,504	0,623
AT3G26170_1	1,043	0,964	1,661
AT3G26180_1	1,034	0,771	1,275
AT3G26180_2	1,061	0,780	1,482
AT3G26190_1	0,838	55,591	37,830
AT3G26200_1	0,134	10,686	7,552
AT3G26210_1	0,501	1,551	2,959
AT3G26220_1	0,778	1,177	3,593
AT3G26230_1	0,894	0,634	0,996
AT3G26235_1	0,932	1,006	1,003
AT3G26240_1	0,844	0,490	0,496
AT3G26250_1	1,399	0,914	0,818
AT3G26260_1	1,067	1,100	1,128
AT3G26265_1	1,243	1,337	1,469
AT3G26270_1	1,355	1,405	1,534
AT3G26280_1	1,117	1,032	1,654
AT3G26290_1	1,201	1,042	1,736
AT3G26295_1	1,205	1,393	1,358
AT3G26300_1	1,059	0,962	0,642
AT3G26310_1	1,196	0,805	0,454
AT3G26320_1	0,965	1,092	0,164
AT3G26330_1	1,255	2,231	1,239
AT3G26340_1	0,963	0,800	1,294
AT3G26350_1	1,009	0,948	0,971
AT3G26360_1	0,905	1,271	1,657
AT3G26370_1	1,076	0,800	0,831
AT3G26380_1	1,361	0,899	2,151
AT3G26390_1	0,986	1,062	1,222
AT3G26400_1	0,988	1,663	2,010

AGI	NaCl-Kontrolle zur H₂O-Kontrolle (log₂)	H₂O +B.c. zur H₂O-Kontrolle (log₂)	NaCl +B.c. zur H₂O-Kontrolle (log₂)
AT3G26410_1	1,257	1,219	0,685
AT3G26420_1	0,802	0,930	0,899
AT3G26430_1	0,869	0,979	0,847
AT3G26440_1	1,073	31,547	67,884
AT3G26440_3	0,914	2,484	4,585
AT3G26445_1	1,176	0,448	0,330
AT3G26450_1	0,912	1,008	0,657
AT3G26460_1	1,218	1,252	0,965
AT3G26470_1	0,833	1,775	2,326
AT3G26480_1	1,060	0,628	0,655
AT3G26483_1	1,180	1,657	2,194
AT3G26486_1	1,068	1,051	1,045
AT3G26490_1	0,693	0,273	0,146
AT3G26500_1	0,339	5,026	4,361
AT3G26510_1	0,830	1,849	1,764
AT3G26510_3	0,804	1,799	1,759
AT3G26510_5	0,979	1,908	1,756
AT3G26511_1	1,422	1,826	1,942
AT3G26520_1	0,868	0,760	0,675
AT3G26539_1	1,129	0,330	0,190
AT3G26540_1	1,222	0,475	0,301
AT3G26550_1	1,103	1,336	1,378
AT3G26560_1	0,994	1,100	1,076
AT3G26561_1	1,015	1,096	1,091
AT3G26570_1	0,989	0,922	0,639
AT3G26580_1	1,077	0,730	1,346
AT3G26590_1	1,090	2,329	3,079
AT3G26600_1	0,942	0,600	1,282
AT3G26605_1	1,193	1,012	0,750
AT3G26610_1	1,010	1,032	1,186
AT3G26612_1	0,965	0,798	1,181
AT3G26614_1	1,012	0,991	1,013
AT3G26616_1	0,980	0,940	1,039
AT3G26618_1	1,041	1,226	0,912
AT3G26620_1	0,907	0,878	0,867
AT3G26630_1	1,060	0,937	0,986
AT3G26640_1	0,893	0,891	0,800
AT3G26650_1	0,980	0,833	0,526
AT3G26660_1	0,905	0,843	0,926
AT3G26670_1	0,891	2,204	2,663
AT3G26680_1	0,500	3,661	3,332
AT3G26680_2	0,549	3,777	3,001
AT3G26680_3	0,469	3,878	3,029
AT3G26690_1	0,712	0,423	0,729
AT3G26690_2	0,719	0,458	0,776
AT3G26700_1	0,837	0,693	0,354
AT3G26710_1	0,847	0,481	0,141
AT3G26720_1	0,984	0,570	0,583
AT3G26720_2	0,979	0,544	0,561
AT3G26730_1	1,128	0,944	0,815

AGI	NaCl-Kontrolle zur H ₂ O-Kontrolle (log ₂)	H ₂ O +B.c. zur H ₂ O-Kontrolle (log ₂)	NaCl +B.c. zur H ₂ O-Kontrolle (log ₂)
AT3G26740_1	1,036	0,251	0,861
AT3G26742_1	1,365	1,067	2,827
AT3G26744_1	0,879	1,677	1,736
AT3G26750_1	0,865	0,370	0,224
AT3G26760_1	0,540	0,176	0,139
AT3G26770_1	0,948	1,428	1,221
AT3G26775_1	1,096	1,124	1,127
AT3G26780_1	0,932	1,039	1,023
AT3G26782_1	1,364	0,587	0,351
AT3G26790_1	1,096	0,514	0,742
AT3G26800_1	1,000	1,167	1,080
AT3G26805_1	0,974	0,975	0,960
AT3G26810_1	0,931	1,026	1,039
AT3G26812_1	1,221	0,824	0,764
AT3G26813_1	1,012	0,848	0,963
AT3G26815_1	0,924	0,250	0,262
AT3G26816_1	1,046	0,982	1,012
AT3G26818_1	0,960	0,325	0,310
AT3G26819_1	1,349	1,206	1,474
AT3G26820_1	0,998	10,152	11,943
AT3G26830_1	0,302	23,648	24,180
AT3G26840_1	0,786	10,489	14,039
AT3G26850_1	0,789	0,626	0,389
AT3G26850_2	0,914	0,694	0,381
AT3G26855_1	1,128	1,243	1,330
AT3G26860_1	1,011	1,008	1,044
AT3G26860_2	1,023	0,923	1,001
AT3G26870_1	1,101	1,209	1,240
AT3G26872_1	0,984	1,004	0,969
AT3G26880_1	0,982	0,979	1,015
AT3G26890_1	0,927	0,407	0,708
AT3G26890_2	0,958	0,447	0,721
AT3G26900_1	0,854	0,347	0,190
AT3G26900_2	0,921	0,626	0,359
AT3G26900_3	0,936	0,718	0,442
AT3G26910_1	0,790	3,479	3,616
AT3G26910_2	0,777	3,327	3,571
AT3G26920_1	0,904	0,871	1,079
AT3G26922_1	0,985	0,666	0,657
AT3G26930_1	0,978	0,913	0,949
AT3G26932_1	0,840	0,376	0,089
AT3G26932_2	1,016	0,530	0,178
AT3G26934_1	1,080	1,037	1,098
AT3G26935_1	1,034	0,863	0,669
AT3G26940_1	0,975	1,061	2,037
AT3G26950_1	0,981	0,526	0,402
AT3G26960_1	0,863	0,124	0,021
AT3G26980_1	0,894	2,483	1,904
AT3G26990_1	1,065	1,066	0,946
AT3G27000_1	0,988	0,612	1,023

AGI	NaCl-Kontrolle zur H ₂ O-Kontrolle (log ₂)	H ₂ O +B.c. zur H ₂ O-Kontrolle (log ₂)	NaCl +B.c. zur H ₂ O-Kontrolle (log ₂)
AT3G27010_1	0,783	2,562	2,171
AT3G27020_1	0,903	1,137	1,603
AT3G27025_1	1,223	1,317	3,539
AT3G27027_1	0,956	0,775	0,813
AT3G27030_1	1,220	0,825	0,601
AT3G27040_1	1,062	1,119	1,059
AT3G27050_1	0,850	0,608	0,730
AT3G27060_1	0,753	0,406	0,167
AT3G27070_1	1,155	1,357	1,321
AT3G27080_1	0,991	1,110	1,205
AT3G27090_1	0,956	1,453	1,433
AT3G27095_1	1,077	1,359	1,542
AT3G27100_1	0,829	0,864	1,083
AT3G27100_2	1,040	0,936	1,208
AT3G27110_1	0,968	1,053	1,675
AT3G27120_1	0,742	0,339	0,307
AT3G27130_1	0,773	0,421	0,449
AT3G27140_1	0,972	1,574	1,320
AT3G27150_1	0,975	1,214	1,268
AT3G27160_1	0,797	0,277	0,138
AT3G27170_1	1,074	10,099	4,269
AT3G27180_1	1,101	0,523	0,180
AT3G27190_1	1,140	1,294	1,331
AT3G27200_1	0,603	0,191	0,213
AT3G27210_1	1,170	0,787	3,425
AT3G27220_1	1,172	1,199	1,082
AT3G27230_1	1,046	0,589	0,252
AT3G27240_1	0,961	1,269	1,506
AT3G27250_1	2,487	0,206	0,573
AT3G27260_1	1,046	1,053	1,303
AT3G27270_1	1,106	1,026	2,872
AT3G27280_1	1,004	1,040	0,784
AT3G27280_2	1,001	1,047	0,791
AT3G27283_1	1,041	1,198	1,141
AT3G27290_1	0,728	0,830	1,037
AT3G27300_1	1,214	0,721	0,988
AT3G27310_1	0,907	0,914	1,124
AT3G27320_1	1,114	0,802	0,564
AT3G27321_1	1,008	0,991	1,065
AT3G27325_1	1,131	1,008	1,264
AT3G27327_1	1,106	1,113	1,068
AT3G27328_1	1,187	1,524	1,616
AT3G27329_1	0,984	0,974	1,097
AT3G27330_1	1,065	1,117	1,344
AT3G27331_1	1,030	1,135	1,223
AT3G27340_1	0,857	1,051	0,821
AT3G27340_2	0,940	1,118	0,937
AT3G27340_3	0,871	1,075	0,810
AT3G27350_1	0,836	1,996	1,907
AT3G27360_1	0,754	0,488	0,471

AGI	NaCl-Kontrolle zur H ₂ O-Kontrolle (log ₂)	H ₂ O +B.c. zur H ₂ O-Kontrolle (log ₂)	NaCl +B.c. zur H ₂ O-Kontrolle (log ₂)
AT3G27380_1	0,928	1,062	1,707
AT3G27380_2	1,073	1,143	2,083
AT3G27390_1	1,148	0,854	1,045
AT3G27400_1	0,818	0,182	0,369
AT3G27410_1	0,956	0,656	1,015
AT3G27415_1	0,920	1,050	1,042
AT3G27416_1	1,100	7,049	7,666
AT3G27420_1	1,046	0,713	0,655
AT3G27425_1	0,979	1,011	1,121
AT3G27430_1	0,943	0,932	1,265
AT3G27440_1	0,986	0,999	1,174
AT3G27450_1	0,960	0,884	0,900
AT3G27460_1	1,018	0,525	1,072
AT3G27460_2	1,100	0,606	1,166
AT3G27470_1	0,916	1,021	1,477
AT3G27473_1	1,019	1,086	0,889
AT3G27480_1	1,130	1,178	1,085
AT3G27490_1	1,047	1,172	1,176
AT3G27500_1	1,066	1,017	1,227
AT3G27503_1	1,013	1,006	1,071
AT3G27510_1	1,002	1,254	1,176
AT3G27520_1	0,963	1,208	0,693
AT3G27530_1	1,018	0,879	1,121
AT3G27540_1	0,856	0,530	1,998
AT3G27550_1	1,290	1,800	1,076
AT3G27560_1	0,906	1,114	1,519
AT3G27570_1	1,095	1,121	1,402
AT3G27580_1	1,102	1,026	1,012
AT3G27590_1	1,209	1,271	1,413
AT3G27600_1	1,114	1,184	1,218
AT3G27610_1	1,043	0,925	1,663
AT3G27620_1	1,226	1,987	1,711
AT3G27630_1	0,849	0,897	0,867
AT3G27640_1	0,462	0,226	0,146
AT3G27650_1	1,109	1,288	1,594
AT3G27660_1	1,351	2,311	1,989
AT3G27670_1	1,052	1,068	1,409
AT3G27680_1	1,409	1,528	1,679
AT3G27690_1	0,912	0,193	0,019
AT3G27700_1	0,953	1,689	1,885
AT3G27700_2	1,068	1,550	1,583
AT3G27710_1	0,990	1,127	1,277
AT3G27720_1	1,019	1,063	1,016
AT3G27730_1	1,065	1,238	1,184
AT3G27740_1	1,003	0,897	0,708
AT3G27740_2	0,998	0,886	0,706
AT3G27750_1	0,956	0,392	0,202
AT3G27770_1	0,697	0,631	0,563
AT3G27770_2	0,772	0,687	0,571
AT3G27785_1	0,912	1,009	1,079

AGI	NaCl-Kontrolle zur H₂O-Kontrolle (log₂)	H₂O +B.c. zur H₂O-Kontrolle (log₂)	NaCl +B.c. zur H₂O-Kontrolle (log₂)
AT3G27800_1	1,092	1,087	1,047
AT3G27809_1	1,264	16,765	42,122
AT3G27810_1	0,943	7,371	37,793
AT3G27820_1	1,075	1,018	1,229
AT3G27830_1	0,966	0,408	0,206
AT3G27831_1	1,043	0,521	0,431
AT3G27835_1	1,049	1,006	1,060
AT3G27840_1	1,156	1,180	0,862
AT3G27850_1	0,947	0,688	0,269
AT3G27860_1	0,941	1,375	1,396
AT3G27865_1	1,034	0,672	0,371
AT3G27870_1	1,250	0,212	0,389
AT3G27880_1	1,295	1,309	3,529
AT3G27883_1	1,069	0,450	0,734
AT3G27884_1	1,054	1,161	1,214
AT3G27886_1	0,971	0,999	1,027
AT3G27890_1	0,838	0,930	1,424
AT3G27895_1	1,291	1,201	1,456
AT3G27900_1	1,156	0,647	0,657
AT3G27906_1	1,172	0,435	0,223
AT3G27910_1	1,029	1,186	1,461
AT3G27920_1	1,049	1,095	0,988
AT3G27925_1	1,045	0,650	0,729
AT3G27930_1	0,995	0,826	0,984
AT3G27940_1	0,720	0,377	0,550
AT3G27950_1	0,987	1,028	1,157
AT3G27960_1	0,745	1,038	1,080
AT3G27965_1	1,018	1,039	1,071
AT3G27968_1	0,800	0,404	0,267
AT3G27970_1	1,165	1,507	1,303
AT3G27980_1	1,171	0,815	0,816
AT3G27990_1	1,210	0,664	0,531
AT3G27997_1	0,979	0,996	1,145
AT3G27999_1	0,992	1,004	1,002
AT3G28005_1	0,969	1,013	1,003
AT3G28007_1	1,716	0,558	3,068
AT3G28020_1	0,916	1,181	1,091
AT3G28030_1	1,064	0,814	1,126
AT3G28040_1	0,835	0,536	0,200
AT3G28050_1	1,045	1,032	1,914
AT3G28060_1	0,696	0,621	0,677
AT3G28070_1	1,061	0,845	1,019
AT3G28070_2	1,077	0,856	1,044
AT3G28070_3	0,933	0,390	0,360
AT3G28080_1	0,948	0,631	0,375
AT3G28080_2	0,986	0,593	0,640
AT3G28100_1	0,897	1,746	10,829
AT3G28110_1	1,163	1,388	1,547
AT3G28120_1	1,366	0,536	0,648
AT3G28130_1	0,940	0,250	0,219

AGI	NaCl-Kontrolle zur H₂O-Kontrolle (log₂)	H₂O +B.c. zur H₂O-Kontrolle (log₂)	NaCl +B.c. zur H₂O-Kontrolle (log₂)
AT3G28130_2	1,081	0,469	0,350
AT3G28140_1	0,856	0,457	0,551
AT3G28140_2	0,878	0,399	0,469
AT3G28150_1	1,024	0,718	0,855
AT3G28153_1	1,100	1,565	1,467
AT3G28155_1	1,358	1,669	1,203
AT3G28157_1	1,060	1,380	1,638
AT3G28160_1	1,049	4,131	0,186
AT3G28170_1	1,075	1,164	1,251
AT3G28180_1	0,949	0,699	0,426
AT3G28190_1	0,944	0,967	0,965
AT3G28200_1	0,799	0,760	0,324
AT3G28210_1	0,936	53,757	188,084
AT3G28216_1	0,995	0,972	0,960
AT3G28220_1	1,144	0,979	0,557
AT3G28223_1	1,057	1,237	1,434
AT3G28230_1	1,372	1,581	1,097
AT3G28230_2	1,160	1,484	1,233
AT3G28240_1	1,000	1,068	1,029
AT3G28243_1	1,105	1,197	1,206
AT3G28250_1	1,026	1,035	1,008
AT3G28260_1	0,981	1,046	1,316
AT3G28270_1	1,970	1,284	1,113
AT3G28270_2	1,952	1,377	1,226
AT3G28280_1	1,000	1,183	1,102
AT3G28290_1	2,284	0,306	0,243
AT3G28291_1	1,355	1,999	2,862
AT3G28295_1	1,094	1,027	1,066
AT3G28310_1	1,266	0,796	0,692
AT3G28315_1	0,896	0,882	0,839
AT3G28320_1	1,210	0,977	0,811
AT3G28321_1	0,965	0,999	0,954
AT3G28330_1	1,141	1,420	1,533
AT3G28340_1	0,299	5,233	7,943
AT3G28345_1	0,764	0,440	0,245
AT3G28350_1	1,157	0,329	0,269
AT3G28360_1	1,019	1,235	1,185
AT3G28370_1	1,099	0,190	0,217
AT3G28380_1	1,220	1,589	1,478
AT3G28390_1	1,091	1,270	1,324
AT3G28400_1	1,079	0,981	1,076
AT3G28410_1	1,196	1,230	1,463
AT3G28412_1	0,957	1,114	1,100
AT3G28415_1	1,018	1,204	1,408
AT3G28420_1	0,789	0,287	0,208
AT3G28430_1	1,064	1,086	1,364
AT3G28440_1	1,140	1,617	2,018
AT3G28450_1	0,891	1,326	1,468
AT3G28455_1	0,794	0,230	0,178
AT3G28460_1	0,960	0,405	0,206

AGI	NaCl-Kontrolle zur H₂O-Kontrolle (log₂)	H₂O +B.c. zur H₂O-Kontrolle (log₂)	NaCl +B.c. zur H₂O-Kontrolle (log₂)
AT3G28470_1	1,178	1,127	1,343
AT3G28480_1	0,903	0,888	1,522
AT3G28490_1	1,218	1,175	1,468
AT3G28500_1	1,039	1,110	1,317
AT3G28510_1	1,171	3,450	21,989
AT3G28520_1	1,040	1,122	1,377
AT3G28540_1	0,844	0,871	1,839
AT3G28550_1	1,305	1,554	1,629
AT3G28560_1	1,034	1,126	1,154
AT3G28570_1	0,839	1,351	1,282
AT3G28580_1	0,455	17,706	24,138
AT3G28590_1	1,415	1,920	1,802
AT3G28600_1	1,001	6,005	5,772
AT3G28610_1	0,998	6,027	18,128
AT3G28611_1	1,061	1,129	1,015
AT3G28620_1	1,024	0,769	0,731
AT3G28630_1	1,079	0,482	0,438
AT3G28630_2	1,123	0,906	1,005
AT3G28640_1	1,384	0,630	0,667
AT3G28650_1	0,952	1,084	1,030
AT3G28660_1	1,311	0,620	0,576
AT3G28670_1	0,995	1,031	1,188
AT3G28674_1	1,114	2,167	3,282
AT3G28680_1	1,171	1,177	1,303
AT3G28690_1	1,010	0,861	0,960
AT3G28690_3	1,048	0,855	0,935
AT3G28700_1	1,256	0,611	0,298
AT3G28705_1	0,905	0,987	1,046
AT3G28710_1	0,979	0,990	1,040
AT3G28715_1	1,064	0,840	0,970
AT3G28720_1	1,032	1,060	1,247
AT3G28730_1	1,116	0,860	0,730
AT3G28740_1	0,614	23,270	47,376
AT3G28750_1	0,944	0,714	0,582
AT3G28760_1	1,008	0,227	0,100
AT3G28760_2	0,957	0,232	0,106
AT3G28770_1	0,977	0,998	0,993
AT3G28780_1	1,238	1,335	1,515
AT3G28790_1	0,994	1,172	1,053
AT3G28800_1	1,322	1,327	0,887
AT3G28810_1	0,921	1,028	1,062
AT3G28820_1	0,976	1,147	1,119
AT3G28830_1	0,972	0,902	0,860
AT3G28840_1	1,455	0,328	0,241
AT3G28850_1	0,905	2,837	3,778
AT3G28855_1	0,930	0,983	0,948
AT3G28857_1	1,022	0,475	0,215
AT3G28860_1	1,026	0,339	0,089
AT3G28865_1	1,066	1,065	1,096
AT3G28870_1	1,176	1,099	1,008

AGI	NaCl-Kontrolle zur H₂O-Kontrolle (log₂)	H₂O +B.c. zur H₂O-Kontrolle (log₂)	NaCl +B.c. zur H₂O-Kontrolle (log₂)
AT3G28880_1	0,967	0,471	0,443
AT3G28890_1	0,889	1,218	2,054
AT3G28890_2	0,439	0,618	10,077
AT3G28899_1	0,909	1,038	1,017
AT3G28900_1	0,814	0,992	0,614
AT3G28910_1	0,851	0,569	0,291
AT3G28915_1	1,111	1,224	1,101
AT3G28917_1	1,355	1,795	1,886
AT3G28918_1	1,409	1,404	1,106
AT3G28920_1	1,035	1,124	0,685
AT3G28923_1	1,048	1,083	1,043
AT3G28925_1	1,083	0,979	0,895
AT3G28930_1	0,729	2,800	2,675
AT3G28940_1	0,866	1,861	1,715
AT3G28945_1	1,060	0,419	0,836
AT3G28950_1	0,995	1,494	2,705
AT3G28955_1	1,105	1,029	0,927
AT3G28956_1	0,911	0,890	1,555
AT3G28958_1	1,005	1,010	1,047
AT3G28960_1	0,868	0,370	0,210
AT3G28970_1	0,868	0,934	1,113
AT3G28980_1	1,061	1,114	1,229
AT3G28985_1	1,016	1,026	1,023
AT3G28990_1	1,193	1,315	1,421
AT3G29000_1	0,516	8,305	11,054
AT3G29010_1	0,740	0,635	0,640
AT3G29020_1	0,887	0,973	0,929
AT3G29020_2	1,061	1,422	1,316
AT3G29030_1	0,903	0,111	0,009
AT3G29032_1	1,029	1,244	1,359
AT3G29033_1	0,936	1,014	0,918
AT3G29034_1	0,336	16,257	19,868
AT3G29035_1	0,757	3,409	16,397
AT3G29036_1	1,196	1,488	1,577
AT3G29037_1	1,046	1,198	1,155
AT3G29040_1	1,273	1,394	1,391
AT3G29050_1	0,944	1,028	1,032
AT3G29060_1	1,064	1,120	1,095
AT3G29070_1	1,332	1,300	1,150
AT3G29075_1	0,955	0,964	1,150
AT3G29076_1	1,169	1,433	1,277
AT3G29077_1	1,003	1,021	1,023
AT3G29078_1	1,096	1,396	1,678
AT3G29080_1	1,105	1,202	1,260
AT3G29090_1	1,208	0,730	0,750
AT3G29095_1	0,960	0,891	0,956
AT3G29100_1	1,038	0,836	0,950
AT3G29105_1	1,108	1,443	1,648
AT3G29110_1	0,956	1,139	1,192
AT3G29120_1	1,030	0,674	0,685

AGI	NaCl-Kontrolle zur H₂O-Kontrolle (log₂)	H₂O +B.c. zur H₂O-Kontrolle (log₂)	NaCl +B.c. zur H₂O-Kontrolle (log₂)
AT3G29130_1	0,885	0,429	0,450
AT3G29140_1	0,928	0,564	0,656
AT3G29150_1	1,097	1,191	1,154
AT3G29152_1	1,129	1,203	1,386
AT3G29153_1	1,211	1,390	1,348
AT3G29156_1	0,970	0,956	0,954
AT3G29160_1	1,056	0,822	0,852
AT3G29160_3	1,034	0,825	0,837
AT3G29170_1	0,832	1,049	1,868
AT3G29175_1	1,026	1,248	1,144
AT3G29180_1	1,241	0,866	1,074
AT3G29185_1	0,983	0,273	0,052
AT3G29185_2	0,985	0,257	0,204
AT3G29187_1	0,961	1,053	0,948
AT3G29190_1	1,058	1,396	1,078
AT3G29195_1	1,184	1,323	1,291
AT3G29200_1	1,054	2,113	2,095
AT3G29205_1	1,063	1,456	1,288
AT3G29210_1	1,214	1,316	1,612
AT3G29220_1	1,172	1,290	1,129
AT3G29225_1	1,014	1,024	0,995
AT3G29230_1	1,138	0,638	0,516
AT3G29240_1	1,029	0,763	1,124
AT3G29240_2	0,841	0,632	2,212
AT3G29250_1	1,076	22,655	100,109
AT3G29250_2	1,005	18,462	70,534
AT3G29252_1	1,061	11,798	43,817
AT3G29255_1	0,979	1,138	1,177
AT3G29260_1	1,026	3,975	10,727
AT3G29265_1	1,002	1,031	1,119
AT3G29270_1	0,965	0,819	0,982
AT3G29270_2	0,977	0,845	0,944
AT3G29280_1	0,904	0,170	0,072
AT3G29290_1	0,965	0,659	0,656
AT3G29300_1	1,058	1,232	1,214
AT3G29305_1	1,072	1,407	1,520
AT3G29310_1	0,986	1,482	2,015
AT3G29320_1	0,993	0,254	0,078
AT3G29330_1	0,986	0,880	1,178
AT3G29340_1	0,974	1,116	1,133
AT3G29350_1	0,645	0,429	1,108
AT3G29350_2	0,911	0,641	0,964
AT3G29360_1	0,982	0,916	0,894
AT3G29365_1	1,093	1,217	1,295
AT3G29370_1	0,730	0,458	0,422
AT3G29375_1	1,043	0,625	0,301
AT3G29380_1	1,182	1,228	1,267
AT3G29385_1	0,981	1,065	1,109
AT3G29390_1	1,007	0,874	1,055
AT3G29400_1	0,870	1,497	1,526

AGI	NaCl-Kontrolle zur H₂O-Kontrolle (log₂)	H₂O +B.c. zur H₂O-Kontrolle (log₂)	NaCl +B.c. zur H₂O-Kontrolle (log₂)
AT3G29410_1	1,030	1,090	1,079
AT3G29420_1	1,110	1,368	1,242
AT3G29430_1	1,223	1,382	1,416
AT3G29431_1	1,047	1,051	1,120
AT3G29440_1	1,005	1,368	1,430
AT3G29450_1	0,972	1,010	0,898
AT3G29460_1	1,044	1,122	1,116
AT3G29470_1	1,088	1,749	4,304
AT3G29480_1	1,223	1,486	1,320
AT3G29510_1	1,011	1,445	1,456
AT3G29515_1	1,058	1,097	1,070
AT3G29520_1	1,059	1,098	1,044
AT3G29525_1	1,008	1,027	1,021
AT3G29540_1	1,173	1,268	1,308
AT3G29545_1	1,173	0,980	1,416
AT3G29550_1	1,337	1,794	1,783
AT3G29560_1	1,426	1,500	1,741
AT3G29570_1	1,028	0,990	0,983
AT3G29572_1	1,096	1,179	1,311
AT3G29575_1	1,431	1,227	4,964
AT3G29575_3	1,335	1,228	2,632
AT3G29577_1	1,279	1,465	1,550
AT3G29578_1	1,051	1,057	0,973
AT3G29580_1	0,986	0,989	0,958
AT3G29590_1	3,366	0,625	0,700
AT3G29595_1	1,106	1,317	1,152
AT3G29600_1	1,517	1,065	0,963
AT3G29610_1	1,130	1,191	1,356
AT3G29612_1	0,894	1,158	1,020
AT3G29615_1	1,254	1,146	1,045
AT3G29618_1	1,026	1,158	1,147
AT3G29620_1	0,890	0,954	0,922
AT3G29630_1	1,082	1,176	1,439
AT3G29632_1	1,053	1,118	1,152
AT3G29633_1	0,920	1,382	0,857
AT3G29634_1	0,998	1,008	1,007
AT3G29635_1	1,108	1,691	2,035
AT3G29636_1	1,109	1,360	1,483
AT3G29638_1	1,016	1,050	1,139
AT3G29639_1	0,784	0,529	0,635
AT3G29640_1	0,909	0,927	0,938
AT3G29641_1	1,463	1,509	1,459
AT3G29642_1	1,061	1,165	1,144
AT3G29643_1	0,841	0,958	0,881
AT3G29644_1	1,013	0,708	0,742
AT3G29644_2	0,998	0,836	0,892
AT3G29647_1	0,971	0,984	0,988
AT3G29648_1	0,896	0,906	0,975
AT3G29650_1	0,998	1,162	1,258
AT3G29660_1	0,909	0,970	0,949

AGI	NaCl-Kontrolle zur H₂O-Kontrolle (log₂)	H₂O +B.c. zur H₂O-Kontrolle (log₂)	NaCl +B.c. zur H₂O-Kontrolle (log₂)
AT3G29670_1	1,190	0,670	0,167
AT3G29680_1	1,065	0,426	0,106
AT3G29690_1	1,075	1,156	1,277
AT3G29695_1	1,130	1,488	1,375
AT3G29700_1	0,980	1,321	1,323
AT3G29710_1	0,974	1,041	0,897
AT3G29720_1	1,261	1,732	1,871
AT3G29725_1	1,154	1,536	1,848
AT3G29727_1	0,962	1,155	1,079
AT3G29730_1	1,214	1,459	1,602
AT3G29732_1	0,975	1,018	1,050
AT3G29734_1	0,857	0,953	0,898
AT3G29736_1	0,961	1,171	1,092
AT3G29738_1	1,524	1,472	1,657
AT3G29739_1	1,018	1,046	1,015
AT3G29740_1	1,055	1,203	1,442
AT3G29750_1	1,111	1,466	1,242
AT3G29755_1	1,198	1,273	1,460
AT3G29760_1	0,916	0,849	0,861
AT3G29762_1	1,186	0,649	0,371
AT3G29763_1	1,069	1,312	1,311
AT3G29764_1	1,251	0,532	0,294
AT3G29765_1	0,963	1,091	0,908
AT3G29766_1	0,968	1,095	1,066
AT3G29767_1	1,092	1,198	1,226
AT3G29768_1	0,910	0,973	0,983
AT3G29769_1	1,317	1,608	1,336
AT3G29770_1	0,783	1,354	0,722
AT3G29771_1	1,168	1,293	1,457
AT3G29772_1	1,120	1,249	0,981
AT3G29773_1	1,054	1,079	1,107
AT3G29774_1	0,998	1,052	0,993
AT3G29775_1	1,055	1,140	1,115
AT3G29776_1	1,068	0,953	0,698
AT3G29777_1	1,300	1,336	1,361
AT3G29778_1	0,952	1,034	0,887
AT3G29779_1	0,956	1,108	1,060
AT3G29780_1	1,054	1,161	1,147
AT3G29781_1	1,081	1,051	1,047
AT3G29782_1	1,088	0,990	0,896
AT3G29783_1	0,932	1,044	0,909
AT3G29784_1	0,983	1,077	1,059
AT3G29785_1	0,961	0,940	0,960
AT3G29786_1	1,172	1,468	1,624
AT3G29787_1	1,374	1,448	1,606
AT3G29788_1	1,154	1,878	1,434
AT3G29789_1	0,987	0,989	0,914
AT3G29790_1	0,973	1,058	1,034
AT3G29791_1	1,080	1,270	1,231
AT3G29792_1	1,084	1,105	1,144

AGI	NaCl-Kontrolle zur H₂O-Kontrolle (log₂)	H₂O +B.c. zur H₂O-Kontrolle (log₂)	NaCl +B.c. zur H₂O-Kontrolle (log₂)
AT3G29796_1	1,239	1,272	1,110
AT3G29797_1	0,974	1,043	1,080
AT3G29798_1	1,049	4,367	0,181
AT3G29800_1	1,141	1,326	1,297
AT3G29810_1	0,687	5,491	6,350
AT3G29820_1	1,100	1,248	1,363
AT3G29830_1	1,000	1,111	1,368
AT3G29970_1	1,006	1,112	1,180
AT3G30110_1	1,369	1,512	1,603
AT3G30120_1	0,852	2,412	4,822
AT3G30122_1	1,037	1,021	0,948
AT3G30145_1	1,058	1,157	1,110
AT3G30147_1	1,232	1,120	1,236
AT3G30150_1	1,010	1,111	1,073
AT3G30160_1	1,160	1,233	1,410
AT3G30170_1	1,293	1,565	1,605
AT3G30180_1	0,576	1,466	2,821
AT3G30183_1	0,997	1,073	1,148
AT3G30187_1	1,013	1,046	1,014
AT3G30190_1	1,134	1,306	1,140
AT3G30200_1	1,211	1,324	1,287
AT3G30210_1	1,467	1,397	1,270
AT3G30211_1	0,975	1,156	1,020
AT3G30212_1	1,011	1,038	1,022
AT3G30213_1	1,093	1,143	1,110
AT3G30214_1	0,980	1,020	1,032
AT3G30216_1	1,039	1,213	1,111
AT3G30218_1	1,008	0,924	0,846
AT3G30219_1	1,193	1,313	1,066
AT3G30220_1	1,230	1,716	1,856
AT3G30230_1	1,198	1,287	1,265
AT3G30235_1	1,124	1,215	1,276
AT3G30240_1	1,185	1,200	1,158
AT3G30245_1	1,008	1,021	1,006
AT3G30247_1	1,247	1,132	1,100
AT3G30250_1	1,042	1,309	1,493
AT3G30260_1	1,009	1,079	1,189
AT3G30280_1	1,140	1,544	1,413
AT3G30281_1	1,075	1,066	1,088
AT3G30290_1	1,079	1,245	1,266
AT3G30300_1	1,151	0,407	0,195
AT3G30310_1	1,038	1,027	1,059
AT3G30320_1	0,842	0,897	0,831
AT3G30330_1	1,036	1,082	0,996
AT3G30335_1	1,171	1,273	1,085
AT3G30340_1	1,146	1,323	1,314
AT3G30350_1	1,192	1,128	1,180
AT3G30360_1	1,190	1,101	1,121
AT3G30370_1	0,946	1,030	0,982
AT3G30380_1	0,988	1,291	1,239

AGI	NaCl-Kontrolle zur H₂O-Kontrolle (log₂)	H₂O +B.c. zur H₂O-Kontrolle (log₂)	NaCl +B.c. zur H₂O-Kontrolle (log₂)
AT3G30380_2	0,942	1,368	1,301
AT3G30383_1	1,026	1,032	1,185
AT3G30384_1	1,134	1,088	1,128
AT3G30385_1	1,036	1,051	1,189
AT3G30386_1	1,051	1,073	0,931
AT3G30388_1	1,015	1,047	0,873
AT3G30390_1	1,052	1,098	1,423
AT3G30391_1	0,968	1,001	1,039
AT3G30393_1	0,924	1,014	1,013
AT3G30396_1	1,247	1,422	1,551
AT3G30400_1	1,102	1,211	0,833
AT3G30405_1	1,147	1,166	1,154
AT3G30410_1	1,156	1,291	1,288
AT3G30411_1	1,152	1,369	1,322
AT3G30413_1	1,324	1,472	1,397
AT3G30415_1	1,122	1,109	0,781
AT3G30416_1	1,098	1,398	1,405
AT3G30418_1	1,313	1,573	1,563
AT3G30420_1	0,865	1,033	0,973
AT3G30430_1	0,961	1,008	1,132
AT3G30433_1	1,251	1,551	1,696
AT3G30436_1	1,313	1,626	1,476
AT3G30440_1	1,143	1,372	1,580
AT3G30450_1	1,155	1,104	1,115
AT3G30455_1	1,094	1,110	1,285
AT3G30456_1	1,023	1,202	1,256
AT3G30460_1	1,575	0,427	0,257
AT3G30465_1	1,406	1,659	1,658
AT3G30470_1	1,317	1,478	1,525
AT3G30480_1	1,265	1,321	1,436
AT3G30490_1	1,189	1,483	1,543
AT3G30500_1	1,229	1,322	1,329
AT3G30505_1	1,235	1,346	1,289
AT3G30520_1	1,314	1,696	2,041
AT3G30530_1	1,461	1,689	1,968
AT3G30540_1	1,077	1,123	1,192
AT3G30550_1	0,829	0,914	0,851
AT3G30560_1	1,039	1,167	1,119
AT3G30570_1	1,170	1,362	1,471
AT3G30580_1	1,160	1,166	1,204
AT3G30582_1	1,148	1,029	1,138
AT3G30585_1	1,138	1,291	1,139
AT3G30587_1	1,224	1,222	1,008
AT3G30590_1	1,316	1,463	1,577
AT3G30600_1	1,327	1,520	1,683
AT3G30610_1	1,371	1,426	1,407
AT3G30620_1	1,378	1,559	1,462
AT3G30630_1	1,554	1,605	1,475
AT3G30640_1	1,264	1,254	1,083
AT3G30645_1	1,374	1,469	1,556

AGI	NaCl-Kontrolle zur H₂O-Kontrolle (log₂)	H₂O +B.c. zur H₂O-Kontrolle (log₂)	NaCl +B.c. zur H₂O-Kontrolle (log₂)
AT3G30650_1	1,162	1,267	1,126
AT3G30655_1	1,263	1,482	1,436
AT3G30660_1	1,286	1,569	1,390
AT3G30663_1	1,141	1,264	1,343
AT3G30665_1	1,283	1,454	1,268
AT3G30668_1	1,378	1,432	1,396
AT3G30670_1	1,163	1,451	1,732
AT3G30680_1	1,031	0,989	1,085
AT3G30685_1	0,900	0,969	0,919
AT3G30690_1	1,173	1,434	1,268
AT3G30695_1	1,324	1,405	1,301
AT3G30700_1	1,261	1,491	1,258
AT3G30703_1	1,298	1,586	1,592
AT3G30705_1	1,001	1,051	1,041
AT3G30708_1	1,109	1,345	1,362
AT3G30709_1	1,044	1,141	1,098
AT3G30710_1	1,196	1,241	1,161
AT3G30711_1	1,136	1,144	1,033
AT3G30712_1	1,249	1,304	1,441
AT3G30713_1	1,283	1,469	1,466
AT3G30714_1	0,992	0,994	0,996
AT3G30715_1	1,011	0,955	0,872
AT3G30716_1	1,021	1,011	0,924
AT3G30717_1	1,514	1,544	1,375
AT3G30718_1	1,233	1,125	1,003
AT3G30719_1	1,301	1,445	1,381
AT3G30720_1	0,940	0,451	0,407
AT3G30721_1	0,997	1,134	1,072
AT3G30722_1	1,263	1,242	1,516
AT3G30724_1	1,025	0,983	0,980
AT3G30725_1	1,632	1,916	2,530
AT3G30727_1	0,951	0,916	0,969
AT3G30730_1	0,864	0,839	0,805
AT3G30733_1	1,029	1,046	1,128
AT3G30737_1	1,002	0,949	0,877
AT3G30740_1	1,044	1,023	0,734
AT3G30742_1	1,014	0,991	0,987
AT3G30743_1	1,056	0,956	0,925
AT3G30744_1	1,268	1,184	1,190
AT3G30745_1	1,062	0,974	1,014
AT3G30746_1	1,209	1,114	0,996
AT3G30747_1	1,101	1,098	1,137
AT3G30748_1	1,236	1,415	1,360
AT3G30749_1	1,283	1,305	1,311
AT3G30750_1	1,464	1,991	2,069
AT3G30751_1	1,426	1,480	1,537
AT3G30755_1	1,341	1,255	1,217
AT3G30760_1	1,116	1,174	1,139
AT3G30763_1	1,281	1,310	1,102
AT3G30764_1	1,282	1,509	1,506

AGI	NaCl-Kontrolle zur H₂O-Kontrolle (log₂)	H₂O +B.c. zur H₂O-Kontrolle (log₂)	NaCl +B.c. zur H₂O-Kontrolle (log₂)
AT3G30765_1	1,136	1,046	0,989
AT3G30766_1	1,259	1,101	0,772
AT3G30767_1	1,196	1,424	1,482
AT3G30768_1	1,056	1,118	1,220
AT3G30769_1	1,157	1,414	1,811
AT3G30770_1	1,146	1,420	1,425
AT3G30775_1	0,353	2,467	2,152
AT3G30780_1	1,287	1,458	1,523
AT3G30790_1	1,084	1,341	1,251
AT3G30800_1	0,932	1,118	0,902
AT3G30802_1	1,280	1,484	1,345
AT3G30803_1	0,971	0,998	0,948
AT3G30805_1	0,930	1,082	1,037
AT3G30810_1	1,229	1,325	1,105
AT3G30811_1	1,237	1,473	1,545
AT3G30812_1	1,022	1,086	1,070
AT3G30813_1	1,021	1,078	0,963
AT3G30814_1	0,936	1,297	1,375
AT3G30815_1	1,191	1,288	1,138
AT3G30816_1	1,335	1,175	1,151
AT3G30817_1	1,310	1,445	1,474
AT3G30818_1	1,075	1,149	1,201
AT3G30819_1	1,159	1,374	1,191
AT3G30820_1	1,268	1,392	1,416
AT3G30821_1	0,934	1,191	1,129
AT3G30825_1	1,569	1,697	1,676
AT3G30827_1	1,314	1,510	1,366
AT3G30830_1	1,167	1,471	1,572
AT3G30831_1	1,009	1,226	1,129
AT3G30832_1	1,017	0,953	0,939
AT3G30833_1	1,223	1,515	1,601
AT3G30834_1	1,170	1,286	1,520
AT3G30835_1	0,989	0,930	0,945
AT3G30836_1	0,975	1,228	1,143
AT3G30837_1	1,036	1,012	0,958
AT3G30838_1	1,107	1,229	1,095
AT3G30839_1	1,038	1,319	1,368
AT3G30840_1	0,949	0,514	0,501
AT3G30841_1	1,112	0,813	1,210
AT3G30842_1	0,950	1,142	1,074
AT3G30843_1	1,126	1,134	1,039
AT3G30844_1	0,970	0,977	1,030
AT3G30845_1	1,042	1,193	1,014
AT3G30846_1	1,211	1,500	1,462
AT3G30847_1	0,973	0,997	1,035
AT3G30848_1	1,023	1,016	1,115
AT3G30849_1	1,082	1,079	1,076
AT3G30852_1	1,146	1,283	1,424
AT3G30859_1	1,294	1,563	1,122
AT3G30867_1	1,035	1,059	1,018

AGI	NaCl-Kontrolle zur H₂O-Kontrolle (log₂)	H₂O +B.c. zur H₂O-Kontrolle (log₂)	NaCl +B.c. zur H₂O-Kontrolle (log₂)
AT3G30875_1	1,242	2,034	1,185
AT3G30885_1	0,999	1,046	0,964
AT3G31005_1	0,854	0,732	0,356
AT3G31023_1	1,043	1,139	1,066
AT3G31051_1	0,954	1,219	1,363
AT3G31068_1	0,974	1,069	0,910
AT3G31161_1	1,345	1,604	1,127
AT3G31300_1	1,377	1,703	1,667
AT3G31310_1	1,025	1,274	1,191
AT3G31312_1	1,196	1,276	1,416
AT3G31314_1	1,329	1,143	1,004
AT3G31317_1	0,922	1,193	1,165
AT3G31320_1	1,023	1,281	1,336
AT3G31330_1	1,150	1,430	1,420
AT3G31340_1	1,303	1,592	1,621
AT3G31350_1	1,133	1,086	1,074
AT3G31355_1	1,163	1,436	1,380
AT3G31356_1	1,408	1,562	1,515
AT3G31357_1	1,356	1,409	1,474
AT3G31358_1	1,354	1,521	1,408
AT3G31359_1	1,370	1,548	1,470
AT3G31360_1	1,206	1,411	1,464
AT3G31365_1	1,076	1,168	1,247
AT3G31367_1	1,303	1,589	1,387
AT3G31370_1	1,123	1,200	1,349
AT3G31373_1	1,163	1,133	1,072
AT3G31374_1	1,404	1,365	1,358
AT3G31375_1	1,247	1,304	1,175
AT3G31377_1	1,106	1,120	1,165
AT3G31380_1	1,120	1,342	1,107
AT3G31390_1	1,308	1,420	1,379
AT3G31395_1	1,177	1,400	1,497
AT3G31400_1	1,424	1,507	1,589
AT3G31401_1	1,284	1,280	1,519
AT3G31402_1	0,930	0,898	0,800
AT3G31402_2	0,947	0,947	0,879
AT3G31403_1	1,032	1,189	0,887
AT3G31406_1	1,071	1,005	1,012
AT3G31410_1	1,165	1,476	1,251
AT3G31415_1	2,013	2,534	2,928
AT3G31420_1	1,055	1,663	1,523
AT3G31422_1	0,972	1,064	1,008
AT3G31425_1	1,020	1,022	0,958
AT3G31430_1	1,008	1,545	1,496
AT3G31440_1	0,993	1,128	0,912
AT3G31442_1	1,152	1,251	1,081
AT3G31450_1	0,829	0,927	0,699
AT3G31460_1	1,259	1,357	1,075
AT3G31470_1	0,957	0,983	0,862
AT3G31475_1	1,082	1,513	1,367

AGI	NaCl-Kontrolle zur H₂O-Kontrolle (log₂)	H₂O +B.c. zur H₂O-Kontrolle (log₂)	NaCl +B.c. zur H₂O-Kontrolle (log₂)
AT3G31490_1	1,297	1,487	1,409
AT3G31500_1	1,172	1,513	1,316
AT3G31510_1	0,921	0,981	0,981
AT3G31530_1	1,120	1,405	1,357
AT3G31540_1	1,201	1,297	1,339
AT3G31630_1	1,240	1,487	1,319
AT3G31720_1	1,011	1,226	1,129
AT3G31810_1	1,107	1,247	1,109
AT3G31900_1	1,136	1,199	1,209
AT3G31902_1	1,012	1,030	1,043
AT3G31903_1	0,986	0,986	0,986
AT3G31904_1	0,948	0,943	0,749
AT3G31905_1	1,133	1,192	1,110
AT3G31906_1	1,100	2,147	2,007
AT3G31908_1	1,114	1,166	1,037
AT3G31909_1	0,948	1,022	0,968
AT3G31910_1	1,088	1,264	1,165
AT3G31915_1	1,169	1,140	1,178
AT3G31920_1	1,006	1,116	0,833
AT3G31930_1	1,088	1,066	1,086
AT3G31935_1	0,983	1,242	1,085
AT3G31940_1	1,459	1,647	1,571
AT3G31945_1	0,957	1,106	0,963
AT3G31950_1	1,074	1,454	1,324
AT3G31955_1	1,059	1,481	1,702
AT3G31960_1	1,058	1,183	1,215
AT3G31970_1	1,182	1,382	1,295
AT3G31980_1	1,016	1,076	1,046
AT3G31990_1	1,054	1,052	1,084
AT3G31993_1	1,097	1,135	1,112
AT3G31996_1	1,344	1,616	1,466
AT3G32000_1	1,346	1,484	1,356
AT3G32010_1	1,361	1,574	1,465
AT3G32020_2	1,267	1,387	1,223
AT3G32021_1	1,009	1,001	1,003
AT3G32022_1	1,047	1,242	1,045
AT3G32023_1	1,064	1,167	1,433
AT3G32024_1	1,018	0,992	0,952
AT3G32026_1	0,988	0,946	0,831
AT3G32027_1	0,916	0,966	0,902
AT3G32028_1	1,020	1,052	0,911
AT3G32029_1	1,097	1,121	1,014
AT3G32030_1	1,125	1,056	1,069
AT3G32031_1	0,902	0,949	0,934
AT3G32032_1	1,205	1,280	1,063
AT3G32033_1	1,286	1,445	1,263
AT3G32035_1	0,986	1,000	0,934
AT3G32036_1	1,202	1,317	1,357
AT3G32040_1	1,272	1,481	1,572
AT3G32043_1	1,040	1,289	1,250

AGI	NaCl-Kontrolle zur H₂O-Kontrolle (log₂)	H₂O +B.c. zur H₂O-Kontrolle (log₂)	NaCl +B.c. zur H₂O-Kontrolle (log₂)
AT3G32047_1	1,204	1,348	1,373
AT3G32050_1	1,028	1,213	1,152
AT3G32052_1	1,058	1,055	1,083
AT3G32060_1	1,118	1,457	1,288
AT3G32070_1	0,973	1,368	1,293
AT3G32080_1	1,125	1,569	1,665
AT3G32090_1	1,322	1,596	1,650
AT3G32091_1	0,986	1,052	0,811
AT3G32092_1	1,162	1,481	1,385
AT3G32093_1	1,327	1,539	1,465
AT3G32095_1	1,049	1,093	0,913
AT3G32100_1	1,008	1,201	1,044
AT3G32110_1	1,155	1,448	1,183
AT3G32112_1	1,037	1,039	0,952
AT3G32115_1	1,032	1,090	0,915
AT3G32116_1	1,390	1,704	1,482
AT3G32118_1	1,283	1,589	1,540
AT3G32120_1	1,216	1,332	1,253
AT3G32130_1	0,954	1,108	1,165
AT3G32135_1	1,009	1,061	0,871
AT3G32140_1	1,229	1,334	1,100
AT3G32150_1	1,237	1,130	1,127
AT3G32160_1	1,225	1,182	1,075
AT3G32164_1	1,223	1,524	1,232
AT3G32168_1	1,148	1,380	1,227
AT3G32172_1	1,189	1,456	1,313
AT3G32176_1	1,275	1,440	1,142
AT3G32180_1	1,467	1,608	1,784
AT3G32190_1	1,130	0,990	0,790
AT3G32195_1	1,317	1,455	1,481
AT3G32200_1	1,145	1,315	1,385
AT3G32205_1	1,049	1,071	1,035
AT3G32210_1	1,278	1,454	1,314
AT3G32220_1	1,358	1,415	1,337
AT3G32223_1	1,183	1,422	1,299
AT3G32226_1	0,966	0,992	0,831
AT3G32230_1	1,049	1,156	1,210
AT3G32240_1	1,029	1,268	1,360
AT3G32250_1	1,252	1,386	1,346
AT3G32260_1	0,878	0,988	0,890
AT3G32270_1	1,143	1,066	0,984
AT3G32275_1	0,993	1,233	0,905
AT3G32280_1	0,899	0,995	1,012
AT3G32290_1	1,116	1,377	1,361
AT3G32295_1	1,078	1,676	1,260
AT3G32300_1	1,147	1,329	1,308
AT3G32305_1	1,194	1,267	1,147
AT3G32310_1	0,868	1,151	0,949
AT3G32313_1	0,952	0,936	0,954
AT3G32316_1	0,978	0,962	0,952

AGI	NaCl-Kontrolle zur H₂O-Kontrolle (log₂)	H₂O +B.c. zur H₂O-Kontrolle (log₂)	NaCl +B.c. zur H₂O-Kontrolle (log₂)
AT3G32320_1	0,983	0,953	0,940
AT3G32330_1	0,876	1,187	1,129
AT3G32340_1	1,074	1,061	1,022
AT3G32360_1	1,101	1,478	1,660
AT3G32370_1	0,866	1,000	0,938
AT3G32371_1	0,990	0,954	0,910
AT3G32373_1	1,148	1,593	1,589
AT3G32375_1	1,024	1,088	1,076
AT3G32377_1	0,928	1,008	0,946
AT3G32383_1	1,147	1,402	1,385
AT3G32385_1	1,047	1,228	1,178
AT3G32387_1	1,164	1,576	1,475
AT3G32389_1	1,185	1,219	1,226
AT3G32391_1	1,313	1,423	1,660
AT3G32393_1	1,400	1,316	1,211
AT3G32394_1	1,269	1,444	1,545
AT3G32395_1	1,232	1,472	1,575
AT3G32397_1	1,284	1,431	1,457
AT3G32400_1	1,101	0,542	0,359
AT3G32405_1	0,939	0,895	0,873
AT3G32410_1	1,207	0,448	0,350
AT3G32415_1	1,221	1,187	1,861
AT3G32425_1	1,180	1,262	1,155
AT3G32445_1	1,130	1,567	1,694
AT3G32455_1	1,118	1,095	1,075
AT3G32465_1	1,026	1,304	1,562
AT3G32475_1	1,027	1,033	1,023
AT3G32677_1	1,222	1,432	1,599
AT3G32880_1	1,345	1,484	1,319
AT3G32890_1	1,456	1,567	1,463
AT3G32893_1	1,239	1,435	1,415
AT3G32894_1	1,331	1,249	0,955
AT3G32895_1	1,017	1,141	0,903
AT3G32896_1	1,209	1,704	2,113
AT3G32897_1	1,270	1,516	1,501
AT3G32898_1	1,225	1,475	1,287
AT3G32899_1	1,241	1,396	1,419
AT3G32900_1	1,110	1,168	1,037
AT3G32901_1	1,059	0,944	0,766
AT3G32902_1	1,219	1,626	1,518
AT3G32903_1	1,315	1,687	1,800
AT3G32904_1	0,895	0,939	1,005
AT3G32905_1	1,065	1,192	1,218
AT3G32910_1	1,217	1,412	1,673
AT3G32912_1	1,156	1,211	1,230
AT3G32914_1	1,013	1,057	1,106
AT3G32917_1	1,237	1,614	1,250
AT3G32920_1	1,186	1,558	0,864
AT3G32925_1	0,942	1,035	0,954
AT3G32930_1	1,049	0,493	0,256

AGI	NaCl-Kontrolle zur H₂O-Kontrolle (log₂)	H₂O +B.c. zur H₂O-Kontrolle (log₂)	NaCl +B.c. zur H₂O-Kontrolle (log₂)
AT3G32940_1	1,066	0,792	1,034
AT3G32950_1	1,310	1,485	1,925
AT3G32960_1	0,871	0,939	0,956
AT3G32962_1	1,023	1,008	0,960
AT3G32964_1	1,062	1,207	1,126
AT3G32966_1	1,107	2,284	4,064
AT3G32968_1	1,068	1,357	1,142
AT3G32970_1	1,467	1,495	1,575
AT3G32975_1	1,272	1,381	1,397
AT3G32980_1	1,116	2,274	1,295
AT3G32990_1	1,347	1,659	1,507
AT3G33000_1	1,196	0,576	0,397
AT3G33002_1	1,141	0,893	0,699
AT3G33004_1	1,230	0,585	0,308
AT3G33005_1	1,214	1,355	1,445
AT3G33006_1	1,486	1,689	1,395
AT3G33008_1	1,466	1,699	1,513
AT3G33009_1	1,287	1,440	1,397
AT3G33010_1	1,192	1,424	1,410
AT3G33011_1	1,152	1,153	1,187
AT3G33025_1	0,992	1,070	0,846
AT3G33030_1	0,997	0,994	1,028
AT3G33035_1	1,214	1,463	1,283
AT3G33045_1	1,225	1,272	1,147
AT3G33055_1	1,212	1,500	1,241
AT3G33058_1	1,491	1,648	1,597
AT3G33064_1	1,327	1,512	1,334
AT3G33065_1	1,389	1,467	1,308
AT3G33066_1	1,330	1,536	1,436
AT3G33067_1	1,305	1,435	1,275
AT3G33069_1	1,354	1,496	1,321
AT3G33070_1	1,106	1,071	1,138
AT3G33071_1	1,399	1,489	1,402
AT3G33072_1	1,441	1,313	1,222
AT3G33073_1	1,400	1,516	1,278
AT3G33074_1	1,552	1,651	1,180
AT3G33075_1	1,259	1,287	1,173
AT3G33076_1	1,202	1,374	1,501
AT3G33077_1	1,296	1,453	1,411
AT3G33079_1	1,299	1,297	1,027
AT3G33080_1	1,251	1,413	1,294
AT3G33081_1	1,340	1,310	1,135
AT3G33082_1	1,323	1,514	1,376
AT3G33083_1	1,152	1,183	1,285
AT3G33085_1	1,231	1,439	1,308
AT3G33091_1	1,350	1,585	1,385
AT3G33094_1	1,382	1,513	1,519
AT3G33097_1	1,419	1,655	1,483
AT3G33100_1	1,218	1,649	1,398
AT3G33103_1	0,955	0,923	0,923

AGI	NaCl-Kontrolle zur H ₂ O-Kontrolle (log ₂)	H ₂ O +B.c. zur H ₂ O-Kontrolle (log ₂)	NaCl +B.c. zur H ₂ O-Kontrolle (log ₂)
AT3G33106_1	1,575	1,662	1,243
AT3G33109_1	1,435	1,694	1,456
AT3G33112_1	1,244	1,331	1,069
AT3G33115_1	1,047	1,171	1,073
AT3G33118_1	1,121	1,280	1,238
AT3G33121_1	1,176	1,368	1,332
AT3G33124_1	1,356	1,431	1,422
AT3G33127_1	1,298	1,477	1,325
AT3G33130_1	1,120	1,127	1,081
AT3G33131_1	1,341	1,291	0,952
AT3G33133_1	1,397	1,520	1,356
AT3G33136_1	1,448	1,615	1,631
AT3G33139_1	1,341	1,270	1,356
AT3G33142_1	1,349	1,580	1,496
AT3G33145_1	1,106	1,050	1,232
AT3G33148_1	0,997	0,928	0,824
AT3G33151_1	1,038	1,029	1,025
AT3G33154_1	1,428	1,385	1,315
AT3G33157_1	1,377	1,316	1,297
AT3G33160_1	1,046	1,089	1,074
AT3G33163_1	1,185	1,254	1,422
AT3G33166_1	1,233	1,463	1,525
AT3G33169_1	1,004	1,083	1,118
AT3G33172_1	1,350	1,625	1,412
AT3G33175_1	1,143	1,330	1,177
AT3G33178_1	1,256	1,300	1,247
AT3G33181_1	1,176	1,300	0,947
AT3G33185_1	1,094	1,192	1,030
AT3G33187_1	0,936	0,881	0,851
AT3G33189_1	1,123	0,930	0,853
AT3G33193_1	1,208	1,448	1,341
AT3G33197_1	1,384	1,546	1,363
AT3G33201_1	1,235	1,152	1,128
AT3G33205_1	1,098	1,118	0,905
AT3G33215_1	1,057	1,258	1,302
AT3G33225_1	1,148	1,323	1,443
AT3G33230_1	1,110	1,273	1,389
AT3G33235_1	1,110	1,072	1,094
AT3G33293_1	1,228	1,347	1,354
AT3G33377_1	1,128	1,176	1,199
AT3G33393_1	0,952	1,154	1,026
AT3G33448_1	1,148	1,286	1,457
AT3G33494_1	1,137	1,337	1,288
AT3G33520_1	1,031	0,869	0,695
AT3G33528_1	0,950	0,987	0,856
AT3G33530_1	0,919	0,784	0,932
AT3G33530_2	1,038	0,888	0,910
AT3G33537_1	1,308	1,480	1,435
AT3G33545_1	0,962	0,896	0,877
AT3G33555_1	1,480	1,205	1,123

AGI	NaCl-Kontrolle zur H₂O-Kontrolle (log₂)	H₂O +B.c. zur H₂O-Kontrolle (log₂)	NaCl +B.c. zur H₂O-Kontrolle (log₂)
AT3G33565_1	1,039	1,005	1,030
AT3G33570_1	0,970	1,229	0,938
AT3G33572_1	1,110	1,041	0,977
AT3G33575_1	1,149	1,303	1,244
AT3G33585_1	1,041	1,088	1,051
AT3G33595_1	0,976	1,113	0,984
AT3G34299_1	1,163	1,262	1,303
AT3G35003_1	1,332	1,356	1,499
AT3G35707_1	1,083	1,223	1,300
AT3G36411_1	0,971	1,033	0,978
AT3G36659_1	0,946	0,996	1,081
AT3G37820_1	1,256	1,471	1,424
AT3G38525_1	1,404	1,491	1,453
AT3G39230_1	1,166	1,174	1,222
AT3G39935_1	1,152	1,237	1,122
AT3G40640_1	0,995	1,009	0,886
AT3G41345_1	1,378	1,572	1,583
AT3G42047_1	1,161	1,462	1,410
AT3G42050_1	0,996	0,953	1,030
AT3G42052_1	1,054	1,357	1,183
AT3G42054_1	1,241	1,164	0,900
AT3G42057_1	1,033	1,358	1,328
AT3G42060_1	1,063	1,411	1,340
AT3G42065_1	1,070	1,363	1,190
AT3G42070_1	1,317	1,704	1,668
AT3G42080_1	1,073	1,012	0,950
AT3G42083_1	1,356	1,570	1,348
AT3G42086_1	1,043	1,184	1,103
AT3G42090_1	1,829	2,264	2,428
AT3G42100_1	1,086	1,053	0,982
AT3G42110_1	1,060	1,202	1,363
AT3G42115_1	0,946	1,262	1,163
AT3G42120_1	1,347	1,669	1,734
AT3G42130_1	1,597	1,798	1,506
AT3G42140_1	0,934	1,141	1,011
AT3G42150_1	0,915	0,807	0,993
AT3G42150_2	0,928	0,758	0,991
AT3G42155_1	1,012	1,245	1,639
AT3G42160_1	1,188	1,293	1,206
AT3G42170_1	1,054	0,880	0,822
AT3G42174_1	1,018	1,259	1,093
AT3G42178_1	1,386	1,238	1,123
AT3G42179_1	1,241	1,633	1,606
AT3G42180_1	1,069	1,750	4,996
AT3G42180_3	1,304	2,493	2,292
AT3G42181_1	1,358	1,472	1,343
AT3G42182_1	1,127	1,117	0,909
AT3G42186_1	0,980	1,152	1,136
AT3G42190_1	1,191	1,421	1,448
AT3G42200_1	1,148	1,271	1,252

AGI	NaCl-Kontrolle zur H₂O-Kontrolle (log₂)	H₂O +B.c. zur H₂O-Kontrolle (log₂)	NaCl +B.c. zur H₂O-Kontrolle (log₂)
AT3G42203_1	1,100	1,160	1,049
AT3G42206_1	0,984	1,029	0,974
AT3G42220_1	1,000	0,996	0,968
AT3G42230_1	1,107	1,128	1,129
AT3G42233_1	0,990	1,008	0,949
AT3G42236_1	1,351	1,468	1,454
AT3G42240_1	1,184	1,228	1,139
AT3G42245_1	1,205	1,506	1,571
AT3G42250_1	1,466	1,032	1,337
AT3G42251_1	1,254	1,364	1,218
AT3G42252_1	1,353	1,604	1,364
AT3G42253_1	1,293	1,531	1,373
AT3G42254_1	1,236	1,382	1,379
AT3G42255_1	0,960	0,991	1,085
AT3G42256_1	1,380	1,505	1,444
AT3G42257_1	1,335	1,429	1,265
AT3G42258_1	1,007	1,221	1,256
AT3G42260_1	1,284	1,529	1,602
AT3G42270_1	1,389	1,506	1,445
AT3G42280_1	1,054	1,023	1,063
AT3G42290_1	1,231	1,527	1,482
AT3G42300_1	1,397	1,608	1,600
AT3G42305_1	0,871	0,814	0,839
AT3G42310_1	1,622	2,037	2,141
AT3G42313_1	1,239	1,494	1,275
AT3G42316_1	1,041	1,058	1,071
AT3G42320_1	1,190	1,554	1,687
AT3G42330_1	1,252	1,382	1,192
AT3G42340_1	1,071	0,893	0,826
AT3G42350_1	1,170	1,040	0,896
AT3G42353_1	1,124	1,044	0,977
AT3G42356_1	1,271	1,336	1,805
AT3G42360_1	1,085	1,037	1,053
AT3G42380_1	1,274	1,214	1,423
AT3G42383_1	1,249	1,249	1,259
AT3G42385_1	1,122	1,144	1,016
AT3G42386_1	1,051	1,031	1,010
AT3G42390_1	0,970	1,146	1,124
AT3G42400_1	1,088	1,046	1,056
AT3G42410_1	1,080	0,981	1,061
AT3G42420_1	1,032	0,930	0,899
AT3G42430_1	1,209	1,033	1,075
AT3G42431_1	1,414	1,545	1,409
AT3G42432_1	1,166	1,094	1,137
AT3G42433_1	0,906	0,913	0,904
AT3G42434_1	1,378	1,487	1,322
AT3G42436_1	1,200	1,396	1,182
AT3G42438_1	1,002	1,199	1,149
AT3G42440_1	1,014	1,035	1,052
AT3G42445_1	1,447	1,565	1,348

AGI	NaCl-Kontrolle zur H₂O-Kontrolle (log₂)	H₂O +B.c. zur H₂O-Kontrolle (log₂)	NaCl +B.c. zur H₂O-Kontrolle (log₂)
AT3G42450_1	0,921	0,907	0,901
AT3G42460_1	1,164	1,138	1,072
AT3G42466_1	1,397	0,812	0,949
AT3G42470_1	1,015	1,116	1,059
AT3G42471_1	1,192	1,061	0,965
AT3G42472_1	1,328	1,346	1,208
AT3G42473_1	1,043	1,062	1,103
AT3G42474_1	1,240	1,279	1,147
AT3G42475_1	1,106	1,205	1,246
AT3G42476_1	1,224	1,251	1,128
AT3G42478_1	1,181	1,300	1,094
AT3G42480_1	1,094	0,957	0,940
AT3G42490_1	0,996	1,148	0,910
AT3G42500_1	1,212	1,199	1,266
AT3G42510_1	1,212	1,237	1,139
AT3G42520_1	1,215	1,268	1,302
AT3G42530_1	1,323	1,327	1,327
AT3G42535_1	1,144	1,213	1,182
AT3G42540_1	1,273	1,396	1,374
AT3G42542_1	1,005	0,990	1,051
AT3G42545_1	1,122	1,178	1,073
AT3G42550_1	1,166	1,136	1,085
AT3G42553_1	1,038	1,298	1,210
AT3G42557_1	1,017	1,043	1,133
AT3G42560_1	1,050	1,136	1,166
AT3G42565_1	0,911	1,054	1,097
AT3G42570_1	1,216	0,598	0,780
AT3G42580_1	1,223	1,343	1,247
AT3G42590_1	1,231	1,392	1,369
AT3G42600_1	1,106	1,194	1,337
AT3G42610_1	1,143	1,168	1,404
AT3G42620_1	1,205	1,196	1,215
AT3G42621_1	1,285	1,457	1,432
AT3G42622_1	1,103	1,262	1,406
AT3G42624_1	1,366	1,620	1,608
AT3G42626_1	1,165	1,324	1,175
AT3G42628_1	1,118	0,517	0,320
AT3G42630_1	1,087	1,122	1,388
AT3G42640_1	1,008	0,781	0,569
AT3G42645_1	1,156	1,054	1,107
AT3G42646_1	0,970	0,966	0,892
AT3G42650_1	1,372	1,307	1,219
AT3G42653_1	1,167	1,180	1,081
AT3G42656_1	0,974	0,949	0,955
AT3G42658_1	1,172	1,636	1,244
AT3G42660_1	0,811	0,318	0,208
AT3G42670_1	1,050	0,659	0,328
AT3G42680_1	1,190	1,363	1,724
AT3G42690_1	1,277	1,117	1,143
AT3G42700_1	1,055	1,164	1,155

AGI	NaCl-Kontrolle zur H₂O-Kontrolle (log₂)	H₂O +B.c. zur H₂O-Kontrolle (log₂)	NaCl +B.c. zur H₂O-Kontrolle (log₂)
AT3G42710_1	1,176	1,077	1,093
AT3G42711_1	1,070	1,166	1,004
AT3G42712_1	1,154	1,178	1,155
AT3G42713_1	1,092	0,956	1,112
AT3G42714_1	1,013	1,009	1,018
AT3G42715_1	1,546	1,480	1,076
AT3G42716_1	1,302	1,582	1,423
AT3G42717_1	1,278	1,454	1,360
AT3G42718_1	1,471	1,486	1,354
AT3G42719_1	1,367	1,475	1,471
AT3G42720_1	1,035	1,417	1,188
AT3G42721_1	1,081	1,145	1,287
AT3G42722_1	1,167	1,232	1,357
AT3G42723_1	0,856	1,028	0,809
AT3G42724_1	0,911	1,173	1,118
AT3G42725_1	0,922	0,856	0,796
AT3G42726_1	1,060	1,121	1,017
AT3G42727_1	1,273	1,291	1,183
AT3G42730_1	1,357	1,534	1,509
AT3G42740_1	1,493	1,615	1,697
AT3G42750_1	1,278	1,531	1,584
AT3G42760_1	1,340	1,505	1,641
AT3G42763_1	1,203	1,444	1,624
AT3G42766_1	1,103	1,222	1,276
AT3G42770_1	1,054	1,132	1,057
AT3G42780_1	1,198	1,208	1,427
AT3G42783_1	1,098	1,135	1,147
AT3G42786_1	1,009	1,035	0,992
AT3G42790_1	0,793	0,729	0,965
AT3G42791_1	1,063	1,044	0,974
AT3G42792_1	1,070	1,077	1,087
AT3G42794_1	1,010	1,003	1,046
AT3G42796_1	1,099	1,028	1,050
AT3G42798_1	1,010	1,001	1,059
AT3G42800_1	0,692	0,295	0,253
AT3G42803_1	1,117	1,061	1,136
AT3G42806_1	1,032	1,230	1,126
AT3G42810_1	1,135	1,099	1,133
AT3G42820_1	1,122	1,546	1,761
AT3G42830_1	1,063	1,150	1,079
AT3G42835_1	1,105	1,047	0,971
AT3G42836_1	1,313	1,285	1,473
AT3G42837_1	1,100	1,074	1,111
AT3G42850_1	0,875	0,881	0,845
AT3G42860_1	1,500	0,832	0,892
AT3G42870_1	0,950	0,926	0,909
AT3G42875_1	1,076	1,147	0,847
AT3G42880_1	1,110	1,031	1,049
AT3G42883_1	0,928	0,902	0,874
AT3G42886_1	1,084	1,205	1,269

AGI	NaCl-Kontrolle zur H₂O-Kontrolle (log₂)	H₂O +B.c. zur H₂O-Kontrolle (log₂)	NaCl +B.c. zur H₂O-Kontrolle (log₂)
AT3G42890_1	0,985	1,049	1,008
AT3G42900_1	1,138	1,243	1,154
AT3G42910_1	1,120	1,215	1,258
AT3G42913_1	1,328	1,429	1,239
AT3G42916_1	1,525	1,746	1,787
AT3G42920_1	1,054	1,241	1,218
AT3G42922_1	1,067	1,041	0,969
AT3G42924_1	1,065	1,186	1,105
AT3G42927_1	0,997	1,054	1,043
AT3G42930_1	1,107	1,253	0,939
AT3G42935_1	1,246	1,313	1,351
AT3G42940_1	1,067	1,277	1,314
AT3G42945_1	1,429	1,463	1,748
AT3G42950_1	1,091	0,974	0,979
AT3G42960_1	1,240	1,686	1,907
AT3G42970_1	0,861	0,949	0,898
AT3G42980_1	1,048	1,111	0,992
AT3G42990_1	1,040	1,503	1,489
AT3G42993_1	1,068	1,403	1,417
AT3G42996_1	1,241	1,453	1,574
AT3G43000_1	0,972	1,148	1,244
AT3G43005_1	0,944	0,972	0,929
AT3G43020_1	0,992	0,958	0,874
AT3G43025_1	1,157	1,393	1,336
AT3G43040_1	1,149	1,237	1,202
AT3G43050_1	1,072	1,075	1,084
AT3G43060_1	1,047	1,151	1,173
AT3G43070_1	0,982	0,977	0,937
AT3G43080_1	1,184	1,160	1,173
AT3G43083_1	0,960	0,986	1,021
AT3G43090_1	1,261	1,353	1,459
AT3G43095_1	0,982	0,978	1,004
AT3G43100_1	1,240	1,510	1,321
AT3G43110_1	1,320	1,838	2,547
AT3G43120_1	1,148	1,377	1,641
AT3G43123_1	1,198	1,425	1,547
AT3G43126_1	1,113	1,057	0,989
AT3G43128_1	1,290	1,367	1,394
AT3G43130_1	1,233	1,428	1,444
AT3G43140_1	1,465	1,417	1,595
AT3G43141_1	1,373	1,184	0,957
AT3G43142_1	1,362	1,436	1,390
AT3G43144_1	1,516	1,364	1,369
AT3G43146_1	1,212	0,992	0,864
AT3G43147_1	1,340	1,520	1,421
AT3G43148_1	1,199	1,345	1,402
AT3G43150_1	1,346	1,272	1,410
AT3G43151_1	1,248	1,401	1,378
AT3G43152_1	1,400	1,488	1,389
AT3G43153_1	1,152	1,615	1,445

AGI	NaCl-Kontrolle zur H₂O-Kontrolle (log₂)	H₂O +B.c. zur H₂O-Kontrolle (log₂)	NaCl +B.c. zur H₂O-Kontrolle (log₂)
AT3G43154_1	1,257	1,402	1,248
AT3G43156_1	1,418	1,669	1,491
AT3G43157_1	1,454	1,701	1,464
AT3G43158_1	1,106	1,021	0,966
AT3G43160_1	1,486	1,153	0,942
AT3G43170_1	1,266	1,316	1,674
AT3G43175_1	1,241	1,234	1,382
AT3G43180_1	1,216	1,175	1,108
AT3G43190_1	0,968	0,604	0,788
AT3G43200_1	1,083	1,183	1,163
AT3G43205_1	1,085	1,243	1,125
AT3G43210_1	1,203	1,741	2,690
AT3G43220_1	1,055	0,771	1,003
AT3G43220_2	1,033	0,771	1,034
AT3G43230_1	0,974	1,083	1,766
AT3G43240_1	0,990	1,507	1,411
AT3G43250_1	0,939	105,491	91,970
AT3G43251_1	1,298	1,285	0,988
AT3G43260_1	1,012	0,973	0,714
AT3G43270_1	1,108	0,824	1,545
AT3G43280_1	1,093	1,093	1,186
AT3G43290_1	1,253	1,487	1,417
AT3G43291_1	1,195	1,259	1,221
AT3G43300_1	0,961	0,888	0,933
AT3G43302_1	1,007	1,469	1,539
AT3G43303_1	1,299	1,472	1,306
AT3G43304_1	1,328	1,351	1,007
AT3G43307_1	1,017	1,296	1,273
AT3G43310_1	1,189	1,309	1,339
AT3G43315_1	1,130	1,428	1,848
AT3G43320_1	1,072	1,150	1,269
AT3G43330_1	0,972	1,023	0,930
AT3G43340_1	1,099	0,264	0,075
AT3G43350_1	0,871	0,817	0,750
AT3G43352_1	1,076	1,087	1,024
AT3G43355_1	1,450	1,539	1,331
AT3G43356_1	1,350	1,321	1,414
AT3G43357_1	1,211	1,450	1,481
AT3G43358_1	1,191	1,169	1,192
AT3G43359_1	1,067	1,037	1,030
AT3G43360_1	1,239	1,451	1,691
AT3G43370_1	1,217	1,339	1,638
AT3G43380_1	1,443	1,502	1,286
AT3G43390_1	1,339	1,419	1,688
AT3G43400_1	1,083	0,696	0,567
AT3G43402_1	1,140	1,277	1,474
AT3G43410_1	0,977	1,008	0,974
AT3G43420_1	0,998	1,050	1,023
AT3G43425_1	1,107	1,166	1,117
AT3G43430_1	0,684	0,697	0,966

AGI	NaCl-Kontrolle zur H₂O-Kontrolle (log₂)	H₂O +B.c. zur H₂O-Kontrolle (log₂)	NaCl +B.c. zur H₂O-Kontrolle (log₂)
AT3G43431_1	1,226	1,554	2,031
AT3G43432_1	1,234	1,389	1,633
AT3G43433_1	1,286	1,340	1,540
AT3G43436_1	1,483	1,594	1,767
AT3G43440_1	0,794	0,990	2,737
AT3G43442_1	0,959	0,968	0,905
AT3G43444_1	1,009	1,058	1,015
AT3G43447_1	1,041	1,071	1,062
AT3G43450_1	1,118	1,299	1,344
AT3G43460_1	1,094	1,203	1,189
AT3G43470_1	1,029	1,057	1,027
AT3G43480_1	1,140	1,239	1,422
AT3G43485_1	1,045	0,999	0,905
AT3G43490_1	1,049	1,273	1,117
AT3G43500_1	0,986	1,059	1,078
AT3G43505_1	1,018	1,192	0,884
AT3G43510_1	0,986	0,797	0,578
AT3G43520_1	1,089	0,905	0,986
AT3G43521_1	0,994	1,099	1,114
AT3G43522_1	1,108	1,253	1,218
AT3G43523_1	1,101	1,238	1,089
AT3G43524_1	1,073	1,223	1,162
AT3G43526_1	1,017	0,995	0,844
AT3G43528_1	1,692	1,984	2,584
AT3G43530_1	1,239	1,389	1,356
AT3G43540_1	0,788	0,463	0,292
AT3G43540_2	0,828	0,423	0,200
AT3G43546_1	0,862	1,021	0,885
AT3G43550_1	0,869	0,900	0,809
AT3G43563_1	1,223	1,481	1,249
AT3G43566_1	1,244	1,159	0,885
AT3G43570_1	0,842	0,853	0,779
AT3G43571_1	1,302	1,488	1,709
AT3G43572_1	1,044	1,029	1,029
AT3G43573_1	1,198	1,192	1,221
AT3G43574_1	1,148	1,300	1,399
AT3G43575_1	1,377	1,300	1,437
AT3G43580_1	1,134	1,333	1,189
AT3G43583_1	1,655	1,599	1,561
AT3G43586_1	1,041	1,123	0,996
AT3G43590_1	1,123	1,241	1,149
AT3G43600_1	0,899	0,672	0,414
AT3G43610_1	1,005	0,195	0,089
AT3G43620_1	1,138	1,140	1,025
AT3G43622_1	1,050	1,135	1,064
AT3G43623_1	1,160	1,454	1,650
AT3G43625_1	1,255	1,380	1,616
AT3G43630_1	1,176	1,463	1,652
AT3G43635_1	1,166	1,399	1,288
AT3G43640_1	1,247	1,535	1,599

AGI	NaCl-Kontrolle zur H₂O-Kontrolle (log₂)	H₂O +B.c. zur H₂O-Kontrolle (log₂)	NaCl +B.c. zur H₂O-Kontrolle (log₂)
AT3G43650_1	1,053	1,151	1,211
AT3G43652_1	1,028	1,098	1,068
AT3G43654_1	0,985	1,029	0,999
AT3G43657_1	0,919	0,985	0,938
AT3G43660_1	0,924	1,061	1,336
AT3G43670_1	0,826	0,363	0,418
AT3G43675_1	0,970	1,128	0,946
AT3G43680_1	1,057	1,126	1,035
AT3G43681_1	1,074	1,294	1,097
AT3G43682_1	1,023	1,184	1,204
AT3G43684_1	0,914	1,230	1,182
AT3G43686_1	0,904	0,919	0,948
AT3G43688_1	1,048	1,184	1,063
AT3G43690_1	0,871	0,523	0,580
AT3G43700_1	1,108	0,978	0,978
AT3G43710_1	0,862	0,696	0,583
AT3G43715_1	0,690	0,123	0,102
AT3G43720_1	0,821	0,446	0,104
AT3G43720_2	0,793	0,438	0,099
AT3G43722_1	1,073	1,550	0,870
AT3G43723_1	1,019	1,064	1,040
AT3G43726_1	1,029	1,114	0,895
AT3G43730_1	1,057	1,228	1,169
AT3G43740_1	0,892	0,739	0,604
AT3G43740_2	0,732	0,435	0,347
AT3G43750_1	1,093	1,130	1,245
AT3G43760_1	0,900	1,213	1,196
AT3G43770_1	1,184	1,270	1,112
AT3G43780_1	1,160	1,197	1,114
AT3G43790_1	1,128	0,336	0,389
AT3G43790_2	1,100	0,264	0,284
AT3G43790_3	1,133	0,377	0,408
AT3G43800_1	0,866	0,438	0,140
AT3G43810_1	0,941	0,862	0,830
AT3G43820_1	1,156	0,585	0,625
AT3G43825_1	0,965	1,030	1,026
AT3G43826_1	1,066	1,067	1,094
AT3G43828_1	0,934	0,994	0,927
AT3G43829_1	1,219	1,476	1,457
AT3G43830_1	0,911	1,062	0,960
AT3G43832_1	1,056	1,083	1,094
AT3G43833_1	1,099	1,233	1,174
AT3G43835_1	0,907	1,034	1,122
AT3G43840_1	1,646	2,203	2,596
AT3G43850_1	0,595	1,098	1,482
AT3G43860_1	1,241	1,337	1,382
AT3G43862_1	1,354	1,447	1,333
AT3G43863_1	1,165	1,426	1,231
AT3G43864_1	1,312	1,468	1,429
AT3G43867_1	0,989	1,306	1,110

AGI	NaCl-Kontrolle zur H₂O-Kontrolle (log₂)	H₂O +B.c. zur H₂O-Kontrolle (log₂)	NaCl +B.c. zur H₂O-Kontrolle (log₂)
AT3G43870_1	1,175	1,356	1,100
AT3G43880_1	1,002	1,025	0,947
AT3G43890_1	0,981	1,493	1,573
AT3G43900_1	1,168	1,420	1,506
AT3G43910_1	1,038	1,057	1,111
AT3G43920_1	1,346	0,389	0,215
AT3G43930_1	1,002	0,572	0,477
AT3G43930_2	1,006	1,162	1,087
AT3G43940_1	1,264	1,653	1,960
AT3G43950_1	1,027	1,083	1,118
AT3G43955_1	0,991	0,668	0,855
AT3G43960_1	0,527	0,292	0,065
AT3G43970_1	1,026	1,277	1,290
AT3G43980_1	0,933	0,932	0,747
AT3G43990_1	1,039	1,223	1,284
AT3G44000_1	1,052	1,015	1,024
AT3G44005_1	0,926	0,906	0,917
AT3G44006_1	1,050	1,278	1,387
AT3G44010_1	0,903	1,057	0,908
AT3G44020_1	0,939	0,732	0,521
AT3G44030_1	1,066	1,100	1,078
AT3G44035_1	0,972	1,096	1,008
AT3G44042_1	1,072	1,530	1,452
AT3G44045_1	1,037	1,333	1,365
AT3G44050_1	0,738	0,354	0,249
AT3G44060_1	1,109	1,319	1,272
AT3G44070_1	1,111	1,375	1,197
AT3G44080_1	0,849	1,022	0,893
AT3G44090_1	1,001	0,968	0,965
AT3G44091_1	1,231	1,583	1,848
AT3G44093_1	1,283	1,307	1,261
AT3G44096_1	1,378	0,721	0,687
AT3G44100_1	0,990	1,129	1,455
AT3G44110_1	1,017	1,722	1,643
AT3G44110_2	1,010	1,743	1,666
AT3G44115_1	1,271	1,512	1,774
AT3G44117_1	0,897	1,021	0,915
AT3G44120_1	0,882	0,467	0,263
AT3G44130_1	0,981	1,124	1,099
AT3G44140_1	1,478	1,834	1,867
AT3G44150_1	0,951	0,872	0,568
AT3G44160_1	1,151	0,301	0,283
AT3G44170_1	0,856	1,057	1,149
AT3G44171_1	1,079	1,181	1,350
AT3G44175_1	0,943	1,008	1,005
AT3G44180_1	1,163	1,094	1,200
AT3G44190_1	0,850	1,594	1,968
AT3G44200_1	0,963	0,638	0,713
AT3G44205_1	0,794	0,738	1,165
AT3G44210_1	1,209	1,253	1,122

AGI	NaCl-Kontrolle zur H₂O-Kontrolle (log₂)	H₂O +B.c. zur H₂O-Kontrolle (log₂)	NaCl +B.c. zur H₂O-Kontrolle (log₂)
AT3G44212_1	1,030	1,127	1,258
AT3G44215_1	1,075	1,077	1,157
AT3G44220_1	0,899	0,444	0,406
AT3G44230_1	1,094	1,180	1,036
AT3G44235_1	1,023	1,070	1,090
AT3G44240_1	1,018	1,242	1,261
AT3G44245_1	0,917	0,910	0,928
AT3G44250_1	1,158	2,417	1,873
AT3G44260_1	0,899	2,606	2,104
AT3G44261_1	1,368	1,484	1,637
AT3G44262_1	1,715	1,025	0,157
AT3G44264_1	1,073	1,268	1,269
AT3G44267_1	1,128	1,196	1,272
AT3G44270_1	1,010	1,053	0,993
AT3G44274_1	1,051	1,050	1,087
AT3G44280_1	0,931	0,728	1,104
AT3G44290_1	1,138	1,140	1,182
AT3G44300_1	1,177	4,358	8,968
AT3G44310_1	0,977	1,304	1,472
AT3G44310_2	0,962	1,310	1,443
AT3G44310_3	0,970	1,344	1,520
AT3G44320_1	1,044	1,749	2,540
AT3G44325_1	1,029	1,267	1,528
AT3G44326_1	1,070	5,621	22,905
AT3G44330_1	0,988	0,868	0,788
AT3G44340_1	1,062	0,975	1,031
AT3G44340_2	1,039	0,978	1,007
AT3G44350_1	0,656	0,667	0,942
AT3G44350_2	0,487	0,383	0,853
AT3G44370_1	1,121	0,978	0,873
AT3G44380_1	0,874	0,782	0,416
AT3G44390_1	0,988	1,336	1,403
AT3G44400_1	0,995	1,178	1,303
AT3G44400_2	1,004	1,232	1,194
AT3G44410_1	1,043	1,005	1,005
AT3G44420_2	0,896	0,455	0,376
AT3G44425_1	0,936	1,048	0,905
AT3G44428_1	1,146	1,122	1,093
AT3G44430_1	0,920	1,046	0,519
AT3G44440_1	1,524	1,404	1,383
AT3G44450_1	0,838	0,698	0,432
AT3G44460_1	1,194	1,370	1,466
AT3G44470_1	1,036	1,035	1,188
AT3G44470_2	1,282	1,863	1,842
AT3G44480_1	1,076	1,178	1,157
AT3G44490_1	0,851	0,771	0,978
AT3G44500_1	1,201	1,156	1,145
AT3G44510_1	1,056	1,318	2,663
AT3G44516_1	0,980	1,081	1,108
AT3G44530_1	1,093	1,055	1,325

AGI	NaCl-Kontrolle zur H ₂ O-Kontrolle (log ₂)	H ₂ O +B.c. zur H ₂ O-Kontrolle (log ₂)	NaCl +B.c. zur H ₂ O-Kontrolle (log ₂)
AT3G44540_1	1,095	1,058	1,208
AT3G44540_2	1,161	1,214	1,600
AT3G44550_1	0,713	98,431	123,281
AT3G44560_1	1,077	28,304	37,522
AT3G44570_1	1,062	1,272	1,342
AT3G44580_1	1,105	1,055	0,978
AT3G44590_1	0,983	1,386	1,232
AT3G44590_2	1,016	1,408	1,197
AT3G44600_1	1,118	0,944	0,746
AT3G44605_1	0,938	1,028	0,938
AT3G44610_1	1,098	0,653	0,332
AT3G44620_1	0,941	0,629	0,791
AT3G44630_1	0,996	1,506	1,278
AT3G44630_3	0,864	0,625	0,657
AT3G44640_1	1,058	1,010	1,054
AT3G44650_1	0,990	1,462	1,314
AT3G44660_1	0,949	0,863	1,048
AT3G44670_1	1,037	0,917	1,032
AT3G44680_1	1,000	0,922	0,981
AT3G44690_1	1,161	1,123	1,482
AT3G44700_1	1,077	1,335	1,305
AT3G44704_1	1,132	1,355	1,295
AT3G44705_1	1,102	1,724	1,432
AT3G44710_1	0,965	1,138	1,023
AT3G44713_1	1,055	0,377	0,433
AT3G44716_1	0,791	0,334	0,195
AT3G44716_2	0,971	0,746	0,771
AT3G44717_1	1,020	1,216	1,239
AT3G44718_1	1,129	1,198	1,213
AT3G44720_1	1,031	3,631	3,499
AT3G44730_1	0,898	1,277	1,133
AT3G44735_1	0,776	0,345	0,160
AT3G44740_1	1,162	0,993	0,740
AT3G44750_1	0,938	1,714	1,092
AT3G44755_1	1,090	1,312	1,281
AT3G44757_1	1,000	1,107	1,146
AT3G44760_1	0,978	1,097	1,138
AT3G44765_1	1,027	0,977	1,045
AT3G44770_1	0,922	1,138	1,274
AT3G44770_2	1,027	1,035	1,311
AT3G44780_1	1,076	1,237	1,289
AT3G44783_1	0,947	0,959	0,986
AT3G44784_1	1,201	1,613	1,672
AT3G44785_1	1,087	1,194	1,447
AT3G44790_1	1,196	1,092	1,066
AT3G44793_1	0,982	1,052	1,042
AT3G44796_1	1,294	1,648	1,480
AT3G44798_1	1,070	0,462	0,230
AT3G44800_1	1,199	0,961	0,949
AT3G44805_1	1,079	0,795	0,692

AGI	NaCl-Kontrolle zur H₂O-Kontrolle (log₂)	H₂O +B.c. zur H₂O-Kontrolle (log₂)	NaCl +B.c. zur H₂O-Kontrolle (log₂)
AT3G44810_1	1,075	1,125	1,282
AT3G44820_1	1,126	1,206	1,306
AT3G44830_1	0,980	93,287	79,687
AT3G44840_1	1,092	1,242	1,373
AT3G44850_1	0,985	1,771	1,229
AT3G44860_1	0,873	1,691	1,651
AT3G44870_1	0,979	1,686	1,622
AT3G44880_1	1,096	1,435	2,245
AT3G44890_1	0,782	0,291	0,066
AT3G44900_1	0,994	1,045	1,023
AT3G44910_1	1,163	1,396	1,657
AT3G44920_1	0,956	1,023	0,974
AT3G44930_1	0,871	1,020	0,961
AT3G44935_1	1,295	1,094	1,061
AT3G44940_1	0,748	0,209	0,153
AT3G44950_1	1,342	1,463	1,250
AT3G44960_1	0,705	0,491	0,537
AT3G44970_1	0,650	0,148	0,128
AT3G44980_1	1,128	1,313	1,339
AT3G44990_1	1,643	0,036	0,006
AT3G45000_1	1,011	1,049	1,005
AT3G45000_2	1,039	1,132	1,162
AT3G45010_1	0,957	0,946	3,091
AT3G45020_1	1,013	0,564	0,413
AT3G45030_1	0,980	0,940	0,581
AT3G45040_1	0,722	1,807	1,888
AT3G45050_1	0,767	0,535	0,484
AT3G45050_2	0,789	0,476	0,466
AT3G45050_3	0,767	0,416	0,414
AT3G45060_1	0,918	7,738	2,113
AT3G45070_1	1,145	1,333	1,481
AT3G45080_1	1,075	1,201	1,317
AT3G45090_1	0,899	0,579	0,684
AT3G45093_1	1,028	1,025	1,157
AT3G45095_1	1,116	0,901	0,920
AT3G45100_1	0,920	0,886	1,120
AT3G45100_2	0,970	0,936	1,096
AT3G45110_1	1,001	1,075	1,026
AT3G45120_1	1,230	1,591	2,019
AT3G45130_1	0,888	20,627	59,366
AT3G45140_1	1,004	1,102	1,118
AT3G45150_1	1,124	1,276	1,280
AT3G45160_1	0,872	0,164	0,020
AT3G45170_1	1,228	1,496	1,624
AT3G45180_1	1,144	1,373	1,909
AT3G45190_1	0,992	1,096	0,995
AT3G45200_1	1,078	1,129	1,324
AT3G45210_1	0,977	0,739	0,823
AT3G45220_1	1,047	1,105	1,152
AT3G45230_1	0,885	0,981	0,184

AGI	NaCl-Kontrolle zur H₂O-Kontrolle (log₂)	H₂O +B.c. zur H₂O-Kontrolle (log₂)	NaCl +B.c. zur H₂O-Kontrolle (log₂)
AT3G45240_1	0,938	1,473	1,574
AT3G45243_1	1,151	1,226	1,202
AT3G45245_1	1,084	1,147	1,132
AT3G45248_1	1,050	1,100	1,168
AT3G45250_1	1,005	1,126	1,083
AT3G45252_1	1,113	1,115	1,238
AT3G45253_1	1,070	1,423	1,280
AT3G45256_1	1,146	1,312	1,463
AT3G45260_1	0,956	0,526	0,744
AT3G45270_1	0,966	1,144	1,075
AT3G45275_1	0,989	1,040	1,101
AT3G45280_1	0,853	0,775	0,810
AT3G45285_1	0,980	1,064	1,079
AT3G45290_1	0,595	0,646	0,650
AT3G45300_1	0,725	0,812	1,318
AT3G45310_1	0,907	0,988	1,607
AT3G45310_2	0,922	1,011	1,650
AT3G45320_1	0,992	1,026	1,288
AT3G45330_1	1,061	1,355	2,628
AT3G45340_1	1,093	1,119	1,138
AT3G45350_1	1,090	1,004	1,251
AT3G45360_1	1,288	1,403	1,776
AT3G45370_1	1,195	1,272	1,332
AT3G45380_1	1,270	1,670	1,824
AT3G45390_1	1,023	0,564	0,722
AT3G45400_1	0,985	0,761	0,662
AT3G45410_1	1,247	1,015	0,981
AT3G45420_1	1,049	0,671	0,532
AT3G45430_1	0,685	0,452	0,319
AT3G45440_1	1,032	0,951	1,040
AT3G45443_1	0,948	0,331	0,196
AT3G45446_1	0,936	1,084	0,997
AT3G45450_1	1,373	1,151	0,621
AT3G45460_1	1,049	1,010	0,968
AT3G45470_1	0,993	1,025	1,001
AT3G45480_1	1,082	1,079	1,018
AT3G45490_1	1,282	1,441	1,875
AT3G45500_1	1,059	1,149	1,141
AT3G45510_1	1,112	1,271	1,401
AT3G45520_1	1,165	1,072	1,059
AT3G45525_1	1,210	1,243	1,418
AT3G45530_1	1,320	1,566	1,479
AT3G45540_1	1,209	1,399	1,620
AT3G45550_1	1,075	1,254	1,350
AT3G45555_1	1,038	1,023	0,996
AT3G45560_1	1,035	1,118	1,160
AT3G45570_1	1,063	1,128	1,234
AT3G45577_1	1,018	0,926	1,086
AT3G45580_1	1,038	1,132	1,194
AT3G45590_1	0,980	0,984	1,164

AGI	NaCl-Kontrolle zur H₂O-Kontrolle (log₂)	H₂O +B.c. zur H₂O-Kontrolle (log₂)	NaCl +B.c. zur H₂O-Kontrolle (log₂)
AT3G45590_2	1,034	0,751	1,829
AT3G45600_1	1,051	0,404	0,370
AT3G45610_1	1,061	0,331	0,234
AT3G45620_1	0,980	0,847	1,340
AT3G45630_1	1,039	0,959	0,998
AT3G45638_1	1,299	2,050	1,314
AT3G45638_2	1,291	2,088	1,453
AT3G45640_1	0,872	1,199	1,032
AT3G45650_1	0,732	1,191	0,532
AT3G45660_1	1,065	1,314	1,045
AT3G45670_1	1,051	1,225	1,304
AT3G45673_1	1,082	1,145	1,318
AT3G45680_1	1,433	0,934	0,181
AT3G45690_1	1,015	1,036	0,964
AT3G45700_1	1,069	0,995	0,982
AT3G45710_1	0,896	0,676	0,573
AT3G45720_1	1,181	1,197	1,282
AT3G45730_1	0,441	0,464	0,890
AT3G45740_1	0,962	1,183	1,381
AT3G45750_1	1,029	0,856	0,984
AT3G45755_1	0,985	1,020	1,170
AT3G45760_1	1,044	1,157	1,160
AT3G45770_1	1,159	0,974	1,084
AT3G45770_2	1,109	0,981	1,092
AT3G45775_1	1,112	1,459	1,479
AT3G45780_1	1,043	0,523	0,333
AT3G45790_1	0,806	1,199	1,159
AT3G45800_1	1,154	1,081	1,151
AT3G45810_1	1,024	1,114	1,215
AT3G45820_1	1,120	1,221	1,429
AT3G45830_1	1,099	1,135	1,614
AT3G45840_1	1,015	1,070	1,192
AT3G45850_1	0,825	0,125	0,020
AT3G45851_1	1,006	0,694	0,586
AT3G45860_1	0,664	0,431	0,191
AT3G45870_1	0,848	0,643	0,572
AT3G45870_2	0,771	0,583	0,515
AT3G45880_1	1,063	1,032	1,156
AT3G45890_1	1,146	0,523	0,332
AT3G45900_1	0,979	0,852	1,208
AT3G45910_1	1,157	1,274	1,172
AT3G45920_1	1,010	1,137	0,872
AT3G45930_1	0,877	0,575	0,462
AT3G45940_1	1,065	0,475	0,323
AT3G45950_1	1,147	0,953	0,839
AT3G45960_1	0,643	0,734	0,569
AT3G45960_2	0,741	0,765	0,622
AT3G45970_1	0,446	0,578	0,632
AT3G45980_1	0,748	0,506	0,480
AT3G45990_1	1,095	1,122	1,105

AGI	NaCl-Kontrolle zur H₂O-Kontrolle (log₂)	H₂O +B.c. zur H₂O-Kontrolle (log₂)	NaCl +B.c. zur H₂O-Kontrolle (log₂)
AT3G46000_1	1,005	0,747	1,143
AT3G46010_1	0,977	0,986	1,056
AT3G46010_2	0,968	1,045	0,868
AT3G46020_1	0,908	1,088	0,855
AT3G46030_1	0,839	0,668	0,713
AT3G46040_1	0,993	1,049	0,896
AT3G46050_1	0,964	1,079	1,108
AT3G46060_1	0,805	1,689	3,538
AT3G46060_2	1,138	1,100	1,579
AT3G46060_3	1,010	1,224	1,483
AT3G46070_1	1,166	1,636	2,343
AT3G46080_1	1,167	14,472	27,284
AT3G46086_1	1,098	1,364	1,480
AT3G46090_1	0,836	4,498	13,646
AT3G46100_1	0,886	0,511	0,416
AT3G46110_1	0,556	2,645	3,471
AT3G46110_2	0,772	1,514	1,811
AT3G46120_1	1,102	1,229	1,310
AT3G46130_1	1,272	0,349	0,187
AT3G46130_2	1,340	0,463	0,482
AT3G46130_3	1,281	0,341	0,152
AT3G46140_1	0,861	1,298	1,401
AT3G46150_1	0,860	0,715	0,813
AT3G46160_1	0,826	1,078	1,057
AT3G46170_1	1,256	1,198	1,859
AT3G46180_1	0,959	0,802	1,152
AT3G46183_1	1,213	1,382	1,589
AT3G46186_1	1,062	1,149	1,285
AT3G46190_1	0,993	1,196	1,437
AT3G46200_1	0,954	0,440	0,489
AT3G46206_1	1,043	1,108	1,157
AT3G46210_1	0,953	1,358	0,739
AT3G46210_2	1,020	1,387	0,708
AT3G46210_3	1,021	1,029	1,023
AT3G46210_4	0,971	1,343	0,700
AT3G46210_5	1,216	1,458	0,910
AT3G46220_1	1,003	0,976	1,349
AT3G46230_1	1,300	55,900	100,960
AT3G46240_1	1,061	1,158	1,099
AT3G46250_1	0,938	1,042	1,046
AT3G46260_1	1,151	1,600	2,735
AT3G46270_1	1,014	0,995	1,030
AT3G46280_1	0,420	21,134	80,349
AT3G46290_1	0,932	0,767	0,852
AT3G46300_1	1,142	1,166	1,566
AT3G46310_1	0,950	0,839	0,776
AT3G46320_1	0,649	0,321	0,220
AT3G46330_1	1,134	1,459	1,521
AT3G46340_1	1,346	1,778	1,935
AT3G46345_1	0,854	1,088	1,256

AGI	NaCl-Kontrolle zur H₂O-Kontrolle (log₂)	H₂O +B.c. zur H₂O-Kontrolle (log₂)	NaCl +B.c. zur H₂O-Kontrolle (log₂)
AT3G46350_1	1,023	1,000	1,039
AT3G46360_1	1,077	1,506	1,589
AT3G46370_1	1,214	0,169	0,054
AT3G46375_1	1,282	1,845	2,026
AT3G46380_1	1,035	1,317	1,351
AT3G46382_1	1,162	1,574	1,375
AT3G46384_1	1,012	1,115	1,053
AT3G46385_1	0,789	1,146	1,059
AT3G46387_1	1,062	1,115	1,164
AT3G46390_1	0,979	1,126	1,209
AT3G46400_1	1,136	1,008	1,084
AT3G46410_1	0,846	1,004	0,851
AT3G46420_1	1,001	1,029	0,952
AT3G46430_1	1,006	0,819	1,258
AT3G46440_1	1,244	0,639	1,452
AT3G46440_2	1,294	0,653	1,500
AT3G46450_1	1,244	1,491	1,816
AT3G46460_1	0,948	0,806	1,050
AT3G46470_1	0,928	0,938	0,969
AT3G46480_1	0,950	0,840	0,925
AT3G46482_1	0,998	1,018	1,090
AT3G46484_1	1,096	1,146	1,227
AT3G46487_1	1,246	1,357	1,388
AT3G46490_1	0,277	0,071	0,066
AT3G46500_1	1,070	1,136	1,218
AT3G46510_1	0,937	0,974	1,068
AT3G46520_1	1,282	1,287	1,347
AT3G46530_1	1,031	1,113	1,004
AT3G46540_1	1,079	0,889	0,491
AT3G46550_1	0,883	0,738	0,278
AT3G46560_1	1,076	0,939	1,136
AT3G46570_1	1,335	1,552	2,018
AT3G46580_1	0,836	0,430	0,147
AT3G46590_1	1,118	0,670	0,669
AT3G46590_2	1,008	0,770	0,738
AT3G46600_1	0,955	1,101	1,091
AT3G46610_1	1,066	0,786	0,528
AT3G46613_1	1,023	1,115	1,230
AT3G46614_1	1,011	0,998	1,070
AT3G46616_1	1,024	0,978	0,944
AT3G46620_1	0,978	2,228	2,783
AT3G46630_1	0,890	0,404	0,316
AT3G46640_1	0,975	0,412	0,745
AT3G46640_2	0,932	0,711	1,743
AT3G46650_1	1,052	0,930	0,955
AT3G46658_1	1,108	9,566	15,983
AT3G46660_1	1,030	19,095	36,093
AT3G46666_1	0,974	1,004	0,971
AT3G46668_1	0,976	2,259	5,012
AT3G46670_1	1,071	1,621	3,147

AGI	NaCl-Kontrolle zur H₂O-Kontrolle (log₂)	H₂O +B.c. zur H₂O-Kontrolle (log₂)	NaCl +B.c. zur H₂O-Kontrolle (log₂)
AT3G46680_1	1,200	7,290	30,541
AT3G46690_1	1,036	21,596	36,150
AT3G46700_1	1,002	77,314	84,705
AT3G46710_1	1,113	1,117	1,163
AT3G46720_1	1,027	1,221	1,279
AT3G46730_1	1,161	1,096	1,438
AT3G46740_1	1,040	0,720	0,450
AT3G46750_1	1,289	1,419	1,880
AT3G46760_1	1,003	1,133	1,036
AT3G46770_1	1,226	1,187	1,145
AT3G46770_2	1,122	1,049	1,034
AT3G46780_1	1,016	0,517	0,128
AT3G46790_1	1,118	1,076	0,890
AT3G46800_1	1,059	1,029	1,109
AT3G46810_1	1,101	1,246	1,194
AT3G46820_1	0,789	0,961	1,062
AT3G46830_1	0,889	1,079	0,994
AT3G46840_1	1,167	1,259	1,341
AT3G46850_1	1,057	1,387	1,539
AT3G46860_1	1,098	1,449	1,426
AT3G46870_1	1,227	1,535	0,734
AT3G46875_1	1,130	1,373	1,815
AT3G46880_1	0,709	0,440	0,233
AT3G46890_1	0,605	0,309	0,220
AT3G46900_1	1,038	2,763	0,501
AT3G46901_1	1,120	1,149	1,125
AT3G46904_1	1,303	1,493	2,004
AT3G46910_1	0,966	1,111	1,213
AT3G46911_1	1,045	1,241	1,597
AT3G46920_1	1,095	1,798	2,041
AT3G46930_1	0,820	5,431	7,718
AT3G46940_1	0,554	0,286	0,163
AT3G46950_1	0,981	1,039	0,414
AT3G46960_1	0,991	0,549	0,601
AT3G46970_1	1,135	0,429	0,194
AT3G46980_1	1,047	0,622	0,661
AT3G46980_2	1,014	0,881	0,813
AT3G46980_3	1,023	0,608	0,647
AT3G46990_1	1,209	0,603	0,218
AT3G47000_1	0,940	0,624	0,637
AT3G47010_1	0,851	0,484	0,532
AT3G47020_1	0,953	1,106	1,214
AT3G47021_1	1,092	1,069	1,099
AT3G47030_1	1,598	0,470	0,298
AT3G47040_1	1,318	1,011	1,201
AT3G47050_1	1,185	1,110	2,213
AT3G47050_2	1,051	1,229	1,521
AT3G47060_1	1,061	1,040	1,389
AT3G47070_1	0,901	0,423	0,154
AT3G47080_1	1,106	1,378	1,906

AGI	NaCl-Kontrolle zur H₂O-Kontrolle (log₂)	H₂O +B.c. zur H₂O-Kontrolle (log₂)	NaCl +B.c. zur H₂O-Kontrolle (log₂)
AT3G47090_1	0,737	1,170	1,969
AT3G47100_1	0,830	0,640	0,561
AT3G47110_1	0,837	0,799	0,959
AT3G47120_1	0,942	1,167	1,308
AT3G47130_1	0,940	1,093	1,162
AT3G47140_1	0,993	1,116	1,320
AT3G47150_1	0,961	0,946	0,998
AT3G47160_1	1,069	0,151	0,544
AT3G47165_1	0,980	1,315	1,426
AT3G47170_1	1,074	1,255	1,261
AT3G47180_1	0,868	0,712	0,761
AT3G47190_1	0,981	0,918	0,895
AT3G47200_1	1,267	1,264	1,251
AT3G47200_2	1,156	1,182	1,130
AT3G47210_1	1,097	1,353	1,275
AT3G47220_1	0,936	0,813	0,818
AT3G47230_1	1,099	0,961	0,960
AT3G47240_1	1,371	1,014	1,003
AT3G47250_1	0,945	1,176	1,355
AT3G47260_1	1,163	1,164	1,154
AT3G47270_1	1,059	1,283	1,388
AT3G47280_1	1,084	1,195	1,417
AT3G47290_1	1,006	0,868	0,819
AT3G47295_1	0,918	0,509	0,540
AT3G47300_1	0,916	0,913	1,236
AT3G47310_1	1,187	1,427	1,630
AT3G47320_1	1,240	1,430	1,590
AT3G47330_1	1,176	1,489	1,508
AT3G47340_1	1,205	1,187	1,669
AT3G47340_2	1,143	0,451	0,725
AT3G47340_3	1,172	0,922	0,833
AT3G47341_1	1,081	1,051	1,198
AT3G47342_1	1,074	0,899	1,063
AT3G47347_1	1,044	1,228	1,072
AT3G47350_1	1,077	0,554	0,643
AT3G47350_2	0,822	0,879	0,737
AT3G47360_1	1,120	0,419	0,386
AT3G47370_1	0,914	1,076	0,851
AT3G47370_3	0,908	0,981	0,941
AT3G47380_1	0,591	0,325	0,498
AT3G47390_1	0,966	0,678	0,685
AT3G47400_1	0,780	0,361	0,411
AT3G47410_1	1,326	1,395	1,539
AT3G47420_1	0,785	3,854	4,478
AT3G47430_1	1,323	1,522	1,410
AT3G47440_1	1,238	1,319	1,811
AT3G47450_1	0,997	0,448	0,183
AT3G47460_1	0,894	0,333	0,448
AT3G47470_1	0,974	0,805	0,519
AT3G47480_1	0,599	3,138	10,711

AGI	NaCl-Kontrolle zur H ₂ O-Kontrolle (log ₂)	H ₂ O +B.c. zur H ₂ O-Kontrolle (log ₂)	NaCl +B.c. zur H ₂ O-Kontrolle (log ₂)
AT3G47490_1	0,886	0,596	0,518
AT3G47490_2	1,015	0,730	0,751
AT3G47500_1	1,045	0,601	0,450
AT3G47510_1	0,857	0,509	0,555
AT3G47520_1	1,029	1,004	0,998
AT3G47530_1	1,107	0,853	1,302
AT3G47540_1	0,883	2,984	3,529
AT3G47543_1	0,977	1,034	1,034
AT3G47550_1	0,925	1,549	1,643
AT3G47550_2	0,914	1,532	1,560
AT3G47560_1	0,950	0,260	0,171
AT3G47560_2	0,977	0,132	0,068
AT3G47570_1	0,782	0,839	0,597
AT3G47580_1	0,702	0,748	0,827
AT3G47590_1	1,111	0,466	0,825
AT3G47600_1	1,007	0,571	0,438
AT3G47610_1	1,122	0,923	1,171
AT3G47620_1	1,060	0,761	0,507
AT3G47630_1	0,960	0,852	0,918
AT3G47630_2	0,928	0,978	0,974
AT3G47640_1	1,017	3,042	1,881
AT3G47650_1	0,943	0,461	0,163
AT3G47660_1	1,029	0,865	0,998
AT3G47670_1	0,956	1,004	0,947
AT3G47675_1	0,820	0,336	0,460
AT3G47680_1	1,113	0,578	1,117
AT3G47690_1	0,846	0,697	0,859
AT3G47700_1	0,962	1,350	2,001
AT3G47710_1	1,094	1,121	1,312
AT3G47720_1	1,082	1,243	1,401
AT3G47730_1	1,129	1,470	2,349
AT3G47740_1	1,044	2,213	2,445
AT3G47750_1	0,965	1,641	1,226
AT3G47760_1	1,120	1,838	1,317
AT3G47770_1	1,015	2,640	2,645
AT3G47780_1	0,701	7,651	16,428
AT3G47790_1	1,041	1,572	1,565
AT3G47800_1	1,050	0,251	0,248
AT3G47810_1	1,049	1,058	1,595
AT3G47810_2	0,925	0,877	1,357
AT3G47820_1	0,920	1,616	1,350
AT3G47830_1	0,958	0,620	0,282
AT3G47833_1	0,849	1,114	2,816
AT3G47836_1	0,916	0,867	1,177
AT3G47836_2	0,949	0,901	1,226
AT3G47840_1	1,299	0,646	0,527
AT3G47850_1	0,872	1,064	1,336
AT3G47860_1	0,915	0,141	0,141
AT3G47870_1	1,076	1,183	1,410
AT3G47875_1	0,998	1,025	1,093

AGI	NaCl-Kontrolle zur H₂O-Kontrolle (log₂)	H₂O +B.c. zur H₂O-Kontrolle (log₂)	NaCl +B.c. zur H₂O-Kontrolle (log₂)
AT3G47890_1	1,218	0,909	0,902
AT3G47910_1	1,117	1,003	1,021
AT3G47910_2	1,193	1,046	1,052
AT3G47920_1	1,098	1,054	0,994
AT3G47930_1	0,966	0,727	0,498
AT3G47930_2	1,019	0,725	0,507
AT3G47940_1	0,765	0,961	1,327
AT3G47950_1	1,165	1,593	1,338
AT3G47960_1	0,980	1,419	1,753
AT3G47965_1	0,961	1,583	1,377
AT3G47980_1	0,975	0,409	0,192
AT3G47990_1	1,013	1,155	1,450
AT3G48000_1	1,070	1,074	1,289
AT3G48010_1	1,162	1,209	1,574
AT3G48020_1	1,119	13,367	43,174
AT3G48030_1	0,867	0,644	0,977
AT3G48040_1	0,895	0,425	0,158
AT3G48050_1	0,773	1,254	1,673
AT3G48050_2	0,994	1,216	1,317
AT3G48057_1	1,075	1,038	1,060
AT3G48058_1	1,437	1,530	2,022
AT3G48060_1	1,043	1,292	1,351
AT3G48070_1	0,888	0,890	1,262
AT3G48070_2	0,805	0,826	1,125
AT3G48080_1	0,839	0,360	0,969
AT3G48090_1	0,743	0,615	0,576
AT3G48100_1	0,819	0,172	0,102
AT3G48110_1	0,977	0,351	0,267
AT3G48115_1	1,102	0,797	0,896
AT3G48115_2	1,196	0,911	0,945
AT3G48120_1	1,111	1,372	1,615
AT3G48130_1	1,058	1,028	1,109
AT3G48131_1	1,124	1,164	1,492
AT3G48140_1	0,833	1,069	1,321
AT3G48150_1	0,986	0,653	0,442
AT3G48160_1	0,965	0,840	0,796
AT3G48160_2	0,540	0,345	0,291
AT3G48170_1	1,036	1,111	1,593
AT3G48180_1	1,014	1,069	1,566
AT3G48185_1	0,781	0,313	0,358
AT3G48190_1	1,051	0,573	0,294
AT3G48195_1	1,023	1,044	1,495
AT3G48200_1	1,232	0,585	0,066
AT3G48201_1	0,966	0,907	0,992
AT3G48205_1	1,141	1,348	1,317
AT3G48208_1	1,022	1,080	1,132
AT3G48209_1	1,234	1,427	1,864
AT3G48210_1	1,058	0,731	0,874
AT3G48220_1	1,233	1,173	1,223
AT3G48230_1	1,079	1,250	1,459

AGI	NaCl-Kontrolle zur H₂O-Kontrolle (log₂)	H₂O +B.c. zur H₂O-Kontrolle (log₂)	NaCl +B.c. zur H₂O-Kontrolle (log₂)
AT3G48231_1	1,018	1,033	1,002
AT3G48235_1	0,980	0,944	0,933
AT3G48237_1	1,206	1,476	1,816
AT3G48240_1	1,659	2,229	6,101
AT3G48250_1	1,236	1,154	0,436
AT3G48260_1	0,840	0,305	0,304
AT3G48270_1	1,258	1,328	1,390
AT3G48280_1	0,932	1,081	0,466
AT3G48290_1	0,968	0,781	0,671
AT3G48298_1	1,289	1,709	2,692
AT3G48300_1	1,140	2,161	10,052
AT3G48310_1	1,062	1,516	2,113
AT3G48320_1	1,019	1,367	1,627
AT3G48330_1	0,871	0,669	1,025
AT3G48330_2	1,032	0,671	0,995
AT3G48340_1	1,291	1,182	1,406
AT3G48344_1	1,033	0,991	1,016
AT3G48346_1	0,949	0,888	0,995
AT3G48350_1	1,608	0,394	0,707
AT3G48360_1	0,505	1,356	1,339
AT3G48370_1	1,049	1,100	1,137
AT3G48380_1	0,925	0,989	1,220
AT3G48380_2	0,917	0,986	1,223
AT3G48390_1	1,162	1,309	2,863
AT3G48400_1	1,002	1,117	1,059
AT3G48410_1	1,138	0,295	0,221
AT3G48420_1	0,894	0,278	0,075
AT3G48425_1	0,940	0,756	0,536
AT3G48430_1	1,030	0,736	0,688
AT3G48440_1	1,109	0,784	0,567
AT3G48450_1	0,694	51,394	33,084
AT3G48460_1	0,921	1,306	0,425
AT3G48470_1	1,117	0,910	0,979
AT3G48480_1	0,800	0,731	0,631
AT3G48490_1	0,675	0,586	0,612
AT3G48500_1	1,098	0,368	0,107
AT3G48500_2	1,118	0,402	0,112
AT3G48510_1	1,664	0,707	0,926
AT3G48520_1	0,666	2,046	11,441
AT3G48523_1	1,189	1,053	1,125
AT3G48526_1	0,998	0,956	0,910
AT3G48530_1	0,939	0,688	0,740
AT3G48540_1	0,515	0,284	0,272
AT3G48550_1	0,813	0,256	0,120
AT3G48560_1	1,073	1,026	0,662
AT3G48570_1	0,857	1,165	1,493
AT3G48580_1	0,877	5,323	36,333
AT3G48590_1	1,036	0,402	0,431
AT3G48600_1	1,174	0,264	0,145
AT3G48610_1	1,029	0,456	0,208

AGI	NaCl-Kontrolle zur H₂O-Kontrolle (log₂)	H₂O +B.c. zur H₂O-Kontrolle (log₂)	NaCl +B.c. zur H₂O-Kontrolle (log₂)
AT3G48620_1	1,190	0,361	0,305
AT3G48630_1	0,754	1,000	0,723
AT3G48640_1	0,314	2,427	6,834
AT3G48650_1	0,478	2,457	3,761
AT3G48660_1	1,092	1,453	1,699
AT3G48670_1	0,968	0,254	0,162
AT3G48675_1	1,071	1,063	1,086
AT3G48680_1	1,021	1,273	1,111
AT3G48690_1	1,110	1,825	1,788
AT3G48700_1	1,128	1,783	1,583
AT3G48710_1	0,920	0,872	1,014
AT3G48720_1	0,836	0,290	0,030
AT3G48730_1	0,938	0,399	0,150
AT3G48740_1	1,216	1,252	1,000
AT3G48750_1	1,010	0,753	0,567
AT3G48760_1	0,856	1,289	1,526
AT3G48770_1	0,777	0,755	0,656
AT3G48780_1	0,935	1,716	2,087
AT3G48790_1	1,081	2,304	2,038
AT3G48800_1	1,069	1,452	1,182
AT3G48810_1	0,956	0,523	0,519
AT3G48820_1	1,063	0,491	0,460
AT3G48830_1	1,222	1,165	1,293
AT3G48840_1	1,182	3,798	8,954
AT3G48850_1	1,046	136,155	211,807
AT3G48860_1	1,136	1,151	1,546
AT3G48860_2	0,971	1,468	1,435
AT3G48870_1	0,973	0,848	0,556
AT3G48880_1	0,982	0,873	1,237
AT3G48880_2	1,023	1,201	1,362
AT3G48890_1	1,078	6,126	6,208
AT3G48900_1	0,815	0,814	0,904
AT3G48920_1	0,994	0,924	1,398
AT3G48930_1	0,940	0,938	0,703
AT3G48940_1	1,333	1,456	1,435
AT3G48950_1	1,036	1,199	1,419
AT3G48960_1	1,262	1,299	1,198
AT3G48970_1	0,817	0,274	0,201
AT3G48980_1	1,015	0,517	0,459
AT3G48990_1	1,006	1,369	1,826
AT3G49000_1	1,033	0,808	0,720
AT3G49010_1	1,126	1,188	1,460
AT3G49010_2	0,823	0,831	0,655
AT3G49010_3	0,791	0,949	0,818
AT3G49010_4	0,914	0,893	0,668
AT3G49010_5	0,802	0,826	0,620
AT3G49020_1	1,248	1,120	1,215
AT3G49030_1	1,086	1,128	1,242
AT3G49040_1	1,012	0,994	1,071
AT3G49050_1	0,977	0,710	0,442

AGI	NaCl-Kontrolle zur H₂O-Kontrolle (log₂)	H₂O +B.c. zur H₂O-Kontrolle (log₂)	NaCl +B.c. zur H₂O-Kontrolle (log₂)
AT3G49051_1	1,055	1,260	1,596
AT3G49055_1	1,082	1,099	1,385
AT3G49060_1	0,909	0,749	1,039
AT3G49070_1	0,756	0,535	0,482
AT3G49080_1	0,957	1,080	0,766
AT3G49100_1	0,877	1,531	1,773
AT3G49110_1	0,425	36,499	26,921
AT3G49115_1	1,105	1,410	1,594
AT3G49120_1	0,972	1,509	2,127
AT3G49130_1	0,921	4,412	19,184
AT3G49140_1	0,980	0,219	0,143
AT3G49140_2	1,193	0,574	0,352
AT3G49150_1	0,955	0,950	0,931
AT3G49160_1	0,549	1,789	3,433
AT3G49162_1	0,959	0,964	1,043
AT3G49170_1	1,163	0,611	0,444
AT3G49180_1	0,963	1,029	0,712
AT3G49190_1	1,002	1,192	1,164
AT3G49200_1	0,839	4,446	8,077
AT3G49210_1	0,497	8,708	29,994
AT3G49220_1	0,826	0,811	0,504
AT3G49230_1	1,058	1,303	1,614
AT3G49240_1	1,105	1,402	0,825
AT3G49250_1	1,026	0,362	0,095
AT3G49260_1	0,863	0,135	0,036
AT3G49260_2	0,852	0,133	0,032
AT3G49270_1	0,902	0,916	0,947
AT3G49270_2	1,265	1,357	1,759
AT3G49270_3	1,159	1,476	2,350
AT3G49280_1	1,183	1,325	1,482
AT3G49290_1	0,986	0,424	0,087
AT3G49290_2	1,028	0,497	0,095
AT3G49300_1	0,957	0,620	0,651
AT3G49305_1	1,168	1,096	1,129
AT3G49307_1	1,128	1,081	1,062
AT3G49310_1	1,021	0,794	0,813
AT3G49320_1	1,635	1,345	1,541
AT3G49330_1	0,585	0,286	0,323
AT3G49340_1	0,690	0,850	2,032
AT3G49350_1	0,901	1,497	1,550
AT3G49360_1	0,889	0,837	0,514
AT3G49370_1	0,922	2,294	2,037
AT3G49380_1	0,893	0,898	1,113
AT3G49390_1	1,061	0,887	1,038
AT3G49400_1	0,828	0,631	0,776
AT3G49410_1	1,422	0,946	1,007
AT3G49420_1	0,770	2,328	1,936
AT3G49430_1	1,012	0,920	0,642
AT3G49430_2	0,986	0,703	0,560
AT3G49440_1	1,040	0,956	1,088

AGI	NaCl-Kontrolle zur H₂O-Kontrolle (log₂)	H₂O +B.c. zur H₂O-Kontrolle (log₂)	NaCl +B.c. zur H₂O-Kontrolle (log₂)
AT3G49450_1	0,995	1,051	1,235
AT3G49460_1	1,002	1,009	1,033
AT3G49470_1	1,009	0,593	0,280
AT3G49480_1	1,055	0,736	0,835
AT3G49490_1	1,135	1,074	1,676
AT3G49500_1	1,117	0,578	0,309
AT3G49510_1	1,055	0,950	0,922
AT3G49520_1	1,095	1,119	1,262
AT3G49530_1	0,906	2,190	2,517
AT3G49540_1	1,218	1,522	2,378
AT3G49550_1	0,767	0,213	0,208
AT3G49551_1	1,010	0,262	0,357
AT3G49560_1	0,944	0,736	0,720
AT3G49570_1	1,288	10,262	10,107
AT3G49580_1	1,493	3,729	7,704
AT3G49590_1	1,018	0,784	1,934
AT3G49600_1	0,989	0,890	0,896
AT3G49601_1	0,945	1,075	1,136
AT3G49610_1	1,023	1,302	1,403
AT3G49620_1	0,237	42,204	36,745
AT3G49630_1	1,167	3,335	2,843
AT3G49640_1	0,821	1,207	1,321
AT3G49640_2	0,836	1,121	1,315
AT3G49645_1	1,039	0,929	1,267
AT3G49650_1	0,963	0,178	0,057
AT3G49660_1	0,999	1,284	0,778
AT3G49668_1	0,880	0,455	0,035
AT3G49670_1	0,833	0,556	0,022
AT3G49680_1	1,043	0,447	0,286
AT3G49680_2	1,021	0,447	0,275
AT3G49690_1	0,797	0,669	0,856
AT3G49700_1	1,047	1,062	1,138
AT3G49710_1	1,233	0,531	0,359
AT3G49720_1	0,814	0,620	0,324
AT3G49720_2	0,864	0,650	0,338
AT3G49725_1	1,279	0,574	0,494
AT3G49730_1	1,158	0,342	0,281
AT3G49740_1	1,291	0,779	0,451
AT3G49744_1	1,160	1,106	1,164
AT3G49750_1	1,035	0,401	0,250
AT3G49760_1	1,012	1,054	1,120
AT3G49765_1	0,997	1,068	1,104
AT3G49770_1	1,025	1,013	1,010
AT3G49780_1	0,583	6,712	18,611
AT3G49790_1	0,862	0,357	0,606
AT3G49796_1	1,106	1,256	1,422
AT3G49800_1	0,935	0,868	1,105
AT3G49810_1	0,888	2,138	2,351
AT3G49820_1	1,153	1,217	1,515
AT3G49830_1	1,165	1,315	1,303

AGI	NaCl-Kontrolle zur H₂O-Kontrolle (log₂)	H₂O +B.c. zur H₂O-Kontrolle (log₂)	NaCl +B.c. zur H₂O-Kontrolle (log₂)
AT3G49832_1	1,116	1,254	1,393
AT3G49840_1	0,970	0,519	0,334
AT3G49845_1	1,505	9,392	17,548
AT3G49850_1	0,963	0,924	0,899
AT3G49860_1	1,018	0,958	0,853
AT3G49870_1	0,926	0,900	0,749
AT3G49880_1	1,057	0,634	0,493
AT3G49890_1	1,056	1,081	1,048
AT3G49900_1	0,965	0,356	0,315
AT3G49910_1	0,915	0,984	0,675
AT3G49920_1	1,093	0,630	0,512
AT3G49930_1	0,628	0,100	0,072
AT3G49940_1	0,661	1,238	0,897
AT3G49950_1	1,116	1,289	1,198
AT3G49960_1	0,776	0,861	0,957
AT3G49970_1	0,706	0,594	0,557
AT3G49980_1	1,009	1,003	0,905
AT3G49990_1	1,008	1,211	0,737
AT3G50000_1	1,006	1,180	1,303
AT3G50010_1	0,954	0,884	0,328
AT3G50020_1	1,127	1,355	1,514
AT3G50022_1	0,972	1,041	1,011
AT3G50030_1	0,992	1,346	2,132
AT3G50040_1	0,946	0,701	0,489
AT3G50050_1	0,973	0,287	0,223
AT3G50060_1	0,689	1,064	0,504
AT3G50070_1	1,096	0,450	0,202
AT3G50080_1	0,993	1,403	1,776
AT3G50090_1	1,059	1,025	1,002
AT3G50100_1	0,899	0,637	0,211
AT3G50110_1	0,952	0,365	0,304
AT3G50120_1	0,603	0,260	0,185
AT3G50123_1	1,042	1,174	1,157
AT3G50130_1	0,761	2,446	1,450
AT3G50140_1	0,351	0,926	0,380
AT3G50150_1	1,102	1,327	1,399
AT3G50160_1	0,948	0,944	0,990
AT3G50170_1	0,770	0,706	0,588
AT3G50170_2	0,706	0,699	0,708
AT3G50180_1	0,886	0,927	1,047
AT3G50190_1	0,464	2,538	0,582
AT3G50200_1	0,747	1,083	0,941
AT3G50210_1	1,117	0,993	1,284
AT3G50210_2	1,129	1,505	1,491
AT3G50220_1	0,794	1,015	0,775
AT3G50230_1	1,025	1,205	1,014
AT3G50240_1	1,038	0,078	0,024
AT3G50260_1	0,742	4,031	5,303
AT3G50270_1	0,860	0,557	0,257
AT3G50280_1	0,613	8,652	8,994

AGI	NaCl-Kontrolle zur H₂O-Kontrolle (log₂)	H₂O +B.c. zur H₂O-Kontrolle (log₂)	NaCl +B.c. zur H₂O-Kontrolle (log₂)
AT3G50290_1	0,918	1,468	1,379
AT3G50295_1	0,777	0,907	0,763
AT3G50300_1	0,974	1,116	1,030
AT3G50301_1	1,253	1,587	0,790
AT3G50310_1	0,675	11,256	4,655
AT3G50320_1	1,052	1,152	1,185
AT3G50330_1	1,337	1,657	1,639
AT3G50337_1	1,048	1,711	1,517
AT3G50340_1	0,851	0,477	0,201
AT3G50350_1	0,930	0,328	0,310
AT3G50360_1	0,798	1,083	2,215
AT3G50370_1	1,090	1,099	1,034
AT3G50373_1	1,100	1,092	1,235
AT3G50376_1	1,056	1,016	0,966
AT3G50380_1	0,974	0,566	0,673
AT3G50390_1	0,898	0,263	0,270
AT3G50400_1	1,196	0,926	1,018
AT3G50410_1	0,959	2,261	0,811
AT3G50420_1	1,312	0,697	0,653
AT3G50430_1	1,062	0,614	0,472
AT3G50440_1	1,233	0,480	0,111
AT3G50450_1	1,006	0,741	0,784
AT3G50460_1	0,998	1,018	1,131
AT3G50470_1	0,609	0,292	1,033
AT3G50480_1	0,545	2,913	3,683
AT3G50490_1	1,022	1,295	1,386
AT3G50500_1	1,053	0,670	0,717
AT3G50510_1	0,887	0,946	1,043
AT3G50520_1	0,846	0,764	1,281
AT3G50530_1	1,002	0,495	0,990
AT3G50540_1	1,629	2,435	3,367
AT3G50550_1	1,034	1,040	1,714
AT3G50550_2	0,905	1,228	1,711
AT3G50560_1	0,511	1,466	0,475
AT3G50570_1	0,514	0,913	3,603
AT3G50580_1	0,999	1,152	1,092
AT3G50590_1	1,041	1,023	1,139
AT3G50610_1	1,148	1,340	1,756
AT3G50620_1	0,810	1,072	0,791
AT3G50625_1	1,032	1,190	1,311
AT3G50630_1	0,684	0,333	0,411
AT3G50640_1	0,955	1,053	1,040
AT3G50650_1	0,677	0,724	2,485
AT3G50651_1	1,022	1,093	1,201
AT3G50660_1	0,818	0,380	0,303
AT3G50670_1	1,015	0,965	0,837
AT3G50670_2	1,079	0,247	0,434
AT3G50680_1	1,053	1,114	1,119
AT3G50685_1	0,926	0,335	0,146
AT3G50690_1	0,997	0,931	0,950

AGI	NaCl-Kontrolle zur H₂O-Kontrolle (log₂)	H₂O +B.c. zur H₂O-Kontrolle (log₂)	NaCl +B.c. zur H₂O-Kontrolle (log₂)
AT3G50700_1	0,883	0,131	0,149
AT3G50710_1	1,080	1,186	1,254
AT3G50720_1	1,158	1,239	1,399
AT3G50730_1	1,154	1,209	1,398
AT3G50740_1	1,103	1,167	0,370
AT3G50750_1	0,886	0,605	0,434
AT3G50751_1	1,163	1,165	1,317
AT3G50755_1	0,985	1,069	1,062
AT3G50760_1	1,271	2,171	2,368
AT3G50770_1	0,641	73,286	83,044
AT3G50780_1	0,855	0,475	0,540
AT3G50790_1	0,894	0,351	0,319
AT3G50800_1	0,637	0,680	0,657
AT3G50808_1	1,070	1,061	1,150
AT3G50810_1	1,110	1,373	1,646
AT3G50820_1	1,030	0,698	0,502
AT3G50825_1	0,994	1,378	0,728
AT3G50830_1	0,841	0,839	1,075
AT3G50840_1	1,009	0,423	0,834
AT3G50845_1	0,879	0,374	0,287
AT3G50850_1	0,973	0,937	1,190
AT3G50860_1	0,911	1,122	1,575
AT3G50870_1	0,833	0,380	0,324
AT3G50880_1	0,989	0,996	0,847
AT3G50890_1	0,848	0,767	0,510
AT3G50900_1	0,474	6,297	6,773
AT3G50910_1	1,033	4,551	5,016
AT3G50920_1	0,724	0,617	0,818
AT3G50920_2	0,634	0,625	0,787
AT3G50925_1	1,169	1,122	1,215
AT3G50930_1	0,852	7,408	7,618
AT3G50940_1	1,361	1,337	1,874
AT3G50950_1	0,957	0,782	0,805
AT3G50960_1	1,021	0,366	0,343
AT3G50970_1	1,310	0,059	0,157
AT3G50980_1	1,350	1,483	1,989
AT3G50990_1	0,976	1,131	1,132
AT3G51000_1	1,177	1,325	2,037
AT3G51010_1	1,001	0,648	0,466
AT3G51020_1	1,047	1,124	1,229
AT3G51030_1	0,877	0,567	0,783
AT3G51040_1	0,848	0,801	1,007
AT3G51040_2	0,954	0,652	1,094
AT3G51040_3	0,870	0,811	1,035
AT3G51050_1	1,119	1,238	1,197
AT3G51060_1	1,229	1,445	1,778
AT3G51070_1	1,269	0,531	0,526
AT3G51075_1	0,985	0,252	0,219
AT3G51080_1	1,038	0,369	0,075
AT3G51090_1	0,967	2,624	5,657

AGI	NaCl-Kontrolle zur H₂O-Kontrolle (log₂)	H₂O +B.c. zur H₂O-Kontrolle (log₂)	NaCl +B.c. zur H₂O-Kontrolle (log₂)
AT3G51100_1	0,843	1,064	2,051
AT3G51100_2	0,971	0,758	1,017
AT3G51100_3	0,921	1,079	2,098
AT3G51110_1	0,964	0,969	1,193
AT3G51120_1	1,079	0,975	1,138
AT3G51130_1	0,929	1,258	2,403
AT3G51140_1	0,948	0,592	0,554
AT3G51150_1	1,103	0,364	0,136
AT3G51160_1	0,874	2,050	1,756
AT3G51171_1	1,114	1,061	1,138
AT3G51180_1	0,929	2,241	3,460
AT3G51190_1	1,371	1,304	0,947
AT3G51200_1	1,150	1,148	1,354
AT3G51210_1	1,009	0,933	1,027
AT3G51220_1	0,623	0,299	0,318
AT3G51230_1	1,009	0,630	0,603
AT3G51238_1	1,257	3,658	1,147
AT3G51240_1	0,954	0,960	0,899
AT3G51250_1	0,972	1,187	1,389
AT3G51260_1	0,974	0,881	1,028
AT3G51260_2	0,936	0,880	1,021
AT3G51270_1	1,029	0,828	0,502
AT3G51280_1	0,875	0,467	0,448
AT3G51290_1	0,702	0,306	0,132
AT3G51300_1	1,083	0,926	1,599
AT3G51310_1	1,102	0,719	0,966
AT3G51320_1	1,003	1,044	0,817
AT3G51325_1	0,989	1,142	1,356
AT3G51330_1	0,571	1,593	2,615
AT3G51340_1	0,800	0,274	0,289
AT3G51350_1	0,953	0,584	0,523
AT3G51360_1	1,007	1,101	1,379
AT3G51370_1	1,081	1,014	0,988
AT3G51370_2	1,240	0,906	0,983
AT3G51375_1	0,814	0,835	0,950
AT3G51380_1	0,955	0,982	1,109
AT3G51390_1	0,972	0,738	1,014
AT3G51400_1	0,791	0,136	0,121
AT3G51410_1	1,130	1,145	1,488
AT3G51420_1	1,006	0,924	0,900
AT3G51430_1	0,860	2,275	4,347
AT3G51440_1	0,937	2,972	4,758
AT3G51450_1	0,848	1,557	1,375
AT3G51460_1	0,948	1,409	1,905
AT3G51470_1	0,687	0,217	0,200
AT3G51478_1	1,378	0,454	0,311
AT3G51480_1	1,165	0,273	0,182
AT3G51490_1	1,393	0,814	0,986
AT3G51500_1	0,997	1,065	1,470
AT3G51510_1	1,014	0,472	0,173

AGI	NaCl-Kontrolle zur H₂O-Kontrolle (log₂)	H₂O +B.c. zur H₂O-Kontrolle (log₂)	NaCl +B.c. zur H₂O-Kontrolle (log₂)
AT3G51520_1	1,026	0,819	0,764
AT3G51530_1	0,928	0,935	0,957
AT3G51540_1	0,929	1,374	5,059
AT3G51550_1	0,968	0,914	0,896
AT3G51560_1	1,163	1,326	1,465
AT3G51570_1	1,174	1,137	1,200
AT3G51580_1	0,902	1,275	1,499
AT3G51590_1	1,134	1,179	1,453
AT3G51600_1	0,988	0,459	0,068
AT3G51610_1	1,021	1,016	1,056
AT3G51620_1	0,914	1,301	1,728
AT3G51620_2	1,087	1,365	1,524
AT3G51630_1	1,159	1,381	1,988
AT3G51640_1	1,094	1,093	1,265
AT3G51640_2	1,100	1,111	1,490
AT3G51642_1	1,407	1,089	1,486
AT3G51644_1	1,504	1,841	2,514
AT3G51650_1	1,072	1,150	1,353
AT3G51660_1	0,773	2,285	4,173
AT3G51670_1	0,877	0,931	1,287
AT3G51680_1	1,174	2,178	2,225
AT3G51690_1	1,114	1,280	1,536
AT3G51700_1	1,071	1,119	1,339
AT3G51710_1	0,845	0,290	0,208
AT3G51720_1	0,755	0,260	0,291
AT3G51730_1	0,991	1,029	1,953
AT3G51740_1	0,937	0,393	0,271
AT3G51750_1	0,944	0,358	0,441
AT3G51750_2	0,967	0,395	0,470
AT3G51760_1	0,909	0,794	0,765
AT3G51760_2	0,891	0,585	0,572
AT3G51770_1	1,074	0,906	1,044
AT3G51780_1	1,059	1,162	0,856
AT3G51790_1	0,918	3,358	2,961
AT3G51800_1	0,950	1,106	0,829
AT3G51810_1	0,961	1,015	1,159
AT3G51820_1	1,047	0,502	0,199
AT3G51830_1	0,838	0,824	1,097
AT3G51840_1	0,894	1,423	2,211
AT3G51850_1	1,064	0,762	0,759
AT3G51860_1	1,532	27,003	58,801
AT3G51870_1	1,023	1,165	1,675
AT3G51880_1	0,989	1,056	1,013
AT3G51880_2	1,012	1,155	1,079
AT3G51880_3	1,041	1,075	1,016
AT3G51890_1	0,919	1,761	2,468
AT3G51895_1	1,173	1,967	3,097
AT3G51910_1	1,155	7,497	5,099
AT3G51915_1	0,995	0,979	0,956
AT3G51920_1	0,796	1,352	1,129

AGI	NaCl-Kontrolle zur H₂O-Kontrolle (log₂)	H₂O +B.c. zur H₂O-Kontrolle (log₂)	NaCl +B.c. zur H₂O-Kontrolle (log₂)
AT3G51930_1	0,847	0,929	0,631
AT3G51940_1	1,027	0,935	1,178
AT3G51950_1	0,972	0,752	0,231
AT3G51950_2	1,001	0,742	0,242
AT3G51960_1	1,011	1,559	4,137
AT3G51970_1	0,689	3,061	4,188
AT3G51980_1	0,993	1,244	1,389
AT3G51990_1	0,874	1,565	2,815
AT3G52000_1	1,005	1,278	1,252
AT3G52003_1	1,025	0,741	0,722
AT3G52010_1	1,177	1,360	1,767
AT3G52020_1	1,043	1,163	1,315
AT3G52030_1	1,074	0,745	1,065
AT3G52040_1	0,829	1,333	1,068
AT3G52050_1	0,958	0,439	0,370
AT3G52050_2	0,972	0,457	0,374
AT3G52050_3	0,956	0,449	0,370
AT3G52050_4	0,958	0,447	0,378
AT3G52050_5	1,055	1,000	1,153
AT3G52055_1	0,966	1,060	1,256
AT3G52060_1	0,784	0,490	0,924
AT3G52060_2	0,784	0,279	0,404
AT3G52070_1	0,722	0,242	0,367
AT3G52070_2	0,889	0,368	0,524
AT3G52072_1	0,915	0,393	0,321
AT3G52072_2	1,061	0,821	0,856
AT3G52080_1	1,376	1,387	1,787
AT3G52090_1	0,900	0,584	0,915
AT3G52100_1	1,096	0,977	1,166
AT3G52105_1	0,853	0,503	0,829
AT3G52110_1	0,726	0,436	0,498
AT3G52115_1	0,705	0,662	0,821
AT3G52120_1	1,018	1,253	1,319
AT3G52120_2	1,041	1,064	1,333
AT3G52130_1	1,364	1,522	1,805
AT3G52140_1	1,097	1,144	0,776
AT3G52150_1	0,893	0,162	0,059
AT3G52150_2	0,917	0,339	0,159
AT3G52155_1	1,066	0,520	0,511
AT3G52160_1	1,146	1,175	1,168
AT3G52170_1	1,300	0,571	0,143
AT3G52180_1	1,272	0,215	0,194
AT3G52180_2	1,147	0,084	0,083
AT3G52190_1	0,851	1,304	1,811
AT3G52200_1	0,916	1,103	1,593
AT3G52210_1	0,965	0,639	0,914
AT3G52210_2	0,943	0,624	0,811
AT3G52220_1	0,891	1,091	1,293
AT3G52230_1	0,922	0,805	0,635
AT3G52240_1	1,008	0,667	0,927

AGI	NaCl-Kontrolle zur H₂O-Kontrolle (log₂)	H₂O +B.c. zur H₂O-Kontrolle (log₂)	NaCl +B.c. zur H₂O-Kontrolle (log₂)
AT3G52250_1	1,099	1,117	1,353
AT3G52260_1	1,225	0,915	0,877
AT3G52270_1	1,037	0,945	1,162
AT3G52280_1	0,999	1,081	1,756
AT3G52285_1	0,971	0,892	0,976
AT3G52290_1	0,787	0,364	0,149
AT3G52300_1	0,923	0,917	1,147
AT3G52302_1	1,052	1,059	1,202
AT3G52310_1	0,641	0,741	0,492
AT3G52320_1	1,053	1,195	1,368
AT3G52330_1	1,019	1,071	1,048
AT3G52340_1	0,953	0,938	0,782
AT3G52340_2	1,138	1,144	0,827
AT3G52340_3	1,142	1,134	0,830
AT3G52345_1	0,890	0,443	0,712
AT3G52350_1	1,020	0,923	1,037
AT3G52360_1	0,631	1,510	1,272
AT3G52370_1	0,947	0,803	0,131
AT3G52380_1	0,984	0,515	0,245
AT3G52390_1	1,188	0,916	0,868
AT3G52390_2	1,200	0,661	0,577
AT3G52400_1	0,583	2,873	3,161
AT3G52420_1	0,905	0,871	1,116
AT3G52430_1	0,657	0,675	1,103
AT3G52440_1	1,124	1,162	1,211
AT3G52450_1	0,553	6,906	5,925
AT3G52460_1	1,072	1,707	1,772
AT3G52470_1	0,856	1,007	0,687
AT3G52480_1	0,992	0,675	0,754
AT3G52490_1	1,009	0,328	0,393
AT3G52500_1	0,926	0,574	0,144
AT3G52510_1	1,265	1,493	1,744
AT3G52520_1	0,486	5,378	4,198
AT3G52525_1	1,052	0,960	0,796
AT3G52527_1	1,202	1,334	1,408
AT3G52530_1	1,039	0,488	0,645
AT3G52535_1	0,917	0,795	0,980
AT3G52535_2	0,773	0,416	0,722
AT3G52540_1	0,669	2,173	3,327
AT3G52550_1	1,238	1,738	2,270
AT3G52560_1	0,926	1,072	1,060
AT3G52560_2	0,911	1,052	1,022
AT3G52560_3	0,918	1,103	1,119
AT3G52561_1	1,372	1,670	2,019
AT3G52570_1	0,930	1,082	1,693
AT3G52580_1	0,909	0,866	0,735
AT3G52590_1	0,920	0,870	0,682
AT3G52600_1	1,097	1,160	1,250
AT3G52605_1	0,937	0,808	1,001
AT3G52605_2	1,033	0,786	1,100

AGI	NaCl-Kontrolle zur H ₂ O-Kontrolle (log ₂)	H ₂ O +B.c. zur H ₂ O-Kontrolle (log ₂)	NaCl +B.c. zur H ₂ O-Kontrolle (log ₂)
AT3G52610_1	0,913	0,845	1,049
AT3G52620_1	1,302	1,473	1,933
AT3G52630_1	0,455	0,222	0,181
AT3G52630_2	0,488	0,245	0,176
AT3G52640_1	0,908	0,695	0,657
AT3G52640_2	0,933	0,715	0,678
AT3G52640_3	0,995	0,588	0,665
AT3G52660_1	1,005	0,948	0,876
AT3G52660_2	0,998	0,932	0,845
AT3G52670_1	0,936	0,708	0,400
AT3G52680_1	0,854	0,714	0,725
AT3G52680_2	1,111	1,332	1,332
AT3G52690_1	1,143	1,053	0,927
AT3G52700_1	1,033	1,040	1,010
AT3G52700_2	0,894	1,020	1,025
AT3G52705_1	1,067	1,059	1,070
AT3G52710_1	0,923	1,067	1,153
AT3G52720_1	0,734	0,228	0,032
AT3G52720_2	0,844	0,711	0,686
AT3G52730_1	0,820	1,077	1,457
AT3G52740_1	0,936	0,739	0,935
AT3G52742_1	1,003	1,003	0,966
AT3G52748_1	0,934	1,388	1,247
AT3G52750_1	0,915	0,245	0,064
AT3G52760_1	0,949	0,954	0,956
AT3G52770_1	1,008	1,794	5,379
AT3G52780_1	0,922	8,247	178,940
AT3G52780_2	1,120	8,599	208,147
AT3G52790_1	0,973	1,048	1,047
AT3G52800_1	0,991	1,878	2,103
AT3G52810_1	0,989	1,264	2,465
AT3G52820_1	0,948	1,588	59,431
AT3G52830_1	1,225	1,336	1,419
AT3G52840_1	0,856	0,290	0,231
AT3G52850_1	1,077	1,099	1,407
AT3G52860_1	0,951	0,922	1,036
AT3G52870_1	0,979	2,004	1,291
AT3G52880_1	1,019	0,922	1,062
AT3G52890_1	0,931	0,470	0,521
AT3G52900_1	0,687	0,241	0,212
AT3G52905_1	0,985	0,551	0,187
AT3G52910_1	1,216	0,204	0,155
AT3G52920_1	1,128	1,165	1,786
AT3G52920_2	1,072	1,152	1,734
AT3G52930_1	1,032	1,273	1,493
AT3G52940_1	0,923	0,519	0,104
AT3G52940_2	0,960	0,513	0,110
AT3G52941_1	0,926	1,049	1,052
AT3G52950_1	0,999	1,569	1,738
AT3G52957_1	0,985	1,004	1,039

AGI	NaCl-Kontrolle zur H₂O-Kontrolle (log₂)	H₂O +B.c. zur H₂O-Kontrolle (log₂)	NaCl +B.c. zur H₂O-Kontrolle (log₂)
AT3G52960_1	0,942	0,450	0,204
AT3G52970_1	1,085	1,608	18,019
AT3G52980_1	1,359	0,721	0,726
AT3G52990_1	1,060	0,854	1,151
AT3G53000_1	0,933	1,086	1,029
AT3G53010_1	0,428	0,248	0,199
AT3G53015_1	1,166	1,070	1,170
AT3G53016_1	1,075	1,014	1,040
AT3G53020_1	0,877	0,863	0,674
AT3G53030_1	0,954	0,812	0,949
AT3G53040_1	1,170	1,140	1,464
AT3G53050_1	1,033	1,035	1,047
AT3G53060_1	1,306	1,395	1,616
AT3G53065_1	0,985	1,048	1,186
AT3G53070_1	1,036	1,064	1,064
AT3G53075_1	0,939	0,991	1,137
AT3G53080_1	1,019	1,051	1,154
AT3G53090_1	0,921	0,681	1,080
AT3G53090_2	1,027	0,788	1,245
AT3G53100_1	0,970	0,303	0,097
AT3G53110_1	0,970	1,211	1,180
AT3G53120_1	0,801	1,253	2,037
AT3G53130_1	1,081	0,558	0,485
AT3G53140_1	0,964	0,591	0,569
AT3G53150_1	0,758	4,996	19,919
AT3G53160_1	0,996	16,147	28,075
AT3G53170_1	1,088	0,265	0,113
AT3G53180_1	0,932	1,472	1,229
AT3G53190_1	0,625	0,126	0,039
AT3G53200_1	1,048	0,966	0,980
AT3G53210_1	1,301	0,436	1,211
AT3G53220_1	1,078	0,839	0,744
AT3G53230_1	1,646	8,068	10,832
AT3G53232_1	0,643	0,942	3,587
AT3G53235_1	0,877	0,471	0,723
AT3G53240_1	0,962	0,602	0,210
AT3G53250_1	0,751	0,688	0,599
AT3G53260_1	0,910	2,842	2,177
AT3G53270_1	0,896	0,979	0,848
AT3G53270_2	0,927	0,995	0,882
AT3G53270_5	0,864	0,920	0,722
AT3G53280_1	0,990	1,177	1,126
AT3G53290_1	1,305	1,685	1,907
AT3G53294_1	1,065	0,945	0,952
AT3G53300_1	1,107	1,842	1,623
AT3G53305_1	1,144	1,549	1,654
AT3G53310_1	1,099	1,101	0,494
AT3G53320_1	0,994	0,365	0,156
AT3G53330_1	1,087	1,290	1,299
AT3G53340_1	0,784	1,293	1,502

AGI	NaCl-Kontrolle zur H₂O-Kontrolle (log₂)	H₂O +B.c. zur H₂O-Kontrolle (log₂)	NaCl +B.c. zur H₂O-Kontrolle (log₂)
AT3G53342_1	1,184	1,222	0,835
AT3G53350_1	1,071	0,564	0,811
AT3G53350_2	0,902	0,513	0,748
AT3G53350_3	1,016	0,944	0,941
AT3G53360_1	1,276	0,411	0,234
AT3G53365_1	1,090	0,497	0,459
AT3G53370_1	1,161	1,086	1,638
AT3G53380_1	0,854	0,359	0,178
AT3G53390_1	0,984	1,028	1,565
AT3G53400_1	1,198	0,519	0,688
AT3G53403_1	1,269	1,226	1,307
AT3G53410_1	0,935	0,860	1,319
AT3G53420_1	0,974	1,066	1,103
AT3G53430_1	0,939	0,997	0,766
AT3G53440_1	1,018	1,138	0,771
AT3G53450_1	1,211	0,927	1,485
AT3G53460_1	1,058	0,342	0,103
AT3G53460_2	1,068	0,365	0,109
AT3G53470_1	1,011	0,384	0,425
AT3G53480_1	1,023	2,169	11,979
AT3G53490_1	0,884	1,251	1,961
AT3G53500_1	1,042	0,714	0,836
AT3G53500_2	1,054	1,038	0,908
AT3G53510_1	1,131	0,688	0,707
AT3G53520_1	1,005	0,994	0,989
AT3G53520_2	1,046	0,978	0,991
AT3G53520_3	1,037	0,988	1,017
AT3G53530_1	0,792	0,482	0,442
AT3G53530_2	0,918	0,729	0,726
AT3G53540_1	1,029	0,633	0,481
AT3G53550_1	1,033	1,127	1,153
AT3G53560_1	1,010	0,457	0,367
AT3G53570_1	0,964	0,904	1,330
AT3G53580_1	0,892	0,874	0,733
AT3G53590_1	1,112	1,241	1,523
AT3G53600_1	0,771	40,390	53,441
AT3G53610_1	0,873	0,971	1,048
AT3G53610_2	0,826	1,000	1,026
AT3G53610_3	0,883	0,996	1,000
AT3G53611_1	1,212	1,501	1,609
AT3G53620_1	0,932	0,517	0,585
AT3G53630_1	1,142	1,133	0,735
AT3G53640_1	1,164	0,765	0,773
AT3G53650_1	0,841	0,570	1,218
AT3G53668_1	0,730	0,776	0,842
AT3G53680_1	0,706	0,439	0,339
AT3G53690_1	1,131	1,224	1,237
AT3G53700_1	1,051	0,554	0,304
AT3G53710_1	0,908	1,226	1,171
AT3G53720_1	0,985	1,428	2,106

AGI	NaCl-Kontrolle zur H ₂ O-Kontrolle (log ₂)	H ₂ O +B.c. zur H ₂ O-Kontrolle (log ₂)	NaCl +B.c. zur H ₂ O-Kontrolle (log ₂)
AT3G53730_1	0,795	0,427	0,670
AT3G53740_1	0,958	0,896	0,632
AT3G53740_2	0,934	0,860	0,621
AT3G53740_3	0,813	0,847	0,585
AT3G53740_4	1,013	0,942	1,112
AT3G53750_1	0,951	0,754	0,613
AT3G53760_1	1,213	0,281	0,213
AT3G53770_1	1,104	1,115	1,370
AT3G53780_1	0,904	1,665	2,255
AT3G53780_2	0,893	1,766	2,503
AT3G53790_1	1,126	11,863	9,611
AT3G53800_1	1,216	0,129	0,043
AT3G53810_1	0,854	5,802	5,631
AT3G53820_1	0,992	1,062	1,326
AT3G53830_1	0,858	3,765	2,489
AT3G53840_1	0,972	0,919	0,891
AT3G53850_1	0,866	0,369	0,141
AT3G53860_1	0,966	0,820	0,699
AT3G53870_1	0,986	0,869	0,691
AT3G53880_1	0,887	1,448	1,529
AT3G53890_1	0,826	0,938	0,793
AT3G53890_2	0,835	0,975	0,837
AT3G53900_1	0,761	0,192	0,096
AT3G53900_2	0,625	0,177	0,137
AT3G53910_1	1,086	1,045	1,103
AT3G53920_1	1,055	0,733	0,539
AT3G53930_1	0,832	1,370	2,696
AT3G53930_2	0,847	1,416	2,780
AT3G53940_1	1,189	2,678	1,886
AT3G53950_1	1,136	0,327	0,341
AT3G53960_1	1,193	1,292	1,424
AT3G53970_1	1,056	1,275	1,657
AT3G53970_2	1,115	0,823	1,544
AT3G53980_1	4,398	0,268	0,257
AT3G53980_2	2,992	0,604	0,636
AT3G53990_1	1,075	0,193	0,351
AT3G53990_2	1,094	0,186	0,357
AT3G54000_1	1,064	1,684	2,170
AT3G54000_2	1,114	1,729	2,290
AT3G54010_1	1,049	0,713	0,800
AT3G54020_1	0,756	1,151	1,253
AT3G54030_1	0,943	0,645	1,037
AT3G54040_1	0,764	0,611	1,168
AT3G54050_1	0,960	0,705	0,244
AT3G54060_1	0,986	0,762	0,823
AT3G54060_2	0,937	0,801	0,916
AT3G54070_1	1,154	1,137	1,349
AT3G54080_1	1,019	0,512	0,269
AT3G54085_1	0,894	0,897	0,910
AT3G54085_2	0,984	0,961	0,957

AGI	NaCl-Kontrolle zur H₂O-Kontrolle (log₂)	H₂O +B.c. zur H₂O-Kontrolle (log₂)	NaCl +B.c. zur H₂O-Kontrolle (log₂)
AT3G54090_1	1,199	0,455	0,125
AT3G54100_1	0,933	1,285	1,277
AT3G54110_1	0,911	1,702	1,813
AT3G54120_1	0,685	1,448	0,956
AT3G54130_1	0,956	1,798	2,694
AT3G54140_1	0,955	1,100	1,296
AT3G54150_1	0,600	18,542	20,294
AT3G54160_1	0,938	0,450	0,380
AT3G54170_1	0,893	0,870	0,975
AT3G54180_1	0,879	0,398	0,378
AT3G54190_1	0,881	1,062	1,202
AT3G54200_1	0,789	0,589	0,559
AT3G54210_1	0,948	0,456	0,273
AT3G54220_1	1,047	1,311	0,816
AT3G54230_1	1,030	0,999	1,114
AT3G54240_1	0,996	1,178	1,561
AT3G54250_1	1,111	0,485	0,577
AT3G54260_1	1,027	0,146	0,088
AT3G54270_1	0,815	0,310	0,428
AT3G54280_1	1,131	1,128	1,049
AT3G54290_1	1,083	0,804	0,965
AT3G54300_1	0,947	0,905	1,250
AT3G54300_2	1,015	0,916	1,341
AT3G54310_1	1,046	0,915	1,199
AT3G54320_1	1,351	1,180	1,183
AT3G54320_2	1,348	1,187	1,105
AT3G54340_1	1,060	0,992	1,052
AT3G54350_1	0,991	0,827	0,717
AT3G54350_3	0,987	0,823	0,717
AT3G54360_1	1,063	0,874	1,185
AT3G54363_1	1,175	0,652	0,851
AT3G54366_1	0,970	0,735	0,541
AT3G54380_1	1,061	1,028	1,793
AT3G54380_2	1,102	1,022	1,754
AT3G54390_1	1,269	0,650	1,055
AT3G54400_1	0,547	0,114	0,040
AT3G54410_1	1,139	1,106	1,389
AT3G54420_1	0,546	10,525	14,015
AT3G54430_1	0,936	0,615	0,617
AT3G54440_1	1,151	0,650	1,059
AT3G54440_2	1,098	0,604	1,004
AT3G54450_1	0,988	0,897	1,062
AT3G54460_1	0,921	0,693	0,546
AT3G54470_1	0,970	0,837	0,398
AT3G54480_1	1,089	1,272	1,650
AT3G54480_2	1,219	0,776	1,051
AT3G54490_1	1,015	0,981	1,097
AT3G54500_1	0,960	1,595	1,132
AT3G54500_2	0,936	1,929	1,625
AT3G54510_1	0,939	3,952	2,457

AGI	NaCl-Kontrolle zur H₂O-Kontrolle (log₂)	H₂O +B.c. zur H₂O-Kontrolle (log₂)	NaCl +B.c. zur H₂O-Kontrolle (log₂)
AT3G54520_1	0,980	1,070	1,445
AT3G54530_1	1,012	1,501	3,272
AT3G54540_1	1,027	1,134	1,078
AT3G54550_1	1,190	1,199	1,265
AT3G54560_1	0,595	0,250	0,268
AT3G54570_1	1,100	1,100	1,328
AT3G54580_1	1,009	1,007	1,042
AT3G54590_1	1,327	1,549	1,837
AT3G54600_1	1,147	0,378	0,062
AT3G54610_1	0,942	0,960	0,896
AT3G54620_1	0,906	2,181	2,778
AT3G54620_2	0,790	1,324	2,530
AT3G54625_1	1,067	0,882	0,730
AT3G54630_1	0,972	0,593	0,509
AT3G54640_1	0,910	4,545	4,615
AT3G54650_1	0,714	1,206	0,786
AT3G54660_1	1,039	0,785	0,711
AT3G54670_1	1,204	0,698	1,159
AT3G54670_2	1,326	0,764	1,282
AT3G54680_1	1,310	2,446	4,518
AT3G54690_1	0,886	0,725	0,399
AT3G54700_1	1,282	3,559	6,145
AT3G54710_1	0,589	0,587	0,509
AT3G54720_1	1,407	0,210	0,018
AT3G54730_1	1,067	0,927	0,913
AT3G54730_2	1,023	1,123	1,005
AT3G54730_3	1,127	1,168	1,022
AT3G54730_4	1,166	1,133	1,016
AT3G54740_1	0,937	1,325	1,123
AT3G54740_2	0,957	1,362	1,461
AT3G54750_1	0,736	0,343	0,239
AT3G54760_1	1,189	0,943	0,898
AT3G54770_1	1,150	1,298	1,907
AT3G54770_2	1,091	1,077	1,179
AT3G54780_1	1,017	0,302	0,177
AT3G54780_2	0,852	0,313	0,310
AT3G54790_1	1,056	0,487	0,286
AT3G54800_1	1,036	0,978	1,077
AT3G54802_1	0,952	0,900	1,028
AT3G54804_1	1,102	1,264	1,679
AT3G54810_1	1,014	2,149	1,951
AT3G54810_2	1,033	2,310	2,122
AT3G54820_1	1,275	0,178	0,239
AT3G54823_1	1,202	1,170	1,404
AT3G54826_1	0,857	1,026	1,504
AT3G54830_1	0,450	0,374	0,053
AT3G54840_1	0,966	0,910	1,306
AT3G54840_2	0,978	0,900	1,278
AT3G54850_1	1,026	1,289	1,389
AT3G54860_1	1,039	0,706	0,886

AGI	NaCl-Kontrolle zur H₂O-Kontrolle (log₂)	H₂O +B.c. zur H₂O-Kontrolle (log₂)	NaCl +B.c. zur H₂O-Kontrolle (log₂)
AT3G54860_2	1,057	0,920	0,976
AT3G54870_1	0,938	0,876	0,793
AT3G54880_1	0,520	0,661	0,494
AT3G54890_1	1,059	0,865	0,501
AT3G54890_2	0,954	0,760	0,444
AT3G54890_3	1,021	0,830	0,481
AT3G54890_4	0,929	0,484	0,167
AT3G54900_1	0,959	0,570	0,364
AT3G54910_1	0,994	0,229	0,127
AT3G54920_1	0,916	0,442	0,084
AT3G54925_1	1,126	1,079	1,140
AT3G54930_1	0,804	0,434	0,396
AT3G54940_2	1,063	1,333	1,483
AT3G54950_1	0,931	2,106	3,467
AT3G54960_1	0,825	1,235	1,850
AT3G54960_2	0,912	1,133	2,131
AT3G54970_1	1,029	0,930	0,685
AT3G54970_2	1,067	1,013	0,599
AT3G54980_1	1,036	1,175	0,822
AT3G54990_1	0,782	1,102	0,635
AT3G54990_2	0,886	1,390	1,001
AT3G55000_1	1,014	1,049	1,017
AT3G55005_1	0,942	0,464	0,455
AT3G55010_1	0,885	1,050	0,533
AT3G55010_2	0,775	0,934	0,414
AT3G55020_1	1,034	0,863	0,624
AT3G55030_1	1,078	0,703	0,552
AT3G55040_1	0,958	0,459	0,263
AT3G55050_1	0,893	1,284	1,486
AT3G55060_1	0,931	0,438	0,312
AT3G55070_1	1,016	0,561	0,971
AT3G55070_2	1,007	0,551	1,164
AT3G55080_1	1,001	0,594	0,351
AT3G55080_2	0,965	0,675	0,472
AT3G55090_1	1,238	2,449	3,115
AT3G55100_1	1,204	3,456	7,675
AT3G55110_1	0,781	2,860	3,743
AT3G55120_1	0,854	1,178	1,006
AT3G55130_1	0,810	1,364	0,792
AT3G55140_1	0,929	0,925	1,090
AT3G55140_2	0,856	0,768	0,763
AT3G55150_1	0,793	3,074	6,251
AT3G55160_1	1,124	0,984	0,744
AT3G55170_1	0,774	0,943	0,799
AT3G55170_2	0,919	0,796	0,668
AT3G55180_1	1,032	1,219	1,144
AT3G55190_1	1,030	1,040	1,216
AT3G55200_1	1,145	0,990	0,632
AT3G55210_1	0,951	1,051	1,163
AT3G55230_1	0,904	0,525	0,554

AGI	NaCl-Kontrolle zur H₂O-Kontrolle (log₂)	H₂O +B.c. zur H₂O-Kontrolle (log₂)	NaCl +B.c. zur H₂O-Kontrolle (log₂)
AT3G55240_1	0,431	0,258	0,045
AT3G55250_1	0,925	0,438	0,259
AT3G55252_1	1,066	1,021	1,020
AT3G55254_1	0,969	0,979	0,984
AT3G55258_1	1,114	1,096	1,258
AT3G55260_1	0,965	0,540	0,584
AT3G55270_1	0,919	1,747	1,906
AT3G55280_1	0,874	0,971	0,616
AT3G55290_1	1,227	1,504	2,561
AT3G55300_1	1,053	1,106	1,164
AT3G55310_1	1,289	1,540	2,123
AT3G55320_1	1,057	1,436	1,495
AT3G55330_1	0,805	0,294	0,085
AT3G55340_1	1,136	1,804	1,043
AT3G55350_1	0,870	0,730	0,464
AT3G55360_1	0,907	0,661	0,354
AT3G55370_1	0,852	0,920	1,259
AT3G55370_2	0,628	0,652	0,664
AT3G55380_1	0,877	1,366	1,699
AT3G55390_1	0,852	0,593	1,319
AT3G55400_1	0,993	0,628	0,503
AT3G55400_2	0,931	0,446	0,430
AT3G55410_1	0,997	1,443	1,716
AT3G55420_1	0,841	0,436	0,263
AT3G55430_1	0,847	2,612	2,949
AT3G55440_1	0,977	0,832	0,908
AT3G55450_1	0,961	0,754	0,856
AT3G55460_1	1,042	1,006	0,795
AT3G55470_1	0,714	9,097	14,320
AT3G55470_2	0,687	9,789	14,160
AT3G55480_1	1,064	0,604	0,762
AT3G55490_1	0,856	0,652	0,659
AT3G55500_1	0,538	0,032	0,056
AT3G55510_1	1,107	1,423	0,760
AT3G55512_1	1,024	1,027	1,052
AT3G55515_1	1,237	0,596	0,483
AT3G55520_1	0,988	0,425	0,604
AT3G55530_1	1,007	0,896	1,226
AT3G55540_1	1,069	1,725	1,647
AT3G55550_1	1,018	1,169	1,179
AT3G55560_1	0,978	3,038	2,911
AT3G55570_1	1,093	1,130	1,113
AT3G55573_1	0,970	1,058	1,107
AT3G55580_1	1,099	0,570	0,254
AT3G55590_1	1,025	1,134	1,075
AT3G55600_1	0,943	1,114	1,640
AT3G55605_1	1,212	1,099	0,826
AT3G55610_1	1,176	1,300	2,420
AT3G55610_2	1,152	1,315	2,084
AT3G55620_1	0,969	1,618	1,915

AGI	NaCl-Kontrolle zur H ₂ O-Kontrolle (log ₂)	H ₂ O +B.c. zur H ₂ O-Kontrolle (log ₂)	NaCl +B.c. zur H ₂ O-Kontrolle (log ₂)
AT3G55630_1	1,133	0,289	0,094
AT3G55640_1	1,005	2,765	3,506
AT3G55646_1	0,630	0,689	0,486
AT3G55650_1	1,127	1,304	1,320
AT3G55660_1	0,683	0,501	0,451
AT3G55665_1	1,061	1,172	1,138
AT3G55670_1	1,153	1,075	1,082
AT3G55672_1	0,891	0,935	0,914
AT3G55677_1	1,008	1,073	1,060
AT3G55680_1	1,067	1,082	1,032
AT3G55690_1	1,167	1,364	0,279
AT3G55700_1	1,125	0,848	0,857
AT3G55710_1	1,395	0,569	0,298
AT3G55720_1	0,884	0,730	0,764
AT3G55730_1	0,879	2,301	2,511
AT3G55740_1	0,846	1,217	2,006
AT3G55740_2	0,826	1,190	2,017
AT3G55750_1	0,746	0,768	0,607
AT3G55760_1	1,098	0,337	0,365
AT3G55770_1	1,031	1,198	1,013
AT3G55770_2	1,005	1,197	1,051
AT3G55770_3	1,028	1,194	1,046
AT3G55770_4	1,020	1,236	1,041
AT3G55770_6	0,866	0,257	0,531
AT3G55780_1	1,105	1,215	1,488
AT3G55790_1	1,158	1,082	1,951
AT3G55795_1	0,969	0,943	1,019
AT3G55800_1	0,954	0,516	0,152
AT3G55810_1	1,147	1,184	1,412
AT3G55820_1	0,968	0,791	0,915
AT3G55830_1	0,985	0,939	1,065
AT3G55840_1	0,859	6,973	4,177
AT3G55850_1	0,868	0,466	0,570
AT3G55860_1	1,013	1,006	1,045
AT3G55870_1	0,976	1,005	1,119
AT3G55880_1	1,051	3,129	6,396
AT3G55880_2	0,848	2,849	2,989
AT3G55890_1	1,064	9,990	53,361
AT3G55900_1	0,897	6,806	39,142
AT3G55910_1	0,960	5,641	41,285
AT3G55920_1	0,805	0,498	0,409
AT3G55930_1	1,128	0,980	0,771
AT3G55940_1	1,274	0,234	0,095
AT3G55950_1	0,656	6,664	4,863
AT3G55960_1	0,859	2,036	1,817
AT3G55970_1	0,888	33,626	45,913
AT3G55980_1	0,886	2,569	2,298
AT3G55990_1	0,609	0,269	0,181
AT3G56000_1	0,629	0,380	0,191
AT3G56010_1	1,036	0,405	0,270

AGI	NaCl-Kontrolle zur H₂O-Kontrolle (log₂)	H₂O +B.c. zur H₂O-Kontrolle (log₂)	NaCl +B.c. zur H₂O-Kontrolle (log₂)
AT3G56020_1	0,866	0,873	0,765
AT3G56030_1	1,179	2,203	1,366
AT3G56040_1	1,001	0,374	0,372
AT3G56050_1	0,964	0,788	0,769
AT3G56050_2	1,031	0,863	0,828
AT3G56060_1	0,719	0,711	0,584
AT3G56070_1	0,951	1,692	0,812
AT3G56070_2	1,224	1,414	0,791
AT3G56080_1	1,220	0,394	0,852
AT3G56090_1	0,549	0,521	0,591
AT3G56100_1	0,862	0,516	0,544
AT3G56110_1	0,983	1,209	1,537
AT3G56120_1	1,022	0,719	0,453
AT3G56130_1	0,977	0,732	0,189
AT3G56130_2	0,946	0,666	0,178
AT3G56140_1	1,086	1,007	1,240
AT3G56150_1	1,011	1,162	1,024
AT3G56160_1	0,821	0,171	0,057
AT3G56170_1	0,859	0,851	2,229
AT3G56180_1	1,036	1,049	1,194
AT3G56190_1	1,019	1,075	1,184
AT3G56190_2	1,057	1,099	1,171
AT3G56200_1	1,012	13,627	13,965
AT3G56210_1	1,031	0,832	0,952
AT3G56210_2	0,964	0,763	0,908
AT3G56210_4	0,981	0,748	0,873
AT3G56220_1	1,005	1,238	1,521
AT3G56230_1	0,935	0,929	1,066
AT3G56240_1	1,061	0,765	1,071
AT3G56250_1	0,863	0,732	1,105
AT3G56260_1	0,891	0,358	0,326
AT3G56270_1	1,173	0,598	0,577
AT3G56275_1	2,408	0,718	1,399
AT3G56277_1	1,172	1,277	1,681
AT3G56280_1	1,026	1,245	1,663
AT3G56290_1	0,982	4,368	2,336
AT3G56300_1	1,041	0,707	0,544
AT3G56310_1	0,969	1,148	1,590
AT3G56310_2	1,009	1,211	1,766
AT3G56320_1	1,287	1,792	1,813
AT3G56330_1	1,059	0,218	0,038
AT3G56340_1	0,924	0,925	0,706
AT3G56350_1	1,376	1,637	3,295
AT3G56360_1	0,977	1,273	1,163
AT3G56370_1	0,857	0,811	0,074
AT3G56380_1	0,837	0,444	1,628
AT3G56390_1	1,042	1,074	1,096
AT3G56400_1	0,989	0,384	1,112
AT3G56408_1	0,951	0,421	0,504
AT3G56410_1	0,865	2,157	1,967

AGI	NaCl-Kontrolle zur H₂O-Kontrolle (log₂)	H₂O +B.c. zur H₂O-Kontrolle (log₂)	NaCl +B.c. zur H₂O-Kontrolle (log₂)
AT3G56420_1	1,075	1,040	1,077
AT3G56430_1	1,169	0,792	0,470
AT3G56440_1	0,828	0,392	0,774
AT3G56450_1	1,180	1,081	1,177
AT3G56460_1	1,046	0,916	1,217
AT3G56470_1	0,851	1,749	2,741
AT3G56480_1	0,870	0,334	0,399
AT3G56490_1	1,050	1,133	1,350
AT3G56500_1	0,954	24,647	24,910
AT3G56510_1	1,051	1,067	0,959
AT3G56520_1	1,093	1,108	1,170
AT3G56530_1	1,001	1,062	1,056
AT3G56540_1	1,085	1,082	1,245
AT3G56550_1	1,260	0,447	0,321
AT3G56560_1	1,083	1,436	1,901
AT3G56570_1	1,255	1,020	0,601
AT3G56580_1	0,943	0,520	0,640
AT3G56580_2	0,900	0,439	0,585
AT3G56580_3	0,935	0,490	0,614
AT3G56590_1	0,887	0,979	0,597
AT3G56590_2	0,949	0,932	0,585
AT3G56600_1	1,202	1,112	1,270
AT3G56610_1	1,028	1,131	1,320
AT3G56620_1	0,668	0,634	2,097
AT3G56630_1	1,060	0,791	1,005
AT3G56640_1	0,961	0,475	0,779
AT3G56650_1	0,904	0,192	0,077
AT3G56660_1	1,080	0,898	0,914
AT3G56670_1	1,122	1,207	1,228
AT3G56680_1	1,199	0,688	0,396
AT3G56690_1	1,463	0,857	0,387
AT3G56700_1	1,180	1,126	1,046
AT3G56705_1	1,247	0,971	1,116
AT3G56710_1	1,163	1,162	1,266
AT3G56720_1	1,112	0,444	0,558
AT3G56730_1	0,869	0,676	0,543
AT3G56740_1	1,152	1,467	1,893
AT3G56750_1	1,376	0,719	0,513
AT3G56760_1	1,126	1,068	0,852
AT3G56770_1	0,892	0,571	0,837
AT3G56770_2	0,975	0,664	0,762
AT3G56780_1	0,936	1,054	1,077
AT3G56790_1	1,097	1,132	1,413
AT3G56800_1	0,997	1,170	1,116
AT3G56810_1	0,804	0,168	0,072
AT3G56820_1	0,849	1,250	1,636
AT3G56825_1	0,979	0,973	1,255
AT3G56830_1	0,997	0,385	0,310
AT3G56830_2	0,971	0,360	0,323
AT3G56830_3	0,952	0,363	0,300

AGI	NaCl-Kontrolle zur H₂O-Kontrolle (log₂)	H₂O +B.c. zur H₂O-Kontrolle (log₂)	NaCl +B.c. zur H₂O-Kontrolle (log₂)
AT3G56840_1	1,069	0,903	1,051
AT3G56850_1	0,982	0,966	0,969
AT3G56860_1	1,000	0,678	0,736
AT3G56860_2	0,979	0,769	0,989
AT3G56860_3	0,965	0,340	0,438
AT3G56870_1	0,509	0,303	0,253
AT3G56880_1	0,967	1,008	0,886
AT3G56890_1	1,080	0,778	0,549
AT3G56891_1	0,964	0,930	1,035
AT3G56900_1	1,189	0,523	0,120
AT3G56910_1	0,870	0,563	0,246
AT3G56920_1	1,159	1,336	1,357
AT3G56930_1	1,018	0,764	0,882
AT3G56940_1	1,022	0,826	0,436
AT3G56950_1	0,822	1,664	2,743
AT3G56960_1	1,290	0,879	0,661
AT3G56970_1	0,174	0,824	0,094
AT3G56980_1	0,284	1,548	0,223
AT3G56990_1	1,082	1,723	1,139
AT3G57000_1	1,130	1,179	0,874
AT3G57010_1	1,190	0,811	11,535
AT3G57020_1	1,030	2,714	2,478
AT3G57020_2	0,991	2,417	2,360
AT3G57030_1	1,046	0,292	0,094
AT3G57040_1	0,967	0,353	0,042
AT3G57050_1	1,042	0,517	0,386
AT3G57050_3	1,023	0,793	0,599
AT3G57060_1	0,937	0,336	0,319
AT3G57062_1	0,987	1,070	0,814
AT3G57070_1	0,885	0,960	0,840
AT3G57072_1	0,977	0,885	1,072
AT3G57080_1	0,974	0,360	0,130
AT3G57090_1	0,984	1,340	1,614
AT3G57100_1	1,232	1,467	2,685
AT3G57110_1	1,087	0,876	1,185
AT3G57120_1	0,959	1,149	1,239
AT3G57130_1	1,169	1,286	1,442
AT3G57140_1	0,976	0,797	1,126
AT3G57150_1	1,173	1,317	0,694
AT3G57157_1	0,858	1,304	0,842
AT3G57160_1	1,116	0,892	1,605
AT3G57170_1	1,056	0,425	0,459
AT3G57180_1	1,117	0,462	0,141
AT3G57190_1	1,113	0,650	0,161
AT3G57200_1	0,984	0,619	0,620
AT3G57210_1	0,910	1,240	1,050
AT3G57220_1	0,962	1,006	0,817
AT3G57230_1	0,962	0,685	0,902
AT3G57230_2	0,918	0,520	1,012
AT3G57240_1	0,571	0,141	0,123

AGI	NaCl-Kontrolle zur H₂O-Kontrolle (log₂)	H₂O +B.c. zur H₂O-Kontrolle (log₂)	NaCl +B.c. zur H₂O-Kontrolle (log₂)
AT3G57250_1	1,134	1,303	1,607
AT3G57260_1	1,072	3,345	4,388
AT3G57270_1	0,813	3,202	1,996
AT3G57280_1	0,819	1,911	1,975
AT3G57290_1	0,940	1,074	0,926
AT3G57300_1	1,045	0,910	1,022
AT3G57310_1	1,125	1,147	1,357
AT3G57320_1	0,882	0,487	0,280
AT3G57320_2	0,823	0,489	0,262
AT3G57330_1	0,738	1,927	1,690
AT3G57340_1	1,004	1,218	1,288
AT3G57340_2	0,781	1,148	0,995
AT3G57350_1	1,351	0,762	0,289
AT3G57360_1	1,089	0,839	1,043
AT3G57370_1	0,881	0,838	0,876
AT3G57380_1	0,994	9,819	54,421
AT3G57390_1	0,868	2,529	2,909
AT3G57390_2	0,899	0,954	0,949
AT3G57400_1	0,938	1,581	1,283
AT3G57410_1	0,909	1,480	1,625
AT3G57420_1	0,928	0,800	0,948
AT3G57430_1	1,040	0,313	0,302
AT3G57440_1	0,952	0,985	1,204
AT3G57450_1	0,614	8,850	7,740
AT3G57460_1	0,390	1,818	1,708
AT3G57470_1	0,930	0,494	0,381
AT3G57470_2	0,889	0,335	0,215
AT3G57480_1	0,722	1,781	2,622
AT3G57490_1	0,987	2,004	1,414
AT3G57500_1	0,946	0,740	0,818
AT3G57510_1	0,998	1,110	25,357
AT3G57520_1	0,994	4,442	5,716
AT3G57520_2	1,012	4,687	5,692
AT3G57530_1	0,936	2,663	2,486
AT3G57540_1	1,315	1,024	1,934
AT3G57550_1	0,741	4,970	6,106
AT3G57550_2	0,746	4,689	6,047
AT3G57560_1	0,972	0,847	0,723
AT3G57570_1	1,135	0,842	1,119
AT3G57580_1	1,059	0,476	0,575
AT3G57586_1	1,180	1,205	1,375
AT3G57590_1	1,333	1,060	0,871
AT3G57600_1	0,812	0,678	0,221
AT3G57610_1	1,034	0,755	0,610
AT3G57620_1	1,021	1,132	1,371
AT3G57630_1	0,890	2,579	2,564
AT3G57640_1	1,071	0,686	0,684
AT3G57645_1	1,074	0,917	0,929
AT3G57650_1	1,001	0,886	1,038
AT3G57660_1	1,220	1,559	1,060

AGI	NaCl-Kontrolle zur H₂O-Kontrolle (log₂)	H₂O +B.c. zur H₂O-Kontrolle (log₂)	NaCl +B.c. zur H₂O-Kontrolle (log₂)
AT3G57670_1	0,937	0,532	0,682
AT3G57680_1	1,536	1,160	10,641
AT3G57690_1	1,310	1,505	1,954
AT3G57700_1	0,725	1,652	2,245
AT3G57710_1	1,047	0,841	1,265
AT3G57720_1	0,950	0,325	0,422
AT3G57730_1	0,826	1,461	1,013
AT3G57740_1	0,830	1,036	1,451
AT3G57750_1	0,779	1,102	1,363
AT3G57750_2	0,803	1,222	1,267
AT3G57760_1	0,740	1,600	2,416
AT3G57760_2	0,729	1,550	2,317
AT3G57760_3	0,740	1,516	2,171
AT3G57765_1	1,004	0,996	1,202
AT3G57770_1	1,067	1,036	1,641
AT3G57780_1	1,182	0,149	0,181
AT3G57785_1	0,958	1,033	1,269
AT3G57790_1	1,137	0,843	1,259
AT3G57800_1	1,405	1,309	1,283
AT3G57800_2	0,896	0,696	0,766
AT3G57810_1	1,168	1,125	1,453
AT3G57810_2	1,129	1,094	1,467
AT3G57810_3	0,970	0,933	1,009
AT3G57820_1	1,137	1,114	1,169
AT3G57830_1	0,936	0,462	0,114
AT3G57840_1	1,045	1,164	1,152
AT3G57850_1	1,005	1,019	1,008
AT3G57854_1	0,978	0,992	0,936
AT3G57860_1	0,794	0,452	0,393
AT3G57870_1	0,869	0,695	0,872
AT3G57880_1	0,824	2,392	2,610
AT3G57890_1	0,983	0,923	1,061
AT3G57900_1	1,178	1,264	1,301
AT3G57910_1	0,976	1,076	1,452
AT3G57920_1	1,126	0,609	0,648
AT3G57930_1	0,868	0,243	0,185
AT3G57930_2	1,008	0,336	0,332
AT3G57940_1	1,306	1,673	1,022
AT3G57950_1	0,934	0,979	1,848
AT3G57958_1	1,037	1,168	1,186
AT3G57960_1	0,961	1,003	0,990
AT3G57970_1	1,042	0,639	0,542
AT3G57980_1	1,114	0,649	0,613
AT3G57990_1	1,029	0,990	0,779
AT3G58000_1	0,777	0,580	0,344
AT3G58010_1	1,029	0,478	0,480
AT3G58020_1	0,873	0,964	1,234
AT3G58030_1	1,039	1,116	1,110
AT3G58030_2	1,043	1,141	1,127
AT3G58040_1	1,097	1,272	1,310

AGI	NaCl-Kontrolle zur H₂O-Kontrolle (log₂)	H₂O +B.c. zur H₂O-Kontrolle (log₂)	NaCl +B.c. zur H₂O-Kontrolle (log₂)
AT3G58050_1	1,028	0,978	1,172
AT3G58060_1	1,447	0,850	14,029
AT3G58070_1	1,173	0,399	0,092
AT3G58080_1	1,516	1,517	1,617
AT3G58090_1	0,924	0,535	0,433
AT3G58100_1	0,753	0,580	0,162
AT3G58110_1	1,028	1,045	1,264
AT3G58120_1	0,591	0,295	0,044
AT3G58130_1	1,025	0,852	1,102
AT3G58130_2	0,891	0,679	0,896
AT3G58140_1	1,022	0,487	0,476
AT3G58150_1	1,196	1,587	10,480
AT3G58160_1	1,168	0,178	0,236
AT3G58170_1	1,074	0,888	1,254
AT3G58180_1	1,036	1,458	1,297
AT3G58190_1	1,016	1,002	1,055
AT3G58193_1	0,940	0,893	1,041
AT3G58196_1	0,933	0,750	0,758
AT3G58200_1	1,084	0,988	0,523
AT3G58210_1	0,941	0,886	0,893
AT3G58220_1	0,966	0,549	0,286
AT3G58220_2	0,997	0,623	0,368
AT3G58230_1	1,136	1,282	1,482
AT3G58240_1	0,810	0,859	0,944
AT3G58250_1	0,994	1,048	1,114
AT3G58260_1	1,207	1,259	1,227
AT3G58270_1	1,012	0,570	0,652
AT3G58270_2	1,000	0,492	0,560
AT3G58280_1	1,042	1,068	1,316
AT3G58290_1	1,023	1,069	1,265
AT3G58300_1	0,987	1,153	1,332
AT3G58310_1	1,052	1,261	1,429
AT3G58320_1	1,121	1,117	1,200
AT3G58330_1	1,060	1,172	1,167
AT3G58340_1	0,962	0,930	0,973
AT3G58347_1	1,157	1,165	1,352
AT3G58350_1	0,725	0,533	0,621
AT3G58360_1	1,180	1,187	1,390
AT3G58370_1	0,999	1,068	1,093
AT3G58380_1	1,024	1,990	6,409
AT3G58390_1	1,313	1,446	1,221
AT3G58400_1	0,923	0,976	1,077
AT3G58410_1	1,061	1,093	1,126
AT3G58420_1	1,144	1,080	1,235
AT3G58430_1	1,194	0,422	0,283
AT3G58440_1	1,087	1,028	0,990
AT3G58450_1	1,500	1,655	4,180
AT3G58450_2	1,113	1,271	6,800
AT3G58460_1	1,041	1,111	1,324
AT3G58470_1	1,046	0,893	0,474

AGI	NaCl-Kontrolle zur H₂O-Kontrolle (log₂)	H₂O +B.c. zur H₂O-Kontrolle (log₂)	NaCl +B.c. zur H₂O-Kontrolle (log₂)
AT3G58480_1	0,917	0,728	0,837
AT3G58490_1	0,837	1,671	1,364
AT3G58490_2	0,843	1,760	1,388
AT3G58500_1	1,010	1,176	1,126
AT3G58510_1	1,057	1,298	1,255
AT3G58520_1	1,297	0,562	0,439
AT3G58520_2	1,317	0,490	0,359
AT3G58530_1	0,984	0,844	1,010
AT3G58540_1	1,038	1,139	1,465
AT3G58550_1	1,386	0,895	0,884
AT3G58560_1	1,066	0,927	0,999
AT3G58570_1	1,243	0,657	0,993
AT3G58580_1	0,951	0,978	1,020
AT3G58590_1	1,220	0,669	0,459
AT3G58600_1	0,890	1,010	1,152
AT3G58610_1	0,980	0,875	0,598
AT3G58620_1	0,548	1,415	1,229
AT3G58630_1	1,068	1,152	1,126
AT3G58640_1	0,951	0,859	0,916
AT3G58650_1	0,826	0,383	0,318
AT3G58660_1	1,063	1,710	1,174
AT3G58670_1	1,035	0,768	0,835
AT3G58670_2	0,970	0,902	1,152
AT3G58676_1	1,223	1,251	1,407
AT3G58680_1	0,972	0,844	0,884
AT3G58690_1	1,125	0,435	0,156
AT3G58700_1	0,920	1,063	0,658
AT3G58710_1	1,125	2,516	3,795
AT3G58710_2	0,928	2,569	2,144
AT3G58720_1	0,947	0,531	0,537
AT3G58730_1	0,961	0,942	1,169
AT3G58740_1	1,481	1,701	2,701
AT3G58750_1	0,999	1,100	2,010
AT3G58760_1	0,920	1,128	1,227
AT3G58770_1	0,880	0,642	0,760
AT3G58780_1	1,221	1,225	1,895
AT3G58790_1	1,034	0,966	0,621
AT3G58795_1	1,050	0,980	0,938
AT3G58800_1	0,839	0,562	0,387
AT3G58810_1	0,980	0,737	5,562
AT3G58810_2	1,008	0,779	4,352
AT3G58820_1	1,101	0,219	0,131
AT3G58830_1	1,114	1,022	0,752
AT3G58840_1	0,929	1,212	0,655
AT3G58840_2	1,017	1,268	0,671
AT3G58850_1	0,974	0,458	0,213
AT3G58860_1	1,059	1,018	0,992
AT3G58865_1	0,963	0,713	0,615
AT3G58877_1	1,101	1,054	1,361
AT3G58880_1	1,283	1,085	1,217

AGI	NaCl-Kontrolle zur H₂O-Kontrolle (log₂)	H₂O +B.c. zur H₂O-Kontrolle (log₂)	NaCl +B.c. zur H₂O-Kontrolle (log₂)
AT3G58890_1	0,892	1,020	0,978
AT3G58900_1	0,954	0,700	0,930
AT3G58900_2	0,982	0,788	0,978
AT3G58900_3	0,916	0,732	1,019
AT3G58910_1	0,873	1,020	1,082
AT3G58920_1	0,939	1,028	1,250
AT3G58930_1	1,045	1,274	0,772
AT3G58940_1	1,086	0,264	0,226
AT3G58950_1	1,220	1,141	1,069
AT3G58960_1	1,011	1,013	1,103
AT3G58970_1	1,057	1,072	1,008
AT3G58975_1	1,028	0,473	0,161
AT3G58980_1	1,015	0,537	0,270
AT3G58990_1	1,015	0,391	0,030
AT3G59000_1	0,871	0,555	0,316
AT3G59000_2	0,916	0,692	0,456
AT3G59010_1	0,855	0,183	0,093
AT3G59020_1	0,979	1,103	1,092
AT3G59020_2	1,010	1,150	1,128
AT3G59030_1	1,112	1,212	1,429
AT3G59040_1	1,060	0,384	0,218
AT3G59050_1	1,083	1,758	1,773
AT3G59060_1	0,979	0,760	0,410
AT3G59060_2	0,974	0,759	0,409
AT3G59070_1	1,167	1,326	1,813
AT3G59080_1	0,725	3,179	2,767
AT3G59080_2	0,663	3,852	3,374
AT3G59090_1	0,945	0,651	0,718
AT3G59090_2	0,942	0,652	0,734
AT3G59090_3	1,015	0,617	0,618
AT3G59100_1	0,767	0,250	0,726
AT3G59110_1	1,000	0,279	0,141
AT3G59120_1	1,113	1,303	1,558
AT3G59130_1	1,000	1,038	1,121
AT3G59140_1	1,722	1,277	5,180
AT3G59150_1	1,031	1,077	2,502
AT3G59160_1	0,969	0,969	1,067
AT3G59170_1	1,082	1,075	1,103
AT3G59180_1	1,106	1,102	1,388
AT3G59190_1	0,991	0,974	0,945
AT3G59200_1	0,863	0,752	0,898
AT3G59210_1	1,013	0,861	2,009
AT3G59220_1	0,764	0,604	0,924
AT3G59230_1	0,704	0,597	0,573
AT3G59240_1	0,983	0,836	0,917
AT3G59250_1	0,776	0,594	0,142
AT3G59260_1	0,918	0,834	0,924
AT3G59270_1	1,013	1,003	1,336
AT3G59280_1	0,900	2,169	3,478
AT3G59290_1	1,143	1,588	1,710

AGI	NaCl-Kontrolle zur H₂O-Kontrolle (log₂)	H₂O +B.c. zur H₂O-Kontrolle (log₂)	NaCl +B.c. zur H₂O-Kontrolle (log₂)
AT3G59300_1	1,014	0,638	1,035
AT3G59310_1	0,880	0,322	0,075
AT3G59310_2	0,901	0,371	0,234
AT3G59320_1	0,999	0,285	0,209
AT3G59320_2	0,931	0,310	0,243
AT3G59330_1	1,044	0,547	0,473
AT3G59340_1	0,868	0,999	0,882
AT3G59350_1	1,021	0,627	0,864
AT3G59350_3	0,980	0,590	0,861
AT3G59360_1	1,048	1,079	1,049
AT3G59360_2	1,048	1,096	1,050
AT3G59370_1	0,936	0,778	0,747
AT3G59380_1	0,927	0,854	1,030
AT3G59390_1	0,959	0,864	0,807
AT3G59390_2	0,871	0,778	0,735
AT3G59400_1	0,967	0,847	0,246
AT3G59410_1	1,173	1,271	1,108
AT3G59415_1	0,989	0,890	1,009
AT3G59420_1	0,887	0,552	0,094
AT3G59430_1	0,991	0,909	0,902
AT3G59430_3	0,976	0,937	0,902
AT3G59440_1	0,927	0,997	1,035
AT3G59450_1	0,921	1,179	1,143
AT3G59455_1	1,008	1,022	1,006
AT3G59460_1	1,130	1,134	1,163
AT3G59470_1	0,980	0,976	1,268
AT3G59480_1	0,713	0,120	0,138
AT3G59490_1	1,060	0,865	0,881
AT3G59490_2	1,046	0,876	0,885
AT3G59500_1	0,922	1,396	1,456
AT3G59510_1	0,920	1,280	1,335
AT3G59520_1	0,830	1,010	0,896
AT3G59530_1	0,891	0,833	1,483
AT3G59530_2	0,964	0,866	1,416
AT3G59540_1	0,925	0,958	0,727
AT3G59550_1	0,532	0,317	0,198
AT3G59570_1	0,829	0,702	0,946
AT3G59580_1	1,194	0,734	0,707
AT3G59590_1	1,121	1,445	1,609
AT3G59600_1	0,943	0,884	1,016
AT3G59610_1	1,257	1,305	1,314
AT3G59620_1	0,807	2,068	1,014
AT3G59630_1	1,075	1,225	1,415
AT3G59640_1	0,984	1,186	1,440
AT3G59640_2	0,978	1,133	1,431
AT3G59650_1	0,895	0,532	0,215
AT3G59660_1	0,852	2,207	2,413
AT3G59670_1	0,997	1,967	0,735
AT3G59680_1	0,918	0,662	0,670
AT3G59680_2	0,748	0,361	0,281

AGI	NaCl-Kontrolle zur H₂O-Kontrolle (log₂)	H₂O +B.c. zur H₂O-Kontrolle (log₂)	NaCl +B.c. zur H₂O-Kontrolle (log₂)
AT3G59690_1	0,976	6,408	8,394
AT3G59695_1	0,952	1,691	2,046
AT3G59700_1	1,034	5,958	8,029
AT3G59710_1	0,995	0,091	0,050
AT3G59720_1	1,258	1,181	2,056
AT3G59730_1	0,943	1,637	1,579
AT3G59740_1	0,949	1,302	1,551
AT3G59750_1	0,800	1,273	1,277
AT3G59760_1	0,698	0,651	0,763
AT3G59760_2	0,950	1,081	1,051
AT3G59760_3	0,932	1,075	1,000
AT3G59765_1	0,811	0,508	0,686
AT3G59770_1	1,129	1,166	1,418
AT3G59778_1	0,970	0,257	0,080
AT3G59780_1	1,033	0,381	0,112
AT3G59790_1	1,022	0,837	0,824
AT3G59800_1	0,924	0,786	1,133
AT3G59810_1	0,906	0,898	0,860
AT3G59820_1	1,448	0,536	0,978
AT3G59830_1	0,968	1,057	1,153
AT3G59840_1	0,910	0,780	0,604
AT3G59845_1	1,007	1,167	1,248
AT3G59845_2	1,013	1,035	1,116
AT3G59850_1	1,051	1,122	1,274
AT3G59860_1	1,298	1,476	1,377
AT3G59870_1	0,796	0,460	0,569
AT3G59880_1	0,249	4,517	3,951
AT3G59884_1	1,037	1,083	1,103
AT3G59890_1	1,032	0,358	0,073
AT3G59890_2	1,018	0,649	0,361
AT3G59900_1	0,567	0,849	1,329
AT3G59910_1	1,072	1,168	1,123
AT3G59920_1	0,997	1,055	1,138
AT3G59930_1	1,003	6,196	13,965
AT3G59940_1	0,984	0,573	0,963
AT3G59950_1	1,051	1,203	1,903
AT3G59950_2	0,911	0,542	0,672
AT3G59950_3	1,071	1,209	2,181
AT3G59960_1	1,009	1,004	1,055
AT3G59970_1	1,071	0,461	0,306
AT3G59970_2	0,962	0,817	0,612
AT3G59970_3	0,998	0,850	0,679
AT3G59980_1	0,911	0,525	0,380
AT3G59990_1	1,032	0,990	1,020
AT3G60000_1	1,076	1,124	1,317
AT3G60000_2	1,072	1,018	1,206
AT3G60010_1	1,015	1,202	1,435
AT3G60020_1	0,968	1,259	1,279
AT3G60030_1	1,093	0,887	0,993
AT3G60040_1	1,058	0,954	1,315

AGI	NaCl-Kontrolle zur H₂O-Kontrolle (log₂)	H₂O +B.c. zur H₂O-Kontrolle (log₂)	NaCl +B.c. zur H₂O-Kontrolle (log₂)
AT3G60050_1	0,988	0,938	0,735
AT3G60060_1	1,035	1,010	1,205
AT3G60070_1	1,059	0,444	0,408
AT3G60080_1	0,935	1,957	2,515
AT3G60090_1	0,978	0,957	1,239
AT3G60100_1	1,288	1,465	1,931
AT3G60110_1	1,082	2,724	4,338
AT3G60120_1	0,939	390,509	405,844
AT3G60130_1	0,567	2,531	3,628
AT3G60130_2	0,616	2,018	2,813
AT3G60130_3	0,586	2,212	3,100
AT3G60140_1	1,144	138,051	340,954
AT3G60150_1	0,974	1,222	3,586
AT3G60160_1	1,512	0,899	1,936
AT3G60164_1	1,268	2,500	12,319
AT3G60170_1	1,111	1,165	1,822
AT3G60176_1	1,243	1,332	1,614
AT3G60180_1	0,806	1,276	3,937
AT3G60180_2	1,035	1,318	3,812
AT3G60190_1	0,998	0,918	1,134
AT3G60200_1	0,824	0,720	0,722
AT3G60210_1	0,814	0,597	0,540
AT3G60220_1	0,629	0,208	0,167
AT3G60238_1	1,189	1,297	1,446
AT3G60240_2	1,120	0,912	0,935
AT3G60240_3	1,130	0,904	0,929
AT3G60245_1	0,857	0,822	0,676
AT3G60250_1	1,081	0,900	0,937
AT3G60250_2	1,064	0,909	0,919
AT3G60260_1	0,733	1,616	1,326
AT3G60260_2	0,793	1,550	1,246
AT3G60260_3	0,841	1,068	1,150
AT3G60260_4	0,881	1,150	1,243
AT3G60270_1	1,170	1,144	1,272
AT3G60280_1	1,081	1,194	1,211
AT3G60286_1	1,290	0,841	1,076
AT3G60290_1	0,654	0,102	0,094
AT3G60300_1	1,184	0,799	0,982
AT3G60310_1	1,054	0,493	0,502
AT3G60318_1	1,137	0,868	0,988
AT3G60320_1	1,013	0,490	0,122
AT3G60330_1	1,119	0,774	0,814
AT3G60340_1	1,009	0,726	0,945
AT3G60340_2	1,029	0,733	0,938
AT3G60350_1	1,145	1,030	0,955
AT3G60360_1	1,122	1,474	1,278
AT3G60370_1	0,920	0,298	0,233
AT3G60380_1	1,028	0,310	0,206
AT3G60390_1	1,160	0,362	0,096
AT3G60400_1	1,055	0,898	0,708

AGI	NaCl-Kontrolle zur H₂O-Kontrolle (log₂)	H₂O +B.c. zur H₂O-Kontrolle (log₂)	NaCl +B.c. zur H₂O-Kontrolle (log₂)
AT3G60410_1	1,036	1,045	0,962
AT3G60410_2	1,017	0,537	0,752
AT3G60410_3	1,028	1,004	0,892
AT3G60420_1	0,974	0,826	1,817
AT3G60420_2	1,143	0,763	0,714
AT3G60440_1	1,087	0,304	0,337
AT3G60450_1	0,973	1,017	1,664
AT3G60460_1	1,148	1,360	1,486
AT3G60470_1	0,770	0,621	1,029
AT3G60480_1	1,122	0,709	0,839
AT3G60490_1	0,792	2,367	0,634
AT3G60500_1	1,060	0,988	0,781
AT3G60500_2	0,990	0,971	0,725
AT3G60510_1	0,810	0,623	1,082
AT3G60520_1	0,838	0,293	0,315
AT3G60530_1	1,193	0,270	0,059
AT3G60540_1	1,036	1,682	2,349
AT3G60540_2	0,974	1,115	1,311
AT3G60550_1	0,783	0,463	0,418
AT3G60560_1	1,168	1,116	1,203
AT3G60565_1	1,131	1,272	1,681
AT3G60570_1	1,077	1,030	1,279
AT3G60580_1	0,663	0,442	0,329
AT3G60590_1	0,934	0,723	0,946
AT3G60590_2	0,949	0,728	0,949
AT3G60590_3	0,959	0,742	0,983
AT3G60600_1	0,981	1,117	1,447
AT3G60600_2	0,998	0,990	1,335
AT3G60600_3	0,984	1,089	1,279
AT3G60610_1	1,223	1,120	1,081
AT3G60613_1	0,986	1,225	1,011
AT3G60620_1	0,978	0,651	0,475
AT3G60630_1	0,983	0,281	0,114
AT3G60640_1	0,891	0,815	2,430
AT3G60647_1	1,065	1,064	1,132
AT3G60650_1	0,975	1,105	1,217
AT3G60660_1	0,697	0,449	0,410
AT3G60670_1	1,036	1,036	1,105
AT3G60680_1	0,799	2,418	4,418
AT3G60690_1	1,185	1,655	2,169
AT3G60700_1	1,006	0,925	0,957
AT3G60710_1	0,989	0,466	0,521
AT3G60720_1	0,910	1,379	2,908
AT3G60730_1	1,013	0,976	1,010
AT3G60740_1	1,077	0,512	0,244
AT3G60750_1	1,002	0,827	0,746
AT3G60760_1	0,977	1,047	1,144
AT3G60770_1	0,913	0,991	0,914
AT3G60780_1	1,069	1,122	1,082
AT3G60790_1	1,004	1,052	1,045

AGI	NaCl-Kontrolle zur H₂O-Kontrolle (log₂)	H₂O +B.c. zur H₂O-Kontrolle (log₂)	NaCl +B.c. zur H₂O-Kontrolle (log₂)
AT3G60800_1	1,005	1,203	1,246
AT3G60810_1	1,058	0,418	0,566
AT3G60810_2	1,093	0,417	0,564
AT3G60820_1	0,932	0,942	1,050
AT3G60820_2	0,934	0,936	1,059
AT3G60830_1	1,002	0,867	0,726
AT3G60840_1	0,742	0,159	0,109
AT3G60850_1	1,096	1,008	1,147
AT3G60860_1	0,934	1,011	1,166
AT3G60870_1	1,102	1,265	1,276
AT3G60880_1	0,911	0,995	0,699
AT3G60880_2	0,905	1,002	0,689
AT3G60890_1	1,133	1,257	1,196
AT3G60890_2	1,062	1,194	1,232
AT3G60897_1	1,036	0,957	1,022
AT3G60900_1	1,346	0,746	0,095
AT3G60910_1	0,898	1,928	1,661
AT3G60920_1	1,111	1,151	1,129
AT3G60930_1	1,053	0,994	1,260
AT3G60935_1	1,134	1,432	1,324
AT3G60940_1	0,892	0,311	0,215
AT3G60950_1	1,128	1,045	0,655
AT3G60952_1	1,110	1,073	0,882
AT3G60955_1	0,995	0,848	0,821
AT3G60957_1	1,045	1,260	1,393
AT3G60960_1	1,100	1,653	1,264
AT3G60961_1	0,976	1,396	3,760
AT3G60965_1	1,042	1,047	1,048
AT3G60966_1	0,919	2,056	8,621
AT3G60970_1	1,877	0,943	2,295
AT3G60972_1	1,121	1,189	2,848
AT3G60980_1	0,997	1,114	1,152
AT3G60990_1	0,961	1,521	0,953
AT3G61010_1	1,020	0,328	0,478
AT3G61020_1	0,974	0,797	0,615
AT3G61028_1	0,935	0,636	0,619
AT3G61030_1	1,097	1,001	0,919
AT3G61035_1	1,088	1,102	1,203
AT3G61040_1	1,053	1,207	1,119
AT3G61040_2	1,086	1,029	1,173
AT3G61050_1	0,971	0,614	0,622
AT3G61050_2	0,982	0,620	0,620
AT3G61060_1	0,633	0,506	1,249
AT3G61060_2	0,631	0,531	1,235
AT3G61070_1	0,792	0,700	2,114
AT3G61070_2	0,910	0,949	1,865
AT3G61080_1	1,000	0,563	0,165
AT3G61090_1	0,602	0,628	0,487
AT3G61100_1	0,840	0,818	0,341
AT3G61110_1	0,897	0,923	0,742

AGI	NaCl-Kontrolle zur H₂O-Kontrolle (log₂)	H₂O +B.c. zur H₂O-Kontrolle (log₂)	NaCl +B.c. zur H₂O-Kontrolle (log₂)
AT3G61111_1	1,138	1,366	1,339
AT3G61113_1	0,795	0,747	1,061
AT3G61117_1	0,927	0,940	0,926
AT3G61118_1	1,272	1,325	1,578
AT3G61120_1	0,965	0,969	1,126
AT3G61130_1	0,984	0,715	0,716
AT3G61140_1	0,914	1,441	1,642
AT3G61150_1	0,871	0,319	0,081
AT3G61160_1	0,850	1,145	1,815
AT3G61160_2	0,895	1,172	1,703
AT3G61170_1	1,063	0,454	0,351
AT3G61172_1	1,133	1,135	1,243
AT3G61175_1	0,987	1,001	1,004
AT3G61177_1	1,058	1,084	1,161
AT3G61180_1	1,118	0,728	0,924
AT3G61182_1	1,008	1,146	1,182
AT3G61185_1	0,972	2,667	19,612
AT3G61190_1	0,896	9,213	15,400
AT3G61198_1	0,916	0,954	1,442
AT3G61200_1	1,053	1,281	1,961
AT3G61210_1	1,104	0,378	0,161
AT3G61220_1	1,200	1,240	1,378
AT3G61230_1	1,142	1,051	1,296
AT3G61240_1	0,889	1,140	1,157
AT3G61240_2	1,020	0,988	0,908
AT3G61250_1	1,081	1,209	0,924
AT3G61260_1	0,911	0,559	0,371
AT3G61270_1	1,029	1,360	1,818
AT3G61280_1	1,083	1,167	1,282
AT3G61280_2	1,017	0,162	0,315
AT3G61290_1	1,250	1,380	1,365
AT3G61300_1	0,958	1,370	1,615
AT3G61310_1	0,923	0,479	0,157
AT3G61320_1	1,036	1,102	0,758
AT3G61330_1	1,289	1,643	2,325
AT3G61340_1	0,895	2,717	3,951
AT3G61350_1	0,831	0,801	1,013
AT3G61360_1	1,047	0,858	0,942
AT3G61370_1	0,937	0,850	0,848
AT3G61380_1	0,930	0,575	1,020
AT3G61389_1	0,978	1,012	1,054
AT3G61390_1	1,139	1,437	6,972
AT3G61390_2	0,998	1,047	2,467
AT3G61400_1	1,082	1,389	1,633
AT3G61410_1	1,011	1,108	1,352
AT3G61415_1	0,916	0,825	0,722
AT3G61415_2	0,991	0,525	0,525
AT3G61420_1	1,199	0,881	0,912
AT3G61430_1	0,630	0,904	0,771
AT3G61430_2	1,024	1,206	1,464

AGI	NaCl-Kontrolle zur H₂O-Kontrolle (log₂)	H₂O +B.c. zur H₂O-Kontrolle (log₂)	NaCl +B.c. zur H₂O-Kontrolle (log₂)
AT3G61440_1	0,928	1,385	1,115
AT3G61440_2	1,054	1,136	1,129
AT3G61450_1	1,098	1,115	1,563
AT3G61460_1	0,912	0,862	0,624
AT3G61470_1	0,987	0,632	0,299
AT3G61480_1	1,003	0,967	1,237
AT3G61490_1	0,930	0,170	0,466
AT3G61500_1	1,054	1,055	1,072
AT3G61500_2	1,102	1,208	1,390
AT3G61510_1	1,028	1,152	1,253
AT3G61520_1	1,185	0,892	0,617
AT3G61530_1	1,080	1,400	1,736
AT3G61530_2	1,038	1,266	1,563
AT3G61540_1	1,005	0,751	0,952
AT3G61550_1	0,680	0,688	0,087
AT3G61560_1	1,022	1,857	1,378
AT3G61560_2	0,994	1,012	1,035
AT3G61570_1	1,045	0,776	1,175
AT3G61571_1	1,091	1,041	1,314
AT3G61580_1	1,016	0,462	0,421
AT3G61590_1	0,882	1,156	1,250
AT3G61600_1	0,938	0,985	1,233
AT3G61600_2	0,959	0,930	1,091
AT3G61610_1	0,595	0,271	0,137
AT3G61620_1	0,978	1,257	0,836
AT3G61620_2	1,619	1,934	2,486
AT3G61630_1	0,970	3,290	3,446
AT3G61640_1	1,017	1,279	1,218
AT3G61650_1	1,129	0,407	0,204
AT3G61660_1	1,017	1,104	1,213
AT3G61670_1	0,921	0,768	0,697
AT3G61678_1	1,268	1,506	2,004
AT3G61680_1	0,958	0,779	0,717
AT3G61690_1	1,089	0,979	1,033
AT3G61700_1	1,036	0,892	0,635
AT3G61700_2	1,074	0,892	0,660
AT3G61710_1	0,986	0,709	1,110
AT3G61710_2	1,000	0,745	1,167
AT3G61710_3	0,978	0,725	1,132
AT3G61720_1	1,018	1,158	1,228
AT3G61721_1	1,238	1,363	1,475
AT3G61723_1	1,363	1,475	1,131
AT3G61730_1	1,102	1,104	1,082
AT3G61740_1	0,940	1,176	1,098
AT3G61740_2	0,949	1,139	0,987
AT3G61750_1	0,998	0,708	0,056
AT3G61755_1	0,978	0,991	1,317
AT3G61760_1	0,687	5,208	3,787
AT3G61770_1	0,892	1,094	0,956
AT3G61780_1	1,175	0,542	0,200

AGI	NaCl-Kontrolle zur H₂O-Kontrolle (log₂)	H₂O +B.c. zur H₂O-Kontrolle (log₂)	NaCl +B.c. zur H₂O-Kontrolle (log₂)
AT3G61790_1	0,975	1,078	1,185
AT3G61800_1	0,967	1,496	2,199
AT3G61810_1	0,936	0,509	0,388
AT3G61820_1	0,943	0,151	0,039
AT3G61825_1	1,194	1,183	1,706
AT3G61826_1	1,216	1,252	1,394
AT3G61827_1	1,136	1,345	1,457
AT3G61829_1	1,092	1,433	1,357
AT3G61830_1	1,108	0,476	0,095
AT3G61840_1	0,916	0,742	0,814
AT3G61850_1	0,982	0,612	0,657
AT3G61850_2	1,022	0,676	0,761
AT3G61850_3	0,978	0,436	0,416
AT3G61850_4	0,904	0,424	0,430
AT3G61860_1	1,034	1,218	1,366
AT3G61870_1	0,933	0,513	0,186
AT3G61870_2	0,969	0,250	0,096
AT3G61880_1	1,114	0,490	0,110
AT3G61890_1	1,198	2,236	6,931
AT3G61897_1	0,981	0,988	1,005
AT3G61898_1	0,814	0,622	0,586
AT3G61900_1	1,177	0,758	2,437
AT3G61910_1	0,972	0,865	0,858
AT3G61920_1	1,441	0,528	0,617
AT3G61930_1	1,234	31,660	113,314
AT3G61940_1	1,027	1,139	1,008
AT3G61947_1	1,236	1,245	1,707
AT3G61950_1	0,951	0,922	0,866
AT3G61950_2	0,993	0,820	0,912
AT3G61960_1	1,009	0,910	1,415
AT3G61960_2	1,126	0,939	1,584
AT3G61962_1	1,014	1,096	1,145
AT3G61970_1	0,874	0,601	0,464
AT3G61980_1	1,033	1,664	2,574
AT3G61990_1	0,966	1,305	1,540
AT3G62000_1	0,819	0,695	0,590
AT3G62010_1	0,986	0,793	0,773
AT3G62020_1	0,836	0,282	0,361
AT3G62020_2	0,963	0,729	0,829
AT3G62030_1	0,906	0,361	0,118
AT3G62030_2	1,091	1,038	0,942
AT3G62040_1	1,135	1,465	1,028
AT3G62050_1	1,077	1,170	0,774
AT3G62060_1	1,120	0,363	0,217
AT3G62070_1	1,138	0,692	0,592
AT3G62080_1	1,055	0,807	0,860
AT3G62090_1	1,305	0,529	0,619
AT3G62097_1	0,819	0,925	0,904
AT3G62100_1	0,726	0,580	0,606
AT3G62110_1	0,762	0,282	0,238

AGI	NaCl-Kontrolle zur H₂O-Kontrolle (log₂)	H₂O +B.c. zur H₂O-Kontrolle (log₂)	NaCl +B.c. zur H₂O-Kontrolle (log₂)
AT3G62120_1	0,964	0,827	0,609
AT3G62130_1	1,030	0,924	0,925
AT3G62140_1	0,960	0,815	1,369
AT3G62150_1	0,371	7,554	6,705
AT3G62160_1	0,741	0,357	0,239
AT3G62170_1	1,229	1,295	1,378
AT3G62180_1	1,047	1,147	1,304
AT3G62190_1	0,954	0,904	1,043
AT3G62190_2	0,827	0,631	0,793
AT3G62200_1	1,025	1,259	1,098
AT3G62210_1	1,046	1,273	1,464
AT3G62220_1	0,908	0,703	0,806
AT3G62230_1	1,128	1,353	1,654
AT3G62240_1	0,960	1,168	1,256
AT3G62245_1	0,953	1,024	1,362
AT3G62250_1	0,967	0,928	0,690
AT3G62260_1	1,091	3,557	6,016
AT3G62260_2	1,063	3,774	6,190
AT3G62270_1	1,504	0,693	0,494
AT3G62280_1	1,116	1,021	1,248
AT3G62290_1	1,025	1,204	1,098
AT3G62300_1	1,078	0,456	0,249
AT3G62310_1	1,218	1,652	1,310
AT3G62320_1	0,969	1,098	1,113
AT3G62330_1	1,053	1,280	1,300
AT3G62336_1	1,024	1,049	1,117
AT3G62340_1	1,014	0,960	1,034
AT3G62350_1	1,004	0,964	1,063
AT3G62360_1	1,021	0,729	0,714
AT3G62370_1	0,826	0,577	0,581
AT3G62380_1	1,119	1,228	1,275
AT3G62390_1	0,760	0,262	0,061
AT3G62400_1	1,056	1,502	2,477
AT3G62400_2	0,823	1,312	2,768
AT3G62410_1	0,985	0,624	0,418
AT3G62420_1	0,932	1,521	2,055
AT3G62430_1	1,138	0,649	0,514
AT3G62440_1	0,916	0,947	0,988
AT3G62450_1	0,908	1,168	1,299
AT3G62455_1	1,001	1,380	1,373
AT3G62460_1	0,868	2,138	1,764
AT3G62470_1	0,948	0,662	0,471
AT3G62475_1	0,962	1,025	0,873
AT3G62480_1	1,108	1,167	1,355
AT3G62490_1	1,319	2,012	1,620
AT3G62499_1	0,971	0,886	1,030
AT3G62500_1	1,036	0,440	0,349
AT3G62510_1	1,059	1,367	1,511
AT3G62520_1	1,003	0,985	1,035
AT3G62528_1	1,110	1,075	1,024

AGI	NaCl-Kontrolle zur H₂O-Kontrolle (log₂)	H₂O +B.c. zur H₂O-Kontrolle (log₂)	NaCl +B.c. zur H₂O-Kontrolle (log₂)
AT3G62529_1	1,049	0,708	0,490
AT3G62530_1	1,000	0,646	0,496
AT3G62540_1	0,891	0,805	0,688
AT3G62550_1	1,113	0,174	0,540
AT3G62560_1	1,119	0,961	1,251
AT3G62570_1	0,706	1,529	1,881
AT3G62580_1	0,954	1,117	1,502
AT3G62590_1	1,136	8,453	15,759
AT3G62600_1	1,007	1,275	1,482
AT3G62610_1	1,046	1,206	1,152
AT3G62620_1	0,887	0,668	0,753
AT3G62620_2	0,872	0,668	0,736
AT3G62630_1	1,211	0,410	0,051
AT3G62640_1	0,936	1,563	1,829
AT3G62650_1	0,885	1,278	1,616
AT3G62650_2	0,912	1,085	1,012
AT3G62660_1	0,988	0,378	0,467
AT3G62670_1	1,012	1,127	1,280
AT3G62680_1	1,031	1,004	1,030
AT3G62690_1	1,082	0,310	0,059
AT3G62700_1	1,125	0,831	0,499
AT3G62710_1	1,034	1,226	1,244
AT3G62720_1	0,738	3,044	2,502
AT3G62720_2	0,784	2,998	2,491
AT3G62725_1	1,126	0,434	0,312
AT3G62730_1	1,265	0,867	0,938
AT3G62740_1	0,979	0,274	0,265
AT3G62750_1	0,995	0,410	0,290
AT3G62760_1	1,096	1,392	1,599
AT3G62770_1	0,954	1,233	1,646
AT3G62770_3	0,857	1,093	2,093
AT3G62780_1	0,885	0,201	0,313
AT3G62790_1	0,931	0,666	1,081
AT3G62800_1	1,103	0,894	1,298
AT3G62800_3	1,091	0,925	1,281
AT3G62810_1	0,941	0,879	1,394
AT3G62820_1	0,667	0,255	0,635
AT3G62830_1	1,081	1,482	1,377
AT3G62840_1	0,993	0,880	0,848
AT3G62850_1	0,922	1,120	1,142
AT3G62860_1	0,815	1,413	0,534
AT3G62870_1	1,031	0,944	0,641
AT3G62880_1	1,032	1,001	1,288
AT3G62880_2	1,067	1,061	1,368
AT3G62890_1	1,174	0,653	0,600
AT3G62895_1	1,005	1,112	1,364
AT3G62900_1	1,109	1,047	1,189
AT3G62907_1	1,385	1,045	1,146
AT3G62910_1	0,953	0,253	0,073
AT3G62920_1	0,848	0,784	1,171

AGI	NaCl-Kontrolle zur H₂O-Kontrolle (log₂)	H₂O +B.c. zur H₂O-Kontrolle (log₂)	NaCl +B.c. zur H₂O-Kontrolle (log₂)
AT3G62930_1	1,005	0,640	0,248
AT3G62940_1	0,909	0,933	0,907
AT3G62940_2	0,951	0,976	0,861
AT3G62950_1	1,348	0,120	0,053
AT3G62960_1	1,405	1,466	0,997
AT3G62970_1	1,071	0,628	0,514
AT3G62980_1	1,005	0,545	0,550
AT3G62988_1	0,835	0,999	1,003
AT3G62990_1	1,239	1,427	1,521
AT3G63000_1	1,071	0,916	1,148
AT3G63010_1	0,975	6,992	8,766
AT3G63020_1	1,004	1,492	1,794
AT3G63020_2	1,172	1,640	1,727
AT3G63030_1	0,936	0,633	0,868
AT3G63040_1	0,724	1,069	1,074
AT3G63050_1	0,760	3,250	11,541
AT3G63052_1	0,953	0,916	1,074
AT3G63060_1	1,112	7,844	15,553
AT3G63070_1	1,010	1,300	1,347
AT3G63080_1	0,740	0,997	1,306
AT3G63088_1	0,836	0,921	0,930
AT3G63090_1	1,009	1,445	0,987
AT3G63095_1	0,791	1,308	1,010
AT3G63110_1	0,756	0,793	0,155
AT3G63120_1	0,960	1,143	0,653
AT3G63130_1	1,072	1,054	0,543
AT3G63140_1	0,945	0,520	0,184
AT3G63150_1	1,128	1,056	1,337
AT3G63160_1	1,059	0,145	0,035
AT3G63170_1	0,985	0,407	0,180
AT3G63180_1	1,213	1,285	1,325
AT3G63190_1	0,867	0,297	0,118
AT3G63200_1	0,879	0,224	0,034
AT3G63210_1	1,083	0,673	1,555
AT3G63220_1	0,968	1,096	1,300
AT3G63220_2	0,770	0,970	1,260
AT3G63230_1	1,009	0,915	0,968
AT3G63233_1	1,064	1,050	1,121
AT3G63240_1	0,854	0,546	0,435
AT3G63250_1	0,955	0,514	0,274
AT3G63250_2	1,018	0,956	0,897
AT3G63260_1	1,033	2,010	2,223
AT3G63260_2	0,997	0,754	1,330
AT3G63270_1	0,826	0,968	0,893
AT3G63280_1	0,962	0,713	5,767
AT3G63290_1	1,057	0,615	0,484
AT3G63290_2	0,984	0,592	0,515
AT3G63300_1	0,840	0,272	0,198
AT3G63300_2	0,983	0,366	0,293
AT3G63310_1	0,856	1,800	2,141

AGI	NaCl-Kontrolle zur H₂O-Kontrolle (log₂)	H₂O +B.c. zur H₂O-Kontrolle (log₂)	NaCl +B.c. zur H₂O-Kontrolle (log₂)
AT3G63320_1	1,252	1,098	1,402
AT3G63330_1	1,081	0,850	1,085
AT3G63330_2	1,081	0,844	1,054
AT3G63340_1	1,219	0,832	1,219
AT3G63350_1	1,132	1,357	1,596
AT3G63360_1	1,040	1,425	1,759
AT3G63370_1	1,130	0,388	0,125
AT3G63375_1	0,914	0,241	0,085
AT3G63380_1	0,543	31,494	32,607
AT3G63390_1	1,022	1,313	1,035
AT3G63400_1	1,112	0,969	0,731
AT3G63400_2	1,078	1,174	0,918
AT3G63410_1	1,058	0,726	0,420
AT3G63420_1	0,799	1,234	1,213
AT3G63420_2	0,753	0,801	0,599
AT3G63430_1	0,797	0,623	0,627
AT3G63440_1	0,568	0,207	0,158
AT3G63445_1	0,677	0,353	0,501
AT3G63445_3	0,783	0,534	1,207
AT3G63450_1	0,801	0,249	0,127
AT3G63450_2	0,821	0,243	0,123
AT3G63460_1	1,040	1,070	1,181
AT3G63470_1	0,615	3,408	18,296
AT3G63480_1	0,679	0,322	0,372
AT3G63480_2	0,658	0,419	0,463
AT3G63490_1	0,938	0,629	0,537
AT3G63500_1	0,956	1,338	1,226
AT3G63510_1	0,912	0,160	0,030
AT3G63510_2	0,988	0,170	0,034
AT3G63520_1	1,082	0,861	0,863
AT3G63530_1	1,014	1,244	0,220
AT3G63540_1	0,956	0,747	0,593
AT3G66652_1	1,328	1,142	0,586
AT3G66654_1	0,888	1,533	1,712
AT3G66654_2	0,901	1,543	1,657
AT3G66654_3	1,157	1,482	2,077
AT3G66656_1	0,898	1,021	1,126
AT3G66658_1	1,088	0,607	0,531
AT3G66658_2	1,110	0,613	0,515
AT4G00005_1	1,107	1,322	2,020
AT4G00020_1	0,738	0,359	0,271
AT4G00020_2	1,007	1,063	0,992
AT4G00026_1	1,219	1,138	0,875
AT4G00030_1	1,010	0,589	0,543
AT4G00040_1	1,311	0,629	0,829
AT4G00050_1	1,369	3,663	1,121
AT4G00058_1	1,304	0,721	1,000
AT4G00060_1	1,027	0,822	1,056
AT4G00070_1	0,979	1,020	1,013
AT4G00080_1	1,010	1,233	1,180

AGI	NaCl-Kontrolle zur H₂O-Kontrolle (log₂)	H₂O +B.c. zur H₂O-Kontrolle (log₂)	NaCl +B.c. zur H₂O-Kontrolle (log₂)
AT4G00090_1	1,056	1,060	1,602
AT4G00100_1	0,920	0,861	0,551
AT4G00110_1	0,975	1,140	1,173
AT4G00114_1	1,132	1,322	1,368
AT4G00120_1	1,119	1,445	1,381
AT4G00130_1	1,094	1,412	1,175
AT4G00140_1	1,043	1,119	0,792
AT4G00150_1	1,108	0,562	0,509
AT4G00160_1	1,070	0,819	0,712
AT4G00165_1	0,998	0,378	0,022
AT4G00165_2	0,995	0,377	0,025
AT4G00170_1	0,874	1,277	1,474
AT4G00180_1	0,954	0,660	0,119
AT4G00180_2	0,794	0,770	0,636
AT4G00190_1	1,093	1,511	1,678
AT4G00200_1	1,481	0,478	1,759
AT4G00210_1	0,639	0,701	0,898
AT4G00220_1	0,945	0,777	0,985
AT4G00225_1	1,114	1,183	1,103
AT4G00230_1	0,833	0,458	0,309
AT4G00231_1	0,990	0,963	0,825
AT4G00232_1	1,084	1,038	1,079
AT4G00234_1	0,902	0,663	0,868
AT4G00236_1	0,895	0,990	0,986
AT4G00238_1	1,146	0,941	0,485
AT4G00240_1	0,803	0,761	1,335
AT4G00250_1	1,487	1,574	1,017
AT4G00260_1	1,099	0,414	0,337
AT4G00270_1	1,075	1,000	1,078
AT4G00280_1	1,033	1,180	1,472
AT4G00290_1	0,870	0,590	0,848
AT4G00300_1	0,726	1,032	0,899
AT4G00305_1	1,016	1,979	3,297
AT4G00310_1	0,846	0,818	0,696
AT4G00310_2	1,080	0,911	0,641
AT4G00315_1	1,019	1,061	1,054
AT4G00320_1	1,056	1,617	1,601
AT4G00330_1	0,817	1,358	1,388
AT4G00335_1	0,960	1,451	1,216
AT4G00335_3	0,919	1,426	1,199
AT4G00340_1	1,056	0,739	0,472
AT4G00350_1	0,916	1,279	1,267
AT4G00355_1	1,016	0,685	1,007
AT4G00355_2	1,021	0,658	0,969
AT4G00355_3	0,692	0,557	1,047
AT4G00355_4	0,787	0,400	1,139
AT4G00356_1	0,985	1,083	1,051
AT4G00360_1	0,988	0,808	0,207
AT4G00370_1	1,043	0,753	0,385
AT4G00380_1	1,049	0,560	0,328

AGI	NaCl-Kontrolle zur H₂O-Kontrolle (log₂)	H₂O +B.c. zur H₂O-Kontrolle (log₂)	NaCl +B.c. zur H₂O-Kontrolle (log₂)
AT4G00390_1	1,200	1,640	1,675
AT4G00400_1	0,770	0,181	0,011
AT4G00413_1	1,202	1,264	1,080
AT4G00416_1	0,955	1,017	0,918
AT4G00420_1	0,916	0,739	1,248
AT4G00420_2	0,938	0,739	1,261
AT4G00420_3	0,978	0,794	1,247
AT4G00430_1	1,147	2,390	28,304
AT4G00430_2	1,137	1,764	3,270
AT4G00440_1	1,160	1,006	2,362
AT4G00440_2	1,285	1,107	2,213
AT4G00440_3	1,295	1,069	2,027
AT4G00450_1	1,049	1,055	1,239
AT4G00460_1	1,039	1,019	1,055
AT4G00460_2	0,963	0,584	0,601
AT4G00467_1	0,979	1,019	0,972
AT4G00480_1	1,032	0,242	0,144
AT4G00480_2	0,857	0,550	0,569
AT4G00490_1	1,119	0,303	0,094
AT4G00500_1	0,969	1,991	1,869
AT4G00520_2	1,004	0,828	0,577
AT4G00520_3	1,045	0,817	0,603
AT4G00525_1	0,872	0,632	0,535
AT4G00530_1	0,780	0,412	0,548
AT4G00540_1	1,056	1,070	1,160
AT4G00540_2	0,982	1,092	1,091
AT4G00550_1	0,955	1,289	2,069
AT4G00560_1	1,042	0,586	0,452
AT4G00560_2	1,045	0,608	0,456
AT4G00560_3	0,923	0,572	0,539
AT4G00570_1	0,898	1,162	1,180
AT4G00580_1	1,055	1,018	1,049
AT4G00585_1	0,978	0,826	1,343
AT4G00590_1	0,989	1,090	1,370
AT4G00600_1	1,335	1,124	0,696
AT4G00610_1	1,056	1,089	1,228
AT4G00620_1	1,219	1,010	0,553
AT4G00630_1	1,119	1,009	1,368
AT4G00650_1	0,969	0,940	0,858
AT4G00651_1	1,074	1,301	1,259
AT4G00660_1	0,931	1,130	1,301
AT4G00660_2	0,988	1,123	1,269
AT4G00670_1	0,817	0,913	0,738
AT4G00680_1	0,853	0,903	0,943
AT4G00690_1	0,802	0,639	0,528
AT4G00695_1	1,008	1,153	1,226
AT4G00695_2	0,977	0,982	0,944
AT4G00700_1	1,004	7,172	23,138
AT4G00710_1	1,031	0,873	0,744
AT4G00720_1	1,031	1,134	0,977

AGI	NaCl-Kontrolle zur H₂O-Kontrolle (log₂)	H₂O +B.c. zur H₂O-Kontrolle (log₂)	NaCl +B.c. zur H₂O-Kontrolle (log₂)
AT4G00730_1	0,959	0,802	0,378
AT4G00730_2	1,002	0,896	0,806
AT4G00740_1	0,980	0,807	0,401
AT4G00750_1	0,957	0,968	1,523
AT4G00752_1	1,117	0,461	0,512
AT4G00753_1	1,283	1,591	1,826
AT4G00755_1	1,082	0,435	0,473
AT4G00755_2	1,076	1,261	1,422
AT4G00760_1	0,918	0,589	0,456
AT4G00770_1	0,828	0,576	0,541
AT4G00780_1	1,063	0,695	0,573
AT4G00800_1	1,087	0,727	0,956
AT4G00810_1	0,487	0,549	0,366
AT4G00810_2	0,842	0,599	0,388
AT4G00820_1	0,830	0,986	0,667
AT4G00830_1	1,092	1,167	1,076
AT4G00840_1	0,929	0,872	1,168
AT4G00850_1	1,187	0,866	0,359
AT4G00860_1	0,806	1,223	1,657
AT4G00870_1	0,792	1,207	2,964
AT4G00872_1	0,944	1,144	1,331
AT4G00880_1	1,257	0,469	0,208
AT4G00885_1	0,982	1,036	1,065
AT4G00890_1	0,604	0,407	0,431
AT4G00891_1	1,846	2,448	1,513
AT4G00893_1	0,990	1,184	1,144
AT4G00895_1	0,960	0,630	0,913
AT4G00900_1	0,736	2,991	7,107
AT4G00905_1	0,649	0,605	0,765
AT4G00910_1	0,906	1,210	1,361
AT4G00920_1	1,198	1,415	1,913
AT4G00930_1	1,106	0,865	0,772
AT4G00940_1	1,048	1,105	1,686
AT4G00950_1	0,778	0,490	0,173
AT4G00955_1	0,600	1,693	2,469
AT4G00960_1	0,324	0,801	0,487
AT4G00970_1	0,339	0,773	0,468
AT4G00975_1	1,155	1,385	1,724
AT4G00980_1	0,967	0,571	0,356
AT4G00990_1	1,093	0,609	0,433
AT4G01000_1	0,981	1,004	1,049
AT4G01010_1	0,777	5,643	5,765
AT4G01020_1	1,051	1,024	0,885
AT4G01023_1	1,018	1,000	1,082
AT4G01026_1	1,034	0,475	0,380
AT4G01030_1	1,258	0,459	0,236
AT4G01037_1	1,177	0,709	0,326
AT4G01040_1	1,001	0,517	0,287
AT4G01050_1	0,954	0,782	0,471
AT4G01060_1	1,117	0,852	0,779

AGI	NaCl-Kontrolle zur H₂O-Kontrolle (log₂)	H₂O +B.c. zur H₂O-Kontrolle (log₂)	NaCl +B.c. zur H₂O-Kontrolle (log₂)
AT4G01060_2	1,134	0,766	0,727
AT4G01070_1	1,051	1,722	2,511
AT4G01080_1	0,975	2,040	0,851
AT4G01090_1	0,922	1,092	0,923
AT4G01100_1	1,089	1,099	1,064
AT4G01110_1	0,867	0,822	0,930
AT4G01120_1	1,116	1,085	1,372
AT4G01130_1	1,235	0,034	0,011
AT4G01140_1	0,916	0,883	0,894
AT4G01150_1	0,944	0,595	0,280
AT4G01150_2	0,915	0,444	0,257
AT4G01160_1	1,096	1,235	1,381
AT4G01170_1	1,289	1,335	2,222
AT4G01180_1	1,222	1,541	4,813
AT4G01190_1	0,956	0,748	0,816
AT4G01200_1	0,807	0,768	0,661
AT4G01210_1	0,871	0,882	0,734
AT4G01220_1	0,849	1,075	0,629
AT4G01220_2	0,854	0,787	0,682
AT4G01230_1	0,684	0,949	0,712
AT4G01240_1	1,022	1,114	1,117
AT4G01245_1	0,774	0,494	0,495
AT4G01250_1	0,542	2,578	3,103
AT4G01260_1	1,034	1,226	1,408
AT4G01265_1	1,076	0,790	0,957
AT4G01270_1	0,707	0,338	0,271
AT4G01280_1	1,003	1,680	1,523
AT4G01280_2	1,068	1,763	1,577
AT4G01290_1	1,027	1,084	1,205
AT4G01310_1	0,926	0,558	0,125
AT4G01320_1	1,002	1,131	1,195
AT4G01328_1	1,132	1,240	1,251
AT4G01330_1	0,891	0,431	0,232
AT4G01335_1	0,894	0,956	0,858
AT4G01340_1	0,959	1,337	1,113
AT4G01350_1	1,048	1,740	0,988
AT4G01360_1	0,910	23,204	56,268
AT4G01370_1	0,919	1,066	1,277
AT4G01380_1	0,873	0,762	0,725
AT4G01390_1	0,916	1,030	0,337
AT4G01400_1	0,990	0,917	0,933
AT4G01400_3	1,140	0,276	0,210
AT4G01410_1	0,852	0,863	1,544
AT4G01420_1	1,043	0,960	1,179
AT4G01430_1	0,900	3,509	58,008
AT4G01430_2	1,061	4,522	73,644
AT4G01440_1	0,930	0,309	0,423
AT4G01450_1	0,737	0,548	0,410
AT4G01450_2	0,748	0,560	0,412
AT4G01450_3	0,741	0,564	0,428

AGI	NaCl-Kontrolle zur H₂O-Kontrolle (log₂)	H₂O +B.c. zur H₂O-Kontrolle (log₂)	NaCl +B.c. zur H₂O-Kontrolle (log₂)
AT4G01460_1	1,014	0,103	0,061
AT4G01470_1	1,011	1,268	1,222
AT4G01480_1	1,646	0,953	1,172
AT4G01490_1	0,984	0,390	0,281
AT4G01500_1	0,770	0,754	0,607
AT4G01505_1	0,976	1,012	1,017
AT4G01510_1	0,910	0,357	0,279
AT4G01515_1	1,050	1,267	1,254
AT4G01520_1	1,072	7,402	8,845
AT4G01525_1	0,961	1,141	1,321
AT4G01530_1	1,064	1,052	1,002
AT4G01533_1	1,134	1,498	1,140
AT4G01535_1	1,028	2,444	2,859
AT4G01540_1	0,881	13,993	20,317
AT4G01540_2	1,005	11,451	16,342
AT4G01550_1	1,164	0,949	1,049
AT4G01550_2	1,076	0,957	1,039
AT4G01560_1	0,970	1,793	1,202
AT4G01570_1	1,050	0,652	0,489
AT4G01575_1	0,633	0,495	0,532
AT4G01580_1	0,836	0,173	0,149
AT4G01590_1	0,789	1,124	0,972
AT4G01590_2	0,737	1,120	0,976
AT4G01593_1	1,002	0,542	0,450
AT4G01593_2	1,093	0,630	0,541
AT4G01595_1	0,957	0,961	0,925
AT4G01600_1	0,766	0,917	2,251
AT4G01600_2	0,782	0,952	2,384
AT4G01610_1	1,127	1,365	2,202
AT4G01610_2	1,148	1,391	2,310
AT4G01630_1	1,196	1,414	1,287
AT4G01640_1	1,025	0,942	0,987
AT4G01650_1	1,152	0,815	1,330
AT4G01650_2	0,928	0,682	0,976
AT4G01660_1	1,076	1,835	1,553
AT4G01670_1	1,209	0,151	0,116
AT4G01671_1	1,027	1,138	1,234
AT4G01680_1	0,484	0,358	0,182
AT4G01680_2	0,462	0,328	0,142
AT4G01680_3	0,504	0,381	0,233
AT4G01690_1	0,973	0,660	0,588
AT4G01690_2	0,953	0,623	0,559
AT4G01700_1	0,330	1,416	2,338
AT4G01710_1	0,972	0,558	1,043
AT4G01720_1	0,481	1,027	1,283
AT4G01730_1	0,704	0,312	0,277
AT4G01735_1	1,089	1,167	1,213
AT4G01740_1	0,778	0,292	0,351
AT4G01750_1	0,535	3,255	3,312
AT4G01760_1	1,144	1,090	1,243

AGI	NaCl-Kontrolle zur H₂O-Kontrolle (log₂)	H₂O +B.c. zur H₂O-Kontrolle (log₂)	NaCl +B.c. zur H₂O-Kontrolle (log₂)
AT4G01770_1	0,974	2,827	2,478
AT4G01780_1	1,117	0,321	0,196
AT4G01790_1	0,895	1,367	1,357
AT4G01800_1	0,942	0,684	0,485
AT4G01810_1	1,049	1,355	1,672
AT4G01820_1	0,992	1,079	1,083
AT4G01830_1	1,216	1,564	1,782
AT4G01840_1	0,855	0,741	1,027
AT4G01850_1	1,010	1,567	1,508
AT4G01850_2	1,047	1,562	1,526
AT4G01860_1	1,061	1,121	0,890
AT4G01860_2	0,918	0,949	0,955
AT4G01870_1	1,039	10,368	15,207
AT4G01880_1	0,866	0,989	1,209
AT4G01883_1	0,839	0,199	0,103
AT4G01890_1	1,232	1,382	1,987
AT4G01895_1	0,826	20,733	30,506
AT4G01897_1	0,981	0,668	1,175
AT4G01900_1	0,877	0,559	0,581
AT4G01910_1	1,118	0,708	1,963
AT4G01915_1	1,016	0,443	0,336
AT4G01915_2	1,123	0,559	0,557
AT4G01915_3	1,116	0,614	0,614
AT4G01920_1	0,783	0,540	1,018
AT4G01925_1	1,066	1,002	1,215
AT4G01930_1	1,039	0,757	0,890
AT4G01935_1	0,891	0,425	0,313
AT4G01940_1	1,055	0,757	1,506
AT4G01950_1	1,020	1,975	3,058
AT4G01960_1	1,014	1,192	1,248
AT4G01970_1	0,785	0,842	1,031
AT4G01975_1	0,877	0,921	0,953
AT4G01980_1	0,991	0,798	1,008
AT4G01985_1	2,659	0,481	0,939
AT4G01990_1	1,067	1,317	0,777
AT4G01995_1	0,876	0,423	0,324
AT4G02000_1	1,251	0,671	0,901
AT4G02005_1	0,999	0,728	1,139
AT4G02010_1	1,140	0,873	0,511
AT4G02020_1	1,164	0,980	0,815
AT4G02030_1	0,975	0,937	1,189
AT4G02040_1	0,867	0,655	0,605
AT4G02050_1	1,101	0,784	1,569
AT4G02060_1	0,672	0,201	0,113
AT4G02070_1	0,930	0,771	0,823
AT4G02075_1	0,802	0,674	1,717
AT4G02080_1	1,018	0,962	1,207
AT4G02090_1	1,196	1,336	1,998
AT4G02100_1	0,703	0,282	0,233
AT4G02110_1	0,672	0,342	0,283

AGI	NaCl-Kontrolle zur H₂O-Kontrolle (log₂)	H₂O +B.c. zur H₂O-Kontrolle (log₂)	NaCl +B.c. zur H₂O-Kontrolle (log₂)
AT4G02120_1	0,868	0,682	1,302
AT4G02130_1	1,070	0,552	0,258
AT4G02130_2	1,046	0,538	0,244
AT4G02130_3	1,022	0,543	0,251
AT4G02140_1	1,090	1,081	1,215
AT4G02150_1	1,107	1,341	1,396
AT4G02160_1	1,216	1,458	1,680
AT4G02170_1	1,231	1,174	1,197
AT4G02180_1	0,994	0,900	0,971
AT4G02190_1	0,974	1,100	1,285
AT4G02195_1	0,800	1,528	1,726
AT4G02200_1	0,796	1,106	0,583
AT4G02200_2	0,884	1,439	0,739
AT4G02200_3	0,849	0,766	0,536
AT4G02210_1	1,006	0,674	0,554
AT4G02220_1	1,069	1,367	1,502
AT4G02230_1	1,041	0,985	0,854
AT4G02235_1	1,295	1,435	1,798
AT4G02250_1	1,117	0,973	0,871
AT4G02260_1	1,088	0,757	0,640
AT4G02260_3	1,191	0,322	0,310
AT4G02270_1	1,066	1,118	1,237
AT4G02280_1	1,222	2,739	14,976
AT4G02290_1	0,690	0,141	0,132
AT4G02300_1	0,972	1,316	1,558
AT4G02310_1	1,164	1,222	1,208
AT4G02312_1	1,389	1,608	1,683
AT4G02314_1	1,343	1,623	1,616
AT4G02317_1	1,006	1,001	0,946
AT4G02320_1	0,830	1,489	5,635
AT4G02330_1	0,282	0,193	0,776
AT4G02340_1	1,025	0,667	0,843
AT4G02350_1	0,951	1,188	1,254
AT4G02360_1	0,991	3,223	2,586
AT4G02370_1	0,890	0,478	1,210
AT4G02380_1	0,382	5,837	6,800
AT4G02380_2	0,433	5,014	5,513
AT4G02390_1	1,139	0,275	0,392
AT4G02400_1	1,039	1,479	0,983
AT4G02405_1	0,993	0,645	1,079
AT4G02405_2	1,033	0,859	0,912
AT4G02410_1	1,017	1,401	1,246
AT4G02420_1	0,696	0,709	0,696
AT4G02425_1	0,835	0,721	0,531
AT4G02430_1	0,995	0,749	0,994
AT4G02430_2	0,917	0,554	0,994
AT4G02440_1	0,941	0,948	0,911
AT4G02450_1	0,994	0,772	0,666
AT4G02460_1	1,061	0,785	0,660
AT4G02465_1	1,032	1,068	1,159

AGI	NaCl-Kontrolle zur H₂O-Kontrolle (log₂)	H₂O +B.c. zur H₂O-Kontrolle (log₂)	NaCl +B.c. zur H₂O-Kontrolle (log₂)
AT4G02480_1	1,006	0,961	1,030
AT4G02482_1	1,063	0,594	0,602
AT4G02485_1	1,009	0,471	0,558
AT4G02487_1	1,065	1,074	1,016
AT4G02489_1	1,454	1,631	2,292
AT4G02490_1	1,333	1,431	1,521
AT4G02500_1	1,070	0,563	0,364
AT4G02510_1	1,080	0,856	0,563
AT4G02520_1	0,751	1,852	1,801
AT4G02530_1	0,917	0,392	0,202
AT4G02540_1	0,838	0,548	0,487
AT4G02541_1	1,221	1,348	1,467
AT4G02550_1	0,928	0,954	1,812
AT4G02550_2	0,936	0,977	1,859
AT4G02550_3	0,820	0,685	0,851
AT4G02560_1	1,048	1,033	1,128
AT4G02570_1	1,009	1,087	1,154
AT4G02580_1	0,880	0,821	1,078
AT4G02590_1	1,144	0,943	1,183
AT4G02590_3	1,183	0,931	1,155
AT4G02600_1	0,996	1,245	1,065
AT4G02610_1	1,124	0,468	0,295
AT4G02620_1	0,873	0,836	1,355
AT4G02630_1	1,156	0,794	0,512
AT4G02640_1	1,045	1,133	1,148
AT4G02640_2	1,067	1,123	1,149
AT4G02650_1	1,183	1,194	1,746
AT4G02655_1	1,224	1,120	1,241
AT4G02660_1	1,326	0,815	1,023
AT4G02670_1	1,199	0,782	0,920
AT4G02680_1	1,041	0,631	0,356
AT4G02690_1	1,175	1,205	1,245
AT4G02700_1	1,108	1,243	1,153
AT4G02710_1	1,323	0,562	1,483
AT4G02715_1	1,148	0,836	0,733
AT4G02720_1	1,045	1,290	1,307
AT4G02725_1	0,860	0,586	0,558
AT4G02730_1	0,907	1,022	1,385
AT4G02733_1	0,995	1,089	1,321
AT4G02740_1	1,102	1,482	2,192
AT4G02750_1	1,327	0,418	0,249
AT4G02760_1	1,127	2,074	3,126
AT4G02770_1	0,997	0,765	0,450
AT4G02780_1	0,907	0,630	0,673
AT4G02790_1	1,102	0,309	0,045
AT4G02800_1	0,674	0,291	0,246
AT4G02810_1	0,893	1,071	0,822
AT4G02820_1	0,999	0,965	0,381
AT4G02830_1	1,275	1,355	1,574
AT4G02840_1	1,006	0,952	0,824

AGI	NaCl-Kontrolle zur H₂O-Kontrolle (log₂)	H₂O +B.c. zur H₂O-Kontrolle (log₂)	NaCl +B.c. zur H₂O-Kontrolle (log₂)
AT4G02850_1	0,770	0,082	0,053
AT4G02860_1	1,032	1,376	1,970
AT4G02870_1	1,023	1,230	1,305
AT4G02871_1	1,122	1,286	1,421
AT4G02880_1	1,154	1,093	1,417
AT4G02890_1	1,006	1,069	1,062
AT4G02890_2	1,007	1,041	1,108
AT4G02890_3	0,797	0,669	0,962
AT4G02890_4	0,955	1,046	1,048
AT4G02900_1	1,054	0,374	0,250
AT4G02910_1	1,066	1,161	1,196
AT4G02920_1	0,991	0,870	0,745
AT4G02920_2	1,015	0,874	0,770
AT4G02930_1	1,097	1,338	1,149
AT4G02940_1	0,875	4,053	6,082
AT4G02950_1	1,136	1,498	5,763
AT4G02960_1	1,101	1,232	1,395
AT4G02970_1	1,100	1,332	1,057
AT4G02980_1	1,024	1,106	1,552
AT4G02990_1	1,088	0,625	0,216
AT4G03000_1	1,157	1,061	1,368
AT4G03010_1	0,866	0,456	0,348
AT4G03020_1	1,164	1,165	1,072
AT4G03030_1	1,079	1,161	1,531
AT4G03038_1	1,110	0,432	0,698
AT4G03039_1	2,165	0,356	1,491
AT4G03040_1	0,993	1,031	1,701
AT4G03050_1	0,889	0,834	0,891
AT4G03050_2	1,258	1,005	1,140
AT4G03060_1	1,163	0,178	0,023
AT4G03063_1	1,020	0,915	0,457
AT4G03070_1	1,184	0,693	0,438
AT4G03080_1	1,002	0,875	0,952
AT4G03090_1	1,161	0,683	0,710
AT4G03100_1	0,794	0,211	0,101
AT4G03110_1	0,698	0,623	0,472
AT4G03110_2	0,686	0,624	0,489
AT4G03113_1	1,272	1,451	1,780
AT4G03115_1	0,787	0,701	1,006
AT4G03120_1	1,083	1,149	1,249
AT4G03130_1	1,059	0,821	0,955
AT4G03135_1	0,978	0,899	0,942
AT4G03140_1	1,036	0,407	0,232
AT4G03150_1	1,136	0,449	0,172
AT4G03153_1	1,040	1,313	1,524
AT4G03156_1	1,095	1,338	0,950
AT4G03160_1	0,994	1,270	1,481
AT4G03165_1	0,974	0,877	1,012
AT4G03170_1	1,095	1,357	1,522
AT4G03175_1	0,828	0,386	0,322

AGI	NaCl-Kontrolle zur H₂O-Kontrolle (log₂)	H₂O +B.c. zur H₂O-Kontrolle (log₂)	NaCl +B.c. zur H₂O-Kontrolle (log₂)
AT4G03180_1	0,933	1,075	1,138
AT4G03190_1	1,005	0,188	0,054
AT4G03200_1	1,140	0,806	0,987
AT4G03205_1	0,843	0,509	0,532
AT4G03205_2	0,836	0,532	0,594
AT4G03210_1	0,446	0,716	0,092
AT4G03210_2	0,445	0,713	0,086
AT4G03220_1	0,990	1,017	1,070
AT4G03230_1	0,935	0,531	0,869
AT4G03240_1	1,087	0,948	1,250
AT4G03250_1	0,954	0,837	0,950
AT4G03260_1	1,133	1,429	1,431
AT4G03260_2	1,134	1,461	1,430
AT4G03270_1	0,576	0,134	0,133
AT4G03280_1	0,951	0,719	0,450
AT4G03280_2	0,949	0,694	0,435
AT4G03290_1	1,084	1,187	1,149
AT4G03292_1	0,968	1,022	1,145
AT4G03295_1	1,084	1,796	0,991
AT4G03298_1	1,148	1,202	1,212
AT4G03300_1	1,317	1,446	1,691
AT4G03305_1	1,295	1,404	1,466
AT4G03310_1	1,044	1,403	1,650
AT4G03320_1	0,868	20,922	48,228
AT4G03330_1	0,826	0,924	0,746
AT4G03340_1	1,124	0,689	0,672
AT4G03350_1	1,180	1,314	1,552
AT4G03360_1	0,963	1,528	12,238
AT4G03364_1	1,166	1,471	1,525
AT4G03370_1	1,078	1,207	1,514
AT4G03376_1	0,920	0,492	0,595
AT4G03380_1	1,130	1,038	1,252
AT4G03390_1	1,009	0,573	0,537
AT4G03400_1	1,096	1,019	0,721
AT4G03405_1	1,194	1,210	1,732
AT4G03410_1	1,076	1,353	1,578
AT4G03410_2	1,080	1,722	2,480
AT4G03415_1	1,024	0,505	0,165
AT4G03420_1	1,126	1,657	1,366
AT4G03430_1	1,065	1,441	1,521
AT4G03437_1	1,161	1,130	1,400
AT4G03438_1	1,010	1,131	1,523
AT4G03440_1	1,182	0,734	0,808
AT4G03443_1	1,176	0,608	0,500
AT4G03445_1	1,032	0,517	0,403
AT4G03450_1	0,426	3,422	3,199
AT4G03455_1	1,122	0,814	0,905
AT4G03460_1	0,913	1,599	4,567
AT4G03470_1	1,119	1,057	1,042
AT4G03480_1	1,131	1,274	1,709

AGI	NaCl-Kontrolle zur H₂O-Kontrolle (log₂)	H₂O +B.c. zur H₂O-Kontrolle (log₂)	NaCl +B.c. zur H₂O-Kontrolle (log₂)
AT4G03490_1	0,903	0,923	2,454
AT4G03500_1	0,722	0,409	0,422
AT4G03505_1	1,014	0,889	0,957
AT4G03510_1	0,782	0,597	0,766
AT4G03510_2	0,860	0,292	0,432
AT4G03520_1	0,986	0,655	0,506
AT4G03520_2	0,862	0,247	0,246
AT4G03530_1	0,973	0,940	0,993
AT4G03540_1	1,202	1,217	1,747
AT4G03550_1	1,032	1,113	0,960
AT4G03560_1	1,015	0,589	0,437
AT4G03565_1	0,856	1,139	1,269
AT4G03566_1	0,983	1,012	0,996
AT4G03570_1	1,000	1,023	1,095
AT4G03580_1	1,227	1,409	1,461
AT4G03590_1	1,042	1,357	1,449
AT4G03600_1	1,080	0,388	0,275
AT4G03610_1	2,203	0,254	0,308
AT4G03620_1	1,061	1,098	1,065
AT4G03630_1	1,111	1,295	1,162
AT4G03635_1	1,004	0,583	0,865
AT4G03640_1	0,986	1,141	1,096
AT4G03650_1	1,125	1,440	1,336
AT4G03660_1	1,033	1,026	0,982
AT4G03670_1	1,140	1,463	1,197
AT4G03680_1	0,998	0,937	1,019
AT4G03690_1	0,955	0,960	0,898
AT4G03695_1	1,010	1,095	1,082
AT4G03700_1	0,947	1,037	1,016
AT4G03710_1	0,972	1,201	1,131
AT4G03720_1	1,045	1,038	0,993
AT4G03723_1	1,468	1,714	1,970
AT4G03726_1	1,248	1,661	1,448
AT4G03728_1	1,109	1,347	1,553
AT4G03730_1	1,004	1,057	0,969
AT4G03732_1	1,235	1,555	1,317
AT4G03740_1	1,153	1,153	1,177
AT4G03745_1	1,284	1,503	1,113
AT4G03750_1	1,498	1,529	1,407
AT4G03760_1	1,017	1,197	1,144
AT4G03770_2	1,181	1,493	1,502
AT4G03775_1	1,023	1,294	1,228
AT4G03780_1	1,291	1,492	1,448
AT4G03790_1	1,301	1,491	1,354
AT4G03795_1	1,345	1,491	1,292
AT4G03800_1	1,294	1,484	1,312
AT4G03810_1	1,282	1,273	1,127
AT4G03811_1	1,326	0,952	0,978
AT4G03813_1	1,600	1,177	1,377
AT4G03816_1	1,477	0,750	0,835

AGI	NaCl-Kontrolle zur H₂O-Kontrolle (log₂)	H₂O +B.c. zur H₂O-Kontrolle (log₂)	NaCl +B.c. zur H₂O-Kontrolle (log₂)
AT4G03820_1	1,257	1,022	1,487
AT4G03820_2	1,190	0,986	1,373
AT4G03823_1	1,136	1,179	1,157
AT4G03824_1	0,985	0,979	0,967
AT4G03825_1	1,299	1,339	1,249
AT4G03826_1	1,375	1,511	1,385
AT4G03827_1	0,965	0,925	0,957
AT4G03830_1	1,160	1,199	1,192
AT4G03835_1	1,028	1,077	1,194
AT4G03837_1	1,411	1,316	1,289
AT4G03840_1	1,267	1,622	1,484
AT4G03850_1	1,353	1,471	1,301
AT4G03860_1	1,441	1,591	1,521
AT4G03865_1	1,346	1,540	1,796
AT4G03870_1	1,124	1,409	1,397
AT4G03873_1	1,108	1,067	0,986
AT4G03876_1	1,063	1,101	1,209
AT4G03880_1	1,318	1,642	1,575
AT4G03885_1	1,274	1,240	1,149
AT4G03890_1	1,011	1,036	1,061
AT4G03900_1	1,058	1,130	1,139
AT4G03910_1	1,144	1,241	1,344
AT4G03911_1	1,071	1,250	1,012
AT4G03912_1	0,894	0,964	0,982
AT4G03913_1	0,973	0,988	0,955
AT4G03914_1	1,063	1,279	1,326
AT4G03916_1	1,017	1,049	1,041
AT4G03920_1	1,247	1,398	1,740
AT4G03923_1	1,082	1,221	1,288
AT4G03926_1	0,898	2,229	2,946
AT4G03930_1	1,411	1,093	1,051
AT4G03935_1	1,132	0,340	0,197
AT4G03940_1	1,166	0,743	0,702
AT4G03945_1	1,058	1,076	1,236
AT4G03945_2	0,977	1,027	0,966
AT4G03950_1	1,139	1,255	1,346
AT4G03960_1	1,013	2,973	7,886
AT4G03965_1	1,031	1,065	1,383
AT4G03970_1	1,025	1,151	1,269
AT4G03975_1	1,025	1,223	1,154
AT4G03976_1	1,277	1,103	1,134
AT4G03977_1	1,229	1,144	1,250
AT4G03978_1	1,210	1,282	1,390
AT4G03979_1	1,240	1,160	1,149
AT4G03980_1	1,092	1,009	0,964
AT4G03981_1	1,160	1,371	1,190
AT4G03990_1	1,238	1,340	1,433
AT4G04000_1	1,244	1,250	1,173
AT4G04010_1	1,164	1,177	1,215
AT4G04020_1	1,127	0,913	0,729

AGI	NaCl-Kontrolle zur H₂O-Kontrolle (log₂)	H₂O +B.c. zur H₂O-Kontrolle (log₂)	NaCl +B.c. zur H₂O-Kontrolle (log₂)
AT4G04030_1	1,303	1,306	1,123
AT4G04040_1	0,906	0,613	0,620
AT4G04050_1	1,193	1,420	1,399
AT4G04070_1	1,095	1,237	1,123
AT4G04077_1	1,082	1,107	1,180
AT4G04080_1	1,105	1,171	1,454
AT4G04090_1	0,992	1,066	1,308
AT4G04100_1	1,163	1,135	1,157
AT4G04105_1	1,122	1,000	1,207
AT4G04110_1	1,149	1,189	1,225
AT4G04120_1	1,235	1,380	1,510
AT4G04130_1	1,304	1,350	1,519
AT4G04140_1	1,163	1,062	1,141
AT4G04145_1	1,095	1,111	1,054
AT4G04150_1	1,079	1,295	1,350
AT4G04155_1	1,088	1,335	1,409
AT4G04157_1	0,991	1,240	1,078
AT4G04165_1	1,121	1,134	0,999
AT4G04167_1	1,248	1,448	1,326
AT4G04170_1	1,126	1,286	1,133
AT4G04175_1	1,062	1,079	1,167
AT4G04180_1	1,490	0,999	0,750
AT4G04190_1	1,115	0,491	0,425
AT4G04190_2	1,088	0,443	0,317
AT4G04200_1	0,825	0,699	0,633
AT4G04210_1	0,950	1,050	1,289
AT4G04220_1	0,611	0,821	1,175
AT4G04221_1	1,072	0,990	1,022
AT4G04223_1	1,062	1,236	1,930
AT4G04223_2	1,094	1,005	1,447
AT4G04230_1	1,391	1,461	1,343
AT4G04245_1	1,136	1,136	1,266
AT4G04250_1	1,192	1,373	1,572
AT4G04255_1	1,051	0,974	1,019
AT4G04260_1	1,090	1,004	0,787
AT4G04270_1	1,217	1,226	0,998
AT4G04273_1	1,455	1,523	1,388
AT4G04276_1	1,558	1,462	1,133
AT4G04280_1	1,055	0,919	0,976
AT4G04290_1	1,035	0,987	1,060
AT4G04293_1	0,723	0,386	0,072
AT4G04296_1	0,950	0,989	1,012
AT4G04300_1	0,999	0,880	0,935
AT4G04310_1	0,841	0,876	0,808
AT4G04313_1	0,973	1,064	1,153
AT4G04315_1	0,987	0,914	0,933
AT4G04316_1	1,055	1,093	1,117
AT4G04320_1	1,035	0,879	1,481
AT4G04330_1	1,050	0,029	0,009
AT4G04340_1	1,102	0,383	0,138

AGI	NaCl-Kontrolle zur H ₂ O-Kontrolle (log ₂)	H ₂ O +B.c. zur H ₂ O-Kontrolle (log ₂)	NaCl +B.c. zur H ₂ O-Kontrolle (log ₂)
AT4G04350_1	0,879	0,342	0,211
AT4G04360_1	1,029	0,312	0,252
AT4G04370_1	1,184	0,333	0,277
AT4G04375_1	0,999	1,072	1,246
AT4G04380_1	1,003	1,082	1,064
AT4G04390_1	1,118	1,081	1,205
AT4G04392_1	1,163	1,244	1,325
AT4G04393_1	1,141	1,419	1,548
AT4G04394_1	1,172	1,396	1,492
AT4G04395_1	1,320	1,324	1,524
AT4G04396_1	1,296	1,577	1,970
AT4G04398_1	1,033	1,150	1,151
AT4G04400_1	1,172	1,524	1,648
AT4G04402_1	1,062	0,836	0,945
AT4G04404_1	1,056	1,143	1,108
AT4G04405_1	1,021	1,256	1,589
AT4G04407_1	1,171	1,467	1,581
AT4G04408_1	1,080	0,374	0,295
AT4G04409_1	0,873	0,232	0,152
AT4G04410_1	0,930	0,640	0,276
AT4G04420_1	1,084	0,869	0,927
AT4G04423_1	1,220	1,007	0,992
AT4G04426_1	1,075	0,988	1,050
AT4G04430_1	1,077	1,343	1,278
AT4G04440_1	1,079	0,899	0,957
AT4G04450_1	1,427	0,349	0,389
AT4G04460_1	0,828	0,358	4,057
AT4G04470_1	1,087	1,300	2,495
AT4G04480_1	0,919	34,357	28,383
AT4G04490_1	0,433	10,013	21,455
AT4G04495_1	1,153	1,237	1,160
AT4G04500_1	0,865	1,990	8,587
AT4G04510_1	0,510	7,285	19,291
AT4G04520_1	1,222	1,225	1,143
AT4G04525_1	1,072	1,013	1,053
AT4G04530_1	1,121	1,222	1,144
AT4G04540_1	0,693	8,339	9,250
AT4G04545_1	1,031	1,335	1,188
AT4G04547_1	1,060	1,071	0,952
AT4G04550_1	1,340	1,288	1,313
AT4G04560_1	1,054	1,131	1,097
AT4G04570_1	0,496	1,149	0,971
AT4G04570_2	0,689	0,924	0,527
AT4G04580_1	1,019	1,110	1,243
AT4G04590_1	0,999	1,278	1,187
AT4G04600_1	1,006	1,139	0,966
AT4G04610_1	1,103	1,912	1,879
AT4G04614_1	0,831	0,887	0,836
AT4G04620_1	1,031	1,496	4,096
AT4G04620_2	1,054	1,498	6,144

AGI	NaCl-Kontrolle zur H₂O-Kontrolle (log₂)	H₂O +B.c. zur H₂O-Kontrolle (log₂)	NaCl +B.c. zur H₂O-Kontrolle (log₂)
AT4G04630_1	1,091	0,216	0,095
AT4G04632_1	1,182	1,469	1,775
AT4G04635_1	1,261	1,310	1,236
AT4G04640_1	0,991	0,725	0,419
AT4G04650_1	1,016	1,312	1,434
AT4G04655_1	1,061	1,161	1,164
AT4G04660_1	0,822	1,089	0,917
AT4G04670_1	1,091	1,002	0,405
AT4G04680_1	1,211	1,229	1,156
AT4G04690_1	0,969	1,116	1,044
AT4G04692_1	0,988	0,887	0,278
AT4G04692_2	1,002	0,910	0,246
AT4G04693_1	1,148	1,194	1,238
AT4G04695_1	0,776	0,378	0,604
AT4G04700_1	0,680	0,376	0,382
AT4G04710_1	1,015	0,928	0,951
AT4G04720_1	0,981	0,930	1,050
AT4G04730_1	1,100	1,189	1,421
AT4G04740_1	0,895	0,759	1,226
AT4G04745_1	0,497	0,497	0,370
AT4G04750_1	1,025	0,262	0,020
AT4G04760_1	1,417	0,447	0,170
AT4G04770_1	1,023	0,688	0,831
AT4G04780_1	1,116	1,085	1,590
AT4G04790_1	1,127	0,609	0,716
AT4G04800_1	0,977	1,828	3,897
AT4G04810_1	1,498	0,863	0,844
AT4G04820_1	1,371	1,599	1,714
AT4G04830_1	1,299	0,708	0,233
AT4G04840_1	0,484	1,619	0,405
AT4G04850_1	0,998	0,747	0,594
AT4G04860_1	0,899	0,916	1,243
AT4G04870_1	0,988	0,820	0,846
AT4G04880_1	0,779	0,814	1,775
AT4G04885_1	1,099	1,108	1,091
AT4G04890_1	0,989	0,541	0,187
AT4G04900_1	0,718	0,771	0,943
AT4G04910_1	1,074	0,688	0,789
AT4G04920_1	1,111	1,601	1,774
AT4G04925_1	0,960	0,744	0,605
AT4G04930_1	1,021	1,182	1,192
AT4G04940_1	1,070	2,108	1,475
AT4G04950_1	1,145	1,055	0,988
AT4G04953_1	1,048	1,211	1,420
AT4G04955_1	0,712	0,636	0,696
AT4G04957_1	0,933	0,943	0,930
AT4G04960_1	0,734	2,378	3,528
AT4G04970_1	0,942	0,490	0,625
AT4G04980_1	0,920	1,145	1,176
AT4G04985_1	0,994	1,075	1,016

AGI	NaCl-Kontrolle zur H₂O-Kontrolle (log₂)	H₂O +B.c. zur H₂O-Kontrolle (log₂)	NaCl +B.c. zur H₂O-Kontrolle (log₂)
AT4G04990_1	1,258	1,508	2,294
AT4G05000_1	0,974	0,678	1,018
AT4G05000_2	0,977	0,955	1,178
AT4G05010_1	0,561	3,081	4,421
AT4G05018_1	1,149	4,337	9,212
AT4G05020_1	0,996	13,328	15,182
AT4G05030_1	1,092	1,143	1,269
AT4G05040_1	1,079	0,740	0,625
AT4G05048_1	1,179	1,285	1,108
AT4G05049_1	1,172	1,327	2,018
AT4G05050_1	0,669	1,405	1,841
AT4G05050_2	1,181	1,200	2,720
AT4G05050_3	0,963	1,162	1,417
AT4G05053_1	1,219	1,207	1,178
AT4G05060_1	0,939	0,673	0,722
AT4G05070_1	1,043	0,497	0,632
AT4G05073_1	1,054	1,133	1,149
AT4G05076_1	1,003	1,016	0,964
AT4G05080_1	1,096	1,100	0,985
AT4G05087_1	1,457	1,661	1,809
AT4G05090_1	0,821	0,284	0,142
AT4G05091_1	0,986	1,276	1,441
AT4G05095_1	1,045	1,196	1,221
AT4G05100_1	0,845	6,614	21,579
AT4G05105_1	0,990	1,059	1,063
AT4G05110_1	0,738	0,853	1,040
AT4G05120_1	0,573	0,598	0,601
AT4G05130_1	0,847	0,783	1,024
AT4G05133_1	1,111	1,091	1,145
AT4G05140_1	0,932	0,910	0,777
AT4G05145_1	1,049	1,162	1,103
AT4G05150_1	1,057	0,588	0,740
AT4G05160_1	1,034	1,100	2,059
AT4G05170_1	0,835	0,655	0,679
AT4G05180_1	0,976	0,603	0,282
AT4G05190_1	0,591	0,184	0,110
AT4G05200_1	1,269	1,723	1,719
AT4G05210_1	1,168	0,658	0,427
AT4G05220_1	0,727	0,684	0,673
AT4G05230_1	1,042	1,114	1,220
AT4G05240_1	1,052	1,092	1,230
AT4G05250_1	1,082	1,144	1,099
AT4G05260_1	1,009	0,992	1,024
AT4G05270_1	0,959	1,231	1,240
AT4G05280_1	1,265	1,325	1,252
AT4G05290_1	1,317	1,486	1,599
AT4G05300_1	1,445	1,330	1,421
AT4G05303_1	1,264	1,474	1,716
AT4G05306_1	1,315	1,461	1,655
AT4G05310_1	1,005	1,147	1,219

AGI	NaCl-Kontrolle zur H₂O-Kontrolle (log₂)	H₂O +B.c. zur H₂O-Kontrolle (log₂)	NaCl +B.c. zur H₂O-Kontrolle (log₂)
AT4G05320_1	0,962	1,174	1,199
AT4G05320_2	0,726	1,448	3,261
AT4G05320_3	0,951	1,092	1,179
AT4G05320_5	0,943	1,180	1,272
AT4G05320_6	0,951	1,120	1,148
AT4G05330_1	1,044	0,157	0,267
AT4G05340_1	0,963	1,097	1,179
AT4G05350_1	1,148	1,162	1,427
AT4G05360_1	0,962	0,974	1,001
AT4G05370_1	1,048	1,173	1,365
AT4G05380_1	0,867	0,980	1,200
AT4G05390_1	0,913	4,396	5,470
AT4G05400_1	0,909	0,699	0,364
AT4G05400_2	0,840	0,529	0,238
AT4G05410_1	0,946	2,160	1,377
AT4G05420_1	1,091	1,026	0,968
AT4G05420_2	1,069	1,038	0,980
AT4G05430_1	0,717	0,626	0,603
AT4G05440_1	1,006	1,921	1,480
AT4G05440_2	0,979	2,026	1,529
AT4G05450_1	0,842	0,981	1,109
AT4G05460_1	0,990	1,287	1,454
AT4G05470_1	1,007	1,138	1,098
AT4G05490_1	1,073	1,341	1,364
AT4G05494_1	1,477	1,806	2,493
AT4G05495_1	1,083	1,998	1,458
AT4G05497_1	0,997	1,361	3,343
AT4G05500_1	1,000	1,097	1,180
AT4G05502_1	1,360	1,555	1,354
AT4G05505_1	1,337	1,403	1,389
AT4G05510_1	0,982	1,017	0,961
AT4G05520_1	0,991	0,164	0,068
AT4G05520_2	1,017	0,166	0,065
AT4G05523_1	1,021	1,082	1,053
AT4G05526_1	1,067	1,170	1,078
AT4G05530_1	1,066	1,222	1,920
AT4G05540_1	0,997	1,192	1,156
AT4G05550_1	1,132	1,191	0,950
AT4G05553_1	1,282	1,371	1,453
AT4G05556_1	1,522	1,604	1,444
AT4G05560_1	1,388	1,823	1,898
AT4G05570_1	1,490	1,211	1,235
AT4G05575_1	1,015	1,146	1,119
AT4G05580_1	1,035	1,251	1,210
AT4G05581_1	1,109	1,087	1,089
AT4G05582_1	1,196	1,300	1,159
AT4G05583_2	1,382	1,347	1,287
AT4G05584_1	1,041	1,065	0,916
AT4G05585_1	0,956	1,070	0,935
AT4G05586_1	1,451	1,482	1,320

AGI	NaCl-Kontrolle zur H₂O-Kontrolle (log₂)	H₂O +B.c. zur H₂O-Kontrolle (log₂)	NaCl +B.c. zur H₂O-Kontrolle (log₂)
AT4G05587_1	1,529	1,864	1,620
AT4G05588_1	1,373	1,574	1,595
AT4G05589_1	1,581	1,537	1,097
AT4G05590_1	1,017	1,640	4,640
AT4G05590_2	0,951	1,210	2,823
AT4G05591_1	1,443	1,572	1,493
AT4G05592_1	1,106	1,057	0,933
AT4G05593_1	1,200	1,350	1,293
AT4G05594_1	1,027	1,087	1,009
AT4G05595_1	1,222	1,327	1,038
AT4G05597_1	1,227	1,184	1,027
AT4G05600_1	1,431	1,432	1,191
AT4G05610_1	1,472	1,594	1,418
AT4G05612_1	1,338	1,539	1,439
AT4G05613_1	1,370	1,485	1,222
AT4G05616_1	1,184	1,574	1,901
AT4G05620_1	1,155	1,448	1,437
AT4G05630_1	1,001	1,013	1,103
AT4G05631_1	1,404	0,322	0,328
AT4G05632_1	1,161	1,406	1,407
AT4G05633_1	1,324	1,542	1,735
AT4G05634_1	1,229	1,402	1,251
AT4G05635_1	1,372	1,259	1,018
AT4G05636_1	1,203	1,308	1,156
AT4G05638_1	1,314	1,474	1,486
AT4G05640_1	1,254	1,397	1,247
AT4G05918_1	1,270	1,347	1,153
AT4G06196_1	1,011	1,264	1,250
AT4G06474_1	1,444	1,718	1,576
AT4G06477_1	1,109	1,298	1,169
AT4G06479_1	1,084	1,569	1,532
AT4G06480_2	1,160	1,373	1,300
AT4G06481_1	1,329	1,560	1,541
AT4G06482_1	1,164	1,386	1,292
AT4G06483_1	1,318	1,348	1,245
AT4G06484_1	1,243	1,616	1,430
AT4G06485_1	1,250	1,374	1,219
AT4G06486_1	1,200	1,525	1,480
AT4G06487_1	1,247	1,443	1,276
AT4G06488_1	1,151	1,286	1,330
AT4G06489_1	1,038	1,026	0,921
AT4G06490_1	1,348	1,257	1,220
AT4G06491_1	1,233	1,408	1,386
AT4G06492_1	1,293	1,855	1,579
AT4G06493_1	1,057	1,126	1,147
AT4G06495_1	1,438	1,100	1,033
AT4G06496_1	1,425	1,089	0,983
AT4G06497_1	1,003	1,111	1,144
AT4G06498_1	1,053	1,019	1,010
AT4G06499_1	1,337	1,421	1,301

AGI	NaCl-Kontrolle zur H₂O-Kontrolle (log₂)	H₂O +B.c. zur H₂O-Kontrolle (log₂)	NaCl +B.c. zur H₂O-Kontrolle (log₂)
AT4G06500_1	1,240	1,133	1,066
AT4G06501_1	1,236	1,339	1,185
AT4G06502_1	1,072	0,950	0,999
AT4G06503_1	1,149	1,216	1,108
AT4G06504_1	1,056	1,056	1,106
AT4G06505_1	1,278	1,381	1,218
AT4G06506_1	1,503	1,574	1,543
AT4G06507_1	1,284	1,371	1,204
AT4G06508_1	1,025	0,946	0,984
AT4G06509_1	1,319	1,423	1,386
AT4G06510_1	1,265	1,135	1,289
AT4G06511_1	1,405	1,598	1,415
AT4G06512_1	1,260	1,291	1,245
AT4G06513_1	1,366	1,548	1,580
AT4G06514_1	1,439	1,570	1,582
AT4G06515_1	1,125	1,221	1,081
AT4G06516_1	1,303	1,455	1,299
AT4G06517_1	1,245	1,409	1,242
AT4G06518_1	1,437	1,425	1,119
AT4G06519_1	1,230	1,075	1,016
AT4G06520_1	1,029	0,988	1,124
AT4G06521_1	1,080	0,907	0,897
AT4G06522_1	1,048	1,306	1,571
AT4G06523_1	1,127	1,065	0,952
AT4G06524_1	1,430	1,534	1,386
AT4G06525_1	0,964	1,028	0,937
AT4G06526_1	0,931	1,092	1,023
AT4G06527_1	1,059	1,232	1,092
AT4G06528_1	1,104	1,069	1,033
AT4G06529_1	1,286	1,375	1,471
AT4G06530_1	1,293	1,550	1,656
AT4G06531_1	1,361	1,552	1,344
AT4G06532_1	1,490	1,537	1,325
AT4G06533_1	1,411	1,575	1,559
AT4G06534_1	1,769	0,106	0,045
AT4G06535_1	0,979	0,974	0,895
AT4G06536_1	1,559	0,120	0,065
AT4G06537_1	1,055	0,991	0,933
AT4G06538_1	1,046	1,090	1,002
AT4G06539_1	1,253	1,250	1,146
AT4G06540_1	1,361	1,485	1,437
AT4G06541_1	1,496	1,496	1,174
AT4G06542_1	1,462	1,549	1,326
AT4G06543_1	1,378	1,456	1,385
AT4G06544_1	1,342	1,527	1,530
AT4G06545_1	1,430	1,500	1,378
AT4G06546_1	1,247	1,391	1,117
AT4G06547_1	1,115	1,087	1,050
AT4G06548_1	0,970	1,013	0,866
AT4G06549_1	1,028	1,067	1,025

AGI	NaCl-Kontrolle zur H₂O-Kontrolle (log₂)	H₂O +B.c. zur H₂O-Kontrolle (log₂)	NaCl +B.c. zur H₂O-Kontrolle (log₂)
AT4G06550_1	1,173	1,383	1,236
AT4G06551_1	1,034	1,315	1,270
AT4G06552_1	0,965	1,091	0,901
AT4G06553_1	0,979	0,947	0,902
AT4G06554_1	1,236	1,405	1,085
AT4G06555_1	1,157	1,422	1,229
AT4G06556_1	1,106	1,040	1,048
AT4G06557_1	1,028	0,988	1,141
AT4G06558_1	1,025	0,967	1,053
AT4G06559_1	1,284	1,319	1,154
AT4G06560_1	1,305	1,408	1,253
AT4G06561_1	1,347	1,540	1,475
AT4G06562_1	1,419	1,539	1,410
AT4G06563_1	1,399	1,584	1,473
AT4G06564_1	1,200	1,410	1,210
AT4G06565_1	1,040	1,240	1,508
AT4G06566_1	1,107	1,126	1,037
AT4G06567_1	0,928	0,917	0,854
AT4G06568_1	1,006	0,969	0,980
AT4G06569_1	0,982	0,984	1,034
AT4G06570_1	1,312	1,416	1,074
AT4G06571_1	1,299	1,229	1,026
AT4G06572_1	1,011	1,078	0,969
AT4G06573_1	1,308	1,480	1,365
AT4G06574_1	1,460	1,607	1,473
AT4G06575_1	1,259	1,394	1,247
AT4G06576_1	1,351	1,469	1,449
AT4G06577_1	1,635	1,523	1,435
AT4G06578_1	1,350	1,518	1,449
AT4G06579_1	1,306	1,564	1,569
AT4G06580_1	1,296	1,445	1,390
AT4G06581_1	1,481	1,429	1,300
AT4G06582_1	1,413	1,281	1,353
AT4G06583_1	1,396	1,440	1,526
AT4G06583_2	1,468	1,409	1,362
AT4G06584_1	1,259	1,317	1,393
AT4G06585_1	1,424	1,541	1,484
AT4G06586_1	1,228	1,320	1,183
AT4G06587_1	1,234	1,464	1,405
AT4G06588_1	1,028	1,028	1,022
AT4G06589_1	1,410	1,275	1,147
AT4G06590_1	1,376	1,319	1,233
AT4G06591_1	1,080	1,339	1,324
AT4G06592_1	1,113	1,213	1,108
AT4G06593_1	1,417	1,316	1,013
AT4G06594_1	1,035	0,990	0,956
AT4G06595_1	1,214	1,245	1,139
AT4G06596_1	1,505	1,648	1,543
AT4G06597_1	1,255	1,120	1,078
AT4G06598_1	0,895	0,542	0,436

AGI	NaCl-Kontrolle zur H₂O-Kontrolle (log₂)	H₂O +B.c. zur H₂O-Kontrolle (log₂)	NaCl +B.c. zur H₂O-Kontrolle (log₂)
AT4G06599_1	1,029	1,223	1,217
AT4G06600_1	1,029	1,070	1,249
AT4G06601_1	0,831	0,908	0,955
AT4G06602_1	1,070	1,372	1,283
AT4G06603_1	1,129	0,990	1,329
AT4G06604_1	1,065	1,425	1,210
AT4G06605_1	1,264	1,389	1,305
AT4G06606_1	1,243	1,314	1,306
AT4G06607_1	1,166	1,342	1,221
AT4G06608_1	1,258	1,203	1,286
AT4G06609_1	1,234	1,288	1,167
AT4G06610_1	1,062	1,126	0,894
AT4G06611_1	1,259	1,397	1,014
AT4G06612_1	0,945	0,903	0,812
AT4G06613_1	0,849	0,907	0,884
AT4G06614_1	0,990	1,000	1,003
AT4G06615_1	1,157	1,283	1,135
AT4G06617_1	1,204	1,193	1,141
AT4G06618_1	0,958	0,947	0,828
AT4G06619_1	0,932	0,837	0,941
AT4G06620_1	1,219	1,416	1,451
AT4G06621_1	1,304	1,359	1,197
AT4G06622_1	1,242	1,385	1,231
AT4G06623_1	1,407	1,550	1,374
AT4G06624_1	1,388	1,455	1,476
AT4G06625_1	1,318	1,436	1,453
AT4G06626_1	1,279	1,398	1,414
AT4G06627_1	1,237	1,215	1,515
AT4G06628_1	1,093	1,220	1,018
AT4G06629_1	1,001	1,094	0,980
AT4G06630_1	0,912	1,038	1,059
AT4G06631_1	1,083	1,311	1,253
AT4G06632_1	0,958	0,995	0,991
AT4G06633_1	1,198	1,473	1,182
AT4G06634_1	1,006	1,078	1,257
AT4G06634_2	0,933	0,703	0,724
AT4G06635_1	1,037	1,139	1,089
AT4G06636_1	1,205	1,149	1,046
AT4G06637_1	1,041	0,976	0,943
AT4G06638_1	0,987	1,080	1,058
AT4G06639_1	1,182	1,193	1,189
AT4G06640_1	1,277	1,302	1,139
AT4G06641_1	1,202	1,133	1,172
AT4G06642_1	1,215	1,154	1,000
AT4G06644_1	1,054	1,152	1,180
AT4G06646_1	1,012	0,912	0,907
AT4G06648_1	0,932	0,996	1,069
AT4G06650_1	1,085	0,974	0,906
AT4G06652_1	1,077	1,184	1,056
AT4G06654_1	1,171	1,325	1,206

AGI	NaCl-Kontrolle zur H₂O-Kontrolle (log₂)	H₂O +B.c. zur H₂O-Kontrolle (log₂)	NaCl +B.c. zur H₂O-Kontrolle (log₂)
AT4G06656_1	1,273	1,483	1,287
AT4G06658_1	1,068	1,036	0,959
AT4G06660_1	1,291	1,402	1,394
AT4G06664_1	1,355	1,559	1,361
AT4G06666_1	1,354	1,704	1,568
AT4G06668_1	1,301	1,316	1,212
AT4G06670_1	0,979	1,266	0,941
AT4G06672_1	1,041	1,332	1,158
AT4G06674_1	1,100	1,500	1,377
AT4G06676_1	0,783	1,083	2,451
AT4G06678_1	1,420	1,480	1,250
AT4G06680_1	1,670	1,726	1,468
AT4G06682_1	1,292	1,322	1,341
AT4G06684_1	1,311	1,384	1,350
AT4G06686_1	1,337	1,695	1,647
AT4G06688_1	1,318	1,521	1,515
AT4G06692_1	1,207	1,321	1,176
AT4G06694_1	1,328	1,409	1,283
AT4G06696_1	1,173	1,486	1,559
AT4G06697_1	1,009	1,116	0,954
AT4G06698_1	1,206	1,355	1,479
AT4G06699_1	1,459	1,669	1,431
AT4G06700_1	1,139	1,228	1,189
AT4G06701_1	1,013	0,652	0,579
AT4G06701_2	0,961	0,627	0,572
AT4G06701_3	0,972	0,799	0,732
AT4G06701_5	1,048	0,872	0,706
AT4G06702_1	1,187	1,309	1,208
AT4G06704_1	1,382	1,402	1,417
AT4G06708_1	1,289	1,334	0,627
AT4G06710_1	1,208	1,259	1,107
AT4G06712_1	1,325	1,574	1,393
AT4G06714_1	1,331	1,693	1,527
AT4G06716_1	1,149	1,243	1,088
AT4G06718_1	1,208	1,281	1,157
AT4G06720_1	1,289	1,464	1,301
AT4G06722_1	1,289	1,437	1,378
AT4G06724_1	1,181	1,267	1,126
AT4G06726_1	1,226	1,381	1,276
AT4G06728_1	1,181	1,267	1,105
AT4G06730_1	1,178	1,420	1,270
AT4G06732_1	1,328	1,571	1,579
AT4G06734_1	1,388	1,546	1,426
AT4G06735_1	1,189	1,621	1,417
AT4G06736_1	1,455	1,535	1,508
AT4G06738_1	1,295	1,381	1,233
AT4G06740_1	1,330	1,724	2,539
AT4G06742_1	1,583	1,695	1,587
AT4G06744_1	0,979	2,695	8,164
AT4G06746_1	0,665	5,704	4,083

AGI	NaCl-Kontrolle zur H₂O-Kontrolle (log₂)	H₂O +B.c. zur H₂O-Kontrolle (log₂)	NaCl +B.c. zur H₂O-Kontrolle (log₂)
AT4G06748_1	1,114	1,290	1,271
AT4G06750_1	1,084	1,151	1,027
AT4G06752_1	1,127	1,432	1,283
AT4G07031_1	0,919	1,021	0,813
AT4G07310_1	0,885	1,171	1,100
AT4G07315_1	1,279	1,605	1,534
AT4G07320_1	1,336	1,396	1,268
AT4G07324_1	0,933	1,008	0,990
AT4G07327_1	1,430	1,548	1,581
AT4G07330_1	1,008	1,037	1,045
AT4G07331_1	1,115	1,122	1,073
AT4G07332_1	1,036	1,166	1,025
AT4G07334_1	1,245	1,442	1,252
AT4G07336_1	1,097	1,119	1,124
AT4G07338_1	1,036	1,463	1,209
AT4G07339_1	1,317	1,380	1,262
AT4G07340_1	1,016	1,126	0,992
AT4G07350_1	1,266	1,469	1,615
AT4G07355_1	1,393	1,504	1,435
AT4G07360_1	1,173	1,077	0,863
AT4G07370_1	1,453	1,641	1,536
AT4G07380_1	1,024	1,055	1,064
AT4G07390_1	0,900	1,049	1,673
AT4G07400_1	0,979	0,484	0,147
AT4G07408_1	1,888	0,975	1,370
AT4G07410_1	1,086	1,243	0,981
AT4G07415_1	0,901	0,977	1,019
AT4G07420_1	0,980	1,166	1,024
AT4G07425_1	1,079	1,130	1,249
AT4G07430_1	0,981	1,079	1,012
AT4G07435_1	1,036	1,068	1,012
AT4G07440_1	0,947	1,192	1,191
AT4G07450_1	1,052	0,992	0,962
AT4G07452_1	1,419	1,495	1,408
AT4G07454_1	1,064	1,196	1,273
AT4G07456_1	1,316	1,636	1,515
AT4G07458_1	1,410	1,632	1,502
AT4G07460_1	1,147	1,169	1,133
AT4G07470_1	1,275	1,740	1,870
AT4G07475_1	0,935	0,970	0,900
AT4G07480_1	1,048	0,954	0,913
AT4G07485_1	1,201	1,376	1,273
AT4G07490_1	1,312	1,373	1,229
AT4G07491_1	1,246	1,340	1,219
AT4G07492_1	1,296	1,452	1,382
AT4G07493_1	1,228	1,322	1,046
AT4G07494_1	1,344	1,610	1,515
AT4G07495_1	1,281	1,218	1,110
AT4G07496_1	0,982	0,952	0,956
AT4G07498_1	1,588	1,452	1,205

AGI	NaCl-Kontrolle zur H₂O-Kontrolle (log₂)	H₂O +B.c. zur H₂O-Kontrolle (log₂)	NaCl +B.c. zur H₂O-Kontrolle (log₂)
AT4G07500_1	1,214	1,362	1,285
AT4G07502_1	1,311	1,547	1,423
AT4G07504_1	1,210	1,298	1,248
AT4G07507_1	0,938	0,888	0,900
AT4G07510_1	1,211	1,225	1,061
AT4G07515_1	1,038	0,949	0,942
AT4G07516_1	1,026	1,032	0,925
AT4G07517_1	1,160	1,142	0,908
AT4G07518_1	1,125	1,171	1,098
AT4G07519_1	1,248	1,427	1,310
AT4G07520_1	1,104	1,413	1,531
AT4G07521_1	0,945	1,020	1,145
AT4G07522_1	1,129	1,241	1,270
AT4G07523_1	1,120	1,173	1,204
AT4G07524_1	0,867	0,668	0,587
AT4G07525_1	1,302	1,162	1,051
AT4G07526_1	1,044	1,028	1,044
AT4G07526_2	1,012	0,970	1,000
AT4G07526_3	1,067	1,018	0,986
AT4G07528_1	1,223	1,442	1,435
AT4G07530_1	1,163	1,505	1,558
AT4G07540_1	1,182	1,139	1,404
AT4G07550_1	0,902	0,871	0,765
AT4G07560_1	1,300	1,464	1,379
AT4G07563_1	1,276	1,451	1,383
AT4G07566_1	1,348	1,529	1,582
AT4G07570_1	1,333	1,433	1,462
AT4G07580_1	0,970	0,899	0,940
AT4G07583_1	1,069	1,064	1,074
AT4G07586_1	1,268	1,288	1,121
AT4G07590_1	1,257	1,384	1,497
AT4G07595_1	1,451	1,545	1,549
AT4G07600_1	1,374	1,589	1,340
AT4G07605_1	1,317	1,400	1,472
AT4G07620_1	1,279	1,246	1,079
AT4G07630_1	1,337	1,575	1,492
AT4G07640_1	1,335	1,528	1,445
AT4G07650_1	1,384	1,532	1,346
AT4G07660_1	1,307	1,475	1,426
AT4G07662_1	0,961	0,926	0,896
AT4G07664_1	1,242	1,390	1,244
AT4G07666_1	1,067	1,211	1,322
AT4G07668_1	1,230	1,243	1,199
AT4G07670_1	1,663	1,585	1,047
AT4G07675_1	1,131	1,121	1,268
AT4G07680_1	1,454	1,577	1,572
AT4G07685_1	1,246	1,443	1,593
AT4G07686_1	1,232	1,307	1,352
AT4G07688_1	1,186	1,505	1,469
AT4G07690_1	1,373	1,311	1,318

AGI	NaCl-Kontrolle zur H₂O-Kontrolle (log₂)	H₂O +B.c. zur H₂O-Kontrolle (log₂)	NaCl +B.c. zur H₂O-Kontrolle (log₂)
AT4G07693_1	1,299	1,376	1,345
AT4G07696_1	1,083	1,060	0,994
AT4G07699_1	1,080	1,255	1,258
AT4G07700_1	1,042	1,064	1,019
AT4G07703_1	1,318	1,375	1,134
AT4G07706_1	1,155	1,148	1,032
AT4G07713_1	1,192	1,398	1,316
AT4G07720_1	1,144	1,085	0,941
AT4G07725_1	1,236	1,490	1,423
AT4G07730_1	1,263	1,326	1,182
AT4G07733_1	1,249	1,532	1,503
AT4G07736_1	1,351	1,492	1,531
AT4G07738_1	1,220	1,296	1,189
AT4G07740_1	1,125	1,183	1,236
AT4G07742_1	1,100	1,260	1,506
AT4G07744_1	0,987	1,177	1,270
AT4G07747_1	1,505	1,948	1,733
AT4G07750_1	1,124	1,348	1,351
AT4G07755_1	1,145	1,419	1,473
AT4G07760_1	1,216	1,306	1,283
AT4G07770_1	1,055	1,252	1,286
AT4G07780_1	1,438	1,488	1,477
AT4G07786_1	1,559	1,609	1,226
AT4G07790_1	1,052	1,143	1,069
AT4G07795_1	0,980	0,948	0,936
AT4G07800_1	0,962	0,967	0,986
AT4G07803_1	0,993	0,911	0,881
AT4G07806_1	1,031	1,133	1,048
AT4G07810_1	1,063	1,221	1,181
AT4G07812_1	1,103	1,041	0,911
AT4G07820_1	0,605	0,860	0,925
AT4G07825_1	1,134	0,706	0,344
AT4G07830_1	1,148	1,379	1,258
AT4G07840_1	1,135	1,156	1,077
AT4G07841_1	1,095	0,902	1,206
AT4G07843_1	1,042	0,996	0,875
AT4G07846_1	1,178	1,481	1,628
AT4G07850_1	0,862	1,219	1,012
AT4G07856_1	1,153	1,516	1,294
AT4G07862_1	1,083	1,146	1,030
AT4G07868_1	1,100	1,278	1,236
AT4G07869_1	0,982	0,907	1,239
AT4G07874_1	0,997	1,011	0,975
AT4G07890_1	1,102	1,358	1,131
AT4G07893_1	1,391	1,477	1,433
AT4G07896_1	1,200	1,357	1,264
AT4G07915_1	0,896	1,074	0,931
AT4G07917_1	1,152	1,524	1,408
AT4G07920_1	1,137	1,266	1,084
AT4G07931_1	1,223	1,436	1,314

AGI	NaCl-Kontrolle zur H₂O-Kontrolle (log₂)	H₂O +B.c. zur H₂O-Kontrolle (log₂)	NaCl +B.c. zur H₂O-Kontrolle (log₂)
AT4G07932_1	1,128	1,405	1,452
AT4G07933_1	0,985	1,443	1,176
AT4G07934_1	1,197	1,385	1,305
AT4G07935_1	1,036	1,273	1,295
AT4G07936_1	1,354	1,488	1,461
AT4G07937_1	1,392	1,440	1,323
AT4G07938_1	1,066	1,364	1,353
AT4G07939_1	1,302	1,459	1,273
AT4G07940_1	1,153	1,065	0,962
AT4G07941_1	1,364	1,490	1,455
AT4G07942_1	1,197	1,428	1,317
AT4G07943_1	1,321	1,469	1,506
AT4G07944_1	1,362	1,431	1,626
AT4G07945_1	1,140	1,186	1,055
AT4G07946_1	1,157	1,354	1,359
AT4G07947_1	1,242	1,241	1,166
AT4G07950_1	1,058	1,586	1,292
AT4G07960_1	0,919	0,858	0,678
AT4G07965_1	1,346	1,758	1,895
AT4G07967_1	1,025	0,992	1,039
AT4G07970_1	1,112	1,039	0,972
AT4G07990_1	1,077	1,173	1,610
AT4G08000_1	0,916	1,278	1,158
AT4G08010_1	1,130	1,151	1,082
AT4G08013_1	1,170	1,528	1,730
AT4G08016_1	1,191	1,422	1,229
AT4G08020_1	1,042	1,068	1,059
AT4G08022_1	0,975	1,048	0,980
AT4G08025_1	0,948	1,038	1,041
AT4G08028_1	1,008	1,024	0,977
AT4G08030_1	1,045	1,874	1,739
AT4G08032_1	1,027	1,346	1,562
AT4G08033_1	1,016	1,112	1,014
AT4G08034_1	1,008	1,131	0,975
AT4G08035_1	0,854	0,297	0,244
AT4G08035_2	0,902	0,452	0,449
AT4G08036_1	0,996	0,999	0,934
AT4G08038_1	1,082	1,541	1,096
AT4G08039_1	1,177	1,212	1,776
AT4G08040_1	0,357	0,547	0,338
AT4G08050_1	1,265	1,444	1,371
AT4G08053_1	1,000	1,109	1,012
AT4G08054_1	1,135	1,221	1,279
AT4G08056_1	1,228	1,385	1,267
AT4G08060_1	1,147	1,337	1,471
AT4G08070_1	1,128	1,110	1,117
AT4G08071_1	0,990	1,101	1,075
AT4G08072_1	1,435	1,381	1,044
AT4G08073_1	1,085	1,153	1,103
AT4G08074_1	1,191	1,539	1,496

AGI	NaCl-Kontrolle zur H₂O-Kontrolle (log₂)	H₂O +B.c. zur H₂O-Kontrolle (log₂)	NaCl +B.c. zur H₂O-Kontrolle (log₂)
AT4G08076_1	1,025	1,027	1,051
AT4G08078_1	1,277	1,675	1,546
AT4G08080_1	1,447	1,414	1,088
AT4G08090_1	1,156	1,255	1,501
AT4G08091_1	1,112	1,531	1,435
AT4G08092_1	1,072	0,939	0,874
AT4G08093_1	0,971	1,061	1,077
AT4G08094_1	1,163	1,317	1,420
AT4G08095_1	0,997	1,277	1,081
AT4G08096_1	1,114	1,400	1,132
AT4G08097_1	1,070	1,087	0,990
AT4G08098_1	1,283	1,605	1,509
AT4G08099_1	1,297	1,496	1,493
AT4G08100_1	1,122	1,243	1,135
AT4G08101_1	1,116	1,376	1,213
AT4G08102_1	1,171	1,389	1,233
AT4G08103_1	1,372	1,592	1,634
AT4G08104_1	1,437	1,709	1,401
AT4G08105_1	1,166	1,472	1,268
AT4G08106_1	0,975	1,363	1,436
AT4G08107_1	1,055	1,261	1,182
AT4G08108_1	1,043	1,309	1,264
AT4G08109_1	1,151	1,337	1,270
AT4G08110_1	1,091	0,694	0,709
AT4G08111_1	1,186	1,069	1,063
AT4G08112_1	1,168	1,285	1,239
AT4G08113_1	1,429	1,381	1,386
AT4G08114_1	1,178	1,435	1,386
AT4G08115_1	1,258	1,384	1,272
AT4G08116_1	1,129	1,024	0,736
AT4G08120_1	1,081	1,097	1,007
AT4G08130_1	1,169	1,633	1,358
AT4G08131_1	1,415	1,576	1,477
AT4G08132_1	1,373	1,625	1,570
AT4G08134_1	1,275	1,409	1,336
AT4G08135_1	1,474	1,618	1,465
AT4G08136_1	1,005	1,105	1,189
AT4G08138_1	1,180	1,443	1,287
AT4G08140_1	1,197	0,900	1,004
AT4G08145_1	0,920	1,265	1,137
AT4G08150_1	1,143	1,157	1,111
AT4G08151_1	1,370	1,270	1,609
AT4G08160_1	0,800	0,424	0,307
AT4G08160_2	0,737	0,397	0,228
AT4G08170_1	1,062	1,820	1,425
AT4G08170_2	1,005	1,956	1,509
AT4G08176_1	1,043	1,396	1,504
AT4G08180_1	0,971	2,219	2,340
AT4G08190_1	1,122	1,515	1,421
AT4G08200_1	1,007	1,163	1,178

AGI	NaCl-Kontrolle zur H₂O-Kontrolle (log₂)	H₂O +B.c. zur H₂O-Kontrolle (log₂)	NaCl +B.c. zur H₂O-Kontrolle (log₂)
AT4G08210_1	1,207	0,723	0,806
AT4G08220_1	0,879	1,318	1,368
AT4G08230_1	0,843	1,695	2,230
AT4G08240_1	0,949	0,653	0,822
AT4G08240_2	0,859	0,485	0,719
AT4G08250_1	1,092	0,708	0,993
AT4G08260_1	1,122	5,073	4,146
AT4G08262_1	0,885	1,299	1,355
AT4G08263_1	1,099	1,311	1,574
AT4G08263_2	1,142	0,960	0,829
AT4G08264_1	0,995	1,131	1,057
AT4G08267_1	1,012	1,072	1,034
AT4G08270_1	0,992	1,081	1,074
AT4G08275_1	1,010	0,979	0,864
AT4G08280_1	0,908	0,754	0,678
AT4G08290_1	0,534	1,613	5,568
AT4G08290_2	0,840	0,971	1,703
AT4G08300_1	0,226	1,111	2,600
AT4G08310_1	1,105	0,564	0,570
AT4G08320_1	0,956	1,645	2,135
AT4G08320_2	0,941	1,707	2,122
AT4G08330_1	0,916	1,036	1,172
AT4G08333_1	1,264	1,412	1,255
AT4G08336_1	1,571	1,672	1,910
AT4G08340_1	0,978	1,089	1,088
AT4G08345_1	0,688	0,849	0,643
AT4G08347_1	1,054	1,166	1,125
AT4G08350_1	1,059	1,040	1,029
AT4G08351_1	0,969	1,079	1,090
AT4G08360_1	1,475	1,460	1,241
AT4G08370_1	1,266	1,324	1,214
AT4G08375_1	1,124	1,303	1,501
AT4G08380_1	1,199	1,256	1,447
AT4G08390_1	1,006	1,088	1,349
AT4G08390_3	1,051	1,010	1,268
AT4G08395_1	0,937	1,187	1,092
AT4G08400_1	1,290	1,655	1,747
AT4G08405_1	0,949	0,959	0,941
AT4G08406_1	1,592	2,068	2,201
AT4G08410_1	1,335	1,480	1,415
AT4G08420_1	1,044	1,127	1,038
AT4G08430_1	1,162	5,231	22,362
AT4G08450_1	1,119	1,235	1,241
AT4G08455_1	1,039	1,199	1,658
AT4G08460_1	0,926	1,140	1,048
AT4G08460_2	0,916	1,183	1,040
AT4G08470_1	0,867	0,658	0,911
AT4G08480_1	0,999	0,936	1,074
AT4G08485_1	1,018	1,062	1,026
AT4G08490_1	1,198	1,195	1,007

AGI	NaCl-Kontrolle zur H₂O-Kontrolle (log₂)	H₂O +B.c. zur H₂O-Kontrolle (log₂)	NaCl +B.c. zur H₂O-Kontrolle (log₂)
AT4G08500_1	0,955	1,782	1,781
AT4G08510_1	1,057	2,108	2,129
AT4G08520_1	0,938	0,585	0,682
AT4G08530_1	0,956	1,066	1,246
AT4G08540_1	1,055	0,663	0,845
AT4G08550_1	1,006	1,124	1,038
AT4G08555_1	1,118	6,280	17,287
AT4G08560_1	0,943	0,959	1,009
AT4G08570_1	2,869	0,353	0,343
AT4G08580_1	0,985	1,030	1,250
AT4G08590_1	1,127	0,637	0,177
AT4G08590_2	1,088	0,611	0,198
AT4G08593_1	1,274	1,543	1,657
AT4G08596_1	1,060	1,153	1,097
AT4G08598_1	0,950	1,026	1,126
AT4G08599_1	1,134	1,230	1,136
AT4G08600_1	1,319	1,710	1,746
AT4G08602_1	1,113	1,150	1,172
AT4G08610_1	1,061	1,271	1,261
AT4G08620_1	1,003	1,180	1,289
AT4G08630_1	0,913	0,915	0,911
AT4G08640_1	1,019	1,026	1,008
AT4G08645_1	1,085	1,112	1,058
AT4G08650_1	1,423	1,555	1,422
AT4G08652_1	1,232	1,186	1,111
AT4G08655_1	1,253	1,181	1,242
AT4G08657_1	1,304	1,395	1,337
AT4G08660_1	1,142	1,394	1,275
AT4G08670_1	1,281	1,539	1,782
AT4G08680_1	0,896	1,246	1,220
AT4G08685_1	0,927	0,292	0,052
AT4G08690_1	0,979	0,703	0,966
AT4G08691_1	1,033	1,264	1,291
AT4G08695_1	1,056	1,350	1,072
AT4G08700_1	0,845	0,445	0,324
AT4G08710_1	0,972	1,103	0,896
AT4G08720_1	1,205	1,145	1,212
AT4G08730_1	1,019	1,110	1,141
AT4G08740_1	1,128	1,402	1,348
AT4G08750_1	1,033	1,045	1,016
AT4G08760_1	1,287	1,356	1,307
AT4G08765_1	1,051	1,107	1,077
AT4G08770_1	0,853	244,585	244,354
AT4G08780_1	1,002	82,503	84,304
AT4G08790_1	1,052	0,778	0,451
AT4G08800_1	1,156	1,108	1,274
AT4G08810_1	0,906	0,866	0,802
AT4G08820_1	1,176	1,273	1,469
AT4G08830_1	1,106	1,340	1,309
AT4G08840_1	0,900	1,053	1,044

AGI	NaCl-Kontrolle zur H₂O-Kontrolle (log₂)	H₂O +B.c. zur H₂O-Kontrolle (log₂)	NaCl +B.c. zur H₂O-Kontrolle (log₂)
AT4G08850_1	0,678	1,052	1,053
AT4G08850_2	0,765	1,046	1,038
AT4G08860_1	1,001	1,492	1,896
AT4G08867_1	0,925	1,349	1,229
AT4G08868_1	1,146	1,601	1,998
AT4G08869_1	0,954	0,962	0,939
AT4G08870_1	0,998	1,279	1,287
AT4G08870_2	0,988	1,427	1,394
AT4G08871_1	1,043	1,067	1,090
AT4G08872_1	1,133	1,247	0,970
AT4G08873_1	1,227	1,133	1,023
AT4G08874_1	1,053	0,720	0,766
AT4G08875_1	1,143	1,020	1,054
AT4G08876_1	0,971	1,006	0,962
AT4G08878_1	1,444	2,081	1,552
AT4G08880_1	1,349	1,460	1,408
AT4G08890_1	1,251	1,516	1,697
AT4G08895_1	1,109	1,285	1,263
AT4G08900_1	1,144	1,196	1,583
AT4G08910_1	0,411	0,229	0,243
AT4G08920_1	0,981	0,592	0,472
AT4G08930_1	0,850	1,714	2,181
AT4G08940_1	0,930	1,087	0,844
AT4G08945_1	0,969	0,942	0,976
AT4G08950_1	0,621	2,814	1,704
AT4G08953_1	1,057	1,149	1,222
AT4G08960_1	0,989	1,454	1,516
AT4G08970_1	1,303	1,573	2,012
AT4G08980_1	1,085	0,723	0,723
AT4G08980_2	0,998	0,611	0,504
AT4G08980_3	1,092	0,717	0,711
AT4G08980_4	1,058	0,799	0,769
AT4G08980_5	1,102	0,758	0,720
AT4G08990_1	0,924	0,766	0,692
AT4G08991_1	0,937	0,725	0,630
AT4G08995_1	1,102	1,228	1,144
AT4G09000_1	0,905	0,920	1,004
AT4G09000_2	0,891	0,299	0,355
AT4G09010_1	1,007	0,308	0,051
AT4G09012_1	1,218	0,522	0,384
AT4G09020_1	1,212	0,187	0,288
AT4G09030_1	0,644	5,293	8,200
AT4G09040_1	0,962	0,380	0,097
AT4G09040_2	0,990	0,411	0,113
AT4G09060_1	0,932	0,901	1,113
AT4G09070_1	1,118	1,140	1,396
AT4G09080_1	1,249	0,883	0,709
AT4G09090_1	1,032	1,077	1,204
AT4G09100_1	1,080	1,154	1,895
AT4G09110_1	1,126	1,216	1,266

AGI	NaCl-Kontrolle zur H₂O-Kontrolle (log₂)	H₂O +B.c. zur H₂O-Kontrolle (log₂)	NaCl +B.c. zur H₂O-Kontrolle (log₂)
AT4G09120_1	1,090	1,415	1,599
AT4G09130_1	1,169	1,366	2,132
AT4G09140_1	1,094	0,771	0,595
AT4G09143_1	1,053	1,082	1,126
AT4G09146_1	1,169	1,276	1,312
AT4G09150_1	0,959	0,901	1,066
AT4G09153_1	1,000	1,168	1,179
AT4G09160_1	0,694	0,518	0,093
AT4G09170_1	1,172	1,372	1,369
AT4G09180_1	1,105	0,918	1,577
AT4G09190_1	1,020	1,070	1,029
AT4G09200_1	1,018	0,513	0,609
AT4G09205_1	1,208	1,296	1,416
AT4G09210_1	1,202	1,731	2,237
AT4G09220_1	1,149	1,366	1,572
AT4G09230_1	1,141	1,332	1,500
AT4G09250_1	1,062	0,501	0,622
AT4G09255_1	1,175	1,316	1,601
AT4G09280_1	1,303	1,446	1,683
AT4G09290_1	1,245	1,331	1,483
AT4G09300_1	1,051	2,012	6,749
AT4G09313_1	1,125	1,295	1,484
AT4G09316_1	0,975	1,121	1,021
AT4G09320_1	0,889	0,781	0,648
AT4G09340_1	0,953	0,973	1,604
AT4G09350_1	1,013	0,745	0,522
AT4G09360_1	1,275	1,320	1,667
AT4G09370_1	1,230	1,471	1,709
AT4G09380_1	1,457	1,434	1,464
AT4G09390_1	1,271	1,394	1,536
AT4G09400_1	1,330	1,443	1,508
AT4G09410_1	1,123	1,122	0,933
AT4G09420_1	0,632	1,846	0,644
AT4G09425_1	1,044	1,067	1,080
AT4G09430_1	1,016	0,737	0,869
AT4G09440_1	1,068	1,125	1,145
AT4G09450_1	1,129	1,256	1,254
AT4G09452_1	1,126	1,246	1,233
AT4G09460_1	0,784	0,764	1,279
AT4G09462_1	1,058	1,068	1,062
AT4G09464_1	1,017	0,987	1,108
AT4G09465_1	1,026	0,963	1,003
AT4G09466_1	1,094	0,989	0,968
AT4G09468_1	1,110	1,308	1,374
AT4G09470_1	1,117	1,172	1,225
AT4G09480_1	1,008	0,679	0,612
AT4G09490_1	1,024	0,654	0,921
AT4G09500_1	1,174	0,321	0,336
AT4G09500_2	1,046	0,204	0,227
AT4G09510_1	0,719	0,480	0,206

AGI	NaCl-Kontrolle zur H₂O-Kontrolle (log₂)	H₂O +B.c. zur H₂O-Kontrolle (log₂)	NaCl +B.c. zur H₂O-Kontrolle (log₂)
AT4G09510_2	0,999	0,993	0,839
AT4G09520_1	0,939	0,883	0,923
AT4G09530_1	1,055	1,090	1,076
AT4G09540_1	0,967	0,940	0,899
AT4G09545_1	0,855	0,978	0,880
AT4G09550_1	0,891	0,242	0,117
AT4G09560_1	0,905	0,705	0,675
AT4G09565_1	0,948	1,017	0,988
AT4G09570_1	0,785	1,047	0,999
AT4G09580_1	0,960	0,914	1,549
AT4G09584_1	1,321	1,495	1,656
AT4G09587_1	1,283	1,592	1,640
AT4G09590_1	1,142	1,040	0,689
AT4G09595_1	1,182	1,044	1,076
AT4G09600_1	1,297	1,287	1,599
AT4G09610_1	1,096	1,214	1,453
AT4G09620_1	0,928	0,417	0,414
AT4G09625_1	1,026	1,351	1,401
AT4G09630_1	0,992	0,538	0,813
AT4G09640_1	0,980	0,365	0,147
AT4G09644_1	1,075	1,201	1,215
AT4G09647_1	0,980	1,018	1,027
AT4G09649_1	1,247	1,477	1,590
AT4G09650_1	0,903	0,573	0,230
AT4G09660_1	1,047	1,265	1,181
AT4G09670_1	1,121	0,815	0,429
AT4G09680_1	1,078	0,966	1,274
AT4G09680_2	1,215	1,064	1,316
AT4G09690_1	1,021	1,021	1,159
AT4G09700_1	1,105	1,245	1,361
AT4G09710_1	1,230	1,133	1,152
AT4G09720_1	0,769	0,885	1,123
AT4G09720_2	0,687	0,214	0,313
AT4G09720_3	1,051	1,081	0,879
AT4G09730_1	1,023	0,543	0,286
AT4G09731_1	0,907	1,124	1,050
AT4G09740_1	1,138	1,900	8,823
AT4G09745_1	0,999	1,202	1,202
AT4G09750_1	1,619	4,225	7,327
AT4G09760_1	0,876	0,469	0,600
AT4G09760_3	0,750	0,105	0,120
AT4G09770_1	1,005	1,015	0,975
AT4G09775_1	0,925	1,198	0,962
AT4G09780_1	0,988	1,042	1,068
AT4G09784_1	1,067	0,886	1,207
AT4G09790_1	1,138	1,168	1,033
AT4G09795_1	1,742	2,186	2,583
AT4G09800_1	1,072	0,984	0,762
AT4G09810_1	0,944	0,454	0,308
AT4G09820_1	1,599	0,822	0,816

AGI	NaCl-Kontrolle zur H₂O-Kontrolle (log₂)	H₂O +B.c. zur H₂O-Kontrolle (log₂)	NaCl +B.c. zur H₂O-Kontrolle (log₂)
AT4G09830_1	1,110	1,142	1,220
AT4G09840_1	1,013	0,880	1,014
AT4G09840_2	0,796	0,606	0,718
AT4G09850_1	1,048	1,162	1,153
AT4G09860_1	1,211	1,255	1,015
AT4G09870_1	0,970	1,008	0,998
AT4G09875_1	1,281	1,542	1,501
AT4G09880_1	0,901	1,195	1,021
AT4G09890_1	1,117	0,779	0,212
AT4G09900_1	1,049	0,950	0,733
AT4G09920_1	0,951	0,432	0,373
AT4G09930_1	0,945	1,174	1,064
AT4G09940_1	1,006	1,144	1,202
AT4G09950_1	0,464	0,165	0,214
AT4G09960_1	1,117	1,100	1,241
AT4G09960_2	1,174	1,139	1,266
AT4G09960_3	1,041	1,039	1,040
AT4G09965_1	1,081	1,165	1,428
AT4G09970_1	0,851	0,683	0,595
AT4G09970_2	0,768	0,520	0,380
AT4G09980_1	1,063	1,039	1,076
AT4G09980_2	1,060	1,011	1,035
AT4G09984_1	1,041	1,023	1,024
AT4G09987_1	1,244	1,311	1,391
AT4G09990_1	0,688	0,373	0,414
AT4G10000_1	0,684	0,491	1,247
AT4G10000_2	1,110	0,537	0,798
AT4G10010_1	1,089	1,114	1,148
AT4G10020_1	1,139	1,108	1,012
AT4G10030_1	1,003	0,984	0,560
AT4G10040_1	0,778	5,131	6,366
AT4G10050_1	1,056	0,758	1,191
AT4G10060_1	0,960	0,614	0,712
AT4G10070_1	1,284	1,189	1,153
AT4G10080_1	1,102	0,590	0,609
AT4G10090_1	0,878	0,747	0,962
AT4G10100_1	0,879	1,365	1,464
AT4G10100_2	0,892	1,391	1,471
AT4G10110_1	0,903	0,904	1,728
AT4G10112_1	1,553	2,375	2,898
AT4G10115_1	1,095	1,156	1,086
AT4G10120_1	1,442	0,826	1,068
AT4G10130_1	0,844	1,140	1,644
AT4G10140_1	0,751	1,368	2,632
AT4G10150_1	0,902	0,362	0,089
AT4G10160_1	0,921	0,248	0,148
AT4G10170_1	0,946	1,042	0,933
AT4G10170_2	0,822	0,875	0,752
AT4G10180_1	1,060	0,751	0,574
AT4G10190_1	1,045	1,074	1,113

AGI	NaCl-Kontrolle zur H₂O-Kontrolle (log₂)	H₂O +B.c. zur H₂O-Kontrolle (log₂)	NaCl +B.c. zur H₂O-Kontrolle (log₂)
AT4G10200_1	0,926	0,925	0,881
AT4G10201_1	1,058	1,219	1,102
AT4G10210_1	0,961	1,047	1,047
AT4G10220_1	1,006	1,109	1,149
AT4G10230_1	0,850	0,953	0,865
AT4G10240_1	0,943	0,962	0,932
AT4G10250_1	0,959	1,182	8,303
AT4G10260_1	1,164	1,279	1,372
AT4G10265_1	1,061	1,110	1,198
AT4G10270_1	1,276	1,463	1,465
AT4G10280_1	0,930	0,519	0,477
AT4G10290_1	0,934	1,386	12,992
AT4G10300_1	0,950	0,436	0,282
AT4G10310_1	0,682	0,720	0,413
AT4G10320_1	1,052	0,932	0,879
AT4G10330_1	0,993	0,886	1,081
AT4G10340_1	1,009	0,703	0,277
AT4G10345_1	1,037	1,232	1,218
AT4G10350_1	1,003	1,657	1,385
AT4G10360_1	0,994	1,333	1,524
AT4G10360_2	0,893	1,372	2,912
AT4G10370_1	0,945	1,021	0,997
AT4G10380_1	0,888	2,760	4,456
AT4G10390_1	0,789	9,216	3,850
AT4G10400_1	0,964	0,721	0,243
AT4G10410_1	1,327	0,874	0,589
AT4G10414_1	1,473	1,988	1,855
AT4G10420_1	0,970	0,409	0,284
AT4G10430_1	0,995	1,485	1,544
AT4G10430_2	1,055	1,472	1,551
AT4G10430_3	0,906	1,034	1,355
AT4G10440_1	1,624	0,709	0,275
AT4G10450_1	0,986	1,128	0,767
AT4G10457_1	0,966	1,149	1,158
AT4G10460_1	1,078	1,044	1,197
AT4G10465_1	1,059	1,075	1,182
AT4G10470_1	0,977	0,345	0,136
AT4G10480_1	0,920	0,976	0,834
AT4G10480_2	0,924	0,978	0,842
AT4G10490_1	1,102	1,219	1,321
AT4G10500_1	1,086	1,771	5,079
AT4G10507_1	0,994	1,012	1,063
AT4G10510_1	1,125	1,374	2,182
AT4G10520_1	1,006	1,218	1,375
AT4G10530_1	1,142	1,647	1,782
AT4G10540_1	1,066	2,100	2,077
AT4G10550_1	0,989	0,984	0,854
AT4G10550_2	0,968	0,904	0,884
AT4G10560_1	0,989	1,236	1,205
AT4G10570_1	1,075	1,519	1,821

AGI	NaCl-Kontrolle zur H₂O-Kontrolle (log₂)	H₂O +B.c. zur H₂O-Kontrolle (log₂)	NaCl +B.c. zur H₂O-Kontrolle (log₂)
AT4G10580_1	1,175	1,450	1,336
AT4G10590_1	1,079	1,894	2,391
AT4G10590_2	1,065	1,950	2,402
AT4G10595_1	1,175	1,479	1,780
AT4G10596_1	1,106	1,300	1,322
AT4G10600_1	0,938	0,568	0,588
AT4G10603_1	1,011	1,134	1,144
AT4G10610_1	0,999	1,551	1,540
AT4G10610_2	0,906	1,230	1,735
AT4G10613_1	0,954	1,128	1,063
AT4G10620_1	1,010	1,821	1,011
AT4G10630_1	0,892	0,562	0,444
AT4G10640_1	0,922	0,952	0,891
AT4G10650_1	1,174	0,455	0,338
AT4G10655_1	1,127	1,323	1,503
AT4G10660_1	1,023	0,926	0,899
AT4G10670_1	1,264	1,368	1,367
AT4G10680_1	0,992	1,118	1,338
AT4G10690_1	0,963	0,990	0,961
AT4G10695_1	1,042	0,812	0,692
AT4G10700_1	1,090	1,112	1,276
AT4G10710_1	1,029	1,048	1,165
AT4G10720_1	1,015	1,170	1,987
AT4G10720_2	1,016	1,171	1,766
AT4G10730_1	0,989	0,722	0,933
AT4G10740_1	1,054	1,110	1,127
AT4G10750_1	1,049	1,110	1,061
AT4G10760_1	1,138	1,251	0,842
AT4G10767_1	1,126	1,173	1,287
AT4G10770_1	1,001	0,868	0,679
AT4G10780_1	0,925	1,025	0,936
AT4G10790_1	1,020	0,845	0,998
AT4G10800_1	0,843	0,444	0,263
AT4G10810_1	0,788	1,083	1,114
AT4G10820_1	1,010	1,062	1,086
AT4G10830_1	0,941	1,192	1,106
AT4G10840_1	0,927	0,796	0,757
AT4G10840_2	0,947	0,809	0,753
AT4G10845_1	1,292	1,059	1,283
AT4G10850_1	0,973	1,044	1,102
AT4G10860_1	0,902	1,419	1,260
AT4G10865_1	1,124	1,121	1,118
AT4G10870_1	1,014	1,016	1,035
AT4G10880_1	1,071	1,106	1,129
AT4G10890_1	1,067	0,407	0,285
AT4G10895_1	1,082	1,134	1,095
AT4G10910_1	0,978	0,965	0,964
AT4G10920_1	0,940	0,477	0,482
AT4G10920_2	0,924	0,624	0,690
AT4G10925_1	0,930	0,979	1,288

AGI	NaCl-Kontrolle zur H₂O-Kontrolle (log₂)	H₂O +B.c. zur H₂O-Kontrolle (log₂)	NaCl +B.c. zur H₂O-Kontrolle (log₂)
AT4G10930_1	1,090	1,022	1,458
AT4G10940_1	1,112	0,918	1,766
AT4G10950_1	1,132	1,182	1,286
AT4G10955_1	0,698	0,145	0,431
AT4G10970_1	0,757	1,061	1,022
AT4G10970_2	0,766	1,080	1,079
AT4G10970_3	0,866	0,897	0,937
AT4G10970_4	0,846	1,075	1,126
AT4G10970_5	0,784	1,037	1,034
AT4G10970_6	0,849	0,426	0,628
AT4G10980_1	1,084	1,098	1,121
AT4G10990_1	0,896	1,063	1,229
AT4G11000_1	0,504	0,537	0,381
AT4G11010_1	0,960	0,652	0,771
AT4G11020_1	1,051	1,255	1,172
AT4G11030_1	1,138	1,485	1,704
AT4G11040_1	1,096	1,167	1,377
AT4G11050_1	1,129	1,022	0,996
AT4G11060_1	0,985	0,874	0,457
AT4G11070_1	1,026	5,320	13,021
AT4G11070_2	0,685	3,123	3,577
AT4G11080_1	1,031	0,554	0,570
AT4G11090_1	0,981	0,748	0,524
AT4G11100_1	0,860	0,309	0,255
AT4G11100_2	1,176	1,289	1,177
AT4G11110_1	1,134	0,917	1,000
AT4G11120_1	1,197	0,750	0,714
AT4G11130_1	1,329	0,455	0,340
AT4G11140_1	0,905	1,117	0,886
AT4G11150_1	1,011	0,994	1,207
AT4G11160_1	1,049	1,184	1,258
AT4G11170_1	0,929	10,730	33,400
AT4G11175_1	0,766	0,417	0,416
AT4G11180_1	0,947	1,137	1,297
AT4G11190_1	0,884	0,959	0,952
AT4G11200_1	1,052	1,389	1,353
AT4G11210_1	1,005	1,048	1,128
AT4G11211_1	0,782	0,220	0,170
AT4G11220_1	1,020	1,712	2,005
AT4G11230_1	1,037	0,961	1,025
AT4G11240_1	0,967	1,503	1,125
AT4G11250_1	1,089	1,251	1,261
AT4G11260_1	0,930	0,972	1,016
AT4G11270_1	1,064	0,939	0,969
AT4G11280_1	1,001	6,639	6,310
AT4G11290_1	0,243	1,610	0,079
AT4G11300_1	0,854	0,776	1,009
AT4G11310_1	1,236	6,064	3,698
AT4G11320_1	1,308	5,284	1,794
AT4G11330_1	0,779	2,198	2,162

AGI	NaCl-Kontrolle zur H₂O-Kontrolle (log₂)	H₂O +B.c. zur H₂O-Kontrolle (log₂)	NaCl +B.c. zur H₂O-Kontrolle (log₂)
AT4G11340_1	1,006	1,059	1,024
AT4G11350_1	1,390	15,274	23,695
AT4G11350_2	0,975	1,221	1,685
AT4G11355_1	0,954	1,044	1,353
AT4G11360_1	0,881	1,459	1,629
AT4G11370_1	1,143	3,677	3,693
AT4G11375_1	1,211	1,342	1,219
AT4G11380_1	1,009	1,019	1,146
AT4G11385_1	1,218	1,172	1,156
AT4G11390_1	0,950	0,979	1,146
AT4G11393_1	0,965	1,113	1,193
AT4G11400_1	1,113	0,666	0,686
AT4G11410_1	1,016	0,904	0,850
AT4G11420_1	1,067	1,115	0,930
AT4G11430_1	1,559	1,599	1,482
AT4G11440_1	0,992	0,943	0,621
AT4G11450_1	0,933	0,437	0,306
AT4G11460_1	0,964	1,752	1,505
AT4G11470_1	0,337	1,382	2,213
AT4G11480_1	0,867	6,216	13,767
AT4G11485_1	1,000	1,015	1,115
AT4G11490_1	0,942	0,975	1,118
AT4G11500_1	0,993	4,863	2,156
AT4G11510_1	1,359	1,704	1,831
AT4G11521_1	0,550	2,705	2,234
AT4G11530_1	0,747	0,495	0,428
AT4G11540_1	1,000	1,019	1,139
AT4G11550_1	0,996	0,716	0,679
AT4G11560_1	1,071	1,072	1,376
AT4G11570_1	1,046	0,964	1,105
AT4G11570_2	1,012	0,933	1,196
AT4G11580_1	0,991	1,018	1,173
AT4G11590_1	0,931	0,968	1,204
AT4G11600_1	1,225	0,727	1,250
AT4G11610_1	1,186	1,458	1,601
AT4G11630_1	0,987	0,639	0,522
AT4G11640_1	0,916	0,470	0,417
AT4G11642_1	1,245	1,358	1,710
AT4G11650_1	1,297	147,222	202,677
AT4G11653_1	0,944	1,072	1,221
AT4G11655_1	1,165	1,293	1,702
AT4G11660_1	0,960	3,253	3,542
AT4G11670_1	1,129	1,691	2,163
AT4G11680_1	0,998	0,752	0,923
AT4G11690_1	1,196	0,532	0,398
AT4G11700_1	1,268	0,707	0,625
AT4G11710_1	1,215	1,598	1,946
AT4G11720_1	1,077	1,240	1,337
AT4G11730_1	1,333	1,379	1,112
AT4G11740_1	1,073	0,927	1,372

AGI	NaCl-Kontrolle zur H₂O-Kontrolle (log₂)	H₂O +B.c. zur H₂O-Kontrolle (log₂)	NaCl +B.c. zur H₂O-Kontrolle (log₂)
AT4G11745_1	1,023	1,032	1,117
AT4G11750_1	1,011	1,056	1,108
AT4G11760_1	1,014	1,086	1,096
AT4G11770_1	1,061	1,269	1,458
AT4G11780_1	0,961	0,911	0,956
AT4G11790_1	1,073	1,207	1,226
AT4G11800_1	0,945	1,221	1,561
AT4G11810_1	1,090	0,672	0,592
AT4G11820_1	0,986	0,845	0,741
AT4G11830_1	0,796	1,239	1,205
AT4G11840_1	0,846	1,189	1,474
AT4G11845_1	0,971	0,705	0,909
AT4G11850_1	0,797	1,323	1,346
AT4G11860_1	0,977	1,096	1,420
AT4G11870_1	1,455	1,601	1,536
AT4G11876_1	1,079	1,074	1,072
AT4G11880_1	1,146	0,982	1,266
AT4G11890_1	0,367	1,123	2,625
AT4G11890_2	1,040	1,038	1,090
AT4G11890_3	0,372	1,094	2,588
AT4G11890_4	0,361	1,082	2,474
AT4G11900_1	0,971	0,323	0,326
AT4G11910_1	1,004	7,340	54,916
AT4G11911_1	1,369	1,517	2,011
AT4G11920_1	0,890	1,185	1,345
AT4G11930_1	0,949	1,168	1,177
AT4G11940_1	1,018	1,329	1,231
AT4G11945_1	1,278	1,330	1,459
AT4G11950_1	1,010	0,890	0,928
AT4G11960_1	1,265	1,006	1,683
AT4G11970_1	0,902	0,383	0,435
AT4G11970_2	0,980	0,620	0,638
AT4G11980_1	0,960	0,513	0,545
AT4G11990_1	1,067	0,727	1,036
AT4G12000_1	0,878	1,017	1,574
AT4G12005_1	0,909	0,716	0,756
AT4G12010_1	0,926	0,876	1,097
AT4G12020_1	0,902	0,601	0,735
AT4G12020_2	1,030	0,734	1,021
AT4G12020_3	0,989	0,740	1,016
AT4G12030_1	1,031	0,309	0,030
AT4G12030_2	0,952	0,165	0,034
AT4G12040_1	0,933	1,747	1,760
AT4G12040_2	1,094	1,412	2,202
AT4G12050_1	1,016	1,019	0,957
AT4G12060_1	0,966	0,501	0,705
AT4G12070_1	1,017	1,256	1,382
AT4G12080_1	1,215	3,876	11,670
AT4G12090_1	0,583	2,335	7,399
AT4G12100_1	0,966	0,981	1,016

AGI	NaCl-Kontrolle zur H₂O-Kontrolle (log₂)	H₂O +B.c. zur H₂O-Kontrolle (log₂)	NaCl +B.c. zur H₂O-Kontrolle (log₂)
AT4G12110_1	0,977	0,847	0,817
AT4G12120_1	0,945	2,660	3,465
AT4G12130_1	1,185	2,906	5,516
AT4G12135_1	1,067	0,917	0,943
AT4G12140_1	0,936	1,123	1,166
AT4G12150_1	0,909	1,037	1,134
AT4G12160_1	1,072	1,039	1,057
AT4G12170_1	0,973	1,141	1,354
AT4G12180_1	1,073	1,207	1,400
AT4G12190_1	0,978	1,134	1,197
AT4G12200_1	1,068	0,801	0,765
AT4G12210_1	1,366	1,497	2,090
AT4G12220_1	1,059	1,110	1,490
AT4G12230_1	1,024	1,009	1,197
AT4G12240_1	0,788	1,257	1,173
AT4G12250_1	1,032	1,495	2,112
AT4G12260_1	1,088	1,134	1,054
AT4G12270_1	1,390	1,635	1,723
AT4G12275_1	1,084	1,675	2,058
AT4G12280_1	1,725	1,874	1,699
AT4G12290_1	1,512	1,764	2,577
AT4G12300_1	1,069	1,709	2,311
AT4G12310_1	1,128	0,975	0,195
AT4G12320_1	1,037	0,619	0,109
AT4G12330_1	0,978	0,827	0,897
AT4G12334_1	1,193	1,261	1,078
AT4G12340_1	0,997	1,205	1,649
AT4G12350_1	1,146	1,364	1,565
AT4G12360_1	1,101	1,148	1,247
AT4G12370_1	1,019	0,997	1,021
AT4G12380_1	1,416	1,619	1,999
AT4G12382_1	0,952	1,286	1,622
AT4G12382_2	1,053	1,257	1,598
AT4G12390_1	0,917	1,916	0,375
AT4G12400_1	1,046	34,760	47,032
AT4G12400_2	0,949	53,174	56,877
AT4G12405_1	1,249	1,505	1,841
AT4G12410_1	1,209	1,162	8,147
AT4G12420_1	0,817	0,472	0,120
AT4G12423_1	1,008	1,297	1,331
AT4G12426_1	1,024	1,057	0,926
AT4G12430_1	0,966	0,266	0,623
AT4G12440_1	0,995	0,963	0,976
AT4G12440_2	0,772	0,522	0,235
AT4G12450_1	1,003	0,867	1,042
AT4G12460_1	1,174	0,523	0,531
AT4G12460_2	1,263	0,529	0,539
AT4G12470_1	0,285	2,659	3,589
AT4G12480_1	0,310	4,119	8,347
AT4G12490_1	0,218	6,925	20,849

AGI	NaCl-Kontrolle zur H₂O-Kontrolle (log₂)	H₂O +B.c. zur H₂O-Kontrolle (log₂)	NaCl +B.c. zur H₂O-Kontrolle (log₂)
AT4G12500_1	0,308	3,739	7,940
AT4G12510_1	1,204	0,852	0,508
AT4G12520_1	1,235	0,806	0,367
AT4G12530_1	0,971	1,162	1,445
AT4G12540_1	0,786	0,532	0,517
AT4G12545_1	1,417	1,217	1,158
AT4G12550_1	1,025	1,168	1,106
AT4G12560_1	1,155	0,487	0,591
AT4G12560_2	0,997	0,205	0,218
AT4G12570_1	1,078	1,159	1,511
AT4G12580_1	0,988	0,994	1,031
AT4G12580_2	1,084	1,442	4,555
AT4G12590_1	1,003	0,679	0,842
AT4G12600_1	1,049	0,972	0,602
AT4G12610_1	0,889	1,175	2,276
AT4G12610_2	0,859	0,975	1,675
AT4G12617_1	0,996	0,975	0,990
AT4G12620_1	0,591	0,365	0,274
AT4G12640_1	1,010	0,773	0,654
AT4G12650_1	0,992	0,937	0,865
AT4G12670_1	1,082	0,551	0,862
AT4G12680_1	0,935	0,485	0,581
AT4G12690_1	0,552	0,808	0,618
AT4G12700_1	1,144	0,622	0,460
AT4G12710_1	0,923	1,452	1,497
AT4G12720_1	0,626	1,701	1,590
AT4G12720_2	0,797	1,360	1,465
AT4G12730_1	0,597	0,634	0,096
AT4G12735_1	1,284	25,377	46,761
AT4G12740_1	1,060	1,088	1,122
AT4G12750_1	1,379	0,584	0,362
AT4G12760_1	0,815	0,657	1,043
AT4G12770_1	0,992	1,319	1,539
AT4G12780_1	0,961	1,271	1,387
AT4G12790_1	0,717	1,804	1,559
AT4G12790_2	0,845	1,482	1,338
AT4G12790_3	0,851	1,517	1,357
AT4G12790_5	0,875	1,552	1,387
AT4G12800_1	1,045	0,798	0,560
AT4G12810_1	1,088	1,067	1,100
AT4G12820_1	1,066	1,107	1,135
AT4G12825_1	0,913	1,010	1,084
AT4G12830_1	0,976	0,434	0,033
AT4G12840_1	0,945	0,569	0,791
AT4G12850_1	0,894	0,797	1,079
AT4G12850_2	0,799	0,621	0,942
AT4G12860_1	1,258	1,927	2,404
AT4G12870_1	1,222	0,430	0,565
AT4G12880_1	0,967	0,314	0,034
AT4G12890_1	1,287	0,968	1,016

AGI	NaCl-Kontrolle zur H₂O-Kontrolle (log₂)	H₂O +B.c. zur H₂O-Kontrolle (log₂)	NaCl +B.c. zur H₂O-Kontrolle (log₂)
AT4G12900_1	1,189	0,059	0,012
AT4G12910_1	1,251	0,689	1,429
AT4G12915_1	1,186	1,334	1,155
AT4G12917_1	1,003	0,508	0,049
AT4G12920_1	0,958	1,190	1,199
AT4G12930_1	0,902	1,000	0,982
AT4G12940_1	1,089	1,235	1,376
AT4G12950_1	1,167	1,403	1,628
AT4G12960_1	0,972	0,995	1,156
AT4G12960_2	1,102	1,084	1,155
AT4G12970_1	0,937	0,251	0,021
AT4G12980_1	1,039	0,310	0,020
AT4G12990_1	1,043	0,712	0,752
AT4G13000_1	0,887	1,415	3,649
AT4G13010_1	1,023	1,095	1,045
AT4G13020_1	1,022	0,833	1,125
AT4G13020_2	1,001	0,832	1,063
AT4G13020_3	0,998	0,830	1,048
AT4G13020_4	1,029	0,828	1,084
AT4G13030_1	0,980	0,662	1,060
AT4G13040_1	0,748	0,996	1,345
AT4G13040_2	0,755	0,990	1,354
AT4G13050_1	0,889	1,737	0,942
AT4G13060_1	0,948	1,050	1,067
AT4G13070_1	0,934	0,851	0,442
AT4G13075_1	1,027	1,111	1,073
AT4G13080_1	1,047	1,177	1,082
AT4G13090_1	1,095	1,114	1,034
AT4G13095_1	1,164	1,375	1,519
AT4G13100_1	1,078	0,573	0,295
AT4G13100_2	0,996	0,538	0,298
AT4G13100_3	1,040	0,548	0,292
AT4G13110_1	0,889	3,179	4,726
AT4G13120_1	1,136	0,591	0,268
AT4G13130_1	0,905	0,956	0,858
AT4G13150_1	1,088	0,698	0,664
AT4G13160_1	0,861	0,894	1,188
AT4G13170_1	0,936	0,846	0,576
AT4G13180_1	1,060	7,495	8,639
AT4G13190_1	1,307	1,120	1,413
AT4G13195_1	1,141	0,519	1,355
AT4G13200_1	0,940	0,573	0,464
AT4G13210_1	0,949	0,855	0,844
AT4G13215_1	1,096	1,039	1,165
AT4G13220_1	1,056	0,530	0,355
AT4G13230_1	1,066	1,044	1,145
AT4G13235_1	0,926	0,914	0,941
AT4G13240_1	1,027	1,309	1,361
AT4G13245_1	0,956	0,996	1,151
AT4G13250_1	1,030	0,940	1,785

AGI	NaCl-Kontrolle zur H₂O-Kontrolle (log₂)	H₂O +B.c. zur H₂O-Kontrolle (log₂)	NaCl +B.c. zur H₂O-Kontrolle (log₂)
AT4G13251_1	1,150	1,087	1,015
AT4G13252_1	0,865	0,954	0,942
AT4G13253_1	1,042	1,018	1,057
AT4G13254_1	0,830	0,950	0,914
AT4G13255_1	1,091	1,130	1,216
AT4G13256_1	0,893	1,070	1,066
AT4G13257_1	1,018	0,987	0,937
AT4G13258_1	0,962	1,081	1,218
AT4G13259_1	1,198	1,131	0,950
AT4G13260_1	0,585	0,639	0,390
AT4G13261_1	1,038	1,126	1,067
AT4G13262_1	1,095	1,101	1,222
AT4G13263_1	1,027	1,126	1,058
AT4G13264_1	0,998	0,989	0,912
AT4G13266_1	1,041	1,357	1,341
AT4G13270_1	0,982	1,132	1,926
AT4G13280_1	1,006	1,084	1,167
AT4G13285_1	1,329	0,698	0,434
AT4G13290_1	0,945	0,958	1,034
AT4G13300_1	1,007	1,149	1,303
AT4G13310_1	0,979	1,190	1,111
AT4G13310_2	1,021	1,211	1,115
AT4G13320_1	1,097	0,712	0,673
AT4G13330_1	1,061	0,978	0,542
AT4G13340_1	0,846	1,032	0,675
AT4G13345_1	0,918	0,900	1,341
AT4G13345_2	0,905	0,866	1,340
AT4G13350_1	0,955	1,328	1,226
AT4G13360_1	1,020	0,908	1,516
AT4G13370_1	0,819	1,117	0,850
AT4G13380_1	0,979	1,005	0,970
AT4G13390_1	1,283	1,639	1,742
AT4G13395_1	0,794	12,217	17,136
AT4G13400_1	0,792	2,886	3,346
AT4G13410_1	0,736	0,907	0,184
AT4G13420_1	1,160	3,787	2,863
AT4G13430_1	1,106	0,640	0,640
AT4G13440_1	1,124	1,159	1,365
AT4G13442_1	1,198	1,240	1,212
AT4G13450_1	1,060	0,919	0,840
AT4G13450_2	1,000	0,977	0,975
AT4G13455_1	0,990	1,326	1,383
AT4G13460_1	1,116	0,949	0,835
AT4G13470_1	1,016	1,203	1,311
AT4G13480_1	1,196	3,070	2,784
AT4G13490_1	0,878	1,060	1,052
AT4G13493_1	1,161	0,335	0,088
AT4G13494_1	1,425	0,127	0,099
AT4G13495_1	0,938	0,185	0,035
AT4G13495_2	0,961	0,151	0,026

AGI	NaCl-Kontrolle zur H₂O-Kontrolle (log₂)	H₂O +B.c. zur H₂O-Kontrolle (log₂)	NaCl +B.c. zur H₂O-Kontrolle (log₂)
AT4G13500_1	0,830	0,251	0,088
AT4G13505_1	1,021	1,175	1,102
AT4G13510_1	0,816	1,360	1,286
AT4G13520_1	1,014	0,579	0,903
AT4G13530_1	1,104	0,920	1,680
AT4G13530_2	1,105	0,910	1,641
AT4G13540_1	0,886	1,098	8,267
AT4G13550_1	1,251	0,829	1,119
AT4G13555_1	1,016	1,019	0,954
AT4G13560_1	1,024	0,496	0,254
AT4G13564_1	1,003	0,336	0,278
AT4G13570_1	1,048	0,297	0,230
AT4G13572_1	1,086	0,318	0,106
AT4G13575_1	1,115	0,308	0,065
AT4G13580_1	1,212	1,302	1,306
AT4G13590_1	1,071	0,576	0,559
AT4G13600_1	0,970	0,748	0,769
AT4G13610_1	1,101	1,056	1,077
AT4G13611_1	1,070	1,183	1,235
AT4G13615_1	0,887	0,808	0,810
AT4G13620_1	0,978	1,175	1,362
AT4G13630_1	1,203	0,755	1,973
AT4G13640_1	1,074	0,178	0,156
AT4G13640_2	1,048	0,179	0,138
AT4G13650_1	1,113	0,306	0,144
AT4G13660_1	1,056	1,866	5,100
AT4G13670_1	1,027	0,438	0,301
AT4G13680_1	1,155	1,340	2,099
AT4G13690_1	0,774	0,675	0,598
AT4G13700_1	1,397	1,383	1,570
AT4G13710_1	1,067	0,186	0,098
AT4G13720_1	0,847	0,591	0,449
AT4G13730_1	0,917	0,632	0,917
AT4G13730_2	0,869	0,629	0,771
AT4G13750_1	1,193	1,604	1,160
AT4G13760_1	1,062	1,173	1,179
AT4G13770_1	1,075	0,593	0,082
AT4G13780_1	0,990	1,196	1,216
AT4G13790_1	1,037	1,020	1,423
AT4G13800_1	1,366	0,448	0,564
AT4G13810_1	1,007	0,660	1,179
AT4G13820_1	0,824	0,905	1,376
AT4G13830_1	0,792	0,298	0,276
AT4G13830_2	0,702	0,192	0,159
AT4G13840_1	1,056	0,522	0,042
AT4G13850_1	1,050	0,774	0,625
AT4G13850_4	1,099	0,733	0,600
AT4G13860_1	1,129	8,212	5,082
AT4G13870_1	0,947	1,142	1,225
AT4G13870_2	0,991	1,207	1,252

AGI	NaCl-Kontrolle zur H₂O-Kontrolle (log₂)	H₂O +B.c. zur H₂O-Kontrolle (log₂)	NaCl +B.c. zur H₂O-Kontrolle (log₂)
AT4G13880_1	1,151	2,275	3,737
AT4G13885_1	0,988	0,992	1,092
AT4G13890_1	1,402	1,543	1,154
AT4G13900_1	1,104	1,174	1,232
AT4G13920_1	0,800	3,883	7,132
AT4G13930_1	1,010	1,131	0,770
AT4G13940_1	0,997	1,293	1,166
AT4G13940_2	0,992	1,292	1,142
AT4G13940_4	1,068	1,392	1,240
AT4G13950_1	0,913	0,802	0,889
AT4G13955_1	1,072	1,062	1,053
AT4G13960_1	1,022	1,010	0,998
AT4G13965_1	1,085	1,187	1,279
AT4G13968_1	1,097	1,071	1,303
AT4G13970_1	1,044	0,572	0,563
AT4G13980_1	0,907	1,012	1,614
AT4G13985_1	1,008	1,062	0,999
AT4G13990_1	1,334	0,353	0,061
AT4G13992_1	0,724	0,607	0,766
AT4G13996_1	1,165	1,084	1,026
AT4G14000_1	0,939	0,850	0,595
AT4G14010_1	1,069	0,425	0,509
AT4G14020_1	1,018	1,603	7,406
AT4G14030_1	1,045	1,122	1,224
AT4G14040_1	1,080	0,461	0,153
AT4G14050_1	1,252	0,624	0,379
AT4G14060_1	1,389	1,642	1,519
AT4G14070_1	1,082	0,542	0,656
AT4G14080_1	0,980	1,001	1,177
AT4G14090_1	2,385	0,462	0,276
AT4G14096_1	1,169	0,285	0,215
AT4G14100_1	1,114	0,562	0,235
AT4G14103_1	1,456	0,297	0,187
AT4G14104_1	1,066	1,230	1,310
AT4G14105_1	1,098	1,153	1,354
AT4G14110_1	0,875	1,121	1,733
AT4G14120_1	0,758	0,598	0,695
AT4G14130_1	0,754	0,741	0,649
AT4G14135_1	0,966	0,957	1,023
AT4G14140_1	0,976	0,550	0,444
AT4G14145_1	0,935	0,683	0,644
AT4G14147_1	0,833	0,742	1,222
AT4G14149_1	0,861	0,844	0,897
AT4G14150_1	0,843	0,544	0,412
AT4G14160_1	1,031	1,184	1,308
AT4G14160_2	1,002	1,146	1,259
AT4G14160_3	1,075	1,153	1,221
AT4G14165_1	0,980	1,007	1,186
AT4G14170_1	1,267	0,505	0,338
AT4G14180_1	1,046	0,841	1,100

AGI	NaCl-Kontrolle zur H₂O-Kontrolle (log₂)	H₂O +B.c. zur H₂O-Kontrolle (log₂)	NaCl +B.c. zur H₂O-Kontrolle (log₂)
AT4G14190_1	1,128	0,832	0,782
AT4G14200_1	1,151	0,261	0,208
AT4G14210_1	1,027	0,589	0,556
AT4G14220_1	0,862	2,299	2,516
AT4G14225_1	1,205	1,173	1,438
AT4G14226_1	0,981	0,979	1,100
AT4G14230_1	0,965	0,673	0,667
AT4G14240_1	1,055	0,899	0,770
AT4G14250_1	1,117	1,082	1,295
AT4G14251_1	0,982	0,935	0,874
AT4G14260_1	1,070	1,172	1,367
AT4G14270_1	1,156	0,201	0,344
AT4G14270_2	1,109	0,198	0,336
AT4G14272_1	1,100	1,141	1,422
AT4G14276_1	1,038	1,077	1,092
AT4G14280_1	1,122	1,114	1,143
AT4G14290_1	1,102	0,481	0,662
AT4G14300_1	1,002	0,715	0,572
AT4G14301_1	1,412	1,660	2,141
AT4G14305_1	1,067	0,684	1,194
AT4G14305_2	1,029	0,677	1,112
AT4G14310_1	0,732	0,318	0,270
AT4G14310_2	1,304	0,992	1,200
AT4G14315_1	1,275	1,235	1,495
AT4G14320_1	0,885	0,679	0,514
AT4G14330_1	0,686	0,466	0,394
AT4G14340_1	0,993	0,819	1,139
AT4G14342_1	0,907	0,613	0,696
AT4G14350_1	0,907	1,035	1,503
AT4G14350_3	0,857	0,961	1,395
AT4G14358_1	0,992	0,664	0,588
AT4G14360_1	0,928	0,694	0,353
AT4G14360_2	1,000	0,536	0,412
AT4G14365_1	0,486	1,728	1,561
AT4G14368_1	1,008	1,146	1,784
AT4G14370_1	0,395	7,902	12,552
AT4G14380_1	0,781	0,661	0,676
AT4G14385_1	0,975	0,978	1,102
AT4G14385_2	0,988	0,935	1,070
AT4G14385_3	1,041	0,529	0,623
AT4G14390_1	1,052	1,070	1,019
AT4G14400_1	0,977	0,824	0,661
AT4G14403_1	1,478	1,417	1,605
AT4G14410_1	0,901	1,054	1,340
AT4G14410_2	0,821	1,142	2,079
AT4G14420_1	0,878	1,323	1,283
AT4G14430_1	0,993	1,218	1,639
AT4G14440_1	0,871	0,486	0,076
AT4G14450_1	0,756	7,593	10,684
AT4G14455_1	0,857	0,837	1,218

AGI	NaCl-Kontrolle zur H₂O-Kontrolle (log₂)	H₂O +B.c. zur H₂O-Kontrolle (log₂)	NaCl +B.c. zur H₂O-Kontrolle (log₂)
AT4G14460_1	1,139	1,236	1,476
AT4G14465_1	1,084	1,228	1,321
AT4G14470_1	1,089	1,160	1,070
AT4G14480_1	0,892	0,376	0,209
AT4G14490_1	0,925	0,975	0,937
AT4G14500_1	1,016	0,571	0,803
AT4G14500_2	1,011	0,589	0,798
AT4G14504_1	1,068	0,971	0,943
AT4G14510_1	1,160	0,552	0,495
AT4G14520_1	0,995	0,595	0,727
AT4G14520_2	1,095	0,797	0,988
AT4G14530_1	1,066	1,166	1,278
AT4G14540_1	0,811	0,333	0,098
AT4G14548_1	0,784	0,496	0,372
AT4G14550_1	1,105	0,218	0,120
AT4G14560_1	1,130	0,602	0,279
AT4G14570_1	1,052	0,616	0,461
AT4G14580_1	0,936	0,934	0,767
AT4G14590_1	1,021	0,972	0,705
AT4G14600_1	0,879	0,865	1,620
AT4G14605_1	1,195	0,452	0,359
AT4G14610_1	0,695	1,128	2,056
AT4G14615_1	1,024	1,157	1,235
AT4G14620_1	1,071	0,429	0,513
AT4G14630_1	0,998	1,340	5,040
AT4G14640_1	0,571	0,798	1,465
AT4G14650_1	0,839	0,703	0,683
AT4G14660_1	1,110	0,363	0,238
AT4G14661_1	1,032	1,145	1,260
AT4G14670_1	1,039	2,330	2,107
AT4G14680_1	0,996	2,653	1,781
AT4G14690_1	0,778	2,977	1,198
AT4G14695_1	1,202	1,030	1,000
AT4G14695_2	1,041	1,038	1,053
AT4G14700_1	0,677	0,421	0,301
AT4G14710_1	1,031	1,364	1,737
AT4G14710_2	0,997	1,253	1,708
AT4G14710_3	1,034	1,290	1,575
AT4G14710_4	1,015	1,275	1,537
AT4G14713_1	1,214	0,856	0,503
AT4G14713_2	1,071	0,854	0,694
AT4G14716_1	0,989	0,634	1,110
AT4G14720_1	1,017	0,972	0,806
AT4G14723_1	1,160	1,181	1,217
AT4G14730_1	1,110	1,206	1,279
AT4G14740_1	1,090	0,727	0,048
AT4G14740_2	0,965	0,717	0,046
AT4G14740_3	1,021	0,700	0,174
AT4G14743_1	1,445	1,504	1,960
AT4G14746_1	0,634	0,654	1,117

AGI	NaCl-Kontrolle zur H₂O-Kontrolle (log₂)	H₂O +B.c. zur H₂O-Kontrolle (log₂)	NaCl +B.c. zur H₂O-Kontrolle (log₂)
AT4G14750_1	0,529	0,291	0,071
AT4G14760_1	1,120	0,554	0,428
AT4G14770_1	0,626	0,353	0,160
AT4G14780_1	1,054	1,269	1,166
AT4G14785_1	1,071	1,097	1,185
AT4G14790_1	1,042	1,382	1,385
AT4G14800_1	0,980	0,857	1,491
AT4G14805_1	1,072	1,093	1,139
AT4G14810_1	1,324	1,450	1,507
AT4G14811_1	1,074	1,022	1,079
AT4G14815_1	1,083	1,429	1,567
AT4G14819_1	1,805	0,921	1,023
AT4G14820_1	1,376	1,127	1,043
AT4G14830_1	1,112	0,804	0,765
AT4G14840_1	1,097	0,297	0,302
AT4G14850_1	1,214	0,721	0,527
AT4G14860_1	1,038	0,661	0,717
AT4G14870_1	0,940	0,258	0,177
AT4G14880_1	1,010	0,820	0,982
AT4G14880_2	0,960	0,811	1,005
AT4G14890_1	0,902	0,590	0,167
AT4G14900_1	1,065	1,333	1,463
AT4G14905_1	0,916	0,602	0,698
AT4G14905_2	0,892	0,480	0,547
AT4G14910_1	1,055	0,651	0,787
AT4G14910_2	1,228	1,313	2,216
AT4G14920_1	1,030	0,626	0,678
AT4G14930_1	0,767	0,735	1,995
AT4G14940_1	0,531	0,561	0,347
AT4G14950_1	0,954	1,711	3,291
AT4G14950_2	0,959	1,694	3,216
AT4G14960_1	0,975	0,752	0,580
AT4G14960_2	0,980	0,771	0,585
AT4G14965_1	0,878	0,906	0,897
AT4G14970_1	0,728	0,742	0,839
AT4G14980_1	1,008	1,300	1,411
AT4G14990_1	1,095	0,841	1,228
AT4G15000_1	0,956	0,961	0,784
AT4G15010_1	1,047	0,886	1,450
AT4G15010_2	0,950	0,686	0,855
AT4G15020_1	1,051	1,326	1,629
AT4G15020_2	1,113	1,411	1,669
AT4G15030_1	1,026	0,653	0,888
AT4G15030_2	1,245	0,743	1,034
AT4G15040_1	1,142	1,237	1,445
AT4G15050_1	1,021	1,037	1,044
AT4G15053_1	1,036	1,086	1,039
AT4G15056_1	1,087	1,193	1,193
AT4G15060_1	0,954	1,090	1,019
AT4G15061_1	0,984	1,003	1,030

AGI	NaCl-Kontrolle zur H₂O-Kontrolle (log₂)	H₂O +B.c. zur H₂O-Kontrolle (log₂)	NaCl +B.c. zur H₂O-Kontrolle (log₂)
AT4G15070_1	0,974	0,514	0,949
AT4G15075_1	1,018	1,079	1,050
AT4G15080_1	1,109	0,787	0,899
AT4G15090_1	1,080	0,635	0,524
AT4G15093_1	1,000	1,063	1,427
AT4G15096_1	0,914	0,978	1,000
AT4G15100_1	1,037	5,877	1,536
AT4G15110_1	0,940	0,415	0,429
AT4G15120_1	0,855	12,191	15,272
AT4G15130_1	0,874	1,230	0,921
AT4G15140_1	0,592	1,077	1,584
AT4G15150_1	1,056	2,194	1,681
AT4G15160_1	1,000	0,821	0,903
AT4G15160_2	0,771	0,867	0,614
AT4G15180_1	1,044	1,058	1,139
AT4G15200_1	0,758	0,864	1,124
AT4G15210_1	0,759	0,535	0,847
AT4G15210_2	0,807	0,541	0,910
AT4G15215_1	1,185	0,686	0,603
AT4G15230_1	1,286	0,812	0,982
AT4G15233_1	0,680	4,077	2,823
AT4G15236_1	0,749	5,687	3,806
AT4G15240_1	1,047	1,689	1,513
AT4G15242_1	0,982	1,118	1,266
AT4G15248_1	0,846	2,279	2,593
AT4G15250_1	0,978	1,171	1,246
AT4G15258_1	0,897	1,596	1,815
AT4G15260_1	0,922	2,348	2,518
AT4G15270_1	1,115	5,941	6,206
AT4G15280_1	1,095	23,448	23,105
AT4G15290_1	1,168	1,526	1,711
AT4G15300_1	0,936	1,091	1,116
AT4G15310_1	1,112	1,296	1,454
AT4G15320_1	1,094	1,352	1,364
AT4G15330_1	1,060	1,235	1,693
AT4G15340_1	0,832	1,081	1,016
AT4G15350_1	1,029	1,479	1,343
AT4G15360_1	1,459	1,532	1,445
AT4G15370_1	1,003	1,093	1,189
AT4G15380_1	1,083	0,976	0,862
AT4G15390_1	1,030	1,522	1,288
AT4G15393_1	0,898	1,033	0,969
AT4G15393_3	1,024	1,287	1,529
AT4G15396_1	1,096	1,113	1,010
AT4G15398_1	1,106	1,079	1,140
AT4G15400_1	1,003	1,538	2,030
AT4G15410_1	1,029	1,475	1,415
AT4G15415_1	0,980	0,820	0,702
AT4G15417_1	1,100	4,333	10,798
AT4G15420_1	0,949	1,929	2,950

AGI	NaCl-Kontrolle zur H₂O-Kontrolle (log₂)	H₂O +B.c. zur H₂O-Kontrolle (log₂)	NaCl +B.c. zur H₂O-Kontrolle (log₂)
AT4G15430_1	0,489	3,190	1,676
AT4G15430_2	0,497	3,412	1,874
AT4G15440_1	0,787	1,768	1,186
AT4G15450_1	0,829	0,298	0,189
AT4G15460_1	1,415	1,597	1,696
AT4G15470_1	0,796	1,088	1,186
AT4G15475_1	1,033	0,805	1,177
AT4G15480_1	0,828	1,990	1,201
AT4G15490_1	0,934	1,041	1,601
AT4G15500_1	0,548	0,371	0,378
AT4G15510_1	0,904	0,175	0,048
AT4G15510_2	1,050	0,387	0,339
AT4G15510_3	0,915	0,172	0,055
AT4G15520_1	0,980	0,608	0,637
AT4G15530_1	1,161	2,708	3,681
AT4G15540_1	0,892	0,805	0,935
AT4G15545_1	0,937	0,868	0,712
AT4G15550_1	1,019	2,031	3,012
AT4G15560_1	0,971	0,675	0,363
AT4G15563_1	0,959	0,864	2,893
AT4G15570_1	1,337	0,847	0,432
AT4G15590_1	1,003	1,206	1,275
AT4G15610_1	0,665	53,204	77,800
AT4G15620_1	1,072	0,361	0,459
AT4G15630_1	0,824	0,739	0,937
AT4G15640_1	1,147	0,771	0,350
AT4G15650_1	1,185	1,371	1,588
AT4G15660_1	1,362	0,542	0,163
AT4G15670_1	1,386	0,662	0,559
AT4G15680_1	1,264	0,430	0,336
AT4G15690_1	1,343	0,195	0,267
AT4G15700_1	1,456	0,260	0,424
AT4G15710_1	0,984	0,783	0,869
AT4G15715_1	1,057	1,046	1,093
AT4G15720_1	1,025	0,582	0,518
AT4G15730_1	1,201	0,860	0,779
AT4G15733_1	0,987	1,046	1,051
AT4G15735_1	1,017	1,116	1,144
AT4G15740_1	0,940	1,216	1,232
AT4G15750_1	1,101	1,190	1,227
AT4G15755_1	1,001	1,362	1,390
AT4G15760_1	0,765	3,623	4,411
AT4G15765_1	0,729	6,453	11,478
AT4G15770_1	1,001	1,641	0,947
AT4G15780_1	0,973	1,030	0,609
AT4G15790_1	0,925	0,602	0,196
AT4G15800_1	0,632	1,951	2,038
AT4G15802_1	0,992	0,542	0,779
AT4G15810_1	1,231	1,134	0,479
AT4G15820_1	1,086	0,845	0,374

AGI	NaCl-Kontrolle zur H₂O-Kontrolle (log₂)	H₂O +B.c. zur H₂O-Kontrolle (log₂)	NaCl +B.c. zur H₂O-Kontrolle (log₂)
AT4G15830_1	0,678	0,200	0,166
AT4G15840_1	1,119	0,882	1,020
AT4G15850_1	1,165	1,637	1,119
AT4G15860_1	0,966	1,203	1,101
AT4G15870_1	1,044	1,043	1,090
AT4G15880_1	1,011	1,508	1,746
AT4G15885_1	1,195	1,495	1,792
AT4G15890_1	0,806	0,562	0,693
AT4G15900_1	1,129	0,934	0,677
AT4G15910_1	1,300	0,595	0,536
AT4G15920_1	1,043	0,955	0,357
AT4G15930_1	0,956	0,444	0,200
AT4G15940_1	0,812	1,695	2,798
AT4G15950_1	0,853	0,382	0,228
AT4G15953_1	1,152	0,387	0,274
AT4G15955_1	1,062	1,276	3,126
AT4G15955_2	0,998	1,373	3,147
AT4G15955_3	0,983	0,854	0,944
AT4G15960_1	0,667	0,454	0,410
AT4G15970_1	1,008	1,224	1,563
AT4G15975_1	0,680	5,991	1,977
AT4G15980_1	1,149	1,385	1,553
AT4G15990_1	1,000	1,081	0,318
AT4G16000_1	1,513	0,153	0,456
AT4G16008_1	0,976	0,323	0,268
AT4G16010_1	0,968	1,126	1,135
AT4G16015_1	0,578	0,399	0,475
AT4G16020_2	1,029	1,190	1,495
AT4G16024_1	1,098	1,212	1,093
AT4G16030_1	1,092	1,186	1,257
AT4G16040_1	1,015	1,194	1,191
AT4G16045_1	1,083	1,153	1,265
AT4G16050_1	0,975	0,934	1,155
AT4G16060_1	1,125	0,455	0,557
AT4G16070_1	0,977	0,954	1,375
AT4G16080_1	0,913	0,992	0,955
AT4G16090_1	1,130	1,383	1,348
AT4G16095_1	1,113	1,089	1,168
AT4G16100_1	0,981	1,194	1,285
AT4G16110_1	0,834	1,514	2,577
AT4G16120_1	0,847	0,586	0,360
AT4G16130_1	1,028	0,849	1,481
AT4G16140_1	0,666	1,476	0,342
AT4G16141_1	0,938	0,842	0,317
AT4G16143_1	0,995	1,011	0,750
AT4G16143_2	0,867	1,383	0,856
AT4G16144_1	1,014	1,105	1,656
AT4G16146_1	1,250	0,156	0,742
AT4G16150_1	1,051	0,967	1,048
AT4G16155_1	1,028	0,557	0,297

AGI	NaCl-Kontrolle zur H₂O-Kontrolle (log₂)	H₂O +B.c. zur H₂O-Kontrolle (log₂)	NaCl +B.c. zur H₂O-Kontrolle (log₂)
AT4G16160_1	1,408	1,832	2,481
AT4G16160_2	1,370	1,904	2,152
AT4G16162_1	0,975	0,932	1,028
AT4G16162_2	0,910	0,811	0,851
AT4G16162_3	0,973	0,943	1,018
AT4G16165_1	0,985	1,246	1,429
AT4G16170_1	1,130	0,921	0,828
AT4G16180_1	1,096	1,005	1,021
AT4G16180_2	1,201	0,918	0,847
AT4G16190_1	1,181	0,924	1,236
AT4G16195_1	0,956	1,021	0,961
AT4G16200_1	1,023	1,243	1,392
AT4G16210_1	0,930	1,210	2,074
AT4G16215_1	1,278	1,581	1,803
AT4G16220_1	0,996	1,064	1,074
AT4G16230_1	0,927	1,095	1,110
AT4G16240_1	1,397	1,355	1,359
AT4G16250_1	1,143	1,205	1,295
AT4G16260_1	1,251	310,155	337,761
AT4G16265_1	0,732	0,651	0,436
AT4G16267_1	1,016	1,050	1,061
AT4G16270_1	1,309	1,896	1,904
AT4G16280_1	1,019	1,449	1,617
AT4G16280_2	0,949	1,024	1,798
AT4G16280_3	1,037	1,486	1,671
AT4G16295_1	1,146	1,338	1,441
AT4G16310_1	0,995	0,994	0,963
AT4G16330_1	1,136	0,791	1,117
AT4G16340_1	0,977	0,527	0,248
AT4G16350_1	0,991	1,042	1,168
AT4G16355_1	1,096	1,078	0,930
AT4G16360_1	1,105	1,021	0,932
AT4G16370_1	0,940	1,145	0,500
AT4G16380_1	0,896	1,861	1,319
AT4G16390_1	1,084	0,563	0,354
AT4G16400_1	0,944	0,824	0,711
AT4G16410_1	0,965	0,894	0,312
AT4G16420_1	1,070	0,859	0,839
AT4G16430_1	0,995	0,977	1,069
AT4G16440_1	0,990	1,400	1,793
AT4G16442_1	0,933	0,375	0,273
AT4G16444_1	0,905	1,074	1,632
AT4G16447_1	1,107	1,004	1,014
AT4G16450_1	0,791	0,679	0,883
AT4G16451_1	1,065	1,024	1,187
AT4G16460_1	0,993	1,023	0,998
AT4G16460_2	1,099	1,311	1,655
AT4G16460_3	1,182	1,426	1,680
AT4G16470_1	0,878	0,704	0,496
AT4G16480_1	0,935	0,654	0,459

AGI	NaCl-Kontrolle zur H₂O-Kontrolle (log₂)	H₂O +B.c. zur H₂O-Kontrolle (log₂)	NaCl +B.c. zur H₂O-Kontrolle (log₂)
AT4G16490_1	1,060	1,145	0,895
AT4G16500_1	0,816	1,093	1,698
AT4G16510_1	0,944	0,975	1,046
AT4G16515_1	0,806	0,229	0,130
AT4G16520_1	0,936	0,455	0,857
AT4G16520_2	0,945	0,907	0,923
AT4G16530_1	0,911	1,219	1,528
AT4G16540_1	1,782	2,480	2,423
AT4G16550_1	1,549	1,626	1,709
AT4G16560_1	1,163	1,104	1,086
AT4G16563_1	1,561	1,918	0,466
AT4G16566_1	0,801	0,836	1,068
AT4G16570_1	1,052	0,371	0,117
AT4G16580_1	0,991	1,296	1,246
AT4G16590_1	1,689	1,259	0,464
AT4G16600_1	1,188	3,338	7,219
AT4G16610_1	1,103	0,683	0,718
AT4G16620_1	0,946	0,579	0,663
AT4G16630_1	1,228	1,258	0,945
AT4G16640_1	0,908	0,927	8,037
AT4G16650_1	1,002	0,697	0,495
AT4G16660_1	0,980	1,535	1,603
AT4G16670_1	0,786	2,656	8,224
AT4G16680_1	0,841	9,386	15,328
AT4G16690_1	0,775	3,593	12,864
AT4G16695_1	0,852	0,781	0,911
AT4G16695_2	0,835	0,791	0,924
AT4G16695_3	0,643	0,544	0,611
AT4G16700_1	0,977	0,903	0,412
AT4G16710_1	0,965	0,501	0,678
AT4G16710_2	0,968	0,485	0,616
AT4G16720_1	0,968	0,972	0,747
AT4G16730_1	1,130	23,429	79,286
AT4G16740_1	1,640	1,203	12,394
AT4G16740_2	1,339	0,618	9,798
AT4G16745_1	1,011	1,006	1,705
AT4G16750_1	1,387	0,313	0,176
AT4G16760_1	1,007	2,088	2,432
AT4G16765_1	1,013	1,127	2,853
AT4G16765_2	1,059	1,241	1,819
AT4G16770_1	0,988	0,702	0,788
AT4G16780_1	0,704	0,925	0,878
AT4G16790_1	0,808	1,049	1,890
AT4G16800_1	0,999	0,290	0,226
AT4G16805_1	0,870	0,377	0,279
AT4G16807_1	0,570	0,451	0,404
AT4G16810_1	1,008	1,090	1,139
AT4G16820_1	0,884	66,720	67,534
AT4G16830_1	1,074	0,799	0,554
AT4G16830_2	1,080	0,811	0,554

AGI	NaCl-Kontrolle zur H₂O-Kontrolle (log₂)	H₂O +B.c. zur H₂O-Kontrolle (log₂)	NaCl +B.c. zur H₂O-Kontrolle (log₂)
AT4G16830_3	1,085	0,811	0,543
AT4G16835_1	1,282	0,454	0,230
AT4G16840_1	0,993	1,344	1,169
AT4G16845_1	0,934	1,161	1,888
AT4G16845_2	0,959	0,799	0,952
AT4G16850_1	0,765	0,886	0,925
AT4G16855_1	1,091	0,924	1,001
AT4G16860_1	1,039	0,682	0,629
AT4G16870_1	0,748	0,141	0,198
AT4G16880_1	0,927	0,350	0,212
AT4G16890_1	1,018	0,885	0,922
AT4G16892_1	0,840	0,397	0,494
AT4G16900_1	1,184	0,961	1,011
AT4G16910_1	1,220	1,420	1,503
AT4G16915_1	0,948	0,882	0,986
AT4G16920_1	1,093	0,926	0,953
AT4G16930_1	0,974	0,995	1,149
AT4G16935_1	0,984	0,947	0,968
AT4G16940_1	1,482	1,093	0,926
AT4G16950_1	0,988	0,804	0,773
AT4G16950_2	0,793	0,497	0,707
AT4G16960_1	1,258	1,326	1,753
AT4G16970_1	0,665	0,236	0,218
AT4G16980_1	0,701	0,621	0,183
AT4G16990_1	0,802	0,272	0,200
AT4G16990_2	0,931	0,757	0,625
AT4G16990_3	0,951	0,770	0,644
AT4G16990_4	0,953	0,733	0,624
AT4G17000_1	0,724	0,532	0,520
AT4G17005_1	1,018	1,339	1,431
AT4G17010_1	0,842	0,851	1,398
AT4G17020_1	0,932	0,533	1,054
AT4G17020_2	1,072	0,617	0,894
AT4G17030_1	1,033	0,560	0,081
AT4G17040_1	0,955	0,840	0,863
AT4G17050_1	1,031	0,522	0,398
AT4G17060_1	1,078	1,216	1,099
AT4G17070_1	0,655	3,163	2,852
AT4G17080_1	0,841	0,949	1,019
AT4G17085_1	0,871	0,610	0,778
AT4G17090_1	0,940	1,214	0,925
AT4G17098_1	0,652	0,903	0,560
AT4G17100_1	1,017	0,345	0,457
AT4G17140_1	1,172	0,584	0,727
AT4G17150_1	0,833	0,443	0,405
AT4G17150_2	0,906	0,346	0,311
AT4G17160_1	1,118	1,221	1,224
AT4G17170_1	0,880	1,046	1,303
AT4G17180_1	1,065	0,387	0,144
AT4G17190_1	0,937	0,415	0,366

AGI	NaCl-Kontrolle zur H₂O-Kontrolle (log₂)	H₂O +B.c. zur H₂O-Kontrolle (log₂)	NaCl +B.c. zur H₂O-Kontrolle (log₂)
AT4G17190_2	0,909	0,779	0,699
AT4G17200_1	1,156	1,108	1,234
AT4G17210_1	1,306	1,510	1,748
AT4G17215_1	0,816	1,073	2,282
AT4G17220_1	1,199	0,643	0,720
AT4G17230_1	0,953	1,424	1,158
AT4G17240_1	0,833	1,009	0,470
AT4G17245_1	0,794	1,226	0,969
AT4G17250_1	1,049	2,029	1,855
AT4G17260_1	1,140	1,780	2,024
AT4G17270_1	0,949	0,905	1,211
AT4G17280_1	1,183	0,688	0,862
AT4G17300_1	0,950	0,619	0,603
AT4G17310_1	1,204	0,784	1,039
AT4G17310_2	1,101	0,867	1,191
AT4G17330_1	1,122	1,011	0,964
AT4G17340_1	0,838	0,602	0,687
AT4G17350_1	0,756	0,505	0,559
AT4G17360_1	0,917	0,428	0,166
AT4G17370_1	1,087	0,569	0,719
AT4G17380_1	1,040	0,797	0,825
AT4G17390_1	0,888	0,915	0,683
AT4G17410_1	1,022	2,051	1,814
AT4G17420_1	0,809	0,764	1,241
AT4G17420_2	0,898	0,788	0,994
AT4G17420_3	0,832	0,978	1,071
AT4G17430_1	0,978	1,194	1,411
AT4G17440_1	1,375	1,453	1,267
AT4G17440_2	1,452	1,765	1,617
AT4G17450_1	1,099	0,924	0,962
AT4G17453_1	1,071	1,240	1,452
AT4G17460_1	0,520	0,857	0,140
AT4G17470_1	0,459	2,085	0,727
AT4G17480_1	0,840	0,712	0,794
AT4G17483_1	0,851	1,082	3,953
AT4G17486_1	0,931	1,003	1,218
AT4G17486_2	0,929	1,024	1,214
AT4G17490_1	0,768	2,778	1,710
AT4G17500_1	0,844	4,097	5,174
AT4G17505_1	1,144	1,136	1,142
AT4G17510_1	0,977	0,685	0,978
AT4G17512_1	1,296	1,018	1,078
AT4G17520_1	1,035	0,829	0,593
AT4G17530_1	0,986	1,905	2,272
AT4G17540_1	0,848	0,340	0,213
AT4G17550_1	1,332	1,393	1,501
AT4G17560_1	0,898	0,304	0,060
AT4G17565_1	1,109	1,153	1,195
AT4G17570_1	1,040	0,885	1,021
AT4G17580_1	1,085	1,146	1,359

AGI	NaCl-Kontrolle zur H₂O-Kontrolle (log₂)	H₂O +B.c. zur H₂O-Kontrolle (log₂)	NaCl +B.c. zur H₂O-Kontrolle (log₂)
AT4G17585_1	0,980	1,011	1,205
AT4G17587_1	0,985	1,081	1,078
AT4G17590_1	1,151	1,289	1,582
AT4G17600_1	0,990	0,412	0,146
AT4G17610_1	1,061	0,555	0,383
AT4G17615_1	1,025	13,229	14,657
AT4G17615_2	0,953	2,984	5,167
AT4G17616_1	1,100	0,793	0,781
AT4G17620_1	0,970	1,237	1,501
AT4G17620_2	0,970	1,219	1,506
AT4G17640_1	0,911	0,825	0,915
AT4G17650_1	0,902	2,034	2,754
AT4G17660_1	0,672	0,825	1,073
AT4G17670_1	0,988	1,387	2,439
AT4G17680_1	0,556	1,703	0,177
AT4G17680_2	0,587	1,701	0,207
AT4G17690_1	0,986	1,263	1,604
AT4G17695_1	1,018	1,027	1,143
AT4G17700_1	0,913	1,009	0,969
AT4G17710_1	1,422	1,913	2,246
AT4G17713_1	1,009	1,049	1,083
AT4G17718_1	0,945	0,974	1,014
AT4G17720_1	0,882	2,300	2,625
AT4G17730_1	0,934	1,310	1,204
AT4G17730_2	1,109	1,511	1,367
AT4G17740_1	0,921	0,531	0,444
AT4G17750_1	0,999	0,874	1,189
AT4G17760_1	0,776	0,296	0,212
AT4G17760_2	0,907	0,329	0,177
AT4G17770_1	1,245	0,915	0,359
AT4G17780_1	1,147	1,137	1,039
AT4G17785_1	1,228	1,197	1,159
AT4G17788_1	1,043	0,961	0,927
AT4G17790_1	0,934	0,983	1,942
AT4G17800_1	1,086	1,260	1,518
AT4G17810_1	0,911	0,329	0,033
AT4G17820_1	1,084	1,098	1,006
AT4G17830_1	1,192	1,026	1,512
AT4G17840_1	1,160	1,276	1,853
AT4G17850_1	1,055	1,143	1,186
AT4G17860_1	0,911	0,977	1,006
AT4G17870_1	0,823	1,087	1,118
AT4G17880_1	0,874	1,325	0,772
AT4G17890_1	1,030	0,877	0,909
AT4G17890_2	1,027	0,832	0,865
AT4G17895_1	1,074	1,375	1,624
AT4G17900_1	0,936	2,228	2,860
AT4G17905_1	0,924	0,405	0,419
AT4G17908_1	1,172	1,113	1,034
AT4G17910_1	0,948	0,331	0,477

AGI	NaCl-Kontrolle zur H₂O-Kontrolle (log₂)	H₂O +B.c. zur H₂O-Kontrolle (log₂)	NaCl +B.c. zur H₂O-Kontrolle (log₂)
AT4G17914_1	1,182	0,916	0,749
AT4G17915_1	1,155	0,645	0,495
AT4G17920_1	1,151	1,235	1,415
AT4G17930_1	1,041	1,097	1,239
AT4G17940_1	1,152	1,070	1,460
AT4G17950_1	1,038	1,193	1,045
AT4G17960_1	0,799	0,451	0,414
AT4G17970_1	0,700	0,677	1,142
AT4G17975_1	0,802	0,243	0,472
AT4G17980_1	0,977	1,101	1,057
AT4G17990_1	1,088	1,202	1,333
AT4G17998_1	0,949	0,984	0,941
AT4G18000_1	1,057	1,099	1,187
AT4G18010_1	0,719	4,053	6,092
AT4G18010_2	0,723	3,440	4,933
AT4G18020_1	1,092	0,487	0,604
AT4G18020_4	1,195	0,518	0,648
AT4G18030_1	0,985	0,499	0,155
AT4G18040_1	0,941	1,206	1,391
AT4G18050_1	1,113	2,260	5,946
AT4G18060_1	0,940	0,511	0,384
AT4G18070_1	0,861	0,854	0,504
AT4G18070_2	0,797	0,765	0,457
AT4G18070_3	0,640	0,520	0,320
AT4G18070_4	0,907	0,869	0,510
AT4G18080_1	0,895	0,958	1,103
AT4G18090_1	0,862	0,879	0,980
AT4G18100_1	1,033	0,831	0,675
AT4G18110_1	0,982	1,019	1,152
AT4G18120_1	1,151	0,790	1,207
AT4G18130_1	1,022	1,118	0,739
AT4G18140_1	0,837	1,458	1,922
AT4G18150_1	1,206	1,144	1,504
AT4G18160_1	0,894	1,284	1,356
AT4G18170_1	0,665	8,882	10,818
AT4G18180_1	0,975	1,153	1,439
AT4G18190_1	1,164	1,154	1,311
AT4G18195_1	0,750	5,753	2,786
AT4G18197_1	0,839	1,587	0,954
AT4G18205_1	0,673	1,446	0,764
AT4G18210_1	1,268	0,750	2,273
AT4G18220_1	1,134	0,626	0,781
AT4G18230_1	0,986	0,506	0,602
AT4G18240_1	1,114	0,315	0,268
AT4G18250_1	0,541	7,947	5,332
AT4G18260_1	0,792	0,357	0,300
AT4G18270_1	1,240	0,206	0,548
AT4G18280_1	1,160	0,251	0,251
AT4G18282_1	1,304	1,296	1,626
AT4G18290_1	0,762	0,692	2,364

AGI	NaCl-Kontrolle zur H₂O-Kontrolle (log₂)	H₂O +B.c. zur H₂O-Kontrolle (log₂)	NaCl +B.c. zur H₂O-Kontrolle (log₂)
AT4G18300_1	1,146	1,598	1,912
AT4G18310_1	1,012	1,018	1,243
AT4G18320_1	0,929	1,108	1,114
AT4G18320_2	0,929	0,937	0,961
AT4G18330_1	0,977	1,257	1,205
AT4G18335_1	1,474	1,587	2,289
AT4G18340_1	0,739	0,818	0,732
AT4G18350_1	1,022	1,237	12,424
AT4G18360_1	1,174	148,618	260,857
AT4G18360_2	0,972	1,457	3,170
AT4G18370_1	0,884	0,221	0,045
AT4G18372_1	0,916	0,718	1,177
AT4G18375_1	0,922	0,421	0,303
AT4G18375_2	0,852	0,762	0,770
AT4G18380_1	0,982	0,649	0,630
AT4G18390_1	1,153	0,607	0,200
AT4G18390_2	1,181	0,572	0,178
AT4G18395_1	0,971	0,889	0,953
AT4G18400_1	1,052	0,374	0,421
AT4G18410_1	1,103	1,165	1,161
AT4G18420_1	1,098	1,345	1,417
AT4G18422_1	1,221	0,915	0,915
AT4G18425_1	0,544	0,302	5,878
AT4G18430_1	1,001	20,673	33,531
AT4G18440_1	1,057	0,810	0,326
AT4G18450_1	0,927	0,904	1,063
AT4G18460_1	0,879	0,359	0,226
AT4G18465_1	1,204	0,754	0,701
AT4G18470_1	0,736	0,627	0,617
AT4G18480_1	0,890	0,533	0,261
AT4G18490_1	1,385	0,519	0,344
AT4G18500_1	1,049	0,684	0,771
AT4G18501_1	0,965	0,635	0,764
AT4G18510_1	1,086	0,947	0,967
AT4G18520_1	1,061	0,275	0,299
AT4G18530_1	0,934	0,601	0,898
AT4G18540_1	0,699	1,489	1,894
AT4G18550_1	0,703	0,566	0,631
AT4G18570_1	0,854	0,629	0,148
AT4G18580_1	1,132	2,394	5,240
AT4G18580_2	1,037	2,642	5,422
AT4G18590_1	0,654	0,491	0,378
AT4G18593_1	0,823	0,938	0,905
AT4G18596_1	1,107	1,064	1,197
AT4G18600_1	1,090	0,582	0,733
AT4G18610_1	0,961	0,913	0,957
AT4G18620_1	0,965	1,093	1,195
AT4G18630_1	0,790	0,404	2,756
AT4G18640_1	0,758	0,198	0,087
AT4G18650_1	1,349	1,403	1,867

AGI	NaCl-Kontrolle zur H₂O-Kontrolle (log₂)	H₂O +B.c. zur H₂O-Kontrolle (log₂)	NaCl +B.c. zur H₂O-Kontrolle (log₂)
AT4G18660_1	1,007	0,971	1,033
AT4G18670_1	1,042	0,452	0,118
AT4G18680_1	0,892	1,036	1,039
AT4G18690_1	1,236	1,362	1,537
AT4G18692_1	1,110	1,151	0,782
AT4G18700_1	0,975	1,089	1,187
AT4G18710_1	0,930	0,985	0,898
AT4G18720_1	1,068	1,401	1,556
AT4G18730_1	1,009	0,997	0,678
AT4G18740_1	0,647	0,270	0,140
AT4G18740_2	0,709	0,296	0,144
AT4G18750_1	1,338	0,405	0,302
AT4G18760_1	0,757	0,562	0,167
AT4G18770_1	1,001	1,215	1,385
AT4G18780_1	0,749	0,276	0,187
AT4G18790_1	1,005	1,206	1,356
AT4G18800_1	0,848	1,158	1,985
AT4G18810_1	1,120	0,506	0,364
AT4G18820_1	1,021	0,728	0,516
AT4G18823_1	1,232	1,228	1,350
AT4G18830_1	0,929	0,890	1,823
AT4G18840_1	1,246	0,516	0,355
AT4G18850_1	1,235	1,278	1,489
AT4G18860_1	1,308	1,522	1,896
AT4G18870_1	1,059	1,131	1,167
AT4G18880_1	0,966	1,707	1,809
AT4G18890_1	1,113	3,545	4,398
AT4G18900_1	1,147	1,197	1,386
AT4G18905_1	1,064	1,368	0,979
AT4G18910_1	0,792	0,491	1,129
AT4G18920_1	1,076	1,077	1,093
AT4G18930_1	1,010	0,812	1,279
AT4G18940_1	0,960	1,268	1,594
AT4G18950_1	0,894	2,512	3,084
AT4G18960_1	0,938	0,652	0,556
AT4G18970_1	0,649	0,177	0,017
AT4G18975_1	0,957	0,618	0,975
AT4G18975_2	0,983	0,623	0,973
AT4G18975_3	0,977	0,621	0,944
AT4G18980_1	0,970	1,439	24,772
AT4G18990_1	0,972	14,822	47,797
AT4G19000_1	0,970	0,999	2,213
AT4G19003_1	1,005	1,017	0,899
AT4G19003_2	0,903	0,925	0,920
AT4G19006_1	0,899	0,946	1,161
AT4G19010_1	0,944	2,456	2,928
AT4G19020_1	0,959	1,424	0,628
AT4G19030_1	1,106	0,747	1,307
AT4G19035_1	1,080	1,063	1,183
AT4G19038_1	1,130	1,148	1,398

AGI	NaCl-Kontrolle zur H₂O-Kontrolle (log₂)	H₂O +B.c. zur H₂O-Kontrolle (log₂)	NaCl +B.c. zur H₂O-Kontrolle (log₂)
AT4G19040_1	1,014	1,233	1,836
AT4G19045_1	0,742	0,830	1,795
AT4G19050_1	0,716	0,309	0,294
AT4G19060_1	0,920	0,249	0,271
AT4G19070_1	0,841	0,335	0,255
AT4G19080_1	1,080	0,832	1,305
AT4G19090_1	1,040	0,767	1,198
AT4G19095_1	1,022	0,911	1,074
AT4G19100_1	0,979	0,295	0,076
AT4G19110_1	1,051	1,156	1,190
AT4G19110_2	1,121	1,171	1,235
AT4G19120_1	0,959	0,251	0,268
AT4G19130_1	0,946	0,628	0,412
AT4G19140_1	0,783	1,863	2,293
AT4G19150_1	0,981	0,892	0,896
AT4G19150_2	0,897	0,595	0,711
AT4G19160_1	1,080	0,521	0,708
AT4G19160_2	1,045	0,558	0,708
AT4G19160_3	1,066	0,570	0,711
AT4G19170_1	1,123	0,684	0,271
AT4G19180_1	0,957	0,957	1,091
AT4G19185_1	1,001	0,851	1,151
AT4G19190_1	1,022	1,082	1,189
AT4G19191_1	1,247	0,451	0,308
AT4G19200_1	1,060	1,092	1,527
AT4G19210_1	0,944	1,057	1,137
AT4G19220_1	1,112	0,697	0,643
AT4G19230_1	0,807	3,538	7,225
AT4G19230_2	0,822	3,666	7,327
AT4G19239_1	1,070	1,109	1,091
AT4G19240_1	1,222	1,402	1,338
AT4G19250_1	0,947	1,284	1,577
AT4G19260_1	1,089	1,246	1,253
AT4G19280_1	0,893	0,873	0,780
AT4G19290_1	1,010	1,185	1,259
AT4G19300_1	1,075	1,161	1,183
AT4G19305_1	1,131	1,108	1,161
AT4G19310_1	1,066	1,280	1,372
AT4G19320_1	1,100	1,157	1,222
AT4G19330_1	1,057	1,409	1,775
AT4G19340_1	0,943	0,979	0,946
AT4G19350_1	0,868	0,471	0,402
AT4G19360_1	0,928	2,659	2,455
AT4G19360_2	1,183	3,950	3,801
AT4G19370_1	0,605	33,232	40,159
AT4G19380_1	0,724	0,705	0,245
AT4G19390_1	1,269	1,040	1,160
AT4G19400_1	0,831	0,249	0,193
AT4G19410_1	0,964	1,228	0,761
AT4G19420_1	0,687	2,462	5,389

AGI	NaCl-Kontrolle zur H₂O-Kontrolle (log₂)	H₂O +B.c. zur H₂O-Kontrolle (log₂)	NaCl +B.c. zur H₂O-Kontrolle (log₂)
AT4G19420_2	0,751	2,006	3,423
AT4G19430_1	0,898	1,500	1,010
AT4G19440_1	1,047	1,251	1,073
AT4G19450_1	1,140	2,603	1,846
AT4G19452_1	1,174	1,064	1,337
AT4G19460_1	0,884	23,088	22,781
AT4G19470_1	1,135	1,269	1,560
AT4G19480_1	1,121	1,112	1,334
AT4G19490_1	0,951	1,105	1,211
AT4G19490_2	0,790	1,245	1,737
AT4G19500_1	0,929	0,735	0,699
AT4G19510_1	1,030	1,198	1,104
AT4G19510_2	1,119	1,131	1,076
AT4G19512_1	1,225	1,055	1,407
AT4G19515_1	0,979	1,351	2,176
AT4G19520_1	1,134	1,448	1,964
AT4G19530_1	0,841	0,410	0,060
AT4G19540_1	1,044	0,753	0,563
AT4G19550_1	1,139	0,847	0,721
AT4G19560_1	1,106	0,746	0,744
AT4G19570_1	0,894	0,894	0,878
AT4G19580_1	1,056	0,947	1,075
AT4G19590_1	0,977	0,889	0,916
AT4G19600_1	0,969	1,300	1,359
AT4G19610_1	1,083	1,197	0,989
AT4G19620_1	1,202	1,146	1,279
AT4G19630_1	1,120	1,196	1,247
AT4G19633_1	1,117	1,091	1,220
AT4G19640_1	0,876	1,336	2,844
AT4G19645_1	0,877	1,403	3,790
AT4G19645_2	0,903	1,436	4,077
AT4G19650_1	0,867	1,013	1,154
AT4G19660_1	0,957	0,557	0,758
AT4G19670_1	1,026	0,972	1,419
AT4G19680_1	0,950	0,997	0,970
AT4G19680_2	1,186	1,290	1,403
AT4G19690_1	1,240	1,303	1,575
AT4G19690_2	1,083	1,114	1,410
AT4G19700_1	1,043	1,990	4,028
AT4G19710_1	0,761	0,558	0,495
AT4G19710_2	1,002	0,722	0,421
AT4G19720_1	1,348	1,741	3,946
AT4G19730_1	0,992	0,973	1,011
AT4G19740_1	1,211	2,003	2,222
AT4G19750_1	1,125	1,916	1,844
AT4G19760_1	1,164	1,447	1,645
AT4G19770_1	1,106	1,376	1,253
AT4G19780_1	1,261	1,134	1,202
AT4G19790_1	0,996	0,759	0,643
AT4G19800_1	1,226	1,478	1,682

AGI	NaCl-Kontrolle zur H₂O-Kontrolle (log₂)	H₂O +B.c. zur H₂O-Kontrolle (log₂)	NaCl +B.c. zur H₂O-Kontrolle (log₂)
AT4G19810_1	0,644	11,518	49,558
AT4G19820_1	0,565	0,843	0,522
AT4G19829_1	1,079	0,867	1,335
AT4G19830_1	0,638	0,283	0,300
AT4G19840_1	1,100	0,710	0,866
AT4G19850_1	0,985	0,965	0,947
AT4G19850_2	0,856	1,150	1,167
AT4G19860_1	0,968	0,748	1,228
AT4G19865_1	0,959	0,317	0,167
AT4G19870_1	0,934	0,673	1,064
AT4G19870_2	0,793	0,596	1,640
AT4G19880_1	1,042	0,408	0,376
AT4G19880_2	0,827	4,280	5,664
AT4G19880_3	1,033	2,057	2,322
AT4G19900_1	1,171	0,375	0,304
AT4G19902_1	1,341	1,710	1,961
AT4G19905_1	1,015	1,041	1,047
AT4G19910_1	0,953	1,094	1,047
AT4G19920_1	1,129	1,287	1,239
AT4G19925_1	1,111	1,101	0,980
AT4G19930_1	0,968	1,094	1,033
AT4G19940_1	1,143	1,833	2,294
AT4G19950_1	0,930	1,964	3,120
AT4G19960_1	1,137	0,932	2,223
AT4G19970_1	0,944	6,326	14,502
AT4G19980_1	1,072	1,525	1,745
AT4G19985_1	0,805	0,401	0,266
AT4G19990_1	0,881	0,519	0,881
AT4G20000_1	0,493	5,472	22,475
AT4G20006_1	1,022	1,035	1,080
AT4G20010_1	1,175	0,979	0,613
AT4G20020_1	1,264	1,071	0,637
AT4G20020_2	1,110	0,983	0,555
AT4G20030_1	1,044	0,427	0,231
AT4G20040_1	0,883	0,579	0,909
AT4G20050_1	0,746	1,026	2,385
AT4G20060_1	0,973	0,869	1,443
AT4G20070_1	0,940	1,460	1,667
AT4G20080_1	1,216	1,330	1,368
AT4G20090_1	1,117	0,786	0,531
AT4G20095_1	0,967	1,050	1,186
AT4G20095_2	1,051	1,028	1,237
AT4G20095_3	1,240	1,328	1,565
AT4G20100_1	1,005	1,342	1,253
AT4G20110_1	1,017	2,446	5,672
AT4G20130_1	0,957	0,311	0,051
AT4G20140_1	0,862	0,147	0,079
AT4G20150_1	0,905	0,659	1,106
AT4G20160_1	1,030	1,132	1,307
AT4G20170_1	1,018	1,620	1,058

AGI	NaCl-Kontrolle zur H₂O-Kontrolle (log₂)	H₂O +B.c. zur H₂O-Kontrolle (log₂)	NaCl +B.c. zur H₂O-Kontrolle (log₂)
AT4G20180_1	0,878	0,909	0,938
AT4G20190_1	1,167	1,225	1,311
AT4G20200_1	0,990	1,307	1,349
AT4G20210_1	1,070	1,626	2,025
AT4G20220_1	0,988	1,022	1,017
AT4G20230_1	0,608	0,325	0,277
AT4G20235_1	1,367	1,333	1,581
AT4G20240_1	1,071	1,318	1,351
AT4G20260_1	0,899	0,952	1,258
AT4G20260_2	0,955	0,947	1,573
AT4G20260_4	0,884	0,958	1,250
AT4G20270_1	1,092	0,256	0,238
AT4G20280_1	0,966	0,753	0,632
AT4G20290_1	0,994	0,987	1,099
AT4G20300_1	0,985	1,204	1,201
AT4G20300_2	0,878	1,485	1,673
AT4G20310_1	1,111	0,605	0,438
AT4G20310_2	1,141	0,592	0,422
AT4G20310_3	0,999	0,724	0,610
AT4G20320_1	1,253	0,783	4,623
AT4G20325_1	0,617	0,322	0,248
AT4G20325_2	0,908	0,790	0,746
AT4G20330_1	0,941	1,398	2,484
AT4G20340_1	1,020	0,912	1,236
AT4G20350_1	0,935	0,711	0,410
AT4G20360_1	1,013	0,861	0,625
AT4G20362_1	1,003	1,369	0,944
AT4G20365_1	1,252	1,246	1,438
AT4G20370_1	0,982	1,086	1,175
AT4G20380_1	0,831	1,083	1,289
AT4G20380_2	0,836	1,101	1,650
AT4G20380_3	0,891	1,094	1,253
AT4G20380_7	0,988	0,881	1,048
AT4G20380_8	0,875	1,133	1,403
AT4G20390_1	0,942	0,915	1,362
AT4G20400_1	1,101	0,745	0,648
AT4G20400_2	1,054	0,726	0,640
AT4G20410_1	0,987	0,576	0,887
AT4G20420_1	1,010	0,230	0,229
AT4G20430_1	1,062	0,125	0,048
AT4G20440_1	0,935	0,955	0,998
AT4G20440_2	1,080	1,086	0,789
AT4G20440_3	1,010	1,019	0,727
AT4G20440_4	0,980	1,032	0,732
AT4G20450_1	1,031	1,057	1,048
AT4G20460_1	1,173	2,033	6,298
AT4G20460_2	1,117	1,387	2,856
AT4G20470_1	0,938	0,845	1,349
AT4G20480_1	1,039	1,393	1,492
AT4G20490_1	0,997	1,153	0,934

AGI	NaCl-Kontrolle zur H₂O-Kontrolle (log₂)	H₂O +B.c. zur H₂O-Kontrolle (log₂)	NaCl +B.c. zur H₂O-Kontrolle (log₂)
AT4G20500_1	1,326	2,402	1,829
AT4G20510_1	1,111	1,088	1,167
AT4G20520_1	1,239	1,467	1,710
AT4G20530_1	1,350	1,353	1,554
AT4G20650_1	1,278	1,432	1,486
AT4G20670_1	1,214	1,358	1,490
AT4G20680_1	1,096	1,235	1,417
AT4G20690_1	1,351	1,458	1,308
AT4G20700_1	1,086	1,096	1,201
AT4G20710_1	1,274	1,385	1,506
AT4G20715_1	1,569	2,544	1,435
AT4G20720_1	0,824	0,813	1,559
AT4G20725_1	1,263	1,575	1,684
AT4G20730_1	1,400	2,629	1,885
AT4G20740_1	1,180	0,633	0,260
AT4G20760_1	1,000	0,386	0,237
AT4G20770_1	1,189	0,555	0,450
AT4G20780_1	0,484	3,191	3,163
AT4G20790_1	1,031	1,108	1,337
AT4G20800_1	1,074	1,231	1,524
AT4G20810_1	1,192	1,231	1,348
AT4G20820_1	1,390	0,312	0,160
AT4G20830_1	0,582	1,797	3,714
AT4G20830_2	0,377	3,206	4,483
AT4G20840_1	0,986	1,099	0,948
AT4G20850_1	1,000	1,121	1,243
AT4G20860_1	0,805	10,866	12,099
AT4G20870_1	0,891	0,433	0,227
AT4G20880_1	1,097	1,454	1,357
AT4G20890_1	1,024	0,823	0,791
AT4G20900_1	1,171	1,347	1,388
AT4G20910_1	1,282	0,552	0,317
AT4G20920_1	1,005	1,010	1,057
AT4G20930_1	0,934	1,419	5,240
AT4G20940_1	0,937	0,096	0,020
AT4G20960_1	1,015	0,474	0,359
AT4G20970_1	0,769	0,580	0,713
AT4G20980_1	1,085	1,301	1,062
AT4G20980_2	0,743	0,695	0,625
AT4G20980_3	1,082	1,295	1,042
AT4G20990_1	1,075	0,988	0,993
AT4G21000_1	1,151	1,154	1,105
AT4G21010_1	1,254	1,695	2,021
AT4G21020_1	0,970	1,066	0,948
AT4G21030_1	1,038	1,046	1,008
AT4G21040_1	1,064	1,210	1,231
AT4G21050_1	1,019	1,121	1,135
AT4G21060_1	0,865	0,727	0,444
AT4G21060_2	0,682	0,623	0,505
AT4G21065_1	1,095	0,431	0,267

AGI	NaCl-Kontrolle zur H₂O-Kontrolle (log₂)	H₂O +B.c. zur H₂O-Kontrolle (log₂)	NaCl +B.c. zur H₂O-Kontrolle (log₂)
AT4G21065_2	1,144	0,482	0,335
AT4G21070_1	0,641	0,263	0,188
AT4G21080_1	1,068	1,039	1,266
AT4G21090_1	1,014	1,727	1,706
AT4G21090_2	1,008	1,711	1,703
AT4G21100_1	1,079	1,215	1,048
AT4G21105_1	0,897	0,985	1,471
AT4G21105_2	0,857	0,991	1,586
AT4G21110_1	1,022	0,986	1,411
AT4G21120_1	0,431	13,351	33,114
AT4G21130_1	1,098	1,467	1,414
AT4G21140_1	1,020	1,450	1,240
AT4G21150_1	0,987	0,939	0,969
AT4G21160_1	0,998	1,365	1,583
AT4G21160_2	0,894	1,377	2,356
AT4G21160_3	0,948	1,509	1,854
AT4G21170_1	1,024	0,616	0,474
AT4G21180_1	0,934	0,574	0,955
AT4G21190_1	1,204	0,453	0,201
AT4G21192_1	0,984	0,978	0,963
AT4G21192_2	0,979	0,938	1,538
AT4G21200_1	0,491	0,359	0,313
AT4G21200_2	0,938	1,298	1,524
AT4G21200_3	0,851	0,994	1,143
AT4G21210_1	1,079	0,458	0,303
AT4G21210_2	1,056	0,470	0,313
AT4G21213_1	0,867	0,731	1,032
AT4G21215_1	1,052	0,231	0,636
AT4G21216_1	0,927	1,024	1,051
AT4G21220_1	1,159	0,796	0,535
AT4G21230_1	0,937	1,290	2,076
AT4G21240_1	0,943	1,170	1,351
AT4G21250_1	0,978	0,987	1,016
AT4G21260_1	0,992	1,005	1,113
AT4G21270_1	0,744	0,196	0,144
AT4G21280_1	0,918	0,614	0,270
AT4G21280_2	0,953	0,592	0,253
AT4G21300_1	0,846	0,744	0,524
AT4G21310_1	0,760	0,851	0,842
AT4G21320_1	0,972	2,725	4,998
AT4G21323_1	0,973	0,989	1,209
AT4G21326_1	0,933	0,797	1,280
AT4G21330_1	1,107	1,149	1,114
AT4G21340_1	0,983	1,006	1,042
AT4G21350_1	1,055	0,690	0,742
AT4G21360_1	1,129	1,329	1,228
AT4G21362_1	1,010	1,012	1,052
AT4G21363_1	1,002	1,111	1,161
AT4G21366_1	1,010	1,148	1,164
AT4G21370_1	1,001	1,070	1,052

AGI	NaCl-Kontrolle zur H₂O-Kontrolle (log₂)	H₂O +B.c. zur H₂O-Kontrolle (log₂)	NaCl +B.c. zur H₂O-Kontrolle (log₂)
AT4G21380_1	0,932	0,727	1,109
AT4G21390_1	0,368	12,035	10,379
AT4G21400_1	1,117	2,501	2,926
AT4G21410_1	1,243	4,552	2,532
AT4G21420_1	0,805	0,804	0,724
AT4G21430_1	0,996	0,299	0,262
AT4G21437_1	1,390	1,522	1,442
AT4G21440_1	1,013	0,511	1,778
AT4G21445_1	0,890	0,224	0,041
AT4G21450_1	0,848	0,875	1,085
AT4G21450_2	0,835	0,369	0,562
AT4G21460_1	1,139	0,669	0,532
AT4G21470_1	0,973	1,592	2,861
AT4G21480_1	1,067	0,755	0,907
AT4G21490_1	1,077	4,976	4,719
AT4G21500_1	0,672	0,591	0,723
AT4G21510_1	0,958	0,680	1,606
AT4G21520_1	1,162	0,619	0,345
AT4G21530_1	0,976	1,020	0,689
AT4G21540_1	1,111	1,356	1,433
AT4G21540_3	1,046	1,312	1,404
AT4G21540_4	1,094	1,367	1,378
AT4G21550_1	1,484	0,530	0,554
AT4G21560_1	1,015	1,206	1,441
AT4G21560_2	1,011	1,198	1,430
AT4G21560_3	0,925	0,987	2,016
AT4G21570_1	1,022	0,941	0,945
AT4G21580_1	1,139	1,881	3,475
AT4G21580_2	1,177	2,072	3,723
AT4G21580_3	1,171	1,931	3,641
AT4G21585_1	1,300	0,418	0,209
AT4G21590_1	0,940	0,921	0,977
AT4G21595_1	1,079	0,998	1,027
AT4G21600_1	1,279	0,921	0,889
AT4G21605_1	0,998	1,018	1,022
AT4G21610_1	1,278	1,569	2,716
AT4G21620_1	1,313	0,528	0,101
AT4G21630_1	1,875	0,670	0,340
AT4G21640_1	1,457	1,139	0,886
AT4G21650_1	1,489	0,361	0,080
AT4G21660_1	1,070	1,153	1,050
AT4G21670_1	1,233	1,439	1,353
AT4G21680_1	1,542	61,631	41,533
AT4G21690_1	1,348	1,396	1,745
AT4G21700_1	1,233	1,688	1,483
AT4G21705_1	1,074	0,888	0,452
AT4G21710_1	1,096	1,097	1,000
AT4G21720_1	0,778	0,649	0,601
AT4G21730_1	1,028	1,134	1,251
AT4G21740_1	0,685	1,411	1,124

AGI	NaCl-Kontrolle zur H₂O-Kontrolle (log₂)	H₂O +B.c. zur H₂O-Kontrolle (log₂)	NaCl +B.c. zur H₂O-Kontrolle (log₂)
AT4G21745_1	0,960	0,922	0,926
AT4G21750_1	0,952	0,481	0,130
AT4G21760_1	0,767	0,123	0,078
AT4G21770_1	0,987	0,375	0,108
AT4G21780_1	1,005	2,751	3,290
AT4G21790_1	0,973	1,765	1,731
AT4G21800_1	0,842	1,346	1,603
AT4G21800_2	0,872	1,260	1,480
AT4G21810_1	0,895	0,798	1,016
AT4G21820_1	0,724	0,392	0,445
AT4G21830_1	1,067	437,432	535,518
AT4G21830_2	1,197	96,336	102,038
AT4G21840_1	0,898	196,565	199,787
AT4G21850_1	0,407	69,708	58,505
AT4G21860_1	0,965	0,926	0,771
AT4G21860_2	0,951	0,964	0,764
AT4G21865_1	0,658	6,820	7,602
AT4G21870_1	0,449	0,985	0,165
AT4G21880_1	1,213	0,768	0,305
AT4G21890_1	1,040	0,356	0,079
AT4G21895_1	1,078	1,288	1,722
AT4G21900_1	1,044	0,952	0,585
AT4G21902_1	1,319	1,322	1,682
AT4G21903_1	0,598	8,539	4,054
AT4G21910_1	1,137	1,238	1,259
AT4G21910_3	1,209	1,215	1,305
AT4G21920_1	0,692	19,908	16,900
AT4G21926_1	0,625	0,667	0,707
AT4G21930_1	1,375	1,417	2,319
AT4G21940_1	0,870	0,563	0,884
AT4G21950_1	0,990	0,986	1,054
AT4G21960_1	1,067	0,817	0,289
AT4G21970_1	1,108	0,273	0,147
AT4G21980_1	0,854	1,160	3,461
AT4G21980_2	0,630	0,711	5,836
AT4G21990_1	1,380	3,149	3,055
AT4G22000_1	0,918	0,898	0,887
AT4G22010_1	0,581	0,089	0,032
AT4G22020_1	1,276	1,633	1,571
AT4G22030_1	0,891	11,446	12,465
AT4G22050_1	0,977	0,962	1,284
AT4G22060_1	1,026	1,046	1,028
AT4G22065_1	1,065	1,018	1,037
AT4G22066_1	0,994	1,023	1,037
AT4G22070_1	1,170	22,426	84,716
AT4G22080_1	1,296	1,145	1,193
AT4G22090_1	1,207	1,199	1,272
AT4G22100_1	1,353	1,022	0,797
AT4G22105_1	0,953	1,093	1,451
AT4G22110_1	1,113	0,956	0,886

AGI	NaCl-Kontrolle zur H₂O-Kontrolle (log₂)	H₂O +B.c. zur H₂O-Kontrolle (log₂)	NaCl +B.c. zur H₂O-Kontrolle (log₂)
AT4G22115_1	1,292	1,753	2,577
AT4G22120_1	0,937	0,369	0,182
AT4G22120_2	0,886	0,370	0,157
AT4G22120_3	0,848	0,376	0,180
AT4G22130_1	1,220	0,291	0,096
AT4G22140_1	0,803	0,670	0,688
AT4G22140_2	0,936	0,879	0,764
AT4G22150_1	1,073	1,052	1,265
AT4G22160_1	0,955	0,833	0,810
AT4G22160_2	0,759	0,302	0,263
AT4G22165_1	1,163	1,023	1,263
AT4G22170_1	1,185	0,768	0,935
AT4G22180_1	1,167	1,116	1,384
AT4G22185_1	1,140	1,055	1,191
AT4G22190_1	0,906	1,248	1,397
AT4G22200_1	1,238	1,065	1,461
AT4G22210_1	1,019	1,199	1,231
AT4G22212_1	1,028	0,978	1,130
AT4G22214_1	1,151	1,505	1,907
AT4G22217_1	1,059	1,007	1,132
AT4G22220_1	1,052	1,019	1,101
AT4G22230_1	1,160	1,242	1,711
AT4G22230_2	0,967	1,074	1,328
AT4G22233_1	0,966	0,966	1,073
AT4G22233_2	0,880	0,923	1,069
AT4G22235_1	0,872	0,858	0,940
AT4G22240_1	1,150	1,288	1,758
AT4G22250_1	1,118	0,708	1,344
AT4G22260_1	1,099	1,264	1,722
AT4G22270_1	1,219	0,775	1,324
AT4G22280_1	1,034	0,816	0,517
AT4G22280_2	1,007	0,857	0,580
AT4G22285_1	1,022	1,236	1,067
AT4G22290_1	0,961	0,454	0,034
AT4G22300_1	0,893	0,483	0,639
AT4G22310_1	0,828	0,758	0,827
AT4G22320_1	0,847	1,336	2,100
AT4G22330_1	0,935	1,166	1,274
AT4G22340_1	1,077	1,092	1,158
AT4G22350_1	1,111	1,319	1,117
AT4G22360_1	1,064	0,650	0,832
AT4G22370_1	0,948	0,843	0,947
AT4G22380_1	1,168	1,127	0,727
AT4G22390_1	1,154	0,996	0,825
AT4G22400_1	1,192	1,284	1,506
AT4G22410_1	1,363	1,452	1,056
AT4G22415_1	1,126	1,086	1,163
AT4G22420_1	1,262	1,451	1,302
AT4G22430_1	1,105	1,054	1,161
AT4G22440_1	1,013	1,035	1,098

AGI	NaCl-Kontrolle zur H₂O-Kontrolle (log₂)	H₂O +B.c. zur H₂O-Kontrolle (log₂)	NaCl +B.c. zur H₂O-Kontrolle (log₂)
AT4G22450_1	1,205	1,511	1,590
AT4G22460_1	1,147	1,609	3,314
AT4G22470_1	0,402	3,516	8,850
AT4G22485_1	1,054	1,093	1,186
AT4G22490_1	0,524	0,628	0,556
AT4G22505_1	1,016	1,179	1,437
AT4G22510_1	0,908	0,997	0,956
AT4G22513_1	0,934	0,951	0,925
AT4G22517_1	0,958	0,971	0,953
AT4G22520_1	0,834	5,921	32,036
AT4G22530_1	0,653	2,043	4,900
AT4G22540_1	1,051	0,282	0,405
AT4G22545_1	1,015	1,014	0,969
AT4G22550_1	0,793	0,980	1,116
AT4G22560_1	0,757	0,396	0,108
AT4G22570_1	0,826	0,430	0,095
AT4G22580_1	1,125	0,950	0,621
AT4G22590_1	0,956	1,392	2,082
AT4G22600_1	1,018	1,221	1,316
AT4G22610_1	1,257	1,539	2,117
AT4G22620_1	0,739	0,305	0,808
AT4G22630_1	0,947	0,998	0,953
AT4G22635_1	1,980	2,300	2,459
AT4G22640_1	1,113	1,224	1,367
AT4G22650_1	1,159	1,612	1,910
AT4G22660_1	1,150	1,263	1,231
AT4G22666_1	1,039	1,212	1,616
AT4G22670_1	0,967	0,678	0,596
AT4G22680_1	0,951	1,105	3,207
AT4G22690_1	0,962	1,387	1,064
AT4G22700_1	1,007	1,062	1,277
AT4G22710_1	0,961	1,396	1,127
AT4G22720_1	0,952	1,292	0,960
AT4G22720_2	0,961	1,371	1,020
AT4G22730_1	0,959	0,272	0,053
AT4G22740_1	1,088	1,351	1,599
AT4G22740_2	1,099	1,322	1,578
AT4G22745_1	0,911	0,607	0,575
AT4G22750_1	1,018	0,950	1,041
AT4G22750_2	1,172	1,156	1,107
AT4G22753_1	1,200	1,404	0,943
AT4G22756_1	0,984	0,389	0,164
AT4G22760_1	1,156	0,438	0,208
AT4G22770_1	0,991	0,814	1,110
AT4G22780_1	0,868	1,393	1,854
AT4G22785_1	1,048	1,051	1,110
AT4G22790_1	0,824	0,534	0,773
AT4G22800_1	0,962	0,997	1,018
AT4G22810_1	1,236	1,405	1,494
AT4G22820_1	1,023	2,146	3,744

AGI	NaCl-Kontrolle zur H₂O-Kontrolle (log₂)	H₂O +B.c. zur H₂O-Kontrolle (log₂)	NaCl +B.c. zur H₂O-Kontrolle (log₂)
AT4G22820_2	1,187	1,125	3,298
AT4G22830_1	0,835	0,444	0,324
AT4G22840_1	0,889	1,215	1,430
AT4G22850_1	0,940	0,620	1,291
AT4G22850_2	0,949	0,604	1,294
AT4G22860_1	0,912	0,258	0,155
AT4G22870_1	4,624	0,204	0,263
AT4G22870_2	1,082	1,074	1,082
AT4G22880_1	5,774	0,198	0,243
AT4G22890_1	1,054	0,493	0,248
AT4G22890_2	1,078	0,554	0,291
AT4G22890_3	1,019	0,477	0,236
AT4G22890_4	1,018	0,488	0,236
AT4G22890_5	0,972	0,488	0,239
AT4G22900_1	0,699	0,387	0,340
AT4G22910_1	0,848	0,833	0,970
AT4G22920_1	1,095	2,904	5,795
AT4G22930_1	0,957	0,770	0,905
AT4G22940_1	1,021	1,043	1,538
AT4G22950_1	0,822	0,866	1,987
AT4G22960_1	0,993	2,557	4,040
AT4G22970_1	0,853	0,855	1,999
AT4G22980_1	0,996	4,419	6,014
AT4G22990_1	1,206	0,405	0,316
AT4G23000_1	1,217	0,616	1,522
AT4G23010_1	0,753	2,309	2,756
AT4G23010_2	0,891	1,532	1,644
AT4G23020_1	1,241	0,307	0,113
AT4G23030_1	0,833	12,294	7,601
AT4G23040_1	1,061	0,642	0,825
AT4G23050_1	1,210	2,351	3,562
AT4G23060_1	0,972	0,668	0,450
AT4G23070_1	0,873	1,075	1,182
AT4G23080_1	0,963	1,087	1,121
AT4G23090_1	1,571	2,348	3,027
AT4G23090_2	1,055	1,225	1,213
AT4G23100_1	1,032	1,478	1,676
AT4G23103_1	1,061	1,316	1,657
AT4G23110_1	0,972	1,014	1,110
AT4G23120_1	0,970	1,071	1,132
AT4G23130_1	0,694	0,802	0,665
AT4G23130_2	0,703	0,805	0,657
AT4G23140_1	0,390	1,385	1,119
AT4G23140_2	0,414	1,420	1,034
AT4G23150_1	0,734	3,895	7,722
AT4G23160_1	0,482	1,518	1,195
AT4G23170_1	0,960	1,135	1,297
AT4G23180_1	0,853	0,806	0,568
AT4G23190_1	0,310	5,424	5,761
AT4G23200_1	0,681	3,244	1,544

AGI	NaCl-Kontrolle zur H₂O-Kontrolle (log₂)	H₂O +B.c. zur H₂O-Kontrolle (log₂)	NaCl +B.c. zur H₂O-Kontrolle (log₂)
AT4G23205_1	1,140	1,197	1,401
AT4G23210_1	0,942	1,044	1,012
AT4G23210_2	0,634	2,153	4,149
AT4G23210_3	0,535	2,125	4,673
AT4G23215_1	0,318	20,187	18,471
AT4G23220_1	0,666	0,988	0,892
AT4G23230_1	0,804	0,987	1,100
AT4G23240_1	1,021	0,798	0,435
AT4G23250_1	0,974	0,803	0,724
AT4G23260_1	1,101	1,351	1,330
AT4G23270_1	0,881	1,169	1,184
AT4G23271_1	0,572	0,561	1,612
AT4G23280_1	0,785	3,489	4,160
AT4G23290_1	0,971	0,367	0,035
AT4G23300_1	0,972	0,475	0,180
AT4G23310_1	0,965	1,924	1,887
AT4G23320_1	1,259	1,961	2,236
AT4G23330_1	0,910	0,557	0,724
AT4G23340_1	1,137	1,295	1,836
AT4G23340_2	0,807	0,758	0,894
AT4G23350_1	1,105	1,167	1,407
AT4G23360_1	1,090	0,982	1,050
AT4G23364_1	1,074	1,014	1,211
AT4G23370_1	1,111	1,067	1,010
AT4G23375_1	1,007	1,013	1,019
AT4G23380_1	1,042	0,990	1,130
AT4G23387_1	1,104	1,163	1,217
AT4G23390_1	1,069	0,987	1,007
AT4G23400_1	0,655	0,922	0,273
AT4G23410_1	0,932	0,703	0,723
AT4G23420_1	0,941	0,899	1,079
AT4G23420_2	1,161	0,778	1,270
AT4G23430_1	0,935	0,567	1,127
AT4G23430_2	0,915	0,576	1,128
AT4G23430_3	0,966	0,614	1,168
AT4G23432_1	1,169	1,315	1,653
AT4G23440_1	0,785	0,424	0,180
AT4G23450_1	0,966	1,309	6,080
AT4G23460_1	0,955	1,039	1,215
AT4G23470_1	0,869	1,047	1,122
AT4G23470_2	0,706	0,384	0,843
AT4G23490_1	1,207	0,816	0,335
AT4G23493_1	1,123	1,630	3,378
AT4G23496_1	1,026	0,951	0,924
AT4G23500_1	0,968	0,111	0,050
AT4G23510_1	0,981	1,056	1,096
AT4G23515_1	1,059	1,121	1,120
AT4G23520_1	1,038	1,140	1,107
AT4G23530_1	1,010	1,073	0,817
AT4G23540_1	1,089	1,195	0,956

AGI	NaCl-Kontrolle zur H₂O-Kontrolle (log₂)	H₂O +B.c. zur H₂O-Kontrolle (log₂)	NaCl +B.c. zur H₂O-Kontrolle (log₂)
AT4G23550_1	0,764	1,586	2,069
AT4G23560_1	1,038	3,237	21,112
AT4G23570_1	0,882	1,940	1,663
AT4G23570_2	0,865	1,934	1,602
AT4G23570_3	0,898	1,954	1,668
AT4G23580_1	1,052	1,018	0,932
AT4G23590_1	1,154	1,241	1,094
AT4G23600_1	1,124	1,494	1,799
AT4G23600_2	0,741	0,651	0,785
AT4G23600_3	1,149	1,456	1,446
AT4G23610_1	0,523	1,052	1,994
AT4G23620_1	1,220	1,011	0,655
AT4G23630_1	1,079	1,259	1,425
AT4G23640_1	1,080	0,950	0,942
AT4G23650_1	0,922	0,917	0,834
AT4G23660_1	1,046	1,042	1,272
AT4G23670_1	0,968	0,412	0,414
AT4G23680_1	1,328	25,675	84,694
AT4G23690_1	0,686	0,653	1,298
AT4G23700_1	0,828	57,683	68,128
AT4G23710_1	0,881	0,944	1,563
AT4G23713_1	1,077	1,067	1,238
AT4G23720_1	0,957	0,574	0,731
AT4G23730_1	1,045	1,717	1,714
AT4G23740_1	0,983	0,425	0,113
AT4G23750_1	1,245	0,333	0,077
AT4G23760_1	1,054	0,595	0,773
AT4G23770_1	0,725	0,674	0,299
AT4G23780_1	1,115	1,021	1,102
AT4G23790_1	0,883	0,198	0,037
AT4G23800_1	0,848	0,150	0,084
AT4G23810_1	0,388	3,015	3,297
AT4G23820_1	0,662	0,381	0,033
AT4G23840_1	1,089	0,962	0,892
AT4G23850_1	0,949	1,254	1,306
AT4G23860_1	0,896	1,034	0,973
AT4G23860_2	0,866	1,027	0,994
AT4G23870_1	1,258	0,304	0,175
AT4G23880_1	1,277	0,530	0,629
AT4G23882_1	0,709	0,554	0,611
AT4G23885_1	0,848	3,780	9,697
AT4G23890_1	0,980	0,572	0,512
AT4G23895_1	0,772	0,407	0,625
AT4G23895_2	0,799	0,418	0,663
AT4G23900_1	1,107	0,474	0,658
AT4G23910_1	0,942	1,329	1,573
AT4G23920_1	1,115	1,390	1,484
AT4G23930_1	0,920	0,632	0,404
AT4G23930_2	0,866	0,621	0,411
AT4G23940_1	1,095	0,259	0,139

AGI	NaCl-Kontrolle zur H₂O-Kontrolle (log₂)	H₂O +B.c. zur H₂O-Kontrolle (log₂)	NaCl +B.c. zur H₂O-Kontrolle (log₂)
AT4G23950_1	1,165	0,417	0,305
AT4G23960_1	0,871	0,916	0,880
AT4G23970_1	1,260	1,326	1,742
AT4G23980_1	1,155	0,738	1,130
AT4G23980_2	1,046	0,668	1,164
AT4G23990_1	1,688	0,136	0,415
AT4G24000_1	1,823	144,716	359,313
AT4G24010_1	1,402	0,614	0,473
AT4G24015_1	1,084	1,027	1,089
AT4G24020_1	1,028	0,954	1,182
AT4G24026_1	0,759	1,005	2,178
AT4G24030_1	0,930	1,088	1,674
AT4G24040_1	0,525	0,721	3,486
AT4G24050_1	1,068	0,865	0,845
AT4G24060_1	0,920	0,616	0,878
AT4G24070_1	1,111	1,270	1,268
AT4G24080_1	1,138	1,127	1,292
AT4G24090_1	0,966	0,366	0,215
AT4G24100_1	0,950	1,115	1,259
AT4G24110_1	1,070	18,844	17,164
AT4G24120_1	0,938	1,477	3,676
AT4G24130_1	0,778	0,993	1,277
AT4G24140_1	0,415	0,155	0,129
AT4G24150_1	0,849	1,063	1,083
AT4G24160_1	1,010	2,380	2,938
AT4G24160_2	1,012	2,179	3,216
AT4G24170_1	0,837	0,857	0,934
AT4G24175_1	0,998	0,392	0,211
AT4G24180_1	1,042	1,220	1,460
AT4G24190_1	0,997	0,982	1,116
AT4G24200_1	1,080	2,049	2,094
AT4G24204_1	1,031	0,950	0,983
AT4G24204_2	0,985	0,991	0,942
AT4G24204_3	0,999	1,058	1,136
AT4G24210_1	0,941	1,009	1,639
AT4G24220_1	1,035	1,048	1,495
AT4G24220_2	1,009	1,039	1,355
AT4G24230_1	0,628	0,553	1,321
AT4G24230_3	0,621	0,652	1,402
AT4G24230_4	0,628	0,655	1,454
AT4G24230_5	0,652	0,406	1,304
AT4G24230_6	0,648	0,642	1,467
AT4G24231_1	0,960	1,076	1,548
AT4G24240_1	0,915	0,907	1,037
AT4G24250_1	0,671	0,475	0,452
AT4G24260_1	1,363	1,385	0,996
AT4G24265_1	0,677	0,470	0,530
AT4G24270_1	1,218	0,978	0,591
AT4G24275_1	0,646	0,399	0,318
AT4G24280_1	1,023	0,794	0,577

AGI	NaCl-Kontrolle zur H₂O-Kontrolle (log₂)	H₂O +B.c. zur H₂O-Kontrolle (log₂)	NaCl +B.c. zur H₂O-Kontrolle (log₂)
AT4G24290_1	0,902	0,743	1,568
AT4G24290_2	1,078	1,204	1,309
AT4G24300_1	1,015	1,036	0,917
AT4G24310_1	0,989	1,707	2,369
AT4G24320_1	1,222	0,746	0,745
AT4G24330_1	0,982	1,243	1,213
AT4G24340_1	0,957	38,477	27,886
AT4G24350_1	0,741	2,664	2,133
AT4G24350_2	0,773	2,513	2,187
AT4G24370_1	1,182	0,931	1,558
AT4G24380_1	0,864	5,687	7,803
AT4G24380_2	0,842	5,869	7,912
AT4G24390_1	1,029	0,519	0,763
AT4G24390_2	0,850	0,354	0,641
AT4G24400_1	0,928	1,801	2,730
AT4G24400_2	0,954	1,959	3,485
AT4G24410_1	0,826	0,743	0,887
AT4G24415_1	0,951	0,904	0,942
AT4G24415_2	0,958	0,538	0,499
AT4G24415_3	1,076	0,661	0,691
AT4G24420_1	0,967	0,920	1,244
AT4G24430_1	0,757	0,331	0,414
AT4G24440_1	0,937	1,158	1,216
AT4G24440_2	0,932	1,133	1,156
AT4G24450_1	1,186	1,010	1,417
AT4G24460_1	0,905	0,496	0,525
AT4G24470_1	1,133	1,151	1,260
AT4G24470_2	1,028	1,566	2,477
AT4G24480_1	0,991	0,545	0,816
AT4G24490_1	1,032	0,928	0,959
AT4G24500_1	0,980	0,762	0,746
AT4G24500_2	0,944	0,685	0,696
AT4G24510_1	0,773	0,260	0,054
AT4G24520_1	1,049	1,201	1,137
AT4G24530_1	0,975	0,548	0,804
AT4G24540_1	0,978	1,050	0,489
AT4G24550_1	0,938	0,819	0,935
AT4G24550_2	0,945	0,825	0,981
AT4G24560_1	1,044	1,283	1,274
AT4G24570_1	0,976	2,026	1,688
AT4G24580_1	0,893	0,887	0,851
AT4G24590_1	0,832	1,552	3,051
AT4G24600_1	1,111	1,088	1,275
AT4G24610_1	1,452	0,388	0,263
AT4G24620_1	0,929	0,681	0,567
AT4G24620_2	0,918	0,676	0,566
AT4G24630_1	0,978	0,992	0,900
AT4G24640_1	1,150	2,166	2,282
AT4G24644_1	1,035	0,991	1,161
AT4G24650_1	1,117	1,271	1,724

AGI	NaCl-Kontrolle zur H₂O-Kontrolle (log₂)	H₂O +B.c. zur H₂O-Kontrolle (log₂)	NaCl +B.c. zur H₂O-Kontrolle (log₂)
AT4G24652_1	1,305	1,564	1,848
AT4G24660_1	1,300	1,218	0,677
AT4G24670_1	1,117	0,369	0,056
AT4G24670_2	1,034	0,335	0,074
AT4G24680_1	1,078	1,058	1,102
AT4G24690_1	1,080	0,998	1,222
AT4G24700_1	0,899	1,489	0,745
AT4G24710_1	0,772	0,543	0,482
AT4G24730_1	1,096	1,338	1,373
AT4G24730_2	0,808	0,792	1,097
AT4G24730_3	0,770	1,074	1,384
AT4G24740_1	0,940	1,188	1,395
AT4G24740_2	0,924	1,196	1,347
AT4G24750_1	0,948	0,339	0,171
AT4G24760_1	1,101	1,341	0,904
AT4G24770_1	0,975	0,604	0,179
AT4G24780_1	1,018	0,240	0,065
AT4G24790_1	1,228	0,273	0,072
AT4G24800_1	1,061	0,439	0,473
AT4G24805_1	0,821	1,288	1,205
AT4G24810_1	1,092	0,333	0,079
AT4G24810_2	1,051	0,317	0,065
AT4G24820_1	0,834	1,252	3,070
AT4G24820_2	0,981	1,049	1,348
AT4G24830_1	0,996	1,418	0,951
AT4G24830_2	1,007	2,050	1,029
AT4G24840_1	0,997	1,155	0,990
AT4G24860_1	1,027	1,509	1,547
AT4G24880_1	0,938	1,294	1,523
AT4G24890_1	1,295	1,181	1,484
AT4G24900_1	0,934	0,497	0,709
AT4G24910_1	0,957	0,766	1,100
AT4G24920_1	0,785	1,928	2,134
AT4G24930_1	0,709	0,361	0,160
AT4G24940_1	0,922	0,780	0,759
AT4G24950_1	1,102	1,177	1,470
AT4G24960_1	0,693	0,654	0,525
AT4G24960_2	0,683	0,666	0,517
AT4G24970_1	0,758	0,561	0,769
AT4G24972_1	0,974	1,700	0,825
AT4G24973_1	1,002	1,051	1,190
AT4G24974_1	1,078	1,081	1,191
AT4G24975_1	1,075	1,740	1,445
AT4G24977_1	1,439	2,039	1,304
AT4G24980_1	1,079	1,098	1,327
AT4G24990_1	0,935	1,132	1,368
AT4G25000_1	1,496	4,819	44,427
AT4G25010_1	1,003	1,043	1,246
AT4G25020_1	0,834	2,620	2,226
AT4G25030_1	0,727	3,835	3,626

AGI	NaCl-Kontrolle zur H₂O-Kontrolle (log₂)	H₂O +B.c. zur H₂O-Kontrolle (log₂)	NaCl +B.c. zur H₂O-Kontrolle (log₂)
AT4G25030_2	1,087	1,267	1,555
AT4G25040_1	1,014	0,936	1,108
AT4G25050_1	0,845	0,519	0,218
AT4G25070_1	0,726	4,627	4,563
AT4G25070_2	0,724	4,559	4,547
AT4G25080_1	1,059	0,405	0,072
AT4G25080_2	0,756	0,192	0,019
AT4G25080_3	1,026	0,396	0,069
AT4G25090_1	1,036	1,071	1,084
AT4G25100_1	0,991	0,496	0,395
AT4G25100_2	1,029	0,725	0,450
AT4G25100_3	1,121	0,823	0,578
AT4G25100_4	1,268	0,968	0,784
AT4G25110_1	0,525	0,988	1,094
AT4G25120_1	0,933	0,451	0,376
AT4G25130_1	0,918	0,703	0,812
AT4G25140_1	1,187	1,348	1,389
AT4G25150_1	1,140	0,556	0,591
AT4G25160_1	1,040	1,014	1,041
AT4G25170_1	0,975	1,268	1,813
AT4G25170_2	1,167	0,981	1,546
AT4G25180_1	0,899	1,108	1,461
AT4G25190_1	1,120	1,161	1,437
AT4G25190_2	1,117	1,133	1,506
AT4G25200_1	1,370	22,783	33,804
AT4G25210_1	1,068	1,613	1,370
AT4G25220_1	1,327	1,333	1,523
AT4G25225_1	0,796	0,834	1,166
AT4G25230_1	1,080	1,662	1,627
AT4G25235_1	1,006	0,943	0,948
AT4G25240_1	0,925	0,597	0,593
AT4G25250_1	1,032	1,114	1,328
AT4G25260_1	0,961	0,493	0,321
AT4G25270_1	1,204	0,583	0,333
AT4G25280_1	1,061	0,563	1,031
AT4G25290_1	1,007	0,395	0,268
AT4G25300_1	1,175	1,405	1,017
AT4G25300_2	1,161	1,283	1,115
AT4G25310_1	1,299	1,380	1,073
AT4G25315_1	0,855	0,746	0,485
AT4G25320_1	1,084	1,098	0,879
AT4G25330_1	1,165	1,254	1,335
AT4G25340_1	0,995	1,451	0,873
AT4G25350_1	0,674	1,211	1,388
AT4G25360_1	0,957	0,946	1,048
AT4G25370_1	0,945	0,628	0,748
AT4G25380_1	1,007	2,961	10,969
AT4G25386_1	0,920	1,138	1,327
AT4G25390_1	0,712	8,832	10,644
AT4G25390_2	0,857	5,641	6,129

AGI	NaCl-Kontrolle zur H ₂ O-Kontrolle (log ₂)	H ₂ O +B.c. zur H ₂ O-Kontrolle (log ₂)	NaCl +B.c. zur H ₂ O-Kontrolle (log ₂)
AT4G25400_1	1,087	1,142	1,198
AT4G25410_1	0,849	0,583	0,365
AT4G25420_1	1,189	0,213	0,091
AT4G25430_1	0,986	1,127	1,216
AT4G25433_1	1,547	0,351	0,541
AT4G25434_1	0,972	0,348	0,438
AT4G25434_2	0,872	0,693	0,730
AT4G25440_1	1,000	0,694	1,229
AT4G25450_1	1,013	0,742	1,157
AT4G25450_2	1,133	0,744	1,146
AT4G25470_1	1,514	0,112	0,101
AT4G25480_1	1,513	0,063	0,118
AT4G25490_1	1,639	0,086	0,081
AT4G25500_1	1,008	0,571	0,516
AT4G25500_2	1,009	0,524	0,488
AT4G25500_3	0,988	0,277	0,492
AT4G25510_1	0,811	0,675	0,937
AT4G25515_1	1,074	0,727	0,720
AT4G25520_1	1,083	0,985	1,104
AT4G25530_1	1,163	1,118	1,560
AT4G25540_1	0,819	0,614	0,597
AT4G25550_1	1,006	1,060	0,939
AT4G25560_1	0,990	1,069	1,162
AT4G25570_1	0,932	0,550	0,494
AT4G25580_1	1,218	1,280	1,741
AT4G25585_1	1,209	1,415	1,611
AT4G25590_1	1,283	1,464	1,968
AT4G25600_1	1,059	0,855	0,779
AT4G25610_1	0,991	1,363	1,705
AT4G25610_2	0,996	1,352	1,482
AT4G25620_1	0,756	1,096	0,751
AT4G25630_1	0,951	1,614	1,064
AT4G25631_1	1,118	1,134	0,918
AT4G25640_1	0,916	1,457	1,598
AT4G25650_1	1,065	0,614	0,785
AT4G25650_2	1,057	0,613	0,775
AT4G25660_1	1,054	0,745	0,771
AT4G25670_1	0,813	1,692	2,187
AT4G25680_1	0,924	0,897	0,778
AT4G25690_1	0,854	1,760	2,302
AT4G25690_2	0,871	2,406	3,909
AT4G25700_1	1,007	2,971	4,290
AT4G25700_2	0,942	2,370	3,867
AT4G25707_1	0,895	1,358	2,090
AT4G25710_1	0,686	2,283	2,561
AT4G25719_1	0,831	2,004	2,305
AT4G25720_1	0,835	2,164	2,135
AT4G25720_2	0,887	2,175	2,091
AT4G25720_3	0,816	1,908	1,931
AT4G25730_1	1,183	1,565	1,029

AGI	NaCl-Kontrolle zur H₂O-Kontrolle (log₂)	H₂O +B.c. zur H₂O-Kontrolle (log₂)	NaCl +B.c. zur H₂O-Kontrolle (log₂)
AT4G25740_1	0,977	0,844	0,514
AT4G25740_2	0,978	0,880	0,516
AT4G25750_1	0,885	0,742	0,751
AT4G25760_1	1,032	0,508	0,766
AT4G25770_1	0,952	1,291	1,544
AT4G25780_1	0,836	1,865	0,541
AT4G25790_1	1,082	1,190	1,138
AT4G25800_1	0,956	0,946	0,932
AT4G25810_1	0,584	44,042	66,871
AT4G25820_1	1,142	1,424	2,321
AT4G25830_1	0,374	0,415	0,041
AT4G25835_1	0,882	0,394	0,696
AT4G25840_1	0,879	0,690	1,023
AT4G25845_1	1,043	1,260	1,542
AT4G25850_1	1,553	1,030	1,128
AT4G25860_1	1,471	1,025	1,660
AT4G25870_1	0,933	0,417	0,184
AT4G25880_1	1,149	0,858	0,783
AT4G25880_2	1,054	0,850	0,755
AT4G25880_3	1,140	0,917	0,810
AT4G25885_1	1,518	1,869	2,453
AT4G25890_1	0,849	0,800	0,509
AT4G25900_1	0,801	2,311	2,781
AT4G25910_1	1,032	0,559	0,453
AT4G25920_1	1,026	0,988	1,211
AT4G25930_1	0,957	1,031	1,486
AT4G25940_1	0,963	0,740	0,696
AT4G25950_1	0,658	0,783	0,618
AT4G25960_1	0,907	0,444	0,036
AT4G25970_1	1,020	0,794	0,685
AT4G25980_1	1,007	1,012	1,130
AT4G25990_1	0,949	0,377	0,061
AT4G25990_2	0,754	0,546	0,453
AT4G26000_1	1,130	0,971	0,966
AT4G26005_1	1,125	1,115	1,209
AT4G26010_1	1,024	1,079	0,980
AT4G26020_1	1,085	1,136	1,130
AT4G26030_1	0,898	1,077	0,965
AT4G26040_1	1,136	1,037	1,114
AT4G26050_1	1,110	1,249	1,288
AT4G26055_1	1,251	0,953	1,095
AT4G26060_1	0,644	2,120	3,130
AT4G26070_1	0,813	0,630	0,709
AT4G26070_2	0,880	0,501	0,628
AT4G26070_3	0,791	0,456	0,426
AT4G26080_1	1,258	1,236	2,241
AT4G26090_1	0,951	0,481	1,381
AT4G26095_1	1,145	0,387	0,955
AT4G26100_1	0,930	0,826	1,133
AT4G26110_1	1,011	1,099	0,739

AGI	NaCl-Kontrolle zur H₂O-Kontrolle (log₂)	H₂O +B.c. zur H₂O-Kontrolle (log₂)	NaCl +B.c. zur H₂O-Kontrolle (log₂)
AT4G26110_2	0,844	0,498	0,551
AT4G26120_1	0,399	7,359	9,843
AT4G26130_1	1,000	0,601	1,050
AT4G26140_1	0,984	0,412	0,217
AT4G26140_2	0,898	0,641	0,536
AT4G26150_1	1,413	2,886	0,596
AT4G26160_1	0,847	0,688	1,194
AT4G26170_1	0,831	0,713	0,754
AT4G26180_1	0,994	0,686	1,412
AT4G26190_1	1,054	1,005	0,770
AT4G26200_1	1,050	1,957	9,431
AT4G26210_1	1,026	1,498	1,493
AT4G26210_2	1,012	1,487	1,636
AT4G26220_1	0,819	0,765	0,774
AT4G26230_1	0,994	0,992	0,764
AT4G26240_1	1,002	1,905	2,314
AT4G26250_1	0,975	1,129	1,011
AT4G26255_1	0,928	0,661	0,489
AT4G26260_1	0,802	1,428	0,969
AT4G26270_1	1,269	2,024	3,604
AT4G26280_1	0,778	1,101	1,434
AT4G26288_1	0,780	0,672	0,688
AT4G26290_1	1,049	0,269	1,570
AT4G26300_1	1,068	0,826	0,642
AT4G26310_1	1,141	0,882	1,120
AT4G26320_1	1,322	1,687	1,662
AT4G26330_1	0,954	1,236	1,390
AT4G26340_1	1,099	1,246	1,208
AT4G26350_1	1,174	1,629	1,770
AT4G26360_1	1,168	1,598	1,871
AT4G26370_1	1,019	0,194	0,040
AT4G26370_2	1,057	0,246	0,156
AT4G26375_1	1,164	1,510	1,746
AT4G26380_1	0,989	1,293	1,166
AT4G26385_1	1,055	1,402	1,697
AT4G26390_1	0,962	1,187	1,406
AT4G26400_1	0,869	0,799	0,950
AT4G26400_2	0,962	0,844	0,947
AT4G26410_1	1,026	0,996	1,183
AT4G26420_1	1,072	1,128	1,081
AT4G26420_2	1,144	1,105	1,426
AT4G26430_1	1,210	0,687	0,846
AT4G26440_1	1,090	1,350	1,449
AT4G26450_1	1,050	1,062	1,096
AT4G26455_1	0,936	1,581	1,568
AT4G26460_1	1,061	1,504	1,827
AT4G26466_1	1,034	1,119	1,195
AT4G26470_1	0,734	2,151	5,921
AT4G26470_2	0,803	1,987	5,231
AT4G26480_1	0,989	1,186	1,401

AGI	NaCl-Kontrolle zur H₂O-Kontrolle (log₂)	H₂O +B.c. zur H₂O-Kontrolle (log₂)	NaCl +B.c. zur H₂O-Kontrolle (log₂)
AT4G26488_1	1,082	1,085	1,142
AT4G26490_1	0,816	0,890	2,258
AT4G26500_1	0,983	0,631	0,554
AT4G26510_1	0,955	0,608	0,615
AT4G26520_1	1,228	0,631	0,088
AT4G26530_1	1,057	0,521	0,042
AT4G26530_2	0,764	0,103	0,032
AT4G26540_1	0,997	0,466	0,086
AT4G26550_1	0,883	0,513	0,689
AT4G26555_1	0,741	0,377	0,228
AT4G26560_1	1,107	0,861	0,841
AT4G26570_1	1,083	0,981	0,956
AT4G26570_2	1,019	1,011	0,997
AT4G26580_1	1,045	0,736	0,830
AT4G26590_1	1,052	0,477	0,516
AT4G26600_1	1,279	1,722	1,144
AT4G26610_1	0,944	1,205	0,904
AT4G26620_1	1,223	0,843	0,621
AT4G26630_1	1,058	0,746	0,918
AT4G26640_1	1,041	0,630	0,557
AT4G26650_1	0,981	0,958	0,990
AT4G26660_1	0,761	0,309	0,299
AT4G26670_1	1,119	0,110	0,128
AT4G26680_1	1,046	0,634	0,444
AT4G26690_1	0,905	0,843	0,777
AT4G26700_1	1,092	0,650	0,687
AT4G26700_3	1,075	0,666	0,715
AT4G26701_1	1,541	1,762	2,019
AT4G26710_1	1,010	0,969	1,294
AT4G26710_2	0,686	0,852	1,659
AT4G26720_1	0,954	1,174	0,921
AT4G26730_1	1,085	1,190	1,286
AT4G26740_1	1,436	1,461	1,799
AT4G26750_1	0,946	1,371	1,641
AT4G26760_1	0,978	0,203	0,061
AT4G26770_1	1,117	1,182	1,313
AT4G26780_1	1,035	1,521	0,670
AT4G26790_1	0,847	0,297	0,260
AT4G26790_2	1,051	0,207	0,049
AT4G26795_1	0,980	0,234	0,177
AT4G26795_2	0,878	0,806	0,865
AT4G26800_1	0,996	1,022	0,548
AT4G26810_1	0,839	0,711	0,864
AT4G26810_2	0,883	0,705	0,874
AT4G26820_1	1,061	1,306	1,646
AT4G26830_1	0,610	0,462	0,429
AT4G26840_1	0,890	0,997	0,970
AT4G26850_1	1,115	1,761	1,429
AT4G26860_1	0,820	0,998	0,563
AT4G26870_1	1,046	0,977	0,719

AGI	NaCl-Kontrolle zur H₂O-Kontrolle (log₂)	H₂O +B.c. zur H₂O-Kontrolle (log₂)	NaCl +B.c. zur H₂O-Kontrolle (log₂)
AT4G26880_1	1,061	1,338	1,575
AT4G26890_1	0,961	2,043	2,375
AT4G26900_1	1,005	0,731	0,506
AT4G26910_1	0,937	1,916	2,120
AT4G26920_1	1,085	1,125	1,190
AT4G26930_1	1,248	1,401	1,863
AT4G26940_1	1,106	1,224	1,198
AT4G26940_2	1,057	1,252	1,309
AT4G26950_1	1,425	8,873	7,812
AT4G26960_1	0,595	0,533	0,405
AT4G26965_1	0,967	1,008	1,409
AT4G26965_2	0,916	0,997	1,289
AT4G26970_1	1,043	1,628	1,750
AT4G26980_1	0,973	1,051	1,514
AT4G26990_1	0,760	3,604	4,095
AT4G27000_1	1,091	1,139	0,981
AT4G27010_1	1,351	1,156	1,001
AT4G27020_1	1,156	1,261	1,926
AT4G27030_1	0,956	1,681	0,838
AT4G27040_1	0,958	1,072	1,176
AT4G27040_2	1,031	0,543	0,941
AT4G27040_3	0,955	1,066	1,047
AT4G27040_4	0,978	1,063	1,169
AT4G27050_1	0,944	0,817	0,825
AT4G27052_1	1,178	1,282	1,535
AT4G27060_1	1,196	0,657	0,498
AT4G27070_1	1,131	4,395	4,356
AT4G27080_1	0,973	0,877	0,899
AT4G27080_2	1,007	0,877	0,914
AT4G27090_1	1,003	0,871	0,656
AT4G27100_1	1,020	0,477	0,841
AT4G27100_2	0,857	0,331	0,835
AT4G27110_1	1,233	1,242	1,146
AT4G27120_1	1,142	0,952	1,541
AT4G27120_2	1,175	1,138	1,349
AT4G27130_1	1,292	1,251	1,076
AT4G27140_1	1,068	1,067	1,256
AT4G27150_1	1,416	1,395	1,491
AT4G27160_1	1,246	1,246	1,445
AT4G27170_1	1,520	2,046	2,598
AT4G27180_1	1,074	0,475	0,316
AT4G27190_1	1,067	1,009	1,238
AT4G27200_1	1,287	1,144	1,382
AT4G27210_1	1,162	1,061	1,151
AT4G27220_1	1,016	0,800	1,153
AT4G27230_1	0,735	0,551	0,508
AT4G27240_1	0,757	0,433	0,094
AT4G27250_1	1,094	1,019	0,965
AT4G27260_1	0,385	2,294	9,041
AT4G27270_1	0,727	0,240	0,307

AGI	NaCl-Kontrolle zur H₂O-Kontrolle (log₂)	H₂O +B.c. zur H₂O-Kontrolle (log₂)	NaCl +B.c. zur H₂O-Kontrolle (log₂)
AT4G27280_1	0,745	2,207	2,060
AT4G27290_1	0,620	1,058	0,584
AT4G27300_1	0,959	3,334	1,757
AT4G27310_1	0,985	0,873	0,779
AT4G27320_1	0,990	1,244	1,389
AT4G27330_1	1,160	1,234	1,497
AT4G27340_1	1,190	0,614	0,263
AT4G27350_1	0,911	2,438	2,193
AT4G27360_1	0,973	2,026	1,770
AT4G27370_1	1,064	0,372	0,317
AT4G27380_1	1,198	1,917	1,728
AT4G27390_1	1,025	0,628	0,799
AT4G27400_1	1,146	1,089	1,319
AT4G27410_1	1,085	2,175	2,877
AT4G27410_2	1,116	1,511	6,201
AT4G27410_3	1,010	1,998	2,640
AT4G27415_1	0,998	1,027	0,989
AT4G27415_2	1,043	1,023	1,095
AT4G27420_1	0,992	1,191	1,183
AT4G27430_1	0,933	0,625	0,183
AT4G27430_2	0,888	0,765	0,542
AT4G27435_1	0,619	0,539	0,950
AT4G27440_1	1,022	0,245	0,038
AT4G27440_2	1,015	0,327	0,055
AT4G27450_1	0,822	0,853	1,130
AT4G27460_1	1,140	1,882	1,314
AT4G27470_1	0,844	0,450	0,789
AT4G27480_1	1,005	1,673	3,740
AT4G27490_1	1,152	1,055	0,613
AT4G27500_1	1,001	1,278	1,256
AT4G27510_1	0,743	0,636	0,595
AT4G27510_2	0,697	0,402	0,394
AT4G27520_1	1,037	0,845	0,762
AT4G27530_1	1,053	1,044	1,016
AT4G27540_1	1,023	1,538	2,171
AT4G27550_1	1,001	1,048	1,043
AT4G27560_1	0,981	0,750	0,369
AT4G27570_1	1,228	0,903	0,525
AT4G27580_1	1,172	2,935	6,316
AT4G27585_1	1,252	2,262	2,857
AT4G27590_1	1,057	1,038	0,983
AT4G27590_2	0,997	0,971	1,022
AT4G27595_1	0,863	0,102	0,050
AT4G27597_1	0,987	0,979	1,091
AT4G27600_1	0,969	0,696	0,489
AT4G27610_1	1,111	0,853	0,705
AT4G27610_2	1,069	0,827	0,692
AT4G27610_3	1,148	0,773	0,809
AT4G27620_1	0,787	0,689	0,675
AT4G27620_2	0,819	0,607	0,577

AGI	NaCl-Kontrolle zur H₂O-Kontrolle (log₂)	H₂O +B.c. zur H₂O-Kontrolle (log₂)	NaCl +B.c. zur H₂O-Kontrolle (log₂)
AT4G27630_1	1,063	0,851	0,687
AT4G27630_2	1,030	0,611	0,442
AT4G27640_1	1,033	1,213	0,660
AT4G27650_1	0,906	1,033	0,993
AT4G27652_1	1,262	3,533	4,479
AT4G27654_1	1,055	3,997	3,623
AT4G27657_1	1,719	2,401	2,242
AT4G27660_1	0,840	0,830	0,780
AT4G27670_1	1,024	2,328	18,412
AT4G27680_1	1,016	1,189	1,705
AT4G27690_1	0,841	0,866	1,490
AT4G27690_2	1,019	1,017	1,328
AT4G27700_1	0,969	0,500	0,295
AT4G27710_1	1,064	0,375	0,296
AT4G27720_1	0,990	0,257	0,085
AT4G27730_1	0,745	0,999	0,592
AT4G27740_1	0,781	0,373	0,853
AT4G27745_1	0,904	0,548	2,491
AT4G27750_1	0,943	0,911	1,048
AT4G27760_1	0,944	0,479	0,363
AT4G27765_1	0,950	0,905	1,037
AT4G27780_1	1,072	1,619	3,401
AT4G27790_1	1,447	1,624	2,011
AT4G27800_1	1,115	0,505	0,508
AT4G27800_2	1,117	0,509	0,504
AT4G27810_1	1,119	1,097	1,101
AT4G27820_1	0,955	0,366	0,450
AT4G27830_1	1,104	1,808	3,358
AT4G27840_1	0,911	0,995	1,913
AT4G27850_1	0,883	0,850	1,597
AT4G27860_1	0,905	4,908	4,456
AT4G27870_1	0,977	0,904	0,643
AT4G27880_1	0,945	0,820	1,212
AT4G27890_1	1,148	3,020	3,369
AT4G27900_1	1,093	1,344	0,631
AT4G27900_2	0,878	0,940	0,860
AT4G27910_1	0,962	0,901	1,210
AT4G27920_1	0,931	1,038	0,906
AT4G27930_1	1,076	1,181	1,218
AT4G27940_1	0,730	7,467	7,205
AT4G27950_1	0,867	1,303	1,696
AT4G27960_1	0,919	1,195	1,473
AT4G27960_2	0,755	1,061	1,647
AT4G27970_1	0,632	1,607	1,031
AT4G27980_1	0,966	1,117	0,928
AT4G27990_1	1,056	1,129	1,054
AT4G28000_1	1,035	1,706	1,635
AT4G28005_1	1,108	1,063	1,181
AT4G28010_1	1,109	0,514	0,279
AT4G28020_1	0,840	1,249	0,748

AGI	NaCl-Kontrolle zur H₂O-Kontrolle (log₂)	H₂O +B.c. zur H₂O-Kontrolle (log₂)	NaCl +B.c. zur H₂O-Kontrolle (log₂)
AT4G28025_1	0,916	0,821	0,936
AT4G28030_1	0,928	0,761	0,850
AT4G28030_2	0,887	0,751	0,760
AT4G28040_1	1,074	13,034	144,720
AT4G28040_2	0,838	10,958	128,946
AT4G28040_3	1,015	11,903	135,450
AT4G28040_5	0,883	11,550	136,374
AT4G28050_1	0,889	0,255	0,103
AT4G28060_1	0,977	1,064	1,418
AT4G28070_1	1,074	0,361	0,256
AT4G28070_2	1,114	0,337	0,228
AT4G28080_1	1,071	0,725	0,295
AT4G28085_1	0,621	26,768	25,669
AT4G28085_2	0,801	12,928	21,068
AT4G28088_1	0,953	5,685	14,434
AT4G28090_1	1,094	1,127	1,317
AT4G28100_1	0,939	1,220	0,436
AT4G28110_1	0,976	0,961	1,363
AT4G28130_1	1,219	1,213	1,466
AT4G28140_1	0,901	0,330	0,947
AT4G28150_1	0,830	0,181	0,253
AT4G28160_1	0,876	0,477	0,552
AT4G28170_1	1,288	1,474	1,684
AT4G28180_1	1,284	0,288	0,111
AT4G28181_1	1,260	1,376	1,415
AT4G28190_1	0,910	0,273	0,194
AT4G28200_1	1,261	1,746	1,570
AT4G28210_1	1,051	0,715	0,539
AT4G28220_1	1,018	0,441	0,204
AT4G28230_1	0,741	4,130	2,562
AT4G28240_1	1,084	0,698	0,313
AT4G28250_1	1,328	0,074	0,011
AT4G28250_2	1,393	0,092	0,053
AT4G28260_1	0,951	0,731	0,866
AT4G28270_1	1,123	0,737	0,559
AT4G28280_1	0,958	1,212	1,652
AT4G28290_1	0,513	4,325	4,619
AT4G28300_1	0,987	1,223	1,359
AT4G28310_1	0,516	0,261	0,218
AT4G28320_1	1,142	0,367	0,181
AT4G28330_1	0,997	0,972	1,019
AT4G28340_1	1,296	1,442	2,307
AT4G28350_1	0,985	4,453	4,144
AT4G28360_1	1,001	0,548	0,360
AT4G28365_1	1,398	1,645	1,868
AT4G28370_1	1,094	0,812	1,613
AT4G28380_1	1,133	0,699	1,820
AT4G28390_1	1,468	4,520	5,510
AT4G28395_1	1,243	1,360	1,459
AT4G28397_1	0,915	1,014	1,127

AGI	NaCl-Kontrolle zur H ₂ O-Kontrolle (log ₂)	H ₂ O +B.c. zur H ₂ O-Kontrolle (log ₂)	NaCl +B.c. zur H ₂ O-Kontrolle (log ₂)
AT4G28397_2	1,145	1,137	1,509
AT4G28400_1	0,880	1,306	0,884
AT4G28405_1	1,340	1,490	1,766
AT4G28410_1	1,435	1,535	1,458
AT4G28420_1	1,307	1,491	1,916
AT4G28420_2	1,159	1,608	2,366
AT4G28430_1	1,143	1,099	1,069
AT4G28440_1	1,024	1,089	0,953
AT4G28450_1	1,152	1,614	1,077
AT4G28460_1	0,993	14,225	31,391
AT4G28470_1	1,016	0,831	0,800
AT4G28480_1	1,003	1,482	1,444
AT4G28480_2	0,946	1,456	1,521
AT4G28485_1	1,159	1,436	2,485
AT4G28490_1	0,612	0,899	1,650
AT4G28500_1	0,721	0,260	0,255
AT4G28510_1	1,158	1,114	0,947
AT4G28520_1	1,276	1,532	1,529
AT4G28520_2	1,489	1,737	2,026
AT4G28520_3	0,928	1,093	1,240
AT4G28520_4	1,173	1,258	1,445
AT4G28530_1	0,894	0,949	1,087
AT4G28530_2	0,933	0,876	0,966
AT4G28540_1	0,848	0,809	1,237
AT4G28550_1	0,991	1,728	2,721
AT4G28556_1	0,974	0,838	0,805
AT4G28560_1	0,954	0,399	0,333
AT4G28564_1	1,039	1,270	1,560
AT4G28570_1	1,027	1,128	1,631
AT4G28580_1	1,295	1,506	1,331
AT4G28590_1	1,426	0,436	0,272
AT4G28600_1	1,134	1,428	1,532
AT4G28610_1	1,014	0,995	0,986
AT4G28620_1	0,992	0,788	0,686
AT4G28630_1	0,895	0,421	0,438
AT4G28640_1	1,166	0,478	0,529
AT4G28650_1	1,043	0,833	0,860
AT4G28660_1	0,849	0,479	0,196
AT4G28670_1	1,040	1,136	1,450
AT4G28680_1	1,005	1,095	1,043
AT4G28680_2	1,019	1,174	1,442
AT4G28690_1	1,129	0,824	0,787
AT4G28700_1	1,121	0,918	0,496
AT4G28703_1	0,670	0,524	0,646
AT4G28706_1	0,888	0,237	0,124
AT4G28706_2	0,865	0,237	0,119
AT4G28706_3	0,873	0,252	0,125
AT4G28710_1	0,957	0,902	1,192
AT4G28720_1	0,407	1,218	0,219
AT4G28730_1	0,904	0,567	0,825

AGI	NaCl-Kontrolle zur H₂O-Kontrolle (log₂)	H₂O +B.c. zur H₂O-Kontrolle (log₂)	NaCl +B.c. zur H₂O-Kontrolle (log₂)
AT4G28740_1	1,116	0,816	0,605
AT4G28750_1	0,938	0,668	0,369
AT4G28760_1	1,003	0,768	0,405
AT4G28770_1	0,875	1,040	1,384
AT4G28775_1	1,101	1,022	1,087
AT4G28780_1	0,673	0,057	0,007
AT4G28790_1	1,360	1,516	1,740
AT4G28790_2	1,090	1,031	1,052
AT4G28800_1	1,119	1,557	1,597
AT4G28811_1	1,302	1,473	1,698
AT4G28815_1	1,243	1,226	1,043
AT4G28820_1	1,101	0,614	0,420
AT4G28820_2	1,094	0,655	0,408
AT4G28830_1	1,030	0,608	0,519
AT4G28830_2	0,972	0,635	0,476
AT4G28840_1	0,953	1,003	1,117
AT4G28850_1	1,101	1,159	1,215
AT4G28860_1	0,891	0,629	0,793
AT4G28860_2	0,908	0,514	0,655
AT4G28870_1	1,306	1,434	1,771
AT4G28880_1	0,947	0,908	0,916
AT4G28890_1	1,343	1,340	1,469
AT4G28900_1	0,945	1,128	0,999
AT4G28910_1	1,104	1,441	1,265
AT4G28920_1	0,826	0,900	0,836
AT4G28930_1	0,998	1,355	1,501
AT4G28940_1	1,152	43,185	63,472
AT4G28950_1	0,807	0,536	0,548
AT4G28960_1	1,268	1,494	1,783
AT4G28970_1	1,206	1,382	1,253
AT4G28980_1	1,034	1,006	0,761
AT4G28980_2	0,887	0,751	1,159
AT4G28990_1	1,022	1,124	0,880
AT4G28990_2	0,985	0,928	0,865
AT4G29000_1	1,042	1,482	1,303
AT4G29010_1	1,070	0,992	1,277
AT4G29020_1	0,526	0,078	0,074
AT4G29030_1	0,852	0,947	0,921
AT4G29033_1	1,036	1,084	1,170
AT4G29035_1	1,198	1,384	1,577
AT4G29040_1	0,970	0,967	1,306
AT4G29050_1	0,598	0,990	0,703
AT4G29060_1	1,051	0,503	0,189
AT4G29060_2	0,955	0,493	0,172
AT4G29070_1	1,224	0,813	1,056
AT4G29070_2	1,097	0,979	1,133
AT4G29080_1	0,893	0,380	0,200
AT4G29090_1	1,062	1,403	1,240
AT4G29100_1	1,212	0,851	1,647
AT4G29103_1	0,986	1,054	1,035

AGI	NaCl-Kontrolle zur H₂O-Kontrolle (log₂)	H₂O +B.c. zur H₂O-Kontrolle (log₂)	NaCl +B.c. zur H₂O-Kontrolle (log₂)
AT4G29110_1	1,108	0,893	0,946
AT4G29120_1	0,955	0,889	0,837
AT4G29130_1	1,027	1,273	1,598
AT4G29140_1	1,034	0,741	0,366
AT4G29150_1	0,900	1,428	1,611
AT4G29160_1	0,939	1,084	1,453
AT4G29160_2	1,009	1,037	1,040
AT4G29160_3	0,889	1,048	1,353
AT4G29170_1	0,965	0,337	0,188
AT4G29170_2	0,851	0,581	0,617
AT4G29180_1	0,969	1,076	0,908
AT4G29190_1	1,019	0,511	0,350
AT4G29200_1	1,226	1,416	1,471
AT4G29210_1	1,028	3,402	3,086
AT4G29210_2	1,104	4,310	3,802
AT4G29220_1	1,033	1,108	0,939
AT4G29230_1	0,897	2,879	11,154
AT4G29240_1	0,873	0,306	0,257
AT4G29250_1	0,932	1,006	1,112
AT4G29260_1	0,925	0,773	0,784
AT4G29270_1	0,987	1,209	1,080
AT4G29273_1	1,149	1,290	1,475
AT4G29276_1	1,263	1,449	1,246
AT4G29280_1	1,093	1,045	1,314
AT4G29281_1	0,719	1,131	1,165
AT4G29283_1	1,017	1,120	1,134
AT4G29285_1	1,045	1,044	1,085
AT4G29290_1	1,084	1,233	1,541
AT4G29300_1	1,010	0,985	0,993
AT4G29305_1	1,142	1,247	1,368
AT4G29310_1	0,513	0,562	0,157
AT4G29330_1	0,883	1,670	2,012
AT4G29340_1	1,121	2,413	5,044
AT4G29350_1	0,929	0,889	1,047
AT4G29360_1	0,996	0,222	0,121
AT4G29360_2	0,918	0,783	0,998
AT4G29370_1	0,919	1,164	1,339
AT4G29380_1	1,016	0,902	1,542
AT4G29390_1	0,851	0,506	0,520
AT4G29400_1	1,251	0,192	0,090
AT4G29410_1	0,996	0,955	0,681
AT4G29410_2	0,964	0,971	0,686
AT4G29420_1	0,935	1,118	1,685
AT4G29430_1	0,862	1,248	0,850
AT4G29440_1	0,989	0,944	0,990
AT4G29450_1	1,107	1,090	1,273
AT4G29460_1	1,153	1,286	1,533
AT4G29470_1	0,870	0,932	0,906
AT4G29480_1	0,853	0,935	1,165
AT4G29490_1	1,145	1,149	2,211

AGI	NaCl-Kontrolle zur H₂O-Kontrolle (log₂)	H₂O +B.c. zur H₂O-Kontrolle (log₂)	NaCl +B.c. zur H₂O-Kontrolle (log₂)
AT4G29510_1	1,055	0,916	0,593
AT4G29520_1	0,653	1,471	2,434
AT4G29530_1	0,792	0,714	1,139
AT4G29540_1	1,058	0,746	0,700
AT4G29540_2	0,947	0,623	0,521
AT4G29548_1	0,943	0,958	1,091
AT4G29550_1	1,096	0,913	0,964
AT4G29560_1	1,234	0,575	0,482
AT4G29570_1	1,051	1,533	3,849
AT4G29580_1	1,283	1,732	2,400
AT4G29580_2	1,168	0,913	1,047
AT4G29590_1	0,940	0,350	0,265
AT4G29600_1	1,242	0,802	0,854
AT4G29610_1	1,090	0,083	0,042
AT4G29620_1	1,062	1,225	1,374
AT4G29630_1	1,429	1,597	1,757
AT4G29640_1	1,201	1,419	1,669
AT4G29650_1	1,077	1,459	1,676
AT4G29654_1	1,180	1,423	1,598
AT4G29658_1	0,921	1,241	1,117
AT4G29660_1	1,114	1,016	1,696
AT4G29670_1	0,589	2,152	3,318
AT4G29670_2	0,906	5,704	9,881
AT4G29680_1	0,999	0,819	0,923
AT4G29690_1	0,688	1,357	0,603
AT4G29700_1	0,405	2,235	1,581
AT4G29710_1	0,439	2,448	1,819
AT4G29720_1	1,016	0,733	0,322
AT4G29730_1	1,082	0,928	0,370
AT4G29735_1	0,854	0,901	0,907
AT4G29735_2	0,892	0,862	0,922
AT4G29740_1	0,468	1,079	0,570
AT4G29750_1	1,011	0,373	0,205
AT4G29760_1	0,991	1,244	1,554
AT4G29770_1	0,752	1,044	1,142
AT4G29780_1	1,031	3,792	4,028
AT4G29790_1	1,046	1,170	1,352
AT4G29800_1	1,032	1,204	1,547
AT4G29810_1	0,859	0,955	1,332
AT4G29810_2	0,783	0,962	1,377
AT4G29810_3	0,847	0,651	0,780
AT4G29820_1	1,105	1,523	1,974
AT4G29830_1	0,947	0,793	0,669
AT4G29840_1	1,089	0,987	0,715
AT4G29850_1	0,994	1,904	3,078
AT4G29860_1	1,023	0,759	1,341
AT4G29870_1	0,983	0,862	0,838
AT4G29880_1	0,914	0,970	0,934
AT4G29890_1	1,088	0,726	1,121
AT4G29900_1	0,815	1,367	1,308

AGI	NaCl-Kontrolle zur H₂O-Kontrolle (log₂)	H₂O +B.c. zur H₂O-Kontrolle (log₂)	NaCl +B.c. zur H₂O-Kontrolle (log₂)
AT4G29905_1	0,996	0,239	0,084
AT4G29910_1	0,992	0,323	0,103
AT4G29920_1	0,868	0,342	0,259
AT4G29930_1	1,014	4,144	2,581
AT4G29930_2	1,173	9,260	3,734
AT4G29930_3	0,999	1,180	1,104
AT4G29930_4	1,024	4,637	2,505
AT4G29940_1	1,044	1,103	1,256
AT4G29950_1	0,764	1,706	2,201
AT4G29960_1	0,875	1,270	1,792
AT4G29970_1	0,820	0,867	0,850
AT4G29980_1	0,888	1,142	1,374
AT4G29990_1	0,896	0,489	0,315
AT4G30000_1	1,044	0,482	0,138
AT4G30010_1	0,820	1,036	1,565
AT4G30020_1	1,067	0,192	0,033
AT4G30030_1	1,131	1,342	1,580
AT4G30040_1	1,052	1,232	1,246
AT4G30050_1	0,455	0,135	0,118
AT4G30060_1	0,741	1,686	1,563
AT4G30064_1	1,263	1,769	2,725
AT4G30067_1	1,026	1,082	1,069
AT4G30070_1	1,331	1,979	2,244
AT4G30072_1	1,051	1,203	1,368
AT4G30074_1	1,274	1,380	1,730
AT4G30080_1	1,046	0,636	0,743
AT4G30090_1	0,493	0,553	0,579
AT4G30097_1	1,304	0,890	1,569
AT4G30100_1	1,057	0,989	1,117
AT4G30110_1	0,908	0,249	0,031
AT4G30120_1	1,663	0,766	0,642
AT4G30130_1	1,057	0,558	0,640
AT4G30140_1	1,053	1,165	1,169
AT4G30150_1	1,199	1,034	0,842
AT4G30160_1	1,056	1,115	1,194
AT4G30170_1	0,880	1,076	1,009
AT4G30180_1	0,823	0,187	0,221
AT4G30190_1	0,930	0,897	1,780
AT4G30200_1	0,923	1,095	1,593
AT4G30200_2	0,915	1,016	1,645
AT4G30210_1	0,877	1,896	1,681
AT4G30220_1	0,887	0,614	0,397
AT4G30230_1	0,463	7,270	9,660
AT4G30240_1	0,878	1,547	1,862
AT4G30250_1	0,906	0,618	0,280
AT4G30260_1	0,924	1,157	1,088
AT4G30270_1	0,314	3,636	4,142
AT4G30280_1	0,473	9,218	10,503
AT4G30290_1	0,564	2,610	3,437
AT4G30300_1	0,999	1,007	1,843

AGI	NaCl-Kontrolle zur H₂O-Kontrolle (log₂)	H₂O +B.c. zur H₂O-Kontrolle (log₂)	NaCl +B.c. zur H₂O-Kontrolle (log₂)
AT4G30310_1	1,013	0,645	0,619
AT4G30310_2	0,946	0,653	0,629
AT4G30320_1	1,400	1,343	1,562
AT4G30330_1	0,922	0,390	0,137
AT4G30340_1	0,736	2,563	2,419
AT4G30350_1	0,858	1,215	1,531
AT4G30360_1	0,985	0,997	1,091
AT4G30370_1	1,080	1,273	1,439
AT4G30380_1	1,040	1,085	1,245
AT4G30390_1	1,009	1,819	2,291
AT4G30400_1	0,876	0,610	0,069
AT4G30410_1	1,000	0,109	0,053
AT4G30410_2	0,912	0,914	0,919
AT4G30420_1	1,025	1,080	1,344
AT4G30430_1	1,026	7,192	10,666
AT4G30440_1	1,020	0,925	0,521
AT4G30450_1	1,346	2,181	1,451
AT4G30460_1	1,786	1,984	1,857
AT4G30470_1	0,661	1,760	2,962
AT4G30480_1	0,792	0,462	0,588
AT4G30480_2	0,748	0,752	1,325
AT4G30480_3	0,889	0,768	1,445
AT4G30490_1	1,071	2,748	4,251
AT4G30500_1	0,801	1,609	2,823
AT4G30510_1	0,754	1,437	1,898
AT4G30510_2	0,864	1,407	1,789
AT4G30520_1	0,838	0,293	0,148
AT4G30530_1	0,866	1,880	1,771
AT4G30540_1	1,003	1,151	1,319
AT4G30550_1	1,034	0,835	1,717
AT4G30560_1	1,014	0,583	0,653
AT4G30570_1	0,885	0,628	0,929
AT4G30580_1	1,054	0,562	0,494
AT4G30590_1	1,123	1,234	1,214
AT4G30600_1	0,979	1,528	1,417
AT4G30610_1	0,494	0,235	0,049
AT4G30620_1	0,900	0,419	0,282
AT4G30630_1	0,806	0,768	1,761
AT4G30640_1	0,719	0,387	0,629
AT4G30650_1	1,072	0,012	0,005
AT4G30660_1	0,754	0,080	0,100
AT4G30660_2	0,937	0,079	0,117
AT4G30662_1	0,816	0,295	0,316
AT4G30670_1	1,010	1,376	1,549
AT4G30680_1	0,943	0,443	0,155
AT4G30690_1	0,851	0,312	0,230
AT4G30700_1	1,176	0,363	0,207
AT4G30710_1	1,097	0,352	0,310
AT4G30720_1	1,062	0,368	0,103
AT4G30730_1	1,079	1,128	1,109

AGI	NaCl-Kontrolle zur H₂O-Kontrolle (log₂)	H₂O +B.c. zur H₂O-Kontrolle (log₂)	NaCl +B.c. zur H₂O-Kontrolle (log₂)
AT4G30740_1	1,133	0,336	0,283
AT4G30750_1	0,940	1,235	1,188
AT4G30760_1	0,929	0,969	0,889
AT4G30760_2	0,966	1,017	0,896
AT4G30770_1	0,947	1,148	1,172
AT4G30780_1	0,956	1,673	1,710
AT4G30790_1	1,118	0,946	1,352
AT4G30800_1	1,072	1,230	1,068
AT4G30810_1	1,051	0,628	0,631
AT4G30820_1	0,819	0,712	0,658
AT4G30820_2	0,782	0,727	0,757
AT4G30820_3	0,817	0,695	0,575
AT4G30825_1	0,968	0,511	0,344
AT4G30830_1	1,089	0,451	0,490
AT4G30840_1	0,889	1,506	1,036
AT4G30845_1	0,866	0,303	0,205
AT4G30850_1	0,568	2,348	1,852
AT4G30850_2	0,531	2,172	1,653
AT4G30860_1	0,732	0,662	0,834
AT4G30870_1	1,015	0,746	1,046
AT4G30872_1	1,166	1,085	1,675
AT4G30880_1	1,242	1,256	1,779
AT4G30890_1	1,044	1,515	1,505
AT4G30900_1	0,962	0,887	0,937
AT4G30900_2	0,968	0,821	0,847
AT4G30910_1	0,939	1,286	0,860
AT4G30920_1	1,066	0,816	0,767
AT4G30930_1	1,077	1,077	0,676
AT4G30935_1	1,198	0,731	0,902
AT4G30940_1	1,112	0,547	0,717
AT4G30950_1	0,982	0,707	0,457
AT4G30960_1	1,184	1,369	2,038
AT4G30970_1	0,978	0,964	1,068
AT4G30972_1	1,047	1,178	1,197
AT4G30975_1	0,884	0,966	1,257
AT4G30980_1	1,157	0,947	1,035
AT4G30990_1	1,223	1,132	0,816
AT4G30990_2	0,990	0,889	1,032
AT4G30993_1	0,928	0,298	0,321
AT4G30993_2	0,937	0,782	0,729
AT4G30996_1	0,871	0,484	0,393
AT4G31000_1	0,499	0,373	0,345
AT4G31010_1	0,994	0,842	0,776
AT4G31010_2	0,946	0,873	0,755
AT4G31020_1	1,105	4,931	3,984
AT4G31020_2	1,039	1,017	1,320
AT4G31040_1	1,117	0,641	0,401
AT4G31050_1	1,080	0,332	0,228
AT4G31060_1	1,149	0,282	0,347
AT4G31070_1	1,238	0,572	0,476

AGI	NaCl-Kontrolle zur H₂O-Kontrolle (log₂)	H₂O +B.c. zur H₂O-Kontrolle (log₂)	NaCl +B.c. zur H₂O-Kontrolle (log₂)
AT4G31075_1	0,919	0,932	0,991
AT4G31080_1	0,901	1,329	1,357
AT4G31100_1	0,913	0,890	0,872
AT4G31110_1	1,079	0,848	0,898
AT4G31115_1	1,121	0,538	0,663
AT4G31115_2	1,116	0,495	0,743
AT4G31120_1	1,105	0,820	0,252
AT4G31120_2	1,111	0,815	0,244
AT4G31130_1	0,879	1,068	1,081
AT4G31136_1	1,019	1,166	1,186
AT4G31140_1	0,902	0,694	0,575
AT4G31150_1	0,940	0,588	0,624
AT4G31150_2	1,090	0,715	0,700
AT4G31160_1	1,099	1,183	1,241
AT4G31170_1	0,952	1,041	1,115
AT4G31180_1	1,053	1,119	1,128
AT4G31190_1	1,080	0,994	0,903
AT4G31196_1	1,057	0,498	0,683
AT4G31200_1	1,085	0,905	0,911
AT4G31210_1	0,988	0,644	0,322
AT4G31230_1	1,303	1,301	1,449
AT4G31240_1	1,070	1,273	9,246
AT4G31240_2	1,198	1,418	12,581
AT4G31248_1	1,134	1,045	6,213
AT4G31250_1	1,043	0,496	0,849
AT4G31260_1	1,307	1,483	1,686
AT4G31265_1	1,498	1,262	1,849
AT4G31270_1	0,840	0,364	0,387
AT4G31280_1	1,394	1,407	1,711
AT4G31290_1	1,048	0,401	0,231
AT4G31300_1	1,039	1,016	1,343
AT4G31300_2	1,044	1,036	1,360
AT4G31310_1	0,957	1,040	0,619
AT4G31320_1	1,073	1,494	1,972
AT4G31330_1	1,083	0,963	1,694
AT4G31340_1	0,977	1,073	1,204
AT4G31340_2	0,964	1,063	1,154
AT4G31350_1	1,032	0,833	0,634
AT4G31350_2	1,033	0,831	0,617
AT4G31360_1	0,602	0,521	0,356
AT4G31370_1	0,962	1,165	1,591
AT4G31380_1	0,887	0,968	0,979
AT4G31390_1	1,158	1,112	1,371
AT4G31390_2	1,059	1,094	1,250
AT4G31398_1	0,915	0,909	1,011
AT4G31400_1	0,776	0,454	0,753
AT4G31408_1	0,968	0,943	1,193
AT4G31410_1	1,098	1,123	1,648
AT4G31410_2	1,056	1,073	1,554
AT4G31420_1	1,149	1,049	1,396

AGI	NaCl-Kontrolle zur H₂O-Kontrolle (log₂)	H₂O +B.c. zur H₂O-Kontrolle (log₂)	NaCl +B.c. zur H₂O-Kontrolle (log₂)
AT4G31420_2	1,107	1,012	1,372
AT4G31430_1	1,080	1,139	1,000
AT4G31430_2	1,083	1,124	1,022
AT4G31430_3	1,108	1,111	1,028
AT4G31440_1	1,039	0,786	0,860
AT4G31441_1	0,976	0,713	0,868
AT4G31450_1	1,050	1,009	1,373
AT4G31460_1	0,929	1,137	0,863
AT4G31470_1	1,075	1,101	1,089
AT4G31480_1	0,992	0,884	0,796
AT4G31490_1	1,078	1,005	0,898
AT4G31500_1	0,900	1,538	1,430
AT4G31510_1	0,892	0,653	1,521
AT4G31520_1	1,149	1,760	1,616
AT4G31530_1	0,989	0,547	0,563
AT4G31540_1	1,035	1,228	1,486
AT4G31550_1	0,974	1,432	1,694
AT4G31560_1	1,041	0,559	0,540
AT4G31570_1	1,006	0,348	0,435
AT4G31580_1	1,033	1,015	0,747
AT4G31580_2	1,040	1,038	0,797
AT4G31590_1	1,075	0,359	0,067
AT4G31600_1	0,833	0,384	0,297
AT4G31600_2	0,702	0,446	0,369
AT4G31610_1	0,886	0,942	0,951
AT4G31615_1	1,077	1,140	1,738
AT4G31620_1	0,886	0,447	0,549
AT4G31630_1	1,114	1,231	1,457
AT4G31640_1	1,251	0,911	0,869
AT4G31650_1	1,010	0,394	0,390
AT4G31660_1	1,347	1,339	1,803
AT4G31670_1	1,022	1,096	1,447
AT4G31680_1	1,067	0,914	0,975
AT4G31690_1	1,218	1,041	1,256
AT4G31700_1	0,786	0,959	0,780
AT4G31700_2	0,899	1,011	0,869
AT4G31710_1	1,301	0,979	1,093
AT4G31720_1	0,961	0,892	0,678
AT4G31720_2	0,942	0,899	0,656
AT4G31730_1	1,209	0,753	1,017
AT4G31740_1	1,097	1,002	1,051
AT4G31750_1	0,992	1,269	1,816
AT4G31760_1	1,160	1,266	1,437
AT4G31770_1	0,812	1,589	1,342
AT4G31780_1	1,046	1,124	1,199
AT4G31780_2	0,997	1,066	1,161
AT4G31790_1	1,034	1,824	1,241
AT4G31790_2	1,015	1,269	1,353
AT4G31800_1	0,516	3,092	4,488
AT4G31805_1	1,041	0,820	0,893

AGI	NaCl-Kontrolle zur H₂O-Kontrolle (log₂)	H₂O +B.c. zur H₂O-Kontrolle (log₂)	NaCl +B.c. zur H₂O-Kontrolle (log₂)
AT4G31810_1	1,237	1,316	0,832
AT4G31820_1	0,838	0,575	0,244
AT4G31830_1	1,298	1,121	1,095
AT4G31840_1	0,696	0,296	0,236
AT4G31850_1	1,023	0,479	0,183
AT4G31860_1	0,974	2,169	2,708
AT4G31860_2	0,867	1,603	2,770
AT4G31870_1	1,524	1,267	0,638
AT4G31875_1	0,960	2,588	1,639
AT4G31877_1	0,990	1,400	0,847
AT4G31880_1	1,068	1,037	1,001
AT4G31890_1	1,162	0,233	0,161
AT4G31900_1	1,085	0,967	1,065
AT4G31910_1	1,169	1,268	1,210
AT4G31920_1	0,978	1,206	1,517
AT4G31930_1	0,974	1,003	0,549
AT4G31940_1	0,875	2,011	1,224
AT4G31950_1	0,891	104,373	70,876
AT4G31960_1	1,177	1,477	1,847
AT4G31970_1	1,173	76,387	77,241
AT4G31980_1	0,758	0,660	0,759
AT4G31985_1	0,843	0,763	0,648
AT4G31990_1	1,061	0,764	1,032
AT4G31990_3	1,071	0,775	1,035
AT4G32000_1	0,900	0,128	0,075
AT4G32010_1	1,086	1,135	1,065
AT4G32020_1	0,908	1,218	1,175
AT4G32030_1	0,931	1,315	1,046
AT4G32030_2	0,733	0,582	0,495
AT4G32040_1	0,917	1,041	1,277
AT4G32050_1	1,149	1,202	1,350
AT4G32060_1	0,991	0,678	0,587
AT4G32060_2	0,995	0,652	0,552
AT4G32070_1	0,941	2,377	3,507
AT4G32080_1	1,039	1,023	1,032
AT4G32080_2	1,083	1,139	1,297
AT4G32090_1	1,109	1,038	1,098
AT4G32100_1	1,111	1,077	1,114
AT4G32105_1	1,058	0,990	0,990
AT4G32110_1	1,089	1,041	1,021
AT4G32120_1	1,052	0,722	0,385
AT4G32130_1	0,964	1,300	1,660
AT4G32140_1	0,785	1,561	1,678
AT4G32150_1	1,053	1,696	1,771
AT4G32160_1	1,077	1,579	1,897
AT4G32170_1	1,174	1,313	1,448
AT4G32175_1	1,011	0,783	0,717
AT4G32180_1	1,073	0,836	0,814
AT4G32180_2	1,113	0,892	0,842
AT4G32180_3	1,136	0,866	0,845

AGI	NaCl-Kontrolle zur H₂O-Kontrolle (log₂)	H₂O +B.c. zur H₂O-Kontrolle (log₂)	NaCl +B.c. zur H₂O-Kontrolle (log₂)
AT4G32190_1	0,869	0,705	0,711
AT4G32200_1	1,265	2,552	1,347
AT4G32205_1	1,137	1,209	1,411
AT4G32208_1	1,147	2,279	1,888
AT4G32210_1	1,002	1,235	1,552
AT4G32212_1	0,792	0,939	1,018
AT4G32215_1	1,163	1,418	1,398
AT4G32220_1	1,036	1,285	1,239
AT4G32230_1	0,961	1,197	1,087
AT4G32240_1	0,923	1,308	1,324
AT4G32250_1	0,981	1,590	3,454
AT4G32260_1	0,925	0,627	0,517
AT4G32270_1	0,894	1,139	1,150
AT4G32270_2	0,949	0,954	1,061
AT4G32272_1	0,857	1,404	1,780
AT4G32280_1	0,563	0,079	0,019
AT4G32285_1	0,952	1,138	1,074
AT4G32290_1	0,845	0,838	0,416
AT4G32295_1	0,909	0,776	0,463
AT4G32295_2	0,863	0,911	0,913
AT4G32300_1	0,742	1,307	0,957
AT4G32320_1	0,955	0,768	1,250
AT4G32330_1	0,894	0,397	0,175
AT4G32330_3	0,918	0,467	0,209
AT4G32340_1	0,803	0,228	0,302
AT4G32342_1	1,003	1,148	1,110
AT4G32350_1	0,884	0,751	0,746
AT4G32360_1	0,940	0,616	0,588
AT4G32370_1	0,943	0,934	0,943
AT4G32375_1	0,931	0,948	0,943
AT4G32378_1	1,086	1,069	1,150
AT4G32380_1	1,070	1,353	1,280
AT4G32390_1	1,131	1,119	1,055
AT4G32400_1	0,960	1,485	1,370
AT4G32410_1	1,028	0,818	0,671
AT4G32420_1	1,151	1,018	0,654
AT4G32430_1	1,148	0,539	0,307
AT4G32440_1	1,032	1,971	4,071
AT4G32440_2	0,846	0,675	1,502
AT4G32450_1	0,938	0,760	0,724
AT4G32460_1	0,439	0,474	0,535
AT4G32460_2	0,418	0,050	0,047
AT4G32470_1	0,927	0,952	1,268
AT4G32480_1	0,758	6,734	9,588
AT4G32490_1	1,061	1,773	1,980
AT4G32500_1	0,989	1,044	1,123
AT4G32510_1	1,006	1,013	0,981
AT4G32520_1	1,044	0,846	0,582
AT4G32530_1	0,928	0,723	0,940
AT4G32530_2	0,883	0,399	0,869

AGI	NaCl-Kontrolle zur H ₂ O-Kontrolle (log ₂)	H ₂ O +B.c. zur H ₂ O-Kontrolle (log ₂)	NaCl +B.c. zur H ₂ O-Kontrolle (log ₂)
AT4G32540_1	1,290	1,410	1,860
AT4G32551_1	1,009	0,915	0,812
AT4G32560_1	0,924	0,701	1,222
AT4G32560_2	0,953	0,143	0,176
AT4G32560_3	1,033	1,085	1,218
AT4G32570_1	1,004	0,497	0,225
AT4G32580_1	1,231	1,152	1,156
AT4G32590_1	0,814	0,442	0,391
AT4G32590_2	0,901	0,464	0,418
AT4G32590_3	0,844	0,442	0,398
AT4G32590_4	0,889	0,396	0,368
AT4G32600_1	1,007	1,032	1,133
AT4G32605_1	0,877	0,746	0,379
AT4G32610_1	1,010	0,915	0,835
AT4G32620_1	1,070	1,144	1,145
AT4G32630_1	1,035	1,348	1,752
AT4G32640_1	1,025	1,140	1,232
AT4G32650_1	0,981	1,624	2,827
AT4G32650_2	1,017	1,666	2,958
AT4G32650_3	0,969	1,685	2,892
AT4G32660_1	1,009	0,849	1,047
AT4G32660_2	0,996	0,851	0,975
AT4G32660_3	0,989	0,861	0,990
AT4G32670_1	1,212	1,043	0,591
AT4G32680_1	0,986	1,086	1,218
AT4G32690_1	0,894	1,143	2,300
AT4G32700_2	1,017	0,705	0,715
AT4G32710_1	0,973	0,297	0,085
AT4G32714_1	1,016	1,028	1,084
AT4G32717_1	0,996	1,069	1,127
AT4G32720_1	1,057	1,495	1,221
AT4G32730_1	1,037	1,104	1,417
AT4G32730_2	0,963	0,999	1,667
AT4G32750_1	0,843	1,009	1,061
AT4G32760_1	1,006	1,093	1,172
AT4G32770_1	1,094	0,687	0,769
AT4G32780_1	1,075	1,070	0,739
AT4G32785_1	0,911	1,040	0,614
AT4G32790_1	0,887	0,939	0,518
AT4G32800_1	0,586	1,560	0,392
AT4G32810_1	0,700	22,749	117,172
AT4G32820_1	1,095	0,585	0,778
AT4G32830_1	0,731	0,422	0,415
AT4G32840_1	1,055	0,259	0,150
AT4G32850_1	1,045	1,077	1,068
AT4G32850_10	0,987	1,003	1,052
AT4G32850_2	1,036	1,079	1,166
AT4G32850_3	1,048	1,086	1,138
AT4G32850_4	0,955	0,611	1,368
AT4G32850_5	1,003	1,044	1,072

AGI	NaCl-Kontrolle zur H₂O-Kontrolle (log₂)	H₂O +B.c. zur H₂O-Kontrolle (log₂)	NaCl +B.c. zur H₂O-Kontrolle (log₂)
AT4G32850_6	1,013	1,052	1,124
AT4G32850_7	0,982	1,004	1,226
AT4G32850_8	1,002	1,070	1,102
AT4G32850_9	1,031	1,086	1,149
AT4G32860_1	1,344	1,455	1,647
AT4G32870_1	0,853	0,978	2,234
AT4G32880_1	1,004	0,268	0,137
AT4G32890_1	0,840	0,416	0,169
AT4G32900_1	0,935	0,636	0,502
AT4G32910_1	1,182	0,929	0,586
AT4G32915_1	0,847	0,493	0,474
AT4G32920_1	1,267	3,090	5,302
AT4G32924_1	1,099	0,991	1,044
AT4G32930_1	0,890	0,708	1,248
AT4G32940_1	1,157	1,149	1,255
AT4G32950_1	0,954	1,718	1,277
AT4G32960_1	0,976	0,867	1,097
AT4G32970_1	1,198	0,804	0,744
AT4G32980_1	1,256	0,572	1,107
AT4G32990_1	0,783	0,581	0,447
AT4G33000_1	0,908	0,221	0,218
AT4G33000_2	0,682	0,160	0,118
AT4G33000_3	0,841	0,083	0,086
AT4G33010_1	1,092	0,980	0,606
AT4G33010_2	1,029	0,938	0,560
AT4G33020_1	1,434	3,514	25,564
AT4G33030_1	1,015	0,802	0,855
AT4G33040_1	1,422	3,172	11,771
AT4G33050_1	0,828	2,902	3,004
AT4G33050_2	0,806	2,758	2,717
AT4G33050_3	0,862	2,350	2,082
AT4G33050_4	0,913	2,478	2,183
AT4G33060_1	1,079	1,125	0,729
AT4G33070_1	1,026	3,469	10,013
AT4G33080_1	1,022	0,764	1,243
AT4G33080_2	1,050	0,796	1,036
AT4G33090_1	1,018	0,977	1,594
AT4G33100_1	0,843	1,013	2,113
AT4G33110_1	0,937	0,444	0,373
AT4G33120_1	0,952	0,477	0,400
AT4G33130_1	0,936	0,566	0,555
AT4G33130_2	0,826	0,600	0,796
AT4G33130_3	0,908	0,615	0,595
AT4G33140_1	1,118	1,057	1,609
AT4G33145_1	1,087	1,115	1,116
AT4G33150_1	0,840	10,649	27,503
AT4G33160_1	0,735	0,643	1,214
AT4G33170_1	1,257	0,597	0,417
AT4G33180_1	0,977	1,280	1,121
AT4G33200_1	1,014	0,790	0,879

AGI	NaCl-Kontrolle zur H₂O-Kontrolle (log₂)	H₂O +B.c. zur H₂O-Kontrolle (log₂)	NaCl +B.c. zur H₂O-Kontrolle (log₂)
AT4G33210_1	1,125	0,792	0,942
AT4G33220_1	0,898	0,594	0,060
AT4G33230_1	1,082	1,032	1,047
AT4G33240_1	1,072	1,026	1,504
AT4G33250_1	0,928	0,845	0,618
AT4G33260_1	0,939	0,437	0,321
AT4G33270_1	1,011	0,469	0,391
AT4G33280_1	0,951	0,828	0,777
AT4G33290_1	0,896	0,929	1,045
AT4G33300_1	0,937	0,763	1,059
AT4G33300_2	0,859	0,784	1,063
AT4G33310_1	0,836	0,498	0,630
AT4G33320_1	1,069	0,916	0,919
AT4G33330_1	1,070	0,948	1,096
AT4G33330_2	1,292	1,188	1,749
AT4G33350_1	0,913	0,565	0,752
AT4G33355_1	0,884	0,663	0,958
AT4G33355_2	0,896	0,867	0,998
AT4G33360_1	0,734	0,822	1,381
AT4G33360_2	0,763	0,855	1,354
AT4G33370_1	1,350	1,362	2,029
AT4G33380_1	1,095	0,828	0,758
AT4G33390_1	1,076	0,884	0,952
AT4G33400_1	0,915	0,879	0,350
AT4G33410_1	0,935	0,748	0,674
AT4G33420_1	0,768	8,123	21,408
AT4G33430_1	0,889	1,321	1,290
AT4G33440_1	0,920	1,279	1,318
AT4G33450_1	0,951	0,954	1,009
AT4G33460_1	0,862	0,672	1,119
AT4G33465_1	1,067	1,005	1,191
AT4G33467_1	0,719	0,073	1,741
AT4G33467_2	0,718	0,076	1,708
AT4G33470_1	0,986	0,275	0,182
AT4G33480_1	1,175	0,598	0,653
AT4G33490_1	0,832	0,275	0,692
AT4G33495_1	1,130	1,259	0,897
AT4G33500_1	1,028	0,387	0,321
AT4G33510_1	1,003	0,886	0,980
AT4G33510_2	0,978	0,935	1,345
AT4G33520_1	0,946	0,784	0,640
AT4G33520_2	0,896	1,541	1,574
AT4G33530_1	0,844	0,649	0,600
AT4G33540_1	1,293	3,419	5,546
AT4G33550_1	1,928	0,376	1,562
AT4G33560_1	0,567	1,620	1,202
AT4G33565_1	0,512	2,864	5,582
AT4G33580_1	1,048	1,127	0,848
AT4G33580_2	1,047	1,100	0,812
AT4G33585_1	1,391	1,659	2,382

AGI	NaCl-Kontrolle zur H₂O-Kontrolle (log₂)	H₂O +B.c. zur H₂O-Kontrolle (log₂)	NaCl +B.c. zur H₂O-Kontrolle (log₂)
AT4G33590_1	1,169	1,017	1,277
AT4G33600_1	1,232	1,102	1,324
AT4G33610_1	1,102	0,813	1,067
AT4G33620_1	0,951	0,620	0,837
AT4G33625_1	0,865	0,414	0,284
AT4G33625_2	0,845	0,382	0,277
AT4G33630_1	1,043	0,805	0,713
AT4G33630_2	0,972	0,501	0,559
AT4G33640_1	0,960	0,697	1,314
AT4G33650_1	1,023	1,202	1,350
AT4G33660_1	1,040	0,558	0,638
AT4G33666_1	0,739	0,479	0,745
AT4G33670_1	1,059	0,630	0,595
AT4G33680_1	0,928	0,591	0,519
AT4G33690_1	0,893	1,192	2,163
AT4G33700_1	1,127	0,735	0,976
AT4G33710_1	1,330	1,378	1,428
AT4G33720_1	1,109	1,759	1,341
AT4G33730_1	1,212	1,325	1,435
AT4G33740_1	0,842	0,765	0,762
AT4G33760_1	0,960	0,520	0,273
AT4G33770_1	1,226	1,347	2,377
AT4G33770_2	1,111	1,051	1,660
AT4G33780_1	1,198	1,555	3,462
AT4G33790_1	0,890	0,088	0,068
AT4G33800_1	0,985	1,069	1,174
AT4G33810_1	0,823	0,232	0,173
AT4G33820_1	1,049	0,466	0,420
AT4G33830_1	0,880	0,930	0,853
AT4G33840_1	1,072	1,240	1,647
AT4G33850_1	1,084	1,052	1,339
AT4G33860_1	1,097	1,120	1,364
AT4G33865_1	0,838	0,803	0,730
AT4G33870_1	1,069	0,979	1,289
AT4G33880_1	1,194	1,230	1,274
AT4G33890_1	1,079	1,583	1,754
AT4G33890_2	0,984	1,531	1,705
AT4G33900_1	1,058	1,018	1,225
AT4G33905_1	1,133	1,978	4,083
AT4G33910_1	0,875	1,051	1,932
AT4G33920_1	0,822	2,248	2,843
AT4G33925_1	0,805	1,254	3,152
AT4G33925_2	0,943	1,130	2,081
AT4G33930_1	1,120	1,116	2,808
AT4G33940_1	0,906	1,158	1,720
AT4G33945_1	1,008	0,755	0,811
AT4G33950_1	1,019	0,831	1,301
AT4G33950_2	1,036	1,119	2,007
AT4G33960_1	0,954	0,241	0,392
AT4G33970_1	1,222	0,865	1,363

AGI	NaCl-Kontrolle zur H₂O-Kontrolle (log₂)	H₂O +B.c. zur H₂O-Kontrolle (log₂)	NaCl +B.c. zur H₂O-Kontrolle (log₂)
AT4G33980_1	1,789	0,095	0,506
AT4G33985_1	1,390	1,199	2,305
AT4G33990_1	1,378	0,555	0,280
AT4G34000_1	1,410	1,161	2,016
AT4G34000_3	1,241	0,935	1,070
AT4G34020_1	0,994	0,712	0,804
AT4G34020_2	0,943	0,659	0,807
AT4G34030_1	1,027	0,582	1,045
AT4G34035_1	1,166	1,078	1,060
AT4G34040_1	1,049	1,094	1,204
AT4G34050_1	1,032	1,187	1,405
AT4G34050_2	1,043	1,152	1,372
AT4G34060_1	0,951	0,225	0,170
AT4G34060_2	1,092	0,274	0,213
AT4G34065_1	1,399	0,972	0,791
AT4G34070_1	1,067	1,007	1,051
AT4G34071_1	1,164	0,737	0,898
AT4G34080_1	1,041	0,927	0,860
AT4G34090_1	0,992	0,901	0,888
AT4G34100_1	1,053	0,978	0,954
AT4G34100_2	1,043	0,929	0,922
AT4G34103_1	1,075	1,003	0,919
AT4G34110_1	1,019	1,017	1,043
AT4G34120_1	0,948	1,154	1,455
AT4G34131_1	0,679	26,252	58,545
AT4G34135_1	1,453	14,858	35,184
AT4G34135_2	0,633	16,381	30,791
AT4G34138_1	0,934	0,700	1,141
AT4G34140_1	1,139	0,805	1,276
AT4G34150_1	0,811	1,550	1,577
AT4G34160_1	0,966	0,136	0,064
AT4G34170_1	1,018	1,060	1,065
AT4G34180_1	1,081	2,097	2,731
AT4G34190_1	0,905	0,552	0,306
AT4G34200_1	1,090	2,820	2,909
AT4G34210_1	1,195	14,410	22,825
AT4G34215_1	0,795	0,436	0,414
AT4G34215_2	0,925	0,763	0,585
AT4G34220_1	1,016	0,305	0,014
AT4G34230_1	1,175	10,942	13,508
AT4G34230_2	1,315	12,205	15,668
AT4G34240_1	1,040	0,837	0,826
AT4G34240_2	0,871	0,337	0,226
AT4G34250_1	1,049	0,086	0,050
AT4G34260_1	0,944	0,286	0,067
AT4G34265_1	1,051	0,814	0,731
AT4G34265_2	0,995	0,813	0,679
AT4G34270_1	1,010	0,926	1,182
AT4G34272_1	1,208	1,176	1,396
AT4G34280_1	1,091	0,760	0,855

AGI	NaCl-Kontrolle zur H₂O-Kontrolle (log₂)	H₂O +B.c. zur H₂O-Kontrolle (log₂)	NaCl +B.c. zur H₂O-Kontrolle (log₂)
AT4G34290_1	0,975	0,436	0,130
AT4G34300_1	1,024	1,193	1,628
AT4G34310_1	1,057	1,635	2,323
AT4G34310_2	1,028	1,529	2,221
AT4G34320_1	1,001	1,006	1,224
AT4G34330_1	1,027	1,006	1,239
AT4G34332_1	1,028	0,969	1,065
AT4G34340_1	0,963	1,239	1,530
AT4G34350_1	0,956	1,047	1,251
AT4G34360_1	0,985	0,803	0,637
AT4G34370_1	1,137	0,905	1,381
AT4G34380_1	0,632	1,747	5,145
AT4G34390_1	0,792	1,839	2,302
AT4G34400_1	0,982	0,954	1,596
AT4G34410_1	1,123	8,119	9,113
AT4G34412_1	0,828	1,046	0,772
AT4G34415_1	1,016	0,937	1,147
AT4G34420_1	1,007	0,813	0,874
AT4G34430_1	1,092	1,197	1,361
AT4G34430_2	1,080	1,287	1,520
AT4G34430_4	1,105	1,274	1,517
AT4G34440_1	0,976	0,989	1,298
AT4G34450_1	1,058	0,909	0,887
AT4G34460_1	0,957	1,327	1,226
AT4G34460_2	0,858	1,259	1,801
AT4G34460_4	0,939	1,297	1,241
AT4G34470_1	1,173	17,266	27,831
AT4G34480_1	0,913	0,708	0,715
AT4G34490_1	0,972	0,584	0,562
AT4G34500_1	1,172	0,416	0,407
AT4G34510_1	1,185	1,137	1,833
AT4G34520_1	1,026	1,154	1,410
AT4G34530_1	0,918	0,408	0,121
AT4G34540_1	1,055	2,039	1,923
AT4G34550_1	1,300	1,081	0,304
AT4G34555_1	1,036	1,034	0,815
AT4G34560_1	1,105	0,277	0,226
AT4G34570_1	0,885	0,714	0,647
AT4G34580_1	0,789	0,130	0,116
AT4G34588_1	0,814	9,370	5,840
AT4G34600_1	0,883	0,591	0,473
AT4G34610_1	1,013	1,140	0,392
AT4G34620_1	0,906	0,657	0,262
AT4G34630_1	1,064	0,835	0,898
AT4G34640_1	1,034	0,997	0,961
AT4G34650_1	1,185	0,367	0,273
AT4G34660_1	1,006	1,333	1,346
AT4G34670_1	0,985	1,123	0,741
AT4G34680_1	0,971	1,214	0,738
AT4G34680_2	0,846	0,909	0,543

AGI	NaCl-Kontrolle zur H₂O-Kontrolle (log₂)	H₂O +B.c. zur H₂O-Kontrolle (log₂)	NaCl +B.c. zur H₂O-Kontrolle (log₂)
AT4G34690_1	0,940	0,944	1,066
AT4G34700_1	0,789	0,792	0,963
AT4G34710_1	1,019	2,784	3,309
AT4G34720_1	0,930	0,886	0,887
AT4G34730_1	0,927	0,392	0,202
AT4G34740_1	0,911	1,231	0,671
AT4G34750_1	0,727	0,102	0,209
AT4G34760_1	0,782	0,160	0,012
AT4G34770_1	0,440	0,240	0,169
AT4G34780_1	1,095	0,993	1,088
AT4G34790_1	0,592	0,063	0,044
AT4G34800_1	0,850	0,814	0,555
AT4G34810_1	0,884	0,838	0,480
AT4G34830_1	1,098	0,552	0,280
AT4G34840_1	0,711	0,791	1,017
AT4G34850_1	1,079	1,002	1,051
AT4G34860_1	1,543	6,061	7,558
AT4G34870_1	1,101	0,828	0,856
AT4G34880_1	1,005	1,023	0,991
AT4G34881_1	1,161	1,364	0,646
AT4G34890_1	1,023	1,369	2,233
AT4G34900_1	0,887	0,790	1,057
AT4G34910_1	1,102	1,624	1,219
AT4G34920_1	0,970	0,905	1,052
AT4G34930_1	0,991	0,944	0,892
AT4G34940_1	0,782	0,645	0,711
AT4G34950_1	1,003	0,350	0,203
AT4G34960_1	0,867	0,393	0,312
AT4G34970_1	0,837	0,465	0,580
AT4G34980_1	1,168	0,884	0,099
AT4G34990_1	1,540	1,627	1,939
AT4G35000_1	1,064	0,877	0,800
AT4G35010_1	1,152	1,140	1,310
AT4G35020_1	0,897	0,468	0,236
AT4G35030_1	0,936	0,222	0,089
AT4G35040_1	0,979	1,027	0,959
AT4G35050_1	1,146	1,037	0,487
AT4G35060_1	0,560	3,488	7,040
AT4G35070_1	0,604	1,198	1,225
AT4G35070_2	0,746	1,334	1,230
AT4G35080_1	0,930	2,212	1,909
AT4G35080_2	0,946	3,214	2,704
AT4G35090_1	1,017	1,545	1,143
AT4G35090_2	1,222	1,545	1,214
AT4G35100_1	0,645	0,866	0,614
AT4G35110_1	0,579	4,619	4,834
AT4G35110_2	0,816	1,957	3,318
AT4G35110_3	0,589	3,490	3,695
AT4G35110_4	0,567	3,114	3,549
AT4G35120_1	1,136	1,338	1,268

AGI	NaCl-Kontrolle zur H₂O-Kontrolle (log₂)	H₂O +B.c. zur H₂O-Kontrolle (log₂)	NaCl +B.c. zur H₂O-Kontrolle (log₂)
AT4G35130_1	1,300	0,538	0,407
AT4G35140_1	0,951	0,821	0,924
AT4G35150_1	0,878	51,097	38,912
AT4G35160_1	1,243	78,869	78,525
AT4G35165_1	1,072	2,071	3,033
AT4G35170_1	0,706	5,726	17,986
AT4G35180_1	0,239	24,380	48,946
AT4G35190_1	0,997	2,027	1,266
AT4G35200_1	0,726	0,711	0,733
AT4G35210_1	1,077	1,066	1,174
AT4G35220_1	1,112	0,797	0,890
AT4G35230_1	1,046	1,369	1,714
AT4G35240_1	1,091	1,198	1,716
AT4G35250_1	0,975	0,600	0,385
AT4G35260_1	0,891	1,226	1,725
AT4G35263_1	1,198	1,218	1,480
AT4G35270_1	1,182	0,933	0,552
AT4G35280_1	0,958	1,029	1,018
AT4G35290_1	1,287	0,662	0,530
AT4G35295_1	1,004	1,042	1,378
AT4G35300_1	1,258	0,363	0,330
AT4G35300_2	1,228	0,396	0,336
AT4G35300_3	1,267	0,390	0,338
AT4G35310_1	0,989	0,967	0,780
AT4G35320_1	1,076	0,752	0,109
AT4G35335_1	0,981	0,329	0,167
AT4G35350_1	0,544	0,295	0,472
AT4G35350_2	0,914	0,892	0,931
AT4G35360_1	1,045	0,892	1,263
AT4G35370_1	0,915	1,097	1,085
AT4G35380_1	0,739	5,455	7,701
AT4G35390_1	0,818	0,851	0,914
AT4G35400_1	1,384	1,188	1,590
AT4G35410_1	0,951	0,610	0,857
AT4G35410_2	0,863	0,587	0,832
AT4G35420_1	1,067	0,155	0,116
AT4G35430_1	1,124	0,178	0,092
AT4G35440_1	1,183	0,163	0,072
AT4G35450_1	1,016	0,719	0,592
AT4G35450_2	1,034	0,746	0,588
AT4G35460_1	1,046	1,045	1,429
AT4G35470_1	1,064	0,476	0,296
AT4G35480_1	0,945	0,850	0,850
AT4G35490_1	0,972	1,138	0,788
AT4G35500_1	1,236	2,490	5,261
AT4G35500_2	1,142	2,557	6,322
AT4G35510_1	0,975	1,202	1,546
AT4G35519_1	1,086	1,433	2,169
AT4G35520_1	0,922	0,917	0,906
AT4G35530_1	0,935	0,718	1,042

AGI	NaCl-Kontrolle zur H₂O-Kontrolle (log₂)	H₂O +B.c. zur H₂O-Kontrolle (log₂)	NaCl +B.c. zur H₂O-Kontrolle (log₂)
AT4G35540_1	0,878	1,092	1,205
AT4G35550_1	1,044	0,874	0,768
AT4G35560_1	1,247	0,182	0,322
AT4G35570_1	0,795	1,038	1,256
AT4G35580_1	1,145	1,194	1,507
AT4G35580_2	1,128	1,186	1,358
AT4G35589_1	1,178	1,497	1,628
AT4G35590_1	0,869	1,858	2,437
AT4G35600_1	0,599	2,266	2,780
AT4G35610_1	1,327	1,645	1,617
AT4G35620_1	1,053	0,842	1,042
AT4G35630_1	0,957	4,711	4,593
AT4G35640_1	1,313	1,267	0,805
AT4G35650_1	1,060	1,230	1,464
AT4G35655_1	1,241	1,483	2,080
AT4G35660_1	1,089	0,948	1,090
AT4G35670_1	0,980	1,073	1,226
AT4G35680_1	1,133	1,154	1,549
AT4G35690_1	1,168	1,578	1,983
AT4G35700_1	1,170	0,990	1,047
AT4G35710_1	1,019	0,893	1,144
AT4G35720_1	1,075	0,844	0,900
AT4G35725_1	1,071	1,027	1,038
AT4G35730_1	0,820	1,136	0,901
AT4G35731_1	1,044	0,930	0,920
AT4G35733_1	1,095	1,293	1,439
AT4G35740_1	1,006	0,429	0,549
AT4G35750_1	0,880	1,232	1,853
AT4G35760_1	1,144	0,669	0,487
AT4G35770_1	0,551	9,057	8,969
AT4G35770_2	0,445	2,927	4,216
AT4G35770_3	0,563	9,668	9,557
AT4G35780_1	0,897	0,735	1,145
AT4G35783_1	0,917	1,194	7,196
AT4G35785_1	0,947	0,950	0,718
AT4G35785_3	0,827	0,426	0,621
AT4G35790_1	1,066	0,840	1,088
AT4G35790_3	1,022	0,943	0,976
AT4G35800_1	0,991	0,952	0,827
AT4G35810_1	1,426	1,364	1,236
AT4G35820_1	1,028	0,999	0,998
AT4G35830_1	1,017	1,077	1,114
AT4G35837_1	0,901	0,965	1,175
AT4G35840_1	0,953	0,572	2,223
AT4G35850_1	1,239	0,894	0,588
AT4G35860_1	1,002	0,890	1,786
AT4G35860_2	0,953	0,859	1,686
AT4G35870_1	0,973	1,024	1,093
AT4G35880_1	1,059	0,215	0,270
AT4G35890_1	1,036	1,137	1,410

AGI	NaCl-Kontrolle zur H₂O-Kontrolle (log₂)	H₂O +B.c. zur H₂O-Kontrolle (log₂)	NaCl +B.c. zur H₂O-Kontrolle (log₂)
AT4G35900_1	0,985	1,037	0,641
AT4G35905_1	0,929	0,392	0,534
AT4G35910_1	0,980	0,855	0,765
AT4G35920_1	1,155	0,448	0,075
AT4G35930_1	0,887	0,797	0,303
AT4G35940_1	0,890	1,346	2,128
AT4G35950_1	0,910	0,738	0,470
AT4G35970_1	0,615	0,313	0,378
AT4G35980_1	0,894	0,771	1,023
AT4G35985_1	0,909	0,795	0,712
AT4G35987_1	0,869	0,569	0,384
AT4G36000_1	1,262	1,304	1,375
AT4G36010_1	1,591	3,663	3,380
AT4G36010_2	1,306	3,277	2,912
AT4G36020_1	1,029	1,611	1,305
AT4G36030_1	0,808	3,333	3,781
AT4G36040_1	1,022	0,879	1,512
AT4G36050_1	0,946	0,618	0,754
AT4G36050_2	1,047	0,645	0,791
AT4G36052_1	0,929	0,602	0,991
AT4G36060_1	0,759	0,391	0,532
AT4G36060_2	0,945	1,005	1,025
AT4G36070_1	1,108	1,161	1,250
AT4G36080_1	1,327	1,024	1,134
AT4G36090_1	0,824	0,781	0,971
AT4G36090_2	0,803	0,791	0,959
AT4G36090_3	0,745	0,747	1,009
AT4G36100_1	0,832	0,682	0,725
AT4G36105_1	0,785	0,591	0,558
AT4G36110_1	0,515	3,875	1,538
AT4G36120_1	0,831	0,376	0,367
AT4G36130_1	0,993	1,120	0,760
AT4G36140_1	0,831	1,174	1,511
AT4G36150_1	0,859	0,682	0,844
AT4G36160_1	0,893	0,811	0,981
AT4G36170_1	1,080	1,177	1,252
AT4G36180_1	1,393	0,301	0,095
AT4G36190_1	1,161	0,843	0,975
AT4G36195_1	1,316	1,038	1,595
AT4G36195_2	1,150	1,037	1,527
AT4G36210_1	1,102	0,884	1,272
AT4G36210_2	1,063	0,863	1,041
AT4G36220_1	1,026	1,330	1,299
AT4G36230_1	0,991	0,888	0,955
AT4G36240_1	1,209	0,682	0,283
AT4G36250_1	1,006	0,547	0,085
AT4G36260_1	1,243	0,674	0,468
AT4G36268_1	1,041	0,994	1,018
AT4G36270_1	1,271	0,607	0,473
AT4G36280_1	0,832	0,384	0,309

AGI	NaCl-Kontrolle zur H₂O-Kontrolle (log₂)	H₂O +B.c. zur H₂O-Kontrolle (log₂)	NaCl +B.c. zur H₂O-Kontrolle (log₂)
AT4G36290_1	1,113	0,673	0,483
AT4G36350_1	0,947	0,931	1,114
AT4G36360_1	1,050	0,483	0,096
AT4G36360_2	0,995	0,496	0,115
AT4G36370_1	1,023	1,071	1,103
AT4G36380_1	1,117	1,450	1,712
AT4G36390_1	0,977	0,638	0,414
AT4G36400_1	1,124	1,387	2,612
AT4G36400_2	1,111	1,547	3,569
AT4G36410_1	0,854	0,977	0,387
AT4G36420_1	1,190	0,794	0,560
AT4G36430_1	0,779	2,778	34,105
AT4G36440_1	1,050	1,153	1,030
AT4G36450_1	0,899	0,461	0,790
AT4G36460_1	1,164	1,167	1,630
AT4G36470_1	0,837	0,451	0,247
AT4G36480_1	0,905	1,587	1,336
AT4G36490_1	0,914	0,928	0,917
AT4G36500_1	0,737	2,051	1,675
AT4G36510_1	0,916	1,366	1,326
AT4G36515_1	0,785	0,803	0,670
AT4G36520_1	0,890	0,487	0,464
AT4G36530_1	1,048	0,519	0,312
AT4G36530_2	0,969	0,375	0,191
AT4G36540_1	0,828	0,199	0,006
AT4G36540_2	0,829	0,205	0,006
AT4G36550_1	0,856	0,873	0,860
AT4G36560_1	1,022	1,038	1,033
AT4G36570_1	0,665	1,276	0,125
AT4G36580_1	1,207	1,573	1,816
AT4G36590_1	1,053	1,156	1,096
AT4G36600_1	1,257	1,205	1,311
AT4G36610_1	1,041	1,114	1,353
AT4G36620_1	0,952	5,057	4,843
AT4G36630_1	1,140	0,921	1,083
AT4G36640_1	0,785	9,873	11,716
AT4G36640_2	0,891	7,083	7,252
AT4G36648_1	0,836	2,036	3,781
AT4G36650_1	0,949	1,349	1,516
AT4G36650_2	1,125	1,545	1,807
AT4G36660_1	0,967	0,519	0,175
AT4G36670_1	0,832	1,280	0,537
AT4G36680_1	1,060	1,214	0,689
AT4G36690_1	1,002	0,922	0,853
AT4G36690_2	0,940	0,596	0,872
AT4G36700_1	1,092	3,134	1,979
AT4G36710_1	0,912	1,171	2,187
AT4G36720_1	0,958	1,185	1,949
AT4G36730_1	0,907	0,995	0,972
AT4G36740_1	0,999	0,937	0,946

AGI	NaCl-Kontrolle zur H₂O-Kontrolle (log₂)	H₂O +B.c. zur H₂O-Kontrolle (log₂)	NaCl +B.c. zur H₂O-Kontrolle (log₂)
AT4G36750_1	0,831	0,819	0,898
AT4G36760_1	1,055	1,268	1,874
AT4G36770_1	0,562	0,414	0,633
AT4G36780_1	0,879	0,767	0,708
AT4G36790_1	0,843	0,694	0,892
AT4G36791_1	1,179	1,234	4,791
AT4G36800_1	0,857	1,028	1,364
AT4G36800_2	0,933	1,048	1,390
AT4G36810_1	1,076	0,532	0,510
AT4G36820_1	1,033	3,028	6,663
AT4G36830_1	1,137	1,066	2,053
AT4G36840_1	0,983	0,585	0,803
AT4G36850_1	0,622	0,238	0,189
AT4G36860_1	0,919	0,764	0,981
AT4G36870_1	1,060	1,062	0,907
AT4G36880_1	1,087	3,115	7,519
AT4G36890_1	1,031	1,007	1,223
AT4G36900_1	0,897	1,089	1,148
AT4G36910_1	0,928	0,875	0,859
AT4G36920_1	1,144	1,301	1,393
AT4G36925_1	0,883	1,317	1,236
AT4G36930_1	1,220	1,295	3,100
AT4G36940_1	1,262	0,379	0,557
AT4G36945_1	1,006	2,006	2,558
AT4G36950_1	0,803	7,809	10,356
AT4G36960_1	0,992	1,175	1,250
AT4G36960_2	0,925	1,072	1,216
AT4G36970_1	0,980	0,628	0,374
AT4G36980_1	0,975	0,858	0,920
AT4G36980_2	0,970	0,560	0,810
AT4G36988_1	0,866	13,423	16,163
AT4G37000_1	1,006	0,673	0,437
AT4G37010_1	0,974	9,609	58,032
AT4G37010_2	0,970	8,541	58,623
AT4G37020_1	0,845	1,251	0,630
AT4G37022_1	1,061	2,794	3,211
AT4G37030_1	1,180	12,349	33,049
AT4G37040_1	0,923	0,530	0,565
AT4G37050_1	1,480	1,493	1,956
AT4G37060_1	1,137	1,274	1,337
AT4G37070_1	1,281	1,358	1,563
AT4G37070_2	1,099	1,314	1,675
AT4G37070_4	1,030	1,238	2,118
AT4G37080_1	1,086	0,546	0,135
AT4G37090_1	0,968	1,484	1,424
AT4G37090_2	0,958	1,422	1,447
AT4G37095_1	0,879	0,840	0,192
AT4G37100_1	1,049	0,857	0,191
AT4G37110_1	1,086	0,189	0,063
AT4G37120_1	1,044	1,201	1,318

AGI	NaCl-Kontrolle zur H₂O-Kontrolle (log₂)	H₂O +B.c. zur H₂O-Kontrolle (log₂)	NaCl +B.c. zur H₂O-Kontrolle (log₂)
AT4G37130_1	1,034	1,008	0,708
AT4G37140_1	1,048	1,211	3,092
AT4G37150_1	0,828	7,263	31,499
AT4G37160_1	0,727	0,902	1,692
AT4G37170_1	1,294	0,582	0,519
AT4G37180_1	1,221	0,504	1,840
AT4G37180_2	1,260	0,581	1,548
AT4G37190_1	1,321	0,392	0,420
AT4G37200_1	0,897	0,826	0,989
AT4G37210_1	1,069	1,087	0,969
AT4G37210_2	1,033	1,091	0,937
AT4G37220_1	0,564	0,262	0,398
AT4G37225_1	0,986	0,667	0,632
AT4G37230_1	0,995	0,675	0,745
AT4G37235_1	0,827	0,717	0,764
AT4G37240_1	0,270	0,171	0,122
AT4G37250_1	0,841	0,491	0,344
AT4G37260_1	0,675	1,036	1,111
AT4G37270_1	1,071	0,785	0,952
AT4G37280_1	0,873	0,676	0,670
AT4G37290_1	0,777	68,353	67,552
AT4G37295_1	0,950	11,298	13,508
AT4G37300_1	0,907	0,492	0,407
AT4G37310_1	1,100	2,395	4,152
AT4G37320_1	1,151	1,928	5,800
AT4G37330_1	1,081	0,828	1,526
AT4G37340_1	1,129	1,270	1,394
AT4G37360_1	1,261	1,865	2,134
AT4G37370_1	0,791	5,906	7,577
AT4G37380_1	0,948	0,605	0,774
AT4G37390_1	0,585	49,697	69,532
AT4G37400_1	1,054	1,058	0,440
AT4G37409_1	1,630	29,526	7,655
AT4G37410_1	1,581	20,732	6,483
AT4G37420_1	1,077	1,240	12,340
AT4G37430_1	0,852	13,363	39,982
AT4G37432_1	0,985	3,361	6,280
AT4G37440_1	1,026	0,881	1,127
AT4G37445_1	0,713	0,572	0,615
AT4G37450_1	0,735	0,602	0,195
AT4G37460_1	0,983	1,044	1,146
AT4G37470_1	1,190	0,574	0,610
AT4G37480_1	1,073	0,560	0,625
AT4G37483_1	1,079	0,343	0,467
AT4G37490_1	0,769	0,667	0,740
AT4G37500_1	1,234	0,960	1,116
AT4G37510_1	0,987	0,605	0,513
AT4G37520_1	0,616	20,457	27,913
AT4G37530_1	0,737	8,140	11,213
AT4G37540_1	1,008	0,881	1,105

AGI	NaCl-Kontrolle zur H₂O-Kontrolle (log₂)	H₂O +B.c. zur H₂O-Kontrolle (log₂)	NaCl +B.c. zur H₂O-Kontrolle (log₂)
AT4G37550_1	1,042	0,311	0,095
AT4G37550_2	0,968	0,177	0,115
AT4G37560_1	1,024	0,917	0,802
AT4G37580_1	0,957	0,414	0,236
AT4G37590_1	1,137	0,490	0,200
AT4G37608_1	1,194	1,356	3,761
AT4G37610_1	0,316	1,251	1,384
AT4G37620_1	0,973	1,142	1,391
AT4G37630_1	0,793	1,612	1,123
AT4G37630_2	0,848	2,186	1,704
AT4G37640_1	0,823	2,751	2,267
AT4G37650_1	0,796	0,377	0,213
AT4G37660_1	1,045	0,758	0,533
AT4G37670_1	1,085	2,589	1,651
AT4G37670_2	0,940	1,962	1,181
AT4G37680_1	1,220	0,974	1,496
AT4G37682_1	1,062	0,608	0,582
AT4G37685_1	1,162	0,800	0,742
AT4G37690_1	1,072	0,689	0,606
AT4G37700_1	0,774	2,395	1,333
AT4G37705_1	1,030	1,140	1,122
AT4G37710_1	1,115	72,984	77,370
AT4G37720_1	1,246	11,898	13,221
AT4G37730_1	1,005	0,952	1,250
AT4G37740_1	0,806	0,134	0,058
AT4G37750_1	1,153	0,127	0,055
AT4G37760_1	1,015	1,063	1,004
AT4G37770_1	0,248	0,616	1,020
AT4G37780_1	0,957	1,053	1,674
AT4G37790_1	0,886	1,991	2,754
AT4G37800_1	0,696	0,610	0,029
AT4G37810_1	0,870	0,616	0,762
AT4G37820_1	0,900	0,548	0,500
AT4G37830_1	0,930	1,042	1,151
AT4G37830_2	0,887	1,098	1,131
AT4G37840_1	1,136	1,168	1,151
AT4G37850_1	1,087	1,608	1,656
AT4G37860_1	0,954	0,909	0,912
AT4G37870_1	1,114	0,808	0,860
AT4G37880_1	0,960	1,106	1,265
AT4G37890_1	1,036	0,391	0,309
AT4G37895_1	0,971	0,499	0,555
AT4G37900_1	0,984	2,647	5,491
AT4G37910_1	1,182	1,569	1,610
AT4G37920_1	0,998	0,420	0,208
AT4G37925_1	1,101	0,681	0,078
AT4G37930_1	0,972	0,735	0,431
AT4G37940_1	1,013	1,107	1,206
AT4G37950_1	1,071	1,164	1,418
AT4G37970_1	1,606	0,725	0,785

AGI	NaCl-Kontrolle zur H₂O-Kontrolle (log₂)	H₂O +B.c. zur H₂O-Kontrolle (log₂)	NaCl +B.c. zur H₂O-Kontrolle (log₂)
AT4G37980_1	0,951	1,317	1,906
AT4G37980_2	0,703	1,546	4,648
AT4G37990_1	1,115	15,581	28,816
AT4G38000_1	1,055	1,330	4,208
AT4G38010_1	1,388	0,474	0,308
AT4G38020_1	1,200	0,434	0,282
AT4G38030_1	1,183	1,316	2,000
AT4G38040_1	0,930	0,879	0,795
AT4G38050_1	1,107	0,291	0,130
AT4G38052_1	1,117	1,039	1,100
AT4G38060_1	1,235	1,711	4,450
AT4G38060_2	1,089	1,736	3,357
AT4G38070_1	1,318	1,380	1,652
AT4G38080_1	1,146	0,755	1,060
AT4G38090_1	1,230	0,792	1,059
AT4G38090_2	1,063	0,743	1,007
AT4G38092_1	1,085	0,864	0,961
AT4G38100_1	0,890	1,245	1,111
AT4G38120_1	1,081	0,730	0,654
AT4G38120_2	1,061	0,701	0,650
AT4G38130_1	1,047	0,891	0,771
AT4G38130_2	1,022	0,871	0,745
AT4G38140_1	1,473	2,030	2,158
AT4G38150_1	1,160	1,400	1,181
AT4G38150_2	1,063	1,494	0,721
AT4G38160_1	0,840	0,176	0,035
AT4G38160_2	1,218	0,316	0,135
AT4G38170_1	1,094	0,926	0,805
AT4G38180_1	1,004	0,821	0,972
AT4G38190_1	1,187	1,367	1,668
AT4G38200_1	1,029	0,942	0,950
AT4G38210_1	0,910	0,871	0,776
AT4G38215_1	1,346	1,483	2,246
AT4G38220_1	1,095	0,796	0,931
AT4G38220_2	1,092	0,788	0,860
AT4G38225_1	1,078	0,656	0,557
AT4G38225_2	1,187	0,692	0,602
AT4G38230_1	1,159	0,787	1,749
AT4G38240_1	0,986	1,315	1,569
AT4G38240_2	0,894	1,452	2,031
AT4G38250_1	1,022	1,044	1,130
AT4G38260_1	0,921	1,293	2,006
AT4G38270_1	1,095	1,233	1,404
AT4G38280_1	1,031	0,693	0,598
AT4G38290_1	1,067	0,956	1,289
AT4G38300_1	0,958	0,624	0,636
AT4G38310_1	0,939	0,739	0,960
AT4G38320_1	1,152	0,953	1,380
AT4G38330_1	1,027	0,702	0,636
AT4G38340_1	1,276	0,873	0,886

AGI	NaCl-Kontrolle zur H₂O-Kontrolle (log₂)	H₂O +B.c. zur H₂O-Kontrolle (log₂)	NaCl +B.c. zur H₂O-Kontrolle (log₂)
AT4G38350_1	1,200	0,715	0,512
AT4G38360_1	1,025	1,010	1,746
AT4G38360_2	1,069	1,005	1,777
AT4G38370_1	1,116	0,496	0,267
AT4G38380_1	1,317	1,164	0,837
AT4G38390_1	1,186	1,357	1,484
AT4G38400_1	0,728	0,495	0,307
AT4G38401_1	1,122	1,310	1,518
AT4G38410_1	1,066	1,011	0,976
AT4G38420_1	0,660	1,159	1,542
AT4G38430_1	1,111	0,563	0,116
AT4G38440_1	1,276	1,247	0,692
AT4G38460_1	1,040	0,856	1,105
AT4G38470_1	0,822	0,649	0,681
AT4G38480_1	1,003	0,457	0,732
AT4G38490_1	0,939	0,634	0,650
AT4G38495_1	1,028	1,448	1,290
AT4G38500_1	0,976	0,945	1,115
AT4G38510_1	0,968	0,894	0,938
AT4G38520_1	0,940	0,898	0,867
AT4G38530_1	1,490	0,438	0,327
AT4G38540_1	0,545	14,340	13,526
AT4G38545_1	1,264	1,677	2,575
AT4G38545_2	0,850	0,965	0,807
AT4G38550_1	0,937	0,990	0,895
AT4G38560_1	0,538	5,314	5,097
AT4G38560_2	0,543	4,949	4,813
AT4G38570_1	0,827	0,420	0,509
AT4G38580_1	1,112	0,182	0,095
AT4G38590_1	1,124	1,126	1,131
AT4G38600_1	1,082	1,057	1,097
AT4G38600_2	1,051	1,002	1,016
AT4G38620_1	0,588	0,696	0,591
AT4G38630_1	1,042	0,917	1,248
AT4G38640_1	0,950	0,955	0,981
AT4G38650_1	0,841	0,495	0,580
AT4G38660_1	0,709	0,192	0,077
AT4G38660_2	0,859	0,165	0,056
AT4G38670_1	1,316	0,446	0,275
AT4G38670_2	1,261	0,450	0,273
AT4G38670_3	1,249	0,491	0,260
AT4G38680_1	0,986	0,840	0,590
AT4G38690_1	0,938	0,609	0,299
AT4G38700_1	0,858	0,645	0,396
AT4G38710_1	1,041	1,604	1,483
AT4G38730_1	0,967	0,979	1,486
AT4G38740_1	1,153	0,810	0,724
AT4G38750_1	1,046	0,623	0,551
AT4G38760_1	1,304	0,513	0,456
AT4G38770_1	1,059	0,334	0,020

AGI	NaCl-Kontrolle zur H₂O-Kontrolle (log₂)	H₂O +B.c. zur H₂O-Kontrolle (log₂)	NaCl +B.c. zur H₂O-Kontrolle (log₂)
AT4G38780_1	0,948	0,617	0,938
AT4G38790_1	0,918	1,163	1,181
AT4G38800_1	0,956	1,097	1,148
AT4G38810_1	0,902	0,875	1,142
AT4G38810_2	0,880	0,788	0,874
AT4G38820_1	0,853	0,610	0,467
AT4G38825_1	0,933	0,544	0,339
AT4G38830_1	0,986	2,928	5,614
AT4G38840_1	1,006	0,444	0,069
AT4G38850_1	0,776	0,360	0,085
AT4G38860_1	0,926	0,362	0,015
AT4G38870_1	1,080	1,892	2,256
AT4G38880_1	1,209	1,413	1,551
AT4G38890_1	1,062	0,703	0,479
AT4G38900_1	0,984	0,469	0,437
AT4G38900_2	1,009	0,428	0,436
AT4G38910_1	1,187	0,657	0,689
AT4G38920_1	1,054	0,979	1,029
AT4G38930_1	0,898	1,141	1,650
AT4G38940_1	1,034	2,255	2,390
AT4G38950_1	0,850	0,127	0,043
AT4G38960_1	0,715	0,762	0,520
AT4G38960_2	0,947	0,874	0,611
AT4G38970_1	0,987	0,909	0,564
AT4G38980_1	1,053	0,909	1,292
AT4G38990_1	1,408	1,810	1,895
AT4G39000_1	0,952	1,028	1,084
AT4G39010_1	0,657	0,096	0,155
AT4G39020_1	1,041	1,224	1,501
AT4G39030_1	0,577	3,884	3,730
AT4G39040_1	0,963	0,401	0,201
AT4G39050_1	0,981	0,954	0,658
AT4G39060_1	1,084	1,197	1,173
AT4G39070_1	0,457	0,626	0,443
AT4G39080_1	1,025	0,864	1,021
AT4G39090_1	0,944	0,463	1,151
AT4G39100_1	1,008	0,905	1,063
AT4G39110_1	0,997	0,701	0,680
AT4G39120_1	1,105	0,557	0,257
AT4G39130_1	1,059	1,108	1,420
AT4G39140_1	0,988	1,477	2,533
AT4G39150_1	0,934	0,951	1,184
AT4G39160_1	1,073	1,114	0,942
AT4G39170_1	1,082	0,554	0,526
AT4G39180_1	1,381	0,766	0,761
AT4G39190_1	0,542	0,347	0,324
AT4G39200_1	0,943	0,873	0,599
AT4G39200_2	0,950	0,899	0,583
AT4G39210_1	1,596	0,778	0,993
AT4G39220_1	0,842	1,216	1,279

AGI	NaCl-Kontrolle zur H₂O-Kontrolle (log₂)	H₂O +B.c. zur H₂O-Kontrolle (log₂)	NaCl +B.c. zur H₂O-Kontrolle (log₂)
AT4G39230_1	0,761	8,325	5,142
AT4G39235_1	1,060	1,187	1,589
AT4G39240_1	1,150	1,052	1,082
AT4G39250_1	0,840	1,812	0,979
AT4G39260_1	1,046	0,678	0,656
AT4G39260_2	1,120	0,718	0,677
AT4G39260_3	1,127	0,692	0,636
AT4G39260_4	1,102	0,705	0,629
AT4G39270_1	0,810	4,796	6,692
AT4G39270_2	0,978	3,377	4,656
AT4G39280_1	1,139	0,821	0,725
AT4G39290_1	0,949	1,224	1,424
AT4G39300_1	1,019	1,033	0,680
AT4G39300_2	0,967	0,972	0,504
AT4G39320_1	0,934	0,793	0,939
AT4G39330_1	0,999	0,508	0,032
AT4G39330_2	0,986	0,477	0,026
AT4G39340_1	0,994	0,629	0,758
AT4G39345_1	1,069	1,038	1,221
AT4G39350_1	1,081	0,867	0,340
AT4G39360_1	0,897	1,155	1,662
AT4G39361_1	1,082	1,213	1,573
AT4G39363_1	1,120	1,244	1,556
AT4G39364_1	1,114	1,217	1,483
AT4G39366_1	1,053	1,336	1,458
AT4G39370_1	0,959	0,800	1,140
AT4G39370_2	0,956	0,908	1,048
AT4G39380_1	0,677	0,361	0,326
AT4G39390_1	0,924	1,137	1,570
AT4G39390_2	0,845	1,111	1,437
AT4G39400_1	0,867	0,852	0,463
AT4G39403_1	1,059	1,116	1,131
AT4G39404_1	1,347	1,422	1,293
AT4G39410_1	0,768	0,189	0,130
AT4G39420_1	1,564	1,120	2,022
AT4G39420_2	1,518	1,011	1,971
AT4G39440_1	1,497	1,195	1,756
AT4G39450_1	1,087	1,132	1,447
AT4G39460_1	1,021	0,427	0,181
AT4G39470_1	1,251	0,582	0,147
AT4G39480_1	1,000	1,301	1,623
AT4G39490_1	0,992	1,208	1,055
AT4G39500_1	0,930	0,772	1,255
AT4G39510_1	1,135	0,055	0,016
AT4G39520_1	1,054	1,205	1,303
AT4G39530_1	1,168	0,521	0,348
AT4G39540_1	1,160	1,505	1,313
AT4G39540_2	1,020	1,253	1,047
AT4G39550_1	1,036	0,763	0,256
AT4G39560_1	0,855	0,597	0,625

AGI	NaCl-Kontrolle zur H₂O-Kontrolle (log₂)	H₂O +B.c. zur H₂O-Kontrolle (log₂)	NaCl +B.c. zur H₂O-Kontrolle (log₂)
AT4G39560_2	0,967	0,835	0,697
AT4G39570_1	0,930	0,902	0,651
AT4G39580_1	0,763	4,689	6,549
AT4G39590_1	0,932	0,979	1,166
AT4G39600_1	0,886	0,992	0,649
AT4G39610_1	1,051	4,128	12,802
AT4G39620_1	1,026	0,166	0,080
AT4G39630_1	0,671	0,520	0,489
AT4G39640_1	0,613	1,508	1,364
AT4G39650_1	0,960	0,999	1,053
AT4G39660_1	0,966	0,922	0,864
AT4G39670_1	0,475	39,273	70,769
AT4G39675_1	1,237	1,412	1,478
AT4G39680_1	0,949	0,932	0,907
AT4G39690_1	1,059	1,133	1,114
AT4G39700_1	0,949	0,796	0,816
AT4G39710_1	0,921	0,306	0,030
AT4G39720_1	0,974	0,708	1,037
AT4G39730_1	1,079	0,739	0,721
AT4G39740_1	0,776	1,097	1,510
AT4G39745_1	0,964	1,152	1,031
AT4G39750_1	1,023	1,093	1,174
AT4G39753_1	0,975	1,169	1,166
AT4G39756_1	1,006	1,151	1,119
AT4G39760_1	1,086	1,289	1,529
AT4G39770_1	0,781	0,297	0,044
AT4G39780_1	0,626	3,366	3,901
AT4G39790_1	1,014	0,792	0,941
AT4G39795_1	0,791	0,601	0,731
AT4G39800_1	1,125	1,115	0,702
AT4G39810_1	0,659	0,690	0,650
AT4G39820_1	0,909	1,519	1,837
AT4G39830_1	0,342	0,902	1,945
AT4G39840_1	0,646	0,727	0,299
AT4G39850_1	1,044	1,375	1,857
AT4G39860_1	1,076	0,408	0,436
AT4G39865_1	1,214	1,154	1,408
AT4G39870_1	1,135	0,744	0,809
AT4G39880_1	0,905	0,983	0,886
AT4G39890_1	0,627	3,103	3,339
AT4G39900_1	0,839	0,338	0,139
AT4G39910_1	0,970	1,351	1,647
AT4G39917_1	1,068	1,139	1,220
AT4G39920_1	0,959	1,140	0,882
AT4G39930_1	0,939	0,829	0,771
AT4G39940_1	1,054	1,862	1,665
AT4G39950_1	0,897	4,027	4,288
AT4G39952_1	1,244	0,489	0,397
AT4G39955_1	1,726	3,795	10,349
AT4G39960_1	1,114	0,674	0,540

AGI	NaCl-Kontrolle zur H₂O-Kontrolle (log₂)	H₂O +B.c. zur H₂O-Kontrolle (log₂)	NaCl +B.c. zur H₂O-Kontrolle (log₂)
AT4G39970_1	0,820	0,460	0,269
AT4G39980_1	1,041	1,718	1,357
AT4G39985_1	1,179	1,571	1,966
AT4G39986_1	0,918	1,322	1,150
AT4G39990_1	0,791	1,167	0,929
AT4G40000_1	1,084	0,502	0,136
AT4G40010_1	1,158	1,066	2,933
AT4G40011_1	1,117	1,417	1,286
AT4G40020_1	1,077	5,168	9,978
AT4G40030_1	0,978	0,892	1,027
AT4G40030_2	1,022	0,908	1,038
AT4G40030_3	0,857	0,255	0,594
AT4G40040_1	1,023	0,935	0,996
AT4G40040_2	1,000	0,940	0,999
AT4G40042_1	0,823	0,642	1,247
AT4G40045_1	0,966	0,758	0,617
AT4G40050_1	1,056	1,116	0,977
AT4G40060_1	0,946	0,804	0,434
AT4G40065_1	0,928	0,925	1,184
AT4G40070_1	0,858	0,417	0,548
AT4G40080_1	0,930	2,098	1,466
AT4G40085_1	0,738	3,571	2,980
AT4G40085_2	0,690	3,521	3,362
AT4G40090_1	0,842	1,333	1,513
AT4G40100_1	1,330	1,565	1,773
AT5G01010_1	0,991	0,950	0,995
AT5G01010_2	0,843	0,819	0,875
AT5G01010_3	0,997	0,972	1,001
AT5G01015_1	0,668	0,054	0,028
AT5G01020_1	0,992	0,745	0,291
AT5G01030_1	1,007	1,507	2,030
AT5G01040_1	0,230	1,998	1,625
AT5G01050_1	0,566	1,693	1,349
AT5G01060_1	1,020	1,093	1,179
AT5G01070_1	0,928	0,924	0,871
AT5G01070_2	0,922	0,847	0,875
AT5G01075_1	0,494	0,442	0,049
AT5G01080_1	1,011	1,191	1,096
AT5G01090_1	0,937	0,649	0,211
AT5G01100_1	0,484	8,384	8,693
AT5G01110_1	1,031	0,791	0,391
AT5G01120_1	0,649	0,694	0,502
AT5G01130_1	0,848	1,069	0,865
AT5G01140_1	0,889	0,877	0,858
AT5G01150_1	0,845	1,156	1,044
AT5G01160_1	1,046	1,095	1,058
AT5G01170_1	1,108	0,827	0,319
AT5G01175_1	0,917	0,419	0,231
AT5G01180_1	0,682	0,597	0,305
AT5G01185_1	0,974	1,212	1,310

AGI	NaCl-Kontrolle zur H₂O-Kontrolle (log₂)	H₂O +B.c. zur H₂O-Kontrolle (log₂)	NaCl +B.c. zur H₂O-Kontrolle (log₂)
AT5G01190_1	0,650	0,296	0,181
AT5G01200_1	1,173	0,443	0,335
AT5G01210_1	0,744	3,153	2,934
AT5G01215_1	0,866	3,055	2,750
AT5G01215_2	0,756	3,421	3,196
AT5G01220_1	0,979	0,559	0,681
AT5G01225_1	0,931	2,564	52,503
AT5G01230_1	0,883	0,430	0,247
AT5G01230_2	0,816	0,425	0,275
AT5G01240_1	0,793	0,535	0,096
AT5G01250_1	0,907	13,379	17,218
AT5G01260_1	1,047	0,694	0,894
AT5G01260_2	1,070	1,302	1,375
AT5G01270_1	1,160	1,229	1,095
AT5G01280_1	1,138	1,516	1,681
AT5G01290_1	1,035	1,118	1,322
AT5G01300_1	1,428	1,013	9,430
AT5G01300_2	1,012	1,055	1,232
AT5G01310_1	1,046	0,852	1,094
AT5G01320_1	0,897	5,320	5,517
AT5G01330_1	0,913	4,906	4,219
AT5G01335_1	0,827	0,911	0,806
AT5G01340_1	0,792	3,614	8,400
AT5G01350_1	0,975	1,287	1,410
AT5G01360_1	0,532	0,371	0,286
AT5G01360_2	0,815	0,494	0,349
AT5G01370_1	0,889	0,587	0,518
AT5G01380_1	0,818	9,809	40,804
AT5G01390_1	1,026	0,717	0,663
AT5G01390_2	1,079	0,733	0,669
AT5G01390_3	0,933	0,673	0,673
AT5G01390_4	1,009	0,695	0,617
AT5G01400_1	1,181	1,092	1,260
AT5G01410_1	0,988	1,160	0,688
AT5G01420_1	0,880	0,909	0,868
AT5G01430_1	0,856	1,330	2,422
AT5G01440_1	0,875	0,902	0,931
AT5G01445_1	0,811	0,997	0,732
AT5G01450_1	0,959	0,924	1,339
AT5G01460_1	0,930	0,809	0,704
AT5G01470_1	0,791	0,698	0,527
AT5G01470_2	0,938	0,803	0,633
AT5G01470_3	0,932	0,752	0,569
AT5G01480_1	0,718	0,652	0,612
AT5G01490_1	1,063	1,910	10,053
AT5G01500_1	0,806	1,122	1,091
AT5G01510_1	1,055	0,452	0,310
AT5G01520_1	1,425	0,439	1,444
AT5G01520_2	1,436	0,426	1,455
AT5G01530_1	1,005	0,839	0,668

AGI	NaCl-Kontrolle zur H₂O-Kontrolle (log₂)	H₂O +B.c. zur H₂O-Kontrolle (log₂)	NaCl +B.c. zur H₂O-Kontrolle (log₂)
AT5G01540_1	0,629	4,348	4,103
AT5G01550_1	0,527	23,519	39,235
AT5G01560_1	1,079	1,050	1,083
AT5G01570_1	0,975	0,829	0,841
AT5G01580_1	0,837	0,523	0,392
AT5G01590_1	0,999	0,425	0,148
AT5G01595_1	0,877	0,603	0,190
AT5G01600_1	1,130	1,482	2,154
AT5G01610_1	0,724	0,897	2,351
AT5G01620_1	0,801	0,331	0,281
AT5G01630_1	0,658	0,353	0,257
AT5G01640_1	0,988	1,118	2,477
AT5G01650_1	0,909	0,795	0,941
AT5G01650_2	0,817	0,778	1,528
AT5G01660_1	1,087	0,628	0,480
AT5G01670_1	1,083	1,102	1,461
AT5G01670_2	0,995	0,802	1,093
AT5G01680_1	1,124	1,329	1,371
AT5G01690_1	1,173	1,460	1,733
AT5G01700_1	0,985	1,020	1,043
AT5G01700_2	0,754	1,053	1,076
AT5G01710_1	0,957	1,620	1,568
AT5G01715_1	0,852	2,605	4,546
AT5G01720_1	0,903	2,600	2,658
AT5G01730_1	0,689	0,812	0,643
AT5G01732_1	0,920	3,241	6,901
AT5G01734_1	1,255	1,337	1,426
AT5G01740_1	0,563	2,938	0,676
AT5G01747_1	1,299	1,072	1,022
AT5G01750_1	0,973	0,271	0,385
AT5G01750_2	0,972	0,445	0,444
AT5G01760_1	0,729	1,786	1,166
AT5G01770_1	1,198	0,545	0,870
AT5G01780_1	1,271	0,891	0,926
AT5G01790_1	1,019	0,786	0,109
AT5G01800_1	0,917	1,187	2,078
AT5G01810_1	0,867	1,967	2,252
AT5G01820_1	1,129	1,121	1,803
AT5G01830_1	1,064	3,164	2,879
AT5G01840_1	1,260	1,332	0,619
AT5G01849_1	1,053	1,348	1,318
AT5G01850_1	0,938	2,355	2,484
AT5G01860_1	0,964	1,192	1,397
AT5G01870_1	1,062	1,325	1,667
AT5G01880_1	1,325	0,870	0,760
AT5G01881_1	1,187	0,550	0,295
AT5G01890_1	1,063	0,333	0,145
AT5G01900_1	0,405	18,712	27,396
AT5G01910_1	0,874	0,620	0,690
AT5G01910_2	1,087	0,618	0,576

AGI	NaCl-Kontrolle zur H₂O-Kontrolle (log₂)	H₂O +B.c. zur H₂O-Kontrolle (log₂)	NaCl +B.c. zur H₂O-Kontrolle (log₂)
AT5G01920_1	1,064	0,304	0,129
AT5G01930_1	0,914	0,370	0,206
AT5G01940_1	1,242	1,498	2,365
AT5G01950_1	0,836	1,308	0,964
AT5G01960_1	0,943	0,894	1,325
AT5G01970_1	0,967	0,834	0,822
AT5G01980_1	0,962	1,069	1,057
AT5G01990_1	1,038	0,520	0,938
AT5G02000_1	1,163	1,648	1,996
AT5G02010_1	1,025	0,301	0,728
AT5G02020_1	1,425	0,781	2,104
AT5G02020_2	1,853	0,619	1,681
AT5G02021_1	0,987	1,057	1,171
AT5G02030_1	1,026	0,583	0,535
AT5G02040_1	0,932	1,176	1,512
AT5G02040_2	0,893	1,156	1,495
AT5G02050_1	1,169	1,497	0,978
AT5G02060_1	0,797	0,556	0,845
AT5G02070_1	1,134	0,585	1,038
AT5G02080_1	1,044	0,991	0,967
AT5G02090_1	0,816	0,392	0,374
AT5G02100_1	1,025	4,331	5,118
AT5G02110_1	1,191	1,417	2,011
AT5G02120_1	0,773	0,475	0,242
AT5G02130_1	0,980	0,626	0,627
AT5G02140_1	0,988	1,120	1,076
AT5G02150_1	0,978	0,485	0,368
AT5G02150_2	0,995	0,474	0,351
AT5G02160_1	0,977	0,245	0,051
AT5G02170_1	0,711	2,622	3,035
AT5G02180_1	0,949	0,763	0,441
AT5G02190_1	1,254	0,103	0,041
AT5G02200_1	0,910	0,874	0,830
AT5G02200_2	0,769	0,695	0,598
AT5G02210_1	1,038	1,155	1,023
AT5G02220_1	0,827	1,252	1,494
AT5G02230_1	1,384	4,649	5,553
AT5G02230_2	1,018	2,030	2,581
AT5G02240_1	1,105	0,575	0,680
AT5G02244_1	0,981	0,735	0,904
AT5G02250_1	1,048	0,680	0,378
AT5G02260_1	1,756	0,429	0,471
AT5G02270_1	0,909	2,610	2,260
AT5G02280_1	0,964	1,010	1,189
AT5G02290_1	0,828	1,194	1,289
AT5G02290_2	0,888	1,120	1,112
AT5G02310_1	1,035	0,936	1,069
AT5G02320_1	0,970	1,523	2,019
AT5G02330_1	0,905	1,021	1,185
AT5G02340_1	1,201	1,275	1,266

AGI	NaCl-Kontrolle zur H₂O-Kontrolle (log₂)	H₂O +B.c. zur H₂O-Kontrolle (log₂)	NaCl +B.c. zur H₂O-Kontrolle (log₂)
AT5G02350_1	0,989	1,063	1,063
AT5G02360_1	0,913	1,132	1,525
AT5G02370_1	1,012	0,459	0,500
AT5G02380_1	0,993	0,692	0,729
AT5G02390_1	1,008	0,977	1,059
AT5G02390_2	0,993	0,902	0,997
AT5G02400_1	0,911	0,881	1,034
AT5G02410_1	0,895	0,663	0,928
AT5G02420_1	0,905	0,750	9,079
AT5G02430_1	0,722	2,227	1,773
AT5G02440_1	0,518	0,376	0,409
AT5G02450_1	0,789	0,733	0,487
AT5G02460_1	0,980	1,496	1,126
AT5G02470_1	0,842	1,153	1,232
AT5G02470_2	0,855	1,203	1,122
AT5G02470_3	0,761	1,078	0,979
AT5G02480_1	0,933	0,775	1,039
AT5G02490_1	0,885	11,920	13,317
AT5G02500_1	0,992	1,265	1,213
AT5G02500_2	1,070	1,396	1,296
AT5G02502_1	0,839	0,713	1,247
AT5G02505_1	1,154	1,225	1,316
AT5G02510_1	0,882	1,050	1,206
AT5G02520_1	0,908	0,328	0,246
AT5G02530_1	0,952	0,890	0,806
AT5G02540_1	0,331	0,376	0,059
AT5G02550_1	1,458	0,078	0,063
AT5G02560_1	1,282	0,661	0,940
AT5G02570_1	1,037	1,108	1,584
AT5G02580_1	0,860	4,652	60,702
AT5G02580_2	0,931	1,116	4,711
AT5G02590_1	1,053	2,074	2,477
AT5G02600_1	0,950	0,504	0,814
AT5G02600_2	0,522	3,915	7,497
AT5G02610_1	1,058	1,147	0,982
AT5G02620_1	1,099	0,933	1,340
AT5G02630_1	1,050	1,641	1,919
AT5G02640_1	1,190	0,986	0,989
AT5G02650_1	1,044	0,671	0,623
AT5G02660_1	0,841	0,944	1,170
AT5G02670_1	0,986	0,449	0,398
AT5G02680_1	0,981	0,881	0,947
AT5G02690_1	0,754	0,468	0,717
AT5G02700_1	0,999	0,998	0,955
AT5G02710_1	0,856	0,314	0,093
AT5G02720_1	1,312	0,426	0,195
AT5G02725_1	1,037	1,089	1,088
AT5G02730_1	0,981	1,071	1,099
AT5G02740_1	0,996	0,659	0,517
AT5G02740_2	1,064	0,713	0,743

AGI	NaCl-Kontrolle zur H₂O-Kontrolle (log₂)	H₂O +B.c. zur H₂O-Kontrolle (log₂)	NaCl +B.c. zur H₂O-Kontrolle (log₂)
AT5G02750_1	0,866	0,670	0,802
AT5G02760_1	0,524	0,254	0,036
AT5G02770_1	0,889	1,130	1,176
AT5G02780_1	0,884	152,756	190,082
AT5G02780_2	0,720	130,901	163,792
AT5G02790_1	1,019	0,867	1,110
AT5G02800_1	0,966	1,456	1,327
AT5G02810_1	0,973	0,648	0,512
AT5G02811_1	1,090	1,076	1,216
AT5G02815_1	1,180	1,132	1,702
AT5G02820_1	0,717	0,947	0,554
AT5G02830_1	1,024	0,874	0,500
AT5G02840_1	0,868	1,207	1,035
AT5G02840_2	0,939	0,692	0,687
AT5G02840_3	0,917	1,138	1,039
AT5G02850_1	1,087	1,396	1,335
AT5G02860_1	1,270	0,298	0,317
AT5G02870_1	0,951	1,013	0,736
AT5G02880_1	1,061	0,842	1,444
AT5G02890_1	0,606	0,045	0,036
AT5G02900_1	0,996	0,848	0,994
AT5G02910_1	1,042	0,824	1,144
AT5G02920_1	0,985	1,014	1,246
AT5G02930_1	0,977	1,037	1,094
AT5G02940_1	1,076	0,891	0,832
AT5G02950_1	0,971	1,191	1,120
AT5G02960_1	0,938	0,866	0,660
AT5G02970_1	1,084	1,939	1,309
AT5G02980_1	1,405	1,760	2,180
AT5G02990_1	1,019	1,199	1,295
AT5G03000_1	1,295	2,843	3,029
AT5G03010_1	1,206	1,165	1,016
AT5G03020_1	0,794	1,007	1,716
AT5G03030_1	1,042	1,027	1,533
AT5G03040_1	0,887	0,818	0,468
AT5G03050_1	1,169	0,269	0,164
AT5G03060_1	0,848	0,717	0,679
AT5G03070_1	0,986	1,292	0,848
AT5G03080_1	0,899	0,823	1,255
AT5G03090_1	1,300	1,357	1,073
AT5G03100_1	1,136	1,147	0,779
AT5G03110_1	0,930	1,590	2,113
AT5G03120_1	0,424	1,036	0,397
AT5G03130_1	1,151	0,525	0,329
AT5G03140_1	1,035	0,802	0,459
AT5G03150_1	0,828	0,153	0,184
AT5G03160_1	1,049	1,347	1,824
AT5G03170_1	0,667	0,302	0,149
AT5G03180_1	1,078	0,584	0,356
AT5G03190_1	1,557	0,512	0,798

AGI	NaCl-Kontrolle zur H₂O-Kontrolle (log₂)	H₂O +B.c. zur H₂O-Kontrolle (log₂)	NaCl +B.c. zur H₂O-Kontrolle (log₂)
AT5G03200_1	1,099	1,604	1,265
AT5G03204_1	0,973	6,841	14,311
AT5G03210_1	1,726	10,204	16,837
AT5G03220_1	0,759	0,604	0,877
AT5G03230_1	1,359	0,933	1,078
AT5G03240_1	1,047	0,738	0,869
AT5G03240_2	0,910	0,226	0,407
AT5G03240_3	1,033	0,651	0,721
AT5G03250_1	1,127	0,357	0,247
AT5G03260_1	0,714	0,314	0,342
AT5G03270_1	0,992	1,260	0,954
AT5G03280_1	1,071	0,818	0,828
AT5G03285_1	1,206	1,766	5,796
AT5G03290_1	0,862	1,485	1,646
AT5G03300_1	0,915	0,589	0,342
AT5G03310_1	1,057	1,000	1,126
AT5G03320_1	0,904	1,569	1,633
AT5G03330_1	0,970	3,195	4,336
AT5G03340_1	1,193	1,395	1,664
AT5G03345_1	0,956	0,837	1,091
AT5G03350_1	0,902	0,157	0,259
AT5G03360_1	1,097	1,021	1,154
AT5G03370_1	1,009	0,801	0,894
AT5G03377_1	1,177	1,039	1,139
AT5G03380_1	0,787	5,791	5,931
AT5G03390_1	0,521	3,871	2,941
AT5G03400_1	1,233	1,218	1,514
AT5G03406_1	0,982	0,582	0,551
AT5G03415_1	0,942	0,891	0,980
AT5G03420_1	0,959	0,654	0,890
AT5G03430_1	1,075	0,976	0,771
AT5G03435_1	0,919	0,870	1,062
AT5G03440_1	0,851	0,712	1,099
AT5G03440_2	0,811	0,567	0,756
AT5G03450_1	1,089	0,801	0,763
AT5G03455_1	1,119	1,085	2,098
AT5G03460_1	1,006	1,005	1,944
AT5G03470_1	0,941	0,447	0,635
AT5G03480_1	1,024	1,060	1,209
AT5G03490_1	0,921	2,408	2,789
AT5G03495_1	1,006	0,940	3,889
AT5G03500_1	0,871	0,858	1,365
AT5G03500_2	0,941	0,884	1,358
AT5G03510_1	0,648	0,571	0,602
AT5G03520_1	0,928	0,702	0,845
AT5G03530_1	1,009	0,448	0,209
AT5G03540_1	0,880	1,165	1,351
AT5G03545_1	0,915	1,246	8,290
AT5G03550_1	1,133	1,257	7,320
AT5G03552_1	0,668	0,596	0,365

AGI	NaCl-Kontrolle zur H₂O-Kontrolle (log₂)	H₂O +B.c. zur H₂O-Kontrolle (log₂)	NaCl +B.c. zur H₂O-Kontrolle (log₂)
AT5G03555_1	0,865	1,963	1,568
AT5G03560_1	1,372	2,685	4,773
AT5G03560_2	1,028	1,541	2,081
AT5G03570_1	1,037	1,140	1,463
AT5G03580_1	1,016	1,166	1,160
AT5G03590_1	1,121	1,831	2,897
AT5G03600_1	0,874	1,188	1,368
AT5G03610_1	0,752	12,347	14,310
AT5G03620_1	1,081	1,047	1,245
AT5G03630_1	0,981	2,531	2,560
AT5G03640_1	1,366	1,449	0,291
AT5G03650_1	1,001	0,606	0,351
AT5G03660_1	1,002	0,585	1,333
AT5G03668_1	0,937	0,921	0,942
AT5G03670_1	0,535	0,317	0,282
AT5G03680_1	0,818	0,475	0,409
AT5G03690_1	0,735	0,977	1,010
AT5G03690_2	0,893	0,934	0,945
AT5G03700_1	1,064	1,381	3,177
AT5G03710_1	1,555	1,690	1,570
AT5G03720_1	0,510	0,847	0,734
AT5G03730_1	0,755	1,518	1,750
AT5G03730_2	0,891	1,358	1,381
AT5G03740_1	1,062	1,782	1,207
AT5G03750_1	1,240	1,004	0,971
AT5G03760_1	1,028	0,635	0,085
AT5G03770_1	1,071	0,628	1,091
AT5G03780_1	1,024	0,716	0,537
AT5G03790_1	0,956	1,160	1,591
AT5G03795_1	0,876	0,694	0,627
AT5G03800_1	1,225	0,609	0,229
AT5G03810_1	1,071	1,200	1,319
AT5G03820_1	0,983	1,036	1,382
AT5G03830_1	0,977	0,710	0,726
AT5G03837_1	1,077	1,082	1,041
AT5G03840_1	1,042	0,892	0,728
AT5G03850_1	0,734	0,874	0,739
AT5G03858_1	0,931	0,758	0,676
AT5G03860_1	0,995	2,086	0,994
AT5G03870_1	0,544	0,354	0,349
AT5G03880_1	1,023	0,831	0,553
AT5G03890_1	0,992	2,077	14,054
AT5G03900_1	0,917	0,194	0,236
AT5G03900_2	1,028	0,496	0,416
AT5G03905_1	0,802	1,543	3,095
AT5G03910_1	1,057	0,523	0,470
AT5G03920_1	0,939	0,956	0,884
AT5G03930_1	1,013	1,068	1,290
AT5G03940_1	1,042	0,376	0,196
AT5G03944_1	1,087	1,192	1,475

AGI	NaCl-Kontrolle zur H₂O-Kontrolle (log₂)	H₂O +B.c. zur H₂O-Kontrolle (log₂)	NaCl +B.c. zur H₂O-Kontrolle (log₂)
AT5G03950_1	1,294	1,424	1,812
AT5G03960_1	0,838	0,857	1,065
AT5G03970_1	1,143	1,978	2,084
AT5G03970_2	1,144	1,954	2,068
AT5G03980_1	1,174	1,531	1,663
AT5G03990_1	1,058	2,344	2,594
AT5G03995_1	0,796	0,626	0,683
AT5G04000_1	0,955	0,802	0,977
AT5G04010_1	1,039	1,170	1,348
AT5G04020_1	0,793	1,181	1,873
AT5G04030_1	1,021	1,170	1,365
AT5G04040_1	0,972	0,797	1,314
AT5G04045_1	1,086	1,057	1,145
AT5G04047_1	0,987	1,056	1,023
AT5G04050_1	1,117	0,586	0,437
AT5G04050_2	1,121	0,483	0,380
AT5G04060_1	0,934	0,473	0,101
AT5G04070_1	0,846	0,756	1,120
AT5G04080_1	1,162	0,556	1,911
AT5G04090_1	0,881	0,472	0,699
AT5G04090_2	1,015	0,955	1,345
AT5G04110_1	1,201	1,000	0,994
AT5G04120_1	1,110	1,123	1,289
AT5G04130_1	1,006	0,524	0,216
AT5G04130_2	1,110	0,693	0,616
AT5G04140_1	1,023	0,734	0,582
AT5G04150_1	0,461	2,284	0,268
AT5G04160_1	0,801	0,289	0,113
AT5G04170_1	1,035	1,244	1,264
AT5G04180_1	0,860	0,807	0,870
AT5G04190_1	0,520	0,782	0,126
AT5G04200_1	0,739	0,513	1,329
AT5G04210_1	1,111	0,998	1,721
AT5G04220_1	0,988	0,655	1,294
AT5G04220_2	1,031	0,984	2,081
AT5G04230_1	1,119	0,478	0,056
AT5G04235_1	0,946	1,289	2,911
AT5G04238_1	1,271	1,150	1,127
AT5G04240_1	0,992	1,279	1,375
AT5G04250_1	1,262	1,998	7,314
AT5G04250_2	1,175	2,088	14,021
AT5G04260_1	0,925	0,742	1,679
AT5G04270_1	0,723	0,700	0,663
AT5G04275_1	0,972	0,891	0,877
AT5G04280_1	1,119	1,061	0,992
AT5G04290_1	1,224	0,692	0,633
AT5G04310_1	0,572	0,980	0,619
AT5G04320_1	0,889	0,610	0,375
AT5G04330_1	0,810	2,954	2,915
AT5G04340_1	0,990	4,551	4,609

AGI	NaCl-Kontrolle zur H₂O-Kontrolle (log₂)	H₂O +B.c. zur H₂O-Kontrolle (log₂)	NaCl +B.c. zur H₂O-Kontrolle (log₂)
AT5G04347_1	1,010	1,036	1,059
AT5G04350_1	1,023	1,002	1,045
AT5G04360_1	0,960	0,291	0,173
AT5G04370_1	0,891	1,154	1,196
AT5G04370_2	1,051	0,823	1,124
AT5G04380_1	0,979	0,874	0,910
AT5G04386_1	1,165	1,223	1,422
AT5G04390_1	0,991	2,658	7,354
AT5G04400_1	1,032	1,180	1,139
AT5G04410_1	0,960	1,530	1,571
AT5G04420_1	0,955	0,760	0,753
AT5G04430_1	0,921	0,898	0,527
AT5G04430_2	1,003	0,880	0,502
AT5G04440_1	0,976	0,793	0,673
AT5G04460_1	0,996	0,811	1,161
AT5G04470_1	0,719	0,285	0,247
AT5G04480_1	0,911	0,569	0,601
AT5G04490_1	0,924	0,510	0,540
AT5G04500_1	1,056	1,116	1,357
AT5G04510_1	0,995	0,514	0,571
AT5G04510_2	1,085	0,523	0,626
AT5G04520_1	0,873	1,836	2,053
AT5G04530_1	0,561	0,204	0,126
AT5G04540_1	1,018	1,957	2,918
AT5G04550_1	0,965	1,025	0,839
AT5G04560_1	0,877	0,479	0,622
AT5G04560_2	0,881	0,487	0,601
AT5G04590_1	0,969	1,192	1,095
AT5G04600_1	0,898	1,117	0,833
AT5G04610_1	0,933	1,539	1,624
AT5G04620_1	0,947	0,802	0,862
AT5G04620_2	1,099	0,424	0,225
AT5G04630_1	1,280	1,433	1,675
AT5G04640_1	1,007	1,050	1,167
AT5G04650_1	1,051	0,996	1,109
AT5G04660_1	0,976	0,406	0,262
AT5G04670_1	1,054	1,031	0,772
AT5G04680_1	0,772	0,314	0,429
AT5G04690_1	0,686	0,521	0,507
AT5G04700_1	0,623	0,363	0,290
AT5G04710_1	1,007	0,674	0,538
AT5G04720_1	0,783	1,481	1,910
AT5G04730_1	1,126	0,864	0,915
AT5G04740_1	0,877	0,620	1,345
AT5G04750_1	1,170	0,898	2,673
AT5G04750_2	1,093	0,881	2,666
AT5G04760_1	1,133	2,074	3,309
AT5G04770_1	0,629	0,299	0,288
AT5G04780_1	1,011	0,682	0,601
AT5G04781_1	0,892	6,988	9,173

AGI	NaCl-Kontrolle zur H₂O-Kontrolle (log₂)	H₂O +B.c. zur H₂O-Kontrolle (log₂)	NaCl +B.c. zur H₂O-Kontrolle (log₂)
AT5G04790_1	0,998	0,878	0,815
AT5G04800_1	0,963	1,023	0,827
AT5G04800_2	0,944	1,026	0,808
AT5G04800_3	0,982	1,052	0,842
AT5G04800_4	1,154	1,291	1,036
AT5G04810_1	1,082	0,622	0,276
AT5G04820_1	0,937	0,210	0,116
AT5G04830_1	1,087	1,543	1,968
AT5G04830_2	0,975	1,376	1,826
AT5G04840_1	0,711	3,759	3,808
AT5G04850_1	0,969	1,442	2,028
AT5G04853_1	1,224	2,537	2,985
AT5G04860_1	0,876	1,805	4,166
AT5G04870_1	0,869	1,321	1,070
AT5G04880_1	0,839	0,792	0,658
AT5G04885_1	1,079	0,309	0,231
AT5G04890_1	0,737	0,432	0,621
AT5G04895_1	1,358	0,865	0,452
AT5G04900_1	0,898	0,816	1,371
AT5G04910_1	1,006	0,928	1,953
AT5G04920_1	0,969	1,015	1,324
AT5G04930_1	0,918	1,505	1,639
AT5G04940_1	0,835	0,524	0,470
AT5G04940_2	1,113	0,737	0,644
AT5G04950_1	1,302	0,128	0,164
AT5G04960_1	1,270	1,442	1,436
AT5G04970_1	1,114	1,571	1,597
AT5G04980_1	0,854	1,707	3,623
AT5G04980_2	0,867	1,772	3,561
AT5G04990_1	0,968	1,020	1,141
AT5G05000_1	0,782	0,524	0,427
AT5G05000_2	0,759	0,529	0,157
AT5G05000_3	0,916	0,908	0,840
AT5G05010_1	1,040	0,881	0,825
AT5G05020_1	1,086	1,160	1,135
AT5G05025_1	0,919	1,263	1,399
AT5G05030_1	0,985	0,945	0,969
AT5G05040_1	0,935	0,873	0,872
AT5G05050_1	1,076	1,095	1,057
AT5G05060_1	0,855	0,814	0,979
AT5G05070_1	1,143	1,634	1,671
AT5G05080_1	0,889	1,033	1,140
AT5G05080_2	0,908	1,036	1,104
AT5G05090_1	0,900	0,246	0,335
AT5G05100_1	0,973	1,390	1,622
AT5G05110_1	1,296	1,695	4,636
AT5G05113_1	1,156	1,137	1,408
AT5G05120_1	1,249	1,274	1,533
AT5G05130_1	1,210	0,871	0,783
AT5G05140_1	0,853	2,276	2,911

AGI	NaCl-Kontrolle zur H₂O-Kontrolle (log₂)	H₂O +B.c. zur H₂O-Kontrolle (log₂)	NaCl +B.c. zur H₂O-Kontrolle (log₂)
AT5G05150_1	1,140	1,137	1,214
AT5G05160_1	1,060	0,300	0,260
AT5G05170_1	1,066	0,760	0,446
AT5G05180_1	0,658	0,330	0,134
AT5G05180_2	0,719	0,437	0,225
AT5G05190_1	0,902	1,619	2,692
AT5G05200_1	1,066	0,727	0,767
AT5G05210_1	1,048	1,491	1,453
AT5G05220_1	1,104	1,097	2,873
AT5G05230_1	1,040	0,527	1,059
AT5G05240_1	0,766	0,853	0,682
AT5G05250_1	0,903	0,981	0,075
AT5G05260_1	1,032	1,209	1,176
AT5G05270_1	0,940	0,862	0,917
AT5G05270_2	1,075	0,231	0,115
AT5G05280_1	1,138	1,316	1,500
AT5G05290_1	1,011	0,952	1,309
AT5G05300_1	0,516	2,666	4,479
AT5G05310_1	0,927	0,702	1,107
AT5G05310_2	0,896	0,765	1,185
AT5G05310_3	0,970	0,759	1,163
AT5G05320_1	0,670	0,844	0,785
AT5G05330_1	1,017	0,709	0,855
AT5G05330_2	0,905	0,484	0,419
AT5G05330_3	0,755	0,182	0,127
AT5G05340_1	0,999	62,497	154,356
AT5G05350_1	1,206	1,616	1,547
AT5G05360_1	0,744	1,261	2,004
AT5G05360_2	0,999	0,970	1,049
AT5G05365_1	1,022	3,223	10,043
AT5G05370_1	0,708	1,674	2,671
AT5G05380_1	0,935	1,779	1,873
AT5G05390_1	1,203	0,721	0,989
AT5G05400_1	0,980	0,672	0,605
AT5G05410_1	1,651	2,130	5,555
AT5G05410_2	1,554	2,198	5,626
AT5G05420_1	1,074	1,223	1,003
AT5G05430_1	1,095	0,899	0,619
AT5G05435_1	0,829	0,585	0,390
AT5G05440_1	0,363	2,033	1,386
AT5G05450_1	1,077	0,811	0,646
AT5G05460_1	0,852	0,718	1,048
AT5G05470_1	0,982	1,448	1,179
AT5G05480_1	1,075	0,975	0,874
AT5G05490_1	1,009	1,660	1,706
AT5G05490_2	1,171	1,795	1,789
AT5G05500_1	1,176	1,324	1,272
AT5G05510_1	0,792	0,451	0,469
AT5G05520_1	1,073	1,417	1,549
AT5G05530_1	1,007	1,224	1,784

AGI	NaCl-Kontrolle zur H₂O-Kontrolle (log₂)	H₂O +B.c. zur H₂O-Kontrolle (log₂)	NaCl +B.c. zur H₂O-Kontrolle (log₂)
AT5G05540_1	1,041	1,260	1,057
AT5G05540_2	1,059	0,894	0,815
AT5G05550_1	1,000	0,379	0,359
AT5G05550_2	0,949	0,303	0,294
AT5G05560_1	1,546	0,665	0,358
AT5G05570_1	0,956	0,984	1,074
AT5G05580_1	0,967	0,388	0,063
AT5G05590_1	1,023	1,306	1,088
AT5G05590_2	1,034	0,708	0,506
AT5G05598_1	1,023	1,025	1,122
AT5G05600_1	0,820	2,704	2,926
AT5G05610_1	0,969	0,789	0,500
AT5G05610_2	0,996	0,825	0,550
AT5G05620_1	1,127	0,375	0,201
AT5G05630_1	0,940	0,844	0,525
AT5G05640_1	1,005	0,991	0,996
AT5G05650_1	0,988	1,110	1,144
AT5G05657_1	0,941	0,883	1,043
AT5G05660_1	1,052	0,733	0,735
AT5G05670_1	1,040	0,801	0,629
AT5G05670_2	1,038	0,803	0,613
AT5G05680_1	0,945	0,657	0,465
AT5G05690_1	0,956	0,817	0,418
AT5G05690_2	0,931	0,812	0,413
AT5G05700_1	0,976	0,985	1,212
AT5G05710_1	0,751	0,921	0,981
AT5G05720_1	1,263	1,462	1,329
AT5G05730_1	0,864	1,984	1,937
AT5G05740_1	0,982	0,368	0,138
AT5G05740_2	0,986	0,366	0,137
AT5G05750_1	1,066	0,797	1,029
AT5G05760_1	0,924	1,171	1,681
AT5G05770_1	1,062	0,983	0,960
AT5G05780_1	0,984	1,012	1,017
AT5G05790_1	0,808	1,123	0,341
AT5G05795_1	1,058	1,080	1,241
AT5G05800_1	1,003	0,749	0,787
AT5G05810_1	1,136	0,879	1,164
AT5G05820_1	0,954	0,656	0,655
AT5G05830_1	0,975	0,451	0,303
AT5G05840_1	1,028	0,091	0,058
AT5G05850_1	0,841	2,090	2,040
AT5G05860_1	1,039	0,133	0,088
AT5G05870_1	1,029	0,710	0,710
AT5G05880_1	1,006	0,617	0,801
AT5G05890_1	0,921	0,273	0,043
AT5G05900_1	1,146	1,358	1,455
AT5G05910_1	1,174	1,141	1,317
AT5G05920_1	0,910	0,780	0,695
AT5G05920_2	0,918	0,792	0,777

AGI	NaCl-Kontrolle zur H₂O-Kontrolle (log₂)	H₂O +B.c. zur H₂O-Kontrolle (log₂)	NaCl +B.c. zur H₂O-Kontrolle (log₂)
AT5G05930_1	0,932	0,988	1,691
AT5G05930_2	0,920	1,014	1,736
AT5G05940_1	0,721	0,123	0,113
AT5G05950_1	0,969	0,873	0,825
AT5G05960_1	0,965	0,143	0,059
AT5G05965_1	1,009	0,907	1,001
AT5G05970_1	1,209	0,625	0,332
AT5G05980_1	1,221	1,032	1,053
AT5G05987_1	1,083	1,327	1,826
AT5G05990_1	0,954	1,179	0,854
AT5G06000_1	0,851	1,348	0,771
AT5G06010_1	1,086	1,189	1,192
AT5G06020_1	1,048	1,039	1,031
AT5G06030_1	1,142	1,163	1,131
AT5G06040_1	0,908	0,932	1,054
AT5G06043_1	1,452	1,726	2,115
AT5G06050_1	1,103	0,586	0,325
AT5G06060_1	1,002	0,725	0,404
AT5G06070_1	1,212	1,087	1,055
AT5G06080_1	1,229	1,331	1,612
AT5G06090_1	1,270	1,645	1,890
AT5G06100_1	1,033	0,768	0,946
AT5G06100_2	0,971	0,632	1,250
AT5G06100_3	1,008	0,709	1,258
AT5G06110_1	1,041	1,852	1,679
AT5G06120_1	0,942	1,095	1,492
AT5G06130_1	0,888	0,468	0,631
AT5G06130_2	0,990	0,817	1,107
AT5G06140_1	0,998	1,082	1,348
AT5G06150_1	0,693	0,270	0,230
AT5G06160_1	1,145	0,952	0,697
AT5G06170_1	1,157	2,502	3,244
AT5G06180_1	0,915	0,364	0,354
AT5G06180_2	1,212	0,915	0,898
AT5G06190_1	0,939	0,593	1,709
AT5G06200_1	1,068	1,011	0,985
AT5G06210_1	1,021	0,923	0,827
AT5G06220_1	1,029	0,685	0,467
AT5G06230_1	0,980	13,954	27,980
AT5G06230_2	0,948	28,835	48,069
AT5G06240_1	1,011	0,514	0,533
AT5G06250_1	1,456	1,441	1,383
AT5G06250_2	1,102	0,624	0,563
AT5G06260_1	0,978	0,800	1,316
AT5G06265_1	1,021	0,765	0,595
AT5G06265_2	1,021	0,431	0,240
AT5G06270_1	0,928	0,667	0,610
AT5G06278_1	1,073	0,825	0,925
AT5G06280_1	0,999	0,505	0,532
AT5G06280_3	1,012	1,203	1,789

AGI	NaCl-Kontrolle zur H₂O-Kontrolle (log₂)	H₂O +B.c. zur H₂O-Kontrolle (log₂)	NaCl +B.c. zur H₂O-Kontrolle (log₂)
AT5G06290_1	0,910	0,509	0,310
AT5G06300_1	0,713	1,243	0,480
AT5G06310_1	1,183	0,488	0,349
AT5G06320_1	0,899	1,171	1,415
AT5G06330_1	0,851	0,266	0,564
AT5G06340_1	0,864	0,860	0,782
AT5G06350_1	1,058	1,314	1,163
AT5G06360_1	1,074	1,433	1,054
AT5G06370_1	1,034	0,744	1,591
AT5G06380_1	0,930	0,942	0,997
AT5G06390_1	1,200	0,511	0,235
AT5G06400_1	1,031	0,693	0,447
AT5G06410_1	1,134	0,786	0,920
AT5G06420_1	0,956	0,854	0,895
AT5G06420_2	0,945	0,877	0,981
AT5G06430_1	0,885	1,008	0,879
AT5G06440_1	1,082	0,602	0,733
AT5G06450_1	0,920	0,926	1,048
AT5G06460_1	1,166	0,993	1,029
AT5G06470_1	0,614	0,292	0,280
AT5G06480_1	0,963	0,538	0,383
AT5G06490_1	1,374	1,667	2,377
AT5G06500_1	0,978	0,909	1,009
AT5G06510_1	1,448	0,748	0,588
AT5G06510_2	1,530	0,782	0,684
AT5G06510_3	0,995	0,899	0,809
AT5G06520_1	0,957	1,068	1,050
AT5G06530_1	0,852	1,052	0,891
AT5G06530_3	0,802	1,047	0,911
AT5G06540_1	1,183	0,670	0,546
AT5G06550_1	1,069	1,963	1,462
AT5G06560_1	0,751	1,249	1,157
AT5G06570_1	0,351	0,337	0,356
AT5G06570_2	0,705	0,788	0,769
AT5G06580_1	0,936	0,880	0,873
AT5G06590_1	1,090	0,935	1,482
AT5G06600_1	1,022	0,990	1,105
AT5G06600_3	0,976	0,896	1,198
AT5G06610_1	1,088	0,174	0,981
AT5G06620_1	1,197	0,629	0,262
AT5G06630_1	1,163	1,014	0,948
AT5G06634_1	1,151	0,966	1,126
AT5G06640_1	1,279	1,444	1,286
AT5G06650_1	1,043	1,096	1,106
AT5G06660_1	0,948	1,187	1,109
AT5G06670_1	1,104	0,277	0,174
AT5G06680_1	0,979	0,805	0,463
AT5G06690_1	0,871	0,045	0,031
AT5G06690_2	0,949	0,040	0,043
AT5G06700_1	1,010	0,411	0,188

AGI	NaCl-Kontrolle zur H₂O-Kontrolle (log₂)	H₂O +B.c. zur H₂O-Kontrolle (log₂)	NaCl +B.c. zur H₂O-Kontrolle (log₂)
AT5G06710_1	1,013	0,656	0,513
AT5G06710_2	0,958	0,614	0,492
AT5G06720_1	0,669	2,646	11,419
AT5G06730_1	0,887	8,436	42,066
AT5G06740_1	0,968	7,802	23,685
AT5G06750_1	0,841	1,369	2,138
AT5G06750_2	0,914	1,358	2,213
AT5G06750_3	0,875	1,477	2,520
AT5G06755_1	1,550	1,717	2,725
AT5G06760_1	1,449	0,486	3,547
AT5G06770_1	0,934	0,474	0,458
AT5G06780_1	0,958	1,030	1,446
AT5G06790_1	1,239	0,513	0,040
AT5G06800_1	0,900	0,765	0,662
AT5G06805_1	1,148	1,470	1,625
AT5G06810_1	0,937	1,678	1,711
AT5G06820_1	0,905	0,967	1,068
AT5G06830_1	1,089	0,687	0,958
AT5G06839_1	1,121	1,866	7,769
AT5G06850_1	1,010	0,657	0,799
AT5G06860_1	0,624	0,874	4,853
AT5G06865_1	0,666	0,374	0,654
AT5G06865_2	0,713	1,306	2,686
AT5G06870_1	0,790	0,949	1,138
AT5G06890_1	1,156	1,629	1,367
AT5G06900_1	0,972	1,006	1,052
AT5G06905_1	1,191	1,331	2,027
AT5G06910_1	0,870	0,734	1,068
AT5G06920_1	1,024	1,125	1,420
AT5G06930_1	0,787	0,168	0,177
AT5G06940_1	0,994	0,190	0,192
AT5G06950_1	1,041	0,921	0,973
AT5G06950_2	1,050	0,905	0,949
AT5G06960_1	1,076	1,685	3,109
AT5G06960_2	1,053	1,722	3,068
AT5G06970_1	0,910	0,680	0,584
AT5G06980_1	0,866	1,265	0,813
AT5G06980_2	0,848	1,264	0,787
AT5G06990_1	0,857	0,973	1,121
AT5G07000_1	0,709	0,921	0,648
AT5G07010_1	0,643	6,282	6,999
AT5G07020_1	0,883	0,363	0,231
AT5G07030_1	1,060	0,104	0,026
AT5G07040_1	1,096	1,194	1,183
AT5G07050_1	0,844	0,876	0,823
AT5G07060_1	1,141	1,613	1,515
AT5G07070_1	0,823	0,873	0,783
AT5G07080_1	0,726	0,316	1,137
AT5G07090_1	0,954	0,843	0,493
AT5G07090_2	1,098	1,379	1,208

AGI	NaCl-Kontrolle zur H₂O-Kontrolle (log₂)	H₂O +B.c. zur H₂O-Kontrolle (log₂)	NaCl +B.c. zur H₂O-Kontrolle (log₂)
AT5G07100_1	0,575	2,143	4,733
AT5G07100_2	0,567	2,625	7,075
AT5G07110_1	0,732	0,963	0,286
AT5G07120_1	1,027	0,737	0,932
AT5G07130_1	0,965	0,269	0,391
AT5G07140_1	1,265	0,401	0,184
AT5G07150_1	0,940	1,191	0,704
AT5G07160_1	1,047	1,124	1,531
AT5G07170_1	0,938	0,839	0,833
AT5G07180_1	1,372	0,517	0,068
AT5G07190_1	0,996	0,904	1,052
AT5G07190_2	0,947	0,892	0,914
AT5G07200_1	0,958	1,127	1,009
AT5G07210_1	1,056	1,731	2,072
AT5G07215_1	1,196	1,381	1,282
AT5G07220_1	0,959	1,523	1,615
AT5G07225_1	0,976	1,053	1,003
AT5G07230_1	1,287	1,439	1,684
AT5G07240_1	0,951	0,867	0,435
AT5G07250_1	1,017	0,649	0,485
AT5G07250_2	1,010	0,618	0,449
AT5G07260_1	0,898	0,946	1,019
AT5G07270_1	0,984	1,054	1,430
AT5G07280_1	0,822	0,836	0,808
AT5G07290_1	0,980	0,986	1,457
AT5G07300_1	0,966	1,101	1,054
AT5G07310_1	0,982	2,188	3,902
AT5G07320_1	0,978	1,035	0,776
AT5G07322_1	0,966	1,161	1,290
AT5G07330_1	1,006	1,058	1,191
AT5G07340_1	1,087	0,926	0,819
AT5G07350_1	1,031	1,587	1,372
AT5G07350_2	1,118	1,819	1,517
AT5G07360_1	0,973	1,378	1,341
AT5G07360_2	0,921	1,356	1,330
AT5G07370_1	0,945	0,969	1,175
AT5G07370_2	0,932	0,902	1,279
AT5G07370_3	0,939	0,988	1,357
AT5G07370_4	0,741	0,462	1,018
AT5G07380_1	1,060	1,058	1,285
AT5G07380_2	1,055	0,884	1,249
AT5G07390_1	1,127	1,306	1,689
AT5G07400_1	0,861	0,797	0,873
AT5G07410_1	1,598	1,458	1,687
AT5G07420_1	1,222	1,203	1,221
AT5G07430_1	1,132	1,091	1,094
AT5G07440_1	0,633	2,635	5,634
AT5G07440_3	0,660	1,636	9,453
AT5G07450_1	1,029	1,157	1,285
AT5G07460_1	0,952	2,262	1,851

AGI	NaCl-Kontrolle zur H₂O-Kontrolle (log₂)	H₂O +B.c. zur H₂O-Kontrolle (log₂)	NaCl +B.c. zur H₂O-Kontrolle (log₂)
AT5G07470_1	1,159	1,333	1,990
AT5G07475_1	1,025	0,962	0,956
AT5G07480_1	0,998	1,222	1,190
AT5G07490_1	1,030	1,296	1,150
AT5G07500_1	1,167	1,162	1,295
AT5G07505_1	0,992	1,287	1,305
AT5G07510_1	0,994	1,007	1,592
AT5G07510_3	0,877	0,821	1,308
AT5G07520_1	1,016	0,923	0,940
AT5G07530_1	1,275	1,211	1,266
AT5G07530_2	1,159	1,089	1,145
AT5G07540_1	0,983	1,218	1,480
AT5G07550_1	0,953	1,012	1,081
AT5G07550_2	0,953	1,041	1,143
AT5G07550_3	0,936	0,972	0,926
AT5G07560_1	0,925	0,962	1,098
AT5G07570_1	1,072	1,056	1,164
AT5G07571_1	0,977	0,981	1,002
AT5G07572_1	0,955	0,993	0,938
AT5G07580_1	0,746	0,518	0,151
AT5G07590_1	1,009	0,158	0,091
AT5G07600_1	1,169	1,419	1,666
AT5G07610_1	0,871	0,206	0,388
AT5G07620_1	0,791	0,178	0,109
AT5G07625_1	1,038	1,145	1,611
AT5G07630_1	0,956	0,500	0,459
AT5G07640_1	1,141	0,799	0,887
AT5G07650_1	1,253	1,112	1,205
AT5G07660_1	0,531	0,329	0,208
AT5G07670_1	1,017	0,611	0,393
AT5G07680_1	0,993	1,055	1,337
AT5G07680_2	0,857	1,379	13,642
AT5G07685_1	0,881	0,817	0,868
AT5G07690_1	1,323	0,139	0,011
AT5G07700_1	1,432	0,219	0,060
AT5G07710_1	0,844	0,698	0,775
AT5G07720_1	0,902	0,222	0,124
AT5G07730_1	1,029	2,657	3,721
AT5G07740_1	1,031	1,270	1,715
AT5G07760_1	1,138	1,012	1,158
AT5G07770_1	1,065	0,766	0,923
AT5G07780_1	0,896	0,635	0,440
AT5G07790_1	1,058	0,429	0,637
AT5G07800_1	0,764	0,250	0,163
AT5G07810_1	0,971	0,331	0,365
AT5G07820_1	0,816	0,473	0,513
AT5G07830_1	1,134	1,272	1,332
AT5G07840_1	0,951	0,604	0,584
AT5G07842_1	0,984	0,670	0,644
AT5G07850_1	1,037	1,549	1,931

AGI	NaCl-Kontrolle zur H₂O-Kontrolle (log₂)	H₂O +B.c. zur H₂O-Kontrolle (log₂)	NaCl +B.c. zur H₂O-Kontrolle (log₂)
AT5G07860_1	1,025	0,487	0,405
AT5G07870_1	0,891	0,419	0,447
AT5G07880_1	1,041	1,201	2,231
AT5G07890_1	0,956	0,679	1,046
AT5G07890_2	0,948	0,623	0,999
AT5G07900_1	0,996	0,665	0,251
AT5G07910_1	0,874	1,067	1,317
AT5G07920_1	1,119	0,760	1,382
AT5G07930_1	1,016	1,027	1,178
AT5G07930_2	0,916	0,877	0,904
AT5G07940_1	1,049	0,925	1,013
AT5G07950_1	1,218	1,117	1,071
AT5G07960_1	0,804	0,854	1,216
AT5G07970_1	1,182	1,137	1,296
AT5G07980_1	1,059	0,845	0,971
AT5G07990_1	1,003	1,191	1,138
AT5G08000_1	0,847	0,163	0,100
AT5G08010_1	0,930	0,607	0,755
AT5G08020_1	0,535	0,280	0,211
AT5G08030_1	1,045	0,056	0,038
AT5G08040_1	1,055	0,704	0,471
AT5G08050_1	0,752	0,394	0,103
AT5G08055_1	1,597	2,371	3,349
AT5G08060_1	0,958	1,010	1,275
AT5G08070_1	1,083	0,936	0,376
AT5G08080_1	0,905	0,925	1,060
AT5G08080_2	0,833	0,643	0,721
AT5G08090_1	0,978	1,224	1,156
AT5G08100_1	1,140	0,922	0,816
AT5G08100_2	1,142	0,563	0,717
AT5G08110_1	0,986	1,176	1,241
AT5G08120_1	0,943	0,543	0,463
AT5G08130_1	1,010	1,151	1,187
AT5G08130_3	0,971	1,158	1,262
AT5G08139_1	1,092	2,181	2,515
AT5G08141_1	0,984	1,143	1,097
AT5G08150_1	0,740	1,688	1,004
AT5G08160_1	0,971	0,899	0,995
AT5G08160_2	1,008	0,832	1,034
AT5G08170_1	1,128	1,337	1,802
AT5G08180_1	0,893	1,631	0,967
AT5G08185_1	1,083	0,566	0,303
AT5G08185_2	1,187	0,796	0,714
AT5G08185_3	1,262	0,856	0,781
AT5G08190_1	0,944	1,108	1,466
AT5G08190_2	0,931	1,091	1,430
AT5G08200_1	0,958	1,353	1,548
AT5G08210_1	0,990	0,552	0,810
AT5G08220_1	0,825	0,586	0,686
AT5G08230_1	1,055	0,778	0,938

AGI	NaCl-Kontrolle zur H₂O-Kontrolle (log₂)	H₂O +B.c. zur H₂O-Kontrolle (log₂)	NaCl +B.c. zur H₂O-Kontrolle (log₂)
AT5G08240_1	0,797	9,811	12,192
AT5G08250_1	1,182	1,029	1,210
AT5G08260_1	0,917	0,178	0,039
AT5G08270_1	0,971	0,624	0,528
AT5G08280_1	0,979	0,370	0,331
AT5G08290_1	0,934	0,932	1,095
AT5G08300_1	0,957	1,510	1,696
AT5G08310_1	1,186	0,622	0,490
AT5G08315_1	1,107	1,395	1,728
AT5G08320_1	0,978	0,429	0,392
AT5G08330_1	0,906	0,329	0,072
AT5G08335_1	1,055	1,110	1,182
AT5G08340_1	0,977	0,506	0,277
AT5G08340_2	1,107	0,535	0,394
AT5G08350_1	1,044	1,451	0,612
AT5G08360_1	0,932	0,674	0,863
AT5G08370_1	1,041	0,186	0,089
AT5G08370_2	1,078	0,260	0,095
AT5G08380_1	1,063	0,381	0,710
AT5G08390_1	1,087	0,618	0,395
AT5G08391_1	0,795	0,806	1,060
AT5G08400_1	1,322	0,616	0,408
AT5G08400_2	1,333	0,634	0,397
AT5G08410_1	1,091	0,186	0,351
AT5G08415_1	0,967	0,784	0,647
AT5G08420_1	1,025	0,727	0,560
AT5G08430_1	1,103	0,835	0,623
AT5G08440_1	1,009	0,943	1,077
AT5G08450_1	0,997	0,934	0,967
AT5G08460_1	1,102	1,083	1,200
AT5G08470_1	1,178	0,724	0,996
AT5G08480_1	0,932	0,515	1,277
AT5G08480_2	1,042	0,617	1,392
AT5G08490_1	1,261	0,727	0,607
AT5G08500_1	1,107	1,038	1,022
AT5G08505_1	1,024	1,018	1,141
AT5G08510_1	1,160	0,750	1,252
AT5G08520_1	1,002	0,420	0,467
AT5G08530_1	1,006	0,919	0,962
AT5G08535_1	0,878	0,967	1,527
AT5G08535_2	0,888	0,987	1,524
AT5G08540_1	1,072	0,596	0,515
AT5G08550_1	0,993	1,034	1,152
AT5G08560_1	0,962	1,174	1,283
AT5G08565_1	0,957	1,323	1,874
AT5G08570_1	1,053	0,685	0,731
AT5G08580_1	1,141	0,302	0,242
AT5G08590_1	0,855	0,747	0,805
AT5G08600_1	1,308	1,521	0,784
AT5G08610_1	1,196	0,535	0,159

AGI	NaCl-Kontrolle zur H₂O-Kontrolle (log₂)	H₂O +B.c. zur H₂O-Kontrolle (log₂)	NaCl +B.c. zur H₂O-Kontrolle (log₂)
AT5G08620_1	1,104	0,965	0,535
AT5G08630_1	0,911	1,020	1,479
AT5G08640_1	0,865	0,411	0,331
AT5G08650_1	1,009	0,575	0,483
AT5G08660_1	0,835	0,840	1,338
AT5G08670_1	1,012	1,035	1,109
AT5G08680_1	1,043	1,206	1,394
AT5G08690_1	1,006	0,990	0,950
AT5G08695_1	0,993	0,917	0,879
AT5G08710_1	1,058	0,755	1,143
AT5G08712_1	1,311	1,538	2,237
AT5G08717_1	1,095	1,385	1,579
AT5G08720_1	0,925	0,630	0,283
AT5G08730_1	1,128	1,145	1,296
AT5G08740_1	0,951	0,507	0,588
AT5G08750_1	1,140	0,928	2,875
AT5G08750_2	1,163	0,997	2,656
AT5G08750_3	1,126	0,898	2,892
AT5G08760_1	0,667	0,818	2,046
AT5G08770_1	1,110	0,989	1,132
AT5G08780_1	1,121	0,708	0,317
AT5G08790_1	0,821	6,342	7,844
AT5G09210_1	1,218	1,240	1,388
AT5G09220_1	1,013	0,924	0,374
AT5G09225_1	1,297	1,022	1,549
AT5G09230_1	1,028	1,096	1,380
AT5G09230_2	1,025	1,127	1,405
AT5G09230_3	0,947	0,707	0,763
AT5G09230_4	0,980	1,087	1,346
AT5G09230_5	1,091	1,046	1,246
AT5G09230_6	1,110	1,077	1,240
AT5G09230_7	1,023	1,039	1,215
AT5G09240_1	0,771	0,455	0,259
AT5G09240_2	0,789	0,466	0,401
AT5G09240_3	0,816	0,342	0,305
AT5G09250_1	0,964	0,479	0,428
AT5G09250_2	0,865	0,722	0,734
AT5G09260_1	0,855	1,121	1,496
AT5G09270_1	0,985	0,638	0,607
AT5G09270_2	1,020	0,970	0,807
AT5G09280_1	0,966	0,947	1,031
AT5G09290_1	1,027	1,793	7,810
AT5G09300_1	1,150	0,639	1,186
AT5G09300_2	1,010	0,974	0,999
AT5G09310_1	0,863	0,873	0,974
AT5G09320_1	1,152	0,592	0,197
AT5G09330_1	1,031	1,432	1,367
AT5G09340_1	1,001	1,031	1,044
AT5G09345_1	1,116	1,210	1,495
AT5G09350_1	1,047	0,653	0,774

AGI	NaCl-Kontrolle zur H₂O-Kontrolle (log₂)	H₂O +B.c. zur H₂O-Kontrolle (log₂)	NaCl +B.c. zur H₂O-Kontrolle (log₂)
AT5G09360_1	1,057	1,143	1,271
AT5G09370_1	0,980	1,018	1,161
AT5G09370_2	0,947	1,007	1,163
AT5G09380_1	0,968	1,275	1,200
AT5G09390_1	1,017	1,075	1,257
AT5G09400_1	1,088	0,994	1,087
AT5G09410_1	0,958	0,716	0,756
AT5G09420_1	0,920	2,358	2,454
AT5G09430_1	1,028	1,203	1,507
AT5G09440_1	0,477	5,213	6,520
AT5G09443_1	1,019	0,510	0,323
AT5G09445_1	1,199	0,706	0,549
AT5G09450_1	1,084	0,967	1,133
AT5G09460_1	1,084	0,573	0,260
AT5G09470_1	1,301	4,881	9,285
AT5G09480_1	1,415	0,938	1,179
AT5G09490_1	1,674	1,373	1,028
AT5G09500_1	1,162	1,099	0,927
AT5G09510_1	0,966	1,085	1,158
AT5G09510_2	1,044	0,865	0,676
AT5G09513_1	1,050	1,035	1,120
AT5G09520_1	1,231	0,978	1,258
AT5G09530_1	1,030	0,421	0,275
AT5G09540_1	1,172	0,865	0,755
AT5G09550_1	0,975	1,021	1,106
AT5G09560_1	0,842	1,004	1,157
AT5G09570_1	1,235	4,466	27,321
AT5G09580_1	1,015	0,975	0,656
AT5G09585_1	1,182	0,959	1,156
AT5G09590_1	1,208	2,352	1,983
AT5G09600_1	1,022	1,275	1,689
AT5G09600_2	0,997	0,944	1,193
AT5G09610_1	2,500	1,160	1,717
AT5G09620_1	1,216	1,170	1,351
AT5G09630_1	0,937	0,662	1,632
AT5G09640_1	1,140	1,197	1,299
AT5G09650_1	0,815	0,497	0,425
AT5G09660_1	1,053	0,815	0,359
AT5G09660_2	1,073	0,740	0,265
AT5G09660_4	1,007	0,813	0,348
AT5G09670_1	0,986	1,045	0,817
AT5G09672_1	0,987	0,998	0,814
AT5G09680_1	0,955	2,397	2,575
AT5G09680_2	0,929	1,004	1,005
AT5G09690_1	0,949	0,491	0,719
AT5G09690_2	1,081	0,581	0,623
AT5G09690_3	1,084	0,522	0,626
AT5G09690_4	0,904	0,489	0,613
AT5G09700_1	1,126	1,380	1,559
AT5G09710_1	0,745	0,462	0,496

AGI	NaCl-Kontrolle zur H₂O-Kontrolle (log₂)	H₂O +B.c. zur H₂O-Kontrolle (log₂)	NaCl +B.c. zur H₂O-Kontrolle (log₂)
AT5G09711_1	0,916	0,930	1,010
AT5G09720_1	1,132	0,940	1,341
AT5G09730_1	1,020	0,207	0,098
AT5G09740_1	1,013	0,670	0,764
AT5G09740_2	0,888	0,686	0,794
AT5G09750_1	0,986	1,028	1,112
AT5G09760_1	0,953	0,319	0,166
AT5G09770_1	1,107	0,851	0,531
AT5G09780_1	1,330	1,725	2,019
AT5G09790_1	1,095	2,006	2,328
AT5G09790_2	0,731	2,119	2,256
AT5G09795_1	1,231	1,242	1,302
AT5G09800_1	0,818	11,149	9,236
AT5G09805_1	0,607	0,536	0,553
AT5G09810_1	1,058	1,042	1,080
AT5G09820_1	0,830	0,319	0,212
AT5G09820_2	0,938	0,853	0,865
AT5G09830_1	0,794	0,884	1,457
AT5G09840_1	1,146	1,900	0,937
AT5G09850_1	0,873	0,997	1,123
AT5G09860_1	1,068	0,782	0,580
AT5G09870_1	0,979	0,869	0,555
AT5G09876_1	1,061	1,103	1,646
AT5G09880_1	0,957	1,027	1,054
AT5G09890_1	0,851	1,159	1,198
AT5G09900_1	1,069	0,888	1,142
AT5G09900_3	1,078	0,883	1,149
AT5G09910_1	0,982	1,047	1,094
AT5G09920_1	0,967	0,967	1,495
AT5G09930_1	1,739	3,872	9,817
AT5G09940_1	1,123	1,083	1,250
AT5G09950_1	1,220	0,565	0,474
AT5G09960_1	0,714	0,469	0,961
AT5G09970_1	0,972	1,262	1,192
AT5G09976_1	0,999	1,057	1,016
AT5G09978_1	1,131	1,294	1,840
AT5G09980_1	0,969	1,037	0,979
AT5G09990_1	0,843	0,640	0,756
AT5G09995_1	0,938	0,436	0,434
AT5G09995_2	0,910	0,440	0,418
AT5G09995_3	0,942	0,434	0,420
AT5G10000_1	0,979	0,987	1,384
AT5G10010_1	0,856	1,056	0,908
AT5G10020_1	0,894	0,492	0,231
AT5G10030_1	0,903	0,710	1,112
AT5G10040_1	1,021	1,050	1,147
AT5G10050_1	0,986	0,779	1,195
AT5G10060_1	1,009	0,471	0,543
AT5G10070_1	1,003	0,840	0,953
AT5G10080_1	1,879	0,254	0,130

AGI	NaCl-Kontrolle zur H₂O-Kontrolle (log₂)	H₂O +B.c. zur H₂O-Kontrolle (log₂)	NaCl +B.c. zur H₂O-Kontrolle (log₂)
AT5G10090_1	1,092	1,200	1,408
AT5G10100_1	0,985	0,894	0,923
AT5G10110_1	0,917	0,448	0,510
AT5G10120_1	1,003	1,250	1,241
AT5G10130_1	1,198	1,588	1,825
AT5G10140_1	0,718	0,497	0,657
AT5G10140_2	1,034	0,945	0,956
AT5G10140_3	1,102	1,098	1,325
AT5G10150_1	0,837	0,631	0,070
AT5G10160_1	0,957	0,669	0,673
AT5G10170_1	0,964	0,547	0,120
AT5G10180_1	1,059	0,453	0,236
AT5G10190_1	1,014	1,544	1,507
AT5G10200_1	0,920	0,462	0,188
AT5G10210_1	0,906	0,909	0,903
AT5G10220_1	1,145	1,388	1,421
AT5G10230_1	1,429	0,704	0,602
AT5G10240_1	1,159	0,990	0,435
AT5G10250_1	0,774	0,202	0,160
AT5G10260_1	0,655	0,240	0,165
AT5G10270_1	0,983	1,030	1,533
AT5G10278_1	0,998	0,953	0,928
AT5G10278_2	1,014	0,874	0,857
AT5G10280_1	1,001	1,138	0,943
AT5G10290_1	0,929	1,220	1,030
AT5G10300_1	0,929	9,415	23,045
AT5G10310_1	0,955	0,561	0,164
AT5G10320_1	1,084	0,686	0,360
AT5G10320_2	1,025	0,654	0,384
AT5G10320_3	1,074	0,681	0,398
AT5G10330_1	0,880	0,534	0,242
AT5G10330_2	0,908	0,591	0,261
AT5G10330_3	0,869	0,556	0,262
AT5G10336_1	0,930	0,929	1,091
AT5G10340_1	1,131	0,823	0,881
AT5G10350_1	0,964	0,660	0,835
AT5G10350_2	1,024	1,089	1,125
AT5G10360_1	0,932	1,028	0,733
AT5G10370_1	1,152	0,958	0,983
AT5G10380_1	0,992	1,184	1,280
AT5G10390_1	0,803	0,458	0,340
AT5G10400_1	0,735	0,330	0,269
AT5G10410_1	1,010	0,235	0,315
AT5G10420_1	0,803	0,687	0,710
AT5G10430_1	0,809	0,050	0,021
AT5G10440_1	0,774	0,380	0,476
AT5G10450_1	0,922	1,034	1,194
AT5G10460_1	0,890	0,675	0,868
AT5G10470_1	1,106	0,982	0,574
AT5G10470_2	0,941	0,969	0,535

AGI	NaCl-Kontrolle zur H ₂ O-Kontrolle (log ₂)	H ₂ O +B.c. zur H ₂ O-Kontrolle (log ₂)	NaCl +B.c. zur H ₂ O-Kontrolle (log ₂)
AT5G10480_1	0,934	0,873	0,527
AT5G10480_2	0,908	0,836	0,493
AT5G10490_1	0,946	1,231	1,394
AT5G10500_1	0,950	0,948	1,127
AT5G10504_1	1,259	1,359	1,884
AT5G10510_1	1,008	0,410	0,390
AT5G10510_2	1,038	0,492	0,466
AT5G10520_1	0,489	37,332	22,521
AT5G10525_1	1,009	1,019	0,944
AT5G10530_1	1,056	0,269	0,312
AT5G10540_1	1,024	0,692	0,525
AT5G10550_1	1,146	1,333	1,227
AT5G10560_1	0,971	0,384	0,117
AT5G10570_1	0,702	0,212	0,053
AT5G10572_1	1,061	0,661	0,553
AT5G10580_1	0,892	1,075	1,230
AT5G10580_2	0,946	0,939	1,002
AT5G10590_1	1,059	0,972	1,136
AT5G10600_1	1,113	0,658	0,819
AT5G10610_1	0,919	0,988	1,395
AT5G10620_1	0,780	0,203	0,156
AT5G10625_1	1,153	15,965	37,597
AT5G10630_1	1,138	0,832	1,061
AT5G10650_1	1,013	2,003	3,419
AT5G10660_1	1,066	1,039	2,214
AT5G10670_1	1,215	1,061	1,089
AT5G10680_1	0,886	0,424	0,465
AT5G10690_1	1,060	0,327	0,080
AT5G10695_1	0,851	1,739	3,640
AT5G10700_1	0,915	0,393	0,342
AT5G10710_1	1,032	0,780	0,878
AT5G10710_2	1,056	0,778	0,808
AT5G10720_1	1,366	1,150	0,994
AT5G10730_1	1,040	1,171	1,814
AT5G10740_1	0,815	4,598	8,748
AT5G10745_1	0,892	0,682	0,458
AT5G10750_1	0,990	1,180	1,147
AT5G10760_1	1,025	0,569	0,460
AT5G10770_1	1,166	0,548	1,416
AT5G10780_1	0,989	0,757	1,100
AT5G10790_1	0,968	0,522	0,874
AT5G10800_1	0,939	0,862	0,812
AT5G10810_1	0,976	0,636	0,697
AT5G10820_1	0,775	0,741	0,778
AT5G10830_1	1,075	1,341	2,084
AT5G10840_1	1,004	0,943	0,926
AT5G10850_1	1,139	1,171	1,309
AT5G10860_1	1,074	0,689	0,858
AT5G10870_1	0,892	0,399	0,817
AT5G10880_1	1,128	1,218	1,596

AGI	NaCl-Kontrolle zur H₂O-Kontrolle (log₂)	H₂O +B.c. zur H₂O-Kontrolle (log₂)	NaCl +B.c. zur H₂O-Kontrolle (log₂)
AT5G10890_1	1,121	1,161	1,351
AT5G10900_1	0,922	0,648	0,625
AT5G10910_1	1,021	0,476	0,359
AT5G10920_1	1,081	0,553	0,304
AT5G10930_1	1,821	0,739	1,803
AT5G10940_1	0,963	0,910	1,115
AT5G10946_1	1,033	0,990	2,574
AT5G10950_1	0,951	1,021	1,370
AT5G10960_1	0,990	1,143	1,318
AT5G10970_1	0,950	0,919	0,436
AT5G10980_1	0,908	1,009	1,073
AT5G10990_1	1,075	1,083	0,960
AT5G11000_1	0,775	1,415	1,106
AT5G11010_1	1,056	1,258	1,463
AT5G11010_2	0,978	1,408	1,228
AT5G11010_3	1,023	1,437	1,303
AT5G11020_1	0,949	0,460	0,281
AT5G11027_1	1,024	1,196	1,454
AT5G11030_1	0,939	1,067	1,419
AT5G11030_2	0,893	1,062	1,339
AT5G11030_3	0,912	1,024	1,435
AT5G11040_1	1,143	0,838	1,004
AT5G11050_1	1,094	1,097	1,274
AT5G11060_1	0,997	0,650	1,083
AT5G11070_1	0,960	0,190	0,546
AT5G11080_1	0,949	0,911	0,949
AT5G11090_1	0,899	2,102	3,592
AT5G11100_1	0,699	0,694	5,104
AT5G11110_1	1,214	2,729	5,613
AT5G11120_1	0,971	0,996	1,200
AT5G11130_1	0,952	0,936	1,102
AT5G11140_1	0,832	1,664	3,896
AT5G11150_1	1,193	0,162	0,407
AT5G11160_1	0,948	1,023	0,597
AT5G11170_1	1,115	1,018	0,941
AT5G11180_1	0,941	0,997	1,574
AT5G11190_1	1,415	0,379	0,442
AT5G11200_1	1,065	0,964	0,870
AT5G11200_2	1,291	0,653	0,803
AT5G11200_3	1,072	0,950	0,905
AT5G11210_1	0,910	9,188	42,074
AT5G11220_1	0,984	0,996	1,045
AT5G11230_1	1,049	1,156	1,465
AT5G11240_1	1,062	1,972	1,496
AT5G11242_1	1,228	0,790	0,626
AT5G11250_1	0,964	0,376	0,297
AT5G11260_1	0,919	3,822	8,185
AT5G11270_1	0,912	0,837	0,719
AT5G11280_1	0,849	0,838	1,078
AT5G11290_1	1,107	1,631	3,497

AGI	NaCl-Kontrolle zur H₂O-Kontrolle (log₂)	H₂O +B.c. zur H₂O-Kontrolle (log₂)	NaCl +B.c. zur H₂O-Kontrolle (log₂)
AT5G11300_1	0,889	0,242	0,198
AT5G11310_1	1,255	1,221	0,899
AT5G11320_1	1,108	0,976	1,179
AT5G11320_2	0,978	0,941	0,972
AT5G11330_1	1,054	0,647	0,541
AT5G11340_1	0,739	0,984	0,997
AT5G11350_1	1,163	0,828	0,898
AT5G11360_1	0,961	0,899	0,914
AT5G11360_2	0,952	0,843	0,966
AT5G11360_3	1,383	1,384	1,532
AT5G11370_1	1,141	1,200	1,382
AT5G11380_1	1,008	0,874	0,775
AT5G11390_1	1,117	1,089	2,118
AT5G11400_1	1,085	1,053	1,141
AT5G11410_1	0,899	0,418	0,460
AT5G11412_1	1,133	0,999	0,890
AT5G11416_1	1,038	0,977	1,030
AT5G11420_1	1,008	0,450	0,063
AT5G11425_1	0,857	0,832	0,912
AT5G11430_1	0,938	0,864	1,220
AT5G11440_1	1,148	1,335	1,708
AT5G11450_1	1,009	0,415	0,241
AT5G11460_1	1,083	0,276	0,173
AT5G11470_1	0,920	0,375	0,486
AT5G11480_1	0,999	0,444	0,173
AT5G11490_1	1,003	0,890	0,894
AT5G11500_1	0,914	1,085	1,536
AT5G11510_1	0,791	0,242	0,197
AT5G11510_2	0,906	0,838	0,953
AT5G11520_1	0,876	2,021	3,860
AT5G11530_1	1,063	1,065	1,476
AT5G11540_1	0,538	0,391	0,344
AT5G11550_1	0,714	0,350	0,108
AT5G11560_1	0,914	0,886	0,999
AT5G11570_1	1,045	1,088	1,163
AT5G11580_1	0,954	0,472	0,386
AT5G11590_1	1,515	0,787	0,048
AT5G11600_1	0,915	0,821	1,033
AT5G11610_1	0,777	0,807	0,573
AT5G11610_2	0,949	0,838	0,579
AT5G11620_1	0,777	0,536	0,588
AT5G11630_1	1,032	1,116	0,609
AT5G11630_2	1,070	0,967	0,513
AT5G11640_1	0,946	0,589	0,560
AT5G11650_1	0,609	2,340	2,350
AT5G11660_1	0,977	1,106	1,463
AT5G11670_1	0,953	1,593	1,336
AT5G11680_1	0,901	0,974	1,287
AT5G11690_1	0,827	0,397	0,145
AT5G11700_1	1,116	1,046	1,141

AGI	NaCl-Kontrolle zur H₂O-Kontrolle (log₂)	H₂O +B.c. zur H₂O-Kontrolle (log₂)	NaCl +B.c. zur H₂O-Kontrolle (log₂)
AT5G11700_2	0,986	0,909	0,881
AT5G11710_1	1,021	1,034	0,937
AT5G11720_1	1,010	0,516	0,544
AT5G11730_1	1,030	1,613	1,784
AT5G11740_1	0,893	1,232	1,174
AT5G11750_1	0,918	0,548	0,369
AT5G11760_1	0,902	0,898	1,105
AT5G11770_1	0,987	1,083	1,411
AT5G11780_1	0,919	0,545	0,460
AT5G11790_1	1,117	0,749	0,177
AT5G11800_1	0,842	0,678	0,428
AT5G11810_1	0,937	0,828	0,964
AT5G11820_1	1,149	1,329	1,960
AT5G11830_1	1,133	1,044	1,110
AT5G11840_1	1,060	0,762	0,959
AT5G11850_1	0,947	1,336	1,522
AT5G11860_1	0,907	0,835	1,022
AT5G11860_2	0,919	1,433	1,629
AT5G11860_3	1,035	1,402	2,035
AT5G11870_1	0,747	1,317	2,229
AT5G11880_1	0,961	0,690	0,412
AT5G11890_1	0,896	0,459	0,074
AT5G11900_1	0,924	1,131	1,377
AT5G11910_1	0,894	0,826	1,279
AT5G11910_2	0,919	0,834	1,251
AT5G11920_1	0,550	1,408	5,200
AT5G11920_2	0,838	1,235	2,680
AT5G11930_1	1,529	1,849	1,989
AT5G11940_1	1,140	1,052	1,357
AT5G11950_1	0,753	2,022	4,626
AT5G11960_1	0,866	1,391	1,613
AT5G11970_1	0,598	2,776	3,147
AT5G11977_1	1,235	1,222	1,422
AT5G11980_1	1,032	0,871	0,852
AT5G11990_1	0,757	0,667	0,719
AT5G12000_1	1,185	1,287	1,307
AT5G12010_1	0,924	2,753	3,187
AT5G12020_1	1,135	34,468	76,800
AT5G12030_1	1,596	74,998	136,763
AT5G12040_1	0,910	0,768	0,895
AT5G12040_2	0,862	0,363	0,456
AT5G12043_1	0,913	0,893	0,948
AT5G12050_1	0,547	0,488	0,038
AT5G12060_1	0,919	0,901	0,919
AT5G12070_1	1,061	1,054	1,041
AT5G12080_1	1,251	1,161	0,380
AT5G12085_1	1,096	1,075	0,963
AT5G12090_1	1,443	1,532	1,814
AT5G12100_1	1,023	1,169	1,118
AT5G12110_1	1,041	1,708	0,656

AGI	NaCl-Kontrolle zur H₂O-Kontrolle (log₂)	H₂O +B.c. zur H₂O-Kontrolle (log₂)	NaCl +B.c. zur H₂O-Kontrolle (log₂)
AT5G12120_1	1,017	0,922	0,877
AT5G12130_1	0,861	0,332	0,400
AT5G12140_1	1,223	0,428	0,774
AT5G12150_1	1,058	0,514	0,206
AT5G12150_2	1,019	0,464	0,200
AT5G12170_2	0,798	1,693	2,238
AT5G12180_1	1,235	1,233	1,245
AT5G12190_1	0,979	1,637	2,603
AT5G12200_1	0,933	1,071	1,493
AT5G12210_1	1,028	0,972	1,244
AT5G12210_2	1,012	0,944	1,214
AT5G12220_1	1,229	1,105	0,815
AT5G12230_1	0,952	1,030	1,324
AT5G12235_1	1,267	1,065	1,283
AT5G12236_1	0,929	0,920	0,934
AT5G12240_1	0,855	0,744	0,875
AT5G12250_1	1,095	0,420	0,122
AT5G12260_1	0,985	0,647	0,838
AT5G12270_1	1,146	1,040	1,022
AT5G12280_1	1,009	2,330	2,864
AT5G12280_2	1,387	1,238	1,144
AT5G12290_1	1,018	1,067	1,185
AT5G12300_1	0,778	1,646	3,474
AT5G12310_1	0,934	1,173	1,182
AT5G12320_1	0,994	0,858	0,540
AT5G12330_1	1,351	0,951	1,052
AT5G12330_3	1,064	1,040	1,122
AT5G12340_1	0,455	12,687	10,901
AT5G12350_1	1,018	0,598	0,649
AT5G12360_1	0,943	0,623	0,440
AT5G12370_1	0,971	0,770	0,617
AT5G12370_3	1,028	0,792	0,623
AT5G12380_1	0,980	0,833	1,218
AT5G12390_1	0,956	1,206	1,707
AT5G12400_1	0,979	1,202	1,433
AT5G12410_1	1,054	0,908	0,622
AT5G12420_1	0,737	0,364	0,136
AT5G12430_1	0,963	0,876	0,888
AT5G12440_1	1,149	0,349	0,075
AT5G12450_1	1,189	1,058	0,947
AT5G12460_1	0,920	1,057	1,382
AT5G12470_1	0,817	0,757	0,469
AT5G12480_1	0,958	1,580	1,388
AT5G12480_2	0,885	1,844	1,610
AT5G12840_1	1,065	1,171	1,195
AT5G12840_2	1,051	1,154	1,195
AT5G12840_4	1,101	1,172	1,227
AT5G12850_1	0,960	0,976	0,918
AT5G12860_1	0,922	0,756	0,579
AT5G12860_2	0,933	0,740	0,589

AGI	NaCl-Kontrolle zur H ₂ O-Kontrolle (log ₂)	H ₂ O +B.c. zur H ₂ O-Kontrolle (log ₂)	NaCl +B.c. zur H ₂ O-Kontrolle (log ₂)
AT5G12870_1	0,949	0,826	1,254
AT5G12880_1	1,366	7,520	12,886
AT5G12890_1	0,941	1,875	2,105
AT5G12900_1	0,913	0,624	0,132
AT5G12910_1	1,200	1,028	1,461
AT5G12920_1	0,677	0,366	0,279
AT5G12920_2	1,043	0,995	1,012
AT5G12930_1	0,794	12,904	13,296
AT5G12940_1	0,746	0,111	0,053
AT5G12950_1	1,167	0,380	0,203
AT5G12960_1	1,230	0,528	0,294
AT5G12970_1	1,064	0,875	1,118
AT5G12980_1	0,877	1,091	1,209
AT5G12990_1	1,176	1,536	2,241
AT5G13000_1	1,114	0,711	0,162
AT5G13010_1	1,008	1,011	1,041
AT5G13020_1	1,044	1,110	1,227
AT5G13030_1	1,057	1,137	1,248
AT5G13050_1	0,951	1,017	1,261
AT5G13050_2	0,954	1,018	1,230
AT5G13060_1	0,472	0,249	0,167
AT5G13070_1	0,966	1,510	1,891
AT5G13080_1	1,040	253,910	387,266
AT5G13090_1	0,955	0,977	0,670
AT5G13100_1	0,940	2,116	1,347
AT5G13110_1	0,709	2,203	2,659
AT5G13120_1	0,919	0,576	0,468
AT5G13130_1	0,889	0,833	0,890
AT5G13140_1	0,844	0,073	0,017
AT5G13150_1	1,011	1,201	1,753
AT5G13160_1	0,950	1,018	1,347
AT5G13170_1	1,900	3,510	133,479
AT5G13180_1	0,986	1,248	1,948
AT5G13181_1	1,015	1,110	1,151
AT5G13190_1	0,764	2,852	3,163
AT5G13200_1	0,994	2,527	2,523
AT5G13205_1	1,253	1,154	1,990
AT5G13210_1	0,663	6,192	10,187
AT5G13220_1	0,635	11,132	12,099
AT5G13220_2	0,657	6,191	13,099
AT5G13220_3	0,657	10,355	10,939
AT5G13220_4	0,840	10,343	12,149
AT5G13225_1	0,914	0,946	0,923
AT5G13230_1	1,216	0,409	0,284
AT5G13240_1	0,712	1,163	1,401
AT5G13250_1	0,961	0,900	0,980
AT5G13260_1	1,030	0,535	0,428
AT5G13270_1	1,156	0,691	0,334
AT5G13280_1	1,032	1,355	1,207
AT5G13290_1	0,901	0,689	0,579

AGI	NaCl-Kontrolle zur H₂O-Kontrolle (log₂)	H₂O +B.c. zur H₂O-Kontrolle (log₂)	NaCl +B.c. zur H₂O-Kontrolle (log₂)
AT5G13290_2	1,058	0,508	0,157
AT5G13290_3	0,982	0,555	0,242
AT5G13300_1	1,208	0,671	0,490
AT5G13310_1	1,079	1,198	1,295
AT5G13320_1	0,656	5,387	15,427
AT5G13330_1	0,989	55,353	89,628
AT5G13340_1	0,995	1,233	1,545
AT5G13350_1	1,278	1,650	1,603
AT5G13360_1	0,836	1,358	1,014
AT5G13360_2	1,140	1,496	0,849
AT5G13370_1	1,246	1,732	2,563
AT5G13380_1	1,134	1,260	1,388
AT5G13390_1	0,998	0,986	1,036
AT5G13400_1	0,828	0,756	0,053
AT5G13410_1	0,970	0,499	0,508
AT5G13420_1	1,034	1,822	2,015
AT5G13430_1	0,973	1,056	1,238
AT5G13440_1	1,006	1,226	1,353
AT5G13450_1	0,881	0,947	1,084
AT5G13450_2	0,904	0,932	1,174
AT5G13460_1	1,037	0,228	0,095
AT5G13470_1	1,044	0,804	0,829
AT5G13475_1	1,265	1,266	1,403
AT5G13480_1	1,149	0,521	0,345
AT5G13485_1	1,120	1,306	2,376
AT5G13490_1	0,913	12,826	24,144
AT5G13490_2	1,026	6,212	8,380
AT5G13500_1	0,682	2,281	3,053
AT5G13500_2	0,979	1,020	1,251
AT5G13500_3	0,798	1,851	1,945
AT5G13510_1	0,945	0,528	0,319
AT5G13520_1	1,198	0,358	0,234
AT5G13530_1	1,099	1,408	1,118
AT5G13548_1	1,206	1,304	1,657
AT5G13550_1	1,139	2,494	3,114
AT5G13560_1	1,025	1,036	1,046
AT5G13570_1	0,988	0,529	0,753
AT5G13580_1	1,303	0,935	1,297
AT5G13590_1	0,949	0,776	0,984
AT5G13600_1	1,189	0,987	1,167
AT5G13610_1	0,911	1,172	1,321
AT5G13620_1	1,001	1,000	1,095
AT5G13630_1	0,972	0,736	0,392
AT5G13630_2	0,929	0,727	0,374
AT5G13640_1	1,038	0,959	0,911
AT5G13650_1	1,076	0,945	0,607
AT5G13655_1	1,123	1,205	1,485
AT5G13660_1	1,201	0,454	0,307
AT5G13660_2	1,147	0,473	0,280
AT5G13670_1	1,177	1,229	1,571

AGI	NaCl-Kontrolle zur H₂O-Kontrolle (log₂)	H₂O +B.c. zur H₂O-Kontrolle (log₂)	NaCl +B.c. zur H₂O-Kontrolle (log₂)
AT5G13680_1	1,056	1,046	0,823
AT5G13690_1	1,102	0,380	0,244
AT5G13700_1	0,995	4,768	11,511
AT5G13710_1	0,859	0,933	0,710
AT5G13710_2	0,770	0,717	0,657
AT5G13720_1	0,946	0,891	0,956
AT5G13730_1	1,134	0,362	0,076
AT5G13740_1	0,978	1,325	0,773
AT5G13750_1	0,986	3,814	5,264
AT5G13750_3	1,015	4,562	5,159
AT5G13760_1	0,865	1,804	2,262
AT5G13770_1	0,959	0,774	0,465
AT5G13780_1	0,930	1,173	1,053
AT5G13790_1	0,986	0,854	0,951
AT5G13800_1	1,050	1,398	2,044
AT5G13810_1	0,983	1,222	1,341
AT5G13820_1	1,169	11,347	26,283
AT5G13825_1	0,958	1,007	1,025
AT5G13830_1	1,393	1,128	0,608
AT5G13840_1	0,705	0,368	0,390
AT5G13850_1	1,032	0,907	0,646
AT5G13860_1	0,980	2,610	2,877
AT5G13870_1	1,212	0,454	0,356
AT5G13880_1	1,042	0,482	2,503
AT5G13887_1	1,017	1,020	1,025
AT5G13890_1	0,888	0,907	0,732
AT5G13890_2	0,912	1,093	1,185
AT5G13890_3	0,854	0,903	0,706
AT5G13900_1	1,260	1,056	1,234
AT5G13910_1	0,935	0,913	1,020
AT5G13917_1	1,191	0,958	1,150
AT5G13920_1	0,913	0,599	0,479
AT5G13930_1	1,144	0,211	0,129
AT5G13940_1	1,425	1,260	1,344
AT5G13950_1	1,074	0,630	0,540
AT5G13960_1	0,829	0,782	0,732
AT5G13970_1	0,917	0,859	1,228
AT5G13980_1	1,013	0,489	0,260
AT5G13980_2	1,013	0,484	0,270
AT5G13980_3	0,996	0,503	0,275
AT5G13990_1	1,020	0,904	1,199
AT5G14000_1	0,745	1,993	16,567
AT5G14010_1	1,311	1,515	1,794
AT5G14011_1	1,132	0,957	0,880
AT5G14020_1	0,940	1,064	1,298
AT5G14030_1	0,921	0,829	1,804
AT5G14030_2	0,955	1,001	1,012
AT5G14030_3	0,960	1,057	1,057
AT5G14030_4	0,953	1,007	1,023
AT5G14040_1	0,996	1,191	1,205

AGI	NaCl-Kontrolle zur H₂O-Kontrolle (log₂)	H₂O +B.c. zur H₂O-Kontrolle (log₂)	NaCl +B.c. zur H₂O-Kontrolle (log₂)
AT5G14050_1	1,151	1,321	0,731
AT5G14060_1	1,040	0,503	0,140
AT5G14070_1	1,104	1,029	0,995
AT5G14080_1	1,048	0,743	0,975
AT5G14090_1	1,070	0,412	0,318
AT5G14100_1	1,039	0,474	0,181
AT5G14105_1	1,049	1,040	1,595
AT5G14110_1	0,800	0,894	1,046
AT5G14120_1	0,837	0,882	0,843
AT5G14130_1	1,121	1,168	1,225
AT5G14140_1	0,810	0,432	0,777
AT5G14150_1	1,248	1,590	1,882
AT5G14160_1	1,106	1,346	1,257
AT5G14170_1	1,028	0,904	0,811
AT5G14180_1	1,231	21,736	61,850
AT5G14200_1	0,987	0,505	0,446
AT5G14200_2	1,026	0,437	0,149
AT5G14200_3	0,915	0,345	0,175
AT5G14210_1	1,008	0,161	0,034
AT5G14220_1	0,935	0,889	0,769
AT5G14230_1	0,651	0,256	0,147
AT5G14240_1	0,924	0,787	1,024
AT5G14250_1	1,077	1,284	1,427
AT5G14250_2	0,921	0,610	0,808
AT5G14260_1	1,050	0,701	0,702
AT5G14260_2	0,958	0,594	0,530
AT5G14260_3	1,062	0,609	0,591
AT5G14270_1	1,080	0,736	0,721
AT5G14280_1	1,018	0,645	0,833
AT5G14290_1	1,097	1,012	0,986
AT5G14300_1	1,263	1,261	1,194
AT5G14310_1	0,889	1,784	1,900
AT5G14320_1	0,924	0,484	0,353
AT5G14320_2	0,898	0,183	0,141
AT5G14330_1	0,973	1,140	1,394
AT5G14340_1	1,231	1,274	1,336
AT5G14345_1	1,077	1,326	1,768
AT5G14350_1	1,031	0,515	0,222
AT5G14360_1	0,754	0,246	0,160
AT5G14370_1	1,050	0,402	0,207
AT5G14380_1	1,029	0,819	0,632
AT5G14390_1	1,162	0,713	0,725
AT5G14400_1	1,070	1,015	1,075
AT5G14410_1	0,905	0,377	0,119
AT5G14420_1	0,978	1,097	2,027
AT5G14430_1	0,908	0,994	0,957
AT5G14440_1	1,172	1,055	0,948
AT5G14440_2	1,109	1,000	0,867
AT5G14450_1	0,998	0,327	0,329
AT5G14460_1	1,008	0,437	0,443

AGI	NaCl-Kontrolle zur H₂O-Kontrolle (log₂)	H₂O +B.c. zur H₂O-Kontrolle (log₂)	NaCl +B.c. zur H₂O-Kontrolle (log₂)
AT5G14470_1	0,857	1,088	2,310
AT5G14480_1	0,890	0,796	1,023
AT5G14490_1	0,971	1,032	1,383
AT5G14500_1	1,167	0,720	1,155
AT5G14510_1	0,646	0,437	0,500
AT5G14520_1	1,073	1,489	0,990
AT5G14530_1	1,308	0,794	0,642
AT5G14540_1	0,977	0,850	0,944
AT5G14545_1	1,456	0,892	0,605
AT5G14550_1	1,244	0,352	0,357
AT5G14550_2	1,425	1,269	0,209
AT5G14560_1	1,120	0,498	0,514
AT5G14565_1	0,939	0,812	0,683
AT5G14570_1	0,955	0,811	0,657
AT5G14580_1	1,456	1,472	0,892
AT5G14590_1	1,104	0,974	1,167
AT5G14600_1	0,949	1,172	0,626
AT5G14602_1	1,002	2,237	3,183
AT5G14610_1	1,057	0,375	0,234
AT5G14620_1	1,163	0,733	0,886
AT5G14640_1	1,349	4,265	6,703
AT5G14650_1	1,009	10,042	60,767
AT5G14660_1	0,938	0,295	0,120
AT5G14660_2	0,961	0,317	0,132
AT5G14670_1	1,342	1,499	1,624
AT5G14680_1	1,090	0,969	0,948
AT5G14690_1	0,885	0,887	0,829
AT5G14700_1	0,693	7,437	6,060
AT5G14710_1	0,840	2,438	2,478
AT5G14720_1	1,002	0,838	0,952
AT5G14730_1	0,634	22,511	25,743
AT5G14740_1	0,969	0,761	0,382
AT5G14740_2	0,968	0,807	0,385
AT5G14740_3	0,982	0,882	0,536
AT5G14740_4	0,955	0,829	0,450
AT5G14740_5	0,986	0,846	0,377
AT5G14750_1	1,115	0,978	1,021
AT5G14760_1	0,915	14,297	13,213
AT5G14770_1	1,141	0,859	0,448
AT5G14780_1	1,114	1,503	1,862
AT5G14790_1	0,790	0,279	0,242
AT5G14800_1	1,215	1,262	1,025
AT5G14800_2	1,240	1,254	1,085
AT5G14810_1	0,811	0,856	0,865
AT5G14820_1	1,024	0,685	0,498
AT5G14830_1	1,185	1,156	1,045
AT5G14840_1	1,114	1,154	1,081
AT5G14850_1	1,065	0,685	0,848
AT5G14850_2	1,069	0,670	0,824
AT5G14860_1	1,091	1,232	1,739

AGI	NaCl-Kontrolle zur H₂O-Kontrolle (log₂)	H₂O +B.c. zur H₂O-Kontrolle (log₂)	NaCl +B.c. zur H₂O-Kontrolle (log₂)
AT5G14870_1	1,116	0,806	0,973
AT5G14880_1	1,216	1,316	1,171
AT5G14890_1	0,925	1,189	1,969
AT5G14900_1	1,194	1,461	2,149
AT5G14910_1	0,923	0,411	0,260
AT5G14920_1	1,005	0,686	0,102
AT5G14920_2	0,920	0,204	0,092
AT5G14930_1	0,808	1,004	0,910
AT5G14930_2	0,733	0,772	0,686
AT5G14930_3	0,713	0,764	0,719
AT5G14940_1	1,145	0,389	0,838
AT5G14950_1	1,013	1,206	1,186
AT5G14960_1	1,582	0,846	0,613
AT5G14970_1	0,967	0,714	0,530
AT5G14980_1	1,262	1,410	1,660
AT5G14990_1	1,029	0,924	0,997
AT5G14995_1	1,149	1,066	1,461
AT5G15000_1	1,232	1,255	1,494
AT5G15008_1	1,032	0,983	1,215
AT5G15010_1	1,167	0,466	0,436
AT5G15020_1	0,976	0,902	1,348
AT5G15030_1	1,039	0,952	1,134
AT5G15040_1	0,900	1,038	1,078
AT5G15050_1	0,861	0,388	0,153
AT5G15060_1	1,187	1,480	1,903
AT5G15070_1	1,072	0,329	0,248
AT5G15080_1	1,089	0,795	1,190
AT5G15090_1	0,945	1,116	1,218
AT5G15100_1	1,033	1,064	1,095
AT5G15110_1	1,195	1,293	1,535
AT5G15120_1	0,716	1,427	0,523
AT5G15130_1	0,946	1,330	2,070
AT5G15140_1	0,997	1,076	1,283
AT5G15150_1	0,858	0,721	0,714
AT5G15160_1	1,040	0,145	0,156
AT5G15170_1	1,032	0,738	0,889
AT5G15180_1	0,886	0,807	1,294
AT5G15190_1	1,696	0,217	0,814
AT5G15190_2	2,151	0,255	0,917
AT5G15200_1	0,965	0,850	0,609
AT5G15200_2	1,142	0,745	0,626
AT5G15210_1	1,051	0,954	0,576
AT5G15220_1	0,895	0,780	0,602
AT5G15230_1	1,031	0,054	0,020
AT5G15230_2	1,082	0,045	0,016
AT5G15240_1	0,905	1,905	4,284
AT5G15240_2	0,885	2,067	5,448
AT5G15250_1	0,901	1,007	1,264
AT5G15254_1	0,692	1,117	3,177
AT5G15260_1	0,945	0,974	1,864

AGI	NaCl-Kontrolle zur H₂O-Kontrolle (log₂)	H₂O +B.c. zur H₂O-Kontrolle (log₂)	NaCl +B.c. zur H₂O-Kontrolle (log₂)
AT5G15265_1	0,900	1,027	0,946
AT5G15270_1	0,855	0,629	0,816
AT5G15270_2	0,793	0,349	0,543
AT5G15280_1	0,888	0,576	0,335
AT5G15290_1	0,844	0,888	1,057
AT5G15300_1	1,067	0,657	0,538
AT5G15310_1	1,182	0,348	0,074
AT5G15310_2	1,088	0,334	0,030
AT5G15320_1	0,712	0,933	1,234
AT5G15320_2	0,755	0,951	1,228
AT5G15330_1	1,087	0,771	0,514
AT5G15340_1	1,299	0,621	0,770
AT5G15350_1	0,561	0,797	0,570
AT5G15360_1	1,209	1,572	1,578
AT5G15380_1	0,894	1,013	1,027
AT5G15390_1	1,061	0,561	0,326
AT5G15400_1	1,068	0,913	1,256
AT5G15410_1	1,009	1,128	0,923
AT5G15420_1	1,143	1,191	1,287
AT5G15430_1	1,090	0,230	0,245
AT5G15440_1	0,843	0,805	0,744
AT5G15450_1	1,207	1,024	1,076
AT5G15460_1	0,838	0,873	0,770
AT5G15460_2	0,894	0,909	0,949
AT5G15470_1	0,982	1,109	1,179
AT5G15480_1	1,230	1,193	1,306
AT5G15490_1	1,085	1,512	1,568
AT5G15500_1	1,048	0,844	1,773
AT5G15500_2	2,203	1,581	8,626
AT5G15510_1	0,882	0,413	0,405
AT5G15520_1	0,956	0,880	0,568
AT5G15530_1	0,753	0,308	0,370
AT5G15540_1	1,111	0,755	1,000
AT5G15546_1	1,041	1,128	1,516
AT5G15550_1	1,140	1,305	0,889
AT5G15550_2	1,233	1,359	0,942
AT5G15560_1	1,212	1,215	1,237
AT5G15570_1	1,013	0,992	0,991
AT5G15580_1	0,906	0,083	0,022
AT5G15581_1	0,722	0,610	0,481
AT5G15600_1	0,884	0,990	0,676
AT5G15610_1	0,870	0,407	0,395
AT5G15610_2	1,105	1,028	0,802
AT5G15620_1	0,865	1,006	1,162
AT5G15630_1	0,800	0,357	0,283
AT5G15640_1	0,889	2,159	3,055
AT5G15650_1	1,021	1,018	0,968
AT5G15660_1	1,133	1,029	1,477
AT5G15670_1	0,971	0,937	1,027
AT5G15680_1	1,040	1,063	1,072

AGI	NaCl-Kontrolle zur H₂O-Kontrolle (log₂)	H₂O +B.c. zur H₂O-Kontrolle (log₂)	NaCl +B.c. zur H₂O-Kontrolle (log₂)
AT5G15690_1	1,243	1,386	2,046
AT5G15700_1	1,348	1,567	1,256
AT5G15710_1	1,024	0,845	0,933
AT5G15720_1	1,241	0,884	1,237
AT5G15725_1	1,022	1,359	1,307
AT5G15730_1	0,827	2,137	2,116
AT5G15730_2	0,758	2,023	1,981
AT5G15740_1	1,161	0,873	0,083
AT5G15750_1	0,931	1,615	1,352
AT5G15760_1	0,939	0,481	0,177
AT5G15770_1	0,831	0,228	0,134
AT5G15780_1	0,716	0,028	0,022
AT5G15790_1	1,084	0,293	0,112
AT5G15800_1	1,264	1,053	1,399
AT5G15800_2	1,184	1,126	1,074
AT5G15802_1	0,854	0,504	0,775
AT5G15805_1	1,062	1,313	1,701
AT5G15810_1	1,212	1,427	0,815
AT5G15820_1	0,947	1,214	1,692
AT5G15830_1	0,624	0,832	0,584
AT5G15833_1	1,086	1,040	1,138
AT5G15840_1	1,186	1,406	0,700
AT5G15840_2	0,986	1,063	1,289
AT5G15845_1	0,861	1,245	1,494
AT5G15850_1	0,658	2,141	1,875
AT5G15853_1	1,047	1,165	1,616
AT5G15860_1	1,445	1,387	2,805
AT5G15860_2	0,999	0,770	0,916
AT5G15870_1	0,980	2,093	1,745
AT5G15880_1	0,995	0,783	1,098
AT5G15890_1	1,224	1,165	1,523
AT5G15900_1	1,074	0,418	0,582
AT5G15910_1	0,850	1,142	1,341
AT5G15920_1	0,991	0,950	0,754
AT5G15930_1	1,062	0,662	0,645
AT5G15940_1	0,881	3,720	3,980
AT5G15948_1	0,910	1,815	1,335
AT5G15950_1	0,881	1,680	1,340
AT5G15960_1	1,668	0,573	0,571
AT5G15970_1	1,179	0,171	0,160
AT5G15980_1	1,047	1,003	0,664
AT5G15990_1	1,235	1,022	1,073
AT5G15995_1	1,260	1,341	1,589
AT5G16000_1	0,900	0,290	0,033
AT5G16010_1	0,912	0,745	0,935
AT5G16020_1	0,921	0,824	0,893
AT5G16023_1	1,679	1,171	1,067
AT5G16030_1	0,984	0,208	0,035
AT5G16030_2	0,935	0,223	0,036
AT5G16030_3	0,976	0,224	0,039

AGI	NaCl-Kontrolle zur H₂O-Kontrolle (log₂)	H₂O +B.c. zur H₂O-Kontrolle (log₂)	NaCl +B.c. zur H₂O-Kontrolle (log₂)
AT5G16040_1	1,207	0,448	0,221
AT5G16050_1	1,133	1,231	1,707
AT5G16060_1	1,093	0,837	0,809
AT5G16070_1	1,103	0,807	0,542
AT5G16080_1	1,750	5,824	8,253
AT5G16090_1	1,000	1,055	1,530
AT5G16100_1	1,066	1,138	1,582
AT5G16110_1	0,969	1,102	1,326
AT5G16120_1	0,951	0,958	2,464
AT5G16120_2	1,055	1,250	8,195
AT5G16130_1	0,953	0,817	0,503
AT5G16140_1	0,917	0,395	0,356
AT5G16140_2	1,034	0,882	0,884
AT5G16150_1	0,942	0,823	1,012
AT5G16160_1	0,814	0,776	0,901
AT5G16170_1	0,580	2,451	3,165
AT5G16180_1	1,125	0,318	0,354
AT5G16190_1	0,882	0,820	0,197
AT5G16200_1	0,985	5,310	8,519
AT5G16210_1	1,069	0,954	0,921
AT5G16220_1	1,032	1,159	1,034
AT5G16230_1	0,889	1,074	1,294
AT5G16235_1	0,822	0,921	2,025
AT5G16240_1	0,940	0,624	0,147
AT5G16250_1	0,712	0,455	0,198
AT5G16260_1	1,034	0,887	0,953
AT5G16270_1	1,009	0,863	0,943
AT5G16280_1	1,045	0,919	1,109
AT5G16285_1	0,875	0,975	1,243
AT5G16290_1	1,056	0,985	0,619
AT5G16300_1	1,030	1,171	1,232
AT5G16300_2	0,964	1,097	1,114
AT5G16300_3	1,034	1,147	1,253
AT5G16310_1	1,112	0,507	0,599
AT5G16320_1	1,103	1,294	1,831
AT5G16330_1	1,161	1,270	1,391
AT5G16336_1	1,140	1,642	2,090
AT5G16340_1	1,040	1,553	1,929
AT5G16350_1	0,722	0,237	0,137
AT5G16360_1	0,885	2,943	26,410
AT5G16370_1	1,107	1,635	3,076
AT5G16380_1	1,195	0,530	0,781
AT5G16390_1	0,883	0,431	0,185
AT5G16390_2	1,032	0,438	0,271
AT5G16400_1	0,845	0,270	0,153
AT5G16410_1	0,586	0,634	0,518
AT5G16420_1	1,189	0,804	0,702
AT5G16430_1	1,006	1,052	1,125
AT5G16440_1	0,979	0,707	1,026
AT5G16450_1	1,149	2,429	5,013

AGI	NaCl-Kontrolle zur H₂O-Kontrolle (log₂)	H₂O +B.c. zur H₂O-Kontrolle (log₂)	NaCl +B.c. zur H₂O-Kontrolle (log₂)
AT5G16450_2	1,210	1,960	5,117
AT5G16453_1	1,418	1,753	2,069
AT5G16460_1	1,148	1,134	1,222
AT5G16470_1	1,054	1,422	1,438
AT5G16480_1	0,635	0,899	0,785
AT5G16486_1	1,090	0,919	0,999
AT5G16490_1	0,764	0,373	0,351
AT5G16500_1	1,161	1,293	1,285
AT5G16505_1	0,993	0,962	0,874
AT5G16510_1	0,980	1,105	1,377
AT5G16510_2	0,943	1,044	1,378
AT5G16520_1	0,885	0,913	1,141
AT5G16530_1	0,714	1,411	0,336
AT5G16540_1	0,928	0,444	0,324
AT5G16540_2	0,963	0,485	0,355
AT5G16540_3	0,872	0,447	0,328
AT5G16550_1	1,195	0,426	0,332
AT5G16560_1	0,941	0,686	0,636
AT5G16567_1	1,384	2,000	2,746
AT5G16570_1	1,264	1,400	1,804
AT5G16580_1	1,118	0,688	0,288
AT5G16590_1	0,856	0,512	0,098
AT5G16600_1	1,137	0,306	0,196
AT5G16610_1	1,010	0,693	0,694
AT5G16620_1	0,945	0,894	0,539
AT5G16630_1	1,120	1,082	1,528
AT5G16640_1	0,798	0,432	0,274
AT5G16650_1	0,717	0,439	0,663
AT5G16660_1	0,850	0,898	1,292
AT5G16660_2	0,880	0,947	1,281
AT5G16680_1	1,078	1,104	1,310
AT5G16690_1	0,625	0,407	0,286
AT5G16700_1	1,027	1,249	1,797
AT5G16710_1	0,957	0,485	0,350
AT5G16715_1	1,025	0,444	0,130
AT5G16720_1	0,682	0,528	0,125
AT5G16730_1	0,994	0,711	0,636
AT5G16740_1	1,157	1,271	1,433
AT5G16750_1	1,180	1,660	1,260
AT5G16760_1	0,853	1,345	1,482
AT5G16770_1	0,970	1,140	1,275
AT5G16770_2	1,061	1,125	1,333
AT5G16780_1	1,135	1,017	1,185
AT5G16790_1	0,870	0,834	0,911
AT5G16800_1	0,835	1,037	1,100
AT5G16800_2	0,841	1,126	1,205
AT5G16810_1	0,988	0,362	0,239
AT5G16820_1	1,138	0,388	0,564
AT5G16820_2	0,775	0,341	0,470
AT5G16830_1	0,803	1,666	2,911

AGI	NaCl-Kontrolle zur H₂O-Kontrolle (log₂)	H₂O +B.c. zur H₂O-Kontrolle (log₂)	NaCl +B.c. zur H₂O-Kontrolle (log₂)
AT5G16840_1	1,037	0,945	1,216
AT5G16840_2	1,052	0,944	1,195
AT5G16840_3	1,055	0,941	1,209
AT5G16850_1	1,039	1,002	1,238
AT5G16860_1	1,253	1,062	0,684
AT5G16870_1	0,835	0,487	0,422
AT5G16880_1	0,921	0,941	1,350
AT5G16880_3	0,945	0,957	1,434
AT5G16890_1	0,962	0,773	0,868
AT5G16900_1	1,064	1,053	1,255
AT5G16910_1	0,960	1,901	2,531
AT5G16920_1	1,171	1,212	1,246
AT5G16930_1	1,442	1,548	1,494
AT5G16940_1	0,610	0,421	0,512
AT5G16940_2	0,782	0,356	0,373
AT5G16950_1	0,899	0,722	0,809
AT5G16960_1	1,172	2,327	6,316
AT5G16970_1	1,101	1,671	2,541
AT5G16980_1	1,332	1,865	2,155
AT5G16990_1	1,055	1,248	1,231
AT5G17000_1	1,084	2,368	2,252
AT5G17010_1	1,336	1,288	1,137
AT5G17010_2	0,970	1,438	0,984
AT5G17010_3	1,394	1,278	1,123
AT5G17020_1	1,015	1,227	1,351
AT5G17030_1	1,735	2,578	2,347
AT5G17040_1	1,378	1,449	1,943
AT5G17050_1	1,262	2,318	1,778
AT5G17060_1	0,854	2,296	2,925
AT5G17070_1	0,981	0,536	0,702
AT5G17073_1	0,971	1,001	0,993
AT5G17080_1	1,076	1,129	1,160
AT5G17090_1	1,103	1,259	1,312
AT5G17100_1	0,945	1,150	1,196
AT5G17110_1	0,944	1,044	1,266
AT5G17120_1	1,191	1,019	1,025
AT5G17125_1	0,901	0,926	1,033
AT5G17130_1	1,249	1,161	1,487
AT5G17140_1	0,994	0,969	1,009
AT5G17150_1	0,926	0,660	0,622
AT5G17160_1	0,790	0,322	0,166
AT5G17165_1	1,040	1,764	2,075
AT5G17170_1	0,942	0,575	0,371
AT5G17180_1	0,969	1,043	1,074
AT5G17190_1	0,942	0,930	1,178
AT5G17200_1	0,984	1,079	1,117
AT5G17210_1	0,788	0,791	1,259
AT5G17210_2	0,889	0,773	1,213
AT5G17220_1	3,535	0,070	0,137
AT5G17230_1	1,041	0,682	0,590

AGI	NaCl-Kontrolle zur H₂O-Kontrolle (log₂)	H₂O +B.c. zur H₂O-Kontrolle (log₂)	NaCl +B.c. zur H₂O-Kontrolle (log₂)
AT5G17230_2	1,001	0,713	0,660
AT5G17230_3	1,084	0,752	0,486
AT5G17233_1	0,853	0,837	0,758
AT5G17240_1	1,157	1,087	0,666
AT5G17250_1	1,016	0,683	0,809
AT5G17260_1	0,642	0,455	0,595
AT5G17262_1	0,913	1,101	1,365
AT5G17270_1	1,198	0,808	0,583
AT5G17280_1	0,681	1,615	2,583
AT5G17290_1	1,043	1,397	2,732
AT5G17300_1	0,594	3,042	3,692
AT5G17310_1	0,936	1,228	0,841
AT5G17310_2	1,091	1,062	0,832
AT5G17320_1	1,128	1,271	1,468
AT5G17330_1	0,590	17,199	52,818
AT5G17340_1	1,591	2,346	3,776
AT5G17350_1	1,004	11,211	17,188
AT5G17360_1	0,710	0,446	0,479
AT5G17370_1	1,088	1,099	1,018
AT5G17380_1	0,975	2,700	3,317
AT5G17390_1	1,222	8,661	13,936
AT5G17400_1	0,837	0,963	0,813
AT5G17410_1	1,025	0,619	0,295
AT5G17420_1	0,955	0,333	0,224
AT5G17430_1	1,051	1,101	1,243
AT5G17440_1	1,190	0,894	0,901
AT5G17450_1	0,707	1,440	3,897
AT5G17450_2	0,730	1,434	3,873
AT5G17460_1	1,277	0,573	0,541
AT5G17470_1	1,053	1,212	1,272
AT5G17480_1	1,013	1,067	1,054
AT5G17490_1	0,977	4,094	1,850
AT5G17500_1	1,169	1,510	1,405
AT5G17510_1	1,142	1,385	1,078
AT5G17520_1	1,112	0,501	0,375
AT5G17523_1	1,131	0,398	0,326
AT5G17530_1	1,075	0,641	0,758
AT5G17530_2	1,070	0,643	0,772
AT5G17540_1	1,074	1,364	1,626
AT5G17550_1	0,983	0,994	1,283
AT5G17560_1	0,963	0,793	0,867
AT5G17570_1	1,120	0,910	1,076
AT5G17580_1	1,237	0,565	0,470
AT5G17590_1	0,959	0,965	0,919
AT5G17600_1	1,187	1,731	0,630
AT5G17610_1	0,956	1,117	1,198
AT5G17620_1	0,924	0,404	0,226
AT5G17630_1	1,065	0,851	0,506
AT5G17640_1	1,003	0,810	0,824
AT5G17650_1	1,103	1,622	3,376

AGI	NaCl-Kontrolle zur H₂O-Kontrolle (log₂)	H₂O +B.c. zur H₂O-Kontrolle (log₂)	NaCl +B.c. zur H₂O-Kontrolle (log₂)
AT5G17660_1	0,957	0,552	0,234
AT5G17670_1	0,993	0,292	0,128
AT5G17680_1	1,025	1,010	1,294
AT5G17690_1	0,943	1,004	1,112
AT5G17700_1	0,651	0,180	0,047
AT5G17710_1	0,969	0,709	0,517
AT5G17710_2	0,993	0,711	0,517
AT5G17720_1	1,452	1,798	2,402
AT5G17725_1	1,063	1,303	1,697
AT5G17730_1	0,989	1,290	1,144
AT5G17740_1	0,859	0,999	0,972
AT5G17750_1	0,909	1,056	1,069
AT5G17760_1	0,646	1,276	3,893
AT5G17760_2	0,644	1,307	3,492
AT5G17770_1	0,870	2,023	2,064
AT5G17780_1	0,842	0,720	0,666
AT5G17780_2	0,989	0,651	0,715
AT5G17790_1	1,046	0,723	0,445
AT5G17795_1	1,021	1,028	1,146
AT5G17800_1	0,932	0,789	0,831
AT5G17810_1	1,076	1,132	1,158
AT5G17820_1	1,272	1,623	1,688
AT5G17830_1	0,810	0,694	0,454
AT5G17840_1	0,931	0,655	0,530
AT5G17847_1	0,766	1,139	1,293
AT5G17850_1	0,794	0,861	2,403
AT5G17860_1	1,095	4,915	6,718
AT5G17870_1	0,916	0,358	0,105
AT5G17880_1	0,860	0,532	0,525
AT5G17890_1	0,801	1,144	1,159
AT5G17900_1	1,010	1,002	1,196
AT5G17910_1	0,972	1,158	1,178
AT5G17920_1	1,020	0,973	0,888
AT5G17930_1	1,084	1,118	1,019
AT5G17950_1	1,047	1,174	1,164
AT5G17960_1	1,038	1,225	1,906
AT5G17970_1	0,835	0,865	0,837
AT5G17980_1	0,955	1,419	1,597
AT5G17990_1	0,937	1,791	1,771
AT5G18000_1	1,148	1,012	1,150
AT5G18010_1	0,900	0,543	0,099
AT5G18020_1	0,937	0,455	0,040
AT5G18030_1	0,653	0,420	0,016
AT5G18037_1	1,193	1,240	1,070
AT5G18040_1	1,153	1,509	1,577
AT5G18050_1	0,552	0,308	0,092
AT5G18060_1	0,816	0,282	0,062
AT5G18065_1	1,133	2,086	2,296
AT5G18070_1	0,954	1,582	1,760
AT5G18080_1	1,011	0,458	0,042

AGI	NaCl-Kontrolle zur H₂O-Kontrolle (log₂)	H₂O +B.c. zur H₂O-Kontrolle (log₂)	NaCl +B.c. zur H₂O-Kontrolle (log₂)
AT5G18085_1	1,058	1,147	1,522
AT5G18090_1	0,902	0,909	0,858
AT5G18100_1	0,956	0,621	0,508
AT5G18100_2	0,762	0,378	0,284
AT5G18110_1	0,956	1,283	1,270
AT5G18120_1	0,935	1,145	1,247
AT5G18130_1	0,657	7,871	20,288
AT5G18130_2	0,728	1,502	4,870
AT5G18140_1	1,069	0,535	0,377
AT5G18150_1	0,814	4,153	5,192
AT5G18160_1	1,140	1,080	1,246
AT5G18170_1	0,886	0,675	0,497
AT5G18180_1	1,152	1,447	1,445
AT5G18190_1	1,088	1,160	1,309
AT5G18200_1	1,307	1,470	1,632
AT5G18202_1	1,330	1,168	0,711
AT5G18210_1	0,892	0,261	0,211
AT5G18220_1	1,018	0,807	0,616
AT5G18230_1	1,076	0,646	0,657
AT5G18240_1	1,047	0,653	0,518
AT5G18240_2	1,082	0,637	0,599
AT5G18240_5	1,118	0,618	0,519
AT5G18245_1	0,991	0,284	0,225
AT5G18250_1	0,964	0,718	0,922
AT5G18255_1	1,040	0,878	0,780
AT5G18255_2	1,071	0,933	0,913
AT5G18255_3	1,119	0,901	0,869
AT5G18260_1	0,847	0,606	0,375
AT5G18270_1	0,901	1,276	23,640
AT5G18280_1	0,950	1,052	0,950
AT5G18280_2	0,923	1,006	0,946
AT5G18290_1	0,631	7,245	4,520
AT5G18300_1	0,896	1,007	0,605
AT5G18310_1	0,743	1,890	2,576
AT5G18310_2	0,656	1,878	2,831
AT5G18320_1	0,928	1,248	1,508
AT5G18330_1	1,293	1,182	1,423
AT5G18340_1	0,903	5,936	7,494
AT5G18350_1	0,955	2,143	3,068
AT5G18360_1	1,250	0,501	0,545
AT5G18362_1	0,952	0,763	1,496
AT5G18370_1	0,998	0,774	1,718
AT5G18380_1	0,981	1,037	0,796
AT5G18380_2	0,962	1,014	0,815
AT5G18390_1	0,986	0,583	0,822
AT5G18400_1	0,909	1,290	1,361
AT5G18400_2	0,754	2,896	2,701
AT5G18400_3	0,778	2,750	2,642
AT5G18403_1	0,983	1,003	0,944
AT5G18404_1	1,259	0,503	0,373

AGI	NaCl-Kontrolle zur H₂O-Kontrolle (log₂)	H₂O +B.c. zur H₂O-Kontrolle (log₂)	NaCl +B.c. zur H₂O-Kontrolle (log₂)
AT5G18407_1	0,910	1,030	0,719
AT5G18410_1	1,052	0,327	0,348
AT5G18410_2	1,017	0,314	0,315
AT5G18410_3	1,002	0,417	0,360
AT5G18420_1	1,002	1,475	1,707
AT5G18430_1	0,593	0,191	0,166
AT5G18440_1	0,943	0,714	0,340
AT5G18450_1	1,221	1,747	1,587
AT5G18460_1	0,674	0,392	0,102
AT5G18470_1	0,345	3,263	2,352
AT5G18475_1	0,974	0,295	0,282
AT5G18480_1	0,900	1,704	1,756
AT5G18490_1	0,883	3,747	4,097
AT5G18500_1	1,062	0,709	0,425
AT5G18510_1	1,145	1,445	1,628
AT5G18520_1	0,927	1,136	1,161
AT5G18525_1	1,129	0,721	1,091
AT5G18540_1	1,202	0,337	0,804
AT5G18540_2	1,167	0,356	0,809
AT5G18550_1	1,204	0,694	0,809
AT5G18560_1	1,308	1,427	1,561
AT5G18570_1	1,062	0,309	0,097
AT5G18580_1	1,065	0,887	0,758
AT5G18590_1	1,005	0,627	0,552
AT5G18600_1	0,921	0,326	0,350
AT5G18610_1	1,138	0,862	0,852
AT5G18620_1	0,873	0,763	0,730
AT5G18620_2	0,885	0,771	0,756
AT5G18630_1	0,877	0,388	0,986
AT5G18630_3	0,857	0,381	1,042
AT5G18633_1	0,976	1,064	1,238
AT5G18636_1	1,154	1,064	1,166
AT5G18640_1	0,984	0,397	1,123
AT5G18650_1	1,039	0,697	0,822
AT5G18660_1	0,915	0,173	0,023
AT5G18661_1	0,925	1,327	2,184
AT5G18670_1	0,757	2,729	1,621
AT5G18680_1	0,913	0,466	0,525
AT5G18690_1	0,828	0,326	0,246
AT5G18700_1	1,299	0,252	0,124
AT5G18710_1	0,824	0,736	0,745
AT5G18720_1	0,896	0,684	0,693
AT5G18720_2	0,936	0,764	0,915
AT5G18730_1	0,973	0,446	0,403
AT5G18740_1	1,116	0,761	0,779
AT5G18748_1	1,078	0,966	0,890
AT5G18750_1	1,119	0,888	0,784
AT5G18760_1	0,917	0,633	0,732
AT5G18770_1	1,145	0,770	0,530
AT5G18780_1	0,830	0,900	2,743

AGI	NaCl-Kontrolle zur H₂O-Kontrolle (log₂)	H₂O +B.c. zur H₂O-Kontrolle (log₂)	NaCl +B.c. zur H₂O-Kontrolle (log₂)
AT5G18790_1	1,066	0,747	0,573
AT5G18800_1	0,854	0,807	1,430
AT5G18800_2	0,867	0,842	1,376
AT5G18810_1	0,910	1,077	0,920
AT5G18820_1	1,364	0,617	0,295
AT5G18830_1	1,067	1,407	1,487
AT5G18830_2	1,166	1,500	1,718
AT5G18840_1	1,160	1,128	1,022
AT5G18850_1	1,034	0,798	0,505
AT5G18860_1	0,974	1,174	0,760
AT5G18870_1	1,282	1,213	1,399
AT5G18880_1	1,222	1,383	1,723
AT5G18890_1	1,298	1,108	1,058
AT5G18900_1	0,842	1,486	1,777
AT5G18910_1	0,941	1,017	1,034
AT5G18920_1	1,203	0,826	0,658
AT5G18930_1	0,911	0,355	0,175
AT5G18940_1	0,865	1,017	1,296
AT5G18940_2	0,893	0,968	1,252
AT5G18950_1	0,973	1,264	1,626
AT5G18960_1	1,148	0,737	0,609
AT5G18970_1	0,646	0,252	0,301
AT5G18980_1	0,989	0,809	1,491
AT5G18990_1	1,041	1,194	1,344
AT5G19000_1	0,880	1,420	1,581
AT5G19010_1	0,983	0,506	0,486
AT5G19015_1	1,266	1,531	1,569
AT5G19020_1	1,399	0,722	0,417
AT5G19030_1	1,098	0,650	0,563
AT5G19030_2	1,098	0,616	0,541
AT5G19030_3	1,135	0,616	0,582
AT5G19040_1	0,884	0,580	0,597
AT5G19050_1	0,951	1,247	1,708
AT5G19060_1	0,902	0,311	0,205
AT5G19070_1	0,978	1,040	1,286
AT5G19080_1	0,987	1,769	1,921
AT5G19090_1	1,137	0,309	0,072
AT5G19090_2	1,056	0,290	0,079
AT5G19097_1	0,830	1,080	0,969
AT5G19100_1	0,735	1,319	0,363
AT5G19110_1	0,511	7,445	4,720
AT5G19120_1	0,798	0,550	0,809
AT5G19130_1	0,960	0,826	0,898
AT5G19140_1	1,010	0,826	0,909
AT5G19140_2	0,819	0,704	0,849
AT5G19150_1	0,921	0,920	0,719
AT5G19150_2	0,983	0,884	0,726
AT5G19151_1	1,268	1,421	1,497
AT5G19160_1	0,957	0,449	0,462
AT5G19165_1	0,957	1,092	1,028

AGI	NaCl-Kontrolle zur H₂O-Kontrolle (log₂)	H₂O +B.c. zur H₂O-Kontrolle (log₂)	NaCl +B.c. zur H₂O-Kontrolle (log₂)
AT5G19170_1	0,983	1,131	1,224
AT5G19172_1	1,018	1,064	1,129
AT5G19175_1	1,138	1,204	1,168
AT5G19180_1	0,987	1,376	1,309
AT5G19190_1	1,144	0,499	0,023
AT5G19200_1	1,180	0,952	1,310
AT5G19210_1	0,999	0,223	0,118
AT5G19210_2	1,043	0,191	0,097
AT5G19220_1	0,961	0,604	0,294
AT5G19221_1	1,121	0,529	0,293
AT5G19230_1	0,859	6,993	5,289
AT5G19240_1	0,698	1,571	1,435
AT5G19250_1	0,888	0,838	0,798
AT5G19257_1	1,456	2,464	2,968
AT5G19260_1	0,752	0,903	0,207
AT5G19270_1	1,181	1,422	1,872
AT5G19280_1	1,249	1,204	1,354
AT5G19280_2	1,087	1,165	1,209
AT5G19290_1	0,970	0,519	0,334
AT5G19300_1	1,196	2,065	1,340
AT5G19310_1	0,919	0,503	0,520
AT5G19315_1	1,015	1,033	1,084
AT5G19320_1	1,057	0,909	0,765
AT5G19330_1	1,140	1,104	1,205
AT5G19330_2	1,139	1,033	1,090
AT5G19340_1	1,268	1,305	1,250
AT5G19350_1	1,153	1,143	1,036
AT5G19350_2	1,139	1,102	1,009
AT5G19360_1	1,044	1,088	1,111
AT5G19370_1	0,956	0,638	0,481
AT5G19380_1	1,191	1,368	1,648
AT5G19380_2	0,979	1,020	0,962
AT5G19390_1	1,003	0,670	0,306
AT5G19390_3	1,035	0,678	0,310
AT5G19390_4	0,882	0,236	0,162
AT5G19400_1	1,128	1,173	1,246
AT5G19410_1	1,115	1,171	1,561
AT5G19420_1	0,886	0,855	1,049
AT5G19430_1	1,080	0,721	0,822
AT5G19440_1	1,241	1,842	3,227
AT5G19450_1	0,974	1,416	1,359
AT5G19460_1	1,181	0,657	0,570
AT5G19470_1	2,142	0,261	0,180
AT5G19473_1	0,951	0,956	1,120
AT5G19480_1	0,925	1,396	1,873
AT5G19480_2	1,005	1,405	1,791
AT5G19485_1	1,092	1,417	1,234
AT5G19490_1	0,906	1,422	2,004
AT5G19500_1	1,201	0,697	0,268
AT5G19510_1	0,986	1,000	0,622

AGI	NaCl-Kontrolle zur H₂O-Kontrolle (log₂)	H₂O +B.c. zur H₂O-Kontrolle (log₂)	NaCl +B.c. zur H₂O-Kontrolle (log₂)
AT5G19520_1	1,429	1,523	1,267
AT5G19530_1	0,801	0,112	0,027
AT5G19530_2	0,949	0,958	0,973
AT5G19540_1	1,064	0,540	0,735
AT5G19550_1	1,009	1,522	2,255
AT5G19560_1	1,089	1,063	1,029
AT5G19570_1	0,944	0,731	0,568
AT5G19580_1	0,862	0,450	0,697
AT5G19590_1	0,919	0,786	1,051
AT5G19600_1	0,455	0,171	0,052
AT5G19610_1	1,020	1,115	1,051
AT5G19620_1	0,984	0,489	0,285
AT5G19630_1	0,910	0,703	0,885
AT5G19640_1	1,066	1,098	1,174
AT5G19650_1	1,009	0,930	1,012
AT5G19660_1	1,046	0,903	0,993
AT5G19670_1	1,137	0,270	0,048
AT5G19680_1	0,964	0,930	1,272
AT5G19690_1	0,982	0,801	0,691
AT5G19700_1	1,165	1,188	1,462
AT5G19710_1	1,099	1,295	1,262
AT5G19720_1	1,184	1,290	0,952
AT5G19730_1	1,101	0,464	0,098
AT5G19740_1	1,388	1,117	0,276
AT5G19750_1	0,776	0,459	0,323
AT5G19760_1	1,004	0,781	0,692
AT5G19770_1	0,879	0,522	0,328
AT5G19780_1	0,844	0,468	0,342
AT5G19790_1	0,994	1,068	1,042
AT5G19800_1	1,165	1,380	1,244
AT5G19810_1	1,150	1,159	0,886
AT5G19820_1	0,991	1,245	1,023
AT5G19830_1	0,998	0,823	0,553
AT5G19840_1	1,159	0,986	0,917
AT5G19850_1	1,090	1,349	1,070
AT5G19855_1	0,983	1,125	1,489
AT5G19860_1	0,973	0,975	1,743
AT5G19870_1	0,864	0,603	0,904
AT5G19875_1	1,108	1,726	3,988
AT5G19880_1	0,948	24,653	79,031
AT5G19890_1	0,966	3,599	4,991
AT5G19900_1	1,044	1,379	1,342
AT5G19910_1	0,960	1,034	1,030
AT5G19920_1	0,833	0,830	0,582
AT5G19930_1	0,928	0,825	1,063
AT5G19940_1	0,985	0,706	0,422
AT5G19940_2	1,001	0,707	0,351
AT5G19950_1	0,940	0,618	0,829
AT5G19950_2	1,034	0,678	0,937
AT5G19950_3	0,951	0,607	0,838

AGI	NaCl-Kontrolle zur H₂O-Kontrolle (log₂)	H₂O +B.c. zur H₂O-Kontrolle (log₂)	NaCl +B.c. zur H₂O-Kontrolle (log₂)
AT5G19960_1	1,059	1,133	1,586
AT5G19970_1	0,904	0,726	1,018
AT5G19980_1	0,829	0,950	1,198
AT5G19990_1	0,966	0,988	1,143
AT5G20000_1	1,002	1,195	2,009
AT5G20010_1	0,887	1,349	1,773
AT5G20020_1	1,184	1,593	2,364
AT5G20030_1	0,847	0,367	1,265
AT5G20040_1	0,854	0,438	0,234
AT5G20040_2	0,891	0,560	0,345
AT5G20045_1	0,984	1,051	1,123
AT5G20050_1	0,966	1,601	1,557
AT5G20060_1	0,847	0,458	0,572
AT5G20060_2	1,005	0,844	0,836
AT5G20070_1	1,046	1,205	1,339
AT5G20080_1	0,958	0,696	0,918
AT5G20090_1	0,808	0,988	1,259
AT5G20090_2	0,796	0,999	1,262
AT5G20090_3	0,812	1,041	1,297
AT5G20100_1	1,034	1,064	1,152
AT5G20110_1	0,678	1,089	0,449
AT5G20120_1	0,845	1,003	0,997
AT5G20130_1	1,025	0,805	0,476
AT5G20140_1	1,000	0,368	0,291
AT5G20150_1	0,972	1,549	4,003
AT5G20160_1	1,054	1,280	0,842
AT5G20160_2	1,141	1,356	0,893
AT5G20160_3	1,021	1,330	0,795
AT5G20165_1	0,894	0,906	1,309
AT5G20165_2	0,753	0,805	2,315
AT5G20170_1	0,995	0,905	0,865
AT5G20180_1	0,862	1,389	1,231
AT5G20180_2	0,945	1,431	1,222
AT5G20181_1	1,124	0,981	1,121
AT5G20190_1	0,906	1,928	1,784
AT5G20200_1	1,002	1,288	1,137
AT5G20220_1	0,974	0,814	0,379
AT5G20225_1	1,078	0,733	0,648
AT5G20230_1	0,226	4,064	5,132
AT5G20240_1	1,096	1,043	1,180
AT5G20250_1	0,671	0,901	1,033
AT5G20260_1	1,382	1,289	1,550
AT5G20270_1	0,796	0,561	0,117
AT5G20280_1	1,173	0,947	1,214
AT5G20290_1	0,909	0,920	0,699
AT5G20300_1	1,068	0,844	1,427
AT5G20310_1	1,298	1,488	1,745
AT5G20320_1	0,964	0,953	0,849
AT5G20330_1	1,302	1,246	1,475
AT5G20340_1	1,307	1,193	1,340

AGI	NaCl-Kontrolle zur H₂O-Kontrolle (log₂)	H₂O +B.c. zur H₂O-Kontrolle (log₂)	NaCl +B.c. zur H₂O-Kontrolle (log₂)
AT5G20350_1	0,975	1,004	1,012
AT5G20360_1	1,134	1,599	1,789
AT5G20370_1	0,930	1,200	1,288
AT5G20380_1	1,171	0,757	1,159
AT5G20390_1	1,019	0,933	0,864
AT5G20400_1	0,488	2,635	2,866
AT5G20410_1	0,863	1,729	1,890
AT5G20420_1	1,727	0,618	0,668
AT5G20430_1	1,184	1,199	1,706
AT5G20440_1	1,111	0,987	0,965
AT5G20447_1	1,150	1,153	1,318
AT5G20450_1	0,903	0,525	0,467
AT5G20450_2	0,892	0,671	0,702
AT5G20460_1	1,820	0,471	0,300
AT5G20470_1	1,155	1,229	1,682
AT5G20480_1	0,824	1,120	1,222
AT5G20490_1	1,006	1,320	1,770
AT5G20500_1	0,918	0,623	0,976
AT5G20510_1	1,281	1,123	1,003
AT5G20520_1	0,991	1,171	1,046
AT5G20540_1	0,860	0,485	0,337
AT5G20550_1	0,848	0,928	0,991
AT5G20560_1	1,190	1,408	1,832
AT5G20570_1	0,880	0,905	1,001
AT5G20570_2	1,081	1,187	0,927
AT5G20570_3	1,088	1,013	0,995
AT5G20580_1	0,925	0,667	0,796
AT5G20590_1	1,032	1,353	1,033
AT5G20600_1	0,983	1,957	1,703
AT5G20610_1	1,035	1,322	1,549
AT5G20620_1	1,091	0,813	0,958
AT5G20630_1	0,337	0,009	0,006
AT5G20635_1	0,835	0,240	0,197
AT5G20640_1	0,890	1,005	1,021
AT5G20650_1	0,892	0,865	1,180
AT5G20660_1	1,074	0,709	0,829
AT5G20660_2	1,035	0,742	0,831
AT5G20670_1	1,414	0,832	1,685
AT5G20680_1	0,965	1,203	1,367
AT5G20690_1	0,997	1,156	1,080
AT5G20700_1	1,287	0,936	1,025
AT5G20710_1	1,044	0,764	0,876
AT5G20720_1	0,891	0,731	0,512
AT5G20730_1	1,082	1,239	1,260
AT5G20730_2	1,047	1,216	1,216
AT5G20730_3	1,089	1,264	1,266
AT5G20736_1	1,025	1,051	1,197
AT5G20740_1	1,019	0,282	0,057
AT5G20750_1	1,150	1,112	1,110
AT5G20760_1	1,038	1,059	1,233

AGI	NaCl-Kontrolle zur H₂O-Kontrolle (log₂)	H₂O +B.c. zur H₂O-Kontrolle (log₂)	NaCl +B.c. zur H₂O-Kontrolle (log₂)
AT5G20770_1	0,972	1,143	1,217
AT5G20780_1	1,124	1,114	1,147
AT5G20790_1	0,735	1,965	15,697
AT5G20800_1	1,142	1,170	0,994
AT5G20810_1	0,843	2,784	5,699
AT5G20810_2	1,161	1,245	1,394
AT5G20820_1	0,944	0,690	0,829
AT5G20830_1	1,140	1,167	2,638
AT5G20840_1	1,018	0,840	0,801
AT5G20850_1	0,604	0,361	0,326
AT5G20852_1	0,853	0,292	0,515
AT5G20856_1	0,860	0,318	0,635
AT5G20858_1	0,849	0,291	0,590
AT5G20860_1	1,155	1,194	1,160
AT5G20870_1	0,632	0,431	0,508
AT5G20880_1	0,847	1,840	2,113
AT5G20885_1	1,034	0,464	0,262
AT5G20890_1	0,986	0,973	0,670
AT5G20900_1	1,151	1,156	1,312
AT5G20910_1	0,869	1,465	2,377
AT5G20920_1	0,958	1,061	1,032
AT5G20920_3	1,031	1,066	1,051
AT5G20930_1	1,071	0,913	0,960
AT5G20935_1	0,982	0,243	0,065
AT5G20940_1	1,055	3,960	30,147
AT5G20950_1	1,023	0,622	0,635
AT5G20960_1	0,958	13,080	26,159
AT5G20960_2	1,218	4,449	9,660
AT5G20970_1	0,573	0,213	0,344
AT5G20980_1	0,744	0,523	0,336
AT5G20980_2	1,026	0,681	0,450
AT5G20990_1	0,967	1,221	1,221
AT5G21005_1	1,144	1,134	1,151
AT5G21010_1	1,057	0,901	0,957
AT5G21020_2	1,334	1,239	0,980
AT5G21030_1	1,177	1,288	1,131
AT5G21040_1	0,992	1,086	1,204
AT5G21050_1	0,974	1,022	1,337
AT5G21060_1	0,828	0,596	0,498
AT5G21060_2	0,859	0,587	0,498
AT5G21070_1	1,008	0,838	0,989
AT5G21080_1	0,964	0,958	1,030
AT5G21090_1	1,015	1,517	1,584
AT5G21100_1	0,974	1,801	0,976
AT5G21105_1	0,963	1,616	2,533
AT5G21110_1	1,047	1,021	1,299
AT5G21120_1	1,016	1,225	1,336
AT5G21125_1	0,963	0,950	1,014
AT5G21130_1	0,949	1,248	1,272
AT5G21140_1	0,774	0,568	0,386

AGI	NaCl-Kontrolle zur H₂O-Kontrolle (log₂)	H₂O +B.c. zur H₂O-Kontrolle (log₂)	NaCl +B.c. zur H₂O-Kontrolle (log₂)
AT5G21150_1	0,987	1,227	1,077
AT5G21160_1	1,068	0,777	0,475
AT5G21170_1	0,724	0,414	0,511
AT5G21170_2	0,541	0,421	0,656
AT5G21222_1	0,961	0,410	0,125
AT5G21274_1	0,950	1,014	1,185
AT5G21280_1	0,693	4,212	3,183
AT5G21326_1	0,967	1,310	1,339
AT5G21430_1	1,015	0,454	0,086
AT5G21482_1	0,912	2,309	2,789
AT5G21900_1	0,665	0,563	1,372
AT5G21910_1	0,936	0,833	1,029
AT5G21920_1	0,858	0,324	0,153
AT5G21930_1	0,811	0,422	0,183
AT5G21930_2	1,133	0,992	0,965
AT5G21940_1	1,193	0,657	0,757
AT5G21950_1	0,810	0,980	0,341
AT5G21960_1	0,837	2,041	1,382
AT5G21970_1	1,242	0,797	0,626
AT5G21990_1	0,984	1,291	1,409
AT5G22000_1	1,019	1,207	1,262
AT5G22000_3	1,060	1,237	1,306
AT5G22010_1	1,044	0,853	0,870
AT5G22020_1	0,979	0,751	0,679
AT5G22030_1	0,969	1,200	1,246
AT5G22030_2	1,021	1,225	1,305
AT5G22040_1	0,912	0,867	0,881
AT5G22044_1	1,233	1,385	1,672
AT5G22050_1	0,848	0,394	0,326
AT5G22050_2	0,903	0,639	0,669
AT5G22060_1	0,843	2,888	2,751
AT5G22070_1	1,080	0,646	0,530
AT5G22080_1	1,013	1,004	1,466
AT5G22090_1	1,014	0,939	0,745
AT5G22100_1	0,996	2,092	1,686
AT5G22110_1	0,664	0,440	0,340
AT5G22120_1	0,983	1,186	2,110
AT5G22130_1	1,018	0,706	0,614
AT5G22140_1	0,955	2,397	3,635
AT5G22140_2	1,050	2,799	8,853
AT5G22150_1	0,779	0,591	0,679
AT5G22160_1	0,963	0,999	1,068
AT5G22170_1	1,043	1,231	1,237
AT5G22180_1	1,271	1,526	2,003
AT5G22190_1	1,150	1,202	1,368
AT5G22200_1	0,855	1,125	1,219
AT5G22210_1	0,997	0,730	0,651
AT5G22210_2	0,997	0,762	0,666
AT5G22220_2	0,925	1,105	1,387
AT5G22220_3	0,997	1,172	1,397

AGI	NaCl-Kontrolle zur H₂O-Kontrolle (log₂)	H₂O +B.c. zur H₂O-Kontrolle (log₂)	NaCl +B.c. zur H₂O-Kontrolle (log₂)
AT5G22240_1	0,828	1,078	1,880
AT5G22250_1	1,003	2,291	2,409
AT5G22260_1	1,016	0,972	1,069
AT5G22270_1	0,847	1,245	2,231
AT5G22280_1	0,869	1,053	1,224
AT5G22280_2	1,039	1,045	1,206
AT5G22290_1	1,344	1,571	1,687
AT5G22300_1	1,101	6,758	7,288
AT5G22310_1	0,799	0,272	0,228
AT5G22315_1	1,267	1,253	1,730
AT5G22320_1	1,073	1,247	1,075
AT5G22330_1	1,009	1,084	0,813
AT5G22340_1	1,040	0,299	0,138
AT5G22340_2	1,049	0,289	0,120
AT5G22350_1	0,960	2,020	2,336
AT5G22355_1	1,244	1,439	1,663
AT5G22360_1	0,975	1,016	1,116
AT5G22370_1	0,852	0,880	0,625
AT5G22380_1	0,661	0,722	1,656
AT5G22390_1	0,745	0,385	0,150
AT5G22400_1	0,887	0,543	0,366
AT5G22410_1	1,065	1,036	1,111
AT5G22420_1	0,860	0,929	1,001
AT5G22430_1	0,940	0,945	0,965
AT5G22440_1	0,893	0,860	0,572
AT5G22450_1	1,022	1,108	1,345
AT5G22460_1	1,103	0,447	0,795
AT5G22460_2	1,300	0,304	1,223
AT5G22470_1	0,961	0,957	1,096
AT5G22480_1	1,012	1,040	0,929
AT5G22490_1	1,022	1,021	1,003
AT5G22500_1	0,552	0,213	0,142
AT5G22510_1	1,036	0,814	0,884
AT5G22520_1	0,333	10,275	9,363
AT5G22530_1	0,647	10,785	11,618
AT5G22540_1	0,679	10,492	15,658
AT5G22545_1	0,897	1,490	2,027
AT5G22550_1	1,076	1,080	1,118
AT5G22550_2	0,899	0,985	0,973
AT5G22555_1	0,901	0,992	1,135
AT5G22560_1	0,949	1,050	1,044
AT5G22570_1	0,578	0,648	2,224
AT5G22580_1	0,716	0,072	0,005
AT5G22590_1	1,044	1,069	0,954
AT5G22600_1	0,963	1,003	0,992
AT5G22608_1	0,964	0,615	0,760
AT5G22610_1	1,051	1,310	1,434
AT5G22620_1	0,888	0,535	0,303
AT5G22620_2	0,934	0,568	0,325
AT5G22630_1	1,105	5,184	3,946

AGI	NaCl-Kontrolle zur H₂O-Kontrolle (log₂)	H₂O +B.c. zur H₂O-Kontrolle (log₂)	NaCl +B.c. zur H₂O-Kontrolle (log₂)
AT5G22640_1	1,089	0,370	0,048
AT5G22650_1	1,178	1,328	0,998
AT5G22650_2	1,239	1,344	0,991
AT5G22660_1	0,800	0,833	0,832
AT5G22660_2	1,134	0,760	0,695
AT5G22670_1	0,970	0,874	1,025
AT5G22680_1	1,014	0,989	1,122
AT5G22690_1	0,793	2,155	2,256
AT5G22700_1	1,073	0,310	0,292
AT5G22710_1	1,116	0,414	0,395
AT5G22720_1	0,984	1,250	1,283
AT5G22730_1	0,899	0,868	0,880
AT5G22740_1	1,067	0,494	0,268
AT5G22750_1	0,679	0,568	0,359
AT5G22760_1	1,061	0,946	1,234
AT5G22770_1	1,012	1,325	1,227
AT5G22770_2	1,027	1,330	2,495
AT5G22780_1	1,034	1,429	1,343
AT5G22788_1	0,985	0,957	0,917
AT5G22790_1	1,189	0,916	0,709
AT5G22791_1	1,155	1,182	1,334
AT5G22791_2	1,070	1,269	1,292
AT5G22792_1	1,253	1,335	1,530
AT5G22794_1	1,395	1,355	0,984
AT5G22794_2	1,676	2,285	1,530
AT5G22800_1	1,076	0,446	0,363
AT5G22810_1	1,004	0,964	1,061
AT5G22820_1	1,028	0,816	1,174
AT5G22830_1	1,001	0,615	0,663
AT5G22840_1	1,104	1,381	0,967
AT5G22850_1	1,067	1,046	2,150
AT5G22860_1	0,865	3,951	22,966
AT5G22860_2	1,168	2,982	10,037
AT5G22870_1	0,914	0,984	0,898
AT5G22875_1	0,851	0,952	0,934
AT5G22875_2	0,883	1,004	1,026
AT5G22880_1	1,041	0,722	0,685
AT5G22890_1	1,011	1,081	1,105
AT5G22900_1	0,859	0,955	1,034
AT5G22910_1	1,041	1,205	1,189
AT5G22920_1	0,675	0,075	0,087
AT5G22930_1	0,901	0,127	0,086
AT5G22940_1	0,561	0,570	0,465
AT5G22950_1	0,718	0,993	2,311
AT5G22960_1	1,043	1,207	1,253
AT5G22970_1	1,042	1,081	1,087
AT5G22980_1	0,919	1,066	0,982
AT5G22990_1	0,955	0,976	0,998
AT5G23000_1	1,124	5,502	8,102
AT5G23010_1	1,076	0,532	0,100

AGI	NaCl-Kontrolle zur H₂O-Kontrolle (log₂)	H₂O +B.c. zur H₂O-Kontrolle (log₂)	NaCl +B.c. zur H₂O-Kontrolle (log₂)
AT5G23020_1	1,298	1,359	0,213
AT5G23027_1	1,059	1,086	1,183
AT5G23030_1	1,091	1,079	1,097
AT5G23035_1	1,046	1,109	1,242
AT5G23040_1	0,940	0,916	0,797
AT5G23050_1	1,645	2,326	6,099
AT5G23060_1	0,995	0,734	0,133
AT5G23065_1	0,717	0,783	0,731
AT5G23070_1	1,030	1,030	0,590
AT5G23080_1	1,049	0,937	1,136
AT5G23090_1	0,804	0,388	0,613
AT5G23090_2	0,810	1,061	1,987
AT5G23090_3	0,844	1,076	1,997
AT5G23090_4	0,794	0,975	1,887
AT5G23100_1	0,952	0,666	0,076
AT5G23110_1	1,012	0,936	1,121
AT5G23120_1	0,865	0,572	0,267
AT5G23130_1	0,943	1,101	1,198
AT5G23140_1	0,911	1,066	1,223
AT5G23150_1	1,058	1,076	1,193
AT5G23155_1	1,112	1,532	1,601
AT5G23160_1	0,793	11,265	15,821
AT5G23170_1	0,938	0,955	0,875
AT5G23180_1	1,000	1,039	1,040
AT5G23190_1	1,034	0,991	1,001
AT5G23200_1	0,980	0,870	0,671
AT5G23210_1	0,894	0,447	0,630
AT5G23210_2	0,895	0,420	0,621
AT5G23210_3	0,886	0,424	0,603
AT5G23212_1	1,104	1,007	1,082
AT5G23220_1	1,454	1,328	1,783
AT5G23230_1	1,037	0,559	1,372
AT5G23235_1	1,111	0,254	0,319
AT5G23240_1	1,234	0,092	0,526
AT5G23250_1	1,043	1,001	0,808
AT5G23250_2	1,081	1,005	0,688
AT5G23260_1	1,140	1,500	1,441
AT5G23260_2	1,163	1,150	1,212
AT5G23260_3	1,086	1,101	1,199
AT5G23270_1	1,089	0,793	0,414
AT5G23280_1	0,881	1,080	0,260
AT5G23290_1	0,901	0,990	1,082
AT5G23300_1	1,053	1,085	0,536
AT5G23310_1	1,047	0,331	0,088
AT5G23320_1	0,994	0,656	1,025
AT5G23330_1	0,987	0,681	0,576
AT5G23340_1	1,043	0,952	1,923
AT5G23350_1	0,769	0,624	0,440
AT5G23360_1	1,059	0,407	0,141
AT5G23370_1	0,830	0,627	0,382

AGI	NaCl-Kontrolle zur H₂O-Kontrolle (log₂)	H₂O +B.c. zur H₂O-Kontrolle (log₂)	NaCl +B.c. zur H₂O-Kontrolle (log₂)
AT5G23380_1	1,358	0,553	0,477
AT5G23390_1	1,012	0,587	0,957
AT5G23395_1	0,954	1,687	1,395
AT5G23400_1	0,665	0,129	0,075
AT5G23405_1	0,921	1,534	1,547
AT5G23405_2	0,939	1,512	1,499
AT5G23410_1	1,163	0,569	1,010
AT5G23411_1	0,894	1,157	2,051
AT5G23413_1	1,050	1,123	1,155
AT5G23420_1	0,522	0,214	0,185
AT5G23430_1	1,294	0,688	0,628
AT5G23430_2	1,310	0,722	0,614
AT5G23440_1	0,955	0,636	0,539
AT5G23450_1	1,000	1,044	0,970
AT5G23450_3	1,008	1,052	0,966
AT5G23460_1	1,112	0,948	0,882
AT5G23470_1	1,045	1,037	1,107
AT5G23480_1	0,989	1,028	0,585
AT5G23490_1	0,934	1,083	1,474
AT5G23510_1	0,659	3,676	3,088
AT5G23510_2	0,728	3,509	2,890
AT5G23520_1	0,931	1,161	1,402
AT5G23530_1	0,829	0,637	0,552
AT5G23535_1	1,065	0,812	0,559
AT5G23540_1	0,929	1,023	1,567
AT5G23540_2	0,926	1,019	1,322
AT5G23550_1	0,852	0,381	0,415
AT5G23570_1	1,257	0,526	0,379
AT5G23575_1	1,024	0,453	0,720
AT5G23580_1	0,837	1,948	1,952
AT5G23590_1	0,982	1,344	1,640
AT5G23590_2	1,024	1,332	1,700
AT5G23600_1	0,859	1,192	2,021
AT5G23610_1	1,025	1,027	1,085
AT5G23630_1	1,109	1,346	1,545
AT5G23640_1	0,960	0,972	0,959
AT5G23650_1	1,115	0,820	0,943
AT5G23660_1	1,735	1,522	2,244
AT5G23670_1	0,868	0,658	0,719
AT5G23670_2	0,963	0,785	0,734
AT5G23680_1	0,964	0,942	0,954
AT5G23690_1	1,334	0,736	0,256
AT5G23700_1	1,094	1,520	1,239
AT5G23710_1	0,962	1,696	1,900
AT5G23720_1	0,988	0,495	1,070
AT5G23720_2	0,992	0,455	1,050
AT5G23730_1	0,851	3,627	2,305
AT5G23740_1	0,819	0,733	0,387
AT5G23750_1	0,949	1,054	1,807
AT5G23760_1	0,803	1,187	1,411

AGI	NaCl-Kontrolle zur H₂O-Kontrolle (log₂)	H₂O +B.c. zur H₂O-Kontrolle (log₂)	NaCl +B.c. zur H₂O-Kontrolle (log₂)
AT5G23770_1	1,100	0,517	0,311
AT5G23780_1	0,992	0,749	0,717
AT5G23790_1	0,925	0,928	1,343
AT5G23800_1	1,133	0,378	0,279
AT5G23810_1	1,190	0,382	0,979
AT5G23810_2	1,241	0,834	1,021
AT5G23820_1	0,635	0,913	0,647
AT5G23830_1	0,824	1,055	0,783
AT5G23840_1	1,047	0,981	1,062
AT5G23840_2	0,876	1,151	0,926
AT5G23850_1	1,180	4,045	2,798
AT5G23860_1	0,871	0,828	0,380
AT5G23870_1	0,763	0,298	0,115
AT5G23870_2	0,903	0,439	0,306
AT5G23880_1	1,234	0,636	0,358
AT5G23890_1	1,014	0,718	0,689
AT5G23900_1	0,850	1,001	0,640
AT5G23903_1	1,157	1,612	1,533
AT5G23908_1	1,167	1,237	1,432
AT5G23910_1	0,982	0,430	0,401
AT5G23920_1	1,068	1,028	0,901
AT5G23930_1	1,088	1,089	0,899
AT5G23940_1	1,056	0,468	1,068
AT5G23950_1	1,502	3,533	32,012
AT5G23955_1	0,885	0,915	1,076
AT5G23960_1	0,891	1,005	1,086
AT5G23970_1	1,135	1,356	1,503
AT5G23980_1	1,348	0,185	0,192
AT5G23989_1	1,080	1,079	1,177
AT5G23990_1	1,626	0,490	0,443
AT5G24000_1	0,849	0,262	0,137
AT5G24010_1	1,023	0,972	0,640
AT5G24020_1	1,131	0,689	0,436
AT5G24030_1	1,269	1,258	2,127
AT5G24040_1	0,898	0,893	1,155
AT5G24050_1	1,015	1,128	1,091
AT5G24060_1	1,161	0,293	0,312
AT5G24065_1	1,019	0,942	0,706
AT5G24070_1	1,011	1,189	1,225
AT5G24080_1	1,330	1,036	8,474
AT5G24090_1	0,705	1,272	9,125
AT5G24100_1	1,066	0,959	0,866
AT5G24105_1	0,719	0,641	0,409
AT5G24110_1	0,166	21,272	9,875
AT5G24120_1	1,112	2,722	2,232
AT5G24130_1	1,022	1,367	1,331
AT5G24140_1	1,145	1,969	1,449
AT5G24150_1	1,282	1,662	2,177
AT5G24150_2	1,231	1,601	2,052
AT5G24155_1	1,604	1,974	1,938

AGI	NaCl-Kontrolle zur H₂O-Kontrolle (log₂)	H₂O +B.c. zur H₂O-Kontrolle (log₂)	NaCl +B.c. zur H₂O-Kontrolle (log₂)
AT5G24160_1	1,262	1,695	2,607
AT5G24165_1	0,850	0,565	0,372
AT5G24170_1	0,838	0,840	0,961
AT5G24180_1	1,047	1,111	0,964
AT5G24190_1	0,914	1,295	1,464
AT5G24200_1	1,239	1,076	6,670
AT5G24205_1	0,854	0,763	3,657
AT5G24206_1	0,910	1,335	5,912
AT5G24210_1	0,949	1,230	1,638
AT5G24220_1	1,130	1,130	1,216
AT5G24230_1	0,619	3,921	5,714
AT5G24240_1	1,011	1,797	3,079
AT5G24250_1	1,381	1,421	1,793
AT5G24260_1	0,863	0,596	0,866
AT5G24270_1	0,466	0,432	0,151
AT5G24280_1	1,283	0,698	0,721
AT5G24290_1	0,663	7,106	3,740
AT5G24300_1	1,054	0,607	0,341
AT5G24310_1	1,151	0,754	0,335
AT5G24310_2	1,043	0,845	0,696
AT5G24313_1	1,450	1,515	1,531
AT5G24314_1	0,847	0,205	0,106
AT5G24316_1	1,112	1,421	2,469
AT5G24318_1	0,877	0,863	0,893
AT5G24318_2	0,876	0,474	0,726
AT5G24320_1	1,166	0,841	1,143
AT5G24320_2	1,114	0,831	1,110
AT5G24330_1	0,479	0,216	0,193
AT5G24340_1	1,040	0,500	0,374
AT5G24350_1	1,104	0,931	1,167
AT5G24352_1	0,939	0,616	1,215
AT5G24355_1	1,056	1,556	1,562
AT5G24360_1	1,044	0,800	1,062
AT5G24370_1	1,094	1,193	1,249
AT5G24380_1	1,051	3,600	2,064
AT5G24390_1	0,917	0,846	0,728
AT5G24400_1	0,914	1,179	1,200
AT5G24410_1	1,064	1,066	1,119
AT5G24420_1	0,861	1,542	0,787
AT5G24430_1	0,956	2,146	2,360
AT5G24440_1	1,564	2,011	2,459
AT5G24450_1	1,066	0,739	1,177
AT5G24460_1	1,103	0,552	0,688
AT5G24470_1	1,044	0,091	0,405
AT5G24480_1	0,983	1,131	1,098
AT5G24490_1	0,934	0,303	0,123
AT5G24500_1	1,036	0,579	0,768
AT5G24510_1	1,135	1,192	1,612
AT5G24520_1	0,899	0,797	0,834
AT5G24520_2	0,960	0,770	0,829

AGI	NaCl-Kontrolle zur H ₂ O-Kontrolle (log ₂)	H ₂ O +B.c. zur H ₂ O-Kontrolle (log ₂)	NaCl +B.c. zur H ₂ O-Kontrolle (log ₂)
AT5G24520_3	0,753	0,394	0,476
AT5G24530_1	0,955	0,776	1,624
AT5G24540_1	1,005	32,501	41,486
AT5G24550_1	0,912	7,197	4,845
AT5G24557_1	1,037	1,128	1,165
AT5G24560_1	1,298	1,539	1,831
AT5G24570_1	0,703	0,471	1,193
AT5G24580_1	0,563	0,108	0,058
AT5G24580_2	0,559	0,107	0,053
AT5G24590_2	0,864	1,650	2,220
AT5G24593_1	0,912	1,593	1,783
AT5G24600_1	1,001	7,606	10,148
AT5G24610_1	1,148	0,341	0,505
AT5G24620_1	1,071	0,405	0,470
AT5G24630_1	0,712	0,630	0,634
AT5G24630_2	0,878	0,819	0,794
AT5G24630_3	0,732	0,650	0,774
AT5G24630_6	0,715	0,702	0,781
AT5G24640_1	0,985	9,446	14,752
AT5G24650_1	0,926	0,810	0,885
AT5G24655_1	1,058	1,987	2,831
AT5G24660_1	1,294	3,647	2,624
AT5G24670_1	1,022	0,871	1,406
AT5G24680_1	0,882	0,872	1,139
AT5G24690_1	1,062	0,941	0,694
AT5G24710_1	1,086	0,889	0,825
AT5G24735_1	0,992	1,571	1,095
AT5G24740_1	1,100	0,821	0,751
AT5G24750_1	1,050	0,336	0,226
AT5G24760_1	1,084	2,090	2,528
AT5G24760_2	1,060	1,989	2,357
AT5G24770_1	2,069	0,773	1,404
AT5G24770_2	1,244	0,434	0,558
AT5G24775_1	1,012	1,175	1,209
AT5G24780_1	1,522	0,941	1,317
AT5G24780_2	1,693	1,595	1,771
AT5G24790_1	1,028	0,999	1,112
AT5G24800_1	0,916	0,564	0,754
AT5G24810_1	0,936	1,693	1,879
AT5G24820_1	1,200	1,273	1,274
AT5G24825_1	1,092	1,217	1,289
AT5G24830_1	1,026	0,574	0,584
AT5G24840_1	0,982	1,452	1,174
AT5G24850_1	0,596	1,756	1,837
AT5G24860_1	0,930	1,956	13,060
AT5G24870_1	1,226	2,596	4,589
AT5G24879_1	1,087	1,361	1,260
AT5G24880_1	1,088	1,068	1,361
AT5G24890_1	1,010	0,520	0,714
AT5G24900_1	1,279	1,534	1,628

AGI	NaCl-Kontrolle zur H₂O-Kontrolle (log₂)	H₂O +B.c. zur H₂O-Kontrolle (log₂)	NaCl +B.c. zur H₂O-Kontrolle (log₂)
AT5G24910_1	0,951	16,977	27,425
AT5G24915_1	1,162	1,174	1,535
AT5G24920_1	1,206	0,519	0,504
AT5G24930_1	0,989	0,870	0,806
AT5G24940_1	1,050	1,418	1,746
AT5G24950_1	0,958	1,079	1,016
AT5G24960_1	1,261	1,469	1,815
AT5G24970_1	1,127	0,503	0,424
AT5G24980_1	1,088	0,694	0,732
AT5G24990_1	1,376	0,581	1,023
AT5G25000_1	1,234	1,227	1,041
AT5G25010_1	1,255	0,572	0,769
AT5G25020_1	1,714	1,432	1,858
AT5G25030_1	1,088	1,138	1,383
AT5G25040_1	1,099	0,709	0,987
AT5G25045_1	0,989	1,078	1,079
AT5G25050_1	1,047	1,366	1,469
AT5G25060_1	1,016	0,948	1,032
AT5G25070_1	1,026	0,971	1,034
AT5G25080_1	1,085	0,675	0,573
AT5G25090_1	0,812	0,554	0,605
AT5G25100_1	0,956	0,811	0,725
AT5G25102_1	1,040	1,092	1,050
AT5G25110_1	1,156	1,020	4,281
AT5G25120_1	1,211	0,934	1,455
AT5G25130_1	1,262	0,704	2,571
AT5G25140_1	0,967	1,827	8,093
AT5G25150_1	0,947	0,831	1,003
AT5G25160_1	1,016	1,143	1,379
AT5G25170_1	0,808	2,727	2,400
AT5G25180_1	1,281	1,403	1,815
AT5G25190_1	0,915	0,204	0,034
AT5G25200_1	1,210	1,160	1,307
AT5G25205_1	1,108	1,064	1,140
AT5G25210_1	1,256	0,059	0,039
AT5G25220_1	1,141	1,208	1,522
AT5G25230_1	1,179	1,071	0,685
AT5G25240_1	1,186	1,282	1,087
AT5G25250_1	0,375	4,567	4,063
AT5G25260_1	0,696	3,627	6,560
AT5G25265_1	0,827	0,950	0,973
AT5G25270_1	1,113	1,046	1,248
AT5G25280_1	0,996	1,003	1,155
AT5G25280_2	0,920	0,391	3,665
AT5G25290_1	0,912	1,075	1,342
AT5G25300_1	0,974	1,041	1,036
AT5G25305_1	0,978	1,125	1,080
AT5G25310_1	1,138	1,141	1,295
AT5G25320_1	1,010	1,016	0,994
AT5G25330_1	1,040	1,176	1,267

AGI	NaCl-Kontrolle zur H₂O-Kontrolle (log₂)	H₂O +B.c. zur H₂O-Kontrolle (log₂)	NaCl +B.c. zur H₂O-Kontrolle (log₂)
AT5G25340_1	0,971	1,098	1,291
AT5G25350_1	0,928	0,841	1,077
AT5G25360_1	0,906	0,845	0,855
AT5G25370_1	0,563	0,312	0,313
AT5G25380_1	0,954	0,794	0,783
AT5G25390_1	3,456	0,605	0,666
AT5G25390_2	3,711	0,506	0,612
AT5G25400_1	1,141	1,314	1,273
AT5G25410_1	1,040	1,136	1,109
AT5G25415_1	0,924	1,049	1,094
AT5G25420_1	1,176	1,372	1,889
AT5G25422_1	1,022	1,000	1,081
AT5G25425_1	1,202	1,723	2,337
AT5G25430_1	1,265	1,352	1,502
AT5G25440_1	0,627	1,424	1,580
AT5G25450_1	1,029	3,519	4,411
AT5G25451_1	0,777	0,868	0,955
AT5G25460_1	0,912	0,392	0,017
AT5G25470_1	0,897	0,793	0,951
AT5G25470_2	0,929	0,952	0,884
AT5G25475_1	0,928	1,000	0,980
AT5G25475_2	0,994	0,979	0,914
AT5G25475_3	0,892	0,759	0,587
AT5G25480_1	0,908	0,728	0,789
AT5G25490_1	0,881	0,343	0,283
AT5G25500_1	1,146	0,493	0,277
AT5G25510_1	0,953	0,970	0,960
AT5G25520_1	0,897	0,682	0,995
AT5G25520_2	1,032	0,836	0,912
AT5G25530_1	1,086	1,123	1,160
AT5G25540_1	0,816	1,048	1,644
AT5G25550_1	0,931	0,925	1,001
AT5G25560_1	0,886	0,826	1,346
AT5G25560_2	0,891	0,808	1,399
AT5G25570_1	1,094	1,024	1,039
AT5G25570_2	0,897	0,520	0,629
AT5G25580_1	0,660	0,469	0,470
AT5G25590_1	1,271	0,676	0,250
AT5G25600_1	1,090	1,390	1,461
AT5G25610_1	1,131	0,582	0,247
AT5G25615_1	1,234	1,460	1,739
AT5G25620_1	1,281	0,781	0,505
AT5G25630_1	1,129	0,464	0,361
AT5G25640_1	1,051	1,042	1,041
AT5G25750_1	1,647	1,532	1,915
AT5G25752_1	1,045	0,570	0,678
AT5G25754_1	0,994	1,190	0,846
AT5G25757_1	1,021	1,054	0,787
AT5G25760_1	0,888	0,884	1,000
AT5G25760_2	0,760	0,603	0,670

AGI	NaCl-Kontrolle zur H₂O-Kontrolle (log₂)	H₂O +B.c. zur H₂O-Kontrolle (log₂)	NaCl +B.c. zur H₂O-Kontrolle (log₂)
AT5G25770_1	0,801	0,662	0,844
AT5G25770_2	0,836	2,378	9,453
AT5G25780_1	1,066	1,030	0,787
AT5G25790_1	0,931	0,834	1,133
AT5G25800_1	1,098	0,980	0,783
AT5G25810_1	0,408	0,222	0,194
AT5G25820_1	0,727	6,747	20,486
AT5G25830_1	0,775	0,456	0,207
AT5G25840_1	0,941	0,503	0,219
AT5G25850_1	1,032	1,115	1,247
AT5G25860_1	0,946	1,001	0,992
AT5G25870_1	1,176	1,351	1,343
AT5G25880_1	1,216	1,336	1,186
AT5G25890_1	0,876	0,931	1,577
AT5G25900_1	1,008	0,969	1,286
AT5G25910_1	0,683	3,737	8,987
AT5G25920_1	0,916	4,481	10,176
AT5G25930_1	0,448	8,832	9,314
AT5G25940_1	0,848	2,603	2,996
AT5G25950_1	1,149	1,280	1,242
AT5G25955_1	1,016	1,205	1,083
AT5G25960_1	0,945	1,131	0,980
AT5G25970_1	1,460	2,624	2,444
AT5G25980_1	0,879	0,625	0,480
AT5G25980_3	0,872	0,618	0,488
AT5G25990_1	1,256	0,947	0,897
AT5G26000_1	0,916	0,634	0,524
AT5G26010_1	0,902	0,365	0,236
AT5G26015_1	0,980	1,036	1,081
AT5G26020_1	1,172	1,339	1,241
AT5G26030_1	1,050	2,034	1,731
AT5G26038_1	0,866	7,975	6,205
AT5G26040_1	1,029	0,342	0,888
AT5G26040_2	1,077	0,361	0,888
AT5G26050_1	0,944	1,182	1,078
AT5G26060_1	1,096	1,101	1,254
AT5G26070_1	1,322	1,664	2,440
AT5G26080_1	1,312	1,742	2,469
AT5G26090_1	0,989	1,086	1,009
AT5G26100_1	0,879	0,865	1,051
AT5G26110_1	1,087	1,640	1,149
AT5G26110_2	1,113	1,636	1,159
AT5G26114_1	0,991	1,025	1,014
AT5G26120_1	1,050	1,214	1,713
AT5G26130_1	0,943	1,239	1,300
AT5G26140_1	0,949	0,972	0,923
AT5G26146_1	0,931	0,968	0,896
AT5G26147_1	1,174	1,104	1,155
AT5G26150_1	0,856	0,858	0,768
AT5G26160_1	1,057	0,963	1,267

AGI	NaCl-Kontrolle zur H₂O-Kontrolle (log₂)	H₂O +B.c. zur H₂O-Kontrolle (log₂)	NaCl +B.c. zur H₂O-Kontrolle (log₂)
AT5G26170_1	0,693	0,682	2,329
AT5G26180_1	1,173	1,305	0,607
AT5G26180_2	1,185	1,212	0,848
AT5G26190_1	0,621	0,659	0,651
AT5G26200_1	0,895	0,292	0,161
AT5G26210_1	0,933	1,051	0,646
AT5G26220_1	1,379	1,420	0,815
AT5G26230_1	0,718	0,215	0,068
AT5G26233_1	1,036	1,259	1,261
AT5G26236_1	1,149	1,372	1,122
AT5G26240_1	1,051	0,685	0,998
AT5G26250_1	1,016	1,127	1,621
AT5G26260_1	0,646	1,448	0,860
AT5G26262_1	1,560	2,008	2,299
AT5G26270_1	1,121	2,760	1,636
AT5G26280_1	0,797	5,409	1,078
AT5G26280_2	0,952	6,013	1,146
AT5G26283_1	0,980	0,919	0,852
AT5G26286_1	1,142	1,263	1,332
AT5G26290_1	0,966	1,028	0,972
AT5G26300_1	0,888	1,168	1,004
AT5G26310_1	1,363	2,200	5,951
AT5G26320_1	1,028	1,014	1,000
AT5G26330_1	0,658	0,332	0,192
AT5G26340_1	1,011	1,455	1,903
AT5G26345_1	1,108	1,125	1,121
AT5G26350_1	1,276	1,377	1,516
AT5G26360_1	1,006	0,997	0,860
AT5G26570_1	1,139	0,342	0,342
AT5G26580_1	1,036	1,024	0,993
AT5G26582_1	1,015	0,993	0,882
AT5G26590_1	1,020	1,365	1,453
AT5G26594_1	1,067	1,153	1,235
AT5G26600_1	0,829	3,049	5,035
AT5G26600_2	0,837	1,681	4,134
AT5G26610_1	1,131	1,018	1,181
AT5G26610_2	0,882	0,657	0,712
AT5G26617_1	1,051	1,228	1,332
AT5G26618_1	1,051	1,483	1,420
AT5G26620_1	1,218	1,645	1,851
AT5G26622_1	0,934	0,401	0,428
AT5G26622_2	1,006	0,361	0,468
AT5G26630_1	0,989	0,748	0,647
AT5G26640_1	1,099	1,032	1,200
AT5G26642_1	0,953	1,260	1,558
AT5G26650_1	1,092	1,285	1,318
AT5G26660_1	0,920	3,365	5,955
AT5G26667_1	0,554	0,315	0,644
AT5G26667_2	0,685	0,622	1,059
AT5G26667_3	0,732	0,650	0,952

AGI	NaCl-Kontrolle zur H₂O-Kontrolle (log₂)	H₂O +B.c. zur H₂O-Kontrolle (log₂)	NaCl +B.c. zur H₂O-Kontrolle (log₂)
AT5G26670_1	1,071	0,646	0,531
AT5G26670_2	0,844	0,102	0,039
AT5G26673_1	1,035	1,088	1,116
AT5G26680_1	1,095	1,254	1,013
AT5G26680_2	0,841	1,544	1,455
AT5G26690_1	0,700	0,505	4,794
AT5G26692_1	1,013	1,107	1,110
AT5G26700_1	0,851	1,045	1,898
AT5G26710_1	0,974	1,006	0,822
AT5G26717_1	1,219	1,272	1,381
AT5G26720_1	0,829	1,274	1,821
AT5G26730_1	1,021	1,039	1,185
AT5G26731_1	0,975	0,870	1,443
AT5G26740_1	0,978	0,868	0,858
AT5G26740_2	0,861	0,723	1,124
AT5G26742_1	1,141	0,769	0,277
AT5G26742_2	1,048	0,401	0,109
AT5G26749_1	0,842	0,756	1,071
AT5G26751_1	0,932	1,464	1,616
AT5G26760_1	0,999	0,866	1,014
AT5G26760_2	1,071	0,887	1,048
AT5G26770_1	0,923	1,141	2,447
AT5G26770_2	1,040	0,950	1,291
AT5G26770_3	0,837	1,023	2,387
AT5G26775_1	1,149	1,153	1,077
AT5G26780_1	1,090	0,541	0,421
AT5G26780_2	1,082	0,543	0,414
AT5G26780_3	1,285	0,722	0,405
AT5G26790_1	1,010	0,983	0,708
AT5G26800_1	0,983	0,592	0,320
AT5G26805_1	1,070	1,046	0,995
AT5G26810_1	0,992	1,087	1,243
AT5G26820_1	0,964	0,780	0,502
AT5G26830_1	1,022	0,863	0,810
AT5G26840_1	1,243	1,404	1,836
AT5G26848_1	1,003	0,937	0,977
AT5G26850_1	0,944	0,221	0,055
AT5G26860_1	1,219	1,043	0,964
AT5G26870_1	0,964	0,962	0,979
AT5G26880_1	1,091	0,998	0,790
AT5G26890_1	1,254	0,971	0,965
AT5G26900_1	1,135	1,071	1,023
AT5G26910_1	0,949	0,379	0,122
AT5G26910_2	0,924	0,357	0,105
AT5G26912_1	1,102	1,135	1,143
AT5G26920_1	0,726	2,891	4,349
AT5G26930_1	1,087	1,207	1,205
AT5G26940_1	0,886	1,180	6,259
AT5G26940_2	0,921	1,251	18,962
AT5G26940_4	0,878	0,888	1,178

AGI	NaCl-Kontrolle zur H₂O-Kontrolle (log₂)	H₂O +B.c. zur H₂O-Kontrolle (log₂)	NaCl +B.c. zur H₂O-Kontrolle (log₂)
AT5G26950_1	0,893	1,225	1,155
AT5G26960_1	1,063	0,581	0,470
AT5G26970_1	1,267	0,461	0,345
AT5G26980_1	1,093	0,790	1,134
AT5G26980_2	1,040	0,721	1,129
AT5G26990_1	0,925	1,073	1,671
AT5G27000_1	0,811	0,626	0,696
AT5G27010_1	1,115	1,248	1,048
AT5G27020_1	1,088	1,159	1,266
AT5G27030_1	1,141	1,734	1,351
AT5G27035_1	1,033	1,030	1,079
AT5G27037_1	1,064	1,158	1,164
AT5G27043_1	1,032	1,124	1,271
AT5G27050_1	1,098	1,286	1,544
AT5G27060_1	0,901	1,738	4,395
AT5G27070_1	0,900	1,176	1,340
AT5G27080_1	0,989	1,127	1,157
AT5G27090_1	1,044	1,316	1,406
AT5G27090_2	0,985	1,193	1,232
AT5G27095_1	1,018	0,967	0,921
AT5G27100_1	0,966	0,653	0,864
AT5G27110_1	1,076	0,644	0,462
AT5G27120_1	1,068	1,552	1,062
AT5G27130_1	1,138	2,222	1,873
AT5G27140_1	1,281	1,670	1,097
AT5G27150_1	1,045	1,440	1,882
AT5G27160_1	1,168	1,725	1,804
AT5G27170_1	0,945	0,869	1,036
AT5G27180_1	1,123	1,179	1,162
AT5G27190_1	1,093	1,403	1,468
AT5G27200_1	1,100	1,097	1,195
AT5G27210_1	0,810	0,449	0,558
AT5G27220_1	0,620	0,397	0,373
AT5G27230_1	0,911	1,109	0,315
AT5G27238_1	0,966	1,036	0,975
AT5G27240_1	1,079	0,371	0,169
AT5G27250_1	1,075	0,257	0,188
AT5G27260_1	1,000	1,039	0,969
AT5G27270_1	1,031	0,584	0,454
AT5G27280_1	1,070	0,458	0,938
AT5G27290_1	0,793	0,231	0,022
AT5G27290_2	0,805	0,223	0,023
AT5G27300_1	0,994	0,516	0,265
AT5G27310_1	0,872	1,032	1,029
AT5G27320_1	0,994	0,388	0,616
AT5G27330_1	1,161	0,365	0,372
AT5G27340_1	1,474	1,593	1,664
AT5G27345_1	1,033	1,070	1,285
AT5G27350_1	1,106	1,503	3,124
AT5G27360_1	0,920	0,715	0,325

AGI	NaCl-Kontrolle zur H ₂ O-Kontrolle (log ₂)	H ₂ O +B.c. zur H ₂ O-Kontrolle (log ₂)	NaCl +B.c. zur H ₂ O-Kontrolle (log ₂)
AT5G27370_1	1,012	1,279	1,118
AT5G27380_1	0,945	1,660	1,492
AT5G27390_1	0,863	0,200	0,036
AT5G27395_1	1,072	1,181	1,300
AT5G27395_2	1,163	0,889	0,894
AT5G27400_1	0,874	0,699	0,365
AT5G27410_1	1,042	0,746	0,934
AT5G27420_1	0,704	11,840	13,933
AT5G27430_1	0,884	1,055	1,231
AT5G27440_1	1,106	1,003	0,955
AT5G27450_1	0,768	0,367	0,734
AT5G27450_2	0,838	0,691	0,844
AT5G27460_1	1,049	1,444	1,896
AT5G27470_1	0,945	0,862	0,897
AT5G27480_1	1,070	1,090	0,961
AT5G27490_1	1,046	0,807	0,710
AT5G27495_1	0,995	1,014	1,039
AT5G27500_1	1,335	1,419	1,189
AT5G27505_1	1,020	0,991	1,031
AT5G27510_1	1,082	1,026	1,057
AT5G27520_1	0,887	4,800	6,816
AT5G27530_1	1,075	1,158	1,316
AT5G27540_1	1,165	1,053	0,989
AT5G27550_1	0,849	0,503	0,327
AT5G27560_1	0,897	0,524	0,343
AT5G27570_1	1,155	0,908	0,851
AT5G27580_1	1,085	1,081	1,057
AT5G27590_1	1,021	1,084	1,415
AT5G27600_1	1,119	2,376	3,116
AT5G27603_1	1,030	1,113	1,047
AT5G27606_1	1,134	1,066	1,071
AT5G27610_1	0,883	2,195	3,797
AT5G27620_1	0,978	1,344	0,871
AT5G27630_1	1,413	1,072	1,323
AT5G27640_1	1,019	1,050	1,146
AT5G27650_1	0,997	0,757	1,068
AT5G27660_1	1,283	0,948	1,308
AT5G27670_1	0,977	0,537	0,837
AT5G27680_1	0,718	0,472	0,421
AT5G27690_1	0,987	0,630	0,868
AT5G27700_1	0,891	1,014	0,744
AT5G27705_1	1,015	1,133	1,244
AT5G27710_1	0,968	0,822	1,722
AT5G27720_1	0,858	0,778	0,942
AT5G27730_1	0,995	0,524	0,410
AT5G27740_1	0,860	0,542	0,412
AT5G27750_1	1,070	1,045	1,071
AT5G27760_1	0,923	5,359	6,402
AT5G27770_1	0,969	0,919	0,682
AT5G27771_1	0,895	0,593	0,468

AGI	NaCl-Kontrolle zur H₂O-Kontrolle (log₂)	H₂O +B.c. zur H₂O-Kontrolle (log₂)	NaCl +B.c. zur H₂O-Kontrolle (log₂)
AT5G27780_1	0,833	0,430	0,061
AT5G27790_1	1,131	1,256	1,496
AT5G27800_1	0,976	1,146	1,255
AT5G27807_1	1,450	1,319	1,392
AT5G27810_1	1,095	1,557	1,462
AT5G27820_1	0,931	0,286	0,259
AT5G27830_1	0,803	0,898	1,355
AT5G27830_3	0,886	0,850	1,249
AT5G27840_1	0,981	1,234	1,455
AT5G27840_2	0,806	0,376	1,011
AT5G27845_1	0,732	0,970	0,839
AT5G27850_1	0,975	0,936	0,710
AT5G27860_1	0,804	0,607	1,003
AT5G27860_2	0,927	0,788	1,068
AT5G27870_1	1,128	1,540	1,478
AT5G27880_1	0,993	1,108	0,951
AT5G27882_1	1,219	1,551	1,358
AT5G27885_1	1,302	1,577	1,165
AT5G27889_1	0,826	0,627	0,538
AT5G27890_1	1,003	0,612	0,510
AT5G27895_1	1,112	1,203	1,038
AT5G27900_1	0,963	1,216	0,909
AT5G27902_1	1,222	1,140	0,951
AT5G27905_1	1,047	1,454	1,558
AT5G27910_1	0,968	1,099	1,078
AT5G27920_1	0,621	0,517	0,848
AT5G27925_1	1,285	1,281	1,524
AT5G27927_1	1,242	1,508	1,489
AT5G27930_1	1,054	0,760	0,798
AT5G27930_2	1,063	0,691	0,916
AT5G27940_1	0,994	3,087	1,849
AT5G27944_1	0,969	1,210	1,089
AT5G27945_1	1,265	1,109	0,731
AT5G27947_1	0,966	1,041	1,089
AT5G27950_1	0,956	0,408	0,752
AT5G27960_1	1,226	1,463	2,051
AT5G27965_1	1,193	1,512	1,315
AT5G27967_1	1,157	1,281	1,250
AT5G27970_1	1,016	0,769	0,738
AT5G27980_1	0,938	1,109	1,731
AT5G27990_1	0,975	1,280	0,809
AT5G28000_1	1,039	1,080	1,091
AT5G28010_1	1,049	0,599	0,813
AT5G28020_1	0,642	0,532	0,213
AT5G28020_2	0,927	0,975	0,809
AT5G28020_3	0,901	0,978	0,783
AT5G28020_5	0,845	0,928	0,807
AT5G28020_6	0,968	0,995	0,807
AT5G28030_1	0,771	0,442	0,304
AT5G28030_2	0,742	0,402	0,244

AGI	NaCl-Kontrolle zur H₂O-Kontrolle (log₂)	H₂O +B.c. zur H₂O-Kontrolle (log₂)	NaCl +B.c. zur H₂O-Kontrolle (log₂)
AT5G28040_1	0,908	0,945	1,100
AT5G28050_1	0,856	0,941	2,736
AT5G28050_2	0,890	0,888	0,921
AT5G28052_1	0,977	1,161	1,089
AT5G28053_1	0,897	1,194	1,122
AT5G28056_1	0,953	0,983	0,959
AT5G28060_1	0,947	0,973	0,678
AT5G28065_1	1,034	1,103	1,042
AT5G28067_1	1,104	1,097	1,123
AT5G28070_1	1,104	1,403	1,558
AT5G28073_1	1,029	1,119	1,043
AT5G28076_1	0,918	0,956	1,095
AT5G28080_1	1,539	0,962	1,145
AT5G28085_1	0,960	1,185	1,086
AT5G28090_1	1,000	1,090	1,046
AT5G28100_1	1,223	1,497	1,315
AT5G28110_1	1,178	1,088	1,245
AT5G28120_1	1,249	1,019	0,961
AT5G28130_1	1,165	1,350	1,371
AT5G28140_1	1,141	1,586	1,642
AT5G28141_1	1,018	1,117	1,042
AT5G28143_1	0,944	1,025	0,961
AT5G28145_1	0,890	1,222	0,979
AT5G28150_1	0,933	1,009	0,776
AT5G28160_1	0,948	1,335	1,327
AT5G28165_1	0,985	1,318	1,067
AT5G28170_1	1,086	1,372	1,815
AT5G28173_1	0,876	0,922	0,806
AT5G28176_1	1,161	1,297	1,068
AT5G28180_1	0,974	1,354	1,175
AT5G28190_1	0,888	0,989	0,907
AT5G28200_1	0,972	1,426	1,739
AT5G28210_1	1,202	1,475	1,638
AT5G28220_1	0,939	0,914	1,418
AT5G28225_1	1,036	0,986	0,993
AT5G28230_1	0,892	1,176	1,252
AT5G28232_1	0,955	1,100	1,193
AT5G28235_1	1,208	2,984	12,952
AT5G28237_1	0,577	66,114	107,600
AT5G28240_1	0,928	0,889	0,881
AT5G28250_1	0,889	0,982	1,003
AT5G28253_1	1,167	1,492	1,567
AT5G28260_1	0,960	1,120	1,119
AT5G28262_1	1,054	0,770	0,743
AT5G28263_1	1,104	1,421	1,316
AT5G28266_1	1,161	1,309	1,071
AT5G28270_1	1,025	1,038	1,206
AT5G28280_1	1,246	1,112	1,138
AT5G28285_1	1,081	1,079	1,070
AT5G28287_1	1,034	1,663	1,566

AGI	NaCl-Kontrolle zur H₂O-Kontrolle (log₂)	H₂O +B.c. zur H₂O-Kontrolle (log₂)	NaCl +B.c. zur H₂O-Kontrolle (log₂)
AT5G28288_1	1,156	1,281	1,500
AT5G28290_1	1,041	0,147	0,043
AT5G28295_1	1,354	1,569	1,562
AT5G28300_1	1,009	0,750	0,970
AT5G28310_1	1,078	1,007	1,307
AT5G28320_1	1,130	0,753	0,834
AT5G28330_1	1,191	1,122	0,979
AT5G28335_1	1,095	1,218	1,415
AT5G28340_1	1,160	1,163	0,981
AT5G28350_1	1,085	0,985	1,255
AT5G28350_2	1,038	0,995	1,277
AT5G28360_1	1,150	1,091	0,840
AT5G28370_1	1,134	0,855	0,576
AT5G28380_1	1,196	1,290	1,094
AT5G28390_1	1,055	0,933	0,896
AT5G28400_1	1,190	0,668	0,383
AT5G28405_1	1,334	1,335	1,522
AT5G28410_1	1,072	0,969	1,112
AT5G28415_1	1,138	1,289	1,113
AT5G28420_1	1,117	1,021	0,922
AT5G28430_1	1,160	1,099	1,247
AT5G28440_1	1,174	1,176	1,198
AT5G28450_1	1,265	1,557	1,701
AT5G28463_1	0,804	0,728	0,757
AT5G28464_1	0,958	0,983	0,889
AT5G28465_1	1,162	1,381	1,538
AT5G28466_1	1,005	1,310	1,378
AT5G28468_1	0,876	1,076	1,008
AT5G28469_1	1,057	1,072	1,149
AT5G28470_1	0,939	1,093	1,039
AT5G28480_1	1,359	1,506	1,362
AT5G28482_1	1,064	1,342	1,336
AT5G28484_1	1,233	1,493	1,592
AT5G28487_1	1,054	0,989	0,846
AT5G28490_1	0,715	0,423	0,316
AT5G28491_1	1,065	1,156	1,214
AT5G28495_1	1,248	1,693	1,322
AT5G28497_1	1,043	1,042	1,036
AT5G28500_1	0,976	0,461	0,164
AT5G28510_1	1,374	10,356	7,792
AT5G28515_1	1,529	1,480	1,339
AT5G28520_1	1,015	1,083	1,010
AT5G28523_1	1,037	1,072	1,063
AT5G28524_1	1,153	1,133	1,072
AT5G28525_1	1,213	1,196	0,949
AT5G28526_1	1,274	1,421	1,631
AT5G28527_1	1,009	1,173	1,196
AT5G28530_1	1,070	0,628	0,959
AT5G28535_1	0,972	0,982	0,911
AT5G28540_1	1,070	1,354	1,340

AGI	NaCl-Kontrolle zur H₂O-Kontrolle (log₂)	H₂O +B.c. zur H₂O-Kontrolle (log₂)	NaCl +B.c. zur H₂O-Kontrolle (log₂)
AT5G28545_1	1,126	1,538	1,573
AT5G28550_1	1,039	1,064	1,098
AT5G28560_1	1,257	1,209	1,342
AT5G28570_1	0,881	1,038	1,014
AT5G28580_2	1,029	1,598	1,370
AT5G28590_1	1,107	1,159	0,958
AT5G28593_1	1,283	1,493	1,457
AT5G28596_1	1,133	1,246	1,116
AT5G28600_1	1,104	1,185	1,153
AT5G28605_1	1,026	1,088	1,084
AT5G28610_1	1,073	2,504	1,520
AT5G28615_1	1,035	1,224	1,134
AT5G28620_1	1,039	0,993	0,985
AT5G28622_1	0,981	1,178	1,139
AT5G28623_1	1,328	1,448	1,471
AT5G28624_1	1,246	1,196	1,051
AT5G28625_1	1,226	1,439	1,365
AT5G28626_1	0,727	0,681	0,476
AT5G28627_1	1,088	1,192	0,954
AT5G28630_1	0,439	1,145	0,473
AT5G28635_1	1,068	1,079	0,950
AT5G28637_1	1,434	1,399	1,121
AT5G28640_1	0,908	0,795	0,802
AT5G28641_1	1,045	1,079	1,040
AT5G28642_1	1,120	1,191	1,337
AT5G28643_1	1,114	1,157	0,989
AT5G28644_1	1,152	1,217	1,282
AT5G28646_1	1,115	1,240	1,425
AT5G28646_2	1,006	52,933	47,230
AT5G28650_1	0,945	0,996	0,908
AT5G28660_1	1,036	2,021	1,092
AT5G28662_1	0,939	1,032	0,986
AT5G28664_1	1,047	1,163	1,162
AT5G28667_1	0,987	1,047	0,978
AT5G28670_1	0,966	1,080	0,968
AT5G28671_1	1,037	1,046	1,060
AT5G28672_1	1,048	1,165	1,059
AT5G28673_1	0,926	0,972	0,915
AT5G28675_1	0,826	1,407	1,288
AT5G28680_1	0,940	1,130	1,225
AT5G28690_1	1,004	1,315	1,182
AT5G28692_1	1,399	1,457	1,558
AT5G28696_1	1,207	1,278	1,054
AT5G28698_1	0,998	1,049	0,996
AT5G28700_1	1,234	1,350	1,247
AT5G28710_1	1,093	1,273	1,216
AT5G28712_1	0,939	1,022	0,953
AT5G28715_1	1,245	1,364	1,290
AT5G28720_1	1,125	1,274	1,421
AT5G28730_1	1,070	1,134	1,100

AGI	NaCl-Kontrolle zur H₂O-Kontrolle (log₂)	H₂O +B.c. zur H₂O-Kontrolle (log₂)	NaCl +B.c. zur H₂O-Kontrolle (log₂)
AT5G28740_1	1,077	1,554	1,157
AT5G28750_1	0,947	0,606	0,586
AT5G28760_1	1,381	1,696	1,642
AT5G28765_1	1,007	1,187	0,776
AT5G28770_1	0,451	0,419	0,459
AT5G28770_2	0,454	0,434	0,463
AT5G28770_3	0,401	0,314	0,328
AT5G28773_1	0,996	1,412	1,364
AT5G28776_1	1,116	1,245	1,164
AT5G28780_1	1,198	1,242	1,262
AT5G28781_1	1,406	2,759	4,123
AT5G28785_1	0,941	1,502	1,631
AT5G28790_1	1,179	1,232	1,291
AT5G28800_1	1,339	2,402	5,012
AT5G28810_1	1,132	2,970	9,662
AT5G28820_1	0,912	0,958	0,901
AT5G28821_1	1,502	1,905	3,472
AT5G28823_1	1,135	1,280	1,458
AT5G28824_1	1,214	1,298	1,207
AT5G28826_1	0,995	1,103	0,844
AT5G28830_1	0,793	1,387	2,436
AT5G28840_1	1,015	1,162	0,948
AT5G28845_1	1,163	1,574	1,631
AT5G28850_1	0,992	0,839	0,855
AT5G28860_1	1,210	1,310	1,350
AT5G28865_1	0,984	1,241	1,068
AT5G28870_1	0,922	1,105	1,162
AT5G28880_1	0,934	0,967	0,946
AT5G28885_1	1,012	1,023	1,053
AT5G28886_1	1,110	1,191	1,291
AT5G28888_1	1,025	0,957	0,854
AT5G28890_1	0,948	1,042	1,145
AT5G28892_1	0,887	0,964	0,901
AT5G28894_2	1,071	1,156	0,975
AT5G28897_1	0,993	0,969	0,828
AT5G28900_1	0,907	0,724	0,695
AT5G28910_1	1,499	0,130	0,068
AT5G28910_2	1,484	0,116	0,058
AT5G28913_1	0,823	0,348	0,138
AT5G28916_1	1,087	1,092	1,133
AT5G28917_1	1,202	1,219	1,249
AT5G28919_1	0,908	0,831	0,637
AT5G28920_1	1,036	1,079	1,094
AT5G28923_1	1,256	1,516	1,676
AT5G28926_1	1,077	1,169	1,277
AT5G28927_1	1,101	1,092	1,206
AT5G28928_1	1,725	1,782	1,633
AT5G28929_1	0,995	0,960	0,972
AT5G28930_1	1,312	1,598	1,834
AT5G28931_1	1,030	1,044	1,188

AGI	NaCl-Kontrolle zur H₂O-Kontrolle (log₂)	H₂O +B.c. zur H₂O-Kontrolle (log₂)	NaCl +B.c. zur H₂O-Kontrolle (log₂)
AT5G28935_1	1,077	0,969	0,932
AT5G28937_1	0,980	1,015	1,002
AT5G28940_1	1,113	1,043	1,095
AT5G28950_1	1,113	1,057	1,048
AT5G28960_1	1,686	0,378	0,219
AT5G28970_1	1,072	0,982	0,960
AT5G28980_1	1,126	1,332	1,285
AT5G28990_1	0,915	1,129	1,331
AT5G28993_1	1,106	1,265	1,252
AT5G28996_1	1,602	1,152	0,727
AT5G29000_1	1,028	2,645	4,659
AT5G29000_2	1,225	2,362	3,611
AT5G29000_3	1,044	1,233	1,563
AT5G29000_4	1,148	0,977	1,120
AT5G29015_1	1,032	0,966	1,012
AT5G29020_1	1,251	1,166	1,363
AT5G29022_1	1,323	1,536	1,546
AT5G29024_1	1,118	1,211	1,231
AT5G29026_1	1,150	1,214	1,440
AT5G29028_1	1,186	1,229	1,033
AT5G29029_1	1,058	1,082	1,203
AT5G29030_1	1,338	1,178	1,200
AT5G29031_1	0,944	1,038	0,920
AT5G29032_1	1,369	1,360	1,400
AT5G29033_1	1,398	1,572	1,432
AT5G29034_1	1,419	1,949	2,375
AT5G29035_1	1,432	1,481	1,184
AT5G29036_1	1,259	1,882	1,845
AT5G29037_1	1,413	1,493	1,563
AT5G29040_1	1,252	1,210	1,110
AT5G29041_1	1,430	1,510	1,532
AT5G29043_1	1,262	1,349	1,323
AT5G29044_1	1,395	1,623	1,721
AT5G29046_1	1,573	1,743	1,448
AT5G29050_1	1,513	1,393	1,349
AT5G29053_1	1,193	1,383	1,260
AT5G29056_1	1,011	1,048	0,942
AT5G29058_1	1,292	1,382	1,350
AT5G29060_2	1,261	0,988	0,992
AT5G29070_1	1,011	1,246	1,321
AT5G29075_1	1,238	1,431	1,427
AT5G29090_1	1,340	1,387	1,421
AT5G29100_1	0,968	1,066	0,886
AT5G29210_1	1,223	1,549	1,634
AT5G29231_1	1,189	1,251	1,444
AT5G29295_1	1,197	1,388	1,294
AT5G29337_1	1,325	1,449	1,417
AT5G29380_1	1,318	1,487	1,136
AT5G29408_1	1,133	1,328	1,238
AT5G29436_1	1,124	1,432	1,051

AGI	NaCl-Kontrolle zur H₂O-Kontrolle (log₂)	H₂O +B.c. zur H₂O-Kontrolle (log₂)	NaCl +B.c. zur H₂O-Kontrolle (log₂)
AT5G29465_1	1,253	1,452	1,341
AT5G29550_1	1,262	1,444	1,331
AT5G29560_1	1,129	1,108	1,018
AT5G29562_1	1,306	1,568	1,712
AT5G29565_1	1,201	1,334	1,152
AT5G29568_1	1,187	1,486	1,520
AT5G29571_1	1,277	1,471	1,539
AT5G29574_1	0,865	0,817	0,773
AT5G29577_1	1,062	1,201	1,195
AT5G29580_1	1,008	1,162	1,101
AT5G29591_1	1,095	1,107	0,973
AT5G29602_1	1,085	1,194	1,402
AT5G29613_1	1,074	1,095	1,154
AT5G29624_1	1,008	1,216	1,165
AT5G29629_1	0,973	1,164	1,012
AT5G29635_1	0,988	1,044	1,053
AT5G29646_1	1,025	1,009	1,044
AT5G29708_1	0,986	1,085	1,073
AT5G29720_1	1,145	1,275	1,233
AT5G29762_1	1,215	1,330	0,939
AT5G29805_1	1,204	1,349	0,841
AT5G29807_1	1,138	1,336	1,291
AT5G29890_2	1,219	1,253	1,005
AT5G29975_1	1,349	1,427	1,369
AT5G30060_1	1,253	1,440	1,241
AT5G30102_1	1,243	1,447	1,502
AT5G30123_1	1,282	1,467	1,220
AT5G30189_1	1,444	1,656	1,673
AT5G30207_1	1,233	1,352	1,249
AT5G30218_1	1,378	1,279	1,152
AT5G30247_1	1,128	1,033	1,060
AT5G30269_1	0,967	1,314	1,325
AT5G30276_1	1,399	1,613	1,311
AT5G30341_1	1,352	1,536	1,280
AT5G30380_1	1,080	1,273	1,420
AT5G30390_1	1,099	1,030	0,965
AT5G30400_1	1,041	0,958	0,860
AT5G30406_1	1,485	1,531	1,437
AT5G30410_1	1,372	1,614	1,693
AT5G30420_1	1,214	1,274	1,501
AT5G30428_1	1,345	1,131	0,956
AT5G30440_1	1,000	0,980	1,212
AT5G30450_1	1,116	1,149	1,059
AT5G30460_1	1,264	1,610	2,049
AT5G30470_1	1,278	1,569	1,579
AT5G30480_1	1,142	1,298	1,196
AT5G30490_1	0,920	1,214	1,767
AT5G30490_2	0,886	1,226	1,680
AT5G30495_1	0,986	0,704	0,816
AT5G30495_2	0,901	0,573	0,842

AGI	NaCl-Kontrolle zur H₂O-Kontrolle (log₂)	H₂O +B.c. zur H₂O-Kontrolle (log₂)	NaCl +B.c. zur H₂O-Kontrolle (log₂)
AT5G30500_1	1,171	1,537	3,644
AT5G30510_1	0,991	0,547	0,386
AT5G30520_1	0,976	0,963	0,859
AT5G30532_1	1,048	1,352	1,144
AT5G30545_1	1,004	1,290	1,368
AT5G30584_1	1,326	1,414	1,364
AT5G30628_1	1,302	1,609	1,357
AT5G30648_1	1,092	1,100	1,090
AT5G30673_1	1,343	1,585	1,340
AT5G30721_1	1,097	1,161	1,135
AT5G30762_1	1,420	1,497	1,297
AT5G30852_1	1,262	1,424	0,974
AT5G30870_1	1,464	1,761	1,708
AT5G30942_1	1,254	1,677	1,736
AT5G31032_1	1,206	1,369	1,245
AT5G31087_1	1,321	1,588	1,484
AT5G31092_1	1,364	1,301	1,121
AT5G31122_1	1,052	1,201	1,591
AT5G31212_1	1,144	1,157	1,090
AT5G31302_1	1,156	1,412	1,266
AT5G31314_1	1,358	1,496	1,522
AT5G31355_1	1,094	1,307	1,215
AT5G31412_1	0,955	1,070	1,016
AT5G31496_1	1,135	1,316	1,018
AT5G31511_1	1,180	1,124	0,974
AT5G31536_1	1,090	1,071	1,117
AT5G31572_1	1,375	1,504	1,319
AT5G31637_1	1,218	1,587	1,611
AT5G31651_1	1,133	1,600	1,374
AT5G31662_1	1,206	1,443	1,468
AT5G31668_1	1,159	1,500	1,371
AT5G31685_1	1,009	1,322	1,255
AT5G31702_1	1,281	1,387	1,088
AT5G31719_1	1,306	1,462	1,448
AT5G31736_1	1,361	1,527	1,474
AT5G31752_1	1,188	1,471	1,398
AT5G31753_1	1,352	1,627	1,425
AT5G31758_1	1,320	1,658	1,780
AT5G31770_1	1,265	1,362	1,159
AT5G31778_1	1,138	1,257	1,240
AT5G31787_1	1,234	1,328	1,232
AT5G31804_1	1,316	1,514	1,577
AT5G31807_1	1,080	1,274	1,483
AT5G31821_1	0,983	0,833	0,720
AT5G31838_1	1,241	1,411	1,300
AT5G31842_1	1,077	1,166	0,887
AT5G31845_1	1,479	1,643	1,407
AT5G31855_1	1,309	1,511	1,441
AT5G31873_1	1,219	0,658	0,615
AT5G31884_1	1,189	1,256	0,936

AGI	NaCl-Kontrolle zur H₂O-Kontrolle (log₂)	H₂O +B.c. zur H₂O-Kontrolle (log₂)	NaCl +B.c. zur H₂O-Kontrolle (log₂)
AT5G31891_1	1,351	1,731	1,488
AT5G31905_1	1,013	1,264	0,974
AT5G31909_1	1,031	0,498	0,260
AT5G31919_1	1,138	0,754	0,674
AT5G31923_1	1,225	1,405	1,468
AT5G31927_1	1,388	1,374	1,406
AT5G31932_1	0,930	1,232	1,294
AT5G31945_1	1,219	1,397	1,186
AT5G31962_1	1,048	1,105	0,970
AT5G31963_1	1,299	1,461	1,516
AT5G31980_1	1,401	1,568	1,431
AT5G31981_1	1,250	1,439	1,263
AT5G31989_1	1,427	1,696	1,697
AT5G31999_1	1,274	1,355	1,201
AT5G32002_1	1,118	1,132	1,001
AT5G32022_1	1,079	1,169	1,184
AT5G32035_1	1,259	1,445	1,272
AT5G32037_1	0,975	1,138	1,311
AT5G32042_1	1,384	1,328	1,090
AT5G32053_1	1,366	1,566	1,430
AT5G32060_1	1,165	1,402	0,931
AT5G32070_1	1,008	1,087	0,900
AT5G32071_1	1,332	1,372	1,340
AT5G32072_1	1,083	1,172	1,657
AT5G32082_1	1,141	1,226	1,339
AT5G32089_1	1,276	1,528	1,368
AT5G32103_1	1,008	1,113	0,914
AT5G32107_1	1,353	1,408	1,407
AT5G32112_1	1,087	0,993	0,996
AT5G32122_1	1,591	1,664	1,276
AT5G32125_1	1,310	1,403	1,362
AT5G32136_1	0,924	1,012	0,905
AT5G32143_1	1,235	1,354	1,238
AT5G32161_1	1,142	1,266	1,121
AT5G32162_1	0,908	0,874	0,830
AT5G32169_1	1,353	1,497	1,310
AT5G32179_1	1,277	1,437	1,353
AT5G32197_1	1,398	1,504	1,440
AT5G32215_1	1,281	1,460	1,466
AT5G32228_1	1,245	1,439	1,267
AT5G32241_1	1,449	1,527	1,415
AT5G32254_1	1,268	1,604	1,503
AT5G32267_1	1,562	1,574	1,517
AT5G32280_1	1,355	1,390	1,337
AT5G32293_1	1,246	1,502	1,409
AT5G32306_1	1,338	1,457	1,425
AT5G32312_1	1,322	1,330	1,207
AT5G32345_1	1,349	1,506	1,500
AT5G32358_1	1,176	1,275	1,123
AT5G32386_1	1,254	0,969	0,717

AGI	NaCl-Kontrolle zur H₂O-Kontrolle (log₂)	H₂O +B.c. zur H₂O-Kontrolle (log₂)	NaCl +B.c. zur H₂O-Kontrolle (log₂)
AT5G32400_2	1,306	1,462	1,375
AT5G32402_1	1,368	1,479	1,487
AT5G32404_1	1,571	1,691	1,700
AT5G32405_1	1,252	1,408	1,178
AT5G32406_1	1,370	1,445	1,486
AT5G32408_1	1,313	1,401	1,284
AT5G32410_2	1,301	1,538	1,750
AT5G32420_2	1,243	1,371	1,242
AT5G32423_1	1,399	1,501	1,554
AT5G32426_1	1,304	1,405	1,470
AT5G32430_2	1,299	1,329	1,196
AT5G32431_1	1,139	1,204	1,083
AT5G32433_1	1,051	1,236	1,028
AT5G32434_1	1,334	1,626	1,423
AT5G32436_1	1,421	1,456	1,231
AT5G32440_1	0,941	1,022	1,098
AT5G32440_2	0,959	1,098	1,189
AT5G32450_1	0,852	0,923	0,578
AT5G32460_1	1,089	1,170	1,343
AT5G32470_1	0,977	0,664	0,759
AT5G32471_1	1,150	1,274	1,421
AT5G32473_1	1,252	1,318	1,193
AT5G32475_1	1,248	1,407	1,327
AT5G32481_1	1,319	1,523	1,439
AT5G32482_1	1,057	1,331	1,480
AT5G32483_1	1,241	1,447	1,287
AT5G32484_1	1,005	1,329	1,418
AT5G32485_1	1,249	1,541	1,405
AT5G32486_1	1,200	1,376	1,198
AT5G32487_1	1,128	1,367	1,403
AT5G32488_1	1,296	1,380	1,330
AT5G32489_1	1,307	1,586	1,521
AT5G32490_1	1,218	1,431	1,303
AT5G32495_1	1,512	1,592	1,575
AT5G32505_1	1,315	1,420	1,412
AT5G32510_2	1,022	1,450	1,346
AT5G32511_1	1,317	1,421	1,334
AT5G32512_1	1,339	1,454	1,396
AT5G32513_1	1,155	1,255	0,936
AT5G32514_1	1,245	1,305	1,312
AT5G32515_1	1,268	1,336	1,197
AT5G32516_1	1,284	1,590	1,389
AT5G32517_1	1,108	1,310	1,144
AT5G32518_1	1,295	1,574	1,420
AT5G32519_1	0,960	1,397	1,346
AT5G32520_1	0,992	1,035	1,201
AT5G32521_1	1,178	1,344	1,391
AT5G32522_1	0,865	0,827	0,831
AT5G32525_1	1,151	1,396	1,458
AT5G32540_1	1,167	1,002	0,816

AGI	NaCl-Kontrolle zur H₂O-Kontrolle (log₂)	H₂O +B.c. zur H₂O-Kontrolle (log₂)	NaCl +B.c. zur H₂O-Kontrolle (log₂)
AT5G32563_1	1,078	1,091	1,193
AT5G32566_1	1,223	1,111	1,208
AT5G32569_1	1,282	1,283	1,572
AT5G32572_1	1,269	1,383	1,387
AT5G32576_1	1,336	1,614	1,608
AT5G32580_1	1,137	1,328	1,231
AT5G32590_1	1,256	1,408	1,632
AT5G32591_1	1,409	1,535	1,350
AT5G32592_1	1,335	1,478	1,445
AT5G32593_1	0,938	1,250	1,195
AT5G32594_1	1,145	1,123	1,014
AT5G32595_1	1,278	1,145	0,947
AT5G32596_1	0,985	1,043	1,117
AT5G32597_1	0,967	0,585	0,425
AT5G32598_1	1,040	1,343	1,467
AT5G32600_1	1,140	1,245	0,950
AT5G32605_1	1,145	1,220	1,133
AT5G32610_1	1,385	1,595	1,463
AT5G32613_1	1,075	1,738	1,651
AT5G32616_1	0,935	1,020	0,910
AT5G32619_1	0,987	1,002	0,975
AT5G32620_1	1,030	0,983	0,860
AT5G32621_1	0,997	1,140	1,056
AT5G32622_1	1,367	1,564	1,423
AT5G32623_1	1,477	1,528	1,197
AT5G32624_1	1,496	1,557	1,383
AT5G32625_1	1,115	1,104	1,125
AT5G32626_1	1,763	1,712	1,664
AT5G32627_1	1,389	1,185	1,264
AT5G32628_1	1,301	1,443	1,252
AT5G32630_1	0,861	0,878	0,667
AT5G32654_1	1,290	1,451	1,442
AT5G32678_1	1,282	1,294	1,320
AT5G32690_1	1,015	0,991	1,000
AT5G32702_1	1,073	1,209	1,189
AT5G32726_1	1,379	1,437	1,415
AT5G32750_1	1,305	1,438	1,419
AT5G32775_1	1,128	1,372	1,194
AT5G32800_1	1,272	1,481	1,416
AT5G32825_1	1,072	1,069	0,937
AT5G32850_1	1,276	1,327	1,055
AT5G32875_1	1,002	1,192	0,934
AT5G32900_1	1,168	0,999	1,154
AT5G32925_1	1,158	1,097	1,030
AT5G32950_1	1,107	1,427	1,464
AT5G32975_1	1,140	1,118	1,068
AT5G33000_1	1,293	1,375	1,227
AT5G33025_1	1,470	1,524	1,220
AT5G33050_1	1,286	1,627	1,444
AT5G33070_1	1,006	1,099	1,108

AGI	NaCl-Kontrolle zur H₂O-Kontrolle (log₂)	H₂O +B.c. zur H₂O-Kontrolle (log₂)	NaCl +B.c. zur H₂O-Kontrolle (log₂)
AT5G33075_1	1,064	1,248	1,315
AT5G33100_1	1,264	1,395	1,248
AT5G33125_1	1,351	1,681	1,396
AT5G33150_1	1,289	1,422	1,274
AT5G33175_1	1,009	0,998	0,955
AT5G33200_1	0,969	0,970	0,916
AT5G33202_1	1,104	1,212	0,972
AT5G33204_1	1,117	1,304	1,014
AT5G33207_1	1,023	1,013	1,061
AT5G33210_1	1,019	0,908	0,887
AT5G33220_1	1,296	1,500	1,625
AT5G33223_1	1,317	1,411	1,375
AT5G33226_1	1,403	1,443	1,336
AT5G33230_1	1,178	1,382	1,419
AT5G33232_1	1,198	1,346	1,261
AT5G33234_1	0,961	0,916	1,083
AT5G33237_1	1,182	1,379	1,340
AT5G33240_1	1,021	1,048	1,001
AT5G33250_1	1,150	1,456	1,809
AT5G33251_1	1,086	1,235	1,213
AT5G33252_1	1,212	1,382	1,149
AT5G33253_1	1,049	0,987	0,953
AT5G33254_1	1,241	1,441	1,298
AT5G33255_1	1,372	1,471	1,537
AT5G33256_1	1,368	1,481	1,396
AT5G33257_1	1,344	1,521	1,458
AT5G33258_1	1,080	1,037	0,941
AT5G33259_1	1,017	1,114	1,179
AT5G33260_1	1,045	1,374	1,280
AT5G33270_1	1,071	1,110	1,083
AT5G33280_1	1,135	0,616	0,462
AT5G33285_1	1,025	1,020	1,043
AT5G33290_1	0,894	3,631	6,268
AT5G33300_1	0,655	0,299	0,245
AT5G33303_1	1,171	1,764	1,921
AT5G33306_1	1,284	1,439	1,315
AT5G33310_1	1,421	1,402	1,395
AT5G33315_1	1,089	1,190	1,134
AT5G33320_1	1,040	1,102	0,838
AT5G33330_1	0,876	1,195	1,127
AT5G33340_1	1,227	1,510	2,111
AT5G33350_1	0,801	1,054	0,808
AT5G33355_1	1,269	54,566	106,704
AT5G33360_1	1,211	1,508	1,434
AT5G33365_1	1,084	1,023	1,689
AT5G33370_1	0,891	0,652	0,541
AT5G33370_2	1,066	0,966	0,934
AT5G33380_1	0,992	1,321	1,518
AT5G33381_1	1,491	1,141	1,119
AT5G33382_1	1,022	1,209	1,339

AGI	NaCl-Kontrolle zur H₂O-Kontrolle (log₂)	H₂O +B.c. zur H₂O-Kontrolle (log₂)	NaCl +B.c. zur H₂O-Kontrolle (log₂)
AT5G33383_1	1,320	1,559	1,380
AT5G33384_1	1,325	1,597	0,993
AT5G33385_1	1,304	1,416	1,414
AT5G33386_1	1,238	1,587	1,350
AT5G33387_1	1,435	1,619	1,382
AT5G33388_1	1,337	1,494	1,433
AT5G33389_1	1,365	1,624	1,423
AT5G33390_1	1,782	2,295	2,801
AT5G33391_1	1,291	1,380	1,223
AT5G33392_1	0,988	1,340	1,123
AT5G33393_1	1,069	1,298	1,296
AT5G33395_1	1,183	0,984	0,613
AT5G33398_1	0,898	1,075	1,087
AT5G33400_1	1,254	0,917	0,624
AT5G33402_1	1,204	1,217	1,069
AT5G33404_1	0,977	0,985	0,976
AT5G33405_1	0,990	1,105	1,101
AT5G33406_1	1,212	1,210	1,229
AT5G33410_1	1,021	1,108	1,302
AT5G33415_1	0,940	1,063	0,964
AT5G33420_1	0,972	1,056	1,090
AT5G33422_1	1,194	1,337	1,179
AT5G33424_1	1,341	1,731	1,643
AT5G33427_1	1,337	1,481	1,438
AT5G33428_1	1,041	1,064	1,060
AT5G33431_1	1,304	1,400	1,288
AT5G33432_1	1,115	1,118	1,261
AT5G33433_1	1,094	1,290	1,122
AT5G33434_1	1,218	1,358	1,245
AT5G33436_1	0,989	1,151	1,166
AT5G33438_1	1,033	1,344	1,052
AT5G33439_1	1,118	1,379	1,498
AT5G33441_1	0,968	1,024	0,910
AT5G33442_1	1,241	1,463	1,677
AT5G33533_1	1,122	1,472	1,430
AT5G33624_1	1,152	1,342	1,375
AT5G33715_1	1,449	1,389	1,706
AT5G33806_1	1,065	1,121	0,966
AT5G33898_1	1,367	1,533	1,728
AT5G33990_1	1,242	1,216	1,085
AT5G34082_1	1,133	1,316	1,008
AT5G34174_1	1,233	1,335	1,466
AT5G34266_1	1,064	1,090	0,846
AT5G34358_1	1,366	1,682	1,805
AT5G34376_1	1,175	1,323	1,078
AT5G34412_1	1,135	1,168	1,287
AT5G34431_1	1,245	1,287	0,919
AT5G34450_1	1,115	1,081	1,039
AT5G34460_1	0,925	0,993	0,919
AT5G34480_1	1,122	1,584	1,716

AGI	NaCl-Kontrolle zur H₂O-Kontrolle (log₂)	H₂O +B.c. zur H₂O-Kontrolle (log₂)	NaCl +B.c. zur H₂O-Kontrolle (log₂)
AT5G34500_1	0,966	1,042	0,854
AT5G34520_1	1,003	1,021	0,976
AT5G34540_1	0,983	1,015	0,959
AT5G34560_1	1,039	0,858	0,855
AT5G34581_1	1,322	1,748	1,666
AT5G34602_1	1,511	1,822	2,029
AT5G34623_1	1,198	1,272	1,064
AT5G34644_1	1,372	1,565	1,191
AT5G34665_1	1,294	1,514	1,473
AT5G34686_1	1,190	1,424	1,399
AT5G34696_1	1,113	1,308	1,418
AT5G34707_1	1,346	1,447	1,338
AT5G34728_1	0,948	1,331	1,484
AT5G34749_1	1,335	1,653	1,434
AT5G34770_1	1,017	1,049	1,030
AT5G34780_1	1,652	1,452	1,797
AT5G34790_1	1,132	1,170	0,970
AT5G34795_1	1,265	1,153	1,199
AT5G34800_1	1,136	0,937	0,824
AT5G34810_1	1,271	1,402	1,663
AT5G34820_1	1,176	1,141	1,060
AT5G34825_1	1,194	1,272	1,108
AT5G34828_1	1,032	1,018	1,059
AT5G34829_1	1,272	1,665	2,063
AT5G34830_1	0,971	1,033	0,969
AT5G34831_1	0,938	1,275	1,028
AT5G34832_1	1,313	1,585	1,648
AT5G34833_1	1,076	1,245	1,032
AT5G34834_1	1,217	1,558	1,629
AT5G34835_1	1,307	1,370	1,184
AT5G34836_1	1,518	1,547	1,544
AT5G34837_1	1,053	1,205	1,421
AT5G34838_1	1,062	1,021	1,002
AT5G34839_1	1,508	1,904	1,558
AT5G34840_1	0,952	1,012	1,008
AT5G34841_1	1,056	1,254	0,999
AT5G34842_1	1,403	1,543	1,130
AT5G34843_1	1,466	1,621	1,437
AT5G34844_1	1,328	1,357	0,755
AT5G34845_1	1,467	1,657	1,572
AT5G34846_1	1,239	1,564	1,132
AT5G34847_1	1,251	1,515	1,291
AT5G34848_1	1,220	2,306	2,989
AT5G34849_1	1,205	1,580	1,346
AT5G34850_1	0,988	1,048	1,337
AT5G34851_1	1,021	1,231	1,353
AT5G34852_1	1,131	1,107	1,212
AT5G34853_1	1,052	1,056	1,355
AT5G34854_1	1,036	1,126	1,128
AT5G34855_1	1,312	1,606	1,585

AGI	NaCl-Kontrolle zur H₂O-Kontrolle (log₂)	H₂O +B.c. zur H₂O-Kontrolle (log₂)	NaCl +B.c. zur H₂O-Kontrolle (log₂)
AT5G34856_1	1,207	1,278	0,940
AT5G34857_1	1,041	1,073	1,005
AT5G34858_1	1,023	1,403	1,190
AT5G34859_1	1,262	1,423	1,474
AT5G34860_1	1,300	1,286	1,199
AT5G34861_1	0,990	1,234	1,214
AT5G34862_1	1,188	1,377	1,455
AT5G34863_1	1,198	1,279	1,186
AT5G34864_1	1,310	1,644	1,451
AT5G34865_1	1,104	1,371	1,365
AT5G34866_1	0,881	1,102	1,001
AT5G34867_1	1,048	1,130	0,802
AT5G34868_1	1,011	0,979	1,006
AT5G34869_1	0,967	1,324	1,176
AT5G34870_1	0,833	1,211	1,112
AT5G34871_1	1,153	1,512	1,633
AT5G34880_1	1,070	1,331	1,467
AT5G34881_1	1,151	1,117	1,100
AT5G34882_1	0,941	0,876	0,716
AT5G34883_1	0,969	1,103	1,172
AT5G34885_1	0,941	1,047	0,895
AT5G34887_1	0,874	0,915	1,000
AT5G34890_1	1,084	1,195	1,409
AT5G34895_1	1,134	1,148	1,229
AT5G34900_1	1,069	1,052	0,976
AT5G34903_1	1,071	1,056	1,054
AT5G34905_1	0,951	1,072	1,089
AT5G34908_1	1,027	0,978	0,983
AT5G34910_1	1,073	1,173	0,908
AT5G34920_1	1,159	1,057	1,128
AT5G34925_1	1,098	1,295	1,404
AT5G34930_1	0,951	3,706	5,000
AT5G34940_1	0,824	2,458	13,159
AT5G34940_3	1,051	1,241	2,545
AT5G34945_1	1,088	1,058	1,052
AT5G34950_1	0,871	0,996	0,822
AT5G34960_1	1,050	1,174	1,024
AT5G34965_1	1,194	1,391	1,571
AT5G34970_1	1,418	1,475	1,324
AT5G34980_1	1,302	1,346	1,267
AT5G34985_1	1,353	1,497	1,535
AT5G34990_1	1,282	1,373	1,394
AT5G35000_1	1,310	1,410	1,675
AT5G35010_1	1,336	1,508	1,675
AT5G35020_1	1,305	1,433	1,570
AT5G35021_1	1,394	1,666	1,833
AT5G35023_1	1,310	1,400	1,539
AT5G35025_1	1,308	1,531	1,498
AT5G35030_1	1,112	1,400	1,341
AT5G35035_1	1,176	1,479	1,488

AGI	NaCl-Kontrolle zur H₂O-Kontrolle (log₂)	H₂O +B.c. zur H₂O-Kontrolle (log₂)	NaCl +B.c. zur H₂O-Kontrolle (log₂)
AT5G35040_1	1,276	1,165	1,075
AT5G35045_1	1,205	1,326	1,533
AT5G35046_1	1,288	1,375	1,215
AT5G35048_1	1,330	1,588	1,501
AT5G35050_1	1,127	1,278	1,105
AT5G35052_1	1,080	1,132	0,930
AT5G35057_1	1,482	1,658	1,528
AT5G35061_1	1,325	1,488	1,414
AT5G35065_1	1,158	1,109	1,176
AT5G35066_1	1,181	1,296	1,286
AT5G35069_1	0,959	1,096	1,224
AT5G35070_2	0,987	1,244	1,422
AT5G35073_1	0,845	0,904	0,885
AT5G35076_1	0,929	0,972	0,878
AT5G35080_1	0,892	0,857	1,335
AT5G35090_1	1,130	1,660	1,942
AT5G35100_1	0,899	0,620	0,536
AT5G35100_2	0,846	0,586	0,510
AT5G35110_1	1,009	1,842	3,787
AT5G35111_1	1,015	1,218	1,245
AT5G35113_1	1,230	1,431	1,519
AT5G35116_1	1,089	1,284	1,359
AT5G35118_1	0,979	1,037	1,035
AT5G35120_1	0,849	0,982	0,916
AT5G35130_1	1,035	0,980	0,929
AT5G35140_1	1,091	1,469	1,282
AT5G35142_1	1,342	1,471	1,052
AT5G35145_1	1,430	1,416	1,274
AT5G35146_1	1,200	1,270	1,191
AT5G35148_1	1,505	1,445	1,155
AT5G35150_1	1,320	1,664	1,906
AT5G35160_1	0,971	1,008	0,856
AT5G35170_1	0,982	0,563	0,447
AT5G35170_2	0,962	0,680	0,554
AT5G35180_1	0,958	0,805	1,045
AT5G35180_2	0,622	1,087	1,951
AT5G35180_3	1,055	0,794	1,050
AT5G35180_4	1,059	0,973	1,205
AT5G35190_1	1,162	1,394	1,602
AT5G35195_1	0,969	1,010	0,989
AT5G35200_1	0,886	1,311	1,609
AT5G35205_1	1,006	1,136	1,147
AT5G35207_1	0,984	1,035	0,945
AT5G35210_1	0,991	0,988	1,033
AT5G35210_2	0,915	0,969	1,312
AT5G35220_1	1,051	0,506	0,195
AT5G35230_1	1,214	1,152	1,214
AT5G35240_1	1,006	1,088	1,006
AT5G35250_1	1,053	0,945	0,957
AT5G35260_1	1,009	1,137	1,086

AGI	NaCl-Kontrolle zur H₂O-Kontrolle (log₂)	H₂O +B.c. zur H₂O-Kontrolle (log₂)	NaCl +B.c. zur H₂O-Kontrolle (log₂)
AT5G35270_1	1,054	1,092	0,946
AT5G35280_1	0,879	1,100	0,978
AT5G35290_1	1,540	1,825	1,810
AT5G35300_1	1,480	1,557	1,736
AT5G35310_2	1,183	1,500	1,711
AT5G35320_1	0,941	3,876	5,020
AT5G35330_1	1,172	0,815	0,959
AT5G35330_2	1,135	0,796	0,989
AT5G35331_1	0,977	1,318	1,517
AT5G35332_1	1,160	1,527	1,587
AT5G35334_1	1,132	1,124	1,010
AT5G35336_1	1,147	1,200	1,048
AT5G35338_2	1,117	1,309	1,389
AT5G35339_1	1,140	1,146	1,126
AT5G35340_1	1,078	1,536	1,862
AT5G35341_1	0,970	1,046	1,139
AT5G35344_1	1,057	1,253	1,305
AT5G35348_1	0,872	0,928	0,855
AT5G35353_1	1,104	1,085	0,959
AT5G35354_1	0,939	0,932	0,944
AT5G35356_1	1,065	1,157	1,134
AT5G35360_1	0,941	0,779	0,472
AT5G35360_2	0,968	0,816	0,463
AT5G35370_1	0,745	2,519	3,294
AT5G35375_1	1,113	1,157	1,035
AT5G35380_1	1,099	1,227	1,358
AT5G35390_1	0,927	1,167	1,012
AT5G35400_1	0,957	0,580	0,548
AT5G35405_1	1,052	1,090	1,114
AT5G35410_1	0,894	1,146	2,560
AT5G35413_1	1,126	1,225	1,074
AT5G35416_1	1,247	1,388	1,497
AT5G35420_1	1,035	0,809	0,777
AT5G35425_1	1,271	0,232	0,229
AT5G35430_1	1,079	1,177	1,323
AT5G35450_1	0,984	1,036	0,549
AT5G35460_1	1,039	1,353	1,601
AT5G35470_1	0,971	1,015	0,962
AT5G35475_1	1,056	1,134	1,076
AT5G35480_1	1,017	0,619	0,070
AT5G35490_1	0,874	0,478	0,069
AT5G35495_1	1,166	1,094	1,071
AT5G35510_1	0,836	0,963	0,895
AT5G35520_1	0,825	0,335	0,182
AT5G35525_1	0,627	1,072	2,150
AT5G35530_1	1,008	1,018	0,755
AT5G35535_1	1,142	1,173	1,147
AT5G35540_1	0,969	1,017	1,066
AT5G35550_1	1,195	1,414	1,619
AT5G35555_1	0,996	1,031	1,023

AGI	NaCl-Kontrolle zur H₂O-Kontrolle (log₂)	H₂O +B.c. zur H₂O-Kontrolle (log₂)	NaCl +B.c. zur H₂O-Kontrolle (log₂)
AT5G35560_1	1,100	0,856	1,294
AT5G35570_1	0,964	0,965	1,040
AT5G35575_1	1,224	1,079	0,990
AT5G35580_1	1,242	2,309	3,592
AT5G35590_1	0,947	0,878	1,138
AT5G35600_1	0,926	0,964	0,886
AT5G35601_1	1,180	1,091	1,172
AT5G35602_1	1,012	1,065	1,031
AT5G35603_1	0,957	1,107	1,064
AT5G35603_2	1,111	1,177	1,480
AT5G35604_1	1,052	1,337	2,087
AT5G35605_1	1,031	0,923	0,971
AT5G35606_1	1,330	1,417	1,058
AT5G35607_1	0,933	1,056	1,063
AT5G35608_1	1,132	1,216	1,430
AT5G35610_1	1,038	1,047	1,047
AT5G35615_1	1,059	1,501	1,744
AT5G35620_1	0,818	1,317	1,335
AT5G35620_2	1,253	0,987	1,283
AT5G35630_1	0,958	0,793	0,623
AT5G35630_2	1,017	0,814	0,617
AT5G35631_1	1,325	1,580	1,479
AT5G35640_1	1,235	1,654	2,281
AT5G35643_1	1,127	1,012	0,779
AT5G35646_1	1,424	1,486	1,663
AT5G35650_1	1,353	1,516	1,687
AT5G35655_1	1,226	1,739	0,993
AT5G35657_1	1,515	1,623	1,745
AT5G35660_1	1,335	1,711	1,639
AT5G35670_1	1,054	0,352	0,378
AT5G35680_1	0,908	1,162	2,022
AT5G35680_2	0,782	1,248	2,614
AT5G35688_1	1,022	1,075	1,503
AT5G35690_1	1,019	0,884	1,436
AT5G35695_1	1,121	1,081	0,996
AT5G35698_1	0,987	1,048	1,052
AT5G35700_1	1,052	1,270	1,600
AT5G35710_1	1,172	1,205	1,631
AT5G35715_1	1,054	1,186	1,206
AT5G35720_1	0,885	1,152	1,093
AT5G35725_1	1,038	1,206	1,219
AT5G35730_1	1,007	0,881	1,220
AT5G35732_1	0,915	1,018	1,118
AT5G35735_1	0,916	1,662	1,665
AT5G35736_1	1,022	0,971	0,954
AT5G35737_1	1,261	1,296	1,245
AT5G35738_1	1,140	0,313	0,111
AT5G35740_1	0,588	0,284	0,254
AT5G35750_1	1,124	0,242	0,102
AT5G35753_1	1,162	0,731	0,676

AGI	NaCl-Kontrolle zur H₂O-Kontrolle (log₂)	H₂O +B.c. zur H₂O-Kontrolle (log₂)	NaCl +B.c. zur H₂O-Kontrolle (log₂)
AT5G35756_1	1,143	1,450	1,330
AT5G35760_1	0,953	0,966	0,704
AT5G35770_1	0,928	1,206	1,041
AT5G35775_1	1,005	1,082	0,969
AT5G35777_1	1,040	1,448	0,969
AT5G35780_1	0,952	1,069	0,844
AT5G35790_1	0,999	0,286	0,118
AT5G35791_1	0,932	1,280	1,141
AT5G35792_1	1,025	1,240	1,116
AT5G35794_1	1,056	1,660	1,413
AT5G35796_1	1,260	1,465	0,881
AT5G35798_1	0,944	1,225	1,118
AT5G35800_1	1,074	1,141	1,151
AT5G35802_1	0,878	0,972	0,897
AT5G35805_1	1,346	1,494	1,566
AT5G35810_1	0,952	1,100	1,034
AT5G35820_1	1,050	1,075	1,023
AT5G35830_1	1,108	1,074	1,152
AT5G35840_1	1,026	0,859	0,665
AT5G35870_1	1,105	1,069	1,354
AT5G35890_1	1,015	1,159	1,143
AT5G35900_1	0,878	1,070	1,154
AT5G35910_1	0,977	0,936	0,730
AT5G35912_1	1,084	0,888	0,864
AT5G35914_1	1,037	0,392	0,239
AT5G35915_1	0,863	0,989	0,908
AT5G35917_1	1,101	1,305	1,211
AT5G35918_1	0,945	1,021	0,925
AT5G35920_1	1,026	1,378	1,498
AT5G35923_1	1,018	0,993	1,035
AT5G35926_1	0,931	0,877	1,688
AT5G35930_1	1,050	0,591	0,404
AT5G35932_1	1,071	1,318	1,519
AT5G35935_1	1,099	1,210	1,160
AT5G35940_1	0,973	1,157	1,048
AT5G35945_1	0,855	0,811	0,857
AT5G35950_1	1,026	1,004	1,010
AT5G35960_1	0,725	0,984	1,972
AT5G35965_1	0,978	1,012	1,098
AT5G35970_1	0,980	0,951	0,707
AT5G35980_1	1,008	1,121	1,363
AT5G35980_2	1,015	0,573	1,046
AT5G35995_1	0,925	0,719	0,663
AT5G36000_1	0,872	0,633	0,646
AT5G36001_1	0,832	0,604	0,414
AT5G36002_1	0,817	0,475	0,330
AT5G36002_2	0,921	0,693	0,565
AT5G36005_1	1,047	1,196	1,198
AT5G36015_1	0,982	1,360	1,585
AT5G36020_1	1,045	1,337	1,506

AGI	NaCl-Kontrolle zur H₂O-Kontrolle (log₂)	H₂O +B.c. zur H₂O-Kontrolle (log₂)	NaCl +B.c. zur H₂O-Kontrolle (log₂)
AT5G36030_1	1,003	1,321	1,410
AT5G36035_1	1,057	1,077	1,083
AT5G36040_1	0,878	0,896	0,919
AT5G36050_1	1,156	1,047	0,995
AT5G36060_1	1,017	1,232	1,224
AT5G36070_1	1,037	1,405	1,637
AT5G36075_1	1,173	1,506	1,339
AT5G36080_1	0,991	1,078	1,028
AT5G36100_1	0,917	1,131	1,059
AT5G36100_2	0,885	0,847	0,789
AT5G36110_1	1,075	1,093	1,190
AT5G36120_1	0,826	0,180	0,051
AT5G36125_1	0,965	1,111	0,926
AT5G36130_1	1,187	1,111	1,208
AT5G36140_1	1,104	1,232	1,126
AT5G36150_1	0,940	1,087	1,134
AT5G36160_1	1,076	1,080	1,298
AT5G36170_1	0,983	0,538	0,323
AT5G36170_2	1,000	0,526	0,317
AT5G36170_3	1,110	0,618	0,358
AT5G36180_1	1,006	1,079	1,008
AT5G36185_1	0,891	1,080	1,008
AT5G36190_1	0,888	1,140	1,316
AT5G36200_1	1,118	1,476	1,512
AT5G36210_1	1,072	0,719	0,671
AT5G36220_1	0,846	2,564	3,012
AT5G36223_1	0,960	0,959	1,063
AT5G36226_1	1,134	1,196	1,338
AT5G36228_1	0,915	0,939	0,972
AT5G36230_1	1,073	0,785	0,595
AT5G36240_1	1,362	1,665	1,206
AT5G36250_1	0,951	0,537	0,526
AT5G36260_1	0,979	1,062	1,026
AT5G36270_1	1,030	1,477	1,708
AT5G36275_1	1,024	1,003	0,983
AT5G36280_1	1,361	1,493	1,835
AT5G36290_1	0,907	1,077	1,026
AT5G36290_2	0,908	1,079	1,026
AT5G36293_1	0,938	1,027	0,941
AT5G36296_1	1,007	1,123	1,006
AT5G36297_1	1,125	1,409	1,205
AT5G36300_1	0,947	0,983	0,933
AT5G36310_1	0,938	1,116	1,161
AT5G36320_1	0,869	1,031	1,021
AT5G36330_1	0,929	1,103	1,349
AT5G36350_1	0,899	1,116	1,304
AT5G36370_1	0,898	1,167	1,241
AT5G36480_1	0,918	1,110	1,241
AT5G36500_1	0,935	1,026	1,077
AT5G36510_1	0,844	1,067	1,146

AGI	NaCl-Kontrolle zur H₂O-Kontrolle (log₂)	H₂O +B.c. zur H₂O-Kontrolle (log₂)	NaCl +B.c. zur H₂O-Kontrolle (log₂)
AT5G36530_1	0,922	1,132	1,254
AT5G36540_1	0,883	1,045	1,245
AT5G36550_1	0,921	1,107	1,147
AT5G36650_1	1,359	1,505	1,528
AT5G36655_1	1,129	1,391	1,422
AT5G36657_1	0,938	1,135	1,140
AT5G36658_1	0,854	1,154	1,290
AT5G36659_1	0,875	1,084	1,085
AT5G36660_1	1,007	1,044	1,050
AT5G36662_1	0,872	1,100	1,124
AT5G36670_1	0,954	0,283	0,181
AT5G36680_1	0,900	0,931	0,904
AT5G36685_1	1,024	1,379	1,370
AT5G36690_1	1,041	1,099	1,096
AT5G36700_1	0,949	0,582	0,225
AT5G36700_2	1,001	0,614	0,214
AT5G36700_3	0,971	0,599	0,224
AT5G36710_1	0,538	0,442	0,518
AT5G36720_1	1,098	1,057	1,098
AT5G36722_1	0,865	0,935	0,901
AT5G36730_1	0,965	1,044	1,039
AT5G36732_1	1,261	1,352	1,641
AT5G36734_1	1,251	1,393	1,505
AT5G36736_1	1,309	1,427	1,728
AT5G36740_1	1,000	0,252	0,170
AT5G36775_1	1,024	1,401	1,497
AT5G36790_2	0,958	0,598	0,234
AT5G36825_1	1,329	1,491	1,680
AT5G36840_1	1,137	1,332	1,468
AT5G36850_1	1,344	1,561	1,711
AT5G36860_1	1,340	1,434	1,367
AT5G36870_1	0,999	1,008	1,039
AT5G36880_1	0,940	1,690	1,650
AT5G36890_1	0,898	0,195	0,143
AT5G36890_2	0,961	0,654	0,626
AT5G36900_1	1,466	1,747	2,341
AT5G36903_1	0,961	0,938	0,957
AT5G36904_1	0,993	0,989	0,977
AT5G36905_1	1,081	1,587	1,812
AT5G36910_1	0,816	0,580	0,713
AT5G36920_1	0,782	1,052	0,770
AT5G36925_1	0,471	14,658	12,718
AT5G36930_1	0,967	0,351	0,371
AT5G36935_1	1,332	1,519	1,488
AT5G36937_1	0,905	0,886	0,879
AT5G36940_1	0,846	0,690	0,585
AT5G36950_1	1,211	0,550	0,136
AT5G36960_1	1,029	1,257	1,477
AT5G36970_1	1,207	81,633	94,023
AT5G36980_1	1,267	1,654	1,012

AGI	NaCl-Kontrolle zur H₂O-Kontrolle (log₂)	H₂O +B.c. zur H₂O-Kontrolle (log₂)	NaCl +B.c. zur H₂O-Kontrolle (log₂)
AT5G36990_1	1,026	1,195	1,074
AT5G37000_1	1,002	0,161	0,128
AT5G37010_1	0,967	0,394	0,337
AT5G37017_1	1,014	1,125	1,197
AT5G37020_1	1,240	0,485	0,323
AT5G37030_1	1,152	1,130	1,361
AT5G37040_1	0,934	1,391	1,511
AT5G37050_1	1,267	1,160	0,856
AT5G37055_1	0,848	0,651	0,719
AT5G37060_1	1,204	1,593	1,495
AT5G37070_1	0,819	1,374	1,521
AT5G37072_1	1,121	1,153	0,886
AT5G37080_1	1,093	1,106	0,917
AT5G37090_1	1,048	1,043	0,976
AT5G37100_1	1,018	1,526	1,282
AT5G37110_1	0,963	1,129	1,170
AT5G37120_1	1,112	1,670	1,767
AT5G37125_1	1,022	1,186	1,051
AT5G37130_1	1,080	0,729	0,773
AT5G37140_1	1,063	1,227	1,326
AT5G37145_1	1,067	1,480	1,494
AT5G37150_1	1,124	1,134	1,089
AT5G37160_1	1,084	1,114	0,905
AT5G37170_1	1,090	1,295	1,431
AT5G37175_1	1,030	1,066	1,088
AT5G37180_1	0,638	0,411	0,851
AT5G37190_1	1,040	0,801	0,779
AT5G37200_1	1,285	1,235	1,227
AT5G37210_1	1,013	1,155	1,283
AT5G37211_1	0,955	1,084	1,211
AT5G37220_1	1,170	1,393	1,657
AT5G37230_1	0,980	1,323	1,683
AT5G37240_1	1,020	0,987	1,119
AT5G37250_1	1,018	1,064	1,333
AT5G37260_1	0,656	1,049	2,243
AT5G37270_1	1,045	1,100	1,113
AT5G37280_1	1,016	1,101	1,170
AT5G37290_1	0,982	0,569	0,520
AT5G37300_1	1,260	0,130	0,148
AT5G37310_1	1,051	0,910	0,791
AT5G37320_1	1,069	0,969	1,164
AT5G37330_1	1,337	1,417	1,208
AT5G37340_1	1,121	1,102	1,307
AT5G37340_2	1,067	1,116	1,275
AT5G37350_1	1,061	1,034	0,875
AT5G37350_2	1,054	1,156	0,883
AT5G37351_1	1,137	1,412	1,550
AT5G37352_1	1,076	1,052	1,422
AT5G37360_1	0,974	0,504	0,442
AT5G37370_1	0,967	1,013	1,124

AGI	NaCl-Kontrolle zur H ₂ O-Kontrolle (log ₂)	H ₂ O +B.c. zur H ₂ O-Kontrolle (log ₂)	NaCl +B.c. zur H ₂ O-Kontrolle (log ₂)
AT5G37370_2	0,995	1,037	1,197
AT5G37370_3	0,964	0,738	1,282
AT5G37380_1	1,040	1,215	1,467
AT5G37380_3	0,982	1,212	1,471
AT5G37381_1	1,118	1,264	1,445
AT5G37383_1	1,232	1,404	1,458
AT5G37385_1	1,271	1,497	1,547
AT5G37390_1	1,250	1,524	1,803
AT5G37400_1	0,872	0,930	0,539
AT5G37410_1	0,991	0,569	0,665
AT5G37415_1	1,025	1,035	1,069
AT5G37415_2	1,020	1,099	1,100
AT5G37420_1	1,100	1,108	1,005
AT5G37430_1	1,076	0,984	1,049
AT5G37440_1	0,821	0,648	0,573
AT5G37442_1	0,928	0,983	1,122
AT5G37445_1	1,274	1,397	1,299
AT5G37450_1	0,999	0,880	0,739
AT5G37460_1	1,096	1,384	1,411
AT5G37470_1	0,975	1,154	0,943
AT5G37473_1	0,956	1,079	1,164
AT5G37474_1	0,985	1,011	1,071
AT5G37475_1	0,934	1,397	1,351
AT5G37476_1	0,909	0,991	0,893
AT5G37478_1	1,022	1,086	1,052
AT5G37480_1	0,750	0,938	1,449
AT5G37485_1	0,894	1,675	1,948
AT5G37490_1	1,087	7,676	23,188
AT5G37500_1	0,850	0,346	0,346
AT5G37510_1	1,028	1,056	1,271
AT5G37510_2	1,014	1,027	1,242
AT5G37520_1	0,983	1,032	1,000
AT5G37530_1	1,067	1,298	0,805
AT5G37540_1	0,985	0,988	2,340
AT5G37550_1	1,101	2,036	4,686
AT5G37560_1	1,393	1,486	1,844
AT5G37570_1	1,376	0,715	0,947
AT5G37590_1	1,412	0,480	0,244
AT5G37600_1	1,012	1,055	1,756
AT5G37610_1	0,944	1,028	1,378
AT5G37620_1	0,775	1,005	0,943
AT5G37630_1	0,848	0,434	0,529
AT5G37640_1	1,435	1,192	1,189
AT5G37650_1	0,913	1,035	0,974
AT5G37660_1	0,534	0,425	0,189
AT5G37660_2	0,972	0,939	0,978
AT5G37665_1	1,077	1,361	1,621
AT5G37667_1	1,076	1,147	1,292
AT5G37670_1	0,994	1,629	3,596
AT5G37680_1	0,884	0,913	1,455

AGI	NaCl-Kontrolle zur H ₂ O-Kontrolle (log ₂)	H ₂ O +B.c. zur H ₂ O-Kontrolle (log ₂)	NaCl +B.c. zur H ₂ O-Kontrolle (log ₂)
AT5G37690_1	1,090	0,949	1,027
AT5G37710_1	0,823	0,908	1,675
AT5G37720_1	1,113	1,321	1,277
AT5G37720_2	1,105	1,260	1,117
AT5G37730_1	0,991	0,947	0,967
AT5G37732_1	0,963	1,105	0,938
AT5G37740_1	0,776	0,852	1,880
AT5G37750_1	1,087	1,052	1,110
AT5G37760_1	1,015	0,988	0,934
AT5G37770_1	0,844	1,491	1,418
AT5G37780_1	0,983	0,888	1,162
AT5G37780_2	0,942	0,588	1,513
AT5G37780_3	0,878	0,463	0,739
AT5G37790_1	1,106	0,522	0,137
AT5G37800_1	0,987	1,010	0,991
AT5G37810_1	0,959	1,125	1,016
AT5G37820_1	0,841	1,027	0,798
AT5G37830_1	1,052	0,896	0,987
AT5G37840_1	0,817	24,995	71,912
AT5G37850_1	0,843	1,120	1,008
AT5G37850_2	0,914	1,109	0,979
AT5G37860_1	0,930	1,086	1,170
AT5G37870_1	1,022	1,093	1,051
AT5G37872_1	1,008	1,091	1,105
AT5G37875_1	0,987	1,210	0,955
AT5G37880_1	1,256	1,585	1,706
AT5G37890_1	0,891	0,809	0,629
AT5G37900_1	1,070	1,184	1,057
AT5G37910_1	1,114	1,055	0,889
AT5G37920_1	1,288	1,038	0,794
AT5G37930_1	1,051	0,780	1,034
AT5G37940_1	1,252	1,564	1,351
AT5G37950_1	0,554	0,519	0,408
AT5G37950_2	0,551	0,579	0,391
AT5G37960_1	0,971	1,147	1,145
AT5G37970_1	0,988	1,054	1,024
AT5G37980_1	1,515	1,374	1,482
AT5G37990_1	1,461	1,518	1,332
AT5G38000_1	1,121	0,725	0,745
AT5G38005_1	0,997	1,242	1,456
AT5G38010_1	0,627	1,212	0,597
AT5G38020_1	0,760	0,844	0,781
AT5G38030_1	1,063	2,135	2,178
AT5G38035_1	1,125	1,355	1,486
AT5G38040_1	1,084	0,643	0,643
AT5G38050_1	0,954	0,525	0,478
AT5G38060_1	0,908	0,505	0,343
AT5G38060_2	0,882	0,775	0,652
AT5G38070_1	1,086	1,244	1,178
AT5G38080_1	1,013	1,271	1,351

AGI	NaCl-Kontrolle zur H₂O-Kontrolle (log₂)	H₂O +B.c. zur H₂O-Kontrolle (log₂)	NaCl +B.c. zur H₂O-Kontrolle (log₂)
AT5G38090_1	1,042	1,120	1,112
AT5G38096_1	0,767	0,854	0,871
AT5G38100_1	0,975	0,882	0,836
AT5G38110_1	0,917	0,591	0,496
AT5G38120_1	0,731	0,890	0,441
AT5G38130_1	0,805	2,025	1,139
AT5G38140_1	0,886	0,232	0,154
AT5G38150_1	0,989	0,474	0,311
AT5G38160_1	1,108	1,144	1,187
AT5G38170_1	0,974	1,063	1,049
AT5G38180_1	0,976	0,903	0,927
AT5G38190_1	1,101	1,371	1,425
AT5G38192_1	0,920	1,045	0,886
AT5G38195_1	0,971	1,042	1,085
AT5G38197_1	0,985	1,048	1,024
AT5G38200_1	0,872	8,400	8,974
AT5G38210_1	0,727	1,251	1,361
AT5G38220_1	1,069	0,514	1,419
AT5G38220_2	1,058	0,500	1,382
AT5G38230_1	0,872	0,882	0,842
AT5G38240_1	1,085	1,826	3,365
AT5G38250_1	1,002	2,027	3,126
AT5G38260_1	0,946	1,148	1,147
AT5G38270_1	1,111	1,229	1,222
AT5G38275_1	1,136	1,205	1,256
AT5G38280_1	1,060	3,258	3,955
AT5G38285_1	1,201	1,531	1,591
AT5G38290_1	0,889	0,435	0,156
AT5G38290_2	0,827	0,428	0,167
AT5G38300_1	0,896	1,152	1,005
AT5G38310_1	0,628	8,717	7,129
AT5G38314_1	1,127	1,341	2,380
AT5G38317_1	1,273	1,287	1,318
AT5G38320_1	1,042	7,086	4,315
AT5G38320_2	1,054	7,379	3,826
AT5G38330_1	1,004	1,035	1,097
AT5G38340_1	1,051	0,917	0,590
AT5G38344_1	0,881	2,418	1,790
AT5G38350_1	0,937	0,967	0,963
AT5G38360_1	0,812	0,289	0,277
AT5G38365_1	1,171	1,154	1,187
AT5G38370_1	1,014	1,074	1,057
AT5G38378_1	1,080	1,186	1,381
AT5G38380_1	0,794	0,537	1,000
AT5G38380_2	0,888	0,714	0,860
AT5G38383_1	1,207	1,433	1,645
AT5G38386_1	1,047	1,188	1,290
AT5G38390_1	1,153	1,090	1,006
AT5G38393_1	0,953	1,021	1,086
AT5G38396_1	0,805	0,857	0,775

AGI	NaCl-Kontrolle zur H₂O-Kontrolle (log₂)	H₂O +B.c. zur H₂O-Kontrolle (log₂)	NaCl +B.c. zur H₂O-Kontrolle (log₂)
AT5G38400_1	1,046	1,106	1,283
AT5G38410_1	0,949	0,737	0,273
AT5G38410_2	1,007	0,742	0,300
AT5G38420_1	1,019	0,686	0,127
AT5G38430_1	0,764	0,360	0,011
AT5G38435_1	0,986	0,974	1,005
AT5G38437_1	0,966	1,130	1,354
AT5G38440_1	0,934	1,008	1,098
AT5G38450_1	1,254	1,390	1,691
AT5G38460_1	0,997	1,012	0,918
AT5G38470_1	1,023	1,029	1,119
AT5G38480_1	0,897	0,772	1,033
AT5G38480_2	0,811	0,695	0,924
AT5G38490_1	1,040	0,975	1,017
AT5G38500_1	1,206	1,558	1,642
AT5G38510_1	1,179	0,288	0,196
AT5G38510_2	1,215	0,316	0,231
AT5G38520_1	1,059	0,278	0,092
AT5G38520_2	1,092	0,280	0,085
AT5G38530_1	1,081	1,528	2,243
AT5G38540_1	1,336	1,673	1,756
AT5G38550_1	0,951	1,060	1,037
AT5G38560_1	0,898	1,096	1,204
AT5G38565_1	1,007	0,863	0,731
AT5G38570_1	0,988	1,088	1,051
AT5G38580_1	1,373	1,272	1,158
AT5G38590_1	1,111	0,820	0,800
AT5G38590_2	1,174	0,745	0,879
AT5G38595_1	1,086	1,031	1,082
AT5G38600_1	1,008	0,781	0,654
AT5G38610_1	0,592	0,413	0,606
AT5G38620_1	1,081	1,086	1,146
AT5G38630_1	0,872	0,786	0,876
AT5G38640_1	1,239	1,185	1,216
AT5G38650_1	1,076	1,420	2,256
AT5G38660_1	0,984	0,585	0,547
AT5G38670_1	1,007	1,006	1,018
AT5G38680_1	1,193	1,313	1,141
AT5G38690_1	0,755	0,366	0,417
AT5G38700_1	0,978	1,092	1,050
AT5G38705_1	1,283	1,541	1,501
AT5G38710_1	0,944	7,033	7,721
AT5G38720_1	0,991	1,551	1,224
AT5G38730_1	1,109	0,642	0,450
AT5G38740_1	1,303	1,705	1,933
AT5G38750_1	0,953	1,223	1,907
AT5G38760_1	1,019	1,208	1,686
AT5G38770_1	0,737	0,957	0,997
AT5G38780_1	0,985	1,579	2,915
AT5G38790_1	1,286	1,411	1,700

AGI	NaCl-Kontrolle zur H₂O-Kontrolle (log₂)	H₂O +B.c. zur H₂O-Kontrolle (log₂)	NaCl +B.c. zur H₂O-Kontrolle (log₂)
AT5G38800_1	0,886	1,078	1,121
AT5G38810_1	0,911	1,019	0,981
AT5G38820_1	0,941	1,087	1,357
AT5G38830_1	0,903	1,379	1,677
AT5G38840_1	1,006	0,925	0,964
AT5G38850_1	0,873	0,657	1,170
AT5G38860_1	0,912	0,326	0,473
AT5G38870_1	0,966	0,586	0,368
AT5G38880_1	0,915	0,714	0,645
AT5G38890_1	1,207	2,271	2,072
AT5G38895_1	0,867	0,952	2,110
AT5G38900_1	0,614	87,373	119,679
AT5G38905_1	1,194	1,627	2,051
AT5G38910_1	1,069	1,024	1,088
AT5G38920_1	1,390	1,356	1,298
AT5G38930_1	1,481	1,582	1,761
AT5G38940_1	1,044	1,122	1,151
AT5G38950_1	1,070	1,007	1,025
AT5G38960_1	1,154	1,111	1,157
AT5G38970_1	0,512	0,700	0,594
AT5G38970_3	0,729	0,950	0,950
AT5G38975_1	0,943	0,896	0,988
AT5G38980_1	0,802	0,722	0,463
AT5G38990_1	0,839	0,925	0,737
AT5G39000_1	1,031	1,192	0,929
AT5G39010_1	0,942	1,251	1,171
AT5G39020_1	0,705	1,482	1,520
AT5G39024_1	1,066	1,242	1,552
AT5G39030_1	0,830	1,741	2,638
AT5G39040_1	0,957	0,949	1,445
AT5G39050_1	0,942	5,075	8,888
AT5G39060_1	0,957	0,892	0,875
AT5G39070_1	1,000	1,017	0,960
AT5G39080_1	1,064	0,576	0,226
AT5G39090_1	0,889	3,041	7,076
AT5G39095_1	1,001	1,035	0,977
AT5G39100_1	1,044	1,592	3,044
AT5G39110_1	1,137	1,612	2,028
AT5G39120_1	1,047	1,068	1,204
AT5G39130_1	0,879	2,282	3,450
AT5G39140_1	1,044	1,132	1,007
AT5G39150_1	1,262	1,526	1,677
AT5G39155_1	1,130	1,447	1,482
AT5G39160_1	0,862	2,017	3,252
AT5G39160_2	0,936	2,119	3,640
AT5G39170_1	1,143	1,183	1,105
AT5G39180_1	1,124	1,462	1,535
AT5G39190_1	0,917	2,046	4,049
AT5G39190_2	0,892	2,186	3,969
AT5G39200_1	0,978	0,930	0,928

AGI	NaCl-Kontrolle zur H₂O-Kontrolle (log₂)	H₂O +B.c. zur H₂O-Kontrolle (log₂)	NaCl +B.c. zur H₂O-Kontrolle (log₂)
AT5G39205_1	0,943	1,069	0,977
AT5G39210_1	0,980	0,252	0,017
AT5G39220_1	0,832	0,606	0,539
AT5G39230_1	0,983	0,879	0,856
AT5G39240_1	1,055	0,585	0,782
AT5G39245_1	0,930	0,963	0,990
AT5G39250_1	0,986	0,864	1,613
AT5G39260_1	0,970	0,873	1,176
AT5G39270_1	1,103	1,176	0,915
AT5G39280_1	1,146	1,189	1,085
AT5G39290_1	0,963	0,967	0,945
AT5G39300_1	1,015	0,906	0,897
AT5G39310_1	1,122	1,276	1,567
AT5G39320_1	1,056	0,766	0,438
AT5G39330_1	1,075	1,083	1,426
AT5G39330_2	1,072	1,089	1,218
AT5G39340_1	0,729	0,752	0,528
AT5G39350_1	1,326	0,603	0,396
AT5G39360_1	0,929	1,526	1,626
AT5G39365_1	1,022	1,031	1,158
AT5G39370_1	0,999	1,148	1,203
AT5G39380_1	0,940	0,662	1,335
AT5G39390_1	0,956	1,404	1,497
AT5G39400_1	1,060	1,086	1,167
AT5G39410_1	1,175	0,284	0,212
AT5G39420_1	1,061	0,698	0,833
AT5G39430_1	1,286	1,091	1,168
AT5G39440_1	0,955	0,952	0,971
AT5G39450_1	0,844	0,692	1,040
AT5G39460_1	0,860	0,890	0,906
AT5G39470_1	1,232	1,197	1,409
AT5G39471_1	0,604	0,446	0,539
AT5G39473_1	0,887	0,914	0,837
AT5G39480_1	1,537	1,510	1,611
AT5G39490_1	0,905	1,126	1,089
AT5G39493_1	0,937	1,018	0,988
AT5G39500_1	1,081	0,854	0,876
AT5G39510_1	1,013	1,184	1,258
AT5G39520_1	1,185	56,936	301,215
AT5G39530_1	0,982	0,333	0,103
AT5G39532_1	1,017	0,913	0,928
AT5G39533_1	1,005	1,194	1,327
AT5G39535_1	0,959	0,884	0,978
AT5G39540_1	0,952	1,225	1,358
AT5G39550_1	0,831	0,238	0,343
AT5G39560_1	0,830	1,173	1,143
AT5G39570_1	1,061	0,857	0,890
AT5G39580_1	0,584	10,647	14,813
AT5G39580_2	0,680	12,780	18,256
AT5G39581_1	1,073	1,408	1,592

AGI	NaCl-Kontrolle zur H₂O-Kontrolle (log₂)	H₂O +B.c. zur H₂O-Kontrolle (log₂)	NaCl +B.c. zur H₂O-Kontrolle (log₂)
AT5G39590_1	0,909	0,874	1,450
AT5G39600_1	0,940	0,883	0,692
AT5G39610_1	0,239	5,736	18,007
AT5G39620_1	0,990	0,933	0,919
AT5G39630_1	1,029	1,199	1,279
AT5G39635_1	1,024	1,140	1,174
AT5G39640_1	1,432	1,614	1,653
AT5G39645_1	1,158	1,208	1,162
AT5G39650_1	1,460	1,492	1,878
AT5G39660_1	0,794	1,337	2,397
AT5G39660_2	0,935	2,060	3,918
AT5G39670_1	0,442	4,267	13,891
AT5G39680_1	1,056	0,589	0,403
AT5G39690_1	0,936	1,034	1,002
AT5G39693_1	1,098	1,397	1,665
AT5G39700_1	0,963	1,072	1,112
AT5G39710_1	0,987	1,057	0,475
AT5G39720_1	0,943	0,890	1,043
AT5G39730_1	0,995	0,719	1,955
AT5G39740_1	1,039	0,966	0,794
AT5G39750_1	0,924	1,083	1,178
AT5G39760_1	0,803	0,851	0,604
AT5G39770_1	0,953	0,886	0,922
AT5G39785_1	0,846	2,605	3,555
AT5G39790_1	0,818	0,314	0,151
AT5G39800_1	0,847	0,334	0,194
AT5G39810_1	1,053	1,134	1,127
AT5G39820_1	0,978	1,396	1,412
AT5G39830_1	0,995	0,471	0,339
AT5G39830_2	0,924	0,431	0,317
AT5G39840_1	1,173	1,559	0,936
AT5G39850_1	1,443	2,484	1,585
AT5G39860_1	0,677	0,107	0,025
AT5G39861_1	1,110	1,139	1,297
AT5G39862_1	0,982	1,380	1,407
AT5G39863_1	0,999	0,954	1,016
AT5G39865_1	0,916	0,783	0,967
AT5G39870_1	1,014	1,034	1,046
AT5G39880_1	1,304	1,369	1,500
AT5G39890_1	0,845	0,843	1,014
AT5G39900_1	1,067	0,954	0,650
AT5G39910_1	0,939	0,935	0,927
AT5G39920_1	0,908	1,004	1,010
AT5G39930_1	1,178	1,281	1,542
AT5G39940_1	0,911	0,601	0,417
AT5G39950_1	0,917	0,982	2,110
AT5G39955_1	0,848	0,882	0,872
AT5G39960_1	1,193	0,746	0,415
AT5G39970_1	0,824	1,094	1,177
AT5G39980_1	1,147	0,370	0,175

AGI	NaCl-Kontrolle zur H₂O-Kontrolle (log₂)	H₂O +B.c. zur H₂O-Kontrolle (log₂)	NaCl +B.c. zur H₂O-Kontrolle (log₂)
AT5G39990_1	0,960	1,141	1,189
AT5G39995_1	1,109	1,315	1,347
AT5G40000_1	0,961	1,129	2,469
AT5G40010_1	1,164	1,404	1,735
AT5G40020_1	0,878	0,678	0,551
AT5G40030_1	0,918	0,673	0,739
AT5G40040_1	1,673	1,841	2,041
AT5G40050_1	1,137	0,981	1,035
AT5G40060_1	0,840	0,554	0,617
AT5G40070_1	1,072	1,200	0,924
AT5G40080_1	0,937	0,806	0,740
AT5G40090_1	1,021	0,817	0,979
AT5G40100_1	1,085	0,802	0,821
AT5G40110_1	1,104	1,184	1,300
AT5G40120_1	1,060	1,178	1,070
AT5G40130_1	0,966	1,307	1,128
AT5G40140_1	1,063	0,434	0,251
AT5G40150_1	0,981	0,368	0,147
AT5G40155_1	1,123	1,082	1,216
AT5G40160_1	1,052	0,446	0,252
AT5G40170_1	0,934	0,954	1,296
AT5G40180_1	0,666	0,480	0,634
AT5G40190_1	0,945	0,731	0,839
AT5G40200_1	0,978	1,071	0,855
AT5G40210_1	0,718	4,254	7,358
AT5G40212_1	1,377	1,571	1,349
AT5G40220_1	0,961	1,003	1,078
AT5G40230_1	0,927	0,646	0,954
AT5G40240_1	1,277	2,031	4,496
AT5G40250_1	0,837	1,081	1,370
AT5G40260_1	1,101	1,217	2,044
AT5G40260_2	1,025	1,367	1,929
AT5G40270_1	0,951	0,646	0,993
AT5G40275_1	0,990	1,133	1,163
AT5G40280_1	1,021	0,763	0,944
AT5G40290_1	1,084	0,812	0,920
AT5G40300_1	0,920	0,896	1,274
AT5G40310_1	1,288	1,317	1,297
AT5G40316_1	1,421	1,866	2,199
AT5G40320_1	0,980	1,448	1,277
AT5G40330_1	0,727	0,307	0,387
AT5G40340_1	1,115	0,996	1,084
AT5G40348_1	0,927	1,138	0,927
AT5G40348_2	0,893	0,964	0,910
AT5G40350_1	0,881	1,943	1,477
AT5G40360_1	0,919	1,296	1,286
AT5G40370_1	1,022	0,964	1,598
AT5G40370_2	1,051	0,784	0,963
AT5G40380_1	0,872	0,615	0,049
AT5G40382_1	0,884	0,821	0,800

AGI	NaCl-Kontrolle zur H₂O-Kontrolle (log₂)	H₂O +B.c. zur H₂O-Kontrolle (log₂)	NaCl +B.c. zur H₂O-Kontrolle (log₂)
AT5G40390_1	1,015	0,611	0,442
AT5G40395_1	1,156	1,174	1,242
AT5G40400_1	1,052	0,913	0,557
AT5G40405_1	1,232	0,673	0,515
AT5G40410_1	1,350	0,544	0,466
AT5G40420_1	0,996	0,958	0,981
AT5G40430_1	0,930	0,976	1,072
AT5G40440_1	1,127	0,552	0,844
AT5G40450_1	0,577	1,414	1,594
AT5G40450_2	0,555	1,425	1,600
AT5G40451_1	0,854	1,322	2,256
AT5G40460_1	0,808	6,880	12,713
AT5G40470_1	0,878	1,646	2,314
AT5G40480_1	1,105	0,693	0,293
AT5G40490_1	1,070	1,033	0,701
AT5G40500_1	0,738	0,424	0,785
AT5G40500_2	0,802	0,485	0,818
AT5G40510_1	0,905	1,069	1,331
AT5G40520_1	0,967	0,803	1,225
AT5G40530_1	0,892	1,215	1,320
AT5G40530_2	0,914	0,873	0,798
AT5G40540_1	0,791	0,630	0,557
AT5G40550_1	1,047	0,349	0,620
AT5G40560_1	1,009	1,008	1,074
AT5G40570_1	1,257	1,114	1,051
AT5G40570_2	0,891	0,956	0,887
AT5G40580_1	1,000	1,013	1,033
AT5G40580_2	0,889	0,829	1,345
AT5G40590_1	1,044	1,155	1,280
AT5G40595_1	1,205	1,374	1,731
AT5G40600_1	0,872	0,499	0,283
AT5G40605_1	1,094	1,589	1,790
AT5G40610_1	0,888	0,869	0,238
AT5G40620_1	0,979	0,965	1,015
AT5G40630_1	1,025	0,810	0,929
AT5G40640_1	1,150	0,350	1,246
AT5G40645_1	1,170	1,239	2,120
AT5G40650_1	0,812	1,756	2,508
AT5G40660_1	1,167	1,098	0,989
AT5G40670_1	0,991	0,727	1,253
AT5G40680_1	1,095	1,184	1,462
AT5G40690_1	0,769	8,136	72,623
AT5G40700_1	0,890	0,313	0,373
AT5G40700_2	0,770	0,301	0,324
AT5G40700_3	1,078	1,224	1,404
AT5G40710_1	0,895	0,652	0,916
AT5G40720_1	1,211	0,372	2,009
AT5G40730_1	1,040	0,807	5,909
AT5G40740_1	1,070	0,526	0,598
AT5G40750_1	1,114	1,144	1,205

AGI	NaCl-Kontrolle zur H ₂ O-Kontrolle (log ₂)	H ₂ O +B.c. zur H ₂ O-Kontrolle (log ₂)	NaCl +B.c. zur H ₂ O-Kontrolle (log ₂)
AT5G40760_1	1,126	2,742	2,964
AT5G40770_1	1,003	1,250	0,941
AT5G40780_1	0,715	1,597	2,067
AT5G40790_1	2,818	0,560	1,589
AT5G40800_1	1,385	0,406	1,630
AT5G40810_1	0,931	0,959	0,941
AT5G40810_2	1,004	0,863	0,973
AT5G40820_1	1,209	0,502	0,393
AT5G40830_1	0,970	0,414	0,094
AT5G40840_1	1,160	0,452	0,364
AT5G40840_2	1,125	0,468	0,328
AT5G40847_1	1,528	1,841	1,980
AT5G40850_1	0,968	0,889	0,581
AT5G40855_1	1,481	1,176	1,100
AT5G40860_1	1,207	1,224	1,473
AT5G40870_1	0,943	0,502	0,395
AT5G40880_1	0,873	1,392	2,290
AT5G40890_1	0,846	0,756	1,265
AT5G40900_1	0,989	1,037	1,068
AT5G40910_1	1,149	0,350	0,260
AT5G40920_1	1,084	0,366	0,249
AT5G40930_1	0,950	1,236	1,683
AT5G40940_1	1,027	0,883	1,173
AT5G40942_1	0,755	0,517	0,327
AT5G40950_1	0,883	0,517	0,244
AT5G40960_1	0,982	0,827	1,890
AT5G40970_1	0,773	0,554	0,490
AT5G40980_1	0,734	0,774	1,611
AT5G40981_1	0,896	1,040	1,219
AT5G40990_1	0,945	42,803	58,218
AT5G41000_1	0,959	0,415	0,325
AT5G41010_1	0,932	1,476	1,504
AT5G41020_1	1,006	1,261	1,415
AT5G41030_1	0,939	1,063	1,078
AT5G41040_1	0,989	0,304	0,710
AT5G41050_1	0,960	0,242	0,058
AT5G41060_1	0,869	0,488	0,286
AT5G41060_2	0,908	0,881	0,705
AT5G41070_1	0,946	0,391	0,318
AT5G41071_1	1,489	1,952	2,688
AT5G41080_1	0,386	23,422	27,796
AT5G41080_2	1,416	1,992	2,653
AT5G41090_1	1,154	1,289	1,433
AT5G41100_1	1,014	2,549	2,590
AT5G41100_2	0,941	2,247	2,488
AT5G41109_1	0,948	0,599	1,816
AT5G41110_1	1,064	0,703	1,477
AT5G41120_1	1,015	2,874	2,878
AT5G41130_1	1,013	1,010	0,705
AT5G41140_1	1,101	0,219	0,036

AGI	NaCl-Kontrolle zur H₂O-Kontrolle (log₂)	H₂O +B.c. zur H₂O-Kontrolle (log₂)	NaCl +B.c. zur H₂O-Kontrolle (log₂)
AT5G41150_1	0,997	0,933	1,051
AT5G41150_2	1,009	0,880	0,929
AT5G41160_1	0,948	0,574	0,478
AT5G41170_1	1,066	1,081	1,537
AT5G41180_1	0,685	1,132	0,718
AT5G41190_1	1,030	1,280	0,829
AT5G41200_1	1,059	1,238	1,349
AT5G41210_1	1,026	0,761	1,076
AT5G41220_1	1,050	0,653	1,000
AT5G41240_1	1,142	0,775	0,971
AT5G41250_1	1,057	0,966	1,117
AT5G41260_1	0,990	0,538	0,467
AT5G41265_1	0,969	0,535	0,672
AT5G41270_1	1,124	1,367	1,158
AT5G41280_1	1,110	1,068	1,422
AT5G41290_1	1,287	1,195	1,537
AT5G41300_1	1,466	1,863	2,484
AT5G41310_1	1,009	0,975	0,927
AT5G41315_1	0,954	1,527	1,517
AT5G41320_1	0,979	0,918	1,539
AT5G41330_1	0,975	0,857	1,153
AT5G41340_1	0,890	0,399	0,636
AT5G41350_1	1,058	0,982	1,567
AT5G41360_1	1,109	1,271	1,545
AT5G41370_1	1,142	1,142	1,119
AT5G41380_1	0,832	0,696	0,885
AT5G41390_1	1,079	1,213	1,234
AT5G41390_2	1,215	1,844	1,925
AT5G41400_1	1,528	1,636	3,845
AT5G41401_1	1,027	1,231	1,506
AT5G41410_1	1,102	0,985	1,420
AT5G41420_1	1,082	1,001	1,140
AT5G41430_1	0,975	1,146	1,122
AT5G41440_1	1,097	1,263	1,157
AT5G41450_1	1,033	1,044	1,129
AT5G41460_1	1,494	0,106	0,021
AT5G41470_1	0,733	0,686	0,734
AT5G41471_1	1,014	0,959	0,996
AT5G41480_1	0,974	0,444	0,541
AT5G41490_1	1,017	0,922	0,884
AT5G41491_1	1,072	0,951	1,088
AT5G41494_1	1,041	1,155	1,650
AT5G41500_1	1,189	1,356	1,442
AT5G41505_1	0,985	1,087	1,018
AT5G41510_1	1,070	1,066	0,955
AT5G41520_1	0,940	0,974	0,702
AT5G41530_1	1,094	1,050	1,142
AT5G41540_1	0,923	1,479	1,085
AT5G41550_1	0,856	1,154	1,694
AT5G41560_1	1,005	1,195	2,827

AGI	NaCl-Kontrolle zur H₂O-Kontrolle (log₂)	H₂O +B.c. zur H₂O-Kontrolle (log₂)	NaCl +B.c. zur H₂O-Kontrolle (log₂)
AT5G41570_1	1,528	1,546	2,249
AT5G41580_1	1,034	0,899	0,890
AT5G41590_1	0,765	0,194	0,209
AT5G41600_1	0,979	0,525	0,408
AT5G41610_1	1,014	1,412	1,569
AT5G41612_1	0,960	1,333	1,406
AT5G41620_1	0,906	1,025	0,482
AT5G41630_1	1,126	1,048	1,112
AT5G41640_1	0,913	0,860	0,854
AT5G41650_1	1,272	0,616	0,578
AT5G41660_1	1,013	1,385	1,324
AT5G41663_1	1,072	1,073	1,023
AT5G41670_1	1,005	0,915	0,653
AT5G41670_2	0,918	0,906	0,693
AT5G41680_1	0,971	1,466	1,584
AT5G41680_2	0,921	2,899	1,685
AT5G41685_1	0,936	0,857	0,909
AT5G41690_1	1,088	0,506	0,408
AT5G41700_1	1,077	1,104	0,877
AT5G41700_2	1,011	0,487	0,470
AT5G41700_3	0,988	0,515	0,563
AT5G41700_4	1,032	1,009	0,865
AT5G41710_1	1,122	0,964	1,130
AT5G41720_1	1,026	1,101	1,308
AT5G41730_1	0,884	6,255	6,867
AT5G41740_1	0,680	2,211	2,398
AT5G41740_2	0,703	1,513	2,735
AT5G41750_1	0,640	2,815	5,289
AT5G41750_2	0,613	3,405	5,462
AT5G41755_1	1,324	1,236	1,517
AT5G41760_1	0,843	0,312	0,224
AT5G41760_2	1,166	0,389	0,430
AT5G41761_1	0,543	0,287	0,118
AT5G41765_1	1,054	1,025	1,123
AT5G41770_1	1,047	1,093	1,011
AT5G41774_1	1,032	1,000	1,037
AT5G41780_1	1,164	1,246	1,446
AT5G41790_1	1,035	1,195	1,028
AT5G41800_1	0,791	1,533	3,455
AT5G41810_1	0,903	0,714	0,794
AT5G41810_2	0,891	0,724	0,827
AT5G41820_1	0,834	1,010	0,632
AT5G41830_1	1,126	1,638	1,076
AT5G41835_1	1,021	1,189	1,258
AT5G41840_1	0,939	0,957	0,990
AT5G41850_1	1,026	0,617	0,734
AT5G41860_1	1,158	1,461	3,076
AT5G41870_1	1,078	0,555	0,696
AT5G41880_1	0,616	0,212	0,191
AT5G41890_1	1,036	1,073	1,273

AGI	NaCl-Kontrolle zur H₂O-Kontrolle (log₂)	H₂O +B.c. zur H₂O-Kontrolle (log₂)	NaCl +B.c. zur H₂O-Kontrolle (log₂)
AT5G41900_1	1,246	0,139	0,044
AT5G41905_1	0,974	0,775	0,773
AT5G41908_1	1,057	0,998	0,925
AT5G41910_1	1,059	0,793	1,581
AT5G41920_1	0,990	0,422	0,207
AT5G41940_1	0,954	0,757	1,075
AT5G41950_1	1,014	0,835	0,859
AT5G41960_1	1,267	1,351	2,007
AT5G41970_1	1,041	0,905	0,816
AT5G41980_1	1,211	0,437	0,195
AT5G41990_1	1,188	2,182	2,744
AT5G42000_1	0,881	1,159	1,208
AT5G42000_2	0,808	1,188	1,114
AT5G42010_1	0,772	8,222	9,913
AT5G42020_1	0,966	1,276	1,305
AT5G42020_2	0,933	1,363	1,372
AT5G42030_1	1,011	0,357	0,141
AT5G42040_1	0,835	0,594	0,584
AT5G42050_1	1,011	1,745	1,935
AT5G42053_1	1,188	1,247	1,558
AT5G42060_1	0,968	0,893	0,784
AT5G42070_1	0,903	0,604	0,235
AT5G42080_1	0,981	1,075	1,031
AT5G42080_2	1,085	1,159	1,053
AT5G42090_1	1,078	1,234	1,389
AT5G42100_1	0,908	0,986	0,379
AT5G42100_2	0,994	1,017	0,356
AT5G42110_1	0,880	0,898	0,879
AT5G42120_1	1,236	1,429	1,524
AT5G42130_1	1,038	0,912	0,711
AT5G42140_1	0,945	1,326	1,274
AT5G42146_1	0,794	1,599	2,622
AT5G42150_1	0,997	2,574	2,220
AT5G42170_1	1,028	1,127	1,160
AT5G42180_1	0,823	1,344	1,262
AT5G42190_1	1,020	0,828	0,639
AT5G42200_1	1,066	0,371	0,121
AT5G42203_1	1,034	1,150	0,953
AT5G42210_1	0,812	0,377	0,233
AT5G42220_1	1,019	1,295	1,334
AT5G42223_1	0,925	1,023	1,534
AT5G42230_1	1,109	0,750	0,828
AT5G42232_1	0,959	1,101	1,135
AT5G42235_1	1,143	1,149	1,371
AT5G42240_1	1,033	0,405	0,203
AT5G42242_1	0,972	0,982	0,901
AT5G42250_1	0,862	0,568	0,921
AT5G42260_1	1,123	1,196	1,502
AT5G42265_1	0,940	0,970	1,022
AT5G42270_1	0,993	0,834	0,822

AGI	NaCl-Kontrolle zur H₂O-Kontrolle (log₂)	H₂O +B.c. zur H₂O-Kontrolle (log₂)	NaCl +B.c. zur H₂O-Kontrolle (log₂)
AT5G42280_1	1,102	0,628	0,552
AT5G42290_1	1,335	1,772	2,570
AT5G42300_1	1,017	1,013	1,666
AT5G42310_1	1,013	0,595	0,282
AT5G42320_1	0,898	1,013	1,160
AT5G42323_1	0,947	0,997	0,939
AT5G42325_1	1,066	1,055	0,928
AT5G42330_1	0,731	0,900	0,735
AT5G42340_1	1,008	1,028	0,955
AT5G42350_1	0,920	0,945	1,003
AT5G42360_1	0,886	0,847	0,998
AT5G42370_1	1,069	1,812	1,891
AT5G42380_1	0,774	21,555	35,290
AT5G42390_1	1,039	0,881	0,988
AT5G42400_1	0,887	0,625	1,024
AT5G42405_1	1,214	1,260	1,524
AT5G42410_1	0,937	0,933	1,028
AT5G42420_1	1,014	0,485	0,582
AT5G42420_2	1,012	0,442	0,563
AT5G42430_1	1,027	1,030	1,046
AT5G42440_1	0,793	1,033	1,483
AT5G42445_1	1,141	1,829	1,373
AT5G42450_1	1,116	0,470	0,363
AT5G42460_1	1,030	0,843	0,768
AT5G42470_1	0,936	0,773	1,096
AT5G42480_1	1,053	0,493	0,232
AT5G42490_1	0,873	1,009	0,934
AT5G42500_1	1,014	2,684	24,194
AT5G42504_1	1,001	1,017	1,045
AT5G42505_1	0,942	1,116	1,049
AT5G42510_1	1,409	6,845	41,485
AT5G42520_1	1,065	0,730	0,909
AT5G42520_2	1,038	0,717	0,930
AT5G42520_3	1,060	0,765	0,907
AT5G42530_1	0,999	0,833	0,801
AT5G42540_1	1,124	0,784	0,570
AT5G42560_1	1,018	0,947	1,232
AT5G42560_2	0,963	0,895	1,207
AT5G42560_3	0,882	0,664	0,727
AT5G42565_1	1,111	1,246	1,232
AT5G42567_1	0,969	1,091	0,968
AT5G42568_1	0,942	0,941	0,958
AT5G42570_1	1,007	1,218	1,529
AT5G42580_1	1,041	1,297	0,982
AT5G42590_1	1,183	1,776	2,084
AT5G42591_1	1,069	1,148	1,352
AT5G42600_1	1,069	1,150	1,096
AT5G42610_1	0,926	1,048	0,916
AT5G42620_1	0,976	0,860	0,577
AT5G42630_1	0,816	0,491	0,427

AGI	NaCl-Kontrolle zur H₂O-Kontrolle (log₂)	H₂O +B.c. zur H₂O-Kontrolle (log₂)	NaCl +B.c. zur H₂O-Kontrolle (log₂)
AT5G42630_2	1,038	1,015	1,099
AT5G42635_1	1,499	1,915	1,836
AT5G42640_1	0,955	1,021	1,049
AT5G42645_1	0,949	1,210	1,158
AT5G42650_1	1,018	1,234	1,005
AT5G42655_1	0,885	1,894	1,539
AT5G42660_1	0,839	0,652	1,122
AT5G42670_1	0,929	0,552	0,409
AT5G42677_1	0,907	0,679	0,858
AT5G42680_1	0,584	0,581	0,384
AT5G42690_1	0,568	0,294	0,192
AT5G42690_2	0,569	0,297	0,173
AT5G42700_1	1,237	1,307	1,318
AT5G42710_1	0,920	0,542	0,483
AT5G42720_1	0,739	0,417	0,235
AT5G42730_1	1,024	1,071	1,611
AT5G42740_1	1,006	1,034	1,322
AT5G42750_1	1,156	0,957	0,625
AT5G42760_1	0,953	2,108	0,504
AT5G42765_1	0,877	0,328	0,160
AT5G42770_1	0,938	0,625	0,350
AT5G42780_1	0,960	0,633	0,476
AT5G42785_1	1,430	1,819	2,100
AT5G42790_1	1,055	1,017	1,173
AT5G42797_1	1,100	1,136	1,132
AT5G42800_1	7,862	0,570	1,036
AT5G42810_1	1,019	1,202	1,261
AT5G42820_1	1,066	0,988	0,802
AT5G42820_2	1,102	0,970	1,090
AT5G42825_1	1,294	1,167	0,414
AT5G42830_1	0,409	9,993	12,094
AT5G42840_1	1,017	0,766	0,539
AT5G42850_1	0,892	1,022	2,587
AT5G42850_2	0,687	1,116	1,531
AT5G42860_1	0,786	0,575	0,124
AT5G42870_1	0,911	1,126	1,619
AT5G42880_1	0,793	0,459	0,524
AT5G42890_1	0,964	0,742	1,840
AT5G42895_1	1,033	1,046	1,019
AT5G42900_1	1,774	0,204	0,950
AT5G42900_3	1,579	0,155	0,794
AT5G42905_1	1,146	1,258	0,962
AT5G42910_1	1,206	1,589	1,571
AT5G42920_1	1,047	0,728	0,610
AT5G42930_1	0,954	7,285	6,513
AT5G42940_1	1,087	1,903	2,301
AT5G42950_1	1,073	0,944	0,987
AT5G42955_1	1,124	1,089	0,993
AT5G42957_1	1,092	1,116	1,580
AT5G42960_1	0,958	1,507	1,547

AGI	NaCl-Kontrolle zur H₂O-Kontrolle (log₂)	H₂O +B.c. zur H₂O-Kontrolle (log₂)	NaCl +B.c. zur H₂O-Kontrolle (log₂)
AT5G42965_1	1,023	1,585	2,296
AT5G42970_1	1,085	1,486	1,906
AT5G42980_1	1,087	0,977	1,365
AT5G42990_1	0,861	1,012	0,960
AT5G43000_1	1,111	1,063	1,195
AT5G43010_1	1,009	0,893	1,018
AT5G43015_1	0,973	0,990	0,889
AT5G43020_1	0,865	0,331	0,173
AT5G43030_1	1,069	1,359	1,019
AT5G43035_1	1,019	1,066	1,334
AT5G43040_1	0,737	0,232	0,158
AT5G43050_1	0,810	0,623	0,565
AT5G43060_1	1,068	0,623	2,508
AT5G43065_1	2,027	2,189	2,462
AT5G43066_1	1,364	1,628	1,895
AT5G43070_1	0,911	1,013	1,318
AT5G43080_1	0,635	0,183	0,079
AT5G43090_1	1,188	1,275	1,211
AT5G43100_1	1,008	1,266	1,326
AT5G43105_1	1,006	1,276	1,193
AT5G43110_1	1,039	1,265	1,186
AT5G43120_1	1,096	1,303	1,160
AT5G43130_1	1,011	1,148	1,403
AT5G43140_1	1,137	1,083	0,583
AT5G43150_1	1,308	0,716	0,689
AT5G43160_1	1,144	0,154	0,054
AT5G43170_1	1,087	1,998	2,351
AT5G43175_1	1,193	1,166	1,209
AT5G43180_1	0,696	3,893	8,390
AT5G43185_1	1,128	1,420	1,908
AT5G43190_1	0,817	1,097	1,292
AT5G43196_1	1,211	1,003	0,961
AT5G43200_1	0,931	0,757	0,606
AT5G43210_1	0,964	0,484	0,535
AT5G43211_1	1,170	1,262	1,427
AT5G43230_1	1,300	1,269	1,035
AT5G43240_1	0,838	0,406	0,383
AT5G43240_2	0,691	0,275	0,256
AT5G43245_1	1,053	1,024	1,074
AT5G43250_1	0,713	0,630	0,628
AT5G43260_1	0,988	0,932	1,520
AT5G43270_1	0,870	0,730	0,816
AT5G43270_2	0,932	0,777	0,912
AT5G43280_1	1,088	0,907	2,384
AT5G43280_2	0,942	0,880	1,842
AT5G43285_1	0,967	1,001	0,969
AT5G43290_1	0,997	1,432	1,268
AT5G43300_1	1,017	1,054	1,074
AT5G43310_1	0,882	0,455	0,272
AT5G43320_1	1,031	0,886	1,162

AGI	NaCl-Kontrolle zur H₂O-Kontrolle (log₂)	H₂O +B.c. zur H₂O-Kontrolle (log₂)	NaCl +B.c. zur H₂O-Kontrolle (log₂)
AT5G43330_1	1,077	1,061	1,049
AT5G43340_1	1,555	2,262	1,925
AT5G43350_1	1,065	2,228	1,529
AT5G43360_1	1,349	2,108	1,966
AT5G43370_1	1,236	2,184	1,946
AT5G43380_1	0,765	6,349	15,829
AT5G43380_2	0,932	1,079	1,624
AT5G43380_3	1,016	1,116	1,657
AT5G43390_1	1,087	1,087	1,395
AT5G43400_1	1,628	0,811	1,409
AT5G43401_1	1,077	1,152	1,111
AT5G43403_1	1,097	0,902	1,168
AT5G43405_1	1,019	1,054	0,859
AT5G43410_1	1,157	11,833	19,024
AT5G43415_1	1,158	1,097	0,786
AT5G43420_1	0,756	6,941	4,926
AT5G43430_1	0,877	0,821	1,434
AT5G43430_2	0,955	1,035	1,015
AT5G43430_3	0,959	0,891	1,535
AT5G43440_1	0,975	0,918	1,150
AT5G43440_2	0,973	0,157	0,370
AT5G43450_1	1,013	2,494	3,162
AT5G43460_1	0,922	1,188	1,239
AT5G43470_1	0,977	0,797	0,658
AT5G43470_2	0,982	0,809	0,674
AT5G43480_1	1,031	0,609	0,513
AT5G43490_1	0,891	0,861	1,295
AT5G43500_1	1,039	0,551	0,514
AT5G43510_2	0,871	0,983	1,249
AT5G43513_1	0,842	0,925	0,823
AT5G43516_1	0,867	0,971	0,866
AT5G43518_1	0,941	0,926	1,056
AT5G43520_1	0,987	1,232	1,155
AT5G43525_1	0,941	1,082	0,961
AT5G43530_1	1,031	1,033	1,050
AT5G43540_1	1,099	1,624	1,755
AT5G43550_1	0,962	1,052	1,107
AT5G43560_1	1,022	1,017	1,370
AT5G43570_1	1,223	1,272	2,485
AT5G43580_1	1,028	1,364	3,729
AT5G43590_1	1,041	1,125	1,146
AT5G43600_1	1,058	0,534	0,899
AT5G43603_1	1,038	1,065	1,039
AT5G43610_1	1,210	3,763	5,106
AT5G43620_1	1,050	1,914	6,170
AT5G43630_1	0,824	1,234	0,913
AT5G43640_1	1,146	0,985	0,732
AT5G43650_1	1,139	5,604	21,127
AT5G43660_1	1,266	1,792	2,187
AT5G43670_1	1,118	0,857	0,915

AGI	NaCl-Kontrolle zur H₂O-Kontrolle (log₂)	H₂O +B.c. zur H₂O-Kontrolle (log₂)	NaCl +B.c. zur H₂O-Kontrolle (log₂)
AT5G43680_1	0,939	0,989	1,429
AT5G43690_1	1,160	1,381	1,490
AT5G43695_1	1,007	1,052	1,151
AT5G43700_1	0,876	0,177	0,038
AT5G43710_1	0,992	0,573	0,526
AT5G43720_1	0,915	0,952	0,979
AT5G43725_1	1,026	0,654	0,802
AT5G43725_2	0,821	0,504	0,664
AT5G43730_1	0,905	0,359	0,645
AT5G43740_1	1,115	0,426	0,534
AT5G43745_1	0,957	0,819	0,994
AT5G43750_1	0,954	0,162	0,041
AT5G43755_1	1,035	1,445	1,983
AT5G43760_1	0,787	1,101	0,990
AT5G43770_1	1,117	1,284	1,290
AT5G43780_1	1,209	2,384	2,814
AT5G43790_1	1,002	1,660	1,405
AT5G43800_1	1,041	1,561	1,697
AT5G43810_1	1,170	0,508	0,326
AT5G43820_1	0,948	0,595	0,611
AT5G43822_1	0,824	0,532	0,464
AT5G43830_1	0,921	0,485	0,541
AT5G43840_1	1,963	0,386	0,357
AT5G43850_1	1,194	1,585	1,379
AT5G43860_1	1,231	0,732	0,498
AT5G43870_1	0,895	0,626	0,121
AT5G43880_1	1,044	0,491	0,209
AT5G43890_1	0,809	1,047	0,868
AT5G43900_1	0,949	0,937	1,513
AT5G43910_1	0,766	0,547	1,067
AT5G43910_2	1,072	0,807	1,390
AT5G43920_1	1,123	0,639	0,362
AT5G43930_1	1,001	1,231	1,576
AT5G43930_2	0,972	1,189	1,453
AT5G43930_3	0,966	1,199	1,518
AT5G43935_1	1,320	2,461	1,213
AT5G43940_1	1,071	1,001	0,971
AT5G43950_1	0,950	0,409	0,226
AT5G43960_1	1,044	1,090	0,850
AT5G43970_1	0,923	0,842	0,836
AT5G43980_1	0,976	0,411	1,038
AT5G43990_1	1,307	0,181	0,113
AT5G44000_1	1,009	0,624	0,747
AT5G44005_1	1,248	0,290	1,792
AT5G44010_1	0,563	0,131	0,336
AT5G44020_1	0,724	0,440	0,010
AT5G44030_1	0,766	0,200	0,131
AT5G44040_1	0,768	1,182	0,292
AT5G44050_1	0,787	1,953	0,918
AT5G44060_1	0,901	2,059	1,658

AGI	NaCl-Kontrolle zur H₂O-Kontrolle (log₂)	H₂O +B.c. zur H₂O-Kontrolle (log₂)	NaCl +B.c. zur H₂O-Kontrolle (log₂)
AT5G44065_1	1,032	1,135	1,245
AT5G44070_1	0,795	1,366	1,082
AT5G44080_1	1,022	1,121	1,027
AT5G44090_1	1,072	1,389	1,840
AT5G44100_1	1,041	0,972	1,072
AT5G44110_1	0,752	0,904	0,496
AT5G44110_2	0,799	0,865	0,437
AT5G44110_3	0,707	0,759	0,398
AT5G44120_1	1,084	1,210	1,200
AT5G44120_2	0,986	1,036	1,075
AT5G44120_3	1,083	1,087	1,172
AT5G44130_1	0,666	0,708	0,036
AT5G44140_1	1,078	1,150	1,328
AT5G44150_1	0,989	0,810	1,366
AT5G44160_1	1,065	0,649	0,727
AT5G44170_1	0,959	1,282	1,358
AT5G44180_1	0,971	0,850	1,039
AT5G44190_1	0,948	0,673	0,329
AT5G44200_1	0,953	0,513	0,428
AT5G44200_2	0,942	0,823	0,789
AT5G44210_1	0,666	0,443	0,293
AT5G44220_1	0,952	1,038	0,999
AT5G44230_1	1,104	0,681	0,524
AT5G44240_1	0,946	1,470	1,890
AT5G44250_1	0,898	0,675	1,234
AT5G44250_2	0,876	0,684	1,262
AT5G44255_1	0,860	0,981	0,897
AT5G44260_1	1,074	0,209	0,239
AT5G44265_1	1,134	1,234	1,456
AT5G44270_1	1,028	1,010	1,021
AT5G44280_1	1,074	0,733	0,643
AT5G44280_2	1,430	0,770	0,612
AT5G44286_1	0,997	0,920	0,945
AT5G44290_1	0,925	1,413	1,319
AT5G44290_4	0,983	1,462	1,395
AT5G44300_1	1,089	1,225	1,252
AT5G44306_1	1,097	1,146	1,289
AT5G44310_1	0,958	0,930	0,971
AT5G44310_2	0,909	1,054	0,999
AT5G44313_1	1,379	1,618	1,946
AT5G44316_1	1,335	1,156	0,994
AT5G44320_1	1,034	1,483	1,445
AT5G44330_1	1,178	1,138	1,062
AT5G44340_1	0,884	0,832	0,653
AT5G44345_1	1,327	1,259	1,529
AT5G44350_1	1,197	1,788	1,452
AT5G44360_1	1,007	1,032	1,237
AT5G44370_1	0,882	0,862	0,519
AT5G44375_1	1,086	0,570	0,989
AT5G44380_1	1,078	46,957	85,076

AGI	NaCl-Kontrolle zur H₂O-Kontrolle (log₂)	H₂O +B.c. zur H₂O-Kontrolle (log₂)	NaCl +B.c. zur H₂O-Kontrolle (log₂)
AT5G44390_1	0,472	5,647	4,784
AT5G44400_1	0,987	0,592	0,427
AT5G44410_1	1,068	0,519	0,121
AT5G44415_1	1,252	1,407	1,734
AT5G44416_1	0,990	0,956	0,942
AT5G44417_1	1,141	1,216	1,121
AT5G44418_1	1,055	1,043	1,316
AT5G44420_1	1,318	8,490	1,663
AT5G44430_1	2,345	67,460	4,791
AT5G44440_1	0,868	0,944	0,895
AT5G44450_1	0,971	1,270	1,111
AT5G44460_1	1,078	1,241	1,342
AT5G44470_1	0,948	0,964	1,219
AT5G44480_1	0,903	82,787	94,691
AT5G44490_1	0,948	0,490	0,377
AT5G44495_1	1,078	1,131	1,192
AT5G44500_1	0,969	1,420	1,173
AT5G44500_2	1,247	1,392	1,208
AT5G44510_1	0,924	0,392	0,429
AT5G44520_1	0,994	0,660	0,345
AT5G44530_1	1,043	0,235	0,111
AT5G44540_1	0,926	0,317	0,437
AT5G44550_1	0,691	0,754	0,792
AT5G44555_1	1,024	0,983	1,014
AT5G44560_1	0,981	0,395	0,287
AT5G44562_1	0,910	1,721	2,381
AT5G44565_1	0,668	2,043	1,889
AT5G44568_1	0,373	0,364	0,551
AT5G44570_1	0,949	0,956	1,215
AT5G44570_2	1,340	1,779	4,854
AT5G44572_1	0,894	1,018	1,124
AT5G44574_1	0,973	1,206	1,341
AT5G44575_1	0,675	1,656	5,941
AT5G44578_1	0,688	0,299	0,288
AT5G44580_1	0,950	1,072	0,766
AT5G44582_1	0,872	0,857	0,686
AT5G44585_1	0,671	1,978	3,085
AT5G44590_1	0,889	0,316	0,226
AT5G44600_1	1,060	0,184	0,065
AT5G44610_1	1,040	1,302	1,971
AT5G44620_1	1,041	1,176	1,499
AT5G44630_1	1,041	1,245	1,431
AT5G44635_1	0,627	0,238	0,132
AT5G44640_1	1,024	1,245	2,170
AT5G44650_1	0,922	0,534	0,277
AT5G44660_1	1,039	0,374	0,207
AT5G44670_1	1,060	1,870	0,269
AT5G44680_1	0,901	0,174	0,008
AT5G44690_1	1,000	0,929	0,935
AT5G44700_1	1,031	0,824	0,955

AGI	NaCl-Kontrolle zur H ₂ O-Kontrolle (log ₂)	H ₂ O +B.c. zur H ₂ O-Kontrolle (log ₂)	NaCl +B.c. zur H ₂ O-Kontrolle (log ₂)
AT5G44710_1	0,948	0,766	0,827
AT5G44720_1	0,778	1,315	1,158
AT5G44720_2	0,813	0,951	0,908
AT5G44730_1	0,952	0,404	0,510
AT5G44730_2	0,975	0,381	0,474
AT5G44740_1	0,862	0,500	0,450
AT5G44750_1	1,034	1,041	1,037
AT5G44760_1	1,171	1,612	1,855
AT5G44770_1	0,956	0,969	0,980
AT5G44780_1	1,272	1,872	1,192
AT5G44785_1	1,080	0,428	0,166
AT5G44785_2	1,047	0,420	0,157
AT5G44790_1	1,031	1,113	1,710
AT5G44800_1	1,042	0,913	0,987
AT5G44820_1	0,701	1,120	1,927
AT5G44830_1	1,029	0,970	0,985
AT5G44840_1	0,966	0,943	0,931
AT5G44850_1	1,096	1,126	1,054
AT5G44860_1	0,775	1,826	1,812
AT5G44870_1	0,907	1,278	1,353
AT5G44880_1	1,120	1,209	1,407
AT5G44894_1	0,913	0,932	0,949
AT5G44900_1	0,931	1,217	1,367
AT5G44910_1	0,806	0,992	1,114
AT5G44920_1	0,993	0,674	0,628
AT5G44920_2	0,979	0,595	0,645
AT5G44925_1	1,226	1,148	1,353
AT5G44930_1	1,016	0,673	0,691
AT5G44930_2	0,997	0,332	0,388
AT5G44940_1	0,900	0,997	0,982
AT5G44950_1	1,107	1,079	1,169
AT5G44960_1	1,205	1,052	1,102
AT5G44970_1	1,040	1,092	1,115
AT5G44973_1	0,963	1,121	1,240
AT5G44980_1	1,066	1,590	3,101
AT5G44990_1	0,873	24,968	61,774
AT5G44990_2	0,717	22,413	51,765
AT5G44990_3	0,930	1,920	4,275
AT5G45000_1	0,807	0,556	1,073
AT5G45010_1	1,021	0,987	1,166
AT5G45020_1	0,878	0,382	0,223
AT5G45030_1	0,888	0,277	0,109
AT5G45040_1	0,885	0,267	0,095
AT5G45050_1	1,009	1,005	0,873
AT5G45060_1	1,053	1,250	1,010
AT5G45070_1	0,973	1,408	1,666
AT5G45080_1	0,813	0,627	0,360
AT5G45082_1	1,086	1,176	1,130
AT5G45085_1	1,108	1,102	1,255
AT5G45090_1	0,829	2,286	3,267

AGI	NaCl-Kontrolle zur H₂O-Kontrolle (log₂)	H₂O +B.c. zur H₂O-Kontrolle (log₂)	NaCl +B.c. zur H₂O-Kontrolle (log₂)
AT5G45095_1	1,248	1,540	2,322
AT5G45100_1	1,332	1,559	2,424
AT5G45100_2	1,248	1,484	2,255
AT5G45105_1	1,007	1,231	1,386
AT5G45105_2	1,048	1,404	1,569
AT5G45110_1	0,976	1,489	2,065
AT5G45113_1	1,111	1,097	1,048
AT5G45116_1	1,041	0,955	0,994
AT5G45120_1	0,983	0,970	1,102
AT5G45130_1	0,937	1,304	1,271
AT5G45140_1	1,247	0,765	0,524
AT5G45150_1	1,252	0,758	0,804
AT5G45160_1	1,155	0,938	1,286
AT5G45170_1	0,959	0,537	0,623
AT5G45180_1	0,819	3,149	4,377
AT5G45190_1	1,000	0,899	1,041
AT5G45200_1	1,075	1,265	1,266
AT5G45210_1	1,019	1,045	1,140
AT5G45220_1	1,026	0,941	0,921
AT5G45230_1	1,076	1,147	1,178
AT5G45240_1	1,079	1,071	1,294
AT5G45250_1	1,075	1,267	1,120
AT5G45260_1	0,965	1,104	0,914
AT5G45260_2	0,845	0,504	0,532
AT5G45275_1	1,216	0,554	1,053
AT5G45276_1	0,878	0,890	1,009
AT5G45280_1	0,685	1,125	0,951
AT5G45280_2	0,677	1,111	0,951
AT5G45290_1	0,951	0,417	0,173
AT5G45300_1	0,985	0,756	0,410
AT5G45300_2	1,000	0,792	0,441
AT5G45307_1	1,124	1,499	1,615
AT5G45310_1	1,243	0,350	0,329
AT5G45320_1	0,752	0,672	0,799
AT5G45330_1	1,065	0,698	0,543
AT5G45340_1	0,535	1,548	1,406
AT5G45340_2	0,526	1,484	1,380
AT5G45350_1	1,314	0,884	1,582
AT5G45350_2	0,959	1,263	1,989
AT5G45360_1	1,001	0,991	1,244
AT5G45370_1	0,863	0,811	1,621
AT5G45370_2	0,942	0,814	1,635
AT5G45370_3	0,960	0,814	1,684
AT5G45380_1	1,233	2,638	3,823
AT5G45390_1	0,957	0,711	0,734
AT5G45400_1	0,901	0,852	0,859
AT5G45410_1	1,011	1,949	2,420
AT5G45410_2	0,879	4,010	7,836
AT5G45420_1	1,003	0,980	1,027
AT5G45428_1	1,018	1,126	0,980

AGI	NaCl-Kontrolle zur H₂O-Kontrolle (log₂)	H₂O +B.c. zur H₂O-Kontrolle (log₂)	NaCl +B.c. zur H₂O-Kontrolle (log₂)
AT5G45440_1	0,982	1,107	1,383
AT5G45450_1	1,154	1,088	0,793
AT5G45460_1	0,970	0,276	0,208
AT5G45469_1	1,190	0,671	0,680
AT5G45470_1	0,877	0,468	0,807
AT5G45480_1	0,846	1,176	0,986
AT5G45490_1	0,749	0,132	0,052
AT5G45490_2	0,880	0,350	0,205
AT5G45500_1	0,908	0,718	0,838
AT5G45510_1	0,951	0,611	0,794
AT5G45510_2	0,826	0,539	0,826
AT5G45520_1	0,685	0,395	0,545
AT5G45530_1	0,566	0,282	0,199
AT5G45540_1	0,637	0,308	0,292
AT5G45550_1	0,806	0,999	1,330
AT5G45560_1	0,982	0,517	0,540
AT5G45570_1	1,238	1,423	1,630
AT5G45573_1	1,109	1,317	1,215
AT5G45576_1	1,182	1,141	1,028
AT5G45580_1	0,909	0,709	0,658
AT5G45590_1	0,819	0,448	0,255
AT5G45595_1	0,975	1,327	1,485
AT5G45600_1	1,003	0,671	0,878
AT5G45610_1	1,201	0,204	0,213
AT5G45620_1	0,987	1,060	1,096
AT5G45620_2	0,904	0,814	0,929
AT5G45630_1	1,217	3,145	23,453
AT5G45640_1	1,030	1,077	1,278
AT5G45650_1	1,094	0,393	0,819
AT5G45660_1	0,807	0,470	0,364
AT5G45670_1	0,418	0,045	0,031
AT5G45680_1	0,839	0,184	0,040
AT5G45690_1	0,975	1,044	1,322
AT5G45700_1	0,554	0,289	0,285
AT5G45710_1	0,947	1,687	2,067
AT5G45710_2	1,141	1,310	2,289
AT5G45720_1	1,362	1,437	0,586
AT5G45730_1	1,306	0,545	0,375
AT5G45740_1	0,880	0,325	0,247
AT5G45750_1	0,929	0,560	0,686
AT5G45760_1	0,897	0,553	0,517
AT5G45760_2	0,803	0,559	0,519
AT5G45770_1	0,976	1,046	1,015
AT5G45775_1	1,080	0,975	0,742
AT5G45775_2	0,864	0,818	0,574
AT5G45780_1	0,947	0,524	0,248
AT5G45790_1	1,060	0,812	1,030
AT5G45800_1	1,187	1,252	2,747
AT5G45810_1	1,464	3,904	6,421
AT5G45820_1	0,939	0,521	0,144

AGI	NaCl-Kontrolle zur H₂O-Kontrolle (log₂)	H₂O +B.c. zur H₂O-Kontrolle (log₂)	NaCl +B.c. zur H₂O-Kontrolle (log₂)
AT5G45830_1	0,656	0,346	0,165
AT5G45840_1	0,636	1,509	1,527
AT5G45850_1	0,895	0,603	0,575
AT5G45860_1	1,024	0,989	1,002
AT5G45870_1	0,873	0,948	1,017
AT5G45875_1	1,080	1,077	1,093
AT5G45880_1	1,056	1,311	1,307
AT5G45890_1	1,045	21,422	471,010
AT5G45900_1	1,001	1,569	4,007
AT5G45905_1	1,009	1,318	1,573
AT5G45910_1	1,005	1,079	1,194
AT5G45920_1	1,022	0,099	0,155
AT5G45930_1	0,934	0,223	0,043
AT5G45940_1	0,948	0,253	0,048
AT5G45940_2	0,916	0,243	0,043
AT5G45950_1	0,911	0,087	0,007
AT5G45960_1	0,745	0,335	0,264
AT5G45970_1	0,890	0,833	0,838
AT5G45973_1	0,910	1,135	1,164
AT5G45980_1	1,147	1,115	1,159
AT5G45990_1	1,138	1,611	2,548
AT5G46000_1	0,999	1,242	0,934
AT5G46010_1	1,151	1,360	1,946
AT5G46013_1	1,087	1,416	2,195
AT5G46020_1	1,006	0,888	0,849
AT5G46025_1	1,017	0,991	0,947
AT5G46030_1	1,008	1,150	1,500
AT5G46040_1	0,914	1,386	2,332
AT5G46050_1	0,498	3,700	17,249
AT5G46060_1	1,059	1,078	1,161
AT5G46070_1	1,123	0,758	0,731
AT5G46080_1	0,908	6,215	7,416
AT5G46090_1	1,092	0,468	0,209
AT5G46100_1	1,277	0,540	0,247
AT5G46110_1	1,009	0,848	0,609
AT5G46110_2	1,002	0,824	0,576
AT5G46115_1	1,043	1,407	2,315
AT5G46120_1	0,982	1,009	1,152
AT5G46130_1	1,024	0,976	1,154
AT5G46140_1	0,833	0,878	1,273
AT5G46150_1	0,733	0,381	0,982
AT5G46150_2	0,891	0,757	0,968
AT5G46160_1	1,068	0,742	0,646
AT5G46160_2	0,975	0,673	0,261
AT5G46170_1	0,978	1,062	0,996
AT5G46180_1	1,038	2,441	4,192
AT5G46190_1	0,956	0,897	0,870
AT5G46195_1	0,867	0,874	0,902
AT5G46200_1	0,958	0,944	0,917
AT5G46210_1	1,043	0,876	0,915

AGI	NaCl-Kontrolle zur H₂O-Kontrolle (log₂)	H₂O +B.c. zur H₂O-Kontrolle (log₂)	NaCl +B.c. zur H₂O-Kontrolle (log₂)
AT5G46220_1	0,874	0,144	0,048
AT5G46230_1	0,821	1,017	3,323
AT5G46240_1	0,698	0,502	1,227
AT5G46250_1	1,118	1,332	1,502
AT5G46250_2	1,114	1,197	1,370
AT5G46250_3	1,098	1,179	1,301
AT5G46260_1	1,109	0,800	1,184
AT5G46270_1	1,006	0,632	0,643
AT5G46280_1	0,706	0,376	0,244
AT5G46290_1	1,004	0,782	0,512
AT5G46290_2	1,009	0,756	0,455
AT5G46295_1	0,780	17,273	17,457
AT5G46300_1	1,035	0,975	1,115
AT5G46310_1	1,118	1,069	1,306
AT5G46315_1	0,998	0,965	0,963
AT5G46320_1	0,965	0,959	0,991
AT5G46330_1	0,713	0,204	0,095
AT5G46340_1	1,002	0,958	0,994
AT5G46360_1	0,863	2,392	2,818
AT5G46370_1	0,948	1,105	1,408
AT5G46380_1	1,156	1,245	1,505
AT5G46390_1	1,427	0,463	0,316
AT5G46390_2	1,080	0,338	0,356
AT5G46400_1	1,040	0,527	0,635
AT5G46410_1	0,929	2,129	2,803
AT5G46417_1	1,072	1,341	2,058
AT5G46420_1	0,986	0,471	0,346
AT5G46430_1	1,012	0,867	0,667
AT5G46430_2	0,997	0,870	0,638
AT5G46440_1	0,837	0,769	0,532
AT5G46450_1	0,966	0,939	0,700
AT5G46460_1	1,461	0,792	1,925
AT5G46470_1	0,943	0,983	1,084
AT5G46490_1	1,112	0,818	0,888
AT5G46490_2	0,814	1,184	1,295
AT5G46500_1	0,864	1,478	2,033
AT5G46510_1	0,867	0,736	0,287
AT5G46520_1	0,889	0,677	0,884
AT5G46530_1	0,506	0,207	0,189
AT5G46540_1	1,449	1,695	1,762
AT5G46550_1	1,086	0,890	0,626
AT5G46560_1	0,952	1,298	1,360
AT5G46570_1	0,935	0,169	0,037
AT5G46580_1	1,023	0,613	0,209
AT5G46590_1	1,100	7,004	6,819
AT5G46595_1	0,879	0,360	0,687
AT5G46600_1	0,852	0,121	0,116
AT5G46610_1	0,952	1,009	0,940
AT5G46620_1	0,854	0,814	1,155
AT5G46630_1	0,667	1,163	2,873

AGI	NaCl-Kontrolle zur H₂O-Kontrolle (log₂)	H₂O +B.c. zur H₂O-Kontrolle (log₂)	NaCl +B.c. zur H₂O-Kontrolle (log₂)
AT5G46630_2	0,851	0,446	0,564
AT5G46640_1	1,443	0,708	0,587
AT5G46645_1	1,359	1,295	1,620
AT5G46650_1	1,012	1,095	1,276
AT5G46660_1	1,278	1,121	1,269
AT5G46665_1	1,113	0,965	0,993
AT5G46670_1	1,169	0,909	0,880
AT5G46680_1	1,124	0,749	1,205
AT5G46690_1	0,972	0,263	0,036
AT5G46700_1	0,734	0,140	0,078
AT5G46710_1	0,782	0,335	0,546
AT5G46720_1	1,021	1,036	3,290
AT5G46730_1	0,934	0,798	0,861
AT5G46730_2	0,909	0,769	0,838
AT5G46740_1	0,622	1,133	0,917
AT5G46750_1	1,021	1,619	1,707
AT5G46760_1	1,110	1,623	1,440
AT5G46770_1	1,084	4,454	4,524
AT5G46780_1	0,663	5,167	5,381
AT5G46780_2	0,752	4,641	4,211
AT5G46790_1	0,720	1,863	1,335
AT5G46795_1	0,922	1,047	0,997
AT5G46800_1	0,992	0,858	0,654
AT5G46810_1	1,006	1,033	1,022
AT5G46820_1	0,906	0,904	1,017
AT5G46830_1	2,088	0,134	0,101
AT5G46840_1	0,974	1,289	0,890
AT5G46850_1	0,842	0,524	0,916
AT5G46860_1	1,082	0,872	0,984
AT5G46870_1	0,996	0,670	0,858
AT5G46871_1	1,354	1,503	3,495
AT5G46873_1	1,111	1,148	1,336
AT5G46874_1	1,069	1,078	1,196
AT5G46875_1	0,975	1,019	0,943
AT5G46877_1	0,895	0,935	0,937
AT5G46880_1	0,896	0,130	0,094
AT5G46890_1	1,072	1,173	1,266
AT5G46900_1	1,097	1,130	1,145
AT5G46910_1	0,782	5,416	5,082
AT5G46915_1	1,030	1,040	1,047
AT5G46920_1	1,232	1,109	0,956
AT5G46930_1	1,004	1,009	1,041
AT5G46940_1	1,282	1,335	1,552
AT5G46950_1	0,988	5,325	77,759
AT5G46960_1	1,133	8,035	162,447
AT5G46970_1	1,088	1,102	1,147
AT5G46980_1	0,970	0,983	1,060
AT5G46990_1	0,941	0,950	0,979
AT5G47000_1	1,192	1,178	1,441
AT5G47010_1	1,063	0,938	0,838

AGI	NaCl-Kontrolle zur H₂O-Kontrolle (log₂)	H₂O +B.c. zur H₂O-Kontrolle (log₂)	NaCl +B.c. zur H₂O-Kontrolle (log₂)
AT5G47020_1	1,042	0,432	0,856
AT5G47030_1	0,995	0,838	0,994
AT5G47040_1	1,072	0,580	0,634
AT5G47050_1	0,917	4,446	5,665
AT5G47060_1	1,211	0,837	2,505
AT5G47070_1	0,807	1,096	1,968
AT5G47075_1	1,801	2,136	2,459
AT5G47077_1	1,334	1,537	2,437
AT5G47080_1	1,080	1,257	1,491
AT5G47080_2	1,137	1,320	1,483
AT5G47080_3	1,085	1,298	1,473
AT5G47090_1	1,005	0,736	0,827
AT5G47100_1	1,059	0,837	1,190
AT5G47110_1	0,980	0,663	0,399
AT5G47120_1	0,844	1,401	1,818
AT5G47130_1	0,698	0,808	1,336
AT5G47140_1	0,873	1,705	3,703
AT5G47150_1	1,105	1,186	1,653
AT5G47160_1	1,343	0,948	0,758
AT5G47170_1	0,981	1,263	1,236
AT5G47175_1	1,114	1,275	1,416
AT5G47180_1	0,977	1,449	2,862
AT5G47180_2	1,048	1,524	2,856
AT5G47190_1	0,869	0,390	0,143
AT5G47200_1	0,816	2,691	4,378
AT5G47210_1	1,043	0,877	0,605
AT5G47210_2	1,077	0,865	0,603
AT5G47210_3	1,051	0,874	0,635
AT5G47220_1	0,849	1,075	0,868
AT5G47225_1	1,083	1,041	1,120
AT5G47229_1	1,030	1,267	1,373
AT5G47230_1	0,686	1,364	1,230
AT5G47240_1	0,923	0,734	0,581
AT5G47250_1	0,856	0,478	0,424
AT5G47260_1	1,312	1,385	1,650
AT5G47280_1	1,181	1,153	1,459
AT5G47290_1	1,207	1,175	1,327
AT5G47300_1	0,956	1,017	1,152
AT5G47306_1	1,053	1,105	1,344
AT5G47310_1	0,909	0,803	0,971
AT5G47320_1	1,034	0,717	1,179
AT5G47330_1	1,134	0,060	0,075
AT5G47340_1	1,100	0,826	0,928
AT5G47350_1	1,061	0,990	1,167
AT5G47360_1	0,805	0,548	0,675
AT5G47370_1	0,735	0,617	0,740
AT5G47380_1	0,824	0,188	0,068
AT5G47390_1	0,957	0,562	0,609
AT5G47400_1	1,144	0,912	0,755
AT5G47410_1	0,997	0,914	0,784

AGI	NaCl-Kontrolle zur H₂O-Kontrolle (log₂)	H₂O +B.c. zur H₂O-Kontrolle (log₂)	NaCl +B.c. zur H₂O-Kontrolle (log₂)
AT5G47420_1	0,838	1,626	1,697
AT5G47430_1	1,031	1,180	1,941
AT5G47435_1	0,962	0,677	0,853
AT5G47435_2	0,967	0,642	0,803
AT5G47440_1	1,086	0,248	0,081
AT5G47445_1	0,891	0,830	1,022
AT5G47450_1	1,684	1,482	1,559
AT5G47455_1	1,020	0,518	0,264
AT5G47455_2	1,028	0,788	0,709
AT5G47455_3	1,142	0,707	0,450
AT5G47455_4	1,061	0,760	0,430
AT5G47455_5	1,233	0,648	0,396
AT5G47455_6	1,054	0,713	0,414
AT5G47455_7	1,126	0,739	0,521
AT5G47460_1	1,394	0,799	0,495
AT5G47470_1	1,016	1,221	1,302
AT5G47480_1	1,109	1,180	1,270
AT5G47490_1	1,140	0,840	0,832
AT5G47500_1	0,597	0,270	0,212
AT5G47510_1	1,260	0,524	0,469
AT5G47520_1	0,953	0,728	0,735
AT5G47530_1	1,291	1,259	1,290
AT5G47540_1	0,976	0,893	0,991
AT5G47550_1	0,929	0,816	1,982
AT5G47560_1	1,096	1,652	3,200
AT5G47570_1	1,030	0,776	1,195
AT5G47580_1	0,921	0,820	0,969
AT5G47590_1	0,973	13,321	13,792
AT5G47600_1	1,276	1,505	1,825
AT5G47610_1	1,055	2,643	0,414
AT5G47620_1	1,096	1,620	1,569
AT5G47630_1	0,962	0,578	0,206
AT5G47630_2	1,100	0,980	1,046
AT5G47635_1	1,124	1,298	1,748
AT5G47640_1	1,416	0,652	0,231
AT5G47650_1	1,012	0,689	1,191
AT5G47660_1	1,239	1,105	1,620
AT5G47670_1	1,397	1,282	1,895
AT5G47670_2	1,253	1,190	1,228
AT5G47680_1	1,076	1,165	1,029
AT5G47690_1	1,039	0,806	0,827
AT5G47690_2	1,049	0,804	0,828
AT5G47690_3	1,047	0,814	0,868
AT5G47700_1	0,640	0,760	0,444
AT5G47700_2	0,711	0,773	0,457
AT5G47710_1	1,050	1,503	1,545
AT5G47710_2	0,948	1,134	0,955
AT5G47720_1	1,112	0,541	0,444
AT5G47720_2	1,036	0,575	0,509
AT5G47720_4	1,168	0,580	0,483

AGI	NaCl-Kontrolle zur H₂O-Kontrolle (log₂)	H₂O +B.c. zur H₂O-Kontrolle (log₂)	NaCl +B.c. zur H₂O-Kontrolle (log₂)
AT5G47730_1	0,737	5,821	5,539
AT5G47730_2	0,720	6,042	5,688
AT5G47730_3	0,753	5,689	5,477
AT5G47740_1	1,183	5,371	12,747
AT5G47750_1	1,081	1,005	0,766
AT5G47760_1	1,057	1,044	1,830
AT5G47770_1	0,842	0,512	0,470
AT5G47780_1	0,903	0,718	0,550
AT5G47790_1	0,940	0,931	0,794
AT5G47800_1	0,826	0,465	0,234
AT5G47810_1	1,368	2,236	1,940
AT5G47815_1	1,101	1,419	1,645
AT5G47818_1	1,143	1,764	1,691
AT5G47820_1	0,909	0,556	0,392
AT5G47820_2	0,997	0,577	0,321
AT5G47830_1	1,034	1,910	1,798
AT5G47830_2	1,098	1,958	1,770
AT5G47840_1	0,943	0,553	0,474
AT5G47850_1	0,620	6,560	5,639
AT5G47860_1	1,084	1,786	2,535
AT5G47870_1	1,079	1,398	1,073
AT5G47880_1	1,061	1,549	2,010
AT5G47880_2	0,987	1,522	1,940
AT5G47890_1	0,897	0,980	1,098
AT5G47900_1	1,075	0,224	0,234
AT5G47900_2	1,170	0,252	0,313
AT5G47900_3	1,164	0,212	0,231
AT5G47900_4	1,047	0,238	0,273
AT5G47900_5	1,160	0,254	0,319
AT5G47900_6	1,251	0,264	0,318
AT5G47910_1	0,890	2,272	2,008
AT5G47920_1	0,791	0,560	0,672
AT5G47928_1	0,997	1,055	1,094
AT5G47930_1	0,949	0,963	1,004
AT5G47940_1	1,007	0,689	1,018
AT5G47950_1	1,101	1,326	1,237
AT5G47960_1	0,695	12,866	19,460
AT5G47970_1	1,060	1,442	1,181
AT5G47980_1	1,402	9,083	6,931
AT5G47990_1	1,174	1,006	0,879
AT5G48000_1	1,188	1,486	1,339
AT5G48000_6	1,146	1,260	1,239
AT5G48010_1	1,018	1,035	1,383
AT5G48010_2	0,964	1,033	1,929
AT5G48020_1	0,978	0,875	2,036
AT5G48030_1	1,293	1,243	0,856
AT5G48040_1	1,144	0,716	0,712
AT5G48050_1	0,957	0,525	0,471
AT5G48060_1	0,790	0,636	0,596
AT5G48070_1	0,673	0,928	0,872

AGI	NaCl-Kontrolle zur H₂O-Kontrolle (log₂)	H₂O +B.c. zur H₂O-Kontrolle (log₂)	NaCl +B.c. zur H₂O-Kontrolle (log₂)
AT5G48090_1	1,063	0,788	0,839
AT5G48100_1	0,950	1,042	1,142
AT5G48110_1	0,951	1,135	1,263
AT5G48120_1	0,957	1,513	1,380
AT5G48130_1	0,944	1,012	1,124
AT5G48140_1	1,008	1,049	1,088
AT5G48150_1	0,990	1,157	0,963
AT5G48160_1	0,974	0,777	0,879
AT5G48170_1	1,027	1,777	1,160
AT5G48175_1	1,200	1,514	1,543
AT5G48180_1	1,184	1,994	4,275
AT5G48200_1	1,038	1,135	1,120
AT5G48205_1	0,976	1,222	1,239
AT5G48210_1	1,034	1,099	1,446
AT5G48220_1	0,863	0,338	0,186
AT5G48220_2	0,914	0,195	0,117
AT5G48230_1	0,884	0,727	0,626
AT5G48240_1	1,170	2,091	1,988
AT5G48240_2	0,872	0,835	0,885
AT5G48240_3	1,225	2,083	1,959
AT5G48250_1	1,424	0,228	0,718
AT5G48270_1	1,352	1,604	1,940
AT5G48280_1	0,982	0,975	0,951
AT5G48290_1	1,062	1,097	1,445
AT5G48290_2	1,055	1,186	1,302
AT5G48300_1	0,971	0,613	0,526
AT5G48310_1	0,689	0,418	0,320
AT5G48320_1	1,151	0,760	0,778
AT5G48330_1	1,279	0,658	0,351
AT5G48330_2	1,361	0,685	0,399
AT5G48335_1	0,865	0,843	0,915
AT5G48340_1	1,076	0,853	1,152
AT5G48350_1	0,971	1,158	1,279
AT5G48360_1	1,002	0,467	0,048
AT5G48370_1	1,157	0,996	1,252
AT5G48370_2	1,132	0,947	1,196
AT5G48375_1	1,177	0,901	1,288
AT5G48380_1	0,803	1,161	1,322
AT5G48385_1	1,027	1,056	1,120
AT5G48390_1	1,076	1,221	1,257
AT5G48400_1	1,522	7,134	22,184
AT5G48400_2	0,877	23,822	63,654
AT5G48410_1	1,022	30,095	95,861
AT5G48420_1	1,119	1,005	1,117
AT5G48430_1	1,181	2,800	2,178
AT5G48440_1	0,901	0,762	0,598
AT5G48440_2	0,923	0,747	0,597
AT5G48450_1	0,582	0,517	0,369
AT5G48460_1	0,789	0,181	0,020
AT5G48470_1	1,307	0,662	0,385

AGI	NaCl-Kontrolle zur H₂O-Kontrolle (log₂)	H₂O +B.c. zur H₂O-Kontrolle (log₂)	NaCl +B.c. zur H₂O-Kontrolle (log₂)
AT5G48480_1	1,134	0,720	1,534
AT5G48485_1	1,026	1,073	0,704
AT5G48490_1	0,599	0,151	0,124
AT5G48500_1	1,104	0,556	1,198
AT5G48510_1	1,260	1,309	1,709
AT5G48515_1	1,060	1,092	1,163
AT5G48520_1	1,053	0,549	0,573
AT5G48530_1	0,770	2,335	3,502
AT5G48540_1	0,255	6,599	7,839
AT5G48543_1	1,080	1,175	1,363
AT5G48545_1	0,918	0,572	0,285
AT5G48550_1	1,022	1,060	1,081
AT5G48560_1	0,688	1,446	1,971
AT5G48570_1	1,004	14,725	17,089
AT5G48575_1	1,005	1,099	1,219
AT5G48580_1	0,897	0,674	0,595
AT5G48590_1	1,054	0,543	0,388
AT5G48595_1	1,190	1,403	1,412
AT5G48600_1	0,815	0,371	0,337
AT5G48605_1	1,230	1,781	1,522
AT5G48610_1	0,945	0,921	1,234
AT5G48620_1	0,942	0,755	0,700
AT5G48630_1	0,839	0,506	0,563
AT5G48640_1	0,961	0,997	2,191
AT5G48650_1	1,175	1,417	1,637
AT5G48655_1	0,945	1,323	1,582
AT5G48655_2	0,967	1,345	1,657
AT5G48655_3	0,975	0,896	0,971
AT5G48657_1	0,929	1,038	1,131
AT5G48657_2	0,468	14,956	20,047
AT5G48660_1	0,826	0,364	0,103
AT5G48670_1	1,086	2,303	4,023
AT5G48680_1	0,851	1,150	0,912
AT5G48690_1	0,957	0,755	0,779
AT5G48690_2	0,867	0,730	0,965
AT5G48700_1	1,023	1,014	0,987
AT5G48710_1	1,023	1,029	1,028
AT5G48720_1	0,969	0,882	0,979
AT5G48720_2	0,925	0,687	0,730
AT5G48730_1	1,290	0,721	0,296
AT5G48740_1	0,777	0,274	0,213
AT5G48750_1	1,211	1,395	1,498
AT5G48760_1	0,952	0,767	0,611
AT5G48760_2	1,032	0,880	0,582
AT5G48770_1	1,053	0,490	0,811
AT5G48775_1	1,065	0,541	1,198
AT5G48780_1	0,798	1,020	1,189
AT5G48790_1	0,875	0,532	0,366
AT5G48800_1	0,902	0,393	0,269
AT5G48810_1	1,034	0,886	0,893

AGI	NaCl-Kontrolle zur H₂O-Kontrolle (log₂)	H₂O +B.c. zur H₂O-Kontrolle (log₂)	NaCl +B.c. zur H₂O-Kontrolle (log₂)
AT5G48820_1	0,738	0,955	1,345
AT5G48830_1	0,964	0,515	0,331
AT5G48840_1	1,057	0,888	0,594
AT5G48850_1	2,488	6,620	4,613
AT5G48860_1	1,169	1,210	1,233
AT5G48870_1	0,918	0,823	0,765
AT5G48880_1	1,010	0,882	0,783
AT5G48890_1	1,060	0,952	1,250
AT5G48900_1	0,845	0,053	0,013
AT5G48905_1	0,924	0,953	1,012
AT5G48910_1	0,890	0,472	0,175
AT5G48920_1	0,573	0,509	0,387
AT5G48930_1	0,895	1,393	1,296
AT5G48940_1	0,882	0,887	0,923
AT5G48945_1	1,073	1,216	1,157
AT5G48950_1	0,805	1,243	2,115
AT5G48950_2	0,947	1,081	1,299
AT5G48953_1	1,049	1,244	1,586
AT5G48960_1	1,321	0,551	0,385
AT5G48965_1	1,022	1,486	1,648
AT5G48970_1	0,969	1,919	1,474
AT5G48980_1	1,032	1,105	1,079
AT5G48990_1	0,886	0,718	0,395
AT5G49000_1	0,691	0,888	1,501
AT5G49000_2	0,946	1,223	1,791
AT5G49010_1	0,812	0,700	0,882
AT5G49010_2	0,783	0,710	0,732
AT5G49015_1	0,781	0,265	0,980
AT5G49015_2	0,837	0,557	0,750
AT5G49020_1	1,104	0,369	0,129
AT5G49020_2	1,194	0,526	0,189
AT5G49030_1	0,872	0,289	0,180
AT5G49030_2	1,034	0,802	0,856
AT5G49040_1	1,065	1,093	1,006
AT5G49050_1	1,110	1,379	1,580
AT5G49060_1	1,028	1,081	1,437
AT5G49070_1	0,969	0,911	1,116
AT5G49080_1	1,112	1,196	1,216
AT5G49090_1	1,214	1,558	1,926
AT5G49100_1	0,964	0,468	0,066
AT5G49110_1	1,352	0,596	0,416
AT5G49120_1	1,336	0,514	0,725
AT5G49130_1	0,929	0,942	0,966
AT5G49138_1	0,991	0,953	0,947
AT5G49140_1	1,123	1,103	1,106
AT5G49150_1	0,796	0,461	0,497
AT5G49152_1	0,931	0,830	0,801
AT5G49160_1	0,767	0,328	0,273
AT5G49170_1	0,589	0,134	0,132
AT5G49180_1	1,261	1,212	1,426

AGI	NaCl-Kontrolle zur H₂O-Kontrolle (log₂)	H₂O +B.c. zur H₂O-Kontrolle (log₂)	NaCl +B.c. zur H₂O-Kontrolle (log₂)
AT5G49190_1	1,612	0,475	0,448
AT5G49200_1	1,032	1,426	2,267
AT5G49210_1	0,910	1,074	1,156
AT5G49210_2	0,919	1,095	1,145
AT5G49215_1	0,811	0,361	0,038
AT5G49220_1	0,979	0,774	0,704
AT5G49230_1	0,722	0,815	0,672
AT5G49240_1	1,208	1,420	1,775
AT5G49250_1	1,263	1,287	1,421
AT5G49260_1	1,416	1,378	1,354
AT5G49270_1	1,017	1,281	1,423
AT5G49280_1	0,987	6,459	7,652
AT5G49290_1	0,870	1,050	1,085
AT5G49300_1	1,070	0,833	0,694
AT5G49301_1	1,044	1,020	1,178
AT5G49310_1	0,998	0,934	1,076
AT5G49320_1	1,011	0,908	0,843
AT5G49330_1	0,482	0,431	0,395
AT5G49334_1	1,077	1,071	1,292
AT5G49340_1	1,068	1,063	1,157
AT5G49350_1	1,017	1,172	1,262
AT5G49360_1	0,647	1,570	2,229
AT5G49370_1	0,970	0,340	0,236
AT5G49380_1	0,974	0,250	0,165
AT5G49390_1	1,071	0,211	0,127
AT5G49400_1	0,922	1,201	1,218
AT5G49410_1	1,013	0,875	0,857
AT5G49410_2	1,473	0,656	0,350
AT5G49420_1	1,133	1,186	1,331
AT5G49430_1	0,986	0,694	0,722
AT5G49435_1	0,933	1,024	1,143
AT5G49440_1	0,886	1,462	0,954
AT5G49448_1	0,808	0,821	2,376
AT5G49460_1	0,918	0,558	0,397
AT5G49465_1	1,024	1,114	1,112
AT5G49470_1	0,955	0,763	0,877
AT5G49470_2	1,154	0,975	0,968
AT5G49480_1	0,912	12,911	13,701
AT5G49490_1	0,999	1,045	1,134
AT5G49500_1	1,158	1,076	1,127
AT5G49510_1	1,094	0,997	0,996
AT5G49510_2	1,089	1,040	0,929
AT5G49520_1	0,576	5,075	9,823
AT5G49525_1	1,527	0,272	1,884
AT5G49530_1	1,145	1,095	1,021
AT5G49540_1	0,912	0,872	1,047
AT5G49550_1	0,884	0,851	1,382
AT5G49555_1	1,065	0,228	0,071
AT5G49560_1	0,859	1,036	0,890
AT5G49570_1	0,894	0,739	1,422

AGI	NaCl-Kontrolle zur H ₂ O-Kontrolle (log ₂)	H ₂ O +B.c. zur H ₂ O-Kontrolle (log ₂)	NaCl +B.c. zur H ₂ O-Kontrolle (log ₂)
AT5G49580_1	1,010	1,266	1,346
AT5G49590_1	1,083	1,192	1,160
AT5G49600_1	0,916	1,141	23,477
AT5G49610_1	0,984	0,702	0,898
AT5G49615_1	0,970	1,002	0,973
AT5G49620_1	0,950	1,952	12,345
AT5G49630_1	0,763	0,664	0,173
AT5G49640_1	1,000	0,831	0,726
AT5G49650_1	1,043	0,706	0,950
AT5G49650_2	1,025	0,701	0,945
AT5G49660_1	1,002	0,492	0,385
AT5G49665_1	1,075	2,072	4,660
AT5G49680_2	0,670	2,032	2,128
AT5G49690_1	1,006	27,147	83,212
AT5G49700_1	1,412	21,840	30,821
AT5G49710_1	0,991	0,766	2,016
AT5G49710_2	0,884	0,622	1,811
AT5G49710_3	0,949	0,726	2,031
AT5G49720_1	0,979	0,909	0,710
AT5G49730_1	0,958	0,433	0,080
AT5G49740_1	1,000	0,717	0,370
AT5G49743_1	1,110	1,016	0,993
AT5G49746_1	1,264	1,458	1,621
AT5G49750_1	1,044	1,207	1,248
AT5G49760_1	0,835	1,043	1,022
AT5G49770_1	0,925	1,297	1,179
AT5G49780_1	1,086	0,870	0,898
AT5G49800_1	0,996	0,377	0,268
AT5G49810_1	1,055	0,831	1,003
AT5G49820_1	1,060	1,240	0,940
AT5G49830_1	1,023	1,121	1,078
AT5G49840_1	1,082	0,738	0,885
AT5G49850_1	1,104	1,742	2,162
AT5G49860_1	1,046	1,296	1,378
AT5G49870_1	1,064	1,348	1,199
AT5G49880_1	0,978	1,048	1,353
AT5G49890_1	1,068	1,221	1,765
AT5G49900_1	1,111	0,899	0,964
AT5G49910_1	0,924	1,174	1,075
AT5G49920_1	1,046	1,509	2,544
AT5G49930_1	1,044	1,109	1,695
AT5G49940_1	1,008	0,915	0,895
AT5G49945_1	1,071	0,313	0,388
AT5G49950_1	0,903	1,138	2,061
AT5G49960_1	0,887	0,362	0,139
AT5G49970_1	0,950	0,878	0,894
AT5G49970_2	1,004	0,820	0,905
AT5G49980_1	0,896	0,580	0,466
AT5G49990_1	1,342	0,756	0,329
AT5G50000_1	0,917	0,443	0,388

AGI	NaCl-Kontrolle zur H₂O-Kontrolle (log₂)	H₂O +B.c. zur H₂O-Kontrolle (log₂)	NaCl +B.c. zur H₂O-Kontrolle (log₂)
AT5G50010_1	0,846	0,141	0,125
AT5G50020_1	1,081	0,782	0,821
AT5G50030_1	1,028	1,079	1,283
AT5G50040_1	1,094	1,099	1,155
AT5G50050_1	1,029	1,167	1,140
AT5G50060_1	0,945	0,865	0,973
AT5G50070_1	1,018	1,127	1,096
AT5G50080_1	1,244	1,483	1,564
AT5G50090_1	0,844	0,766	4,994
AT5G50090_2	0,957	0,789	5,910
AT5G50100_1	1,114	1,485	2,469
AT5G50110_1	1,106	0,661	0,388
AT5G50111_1	1,055	0,941	0,939
AT5G50115_1	1,006	0,917	1,053
AT5G50120_1	0,818	0,910	0,962
AT5G50130_1	1,055	0,931	0,898
AT5G50130_2	1,187	0,459	0,329
AT5G50136_1	0,993	1,096	1,374
AT5G50140_1	1,081	1,133	1,086
AT5G50150_1	0,873	0,318	0,225
AT5G50160_1	1,275	0,344	0,498
AT5G50170_1	1,099	1,857	3,560
AT5G50175_1	1,175	1,396	1,393
AT5G50180_1	1,105	0,366	0,170
AT5G50190_1	0,817	1,223	1,542
AT5G50200_1	0,804	1,702	2,197
AT5G50200_2	1,075	1,071	1,137
AT5G50200_3	1,003	0,991	1,042
AT5G50210_1	1,049	1,063	1,340
AT5G50220_1	1,027	1,212	1,327
AT5G50230_1	0,945	1,148	1,332
AT5G50240_1	0,958	1,326	2,261
AT5G50240_3	1,099	1,407	2,184
AT5G50250_1	1,015	0,471	0,551
AT5G50260_1	0,990	0,958	27,346
AT5G50270_1	1,163	0,922	1,013
AT5G50280_1	1,076	0,495	0,201
AT5G50290_1	0,734	0,522	0,507
AT5G50300_1	1,057	0,970	0,971
AT5G50310_1	1,155	1,053	0,867
AT5G50315_1	1,169	0,616	1,017
AT5G50320_1	1,087	1,108	0,986
AT5G50330_1	0,945	0,620	0,913
AT5G50330_2	0,982	0,539	1,635
AT5G50335_1	0,817	0,088	0,072
AT5G50340_1	1,014	0,774	0,811
AT5G50345_1	1,176	1,130	1,165
AT5G50350_1	1,144	1,303	1,657
AT5G50360_1	2,091	1,251	15,056
AT5G50361_1	1,057	1,443	5,892

AGI	NaCl-Kontrolle zur H₂O-Kontrolle (log₂)	H₂O +B.c. zur H₂O-Kontrolle (log₂)	NaCl +B.c. zur H₂O-Kontrolle (log₂)
AT5G50370_1	1,027	2,790	2,390
AT5G50375_1	0,926	0,227	0,072
AT5G50380_1	1,009	1,070	1,254
AT5G50390_1	1,130	1,181	0,717
AT5G50400_1	1,153	1,063	1,428
AT5G50410_1	1,090	0,676	0,701
AT5G50420_1	0,921	0,320	0,090
AT5G50423_1	1,168	1,118	1,278
AT5G50430_1	1,009	0,925	1,280
AT5G50430_2	1,015	0,916	1,330
AT5G50430_3	0,814	0,895	1,473
AT5G50440_1	0,988	0,992	1,172
AT5G50450_1	1,043	0,110	0,095
AT5G50460_1	0,857	1,137	1,284
AT5G50470_1	1,153	2,103	5,340
AT5G50480_1	1,349	1,700	2,192
AT5G50490_1	0,938	1,369	1,733
AT5G50500_1	1,203	2,469	3,402
AT5G50510_1	1,166	1,274	1,432
AT5G50520_1	0,891	0,984	1,029
AT5G50530_1	0,830	1,079	1,420
AT5G50540_1	0,955	1,153	1,263
AT5G50550_1	0,940	0,807	0,870
AT5G50560_1	0,706	0,700	0,805
AT5G50562_1	0,935	1,167	1,562
AT5G50565_1	0,919	1,042	1,375
AT5G50570_1	0,722	3,179	3,198
AT5G50580_1	1,059	0,733	1,043
AT5G50580_2	0,941	0,631	0,899
AT5G50590_1	1,286	1,181	1,726
AT5G50600_1	0,947	1,202	1,353
AT5G50610_1	0,999	0,952	1,034
AT5G50630_1	0,908	0,993	1,011
AT5G50665_1	0,897	1,075	1,327
AT5G50670_1	0,798	3,850	3,963
AT5G50715_1	0,970	0,983	0,982
AT5G50720_1	1,378	0,527	0,307
AT5G50740_1	0,954	0,096	0,055
AT5G50740_2	1,059	0,098	0,050
AT5G50750_1	1,013	1,261	1,154
AT5G50760_1	0,964	74,202	137,905
AT5G50770_1	0,981	1,091	1,125
AT5G50780_1	1,074	1,919	2,469
AT5G50790_1	1,048	1,028	1,031
AT5G50800_1	1,964	1,093	0,270
AT5G50801_1	0,926	0,924	1,026
AT5G50810_1	0,856	1,047	0,828
AT5G50820_1	0,714	1,286	0,811
AT5G50830_1	1,175	1,214	1,205
AT5G50830_2	1,309	1,457	1,417

AGI	NaCl-Kontrolle zur H ₂ O-Kontrolle (log ₂)	H ₂ O +B.c. zur H ₂ O-Kontrolle (log ₂)	NaCl +B.c. zur H ₂ O-Kontrolle (log ₂)
AT5G50840_1	0,988	0,948	1,630
AT5G50840_2	0,972	0,935	1,620
AT5G50850_1	0,900	0,994	1,189
AT5G50860_1	0,980	1,110	0,958
AT5G50870_1	0,934	0,925	0,938
AT5G50880_1	0,987	0,908	0,952
AT5G50890_1	0,845	0,737	0,509
AT5G50900_1	1,008	0,981	0,880
AT5G50910_1	1,070	1,084	1,089
AT5G50915_1	0,673	0,302	0,196
AT5G50915_2	0,881	0,380	0,062
AT5G50920_1	1,020	0,939	0,997
AT5G50930_1	0,552	0,450	0,490
AT5G50940_1	0,886	1,151	1,991
AT5G50950_1	0,994	0,900	1,070
AT5G50950_2	0,984	0,862	1,157
AT5G50960_1	0,985	1,587	1,943
AT5G50970_1	1,058	0,520	0,897
AT5G50990_1	1,025	0,846	0,711
AT5G51000_1	1,012	0,929	1,075
AT5G51010_1	0,861	0,526	0,327
AT5G51020_1	1,125	0,713	0,696
AT5G51030_1	1,063	1,342	3,601
AT5G51040_1	1,049	1,935	3,731
AT5G51040_2	1,021	1,883	3,592
AT5G51050_1	0,931	1,671	2,305
AT5G51060_1	1,024	171,412	198,190
AT5G51070_1	1,089	2,579	2,859
AT5G51080_1	0,943	0,814	0,858
AT5G51080_2	0,921	0,721	0,172
AT5G51080_3	0,885	0,602	0,197
AT5G51090_1	1,309	1,369	1,738
AT5G51100_1	1,032	0,465	0,257
AT5G51105_1	1,153	1,276	1,726
AT5G51110_1	0,935	0,531	0,221
AT5G51120_1	0,877	1,025	1,097
AT5G51130_1	0,930	2,087	2,404
AT5G51140_1	0,942	0,846	0,842
AT5G51150_1	0,975	0,567	0,906
AT5G51160_1	1,320	1,835	2,702
AT5G51170_1	0,991	1,416	2,059
AT5G51170_2	1,038	1,478	2,246
AT5G51174_1	1,206	0,952	1,018
AT5G51180_1	1,033	0,511	0,429
AT5G51180_2	1,068	0,582	0,543
AT5G51190_1	1,108	1,840	1,359
AT5G51195_1	1,169	1,120	1,250
AT5G51200_1	1,014	0,644	0,476
AT5G51210_1	1,290	1,314	1,375
AT5G51220_1	1,198	1,211	0,931

AGI	NaCl-Kontrolle zur H₂O-Kontrolle (log₂)	H₂O +B.c. zur H₂O-Kontrolle (log₂)	NaCl +B.c. zur H₂O-Kontrolle (log₂)
AT5G51230_1	1,052	0,795	0,752
AT5G51230_2	1,058	0,771	0,744
AT5G51230_3	1,058	0,784	0,742
AT5G51250_1	1,197	1,181	1,068
AT5G51260_1	0,871	1,000	1,867
AT5G51270_1	1,167	1,121	1,252
AT5G51280_1	1,054	1,039	0,982
AT5G51290_1	0,935	1,453	2,154
AT5G51300_1	0,987	1,040	1,345
AT5G51300_2	1,006	0,971	0,977
AT5G51300_3	1,027	0,984	1,033
AT5G51310_1	0,899	0,637	0,380
AT5G51330_1	1,375	0,755	0,663
AT5G51340_1	1,093	0,987	0,994
AT5G51350_1	1,043	0,233	0,151
AT5G51360_1	1,011	1,280	1,342
AT5G51370_1	0,957	0,887	1,270
AT5G51370_2	0,978	0,845	1,340
AT5G51380_1	0,680	0,376	0,361
AT5G51390_1	0,884	0,472	1,238
AT5G51400_1	0,885	0,780	0,845
AT5G51410_1	0,971	1,253	1,381
AT5G51410_2	0,755	0,512	0,864
AT5G51420_1	1,227	1,264	1,490
AT5G51430_1	1,013	1,105	1,136
AT5G51440_1	1,040	131,354	150,141
AT5G51450_1	1,126	1,593	1,792
AT5G51451_1	0,845	0,872	1,184
AT5G51460_1	0,599	2,162	1,035
AT5G51460_2	0,580	2,181	1,044
AT5G51470_1	0,929	1,169	0,912
AT5G51480_1	0,660	1,897	0,728
AT5G51490_1	1,093	1,241	1,130
AT5G51500_1	1,418	1,682	1,906
AT5G51510_1	0,977	1,093	1,249
AT5G51520_1	1,172	1,307	1,253
AT5G51530_1	1,144	0,762	0,514
AT5G51540_1	1,307	0,965	0,400
AT5G51545_1	0,801	0,432	0,216
AT5G51550_1	0,839	0,347	0,071
AT5G51560_1	0,838	0,067	0,026
AT5G51570_1	1,155	0,827	1,300
AT5G51580_1	0,765	0,328	0,333
AT5G51590_1	1,101	0,417	0,420
AT5G51600_1	0,727	0,614	4,634
AT5G51610_1	1,199	0,914	0,790
AT5G51620_1	0,907	1,260	1,337
AT5G51620_2	0,964	1,027	0,933
AT5G51620_3	0,964	0,911	1,016
AT5G51630_1	0,994	1,219	2,690

AGI	NaCl-Kontrolle zur H₂O-Kontrolle (log₂)	H₂O +B.c. zur H₂O-Kontrolle (log₂)	NaCl +B.c. zur H₂O-Kontrolle (log₂)
AT5G51630_2	1,124	1,303	3,095
AT5G51640_1	0,954	1,870	2,752
AT5G51650_1	1,272	1,253	1,465
AT5G51660_1	1,227	0,647	0,404
AT5G51670_1	0,674	0,474	0,317
AT5G51680_1	1,044	0,988	0,974
AT5G51690_1	1,105	0,834	0,827
AT5G51700_1	0,851	1,127	1,550
AT5G51710_1	1,033	1,236	1,939
AT5G51720_1	0,674	0,185	0,048
AT5G51730_1	1,031	0,787	0,772
AT5G51740_1	0,959	1,381	2,051
AT5G51750_1	1,285	0,107	0,029
AT5G51760_1	1,366	1,986	3,385
AT5G51770_1	1,057	5,514	6,775
AT5G51780_1	0,999	0,862	1,040
AT5G51790_1	0,924	0,945	0,981
AT5G51795_1	1,002	1,250	0,847
AT5G51800_1	0,998	0,988	0,882
AT5G51810_1	0,804	0,786	0,804
AT5G51812_1	0,994	1,223	1,946
AT5G51820_1	0,974	0,339	0,102
AT5G51830_1	0,954	2,113	2,771
AT5G51840_1	0,829	0,420	0,685
AT5G51845_1	1,012	1,030	1,045
AT5G51850_1	0,450	0,247	0,219
AT5G51860_1	0,981	0,992	0,922
AT5G51870_1	1,008	1,013	1,007
AT5G51870_2	1,009	1,114	1,321
AT5G51880_1	0,801	0,892	1,255
AT5G51890_1	1,037	0,505	0,468
AT5G51900_1	0,953	0,982	0,971
AT5G51910_1	1,000	0,736	0,714
AT5G51910_2	1,195	0,563	0,356
AT5G51920_1	0,859	1,068	1,345
AT5G51930_1	1,010	1,112	1,024
AT5G51940_1	1,056	0,824	0,900
AT5G51950_1	1,017	0,762	0,877
AT5G51960_1	0,789	0,522	0,526
AT5G51970_1	0,994	0,808	0,733
AT5G51970_2	1,027	0,963	0,934
AT5G51980_1	0,797	0,874	1,664
AT5G51980_2	1,038	0,975	1,283
AT5G51990_1	1,187	1,371	1,536
AT5G52000_1	1,004	1,084	1,213
AT5G52010_1	1,009	0,554	0,413
AT5G52020_1	0,713	0,753	1,496
AT5G52030_1	0,967	0,489	0,538
AT5G52040_1	1,032	1,210	1,076
AT5G52040_2	1,038	1,201	1,047

AGI	NaCl-Kontrolle zur H ₂ O-Kontrolle (log ₂)	H ₂ O +B.c. zur H ₂ O-Kontrolle (log ₂)	NaCl +B.c. zur H ₂ O-Kontrolle (log ₂)
AT5G52040_3	1,074	1,206	1,098
AT5G52040_4	1,004	1,152	1,034
AT5G52050_1	0,501	14,504	16,084
AT5G52055_1	0,973	0,972	0,961
AT5G52060_1	0,903	0,933	0,551
AT5G52065_1	0,973	1,088	1,168
AT5G52067_1	1,138	1,422	1,459
AT5G52070_1	0,792	2,047	2,278
AT5G52080_1	1,349	1,495	1,736
AT5G52090_1	1,059	0,991	0,908
AT5G52100_1	0,989	0,191	0,025
AT5G52110_1	0,729	0,207	0,150
AT5G52110_2	1,104	0,691	1,001
AT5G52120_1	0,736	5,604	2,800
AT5G52130_1	1,130	1,405	1,703
AT5G52140_1	0,985	1,178	1,104
AT5G52145_1	1,081	1,120	1,083
AT5G52150_1	1,021	0,992	0,996
AT5G52160_1	1,406	1,674	2,417
AT5G52170_1	1,177	0,884	1,033
AT5G52180_1	0,985	0,663	0,534
AT5G52190_1	0,899	0,890	0,437
AT5G52200_1	0,778	1,022	2,099
AT5G52210_1	0,850	0,938	1,006
AT5G52210_2	1,104	1,053	1,249
AT5G52220_1	1,048	0,753	0,891
AT5G52230_1	1,121	0,551	0,436
AT5G52240_1	0,963	1,489	1,672
AT5G52250_1	0,564	5,734	5,024
AT5G52260_1	0,999	0,983	1,131
AT5G52270_1	1,019	0,917	1,027
AT5G52272_1	1,319	1,660	1,848
AT5G52280_1	1,080	0,148	0,064
AT5G52290_1	0,866	0,615	0,711
AT5G52300_1	2,830	0,205	0,969
AT5G52310_1	1,126	0,401	0,311
AT5G52320_1	1,005	1,307	0,639
AT5G52330_1	1,323	1,220	1,103
AT5G52330_2	1,511	1,465	1,237
AT5G52340_1	0,734	0,505	0,547
AT5G52350_1	1,130	1,152	1,306
AT5G52355_1	1,177	1,430	1,638
AT5G52360_1	1,284	1,237	1,321
AT5G52370_1	1,064	0,960	0,748
AT5G52380_1	1,061	2,090	1,531
AT5G52390_1	1,186	2,636	10,524
AT5G52400_1	0,985	213,928	154,570
AT5G52410_1	0,973	1,977	1,675
AT5G52415_1	1,054	1,017	1,110
AT5G52420_1	1,034	1,103	0,751

AGI	NaCl-Kontrolle zur H₂O-Kontrolle (log₂)	H₂O +B.c. zur H₂O-Kontrolle (log₂)	NaCl +B.c. zur H₂O-Kontrolle (log₂)
AT5G52430_1	0,860	0,962	0,801
AT5G52440_1	0,984	0,403	0,229
AT5G52450_1	1,158	3,282	4,264
AT5G52460_1	1,085	1,062	1,161
AT5G52470_1	1,031	1,096	0,725
AT5G52470_2	1,001	1,093	0,702
AT5G52471_1	1,270	1,239	0,980
AT5G52480_1	1,088	1,077	1,046
AT5G52490_1	1,338	1,510	1,051
AT5G52500_1	1,118	1,608	1,282
AT5G52510_1	0,970	1,325	1,370
AT5G52520_1	0,952	0,613	0,529
AT5G52530_1	1,029	1,116	1,107
AT5G52540_1	0,914	0,409	0,723
AT5G52545_1	1,012	0,444	0,525
AT5G52547_1	1,413	2,003	2,672
AT5G52547_2	0,909	0,693	0,608
AT5G52550_1	0,825	0,793	1,043
AT5G52560_1	0,966	0,837	0,981
AT5G52570_1	0,870	3,998	2,724
AT5G52570_2	0,846	4,441	3,114
AT5G52580_1	0,981	1,094	1,227
AT5G52600_1	1,186	1,269	1,637
AT5G52605_1	1,033	1,193	1,261
AT5G52610_1	1,011	1,139	1,632
AT5G52620_1	1,101	0,922	1,057
AT5G52630_1	1,027	0,681	0,796
AT5G52640_1	1,231	33,670	35,792
AT5G52650_1	0,933	1,008	0,766
AT5G52660_1	1,049	0,860	1,014
AT5G52660_2	1,096	0,862	1,086
AT5G52670_1	1,143	1,308	1,460
AT5G52680_1	1,121	1,114	1,266
AT5G52690_1	0,993	1,007	1,038
AT5G52700_1	0,918	0,967	1,005
AT5G52710_1	1,042	1,054	1,090
AT5G52720_1	1,264	1,570	1,968
AT5G52730_1	1,205	1,108	1,196
AT5G52740_1	0,717	1,042	0,629
AT5G52750_1	0,420	3,052	3,542
AT5G52760_1	0,457	2,446	3,553
AT5G52770_1	1,076	1,091	1,293
AT5G52780_1	0,897	0,604	0,247
AT5G52790_1	1,143	1,055	1,467
AT5G52797_1	1,054	1,069	1,078
AT5G52800_1	0,972	0,944	0,973
AT5G52800_2	0,874	1,209	1,183
AT5G52800_3	0,720	1,045	1,030
AT5G52810_1	0,762	0,907	2,273
AT5G52820_1	0,950	1,170	1,092

AGI	NaCl-Kontrolle zur H₂O-Kontrolle (log₂)	H₂O +B.c. zur H₂O-Kontrolle (log₂)	NaCl +B.c. zur H₂O-Kontrolle (log₂)
AT5G52830_1	0,717	0,935	0,921
AT5G52840_1	0,861	0,648	0,878
AT5G52850_1	1,310	0,817	0,473
AT5G52860_1	1,124	1,210	0,927
AT5G52870_1	0,752	0,622	0,508
AT5G52880_1	0,969	0,871	1,343
AT5G52882_1	0,674	1,526	1,383
AT5G52890_1	0,971	0,943	1,085
AT5G52900_1	0,595	0,438	0,453
AT5G52901_1	0,966	0,991	1,187
AT5G52910_1	0,546	0,371	0,338
AT5G52920_1	0,991	1,171	0,562
AT5G52930_1	1,111	0,758	1,327
AT5G52940_1	0,872	0,727	2,249
AT5G52950_1	0,671	0,325	0,261
AT5G52960_1	0,792	0,298	0,230
AT5G52965_1	1,203	1,258	1,443
AT5G52970_1	0,874	0,205	0,044
AT5G52975_1	1,523	1,429	1,429
AT5G52980_1	1,091	1,711	2,847
AT5G52990_1	1,168	1,327	2,142
AT5G53000_1	0,966	1,113	1,065
AT5G53010_1	1,042	0,977	1,241
AT5G53020_1	0,940	0,384	0,319
AT5G53030_1	0,719	1,345	1,845
AT5G53030_2	0,787	1,336	1,705
AT5G53040_1	1,053	0,981	1,057
AT5G53045_1	0,786	0,787	0,802
AT5G53048_1	0,788	1,338	3,618
AT5G53050_1	0,985	1,605	1,360
AT5G53050_2	0,990	1,613	1,383
AT5G53050_3	0,681	2,034	2,212
AT5G53060_1	0,962	1,588	1,187
AT5G53070_1	0,982	0,673	0,329
AT5G53080_1	1,197	0,429	0,169
AT5G53090_1	0,840	0,257	0,176
AT5G53100_1	0,955	1,320	1,178
AT5G53110_1	0,644	2,532	9,925
AT5G53120_1	1,186	1,375	2,140
AT5G53120_3	1,057	1,117	1,937
AT5G53120_4	1,224	1,372	2,134
AT5G53120_5	1,201	1,451	2,216
AT5G53130_1	1,007	0,983	1,092
AT5G53135_1	1,012	1,373	1,685
AT5G53140_1	1,071	0,943	0,837
AT5G53150_1	1,081	0,878	0,815
AT5G53160_1	0,743	0,478	0,543
AT5G53160_2	0,677	0,452	0,569
AT5G53170_1	1,031	0,763	0,483
AT5G53180_1	0,926	1,042	1,069

AGI	NaCl-Kontrolle zur H₂O-Kontrolle (log₂)	H₂O +B.c. zur H₂O-Kontrolle (log₂)	NaCl +B.c. zur H₂O-Kontrolle (log₂)
AT5G53180_2	0,990	0,519	0,717
AT5G53190_1	0,988	0,980	0,976
AT5G53200_1	0,886	0,606	0,246
AT5G53205_1	0,979	1,067	1,128
AT5G53210_1	0,812	0,754	0,720
AT5G53220_1	1,083	0,376	0,893
AT5G53220_3	1,066	0,390	0,938
AT5G53230_1	1,224	1,056	1,105
AT5G53240_1	1,115	1,200	1,241
AT5G53250_1	0,867	1,710	1,691
AT5G53260_1	1,007	1,453	1,233
AT5G53270_1	1,074	1,051	1,090
AT5G53280_1	1,040	1,471	1,282
AT5G53290_1	0,949	1,713	4,202
AT5G53300_1	0,939	1,264	1,303
AT5G53300_3	0,934	1,217	1,223
AT5G53310_1	0,826	1,091	1,243
AT5G53320_1	0,984	0,925	1,497
AT5G53330_1	0,982	1,151	1,727
AT5G53340_1	0,910	0,720	1,003
AT5G53340_2	0,907	0,713	0,970
AT5G53350_1	1,143	0,900	1,554
AT5G53360_1	1,053	1,563	2,113
AT5G53370_1	0,828	0,738	0,538
AT5G53380_1	1,003	1,027	1,128
AT5G53390_1	1,016	0,912	1,148
AT5G53400_1	0,899	3,380	3,469
AT5G53410_1	1,210	1,483	1,570
AT5G53420_1	0,865	2,031	1,945
AT5G53420_2	0,872	1,847	1,879
AT5G53420_3	0,614	2,209	2,529
AT5G53430_1	0,989	0,856	1,300
AT5G53440_1	1,145	1,036	1,204
AT5G53450_1	0,835	1,062	1,312
AT5G53451_1	1,578	2,013	3,292
AT5G53460_1	1,035	0,771	0,715
AT5G53470_1	1,026	1,244	1,304
AT5G53480_1	1,087	1,083	0,981
AT5G53486_1	0,829	0,695	0,805
AT5G53486_2	0,877	0,710	1,074
AT5G53486_3	0,872	0,663	0,995
AT5G53486_4	0,603	0,706	1,254
AT5G53490_1	0,867	0,172	0,059
AT5G53490_2	0,834	0,191	0,061
AT5G53500_1	0,827	0,346	0,065
AT5G53510_1	0,860	0,987	1,086
AT5G53520_1	0,751	0,894	0,988
AT5G53530_1	0,920	0,917	1,229
AT5G53540_1	1,003	1,168	1,484
AT5G53550_1	0,704	1,188	1,760

AGI	NaCl-Kontrolle zur H₂O-Kontrolle (log₂)	H₂O +B.c. zur H₂O-Kontrolle (log₂)	NaCl +B.c. zur H₂O-Kontrolle (log₂)
AT5G53560_1	0,985	1,689	1,930
AT5G53570_1	0,990	1,375	1,319
AT5G53580_1	1,027	0,480	0,153
AT5G53588_1	0,723	1,320	2,881
AT5G53592_1	0,590	0,476	0,422
AT5G53600_1	1,180	1,250	1,300
AT5G53610_1	0,999	1,019	1,388
AT5G53620_1	1,070	0,674	0,497
AT5G53640_1	1,122	1,087	1,035
AT5G53650_1	0,806	1,390	2,030
AT5G53660_1	1,149	1,450	1,030
AT5G53670_1	0,987	0,992	0,991
AT5G53680_1	0,981	1,361	1,323
AT5G53690_1	1,039	0,994	1,122
AT5G53700_1	0,958	1,060	1,187
AT5G53710_1	1,206	0,735	1,201
AT5G53720_1	1,142	1,046	1,285
AT5G53730_1	0,975	0,241	1,772
AT5G53740_1	1,075	1,039	1,090
AT5G53742_1	1,129	1,501	2,033
AT5G53750_1	0,722	9,676	7,159
AT5G53760_1	1,107	2,751	1,795
AT5G53770_1	1,214	1,186	0,762
AT5G53775_1	0,981	1,012	1,133
AT5G53780_1	1,023	1,102	0,997
AT5G53790_1	1,063	1,091	1,284
AT5G53800_1	0,991	1,128	1,411
AT5G53810_1	1,149	0,821	0,935
AT5G53815_1	1,334	0,706	1,230
AT5G53820_1	1,119	1,812	20,118
AT5G53830_1	1,030	1,120	3,870
AT5G53840_1	1,012	0,978	0,991
AT5G53850_1	0,896	0,834	0,891
AT5G53850_2	0,955	0,852	0,888
AT5G53850_3	0,908	0,823	0,860
AT5G53860_1	0,866	0,352	0,184
AT5G53860_2	0,972	0,491	0,182
AT5G53860_3	0,861	0,334	0,111
AT5G53870_1	1,000	0,947	1,983
AT5G53880_1	0,767	0,435	0,109
AT5G53890_1	0,955	0,744	0,638
AT5G53895_1	0,699	0,702	0,663
AT5G53900_1	1,067	0,769	0,685
AT5G53900_2	1,086	0,459	0,046
AT5G53902_1	0,884	0,904	0,907
AT5G53905_1	1,237	1,199	1,361
AT5G53910_1	0,984	1,031	1,154
AT5G53920_1	1,381	0,856	1,345
AT5G53930_1	0,934	1,096	1,579
AT5G53940_1	0,999	0,406	0,346

AGI	NaCl-Kontrolle zur H₂O-Kontrolle (log₂)	H₂O +B.c. zur H₂O-Kontrolle (log₂)	NaCl +B.c. zur H₂O-Kontrolle (log₂)
AT5G53950_1	0,996	1,085	1,230
AT5G53960_1	1,076	1,227	1,204
AT5G53970_1	0,977	2,583	6,386
AT5G53980_1	1,342	1,269	1,277
AT5G53990_1	1,034	1,499	2,625
AT5G54000_1	1,193	2,008	1,770
AT5G54010_1	1,436	1,456	1,477
AT5G54020_1	0,927	1,139	0,890
AT5G54030_1	1,024	1,093	1,050
AT5G54040_1	1,050	1,221	1,597
AT5G54045_1	1,045	1,011	0,944
AT5G54050_1	1,141	1,471	1,637
AT5G54060_1	4,278	0,241	0,451
AT5G54062_1	1,143	1,208	1,209
AT5G54064_2	0,977	0,689	0,727
AT5G54067_1	0,890	1,048	1,117
AT5G54070_1	1,140	1,211	1,459
AT5G54075_1	1,081	1,049	1,079
AT5G54080_1	1,050	1,127	2,590
AT5G54080_2	0,946	0,973	1,378
AT5G54090_1	1,112	0,616	0,606
AT5G54095_1	1,119	1,299	1,403
AT5G54100_1	0,995	3,715	6,791
AT5G54110_1	0,887	1,992	1,925
AT5G54130_2	0,524	3,013	3,627
AT5G54130_3	0,516	2,994	3,605
AT5G54140_1	0,695	1,347	2,404
AT5G54145_1	1,122	0,393	0,253
AT5G54148_1	0,596	0,549	0,445
AT5G54150_1	1,036	1,121	1,030
AT5G54160_1	0,996	1,317	1,326
AT5G54165_1	1,210	5,544	21,149
AT5G54170_1	0,834	2,023	1,990
AT5G54180_1	1,058	0,496	0,216
AT5G54190_1	0,975	0,074	0,038
AT5G54190_2	0,965	0,749	0,746
AT5G54200_1	0,957	0,246	0,140
AT5G54203_1	1,221	1,297	1,637
AT5G54206_1	1,212	1,273	1,212
AT5G54210_1	0,938	0,962	1,043
AT5G54215_1	1,087	1,056	1,060
AT5G54220_1	1,049	1,125	1,205
AT5G54225_1	1,031	1,158	1,353
AT5G54230_1	1,016	0,944	1,536
AT5G54240_1	0,826	1,403	9,820
AT5G54250_1	1,135	2,014	2,688
AT5G54250_2	1,142	1,617	9,817
AT5G54260_1	1,073	0,397	0,422
AT5G54270_1	0,970	0,702	0,267
AT5G54280_1	0,982	1,280	0,776

AGI	NaCl-Kontrolle zur H₂O-Kontrolle (log₂)	H₂O +B.c. zur H₂O-Kontrolle (log₂)	NaCl +B.c. zur H₂O-Kontrolle (log₂)
AT5G54280_2	1,033	1,226	0,784
AT5G54290_1	0,981	0,646	0,604
AT5G54300_1	0,643	4,094	2,595
AT5G54310_1	0,988	1,018	1,230
AT5G54320_1	1,111	0,951	1,287
AT5G54330_1	1,215	1,234	1,331
AT5G54340_1	1,133	1,338	1,579
AT5G54350_1	0,946	1,129	1,374
AT5G54360_1	1,049	1,102	1,225
AT5G54370_1	0,877	0,934	0,993
AT5G54380_1	0,660	0,636	0,352
AT5G54390_1	1,155	1,839	1,889
AT5G54400_1	1,241	2,784	5,539
AT5G54410_1	1,083	1,220	1,207
AT5G54420_1	1,116	1,815	6,039
AT5G54430_1	1,085	1,096	1,066
AT5G54440_1	1,016	0,765	0,662
AT5G54450_1	1,114	4,526	31,796
AT5G54460_1	0,901	0,941	0,927
AT5G54470_1	0,820	0,961	1,245
AT5G54480_1	0,882	0,978	1,082
AT5G54490_1	0,771	6,836	8,075
AT5G54500_1	0,843	1,895	2,258
AT5G54510_1	0,377	1,586	5,406
AT5G54520_1	1,059	0,725	1,019
AT5G54530_1	0,657	0,553	0,253
AT5G54531_1	1,151	1,299	1,343
AT5G54540_1	0,992	0,616	0,669
AT5G54550_1	1,027	1,254	1,656
AT5G54560_1	1,289	1,621	2,981
AT5G54569_1	1,018	0,706	0,603
AT5G54570_1	0,916	0,422	1,115
AT5G54580_1	0,897	0,830	0,583
AT5G54585_1	0,855	0,271	0,105
AT5G54590_1	0,923	0,945	0,959
AT5G54590_2	0,878	1,684	1,419
AT5G54600_1	0,942	0,598	0,405
AT5G54600_2	0,971	0,636	0,449
AT5G54610_1	0,897	0,598	1,750
AT5G54620_1	1,040	0,889	1,030
AT5G54630_1	0,876	0,262	0,045
AT5G54640_1	0,884	0,969	1,421
AT5G54650_1	0,897	1,937	2,748
AT5G54660_1	0,935	0,967	0,897
AT5G54661_1	1,116	1,113	1,291
AT5G54670_1	0,997	0,203	0,199
AT5G54680_1	0,997	1,103	1,269
AT5G54690_1	0,858	0,479	0,455
AT5G54700_1	0,985	1,057	1,282
AT5G54710_1	0,474	1,465	0,917

AGI	NaCl-Kontrolle zur H₂O-Kontrolle (log₂)	H₂O +B.c. zur H₂O-Kontrolle (log₂)	NaCl +B.c. zur H₂O-Kontrolle (log₂)
AT5G54720_1	0,558	1,447	0,882
AT5G54730_1	0,966	1,050	2,267
AT5G54740_1	1,028	1,224	1,508
AT5G54745_1	1,000	1,035	1,012
AT5G54750_1	0,968	0,657	0,872
AT5G54760_1	1,078	0,888	0,974
AT5G54760_2	1,020	0,915	0,949
AT5G54770_1	1,024	0,935	0,566
AT5G54780_1	0,813	2,151	2,736
AT5G54790_1	0,949	1,002	1,043
AT5G54800_1	1,021	0,708	0,788
AT5G54810_1	1,046	1,800	1,803
AT5G54820_1	0,932	1,051	1,148
AT5G54830_1	1,039	1,664	1,729
AT5G54840_1	0,938	5,131	11,675
AT5G54840_2	1,011	1,257	3,780
AT5G54850_1	0,676	1,550	1,420
AT5G54855_1	0,843	0,668	0,606
AT5G54860_1	0,812	1,980	2,189
AT5G54870_1	0,980	1,128	2,592
AT5G54880_1	0,977	0,690	0,438
AT5G54890_1	1,007	0,563	0,461
AT5G54900_1	1,133	0,845	0,886
AT5G54910_1	1,086	1,668	1,247
AT5G54920_1	1,006	0,738	1,116
AT5G54930_1	1,394	1,505	1,380
AT5G54930_2	1,397	1,568	1,383
AT5G54940_1	0,927	1,915	2,070
AT5G54940_2	0,873	1,875	2,018
AT5G54950_1	1,365	1,925	2,817
AT5G54960_1	1,076	1,448	1,454
AT5G54970_1	0,491	0,956	0,680
AT5G54980_1	0,924	0,370	0,118
AT5G54990_1	1,026	1,145	1,623
AT5G55000_1	0,923	1,029	1,876
AT5G55000_2	0,830	0,879	1,668
AT5G55020_1	0,931	1,033	1,111
AT5G55040_1	1,031	1,744	1,624
AT5G55040_2	0,967	1,629	1,455
AT5G55050_1	1,049	2,588	3,463
AT5G55060_1	0,954	0,931	1,064
AT5G55070_1	1,045	1,782	2,346
AT5G55080_1	1,051	1,103	1,107
AT5G55090_1	0,961	1,526	1,597
AT5G55100_1	1,037	0,714	0,884
AT5G55100_2	0,616	0,354	0,581
AT5G55110_1	1,173	1,511	1,482
AT5G55120_1	0,887	3,969	2,905
AT5G55125_1	0,879	0,922	0,764
AT5G55125_2	0,946	0,696	0,473

AGI	NaCl-Kontrolle zur H₂O-Kontrolle (log₂)	H₂O +B.c. zur H₂O-Kontrolle (log₂)	NaCl +B.c. zur H₂O-Kontrolle (log₂)
AT5G55130_1	1,008	1,269	1,190
AT5G55130_2	1,015	1,210	1,254
AT5G55131_1	0,953	1,042	1,117
AT5G55132_1	1,078	1,016	1,198
AT5G55135_1	1,133	1,157	1,323
AT5G55140_1	1,023	1,181	0,669
AT5G55150_1	0,905	23,942	54,933
AT5G55160_1	0,840	0,918	0,945
AT5G55170_1	0,842	0,772	1,273
AT5G55180_1	0,439	0,399	0,878
AT5G55190_1	1,006	0,952	0,830
AT5G55200_1	0,953	2,682	5,819
AT5G55210_1	0,955	0,748	0,384
AT5G55220_1	0,901	0,276	0,076
AT5G55230_1	1,335	0,305	0,049
AT5G55240_1	0,999	1,277	1,393
AT5G55250_1	0,700	0,422	0,185
AT5G55250_2	0,976	0,889	0,890
AT5G55260_1	0,966	0,713	0,710
AT5G55270_1	1,195	1,209	1,546
AT5G55280_1	0,948	0,362	0,113
AT5G55290_1	0,762	0,720	1,042
AT5G55290_2	0,926	0,927	1,385
AT5G55300_1	1,004	0,951	1,051
AT5G55310_1	1,048	1,241	1,579
AT5G55320_1	1,159	1,245	1,452
AT5G55330_1	1,112	1,117	1,224
AT5G55340_1	1,074	1,039	1,167
AT5G55350_1	1,190	1,086	1,137
AT5G55360_1	1,588	2,150	2,982
AT5G55370_1	1,453	1,559	2,091
AT5G55380_1	0,748	1,286	0,331
AT5G55390_1	1,123	0,933	1,122
AT5G55400_1	1,114	0,441	0,960
AT5G55410_1	1,171	2,959	167,156
AT5G55410_2	1,068	1,049	1,348
AT5G55420_1	1,247	1,798	1,834
AT5G55430_1	1,130	1,268	1,251
AT5G55440_1	1,151	1,196	1,880
AT5G55450_1	0,820	0,149	0,174
AT5G55460_1	0,465	0,531	0,533
AT5G55470_1	1,361	0,607	0,300
AT5G55480_1	0,675	0,290	0,085
AT5G55490_1	0,988	0,734	1,049
AT5G55500_1	1,007	1,272	1,292
AT5G55507_1	1,093	1,053	1,314
AT5G55508_1	1,176	1,286	1,379
AT5G55510_1	1,000	0,756	0,526
AT5G55520_1	0,678	0,319	0,290
AT5G55520_2	0,697	0,342	0,312

AGI	NaCl-Kontrolle zur H₂O-Kontrolle (log₂)	H₂O +B.c. zur H₂O-Kontrolle (log₂)	NaCl +B.c. zur H₂O-Kontrolle (log₂)
AT5G55530_1	0,939	1,066	2,805
AT5G55540_1	0,975	0,396	0,189
AT5G55550_1	0,833	0,482	1,131
AT5G55550_2	1,055	0,694	1,156
AT5G55560_1	1,032	5,604	7,723
AT5G55565_1	1,257	1,461	1,332
AT5G55570_1	0,883	0,798	0,382
AT5G55580_1	1,264	0,698	0,131
AT5G55590_1	1,034	1,018	0,955
AT5G55600_1	0,928	0,909	1,364
AT5G55600_2	1,039	0,921	1,213
AT5G55610_1	0,902	1,068	1,194
AT5G55610_2	0,993	1,029	1,144
AT5G55620_1	0,813	0,995	0,041
AT5G55630_1	0,619	0,579	0,242
AT5G55630_2	0,836	0,895	0,538
AT5G55640_1	0,974	0,592	1,527
AT5G55650_1	1,008	0,986	1,066
AT5G55660_1	1,112	0,481	0,493
AT5G55670_1	1,049	1,023	0,949
AT5G55680_1	1,094	1,659	1,954
AT5G55690_1	0,989	0,872	0,989
AT5G55700_1	1,042	0,822	1,393
AT5G55710_1	0,950	0,452	0,281
AT5G55720_1	1,141	1,088	1,400
AT5G55730_1	1,020	0,177	0,010
AT5G55740_1	1,030	0,343	0,025
AT5G55750_1	1,200	1,146	1,175
AT5G55760_1	0,998	0,682	0,778
AT5G55770_1	1,167	1,036	1,173
AT5G55780_1	1,062	0,863	0,962
AT5G55790_1	1,215	0,400	0,333
AT5G55800_1	1,070	1,102	1,292
AT5G55810_1	0,875	0,529	0,551
AT5G55820_1	0,741	0,183	0,163
AT5G55830_1	0,684	0,415	0,260
AT5G55835_1	1,069	1,004	1,427
AT5G55840_1	1,021	0,655	0,516
AT5G55850_1	0,930	1,349	1,981
AT5G55850_2	1,016	1,262	1,850
AT5G55855_1	1,040	1,054	1,027
AT5G55856_1	0,954	1,065	1,136
AT5G55860_1	0,995	1,600	2,497
AT5G55870_1	1,026	1,219	1,198
AT5G55875_1	1,542	1,216	1,557
AT5G55880_1	1,036	1,357	2,096
AT5G55893_1	1,229	0,852	0,993
AT5G55896_1	1,007	0,772	0,945
AT5G55900_1	0,982	0,450	0,566
AT5G55910_1	0,931	1,171	0,940

AGI	NaCl-Kontrolle zur H₂O-Kontrolle (log₂)	H₂O +B.c. zur H₂O-Kontrolle (log₂)	NaCl +B.c. zur H₂O-Kontrolle (log₂)
AT5G55920_1	1,156	1,512	1,052
AT5G55930_1	0,717	2,511	4,755
AT5G55940_1	1,041	0,767	0,825
AT5G55950_1	1,425	0,131	0,089
AT5G55960_1	1,169	0,755	0,449
AT5G55970_1	1,034	4,912	4,945
AT5G55970_2	1,117	4,251	4,602
AT5G55980_1	1,181	1,813	2,003
AT5G55990_1	0,962	0,461	0,370
AT5G56000_1	1,090	1,549	1,131
AT5G56010_1	0,949	1,743	1,549
AT5G56020_1	0,935	0,742	0,998
AT5G56030_1	0,996	2,377	2,245
AT5G56040_1	1,018	0,864	0,108
AT5G56050_1	0,768	8,445	13,897
AT5G56060_1	1,164	1,191	1,147
AT5G56061_1	0,981	1,070	1,075
AT5G56070_1	1,047	1,162	1,225
AT5G56075_1	0,986	1,103	1,600
AT5G56080_1	1,017	0,407	0,549
AT5G56090_1	1,023	1,620	1,675
AT5G56100_1	0,950	0,386	0,116
AT5G56110_1	1,283	1,303	1,836
AT5G56120_1	0,744	0,551	0,564
AT5G56130_1	0,856	0,686	0,794
AT5G56140_1	1,103	0,952	0,694
AT5G56150_1	1,040	1,042	1,744
AT5G56150_2	0,989	1,047	1,739
AT5G56160_1	1,055	0,338	1,135
AT5G56170_1	0,737	1,259	1,243
AT5G56180_1	1,111	0,758	1,967
AT5G56180_2	1,091	0,741	2,001
AT5G56190_1	0,932	0,996	1,469
AT5G56200_1	1,202	1,247	1,867
AT5G56210_1	0,905	0,439	0,360
AT5G56220_1	1,413	0,231	0,091
AT5G56230_1	0,796	0,837	1,859
AT5G56240_1	1,027	0,864	1,451
AT5G56250_1	0,975	1,081	1,495
AT5G56260_1	0,931	0,827	1,083
AT5G56270_1	0,969	0,828	1,875
AT5G56280_1	0,891	0,844	0,958
AT5G56290_1	1,069	1,018	1,248
AT5G56300_1	0,948	0,918	1,077
AT5G56310_1	1,094	0,311	0,192
AT5G56320_1	0,781	0,350	0,449
AT5G56325_1	1,061	1,111	1,129
AT5G56330_1	0,920	1,064	1,215
AT5G56340_1	0,844	0,830	1,244
AT5G56350_1	1,035	1,830	2,374

AGI	NaCl-Kontrolle zur H₂O-Kontrolle (log₂)	H₂O +B.c. zur H₂O-Kontrolle (log₂)	NaCl +B.c. zur H₂O-Kontrolle (log₂)
AT5G56360_1	1,091	0,742	0,716
AT5G56365_1	1,107	1,411	1,841
AT5G56368_1	1,086	1,149	1,221
AT5G56369_1	1,103	1,115	1,273
AT5G56370_1	1,093	0,685	0,797
AT5G56380_1	1,044	0,636	0,393
AT5G56390_1	1,267	1,356	1,495
AT5G56400_1	1,064	0,977	1,041
AT5G56410_1	1,058	0,979	1,113
AT5G56420_1	0,878	1,195	1,835
AT5G56420_2	0,851	1,211	1,813
AT5G56430_1	1,135	1,192	1,430
AT5G56440_1	0,777	0,821	1,021
AT5G56450_1	0,986	0,639	0,729
AT5G56452_1	1,069	1,121	1,352
AT5G56452_2	0,902	0,929	0,953
AT5G56460_1	1,107	1,008	1,216
AT5G56470_1	1,057	1,271	1,602
AT5G56480_1	1,327	1,409	1,240
AT5G56490_1	0,543	0,524	0,536
AT5G56500_1	1,302	1,131	0,455
AT5G56500_2	1,345	1,041	0,431
AT5G56510_1	1,000	1,100	2,499
AT5G56520_1	1,017	0,451	0,721
AT5G56530_1	0,938	0,338	0,047
AT5G56540_1	0,925	0,645	0,656
AT5G56544_1	1,056	1,067	1,010
AT5G56550_1	0,796	0,527	2,172
AT5G56560_1	1,024	1,222	1,237
AT5G56570_1	1,129	1,067	1,395
AT5G56580_1	0,726	0,606	0,498
AT5G56590_1	0,921	0,590	0,135
AT5G56600_1	1,003	0,451	0,504
AT5G56600_2	1,432	0,886	0,771
AT5G56605_1	1,014	1,203	1,053
AT5G56610_1	0,676	0,670	0,770
AT5G56610_2	0,676	0,593	0,742
AT5G56620_1	0,842	0,745	0,742
AT5G56630_1	1,060	0,976	1,506
AT5G56640_1	1,681	1,406	1,371
AT5G56650_1	0,935	0,827	0,778
AT5G56660_1	1,001	0,974	1,021
AT5G56670_1	0,870	0,859	0,715
AT5G56680_1	1,052	1,147	0,793
AT5G56690_1	0,982	1,007	1,154
AT5G56700_1	0,959	0,558	0,583
AT5G56710_1	0,907	0,934	0,725
AT5G56710_2	0,803	0,896	0,697
AT5G56720_1	0,546	0,281	0,331
AT5G56730_1	0,995	0,600	0,689

AGI	NaCl-Kontrolle zur H₂O-Kontrolle (log₂)	H₂O +B.c. zur H₂O-Kontrolle (log₂)	NaCl +B.c. zur H₂O-Kontrolle (log₂)
AT5G56740_1	0,774	1,019	0,828
AT5G56747_1	1,092	0,677	0,870
AT5G56750_1	0,900	2,068	2,711
AT5G56760_1	1,029	1,701	1,496
AT5G56770_1	0,960	1,169	0,949
AT5G56780_1	0,853	1,185	0,393
AT5G56790_1	1,090	0,632	0,960
AT5G56795_1	1,295	1,435	2,231
AT5G56800_1	0,887	0,943	0,924
AT5G56810_1	0,659	1,654	1,113
AT5G56820_1	0,907	0,940	1,006
AT5G56830_1	0,951	0,964	0,988
AT5G56840_1	0,333	3,997	1,451
AT5G56850_1	1,003	0,204	0,065
AT5G56850_2	0,982	0,248	0,046
AT5G56860_1	0,917	1,275	0,718
AT5G56865_1	1,044	1,170	1,368
AT5G56870_1	0,411	2,650	6,168
AT5G56880_1	0,778	2,070	2,204
AT5G56890_1	0,986	0,596	0,404
AT5G56900_1	0,880	0,970	0,882
AT5G56910_1	0,955	1,065	0,946
AT5G56920_1	1,247	1,355	1,370
AT5G56930_1	0,934	0,909	1,279
AT5G56940_1	0,937	0,825	0,603
AT5G56950_1	1,001	1,260	0,796
AT5G56960_1	0,293	39,596	32,350
AT5G56970_1	0,786	0,867	0,903
AT5G56980_1	0,652	2,690	1,833
AT5G56990_1	1,185	0,665	0,374
AT5G57000_1	0,892	1,430	1,147
AT5G57010_1	0,348	11,877	17,114
AT5G57015_1	0,847	1,525	1,690
AT5G57020_1	0,947	0,846	0,838
AT5G57030_1	0,999	0,317	0,128
AT5G57035_1	0,827	1,541	1,902
AT5G57040_1	1,102	0,514	0,587
AT5G57050_1	1,721	1,340	3,320
AT5G57050_2	1,723	1,648	2,854
AT5G57060_1	0,758	1,743	2,529
AT5G57060_2	0,613	1,232	1,912
AT5G57070_1	0,875	1,341	0,917
AT5G57080_1	1,605	1,295	1,139
AT5G57090_1	1,010	1,020	0,891
AT5G57100_1	0,912	0,571	0,272
AT5G57110_1	1,282	0,145	0,241
AT5G57120_1	1,108	1,213	0,810
AT5G57123_1	1,016	1,511	2,186
AT5G57126_1	0,991	0,963	1,136
AT5G57130_1	1,077	0,241	0,112

AGI	NaCl-Kontrolle zur H₂O-Kontrolle (log₂)	H₂O +B.c. zur H₂O-Kontrolle (log₂)	NaCl +B.c. zur H₂O-Kontrolle (log₂)
AT5G57140_1	1,036	0,446	0,370
AT5G57150_1	0,799	6,302	4,690
AT5G57150_2	1,012	1,763	1,275
AT5G57150_3	0,866	10,184	9,935
AT5G57160_1	0,971	0,659	0,682
AT5G57170_1	1,023	0,219	0,047
AT5G57180_1	1,092	0,484	0,165
AT5G57180_2	1,028	0,391	0,061
AT5G57180_3	1,363	0,660	0,410
AT5G57181_1	1,157	1,127	1,226
AT5G57190_1	0,860	3,160	2,821
AT5G57200_1	1,560	1,510	1,230
AT5G57210_1	0,961	0,869	0,812
AT5G57220_1	0,285	6,415	4,507
AT5G57230_1	0,959	0,885	0,680
AT5G57240_1	0,972	1,283	11,338
AT5G57240_2	0,830	0,837	4,099
AT5G57250_1	1,127	0,508	0,551
AT5G57260_1	1,383	1,620	1,794
AT5G57270_1	1,197	0,648	0,489
AT5G57280_1	0,984	1,914	1,644
AT5G57290_1	0,853	0,952	0,750
AT5G57300_1	0,905	0,871	0,894
AT5G57300_2	0,907	0,879	0,955
AT5G57310_1	1,149	1,436	1,602
AT5G57320_1	1,179	0,615	0,817
AT5G57330_1	0,995	0,531	0,709
AT5G57340_1	0,906	0,324	0,297
AT5G57340_2	0,917	0,285	0,332
AT5G57345_1	0,961	0,642	0,468
AT5G57350_1	1,091	0,764	0,865
AT5G57360_1	0,994	0,948	0,879
AT5G57360_2	1,061	0,990	0,892
AT5G57370_1	1,083	1,078	0,859
AT5G57380_1	0,919	0,964	1,429
AT5G57390_1	0,913	0,266	0,355
AT5G57391_1	1,525	2,011	3,050
AT5G57400_1	0,975	1,328	1,765
AT5G57410_1	1,191	0,246	0,396
AT5G57410_2	1,237	0,258	0,391
AT5G57420_1	0,900	0,979	1,050
AT5G57440_1	0,971	0,297	0,114
AT5G57450_1	0,789	0,491	0,393
AT5G57450_2	0,957	0,797	0,936
AT5G57460_1	0,931	0,950	0,902
AT5G57480_1	0,676	4,237	9,954
AT5G57490_1	0,773	1,570	1,470
AT5G57500_1	0,668	2,821	2,460
AT5G57510_1	0,946	107,461	190,731
AT5G57520_1	1,080	1,162	2,123

AGI	NaCl-Kontrolle zur H₂O-Kontrolle (log₂)	H₂O +B.c. zur H₂O-Kontrolle (log₂)	NaCl +B.c. zur H₂O-Kontrolle (log₂)
AT5G57530_1	1,161	1,165	1,729
AT5G57535_1	0,952	0,975	1,107
AT5G57540_1	1,264	1,333	1,565
AT5G57550_1	0,746	0,892	2,130
AT5G57560_1	0,468	2,989	3,836
AT5G57565_1	0,807	0,676	1,011
AT5G57565_2	0,945	0,683	0,632
AT5G57567_1	1,050	1,059	0,885
AT5G57570_1	1,089	1,218	1,018
AT5G57580_1	0,905	0,949	0,917
AT5G57590_1	1,144	0,520	0,205
AT5G57610_1	1,222	1,248	1,459
AT5G57620_1	0,981	1,020	1,046
AT5G57625_1	0,964	1,031	1,348
AT5G57630_1	0,868	0,851	1,258
AT5G57640_1	0,928	0,872	0,812
AT5G57650_1	1,122	1,251	0,987
AT5G57655_1	0,978	0,277	1,891
AT5G57655_2	0,985	1,936	2,778
AT5G57660_1	0,821	0,720	0,788
AT5G57670_2	0,664	0,269	0,204
AT5G57685_1	0,638	0,341	2,310
AT5G57690_1	0,943	1,008	1,124
AT5G57700_1	0,852	0,178	0,058
AT5G57700_2	0,827	0,175	0,058
AT5G57700_3	0,823	0,186	0,049
AT5G57710_1	0,933	0,975	0,824
AT5G57720_1	1,101	1,221	1,492
AT5G57730_1	0,989	1,026	1,106
AT5G57735_1	1,069	1,083	1,107
AT5G57740_1	0,925	0,922	2,888
AT5G57747_1	1,210	1,025	1,377
AT5G57750_1	1,218	1,498	1,843
AT5G57760_1	0,578	0,274	0,139
AT5G57770_1	1,021	1,202	1,492
AT5G57780_1	0,579	0,132	0,046
AT5G57785_1	0,872	0,836	0,816
AT5G57790_1	1,222	0,475	0,540
AT5G57790_2	1,297	0,693	0,680
AT5G57800_1	1,009	1,179	0,496
AT5G57810_1	1,707	0,746	0,825
AT5G57815_1	0,943	1,241	1,423
AT5G57820_1	1,224	1,155	1,433
AT5G57830_1	0,894	0,298	0,450
AT5G57840_1	1,080	0,854	3,789
AT5G57850_1	0,879	0,847	0,811
AT5G57860_1	0,891	0,812	1,432
AT5G57860_2	0,954	0,993	1,835
AT5G57860_3	0,905	0,911	1,767
AT5G57860_4	1,093	1,016	1,527

AGI	NaCl-Kontrolle zur H₂O-Kontrolle (log₂)	H₂O +B.c. zur H₂O-Kontrolle (log₂)	NaCl +B.c. zur H₂O-Kontrolle (log₂)
AT5G57870_1	1,030	1,311	1,256
AT5G57880_1	0,810	0,574	0,398
AT5G57887_1	0,779	0,398	0,416
AT5G57890_1	0,760	2,453	1,983
AT5G57900_1	1,254	1,477	2,377
AT5G57910_1	0,779	4,351	10,979
AT5G57920_1	1,027	0,975	1,235
AT5G57930_1	1,093	0,527	0,219
AT5G57930_2	1,115	0,467	0,171
AT5G57940_1	1,045	0,913	0,694
AT5G57950_1	0,997	1,117	1,421
AT5G57960_1	1,153	0,731	0,548
AT5G57970_1	0,945	0,311	0,303
AT5G57980_1	1,136	1,006	1,244
AT5G57990_1	1,109	1,456	1,212
AT5G58000_1	1,103	0,228	0,259
AT5G58003_1	1,090	0,740	0,966
AT5G58005_1	0,969	0,937	1,379
AT5G58005_2	1,060	0,838	1,016
AT5G58010_1	1,204	1,195	1,596
AT5G58020_1	0,918	1,271	1,419
AT5G58030_1	0,888	0,735	0,770
AT5G58040_1	1,159	1,108	1,066
AT5G58050_1	1,427	1,416	1,720
AT5G58060_1	1,055	1,169	1,363
AT5G58060_2	1,101	1,054	1,704
AT5G58070_1	0,998	1,082	1,228
AT5G58080_1	1,343	1,510	1,952
AT5G58090_1	0,842	0,783	0,389
AT5G58100_1	0,992	0,829	0,808
AT5G58110_1	0,886	1,718	1,505
AT5G58120_1	0,882	1,734	1,964
AT5G58130_1	1,111	1,026	0,868
AT5G58140_1	0,891	1,141	0,789
AT5G58140_4	1,054	0,361	0,274
AT5G58150_1	0,808	1,092	0,758
AT5G58160_1	1,133	1,998	2,004
AT5G58170_1	1,545	1,598	2,228
AT5G58180_1	1,083	1,245	1,417
AT5G58190_1	1,036	1,348	1,631
AT5G58200_1	0,847	0,672	1,089
AT5G58210_1	1,338	1,892	1,824
AT5G58210_2	1,339	1,889	1,813
AT5G58210_3	1,296	1,827	1,772
AT5G58220_1	0,954	0,537	0,684
AT5G58220_2	0,904	0,696	0,875
AT5G58220_3	0,912	0,695	0,818
AT5G58230_1	1,058	1,105	1,076
AT5G58240_1	0,902	1,166	1,462
AT5G58240_2	0,848	0,893	1,516

AGI	NaCl-Kontrolle zur H₂O-Kontrolle (log₂)	H₂O +B.c. zur H₂O-Kontrolle (log₂)	NaCl +B.c. zur H₂O-Kontrolle (log₂)
AT5G58250_1	0,962	0,208	0,139
AT5G58260_1	0,975	0,378	0,038
AT5G58260_2	1,026	0,641	0,490
AT5G58270_1	1,081	0,732	0,741
AT5G58280_1	1,179	1,215	1,309
AT5G58290_1	1,060	1,173	1,573
AT5G58300_1	0,926	0,346	0,309
AT5G58300_2	1,071	0,234	0,148
AT5G58310_1	1,133	0,157	0,059
AT5G58320_1	1,075	1,611	2,891
AT5G58320_2	0,988	1,571	2,601
AT5G58320_3	1,057	1,582	2,783
AT5G58330_1	1,034	0,708	0,765
AT5G58330_2	1,006	0,646	0,742
AT5G58340_1	1,256	0,486	0,579
AT5G58350_1	1,009	5,248	6,608
AT5G58360_1	0,922	0,679	0,579
AT5G58370_1	1,282	1,872	0,430
AT5G58370_2	1,074	1,600	0,536
AT5G58375_1	0,913	3,504	4,424
AT5G58380_1	0,946	1,566	1,903
AT5G58390_1	0,851	0,425	0,069
AT5G58400_1	1,202	1,422	1,460
AT5G58410_1	0,996	1,082	1,395
AT5G58412_1	0,877	1,012	0,992
AT5G58420_1	1,026	1,165	0,798
AT5G58430_1	1,025	1,415	1,250
AT5G58440_1	0,953	0,882	0,726
AT5G58450_1	1,034	0,678	0,703
AT5G58460_1	1,141	1,442	1,879
AT5G58465_1	1,055	1,116	1,344
AT5G58470_1	1,143	1,200	1,262
AT5G58480_1	1,066	0,599	0,167
AT5G58490_1	1,062	0,925	1,106
AT5G58495_1	1,261	1,245	1,363
AT5G58500_1	0,750	0,626	0,787
AT5G58510_1	0,983	0,732	1,022
AT5G58520_1	1,005	0,224	0,091
AT5G58530_1	0,963	1,417	1,333
AT5G58540_1	1,036	1,115	0,907
AT5G58550_1	1,020	0,721	0,245
AT5G58560_1	0,997	0,693	0,579
AT5G58570_1	0,636	3,449	7,791
AT5G58575_1	0,846	0,753	1,420
AT5G58580_1	0,798	0,514	0,636
AT5G58590_1	1,071	1,725	1,336
AT5G58600_1	0,978	0,194	0,144
AT5G58600_2	0,992	0,318	0,322
AT5G58610_1	0,993	0,800	0,947
AT5G58620_1	0,992	2,907	5,451

AGI	NaCl-Kontrolle zur H₂O-Kontrolle (log₂)	H₂O +B.c. zur H₂O-Kontrolle (log₂)	NaCl +B.c. zur H₂O-Kontrolle (log₂)
AT5G58630_1	1,322	1,060	1,583
AT5G58640_1	0,918	0,945	1,110
AT5G58640_2	0,970	0,985	1,268
AT5G58650_1	0,829	1,231	3,763
AT5G58660_1	1,208	1,260	1,403
AT5G58670_1	0,961	0,589	0,720
AT5G58680_1	1,009	10,609	8,134
AT5G58690_1	0,945	1,477	2,092
AT5G58700_1	1,365	0,266	0,667
AT5G58710_1	0,980	0,973	1,190
AT5G58720_1	1,007	1,110	1,177
AT5G58720_2	0,971	1,307	1,909
AT5G58720_3	1,009	1,108	1,214
AT5G58730_1	0,960	3,238	6,041
AT5G58740_1	1,147	0,866	1,286
AT5G58750_1	1,057	1,062	1,068
AT5G58760_1	1,099	2,687	2,115
AT5G58770_1	1,246	8,026	6,564
AT5G58780_1	1,179	1,204	1,224
AT5G58782_1	1,213	1,189	1,602
AT5G58784_1	1,185	1,021	1,159
AT5G58787_1	1,024	1,543	1,577
AT5G58787_2	1,040	0,929	1,102
AT5G58790_1	1,009	0,809	0,494
AT5G58790_2	0,795	0,547	0,515
AT5G58790_3	0,864	0,547	0,511
AT5G58800_1	0,979	0,767	1,528
AT5G58800_2	0,974	0,786	1,565
AT5G58810_1	1,218	1,122	1,309
AT5G58820_1	1,043	1,027	1,100
AT5G58830_1	1,251	1,148	1,177
AT5G58840_1	1,010	8,028	37,697
AT5G58850_1	1,335	1,534	1,485
AT5G58860_1	1,346	0,882	1,024
AT5G58870_1	1,121	0,825	0,773
AT5G58880_1	0,932	0,962	0,904
AT5G58890_1	0,829	0,861	0,842
AT5G58900_1	0,881	0,425	0,052
AT5G58910_1	1,017	1,032	1,040
AT5G58920_1	1,082	0,790	1,035
AT5G58930_1	1,042	0,434	0,128
AT5G58940_1	0,770	3,701	4,350
AT5G58950_1	0,982	1,024	0,953
AT5G58960_1	1,192	0,203	0,043
AT5G58970_1	0,994	0,432	0,389
AT5G58970_2	0,712	0,332	0,392
AT5G58980_1	0,928	0,446	0,667
AT5G58990_1	1,008	0,857	0,747
AT5G59000_1	1,194	0,572	0,361
AT5G59010_1	0,944	0,580	0,252

AGI	NaCl-Kontrolle zur H₂O-Kontrolle (log₂)	H₂O +B.c. zur H₂O-Kontrolle (log₂)	NaCl +B.c. zur H₂O-Kontrolle (log₂)
AT5G59020_1	1,025	0,323	0,162
AT5G59030_1	0,957	0,754	0,775
AT5G59040_1	1,327	1,639	2,093
AT5G59050_1	1,216	1,045	0,686
AT5G59050_2	1,355	0,501	0,505
AT5G59060_1	1,115	1,550	2,256
AT5G59070_1	0,650	0,359	0,371
AT5G59080_1	0,894	0,388	0,077
AT5G59090_1	1,092	1,757	1,480
AT5G59090_2	1,680	3,330	3,744
AT5G59100_1	1,333	0,950	0,938
AT5G59105_1	1,027	0,996	1,022
AT5G59110_1	0,955	1,092	0,956
AT5G59120_1	1,144	1,169	1,064
AT5G59130_1	1,261	0,445	0,203
AT5G59140_1	0,975	1,116	1,595
AT5G59150_1	0,964	1,666	2,613
AT5G59160_1	0,845	0,998	1,748
AT5G59160_2	0,951	0,796	0,905
AT5G59160_3	0,898	1,138	1,228
AT5G59170_1	1,195	1,774	1,490
AT5G59180_1	1,032	1,446	1,788
AT5G59190_1	1,415	1,157	1,468
AT5G59200_1	1,323	0,515	0,393
AT5G59210_1	0,906	1,077	1,374
AT5G59210_2	0,938	1,140	1,421
AT5G59220_1	1,999	33,858	62,079
AT5G59230_1	1,004	1,047	1,499
AT5G59240_1	1,268	1,954	2,384
AT5G59250_1	0,945	0,576	0,262
AT5G59260_1	0,633	0,640	0,645
AT5G59270_1	0,924	0,992	0,895
AT5G59280_1	0,963	0,926	1,109
AT5G59290_1	0,924	0,939	3,610
AT5G59290_2	0,982	0,788	1,021
AT5G59300_1	0,926	0,941	1,187
AT5G59305_1	1,109	1,263	1,843
AT5G59310_1	4,977	0,096	1,084
AT5G59320_1	3,726	0,015	0,284
AT5G59330_1	3,498	0,062	0,691
AT5G59340_1	1,129	1,952	1,586
AT5G59350_1	1,054	0,398	0,146
AT5G59360_1	0,785	0,423	0,382
AT5G59370_1	1,071	1,012	1,004
AT5G59370_2	1,036	0,998	1,040
AT5G59380_1	0,893	1,402	1,239
AT5G59390_1	0,964	1,751	11,455
AT5G59400_1	0,941	1,142	2,202
AT5G59400_2	0,931	1,174	2,226
AT5G59410_1	0,748	0,644	0,407

AGI	NaCl-Kontrolle zur H ₂ O-Kontrolle (log ₂)	H ₂ O +B.c. zur H ₂ O-Kontrolle (log ₂)	NaCl +B.c. zur H ₂ O-Kontrolle (log ₂)
AT5G59420_1	1,049	1,573	1,926
AT5G59430_1	1,017	0,677	0,903
AT5G59430_3	0,975	0,635	0,884
AT5G59440_1	1,120	1,388	0,861
AT5G59440_2	1,080	1,401	0,878
AT5G59440_3	1,290	1,580	1,737
AT5G59450_1	0,920	1,416	1,266
AT5G59460_1	0,885	1,218	1,221
AT5G59470_1	1,141	0,753	1,480
AT5G59480_1	0,836	0,992	1,362
AT5G59480_2	0,695	1,896	1,980
AT5G59490_1	1,026	2,662	5,385
AT5G59500_1	0,974	0,540	0,419
AT5G59505_1	1,170	1,130	1,193
AT5G59510_1	0,731	21,339	22,209
AT5G59520_1	1,082	3,940	6,045
AT5G59530_1	0,823	4,454	4,914
AT5G59540_1	1,008	1,925	1,719
AT5G59540_2	1,026	1,923	1,716
AT5G59550_1	1,002	2,861	2,748
AT5G59560_1	1,008	1,505	1,902
AT5G59560_2	0,780	1,104	1,353
AT5G59570_1	0,949	1,249	1,982
AT5G59580_1	0,433	1,054	3,033
AT5G59590_1	0,346	1,654	3,339
AT5G59600_1	1,058	0,461	0,361
AT5G59610_1	0,964	0,524	0,947
AT5G59613_1	0,894	0,649	1,141
AT5G59616_1	1,099	1,104	1,293
AT5G59620_1	1,130	0,942	0,973
AT5G59630_1	1,394	1,255	1,081
AT5G59640_1	1,202	1,360	1,467
AT5G59650_1	0,987	0,292	0,212
AT5G59660_1	1,159	0,376	0,411
AT5G59662_1	0,933	0,811	0,770
AT5G59670_1	0,842	0,117	0,072
AT5G59680_1	0,591	1,182	1,362
AT5G59690_1	0,843	0,485	0,330
AT5G59700_1	1,397	2,676	2,555
AT5G59710_1	0,947	0,949	1,039
AT5G59720_1	0,749	0,830	5,120
AT5G59730_1	0,865	1,459	0,919
AT5G59730_2	0,838	1,483	0,951
AT5G59732_1	0,844	1,565	1,006
AT5G59740_1	0,888	0,838	0,591
AT5G59750_1	0,962	0,825	0,766
AT5G59760_1	0,804	0,799	0,752
AT5G59770_1	0,914	0,841	0,865
AT5G59780_1	1,054	1,546	1,768
AT5G59790_1	0,800	1,948	1,935

AGI	NaCl-Kontrolle zur H₂O-Kontrolle (log₂)	H₂O +B.c. zur H₂O-Kontrolle (log₂)	NaCl +B.c. zur H₂O-Kontrolle (log₂)
AT5G59800_1	0,955	0,892	1,026
AT5G59810_1	1,250	1,640	2,212
AT5G59820_1	0,896	12,052	21,329
AT5G59830_1	1,037	0,943	0,713
AT5G59840_1	1,054	1,320	2,065
AT5G59845_1	0,988	0,878	0,855
AT5G59850_1	0,885	1,096	0,842
AT5G59860_1	1,248	1,163	1,386
AT5G59870_1	0,617	0,268	0,206
AT5G59880_1	0,915	0,937	0,978
AT5G59880_2	0,899	0,948	0,999
AT5G59890_1	1,028	0,786	1,989
AT5G59890_2	0,884	0,832	1,978
AT5G59900_1	1,035	0,614	0,557
AT5G59910_1	0,922	1,015	1,110
AT5G59920_1	0,896	1,605	0,800
AT5G59930_1	0,970	1,020	0,996
AT5G59940_1	1,009	1,240	0,979
AT5G59950_1	1,051	1,142	1,258
AT5G59950_2	0,960	0,625	0,895
AT5G59950_3	1,040	1,106	1,151
AT5G59950_4	1,054	1,118	1,229
AT5G59960_1	0,933	0,684	1,760
AT5G59970_1	0,606	0,453	0,393
AT5G59980_1	1,316	0,966	0,756
AT5G59980_2	1,094	0,914	0,653
AT5G59990_1	0,772	0,819	1,318
AT5G59990_2	0,693	0,514	0,607
AT5G60000_1	1,263	1,550	1,623
AT5G60010_1	1,077	1,033	1,094
AT5G60020_1	0,769	0,331	0,257
AT5G60022_1	0,918	0,810	0,842
AT5G60030_1	1,144	1,077	0,713
AT5G60040_1	1,001	0,878	1,175
AT5G60050_1	1,122	0,581	0,375
AT5G60060_1	1,105	1,228	1,168
AT5G60070_1	1,134	1,216	1,448
AT5G60080_1	1,052	1,194	1,373
AT5G60090_1	1,137	1,265	1,553
AT5G60100_1	1,594	0,140	1,018
AT5G60110_1	1,046	1,115	1,458
AT5G60120_1	1,053	0,279	0,408
AT5G60130_1	0,813	0,614	0,525
AT5G60140_1	0,967	0,892	0,857
AT5G60142_1	1,052	0,674	0,610
AT5G60150_1	0,802	0,515	0,573
AT5G60160_1	1,099	1,196	1,549
AT5G60170_1	1,016	1,209	1,206
AT5G60180_1	1,132	1,190	1,414
AT5G60190_1	0,944	0,894	1,041

AGI	NaCl-Kontrolle zur H₂O-Kontrolle (log₂)	H₂O +B.c. zur H₂O-Kontrolle (log₂)	NaCl +B.c. zur H₂O-Kontrolle (log₂)
AT5G60200_1	0,843	0,156	0,106
AT5G60210_1	0,859	0,300	0,083
AT5G60220_1	0,928	0,738	0,592
AT5G60230_1	0,906	0,708	0,522
AT5G60230_2	1,148	1,073	1,242
AT5G60240_1	0,904	0,727	0,733
AT5G60250_1	0,968	2,154	2,015
AT5G60260_1	1,419	1,486	1,700
AT5G60270_1	0,524	2,461	3,917
AT5G60280_1	0,892	0,872	2,074
AT5G60290_1	0,972	0,688	0,577
AT5G60300_1	0,926	4,952	3,841
AT5G60300_3	1,121	3,961	3,687
AT5G60310_1	1,017	2,185	3,020
AT5G60320_1	1,067	1,246	1,461
AT5G60330_1	1,010	0,808	0,991
AT5G60340_1	1,084	0,829	0,798
AT5G60350_1	0,919	1,634	2,237
AT5G60360_1	1,150	1,179	1,502
AT5G60360_2	1,128	1,089	1,348
AT5G60360_3	1,061	1,058	1,302
AT5G60370_1	0,769	0,465	1,133
AT5G60380_1	1,065	0,998	1,092
AT5G60390_1	1,059	1,041	1,004
AT5G60390_2	1,027	0,988	0,971
AT5G60390_3	1,005	0,996	0,931
AT5G60400_1	0,689	0,241	0,115
AT5G60400_2	0,918	0,854	0,830
AT5G60400_3	0,815	0,359	0,121
AT5G60408_1	1,036	1,045	1,149
AT5G60410_1	0,947	1,441	1,334
AT5G60410_2	0,983	1,416	1,290
AT5G60410_3	0,872	1,708	2,380
AT5G60410_4	1,037	1,547	1,416
AT5G60430_1	0,991	0,636	0,874
AT5G60430_2	0,976	0,682	0,954
AT5G60440_1	0,932	0,986	1,150
AT5G60450_1	1,373	0,610	0,246
AT5G60460_1	1,006	1,768	1,965
AT5G60470_1	1,070	2,073	5,467
AT5G60480_1	1,277	1,821	2,496
AT5G60490_1	0,506	0,288	0,036
AT5G60500_1	1,015	1,124	1,194
AT5G60510_1	1,084	1,321	1,260
AT5G60520_1	1,068	1,121	1,079
AT5G60530_1	1,085	2,312	2,505
AT5G60540_1	1,084	0,958	0,799
AT5G60548_1	0,982	0,936	1,058
AT5G60553_1	1,043	1,161	1,176
AT5G60560_1	0,974	1,270	1,361

AGI	NaCl-Kontrolle zur H₂O-Kontrolle (log₂)	H₂O +B.c. zur H₂O-Kontrolle (log₂)	NaCl +B.c. zur H₂O-Kontrolle (log₂)
AT5G60570_1	0,932	0,979	0,777
AT5G60580_1	1,170	1,022	2,373
AT5G60580_2	1,145	0,973	2,341
AT5G60590_1	0,859	1,747	1,981
AT5G60590_2	0,857	1,725	2,036
AT5G60600_1	1,042	0,957	1,081
AT5G60600_3	1,027	0,926	0,975
AT5G60610_1	1,099	2,173	10,409
AT5G60615_1	1,257	1,526	1,546
AT5G60620_1	0,974	0,895	1,187
AT5G60630_1	0,822	10,210	26,787
AT5G60640_1	0,981	0,866	0,967
AT5G60640_2	0,980	0,848	1,021
AT5G60650_1	0,804	0,701	2,598
AT5G60660_1	0,786	0,539	0,900
AT5G60670_1	0,941	0,919	0,492
AT5G60680_1	1,366	0,338	0,711
AT5G60690_1	1,057	0,703	0,719
AT5G60700_1	1,062	1,236	1,611
AT5G60710_1	0,944	1,002	0,954
AT5G60720_1	0,903	0,331	0,327
AT5G60730_1	0,840	1,189	1,343
AT5G60740_1	1,079	1,203	1,344
AT5G60750_1	0,844	1,021	1,050
AT5G60760_1	1,248	1,203	0,940
AT5G60770_1	1,553	2,020	2,266
AT5G60780_1	1,239	1,880	1,796
AT5G60790_1	1,067	1,551	1,574
AT5G60800_1	0,533	1,125	2,743
AT5G60805_1	0,928	1,013	0,979
AT5G60810_1	1,059	1,067	1,063
AT5G60810_2	1,039	0,999	1,033
AT5G60820_1	0,954	0,836	1,134
AT5G60830_1	1,100	1,243	1,173
AT5G60840_1	0,832	0,397	0,339
AT5G60850_1	1,086	0,779	0,677
AT5G60860_1	0,608	0,597	0,505
AT5G60870_1	1,362	0,657	0,274
AT5G60870_2	1,563	0,733	0,212
AT5G60870_3	1,338	0,670	0,264
AT5G60880_1	0,765	0,678	0,753
AT5G60880_2	0,901	0,846	0,894
AT5G60890_1	0,968	0,925	0,416
AT5G60900_1	0,895	0,556	0,896
AT5G60910_1	1,420	1,440	1,189
AT5G60910_2	0,951	0,947	0,842
AT5G60920_1	1,039	0,629	0,314
AT5G60930_1	1,063	0,282	0,270
AT5G60940_1	1,052	0,360	0,236
AT5G60940_2	1,086	0,333	0,232

AGI	NaCl-Kontrolle zur H₂O-Kontrolle (log₂)	H₂O +B.c. zur H₂O-Kontrolle (log₂)	NaCl +B.c. zur H₂O-Kontrolle (log₂)
AT5G60945_1	1,016	1,046	1,023
AT5G60950_1	0,686	0,978	0,983
AT5G60960_1	0,967	1,159	0,799
AT5G60964_1	1,020	1,000	0,987
AT5G60970_1	1,184	1,033	0,834
AT5G60978_1	1,025	1,034	1,001
AT5G60980_1	1,149	0,881	0,671
AT5G60990_1	1,046	1,455	1,004
AT5G61000_1	0,602	0,237	0,175
AT5G61010_1	0,810	1,646	1,963
AT5G61020_1	1,080	1,318	0,923
AT5G61030_1	1,362	0,932	0,648
AT5G61040_1	1,093	0,567	0,410
AT5G61050_1	1,099	1,416	1,472
AT5G61060_1	1,102	1,372	1,447
AT5G61070_1	0,907	0,994	0,765
AT5G61090_1	1,135	1,098	0,853
AT5G61100_1	0,874	0,841	0,714
AT5G61110_1	1,055	1,546	1,719
AT5G61120_1	1,137	1,014	1,120
AT5G61130_1	1,039	0,778	0,105
AT5G61140_1	1,121	1,161	1,294
AT5G61150_1	1,040	0,965	1,182
AT5G61150_2	1,040	0,961	1,186
AT5G61160_1	0,278	48,415	16,700
AT5G61170_1	0,927	0,886	0,684
AT5G61180_1	1,156	1,116	1,027
AT5G61190_1	0,755	0,458	0,635
AT5G61200_1	0,814	0,305	0,140
AT5G61200_2	0,881	0,322	0,152
AT5G61210_1	0,786	1,102	1,356
AT5G61220_1	1,057	1,180	1,007
AT5G61228_1	1,051	0,949	0,973
AT5G61240_1	0,794	1,047	1,169
AT5G61250_1	0,742	0,618	2,058
AT5G61260_1	1,043	1,701	2,171
AT5G61270_1	0,668	0,627	0,174
AT5G61270_2	0,798	0,565	0,117
AT5G61280_1	0,891	0,749	0,787
AT5G61290_1	1,628	0,073	0,051
AT5G61300_1	1,025	0,345	0,220
AT5G61310_1	1,034	1,210	1,255
AT5G61310_2	0,880	0,643	0,573
AT5G61310_3	0,934	1,060	1,193
AT5G61310_4	1,062	1,189	1,294
AT5G61320_1	1,131	1,229	1,557
AT5G61330_1	1,011	1,018	0,645
AT5G61340_1	0,861	0,471	0,240
AT5G61350_1	1,314	1,326	0,079
AT5G61360_1	1,104	0,598	1,178

AGI	NaCl-Kontrolle zur H₂O-Kontrolle (log₂)	H₂O +B.c. zur H₂O-Kontrolle (log₂)	NaCl +B.c. zur H₂O-Kontrolle (log₂)
AT5G61370_1	1,534	0,943	1,251
AT5G61380_1	1,000	0,308	0,585
AT5G61390_1	0,950	1,023	2,117
AT5G61400_1	1,054	0,419	0,231
AT5G61410_1	0,907	0,795	0,722
AT5G61410_2	0,953	0,774	0,682
AT5G61412_1	0,991	1,031	1,282
AT5G61420_1	0,885	0,193	0,114
AT5G61420_2	1,008	0,309	0,063
AT5G61430_1	1,112	1,352	8,624
AT5G61440_1	0,553	0,455	0,358
AT5G61450_1	0,899	1,198	3,263
AT5G61455_1	1,059	1,137	1,188
AT5G61460_1	0,814	0,467	0,469
AT5G61470_1	1,088	1,458	1,559
AT5G61480_1	1,037	0,191	0,074
AT5G61490_1	0,958	0,918	1,715
AT5G61495_1	1,000	1,026	1,612
AT5G61500_1	1,035	0,945	1,322
AT5G61510_1	1,005	1,237	1,167
AT5G61520_1	1,145	3,296	4,044
AT5G61520_2	1,425	3,220	3,588
AT5G61530_1	0,995	1,258	1,725
AT5G61530_2	0,949	1,217	1,646
AT5G61540_1	0,860	0,614	0,521
AT5G61540_3	0,912	0,636	0,562
AT5G61550_1	1,124	1,937	1,728
AT5G61560_1	0,974	3,278	4,221
AT5G61570_1	0,924	1,270	1,464
AT5G61570_2	0,954	1,246	1,349
AT5G61580_1	1,029	0,848	1,321
AT5G61580_2	1,086	0,884	1,276
AT5G61590_1	0,996	0,336	0,118
AT5G61600_1	0,876	1,021	1,049
AT5G61605_1	1,046	1,050	1,035
AT5G61610_1	0,757	1,958	0,533
AT5G61620_1	1,201	1,182	1,393
AT5G61630_1	1,156	1,317	1,489
AT5G61640_1	1,070	1,920	3,442
AT5G61650_1	0,947	0,962	1,029
AT5G61660_1	0,888	0,327	0,134
AT5G61670_1	0,958	0,734	1,367
AT5G61670_2	0,864	0,449	0,728
AT5G61680_1	1,234	1,247	1,569
AT5G61690_1	1,192	1,053	1,108
AT5G61700_1	0,718	0,890	0,842
AT5G61710_1	1,187	1,818	2,197
AT5G61720_1	1,017	1,090	1,111
AT5G61730_1	1,458	1,788	2,005
AT5G61740_1	0,786	0,559	0,537

AGI	NaCl-Kontrolle zur H₂O-Kontrolle (log₂)	H₂O +B.c. zur H₂O-Kontrolle (log₂)	NaCl +B.c. zur H₂O-Kontrolle (log₂)
AT5G61750_1	0,993	1,058	1,190
AT5G61760_1	0,966	1,730	1,864
AT5G61770_1	1,080	2,048	1,505
AT5G61770_2	1,007	1,970	1,400
AT5G61770_3	1,097	2,150	1,572
AT5G61780_1	1,026	1,243	1,095
AT5G61790_1	1,009	1,287	1,292
AT5G61800_1	1,344	0,584	0,624
AT5G61810_1	0,939	0,782	0,646
AT5G61810_2	0,958	0,801	0,637
AT5G61820_1	1,248	2,087	3,082
AT5G61830_1	0,950	0,601	0,422
AT5G61840_1	0,885	1,140	1,024
AT5G61850_1	1,133	1,277	1,258
AT5G61865_1	1,237	0,772	0,833
AT5G61880_1	1,255	0,914	1,077
AT5G61880_2	1,249	1,073	1,004
AT5G61890_1	0,870	18,094	19,516
AT5G61900_1	0,725	2,176	3,861
AT5G61910_1	1,134	1,138	1,244
AT5G61910_3	1,084	0,915	0,917
AT5G61920_1	1,005	0,844	1,080
AT5G61920_2	0,931	0,918	1,145
AT5G61930_1	1,146	0,663	0,854
AT5G61930_2	1,122	0,686	0,920
AT5G61940_1	1,351	0,450	0,341
AT5G61950_1	1,092	0,240	0,148
AT5G61960_1	1,016	1,769	2,187
AT5G61970_1	1,017	0,903	0,822
AT5G61980_1	0,684	0,379	0,311
AT5G61990_1	0,866	0,904	1,147
AT5G61997_1	1,099	1,083	1,250
AT5G62000_1	1,071	1,102	0,845
AT5G62000_2	1,058	1,097	0,813
AT5G62020_1	0,945	4,016	5,337
AT5G62030_1	1,042	0,865	0,694
AT5G62040_1	4,235	0,562	0,643
AT5G62050_1	1,204	1,344	1,228
AT5G62060_1	1,092	0,941	1,152
AT5G62065_1	1,512	1,690	2,020
AT5G62070_1	0,900	1,179	0,609
AT5G62080_1	1,113	1,071	1,301
AT5G62090_1	1,081	0,667	0,796
AT5G62100_1	1,054	0,811	0,554
AT5G62100_2	1,145	1,262	0,541
AT5G62100_3	1,201	1,290	0,481
AT5G62110_1	1,071	1,107	1,282
AT5G62120_1	1,032	1,053	1,095
AT5G62130_1	1,165	2,074	1,881
AT5G62140_1	1,074	1,053	0,657

AGI	NaCl-Kontrolle zur H₂O-Kontrolle (log₂)	H₂O +B.c. zur H₂O-Kontrolle (log₂)	NaCl +B.c. zur H₂O-Kontrolle (log₂)
AT5G62150_1	1,030	44,958	67,157
AT5G62160_1	1,206	1,173	1,518
AT5G62162_1	0,835	1,152	1,378
AT5G62165_1	1,235	1,386	2,309
AT5G62165_2	0,689	0,537	0,611
AT5G62165_3	0,456	0,351	0,356
AT5G62170_1	0,813	0,271	0,197
AT5G62180_1	0,847	1,866	3,193
AT5G62190_1	1,286	1,240	0,760
AT5G62200_1	1,038	0,756	1,909
AT5G62210_1	1,322	0,758	0,732
AT5G62220_1	1,092	1,320	0,602
AT5G62230_1	1,265	0,637	0,255
AT5G62240_1	0,922	0,901	1,031
AT5G62250_1	0,966	0,922	0,980
AT5G62260_1	1,006	1,018	2,966
AT5G62270_1	1,133	0,867	0,605
AT5G62280_1	0,353	0,293	0,043
AT5G62290_1	1,156	0,863	0,622
AT5G62290_2	1,119	0,902	0,622
AT5G62300_1	0,963	0,874	0,638
AT5G62300_2	0,959	0,864	0,621
AT5G62310_1	0,992	0,788	0,790
AT5G62320_1	1,084	1,034	0,998
AT5G62330_1	1,142	1,217	1,251
AT5G62340_1	1,049	1,371	1,979
AT5G62350_1	1,034	0,668	0,127
AT5G62360_1	0,471	0,191	0,014
AT5G62370_1	1,227	1,456	0,533
AT5G62380_1	0,864	0,541	0,596
AT5G62390_1	1,183	1,037	1,023
AT5G62400_1	1,021	0,966	1,537
AT5G62410_1	0,713	0,380	0,455
AT5G62420_1	0,874	1,003	0,980
AT5G62430_1	0,871	1,850	1,191
AT5G62440_1	1,038	1,716	1,321
AT5G62460_1	0,839	1,114	1,507
AT5G62470_1	0,958	0,370	0,636
AT5G62470_2	0,909	0,408	0,632
AT5G62480_1	0,920	60,702	175,982
AT5G62480_2	0,966	82,863	230,175
AT5G62490_1	1,033	1,087	1,492
AT5G62500_1	0,728	0,324	0,534
AT5G62510_1	1,103	1,166	1,242
AT5G62520_1	0,674	2,300	14,664
AT5G62520_2	0,675	2,051	14,387
AT5G62530_1	1,200	0,880	1,252
AT5G62540_1	1,117	0,915	1,604
AT5G62550_1	0,660	0,117	0,057
AT5G62560_1	0,915	0,703	0,670

AGI	NaCl-Kontrolle zur H₂O-Kontrolle (log₂)	H₂O +B.c. zur H₂O-Kontrolle (log₂)	NaCl +B.c. zur H₂O-Kontrolle (log₂)
AT5G62570_1	0,798	1,980	2,109
AT5G62575_1	0,829	0,950	2,130
AT5G62575_2	0,996	0,918	0,979
AT5G62580_1	0,978	0,490	0,921
AT5G62600_1	0,938	1,197	1,291
AT5G62610_1	1,036	0,782	0,734
AT5G62620_1	1,222	2,380	3,636
AT5G62623_1	1,053	0,991	0,991
AT5G62627_1	1,017	1,113	1,372
AT5G62630_1	0,791	0,208	0,317
AT5G62640_1	0,966	0,830	0,960
AT5G62650_1	1,050	0,858	1,004
AT5G62660_1	1,070	1,278	1,521
AT5G62670_1	0,917	0,927	0,190
AT5G62680_1	0,960	1,648	2,287
AT5G62690_1	0,986	0,753	0,362
AT5G62700_1	1,081	0,786	0,353
AT5G62710_1	0,991	0,116	0,042
AT5G62720_1	0,972	0,220	0,067
AT5G62720_2	1,013	0,416	0,366
AT5G62730_1	0,204	0,619	0,182
AT5G62740_1	0,981	0,822	0,890
AT5G62750_1	1,097	0,974	1,053
AT5G62760_1	0,935	0,431	0,704
AT5G62760_2	0,955	0,796	1,048
AT5G62770_1	1,083	1,604	3,700
AT5G62780_1	1,000	1,014	1,115
AT5G62790_1	1,032	0,402	0,407
AT5G62800_1	1,102	1,224	1,451
AT5G62810_1	1,051	0,920	0,837
AT5G62820_1	1,054	0,542	0,522
AT5G62830_1	0,895	1,039	1,291
AT5G62840_1	1,027	0,401	0,083
AT5G62850_1	0,734	0,213	0,396
AT5G62860_1	0,590	3,908	4,387
AT5G62880_1	0,923	0,484	0,394
AT5G62890_1	0,985	0,560	0,135
AT5G62890_3	1,079	0,603	0,142
AT5G62890_4	0,909	0,420	0,359
AT5G62900_1	0,973	0,572	0,655
AT5G62910_1	0,943	0,939	1,017
AT5G62920_1	0,855	0,152	0,019
AT5G62930_1	0,974	0,866	0,778
AT5G62940_1	0,870	0,225	0,147
AT5G62950_1	0,911	0,838	1,428
AT5G62950_2	0,931	0,859	1,466
AT5G62960_1	0,886	0,338	0,231
AT5G62970_1	1,000	0,934	0,945
AT5G62980_1	0,749	0,282	0,182
AT5G62990_1	1,639	0,692	0,573

AGI	NaCl-Kontrolle zur H ₂ O-Kontrolle (log ₂)	H ₂ O +B.c. zur H ₂ O-Kontrolle (log ₂)	NaCl +B.c. zur H ₂ O-Kontrolle (log ₂)
AT5G62998_1	1,093	1,130	1,504
AT5G63000_1	1,056	1,019	1,321
AT5G63010_1	1,071	2,699	3,210
AT5G63020_1	0,901	0,418	0,351
AT5G63030_1	1,055	1,909	3,124
AT5G63040_1	1,028	0,653	0,299
AT5G63040_2	1,068	0,773	0,378
AT5G63050_1	0,945	0,726	0,622
AT5G63060_1	0,950	0,270	0,443
AT5G63063_1	1,029	1,067	1,106
AT5G63065_1	1,052	1,119	1,537
AT5G63070_1	1,058	1,094	1,134
AT5G63080_1	0,910	0,481	0,670
AT5G63085_1	1,001	0,977	1,101
AT5G63087_1	1,120	0,665	0,820
AT5G63090_1	1,197	1,058	1,340
AT5G63090_2	1,143	1,116	1,090
AT5G63090_3	1,049	1,145	1,208
AT5G63090_4	1,069	1,119	1,253
AT5G63100_1	0,817	0,568	0,297
AT5G63110_1	0,953	1,154	1,208
AT5G63120_1	1,022	0,598	1,617
AT5G63120_2	1,102	0,926	1,356
AT5G63130_1	1,161	15,233	28,496
AT5G63135_1	0,840	1,151	1,381
AT5G63140_1	0,856	0,265	0,204
AT5G63150_1	0,684	1,100	1,318
AT5G63160_1	1,002	2,454	2,296
AT5G63170_1	0,909	0,900	0,992
AT5G63180_1	0,946	0,124	0,006
AT5G63190_1	1,053	0,606	0,669
AT5G63195_1	1,194	0,574	0,707
AT5G63200_1	1,126	0,558	0,626
AT5G63220_1	0,779	1,224	1,732
AT5G63225_1	1,113	1,068	1,240
AT5G63230_1	0,956	1,044	1,283
AT5G63240_1	1,089	1,218	1,579
AT5G63250_1	1,052	1,032	1,037
AT5G63260_1	1,032	0,748	1,209
AT5G63270_1	1,532	2,511	5,281
AT5G63280_1	0,915	0,681	0,846
AT5G63290_1	1,223	0,645	0,484
AT5G63300_1	1,085	1,122	1,318
AT5G63300_2	1,341	1,275	1,550
AT5G63310_1	0,931	0,367	0,149
AT5G63320_1	0,977	0,934	1,025
AT5G63320_2	1,092	1,153	1,210
AT5G63340_1	1,017	1,095	1,065
AT5G63350_1	1,964	0,903	2,057
AT5G63370_1	0,915	1,042	1,480

AGI	NaCl-Kontrolle zur H₂O-Kontrolle (log₂)	H₂O +B.c. zur H₂O-Kontrolle (log₂)	NaCl +B.c. zur H₂O-Kontrolle (log₂)
AT5G63380_1	0,917	0,910	0,487
AT5G63390_1	1,146	1,391	1,739
AT5G63400_1	0,935	1,015	0,933
AT5G63400_2	0,990	1,082	1,048
AT5G63410_1	0,810	0,550	0,205
AT5G63420_1	1,205	0,328	0,139
AT5G63440_1	0,924	0,629	0,661
AT5G63440_3	0,883	0,631	0,668
AT5G63450_1	0,988	4,728	4,226
AT5G63460_1	0,996	1,188	1,340
AT5G63460_2	0,974	1,194	1,338
AT5G63470_1	0,767	0,116	0,135
AT5G63470_2	0,854	0,175	0,175
AT5G63480_1	0,842	0,239	0,187
AT5G63490_1	0,872	2,531	2,484
AT5G63500_1	0,772	0,808	0,542
AT5G63510_1	0,990	0,824	0,907
AT5G63520_1	0,990	0,778	0,945
AT5G63530_1	0,685	0,515	0,473
AT5G63530_2	1,079	0,666	0,543
AT5G63540_1	0,587	0,264	0,239
AT5G63540_2	0,862	0,775	0,807
AT5G63550_1	0,772	0,732	0,772
AT5G63550_2	0,805	0,746	0,793
AT5G63560_1	1,139	1,002	1,148
AT5G63570_1	0,968	0,912	0,833
AT5G63580_1	1,270	0,342	0,319
AT5G63590_1	1,167	0,808	1,093
AT5G63595_1	1,233	1,162	1,371
AT5G63600_1	0,930	1,357	1,975
AT5G63600_2	0,989	1,593	2,005
AT5G63610_1	0,983	1,204	1,205
AT5G63620_1	0,999	0,799	1,213
AT5G63630_1	1,194	0,569	0,133
AT5G63634_1	1,171	1,310	1,594
AT5G63640_1	0,963	1,007	1,363
AT5G63650_1	1,115	0,991	0,957
AT5G63660_1	1,204	1,296	1,620
AT5G63670_1	1,135	0,771	0,692
AT5G63680_1	1,060	1,924	2,331
AT5G63690_1	1,137	0,845	0,548
AT5G63700_1	1,209	0,523	0,103
AT5G63710_1	0,969	0,395	0,482
AT5G63720_1	1,302	1,213	1,353
AT5G63730_1	1,156	1,169	1,378
AT5G63740_1	0,935	0,970	1,024
AT5G63750_1	1,094	1,023	1,314
AT5G63760_1	1,124	2,160	2,150
AT5G63760_2	1,176	2,186	2,414
AT5G63770_1	0,898	1,124	1,496

AGI	NaCl-Kontrolle zur H₂O-Kontrolle (log₂)	H₂O +B.c. zur H₂O-Kontrolle (log₂)	NaCl +B.c. zur H₂O-Kontrolle (log₂)
AT5G63780_1	1,100	0,262	0,056
AT5G63790_1	0,954	3,536	4,354
AT5G63800_1	1,000	0,908	1,496
AT5G63810_1	1,081	0,155	0,017
AT5G63820_1	0,928	0,146	0,098
AT5G63830_1	0,933	1,244	1,055
AT5G63840_1	1,101	1,006	1,029
AT5G63850_1	0,691	1,520	1,914
AT5G63860_1	1,051	0,900	0,731
AT5G63870_1	1,040	0,652	0,604
AT5G63870_3	0,914	0,474	0,410
AT5G63880_1	0,894	1,181	2,328
AT5G63890_1	1,001	0,663	0,731
AT5G63900_1	1,115	1,178	1,743
AT5G63905_1	0,844	1,075	2,402
AT5G63910_1	1,029	0,892	0,993
AT5G63920_1	0,752	0,330	0,234
AT5G63930_1	1,065	0,853	1,587
AT5G63940_1	1,048	1,241	1,128
AT5G63941_1	1,864	0,881	0,649
AT5G63950_1	0,976	0,843	1,460
AT5G63952_1	1,205	1,403	1,655
AT5G63960_1	0,916	0,352	0,249
AT5G63970_1	1,098	8,151	12,011
AT5G63970_2	1,087	6,209	8,727
AT5G63980_1	0,860	1,137	1,137
AT5G63990_1	1,002	0,433	1,827
AT5G63990_2	1,095	0,847	1,052
AT5G64000_1	0,747	1,325	1,299
AT5G64010_1	0,930	0,783	0,975
AT5G64020_1	0,928	1,260	1,681
AT5G64030_1	1,104	0,528	0,426
AT5G64040_1	0,885	0,484	0,215
AT5G64040_2	0,769	0,509	0,527
AT5G64050_1	1,094	0,559	0,648
AT5G64060_1	0,964	1,015	0,856
AT5G64070_1	1,028	1,111	1,099
AT5G64080_1	1,002	0,222	0,337
AT5G64080_2	0,973	0,260	0,366
AT5G64090_1	1,040	1,444	1,379
AT5G64100_1	1,170	8,514	32,892
AT5G64110_1	0,956	2,377	28,960
AT5G64120_1	0,223	4,899	7,968
AT5G64130_1	1,021	0,709	0,799
AT5G64130_2	0,908	0,782	1,013
AT5G64130_3	1,021	0,816	0,962
AT5G64140_1	0,836	1,066	0,853
AT5G64150_1	1,100	0,713	0,378
AT5G64160_1	0,919	0,957	1,436
AT5G64170_1	1,042	1,206	1,251

AGI	NaCl-Kontrolle zur H₂O-Kontrolle (log₂)	H₂O +B.c. zur H₂O-Kontrolle (log₂)	NaCl +B.c. zur H₂O-Kontrolle (log₂)
AT5G64180_1	0,976	0,979	1,269
AT5G64190_1	0,455	3,803	17,893
AT5G64200_1	0,926	1,280	1,428
AT5G64200_2	0,908	1,293	1,524
AT5G64210_1	1,164	1,234	1,474
AT5G64220_1	0,980	1,073	1,183
AT5G64220_2	0,971	1,074	1,244
AT5G64230_1	1,009	5,580	13,263
AT5G64240_1	1,240	0,728	1,645
AT5G64240_2	1,067	0,746	1,109
AT5G64250_1	1,010	1,295	1,988
AT5G64250_2	1,102	0,649	0,698
AT5G64260_1	0,593	1,918	1,883
AT5G64270_1	1,012	1,072	1,000
AT5G64280_1	1,163	1,165	0,794
AT5G64290_1	0,993	0,644	0,531
AT5G64300_1	0,966	1,664	1,780
AT5G64310_1	0,926	6,912	12,042
AT5G64320_1	1,034	0,853	0,437
AT5G64330_1	1,039	0,407	0,024
AT5G64330_2	1,003	0,399	0,039
AT5G64340_1	1,105	0,303	0,274
AT5G64350_1	1,089	0,816	1,360
AT5G64360_1	0,770	0,534	0,507
AT5G64360_2	0,783	0,228	0,260
AT5G64360_3	1,014	0,713	0,743
AT5G64360_4	0,871	0,572	0,532
AT5G64370_1	0,727	0,961	2,044
AT5G64380_1	1,087	0,264	0,106
AT5G64390_1	0,898	0,622	0,802
AT5G64390_2	0,822	0,325	0,840
AT5G64395_1	0,675	0,360	0,641
AT5G64400_1	1,023	1,459	1,925
AT5G64400_2	0,892	2,181	3,670
AT5G64401_1	0,901	4,020	13,266
AT5G64410_1	0,659	0,250	0,226
AT5G64420_1	1,093	1,152	0,637
AT5G64430_1	1,108	0,934	1,997
AT5G64440_1	1,092	1,079	1,445
AT5G64450_1	0,767	1,374	2,690
AT5G64460_1	0,880	0,506	0,170
AT5G64460_2	0,873	0,473	0,166
AT5G64460_3	0,898	0,490	0,176
AT5G64460_5	0,805	0,621	0,515
AT5G64460_7	0,923	0,487	0,172
AT5G64470_1	0,954	0,739	0,905
AT5G64470_2	0,969	0,735	0,895
AT5G64480_1	0,987	0,625	0,577
AT5G64490_1	0,945	0,924	0,927
AT5G64500_1	0,918	0,798	0,973

AGI	NaCl-Kontrolle zur H₂O-Kontrolle (log₂)	H₂O +B.c. zur H₂O-Kontrolle (log₂)	NaCl +B.c. zur H₂O-Kontrolle (log₂)
AT5G64501_1	1,372	1,220	0,693
AT5G64510_1	0,654	11,481	16,499
AT5G64520_1	0,921	0,687	0,896
AT5G64520_2	1,061	0,935	0,939
AT5G64520_3	0,841	0,565	0,566
AT5G64530_1	0,773	0,435	1,871
AT5G64540_1	1,297	1,182	1,477
AT5G64540_2	1,004	1,259	1,598
AT5G64550_1	1,109	0,506	1,148
AT5G64560_1	0,985	0,618	1,185
AT5G64560_2	1,177	0,762	0,902
AT5G64570_1	0,783	3,520	12,863
AT5G64572_1	0,664	3,437	14,538
AT5G64580_1	1,050	0,357	0,138
AT5G64590_1	0,930	0,903	0,945
AT5G64600_1	1,056	0,809	0,966
AT5G64610_1	1,003	0,820	1,006
AT5G64620_1	0,475	0,270	0,519
AT5G64630_1	0,537	0,165	0,101
AT5G64630_3	0,583	0,129	0,054
AT5G64640_1	0,930	0,580	0,298
AT5G64650_1	0,935	0,932	0,604
AT5G64660_1	1,032	5,979	9,923
AT5G64667_1	0,672	1,380	1,460
AT5G64670_1	0,878	0,794	0,388
AT5G64680_1	1,093	1,127	0,754
AT5G64680_2	1,087	1,153	0,736
AT5G64680_3	1,565	1,220	0,423
AT5G64685_1	0,818	0,815	0,823
AT5G64690_1	0,998	1,047	1,045
AT5G64700_1	1,009	10,230	10,128
AT5G64710_1	1,406	1,634	1,707
AT5G64720_1	1,173	1,271	1,595
AT5G64730_1	1,147	1,428	1,269
AT5G64735_1	1,131	1,131	1,286
AT5G64740_1	1,013	0,937	0,589
AT5G64750_1	0,370	8,087	8,369
AT5G64760_1	1,125	0,842	1,088
AT5G64770_1	1,339	0,222	0,012
AT5G64780_1	0,680	0,475	1,185
AT5G64790_1	0,794	11,940	23,017
AT5G64800_1	0,907	0,870	0,778
AT5G64810_1	0,934	4,654	25,414
AT5G64813_1	0,964	0,896	0,939
AT5G64816_1	0,979	0,647	0,428
AT5G64816_2	1,324	1,034	0,765
AT5G64820_1	1,018	1,283	1,690
AT5G64830_1	1,009	0,703	0,888
AT5G64830_2	0,951	0,718	0,867
AT5G64840_1	1,059	0,983	1,011

AGI	NaCl-Kontrolle zur H₂O-Kontrolle (log₂)	H₂O +B.c. zur H₂O-Kontrolle (log₂)	NaCl +B.c. zur H₂O-Kontrolle (log₂)
AT5G64850_1	0,698	1,060	1,044
AT5G64860_1	1,041	0,236	0,088
AT5G64870_1	0,905	9,361	8,082
AT5G64880_1	0,815	0,785	0,797
AT5G64890_1	1,191	32,893	52,532
AT5G64900_1	1,125	6,312	8,161
AT5G64905_1	1,114	55,681	73,528
AT5G64910_1	0,980	1,128	3,828
AT5G64920_1	1,003	0,985	1,001
AT5G64930_1	0,980	1,470	1,393
AT5G64940_1	1,035	0,974	0,665
AT5G64940_2	1,062	0,937	0,715
AT5G64950_1	1,027	1,485	1,001
AT5G64960_1	1,048	1,100	0,952
AT5G64970_1	1,040	0,742	0,969
AT5G64980_1	1,065	0,526	0,297
AT5G64990_1	0,926	1,296	2,042
AT5G65000_1	0,836	1,293	2,250
AT5G65000_2	1,024	0,924	1,357
AT5G65005_1	1,103	1,334	1,234
AT5G65010_1	0,884	0,545	0,153
AT5G65020_1	0,845	0,290	0,237
AT5G65020_2	0,888	0,301	0,214
AT5G65030_1	1,221	0,835	0,980
AT5G65040_1	1,058	1,040	0,992
AT5G65050_1	0,949	0,517	1,100
AT5G65050_2	0,903	0,620	0,708
AT5G65060_1	1,038	0,503	1,022
AT5G65070_1	0,885	0,787	1,780
AT5G65070_2	1,097	0,997	1,053
AT5G65080_1	0,847	0,896	1,270
AT5G65080_2	0,873	0,593	0,888
AT5G65090_1	0,984	0,697	0,848
AT5G65100_1	1,284	1,575	1,611
AT5G65110_1	0,961	1,337	2,868
AT5G65110_2	1,011	1,328	2,882
AT5G65120_1	0,789	0,571	0,409
AT5G65130_1	1,011	1,012	1,010
AT5G65140_1	2,059	2,366	3,352
AT5G65140_2	2,164	2,209	3,432
AT5G65158_1	1,138	1,212	1,049
AT5G65160_1	0,965	1,208	2,236
AT5G65165_1	0,821	0,675	0,939
AT5G65166_1	1,466	1,517	1,967
AT5G65170_1	0,944	1,323	2,578
AT5G65180_1	1,053	1,212	1,120
AT5G65180_2	0,946	1,116	1,040
AT5G65200_1	0,830	2,436	2,270
AT5G65205_1	1,144	0,490	0,647
AT5G65207_1	1,024	0,277	0,719

AGI	NaCl-Kontrolle zur H₂O-Kontrolle (log₂)	H₂O +B.c. zur H₂O-Kontrolle (log₂)	NaCl +B.c. zur H₂O-Kontrolle (log₂)
AT5G65210_1	0,962	2,760	9,113
AT5G65210_2	1,058	0,893	0,835
AT5G65210_3	1,054	2,898	8,981
AT5G65210_4	1,061	1,677	3,992
AT5G65210_5	1,114	3,223	10,486
AT5G65210_6	1,025	2,602	6,847
AT5G65220_1	0,975	0,420	0,163
AT5G65230_1	0,912	0,623	0,709
AT5G65240_1	0,960	2,334	2,599
AT5G65250_1	0,915	0,921	1,017
AT5G65260_1	1,191	1,336	1,533
AT5G65270_1	0,835	1,455	1,474
AT5G65274_1	1,148	1,305	1,233
AT5G65280_1	0,918	6,727	4,119
AT5G65290_1	0,898	1,180	1,698
AT5G65290_2	0,936	1,034	0,948
AT5G65300_1	0,594	4,774	9,690
AT5G65310_1	0,850	0,173	0,163
AT5G65310_2	0,922	0,158	0,155
AT5G65320_1	1,351	0,718	0,810
AT5G65330_1	1,101	1,276	1,431
AT5G65340_1	0,756	0,793	0,932
AT5G65350_1	0,878	0,660	0,489
AT5G65360_1	0,838	0,418	0,363
AT5G65370_1	1,106	1,155	1,122
AT5G65380_1	1,231	3,872	5,062
AT5G65390_1	0,538	0,246	0,168
AT5G65400_1	1,138	0,690	0,747
AT5G65410_1	1,135	1,115	0,263
AT5G65420_1	0,858	0,372	0,346
AT5G65430_1	0,824	1,145	1,084
AT5G65430_2	0,751	1,117	1,090
AT5G65440_1	0,882	0,182	0,067
AT5G65440_2	0,898	0,233	0,127
AT5G65445_1	1,042	1,020	1,172
AT5G65450_1	1,038	0,952	0,934
AT5G65460_1	1,261	0,716	0,475
AT5G65470_1	0,892	0,667	1,068
AT5G65480_1	1,166	0,757	0,563
AT5G65490_1	1,103	1,047	0,641
AT5G65495_1	0,983	1,231	2,425
AT5G65500_1	1,018	1,040	1,304
AT5G65510_1	0,957	2,868	2,346
AT5G65520_1	0,971	0,826	0,994
AT5G65530_1	1,048	0,530	0,591
AT5G65533_1	1,567	2,703	3,410
AT5G65535_1	1,066	0,974	1,042
AT5G65540_1	1,062	0,890	1,067
AT5G65550_1	1,013	0,955	0,946
AT5G65560_1	0,949	0,975	1,298

AGI	NaCl-Kontrolle zur H₂O-Kontrolle (log₂)	H₂O +B.c. zur H₂O-Kontrolle (log₂)	NaCl +B.c. zur H₂O-Kontrolle (log₂)
AT5G65570_1	1,060	0,389	0,497
AT5G65575_1	0,957	0,879	1,221
AT5G65580_1	0,993	1,286	1,390
AT5G65590_1	0,749	0,443	0,567
AT5G65600_1	0,427	70,019	62,086
AT5G65609_1	1,205	3,031	3,560
AT5G65610_1	0,768	0,715	0,513
AT5G65620_1	0,971	0,914	0,941
AT5G65630_1	0,994	1,121	1,123
AT5G65640_1	1,164	0,235	0,209
AT5G65640_2	1,076	0,262	0,242
AT5G65650_1	1,046	0,800	0,661
AT5G65660_1	0,975	0,911	0,686
AT5G65670_1	1,014	0,588	0,373
AT5G65670_2	1,034	0,639	0,400
AT5G65676_1	1,004	1,021	1,074
AT5G65683_1	0,677	0,573	0,200
AT5G65685_1	0,934	0,645	0,721
AT5G65687_1	0,946	0,676	0,870
AT5G65690_1	1,104	1,377	1,352
AT5G65700_1	0,890	0,618	0,154
AT5G65710_1	0,955	0,281	0,161
AT5G65720_1	1,166	1,292	1,410
AT5G65730_1	0,422	0,802	0,051
AT5G65740_1	1,012	0,460	0,302
AT5G65740_2	1,006	0,899	0,993
AT5G65740_3	0,870	0,515	0,482
AT5G65750_1	1,231	1,922	2,214
AT5G65760_1	1,151	0,761	0,929
AT5G65770_1	1,015	0,917	0,967
AT5G65770_2	0,923	0,890	0,931
AT5G65780_1	1,176	0,536	0,490
AT5G65790_1	1,017	1,353	1,187
AT5G65800_1	0,811	0,566	0,574
AT5G65810_1	0,764	0,330	0,127
AT5G65820_1	1,085	0,530	0,334
AT5G65830_1	1,108	0,683	0,410
AT5G65840_1	1,203	0,500	0,708
AT5G65850_1	1,069	1,855	1,676
AT5G65860_1	0,957	0,942	0,943
AT5G65860_2	0,927	1,355	0,787
AT5G65870_1	0,984	1,007	3,101
AT5G65880_1	0,969	0,784	0,658
AT5G65890_1	1,140	1,301	1,939
AT5G65890_2	1,225	1,523	1,876
AT5G65900_1	1,073	1,105	0,989
AT5G65910_1	0,946	0,524	0,870
AT5G65920_1	0,517	4,649	5,698
AT5G65925_1	0,594	0,411	0,566
AT5G65930_1	1,045	0,613	0,656

AGI	NaCl-Kontrolle zur H₂O-Kontrolle (log₂)	H₂O +B.c. zur H₂O-Kontrolle (log₂)	NaCl +B.c. zur H₂O-Kontrolle (log₂)
AT5G65940_1	0,910	0,876	1,271
AT5G65940_2	0,841	0,323	0,326
AT5G65940_3	1,048	0,858	0,985
AT5G65950_1	1,035	1,104	0,988
AT5G65960_1	0,981	0,764	0,907
AT5G65970_1	0,821	0,562	0,427
AT5G65980_1	1,370	2,290	5,069
AT5G65990_1	1,155	0,946	1,330
AT5G66000_1	1,048	1,068	0,495
AT5G66005_1	0,902	0,303	0,182
AT5G66005_2	1,155	0,902	1,003
AT5G66010_1	1,028	1,289	1,079
AT5G66020_1	1,205	1,264	1,430
AT5G66030_1	1,004	0,933	0,880
AT5G66030_2	1,011	0,929	0,855
AT5G66040_1	1,067	1,477	0,833
AT5G66040_2	0,865	0,750	0,496
AT5G66045_1	1,061	0,897	0,939
AT5G66050_1	0,962	0,675	0,767
AT5G66050_2	0,958	0,682	0,735
AT5G66052_1	1,268	1,377	0,577
AT5G66053_1	1,218	1,303	0,594
AT5G66055_1	1,046	0,488	0,376
AT5G66055_2	1,096	0,473	0,464
AT5G66060_1	0,960	0,625	0,476
AT5G66070_1	0,943	1,689	2,152
AT5G66070_2	1,158	0,851	1,537
AT5G66080_1	0,795	0,934	0,741
AT5G66090_1	1,096	0,818	0,426
AT5G66100_1	1,204	1,321	1,377
AT5G66110_1	1,339	1,597	1,453
AT5G66120_1	1,070	1,370	1,463
AT5G66120_2	1,043	1,425	1,583
AT5G66130_1	1,137	0,659	0,587
AT5G66140_1	1,013	0,933	1,131
AT5G66150_1	1,024	0,489	0,706
AT5G66160_1	1,023	1,046	1,078
AT5G66160_2	0,929	0,771	0,877
AT5G66170_1	1,013	9,421	19,378
AT5G66170_2	1,082	9,770	19,542
AT5G66180_1	1,099	1,191	1,163
AT5G66180_2	0,806	0,691	0,709
AT5G66190_1	1,016	0,621	0,426
AT5G66190_2	1,020	0,684	0,421
AT5G66200_1	0,980	1,103	1,065
AT5G66210_1	0,774	1,648	1,442
AT5G66210_2	0,785	1,640	1,510
AT5G66210_3	0,796	1,740	1,538
AT5G66210_4	0,953	1,241	1,220
AT5G66211_1	1,007	0,979	0,976

AGI	NaCl-Kontrolle zur H₂O-Kontrolle (log₂)	H₂O +B.c. zur H₂O-Kontrolle (log₂)	NaCl +B.c. zur H₂O-Kontrolle (log₂)
AT5G66220_1	1,092	1,325	1,715
AT5G66230_1	0,747	0,460	0,348
AT5G66240_1	1,006	1,007	0,901
AT5G66240_2	0,907	1,093	0,918
AT5G66250_1	0,936	0,996	1,462
AT5G66250_2	0,845	0,899	2,029
AT5G66260_1	1,196	1,228	1,617
AT5G66270_1	1,050	1,901	1,340
AT5G66280_1	1,070	0,960	1,075
AT5G66290_1	0,848	0,759	1,098
AT5G66300_1	0,772	0,559	0,504
AT5G66310_1	0,842	0,501	0,093
AT5G66320_1	0,888	2,196	2,451
AT5G66320_2	1,096	1,897	1,847
AT5G66330_1	0,932	0,190	0,071
AT5G66340_1	0,929	1,205	1,341
AT5G66350_1	1,099	0,942	0,892
AT5G66360_1	1,002	0,884	1,091
AT5G66360_2	0,999	0,830	0,981
AT5G66370_1	0,984	1,247	1,331
AT5G66380_1	0,937	0,813	0,677
AT5G66390_1	0,561	1,950	2,930
AT5G66400_1	1,638	0,530	0,726
AT5G66400_2	1,627	0,523	0,724
AT5G66410_1	0,886	0,551	0,417
AT5G66420_1	1,149	0,461	0,302
AT5G66430_1	0,950	1,557	1,929
AT5G66440_1	0,920	0,779	2,656
AT5G66450_1	0,805	0,599	0,954
AT5G66450_2	0,899	0,706	0,826
AT5G66455_1	1,050	0,606	0,851
AT5G66455_2	1,058	0,927	0,998
AT5G66460_1	1,360	0,291	0,266
AT5G66470_1	0,989	0,414	0,172
AT5G66480_1	1,339	2,749	5,765
AT5G66490_1	1,085	0,899	0,998
AT5G66500_1	1,120	0,693	0,431
AT5G66510_1	0,964	0,842	1,064
AT5G66510_2	0,794	0,734	0,602
AT5G66520_1	1,023	0,160	0,026
AT5G66530_1	0,877	0,316	0,175
AT5G66535_1	1,239	1,630	1,744
AT5G66540_1	1,160	1,634	1,242
AT5G66550_1	1,037	0,488	0,481
AT5G66558_1	1,028	0,893	1,440
AT5G66560_1	0,894	0,758	0,688
AT5G66562_1	1,004	1,321	0,780
AT5G66564_1	1,003	1,318	0,902
AT5G66567_1	1,170	2,188	0,866
AT5G66568_1	1,035	1,508	1,871

AGI	NaCl-Kontrolle zur H₂O-Kontrolle (log₂)	H₂O +B.c. zur H₂O-Kontrolle (log₂)	NaCl +B.c. zur H₂O-Kontrolle (log₂)
AT5G66570_1	1,045	0,737	0,474
AT5G66580_1	0,614	0,556	0,056
AT5G66590_1	0,825	0,871	0,229
AT5G66600_1	1,129	1,338	1,204
AT5G66607_1	1,141	0,993	1,183
AT5G66610_1	0,800	0,313	0,271
AT5G66620_1	0,404	6,284	6,037
AT5G66630_1	0,782	4,812	5,478
AT5G66631_1	1,256	1,494	1,356
AT5G66640_1	0,307	1,560	1,411
AT5G66650_1	0,737	14,605	13,413
AT5G66658_1	0,880	2,466	4,240
AT5G66660_1	0,994	1,038	0,979
AT5G66670_1	1,058	1,727	1,306
AT5G66675_1	0,896	1,419	0,998
AT5G66680_1	0,975	0,982	0,951
AT5G66690_1	1,130	2,278	9,377
AT5G66700_1	0,861	1,164	1,154
AT5G66710_1	0,923	0,842	0,949
AT5G66720_1	0,956	0,872	0,649
AT5G66720_2	0,941	0,865	0,664
AT5G66730_1	0,991	1,636	1,384
AT5G66740_1	0,864	1,995	0,487
AT5G66750_1	0,760	0,295	0,116
AT5G66760_1	1,039	1,658	2,107
AT5G66770_1	0,798	1,216	0,196
AT5G66780_1	1,270	1,719	3,596
AT5G66790_1	1,061	0,598	0,545
AT5G66800_1	0,781	0,742	0,799
AT5G66810_1	1,006	0,964	1,419
AT5G66815_1	1,028	1,220	1,243
AT5G66816_1	0,841	1,073	0,899
AT5G66820_1	1,039	1,667	1,632
AT5G66830_1	1,004	1,098	1,758
AT5G66840_1	0,987	1,002	1,108
AT5G66850_1	1,000	1,287	1,181
AT5G66860_1	1,032	0,958	0,683
AT5G66870_1	0,991	1,926	9,793
AT5G66880_1	1,131	0,558	0,691
AT5G66890_1	1,031	1,429	3,148
AT5G66900_1	0,995	1,150	1,101
AT5G66910_1	0,977	0,529	0,995
AT5G66920_1	0,651	0,272	0,186
AT5G66930_1	1,007	0,678	1,335
AT5G66930_2	0,934	0,640	1,558
AT5G66930_3	0,902	0,543	1,521
AT5G66940_1	1,043	1,767	1,599
AT5G66950_1	0,927	0,931	0,914
AT5G66960_1	1,622	0,844	0,545
AT5G66970_1	1,006	1,163	1,040

AGI	NaCl-Kontrolle zur H₂O-Kontrolle (log₂)	H₂O +B.c. zur H₂O-Kontrolle (log₂)	NaCl +B.c. zur H₂O-Kontrolle (log₂)
AT5G66980_1	1,041	1,178	1,310
AT5G66985_1	1,371	1,235	1,095
AT5G66990_1	1,024	1,110	1,223
AT5G67000_1	1,233	2,126	2,414
AT5G67010_1	1,202	1,456	1,259
AT5G67020_1	0,665	0,744	0,684
AT5G67030_1	1,004	0,968	0,941
AT5G67040_1	0,882	1,528	1,660
AT5G67050_1	0,592	0,629	0,670
AT5G67060_1	0,560	0,549	0,560
AT5G67070_1	0,977	0,800	0,378
AT5G67080_1	0,484	39,366	42,151
AT5G67090_1	1,062	0,910	0,764
AT5G67100_1	0,683	0,237	0,186
AT5G67110_1	0,970	0,515	0,421
AT5G67110_2	0,879	0,823	0,726
AT5G67110_3	0,883	0,461	0,401
AT5G67120_1	1,063	1,107	1,112
AT5G67130_1	1,141	0,573	0,443
AT5G67140_1	0,722	1,270	3,080
AT5G67150_1	1,090	0,676	0,168
AT5G67160_1	0,674	5,710	12,595
AT5G67170_1	0,906	1,645	2,107
AT5G67180_1	1,217	1,911	1,990
AT5G67190_1	0,897	0,996	0,546
AT5G67200_1	0,721	1,125	0,230
AT5G67210_1	0,641	7,199	2,755
AT5G67220_1	1,000	1,270	1,029
AT5G67230_1	1,010	0,989	0,894
AT5G67240_1	1,098	1,462	1,034
AT5G67245_1	0,862	3,571	6,288
AT5G67250_1	0,980	1,858	1,925
AT5G67260_1	1,134	0,494	0,456
AT5G67270_1	0,739	0,354	0,231
AT5G67280_1	1,118	0,524	0,255
AT5G67290_1	1,192	1,086	1,032
AT5G67300_1	0,825	3,342	4,805
AT5G67310_1	0,789	144,846	168,741
AT5G67320_1	1,226	0,823	1,047
AT5G67330_1	1,016	1,066	1,003
AT5G67340_1	0,603	4,268	6,113
AT5G67350_1	1,078	5,501	7,281
AT5G67360_1	1,101	1,091	0,957
AT5G67370_1	1,164	1,509	1,779
AT5G67380_1	0,945	0,951	1,266
AT5G67380_2	0,882	0,874	1,290
AT5G67385_1	0,862	0,853	0,438
AT5G67390_1	1,777	1,904	1,802
AT5G67390_2	0,874	0,317	0,077
AT5G67400_1	1,109	1,669	1,316

AGI	NaCl-Kontrolle zur H₂O-Kontrolle (log₂)	H₂O +B.c. zur H₂O-Kontrolle (log₂)	NaCl +B.c. zur H₂O-Kontrolle (log₂)
AT5G67410_1	0,759	0,717	0,639
AT5G67411_1	0,786	0,312	0,118
AT5G67420_1	1,069	0,882	0,759
AT5G67430_1	0,978	1,031	1,058
AT5G67440_1	0,911	1,115	0,900
AT5G67450_1	0,766	0,987	1,673
AT5G67460_1	0,691	0,386	0,363
AT5G67470_1	0,981	1,109	1,318
AT5G67480_1	0,957	1,853	2,225
AT5G67480_2	0,943	0,679	1,089
AT5G67488_1	1,052	2,633	3,873
AT5G67490_1	0,738	1,893	6,984
AT5G67500_1	0,888	1,288	1,473
AT5G67510_1	0,780	1,563	1,351
AT5G67520_1	1,393	1,182	1,890
AT5G67530_1	1,018	1,298	1,386
AT5G67540_1	0,860	1,390	1,601
AT5G67550_1	0,521	0,301	0,272
AT5G67560_1	0,741	0,606	0,751
AT5G67570_1	1,070	0,295	0,296
AT5G67580_1	1,055	0,973	1,381
AT5G67590_1	0,889	0,900	1,252
AT5G67600_1	0,993	1,455	4,600
AT5G67610_1	1,069	1,144	1,288
AT5G67610_2	0,685	0,743	0,666
AT5G67620_1	1,369	1,108	1,249
AT5G67630_1	1,047	1,517	0,986
AT5G67640_1	0,971	0,376	0,268
ATCG00010_1	0,883	1,020	0,846
ATCG00020_1	0,985	0,938	0,899
ATCG00040_1	0,971	0,311	0,144
ATCG00050_1	1,075	0,508	0,284
ATCG00080_1	0,909	0,718	0,491
ATCG00090_1	0,984	0,695	0,464
ATCG00120_1	1,072	0,812	0,687
ATCG00130_1	1,074	0,548	0,413
ATCG00140_1	1,144	0,532	0,376
ATCG00150_1	1,070	0,538	0,360
ATCG00160_1	1,042	0,751	0,583
ATCG00170_1	1,254	0,385	0,207
ATCG00180_1	1,077	0,605	0,372
ATCG00190_1	1,223	0,626	0,422
ATCG00220_1	0,900	0,896	0,809
ATCG00230_1	0,943	1,138	1,125
ATCG00270_1	1,043	0,867	0,783
ATCG00280_1	0,998	0,906	0,802
ATCG00300_1	1,151	0,812	0,662
ATCG00320_1	0,810	1,321	0,946
ATCG00330_1	0,990	0,527	0,363
ATCG00340_1	1,011	0,824	0,784

AGI	NaCl-Kontrolle zur H₂O-Kontrolle (log₂)	H₂O +B.c. zur H₂O-Kontrolle (log₂)	NaCl +B.c. zur H₂O-Kontrolle (log₂)
ATCG00350_1	1,138	0,809	0,697
ATCG00360_1	1,022	0,403	0,271
ATCG00380_1	1,062	0,632	0,427
ATCG00390_1	0,898	0,816	0,473
ATCG00410_1	1,139	0,997	0,729
ATCG00420_1	1,173	0,548	0,385
ATCG00430_1	1,090	0,601	0,479
ATCG00440_1	0,945	0,808	0,657
ATCG00460_1	1,215	1,347	1,016
ATCG00470_1	1,000	0,667	0,419
ATCG00480_1	1,067	0,921	0,744
ATCG00490_1	1,033	0,724	0,522
ATCG00500_1	1,150	0,654	0,511
ATCG00520_1	1,106	0,614	0,450
ATCG00530_1	1,127	0,472	0,319
ATCG00540_1	1,049	0,723	0,583
ATCG00570_1	0,984	0,881	0,808
ATCG00580_1	1,056	0,862	0,704
ATCG00600_1	1,108	0,773	0,490
ATCG00660_1	0,941	0,560	0,427
ATCG00670_1	1,019	0,668	0,548
ATCG00680_1	1,080	0,798	0,636
ATCG00700_1	1,084	0,634	0,445
ATCG00710_1	1,047	0,827	0,746
ATCG00720_1	1,050	0,928	0,893
ATCG00740_1	0,870	0,697	0,483
ATCG00750_1	0,981	0,835	0,700
ATCG00770_1	0,969	0,618	0,469
ATCG00780_1	0,979	0,582	0,429
ATCG00790_1	1,006	0,555	0,396
ATCG00800_1	0,997	0,528	0,401
ATCG00810_1	1,000	0,502	0,353
ATCG00820_1	0,943	0,591	0,498
ATCG00830_1	1,016	0,917	0,798
ATCG00840_1	0,929	0,793	0,672
ATCG00850_1	0,980	1,158	0,936
ATCG00860_1	0,944	0,958	0,752
ATCG00870_1	0,843	1,093	0,868
ATCG00880_1	0,885	1,160	0,877
ATCG00890_1	0,938	0,850	0,625
ATCG00900_1	0,997	0,729	0,574
ATCG00905_1	1,089	0,779	0,595
ATCG00910_1	0,925	1,152	0,875
ATCG00920_1	1,057	0,913	0,877
ATCG00930_1	1,162	0,642	0,392
ATCG00940_1	1,142	0,705	0,481
ATCG00950_1	1,086	1,018	1,034
ATCG00960_1	1,011	0,758	0,484
ATCG00990_1	0,929	1,124	0,923
ATCG01000_1	0,989	0,638	0,445

AGI	NaCl-Kontrolle zur H₂O-Kontrolle (log₂)	H₂O +B.c. zur H₂O-Kontrolle (log₂)	NaCl +B.c. zur H₂O-Kontrolle (log₂)
ATCG01010_1	1,031	0,563	0,383
ATCG01030_1	0,678	0,800	0,536
ATCG01040_1	0,981	0,668	0,532
ATCG01050_1	1,060	0,480	0,381
ATCG01060_1	0,979	0,677	0,511
ATCG01070_1	0,954	0,567	0,413
ATCG01080_1	1,024	0,478	0,342
ATCG01090_1	1,026	0,747	0,620
ATCG01100_1	1,052	0,698	0,577
ATCG01110_1	1,121	0,553	0,383
ATCG01120_1	1,051	0,531	0,387
ATCG01130_1	1,079	0,353	0,232
ATCG01140_1	0,888	1,116	0,886
ATCG01230_1	1,105	0,791	0,617
ATCG01290_1	0,984	1,172	0,925
ATMG00010_1	1,198	2,675	2,454
ATMG00020_1	1,004	0,833	0,773
ATMG00030_1	1,029	0,681	0,629
ATMG00040_1	1,516	3,248	2,742
ATMG00050_1	1,499	2,636	2,367
ATMG00060_1	1,455	2,539	2,172
ATMG00070_1	1,300	1,954	1,898
ATMG00080_1	1,229	1,678	1,525
ATMG00090_1	1,281	1,237	1,152
ATMG00100_1	1,264	3,392	2,711
ATMG00110_1	1,086	2,373	2,310
ATMG00120_1	1,136	2,415	2,216
ATMG00130_1	1,199	2,908	2,738
ATMG00140_1	1,325	3,313	3,258
ATMG00150_1	1,155	2,628	2,582
ATMG00160_1	1,088	2,689	3,601
ATMG00170_1	1,367	3,255	3,397
ATMG00180_1	1,172	2,293	1,721
ATMG00200_1	1,307	1,529	1,917
ATMG00210_1	1,321	0,867	0,945
ATMG00220_1	1,101	0,831	0,859
ATMG00240_1	0,985	2,443	2,457
ATMG00270_1	0,941	2,305	3,184
ATMG00280_1	1,015	0,939	0,727
ATMG00285_1	1,165	1,953	2,139
ATMG00290_1	1,210	2,118	3,014
ATMG00310_1	1,335	2,361	2,010
ATMG00320_1	1,313	2,291	1,975
ATMG00330_1	1,239	2,299	1,611
ATMG00360_1	1,130	3,541	3,026
ATMG00370_1	0,922	0,802	0,629
ATMG00400_1	1,241	1,213	1,240
ATMG00410_1	1,166	0,880	0,909
ATMG00450_1	1,386	2,492	2,288
ATMG00470_1	1,012	2,281	1,486

AGI	NaCl-Kontrolle zur H₂O-Kontrolle (log₂)	H₂O +B.c. zur H₂O-Kontrolle (log₂)	NaCl +B.c. zur H₂O-Kontrolle (log₂)
ATMG00490_1	1,230	1,308	1,104
ATMG00500_1	1,318	1,454	1,357
ATMG00510_1	1,218	1,451	1,509
ATMG00513_1	1,226	1,455	1,457
ATMG00550_1	1,261	2,105	2,521
ATMG00560_1	1,424	1,806	1,750
ATMG00570_1	1,408	1,791	1,889
ATMG00580_1	1,056	1,607	1,632
ATMG00610_1	1,162	2,356	2,357
ATMG00630_1	1,443	3,786	4,246
ATMG00640_1	1,217	3,677	4,663
ATMG00650_1	1,140	1,604	1,706
ATMG00660_1	1,130	1,511	1,451
ATMG00670_1	1,422	2,758	2,897
ATMG00680_1	1,115	2,249	2,047
ATMG00690_1	1,013	3,172	3,428
ATMG00700_1	1,248	3,416	2,762
ATMG00710_1	1,094	1,979	1,844
ATMG00720_1	1,124	2,512	2,516
ATMG00730_1	1,352	3,070	3,986
ATMG00740_1	1,157	2,111	2,146
ATMG00750_1	1,200	1,784	1,730
ATMG00760_1	1,081	1,848	1,742
ATMG00770_1	1,176	1,845	1,786
ATMG00810_1	1,220	2,373	2,115
ATMG00820_1	1,247	2,744	2,727
ATMG00830_1	0,998	0,867	0,965
ATMG00840_1	1,199	1,406	1,324
ATMG00850_1	1,428	1,583	1,772
ATMG00860_1	1,285	1,603	1,564
ATMG00870_1	1,333	1,814	1,795
ATMG00880_1	1,430	1,740	1,638
ATMG00890_1	1,298	1,847	1,787
ATMG00910_1	1,389	2,055	2,158
ATMG00920_1	1,140	1,865	1,897
ATMG00940_1	1,300	2,456	2,405
ATMG00960_1	1,247	2,465	2,149
ATMG00970_1	1,056	2,222	2,201
ATMG00990_1	1,201	1,764	1,411
ATMG01000_1	1,359	1,825	1,493
ATMG01020_1	1,421	1,795	1,624
ATMG01030_1	1,134	2,059	1,807
ATMG01050_1	1,308	2,661	3,175
ATMG01060_1	1,052	2,365	2,538
ATMG01070_1	0,884	1,120	1,132
ATMG01080_1	1,288	3,141	2,881
ATMG01090_1	1,466	2,659	2,325
ATMG01110_1	1,169	2,539	2,242
ATMG01120_1	1,107	1,303	1,232
ATMG01130_1	1,000	0,776	0,802

AGI	NaCl-Kontrolle zur H₂O-Kontrolle (log₂)	H₂O +B.c. zur H₂O-Kontrolle (log₂)	NaCl +B.c. zur H₂O-Kontrolle (log₂)
ATMG01170_1	1,419	1,344	1,325
ATMG01180_1	1,274	2,713	2,157
ATMG01190_1	1,209	1,342	1,396
ATMG01200_1	1,441	2,265	2,208
ATMG01220_1	1,209	2,900	2,528
ATMG01230_1	1,395	1,907	2,290
ATMG01240_1	1,333	1,869	2,107
ATMG01250_1	1,307	1,696	1,782
ATMG01260_1	1,279	1,847	1,881
ATMG01270_1	1,301	1,658	1,496
ATMG01275_1	0,970	0,621	0,616
ATMG01290_1	1,246	2,309	2,604
ATMG01300_1	1,131	1,786	1,748
ATMG01320_1	1,194	1,293	1,084
ATMG01330_1	1,412	2,214	2,027
ATMG01350_1	1,129	2,305	2,507
ATMG01360_1	1,113	1,502	1,362
ATMG01370_1	1,040	3,046	2,572
ATMG01380_1	1,155	2,182	1,839
ATMG01390_1	1,026	1,038	0,969
ATMG01400_1	1,118	2,268	2,322
ATMG01410_1	0,986	2,715	2,671

III. INVOLVIERTE FUNKTIONELLE KLASSEN

Genliste zu Abbildung 4-29

Funktionelle Klasse	NaCl-Kontrolle zur H2O-Kontrolle	H2O +B.c. zur H2O-Kontrolle	NaCl +B.c. zur H2O-Kontrolle	Total
Molekulare Funktionen, gesamt	24	2538	3690	10579
Katalytische Aktivität	18	1429	2064	5316
Bindung	10	1271	1836	5675
TransporterAktivität	4	188	277	770
Elektronentransport Aktivität	5	87	129	334
Molekulare Umwandler Aktivität	0	55	60	192
Antioxidative Aktivität	1	35	53	111
Strukturelle Molekülaktivität	0	53	105	375
Nucleinsäure bindende TF-Aktivität	1	130	196	654
Enzymatische Regulatoraktivität	1	49	74	254
Rezeptoraktivität	0	30	34	144
Protein bindende TF-Aktivität	0	1	1	19
Nährstoffreservoir Aktivität	0	9	15	47
Kanalregulations Aktivität	0	2	2	5
Metallchaperone Aktivität	0	1	2	3
Translative Regulatoraktivität	0	0	0	1
Protein Kennzeichnung	0	0	0	1
Biologische Prozesse, gesamt	21	2409	3547	10068
Stoffwechselprozesse	11	1170	1771	4746
Zellulare Prozesse	14	1148	1731	4768
Antwort auf Stimulus	8	575	806	2101
Multiorganische Prozesse	3	114	144	292
Entwicklungsorganisation	2	186	273	780
Entwicklungsprozesse	1	181	263	791
Etablierung Lokalisation	4	243	363	1104
Immunsystemantwort	0	45	51	158
Biologische Regulation	4	373	575	1803
Reproduktive Prozesse	1	87	125	412
Multizelluläre organische Prozesse	1	50	65	238
Tod	0	11	16	36
Rhythmische Prozesse	0	7	7	19
Wachstum	0	34	54	169
Zellteilung	0	6	6	19
Lokalisation	1	9	12	37
Kohlenstoffverwertung	0	1	1	1
Biologische Adhäsion	0	0	3	7
Reproduktion	0	2	4	8
Signalübertragung	0	1	3	5
Bewegung	0	1	1	8
Zelltod	0	0	1	3
Pigmentation	0	0	0	1

Funktionelle Klasse	NaCl-Kontrolle zur H2O-Kontrolle	H2O +B.c. zur H2O-Kontrolle	NaCl +B.c. zur H2O-Kontrolle	Total
Zellulare Komponenten, gesamt	13	2006	2926	8276
Zellteilung	12	1629	2422	6653
Organelle	3	789	1231	3333
Organellen Teilung	1	457	727	1882
Extrazelluläre Region	3	81	124	260
Zellverbindung	1	141	212	657
Makromolekularer Complex	0	161	283	974
Extrazelluläre Region Teilung	0	6	7	14
Membranumschlossenes Lumen	0	6	6	35

IV. ÜBERSCHNEIDUNGEN DER GENPOPULATIONEN

Genliste zu Abbildung 4-30 A+B

AGI	NaCl-Kontrolle zur H ₂ O-Kontrolle (log ₂)	H ₂ O +B.c. zur H ₂ O-Kontrolle (log ₂)	NaCl +B.c. zur H ₂ O-Kontrolle (log ₂)
AT1G25530_1	2,073	0,273	4,443
AT1G26380_1	0,203	31,687	32,922
AT1G26420_1	0,254	15,479	20,680
AT1G28010_1	0,358	0,449	0,210
AT1G56240_1	0,299	40,808	21,155
AT1G64660_1	2,656	4,585	5,389
AT1G66725_1	0,411	2,254	3,152
AT1G77450_1	2,106	12,854	19,831
AT1G79680_1	0,290	33,840	32,584
AT2G15220_1	0,304	3,260	6,428
AT2G18690_1	0,151	9,302	9,954
AT2G18690_2	0,270	3,710	3,886
AT2G29680_1	0,443	0,129	0,074
AT2G40740_1	0,488	4,492	11,151
AT2G40740_2	0,451	4,466	11,101
AT2G44790_1	0,322	39,999	62,721
AT3G23550_1	0,163	8,527	4,468
AT3G28290_1	2,284	0,306	0,243
AT3G28340_1	0,299	5,233	7,943
AT3G54830_1	0,450	0,374	0,053
AT4G20780_1	0,484	3,191	3,163
AT4G21200_1	0,491	0,359	0,313
AT4G21390_1	0,368	12,035	10,379
AT4G25830_1	0,374	0,415	0,041
AT4G30230_1	0,463	7,270	9,660
AT4G37240_1	0,270	0,171	0,122
AT5G06570_1	0,351	0,337	0,356
AT5G19470_1	2,142	0,261	0,180
AT5G24110_1	0,166	21,272	9,875
AT5G28770_1	0,451	0,419	0,459
AT5G28770_2	0,454	0,434	0,463
AT5G57220_1	0,285	6,415	4,507
AT5G62360_1	0,471	0,191	0,014

Genliste zu Abbildung 4-30 C+D

AGI	NaCl-Kontrolle zur H ₂ O-Kontrolle (log ₂)	H ₂ O +B.c. zur H ₂ O-Kontrolle (log ₂)	NaCl +B.c. zur H ₂ O-Kontrolle (log ₂)
AT1G01120_1	0,694	1,300	0,382
AT1G01130_1	0,791	0,834	0,427
AT1G01355_1	1,310	1,979	2,406

AGI	NaCl-Kontrolle zur H₂O-Kontrolle (log₂)	H₂O +B.c. zur H₂O-Kontrolle (log₂)	NaCl +B.c. zur H₂O-Kontrolle (log₂)
AT1G01620_1	0,817	0,587	0,435
AT1G01670_1	0,925	0,511	0,475
AT1G01730_1	1,114	1,520	2,149
AT1G02340_1	0,599	0,740	0,472
AT1G02480_1	1,171	1,334	2,088
AT1G02650_1	0,589	0,674	0,440
AT1G03475_1	0,913	0,507	0,470
AT1G03720_1	1,246	1,478	2,024
AT1G04120_1	1,202	1,434	2,217
AT1G04220_1	1,397	1,276	2,609
AT1G04445_1	1,199	1,401	2,185
AT1G04550_2	0,910	1,100	0,474
AT1G05530_1	1,384	1,526	2,184
AT1G05750_1	0,922	0,551	0,495
AT1G05950_1	0,515	0,582	0,309
AT1G06320_1	1,290	1,622	2,277
AT1G06540_1	1,298	1,594	2,121
AT1G06780_1	1,023	1,475	2,003
AT1G07150_1	1,298	1,650	2,107
AT1G07290_1	0,803	0,504	0,407
AT1G07390_1	1,432	1,736	2,176
AT1G07390_3	1,432	1,749	2,189
AT1G07650_1	0,782	0,658	0,474
AT1G07770_2	0,932	0,753	0,491
AT1G09530_1	1,199	0,856	2,098
AT1G09660_1	0,913	1,120	0,497
AT1G09660_2	0,870	1,049	0,492
AT1G10400_1	1,228	1,393	2,035
AT1G10550_1	0,612	0,943	0,362
AT1G11250_1	1,276	1,555	2,245
AT1G11265_1	1,212	1,513	2,234
AT1G12780_1	1,195	0,676	2,141
AT1G13145_1	0,865	0,786	0,482
AT1G15125_1	0,504	1,358	0,281
AT1G15310_1	1,384	1,218	2,185
AT1G15970_1	0,901	0,504	0,463
AT1G16750_1	0,856	0,654	0,464
AT1G16916_1	0,833	0,572	0,475
AT1G17310_1	1,253	1,490	2,230
AT1G18100_1	1,277	1,525	2,028
AT1G18486_1	1,449	1,620	2,354
AT1G18590_1	1,062	1,806	2,023
AT1G18770_1	1,200	1,628	2,053
AT1G20860_1	1,235	1,499	2,264

AGI	NaCl-Kontrolle zur H₂O-Kontrolle (log₂)	H₂O +B.c. zur H₂O-Kontrolle (log₂)	NaCl +B.c. zur H₂O-Kontrolle (log₂)
AT1G21070_1	0,788	0,523	0,496
AT1G21945_1	1,180	1,457	2,184
AT1G21970_1	1,237	1,530	2,033
AT1G22280_2	1,427	1,796	2,460
AT1G23070_1	1,194	1,286	2,264
AT1G23680_1	1,103	1,471	2,004
AT1G24170_1	0,659	0,813	0,380
AT1G24520_1	1,200	1,728	2,150
AT1G25510_1	0,864	0,557	0,479
AT1G26240_1	1,300	1,406	2,060
AT1G26360_1	1,230	1,457	2,073
AT1G27400_1	0,886	0,708	0,467
AT1G28395_1	0,912	0,934	0,480
AT1G28395_4	0,910	0,963	0,470
AT1G28455_1	1,202	1,404	2,059
AT1G28570_1	1,140	1,230	2,015
AT1G28600_2	1,058	0,749	2,048
AT1G29200_1	0,767	0,515	0,440
AT1G29550_1	0,978	0,516	0,492
AT1G29785_1	0,812	0,607	0,455
AT1G29890_1	0,922	0,699	0,492
AT1G30050_1	1,374	1,811	2,620
AT1G31335_1	0,797	0,640	0,491
AT1G31420_1	0,865	0,857	0,457
AT1G32049_1	1,137	1,595	2,175
AT1G32290_1	1,575	1,994	2,109
AT1G32337_1	1,423	1,975	2,794
AT1G32610_2	0,825	0,720	0,490
AT1G32780_1	0,611	0,757	0,455
AT1G32970_1	1,320	1,747	2,077
AT1G33055_1	1,469	1,912	2,210
AT1G33270_1	1,135	1,173	2,204
AT1G34350_1	0,797	0,533	0,484
AT1G34842_1	0,782	0,521	0,489
AT1G35620_1	0,939	0,544	0,491
AT1G35660_1	1,159	1,915	2,107
AT1G36380_1	1,119	0,610	2,187
AT1G36600_1	1,149	1,712	2,283
AT1G36940_1	0,628	0,755	0,354
AT1G37000_1	1,336	1,609	2,137
AT1G44940_1	1,192	1,139	2,162
AT1G45050_1	1,095	1,529	2,135
AT1G45248_4	0,977	0,527	0,497
AT1G46696_1	1,305	1,848	2,358

AGI	NaCl-Kontrolle zur H₂O-Kontrolle (log₂)	H₂O +B.c. zur H₂O-Kontrolle (log₂)	NaCl +B.c. zur H₂O-Kontrolle (log₂)
AT1G47595_1	1,253	1,829	2,098
AT1G47783_1	1,178	1,724	2,104
AT1G48490_1	1,051	1,557	2,002
AT1G48710_1	1,169	1,541	2,303
AT1G49005_1	1,566	1,625	2,310
AT1G49210_1	0,766	0,520	0,389
AT1G49310_1	0,942	0,577	0,494
AT1G49740_1	1,166	0,938	2,140
AT1G50590_1	0,755	0,739	0,451
AT1G51355_1	0,873	0,524	0,450
AT1G52680_1	1,193	1,762	2,136
AT1G52750_1	0,757	0,551	0,410
AT1G53180_1	0,696	0,664	0,383
AT1G53290_1	0,854	0,576	0,429
AT1G53345_1	0,932	0,768	0,486
AT1G53570_2	1,074	1,486	2,015
AT1G53650_2	1,030	1,354	2,041
AT1G53790_1	1,111	0,984	2,174
AT1G53790_2	1,043	0,919	2,018
AT1G55160_2	0,701	0,562	0,499
AT1G55530_1	1,054	1,910	2,099
AT1G55610_1	1,328	0,804	2,015
AT1G56045_1	0,762	0,505	0,476
AT1G56080_1	1,065	1,130	2,122
AT1G56150_1	0,585	0,769	0,455
AT1G56650_1	1,571	1,835	2,991
AT1G57590_1	1,604	0,614	2,346
AT1G57660_1	0,662	0,860	0,477
AT1G58140_1	1,256	1,641	2,373
AT1G58520_3	0,535	0,583	0,485
AT1G60880_1	1,367	1,457	2,032
AT1G60950_1	0,890	0,684	0,496
AT1G61450_1	1,153	1,526	2,020
AT1G61542_1	1,400	1,889	2,349
AT1G61900_1	0,818	0,824	0,453
AT1G61930_1	1,373	1,581	2,421
AT1G62000_1	1,221	1,889	2,036
AT1G62421_1	1,333	1,634	2,008
AT1G62700_1	0,810	0,529	0,459
AT1G62710_1	1,705	0,610	2,528
AT1G62810_1	1,385	1,543	2,209
AT1G62975_1	0,586	0,860	0,357
AT1G63260_1	0,626	0,555	0,334
AT1G63260_2	0,621	0,536	0,314

AGI	NaCl-Kontrolle zur H₂O-Kontrolle (log₂)	H₂O +B.c. zur H₂O-Kontrolle (log₂)	NaCl +B.c. zur H₂O-Kontrolle (log₂)
AT1G63260_3	0,635	0,552	0,334
AT1G63340_1	1,288	1,461	2,045
AT1G63940_4	0,874	0,548	0,483
AT1G64530_1	0,897	0,736	0,451
AT1G64750_1	1,129	1,267	2,153
AT1G64800_1	1,125	1,415	2,001
AT1G65850_1	1,089	1,416	2,068
AT1G65960_2	0,938	0,754	0,479
AT1G66190_1	0,696	0,505	0,383
AT1G67400_1	0,901	0,520	0,494
AT1G67780_1	0,811	0,579	0,487
AT1G68080_4	0,888	0,651	0,470
AT1G68530_1	0,894	0,963	0,473
AT1G69380_1	0,843	0,512	0,430
AT1G70180_1	0,764	0,524	0,470
AT1G70450_1	1,154	1,651	2,248
AT1G70540_1	1,422	1,562	2,189
AT1G70680_1	1,078	0,850	2,036
AT1G71691_2	1,486	1,918	2,163
AT1G71890_1	0,809	0,583	0,450
AT1G72180_1	0,948	1,115	0,485
AT1G72660_2	1,317	1,593	2,227
AT1G73510_1	1,140	1,437	2,146
AT1G73540_1	1,371	1,438	2,597
AT1G73690_1	1,076	1,654	2,057
AT1G73730_1	1,079	1,739	2,053
AT1G75400_1	1,211	1,751	2,379
AT1G75490_1	0,697	0,759	0,435
AT1G75540_1	0,965	0,514	0,492
AT1G76728_1	1,515	1,891	2,006
AT1G76910_1	1,610	1,972	2,754
AT1G76960_1	1,747	1,673	2,007
AT1G77000_1	1,324	0,608	2,537
AT1G77240_1	1,184	1,520	2,335
AT1G77710_1	1,215	1,115	2,071
AT1G78120_1	0,822	0,574	0,428
AT1G78320_1	0,642	0,647	0,398
AT1G78340_1	1,066	1,242	2,068
AT1G78355_1	1,511	1,716	2,158
AT1G78460_1	0,718	1,449	0,437
AT1G79880_2	0,937	0,672	0,487
AT1G80320_1	1,194	1,215	2,248
AT1G80325_1	1,099	1,188	2,041
AT1G80380_1	0,907	0,650	0,458

AGI	NaCl-Kontrolle zur H₂O-Kontrolle (log₂)	H₂O +B.c. zur H₂O-Kontrolle (log₂)	NaCl +B.c. zur H₂O-Kontrolle (log₂)
AT2G01860_1	0,769	0,595	0,480
AT2G02320_1	1,089	1,388	2,166
AT2G02498_1	1,035	1,697	2,038
AT2G03291_1	1,188	1,646	2,167
AT2G03710_1	0,970	0,636	0,491
AT2G03710_2	0,959	0,638	0,487
AT2G04063_1	1,329	1,891	2,636
AT2G04110_1	1,044	1,235	2,002
AT2G04540_1	0,891	0,608	0,475
AT2G05030_1	1,371	1,892	2,536
AT2G05820_1	1,490	1,722	2,023
AT2G07090_1	1,418	1,965	2,231
AT2G07714_1	1,298	1,844	2,343
AT2G07747_1	1,252	1,976	2,137
AT2G07827_2	1,358	1,866	2,020
AT2G10340_1	1,371	1,692	2,230
AT2G10380_1	1,535	1,773	2,064
AT2G10870_1	1,386	1,722	2,299
AT2G11891_1	1,272	1,127	2,042
AT2G13547_1	1,589	1,886	2,153
AT2G13851_1	1,451	1,913	2,081
AT2G15600_1	1,343	1,656	2,009
AT2G15990_1	1,175	1,535	2,191
AT2G16019_1	1,546	1,788	2,540
AT2G16380_1	0,674	0,733	0,380
AT2G17036_1	0,841	0,514	0,463
AT2G17530_2	1,041	1,829	2,047
AT2G17860_1	1,282	1,803	2,116
AT2G18050_1	1,861	1,424	2,163
AT2G18170_1	1,246	0,790	2,047
AT2G19040_1	1,406	1,877	2,265
AT2G19220_1	1,294	1,609	2,045
AT2G20110_2	1,111	1,722	2,161
AT2G20724_1	0,910	0,934	0,481
AT2G21195_1	0,880	0,687	0,461
AT2G21235_1	1,345	1,779	2,386
AT2G21430_1	1,215	1,591	2,318
AT2G21740_1	1,311	1,611	2,033
AT2G22420_1	0,980	0,700	0,491
AT2G22426_1	1,402	1,852	2,386
AT2G22920_1	1,437	1,294	2,438
AT2G22920_2	1,205	1,094	2,211
AT2G23210_1	1,277	1,527	2,089
AT2G23560_1	0,517	1,697	0,432

AGI	NaCl-Kontrolle zur H₂O-Kontrolle (log₂)	H₂O +B.c. zur H₂O-Kontrolle (log₂)	NaCl +B.c. zur H₂O-Kontrolle (log₂)
AT2G23830_1	1,216	1,790	2,191
AT2G25260_1	1,115	1,819	2,213
AT2G25890_1	1,320	1,903	2,063
AT2G26700_1	0,894	0,545	0,458
AT2G26860_1	0,814	0,724	0,437
AT2G27120_1	0,850	0,511	0,445
AT2G27450_2	1,306	1,903	2,532
AT2G27520_1	1,435	1,627	2,125
AT2G27540_1	1,291	1,602	2,027
AT2G27550_1	1,147	1,675	2,244
AT2G27775_1	0,944	0,864	0,495
AT2G28560_3	0,724	0,514	0,476
AT2G29570_1	0,668	0,592	0,448
AT2G30070_1	0,938	1,109	0,497
AT2G30340_1	1,315	1,745	2,071
AT2G31425_1	1,399	1,659	2,348
AT2G33560_1	0,837	0,526	0,478
AT2G33980_1	0,910	0,658	0,455
AT2G34650_1	0,926	0,529	0,471
AT2G35387_1	0,903	0,643	0,464
AT2G35742_1	1,237	1,588	2,008
AT2G35850_1	0,706	0,599	0,402
AT2G35880_1	0,804	0,712	0,439
AT2G36010_1	0,797	0,676	0,464
AT2G36010_3	0,790	0,703	0,476
AT2G36270_1	1,483	1,146	2,179
AT2G36460_2	1,114	1,303	2,138
AT2G36760_1	1,371	1,579	2,680
AT2G36815_1	1,568	1,905	2,688
AT2G37025_2	0,695	0,851	0,411
AT2G38304_1	1,488	1,723	2,265
AT2G39820_1	1,086	1,735	2,078
AT2G40350_1	1,483	0,854	2,353
AT2G40620_1	0,748	0,696	0,484
AT2G41070_1	1,263	1,920	2,386
AT2G41312_2	0,572	1,589	0,406
AT2G41705_1	1,168	1,177	2,076
AT2G42060_1	1,130	1,479	2,154
AT2G42770_1	0,811	0,699	0,411
AT2G43386_1	1,235	1,425	2,040
AT2G43480_1	1,334	1,832	2,128
AT2G43500_1	1,316	1,096	2,455
AT2G43780_2	1,174	1,495	2,018
AT2G44470_2	1,196	1,691	2,365

AGI	NaCl-Kontrolle zur H₂O-Kontrolle (log₂)	H₂O +B.c. zur H₂O-Kontrolle (log₂)	NaCl +B.c. zur H₂O-Kontrolle (log₂)
AT2G44890_1	1,208	1,788	2,389
AT2G45161_1	1,248	1,561	2,080
AT2G45830_1	0,666	1,148	0,476
AT2G46225_2	0,793	0,583	0,453
AT2G46630_1	0,651	0,597	0,417
AT2G47200_1	1,123	1,333	2,227
AT2G47260_1	0,710	0,559	0,394
AT2G47585_1	1,188	1,514	2,153
AT3G01100_1	1,164	1,213	2,138
AT3G01322_1	1,130	1,616	2,098
AT3G02480_1	1,511	1,291	2,802
AT3G02570_1	0,868	0,716	0,492
AT3G02600_4	0,757	0,646	0,418
AT3G02620_1	1,249	1,388	2,023
AT3G03040_1	0,942	0,693	0,489
AT3G03690_1	0,979	0,655	0,495
AT3G04180_1	1,171	1,617	2,013
AT3G04945_1	1,314	1,511	2,080
AT3G05080_1	1,047	1,368	2,088
AT3G05250_1	1,010	1,177	2,006
AT3G05610_1	1,399	1,704	2,229
AT3G05746_1	1,261	1,738	2,120
AT3G05950_1	1,284	1,853	2,101
AT3G06080_2	0,749	0,719	0,496
AT3G06435_1	0,749	0,555	0,407
AT3G06680_1	0,689	0,804	0,478
AT3G06778_1	0,743	0,537	0,496
AT3G06940_1	1,064	1,710	2,042
AT3G06962_1	1,401	1,518	2,023
AT3G11280_2	0,882	0,537	0,488
AT3G11580_1	1,614	0,693	3,120
AT3G11690_1	1,127	1,734	2,181
AT3G12110_1	0,770	0,839	0,477
AT3G12143_1	1,329	1,660	2,073
AT3G12835_1	1,668	1,556	2,559
AT3G13277_1	1,332	1,728	2,614
AT3G13784_1	1,404	1,451	2,001
AT3G13810_1	1,162	1,757	2,028
AT3G14570_1	0,790	0,610	0,415
AT3G15370_1	1,152	1,870	2,089
AT3G15860_1	1,403	1,416	2,065
AT3G16850_1	0,872	0,718	0,442
AT3G17310_1	0,952	0,767	0,477
AT3G17770_1	1,087	1,382	2,106

AGI	NaCl-Kontrolle zur H₂O-Kontrolle (log₂)	H₂O +B.c. zur H₂O-Kontrolle (log₂)	NaCl +B.c. zur H₂O-Kontrolle (log₂)
AT3G17980_1	1,101	1,385	2,128
AT3G18282_1	1,220	1,535	2,051
AT3G18630_1	0,841	0,653	0,465
AT3G18670_1	0,698	0,538	0,484
AT3G19680_1	0,605	1,128	0,408
AT3G19930_1	0,793	0,615	0,428
AT3G21030_1	1,398	1,953	2,443
AT3G21110_1	0,952	0,864	0,479
AT3G21850_1	1,174	1,701	2,065
AT3G22400_1	0,631	0,839	0,417
AT3G22670_1	0,878	0,630	0,472
AT3G22723_1	1,394	1,688	2,706
AT3G22740_1	1,323	1,036	2,189
AT3G24040_1	0,921	0,541	0,467
AT3G24900_1	1,228	1,690	2,212
AT3G25013_1	1,177	1,525	2,304
AT3G25960_1	1,066	1,708	2,089
AT3G25990_1	1,244	0,840	2,047
AT3G26380_1	1,361	0,899	2,151
AT3G26483_1	1,180	1,657	2,194
AT3G27380_2	1,073	1,143	2,083
AT3G28007_1	1,716	0,558	3,068
AT3G28440_1	1,140	1,617	2,018
AT3G29575_3	1,335	1,228	2,632
AT3G29635_1	1,108	1,691	2,035
AT3G30520_1	1,314	1,696	2,041
AT3G30725_1	1,632	1,916	2,530
AT3G30750_1	1,464	1,991	2,069
AT3G32896_1	1,209	1,704	2,113
AT3G43110_1	1,320	1,838	2,547
AT3G43431_1	1,226	1,554	2,031
AT3G43528_1	1,692	1,984	2,584
AT3G44450_1	0,838	0,698	0,432
AT3G45050_1	0,767	0,535	0,484
AT3G45120_1	1,230	1,591	2,019
AT3G45930_1	0,877	0,575	0,462
AT3G45980_1	0,748	0,506	0,480
AT3G46375_1	1,282	1,845	2,026
AT3G46570_1	1,335	1,552	2,018
AT3G46920_1	1,095	1,798	2,041
AT3G47050_1	1,185	1,110	2,213
AT3G47930_1	0,966	0,727	0,498
AT3G48280_1	0,932	1,081	0,466
AT3G48310_1	1,062	1,516	2,113

AGI	NaCl-Kontrolle zur H₂O-Kontrolle (log₂)	H₂O +B.c. zur H₂O-Kontrolle (log₂)	NaCl +B.c. zur H₂O-Kontrolle (log₂)
AT3G49070_1	0,756	0,535	0,482
AT3G49540_1	1,218	1,522	2,378
AT3G50040_1	0,946	0,701	0,489
AT3G50560_1	0,511	1,466	0,475
AT3G51000_1	1,177	1,325	2,037
AT3G51644_1	1,504	1,841	2,514
AT3G52310_1	0,641	0,741	0,492
AT3G52550_1	1,238	1,738	2,270
AT3G52561_1	1,372	1,670	2,019
AT3G54880_1	0,520	0,661	0,494
AT3G55010_2	0,775	0,934	0,414
AT3G55310_1	1,289	1,540	2,123
AT3G55350_1	0,870	0,730	0,464
AT3G55610_2	1,152	1,315	2,084
AT3G55646_1	0,630	0,689	0,486
AT3G55660_1	0,683	0,501	0,451
AT3G58740_1	1,481	1,701	2,701
AT3G59210_1	1,013	0,861	2,009
AT3G59720_1	1,258	1,181	2,056
AT3G60690_1	1,185	1,655	2,169
AT3G60970_1	1,877	0,943	2,295
AT3G61090_1	0,602	0,628	0,487
AT3G61330_1	1,289	1,643	2,325
AT3G61620_2	1,619	1,934	2,486
AT3G61678_1	1,268	1,506	2,004
AT3G61970_1	0,874	0,601	0,464
AT3G63240_1	0,854	0,546	0,435
AT3G66654_3	1,157	1,482	2,077
AT4G00005_1	1,107	1,322	2,020
AT4G00440_2	1,285	1,107	2,213
AT4G00440_3	1,295	1,069	2,027
AT4G01170_1	1,289	1,335	2,222
AT4G01450_1	0,737	0,548	0,410
AT4G01450_2	0,748	0,560	0,412
AT4G01450_3	0,741	0,564	0,428
AT4G01610_1	1,127	1,365	2,202
AT4G01800_1	0,942	0,684	0,485
AT4G02489_1	1,454	1,631	2,292
AT4G02540_1	0,838	0,548	0,487
AT4G02740_1	1,102	1,482	2,192
AT4G03110_1	0,698	0,623	0,472
AT4G03110_2	0,686	0,624	0,489
AT4G04990_1	1,258	1,508	2,294
AT4G05049_1	1,172	1,327	2,018

AGI	NaCl-Kontrolle zur H₂O-Kontrolle (log₂)	H₂O +B.c. zur H₂O-Kontrolle (log₂)	NaCl +B.c. zur H₂O-Kontrolle (log₂)
AT4G05160_1	1,034	1,100	2,059
AT4G05494_1	1,477	1,806	2,493
AT4G06740_1	1,330	1,724	2,539
AT4G08970_1	1,303	1,573	2,012
AT4G09130_1	1,169	1,366	2,132
AT4G09210_1	1,202	1,731	2,237
AT4G10280_1	0,930	0,519	0,477
AT4G10310_1	0,682	0,720	0,413
AT4G10510_1	1,125	1,374	2,182
AT4G11000_1	0,504	0,537	0,381
AT4G11220_1	1,020	1,712	2,005
AT4G11670_1	1,129	1,691	2,163
AT4G12210_1	1,366	1,497	2,090
AT4G12275_1	1,084	1,675	2,058
AT4G12290_1	1,512	1,764	2,577
AT4G12860_1	1,258	1,927	2,404
AT4G13260_1	0,585	0,639	0,390
AT4G13680_1	1,155	1,340	2,099
AT4G13720_1	0,847	0,591	0,449
AT4G14301_1	1,412	1,660	2,141
AT4G14910_2	1,228	1,313	2,216
AT4G14940_1	0,531	0,561	0,347
AT4G16140_1	0,666	1,476	0,342
AT4G16160_1	1,408	1,832	2,481
AT4G16160_2	1,370	1,904	2,152
AT4G16265_1	0,732	0,651	0,436
AT4G16470_1	0,878	0,704	0,496
AT4G17240_1	0,833	1,009	0,470
AT4G17260_1	1,140	1,780	2,024
AT4G17710_1	1,422	1,913	2,246
AT4G18070_2	0,797	0,765	0,457
AT4G18210_1	1,268	0,750	2,273
AT4G18335_1	1,474	1,587	2,289
AT4G19710_1	0,761	0,558	0,495
AT4G19960_1	1,137	0,932	2,223
AT4G20210_1	1,070	1,626	2,025
AT4G21010_1	1,254	1,695	2,021
AT4G21060_1	0,865	0,727	0,444
AT4G21930_1	1,375	1,417	2,319
AT4G22115_1	1,292	1,753	2,577
AT4G22610_1	1,257	1,539	2,117
AT4G23320_1	1,259	1,961	2,236
AT4G24415_2	0,958	0,538	0,499
AT4G24540_1	0,978	1,050	0,489

AGI	NaCl-Kontrolle zur H₂O-Kontrolle (log₂)	H₂O +B.c. zur H₂O-Kontrolle (log₂)	NaCl +B.c. zur H₂O-Kontrolle (log₂)
AT4G24710_1	0,772	0,543	0,482
AT4G25315_1	0,855	0,746	0,485
AT4G25570_1	0,932	0,550	0,494
AT4G25885_1	1,518	1,869	2,453
AT4G25990_2	0,754	0,546	0,453
AT4G26080_1	1,258	1,236	2,241
AT4G26255_1	0,928	0,661	0,489
AT4G26960_1	0,595	0,533	0,405
AT4G27600_1	0,969	0,696	0,489
AT4G27790_1	1,447	1,624	2,011
AT4G28340_1	1,296	1,442	2,307
AT4G28520_2	1,489	1,737	2,026
AT4G29490_1	1,145	1,149	2,211
AT4G29580_1	1,283	1,732	2,400
AT4G30070_1	1,331	1,979	2,244
AT4G30960_1	1,184	1,369	2,038
AT4G31360_1	0,602	0,521	0,356
AT4G32030_2	0,733	0,582	0,495
AT4G32295_1	0,909	0,776	0,463
AT4G32800_1	0,586	1,560	0,392
AT4G32990_1	0,783	0,581	0,447
AT4G33370_1	1,350	1,362	2,029
AT4G33585_1	1,391	1,659	2,382
AT4G33770_1	1,226	1,347	2,377
AT4G33950_2	1,036	1,119	2,007
AT4G33985_1	1,390	1,199	2,305
AT4G34000_1	1,410	1,161	2,016
AT4G34600_1	0,883	0,591	0,473
AT4G34810_1	0,884	0,838	0,480
AT4G35519_1	1,086	1,433	2,169
AT4G35655_1	1,241	1,483	2,080
AT4G35950_1	0,910	0,738	0,470
AT4G36830_1	1,137	1,066	2,053
AT4G37360_1	1,261	1,865	2,134
AT4G37820_1	0,900	0,548	0,500
AT4G38030_1	1,183	1,316	2,000
AT4G38215_1	1,346	1,483	2,246
AT4G38820_1	0,853	0,610	0,467
AT4G39400_1	0,867	0,852	0,463
AT4G39630_1	0,671	0,520	0,489
AT5G01600_1	1,130	1,482	2,154
AT5G01940_1	1,242	1,498	2,365
AT5G02020_1	1,425	0,781	2,104
AT5G02110_1	1,191	1,417	2,011

AGI	NaCl-Kontrolle zur H₂O-Kontrolle (log₂)	H₂O +B.c. zur H₂O-Kontrolle (log₂)	NaCl +B.c. zur H₂O-Kontrolle (log₂)
AT5G02450_1	0,789	0,733	0,487
AT5G02980_1	1,405	1,760	2,180
AT5G03040_1	0,887	0,818	0,468
AT5G03455_1	1,119	1,085	2,098
AT5G03552_1	0,668	0,596	0,365
AT5G03970_1	1,143	1,978	2,084
AT5G03970_2	1,144	1,954	2,068
AT5G04940_1	0,835	0,524	0,470
AT5G05000_1	0,782	0,524	0,427
AT5G06043_1	1,452	1,726	2,115
AT5G06300_1	0,713	1,243	0,480
AT5G06490_1	1,374	1,667	2,377
AT5G06710_2	0,958	0,614	0,492
AT5G06755_1	1,550	1,717	2,725
AT5G06905_1	1,191	1,331	2,027
AT5G07090_1	0,954	0,843	0,493
AT5G07210_1	1,056	1,731	2,072
AT5G08712_1	1,311	1,538	2,237
AT5G09780_1	1,330	1,725	2,019
AT5G10480_2	0,908	0,836	0,493
AT5G10745_1	0,892	0,682	0,458
AT5G10830_1	1,075	1,341	2,084
AT5G11390_1	1,117	1,089	2,118
AT5G11780_1	0,919	0,545	0,460
AT5G11800_1	0,842	0,678	0,428
AT5G11860_3	1,035	1,402	2,035
AT5G12470_1	0,817	0,757	0,469
AT5G13120_1	0,919	0,576	0,468
AT5G13420_1	1,034	1,822	2,015
AT5G13800_1	1,050	1,398	2,044
AT5G13920_1	0,913	0,599	0,479
AT5G14900_1	1,194	1,461	2,149
AT5G15690_1	1,243	1,386	2,046
AT5G15860_1	1,445	1,387	2,805
AT5G16336_1	1,140	1,642	2,090
AT5G16453_1	1,418	1,753	2,069
AT5G16980_1	1,332	1,865	2,155
AT5G17165_1	1,040	1,764	2,075
AT5G17720_1	1,452	1,798	2,402
AT5G17830_1	0,810	0,694	0,454
AT5G18170_1	0,886	0,675	0,497
AT5G19370_1	0,956	0,638	0,481
AT5G20020_1	1,184	1,593	2,364
AT5G20110_1	0,678	1,089	0,449

AGI	NaCl-Kontrolle zur H₂O-Kontrolle (log₂)	H₂O +B.c. zur H₂O-Kontrolle (log₂)	NaCl +B.c. zur H₂O-Kontrolle (log₂)
AT5G20450_1	0,903	0,525	0,467
AT5G21060_1	0,828	0,596	0,498
AT5G21060_2	0,859	0,587	0,498
AT5G22180_1	1,271	1,526	2,003
AT5G22750_1	0,679	0,568	0,359
AT5G22940_1	0,561	0,570	0,465
AT5G23350_1	0,769	0,624	0,440
AT5G23660_1	1,735	1,522	2,244
AT5G24030_1	1,269	1,258	2,127
AT5G24105_1	0,719	0,641	0,409
AT5G24150_1	1,282	1,662	2,177
AT5G24150_2	1,231	1,601	2,052
AT5G25425_1	1,202	1,723	2,337
AT5G25980_1	0,879	0,625	0,480
AT5G25980_3	0,872	0,618	0,488
AT5G26070_1	1,322	1,664	2,440
AT5G26080_1	1,312	1,742	2,469
AT5G27771_1	0,895	0,593	0,468
AT5G27960_1	1,226	1,463	2,051
AT5G28626_1	0,727	0,681	0,476
AT5G29034_1	1,419	1,949	2,375
AT5G30460_1	1,264	1,610	2,049
AT5G33340_1	1,227	1,510	2,111
AT5G34602_1	1,511	1,822	2,029
AT5G34829_1	1,272	1,665	2,063
AT5G35360_1	0,941	0,779	0,472
AT5G35604_1	1,052	1,337	2,087
AT5G36900_1	1,466	1,747	2,341
AT5G37950_1	0,554	0,519	0,408
AT5G37950_2	0,551	0,579	0,391
AT5G38050_1	0,954	0,525	0,478
AT5G38110_1	0,917	0,591	0,496
AT5G38120_1	0,731	0,890	0,441
AT5G38905_1	1,194	1,627	2,051
AT5G38980_1	0,802	0,722	0,463
AT5G39110_1	1,137	1,612	2,028
AT5G40040_1	1,673	1,841	2,041
AT5G40260_1	1,101	1,217	2,044
AT5G40316_1	1,421	1,866	2,199
AT5G40645_1	1,170	1,239	2,120
AT5G41071_1	1,489	1,952	2,688
AT5G41080_2	1,416	1,992	2,653
AT5G41160_1	0,948	0,574	0,478
AT5G41300_1	1,466	1,863	2,484

AGI	NaCl-Kontrolle zur H₂O-Kontrolle (log₂)	H₂O +B.c. zur H₂O-Kontrolle (log₂)	NaCl +B.c. zur H₂O-Kontrolle (log₂)
AT5G41570_1	1,528	1,546	2,249
AT5G41620_1	0,906	1,025	0,482
AT5G41960_1	1,267	1,351	2,007
AT5G42290_1	1,335	1,772	2,570
AT5G42590_1	1,183	1,776	2,084
AT5G42680_1	0,584	0,581	0,384
AT5G42710_1	0,920	0,542	0,483
AT5G42785_1	1,430	1,819	2,100
AT5G43660_1	1,266	1,792	2,187
AT5G43822_1	0,824	0,532	0,464
AT5G44110_1	0,752	0,904	0,496
AT5G44110_2	0,799	0,865	0,437
AT5G44110_3	0,707	0,759	0,398
AT5G44740_1	0,862	0,500	0,450
AT5G45095_1	1,248	1,540	2,322
AT5G45100_1	1,332	1,559	2,424
AT5G45100_2	1,248	1,484	2,255
AT5G46417_1	1,072	1,341	2,058
AT5G47077_1	1,334	1,537	2,437
AT5G47700_1	0,640	0,760	0,444
AT5G47700_2	0,711	0,773	0,457
AT5G47770_1	0,842	0,512	0,470
AT5G47840_1	0,943	0,553	0,474
AT5G47880_1	1,061	1,549	2,010
AT5G48450_1	0,582	0,517	0,369
AT5G48920_1	0,573	0,509	0,387
AT5G49850_1	1,104	1,742	2,162
AT5G49980_1	0,896	0,580	0,466
AT5G50240_3	1,099	1,407	2,184
AT5G50480_1	1,349	1,700	2,192
AT5G52160_1	1,406	1,674	2,417
AT5G52990_1	1,168	1,327	2,142
AT5G53120_1	1,186	1,375	2,140
AT5G53120_4	1,224	1,372	2,134
AT5G53120_5	1,201	1,451	2,216
AT5G53742_1	1,129	1,501	2,033
AT5G54148_1	0,596	0,549	0,445
AT5G54380_1	0,660	0,636	0,352
AT5G55125_2	0,946	0,696	0,473
AT5G55370_1	1,453	1,559	2,091
AT5G55980_1	1,181	1,813	2,003
AT5G56180_2	1,091	0,741	2,001
AT5G56580_1	0,726	0,606	0,498
AT5G56795_1	1,295	1,435	2,231

AGI	NaCl-Kontrolle zur H₂O-Kontrolle (log₂)	H₂O +B.c. zur H₂O-Kontrolle (log₂)	NaCl +B.c. zur H₂O-Kontrolle (log₂)
AT5G57050_1	1,721	1,340	3,320
AT5G57050_2	1,723	1,648	2,854
AT5G57520_1	1,080	1,162	2,123
AT5G57900_1	1,254	1,477	2,377
AT5G58160_1	1,133	1,998	2,004
AT5G58170_1	1,545	1,598	2,228
AT5G59040_1	1,327	1,639	2,093
AT5G59240_1	1,268	1,954	2,384
AT5G59410_1	0,748	0,644	0,407
AT5G59810_1	1,250	1,640	2,212
AT5G59840_1	1,054	1,320	2,065
AT5G60480_1	1,277	1,821	2,496
AT5G60670_1	0,941	0,919	0,492
AT5G61710_1	1,187	1,818	2,197
AT5G62065_1	1,512	1,690	2,020
AT5G62165_1	1,235	1,386	2,309
AT5G63350_1	1,964	0,903	2,057
AT5G63380_1	0,917	0,910	0,487
AT5G65120_1	0,789	0,571	0,409
AT5G65350_1	0,878	0,660	0,489
AT5G65740_3	0,870	0,515	0,482
AT5G65750_1	1,231	1,922	2,214
AT5G65970_1	0,821	0,562	0,427
AT5G66040_2	0,865	0,750	0,496
AT5G67385_1	0,862	0,853	0,438
ATCG00390_1	0,898	0,816	0,473
ATCG00740_1	0,870	0,697	0,483
ATCG00820_1	0,943	0,591	0,498
ATMG00285_1	1,165	1,953	2,139
ATMG01230_1	1,395	1,907	2,290
ATMG01240_1	1,333	1,869	2,107

V. ÜBERSCHNEIDUNGEN DER GENPOPULATIONEN IN BEZUG AUF TFS

Genliste zu Abbildung 4-31 A+B

AGI	NaCl-Kontrolle zur H ₂ O-Kontrolle (log ₂)	H ₂ O +B.c. zur H ₂ O-Kontrolle (log ₂)	NaCl +B.c. zur H ₂ O-Kontrolle (log ₂)
At1g77450_1	2,106	12,854	9,417

Genliste zu Abbildung 4-31 A+B : Beeinflusste TF nach *B. cinerea*- Infektion mit und ohne NaCl

AGI	NaCl-Kontrolle zur H ₂ O-Kontrolle (log ₂)	H ₂ O +B.c. zur H ₂ O-Kontrolle (log ₂)	NaCl +B.c. zur H ₂ O-Kontrolle (log ₂)		
AT1G01010_1	1,047	1,539	3,398	+NaCl	
AT1G01250_1	1,682	0,404	0,372	+NaCl	-NaCl
AT1G02220_1	0,992	7,653	26,574	+NaCl	-NaCl
AT1G02230_1	0,919	1,110	2,167	+NaCl	
AT1G04100_1	1,001	3,789	3,021	+NaCl	-NaCl
AT1G04240_1	1,082	0,418	0,040	+NaCl	-NaCl
AT1G06150_1	1,016	0,578	0,450	+NaCl	
AT1G06910_1	0,956	0,487	0,451	+NaCl	-NaCl
AT1G10170_1	1,060	1,994	2,401	+NaCl	
AT1G10200_1	0,967	0,307	0,286	+NaCl	-NaCl
AT1G10610_1	1,160	0,481	0,549		-NaCl
AT1G12860_1	1,040	0,460	0,173	+NaCl	-NaCl
AT1G15580_1	0,771	0,332	0,197	+NaCl	-NaCl
AT1G17310_1	1,253	1,490	2,230	+NaCl	
AT1G17880_1	1,008	0,735	0,493	+NaCl	
AT1G17920_1	0,879	0,211	0,156	+NaCl	-NaCl
AT1G18400_1	0,514	0,129	0,036	+NaCl	-NaCl
AT1G19210_1	1,282	4,278	5,854	+NaCl	-NaCl
AT1G19490_1	1,499	4,048	3,736	+NaCl	-NaCl
AT1G19850_1	1,133	0,896	4,384	+NaCl	
AT1G21970_1	1,237	1,530	2,033	+NaCl	
AT1G22490_1	1,004	0,322	1,138		-NaCl
AT1G22810_1	0,970	2,882	2,861	+NaCl	-NaCl
AT1G25250_1	0,826	0,290	0,388	+NaCl	-NaCl
AT1G25440_1	1,055	0,584	0,275	+NaCl	
AT1G27660_1	0,992	0,305	0,144	+NaCl	-NaCl
AT1G29280_1	0,709	4,310	2,274	+NaCl	-NaCl
AT1G29860_1	0,923	1,376	2,121	+NaCl	
AT1G31150_1	0,958	0,545	0,163	+NaCl	
AT1G46264_1	0,794	0,290	0,150	+NaCl	-NaCl
AT1G49770_1	1,292	2,010	3,001	+NaCl	
AT1G51070_1	0,652	0,486	0,490	+NaCl	-NaCl
AT1G51950_1	1,105	2,771	2,419	+NaCl	-NaCl
AT1G55110_1	1,077	1,924	2,263	+NaCl	
AT1G60880_1	1,367	1,457	2,032	+NaCl	
AT1G61110_1	0,944	40,200	49,981	+NaCl	-NaCl
AT1G62975_1	0,586	0,860	0,357	+NaCl	
AT1G64800_1	1,125	1,415	2,001	+NaCl	
AT1G65910_1	0,718	0,413	0,387	+NaCl	-NaCl

AGI	NaCl-Kontrolle zur H ₂ O-Kontrolle (log ₂)	H ₂ O +B.c. zur H ₂ O-Kontrolle (log ₂)	NaCl +B.c. zur H ₂ O-Kontrolle (log ₂)		
AT1G66140_1	1,144	0,451	0,102	+NaCl	-NaCl
AT1G66560_1	1,172	13,006	40,239	+NaCl	-NaCl
AT1G68190_1	0,926	0,088	0,034	+NaCl	-NaCl
AT1G68520_1	1,116	0,511	0,166	+NaCl	
AT1G68810_1	0,820	0,225	0,068	+NaCl	-NaCl
AT1G69170_1	0,925	0,491	0,683		-NaCl
AT1G69780_1	0,586	0,441	0,508		-NaCl
AT1G73830_1	0,440	0,400	0,047	+NaCl	
AT1G74080_1	1,061	21,936	37,097	+NaCl	-NaCl
AT1G75540_1	0,965	0,514	0,492	+NaCl	
AT1G75710_1	1,110	0,491	0,040	+NaCl	-NaCl
AT1G77450_1	2,106	12,854	19,831	+NaCl	-NaCl
AT1G80590_1	0,964	2,115	2,979	+NaCl	-NaCl
AT2G02070_1	1,068	0,582	0,380	+NaCl	
AT2G14210_1	1,116	3,068	1,928		-NaCl
AT2G16400_1	1,036	0,599	0,374	+NaCl	
AT2G18380_1	0,942	0,628	0,418	+NaCl	
AT2G21235_1	1,345	1,779	2,386	+NaCl	
AT2G22200_1	0,664	0,524	0,206	+NaCl	
AT2G22760_1	0,869	25,054	47,021	+NaCl	-NaCl
AT2G22770_1	0,510	12,260	7,913	+NaCl	-NaCl
AT2G22800_1	0,807	1,914	3,268	+NaCl	
AT2G23340_1	1,089	0,595	0,262	+NaCl	
AT2G24260_1	1,172	1,451	3,859	+NaCl	
AT2G24650_1	0,968	0,091	0,038	+NaCl	-NaCl
AT2G25820_1	1,291	2,532	0,594		-NaCl
AT2G28160_1	0,584	0,416	0,884		-NaCl
AT2G28200_1	0,881	3,010	14,407	+NaCl	-NaCl
AT2G28350_1	0,828	2,027	2,667	+NaCl	-NaCl
AT2G28510_1	1,130	1,055	3,665	+NaCl	
AT2G28710_1	0,839	1,501	4,068	+NaCl	
AT2G31230_1	0,756	5,247	4,843	+NaCl	-NaCl
AT2G31380_1	0,890	0,837	0,393	+NaCl	
AT2G33860_1	1,160	0,392	0,079	+NaCl	-NaCl
AT2G34140_1	0,855	1,018	2,899	+NaCl	
AT2G37430_1	0,691	23,410	24,519	+NaCl	-NaCl
AT2G38250_1	0,731	24,450	38,700	+NaCl	-NaCl
AT2G40620_1	0,748	0,696	0,484	+NaCl	
AT2G41130_1	0,952	0,461	0,424	+NaCl	-NaCl
AT2G41690_1	1,126	2,463	3,143	+NaCl	-NaCl
AT2G41940_1	0,819	0,587	0,062	+NaCl	
AT2G42200_1	1,041	0,127	0,069	+NaCl	-NaCl
AT2G42280_1	0,918	1,259	2,324	+NaCl	
AT2G43000_1	0,903	22,299	25,097	+NaCl	-NaCl
AT2G43060_1	0,971	1,133	2,166	+NaCl	
AT2G43140_1	0,801	2,129	2,667	+NaCl	
AT2G45660_1	0,980	0,389	0,543		-NaCl
AT2G46810_1	0,943	0,350	0,123	+NaCl	-NaCl
AT2G46970_1	0,674	0,904	0,292	+NaCl	
AT2G47190_1	0,749	33,267	85,960	+NaCl	-NaCl

AGI	NaCl-Kontrolle zur H ₂ O-Kontrolle (log ₂)	H ₂ O +B.c. zur H ₂ O-Kontrolle (log ₂)	NaCl +B.c. zur H ₂ O-Kontrolle (log ₂)		
AT3G01220_1	0,971	1,124	3,110	+NaCl	
AT3G01330_1	0,816	0,461	0,352	+NaCl	-NaCl
AT3G01600_1	1,014	1,297	2,042	+NaCl	
AT3G02380_1	0,840	1,808	0,366	+NaCl	
AT3G03200_1	0,686	0,467	0,624		-NaCl
AT3G04060_1	0,729	1,385	14,094	+NaCl	
AT3G06160_1	1,199	0,152	0,153	+NaCl	-NaCl
AT3G06740_1	0,810	0,787	0,369	+NaCl	
AT3G07340_1	0,652	0,366	0,249	+NaCl	-NaCl
AT3G10500_1	0,892	4,320	5,384	+NaCl	-NaCl
AT3G13810_1	1,162	1,757	2,028	+NaCl	
AT3G15270_1	1,361	0,425	0,235	+NaCl	-NaCl
AT3G15510_1	1,001	7,415	6,068	+NaCl	-NaCl
AT3G15540_1	0,536	0,395	0,181	+NaCl	-NaCl
AT3G16280_1	0,996	2,235	1,660		-NaCl
AT3G16870_1	0,631	2,841	2,262	+NaCl	-NaCl
AT3G17730_1	0,640	0,473	0,449	+NaCl	-NaCl
AT3G18960_1	1,072	0,468	0,463	+NaCl	-NaCl
AT3G20640_1	0,783	0,318	0,165	+NaCl	-NaCl
AT3G21330_1	0,548	0,835	0,264	+NaCl	
AT3G23690_1	0,961	0,446	0,398	+NaCl	-NaCl
AT3G24520_1	0,969	0,227	0,274	+NaCl	-NaCl
AT3G27810_1	0,943	7,371	37,793	+NaCl	-NaCl
AT3G46070_1	1,166	1,636	2,343	+NaCl	
AT3G46080_1	1,167	14,472	27,284	+NaCl	-NaCl
AT3G46090_1	0,836	4,498	13,646	+NaCl	-NaCl
AT3G46100_1	0,886	0,511	0,416	+NaCl	
AT3G47640_1	1,017	3,042	1,881		-NaCl
AT3G49930_1	0,628	0,100	0,072	+NaCl	-NaCl
AT3G50700_1	0,883	0,131	0,149	+NaCl	-NaCl
AT3G51910_1	1,155	7,497	5,099	+NaCl	-NaCl
AT3G53310_1	1,099	1,101	0,494	+NaCl	
AT3G53600_1	0,771	40,390	53,441	+NaCl	-NaCl
AT3G56970_1	0,174	0,824	0,094	+NaCl	
AT3G56980_1	0,284	1,548	0,223	+NaCl	
AT3G57600_1	0,812	0,678	0,221	+NaCl	
AT3G58070_1	1,173	0,399	0,092	+NaCl	-NaCl
AT3G58120_1	0,591	0,295	0,044	+NaCl	
AT3G60390_1	1,160	0,362	0,096	+NaCl	-NaCl
AT3G60490_1	0,792	2,367	0,634		-NaCl
AT3G61150_1	0,871	0,319	0,081	+NaCl	-NaCl
AT3G61830_1	1,108	0,476	0,095	+NaCl	-NaCl
AT3G62420_1	0,932	1,521	2,055	+NaCl	
AT4G00050_1	1,369	3,663	1,121		-NaCl
AT4G00260_1	1,099	0,414	0,337	+NaCl	-NaCl
AT4G00870_1	0,792	1,207	2,964	+NaCl	
AT4G00990_1	1,093	0,609	0,433	+NaCl	
AT4G01460_1	1,014	0,103	0,061	+NaCl	-NaCl
AT4G01520_1	1,072	7,402	8,845	+NaCl	-NaCl
AT4G01580_1	0,836	0,173	0,149	+NaCl	-NaCl

AGI	NaCl-Kontrolle zur H ₂ O-Kontrolle (log ₂)	H ₂ O +B.c. zur H ₂ O-Kontrolle (log ₂)	NaCl +B.c. zur H ₂ O-Kontrolle (log ₂)		
AT4G02110_1	0,672	0,342	0,283	+NaCl	-NaCl
AT4G06746_1	0,665	5,704	4,083	+NaCl	-NaCl
AT4G11660_1	0,960	3,253	3,542	+NaCl	-NaCl
AT4G12750_1	1,379	0,584	0,362	+NaCl	
AT4G13480_1	1,196	3,070	2,784	+NaCl	-NaCl
AT4G14540_1	0,811	0,333	0,098	+NaCl	-NaCl
AT4G16141_1	0,938	0,842	0,317	+NaCl	
AT4G17460_1	0,520	0,857	0,140	+NaCl	
AT4G17600_1	0,990	0,412	0,146	+NaCl	-NaCl
AT4G17710_1	1,422	1,913	2,246	+NaCl	
AT4G17810_1	0,911	0,329	0,033	+NaCl	-NaCl
AT4G21430_1	0,996	0,299	0,262	+NaCl	-NaCl
AT4G23810_1	0,388	3,015	3,297	+NaCl	-NaCl
AT4G24540_1	0,978	1,050	0,489	+NaCl	
AT4G25410_1	0,849	0,583	0,365	+NaCl	
AT4G27240_1	0,757	0,433	0,094	+NaCl	-NaCl
AT4G28640_1	1,166	0,478	0,529		-NaCl
AT4G29230_1	0,897	2,879	11,154	+NaCl	-NaCl
AT4G31060_1	1,149	0,282	0,347	+NaCl	-NaCl
AT4G31270_1	0,840	0,364	0,387	+NaCl	-NaCl
AT4G31620_1	0,886	0,447	0,549		-NaCl
AT4G31650_1	1,010	0,394	0,390	+NaCl	-NaCl
AT4G32280_1	0,563	0,079	0,019	+NaCl	-NaCl
AT4G32800_1	0,586	1,560	0,392	+NaCl	
AT4G36620_1	0,952	5,057	4,843	+NaCl	-NaCl
AT4G37790_1	0,886	1,991	2,754	+NaCl	
AT4G39070_1	0,457	0,626	0,443	+NaCl	
AT4G39780_1	0,626	3,366	3,901	+NaCl	-NaCl
AT4G40060_1	0,946	0,804	0,434	+NaCl	
AT5G02320_1	0,970	1,523	2,019	+NaCl	
AT5G03150_1	0,828	0,153	0,184	+NaCl	-NaCl
AT5G04150_1	0,461	2,284	0,268	+NaCl	-NaCl
AT5G04340_1	0,990	4,551	4,609	+NaCl	-NaCl
AT5G04840_1	0,711	3,759	3,808	+NaCl	-NaCl
AT5G07210_1	1,056	1,731	2,072	+NaCl	
AT5G07310_1	0,982	2,188	3,902	+NaCl	-NaCl
AT5G09780_1	1,330	1,725	2,019	+NaCl	
AT5G10570_1	0,702	0,212	0,053	+NaCl	
AT5G10970_1	0,950	0,919	0,436	+NaCl	
AT5G11590_1	1,515	0,787	0,048	+NaCl	
AT5G14000_1	0,745	1,993	16,567	+NaCl	
AT5G15160_1	1,040	0,145	0,156	+NaCl	-NaCl
AT5G17260_1	0,642	0,455	0,595		-NaCl
AT5G21960_1	0,837	2,041	1,382		-NaCl
AT5G22500_1	0,552	0,213	0,142	+NaCl	
AT5G23000_1	1,124	5,502	8,102	+NaCl	-NaCl
AT5G27130_1	1,138	2,222	1,873		-NaCl
AT5G27610_1	0,883	2,195	3,797	+NaCl	-NaCl
AT5G27960_1	1,226	1,463	2,051	+NaCl	
AT5G38140_1	0,886	0,232	0,154	+NaCl	-NaCl

AGI	NaCl-Kontrolle zur H ₂ O-Kontrolle (log ₂)	H ₂ O +B.c. zur H ₂ O-Kontrolle (log ₂)	NaCl +B.c. zur H ₂ O-Kontrolle (log ₂)		
AT5G38860_1	0,912	0,326	0,473	+NaCl	-NaCl
AT5G42780_1	0,960	0,633	0,476	+NaCl	
AT5G43410_1	1,157	11,833	19,024	+NaCl	-NaCl
AT5G43650_1	1,139	5,604	21,127	+NaCl	-NaCl
AT5G43840_1	1,963	0,386	0,357	+NaCl	-NaCl
AT5G44210_1	0,666	0,443	0,293	+NaCl	-NaCl
AT5G46590_1	1,100	7,004	6,819	+NaCl	-NaCl
AT5G46690_1	0,972	0,263	0,036	+NaCl	-NaCl
AT5G47140_1	0,873	1,705	3,703	+NaCl	
AT5G47640_1	1,416	0,652	0,231	+NaCl	
AT5G48250_1	1,424	0,228	0,718		-NaCl
AT5G48670_1	1,086	2,303	4,023	+NaCl	-NaCl
AT5G50470_1	1,153	2,103	5,340	+NaCl	
AT5G50480_1	1,349	1,700	2,192	+NaCl	
AT5G52010_1	1,009	0,554	0,413	+NaCl	
AT5G54630_1	0,876	0,262	0,045	+NaCl	-NaCl
AT5G56960_1	0,293	39,596	32,350	+NaCl	-NaCl
AT5G57520_1	1,080	1,162	2,123	+NaCl	
AT5G58900_1	0,881	0,425	0,052	+NaCl	-NaCl
AT5G60120_1	1,053	0,279	0,408	+NaCl	-NaCl
AT5G60450_1	1,373	0,610	0,246	+NaCl	
AT5G60470_1	1,070	2,073	5,467	+NaCl	-NaCl
AT5G60480_1	1,277	1,821	2,496	+NaCl	
AT5G60890_1	0,968	0,925	0,416	+NaCl	
AT5G61430_1	1,112	1,352	8,624	+NaCl	
AT5G65410_1	1,135	1,115	0,263	+NaCl	
AT5G67000_1	1,233	2,126	2,414	+NaCl	-NaCl

Genliste zu Abbildung 4-31 C+D

AGI	NaCl-Kontrolle zur H ₂ O-Kontrolle (log ₂)	H ₂ O +B.c. zur H ₂ O-Kontrolle (log ₂)	NaCl +B.c. zur H ₂ O-Kontrolle (log ₂)
AT1G01010_1	1,047	1,539	3,398
AT1G02230_1	0,919	1,110	2,167
AT1G06150_1	1,016	0,578	0,450
AT1G10170_1	1,060	1,994	2,401
AT1G17310_1	1,253	1,490	2,230
AT1G17880_1	1,008	0,735	0,493
AT1G19850_1	1,133	0,896	4,384
AT1G21970_1	1,237	1,530	2,033
AT1G25440_1	1,055	0,584	0,275
AT1G29860_1	0,923	1,376	2,121
AT1G31150_1	0,958	0,545	0,163
AT1G49770_1	1,292	2,010	3,001
AT1G55110_1	1,077	1,924	2,263
AT1G60880_1	1,367	1,457	2,032
AT1G62975_1	0,586	0,860	0,357
AT1G64800_1	1,125	1,415	2,001
AT1G68520_1	1,116	0,511	0,166
AT1G73830_1	0,440	0,400	0,047

AT1G75540_1	0,965	0,514	0,492
AT2G02070_1	1,068	0,582	0,380
AT2G16400_1	1,036	0,599	0,374
AT2G18380_1	0,942	0,628	0,418
AT2G21235_1	1,345	1,779	2,386
AT2G22200_1	0,664	0,524	0,206
AT2G22800_1	0,807	1,914	3,268
AT2G23340_1	1,089	0,595	0,262
AT2G24260_1	1,172	1,451	3,859
AT2G28510_1	1,130	1,055	3,665
AT2G28710_1	0,839	1,501	4,068
AT2G31380_1	0,890	0,837	0,393
AT2G34140_1	0,855	1,018	2,899
AT2G40620_1	0,748	0,696	0,484
AT2G41940_1	0,819	0,587	0,062
AT2G42280_1	0,918	1,259	2,324
AT2G43060_1	0,971	1,133	2,166
AT2G43140_1	0,801	2,129	2,667
AT2G46970_1	0,674	0,904	0,292
AT3G01220_1	0,971	1,124	3,110
AT3G01600_1	1,014	1,297	2,042
AT3G02380_1	0,840	1,808	0,366
AT3G04060_1	0,729	1,385	14,094
AT3G06740_1	0,810	0,787	0,369
AT3G13810_1	1,162	1,757	2,028
AT3G21330_1	0,548	0,835	0,264
AT3G46070_1	1,166	1,636	2,343
AT3G46100_1	0,886	0,511	0,416
AT3G53310_1	1,099	1,101	0,494
AT3G56970_1	0,174	0,824	0,094
AT3G56980_1	0,284	1,548	0,223
AT3G57600_1	0,812	0,678	0,221
AT3G58120_1	0,591	0,295	0,044
AT3G62420_1	0,932	1,521	2,055
AT4G00870_1	0,792	1,207	2,964
AT4G00990_1	1,093	0,609	0,433
AT4G12750_1	1,379	0,584	0,362
AT4G16141_1	0,938	0,842	0,317
AT4G17460_1	0,520	0,857	0,140
AT4G17710_1	1,422	1,913	2,246
AT4G24540_1	0,978	1,050	0,489
AT4G25410_1	0,849	0,583	0,365
AT4G32800_1	0,586	1,560	0,392
AT4G37790_1	0,886	1,991	2,754
AT4G39070_1	0,457	0,626	0,443
AT4G40060_1	0,946	0,804	0,434
AT5G02320_1	0,970	1,523	2,019
AT5G07210_1	1,056	1,731	2,072
AT5G09780_1	1,330	1,725	2,019
AT5G10570_1	0,702	0,212	0,053
AT5G10970_1	0,950	0,919	0,436
AT5G11590_1	1,515	0,787	0,048

AT5G14000_1	0,745	1,993	16,567
AT5G22500_1	0,552	0,213	0,142
AT5G27960_1	1,226	1,463	2,051
AT5G42780_1	0,960	0,633	0,476
AT5G47140_1	0,873	1,705	3,703
AT5G47640_1	1,416	0,652	0,231
AT5G50470_1	1,153	2,103	5,340
AT5G50480_1	1,349	1,700	2,192
AT5G52010_1	1,009	0,554	0,413
AT5G57520_1	1,080	1,162	2,123
AT5G60450_1	1,373	0,610	0,246
AT5G60480_1	1,277	1,821	2,496
AT5G60890_1	0,968	0,925	0,416
AT5G61430_1	1,112	1,352	8,624
AT5G65410_1	1,135	1,115	0,263

VI. ANALYSE VON PHYTOHORMON-MARKERGENEN

Genliste zu Tabelle 4-4

Abscisinsäure-Markergene

AGI	NaCl-Kontrolle zur H ₂ O-Kontrolle (log ₂)	H ₂ O +B.c. zur H ₂ O-Kontrolle (log ₂)	NaCl +B.c. zur H ₂ O-Kontrolle (log ₂)
AT1G05510_1	1,167	1,013	1,281
AT1G07430_1	2,214	0,841	2,838
AT1G08260_1	0,947	0,950	1,085
AT1G08260_2	0,775	0,292	0,251
AT1G16540_1	1,057	2,288	4,705
AT1G52340_1	0,864	0,320	0,446
AT1G55870_1	1,182	1,423	1,333
AT1G67080_1	0,940	0,470	0,440
AT2G13540_1	1,017	0,859	0,608
AT2G18380_1	0,942	0,628	0,418
AT2G29380_1	1,612	0,967	1,502
AT2G31660_1	1,168	1,185	0,710
AT2G36270_1	1,483	1,146	2,179
AT2G40220_1	1,095	1,346	1,217
AT2G46510_1	1,019	2,782	2,502
AT3G02480_1	1,511	1,291	2,802
AT3G24650_1	1,041	1,063	1,312
AT3G56850_1	0,982	0,966	0,969
AT4G01600_1	0,766	0,917	2,251
AT4G01600_2	0,782	0,952	2,384
AT4G26080_1	1,258	1,236	2,241
AT4G36620_1	0,952	5,057	4,843
AT4G40100_1	1,330	1,565	1,773
AT5G03280_1	1,071	0,818	0,828
AT5G08350_1	1,044	1,451	0,612
AT5G13060_1	0,472	0,249	0,167
AT5G13200_1	0,994	2,527	2,523
AT5G13680_1	1,056	1,046	0,823
AT5G23350_1	0,769	0,624	0,440
AT5G23360_1	1,059	0,407	0,141
AT5G23370_1	0,830	0,627	0,382
AT5G40280_1	1,021	0,763	0,944
AT5G51760_1	1,366	1,986	3,385
AT5G57050_1	1,721	1,340	3,320
AT5G57050_2	1,723	1,648	2,854
AT5G64750_1	0,370	8,087	8,369
AT5G66400_1	1,638	0,530	0,726
AT5G66400_2	1,627	0,523	0,724
AT5G67030_1	1,004	0,968	0,941
AT1G55870_2			
AT5G67030_2			

Auxin-Markergene

AGI	NaCl-Kontrolle zur H ₂ O-Kontrolle (log ₂)	H ₂ O +B.c. zur H ₂ O-Kontrolle (log ₂)	NaCl +B.c. zur H ₂ O-Kontrolle (log ₂)
AT1G04100_1	1,001	3,789	3,021
AT1G04550_1	0,846	0,651	0,529
AT1G04550_2	0,910	1,100	0,474
AT1G15050_1	0,809	0,727	0,641
AT1G15580_1	0,771	0,332	0,197
AT1G16510_1	1,068	4,549	5,804
AT1G17345_1	0,986	1,702	1,168
AT1G19220_1	1,009	0,433	0,437
AT1G19840_1	0,835	0,472	0,481
AT1G23160_1	1,036	2,378	3,388
AT1G29430_1	0,799	0,470	0,084
AT1G29490_1	1,017	0,648	0,316
AT1G29510_1	0,838	0,264	0,070
AT1G30330_1	0,965	0,444	0,298
AT1G33190_1	0,992	0,997	1,000
AT1G34310_1	1,049	1,075	1,131
AT1G34390_1	1,022	1,038	1,050
AT1G34410_1	0,933	0,956	0,920
AT1G35240_1	1,048	1,053	1,052
AT1G35520_1	0,865	1,015	0,856
AT1G35540_1	0,990	0,919	0,885
AT1G43950_1	1,130	1,210	1,091
AT1G48660_1	0,974	1,010	1,173
AT1G48670_1	1,027	1,049	1,383
AT1G48690_1	1,006	1,020	1,054
AT1G51950_1	1,105	2,771	2,419
AT1G52830_1	0,564	0,686	0,255
AT1G56150_1	0,585	0,769	0,455
AT1G59750_1	1,159	0,870	0,434
AT1G59750_2	1,171	0,872	0,429
AT1G71090_1	0,979	0,990	0,997
AT1G72430_1	0,512	3,737	0,564
AT1G75590_1	0,650	0,481	0,625
AT1G76190_1	0,982	0,805	0,839
AT1G76520_1	1,349	4,458	16,697
AT1G76520_2	1,236	2,111	2,775
AT1G76530_1	1,289	1,487	1,254
AT1G77850_1	1,053	0,559	0,646
AT1G79130_1	1,384	1,396	1,425
AT1G80390_1	0,981	1,230	1,072
AT2G01200_1	1,098	1,021	1,090
AT2G01200_2	1,226	0,940	0,944
AT2G04850_1	0,899	0,500	0,377
AT2G07677_1	1,231	2,697	2,685
AT2G17500_3	1,852	24,145	37,861
AT2G18010_1	0,912	0,917	0,562
AT2G22670_1	1,069	0,319	0,185
AT2G22670_2	1,118	0,379	0,220

AGI	NaCl-Kontrolle zur H ₂ O-Kontrolle (log ₂)	H ₂ O +B.c. zur H ₂ O-Kontrolle (log ₂)	NaCl +B.c. zur H ₂ O-Kontrolle (log ₂)
AT2G28085_1	0,936	1,874	9,175
AT2G28350_1	0,828	2,027	2,667
AT2G33310_1	1,342	1,423	1,764
AT2G33310_2	1,005	0,689	0,438
AT2G33310_3	1,095	0,977	1,000
AT2G36210_1	1,262	1,626	1,897
AT2G37030_1	0,941	1,007	0,975
AT2G45210_1	1,076	11,828	74,302
AT2G46530_1	1,053	1,022	0,498
AT2G46690_1	0,866	0,771	1,021
AT2G46990_1	0,933	1,027	1,035
AT3G03847_1	1,064	1,051	1,286
AT3G04730_1	0,990	0,698	0,621
AT3G09870_1	1,097	0,995	1,124
AT3G12830_1	0,702	1,977	8,446
AT3G12955_1	1,022	1,058	1,119
AT3G15540_1	0,536	0,395	0,181
AT3G17600_1	0,940	0,976	0,916
AT3G23030_1	0,711	1,298	0,679
AT3G23050_1	0,581	0,292	0,178
AT3G23050_2	0,566	0,234	0,185
AT3G25290_1	0,962	11,721	23,110
AT3G43120_1	1,148	1,377	1,641
AT3G51200_1	1,150	1,148	1,354
AT3G53250_1	0,751	0,688	0,599
AT3G60690_1	1,185	1,655	2,169
AT3G61750_1	0,998	0,708	0,056
AT3G61830_1	1,108	0,476	0,095
AT3G61900_1	1,177	0,758	2,437
AT3G62100_1	0,726	0,580	0,606
AT4G00880_1	1,257	0,469	0,208
AT4G09530_1	1,055	1,090	1,076
AT4G12410_1	1,209	1,162	8,147
AT4G14550_1	1,105	0,218	0,120
AT4G14560_1	1,130	0,602	0,279
AT4G22620_1	0,739	0,305	0,808
AT4G23980_1	1,155	0,738	1,130
AT4G23980_2	1,046	0,668	1,164
AT4G28640_1	1,166	0,478	0,529
AT4G30080_1	1,046	0,636	0,743
AT4G32280_1	0,563	0,079	0,019
AT4G34760_1	0,782	0,160	0,012
AT4G34770_1	0,440	0,240	0,169
AT4G34780_1	1,095	0,993	1,088
AT4G34790_1	0,592	0,063	0,044
AT4G34800_1	0,850	0,814	0,555
AT4G34810_1	0,884	0,838	0,480
AT4G38850_1	0,776	0,360	0,085
AT5G01990_1	1,038	0,520	0,938
AT5G03310_1	1,057	1,000	1,126

AGI	NaCl-Kontrolle zur H₂O-Kontrolle (log₂)	H₂O +B.c. zur H₂O-Kontrolle (log₂)	NaCl +B.c. zur H₂O-Kontrolle (log₂)
AT5G10990_1	1,075	1,083	0,960
AT5G13350_1	1,278	1,650	1,603
AT5G13360_1	0,836	1,358	1,014
AT5G13360_2	1,140	1,496	0,849
AT5G13370_1	1,246	1,732	2,563
AT5G13380_1	1,134	1,260	1,388
AT5G20820_1	0,944	0,690	0,829
AT5G25890_1	0,876	0,931	1,577
AT5G27771_1	0,895	0,593	0,468
AT5G27780_1	0,833	0,430	0,061
AT5G35735_1	0,916	1,662	1,665
AT5G37020_1	1,240	0,485	0,323
AT5G42410_1	0,937	0,933	1,028
AT5G43700_1	0,876	0,177	0,038
AT5G50760_1	0,964	74,202	137,905
AT5G51470_1	0,929	1,169	0,912
AT5G57420_1	0,900	0,979	1,050
AT5G60450_1	1,373	0,610	0,246
AT5G62000_1	1,071	1,102	0,845
AT5G62000_2	1,058	1,097	0,813
AT5G65670_1	1,014	0,588	0,373
AT5G65670_2	1,034	0,639	0,400

Ethylen-Markergene

AGI	NaCl-Kontrolle zur H₂O-Kontrolle (log₂)	H₂O +B.c. zur H₂O-Kontrolle (log₂)	NaCl +B.c. zur H₂O-Kontrolle (log₂)
AT1G04310_1	0,867	0,516	1,456
AT1G04370_1	0,970	6,873	3,608
AT1G05710_1	1,038	1,283	1,832
AT1G05710_2	0,860	3,008	11,426
AT1G05710_3	0,916	5,213	15,895
AT1G05710_4	0,992	0,981	1,456
AT1G09740_1	0,919	2,601	4,526
AT1G17440_1	0,680	1,116	1,730
AT1G17440_2	0,741	1,641	1,912
AT1G17870_1	1,413	2,297	3,566
AT1G28160_1	0,956	1,324	1,424
AT1G50640_1	1,038	1,603	1,688
AT1G66340_1	0,973	1,353	1,716
AT1G72360_1	0,982	1,501	1,817
AT1G72360_2	0,986	1,378	2,007
AT1G72360_3	0,944	1,323	1,949
AT1G80580_1	1,076	1,426	1,517
AT2G19560_1	0,908	0,975	1,710
AT2G20100_1	1,344	0,457	0,654
AT2G20100_2	1,011	0,714	0,905
AT2G26070_1	0,922	0,457	0,540
AT2G27050_1	0,864	0,286	0,239
AT2G31230_1	0,756	5,247	4,843
AT2G31730_1	0,560	1,528	0,970
AT2G40940_1	0,839	0,598	0,825
AT2G44840_1	0,631	12,417	8,427
AT3G04580_1	0,929	1,626	1,580
AT3G15210_1	1,102	2,147	1,661
AT3G16770_1	1,224	1,465	0,815
AT3G23150_1	0,828	1,521	2,375
AT3G23230_1	0,543	36,184	22,610
AT3G23240_1	0,972	28,364	23,177
AT4G17490_1	0,768	2,778	1,710
AT4G17500_1	0,844	4,097	5,174
AT4G20880_1	1,097	1,454	1,357
AT4G29100_1	1,212	0,851	1,647
AT5G10120_1	1,003	1,250	1,241
AT5G25190_1	0,915	0,204	0,034
AT5G43410_1	1,157	11,833	19,024
AT5G44350_1	1,197	1,788	1,452
AT5G47220_1	0,849	1,075	0,868
AT5G47230_1	0,686	1,364	1,230
AT5G61600_1	0,876	1,021	1,049

Jasmonsäure-Markergen

AGI	NaCl-Kontrolle zur H ₂ O-Kontrolle (log ₂)	H ₂ O +B.c. zur H ₂ O-Kontrolle (log ₂)	NaCl +B.c. zur H ₂ O-Kontrolle (log ₂)
AT1G06310_1	1,314	1,658	1,521
AT1G09400_1	0,977	0,954	2,309
AT1G15390_1	0,980	0,752	0,518
AT1G17380_1	0,760	8,495	7,234
AT1G17990_1	0,845	0,436	0,426
AT1G17990_2	1,006	0,543	0,539
AT1G18020_1	0,985	0,529	0,505
AT1G19180_1	0,858	2,872	3,145
AT1G19180_2	0,880	1,753	3,805
AT1G19610_1	0,970	4,108	7,410
AT1G19640_1	1,167	2,824	6,552
AT1G20510_1	0,878	1,944	1,546
AT1G20510_2	1,002	2,551	1,611
AT1G29990_1	0,876	0,893	0,933
AT1G30135_1	0,860	37,954	36,342
AT1G48500_1	0,901	0,618	0,789
AT1G48500_2	0,920	0,598	0,657
AT1G48500_3	0,992	0,959	0,987
AT1G52085_1	0,962	1,155	1,120
AT1G55010_1	1,265	1,777	1,539
AT1G55020_1	1,134	3,480	3,337
AT1G70700_1	0,928	1,403	1,394
AT1G72450_1	0,937	2,148	2,001
AT1G74950_1	0,915	2,328	2,095
AT1G76150_1	0,837	2,080	3,820
AT1G76690_1	1,031	1,971	2,809
AT2G02120_1	1,200	0,184	0,117
AT2G06050_1	0,848	1,799	1,647
AT2G06050_2	0,854	1,816	1,588
AT2G06050_3	0,835	1,737	1,622
AT2G23600_1	0,898	0,674	0,096
AT2G23610_1	1,049	0,488	0,120
AT2G23620_1	1,130	1,186	0,677
AT2G26010_1	1,473	23,280	2,383
AT2G26020_1	1,658	19,205	2,417
AT2G34600_1	0,619	3,644	4,152
AT2G35690_1	1,038	0,857	1,270
AT2G42840_1	0,544	0,291	0,333
AT2G46370_1	0,964	0,802	0,764
AT3G06690_1	0,954	1,203	1,825
AT3G15290_1	0,976	0,964	1,546
AT3G17860_1	1,033	1,264	1,186
AT3G17860_2	1,007	1,302	1,153
AT3G22400_1	0,631	0,839	0,417
AT3G25760_1	0,995	1,863	1,636
AT3G25770_1	0,992	0,970	0,735
AT3G25780_1	0,509	17,066	12,736
AT3G43440_1	0,794	0,990	2,737

AGI	NaCl-Kontrolle zur H₂O-Kontrolle (log₂)	H₂O +B.c. zur H₂O-Kontrolle (log₂)	NaCl +B.c. zur H₂O-Kontrolle (log₂)
AT3G50260_1	0,742	4,031	5,303
AT3G50440_1	1,233	0,480	0,111
AT3G51840_1	0,894	1,423	2,211
AT3G55970_1	0,888	33,626	45,913
AT4G04890_1	0,989	0,541	0,187
AT4G15440_1	0,787	1,768	1,186
AT4G16690_1	0,775	3,593	12,864
AT4G16760_1	1,007	2,088	2,432
AT4G18290_1	0,762	0,692	2,364
AT4G29010_1	1,070	0,992	1,277
AT4G37150_1	0,828	7,263	31,499
AT5G07000_1	0,709	0,921	0,648
AT5G07010_1	0,643	6,282	6,999
AT5G13220_1	0,635	11,132	12,099
AT5G13220_2	0,657	6,191	13,099
AT5G13220_3	0,657	10,355	10,939
AT5G13220_4	0,840	10,343	12,149
AT5G14660_1	0,938	0,295	0,120
AT5G14660_2	0,961	0,317	0,132
AT5G20900_1	1,151	1,156	1,312
AT5G23290_1	0,901	0,990	1,082
AT5G44420_1	1,318	8,490	1,663
AT5G44430_1	2,345	67,460	4,791
AT5G46240_1	0,698	0,502	1,227
AT5G48880_1	1,010	0,882	0,783
AT5G49510_1	1,094	0,997	0,996
AT5G49510_2	1,089	1,040	0,929
AT5G63660_1	1,204	1,296	1,620
AT5G65800_1	0,811	0,566	0,574

Salicylsäure-Markergene

AGI	NaCl-Kontrolle zur H₂O-Kontrolle (log₂)	H₂O +B.c. zur H₂O-Kontrolle (log₂)	NaCl +B.c. zur H₂O-Kontrolle (log₂)
AT1G64280_1	0,904	0,786	0,933
AT1G74710_1	0,947	1,023	1,946
AT1G74710_2	1,054	1,081	1,944
AT1G75040_1	0,469	0,724	0,355
AT2G14610_1	0,582	70,151	177,968
AT2G19990_1	0,700	0,557	1,263
AT3G04720_1	0,823	8,143	8,259
AT3G48090_1	0,743	0,615	0,576
AT3G52430_1	0,657	0,675	1,103
AT3G57260_1	1,072	3,345	4,388
AT5G24300_1	1,054	0,607	0,341
AT5G67160_1	0,674	5,710	12,595